



This is a digital copy of a book that was preserved for generations on library shelves before it was carefully scanned by Google as part of a project to make the world's books discoverable online.

It has survived long enough for the copyright to expire and the book to enter the public domain. A public domain book is one that was never subject to copyright or whose legal copyright term has expired. Whether a book is in the public domain may vary country to country. Public domain books are our gateways to the past, representing a wealth of history, culture and knowledge that's often difficult to discover.

Marks, notations and other marginalia present in the original volume will appear in this file - a reminder of this book's long journey from the publisher to a library and finally to you.

Usage guidelines

Google is proud to partner with libraries to digitize public domain materials and make them widely accessible. Public domain books belong to the public and we are merely their custodians. Nevertheless, this work is expensive, so in order to keep providing this resource, we have taken steps to prevent abuse by commercial parties, including placing technical restrictions on automated querying.

We also ask that you:

- + *Make non-commercial use of the files* We designed Google Book Search for use by individuals, and we request that you use these files for personal, non-commercial purposes.
- + *Refrain from automated querying* Do not send automated queries of any sort to Google's system: If you are conducting research on machine translation, optical character recognition or other areas where access to a large amount of text is helpful, please contact us. We encourage the use of public domain materials for these purposes and may be able to help.
- + *Maintain attribution* The Google "watermark" you see on each file is essential for informing people about this project and helping them find additional materials through Google Book Search. Please do not remove it.
- + *Keep it legal* Whatever your use, remember that you are responsible for ensuring that what you are doing is legal. Do not assume that just because we believe a book is in the public domain for users in the United States, that the work is also in the public domain for users in other countries. Whether a book is still in copyright varies from country to country, and we can't offer guidance on whether any specific use of any specific book is allowed. Please do not assume that a book's appearance in Google Book Search means it can be used in any manner anywhere in the world. Copyright infringement liability can be quite severe.

About Google Book Search

Google's mission is to organize the world's information and to make it universally accessible and useful. Google Book Search helps readers discover the world's books while helping authors and publishers reach new audiences. You can search through the full text of this book on the web at <http://books.google.com/>



Über dieses Buch

Dies ist ein digitales Exemplar eines Buches, das seit Generationen in den Regalen der Bibliotheken aufbewahrt wurde, bevor es von Google im Rahmen eines Projekts, mit dem die Bücher dieser Welt online verfügbar gemacht werden sollen, sorgfältig gescannt wurde.

Das Buch hat das Urheberrecht überdauert und kann nun öffentlich zugänglich gemacht werden. Ein öffentlich zugängliches Buch ist ein Buch, das niemals Urheberrechten unterlag oder bei dem die Schutzfrist des Urheberrechts abgelaufen ist. Ob ein Buch öffentlich zugänglich ist, kann von Land zu Land unterschiedlich sein. Öffentlich zugängliche Bücher sind unser Tor zur Vergangenheit und stellen ein geschichtliches, kulturelles und wissenschaftliches Vermögen dar, das häufig nur schwierig zu entdecken ist.

Gebrauchsspuren, Anmerkungen und andere Randbemerkungen, die im Originalband enthalten sind, finden sich auch in dieser Datei – eine Erinnerung an die lange Reise, die das Buch vom Verleger zu einer Bibliothek und weiter zu Ihnen hinter sich gebracht hat.

Nutzungsrichtlinien

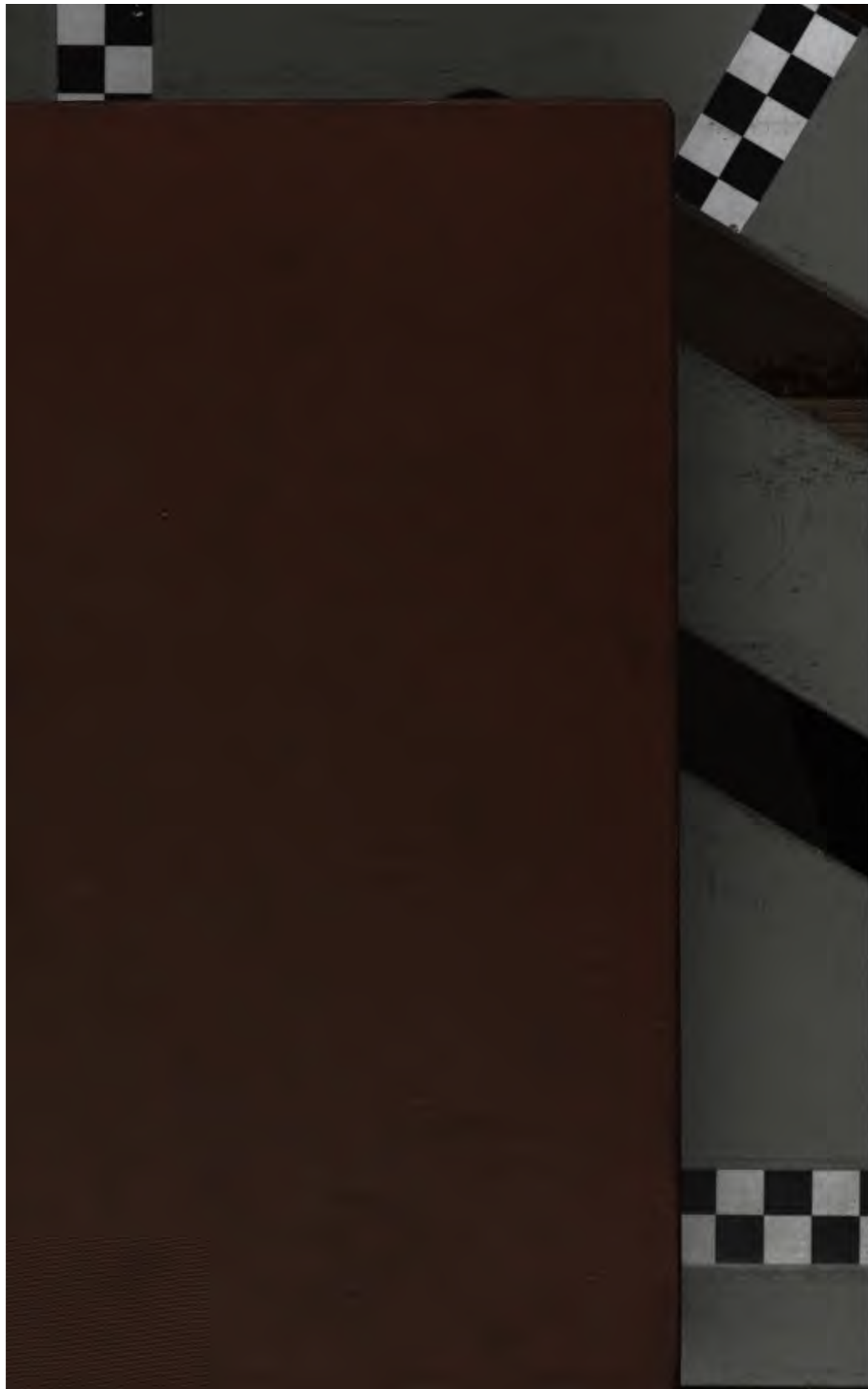
Google ist stolz, mit Bibliotheken in partnerschaftlicher Zusammenarbeit öffentlich zugängliches Material zu digitalisieren und einer breiten Masse zugänglich zu machen. Öffentlich zugängliche Bücher gehören der Öffentlichkeit, und wir sind nur ihre Hüter. Nichtsdestotrotz ist diese Arbeit kostspielig. Um diese Ressource weiterhin zur Verfügung stellen zu können, haben wir Schritte unternommen, um den Missbrauch durch kommerzielle Parteien zu verhindern. Dazu gehören technische Einschränkungen für automatisierte Abfragen.

Wir bitten Sie um Einhaltung folgender Richtlinien:

- + *Nutzung der Dateien zu nichtkommerziellen Zwecken* Wir haben Google Buchsuche für Endanwender konzipiert und möchten, dass Sie diese Dateien nur für persönliche, nichtkommerzielle Zwecke verwenden.
- + *Keine automatisierten Abfragen* Senden Sie keine automatisierten Abfragen irgendwelcher Art an das Google-System. Wenn Sie Recherchen über maschinelle Übersetzung, optische Zeichenerkennung oder andere Bereiche durchführen, in denen der Zugang zu Text in großen Mengen nützlich ist, wenden Sie sich bitte an uns. Wir fördern die Nutzung des öffentlich zugänglichen Materials für diese Zwecke und können Ihnen unter Umständen helfen.
- + *Beibehaltung von Google-Markenelementen* Das "Wasserzeichen" von Google, das Sie in jeder Datei finden, ist wichtig zur Information über dieses Projekt und hilft den Anwendern weiteres Material über Google Buchsuche zu finden. Bitte entfernen Sie das Wasserzeichen nicht.
- + *Bewegen Sie sich innerhalb der Legalität* Unabhängig von Ihrem Verwendungszweck müssen Sie sich Ihrer Verantwortung bewusst sein, sicherzustellen, dass Ihre Nutzung legal ist. Gehen Sie nicht davon aus, dass ein Buch, das nach unserem Dafürhalten für Nutzer in den USA öffentlich zugänglich ist, auch für Nutzer in anderen Ländern öffentlich zugänglich ist. Ob ein Buch noch dem Urheberrecht unterliegt, ist von Land zu Land verschieden. Wir können keine Beratung leisten, ob eine bestimmte Nutzung eines bestimmten Buches gesetzlich zulässig ist. Gehen Sie nicht davon aus, dass das Erscheinen eines Buchs in Google Buchsuche bedeutet, dass es in jeder Form und überall auf der Welt verwendet werden kann. Eine Urheberrechtsverletzung kann schwerwiegende Folgen haben.

Über Google Buchsuche

Das Ziel von Google besteht darin, die weltweiten Informationen zu organisieren und allgemein nutzbar und zugänglich zu machen. Google Buchsuche hilft Lesern dabei, die Bücher dieser Welt zu entdecken, und unterstützt Autoren und Verleger dabei, neue Zielgruppen zu erreichen. Den gesamten Buchtext können Sie im Internet unter <http://books.google.com> durchsuchen.





30

18





NEW YORK
PUBLIC
LIBRARY

Astronomische Beobachtungen

auf der Sternwarte

der Königlichen Rheinischen Friedrich-Wilhelms-Universität

zu Bonn

angestellt und herausgegeben

von

Dr. Friedrich Wilhelm August Argelander,

o. ö. Prof. d. Astronomie und Director der Sternwarte, Ritter des Stanislaus-Ord. II. Cl. und des Wladimir-Ord. IV. Cl., Mitglied der Königl. und der Astronomischen Gesellschaften zu London, der Finnischen Gesellschaft und der Schwedischen Academie der Wissenschaften, Correspondent der Königl. Gesellschaft zu Göttingen, sowie der Academies der Wissenschaften zu Berlin, Palermo, Paris, Petersburg und Wien.

Zweiter Band.

Zonenbeobachtungen am Südhimmel.

PROY WAB
OLBPA
VBAAB

B o n n,

bei Adolph Marcus.

1852.

Durchmusterung

der Himmelszone

zwischen 15 und 31 Grad südlicher Declination

auf der Sternwarte

der Königlichen Rheinischen Friedrich-Wilhelms-Universität

zu Bonn

in den Jahren 1849—1852

ausgeführt

**und mit Hülftafeln zur Reduction der scheinbaren Oerter der Sterne auf die mittlern zu Anfange
des Jahres 1850 versehen**

von

Dr. Friedrich Wilhelm August Argelander,

**o. ö. Prof. d. Astronomie und Director der Sternwarte, Ritter des Stanislaus-Ord. II. Cl. und des Wladimir-Ord. IV. Cl., Mitglied
der Königlichen und der Astronomischen Gesellschaften zu London, der Finnischen Gesellschaft und der Schwedischen Academie
der Wissenschaften, Correspondenten der Königlichen Gesellschaft zu Göttingen, sowie der Academies der Wissenschaften zu Berlin,
Palermo, Paris, Petersburg und Wien.**

Bonn,

bei Adolph Marcus.

1852.

THE NEW YORK
PUBLIC LIBRARY
ASTOR, LENOX
TILDEN FOUNDATIONS

ROY W. B.
JUN
MAR 19

Einleitung.

Indem ich die gegenwärtige Arbeit der Oeffentlichkeit übergebe, muss ich sie zunächst mit einer Rechtfertigung bevorworten. Bessel hatte seine Zonen nach Süden zu mit dem 15ten Grade der Declination geschlossen, indem bei der Unruhe und der Unreinheit der Atmosphäre, zumal unserer Climate, in einer geringen Höhe als 20 Grad, in zu bedeutendem Maasse die Sichtbarkeit der kleinern Sterne abnehme, die Unsicherheit der Beobachtungen vergrössert werde. Die Richtigkeit dieser Ansicht im Allgemeinen wird wohl jeder Beobachter bestätigen, und wenn auch vielleicht die Gränze von 20 Grad etwas zu hoch gegriffen ist, und ohne bedeutenden Nachtheil auf 15 Grad gesetzt werden könnte, so steht so viel gewiss fest, dass schon in einer bedeutend grössern Höhe als 8 Grade, in der meine südlichste Zone schliesst, die von Bessel angegebenen störenden Ursachen in sehr hohem Maasse stattfinden, und ausserdem selbst die Unsicherheit der Refraction auf Declination einen schädlichen Einfluss ausübt. Indess ward das Bedürfniss, eine grössere Menge von Sternern in diesen südlichen Gegenden des Himmels kennen zu lernen, namentlich bei der immer wachsenden Zahl der kleinen Planeten und telescopischen Cometen, immer dringender, und es schien keine Aussicht vorhanden, dass von günstiger gelegenen Sternwarten demselben abgeholfen werde. Unter diesen Umständen glaubte ich die Ausdehnung meiner Zonen bis -31 Grad nicht scheuen zu dürfen, in der Hoffnung, dass die neuen Bestimmungen doch bedeutend sicherer sein dürften, wie die ausserdem in geringer Zahl vorhandenen von Lalande, Lacaille und Brisbane. Dass diese Hoffnung mich nicht getäuscht hat, werden die unten folgenden Untersuchungen darthun.

I.

Das Instrument und die Einrichtung der Beobachtungen.

Das Instrument, mit dem die Beobachtungen angestellt sind, ist der Meridiankreis, welchen die Herren Pistor und Martins für die hiesige Sternwarte gearbeitet haben. Das Fernrohr desselben hat ein Münchener Objectiv von 6 Fuss Focalweite und 52 Linien Oeffnung, und dreht sich um eine Axe von 3 Fuss Länge. Es sind zwei Kreise von 18 Zoll Radius vorhanden, beide unmittelbar von 2 zu 2 Minuten getheilt, und jeder durch vier Microscope abzulesen; es ward jedoch immer nur ein Kreis benutzt, und zwar in beiden Lagen derselben. Die Microscope sind an messingnen Kreuzen in Abständen von 90 Grad von einander befestigt; sie geben bei 70maliger Vergrösserung 4 Umgänge der Micrometerschraube auf 2 Minuten. Bei dem ersten Microscope, welches unmittelbar die Zenithdistanzen, bei östlicher Lage des Kreises auf der Südseite, bei westlicher auf der Nordseite des Meridians anzeigt, habe ich jedoch eine nur 35malige Vergrösserung angewandt, so dass jeder Schraubenumgang dieses Microscops einer Minute entspricht. Die Aufopferung an Genauigkeit, die dadurch entsteht, kommt nicht in Betracht gegen die Vortheile, welche diese Einrichtung darbietet: sie gewährt erstlich mehr Licht, und erlaubt desshalb eine grössere Entfernung des Beleuchtungsapparates, dieser so lästigen Wärme.

quelle. Dann umfasst das Feld des Microscops auf diese Weise, des westlichen 61, des östlichen 64 Minuten; da nun die einzelnen Grade auf dem Kreise durch kleine Zahlen, die im Microscope gesehen werden, bezeichnet sind, so bedarf es keines Hilfsapparates, um die Angabe des Kreises zu erkennen, über die man nie in Zweifel ist. Endlich kann ein Versehen von 30 Secunden, welches bei den andern Microscopen leicht möglich ist, bei der Eintheilung der Trommel in 60 Secunden nicht vorkommen: der einzige Fall dieser Art, der unter mehr als 12 000 untersuchten mir vorgekommen ist, beruht wohl auf einem Fehler im Niederschreiben.

Um die nicht unbedeutende Veränderlichkeit des Microscopenträgers zu eliminiren, wird der Collimationsfehler im Sinne der Declination von Zeit zu Zeit, gewöhnlich alle zwei Stunden, durch horizontale Collimatoren bestimmt, deren einer südlich, der andere nördlich vom Instrumente aufgestellt ist, und zwar jedesmal in zwei entgegengesetzten Lagen des Collimators, um die Abweichung der optischen von der physischen Axe des Collimators zu eliminiren. Die Abweichung desselben von der Horizontalität wird durch sehr sorgfältig gearbeitete Libellen gemessen, die für eine Linie $1''.5$ und $1''.4$ Ausschlag geben.

Die Zonen schliessen sich unmittelbar an die Bessel'schen an, beginnen also bei -15 Grad und gehen, wie schon erwähnt, bis -31 Grad. Sie haben wie jene eine Breite von 2 Graden, oder vielmehr, um das Anschliessen der angränzenden um so vollständiger zu machen, von 2 Grad 20 Minuten. Ihre Mitten fallen auf die geraden Grade der Declination. Sie sind anschliessend an meine nördlichen Zonen der Zeitfolge nach von 205 bis 404 numerirt. Sie wurden gewöhnlich anderthalb Stunden ununterbrochen fortgesetzt, selten länger, weil die Erfahrung gelehrt hatte, dass nach Verlauf dieser Zeit die Augen schon Ermüdung zeigten. Dagegen kommen vielfach kürzere Zonen vor, wenn entweder Wolken die Fortsetzung verhinderten, oder der Zustand der Luft so schlecht ward, dass nicht mehr mit Sicherheit beobachtet werden konnte. Solche bei schlechter Luft beobachtete Zonen sind fast immer wiederholt worden, ebenso die ersten 12, die bei geringerer Uebung zu arm ausgefallen waren, und ebenso auch die sehr sternreichen, namentlich in der Nähe der Milchstrasse.

Zwei Beobachter theilten sich, wie bei den früheren Zonen, in die Arbeit: ich selbst bewegte das Fernrohr zwischen den angegebenen Gränzen auf und ab, stellte, sobald ein Stern sich zeigte, diesen zwischen die, 14 Secunden von einander entfernten, Horizontalfäden ein, beobachtete seinen Antritt an einen oder zwei Fäden, und notirte sowohl die Zeiten der Antritte, als die geschätzten Grössen. Am ersten Microscope sass der zweite Beobachter, der, sobald ich eine Einstellung zwischen die Fäden angezeigt hatte, den Micrometerfaden auf den nächsten Strich brachte, dann die Grade, Minuten, Secunden und deren Zehntheile ablas und notirte. Bis zur 310ten Zone verrichtete dieses Geschäft Herr Fr. Henzi, von der 311ten an Herr Fr. Thormann, beide mit dem Eifer und der Sorgfalt, durch die sich diese Herren bei ihren eigenen Beobachtungen den Astronomen vortheilhaft bekannt gemacht haben.

Vor dem Anfange und nach dem Schlusse jeder Zone wurde der Collimationsfehler des Kreises, gewöhnlich durch den nördlichen Collimator, bestimmt; ferner wurden an zwei Stellen des Kreises innerhalb der zu beobachtenden Zone alle 4 Microscope auf die entsprechenden Striche eingestellt und abgelesen, um dadurch die Correction zu ermitteln, welche den Angaben des ersten Microscopes hinzuzufügen war, um sie auf das Mittel aus allen zu reduciren; endlich wurden Barometer, inneres und äusseres Thermometer abgelesen, das letztere unmittelbar vor dem Anfange und nach dem Schlusse der Zone. Bei den tieferen Zonen ward auch während des Verlaufes derselben noch ein- oder zweimal der Stand des äusseren Thermometers notirt, und wenn dies nicht geschah, nach dem Schlusse der Zone an dem Maximum- und Minimumthermometer geprüft, ob während derselben eine bedeutende Unregelmässigkeit im Gange der Temperatur stattgefunden hatte.

2.

Von den scheinbaren Rectascensionen.

Das Fernrohr hat 7 Verticalfäden, von denen der mittlere dem Meridiane entspricht. Zu beiden Seite desselben stehen die nächsten 19 Secunden in Zeit im Aequator ab, die dann folgenden von ihren Nachbarn je 9.5 Secunden. Ich bezeichne diese Fäden mit den Zahlen 1 bis 7, so gezählt, wie die Sterne bei ihrer obere Culmination der Reihe nach an sie antreten. Bei Kreis Ost ist also der 1ste Faden derselbe, der bei Kreis West der 7te ist und so fort und umgekehrt. Die Intervalle derselben sind während der ersten 151 Zonen, von N^o. 20 bis N^o. 255 constant geblieben. Nach dem Schlusse der letztgenannten Zone brachen aber die 3 letzten Fäden bei Kreis West, und mussten durch neue ersetzt werden, die von Z. 356 an gelten. Um die Reduction der Beobachtungen nicht lange aufzuhalten, wurden für diese bis zur 384ten Zone provisorische Werthe angenommen von Z. 385 an die definitiven benutzt. Diese Werthe in Zeit und im Aequator sind:

	Zone 205—404.			Zone 205—355.			Zone 356—384.			Zone 385—404.		
Kreis West	1	2	3	5	6	7	5	6	7	5	6	7
Kreis Ost	7	6	5	3	2	1	3	2	1	3	2	1
Intervalle	38.157	28.588	19.136	19.019	28.645	38.050	19.15	26.68	38.21	19.095	28.631	38.187
Logarithm.	1.58157	1.45618	1.28185	1.27919	1.45705	1.58035	1.28217	1.45758	1.58218	1.28092	1.45683	1.5819

Der Bequemlichkeit des Gebrauches wegen gebe ich die Werthe dieser Fadenintervalle für jedes in den Zonen vorkommende Parallel von 10 zu 10 Minuten, jedoch mit Unterdrückung der ungenauern provisorischen Werthe.

	Zone 205—404.			Zone 205—355.			Zone 356—404.			
Kreis West	1	2	3	5	6	7	5	6	7	
Kreis Ost	7	6	5	3	2	1	3	2	1	
14° 40'	39.44	29.55	19.78	19.66	29.61	39.33	19.74	29.59	39.47	14° 40'
50	39.47	29.57	19.80	19.67	29.63	39.36	19.75	29.62	39.50	50
15 0	39.50	29.60	19.81	19.69	29.66	39.39	19.77	29.64	39.53	15 0
10	39.53	29.62	19.83	19.71	29.68	39.42	19.78	29.66	39.57	10
20	39.56	29.64	19.84	19.72	29.70	39.45	19.80	29.69	39.60	20
30	39.60	29.67	19.86	19.74	29.73	39.49	19.82	29.71	39.63	30
40	39.63	29.69	19.87	19.75	29.75	39.52	19.83	29.74	39.66	40
50	39.66	29.72	19.89	19.77	29.77	39.55	19.85	29.76	39.69	50
16 0	39.69	29.74	19.91	19.79	29.80	39.58	19.86	29.79	39.73	16 0
10	39.73	29.77	19.92	19.80	29.82	39.62	19.88	29.81	39.76	10
20	39.76	29.79	19.94	19.82	29.85	39.65	19.90	29.83	39.79	20
30	39.79	29.82	19.96	19.84	29.88	39.68	19.91	29.86	39.83	30
40	39.83	29.84	19.97	19.85	29.90	39.72	19.93	29.89	39.86	40
50	39.86	29.87	19.99	19.87	29.93	39.75	19.95	29.91	39.90	50
17 0	39.90	29.89	20.01	19.89	29.95	39.79	19.97	29.94	39.93	17 0
10	39.94	29.92	20.03	19.91	29.98	39.82	19.99	29.97	39.97	10
20	39.97	29.95	20.05	19.92	30.01	39.86	20.00	29.99	40.00	20
30	40.01	29.98	20.06	19.94	30.03	39.90	20.02	30.02	40.04	30
40	40.05	30.00	20.08	19.96	30.06	39.93	20.04	30.05	40.08	40
50	40.08	30.03	20.10	19.98	30.09	39.97	20.06	30.08	40.12	50

— IV —

Kreis West Kreis Ost	Zone 205—404.			Zone 205—355.			Zone 356—404.			
	1 7	2 6	3 5	5 3	6 2	7 1	5 3	6 2	7 1	
18° 0'	40.12	30.06	20.12	20.00	30.12	40.01	20.08	30.10	40.15	18° 0'
10	40.16	30.09	20.14	20.02	30.15	40.05	20.10	30.13	40.19	10
20	40.20	30.12	20.16	20.04	30.18	40.08	20.12	30.16	40.23	20
30	40.24	30.15	20.18	20.06	30.21	40.12	20.14	30.19	40.27	30
40	40.28	30.18	20.20	20.08	30.24	40.16	20.16	30.22	40.31	40
50	40.32	30.20	20.22	20.09	30.27	40.20	20.18	30.25	40.35	50
19 0	40.36	30.24	20.24	20.11	30.30	40.24	20.20	30.28	40.39	19 0
10	40.40	30.27	20.26	20.14	30.33	40.28	20.22	30.31	40.43	10
20	40.44	30.30	20.28	20.16	30.36	40.32	20.24	30.34	40.47	20
30	40.48	30.33	20.30	20.18	30.39	40.37	20.26	30.37	40.51	30
40	40.52	30.36	20.32	20.20	30.42	40.41	20.28	30.40	40.55	40
50	40.56	30.39	20.34	20.22	30.45	40.45	20.30	30.44	40.60	50
20 0	40.61	30.42	20.36	20.24	30.48	40.49	20.32	30.47	40.64	20 0
10	40.65	30.45	20.39	20.26	30.52	40.54	20.34	30.50	40.68	10
20	40.69	30.49	20.41	20.28	30.55	40.58	20.36	30.53	40.72	20
30	40.74	30.52	20.43	20.30	30.58	40.62	20.39	30.57	40.77	30
40	40.78	30.55	20.45	20.33	30.61	40.67	20.41	30.60	40.81	40
50	40.83	30.59	20.47	20.35	30.65	40.71	20.43	30.63	40.86	50
21 0	40.87	30.62	20.50	20.37	30.68	40.76	20.45	30.67	40.90	21 0
10	40.92	30.66	20.52	20.39	30.72	40.80	20.48	30.70	40.95	10
20	40.96	30.69	20.54	20.42	30.75	40.85	20.50	30.74	41.00	20
30	41.01	30.73	20.57	20.44	30.79	40.90	20.52	30.77	41.04	30
40	41.06	30.76	20.59	20.46	30.82	40.94	20.55	30.81	41.09	40
50	41.11	30.80	20.61	20.49	30.86	40.99	20.57	30.84	41.14	50
22 0	41.15	30.83	20.64	20.51	30.89	41.04	20.59	30.88	41.19	22 0
10	41.20	30.87	20.66	20.54	30.93	41.09	20.62	30.92	41.24	10
20	41.25	30.91	20.69	20.56	30.97	41.14	20.64	30.95	41.28	20
30	41.30	30.94	20.71	20.59	31.00	41.18	20.67	30.99	41.33	30
40	41.35	30.98	20.74	20.61	31.04	41.23	20.69	31.03	41.38	40
50	41.40	31.02	20.76	20.64	31.08	41.29	20.72	31.07	41.43	50
23 0	41.45	31.06	20.79	20.66	31.12	41.34	20.74	31.10	41.48	23 0
10	41.50	31.10	20.81	20.69	31.16	41.39	20.77	31.14	41.54	10
20	41.56	31.13	20.84	20.71	31.20	41.44	20.80	31.18	41.59	20
30	41.61	31.17	20.87	20.74	31.24	41.49	20.82	31.22	41.64	30
40	41.66	31.21	20.89	20.77	31.28	41.54	20.85	31.26	41.69	40
50	41.71	31.25	20.92	20.79	31.32	41.60	20.88	31.30	41.75	50
24 0	41.77	31.29	20.95	20.82	31.36	41.65	20.90	31.34	41.80	24 0
10	41.82	31.33	20.97	20.85	31.40	41.70	20.93	31.38	41.85	10
20	41.88	31.38	21.00	20.87	31.44	41.76	20.96	31.42	41.91	20
30	41.93	31.42	21.03	20.90	31.48	41.82	20.98	31.46	41.96	30
40	41.99	31.46	21.06	20.93	31.52	41.87	21.01	31.51	42.02	40
50	42.04	31.50	21.09	20.96	31.56	41.93	21.04	31.55	42.08	50
25 0	42.10	31.54	21.11	20.99	31.61	41.98	21.07	31.59	42.13	25 0
10	42.16	31.59	21.14	21.01	31.65	42.04	21.10	31.63	42.19	10
20	42.22	31.63	21.17	21.04	31.69	42.10	21.13	31.68	42.25	20
30	42.28	31.67	21.20	21.07	31.74	42.16	21.16	31.72	42.31	30
40	42.33	31.72	21.23	21.10	31.78	42.22	21.19	31.77	42.37	40
50	42.39	31.76	21.26	21.13	31.83	42.28	21.22	31.81	42.43	50

Kreis West Kreis Ost	Zone 205—404.			Zone 205—355.			Zone 356—404.			
	1 7	2 6	3 5	5 3	6 2	7 1	5 3	6 2	7 1	
26° 0'	42.45	31.81	21.29	21.16	31.87	42.33	21.25	31.85	42.49	26° 0'
10	42.51	31.85	21.32	21.19	31.92	42.39	21.28	31.90	42.55	10
20	42.58	31.90	21.35	21.22	31.96	42.46	21.31	31.95	42.61	20
30	42.64	31.94	21.38	21.25	32.01	42.52	21.34	31.99	42.67	30
40	42.70	31.99	21.41	21.28	32.05	42.58	21.37	32.04	42.73	40
50	42.76	32.04	21.45	21.31	32.10	42.64	21.40	32.09	42.80	50
27° 0'	42.82	32.09	21.48	21.35	32.15	42.70	21.43	32.13	42.86	27° 0'
10	42.89	32.13	21.51	21.38	32.20	42.77	21.46	32.18	42.92	10
20	42.95	32.18	21.54	21.41	32.24	42.83	21.50	32.23	42.99	20
30	43.02	32.23	21.57	21.44	32.29	42.90	21.53	32.28	43.05	30
40	43.08	32.28	21.61	21.47	32.34	42.96	21.56	32.33	43.12	40
50	43.15	32.33	21.64	21.51	32.39	43.03	21.59	32.38	43.18	50
28° 0'	43.22	32.38	21.67	21.54	32.44	43.09	21.63	32.43	43.25	28° 0'
10	43.28	32.43	21.71	21.57	32.49	43.16	21.66	32.48	43.32	10
20	43.35	32.48	21.74	21.61	32.54	43.23	21.69	32.53	43.38	20
30	43.42	32.53	21.77	21.64	32.59	43.30	21.73	32.58	43.45	30
40	43.49	32.58	21.81	21.68	32.65	43.37	21.76	32.63	43.52	40
50	43.56	32.63	21.84	21.71	32.70	43.43	21.80	32.68	43.59	50
29° 0'	43.63	32.69	21.88	21.75	32.75	43.50	21.83	32.73	43.66	29° 0'
10	43.70	32.74	21.91	21.78	32.80	43.57	21.87	32.79	43.73	10
20	43.77	32.79	21.95	21.82	32.86	43.65	21.90	32.84	43.80	20
30	43.84	32.85	21.99	21.85	32.91	43.72	21.94	32.90	43.87	30
40	43.91	32.90	22.01	21.89	32.97	43.79	21.97	32.95	43.95	40
50	43.99	32.96	22.06	21.92	33.02	43.86	22.01	33.00	44.02	50
30° 0'	44.06	33.01	22.10	21.96	33.08	43.94	22.05	33.06	44.09	30° 0'
10	44.13	33.07	22.13	22.00	33.13	44.01	22.09	33.11	44.17	10
20	44.21	33.12	22.17	22.03	33.19	44.09	22.12	33.17	44.24	20
30	44.28	33.18	22.21	22.07	33.25	44.16	22.16	33.23	44.32	30
40	44.36	33.24	22.25	22.11	33.30	44.24	22.20	33.29	44.40	40
50	44.44	33.29	22.29	22.15	33.36	44.31	22.24	33.34	44.47	50
31° 0'	44.51	33.35	22.32	22.19	33.42	44.39	22.28	33.40	44.55	31° 0'
10	44.59	33.41	22.36	22.23	33.48	44.47	22.32	33.46	44.63	10
20	44.67	33.47	22.40	22.27	33.54	44.55	22.36	33.52	44.71	20

Mittels dieser Tafeln wurden die Antritte an die einzelnen Fäden auf den Meridianfaden reducirt, und aus den so erhaltenen Durchgängen durch die optische Axe des Instruments die scheinbaren Rectascensionen abgeleitet durch Anbringung der Correction wegen Abweichung der optischen Axe vom Meridiane und des aus den Fundamentalsternen abgeleiteten Uhrstandes; sie sind also absolute. Die erstere Correction ward nach der bekannten Formel

$$m + n \tan \delta + (c - e) \sec \delta$$

berechnet, in der e die Constante der täglichen Aberration für Bonn bezeichnet. Die Quantitäten m und n wurden aus den Beobachtungen der Polarsterne und der bei einem jeden Durchgange derselben durch die Wasserwaage untersuchten Neigung der Axe berechnet; c aber wurde auf folgende Weise bestimmt; Zwei kleine Passageninstrumente von 30 Zoll Brennweite und an Axen von 15 Zoll Länge sind, das eine im nördlichen, das andere im südlichen Meridiane aufgestellt und mit ihren Objectiven gegen einander gerichtet; ein Verticalfaden im Brennpuncte des einen kann durch eine Micrometerschraube scharf auf einen ähnlichen des andern eingestellt werden; nachdem dies geschehen, wird ein Micrometerfaden im Brennpuncte des Fernrohrs des Meridiankreises

nach einander auf jene beiden Fäden eingestellt; das Mittel dieser beiden Einstellungen lehrt den Punkt der Scale des Micrometerfadens kennen, der mit der Drehungsaxe zusammenfällt, dessen Abweichung vom Meridianfaden nun durch dieselbe Micrometerschraube gemessen wird, indem der Micrometerfaden einmal auf der einen, dann auf der andern Seite mit dem festen in Berührung gebracht wird, einmal von rechts, einmal von links her, um den todtten Gang der Schraube zu eliminiren. Der auf diese Weise ermittelte Collimationsfehler bedarf aber noch einer kleinen Correction wegen der Neigung der Queraxen des Meridiankreises sowohl, als der beiden Collimatorenfernrohre, weil bei der hiesigen Einrichtung die Beobachtung der Collimatorenfäden nicht in der Horizontalebene geschehen kann, in welcher die Einstellung dieser beiden auf einander bewirkt wird, sondern die Fernrohre dabei eine Neigung von $3\frac{1}{2}$ Grad gegen den Horizont haben.

Die Uhr am Meridiankreise ist von Kessels, No. 1367; sie hat Quecksilbercompensation und einen ausgezeichneten Gang. Zwar zeigt sich in demselben bei sorgfältiger Vergleichung der des Morgens und Nachts bestimmten Uhrstände die raschere Einwirkung der Temperatur auf die Stahlstange als auf das Quecksilber in der Linse des Pendels; der Unterschied beträgt aber nie über eine Zehntelsecunde im täglichen Gange und ist ganz ohne Einfluss auf die Zonen, für welche die Uhrstände allein aus den Nachtbeobachtungen abgeleitet wurden. Dies geschah durch Hülfe des Berliner Jahrbuches, und die Rectascensionen beruhen daher auf dem Bessel'schen Fundamentalcataloge. Jedoch ist zu bemerken, dass ich die mittlern Rectascensionen einiger Fundamentalsterne, die bei der geringen Zahl von Beobachtungen, aus denen Bessel sie abgeleitet hatte, oder bei ihrer in Königsberg unvortheilhaften Lage, nicht die wünschenswerthe Uebereinstimmung mit den übrigen zeigten, nach meinem Aboer Cataloge corrigirt habe, nämlich für 1850 α Geminorum medium um $+0^{\circ}.154$, β Leonis um $+0^{\circ}.065$, α Scorpii um $-0^{\circ}.066$, α Ophiuchi um $+0^{\circ}.105$, Fomalhaut aber nach einem Mittel zwischen Airy, Henderson, Johnson, Pond und Wrottesley angenommen habe, welches mit meinen hiesigen Beobachtungen nahe übereinstimmt, und die Correction der Bessel'schen geraden Aufsteigung für 1850 zu $-0^{\circ}.260$ ergibt. Von den zusätzlichen nördlichen Fundamentalsternen des Berliner Jahrbuches habe ich mich nur der weiter als 30 Grad vom Pole entfernten bedient, und auch dieser nur selten; wo es aber geschah, habe ich die Positionen des Jahrbuches immer nach meinem Cataloge corrigirt, nämlich für 1850 α Cassiopeae um $-0^{\circ}.112$, α Persei um $-0^{\circ}.123$, γ und η Ursae majoris resp. um $-0^{\circ}.240$ und $-0^{\circ}.092$, γ Draconis endlich um $-0^{\circ}.109$. Dies geschah nicht nur, weil meine Bestimmungen auf einer grösseren Anzahl von Beobachtungen beruhen als die Bessel'schen und die unteren Culminationen dieser Sterne in Abo bei einer grösseren Höhe über dem Horizonte schärfer beobachtet werden konnten, als zu Königsberg, sie daher mehr Sicherheit versprechen, sondern vornehmlich auch, worauf ich mir erlaube, hier nochmals*) aufmerksam zu machen, weil sowohl in den früheren Schumacher'schen Hülftafeln als jetzt im Berliner Jahrbuche eine Ungleichförmigkeit zwischen der Berechnung dieser nördlichen und der älteren Fundamentalsterne stattfindet, indem diese letzteren mit den mittleren Positionen aus Bessel's neuem Fundamentalcataloge für 1825 berechnet sind, jene nördlichen hingegen mit solchen, die auf dem älteren für 1815 beruhen**), und dieser auf 1850 reducirt die Rectascensionen um $0^{\circ}.08$ grösser giebt ***) als der neue.

Die Zeitbestimmungen sind zum grössern Theile von mir selbst gemacht worden, in den Zeiträumen von 1850 Oct. 29. bis 1851 Mai 20. und von 1851 Sept. 6. bis 1852 April 4. aber, während deren ich die Beobachtungen am Meridiankreise Herrn Schmidt übertragen hatte, von diesem. Für die in diesen Zeiträumen beobachteten Zonen 312 bis 383 und 394 bis 403 musste daher bei der Berechnung der Uhrstände auf den com-

*) Vergleiche DLX stellarum fixarum positiones mediae etc. pag. VII. nota.

**) Königsberger Beobachtungen Abtheilung VI. pag. XIV. No. 6.

***) Bessel neue Untersuchungen über die geraden Aufsteigungen der 36 Fundamentalsterne (aus den Abhandlungen der Berliner Academie) pag. 10. Im Mittel aus den 36 Sternen ist dort die Abweichung des Catalogs für 1815 $+0^{\circ}.05033$, w auf 1850 reducirt $+0^{\circ}.0797$ giebt.

stanten Unterschied in den beobachteten Antrittszeiten zwischen Schmidt und mir Rücksicht genommen werden. Diesen haben wir zweimal ermittelt und gefunden:

1847 Dec. 8.	$S - A = + 0.076 \pm 0.015$
1852 März 14.	$+ 0.098 \pm 0.012$
Mittel	$+ 0.089 \pm 0.009$

Bei den oben angegebenen Zonen ist daher den von Schmidt ermittelten Uhrständen die constante Zahl $+0.09$ hinzugefügt worden, um sie auf diejenigen zu reduciren, die ich selbst beobachtet hätte.

3.

Von den scheinbaren Declinationen.

In die Berechnung der Declinationen aus den unmittelbar abgelesenen Angaben des ersten Microscopes gehen als Elemente ein: der Werth eines Umganges der Micrometerschraube, die Abweichung dieser Angabe von dem Mittel aus allen vier Microscopen, die Biegung, der Collimationsfehler und die Polhöhe. Was das erste Element betrifft, so wurde es in jeder Periode durch Ablesungen zweier neben einander stehender Striche an allen vier Microscopen und an zehn bis zwölf verschiedenen Stellen des Kreises ermittelt. Die Ablesung ist so sicher und die Theilung so genau, dass diese Anzahl zur scharfen Bestimmung des Werthes vollkommen ausreichte. Es wurde ferner dafür gesorgt, dass die Umgänge der Schraube des ersten Microscopes immer nahe eine Minute, der andern nahe dreissig Secunden ausmachten. Unterschiede, grösser als eine Drittheilsecunde auf die Minute, wurden nicht geduldet, besonders nicht beim ersten Microscope, und dahin gesehen, dass in dem Mittel aus allen vier Microscopen keine Abweichung von mehr als ein bis anderthalb Zehnthelsecunden auf die Minute stattfand, eine Genauigkeit, die mit Ausnahme der feinsten Untersuchungen immer ausreicht. Es ist daher auf die aus diesen Unterschieden entspringende Correction bei den Zonen keine Rücksicht genommen worden. Das zweite Element wurde, wie schon früher erwähnt, vor und nach jeder Zone bestimmt; denn es liess sich voraussehen, dass die einzelnen Microscope ihre Lage gegen einander schon in kurzen Zwischenräumen ändern würden. Die Erfahrung hat dies auch bestätigt; indess sind die Aenderungen im Verlaufe einer Zone gewöhnlich innerhalb der Secunde geblieben, übersteigen anderthalb Secunden nur selten, und sind nur zweimal, in den Zonen 215 und 216, bis auf $2''.8$ gekommen. Ein Zusammenhang zwischen diesen Aenderungen und denen der Temperatur hat nicht ermittelt werden können, und es ist daher angenommen worden, dass die Aenderungen der Zeit proportional vor sich gegangen seien.

Die Biegung im Horizonte war durch den Unterschied der Einstellungen auf die beiden Collimatoren von 180° ermittelt worden; diejenige im Nadir durch die Vergleichung der Horizontalfäden im Fernrohre mit ihrem vom Quecksilberhorizonte reflectirten Bilde. In der Voraussetzung, dass ihre Aenderung einer Kreisfunction entspreche, hatte ich aus diesen Bestimmungen die Formel

$$- 5''.44 \sin. (K + 28^\circ 33')$$

abgeleitet, in der K die Angabe des Kreises bedeutet; die nach dieser Formel berechneten Zahlen sind mit ihrem Zeichen an K anzubringen. Späterhin ist allerdings ein Fehler am Nordcollimator entdeckt worden, durch dessen Verbesserung diese Formel nicht unbedeutend geändert wird; weil aber die früheren Zonen unter ihrer Anwendung berechnet waren, hielt ich es um so weniger angemessen, in der Berechnungsart etwas zu ändern, als, wie sich gleich zeigen wird, der Fehler ohne merklichen Einfluss bleibt.

Der Collimationsfehler ward, wie auch schon oben berichtet ist, durch Beobachtung eines der beiden horizontalen Collimatoren, mit wenigen Ausnahmen im Anfange, des nördlichen ermittelt. Die Veränderungen, denen er unterworfen war, sind nicht unbedeutend; ihre Abhängigkeit von denen der Temperatur ist unleugbar, und im Allgemeinen befolgen sie einen ziemlich regelmässigen Gang im Laufe eines Sonnentages; indessen

wirken zu viele der Rechnung schwer zu unterwerfende Umstände darauf ein, als die Zahl und Lage der geöffneten Klappen, Stärke und Richtung des Windes, Unterschied zwischen der äusseren und inneren Temperatur u. s. w., um eine Regel für den Gang dieser Aenderungen ableiten zu können. Dazu kommt bei den Zonenbeobachtungen noch eine wesentliche Fehlerquelle, die Einwirkung der Körperwärme des Beobachters am Microscope auf den Microscopenträger und den Pfeiler. Hierdurch sind sehr bedeutende Aenderungen während einiger Zonen entstanden; es wurden mancherlei Versuche gemacht, diese zu vernichten oder wenigstens zu vermindern; indess glückte dies erst einigermaßen, als ich 1850 April 8. die Pfeiler mit hölzernen Schränken umgeben liess, die, überall einen halben Zoll vom Steine abstehend, ihn mit einer wenig variablen Luftschicht umgeben. Während unter den 87 vor diesem Zeitpunkte beobachteten Zonen 11 vorkommen, bei denen die stündliche Veränderung des Collimationsfehlers, wenn man diese der Zeit proportional voraussetzt, grösser als $2''$ ist, ja in den Zonen 225 und 279 dieselbe sogar $3''.6$ übersteigt, ist die grösste Veränderung in den späteren 113 Zonen nur $2''.37$ in Zone 366, erreicht überhaupt nur viermal $2''$, und bleibt gewöhnlich bedeutend unter einer Secunde.

Die Polhöhe des Meridiankreises ist sehr nahe $50^\circ 43' 45''$; ich habe es aber vorgezogen, dieselbe nicht unmittelbar bei der Berechnung der Zonenbeobachtungen anzuwenden. Jeder Astronom, der eine Reihe von Sternen aus den Bessel'schen Zonen reducirt hat, wird zu der Ueberzeugung gelangt sein, dass nicht wenige derselben mit constanten Fehlern behaftet sind, und Struve hat in seiner Einleitung zum Weiss'schen Cataloge die Quantität dieser constanten Fehler in Declination für einige Zonen, bei denen sie besonders stark sich zeigen, berechnet. Die Quellen, aus denen solche Fehler in jedem einzelnen Falle entstanden sind, zu ermitteln, würde sehr schwierig sein, unschwer aber, der Eigenthümlichkeit von Zonenbeobachtungen gemäss solche anzugeben, aus denen sie entstanden sein können. Dieselben Fehlerquellen aber, die die Königsberger Beobachtungen unsicher machten, oder doch sehr ähnliche, werden auch bei dem Bonner Instrumente stattfinden: ausserdem aber lassen sich noch zwei andere nachweisen, die den Königsberger Beobachtungen entweder gar nicht, oder doch nur in einem viel geringern Maasse schaden. Die erste ist die schon oben erwähnte Einwirkung der Körperwärme des Beobachters am Microscope. In Königsberg werden die Angaben des Kreises bei den Zonenbeobachtungen durch ein sehr langes am Pfeiler befestigtes Microscop abgelesen, über den es hinten hervorragte, so dass der Beobachter zur Seite hinter dem Pfeiler ziemlich weit von diesem abstand, der Einfluss seiner Körperwärme daher ein sehr geringer war, und höchstens die hintere Seitenecke des Pfeilers etwas afficiren konnte. Hier sass der Beobachter unmittelbar neben dem Pfeiler, musste daher die ihm zugekehrte Seite desselben nothwendig durch seine Körperwärme ausdehnen, und ihn mit sammt dem an ihm befestigten Microscopenträger nach der entgegengesetzten Seite hinüberbeugen. Hierdurch mussten bei der Richtung der Kreistheilung an unserm Instrumente bei östlicher Lage desselben die südlichen Zenithdistanzen, bei westlicher deren Complementary zu 360° zu gross werden; es musste also, um richtige Declinationen zu erhalten, im ersteren Falle eine grössere Polhöhe, als die wahre, angewandt werden, im letzteren eine kleinere. Eine ähnliche Wirkung musste der Beobachter auf den Arm des Microscopenträgers, vor dem er sass, ausüben; die Art aber, wie dies geschah, lässt sich nicht gut übersehen, da sie zugleich von anderen Umständen abhängt, namentlich von dem Einflusse der Temperatur, der durch die geöffnete Seitenklappe einströmenden kältern Luft, vielleicht auch von der Erwärmung durch den Beleuchtungsapparat. Dass dieser Einfluss der Körperwärme einen bleibenden oder vielmehr sich stets vergrössernden Fehler erzeugt hat, ist schon bei Gelegenheit des Collimationsfehlers gesagt worden. Dieser ist indess durch die Bestimmungen vor und nach der Zone, wenigstens gewiss zum grössten Theile, unschädlich gemacht worden. Schlimmer ist der momentane Einfluss, den dieselbe Ursache geübt hat, der also gleich mit dem Anfange der Zone begann, bei ihrem Schlusse ebenso schnell wieder verschwand, der sich also auch in den Ablesungen vor und nach der Zone nicht kund giebt. Der hierdurch entstandene Fehler ist (wie sich gleich zeigen wird, noch bedeutender gewesen als der andere; die Grösse desselben steht aber in keinem anderen Zusammenhange mit der des bleibenden, als dass auch sie durch die Aufstellung der Schränke bedeutend vermindert ward.

Die zweite den Bonner Zonen eigenthümliche Fehlerquelle rührt von der geringen Höhe über dem Horizonte her, in der sie beobachtet wurden. Es ist bekannt, dass das Gesetz der Wärmeabnahme in der Atmosphäre, welches unsern Refractionstafeln zum Grunde liegt, nur für mittlere Zustände gilt, und in denselben nur auf die Veränderungen Rücksicht genommen wird, welche durch die raschere Abnahme bei grösserer Erwärmung der der Oberfläche nächsten Luftschichten entstehen. Eben so bekannt ist aber auch, dass in diesen nächsten Luftschichten sehr bedeutende Abweichungen von dem normalen Zustande vorkommen, ja dass oft, namentlich bei plötzlich eintretender kälterer Temperatur, die Wärmeabnahme in der Nähe des Erdbodens sich in eine Wärmezunahme verwandelt. Diese Unregelmässigkeiten rühren zum Theil von veränderlichen Wärmeströmungen her, sie sind in einem Augenblicke andere als im nächsten, und erzeugen das Zittern der Bilder und die daraus entstehenden zufälligen Fehler in den beobachteten Zenithdistanzen. Zum Theil aber werden sie auch von länger andauernden Ursachen erzeugt, machen dann während grösserer Zeiträume, vielleicht während einer ganzen Nacht, die Constitution der Atmosphäre zu einer andern und bewirken, dass unsere Refractionstafeln uns bedeutend fehlerhafte Werthe der Refraction angeben.

Um diese beiden sehr bedeutenden Fehlerquellen unschädlich zu machen, habe ich noch ein Element in die Berechnung der Declination eingeführt, wodurch freilich wieder neue Fehler erzeugt wurden, aber Fehler, die jenen an Grösse lange nicht nahe kommen: ich habe die Polhöhe veränderlich angenommen, indem ich ihren jeder einzelnen Zone entsprechenden Werth aus bekannten in derselben vorkommenden Sternen bestimmte.

Es war Anfangs meine Absicht, 5 bis 6 der helleren Sterne aus jeder Zone durch Beobachtungen an demselben Meridiankreise zu bestimmen. Da aber diese Beobachtungen, wenn sie Werth haben sollten, auch nur unter günstigen Umständen angestellt werden durften, und in den dazu geeigneten Nächten die Zonen selbst alle Kräfte in Anspruch nahmen: so hätte an die Bestimmung der Sterne erst gegangen werden können, wenn die Zonen ganz oder zum grössten Theile fertig gewesen wären, und es wäre dadurch die Publication derselben wenigstens um ein Jahr verzögert worden. Ausserdem hatte ich beschlossen, nach Vollendung der Zonen und zu ihrer Vervollständigung eine andere längere Beobachtungsreihe mit dem Meridiankreise zu beginnen, von der ich weiter unten sprechen werde. Es blieb also nichts übrig, als schon bekannte Sternpositionen zu benutzen. Es lässt sich auch wohl kein stichhaltiger Grund angeben, warum man für Zwecke dieser Art, bei denen es auf die grösstmögliche Feinheit doch nicht ankommt, vorhandene gute Bestimmungen anderer Sternwarten nicht benutzen sollte. Aber allerdings kann dies, wenn man nicht die so nöthige Consequenz in der Ausführung aus den Augen setzen will, nicht ohne Vorbereitungen geschehen.

Wir besitzen eine Reihe von Catalogen aus von der Epoche dieser Zonen nicht zu entlegenen Zeiten, in denen sich zuverlässige Positionen von einer Menge solcher Sterne bestimmt finden, die auch in den Zonen vorkommen. Es sind dies die folgenden, denen ich die Buchstaben vorsetze, mit welchen ich sie der Kürze wegen bezeichne:

- P. A catalogue of 1112 stars, reduced of observations made at the royal observatory at Greenwich from the years 1816 to 1833. London 1833.
- A. DLX stellarum fixarum positiones mediae ineunte anno 1830. Ex observationibus Aboae habitis deduxit Argelander. Helsingforsiae 1835.
- C. The first Cambridge catalogue of 726 stars, deduced of the observations made at the Cambridge observatory from 1828 to 1835; reduced to Jan. 1. 1830 by George Biddell Airy; in den Memoirs of the royal astronomical society vol. XI. London 1840.
- H. Die verschiedenen Cataloge enthalten in
Astronomical observations made at the royal observatory, Edinburgh, by Thomas Henderson. vol. I—X. Edinburgh 1838—1852.
- G. Catalogue of 2156 stars formed from the observations made during twelve years from 1836 to 1847 at the royal observatory Greenwich. London 1849.

Diese 5 Cataloge wurden von -15° nach Süden zu sorgfältig mit einander verglichen, und da unter ihnen mein Aboer Catalog derjenige ist, der mit den hiesigen Beobachtungen fast genau übereinstimmt, zunächst die Unterschiede von diesem ermittelt. Es fand sich innerhalb der angegebenen Gränzen $A-C=0$, $A-G=+1''.6$. Bei den beiden anderen Catalogen waren die Unterschiede veränderlich, nämlich $A-P$ bei $-15^\circ -1''.1$; bei $-17^\circ -1''.3$; bei $-19^\circ -1''.5$; bei $-21^\circ -1''.7$; bei $-23^\circ -1''.8$; bei $-25^\circ -1''.9$; bei $-27^\circ -1''.8$; wozu noch durch eine eigene Interpolation die beiden Werthe bei $-29^\circ -1''.5$ und bei $-31^\circ -0''.9$ kamen. Für Henderson's Cataloge gilt die Formel $A-H=+0''.564-0''.01365\delta$, wo δ die Declination in Graden bedeutet.

Nachdem diese Correctionen an die einzelnen Declinationen angebracht waren, wurden dieselben mit dem Bradley'schen Cataloge in Bessel's fundamentis astronomiae verglichen, um die eigenen Bewegungen zu ermitteln. Bei Sternen, die bei Bradley nicht vorkommen, wurden Mayer's Positionen nach Anbringung der von Mädler entwickelten Correction*) und der Piazz'i'sche Catalog, nachdem dessen Declinationen nach meiner Tafel**) corrigirt waren, zur Vergleichung benutzt. So wurde aus jedem Cataloge ein Verzeichniss von Declinationen für 1850 abgeleitet. Eine grosse Zahl von Sternen kam in mehreren Catalogen vor; ihre Declinationen für 1850 aus den verschiedenen abgeleitet, hätten innerhalb der Beobachtungsfehler übereinstimmen sollen; es zeigten sich aber noch constante Unterschiede, die sich nur dadurch erklären lassen, dass die oben entwickelten Reductionsformeln auf einer verhältnissmässig geringen Anzahl von Vergleichungen beruhten. Es fand sich nämlich

$P-G=+0.24$	"	aus 90 Vergleichungen.
$P-H=-1.16-0.125(\delta+18^\circ)$	" 51	"
$P-C=-0.40+0.09(\delta+18^\circ)$	" 39	"
$G-H=-0.88-0.07(\delta+18^\circ)$	" 57	"
$G-C=-0.60+0.05(\delta+18^\circ)$	" 39	"
$H-C=+0.81+0.23(\delta+18^\circ)$	" 32	"

Man sieht, dass besonders die Formel für Henderson bedeutend fehlerhaft ist; der Grund hiervon ist wohl darin zu suchen, dass sie hauptsächlich auf die Fundamentalsterne und wenige andere häufiger beobachtete Sterne begründet ist, unter denen nur sehr wenig südliche sind. Diese neuen Unterschiede nun sind zu gross, als dass sie unberücksichtigt bleiben konnten; ich glied sie daher gegen einander aus, corrigirte darnach die Positionen für 1850 noch, wenn durch P erhalten um $+0''.27+0''.0055(\delta+18^\circ)$, wenn durch C um $-0''.09+0''.068(\delta+18^\circ)$, wenn durch H um $-0''.73-0''.105(\delta+18^\circ)$, wenn durch G um $+0''.40$, und nahm dann aus den verschiedenen Bestimmungen für die einzelnen Sterne die Mittel mit ungefährrer Berücksichtigung der Anzahl der Beobachtungen, auf denen jede Position beruhte. So entstand ein Catalog von 445 Sternen für 1850, der mir viel Vertrauen zu verdienen scheint. Er reichte aber nicht aus, indem besonders für die südlicheren Zonen noch sehr häufig die hintängliche Zahl von Vergleichungssternen fehlte. Für diese nahm ich daher meine Zuflucht zu

T. A general catalogue of the principal fixed stars from observations made at the honorable the East India Company's observatory at Madras in the years 1830—1843 by Thomas Glanville Taylor. Madras 1844.

Für diesen Catalog habe ich theils durch Vergleichung mit meinem, theils mit dem oben beschriebenen für 1850 die Formel für 1835 $A-T=+0''.50-0''.0256(\delta+19^\circ)$ abgeleitet. Die aus ihr berechneten Reductionen wurden den Taylor'schen Declinationen (für die Epoche 1835) hinzugefügt, und dann durch Vergleichung mit

*) Astron. Nachrichten Bd. XXXII. pag. 32. Es dürfte wohl nicht ganz richtig sein, diese Correction allein zu einer Function der geraden Aufsteigung zu machen; da aber wenigstens die von mir benutzten Sterne alle in der Nähe der Ecliptik liegen, so war dies für meinen Zweck ziemlich gleichgültig.

**) DLX stellarum positiones mediae pag. XI.

früheren Catalogen die Declinationen für 1850 abgeleitet. Eine grosse Menge von besonders südlichen Sternen finden sich aber in keinem früheren Cataloge; ausserdem scheinen nicht wenige auch durch Reductionsfehler entstellt zu sein, und es gewähren daher diese Positionen nicht die Sicherheit, wie die andern; indess was ihnen an Sicherheit abging, ward meistens durch die Zahl ersetzt, so dass offenbar falsche ausgeschlossen werden konnten.

Es blieben aber immer noch eine Reihe von Zonen übrig, für welche sich keine oder zu wenig bekannte Vergleichsterne vorfanden. Für diese wurden solche nun am hiesigen Meridiankreise bestimmt, jeder viermal, nämlich zweimal in jeder Lage. Die Beobachtungen sind grösstentheils von Herrn Schmidt angestellt, und haben sehr sichere Positionen von 172 Sternen kennen gelehrt, die, sobald auch die geraden Aufsteigungen berechnet sein werden, im nächsten Bande bekannt gemacht werden sollen.

Vermittelst dieser Declinationen wurde nun für jede Zone die Correction der Polhöhe bestimmt, welche die Declinationen derselben mit jenen in Uebereinstimmung brachte. Nur für einige wenige Zonen, meistens sehr kurze, in denen sich nicht genug bekannte Sterne vorfanden, wurde die Correction der Polhöhe aus Vergleichung mit andern Zonen ermittelt, in denen mit jenen gemeinschaftliche Sterne vorkamen. Die folgende Tabelle enthält die für jede Zone angenommenen Correctionen nebst der Anzahl der Sterne, aus denen sie abgeleitet sind; ausserdem ist noch durch ein beigeseztes W oder O angegeben, ob die Zone in westlicher oder östlicher Lage des Kreises beobachtet ward. Wo ein Sternchen sich findet, wird darüber am Schlusse der Tabelle Rechenschaft gegeben werden.

1

Zone.	Corr.	Anz.	Lage.	Zone.	Corr.	Anz.	Lage.	Zone.	Corr.	Anz.	Lage.	Zone.	Corr.	Anz.	Lage.
205	— 0.83	9	W	236	+ 6.89	9	O	267	+ 6.62	6	W	298	+ 2.45	4	W
206	+ 0.74	5	—	237	+ 10.39	9	—	268	+ 5.85	8	—	299	*	—	—
207	+ 1.34	9	—	238	+ 9.31	8	—	269	+ 2.16	7	—	300	+ 3.74	8	—
208	+ 0.06	*	—	239	+ 9.80	6	—	270	+ 3.03	6	O	301	+ 3.98	5	—
209	— 1.90	6	—	240	+ 7.26	7	—	271	+ 4.38	6	—	302	+ 4.27	6	—
210	+ 2.42	10	—	241	+ 8.50	3	—	272	+ 6.68	6	—	303	+ 3.76	7	O
211	— 3.04	11	—	242	+ 9.99	11	—	273	+ 4.72	6	—	304	+ 1.56	10	—
212	*	—	O	243	+ 8.23	6	—	274	+ 3.00	6	—	305	+ 5.29	7	—
213	+ 5.00	6	—	244	+ 8.54	5	—	275	+ 5.05	10	—	306	+ 4.26	10	—
214	+ 7.40	6	—	245	+ 3.80	6	W	276	+ 3.00	6	—	307	+ 0.87	7	—
215	*	—	—	246	— 2.78	4	—	277	+ 2.65	6	—	308	+ 3.78	9	—
216	+ 7.00	6	—	247	+ 2.64	8	—	278	+ 3.46	8	—	309	+ 1.41	7	—
217	+ 5.55	12	—	248	+ 2.70	11	—	279	+ 3.08	6	—	310	+ 3.14	5	—
218	+ 5.96	9	—	249	+ 1.27	6	—	280	+ 2.12	6	—	311	+ 2.24	*	—
219	+ 3.42	6	—	250	+ 3.36	8	—	281	+ 2.74	6	—	312	+ 3.71	8	—
220	+ 8.78	11	—	251	+ 3.88	9	—	282	+ 5.88	12	—	313	+ 3.89	8	—
221	+ 3.40	7	—	252	+ 2.02	9	—	283	+ 5.38	6	—	314	+ 2.00	9	W
222	+ 11.88	12	—	253	+ 0.38	8	—	284	+ 4.21	*	—	315	+ 4.80	6	—
223	+ 10.08	5	—	254	+ 5.80	6	O	285	+ 4.57	3	—	316	+ 5.50	5	—
224	+ 9.97	7	—	255	+ 5.70	5	—	286	+ 3.32	6	—	317	+ 3.00	5	—
225	+ 1.82	5	W	256	+ 7.06	9	—	287	+ 3.11	7	W	318	+ 1.45	6	—
226	+ 1.90	3	—	257	+ 6.08	5	—	288	+ 3.20	9	—	319	+ 3.94	5	—
227	— 0.19	8	—	258	+ 5.43	8	—	289	+ 0.62	5	—	320	+ 1.71	7	—
228	+ 4.14	5	—	259	+ 7.80	11	—	290	+ 6.89	7	—	321	+ 3.14	5	—
229	— 0.60	*	—	260	+ 5.91	9	—	291	+ 4.30	6	—	322	+ 4.50	10	—
230	+ 1.80	4	—	261	+ 4.59	7	—	292	+ 5.17	8	—	323	+ 3.1	—	—
231	+ 3.64	*	—	262	+ 6.07	7	—	293	+ 1.73	6	—	324	+ 4.	—	—
232	+ 5.00	5	—	263	+ 9.26	5	—	294	+ 3.22	9	—	325	+	—	—
233	+ 11.08	6	O	264	+ 8.58	4	—	295	+ 3.92	5	—	326	+	—	—
234	+ 8.70	6	—	265	+ 4.40	7	W	296	+ 1.10	4	—	327	+	—	—
235	+ 9.50	8	—	266	+ 4.12	5	—	297	+ 3.80	10	—	328	+	—	—

Zone.	Corr.	Anz.	Lage.	Zone.	Corr.	Anz.	Lage.	Zone.	Corr.	Anz.	Lage.	Zone.	Corr.	Anz.	Lage.
329	+ 1.47	6	W	348	+ 5.06	*	W	367	+ 3.07	6	O	386	+ 8.35	6	O
330	+ 1.30	6	—	349	+ 5.13	6	—	368	+ 3.36	5	—	387	+ 2.96	9	—
331	+ 3.75	6	—	350	+ 3.66	7	—	369	+ 3.06	5	—	388	+ 5.04	5	—
332	+ 4.00	6	—	351	+ 4.40	8	—	370	+ 4.12	6	—	389	+ 5.76	7	—
333	+ 4.45	4	—	352	+ 2.86	8	—	371	+ 0.32	5	—	390	+ 7.18	7	—
334	+ 4.42	6	—	353	+ 5.74	5	—	372	+ 6.40	7	—	391	+ 6.68	9	—
335	+ 3.87	10	—	354	+ 2.56	7	—	373	+ 6.85	6	—	392	+ 7.62	5	—
336	+ 4.58	4	—	355	+ 3.48	8	—	374	+ 5.22	5	—	393	+ 6.44	7	W
337	+ 4.53	8	—	356	+ 3.01	7	—	375	+ 2.83	7	—	394	+ 2.60	4	—
338	+ 1.17	6	—	357	+ 4.32	6	—	376	+ 2.92	5	—	395	+ 7.93	*	—
339	+ 4.73	7	—	358	+ 5.07	6	—	377	+ 0.40	9	—	396	+ 3.65	10	O
340	+ 4.35	8	—	359	+ 4.56	6	—	378	— 0.22	6	—	397	+ 0.49	7	—
341	+ 2.00	4	—	360	+ 5.68	15	—	379	+ 3.29	8	—	398	+ 3.66	6	—
342	+ 4.42	6	—	361	*	—	—	380	+ 2.57	17	—	399	+ 2.10	6	—
343	+ 5.80	8	—	362	+ 6.08	11	—	381	+ 4.53	5	—	400	+ 4.47	8	—
344	+ 5.05	6	—	363	+ 5.16	11	—	382	+ 2.80	5	—	401	+ 4.01	14	—
345	+ 3.17	7	—	364	+ 3.89	7	—	383	+ 2.48	8	—	402	+ 2.47	8	—
346	+ 3.22	6	—	365	+ 5.62	5	—	384	+ 5.13	7	—	403	+ 6.14	7	—
347	+ 3.87	7	—	366	+ 0.49	9	O	385	+ 4.50	11	—	404	+ 7.44	8	W

Zone 208. 3 bekannte Sterne gaben die Corr. $-0''.30$, 17 hellere Sterne aus Zone 385 aber $+0''.42$, das Mittel ist angenommen. Vergleicht man aber die Zonen 207, 209, 211, 300, 303 und 305, so müsste man eigentlich die Corr. $-0''.95$ nehmen.

Zone 212. 8 bekannte Sterne und 62 mit den Zonen 210, 304, 387 und 388 gemeinschaftliche gaben übereinstimmend zu erkennen, dass die Corr. in dieser Zone veränderlich gewesen ist; ich habe sie demgemäss für die Zeitintervalle von 10 zu 10 Minuten von $15^h 30'$ bis $17^h 10'$ angenommen zu

$$+3''.4, +5''.3, +6''.9, +8''.1, +9''.0, +9''.5, +9''.7, +9''.4, +8''.1, +5''.7, +2''.3.$$

Zone 215. Die Correction hat sich im Laufe der Zone geändert; sie ist angenommen bis zum 58sten Stern zu $+10''.0$ nach 4 bekannten und 21 Sternen aus den Zonen 214 und 389, vom 59sten Stern an hingen zu $+6''.0$ nach 2 bekannten und 23 Sternen aus den Zonen 214, 221 und 389.

Zone 229. Corr. nach 2 bekannten Sternen, die $-1''.4$ und 5 in andern Zonen zwei- bis dreimal beobachteten, die $+0''.12$ gaben.

Zone 231. Es gaben 3 bekannte Sterne die Corr. $+3''.33$ und 5 in anderen Zonen jeder zweimal vorkommende aber mit geringer Uebereinstimmung $+4''.7$.

Zone 284. Die Corr. im Mittel aus 4 bekannten Sternen, die sie $+4''.07$ und 38 Sternen aus Zone 359, die sie $+4''.35$ ergaben.

Zone 299. Die 9 in dieser Zone vorkommenden bekannten Sterne zeigten einen so regelmässigen Gang der Correction, dass ich diese gemäss der Formel $+2''.985 + 0''.0373 (T - 14^h 27')$ angenommen habe.

Zone 311. 7 bekannte Sterne gaben die Corr. $+1''.54$; da ich aber gegen einige derselben, die nur bei T. sich finden, Misstrauen hegte, habe ich die angränzenden Zonen 239, 240, 247 und 251 verglichen, und die durch 39 Sterne derselben gegebene Corr. $+2''.24$ angewandt.

Zone 348. Die Corr. nach 7 Sternen, die in den Zonen 322, 335 und 351 zwei- bis dreimal vorkommen.

Zone 361. Es kommen 8 Taylor'sche Sterne in dieser Zone vor, die einen so regelmässigen Gang zeigten, dass ich, da derselbe auch durch Vergleichung der Zonen 288 und 366 bestätigt ward, die Correction nach der Formel $+4''.44 - 0''.125 (T - 9^h 58')$ berechnet habe.

Zone 395. Die Corr. im Mittel aus 3 bekannten Sternen, die sie $+8''.50$ und 6 in andern Zonen je zweimal vorkommenden Sternen, die sie $+7''.36$ ergaben.

Betrachten wir nun die Zahlen dieser Tabelle näher, so zeigt sich sogleich, dass die Correctionen bis zur 291sten Zone, also vor Aufstellung der Schränke um die Pfeiler, einmal bedeutend unregelmässiger sind, als nachher, besonders aber auch einen constanten Unterschied zwischen den Zahlen für die östliche und westliche Lage des Kreises geben, der späterhin verschwunden ist. Für jene ist im Mittel aus 53 Zonen die Corr. $+6''.44$, für die westliche Lage aus 34 Zonen $+2''.23$; der Unterschied ist der doppelte Effect der Ueberbiegung der Pfeiler durch die Wärme des Beobachters. Nach Aufstellung der Schränke hingegen ist für östliche Lage die Correction aus 46 Zonen $+3''.67$, für westliche Lage aus 67 Zonen $+4''.05$, also für beide Lagen nahe zu gleich und auch nahe übereinstimmend mit dem Mittel aus Ost und West vor Aufstellung der Schränke. Von diesen $4''$ rührt nun etwa die Hälfte von der fehlerhaft angenommenen Biegung her, die andere Hälfte von dem Einflusse des Beobachters auf den Microscopenarm. Aber auch nach Aufstellung der Schränke sind die einzelnen Correctionen noch so bedeutend verschieden, dass man sieht, wie ein jeder Versuch, dieselben durch eine constante Annahme zu beseitigen, zu sehr fehlerhaften Resultaten geführt hätte, und dass daher die verschiedene Annahme derselben für die einzelnen Zonen vollkommen gerechtfertigt wird.

4.

Reduction der scheinbaren Oerter auf die mittlern zu Anfange des Jahres 1850.

Als Epoche für die Zonen habe ich den Anfang des Jahres 1850 angenommen, welcher nahezu in der Mitte derselben liegt. Zur Erleichterung der Reduction auf dieselbe habe ich Hülftafeln für die einzelnen Zonen berechnet, und mit diesen zugleich die Reduction der unmittelbar beobachteten Quantitäten auf die scheinbaren geraden Aufsteigungen und Abweichungen verbunden. Jene geschieht einfach durch Anbringung des Uhrstandes und der Correction des Instrumentes; über diese muss ich mich ausführlicher auslassen, und benutze diese Gelegenheit, um zugleich die Disposition des Druckes zu erklären.

Die erste Columnne enthält die fortlaufende Nummer der Sterne in der Zone, die zweite die geschätzte Grösse, wobei 9.0 die 9.10te Grösse bedeutet. Die dritte und vierte Columnne geben den beobachteten Faden und die Zeit des Antrittes an denselben an; wenn mehr als ein Faden beobachtet wurde, sind die späteren in der letzten Columnne nachgetragen worden; die Minute ist nur da angesetzt worden, wo sie wirklich von der Uhr abgelesen ward. In der sechsten Columnne findet man die unmittelbare Ablesung des ersten Microscopes, und auch diese gerade so, wie sie abgelesen ward, d. h. mit Fortlassung der Zehner und Hunderter der Grade; nur bei den Zonen, in welchen die Zehner bald 0 bald 1 waren, ist die letztere Ziffer mit angegeben. Die genannten Columnnen enthalten also rein beobachtete Quantitäten, und zwar, wenn man einzelne hierher gehörige Anmerkungen in der letzten Columnne mitnimmt, Alles, was beobachtet ward. Diese Anmerkungen beziehen sich auf etwaige Eigenthümlichkeiten der Sterne, als Farbe und Duplicität, oder auf Zweifel in den Fadenantritten und Ablesungen des Microscopes, wenn sie während der Beobachtungen bemerkt wurden. Für diese Columnnen ist der Druck mit dem ersten Originale direct verglichen worden, und ich hoffe, dass nach den Verbesserungen, die am Ende des Werkes angegeben sind, sich nur sehr wenige Druckfehler vorfinden werden. Die fünfte Columnne giebt unter der Rubrik T. den Durchgang durch den Meridianfaden, geschlossen mit Hülfe der oben gegebenen Werthe für die Fadenintervalle aus den Columnnen 3 und 4, und wo es nöthig war, im Mittel aus diesen und den Angaben in der letzten Columnne. Wenn in solchen Fällen die Angaben 3 oder mehr von einander abwichen, ist es jedesmal angegeben worden. Auch in dieser Columnne 3 hoffe, nur sehr selten Fehler vorkommen, indem die Reduction auf den Mittelf 3 ans r vision

des Druckes wiederholt worden ist. Die siebente Columnne ist mit Benutzung einer für die ganze Zone constanten Zahl aus der sechsten abgeleitet, und giebt unter der Ueberschrift: S ü d l. D e c l. nahezu die von der Refraction befreiten scheinbaren Declinationen. Da diese letztere bei den geringen Höhen, in welchen beobachtet ward, sehr bedeutend war, in der tiefsten Zone zwischen 5' und 6'; so war es, um das Aufsuchen zu erleichtern und die Reduction auf den Mittelfaden schärfer ausführen zu können, nöthig, diese Befreiung von der Refraction, wenn auch nur roh, schon hier vorzunehmen, und nur die schärfere Berücksichtigung derselben mit den Hülftafeln zu vereinigen. Es bezeichnen:

K die Angabe des ersten Microscopes, wie sie in Columnne 6 steht,

F die in Columnne 6 fortgelassenen Grade, so dass bei östlicher Lage des Kreises für die Zonen -16° bis -20° $F = 60^{\circ}$, für die andern $= 70^{\circ}$ ist, bei westlicher Lage für die Zonen -16° und -18° $F = 290^{\circ}$, für die folgenden $= 280^{\circ}$ und für die letzte, nämlich -30° , $= 270^{\circ}$,

φ die Polhöhe, $\Delta\varphi$ die Correction derselben aus Tafel pag. XI und XII,

CF den Collimationsfehler ohne Berücksichtigung der Biegung, wie er in der letzten Columnne gewöhnlich unmittelbar unter der Ueberschrift der Zone angegeben ist,

B die Biegung für K+C weniger der im nördlichen oder südlichen Horizonte stattfindenden, je nachdem der Collimationsfehler durch den nördlichen (NC.) oder südlichen Collimator (SC.) bestimmt ward,

I die Correction des ersten Microscopes zum Mittel aus allen vieren, in der letzten Columnne, auf die Angabe der meteorologischen Instrumente folgend, unter der Bezeichnung: Microsc. I angesetzt,

Refr. die gemäss den Angaben des Barometers und Thermometers verbesserte Refraction. Jenes giebt Pariser Zolle, Linien und deren Hunderttheile, und das Thermometer desselben Réaumur'sche Grade; das äussere Thermometer hingegen hat Fahrenheit'sche Scale, deren sehr geringe Fehler man corrigirt, wenn man dem log. γ noch $-7 + (41.7 - \text{Thermometergrad})$ Einheiten der 5ten Stelle hinzufügt.

Mit Benutzung dieser Bezeichnungen ist die wahre von Refraction schon befreite, mit Aberration und Nutation aber noch behaftete Declination für den Zeitpunkt der Beobachtungen

$$\text{Kreis Ost } \delta = \varphi + \Delta\varphi - (K + F + I + B + CF + \text{Refr.}) = -K - (F - \varphi + S) + \Delta\varphi$$

$$\text{Kreis West } = \varphi + \Delta\varphi - \{360^{\circ} - (K + F + I + B + CF) + \text{Refr.}\} = K - (360^{\circ} - \varphi - F - S) + \Delta\varphi$$

wo $S = I + B + CF \pm \text{Refr.}$ gesetzt ist und das obere Zeichen für östliche, das untere für westliche Lage des Kreises gilt. Berechnet man aber S mit den für die Mitte der Zone, sowohl in Beziehung auf die Zeit, als auf die Declination geltenden Werthen von I, B, CF und Refr., rundet sie so ab, dass auf der Ostseite $F - \varphi + S = C$, auf der Westseite $360^{\circ} - \varphi - F - S = C'$ eine ganze Zehnzahl von Secunden werden, bezeichnet die auf diese Weise erhaltenen Werthe von S mit einem Striche oben und setzt

$$\text{Kreis Ost } (\delta) = -K - (F - \varphi + S') = -(K + C)$$

$$\text{Kreis West } (\delta) = K - (360^{\circ} - \varphi - F - S') = K - C'$$

so sind die (δ) diejenigen Quantitäten, die man unter der Benennung südliche Declination in der 7ten Columnne findet, C und C' aber in der 8ten Columnne angesetzt, und man erhält die wahren Declinationen

$$\delta = (\delta) \mp (S - S') + \Delta\varphi,$$

wo wieder das obere Zeichen für östliche Lage gilt, das untere für westliche. Die S sind nicht besonders angegeben; man erhält sie aber sehr leicht aus den C oder C', den oben angeführten Werthen von F und $\varphi = 50^{\circ} 43' 45''$ oder $360^{\circ} - \varphi = 309^{\circ} 16' 15''$. Z. B. ist für Zone 284 Kreis Ost $C = 9^{\circ} 16' 50''$ angegeben, für -20° ist $F = 60^{\circ}$, also $F - \varphi = 9^{\circ} 16' 15''$, mithin $S' = +35''$. Ebenso ist für Zone 288 Kreis West $C' = 29^{\circ} 22' 10''$ angegeben, F bei -26° ist $= 280^{\circ}$, also $360^{\circ} - \varphi - F = 29^{\circ} 16' 15''$ und mithin $S' = -5' 55''$.

Indem ich nun zu der Berechnung der Hülftafeln übergehe, muss ich zunächst bemerken, dass, da die (δ) in Columnne 7 nahezu wahre Declinationen sind, ich auch die Refraction nach den Tafeln für wahre Zenithdistanzen berechnet habe, die Bessel in den astronomischen Untersuchungen Bd. I. pag. 198 und 199 unter dem Rubrum II. gegeben hat. Die Refractionen setzen sich aber bei der gewöhnlichen so sehr bequemen Einrichtung

der Hülftafeln aus zwei Theilen zusammen, einem constanten für die Mitte der Zone, und einem variabeln. Dieser letztere konnte für meine nördlichen Zonen und für die meisten Bessel'schen unbedenklich der Veränderung der Declination proportional angenommen werden, für die südlichsten in Königsberg beobachteten Zonen hätte dies eigentlich nicht mehr geschehen sollen, und für die tiefsten der in dem gegenwärtigen Werke vorkommenden wären bei einer solchen Berechnungsart enorme Fehler vorgekommen. Aus diesem Grunde und um nicht Glieder einführen zu dürfen, die von den höheren Potenzen der Declinationsdifferenzen abhängen, habe ich den variabeln Theil wieder aus zwei Theilen zusammengesetzt. Von diesen ist der eine der Veränderung der Declination proportional und mit den Hülftafeln verbunden; er ward durch Differentiation der bekannten Refractionsformel erhalten und zwar in Beziehung nicht allein auf die Zenithdistanz, sondern auch auf die Refractionsconstante; ich nenne ihn $d\varphi$. Der andere Theil, den ich mit R bezeichne, ist die Correction, welche man dem ersten hinzufügen muss, um den wirklichen Unterschied der Refraction für ein gewisses (δ) und der für die Declination der Mitte der Zone zu erhalten. Diese R hätten, da sie offenbar auch von dem Stande der meteorologischen Instrumente abhängig sind, für eine jede Zone besonders berechnet werden sollen. Dadurch wäre aber nicht nur die Berechnung, sondern auch die Anwendung dieser Correctionen ausserordentlich erschwert worden, und ich habe sie daher für alle Zonen von gleicher Declination auch gleich angenommen, indem ich sie für den Barometerstand 336.6 Pariser Linien bei $+4^\circ$ Réaumur und den Stand des äusseren Thermometers $= 41^\circ.74$ Fahrenheit suchte. Es entspricht dies einer Correction der Logarithmen der Refraction um $+400$ Einheiten der 5ten Stelle wegen des Barometers und um $+600$ wegen des Thermometers. Der Fehler, der aus dieser Annahme entspringt, ist nur in den tiefsten Zonen merklich, er wird aber auch in diesen selten $0''.2$ bis $0''.3$ erreichen; sein Maximum hat er in Zone 221, wo er bei (δ) $= -31^\circ 16'$ nahe auf $0''.5$ geht, und könnte es in Zone 215 haben, wenn diese Zone so südliche Sterne enthielte. Aber selbst ein Fehler von $0''.5$ vergrößert den wahrscheinlichen Fehler so tiefer Sterne nur um $0''.1$.

Die folgende Tafel enthält nun die R von $10'$ zu $10'$ der Declination für die 8 verschiedenen Zonen.

Zone -16° .		Zone -18° .		Zone -20° .		Zone -22° .		Zone -24° .		Zone -26° .		Zone -28° .		Zone -30° .	
(δ)	R	(δ)	R	(δ)	R	(δ)	R	(δ)	R	(δ)	R	(δ)	R	(δ)	R
14° 20'	0.66	16° 20'	0.83	18° 20'	1.10	20° 20'	1.48	22° 20'	2.08	24° 20'	2.99	26° 20'	4.44	28° 20'	7.41
30	0.53	30	0.68	30	0.91	30	1.20	30	1.69	30	2.44	30	3.61	30	6.05
40	0.43	40	0.54	40	0.73	40	0.95	40	1.35	40	1.94	40	2.85	40	4.81
50	0.33	50	0.41	50	0.56	50	0.73	50	1.04	50	1.48	50	2.18	50	3.69
15 0	0.25	17 0	0.30	19 0	0.41	21 0	0.54	23 0	0.77	25 0	1.08	27 0	1.59	29 0	2.71
10	0.17	10	0.21	10	0.29	10	0.38	10	0.53	10	0.74	10	1.07	10	1.88
20	0.11	20	0.13	20	0.19	20	0.24	20	0.34	20	0.47	20	0.65	20	1.19
30	0.07	30	0.07	30	0.11	30	0.13	30	0.19	30	0.25	30	0.34	30	0.64
40	0.03	40	0.03	40	0.05	40	0.05	40	0.09	40	0.10	40	0.13	40	0.24
50	0.01	50	0.01	50	0.01	50	0.02	50	0.02	50	0.02	50	0.02	50	0.03
16 0	0.00	18 0	0.00	20 0	0.00	22 0	0.00	24 0	0.00	26 0	0.00	28 0	0.00	30 0	0.00
10	0.01	10	0.01	10	0.03	10	0.03	10	0.05	10	0.05	10	0.08	10	0.15
20	0.04	20	0.04	20	0.06	20	0.09	20	0.14	20	0.17	20	0.29	20	0.47
30	0.08	30	0.09	30	0.13	30	0.18	30	0.27	30	0.37	30	0.62	30	1.00
40	0.13	40	0.16	40	0.23	40	0.31	40	0.45	40	0.64	40	1.07	40	1.76
50	0.20	50	0.25	50	0.35	50	0.48	50	0.69	50	1.00	50	1.65	50	2.73
17 0	0.28	19 0	0.36	21 0	0.50	23 0	0.68	25 0	0.99	27 0	1.45	29 0	2.36	31 0	3.93
10	0.38	10	0.49	10	0.67	10	0.93	10	1.35	10	1.98	10	3.22	10	5.39
20	0.50	20	0.65	20	0.88	20	1.22	20	1.76	20	2.59	20	4.23	20	7.11
30	0.64	30	0.82	30	1.11	30	1.55	30	2.23	30	3.32	30	5.37	30	9.10
40	0.79	40	1.02	40	1.38	40	1.92	40	2.77	40	4.14	40	6.69	40	11.37

Wir bezeichnen den Uhrstand mit τ , den Uhrgang während einer Stunde mit $\Delta\tau$, die Correction des Instrumentes mit i , deren Veränderung für +100' Veränderung der Declination mit Δi : diese Quantitäten sind für jede Zone in der 8ten Columnne angegeben. Wir bezeichnen ferner die Declinationen der Mitte der Zone mit D , die Schiefe der Ecliptic mit ω , das constante Verhältniss $6000'' : 206264'' \cdot 8$ mit w , so dass $\log w = 8.46373$ ist, die Refractionsconstante für wahre Zenithdistanz (Bessel's α' am angeführten Orte) mit l , die Correction derselben wegen des Barometer- und Thermometerstandes mit l' , so dass $\log l'$ in Bessel's Zeichen $= A' (\log B + \log T) + \lambda' \log \gamma$ ist, und setzen um abzukürzen:

$$\begin{aligned} s &= \text{Tang } D : 15 & s' &= w. \text{ Sec } D^2 : 15 \\ t &= \text{Sec } D : 15 & t' &= s'. \text{ Sin } D \\ u &= \text{Cos } D. \text{ Tang } \omega & u' &= -w. \text{ Tang } \omega. \text{ Sin } D \\ v &= \text{Sin } D & v' &= w. \text{ Cos } D \\ \varphi &= l. \text{ Tang } (\varphi - D) & d\varphi &= w. l. \text{ Sec } (\varphi - D)^2 + dl. \text{ Tang } (\varphi - D) \end{aligned}$$

Wir entlehnen ferner aus Bessel's Tabulis Regiomontanis pag. XXXV. die Bedeutung der Buchstaben C, g, G, h, H, m, A , setzen A' für 1849 = $A-1$, für 1850 = A , für 1851 = $A+1$ und für 1852 = $A+2$, $A'm : 15$ aber = r , und theilen die Biegung in einen constanten Theil b für die Mitte der Zone, und ihre Veränderung für +100' der Declinationsänderung db ; so wurden die Reductionstabeln nach folgenden Formeln unmittelbar von halber zu halber Stunde berechnet:

$$\begin{aligned} k &= \tau + i - r - g. s. \text{ Sin } (G + \alpha) - h. t. \text{ Sin } (H + \alpha) \\ k' &= \Delta i - g. s'. \text{ Sin } (G + \alpha) - h. t'. \text{ Sin } (H + \alpha) \\ d &= -l'. \varphi + (l + b + CF - S') + \Delta\varphi - C. u - g. \text{ Cos } (G + \alpha) - h. v. \text{ Cos } (H + \alpha) \\ d' &= +l' d\varphi + db - C. u' - h. v'. \text{ Cos } (H + \alpha) \end{aligned}$$

Die Werthe von l und CF wurden dabei der Zeit proportional für die einzelnen Argumente interpolirt, dasselbe geschah mit den Barometerständen und mit den Angaben des äusseren Thermometers, wenn dies nur zu Anfang und Ende der Zone abgelesen war. Sobald aber mehr Ablesungen desselben sich vorfanden, sei es direct oder durch das Maximum- und Minimumthermometer, so wurde auf graphischem Wege eine Curve für den Gang der Temperatur ermittelt, und daraus die Stände für die Rechnungszeiten entnommen.

Aus diesen unmittelbar berechneten Werthen der obigen Quantitäten sind die in der letzten Columnne für die T als Argumente von 10 zu 10 Minuten angegebenen interpolirt. Sie geben den mittlern Ort für den Anfang des Jahres 1850 durch die Formeln:

$$\begin{aligned} \alpha' &= T + k + \frac{(\delta) - D}{100} k' \\ \delta' &= (\delta) + d + \frac{(\delta) - D}{100} d' + R \end{aligned}$$

In die Berechnung dieser Hülftabeln haben sich die Herren Henzi, Thormann, Schönfeld und ich getheilt. Vielfache Anwendungen derselben haben zwar hin und wieder Gelegenheit zu Verbesserungen gegeben, die zum Theil noch am Ende des Werkes in dem Fehlerverzeichnisse angezeigt sind, haben aber zugleich auch die Sicherheit gewährt, dass diese Hülftabeln jetzt wenigstens von erheblichen Fehlern frei sind. Um indessen bei vorkommenden Gelegenheiten das Nachrechnen zu erleichtern, gebe ich in der folgenden Tafel die gebrauchten Constanten oder ihre Logarithmen für die 8 Zonen, wobei es wohl kaum nöthig ist zu bemerken, dass A' hier den Exponenten der Barometercorrection in der Refraction für wahre Zenithdistanzen bedeutet.

D	—16°	—18°	—20°	—22°	—24°	—26°	—28°	—30°
log s	8.28141n	8.33569n	8.38498n	8.43032n	8.47249n	8.51209n	8.54958n	8.58535n
log t	8.84107	8.84570	8.85092	8.85674	8.86318	8.87025	8.87798	8.88638
log u	9.62028	9.61565	9.61043	9.60461	9.59817	9.59110	9.58337	9.57497
log v	9.44034n	9.48998n	9.53405n	9.57358n	9.60931n	9.64184n	9.67161n	9.69897n
log ρ	2.12448	2.16700	2.21270	2.26235	2.31693	2.37786	2.44695	2.52697
A'	1	1	1	1	1	0.9976	0.9967	0.9952
λ'	1.0062	1.0077	1.0096	1.0119	1.0151	1.0189	1.0269	1.0366
log s'	7.32196	7.33122	7.34166	7.35130	7.36618	7.38032	7.39578	7.41258
log t'	6.76230n	6.82120n	6.87571n	6.92488n	6.97549n	7.02216n	7.06739n	7.11155n
log u'	7.54151	7.59115	7.63522	7.67475	7.71048	7.74301	7.77278	7.80014
log v'	8.44657	8.44194	8.43672	8.43090	8.42446	8.41739	8.40966	8.40126
log dρ	1.0 164	1.09358	1.17282	1.26078	1.35950	1.47143	1.59843	1.74885
Kreis Ost b	— 10".20	— 10".18	— 10".15	— 10".12	— 10".08	— 10".03	— 9".98	— 9".92
db	+ 0.01	+ 0.02	+ 0.02	+ 0.03	+ 0.04	+ 0.04	+ 0.04	+ 0.05
Kreis West b	+ 8.14	+ 8.28	+ 8.43	+ 8.57	+ 8.70	+ 8.82	+ 8.95	+ 9.08
db	— 0.12	— 0.12	— 0.12	— 0.12	— 0.11	— 0.11	— 0.11	— 0.10

Um die Anwendung dieser Hülftafeln und dadurch die Reduction auf den mittlern Ort 1850 noch mehr zu erleichtern, habe ich noch andere Hülftafeln berechnet und in einem besonderen Hefte in 12:mo diesem Werke beigegeben. Sie enthalten für jedes in den Zonen vorkommende d' und für (δ)—D von +80' bis —80' von Minute zu Minute unmittelbar die Quantität

$$\frac{(\delta)-D}{100} \cdot d' + R$$

und zwar in der ersten der beiden unter einem d' als Rubrum stehenden Columnen für ein positives, in der zweiten für ein negatives (δ)—D, so dass man die Zahlen dieser Tafel einfach zu (δ)+d hinzuzuaddiren hat, um die mittlere Declination für den Anfang des Jahres 1850 zu erhalten. Das Vorwort der erwähnten Hülftafeln giebt darüber näheren Aufschluss und zugleich Beispiele der Berechnung.

5.

Reduction einiger öfter beobachteten Sternörter auf die mittleren zu Anfange des Jahres 1850.

Bei den häufigen Wiederholungen einzelner Zonen, sowie den bedeutenden Räumen, die den angränzenden gemeinschaftlich sind, kommen in denselben eine grosse Zahl von Sternen doppelt oder mehrfach beobachtet vor. Diese gaben ein vortreffliches Mittel, nicht nur die Richtigkeit der Reductionselemente zu prüfen, sondern auch ein Urtheil über die Sicherheit der Beobachtungen zu bilden, indem man die in verschiedenen Zonen gewonnenen Resultate für dieselben Sterne mit einander vergleicht. Zu diesem Zwecke habe ich 378 Sterne berechnet, und um jede Willkür zu verbannen, die Auswahl derselben nach gewissen Categorien gemacht: ich habe nämlich alle Sterne berechnet, die wenigstens 4mal beobachtet sind, ferner alle in den Catalogen von Lacaille und Lalande vorkommenden, so wie alle um —15° und —29° gelegenen, wenn sie 3mal, und alle südlicher als —30° 30', wenn sie auch nur doppelt beobachtet sind; ausserdem habe ich für —21°, da in dieser Declination sich nur 28 solche Sterne vorfanden, noch alle in den Zonen 386, 382, 305 und 213 gemeinschaftlich 3mal vorkommenden Sterne berechnet. Von diesen Categorien ist keine Beobachtung ausgeschlossen, wenn nicht schon während derselben Zweifel gegen ihre Richtigkeit angemerkt wurden. Ich gebe nun in den ersten Columnen der folgenden Tafel alle einzelnen Beobachtungen, in den drei letzten die Mittel aus den einzelnen,

und zwar in 9 Classen von -15° , -17° u. s. w. bis -31° Declination, und in diesen Classen nach der gegen den Aufsteigung geordnet. Ein Sternchen in der 4ten Columnne zeigt an, dass die Grösse wegen Wolken zweifelhaft ist.

	Zone.	Nº.	Gr.	AR. 1850.	Declin. 1850.	Gr.	AR. 1850.	Declin. 1850.
- 15°.								
—	258	6	8	1 35 42.40	-15 14 56.4	7.8	1 35 42.28	-15 14 58.4
	261	104	7	42.17	58.6			
	339	5	7.8	42.28	60.3			
—	258	7	9.0	1 36 18.50	-15 5 19.1	9	1 36 18.41	-15 5 21.2
	261	105	9	18.37	21.8			
	339	6	8.9	18.37	22.7			
—	345	174	8.9	7 32 46.45	-15 41 12.0	8.9	7 32 46.42	-15 41 11.6
	342	163	8	46.37	11.4			
	340	19	8.9	46.45	11.4			
—	345	183	9	7 37 2.19	-15 54 26.1	9	7 37 2.28	-15 54 26.0
	342	172	9	2.37	25.3			
	340	27	9	2.27	26.5			
—	345	182	7.8	7 37 6.61	-15 49 25.2	7.8	7 37 6.78	-15 49 24.1
	342	173	7	6.73	23.9			
	340	26	8	6.99	23.1			
—	345	186	7.8	7 38 3.64	-15 45 52.7	8	7 38 3.58	-15 45 50.6
	342	174	8	3.44	48.4			
	340	29	8	3.65	50.7			
—	345	222	8	8 0 1.88	-15 22 50.5	8.9	8 0 1.95	-15 22 48.9
	342	213	8	1.88	47.6			
	277	4	9	2.10	48.6			
—	340	90	7.8	8 8 25.42	-15 58 27.3	8	8 8 25.33	-15 58 27.3
	342	231	7.8	25.13	26.0			
	277	11	9	25.45	28.7			
LL. 16242	277	12	8.9	8 9 36.33	-15 51 38.7	7.8	8 9 36.25	-15 51 37.6
	340	92	7.8	36.30	38.2			
	342	233	7	36.13	35.9			
—	376	194	7	13 28 59.61	-15 40 44.7	7.8	13 28 59.54	-15 40 44.7
	296	4	8	59.42	45.3			
	298	4	8	59.58	44.1			
LL. 25213	296	7	7	13 31 54.05	-15 41 0.4	6.7	13 31 54.08	-15 41 0.0
	298	6	7	54.08	40 59.7			
	376	198	5.6	54.11	40 59.9			
—	206	8	9	13 37 6.76	-15 10 2.8	9	13 37 6.86	-15 10 5.7
	299	6	8.9	6.69	6.0			
	296	13	9	7.12	8.3			
—	206	9	6	13 37 30.65	-15 0 39.6	7	13 37 30.82	-15 0 42.2
	296	12	7	30.90	43.0			
	298	16	7	30.90	43.0			
	299	7	7	30.81	43.2			
LL. 25407	206	11	7.8	13 39 53.13	-15 18 46.4	8	13 39 52.99	-15 18 49.3
	296	16	8.9	52.88	50.7			
	299	11	8.9	52.96	50.7			
—	205	1	8	14 41 48.84	-15 46 49.3	8	14 41 48.90	-15 46 49.9
	206	70	7.8	48.75	50.1			
	299	82	8	49.12	50.3			

	Zone.	No.	Gr.	AR. 1850.	Declin. 1850.	Gr.	AR. 1850.	Declin. 1850.
α^2 Librae	205	2	4	^u 14 42' 35.03	— 15° 24' 52.3	3.4	^u 14 42' 35.09	— 15° 24' 52.1
	206	72	3	35.06	52.2			
	299	84	3	35.17	51.9			
—	205	4	9	14 45 21.10	— 15 53 41.2	8.9	14 45 21.05	— 15 53 39.7
	206	74	8.9	21.01	38.9			
	299	87	8	21.03	39.0			
LL. 27109	205	5	8.9	14 46 10.50	— 15 46 35.6	8.9	14 46 10.37	— 15 46 37.7
	206	75	8.9	10.34	41.1			
	299	88	8	10.28	36.3			
LL. 27121	205	6	8.9	14 46 25.42	— 15 54 59.2	8	14 46 25.36	— 15 54 59.2
	206	76	8.9	25.29	59.9			
	299	89	7.8	25.36	58.4			
LL. 27189	205	8	8.9	14 48 46.12	— 15 54 22.2	8	14 48 46.18	— 15 54 22.7
	206	80	8	46.31	23.1			
	299	91	7.8	46.12	22.9			
LL. 27402	205	13	8	14 55 54.44	— 14 54 17.2	7.8	14 55 54.50	— 14 54 18.8
	206	89	7	54.58	20.9			
	299	105	8	54.47	18.2			
LL. 27476	205	14	7.8	14 58 26.91	— 15 53 59.0	7	14 58 27.00	— 15 53 58.1
	297	1	7	27.07	57.2			
	299	108	6	27.02	58.1			
—	205	17	9	15 2 0.92	— 15 39 20.5	9	15 2 0.84	— 15 39 22.2
	206	96	9	0.93	22.0			
	299	112	9	0.68	24.2			
LL. 27640	205	18	7	15 3 27.40	— 15 35 14.5	6.7	15 3 27.50	— 15 35 13.6
	206	99	6	27.49	14.7			
	299	114	6.7	27.60	11.7			
—	216	127	7.8	17 57 59.25	— 14 58 46.7	8	17 57 59.20	— 14 58 46.8
	225	1	8.9	59.07	48.0			
	229	3	8	59.15	48.4			
	390	116	7.8	59.32	44.3			
—	230	11	8	18 2 24.02	— 14 45 14.6	8	18 2 24.12	— 14 45 13.5
	309	6	7.8	24.11	13.3			
	390	124	8	24.23	12.5			
LL. 33443	225	9	8.9	18 4 58.47	— 15 37 49.8	7.8	18 4 58.45	— 15 37 50.9
	229	13	8	58.42	51.5			
	230	17	7.8	58.28	50.9			
	309	12	6.7	58.61	51.3			
LL. 33508	225	11	8.9	18 7 2.57	— 15 56 3.4	8	18 7 2.60	— 15 56 5.7
	229	16	8.9	2.54	7.3			
	230	22	8	2.56	6.6			
	309	18	7	2.72	5.4			
—	230	23	9.0	18 7 12.46	— 15 56 30.0	9.0	18 7 12.72	— 15 56 29.7
	309	19	9	12.61	27.7			
	229	17	9.0	13.09	31.4			
LL. 33708	225	16	6	18 11 30.67	— 15 53 16.1	5.6	18 11 30.60	— 15 53 15.5
	229	24	6	30.55	16.3			
	309	28	5	30.59	14.2			
LL. 34023	225	27	8	18 18 54.81	— 15 27 31.3	7	18 18 54.84	— 15 27 31.5
	230	45	7	54.97	31.5			
	309	41	6.7	54.73	31.8			
—	230	65	8.9	18 29 7.70	— 15 32 55.1	8.9	18 29 7.66	— 15 32 54.7
	309	60	8	7.58	54.8			
	225	42	9.0	7.71	54.2			

	Zone.	No.	Gr.	AR. 1850.	Declin. 1850.	Gr.	AR. 1850.	Declin. 1850.
LL. 35251	225	60	8.9	^u 18 48 13.13	— 15° 2' 51.6	7.8	^u 18 48 12.95	— 15° 2' 51.1
	230	98	7	12.87	50.7			
	309	94	7	12.85	51.1			

— 17°.

LL. 4466	258	51	7	2 17 3.31	— 16 56 13.3	7	2 17 3.23	— 16 56 14.3
	318	21	6.7	3.19	14.6			
	339	74	7	3.20	15.0			
LL. 5355	258	76	8	2 45 47.03	— 17 14 9.0	8	2 45 46.97	— 17 14 11.2
	318	55	8	46.99	12.2			
	339	118	8	46.89	12.3			
LL. 9420	329	122	5.6	4 52 18.69	— 16 36 48.1	6	4 52 18.71	— 16 36 46.5
	347	66	6.7	18.97	45.0			
	355	106	6	18.47	46.5			
LL. 11665	276	87	6.7	5 59 56.87	— 16 30 15.9	7	5 59 57.00	— 16 30 17.1
	285	6	8	57.11	17.6			
	355	229	6.7	57.02	17.9			
LL. 11954	285	17	9	6 8 7.05	— 16 22 49.6	8.9	6 8 7.11	— 16 22 49.4
	342	9	8	7.12	48.9			
	345	12	8.9	7.16	49.7			
LL. 16060	273	4	8.9	8 4 17.80	— 17 54 34.7	8	8 4 17.57	— 17 54 36.5
	278	164	8	17.45	36.6			
	397	112	7.8	17.47	38.3			
LL. 16439	273	23	7	8 15 5.98	— 17 6 34.0	6.7	8 15 6.17	— 17 6 37.1
	277	20	7	6.30	39.2			
	340	105	6	6.24	38.1			
LL. 17961	273	95	8	8 58 21.62	— 16 44 38.7	8	8 58 21.77	— 16 44 38.2
	340	188	8	21.97	35.5			
	402	107	7.8	21.73	40.4			
LL. 19035	273	146	8.9	9 33 35.26	— 17 48 20.5	8	9 33 35.25	— 17 48 20.3
	279	9	8	35.31	19.7			
	402	167	7.8	35.19	20.7			
LL. 19064	273	148	7.8	9 34 28.21	— 17 48 19.6	7.8	9 34 28.20	— 17 48 17.6
	279	11	8	28.41	16.2			
	402	169	7	27.99	17.0			
LL. 25274	206	4	8.9	13 34 28.45	— 16 30 42.8	9	13 34 28.34	— 16 30 43.8
	298	11	9	28.25	42.4			
	299	2	9	28.32	46.2			
LL. 25291	296	9	9	13 35 11.90	— 17 15 15.1	8.9	13 35 11.94	— 17 15 12.7
	298	12	8.9	11.93	13.3			
	299	3	8.9	11.81	13.2			
	381	83	8	12.12	9.1			
LL. 25323	296	10	8.9	13 36 23.67	— 17 10 51.6	7.8	13 36 23.72	— 17 10 50.4
	298	13	7	23.71	49.7			
	299	4	7	23.75	49.9			
	381	85	7	23.76	50.3			
LL. 25382	296	14	9	13 38 53.84	— 17 4 16.3	8.9	13 38 53.81	— 17 4 14.4
	299	9	9	53.77	15.5			
	381	89	8	53.83	11.5			
LL. 25391	296	15	6	13 39 16.14	— 17 6 25.0	6	13 39 16.32	— 17 6 23.7
	298	18	6	16.34	24.1			
	299	10	6	16.17	23.5			
	381	90	6	16.62	22.3			

	Zone.	No.	Gr.	AR. 1850.	Declin. 1850.	Gr.	AR. 1850.	Declin. 1850.
LL. 26199	206	40	7.8	^u 14 12' 12.36	— 16° 50' 10.8	7.8	^u 14 12' 12.47	— 16° 50' 10.6
	299	45	7	12.47	11.2			
	381	143	7.8	12.58	9.9			
LL. 26214	206	41	8	14 12 38.25	— 16 47 18.3	8	14 12 38.39	— 14 47 17.1
	299	46	7.8	38.36	16.4			
	381	144	8	38.57	16.7			
LL. 26654	207	17	8.9	14 30 9.13	— 17 13 19.9	8.9	14 30 9.18	— 17 13 17.6
	299	66	8.9	9.12	17.0			
	381	173	8.9	9.29	16.0			
LL. 26684	207	18	8.9	14 31 2.98	— 17 14 11.3	8.9	14 31 2.97	— 17 14 7.6
	299	67	8	2.76	7.1			
	303	1	8.9	3.00	4.3			
	381	174	8.9	3.13	7.6			
—	206	60	9	14 31 39.85	— 16 48 2.8	8.9	14 31 39.90	— 16 48 1.7
	299	69	8.9	39.81	2.3			
	303	2	8.9	40.03	0.1			
	381	177	8.9	40 —	1.5			
LL. 27363	205	11	7.8	14 54 41.10	— 17 2 16.5	7	14 54 41.12	— 17 2 14.8
	207	48	7	41.18	14.7			
	299	101	7	41.07	13.2			
—	205	16	9	14 59 50.21	— 16 30 37.9	8.9	14 59 50.21	— 16 30 37.9
	206	94	7.8	50.20	37.7			
	297	4	9	50.27	38.8			
	299	109	8	50.16	37.1			
LL. 29052	207	122	8	15 50 44.47	— 16 51 14.6	8.9	15 50 44.55	— 16 51 14.0
	297	61	8.9	44.47	13.8			
	303	96	8.9	44.72	13.7			
LL. 29310	207	131	8	15 58 43.21	— 17 57 27.8	8	15 58 43.13	— 17 57 27.4
	300	7	8	43.03	27.4			
	303	106	8	43.16	27.0			
LL. 29338	207	132	6.7	15 59 28.91	— 17 49 53.3	7	15 59 28.87	— 17 49 54.2
	300	8	7	28.74	54.7			
	303	107	7	28.97	54.5			
LL. 29779	205	83	9	16 14 15.71	— 16 47 38.0	8.9	16 14 15.72	— 16 47 38.2
	297	85	8.9	15.76	36.9			
	300	29	8.9	15.70	39.7			
LL. 30264	205	93	9	16 31 12.27	— 16 18 39.4	8	16 31 12.45	— 16 18 36.8
	216	1	8	12.58	31.8			
	297	95	7	12.49	38.3			
	390	2	8	12.46	37.6			
LL. 30343	216	4	9	16 33 40.87	— 16 43 48.3	8.9	16 33 40.79	— 16 43 51.8
	300	45	8.9	40.78	53.9			
	390	6	8.9	40.73	53.2			
LL. 33089	216	125	8	17 55 55.21	— 17 1 57.3	8	17 55 55.22	— 17 1 57.2
	229	1	8.9	55.09	58.2			
	390	113	8	55.36	56.1			
LL. 33825	225	20	8.9	18 14 28.43	— 16 39 41.6	8.9	18 14 28.34	— 16 39 41.4
	229	27	9	28.32	40.2			
	309	33	7.8	28.26	42.3			
LL. 34172	225	33	9	18 22 18.60	— 16 40 7.6	8.9	18 22 18.5	— 16 40 11.3
	230	52	8.9	18.41	12.5			
	391	168	8.9	18.48	13.7			

	Zone.	No.	Gr.	AR. 1850.	Declin. 1850.	Gr.	AR. 1850.	Declin. 1850.
LL. 34339	225	38	8.9	18 26 26.08	-17 5 48.6	8	18 26 26.03	-17 5 49.6
	218	85	8.9	25.93	51.5			
	230	59	7	25.99	48.7			
	391	176	7	26.13	49.7			
LL. 34677	218	93	8	18 35 9.95	-17 5 0.5	8	18 35 10.12	-17 5 0.9
	225	47	8.9	10.28	1.1			
	391	193	7	10 —	1.1			
—	225	48	8	18 39 18.57	-16 56 2.7	7	18 39 18.55	-16 56 2.8
	230	82	6.7	18.42	2.2			
	309	76	6.7	18.66	3.4			
	391	199	6.7	18.55	2.8			
LL. 35592	218	126	9	18 56 10.16	-17 4 36.9	8	18 56 10.26	-17 4 38.7
	230	110	8	10.26	40.2			
	309	105	7	10.36	38.9			
LL. 35609	218	127	8.9	18 56 34.47	-17 5 8.4	8	18 56 34.71	-17 5 8.7
	230	111	8	34.80	9.9			
	309	106	7	34.86	7.8			
—	226	28	8	19 18 8.10	-17 4 37.5	8	19 18 8.21	-17 4 36.9
	230	145	7.8	8.24	37.0			
	252	28	8	8.24	37.0			
	309	138	7.8	8.27	35.9			
LL. 37295	226	46	9	19 31 40.38	-17 13 2.7	9	19 31 40.28	-17 13 2.6
	230	165	8.9	40.30	3.5			
	252	49	9	40.17	1.6			
LL. 37447	226	51	8	19 35 52.26	-17 45 11.8	8	19 35 52.20	-17 45 10.2
	244	13	8.9	52.25	7.7			
	252	53	8	52.10	11.1			
LL. 38314	244	43	8	19 56 49.42	-16 47 38.3	7.8	19 56 49.47	-16 47 36.3
	249	30	7.8	49.48	35.2			
	252	86	7	49.50	35.4			
LL. 44220	253	7	8.9	22 30 26.97	-17 15 1.7	8.9	22 30 26.80	-17 14 59.8
	256	120	8.9	26.91	14 57.7			
	264	9	9	26.53	14 59.9			
LL. 45492	250	48	8	23 6 58.99	-17 3 14.4	8	23 6 59.02	-17 3 14.3
	253	56	8	58.61	16.0			
	267	2	7.8	59.30	15.0			
	268	13	7.8	59.16	11.7			

- 19°.

LL. 11700	272	131	5	6 1 10.32	-19 9 4.3	5.6	6 1 10.24	-19 9 6.0
	284	4	6	10.13	10.0			
	359	54	5	10.27	3.6			
LL. 14227	278	72	8	7 10 56.09	-18 31 38.3	7.8	7 10 56.16	-18 31 39.2
	395	63	8	56.25	41.5			
	397	12	7	56.15	37.8			
LL. 14698	284	157	7	7 23 26.61	-19 13 3.0	7	7 23 26.72	-19 13 3.2
	359	218	7	26.84	4.1			
	397	36	6.7	26.70	2.6			
LL. 14709	284	158	7	7 24 54.45	-19 11 51.4	7.8	7 24 54.46	-19 11 51.6
	359	219	7.8	54.56	51.8			
	397	37	7.8	54.37	51.5			
LL. 14945	284	170	8	7 32 23.32	-19 55 52.2	8	7 32 23.28	-19 55 53.2
	354	1	8	23.14	52.9			
	398	3	7.8	23.39	54.6			

	Zone.	No.	Gr.	AR. 1850.	Declin. 1850.	Gr.	AR. 1850.	Declin. 1850.
LL. 15977	278	159	4	^u 8 2 19.73	— 18 48 33.4	4.5	^u 8 2 19.75	— 18 48 32.4
	397	109	4		19.75 31.9			
	402	4	5		19.76 32.0			
—	273	82	8	8 49 54.95	— 18 54 10.6	8	8 49 54.76	— 18 54 10.5
	354	164	8		54.67 11.8			
	398	141	8.9		54.88 9.8			
	402	94	8		54.56 9.8			
LL. 18189	273	106	6	9 5 6.71	— 19 8 14.5	6	9 5 6.51	— 19 8 13.8
	354	192	6		6.48 12.5			
	398	158	7		6.25 15.1			
	402	118	6		6.60 13.1			
—	273	130	8.9	9 21 36.70	— 18 55 35.8	8	9 21 36.60	— 18 55 35.9
	354	222	8		36.63 35.6			
	398	188	8.9		36.41 37.1			
	402	146	8		36.66 35.1			
LL. 18882	273	140	8.9	9 28 23.96	— 18 53 27.9	8.9	9 28 24.16	— 18 53 27.1
	279	2	9		24.19 26.4			
	402	58	8.9		24.32 27.1			
LL. 18884	273	139	6.7	9 28 35.19	— 18 54 52.7	7	9 28 35.26	— 18 54 51.8
	279	3	7		35.28 50.8			
	402	159	7		35.30 51.8			
LL. 26730	207	21	8	14 33 25.65	— 18 1 27.6	8	14 33 25.66	— 18 1 25.6
	303	3	8		25.66 24.3			
	381	178	8		25.66 25.0			
LL. 27231	207	39	8	14 50 5.66	— 19 7 17.4	8	14 50 5.74	— 19 7 15.3
	208	24	8		5.78 13.6			
	385	23	8		5.78 14.8			
LL. 27263	207	42	9	14 50 52.89	— 18 48 18.7	8.9	14 50 52.86	— 18 48 15.1
	208	26	8.9		52.74 14.9			
	303	22	9		53.07 12.1			
	385	25	8		52.72 14.8			
LL. 27272	207	41	8	14 51 14.69	— 18 42 9.0	8	14 51 14.72	— 18 42 7.8
	208	27	8		14.67 7.3			
	303	23	8.9		14.77 6.6			
	385	26	8		14.74 8.2			
LL. 28923	207	115	5	15 46 20.75	— 18 56 6.6	6	15 46 20.66	— 18 56 5.3
	303	92	6		20.67 7.1			
	385	111	6.7		20.56 2.3			
LL. 29244	207	129	8	15 57 2.32	— 19 15 59.6	8	15 57 2.36	— 19 16 0.6
	208	113	8		2.35 16 0.0			
	211	2	8.9		2.37 16 3.7			
	385	124	8		2.39 15 59.1			
—	207	130	9	15 57 31.52	— 18 57 48.9	8.9	15 57 31.52	— 18 57 48.5
	208	115	8.9		31.38 47.2			
	300	5	8.9		31.39 49.8			
	303	105	9		31.80 47.9			
LL. 29466	211	9	8	16 3 15.90	— 19 3 18.8	7.8	16 3 15.92	— 19 3 18.4
	300	13	7		15.80 18.3			
	303	112	7.8		15.98 17.0			
	305	6	7.8		16.00 19.6			
LL. 29468	211	10	6	16 3 16.95	— 19 3 56.8	5	16 3 16.96	— 19 3 57.3
	300	14	5		16.85 58.0			
	303	113	4		17.08 56.1			
	305	7	6		16.98 58.3			

	Zone.	No.	Gr.	AR. 1850.	Declin. 1850.	Gr.	AR. 1850.	Declin. 1850.
LL. 29480	211	11	8.9	^u 16 3 38.75	— 19 11 6.0	8	^u 16 3 38.73	— 19 11 7.2
	300	15	8	38.59	8.0			
	303	114	8	38.87	7.5			
	305	8	8	38.71	7.5			
LL. 29488	211	12	8	16 4 0.88	— 19 6 35.5	8	16 4 1.08	— 19 6 37.0
	300	16	8	1.19	37.1			
	303	115	8	1.07	37.4			
	305	9	8	1.18	37.9			
LL. 30641	211	48	9	16 43 34.02	— 19 5 41.3	8.9	16 43 33.98	— 19 5 44.0
	300	57	8.9	33.87	44.8			
	305	54	8	34.05	46.0			
LL. 30773	211	53	8	16 48 15.36	— 19 17 45.7	7.8	16 48 15.40	— 19 17 46.6
	300	61	6.7	15.39	47.5			
	305	61	8.9	15.45	46.5			
LL. 30898	211	57	9	16 52 38.05	— 18 42 30.4	8.9	16 52 38.09	— 18 42 29.6
	300	68	8	38.05	29.7			
	391	3	8.9	38.16	28.8			
LL. 30914	211	58	7	16 53 4.84	— 18 39 34.4	6.7	16 53 4.93	— 18 39 32.4
	300	69	5	4.77	31.9			
	391	4	7	5.17	30.8			
LL. 32963	218	27	8	17 53 1.93	— 19 5 48.2	7.8	17 53 1.99	— 19 5 47.3
	219	24	7.8	2.06	45.2			
	391	103	7	1.99	48.6			
LL. 33274	218	39	8	18 0 55.19	— 18 51 48.3	7.8	18 0 55.17	— 18 51 48.3
	219	34	8	55.08	47.3			
	391	114	7	55.25	49.4			
—	218	50	9	18 6 10.25	— 18 58 55.9	8.9	18 6 10.41	— 18 58 54.2
	219	42	8	10.58	56.2			
	227	21	8.9	10.32	52.2			
LL. 33525	391	129	8	10.50	52.4	7.8	18 6 26.89	— 19 1 55.8
	219	43	7.8	18 6 27.07	— 19 1 54.5			
	227	22	8	26.75	56.9			
—	218	51	8	26.75	56.9	8	18 6 38.26	— 18 57 52.7
	391	130	7	27.00	55.0			
	219	44	8	38.16	— 18 57 55.5			
—	227	23	8.9	38.28	51.4	8.9	18 6 55.39	— 18 59 39.2
	391	131	7.8	38.29	50.9			
	218	53	9	38.30	53.1			
—	219	45	9	18 6 55.16	— 18 59 40.6	8	18 7 48.45	— 18 51 1.0
	227	24	9	55.61	39.1			
	391	132	8	55.48	40.1			
LL. 33564	218	55	8	55.31	37.2	7.8	18 8 8.76	— 19 0 49.4
	219	47	8	18 7 48.53	— 18 51 2.0			
	227	25	8.9	48.49	2.7			
LL. 33598	391	134	8	48.34	50 59.7	7	18 9 1.96	— 18 50 50.4
	218	56	7	48.43	59.8			
	219	48	7.8	18 8 8.75	— 19 0 49.1			
	227	26	7.8	8.87	51.7			
	391	135	7.8	8.71	48.0			
	218	58	7.8	8.70	48.7			
	219	49	7	18 9 1.98	— 18 50 50.9			
	227	27	7	1.99	52.5			
	391	136	6.7	1.81	49.7			
				2.05	48.3			

	Zone.	No.	Gr.	AR. 1850.	Declin. 1850.	Gr.	AR. 1850.	Declin. 1850.
LL. 33604	218	59	8	18° 9' 9.69"	-18° 45' 4.4"	7.8	18° 9' 9.68"	-18° 45' 5.1"
	219	50	8	9.71	5.1			
	391	137	7	9.64	5.7			
LL. 33706	219	54	8	18 11 35.63	-19 54 0.5	8.9	18 11 35.63	-19 54 1.8
	227	32	9	35.73	2.4			
	310	31	8	35.54	2.6			
LL. 35076	218	109	7.8	18 44 18.90	-18 48 39.4	7	18 44 19.10	-18 48 40.6
	227	83	7	18.97	42.0			
	391	212	7	19.44	40.5			
LL. 35086	218	110	8.9	18 44 32 —	-18 57 46.0	8.9	18 44 32.66	-18 57 44.4
	227	84	9	32.61	41.2			
	391	213	8	32.71	43.0			
—	253	5	8.9	22 28 26.59	-18 54 50.5	8.9	22 28 26.52	-18 54 49.9
	255	117	8.9	26.45	49.5			
	256	118	8.9	26.47	47.2			
	262	6	8.9	26.61	52.4			
	264	7	9	26.48	49.7			
LL. 44152	253	4	8	22 28 30.79	-19 2 45.1	8	22 28 30.75	-19 2 43.6
	255	118	7.8	30.62	41.2			
	262	5	7.8	30.86	45.5			
	264	8	8	30.73	42.6			
LL. 44241	253	8	9	22 31 2.33	-18 34 35.0	9	22 31 2.21	-18 34 32.1
	256	121	8.9	2.13	29.8			
	264	10	9	2.17	31.6			
LL. 45647	253	60	6	23 11 30.24	-18 53 42.4	6	23 11 30.27	-18 53 42.5
	267	7	6	30.32	42.4			
	268	18	6	30.26	42.6			

-21°.

LL. 12609	330	9	7	6 26 7.74	-20 54 54.8	7	6 26 7.85	-20 54 54.7
	344	49	7	7.86	54.7			
	359	102	7	7.88	54.7			
	364	48	7.8	7.93	54.7			
LL. 12632	330	10	6.7	6 27 1.81	-20 48 49.3	6.7	6 27 1.74	-20 48 46.0
	344	51	7	1.63	44.4			
	359	103	6.7	1.79	44.3			
LL. 12889	330	25	7	6 34 1.40	-21 15 17.2	7.8	6 34 1.36	-21 15 17.6
	344	61	8	1.16	18.0			
	364	65	7	1.53	17.7			
LL. 15995	354	67	7	8 2 42.06	-21 8 13.2	7	8 2 42.16	-21 8 13.2
	358	6	7	42.22	11.5			
	399	62	7	42.20	14.8			
LL. 16198	354	80	7.8	8 8 25.72	-21 13 13.7	8	8 8 25.45	-21 13 13.4
	358	18	8	25.40	12.8			
	398	73	8	25.24	13.7			
LL. 16199	354	79	8.9	8 8 29.34	-20 53 16.2	8.9	8 8 29.57	-20 53 15.9
	398	72	8	29.74	17.3			
	399	75	8.9	29.62	14.3			
LL. 16279	354	81	6.7	8 10 17.88	-20 51 39.9	6.7	8 10 17.91	-20 51 39.1
	358	22	6.7	18.09	37.6			
	398	75	7	17.76	39.7			
LL. 16628	358	43	8	8 19 54.77	-21 4 27.5	8	8 19 54.77	-21 4 27.1
	398	95	8	54.84	28.8			
	399	95	8	54.69	24.9			

	Zone.	Nº.	Gr.	AR. 1850.	Declin. 1850.	Gr.	AR. 1850.	Declin. 1850.
LL. 17834	354	173	6.7	8 53 52.17	-20 38 1.4	7	8 53 52.30	-20 37 59.5
	398	145	7.8	52.33	37 58.3			
	399	146	7	52.39	37 58.9			
LL. 18934	283	2	8	9 30 12.10	-20 43 47.9	8	9 30 11.97	-20 43 46.5
	354	240	8	11.78	44.8			
	398	197	8	12.03	46.8			
LL. 29347	208	119	7.8	15 59 48.48	-20 21 8.5	8	15 59 48.62	-20 21 8.9
	305	1	8.9	48.77	9.9			
	385	131	8.9	48.62	8.3			
LL. 29375	208	120	8	16 0 49.03	-20 12 47.2	8	16 0 48.80	-20 12 47.4
	211	6	8.9	48.86	48.0			
	305	3	8.9	48.67	48.4			
—	385	132	8	48.66	46.0			
	386	2	7.8	16 5 28.12	-21 44 53.3	8	16 5 28.08	-21 44 54.7
	382	8	8	27.98	53.9			
—	213	17	8	28.15	57.0			
	386	4	8.9	16 6 38.13	-21 12 17.7	9	16 6 37.98	-21 12 20.2
	382	9	9	37.69	21.8			
—	213	18	9	38.11	21.1			
	386	10	9	16 10 38.53	-21 1 57.1	9	16 10 38.43	-21 1 57.2
	382	15	9	38.22	57.1			
—	305	16	9	38.54	57.5			
	386	11	8.9	16 11 36.92	-21 8 29.9	8.9	16 11 36.96	-21 8 30.1
	382	16	8.9	36.89	31.2			
—	213	24	9	37.06	29.2			
	211	23	9	16 13 18.23	-21 17 31.0	8.9	16 13 18.16	-21 17 34.3
	305	23	8.9	18.14	36.2			
—	382	18	8.9	18.14	34.9			
	386	14	8.9	18.11	35.2			
	386	18	7.8	16 15 59.08	-21 52 57.6	7.8	16 15 58.99	-21 52 57.3
—	382	22	8	58.66	57.6			
	213	28	7.8	59.22	56.8			
	386	21	7	16 18 21.48	-21 46 10.8	7.8	16 18 21.33	-21 46 12.2
—	382	23	7.8	21.28	14.1			
	213	32	8	21.22	11.6			
	211	27	8.9	16 20 27.57	-21 13 48.7	8	16 20 27.46	-21 13 51.8
—	305	27	8.9	27.54	53.4			
	213	33	—	27.50	51.9			
	382	24	8	27.24	52.3			
—	386	23	7.8	27.47	52.7			
	211	28	9	16 20 53.87	-21 6 33.9	9	16 20 53.84	-21 6 37.4
	213	34	9	53.90	38.1			
—	305	28	9	54.13	38.4			
	382	25	8.9	53.39	38.9			
	386	24	8.9	53.89	37.8			
LL. 30033	213	36	5	16 23 15.09	-21 8 22.0	5	16 23 15.06	-21 8 23.7
	382	27	5	14.80	24.5			
	386	26	5	15.30	24.5			
—	386	29	8.9	16 26 35.18	-21 33 23.9	8.9	16 26 35.03	-21 33 22.8
	382	29	8.9	34.87	22.0			
	213	39	9	35.03	22.4			
—	386	31	8.9	16 28 43.17	-21 44 39.3	9	16 28 43.17	-21 44 38.9
	382	30	9	42.96	40.9			
	213	40	9	43.38	36.5			

	Zone.	Nº.	Gr.	AR. 1850.	Declin. 1850.	Gr.	AR. 1850.	Declin. 1850.
—	386	34	8.9	16 30' 4.58	-21 44' 21.4	9	16 30' 4.39	-21 44' 21.4
	382	33	9	4.28	22.6			
	213	42	9	4.31	20.1			
LL. 30614	213	54	9	16 42 34.22	-21 23 33.0	8.9	16 42 34.43	-21 23 33.3
	392	11	8	34.64	33.1			
	393	3	8	34 —	33.7			
LL. 30725	211	52	8	16 46 36.14	-21 19 13.5	7	16 46 36.35	-21 19 16.4
	213	56	7	36.51	17.1			
	392	16	6.7	36.50	17.5			
	393	9	7	36.27	17.5			
LL. 30788	213	59	8.9	16 48 44.89	-21 32 0.8	8	16 48 44.92	-21 31 59.9
	392	18	8	44.91	31 58.8			
	393	11	8	44.95	32 0.1			
LL. 30869	213	62	7.8	16 51 33.60	-21 13 39.9	7	16 51 33.65	-21 13 39.4
	392	21	7	33.63	38.6			
	393	17	7	33.73	39.6			
LL. 30916	211	59	8	16 53 8.99	-20 22 10.1	7.8	16 53 9.15	-20 22 10.8
	305	68	7.8	9.12	11.1			
	393	19	7.8	9.34	11.2			
LL. 31034	211	63	7.8	16 56 46.59	-21 4 1.9	7	16 56 46.62	-21 4 0.0
	213	68	7	46.68	3 58.9			
	305	75	7	46.59	3 59.3			
—	211	64	9	16 57 18.09	-21 3 18.4	8	17 57 18.32	-21 3 17.4
	213	69	8.9	18.38	16.8			
	305	76	7.8	18.48	16.2			
	393	26	8	19 —	18.1			
—	305	95	9	17 10 8.10	-20 24 11.5	9	17 10 8.06	-20 24 13.3
	211	81	9	8.04	14.4			
	213	82	8.9	8.03	13.9			
LL. 32421	211	113	8	17 38 34.17	-20 46 28.3	7.8	17 38 34.50	-20 46 26.9
	219	3	7.8	34.71	26.5			
	224	11	7.8	34.61	25.8			
LL. 33817	219	58	8	18 14 23.49	-20 43 17.4	8	18 14 23.58	-20 43 18.5
	224	66	8	23.61	17.3			
	227	34	8	23.43	20.0			
	307	80	7	23.80	19.5			
LL. 36613	227	132	9	19 17 40.81	-20 52 50.2	8.9	19 17 41.07	-20 52 49.4
	238	29	8.9	41.28	51.8			
	310	151	7.8	41.12	46.2			
LL. 36678	227	133	9	19 19 13.74	-20 48 50.2	8.9	19 19 14.00	-20 48 49.9
	238	32	8.9	14.18	51.5			
	310	155	8	14.09	47.9			
LL. 43202	237	111	8.9	22 2 0.04	-21 43 27.2	8.9	22 2 0.04	-21 43 30.8
	246	11	8.9	0.04	32.6			
	248	3	9	0.05	32.5			

— 33°.

LL. 6111	313	80	8.9	3 10 8.76	-22 37 32.6	8.9	3 10 8.89	-22 37 33.5
	343	52	8.9	8.96	35.0			
	346	14	8	8.94	33.0			
LL. 6146	313	81	9	3 11 18.95	-23 1 55.0	9	3 11 18.99	-23 1 56.9
	343	54	9	18.97	57.3			
	346	16	9	19.06	58.4			

	Zone.	Nº.	Gr.	AR. 1850.	Declin. 1850.	Gr.	AR. 1850.	Declin. 1850.
LL. 6158	313	82	6	3 11' 44.15"	-23 3' 42.6"	6	3 11' 44.22"	-23 3' 43.5"
	343	55	6	44.07	43.6			
	346	17	6.7	44.45	44.2			
LL. 7192	332	31	7.8	3 45 13.46	-23 23 3.9	8	3 45 13.47	-23 23 2.2
	343	95	8	13.41	22 59.3			
	346	64	8	13.53	23 3.4			
LL. 7265	332	35	8	3 47 37.71	-22 49 37.7	8.9	3 47 37.68	-22 49 37.6
	343	98	8.9	37.55	37.5			
	346	67	8.9	37.79	37.7			
LL. 11779	337	162	7	6 3 21.98	-22 5 43.9	7.8	6 3 22.20	-22 5 43.4
	344	14	8	22.40	41.6			
	364	4	7.8	22.22	44.6			
LL. 12058	337	172	8.9*	6 10 48.98	-22 19 18.2	7.8	6 10 49.09	-22 19 20.2
	344	26	8	48.97	20.1			
	364	19	7	49.31	22.3			
LL. 12150	344	29	7.8	6 13 18.56	-22 2 36.1	7	6 13 18.66	-22 2 36.4
	344	31	7.8	18.77	34.9			
	337	173	8.9*	18.46	37.3			
LL. 15555	364	22	6	18.87	37.1			
	280	138	8	7 50 3.42	-22 36 28.0	7.8	7 50 3.53	-22 36 28.3
	330	148	7.8	3.57	27.6			
LL. 15946	399	36	7.8	3.60	29.4			
	362	175	3	8 1 9.43	-23 52 29.3	3.4	8 1 9.45	-23 52 29.2
	368	2	4	9.47	28.5			
LL. 15967	400	2	3	—	29.8			
	330	167	5	8 1 52.51	-23 11 3.7	6.7	8 1 52.58	-23 11 2.0
	362	177	7	52.66	0.3			
LL. 17677	400	1	7	52.57	—			
	368	91	7	8 49 19.18	-23 14 52.7	6.7	8 49 19.10	-23 14 53.4
	399	141	6.7	19.09	54.0			
LL. 18140	400	79	6.7	19.03	53.4			
	358	126	6	9 3 40.35	-22 34 3.5	6.7	9 3 40.29	-22 34 5.5
	399	159	6	40.07	6.6			
LL. 18308	400	101	7	40.45	6.3			
	358	134	7.8	9 8 54.24	-22 52 20.3	7.8	9 8 54.09	-22 52 19.6
	368	124	7.8	53.88	20.5			
LL. 19034	400	108	7.8	54.15	17.9			
	358	180	4	9 34 26.54	-22 54 41.9	5	9 34 26.40	-22 54 41.2
	283	8	6	26.33	40.9			
LL. 23027	400	144	5	26.32	40.9			
	294	10	7	12 10 9.37	-23 10 46.4	6.7	12 10 9.47	-23 10 46.5
	369	123	7	9.32	46.7			
LL. 25240	370	83	6	9.71	46.4			
	294	117	7	13 33 14.69	-22 41 16.0	6.7	13 33 14.82	-22 41 17.8
	295	13	6	14.72	19.6			
LL. 26736	371	97	6.7	15.05	17.8			
	209	5	7.8	14 33 48.04	-22 46 53.0	6.7	14 33 48.07	-22 46 51.2
	295	103	6	47.96	51.3			
LL. 28551	301	46	6.7	48.21	49.2			
	210	2	7	15 33 4.98	-23 48 44.2	7	15 33 4.80	-23 48 42.8
	301	132	7	4.73	42.3			
	387	2	7	4.68	41.9			

	Zone.	No.	Gr.	AR. 1850.	Declin. 1850.	Gr.	AR. 1850.	Declin. 1850.
LL. 29667	210	48	8	^u 16 9' 30.86	—22° 54' 0.8	7.8	^u 16 9' 30.90	—22° 53' 59.1
	382	13	8	30.81	53 57.7			
	386	9	7	31.02	53 58.6			
	387	65	7	30.91	53 59.5			
LL. 29840	210	55	8	16 16 25.01	—23 6 28.9	7.8	16 16 25.20	—23 6 30.4
	213	29	7.8	25.44	30.6			
	387	77	7	25.16	31.6			
LL. 29843	210	56	8	16 16 36.12	—23 3 15.7	8	16 16 36.09	—23 3 14.8
	213	31	8.9	36.28	13.3			
	387	79	8	35.86	15.5			
	213	41	7.8	16 29 20.50	—22 35 0.1		16 29 20.51	—22 34 58.9
LL. 30207	382	32	8	20.20	34 59.3	7.8		
	386	33	7.8	20.82	34 57.3			
	213	47	7	16 36 7.62	—22 53 57.3		16 36 7.75	—22 53 55.9
	386	41	6.7	7.87	55.9			
LL. 30418	392	5	7	7.76	54.5	6.7		
	210	87	6.7	16 47 45.71	—22 54 23.4		16 47 45.51	—22 54 23.2
	213	58	6.7	45.32	23.6			
	387	119	8*	45.49	22.5			
LL. 30946	213	65	7.8	16 54 18.62	—22 55 49.5	8	16 54 18.67	—22 55 49.6
	392	22	8.9	18.91	49.8			
	393	20	7.8	18.47	49.4			
	220	41	8.9	17 30 50.25	—22 58 10.3		17 30 50.26	—22 58 9.8
LL. 32119	222	25	8.9	50.26	12.6	8.9		
	224	1	9	50.26	6.5			
	213	114	6	17 35 21.51	—22 7 14.1		17 35 21.61	—22 7 13.8
	224	4	7	21.51	11.6			
LL. 32297	307	10	7	21.81	15.8	6.7		
	220	173	6	18 52 34.94	—22 54 4.3		18 52 35.10	—22 54 3.5
	224	112	6.7	35.27	2.5			
	307	147	6	35 —	3.8			
LL. 35428	220	187	8	19 0 30.73	—23 25 25.8	8	19 0 30.75	—23 25 24.6
	222	149	8	30.90	22.3			
	240	2	8.9	30.62	25.8			
	233	8	8.9	19 4 37.80	—22 48 49.4		19 4 37.87	—22 48 49.7
LL. 35988	238	8	8.9	37.95	51.1	8.9		
	240	8	8.9	37.87	48.6			
	240	57	8.9	19 41 18.97	—23 9 9.5		19 41 19.11	—23 9 7.9
	247	1	8.9	19.23	6.4			
LL. 37659	311	22	7.8	19.14	7.8	8		
	240	72	7	19 54 50.53	—23 0 43.6		19 54 50.58	—23 0 42.5
	247	20	7	50.65	41.6			
	311	39	6	50.56	42.4			
LL. 38227	234	1	8	20 28 56.70	—22 57 29.2	7.8	20 28 56.70	—22 57 36.3
	240	110	7.8	56.37	38.6			
	311	79	6.7	57.04	41.0			
	234	38	8.9	21 1 19.99	—23 7 51.1		21 1 20.04	—23 7 52.6
LL. 40967	237	39	8.9	19.85	52.6	8.9		
	247	107	8.9	20.16	53.0			
	254	31	7.8	20.15	53.7			
	234	39	7.8	21 1 51.68	—23 5 8.5		21 1 51.52	—23 5 6.1
LL. 40986	237	40	7.8	51.39	7.0	7.8		
	247	108	7.8	51.46	4.5			
	254	32	7	51.54	4.4			

	Zone.	No.	Gr.	AR. 1850.	Declin. 1850.	Gr.	AR. 1850.	Declin. 1850.
LL. 43011	234	98	8	^u 21 56' 31.30	-22° 58' 10.7	8.9	^u 21 56' 31.48	-22° 58' 9.7
	237	106	8.9	31.42	10.2			
	246	8	8.9	31.67	9.7			
	254	92	8.9	31.37	8.7			
	257	3	8.9	31.66	9.2			
LL. 43082	237	107	6.7	21 58 53.00	-22 58 12.9	7	21 58 53.09	-22 58 12.0
	246	9	7	53.16	11.7			
	248	1	7	53.10	11.3			
LL. 43337	237	117	7	22 5 48.22	-22 9 7.7	7.8	22 5 48.35	-22 9 7.4
	246	17	7.8	48.54	6.7			
	248	8	7.8	48.28	7.7			

-25°.

LL. 698	270	57	6	0 22 52.33	-24 37 3.7	5.6	0 22 52.36	-24 37 4.2
	315	58	5.6	52.34	4.8			
	324	7	5	52.40	—			
LL. 2474	324	58	8	1 14 35.16	-24 55 0.5	8	1 14 35.38	-24 54 58.3
	327	12	8	35.61	54 56.2			
	338	51	8	35.38	54 58.2			
LL. 4901	313	41	7	2 30 6.64	-25 40 33.4	7	2 30 6.62	-25 40 36.1
	316	1	7	6.51	35.6			
	334	64	7	6.71	39.2			
LC. 2343	287	2	8	6 29 8.05	-25 43 26.9	7.8	6 29 8.02	-25 43 25.3
	323	179	7	7.92	24.9			
	360	50	8	8.10	24.0			
LC. 2615	280	51	6	7 0 41.18	-24 43 51.7	6	7 0 41.11	-24 43 52.0
	360	113	6	41.01	49.9			
	362	59	6	41.15	54.5			
LC. 2726	280	76	7.8	7 12 59.57	-24 40 59.4	7.8	7 12 59.55	-24 41 0.2
	287	79	7	59.41	59.0			
	362	87	7.8	59.67	62.3			
LL. 14939	280	108	3	7 32 3.45	-25 1 38.3	4.5	7 32 3.34	-25 1 37.6
	287	109	5	3.16	35.2			
	362	122	5.6	3.42	39.2			
LL. 14964	280	109	8.9	7 32 57.75	-25 6 20.3	8	7 32 57.80	-25 6 18.6
	287	111	7.8	57.68	16.3			
	362	123	8.9	57.98	19.1			
LL. 15852	287	153	6	7 58 14.19	-25 16 36.3	6.7	7 58 14.40	-25 16 34.8
	290	5	7	14.43	36.0			
	362	171	6.7	14.57	32.0			
—	290	29	8.9	8 13 38.95	-25 0 50.9	8.9	8 13 38.85	-25 0 52.6
	368	23	8.9	38.82	54.3			
	368	25	8.9	38.70	52.7			
	400	19	8.9	38.62	53.2			
	400	21	8.9	39.14	51.8			
LC. 3685	290	105	5	9 1 27.88	-25 15 20.8	4.5	9 1 27.83	-25 15 19.6
	368	112	4	27.78	20.5			
	400	98	4.5	27.83	17.4			
LC. 3690	290	106	7	9 2 5.53	-25 14 1.2	7	9 2 5.37	-25 14 3.0
	368	113	6.7	5.25	5.1			
	400	99	7	5.33	2.6			
LL. 29728	212	38	3	16 12 4.60	-25 13 38.6	3.4	16 12 4.71	-25 13 38.9
	304	45	4	4.68	38.4			
	387	71	4	4.86	39.8			

	Zone.	No.	Gr.	AR. 1850.	Declin. 1850.	Gr.	AR. 1850.	Declin. 1850.
LL 29906	210	57	8	16 19 7.46	-25 6 45.7	7	16 19 7.47	-25 6 46.8
	212	44	6.7	7.34	47.6			
	304	54	7	7.62	47.1			
	210	60	8.9	16 20 52.94	-24 48 41.1	8	16 20 52.97	-24 48 39.4
	212	46	7.8	53.01	39.5			
	304	56	8	52.92	38.3			
	387	84	8	53.02	38.7			
LL 29967	210	61	6	16 21 6.17	-24 46 45.5	6	16 21 6.16	-24 46 45.7
	212	47	5	6.12	47.2			
	304	57	6.7	6.23	45.1			
	387	85	6	6.13	45.1			
LL 30462	210	73	7.8	16 37 40.77	-25 14 58.9	7	16 37 40.68	-25 14 58.3
	212	64	7	40.60	59.0			
	304	74	7	40.74	57.8			
	387	104	7	40.60	57.5			
LL 31081	210	102	7.8	16 58 44.85	-24 47 37.8	7.8	16 58 45.00	-24 47 34.8
	212	89	7	44.97	34.3			
	220	1	8	45.05	32.6			
	304	102	7	45.14	34.5			
LL 31181	210	106	7.8	17 1 38.90	-24 45 8.9	8	17 1 38.89	-24 45 6.9
	220	4	8.9	38.94	3.6			
	306	4	8	38.84	8.1			
LL 31195	210	107	8	17 2 9.19	-24 50 11.0	8	17 2 9.53	-24 50 8.8
	220	5	9	9.76	6.3			
	306	5	7.8	9.65	9.2			
LL 31257	210	109	9	17 3 47.69	-24 59 8.8	9	17 3 47.72	-24 59 8.8
	220	9	9	47.69	8.0			
	306	9	8.9	47.78	9.7			
LL 31540	217	21	7.8	17 13 56.67	-24 56 49.6	8	17 13 56.80	-24 56 47.7
	220	21	7.8	56.90	46.3			
	222	6	8.9	56.82	47.1			
LL 33394	217	81	8.9	18 4 7.20	-25 10 55.8	8	18 4 7.37	-25 10 54.1
	220	96	8	7 —	52.7			
	306	91	7	7.54	53.7			
LL 35107	220	159	7	18 45 10.95	-24 56 52.4	7	18 45 11.26	-24 56 52.1
	222	128	7	11.35	50.6			
	308	90	7	11.48	53.3			
LL 35114	220	160	8.9	18 45 20.08	-24 53 26.5	8.9	12 45 20.32	-24 53 26.7
	222	129	9	20.30	25.3			
	308	91	8.9	20.58	28.4			
LL 35843	220	189	7.8	19 1 51.82	-24 25 21.8	8	19 1 51.92	-24 25 21.3
	222	151	8	51.95	19.1			
	240	4	8	51.99	23.0			
LL 39725	234	2	7.8	20 29 11.89	-24 44 38.9	7	20 29 11.75	-24 44 45.6
	239	139	7	11.44	48.4			
	251	2	7	11.83	47.2			
	311	81	7	11.84	48.0			
	239	143	9	20 32 12.81	-25 1 54.0	9	20 32 12.97	-25 1 54.3
	240	113	9.0	13.31	54.7			
	251	7	9.0	12.75	53.1			
	311	86	9	13.02	55.6			
LL 39962	234	8	8.9	20 34 50.47	-24 0 10.0	8	20 34 50.44	-24 0 12.9
	254	1	8.9	50.40	13.5			
	311	88	7.8	50.46	15.3			

	Zone.	Nº.	Gr.	AR. 1850.	Declin. 1850.	Gr.	AR. 1850.	Declin. 1850.
LL. 42868	234	95	8	20 52' 15.60	-24° 0' 39.7	8	20 52' 15.74	-24° 0' 39.1
	254	90	8	15.76	37.8			
	257	1	7.8	15.86	39.9			
LL. 42917	234	97	7	20 53 48.23	-24 20 6.8	7.8	20 53 46.50	-24 20 8.3
	254	91	8	46.35	6.3			
	257	2	7.8	46.66	9.8			
LC. 9072	257	16	7	22 6 22.98	-24 44 44.6	7.8	22 6 23.23	-24 44 43.9
	260	10	7.8	23.41	43.9			
	312	6	8	23.29	43.2			
LL. 43923	257	36	8	22 22 31.86	-24 56 3.9	8	22 22 31.99	-24 56 2.5
	260	25	8	31.85	1.9			
	312	21	8	32.27	1.8			
LL. 44107	257	42	6.7	22 27 20.79	-24 45 50.4	7	22 27 20.91	-24 45 50.7
	260	29	7	20.87	50.9			
	312	25	7	21.08	50.8			
LL. 44134	257	43	8.9	22 27 53.10	-24 46 32.3	8.9	22 27 53.19	-24 46 30.1
	260	30	8.9	53.12	31.0			
	312	26	8.9	53.34	30.1			

- 27°.

LL. 2099	266	3	8	1 2 51.43	-26 59 37.5	7.8	1 2 51.21	-26 59 36.0
	271	93	8	51.07	37.9			
	327	2	7	51.13	32.5			
LL. 3341	266	29	7.8	1 41 39.67	-27 0 7.7	7.8	1 41 39.73	-27 0 8.2
	327	32	8	39.62	8.1			
	334	4	7	39.91	8.7			
LC. 2456	287	24	8.9	6 42 35.24	-27 13 0.5	8	6 42 35.19	-27 12 58.5
	333	71	7	35.21	12 58.2			
	360	76	8	35.22	12 57.7			
	396	12	8	35.10	12 57.5			
LC. 2470	287	25	7	6 44 6.32	-27 9 53.2	7	6 44 6.18	-27 9 50.4
	333	73	7	6.12	48.9			
	360	78	7.8	6.34	49.9			
	396	16	7	5.92	49.8			
—	287	26	8.9	6 44 31.62	-26 57 24.5	8	6 44 31.55	-26 57 22.7
	333	75	7.8	31.48	23.1			
	360	80	8.9	31.52	18.6			
	396	17	8.9	31.58	24.4			
LC. 2543	349	13	7	6 52 6.04	-26 57 54.7	6.7	6 52 6.06	-26 57 54.8
	360	96	6.7	6.08	52.5			
	396	30	6	6.07	57.3			
LC. 2647	269	14	7	7 4 17.80	-27 14 59.0	6.7	7 4 17.74	-27 14 57.9
	349	36	6	17.49	58.7			
	396	48	6.7	17.94	55.9			
LC. 2666	287	68	7	7 7 33.84	-27 6 12.0	6.7	7 7 33.80	-27 6 11.7
	289	22	6.7	33.75	14.2			
	396	53	6.7	33.81	8.8			
—	287	145	8	7 53 22.49	-26 47 47.3	8	7 53 22.58	-26 47 47.3
	352	59	8	22.67	47.4			
	360	227	8	22.64	49.0			
	396	125	8	22.52	45.7			
—	287	146	8	7 53 36.58	-26 52 36.5	8	7 53 36.54	-26 52 36.4
	352	60	8.9	36.71	37.2			
	360	228	8	36.35	37.0			
	396	126	8	36.53	35.0			

	Zone.	No.	Gr.	AR. 1850.	Declin. 1850.	Gr.	AR. 1850.	Declin. 1850.
—	287	157	7	8° 0' 37.81"	-26° 41' 3.2"	7	8° 0' 38.00"	-26° 41' 3.3"
	290	7	7	38.01	4.3			
	360	240	7	38.09	1.8			
	396	138	7	38.08	4.0			
LC. 4615	288	136	5	11 1 28.86	-27 16 4.7	6	11 1 28.95	-27 16 5.9
	374	47	7	29.00	6.4			
	377	14	6	28.99	6.5			
LL. 30379	212	61	7	16 34 59.32	-27 10 7.7	7	16 34 59.32	-27 10 6.5
	214	37	7	59.51	5.4			
	304	71	7.8	59.13	6.3			
LL. 30393	212	62	8.9	16 35 31.93	-27 10 11.5	8	16 35 31.85	-27 10 11.4
	214	38	8	31.95	10.4			
	304	72	8.9	31.62	12.9			
	388	68	8	31.91	10.8			
LL. 30926	212	82	7.8	16 53 45.13	-26 52 33.6	7.8	16 53 44.93	-26 52 31.9
	214	60	7.8	44.56	30.4			
	304	96	8	45.08	32.4			
	388	89	7.8	44.96	31.1			
—	212	83	8.9	16 53 54.81	-26 43 45.9	8.9	16 53 54.99	-26 43 45.3
	214	61	8.9	55.13	45.7			
	304	97	8.9	55.12	45.6			
	388	88	8.9	54.90	43.9			
—	212	90	9	17 1 15.82	-26 2 51.1	8.9	17 1 15.80	-26 2 50.6
	217	2	8	15.78	50.7			
	304	107	8.9	15.70	50.2			
	306	3	8	15.92	50.6			
LL. 32076	214	104	8	17 29 44.00	-26 50 31.2	7.8	17 29 43.91	-26 50 29.0
	217	36	7.8	43.73	27.6			
	306	38	7	44.02	29.0			
	388	137	7	43.90	28.2			
LL. 32195	214	107	8	17 32 43.33	-26 45 44.5	8	17 32 43.52	-26 45 44.9
	217	38	8	43.52	43.0			
	306	40	7.8	43.72	47.3			
LL. 32344	217	42	8	17 36 39.18	-26 54 14.9	7.8	17 36 39.12	-26 54 14.1
	223	8	8	39.19	13.0			
	306	47	7	38.98	14.4			
LL. 32721	217	56	8	17 47 2.57	-26 44 22.9	7.8	17 47 2.63	-26 44 22.8
	223	23	8	2.71	24.0			
	306	63	7	2.61	21.4			
LL. 33220	217	75	8.9	17 59 55.94	-26 7 10.3	8	17 59 56.19	-26 7 9.1
	306	83	7.8	56.30	10.7			
	308	15	7.8	56.33	6.2			
LL. 33282	217	77	8	18 1 14.06	-26 3 14.0	7.8	18 1 14.48	-26 3 13.9
	306	87	7	14.71	16.8			
	308	17	7	14.66	11.0			
LL. 35776	223	127	8	19 0 23.77	-27 20 45.6	7	19 0 23.94	-27 20 46.4
	231	6	6.7	23.89	48.9			
	241	4	7	24.17	44.6			
LL. 35856	223	108	8.9	19 2 12.48	-27 18 53.3	8.9	19 2 12.60	-27 18 55.3
	231	9	8	12.90	57.5			
	241	7	8.9	12.41	55.1			
LL. 39106	239	116	7	20 14 28.55	-27 12 37.7	7.8	20 14 28.66	-27 12 38.7
	241	71	8.9	28.79	40.7			
	394	93	7	28.64	37.7			

	Zone.	No.	Gr.	AR. 1850.	Declin. 1850.	Gr.	AR. 1850.	Declin. 1850.
LC. 8548	232	8	6.7	^u 20 36' 12.33	-27 47' 11.5	6.7	^u 20 36' 12.36	-27 47' 9.4
	242	6	7	12.57	6.8			
	394	125	6	12.17	9.9			
LC. 8555	232	11	7.8	20 37 28.13	-27 24 36.8	7	20 37 28.13	-27 24 35.1
	242	9	7	28.20	35.7			
	394	126	7	28.07	32.7			
LL. 41363	232	54	7	21 11 4.64	-26 58 0.7	7	21 11 4.69	-26 58 1.0
	242	53	7	4.58	57 59.6			
	251	48	6.7	4.84	58 2.8			
LL. 41696	232	62	8.9	21 19 34.18	-27 11 9.3	8.9	21 19 34.26	-27 11 7.4
	242	62	8.9	34.23	4.0			
	251	57	8	34.36	8.9			
LL. 42334	232	84	8.9	21 36 10.96	-26 59 2.0	8.9	21 36 11.18	-26 58 59.9
	242	78	8.9	11.32	58 57.8			
	251	82	8.9	11.27	59 0.0			
LL. 42365	232	83	8.9	21 37 3.37	-27 10 21.6	8.9	21 37 3.36	-27 10 20.9
	242	80	8.9	3.29	20.0			
	251	83	8.9	3.42	21.2			
LL. 43293	232	119	6	22 4 29.65	-27 3 53.4	6.7	22 4 29.67	-27 3 53.4
	251	110	6	29.70	51.9			
	260	7	6.7	29.50	54.4			
	265	9	7	29.89	53.5			
	312	2	7	29.62	53.9			
LL. 43297	232	120	8	22 4 36.00	-27 14 1.5	8	22 4 36.27	-27 14 0.6
	251	111	8	36.21	13 59.5			
	265	8	8.9	36.54	14 0.0			
	312	3	8	36.36	14 1.4			
LL. 43924	260	24	7.8	22 22 32.77	-26 50 12.0	7	22 22 32.79	-26 50 13.0
	265	27	7	32.76	13.1			
	312	20	7	32.85	14.0			
LC. 9315	260	50	8	22 49 36.76	-26 53 48.0	8	22 49 36.88	-26 53 47.6
	265	62	7.8	36.87	47.7			
	312	50	8	37.02	47.2			
LL. 45412	260	65	8.9	23 5 11.17	-27 12 54.9	9	23 5 11.21	-27 12 52.1
	265	74	9	11.35	51.2			
	312	68	9	11.11	50.2			

-29°.

LL. 47358	271	29	6	0 1 41.62	-28 49 20.1	6	0 1 41.71	-28 49 20.3
	314	26	6	41.84	21.4			
	326	25	6.7	41.67	19.3			
—	326	35	8.9	0 19 0.26	-29 14 24.9	8.9	0 19 0.49	-29 14 31.1
	314	37	8.9	0.65	34.1			
	271	48	8	0.56	34.3			
LC. 91	271	49	7	0 19 52.48	-29 4 28.4	7	0 19 52.62	-29 4 25.7
	314	38	7	52.76	25.2			
	326	36	7.8	52.63	23.5			
—	326	39	8.9	0 23 9.92	-28 45 50.9	8.9	0 23 9.94	-28 45 52.6
	314	42	8.9	10.01	56.0			
	271	53	8.9	9.83	50.9			
LC. 220	271	72	6.7	0 41 20.63	-29 18 45.2	7	0 41 20.81	-29 18 45.0
	314	55	7	20.73	47.3			
	326	58	7	21.07	42.4			

	Zone.	No.	Gr.	AR. 1850.	Declin. 1850-	Gr.	AR. 1850.	Declin. 1850.
LL. 2793	266	19	8.9	1 24' 15.21"	-28° 52' 23.0"	8.9	1 24' 15.22"	-28° 52' 30.0"
	328	16	8.9	15.26	36.6			
	336	28	8	15.18	30.4			
—	336	56	8.9	1 43' 41.64"	-29° 23' 56.4"	8.9	1 43' 41.42"	-29° 23' 54.6"
	328	34	8.9	41.01	54.2			
	266	32	9	41.61	53.3			
—	336	68	9	1 53' 7.22"	-28° 53' 9.9"	9	1 53' 7.43"	-28° 53' 6.7"
	328	41	9	8.13	5.9			
	266	40	9	6.94	4.4			
—	336	89	8	2 9' 26.95"	-29° 17' 1.0"	8	2 9' 27.09"	-29° 17' 0.3"
	328	62	8	27.43	0.1			
	266	57	8.9	26.90	16 59.7			
—	336	91	8	2 11' 19.19"	-29° 4' 5.6"	8	2 11' 19.20"	-29° 4' 3.8"
	328	63	7.8	19.21	3 59.0			
	266	58	8.9	19.19	4 6.7			
—	328	86	8	2 29' 35. :	-28° 52' 37.6"	8.9	2 29' 34.98"	-28° 52' 35.4"
	266	75	8.9	34.95	34.9			
	322	1	8.9	35.02	33.6			
—	348	3	8.9	3 45' 43.51"	-29° 17' 17.2"	8.9	3 45' 43.62"	-29° 17' 15.6"
	335	94	8.9	43.85	14.3			
	322	97	8	43.49	15.2			
—	348	14	8	3 58' 39.00"	-28° 45' 38.8"	7.8	3 58' 38.96"	-28° 45' 38.1"
	335	110	7	39.07	37.3			
	322	111	8	38.81	38.1			
—	351	2	8.9	4 1' 0.53"	-29° 12' 59.4"	8.9	4 1' 0.39"	-29° 12' 59.1"
	348	18	8.9	0.07	59.6			
	335	112	8.9	0.57	58.3			
LC. 1368	322	118	8	4 2' 54.40"	-29° 18' 24.8"	8	4 2' 54.51"	-29° 18' 23.9"
	335	114	8	54.63	22.0			
	348	19	8	54.36	22.7			
—	351	4	8	54.65	26.2			
	322	119	8	4 3' 14.14"	-29° 11' 11.2"	8.9	4 3' 14.03"	-29° 11' 11.0"
	335	115	8.9	14.23	8.6			
—	348	20	8.9	13.71	11.0			
	351	5	8.9	14 —	13.0			
	351	6	8.9	4 4' 51.49"	-29° 26' 50.7"	8.9	4 4' 51.36"	-29° 26' 47.8"
—	348	21	8.9	51.19	45.8			
	335	116	9	51.40	47.0			
	357	86	8.9	5 48' 19.00"	-29° 8' 9.5"	8.9	5 48' 18.75"	-29° 8' 10.5"
—	350	115	8.9	18.56	11.4			
	353	30	8.9	18.70	10.5			
	350	146	7	5 48' 25.05"	-29° 10' 39.8"	6.7	5 48' 25.10"	-29° 10' 38.4"
—	353	29	6.7	25.29	37.6			
	357	87	6.7	24.97	37.9			
	357	88	8.9	5 49' 15.99"	-29° 6' 41.1"	9	5 49' 15.88"	-29° 6' 41.2"
—	350	147	9	15.45	41.4			
	353	31	9	16.19	41.1			
	357	89	7	5 49' 44.59"	-28° 58' 49.5"	7.8	5 49' 44.45"	-28° 58' 50.8"
—	350	149	7.8	44.49	51.3			
	353	33	7.8	44.26	51.7			
	357	90	8	5 49' 50.16"	-29° 9' 43.4"	8	5 49' 50.06"	-29° 9' 44.7"
—	350	148	8	49.95	46.3			
	355	32	8	50.07	44.5			

	Zone.	Nº.	Gr.	AR. 1850.	Declin. 1850.	Gr.	AR. 1850.	Declin. 1850.
—	357	91	7.8	5 51' 7.98	—28 46' 45.9	7.8	5 51' 8.00	—28 46' 46.7
	350	150	7.8	7.97	47.4			
	353	34	7.8	8.04	46.8			
—	357	92	7.8	5 51 23.14	—28 53 57.1	8	5 51 22.90	—28 53 57.1
	350	151	8	22.64	57.9			
	353	35	8	22.92	56.3			
LC. 2200	333	16	7	6 9 13.17	—29 19 6.3	7	6 9 13.31	—29 19 11.7
	353	65	7	13.30	12.1			
	357	120	7	13.46	16.7			
LC. 2414	282	5	8	6 37 15.36	—29 5 24.9	7.8	6 37 15.22	—29 5 27.2
	333	63	7	15.07	26.5			
	396	6	7	15.22	30.2			
—	349	27	9	6 59 25.21	—28 59 26.6	9	6 59 25.72	—28 59 28.5
	289	9	9	25.95	29.8			
	282	33	9	26.00	29.1			
—	396	44	9	6 59 35.00	—28 50 41.1	8.9	6 59 35.07	—28 50 42.8
	349	28	8.9	34.95	43.7			
	282	32	8.9	34.93	42.2			
	289	8	8.9	35.40	44.4			
—	282	51	7.8	7 13 14.71	—28 44 20.4	8	7 13 14.74	—28 44 21.2
	289	29	8	14.81	24.0			
	349	51	8	14.78	23.1			
	396	62	8	14.65	17.3			
LC. 2777	282	58	5:	7 18 8 —	—29 0 48.1	2.3	7 18 9.63	—29 0 48.0
	289	35	3	9.62	50.3			
	396	69	2	9.65	45.5			
—	375	1	9	10 33 49.26	—28 57 50.3	8	10 33 49.35	—28 57 50.9
	374	14	8	49.35	52.3			
	363	133	7	49.43	50.2			
—	401	17	9	10 55 28.37	—28 40 19.6	9	10 55 28.18	—28 40 18.8
	377	7	9	28.12	20.2			
	374	40	9	28.04	16.7			
—	401	18	9	10 56 46.18	—29 0 56.8	8.9	10 56 46.49	—29 0 57.9
	377	8	8.9	46.76	58.3			
	374	42	8.9	46.54	58.7			
LC. 4641	374	51	8	11 4 3.17	—28 58 2.7	7.8	11 4 3.15	—28 58 2.1
	375	34	7.8	3.14	3.8			
	377	20	7.8	3.18	1.2			
	401	29	7.8	3.13	0.7			
—	403	2	8.9	11 52 6.08	—28 39 53.1	8.9	11 52 5.88	—28 39 54.5
	401	75	8.9	5.61	55.2			
	292	19	8.9	5.95	55.2			
LC. 6485	373	89	8	15 32 21.45	—28 48 39.3	7.8	15 32 21.57	—28 48 38.2
	384	62	7	21.65	36.7			
	388	2	8	21.60	38.5			
—	388	30	8.9	16 1 4.67	—28 52 58.3	8.9	16 1 4.68	—28 52 56.3
	384	106	7.8	4.55	57.9			
	214	4	9	4.65	54.8			
	214	5	9	4.84	54.1			
LC. 6725	214	6	7	16 1 43.68	—29 0 49.4	6.7	16 1 43.51	—29 0 51.7
	215	2	7	43.41	51.5			
	373	124	6.7	43.41	53.0			
	388	31	6.7	43.50	53.2			
	389	5	6.7	43.56	51.3			

	Zone.	No.	Gr.	AR. 1850.	Declin. 1850.	Gr.	AR. 1850.	Declin. 1850.
LC. 6741	215	5	7	16 4' 27".10	-29 49' 14.6"	7.8	16 4' 27".60	-29 49' 16.1"
	384	113	7	—	18.5			
	389	5	8	28.09	15.2			
LC. 6766	389	8	8	16 7 30.35	-29 21 51.7	8.9	16 7 30.34	-29 21 50.3
	215	7	8	30.42	48.6			
	214	11	9	30.26	50.5			
LC. 6816	214	17	7	16 15 15.09	-29 20 53.1	7	16 15 15.19	-29 20 53.6
	215	14	7	15.10	54.1			
	389	15	7	15.38	53.6			
LC. 6836	214	18	8.9	16 16 16.34	-29 2 58.4	8.9	16 16 16.43	-29 2 55.8
	215	15	8.9	16.52	53.6			
	389	16	8.9	16.42	55.3			
LC. 6843	214	23	7.8	16 18 7 —	-28 56 35.4	7.8	16 18 7.31	-28 56 36.3
	215	16	7.8	7.31	37.4			
	388	52	8	7.22	35.9			
—	389	17	8	7.39	36.7	8	16 21 18.20	-29 8 54.2
	214	24	8.9	16 21 18.40	-29 8 54.6			
	215	19	8	18.14	54.2			
LC. 6872	388	53	8	18.00	52.3	8.9	16 23 1.98	-28 42 51.0
	389	20	8	18.24	55.6			
	214	26	8.9	16 23 2.10	-28 42 50.8			
—	215	20	8.9	2.25	51.0	9	16 45 35.37	-29 3 16.7
	388	54	8.9	1.63	51.8			
	389	23	8.9	1.85	50.6			
—	388	77	8.9	16 45 35.29	-29 3 17.2	8	16 46 4.79	-29 1 38.9
	215	39	9	35.36	16.2			
	214	50	9	35.45	16.6			
—	388	78	8	16 46 4.91	-29 1 39.5	7.8	17 10 56.43	-29 12 9.7
	215	40	8	4.66	38.0			
	214	51	8	4.88	39.1			
LC. 7238	214	81	8	17 10 56.30	-29 12 10.2	9	17 11 1.40	-29 7 28.4
	215	63	8	56.22	9.3			
	388	111	7.8	56.43	9.4			
—	389	64	7	56.76	10.0	8.9	17 14 45.75	-29 43 21.6
	389	65	8.9	17 11 1.06	-29 7 27.2			
	388	112	9	1.44	26.9			
—	214	80	9	1.69	31.2	7	17 15 56.58	-29 31 35.4
	389	69	8.9	17 14 45.96	-29 43 20.8			
	215	67	8	45.56	21.3			
LC. 7278	221	2	8.9	45.74	22.7	9	17 16 8.07	-29 24 22.7
	215	68	7	17 15 56.55	-29 31 36.5			
	221	4	7	56.54	32.7			
—	389	70	7	56.65	37.0	4.5	17 17 46.72	-29 43 27.5
	389	71	9	17 16 8.13	-29 24 23.7			
	215	69	9	7.91	22.1			
LC. 7293	221	5	9	8.16	22.3	7	17 18 3.86	-29 35 16.7
	389	74	5	17 17 46.75	-29 43 29.8			
	215	72	4	46.58	26.6			
—	221	7	5	46.84	26.1	8.9	19 57 24.05	-28 47 41.2
	389	73	7	17 18 3.84	-29 35 16.4			
	215	71	7	3.95	16.8			
LL. 38329	221	6	7.8	3.78	17.0	8.9	19 57 24.05	-28 47 41.2
	235	79	8.9	19 57 24.16	-28 47 40.7			
	241	61	9	23.86	40.5			
	394	72	7.8	24.14	42.4			

	Zone.	Nº.	Gr.	AR. 1850.	Declin. 1850.	Gr.	AR. 1850.	Declin. 1850.
LL. 39265	235	105	8	20 18 45.86	-28 45 5.6	8	20 18 45.98	-28 45 3.6
	241	75	8	46.05	2.9			
	394	100	7.8	46.03	2.3			
LL. 39747	235	120	8.9	20 29 54.97	-28 56 48.7	8	20 29 54.86	-28 56 50.6
	241	84	8.9	54.67	55.3			
	394	114	7.8	54.95	47.8			
LC. 8533	235	124	8	20 32 39.21	-29 17 29.1	7.8	20 32 39.25	-29 17 31.5
	232	4	7.8	39.14	32.1			
	245	4	7.8	39.41	33.2			
LL. 42992	232	108	7.8	21 56 3.21	-29 9 32.5	7.8	21 56 3.32	-29 9 32.7
	245	79	7	3.29	32.1			
	259	3	7.8	3.45	33.5			
LL. 43088	232	112	8	21 59 7.76	-28 47 9.5	8	21 59 7.73	-28 47 8.8
	245	84	8	7.63	7.9			
	259	6	8	7.65	9.2			
LL. 43092	265	3	8.9	7.87	8.7			
	232	113	7.8	21 59 10.07	-28 52 36.3	7.8	21 59 10.40	-28 52 36.5
	245	85	7	10.33	35.4			
LL. 43174	269	7	7.8	10.48	39.6			
	265	4	7.8	10.71	34.6			
	245	86	7	22 1 26.52	-29 1 35.1	7	22 1 26.43	-29 1 36.2
—	259	8	7	26.39	38.2			
	265	5	7	26.38	35.4			
	259	86	8	23 32 21.93	-29 11 10.4	8	23 32 22.09	-29 11 10.3
—	265	101	8	22.21	9.7			
	271	1	7.8	22.00	10.8			
	314	2	7.8	22.21	10.4			
—	314	6	8.9	23 34 44.83	-29 0 42.5	8.9	23 34 44.68	-29 0 44.1
	271	5	8.9	44.37	46.1			
	265	105	8.9	44.85	43.8			
LL. 46570	271	12	8.9	23 41 56.65	-29 10 28.4	8.9	23 41 56.63	-29 10 29.3
	314	10	8.9	56.87	30.8			
	326	5	8.9	56.36	28.7			
—	326	7	8.9	23 44 7.07	-29 9 36.3	8.9	23 44 7.06	-29 9 36.4
	314	12	8.9	6.98	36.8			
	271	13	8	7.13	36.1			
—	326	11	8.9	23 49 45.67	-28 52 27.0	8.9	23 49 45.30	-28 52 26.1
	314	15	8	45.02	25.1			
	271	20	8.9	45.21	26.1			
—	326	12	9	23 50 17.86	-28 50 3.0	9	23 50 17.86	-28 50 1.4
	314	16	9	17 —	2.4			
	271	21	9	17.86	49 58.7			

— 31°.

LC. 37	314	32	8.9	0 11 7.44	-30 47 24.5	8.9	0 11 7.13	-30 47 26.8
	316	28	8.9	6.82	29.0			
LC. 66	314	34	8	0 15 50.59	-30 40 39.6	8	0 15 50.63	-30 40 38.0
	326	31	8	50.67	36.5			
LC. 239	314	57	8	0 45 38.20	-31 10 29.4	7.8	0 45 38.28	-31 10 28.6
	326	60	7.8	38.35	27.8			
—	328	12	8.9	1 21 44.50	-30 40 13.6	8	1 21 44.62	-30 40 12.8
	336	25	8	44.73	12.1			
—	328	13	8.9	1 22 42.51	-30 49 19.5	8	1 22 42.52	-30 49 19.4
	336	26	8	42.52	19.3			

	Zone.	Nº.	Gr.	AR. 1850.	Declin. 1850.	Gr.	AR. 1850.	Declin. 1850.
—	328	19	8.9	^u 1 26' 28.63	— 30° 42' 29.1	8	^u 1 26' 28.52	— 30° 42' 29.0
	336	32	8	28.41	29.0			
LC. 456	328	20	8	1 28 4.22	— 30 40 59.8	7.8	1 28 4.03	— 30 40 1.2
	336	34	7	3.85	62.6			
LC. 462	328	21	6	1 29 12.17	— 30 40 35.5	6	1 29 12.19	— 30 40 36.8
	336	37	6	12.20	38.0			
—	328	26	8.9	1 36 56.48	— 30 34 3.6	9	1 36 56.68	— 30 34 4.9
	336	45	9	56.87	6.2			
—	328	83	8	2 28 2.17	— 30 36 30.7	8	2 28 2.16	— 30 36 31.5
	336	111	8	2.16	32.3			
LC. 798	328	84	6	2 29 41.02	— 30 41 59.9	6	2 29 41.10	— 30 42 1.2
	336	112	6	41.18	62.5			
LC. 823	328	91	7	2 33 37.70	— 31 16 39.9	7	2 33 37.66	— 31 16 40.6
	335	2	6.7	37.62	41.3			
—	328	90	7.8	2 34 5.74	— 30 47 4.9	8	2 34 5.80	— 30 47 4.0
	335	1	8	6.20	3.8			
	336	120	8	5.47	3.3			
—	336	121	7	2 35 12.71	— 30 42 12.1	7	2 35 13.14	— 30 42 13.3
	335	5	7	13.57	14.6			
LC. 833	336	122	7.8	2 35 26.27	— 31 2 49.1	7.8	2 35 26.52	— 31 2 52.8
	335	3	7	26.77	56.6			
—	351	112	9	5 30 1.90	— 30 55 28.2	9	5 30 1.65	— 30 55 29.8
	353	4	9	1.41	31.4			
LC. 1906	351	111	7.8	5 30 13.09	— 30 37 57.3	7	5 30 13.13	— 30 37 58.3
	353	5	7	13.16	59.3			
—	351	115	8.9	5 32 16.26	— 30 36 24.2	8	5 32 16.39	— 30 36 25.8
	353	6	8	16.52	27.4			
—	282	9	8.9	6 40 36.38	— 30 35 4.8	8	6 40 36.61	— 30 35 4.5
	353	117	8	36.83	4.2			
—	282	10	8.9	6 41 26.50	— 30 47 56.5	8	6 41 26.53	— 30 47 53.4
	353	120	7.8	26.55	50.4			
LC. 3872	275	88	7.8	9 23 56.79	— 30 53 38.9	7.8	9 23 56.78	— 30 53 41.6
	363	36	7.8	56.77	44.3			
LC. 3884	275	89	7	9 25 7.28	— 31 12 42.5	7	9 25 7.35	— 31 12 44.5
	363	36	7	7.43	46.4			
—	375	10	8.9	10 40 32.27	— 30 48 45.8	8	10 40 32.17	— 30 48 45.3
	401	2	7.8	32.08	44.7			
LC. 4463	375	11	7.8	10 41 13.00	— 30 53 47.6	7	10 41 12.88	— 30 53 47.0
	401	3	6.7	12.77	46.4			
—	375	12	9	10 42 15.12	— 30 42 50.4	8.9	10 42 15.20	— 30 42 49.5
	401	4	8.9	15.27	48.6			
LC. 4552	375	23	7	10 53 33.97	— 31 2 22.4	7	10 53 33.86	— 31 2 21.4
	401	15	7	33.78	20.4			
—	401	81	8.9	11 55 21.06	— 30 51 20.0	8	11 55 21.09	— 30 51 19.0
	403	5	7.8	20.99	17.9			
	403	7	7.8	21.21	19.1			
—	401	80	9	11 55 44.81	— 30 40 29.2	8.9	11 55 44.70	— 30 40 29.5
	403	6	8	44.59	29.7			
LC. 5466	403	86	5.6	13 8 33.91	— 30 42 37.2	6	13 8 33.91	— 30 42 35.9
	404	2	6	33.91	34.6			
—	378	46	8	14 52 43.07	— 30 56 40.8	8	14 52 43.18	— 30 56 40.3
	384	5	8	43.29	30.8			
—	378	47	8.9	14 53 8.99	— 30 59 40.6	8.9	14 53 9.00	— 30 59 40.6
	384	6	8.9	9.00	40.7			

	Zone.	N ^o .	Gr.	AR. 1850.	Declin. 1850.	Gr.	AR. 1850.	Declin. 1850.
LC. 6277	378	56	—	15 5 26.96	—30 57 15.1	6	15 5 26.92	—30 57 15.7
	384	25	6	26.88	16.3			
LC. 6709	215	1	8.9	16 0 1.77	—30 38 44.3	8.9	16 0 1.87	—30 38 46.6
	389	2	8.9	1.96	48.9			
LC. 6788	215	10	7	16 10 4 —	—30 32 13.1	6.7	16 10 4.00	—30 32 12.6
	389	10	6	4.00	12.1			
—	215	73	8.9	17 19 6.14	—30 47 60.8	8.9	17 19 6.36	—30 47 58.5
	221	8	8.9	6.59	56.2			
LC. 8010	221	149	8.9	18 59 32.16	—30 51 26.4	8.9	18 59 32.31	—30 51 24.0
	235	1	8.9	32.46	21.5			
—	235	119	9	20 28 54.14	—31 4 37.0	8.9	20 28 54.13	—31 4 36.0
	245	1	8.9	54.13	35.0			
—	235	125	9	20 33 2.94	—31 5 17.0	9	20 33 3.08	—31 5 17.3
	245	5	9	3.22	17.7			
—	228	3	8.9	21 3 4.41	—31 11 54.6	8	21 3 4.35	—31 11 53.8
	245	33	8	4.30	52.9			
—	228	22	8	21 30 28.88	—30 58 37.5	8	21 30 28.78	—30 58 38.5
	245	56	8	28.69	39.5			
LC. 9700	314	19	6	23 54 37.82	—30 33 21.8	6	23 54 37.93	—30 33 22.0
	326	16	6.7	38.05	22.2			

6.

Von der Sicherheit der Rectascensionen.

Bei einer Arbeit, wie die gegenwärtige war, wird die Aufmerksamkeit des Beobachters auf so vielfache Weise in Anspruch genommen, muss auf so verschiedene Gegenstände gerichtet werden, dass es nicht möglich ist, diesen allen immer eine gleich angestrenzte zu widmen, und dass daher, namentlich bei irgend einer äusseren Störung oder wenn die Menge der im Felde befindlichen Sterne zur Eile treibt, leicht Versehen vorkommen können. Um diese so viel als möglich zu entdecken und zu berichtigen, habe ich eine jede Zone sehr bald nach ihrer Beobachtung, gewöhnlich gleich am folgenden Tage, sowohl mit den früher beobachteten angrenzenden, als mit den Catalogen verglichen, durch deren Berechnung aus den Zonenbeobachtungen von Lalande und Lacaille sich die British Association ein bleibendes Verdienst um die Astronomie erworben hat, die Zonen von -16° ausserdem auch noch mit dem Weiss'schen Cataloge.

Bei dieser Vergleichung haben sich, was zunächst die geraden Aufsteigungen betrifft, mehrfach Unterschiede zwischen den Beobachtungen desselben Sterns in verschiedenen Zonen oder in den Zonen und anderen Catalogen gezeigt, welche sich durch Annahme einer Verwechslung des beobachteten Fadens mit einem anderen, meistens einem nebenstehenden, vollständig erklären liessen, so dass wegen der Identität des Sterns kein Zweifel übrig blieb. Am häufigsten sind der 6te und 7te Faden mit einander verwechselt worden, zuweilen der 3te mit dem 5ten oder umgekehrt, sehr selten der Mittelfaden mit dem 3ten oder 5ten. Im Durchschnitt ist unter etwa 200 verglichenen Beobachtungen eine solche Verwechslung einmal aufgefunden worden. Oft konnte unzweifelhaft constatirt werden, wo der Fehler begangen war, wenn entweder der zweifelhafte Stern noch an zwei anderen Stellen vorkam, oder wenn bei nur doppeltem Vorkommen eine zulässige Aenderung an der einen Stelle den Unterschied nicht erklärte, wohl aber an der anderen. Jedoch sind in letzterem Falle meistens, immer aber dann, wenn keine Entscheidung über die Stelle, wo der Fehler liegt, herbeigeführt werden

konnte, die betreffenden Sterne zur näheren Untersuchung durch neue Meridianbeobachtungen in ein zu diesem Zwecke bereitetes Register eingetragen worden.

Versehen in der Zeitminute sind nur höchst selten aufgefunden worden; sie konnten auch nur selten entstehen, da es Vorsatz war, wenn länger als eine Minute bis zum Erscheinen des nächsten Sterns gezählt wurde, nach Beobachtung desselben auf die Uhr zu sehen und die Minute zu notiren. Nur in den früheren Zonen ist diese Vorsicht zuweilen ausser Acht gelassen, und die aufgefundenen Zweifel beziehen sich daher fast ein auf diese. Sie haben meistens durch die Vergleichenungen beseitigt werden können; die unbeseitigten Fälle sind gleichfalls in das obenerwähnte Register eingetragen worden. Einige Male hat die Vergleichung oder auch die Zeitfolge der Beobachtungen unzweifelhaft gezeigt, dass die Minute falsch niedergeschrieben war, und dann gewöhnlich eine zu späte; doch sind diese Fälle sehr selten vorgekommen.

Verzählungen von 1^o sind häufiger begangen worden, seltener von 2^o; sie sind aber immer schon während der Beobachtungen erkannt und in den Noten angegeben, aber freilich oft erst, nachdem sie schon mehrere vorhergehende Beobachtungen fehlerhaft gemacht hatten. Ein solcher Fehler kann nun nicht weiter zurückgehen, als bis zur nächstvorhergehenden Ablesung der Minute, indem dabei jedesmal auch die Secunde controlirt wurde. In den späteren Zonen ist das letztere sogar häufiger geschehen, als die Aufzeichnung der Minute, und im Originale jedesmal angegeben, im Drucke aber nicht berücksichtigt. Auch bei solchen Fehlern gab die Vergleichung mit andern Zonen in vielen Fällen das Mittel, den Zeitpunkt, wo sie begangen waren, entweder genau zu bestimmen, oder wenigstens in engere Gränzen einzuschliessen. Solche Sterne, bei denen Zweifel dieser Art zurückblieben, wurden gleichfalls zur weiteren Untersuchung notirt.

Wenn ein Stern an zwei aneinanderfolgenden Fäden beobachtet ward, so ist zuweilen einer derselben offenbar um 10^o falsch; es ist dies ein blosses Verschreiben, und gewöhnlich hat sich gefunden, dass der später beobachtete Faden der richtige ist. Nichts destoweniger sind, wenn nicht auf anderem Wege eine Entscheidung erbeigeführt werden konnte, auch solche Sterne auf die Liste der näher zu untersuchenden gesetzt worden. Irrthümliche Verzählungen um 10^o sind an und für sich weniger zu befürchten, und scheinen auch wirklich sehr selten vorgekommen zu sein; wo Unterschiede dieser Grösse sich finden, lassen sie sich meistens durch Annahme einer Fädenverwechslung besser erklären. Zweifel von einer andern Secundenzahl werden nicht leicht anders ekommen, als da, wo entweder eine Ziffer im Originale undeutlich war, oder wo nicht wohl zu unterscheiden war, ob eine zweizifferige Zahl eine ganze Zahl von Secunden bedeuten solle, oder Einer von Secunden und Antheilen, indem der Punct zwischen diesen undeutlich war. Sie sind in den Anmerkungen jedesmal angegeben worden.

Noch ist zu bemerken, dass ich häufig, besonders hellere Sterne, auch wenn sie erst nach dem Durchgange durch den letzten Faden gesehen wurden, für Declination eingestellt und ihren Durchgang durch den letzten Faden dann nach dem Abstände von diesem ungefähr geschätzt habe. Solche Schätzungen sind in der 4ten Columne durch Hinzufügung des Zeichens des Zweifels (:) unterschieden worden, und ihr Durchgang durch den Helfaden in der 4ten Columne ist nur in runden Secunden angesetzt; sie können um mehr als 1^o, zuweilen selbst um 2, unsicher sein. Häufig musste auch, selbst wenn die Sterne noch vor dem letzten Faden ins Feld traten, der Durchgang durch diesen in bedeutender Entfernung von den Horizontalfäden oder sonst mit zu grosser Eile beobachtet werden, so dass dadurch eine Unsicherheit entstand. Es ist dies jedesmal während der Beobachtungen notirt und in den Anmerkungen der letzten Columne durch die Worte Zeit unsicher angedeutet worden. Es scheint aber, dass diese Bemerkung nicht oft genug gemacht worden ist, oder dass vielleicht die Durchgänge durch den letzten Faden überhaupt unsicherer sind, als die durch die früheren, wahrscheinlich in der Befürchtung, diesen einen noch übrigen Faden zu verlieren, dem Beobachter die nöthige Ruhe nahm. In Allgemeinen werden die aus solchen übereilten Durchgängen geschlossenen Rectascensionen zu klein sein, weil man bei flüchtiger Beobachtung zuerst hört und dann sieht, also die zu einem früheren Orte des Sterns gehörende Zeit auf einen später gesehenen überträgt. Bei vollkommener Ruhe hingegen und gespannter Aufmerk-

samkeit findet bei mir wenigstens das Umgekehrte statt, ich sehe zuerst und höre dann. Es ist mir nicht selten vorgekommen, wenn die Aufmerksamkeit etwas nachliess, dass ich zwischen zwei um $0^{\circ}.1$ bis $0^{\circ}.2$ verschiedenen Stellen des Sterns schwankte, von denen also die eine die vor, die andere die nach dem Hören gesehene war.

Einen directen Beweis für diese Bemerkungen geben solche Sterne, welche in derselben Zone doppelt und zwar das zweite Mal am letzten Faden beobachtet worden sind. Es kommen deren 77 vor und es ergibt sich im Mittel aus ihnen, dass die aus der Beobachtung des letzten Fadens geschlossenen Rectascensionen um $0^{\circ}.058$ kleiner sind, als die aus Beobachtungen an anderen Fäden abgeleiteten. Auch habe ich die Bemerkung gemacht, dass, wenn in zwei verschiedenen Zonen derselbe Stern das eine Mal am letzten, das andere an einem früheren Faden beobachtet ward, jener häufig eine kleinere Rectascension giebt. Doch habe ich diesen Umstand der Rechnung nicht unterworfen. Die in derselben Zone doppelt beobachteten Sterne würden ein vortreffliches Mittel gewähren, die reinen Beobachtungsfehler zu ermitteln, wenn sie in bedeutenderer Anzahl vorhanden wären. Es sind aber überhaupt nur 133 Sterne in derselben Zone doppelt beobachtet worden, von denen ausserdem 9 das zweite Mal unsicher für Rectascension beobachtet sind. Eine Zahl von 124 Sternen giebt aber zu unzuverlässige Resultate, wenn man sie noch in mehrere Classen theilt, wie es bei der grossen Verschiedenheit in der Sicherheit der Beobachtungen in so geringen Höhen nöthig ist. Selbst bei der ungenügenden Vertheilung in drei Classen sind die Resultate noch keineswegs hinreichend übereinstimmend. Es ergibt sich dann nämlich der wahrscheinliche Fehler einer einzelnen Beobachtung bei -18° Declination aus 45 Sternen $= 0^{\circ}.077$, bei -24° aus 39 Sternen $= 0^{\circ}.131$ und $= 0^{\circ}.105$ bei -29° aus 40 Sternen, also keine Regelmässigkeit: man sieht nur, dass der Fehler mit der Nähe am Horizonte bedeutend zunimmt. Mit etwas mehr Sicherheit lässt sich schliessen, dass die Beobachtungen am letzten Faden unsicherer sind als die andern, indem nämlich die 47 Sterne, die beide Male an früheren Fäden beobachtet sind, den wahrscheinlichen Fehler einer Differenz zwischen zwei Beobachtungen $= 0^{\circ}.137$, die 77 hingegen, bei denen die eine Beobachtung am letzten Faden geschah, $= 0^{\circ}.156$, also bedeutend grösser ergeben. Aus dem ersteren Resultate erhält man den wahrscheinlichen Fehler einer einzelnen Beobachtung $= 0^{\circ}.097$; wollte man nun daraus und aus dem zweiten Resultate den wahrscheinlichen Fehler am letzten Faden ableiten, so würde man hierfür $0^{\circ}.122$ erhalten.

Um daher sicherere Werthe für die wahrscheinlichen Beobachtungsfehler zu erhalten, habe ich diese für die verschiedenen Zonen aus den im vorigen Paragraphen gegebenen Daten berechnet und in der folgenden Tabelle zusammengestellt. Sie giebt in der ersten Columnne das ungefähre Mittel aus den Declinationen, in der zweiten unter der Rubrik (nn) die Summe der Quadrate der Abweichungen der einzelnen Beobachtungen von ihren Mitteln, wie sie in jenem Paragraphen, respective in der 5ten und 8ten Columnne angesetzt sind. Die 3te Columnne enthält die Anzahl der Beobachtungen, die 4te der einzelnen Sterne, aus denen die (nn) der 2ten abgeleitet sind, die 5te den aus diesen Daten geschlossenen wahrscheinlichen Fehler einer einzelnen Beobachtung, s'' , die 6te denselben multiplicirt mit dem Cosinus der mittlern Declination, die 7te und 8te die Abweichungen der 6ten von den unten anzugebenden Formeln.

D.	(nn)	Beob.	Sterne.	s''	$s'' \cos D$	Form. I.	Form. II.
—15	1.1367	103	33	0.086	0.083	+0.002	0.000
—17	1.8039	135	42	0.094	0.090	+0.004	+0.003
—19	1.6302	150	43	0.083	0.078	—0.013	—0.013
—21	2.5484	122	38	0.118	0.110	+0.013	+0.015
—23	2.4152	124	40	0.114	0.105	+0.003	+0.005
—25	2.0281	111	35	0.110	0.100	—0.007	—0.006
—27	2.2873	125	37	0.109	0.097	—0.015	—0.015
—29	6.3623	213	68	0.141	0.123	+0.006	+0.005
—31	1.8607	82	40	0.142	0.122	0.000	—0.003

Die Uebereinstimmung der einzelnen Resultate ist bei der geringen Zahl von Beobachtungen, auf denen sie beruhen, eine vollkommen genügende. Man sieht, dass nicht nur die Fehler selbst, sondern auch noch ihre auf den grössten Kreis reducirten Werthe mit der Annäherung an den Horizont bedeutend zunehmen, wie dies nicht anders zu erwarten war. Die letztern lassen sich sehr nahe durch die Formel

$$s'' \cos D = 0.0813 - 0.00256 (D + 15^\circ) \quad \text{I.}$$

darstellen, wie ihre Abweichungen von dieser Formel in der obigen Tafel zeigen. Man sollte eigentlich erwarten, dass die Fehler in einem stärkeren Grade als die Zenithdistanzen zunehmen, und ich habe daher noch eine andere Formel entwickelt, welche ein von dem Quadrate der Declination abhängiges Glied enthält, nämlich:

$$s'' \cos D = 0.0833 - 0.00167 (D + 15^\circ) + 0.000057 (D + 15^\circ)^2 \quad \text{II.}$$

Dieselbe hat den Vorzug vor der früheren, dass sie einen wahrscheinlicheren Werth für den Aequator giebt, als jene, aber kleinere Fehler lässt sie nicht übrig, wie die letzte Columne der obigen Tafel zeigt. Ueberhaupt aber ist es nicht möglich, auf so nahe liegende Werthe eine genügende Formel zu gründen, und um den Gang innerhalb der Gränzen der Zonen kennen zu lernen, sind beide etwa gleich geeignet.

Vergleicht man aber die Unterschiede von den Mitteln bei den einzelnen Sternen in Paragraph 5 mit einander genauer, so wird man finden, dass die Sterne 9^m im Allgemeinen grössere Unterschiede darbieten, als die übrigen, namentlich in den tieferen Zonen und denjenigen, bei denen der Zustand der Luft ungünstig war. Es hat dies seinen sehr bestimmten Grund. Die Sterne der genannten Grössen werden in den kleineren Höhen bei der geringern Durchsichtigkeit der Luft so schwach, dass, um sie zu beobachten, die Beleuchtung der Fäden stark vermindert werden muss, und bei unruhiger Luft oft in dem Grade, dass letztere nur mit der grössten Anstrengung gesehen werden können. Man wird daher auch in solchen Fällen die Bemerkung am Ende der Zonen finden, dass die Sterne 9ter Grösse nur unsicher beobachtet werden konnten. Denn wenn die ganze Aufmerksamkeit des Beobachters auf die Erkennung des Fadens gerichtet wird, so muss dadurch nothwendig die Schätzung des Ortes, an dem sich der Stern bei den Secundenschlägen befindet, an Sicherheit verlieren. Die oben entwickelten wahrscheinlichen Fehler werden also für solche Fälle zu günstige Resultate geben, und eine Sicherheit vorspiegeln, die die Beobachtungen nicht gewähren. Um daher den wahren Fehler auch für diese ungünstigen Fälle zu erkennen, habe ich aus den Zonen von -18° , -22° , -26° und -30° noch eine Reihe solcher Sterne berechnet, die doppelt vorkommen und beidemal 9ter Grösse geschätzt sind, ausserdem aber noch eine ähnliche Untersuchung über die Sterne 9.10ter Grösse angestellt, nämlich diejenigen, die wenigstens einmal 9.10ter, das andere Mal nicht über 9ter Grösse angegeben sind. Die letztere Untersuchung hat aber auf die Zonen -26° und -30° nicht ausgedehnt werden können, weil in diesen nur sehr wenige Sterne 9.10ter Grösse vorkommen. Die Resultate dieser Untersuchung giebt die folgende Tafel, deren Einrichtung der der vorhergehenden gleich ist, nur dass die Grössen hinzugefügt sind, dagegen die Vergleichung mit einer Formel fortgelassen ist.

D.	Gr.	(nn)	Beob.	St.	s''	s'' Cos D
-18°	9	2.1500	142	68	0.115	0.109
-22	9	3.2994	141	67	0.142	0.132
-26	9	4.4784	139	65	0.166	0.149
-30	9	6.1593	117	66	0.214	0.185
-18	9.0	2.4062	81	40	0.163	0.155
-22	9.0	3.1973	77	38	0.193	0.179

Man sieht, dass die Sicherheit der Rectascensionen mit der Höhe, wie mit der Grösse in sehr bedeutendem Maasse abnimmt: während bei -18° der wahrscheinliche Fehler in der Rectascension eines Sterns 9^m nur 1.225 mal so gross ist, als in der helleren Sterne, steigt diese Verhältnisszahl bei -30° schon auf 1.54 an.

Ebenso sind die Fehler der Sterne 9.10ter Grösse bei -18° und -22° ungefähr von gleicher Grösse mit denen der Sterne 9ter Grösse bei -26° und -30° ; es steht dies vollkommen im Einklange mit der Methode der Grössenschätzung, die ich angewandt habe, wie weiter unten erhellen wird. Es ist nach diesen Vergleichen nicht zweifelhaft, dass auch noch die Sterne 8.9ter Grösse in den tieferen Zonen im Allgemeinen mit einem grösseren Fehler behaftet sein werden, als oben berechnet ist; es wird diese Vergrösserung aber besonders durch die bei ungünstiger Luft beobachteten Zonen erzeugt werden; bei günstiger Luft ertrugen die Sterne 8.9ter Grösse selbst in -30° noch die hinlängliche Beleuchtung, die die Fäden ohne Anstrengung zu sehen erlaubte. Ich habe diese Untersuchung aber nur auf die Zonen von -30° ausgedehnt und auch hierbei nur diejenigen Sterne 8.9ter Grösse benutzt, die im vorigen Paragraphen in den Zonen -29° und -31° berechnet sind. Man erhält aus 66 Beobachtungen von 27 Sternen $(nn) = 2.2264$ und danach $s'' = 0.161$ und $s'' \cos D = 0.139$; der grössere Fehler wird besonders durch die Zonen erzeugt, bei denen die Luft als sehr unruhig bezeichnet ist.

Es wäre gewiss nicht uninteressant, eine ähnliche Untersuchung, wie die oben geführte, auf die sämtlichen in den Königsberger und Bonner Zonen mehrfach beobachteten Sterne auszudehnen, um aus einer grossen Zahl von Beobachtungen zu ermitteln, welchen Einfluss die Helligkeit der Sterne auf die Sicherheit ihrer Beobachtung ausübt. Es würde sich wahrscheinlich herausstellen, dass dieselbe für unsere gewöhnlichen Meridianfernrohre von den schwächsten Grössen bis zur 7ten und 6.7ten immer im Steigen ist, von da an bis zu den höchsten Grössen wieder, wenn auch nur in geringem Maasse, abnimmt. Für meine nördlichen Zonen ist diese Arbeit durch Oeltzen's Catalog zu einer sehr wenig Zeit raubenden gemacht worden, auch für die Bessel'schen, soweit sie in Weiss's Catalog vorkommen, sehr erleichtert, und für die gegenwärtigen wird eine ähnliche Erleichterung durch ein Register vorbereitet, welches nach den Rectascensionen geordnet, das Vorkommen eines jeden Sterns in den Zonen nachweisen soll. Aus einer solchen Untersuchung würden sich gewiss interessante Aufschlüsse ergeben über die Art, auf welche wir unter verschiedenen Umständen der durch das Ohr und das Auge uns zukommenden Eindrücke uns bewusst werden. Noch sicherere Resultate würde man übrigens durch eigens für diese Zwecke angestellte Beobachtungsreihen erhalten, bei denen man durch Bedeckung grösserer oder kleinerer Theile des Objectivs die Helligkeit desselben Sterns künstlich veränderte, und ihn unter so veränderten Umständen an den verschiedenen Fäden beobachtete. Bei einer solchen Untersuchung würde man auch die Eindrücke auf das Ohr dadurch verändern können, dass man die Schläge der Uhr durch successive Einstellungen derselben bald lauter, bald leiser machte. Auch hier würde sich herausstellen, dass man anders beobachtet, wenn die Uhr laut schlägt, anders, wenn man grosse Anstrengung nöthig hat, um den Schlag derselben zu vernehmen.

7.

Von der Sicherheit der Declinationen.

Der Kreis ist unmittelbar von $2'$ zu $2'$ getheilt, für jede 10te Minute sind die Striche länger ausgezogen, für $30'$ noch länger und bei jedem Gradstriche steht eine kleine Zahl, welche die Einer der Grade angiebt. Hiernach lässt sich schon voraussehen, dass Fehler von $2'$, $10'$ und 1° am leichtesten zu begehen sind. Hiernach kommt aber noch der Fehler von $1'$, der durch die Art, wie die Ablesung geschah, ermöglicht wird. Es ist schon oben erwähnt worden, dass das erste Microscop, das bei den Zonenbeobachtungen allein benutzt ward, eine Umdrehung der Micrometerschraube auf die Minute giebt; ob aber allein die von der Schraube abgelesene Zahl von Secunden oder eine Minute und diese Secundenzahl zu dem vorhergehenden Striche hinzuzufügen ist giebt der Kamm im Microscope an. Der Beobachter am Microscope las nun, sobald er die Einstellung gemacht hatte, zunächst die Grade und Minuten ab, die Secunden von der Schraubentrommel erst, nachdem er mir d

Zeichen gegeben hatte, dass er fertig sei, und ich das Fernrohr auf einen andern Stern einstellen könne. Dadurch wurde die Schnelligkeit der Beobachtung wesentlich gefördert, aber freilich auch die Möglichkeit eines Fehlers von einer Minute gegeben, wenn nämlich der Faden nahe auf einer vollen Minute stand, der Beobachter die falsche Minute aufgeschrieben hatte, und diese, nachdem die Secunden abgelesen waren, zu verbessern vergass. Die Vergleichen der Zonen unter sich und mit Lalande haben nun gezeigt, dass Versehen von 10' am häufigsten vorkommen, nächst dem von 2' und von 1' und zwar jene häufiger bis zur 310ten Zone, während Herr Henzi das Microscop ablas, die Versehen von 1' häufiger von der 311ten Zone an bei Herrn Thormann. Auch Versehen von 1° finden sich noch mehrfach, sehr selten solche von 20', nur zweimal von 30', andere gar nicht. Denn ein Versehen von 9' bei dem Sterne Zone 393 N°. 41 ist offenbar ein doppeltes von 10'—1'. Die Secunden haben beide Beobachter mit sehr grosser Sorgfalt abgelesen. Es haben sich niemals Fehler von 10'' oder deren Vielfachen gefunden; einige Andeutungen dieser Art, zum Beispiel oben bei LL. 2793, für den Z. 266 N°. 19 und Z. 328 N°. 16 um 13''.6 verschiedene Declinationen geben, lassen sich immer durch die ungünstigen Umstände erklären, unter denen beobachtet ward. An der angeführten Stelle ist die Declination $-28^{\circ}52'$, und von beiden Zonen ist angemerkt, dass sie bei sehr unruhiger Luft beobachtet wurden. Ein einmal aufgefunden Fehler von 30'' aber ist wohl eine blosse Verschreibung.

Was nun die eigentlichen Beobachtungsfehler betrifft, so habe ich diese auf dieselbe Weise untersucht, wie die der Rectascensionen. Die in derselben Zone doppelt beobachteten Sterne haben zunächst eine Bestätigung für die Abweichung der Horizontalfäden gegeben, welche mehrfache Beobachtungen der Polarsterne in bedeutenden Entfernungen vom Mittelfaden kennen gelehrt hatten: im Mittel findet sich, dass die spätere Beobachtung die Declination um $0''.228$ nördlicher giebt, als die frühere. Die dadurch nöthig werdende Correction ist aber so gering, dass ihre Vernachlässigung die Fehler gar nicht merklich vergrössert, und ich habe sie daher um so mehr vernachlässigt, als ihre Berücksichtigung die Angabe der Einstellungszeit nöthig gemacht haben würde. Wollte man sie ungefähr anbringen, so könnte man für die Einstellungszeit die Beobachtungszeit des Fadens annehmen oder, bei zwei beobachteten Fäden, das Mittel aus diesen. Nennt man dann Θ den Unterschied dieser Zeit von T, nach der Culmination positiv genommen und in Zeitsecunden ausgedrückt, so wäre den Declinationen hinzuzufügen:

$$-0''.004 \Theta \cdot \cos(\delta)$$

Der aus denselben Beobachtungen hervorgehende reine Beobachtungsfehler, unabhängig von den Fehlern des Instrumentes und dem constanten Fehler der Refraction (vergl. pag. IX.) zeigt in den verschiedenen Zonen keine Regelmässigkeit, aus der man die Abhängigkeit seiner Zunahme von der Zenithdistanz ableiten könnte: man erhält nämlich den wahrscheinlichen Fehler einer Differenz von zwei Beobachtungen bei -18° aus 46 Sternen $1''.21$, bei -24° aus 42 Sternen $1''.08$ und bei -29° aus 45 Sternen $1''.47$. Man sieht nur, dass er eben mit der Zenithdistanz zunimmt; im Mittel aus sämmtlichen 133 Sternen wird er $1''.268$, woraus der wahrscheinliche Fehler einer einzelnen Beobachtung $0''.896$ folgt.

Zur Ermittlung der vollständigen Fehler, mit denen die in den Zonen vorkommenden Declinationen behaftet sind, habe ich mich auch für diese wieder der im 5ten Paragraphen gegebenen mittlern Positionen bedient. Behandelt man die Declinationen ebenso, wie oben die Rectascensionen, so erhält man die folgende Tafel:

D.	(m)	Beob.	Sterne.	s''	Form. I.	Form. II.
—15	153.94	103	33	1.000	+ 50	+ 20
—17	287.28	137	42	1.173	—101	—108
—19	278.90	151	43	1.084	+ 17	+ 26
—21	224.33	124	38	1.089	+ 47	+ 66
—23	252.94	125	40	1.164	+ 14	+ 37
—25	277.30	111	35	1.288	— 61	— 42
—27	270.31	125	37	1.183	+100	+108
—29	651.05	219	68	1.400	— 51	— 63
—31	170.15	84	41	1.342	+ 73	+ 40

Die Werthe von s'' habe ich wieder durch eine Formel auszudrücken versucht, indem ich dem s'' für -29° das doppelte, dem für -31° das halbe Gewicht gegen die übrigen gegeben habe. Je nachdem ich ein von dem Quadrate der Declination abhängiges Glied einführte oder vernachlässigte, gab die Methode der kleinsten Quadrate die beiden Formeln:

$$s'' = 1''.0500 - 0''.00929 (\delta + 15^\circ) + 0''.0008457 (\delta + 15^\circ)^2 \quad \text{I.}$$

und $s'' = 1''.0196 - 0''.02263 (\delta + 15^\circ) \quad \text{II.}$

Die Abweichungen dieser beiden Formeln von den unmittelbar beobachteten Quantitäten ausgedrückt in Tausendtheilsecunden stehen in den beiden letzten Columnen der obigen Zusammenstellung: sie zeigen, dass beide Formeln ungefähr gleich gut die beobachteten Quantitäten darstellen.

Dies sind nun die eigentlichen Fehler der in den Zonen enthaltenen Declinationen. Sie sind zusammengesetzt aus den reinen zufälligen Beobachtungsfehlern, wozu auch die zufälligen Unregelmässigkeiten der Refraction gerechnet werden müssen, und den Fehlern in der Bestimmung von $\Delta\varphi$. Die letztern kann man durch Hinzuziehung mehrerer Bestimmungssterne oder Anwendung sichererer Positionen derselben immer mehr vermindern, ganz eliminiren aber nie. Sie sind jedoch ziemlich gering, und kommen gegen die anderen Fehler kaum in Betracht, wie dies die Genauigkeit und Anzahl der Beobachtungen, worauf die Declinationen der Bestimmungssterne beruhen, erwarten lässt, und die folgende Untersuchung bestätigt. Nennt man nämlich den reinen Beobachtungsfehler a , den wahrscheinlichen Fehler in der Declination der Bestimmungssterne b , die Anzahl der letztern, die zur Ermittlung des einer Zone zukommenden $\Delta\varphi$ gedient haben, m , bezeichnet die oben entwickelten Fehler der Declinationen mit β , so ist offenbar, wenn man

$$\alpha^2 = a^2 + b^2$$

setzt,
$$\beta^2 = a^2 + \frac{a^2}{m} = \frac{1+m}{m} a^2 + \frac{b^2}{m}$$

und man kann also a und b aus diesen beiden Gleichungen finden, sobald neben β noch a bekannt wird. Die letztere Quantität ist aber der wahrscheinliche Fehler in der Bestimmung von $\Delta\varphi$ aus einem Sterne, und man kann sie daher aus den Abweichungen dieser einzelnen Bestimmungen von dem Mittel aus allen ableiten. Ich habe diese Rechnung für alle diejenigen Zonen ausgeführt, für welche $\Delta\varphi$ aus wenigstens 5 Bestimmungssternen ermittelt worden ist; indem ich die Summe der Quadrate dieser Abweichungen in allen dazu brauchbaren Zonen derselben Declination in eine einzige Summe vereinigte, diese durch die um die Zahl der Zonen verminderte Zahl der einzelnen Sterne dividirte und dann auf die bekannte Weise weiter verfuhr. Für dieselben Grade der Declination, für welche die auf diese Weise gefundenen a gelten, d. h. für die geraden, berechnete ich ferner aus den obigen beiden Formeln I. und II. die β , und indem ich nun m so annahm, wie es im Mittel für jede Declination durch Division der Zahl der Zonen in die Zahl der Sterne folgte, fand ich für b nach der Formel:

$$b = \sqrt{\left\{ \frac{m+1}{m} a^2 - \beta^2 \right\}}$$

je zwei verschiedene Werthe. Alles dies enthält die folgende Tafel.

D.	(nn)	Sterne	Zonap	α	m	β^2 I.	β^2 II.	b. I.	b. II.
-16°	338.04	154	22	1.079	7.00	1.1239	1.0868	0.455	0.494
-18	338.12	166	24	1.041	6.92	1.1784	1.1827	0.249	0.240
-20	297.49	129	19	1.109	6.79	1.2494	1.2826	0.402	0.358
-22	474.21	184	28	1.176	6.57	1.3381	1.3865	0.505	0.455
-24	476.58	171	24	1.214	7.12	1.4461	1.4945	0.486	0.433
-26	856.27	194	23	1.509	8.43	1.5754	1.6066	0.986	0.970
-28	578.64	143	21	1.469	6.81	1.7280	1.7227	0.864	0.867
-30	663.84	171	21	1.419	8.14	1.9065	1.8428	0.595	0.647

Man sieht, dass die b nach beiden Formeln sehr nahe gleich herauskommen, dass sie zwar im Allgemeinen mit der Declination wachsen, aber bis -24° nur ganz wenig, dann auf einmal sehr bedeutend. Es lässt sich dies vollkommen dadurch erklären, dass bis -24° die Bestimmungssterne meistens auf mehreren guten Catalogen beruhen, von -26° fast allein auf den schon an sich nicht vollkommen so zuverlässigen Positionen von Taylor. Zwar ist diese ganze Untersuchung keine sehr sichere, aber doch wird ein Mittel aus beiden Formeln und den verschiedenen Declinationen nicht allzu bedeutend von der Wahrheit abweichen, und man wird daher den wahrscheinlichen Fehler in der Declination eines Bestimmungsterns der ersten Art zu $0''.41$, den eines nur auf Taylor beruhenden zu $0''.82$ annehmen können.

Auf ähnliche Weise können nun die a entwickelt werden; ich habe auch diese Untersuchung durchgeführt. Da dieselbe indessen wenig Interesse hat, indem die β die eigentlichen Fehler der in diesen Zonen enthaltenen Declinationen sind, so führe ich nur als Resultat an, dass die a sich wieder nahezu gleich gut durch zwei Formeln darstellen lassen, nämlich:

$$a = 0''.9745 - 0''.0059 (\delta + 15^\circ) + 0''.00093 (\delta + 15^\circ)^2$$

und

$$a = 0''.9418 - 0''.02044 (\delta + 15^\circ)$$

Es lässt sich nun die Vermehrung der Sicherheit ermitteln, welche dadurch erlangt worden ist, dass die $\Delta\varphi$ für jede Zone so angenommen sind, wie sie aus den in ihr vorkommenden Bestimmungsternen unmittelbar folgten. Hätte man statt dessen alle Zonen mit den mittlern $\Delta\varphi$ berechnet, welche auf pag. XIII für die beiden Perioden vor und nach Aufstellung der Schränke und für beide Lagen angegeben sind, so würde man die wahrscheinlichen Fehler der Declinationen $= \sqrt{a^2 + c^2}$ erhalten haben, wenn c die wahrscheinliche Abweichung der einzelnen $\Delta\varphi$ von den 4 verschiedenen Mitteln bedeutet. Man erhält aber dieses c durch Vergleichung der angegebenen Mittel mit den einzelnen $\Delta\varphi$ in der Tafel pag. XI und XII vor Aufstellung der Schränke $= 1''.768$, nachher $= 1''.075$, und daraus, wenn man a im Mittel aus beiden Formeln berechnet, für -16° den wahrscheinlichen Fehler resp. $2''.017$ und $1''.449$, für -30° aber $2''.171$ und $1''.656$, also selbst nach Aufstellung der Schränke noch sehr bedeutend grösser, als er oben gefunden worden ist.

Diese Untersuchungen beziehen sich aber wieder meistens nur auf hellere Sterne. Obgleich nun die wesentlichste Fehlerquelle, welche die Rectascensionen sehr schwacher Sterne unsicher macht, bei den Declinationen nicht stattfindet, so liess sich doch erwarten, dass die Schwierigkeit, die Sterne und Fäden zugleich deutlich zu sehen, auch auf die Declinationen einen schädlichen Einfluss geübt haben werde, wenn auch in geringerem Grade, als auf die Antritte an die Verticalfäden. Ich habe daher wieder eine Reihe von Sternen 9ter und 10ter Grösse, die in wenigstens zwei Zonen gemeinschaftlich vorkommen, untersucht; das Resultat dieser Untersuchung giebt die folgende Tabelle:

D.	Gr.	(an)	Beob.	Sterne.	s"
— 18°	9	231.48	142	68	1.193
— 22	9	331.52	144	68	1.409
— 26	9	321.58	140	65	1.397
— 30	9	344.24	116	55	1.602
— 18	9.0	160.21	81	40	1.333
— 22	9.0	250.40	77	38	1.709

Die Vergrößerung des Fehlers mit dem Abnehmen der Helligkeit der Sterne, wie der Höhe, in der sie beobachtet wurden, findet hier also in derselben Weise, nur nicht in gleich starkem Maasse statt, wie bei den Rectascensionen, aber selbst die schwächsten Sterne werden immer noch brauchbare Resultate liefern, und ihre Positionen den aus Lalande erhaltenen vorzuziehen sein, abgesehen davon, dass unter dessen Beobachtungen so schwache Sterne sich fast gar nicht vorfinden, wie der folgende Paragraph zeigen wird.

S.

Von den Grössenschätzungen.

Der schwierigste Theil der Arbeit war die Schätzung der Grössen: es vereinigten sich mehrere Umstände, welche diese unsicherer machten, als es unter günstigeren Verhältnissen der Fall zu sein pflegt. Wenn man Zonenbeobachtungen in grösseren Höhen anstellt, und sich, wie dies Bessel und ich in den nördlichen Zonen gethan haben, auf die Sterne 9ter und die helleren 9.10ter Grösse beschränkt, so kann man fast immer bei constanter Beleuchtung des Feldes beobachten. Die Sterne behalten in solchen grösseren Höhen selbst bei recht unruhiger Luft meistens noch ihren Glanz, und in den seltenen Fällen, wo sie bedeutend blässer werden, zeigt dies eine so starke Unruhe der Luft an, dass man das Beobachten lieber unterlässt. Anders verhält sich die Sache tief am Horizonte. Hier schwächen schon die gar nicht bemerkbaren Dünste oft das Licht der Sterne, ohne dass man es gewahr wird; die Unruhe der Luft ist meistens von der Art, die die Sterne gross und blass erscheinen lässt, und es ist unter solchen Verhältnissen eine richtige Schätzung sehr schwierig. Dann kommt, dass man, um die schwächeren Sterne sehen zu können, die Beleuchtung sehr vermindern muss, und dadurch weniger für diese den richtigen Maassstab verliert, als für die helleren, die man dann wieder bei stärker erleuchtetem Felde beobachtet, indem es eine Weile dauert, bis das Auge sich an das hellere Licht gewöhnt hat. Eine grosse Schwierigkeit bietet auch die richtige Abwägung des Einflusses dar, den die dichteren Luftschichten in der Nähe des Horizontes auf die Schwächung des Lichtes der Sterne ausüben, und der in diesen Gegenden schon auf wenige Grade sich sehr bedeutend ändert. Diese Lichtschwächung hatte ich Anfangs nicht genug berücksichtigt, wie eine Vergleichung mit Lalande zeigte, dessen hellere Sterne ich gewöhnlich zu schwach geschätzt hatte. Indem ich nun den bemerkten Fehler verbessern wollte, verfiel ich in den entgegengesetzten, bis ich wieder hierüber durch die Vergleichung mit Lalande und frühern Zonen aufgeklärt wurde. So hat ein Auf- und Niederschanken in den Grössen stattgefunden, welches die Angaben derselben noch unsicherer gemacht hat. Es geht aber hieraus schon hervor, dass die relativen Helligkeiten in derselben Zone bedeutend sicherer sein werden, als die folgende Untersuchung andeutet, die sich auf die Vergleichung der in verschiedenen Zonen geschätzten Grössen derselben Sterne gründet, nämlich derjenigen, die oben im 5ten Abschnitte gegeben sind. Ich habe die Grössenschätzungen gleichfalls nach den Declinationen in einer Tafel zusammengestellt, die weiter keiner Erklärung bedarf, als dass diejenigen Grössen, welche oben mit einem Sternchen bezeichnet sind bei der Vergleichung nicht berücksichtigt wurden.

D.	(nn)	Beob.	Sterne.	s''
-15°	23.1250	103	33	0.388
-17	24.5208	137	42	0.343
-19	20.9917	151	43	0.297
-21	12.2667	123	38	0.256
-23	17.8042	123	40	0.312
-25	16.5000	113	35	0.310
-27	16.9792	125	37	0.296
-29	17.0916	218	68	0.228
-31	5.7083	82	40	0.249

Wenn man die Zahlen in der letzten Columnne mit einander vergleicht, so könnte man zu dem Schlusse kommen, dass die Sicherheit in den Grössenschätzungen mit der Nähe am Horizonte zunimmt. Hierfür lässt sich aber schwerlich eine genügende Erklärung finden; ausserdem wird sich bei der Vergleichung meiner Resultate mit Bessels zeigen, dass der grosse wahrscheinliche Fehler bei -15° wohl nur zufällig ist, und ich bin daher zu der Annahme berechtigt, dass die Grössenschätzungen in der ganzen Ausdehnung der Zone gleiche Sicherheit haben. Nimmt man daher alle (nn) zusammen, so erhält man das Quadrat des mittleren Fehlers $= 154.9875 : (1175 - 376) = 0.193972$ und daraus den wahrscheinlichen Fehler einer Grössenschätzung gleich $0^m.297$.

Die nördlichen Zonen hatte ich diesen Fehler (Th. I. pag. XXIV.) $0^m.234$ gefunden. Vergleicht man diesen mit dem eben gefundenen, so ergibt sich, dass die oben erwähnten ungünstigen Einflüsse einen Fehler von 83 erzeugt haben.

Um nun das Verhalten meiner Grössen zu den von andern Astronomen geschätzten zu ermitteln, habe ich zuerst alle in den Zonen von -16° mit den Bessel'schen in dessen Zonen von -14° gemeinschaftlich vorkommenden Sterne in Beziehung auf die Grössen mit einander verglichen, und zwar Zone für Zone. Es war bei dieser Berechnungsart manche Beobachtungen, sowohl von Bessel als mir, doppelt verglichen sein, also solche Grössenschätzungen eigentlich einen zu grossen Werth erhalten haben. Indess wird der Fehler daraus entstanden ist, nicht bedeutend sein; sehr bedeutend aber wäre die Mühe der Berechnung verursacht worden, wenn ich alle mehrfach beobachteten Sterne vorher hätte heraussuchen wollen; desshalb habe ich es unterlassen. Ordne ich nun die Vergleichen nach den Bessel'schen Grössen, bezeichne mit Σ die Summe der Ueberschüsse meiner Schätzungen über Bessel's, mit z die Zahl der Sterne, die diesen Summen zum Grunde liegen, mit $A-B$ diesen Ueberschuss im Mittel, mit (nn) die Summe der Quadrate der Abweichungen von den einzelnen, und mit s'' den wahrscheinlichen Fehler eines Unterschiedes in der Grössenschätzung zwischen Bessel und mir, so entsteht folgende Uebersicht:

Gr.	Σ	z	$A-B$	(nn)	s''
9	+33.5	119	+0.282	20.82	0.283
8.9	0	23	0.000	4.50	0.305
8	+ 9.0	83	+0.108	29.03	0.401
7.8	- 1.5	15	-0.100	2.10	0.261
7	0	50	0.000	16.50	0.391
6.7	0	3	0.000	0.50	0.337
6	- 1.5	5	-0.300	0.80	0.096
heller	+ 2.5	6	+0.417	7.71	0.838

Es scheint sich auch hier, wie bei den nördlichen Sternen, eine Zunahme des Fehlers mit der Grösse zu verrathen, sie ist aber zu gering, um darauf Schlüsse zu bauen, namentlich wenn man die helleren Sterne unberücksichtigt lässt, von denen es bekannt ist, dass ihre Grössenschätzung in so lichtstarken Fernröhren ganz illusorisch ist. Lässt man diese daher fort, und nimmt aus den übrigen ein Mittel, so erhält man aus 298 Bestimmungen in 7 Classen $(nn) = 74.25$ und daraus den wahrscheinlichen Fehler eines Unterschiedes zwischen Bessel und mir $0^m.3407$

nicht unbedeutend grösser, als bei den nördlichen Sternen, aus denen dieser Fehler (Th. I. pag. XXV.) $= 0^m.213 \sqrt{2} = 0^m.301$ gefunden wurde. Ich habe nun den Fehler einer Grössenschätzung bei Bessel aus den 194 Sternen abgeleitet, deren mittlere Positionen derselbe in den Astron. Nachr. Bd. I. pag. 265 ff. bekannt gemacht hat. Indem ich jede Beobachtung mit jeder andern desselben Sterns verglich, die durch Wolken unsicher gemachten aber fortlies, habe ich den wahrscheinlichen Fehler einer Grössenschätzung $= 0^m.191$ gefunden. Vergleicht man diesen mit dem obigen einer Differenz zwischen Bessel und mir, so folgt daraus der wahrscheinliche Fehler meiner Grössenschätzungen bei -15° gleich $0^m.282$, also etwas kleiner, als aus meinen sämtlichen Vergleichen allein, aber auch bedeutend unsicherer. Ein constanter Unterschied zwischen Bessel's und meinen Grössen zeigt sich nur bei den helleren Sternen mit einiger Wahrscheinlichkeit und bei denen 9ten Grösse mit Bestimmtheit. Jener wird auch durch andere Untersuchungen vollkommen bestätigt und fällt Bessel's zur Last, wenn man diejenigen Sterne, die ein mässig gutes Auge ohne Bewaffnung eben sieht, als 6^m bezeichnet; dieser hat seinen Grund offenbar darin, dass Bessel die 8.9te Grösse überhaupt selten und wohl nur da angewandt hat, wo er unentschieden war, ob er einen Stern zur 9ten oder zur 8ten Grösse rechnen sollte, während sie bei mir eine vollständige Classe von demselben Umfange, wie die angränzenden, bildet.

Die Vergleichen mit Lalande habe ich, da eine sehr grosse Zahl derselben zu Gebote stand, auch mit grösserer Vollständigkeit ausgeführt. Zunächst habe ich die Perioden geschieden, zwischen denen die oben erwähnte Aenderung in der Grössenschätzung vor sich ging. Es geschah dies freilich nicht plötzlich, und ich kann somit auch den Zeitpunkt der Aenderung nicht genau angeben, sondern erinnere mich nur, dass ich etwa gegen die 250ste Zone den Unterschied mit Lalande gewahr wurde, und nun anfang, die Grössen heller zu schätzen. Aber soviel steht fest, dass in den ersten 20 Zonen die Grössenschätzungen noch nach der früheren Methode gemacht wurden. Alle in diesen mit Lalande gemeinschaftlichen Sterne habe ich daher in Beziehung auf die Grössen verglichen, und das Resultat dieser Vergleichung in der folgenden Tafel auf dieselbe Weise zusammengestellt, wie vorher die Vergleichen mit Bessel.

Gr.	Zu	z	A—L	(nn)	s"
^m			^m		^m
9	+32.0	90	+0.356	16.1222	0.287
8.9	+ 4.0	114	+0.035	23.3596	0.307
8	— 5.5	188	—0.029	54.5891	0.364
7.8	—14.0	99	—0.141	20.5202	0.376
7	—22.0	68	—0.323	28.3823	0.439
6.7	—12.5	36	—0.347	23.9097	0.557
6	—17.5	34	—0.515	18.7427	0.508

Für die spätere Periode habe ich auch auf die verschiedenen Declinationen Rücksicht genommen: ich habe zunächst für die Declinationen von -16° bis -22° , für jede 4 Zonen herausgegriffen, und die in denselben vorkommenden Grössen mit Lalande verglichen, diese Declinationen aber nicht von einander geschieden die Resultate gelten also im Mittel für -19° ; die erste dieser Zonen ist die 307te, die letzte die 402te. Für die Declination -25° habe ich alle Zonen von der Declination -24° und -26° von der 304ten an benutzt und ebenso für die Declination -29° alle Zonen von der 314ten an, die in -28° und -30° beobachtet sind

In den letztgenannten Declinationen kommen aber nur sehr wenige Lalande'sche Sterne vor, da auf der école militaire nur selten südlicher als in -24° beobachtet ward. Die folgenden Tafeln enthalten die Ergebnisse dieser Untersuchungen.

— 19° .

Gr.	Σu	z	A—L	(m)	s''
m			m		m
9	+90.0	93	+0.968	16.9037	0.288
8.9	+61.0	97	+0.630	28.6392	0.368
8	+85.5	153	+0.559	35.9706	0.328
7.8	+37.5	95	+0.395	16.9474	0.286
7	+ 4.5	74	+0.061	14.9764	0.306
6.7	-13.5	44	-0.307	10.3055	0.330
6	- 4.0	46	-0.087	20.1722	0.452

— 25° .

9	+42.5	58	+0.733	16.6082	0.364
8.9	+37.0	83	+0.446	15.5075	0.293
8	+57.5	139	+0.414	37.4659	0.351
7.8	+19.0	81	+0.235	23.5432	0.366
7	- 3.5	82	-0.043	12.6006	0.266
6.7	-18.0	57	-0.316	9.3158	0.275
6	-18.5	58	-0.319	25.3491	0.450

— 29° .

9	+10.5	10	+1.050	1.7250	0.295
8.9	+ 9.0	16	+0.562	1.9375	0.242
8	+ 6.0	14	+0.429	2.4286	0.292
7.8	+ 4.0	16	+0.250	2.5000	0.275
7	- 1.0	8	-0.125	0.8750	0.238
6.7	- 1.0	7	-0.143	1.3571	0.321
6	- 0.5	9	-0.056	6.2223	0.595

Betrachtet man nun diese drei Tabellen näher, so zeigt sich zunächst, besonders wenn man die geringe Zahl von Beobachtungen berücksichtigt, auf denen die letzte beruht, dass die positiven Unterschiede zwischen mir und Lalande mit der Annäherung an den Horizont geringer werden, die negativen grösser. Es geht hieraus hervor, dass entweder ich die Lichtschwächung der Sterne durch die Nähe des Horizonts zu gering oder Lalande sie zu stark angeschlagen hat. Der Unterschied ist aber im Ganzen doch unbedeutend, und man wird, um die Vergleichung mit der ersten Tabelle zu erhalten, das Mittel aus allen Beobachtungen nehmen können, da ja auch in jener alle Declinationen etwa in gleichem Verhältnisse vertreten sind als hier. Ebenso scheint sich auch in den wahrscheinlichen Fehlern keine Veränderung mit der Declination herauszustellen, und man kann daher auch diese in eine Tafel zusammenziehen. Geschieht dieses, so erhält man die folgende, in welcher U den Unterschied von der ersten in den Werthen für A—L angiebt.

Gr.	Σ	z	A—L	U	(nn)	σ''
m			m	m		m
9	+143.0	161	+0.888	+0.532	35.2369	0.319
8.9	+107.0	196	+0.546	+0.511	46.0842	0.330
8	+149.0	306	+0.487	+0.516	75.8651	0.338
7.8	+ 60.5	192	+0.315	+0.456	42.9906	0.322
7	0.0	164	0.000	+0.323	28.4520	0.284
6.7	— 32.5	108	—0.301	+0.046	20.9784	0.301
6	— 23.0	113	—0.204	+0.311	51.7436	0.463

Es erhellt nun zunächst, dass ich in der spätern Periode die Sterne bis zur Lalande'schen 7.8^m um ein halbe, von der 7ten bis 6ten Grösse um eine Viertelgrösse heller geschätzt habe, als im Anfange. Wäre dieser Unterschied bei der Ermittlung der Fehler der Grössenschätzungen aus den Sternen des 5ten Paragraphen berücksichtigt worden, so würde dieser nicht unbedeutend kleiner herausgekommen sein. Aber abgesehen davon, dass es immer vortheilhafter ist, die Fehler einer Beobachtungsreihe zu gross als zu klein anzugeben, liess sich eine solche Correction auch nicht consequent durchführen, weil, wie schon erwähnt, die Aenderung eine allmähliche war, und sich auch nicht die Gränzen dieses Ueberganges mit Sicherheit angeben liessen. Es wird aber jetzt gestattet sein, die A—L der frühern Periode unter Benutzung der constanten Correctionen von resp. +0^m.5 und +0^m.25 auf die der späteren, bedeutend umfassenderen, zu reduciren. Geschieht dies so, dass nach Anbringung der Correctionen an die früheren Zahlen ein Mittel mit Rücksicht auf die Anzahl der Beobachtungen in beiden Reihen genommen wird, so erhält man für die spätere Periode, also etwa von der 260ten Zone an die A—L für die 9te bis 6te Grösse der Reihe nach +0^m.88, +0^m.54, +0^m.48, +0^m.33, —0^m.02, —0^m.25, —0^m.22. Es geht hieraus hervor, dass meine Grössenklassen bedeutend und nahe um die Hälfte umfassender sind, als die Lalande'schen. Da nun, wie oben gezeigt, meine Grössenschätzungen der nur in Fernröhren sichtbaren Sterne mit Bessel nahe übereinstimmen, so geht hieraus hervor, dass wir beide und überhaupt wohl die meisten neueren Astronomen, wenn sie an Meridianinstrumenten beobachten, den Helligkeitsunterschied, den Lalande in 3 Grössenklassen abtheilte, nur in deren 2 scheiden. Es ist dies eine Folge der grösseren Lichtstärke der neueren Fernröhre, und der gleichwohl beibehaltenen Sitte, die schwächsten Sterne, die in unseren gewöhnlichen Meridianfernrohren bei gehöriger Beleuchtung sich noch beobachten lassen, als 9ter Grösse zu bezeichnen. Einigen Einfluss hierauf hat aber auch die Hinneigung Lalande's gehabt, die helleren Sterne zu hoch zu schätzen. Es zeigt sich dieses Bestreben am stärksten zwar bei den früheren Beobachtungen, die in den Memoirs de Paris für 1789 und 1790 bekannt gemacht sind, und man findet dort nicht selten Sterne, die eben ohne Bewaffnung des Auges gesehen werden können, als 4.5ter oder gar 4ter Grösse verzeichnet. Aber auch in der Histoire Céleste sind noch eine Menge von Sternen als 6ter Grösse angegeben, die auch das scharfsichtigste Auge ohne Hülfe eines Fernrohrs schwerlich sehen wird.

Was nun die wahrscheinlichen Fehler betrifft, so zeigt sich in der ersten Tafel eine sehr regelmässige Zunahme derselben mit der Grösse, bei den folgenden ist aber eine solche für die 6 ersten Classen nicht mehr sichtbar, tritt dagegen für die Sterne 6ter Grösse sehr bedeutend hervor. Die Wahrheit wird wohl in der Mitte liegen. Auch die Sicherheit der geschätzten Grössenunterschiede mit Lalande wird wie bei der Vergleichung mit Bessel und früher bei den nördlichen Sternen mit der Grösse etwas abnehmen, aber nicht so stark, wie die erste Tafel es zu verlangen scheint, und es wird daher auch hier gestattet sein, um die Vergleichung zu erleichtern, die (nn) aus allen Grössenklassen zusammenzunehmen, und daraus die wahrscheinlichen Fehler abzuleiten. Jedoch müssen die Sterne 6ter Grösse hierbei ausgeschlossen werden, deren Schätzung bestimmt bedeutend unsicherer ist, als die der anderen. Man erhält die letzteren Fehler dann für die 1te Periode = 0^m.51 für die 2te = 0^m.46, für die schwächeren Sterne aber resp. 0^m.370 und 0^m.318. Der Unterschied zwischen diesen Zahlen ist zu gross, um ihn Zufälligkeiten zuschreiben zu dürfen, und deutet darauf hin, dass ich Anfang

in den Grössenschätzungen, besonders der helleren Sterne, schwankender gewesen bin, als später. Der oben für die Unterschiede mit Bessel gefundene Fehler $0^m.341$ liegt in der Mitte zwischen den beiden hier entwickelten. Er sollte, da bei seiner Ermittlung die beiden Perioden nicht geschieden worden sind, eigentlich grösser sein. Dass dieses nicht der Fall ist, deutet darauf hin, dass Bessel's Grössenschätzungen sicherer sind, als die der Histoire Céleste, eine Erscheinung, die sich leicht aus dem Umstande erklären lässt, dass an dem letzteren Werke verschiedene Beobachter gearbeitet haben, und es nicht wohl anzunehmen ist, dass diese bei den Grössenschätzungen genau die gleichen Principien sollten angewandt haben, wenn auch ihr Bestreben, eine Gleichförmigkeit zu erzielen, vorausgesetzt werden darf.

Es wäre wünschenswerth gewesen, eine gleiche Untersuchung auch für die Unterschiede in den Grössen mit Lacaille auszuführen. Da aber dieser Beobachter ausdrücklich erwähnt, dass die 7te Grösse bei ihm eine grosse Ausdehnung habe, und nur bedeute, dass ein derselben zugezählter Stern diese Grösse nicht überschreite, und dies auch durch die Vergleichung mit andern Beobachtungen bestätigt wird; so konnte eine Bestimmung des Unterschiedes zwischen den Grössenschätzungen von Lacaille und mir nur auf die wenigen helleren Sterne gegründet werden. Zu diesem Zwecke habe ich alle Lacaille'schen Sterne der 6.7ten und 6ten Grösse, die in den Zonen von Zone 270 an vorkommen, untersucht. Die wenigen noch helleren habe ich gar nicht berücksichtigt, und eben so wenig die erste Periode, weil in ihr sich zu wenig Lacaille'sche Sterne fanden; die untersuchten aber habe ich in zwei Classen getheilt, für $D = -25^\circ$ und $D = -29^\circ$. Dies gab die folgende Tafel, in der wieder die Grössen von Lacaille zum Grunde gelegt sind, und der Unterschied mit A-C bezeichnet ist.

Gr.	D	Σn	z	A-C	(nn)	z''
				m		m
6.7	-25	6.0	83	-0.072	38.0663	0.460
6.7	-29	17.5	63	-0.278	19.8889	0.382
6	-25	0.0	58	0.000	30.5000	0.493
6	-29	7.0	55	-0.125	31.3591	0.518

Bei der geringen Zahl von Beobachtungen ist die Uebereinstimmung sehr genügend und zeigt, dass ich im Ganzen die Grössen nur wenig von Lacaille verschieden geschätzt habe, aber doch in den tieferen Declinationen von -28° und -30° entschieden etwas kleiner: ich habe also die Lichtschwächung in der Nähe des Horizontes noch zu gering angeschlagen. Dass auf die Sicherheit der Schätzungen die Nähe am Horizonte ohne merklichen Einfluss ist, geht auch aus diesen Vergleichungen hervor; nimt man daher die Mittel aus den beiden Unterabtheilungen, so ergibt sich der wahrscheinliche Fehler eines A-C für die Sterne 6.7ter Grösse $= 0^m.428$, für diejenigen 6ter Grösse $0^m.503$, also nahezu wie bei den Vergleichungen mit Lalande.

9.

Die in den Zonen vorkommenden Doppelsterne.

Bei den ungünstigen Umständen, unter denen die Beobachtungen angestellt werden mussten, lässt sich nicht erwarten, dass die feineren Doppelsterne als solche erkannt sein werden; aber es sind doch selbst einige, wenn auch wohl weitere, der 1sten Classe notirt worden, und eine nicht geringe Zahl der folgenden drei Classen. Es wird nicht ohne Interesse sein, dieselben nach den Rectascensionen zusammenzustellen, wobei ich

bemerke, dass ich die Classen nach Struve angenommen habe, nämlich I. Cl. bis 4'' Abstand, II. Cl. bis 16'', III. Cl. bis 32'', IV. Cl. bis 64''; weiter absteigende habe ich nicht als doppelt notirt. Die Positionen gelten 1850 und die Grösse bezieht sich auf den hellern Stern.

II.	8	0	46	39	—	25	51	h
II.	8	1	25	17	—	27	19	
IV.	8.9	1	56	2	—	31	3	h
II.	9	2	18	49	—	22	1	h
II.	5.6	2	27	16	—	28	54	h
I.	6.7	3	11	50	—	19	6	h
IV.	8	4	40	33	—	17	31	
III.	8.9	5	41	3	—	24	33	h
III.	8	5	54	28	—	21	1	h
II.	8	5	59	9	—	25	1	
II.	8	5	59	32	—	28	40	h
II.	9	6	20	29	—	26	44	h
II.	7	6	28	20	—	29	31	h
IV.	7.8	6	29	53	—	24	0	
IV.	8	6	43	25	—	23	58	
IV.	7	6	43	31	—	23	54	
III.	8.9	6	45	30	—	18	28	
II.	7	7	4	56	—	21	33	h
II.	8	7	12	55	—	21	47	h
IV.	9	7	20	57	—	20	29	
I.	8	7	32	23	—	19	56	
III.	6	7	32	41	—	26	28	
IV.	9	7	47	38	—	17	25	h
III.	9	8	20	16	—	21	8	
III.	8	8	21	53	—	17	2	
III.	9	9	18	24	—	22	58	
IV.	6.7	9	28	35	—	18	55	
III.	8.9	9	29	34	—	30	34	h
IV.	8.9	9	50	10	—	27	50	
IV.	7.8	9	56	53	—	17	23	h
II.	8.9	9	59	31	—	18	35	h
IV.	7.8	10	40	15	—	14	50	h
III.	9	11	6	7	—	15	9	
III.	8	11	8	12	—	15	32	
III.	9	11	16	22	—	27	41	
II.	6.7	11	24	50	—	28	26	h
III.	8.9	11	30	1	—	16	6	
IV.	8	11	49	8	—	31	25	h
I.	8	11	49	39	—	21	42	h
II.	8.9	11	52	49	—	23	37	h
II.	7	12	3	41	—	15	57	h

III.	9	12	40	16	—	24	0	h
IV.	8	12	46	5	—	17	13	
III.	8	13	14	25	—	22	10	
II.	6.7	13	28	30	—	25	44	h
IV.	8	13	57	25	—	17	21	
IV.	7	14	17	7	—	19	17	
II.	5	14	37	20	—	24	48	h
III.	4	14	48	43	—	20	44	h
II.	8.9	14	54	39	—	27	14	h
IV.	8	14	56	6	—	17	19	
III.	7	15	23	6	—	19	40	h
III.	7.8	15	24	17	—	23	59	h
IV.	7.8	15	32	40	—	29	39	
III.	4	15	56	43	—	19	23	h
III.	6.7	16	10	4	—	30	32	h
III.	8	16	11	44	—	19	45	h
III.	4	16	12	5	—	25	13	h
III.	7	16	15	15	—	29	21	h
II.	6.7	16	16	36	—	23	5	h
II.	9	16	40	14	—	19	20	h
II.	7.8	16	48	15	—	19	18	h
III.	8	17	1	39	—	24	45	
II.	6	17	6	8	—	26	23	h
II.	7	17	8	53	—	24	7	h
II.	8.9	17	20	57	—	17	41	
III.	9	17	33	34	—	29	51	
IV.	5	17	47	42	—	15	47	h
IV.	8	17	53	27	—	24	15	
IV.	8	17	55	8	—	22	29	
—	7.8	18	4	57	—	18	51	
III.	7.8	18	9	55	—	18	40	
III.	8	18	13	29	—	15	9	
II.	8	18	30	36	—	25	38	
—	8.9	18	42	18	—	22	11	h
II.	7	18	55	11	—	23	7	
II.	6	18	58	15	—	16	27	
III.	8	19	7	12	—	25	36	h
II.	7	19	9	4	—	16	14	
II.	8	19	9	29	—	16	13	
II.	8	19	25	22	—	16	35	
II.	8	19	30	35	—	17	15	

. 9 19 51' 41" — 27° 35' h	I. 8.9 21' 4' 3" — 15° 36' h
III. 9 20 13 40 — 20 42	II. 6.7 22 6 0 — 21 49
IV. 6 20 21 17 — 19 4	II. 7 22 17 35 — 21 0
III. 7.8 20 37 28 — 27 25 h	II. 7 23 38 13 — 19 31 h
III. 7.8 20 39 54 — 18 45	II. 7.8 23 46 36 — 27 53
III. 7.8 20 41 5 — 27 55 h	II. 8.9 23 49 40 — 16 56 h
II. 8 21 2 54 — 23 43 h	III. 8 23 51 46 — 27 22

Einige der in diesem Verzeichnisse vorkommenden Doppelsterne sind schon seit Christian Mayers Zeiten bekannt, nicht wenige finden sich in dem Piazzzi'schen Cataloge oder in dem von Struve zusammengetragenen Verzeichnisse von Doppelsternen für 1820, ein Paar bei -15° auch in Struve's grossem Cataloge für 1826, ungefähr die Hälfte in Sir John Herschel's Catalog von südlichen Doppelsternen p. 171 ff., des berühmten Werkes über die Capbeobachtungen. Die letztern habe ich durch ein hinter die Position gesetztes h ausgezeichnet. Des genannten Verzeichnisses habe ich mich auch bedient, um zu sehen, wie feine und schwache Doppelsterne das Instrument wohl gezeigt hat. Die Untersuchung hat aber kein sehr zuverlässiges Resultat ergeben. Herrn Herschel's Catalog ist nur gelegentlich der Durchmusterung des südlichen Himmels nach Nebelsternen entstanden, und der berühmte Verfasser erklärt daher selbst, dass derselbe auf Vollständigkeit und scrupulöse Genauigkeit keinen Anspruch mache. Daher sind sowohl die Grössen, als die Distanzen ziemlich schwankend, und da überhaupt in dem Theile des südlichen Himmels, den die Zonen umfassen, nur wenige Doppelsterne mit hellen Begleitern vorkommen; so liessen sich auch nur wenige recht entscheidende Vergleichungspunkte auffinden. Im Allgemeinen zeigt sich aber, dass ich hauptsächlich solche Doppelsterne nicht erkannt habe, bei denen der Hauptstern hell und der Nebensterne sehr schwach ist *). Der Grund hiervon liegt offenbar in der stärkeren Beleuchtung, die bei helleren Sternen angewandt wurde. Dagegen sind nahe Doppelsterne seltener übersehen worden, und die als Ite Classe angegebenen dürften auch wirklich dieser Classe angehören **). Es versteht sich übrigens, dass auch hier die tiefsten Zonen im Nachtheile gegen die übrigen sein werden.

10.

Schlussbemerkungen.

Die sämtlichen Zonen zusammen enthalten 23250 Beobachtungen. Darunter sind Sterne 9.10ter Grösse 507, 9ter 8322, 8.9ter 5482, 8ter 3377, 7.8ter 1554, 7ter 1855, 6.7ter 388, 6ter 374, heller als 6ter Grösse 174 und ohne Grössenbezeichnung 17. Die meisten der letztern werden 9ter Grösse sein, einige von ihnen sind Doppelsterne, deren Mitten beobachtet und die Grössen der einzelnen Componenten in den Anmerkungen angegeben worden sind. Die Zahl der Sterne 8.9ter Grösse ist unverhältnissmässig gross, es sind deren 1.623, also so viel als 8ter Grösse beobachtet, hingegen nur 1.518 soviel 9ter als 8.9ter Grösse. Es rührt dies daher, dass in den tiefsten Zonen nur die helleren Sterne 9ter Grösse gesehen werden konnten. Dass hingegen weniger

*) So habe ich den Stern No. 72 des älteren Struve'schen Verzeichnisses, dessen Begleiter am Dorpater Meridiankreis 9ter Grösse geschätzt ist, zweimal beobachtet, nämlich Z. 258 No. 52 und Z. 339 No. 76, aber beidemal einfach.

**) Die Sterne in $7^h 12' 55''$ und $11^h 49' 39''$ nennt Herschel fine double stars und giebt ihre Distanz auf $3''$ an, und die des Sterns $21^h 4' 3''$ gar nur auf $2''.1$. Dieser Stern scheint mir des älteren Herschel's I. 47 zu sein; die Beschreibung passt auf ihn ebenso gut, wie auf LL. 41138, mit dem Struve den Herschel'schen Stern identificirt hat, den letzteren haben aber weder der jüngere Herschel, noch ich als doppelt erkannt.

Sterne 7.8ter Grösse vorkommen als 7ter, so wie kaum mehr 6.7ter als 6ter, zeigt an, dass diese Zwischenclassen bei mir nicht dieselbe Ausdehnung haben, wie die angränzenden. Es hat dies seinen Grund darin, dass ich diese Zwischenclassen, die auch auf den Berliner Sterncharten nicht, wie die 8.9ter Grösse, besonders bezeichnet sind, nur angewandt habe, wo ich zweifelhaft war, welcher Classe ich die betreffenden Sterne zuzählen sollte.

Die oben angegebene Zahl von Beobachtungen repräsentirt aber nicht eine gleiche Zahl von einzelnen Sternen. Es sind nämlich in derselben Zone doppelt beobachtet worden 133 Sterne, in verschiedenen Zonen habe ich 5452 Wiederholungen gezählt, so dass demgemäss die Zahl der einzelnen Sterne sich auf 17665 reducirt oder in runder Zahl, da leicht einige Wiederholungen übersehen sein können, auf

17600 verschiedene Sterne.

Wären diese Sterne gleichmässig über den ganzen Gürtel des Himmels zwischen $-14^{\circ} 50'$ und $-31^{\circ} 10'$ vertheilt, der 5394 Quadratgrade enthält, so würden auf je 1000 solcher Grade 3263 Sterne kommen. Die Bessel'schen Zonen umfassen in dem Gürtel zwischen $-15^{\circ} 8'$ und $+45^{\circ} 8'$ fast die Hälfte des Himmels oder 20004 Quadratgrade. Nach einem ungefähren Ueberschlage enthalten sie unter ihren 75011 einzelnen Beobachtungen 62000 besondere Sterne, oder 3100 auf 1000 Quadratgrade, meine nördlichen Zonen endlich erstrecken sich zwischen $44^{\circ} 50'$ und $80^{\circ} 10'$ über 5781 Quadratgrade; sie enthalten 22000 *) verschiedene Sterne, oder im Mittel je 3806 auf 1000 Quadratgraden. Die nördlichen Zonen sind also verhältnissmässig die sternreichsten, eine Folge des Umstandes, dass ihre Breite mit dem Cosinus der Declination multiplicirt überall geringer ist als 2°. Dass die südlichen Zonen trotz der Nähe am Horizonte noch etwas reicher sind als Bessels, rührt aber von den vielen Wiederholungen her, die sie besonders in den sternreichern Gegenden enthalten. Im Ganzen ist der Unterschied aber nicht bedeutend, und die 3 Arbeiten schliessen sich daher auch in dieser Hinsicht vollkommen an einander an. Sie umfassen zusammen fast genau drei Viertheile des ganzen Himmels und haben uns die verhältnissmässig sichern Positionen von über 100000 Sternen kennen gelehrt, während wir früher im gleichen Raume kaum die Hälfte dieser Zahl kannten.

*) Theil I. pag. XXV. Die an dieser Stelle angegebene Zahl beruht auf einer Schätzung der mehr als einmal beobachteten Himmelsräume. Jetzt habe ich in Oeltzen's Catalog eine wirkliche Zählung der auf jeder 10ten Seite befindlichen Wiederholungen vorgenommen, und daraus gefunden, dass deren unter 2600 Nummern 436 vorkommen. In demselben Verhältnisse würden also unter den 26424 einzelnen Beobachtungen 4431 Wiederholungen sein und 21993 besondere Sterne: eine Uebereinstimmung, die wohl nur zufällig ist, aber doch zeigt, dass diese Zahl sich nicht weit von der Wahrheit entfernen kann.

Zonenbeobachtungen

zwischen 15° und 31° südlicher Declination.



Uebersicht der beobachteten Zonen.

AR.	Nº.	Pag.	AR.	Nº.	Pag.	AR.	Nº.	Pag.
<i>Zone -16°.</i>			<i>Zone -18°.</i>			<i>Zone -22°.</i>		
0 0 bis 0 3	250	87	0 0 bis 0 36	268	119	1 30 bis 3 8	263	112
0 0 — 1 36	261	108	0 29 — 0 57	321	224	3 0 — 4 38	320	221
1 29 — 3 2	258	103	0 49 — 2 7	331	244	4 34 — 6 2	272	125
1 32 — 2 2	339	260	2 3 — 3 39	318	217	5 29 — 7 31	359	316
3 4 — 3 51	341	267	3 34 — 5 1	329	238	5 58 — 7 34	284	152
3 50 — 6 0	355	302	4 56 — 6 32	276	134	7 30 — 9 33	398	406
4 9 — 5 37	347	382	6 31 — 7 16	395	400	7 32 — 9 37	354	298
5 55 — 6 11	285	155	6 31 — 8 4	278	137	9 33 — 11 35	356	306
6 1 — 8 6	345	275	7 4 — 8 4	397	404	11 31 — 13 0	372	354
6 3 — 8 10	342	268	7 58 — 9 37	402	417	12 56 — 14 34	379	367
7 24 — 9 4	340	263	8 3 — 9 36	273	127	14 29 — 16 2	385	380
7 57 — 8 27	277	136	9 27 — 10 50	279	140	14 31 — 16 2	208	7
9 1 — 10 5	286	155	10 46 — 12 41	367	340	15 54 — 17 41	211	13
9 59 — 11 43	365	336	12 38 — 14 33	381	371	16 0 — 17 23	305	190
11 29 — 13 32	376	360	14 16 — 16 0	207	4	17 37 — 18 19	219	28
13 23 — 13 40	296	175	14 31 — 16 5	303	186	17 54 — 19 34	227	46
13 25 — 13 47	298	177	15 55 — 17 35	300	180	17 55 — 19 30	310	203
13 32 — 15 3	206	2	16 51 — 18 51	391	392	19 26 — 21 4	243	74
13 34 — 15 7	299	178	17 30 — 19 3	218	26	21 3 — 22 32	255	97
14 42 — 16 32	205	1	19 0 — 19 39	226	45	22 25 — 24 0	262	110
14 58 — 16 31	297	175	19 2 — 20 42	252	91			
16 29 — 18 2	390	389	19 26 — 21 3	244	76	<i>Zone -20°.</i>		
16 31 — 18 2	216	22	20 56 — 22 32	256	99	0 0 bis 0 3	262	112
17 56 — 18 17	229	49	22 25 — 22 41	264	114	0 1 — 1 34	319	219
17 56 — 19 33	230	49	22 26 — 23 17	253	94			
17 58 — 19 3	225	43	22 57 — 24 0	268	118			
17 59 — 19 32	309	200	23 6 — 23 39	267	117			
19 34 — 21 4	249	85						
20 59 — 22 34	236	60						
22 28 — 24 0	250	87						
23 59 — 24 0	261	108						

AR.	Nº.	Pag.
10 59 bis 12 15	369	346
12 3 — 13 34	294	170
13 26 — 15 2	295	173
14 29 — 16 2	209	9
15 55 — 17 35	213	16
16 1 — 16 30	382	375
16 4 — 16 46	386	382
16 34 — 16 57	392	396
16 42 — 17 40	393	396
17 30 — 19 3	307	194
17 31 — 19 3	224	41
18 58 — 19 39	238	65
18 59 — 19 22	233	55
19 41 — 21 2	247	81
20 27 — 22 6	237	63
21 50 — 22 13	246	80
21 59 — 23 34	248	83
23 25 — 24 0	269	120

Zone -24°.

0 0 bis 0 23	270	122
0 17 — 2 2	324	230
0 31 — 1 22	338	259
1 57 — 3 36	313	209
3 27 — 5 4	332	246
4 55 — 6 36	274	130
6 30 — 8 4	362	327
6 30 — 8 6	280	142
8 0 — 9 33	368	343
8 2 — 9 35	400	413
9 28 — 11 3	281	145
10 55 — 11 22	293	170
11 19 — 12 42	370	349
12 28 — 14 4	371	351
13 58 — 15 34	301	182
15 32 — 16 48	387	383
15 32 — 17 4	210	11
16 59 — 19 3	220	29
17 9 — 19 4	222	36
19 0 — 20 32	240	68
19 25 — 20 35	311	206
20 29 — 22 6	234	56
20 35 — 22 1	254	95

AR.	Nº.	Pag.
21 52 bis 23 34	257	101
23 31 — 24 0	270	122

Zone -26°.

0 0 bis 1 2	315	213
1 2 — 1 42	327	236
1 39 — 2 32	334	251
2 30 — 2 51	316	215
2 47 — 4 41	325	232
4 38 — 6 33	323	227
6 2 — 8 3	360	321
6 28 — 8 6	287	157
7 56 — 9 34	290	163
9 30 — 11 2	288	160
10 58 — 12 33	291	166
12 30 — 14 9	380	369
14 2 — 15 34	302	185
15 32 — 17 3	304	188
15 34 — 17 5	212	15
16 59 — 18 9	306	192
17 0 — 18 5	217	24
17 53 — 19 24	308	197
18 56 — 20 35	239	66
19 13 — 19 24	394	398
20 29 — 22 5	251	89
21 56 — 23 33	260	106
22 2 — 23 36	312	208
23 35 — 24 0	315	213

Zone -27°.

20 32 bis 21 58	242	72
-----------------	-----	----

Zone -28°.

0 0 bis 1 3	271	123
0 59 — 2 36	266	116
2 30 — 4 3	322	225
3 58 — 6 3	350	286
4 55 — 6 34	357	310
6 0 — 6 47	333	249
6 35 — 8 1	396	401
6 43 — 7 26	349	285
6 54 — 7 18	289	163
7 22 — 9 33	352	291

AR.	Nº.	Pag.
9 31 bis 10 29	361	325
9 41 — 10 25	366	339
10 26 — 11 5	374	359
10 51 — 12 3	377	364
11 32 — 12 59	292	168
12 56 — 14 38	393	375
14 31 — 16 5	373	356
15 30 — 17 31	398	385
15 53 — 17 39	214	18
17 31 — 19 2	223	39
18 56 — 19 22	231	52
18 59 — 20 32	241	70
19 8 — 20 38	394	398
20 31 — 22 6	232	53
21 56 — 23 37	265	114
23 32 — 24 0	271	123

Zone -30°.

0 0 bis 0 51	326	235
0 0 — 1 1	314	212
1 2 — 2 34	328	237
1 5 — 2 37	336	254
2 34 — 4 5	335	252
3 44 — 4 5	348	285
4 0 — 5 35	351	289
5 28 — 6 41	353	295
6 34 — 8 7	282	147
7 58 — 9 31	275	132
9 0 — 10 37	363	330
10 33 — 11 9	375	360
10 39 — 12 4	401	415
11 52 — 13 11	403	420
13 8 — 14 24	404	422
14 16 — 15 14	378	366
14 47 — 16 5	384	378
16 0 — 17 25	215	21
16 0 — 17 34	389	388
17 14 — 19 4	221	33
18 59 — 20 33	235	58
20 29 — 22 1	245	79
21 0 — 21 32	228	48
21 55 — 23 34	259	105
23 31 — 24 0	314	211
23 34 — 24 0	326	235

Erklärung der Columnen.

Columnne 1. giebt die Nummer des Sterns in der Zone nach der Ordnung der Beobachtung;

- „ 2. die geschätzte Grösse, wobei 9.0 die 9. 10 : te Grösse bedeutet;
- „ 3. den beobachteten Faden, oder wenn mehrere beobachtet sind, den frühesten, während dann die anderen in Col. 8 angegeben sind; Faden 4 ist der Meridianfaden;
- „ 4. die beobachtete Zeit des Durchgangs durch den Faden; wenn hinter der Secunde statt des Zehnteils 2 Punkte (:) stehn, ward der Stern erst nach dem Durchgange durch den 7^{ten} Faden beobachtet, und der Zeitabstand von diesem nur roh geschätzt. Die Minute ist nur da angesetzt, wo sie wirklich abgelesen wurde;
- „ 5. giebt unter dem Rubrum T die aus dem oder den Fadenantritten abgeleitete Zeit des Durchgangs durch den mittlern Faden, wenn in Col. 4 zwei Punkte stehn, nur die nächste Secunde dieses Durchganges
- „ 6. enthält die Ablesung des ersten Microscops von dem Kreise mit Weglassung der Hunderter und Zehner der Grade. Aus ihr ist vermittelst der in Col. 8 angesetzten und in der Einleitung erklärten constanten Zahl die in
- „ 7. angesetzte südliche Declination berechnet. Diese ist schon von der Refraction für die Mitte der Zone befreit;
- „ 8. endlich gewährt erstlich ausser den Correctionselementen der Uhr und des Instruments, über deren Bedeutung die Einleitung zu vergleichen ist, Tafeln zur Reduction auf den mittlern Ort 1850 Jan. 1. Sind α' und δ' die mittlere AR. in Zeit und Declination für diese Zeit, δ die Angabe in Col. 7;

so erhält man

$$\alpha' = T + k + k' \frac{(\delta - D)}{100}$$

$$\delta' = \delta + d + d' \frac{(\delta - D)}{100} + R$$

In diesen Formeln ist $(\delta - D)$ in Minuten auszudrücken, δ' , δ , D negativ zu nehmen, so dass $(\delta - D)$ absolut genommen positiv ist, wenn $\delta < D$, negativ, wenn $\delta > D$ ist. R ist eine Correction, die dadurch nöthig wird, dass bei so kleinen Höhen, als in welchen diese Zonen beobachtet sind, die Veränderung der Refraction der Veränderung der Declination nicht mehr proportional angenommen werden kann. Das Nähere darüber enthält die Einleitung. Zur leichtern Berechnung von $\frac{(\delta - D)}{100} + 1$

ist ein besonderes Heft mit Hülftafeln beigegeben, welche diese Quantität für jedes in den Zonen vorkommende d' und für $(\delta - D)$ von $\pm 1'$ bis $\pm 80'$ bis auf $0''05$ genau enthalten, so dass man die aus diesen Tafeln mit den Argumenten d' und $(\delta - D)$ entnommene Zahl einfach zu $\delta + d$ addiren hat, um δ' zu erhalten.

Weiter enthält diese Columnne Bemerkungen über die Sterne und die Beobachtung. Wo „Zeit unsicher“ steht, ist das Zehntel der Secunde unsicher, diese selbst richtig, hingegen das Zehntel richtig und die Secunde zweifelhaft, wenn „Zeitsecunde zweifelhaft“ angegeben ist. Ein Fehler von $+1''$ heisst, dass eine Secunde mehr gezählt ward, als die Uhr zeigte, und umgekehrt.



Zonenbeobachtungen.

Nº.	Gr.	Fad.	Beob. Zeit.	T.	Microsc. I	Südl. Declin.	
1	8	6	42 39.4	14 42' 9.63	3 33' 40.6	15 46' 39.4	ZONE 205. 1849 Mai 21. West.
2	4	7	43 35.3	42 55.83	3 55 35.4	15 24 44.6	SC. 14 21 - 1 38.63
3	7	4	44 35.8	44 35.80	4 34 20.0	14 46 0.0	16 45 - 1 43.73
4	9	3	45 22.0	45 41.90	3 25 49.5	15 53 30.5	Anf. 27 10.69 + 10.7 48.5
5	8.9	4	46 31.3	46 31.30	3 33 54.5	15 46 25.5	Ende 10.75 + 9.1 45.7
6	8.9	5	47 6.0	46 46.22	3 25 31.7	15 54 48.3	Micr. I - 9".38
7	7	3	47 59.4	48 19.32	3 9 16.1	16 11 3.9	Decl. = Micr. I - 19° 20' 20"
8	8.9	5	49 26.7	49 6.92	3 26 8.8	15 54 11.2	16° r+i - 21".958 $\Delta r = 0".025$ $\Delta i = 0".008$
9	8.9	2	50 25.5	50 55.09	4 30 31.5	14 49 48.5	
10	8	2	53 5.0	53 34.59	4 0 18.4	15 20 1.6	
11	7.8	2	54 31.9	55 1.90	2 8 22.0	17 1 58.0	Hülftafel zur Reduction auf den mittlern
12	8.9	5	55 51.7	55 31.91	3 20 35.9	15 59 44.1	Ort 1850 Januar 0. D = - 16°.
13	8	6	56 44.7	56 15.25	4 26 8.2	14 54 11.8	
14	7.8	6	59 17.4	58 47.72	3 26 32.3	15 53 47.7	
15	9	7	0 7.6	59 28.05	3 31 11.5	15 49 8.5	
16	9	7	0 50.7	15 0 11.02	3 49 57.3	16 30 22.7	
17	9	4	21.8	2 21.73	3 41 9.5	15 39 10.5	
18	7	2	3 18.5	3 48.22	3 45 15.2	15 35 4.8	
19	8	3	4 5.8	4 25.56	4 11 42.1	15 8 37.9	
20	9	6	5 4.5	4 34.66	2 46 38.5	16 33 41.5	
21	9	4	6 25.9	6 25.90	3 54 6.2	15 26 13.8	
22	9.0	4	8 32.0	8 32.00	3 23 16.1	15 57 3.9	
23	9	5	9 20.0	9 0.32	4 19 13.9	15 1 6.1	
24	9	2	12 7.7	12 37.51	3 27 42.1	15 52 37.9	
25	9	6	13 30.0	13 0.31	3 55 17.6	15 25 2.4	
26	9		14 55.0	14 35.22	3 50 3.8	15 30 16.2	
27	9.0	3	16 54.5	17 14.21	3 46 55.2	15 33 24.8	
28	9	4	17 19.3	17 19.18	2 47 1.4	16 33 18.6	
29	9.0	4	28.2	18 28.20	2 46 52.0	16 33 28.0	
30	9.0	7	19 6.3	18 26.62	2 50 53.9	16 29 26.1	
31	9.0	6	20 7.7	19 37.81	2 43 7.5	16 37 12.5	
32	6	7	20 48 :	20 8.	3 9 13.2	16 11 6.8	
33	9.0	6	22 0.4	21 30.55	2 58 39.3	16 21 40.7	
34	8.9	7	22 17.0	21 37.35	3 1 24.8	16 18 55.2	
35	7	6	23 3.5	22 33.79	3 15 7.2	16 5 12.8	
36	9	6	24 1.5	23 31.62	2 50 12.0	16 30 8.0	
37	7	5	25 7.7	24 47.72	3 0 12.1	16 20 7.9	
38	8.9	4	25 49.8	25 49.73	2 51 50.9	16 28 29.1	
39	8	3	26 31.1	26 51.04	2 42 46.0	16 37 34.0	
40	8.9	3	27 31.4	27 51.28	3 52 25.0	15 27 55.0	
41	8.9	2	28 55.4	29 24.93	4 6 14.6	15 14 5.4	
42	9.0	4	29 39.7	29 39.70	4 7 33.5	15 12 46.5	
43	9.0	4	30 12.3	30 12.30	4 11 47.5	15 8 32.5	
44	9	4	31 6.2	31 6.20	4 19 31.0	15 0 49.0	
45	9	2	32 2.8	32 32.66	3 4 38.1	16 15 41.9	
46	9	2	33 6.3	33 35.86	4 16 9.0	15 4 11.0	
47	9	2	33 27.5	33 57.21	4 15 38.2	15 4 41.8	
48	7.8	3	34 21.4	34 41.33	3 48 47.1	15 31 32.9	
49	9	1	35 24.9	36 4.48	3 55 24.8	15 24 55.2	
50	6	4	35 59.2	35 59.20	4 9 4.7	15 11 15.3	

ZONE 205. 1849 Mai 21. West.

SC. 14 21 - 1 38.63
 16 45 - 1 43.73
 Anf. 27 10.69 + 10.7 48.5
 Ende 10.75 + 9.1 45.7
 Micr. I - 9".38
 Decl. = Micr. I - 19° 20' 20"
 16° r+i - 21".958 $\Delta r = 0".025$ $\Delta i = 0".008$

**Hülftafel zur Reduction auf den mittlern
 Ort 1850 Januar 0. D = - 16°.**

T.	k	k'	d	d'
14 40-20.79	-1	0	-11.1	-0.5 +10.2
50-20.80	-1	-1	-11.6	-0.4 +10.3
15 0-20.81	-1	-1	-12.0	-0.5 +10.3
10-20.82	-1	-1	-12.5	-0.4 +10.3
20-20.83	0	-1	-12.9	-0.3 +10.4
30-20.83	0	-1	-13.2	-0.4 +10.4
40-20.83		-1	-13.6	+10.4

4 Fad. 4. 41.95 Die Minute des Microscops soll nach Z. 206 Nº. 74 und Z. 299 Nº. 87 sein 26'; damit ist die Decl. berechnet.

9 Fad. 3. 35.3
 10 " 3. 14.7
 11 " 5. 21.9 Zone 299 Nº. 101 und LL. 27363 zeigen, dass die Minute des Microscops 18' sei; hiemit ist die Decl. und T berechnet.
 13 Fad. 7. 54.8 die Fäden geben 15.06 u. 15.43
 14 " 7. 27.4
 16 Grad des Microsc. 2°, wie Z. 206 Nº. 94 u. 299 Nº. 109 zeigen; hiermit ist die Decl. und T berechnet.

17 Fad. 5. 41.4 18 Fad. 3. 28.4
 19 " 4. 25.5 20 " 7. 14.4
 23 " 6. 30.0 24 " 3. 17.7
 25 " 7. 39.8
 26 " — 4.9 angenommen Fad. 5 u. 6.
 27 " 5. 33.8
 28 " 5. 38.9
 35 " 7. 13.5
 36 " 7. 11.3
 37 " 6. 17.4 Fäden 47.88 u. 47.55
 38 " 5. 9.5 39 Fad. 4. 51.0
 40 " 4. 51.3 41 " 3. 5.0
 45 " 3. 12.8 46 " 3. 16.0
 47 " 3. 37.5 48 " 4. 41.4

Nº.	Gr.	Fad.	Beob. Zeit.	T.	Microsc. I	Südl. Declin.
51	9	3	36 39.4	15 36 59.24	4 2 34.2	15 17 45.8
52	8.9	4	37 41.4	37 41.40	2 52 4.9	16 28 15.1
53	8	1	2.0	38 41.83	2 42 24.6	16 37 55.4
54	9	4	39 1.8	39 1.82	4 34 32.6	14 45 47.4
55	9	5	40 21.8	40 2.10	3 12 44.7	16 7 35.3
56	9	5	44 31.3	44 11.44	2 33 57.1	16 46 22.9
57	5	2	8.5	45 38.24	3 3 32.8	16 16 47.2
58	9	5	47 10.0	46 50.22	3 25 47.8	15 54 32.2
59	9.0	4	48 29.0	48 29.00	2 57 41.1	16 22 38.9
60	9.0	7	49 6.4	48 26.77	3 7 9.0	16 13 11.0
61	9	6	50 0.1	49 30.30	2 58 19.1	16 22 0.9
62	9	4	51 4.3	51 4.30	3 33 18.8	15 47 1.2
63	7	2	51 45.9	52 15.78	3 15 25.4	16 4 54.6
64	9	6	52 57.0	52 37.38	4 21 22.9	14 58 57.1
65	9.0	1	.9	55 9.80	2 35 31.2	16 44 48.8
66	9	5	55 42.9	55 23.11	3 21 42.0	15 58 38.0
67	9	2	57 29.2	57 58.81	4 17 2.3	15 3 17.7
68	8.9	3	58 32.0	58 52.08	2 48 39.1	16 31 40.9
69	9	4	59 40.9	59 40.90	2 48 21.9	16 31 58.1
70	9.0	4	0 32.0	16 0 31.87	3 39 12.6	15 41 7.4
71	10	6	1 19.0	0 49.45	3 33 43.5	15 46 36.5
72	8	7	1 56.0	1 16.26	2 33 43.5	16 46 36.5
73	9	5	4 59.6	4 39.85	3 43 1.3	15 37 18.7
74	9	4	5 51.6	5 51.60	3 19 44.5	16 0 35.5
75	9	5	6 23.7	6 3.99	3 11 24.4	16 8 55.6
76	9	4	7 23.6	7 23.44	3 57 56.0	15 22 24.0
77	8.9	6	8 8.0	7 38.40	4 7 44.4	15 12 35.6
78	9.0	7	9 8.3	8 28.69	3 12 8.3	16 8 11.7
79	8	7	9 51.4	9 12.02	4 23 25.0	14 56 55.0
80	9	5	10 49.5	10 29.80	3 16 17.9	16 4 2.1
81	9	6	11 57.5	11 27.79	3 13 30.0	16 6 50.0
82	7.8	3	14 18.3	14 38.27	2 41 3.5	16 39 16.5
83	9	5	14 56.4	14 36.51	2 33 1.7	16 47 18.3
84	9	5	16 44.2	16 24.38	2 8 20.7	17 11 59.3
85	9	5	17 43.0	17 23.15	3 36 28.0	15 43 52.0
86	8	3	19 43.4	20 3.30	3 28 17.9	15 52 2.1
87	4	1	22 14.6	22 54.35	3 3 47.1	16 16 32.9
88	8.9	4	23 20.3	23 20.30	1 57 42.7	17 22 37.3
89	8	4	24 26.0	24 26.00	3 41 10.0	15 39 10.0
90	9	4	25 51.3	25 51.30	4 8 7.0	15 12 13.0
91	8.9	4	27 8.0	27 8.00	3 23 35.8	15 56 44.2
92	8.9	2	28 13.6	28 43.45	2 29 50.5	16 50 29.5
93	9	1	30 53.3	31 33.07	3 1 57.5	16 18 22.5
94	9	5	32 39.3	32 19.58	3 59 16.3	15 21 3.7
1	9	4	32 29.2	13 32 29.20	2 37 23.0	16 43 0.0
2	7.8	6	33 19.0	32 49.11	2 45 45.4	16 34 37.6
3	8	5	34 16.2	33 56.36	2 46 43.0	16 33 40.0
4	8.9	4	34 50.6	34 50.60	2 49 49.8	16 30 33.2
5	9	3	26.6	35 46.62	3 3 24.5	16 16 58.5
6	9	3	27.0	36 46.92	3 14 35.3	16 5 47.7
7	9	2	7.5	37 37.32	2 50 15.8	16 30 7.2
8	9	6	58.6	37 28.92	4 10 22.0	15 10 1.0
9	6	7	38 32.2	37 52.81	4 19 44.4	15 0 38.6
10	9	5	39 51.3	39 31.42	3 1 9.0	16 19 14.0
11	7.8	6	40 45.0	40 15.30	4 1 39.5	15 18 43.5

Hülftafel zur Reduction auf den mittleren Ort 1850 Januar 0 D = -16°.

T.	k	k'	d
15 30-20.83	0	-1	-13.2
40-20.83	0	-1	-13.6
50-20.83	+1	-1	-13.9
16 0-20.82	+1	-2	-14.2
10-20.81	0	-2	-14.4
20-20.81	+1	-2	-14.7
30-20.80	+2	-2	-14.9

53 Fad. 2. 12.0
 54 " 5. 21.5
 55 " 7. 41.8
 57 " 3. 18.3 Faden 4. 38.2
 61 " 7. 10.0
 63 " 3. 56.0
 64 " 7. 7.1

Z. 297 No. 63 zeigt,
 Fad. 5 u. 6 zu lesen ist; damit ist T
 rechnet.

65 Fad. 2. .0 4. 55 9.8
 66 " 6. 52.9
 68 " 4. 52.2
 70 " 5. 51.5
 71 " 7. 29.2 Fäden 49.23 u. 49.66
 75 " 6. 33.9
 76 " 5. 43.0 " 23.60 u. 23.28
 77 " 7. 17.9
 80 " 6. 59.7
 81 " 7. 7.5
 83 " 6. 6.4
 84 " 7. 4.3
 85 " 6. 52.7 Faden 7. 2.8
 86 " 4. 3.3
 92 " 5. 3.5
 93 " 2. 3.3

ZONE 206. 1849 Mai 24. Wc

Südl. Coll. 13 16 - 1 39.00
 15 16 - 1 44.70
 Anf. 28 1.66 + 12.0 50.8
 Ende 1.47 + 10.2 47.7
 Microsc. I - 9".42
 Decl. = Micr. I - 19° 20' 23"
 14^u τ + i - 23."408 Δτ - 0."020 Δi - 0.⁴
 5 Fad. 4. 46."7 8. Decl. 10' zweifelha
 10 " 6. 1."2

No.	Gr.	Fad.	Beob. Zeit.	T.	Microsc. I	Südl. Declin.																																																		
12	9.0	5	42 0.6	13 41 40.82	3 26 31.5	15 53 51.5	<div>Hülftafel zur Reduction auf den mittleren Ort 1850 Januar 0 D = - 16°.</div> <table><tr><th>T.</th><th>k</th><th>k'</th><th>d</th><th></th></tr><tr><td>13 30 - 22.14</td><td>-3</td><td>0</td><td>- 6.1</td><td>-0.8 +</td></tr><tr><td>40 - 22.17</td><td>-2</td><td>0</td><td>- 6.9</td><td>-0.8 +</td></tr><tr><td>50 - 22.19</td><td>-3</td><td>0</td><td>- 7.7</td><td>-0.8 +</td></tr><tr><td>14 0 - 22.22</td><td>-2</td><td>0</td><td>- 8.5</td><td>-0.7 +</td></tr><tr><td>10 - 22.24</td><td>-2</td><td>0</td><td>- 9.2</td><td>-0.7 +</td></tr><tr><td>20 - 22.26</td><td>-2</td><td>0</td><td>- 9.9</td><td>-0.7 +</td></tr><tr><td>30 - 22.28</td><td>-2</td><td>0</td><td>-10.6</td><td>-0.7 +</td></tr><tr><td>40 - 22.30</td><td></td><td>0</td><td>-11.3</td><td>+ +</td></tr></table>					T.	k	k'	d		13 30 - 22.14	-3	0	- 6.1	-0.8 +	40 - 22.17	-2	0	- 6.9	-0.8 +	50 - 22.19	-3	0	- 7.7	-0.8 +	14 0 - 22.22	-2	0	- 8.5	-0.7 +	10 - 22.24	-2	0	- 9.2	-0.7 +	20 - 22.26	-2	0	- 9.9	-0.7 +	30 - 22.28	-2	0	-10.6	-0.7 +	40 - 22.30		0	-11.3	+ +
T.	k	k'	d																																																					
13 30 - 22.14	-3	0	- 6.1	-0.8 +																																																				
40 - 22.17	-2	0	- 6.9	-0.8 +																																																				
50 - 22.19	-3	0	- 7.7	-0.8 +																																																				
14 0 - 22.22	-2	0	- 8.5	-0.7 +																																																				
10 - 22.24	-2	0	- 9.2	-0.7 +																																																				
20 - 22.26	-2	0	- 9.9	-0.7 +																																																				
30 - 22.28	-2	0	-10.6	-0.7 +																																																				
40 - 22.30		0	-11.3	+ +																																																				
13	8.9	1	43 22.2	44 1.75	4 36 57.5	14 43 25.5																																																		
14	8.9	5	11.9	43 52.09	3 55 6.8	15 25 16.2																																																		
15	7.8	5	49.0	45 29.28	4 5 11.6	15 15 11.4																																																		
16	8.9	6	36.5	46 6.84	4 17 40.0	15 2 43.0																																																		
17	9	6	47 49.0	47 19.20	3 33 14.2	15 47 8.8																																																		
18	9	7	48 44.6	48 5.01	3 17 54.5	16 2 28.5																																																		
19	9	4	49 26.7	49 26.70	3 1 20.6	16 19 2.4																																																		
20	9.0	2	49 54.7	50 24.47	2 57 57.7	16 22 25.3																																																		
21	9	4	51 1.0	51 1.00	4 10 9.4	15 10 13.6																																																		
22	7.8	5	53 24.6	53 4.85	3 44 46.1	15 35 36.9																																																		
23	8	7	54 41.2	54 1.38	2 10 44.2	17 9 38.8																																																		
24	8.9	5	40.1	55 20.22	2 27 50.6	16 52 32.4																																																		
25	8.9	6	54.3	55 24.38	2 29 58.0	16 50 25.0																																																		
26	9	4	56 44.5	56 44.50	2 56 37.3	16 23 45.7																																																		
27	9.0	6	57 17.4	56 47.71	3 3 10.5	16 17 12.5																																																		
28	7	7	58 5.5	57 26.00	3 43 37.5	15 36 45.5																																																		
29	7	4	59 26.4	59 26.40	3 52 7.4	15 28 15.6																																																		
30	9	3	0 12.2	14 0 32.09	3 29 7.9	15 50 15.1																																																		
31	8.9	3	2 52.3	3 2.35	2 24 54.4	16 55 28.6																																																		
32	8	5	44.1	3 24.12	3 1 46.9	16 18 36.1																																																		
33	9.0	4	5 3.3	5 3.30	3 16 45.0	16 3 38.0																																																		
34	9	5	6 43.0	6 23.23	3 33 11.1	15 47 11.9																																																		
35	9	4	7 50.5	7 50.50	3 29 7.9	15 51 15.1																																																		
36	7.8	7	8 40.6	8 1.14	3 57 37.4	15 22 45.6																																																		
37	9.0	6	9 14.8	8 45.09	3 59 21.8	15 21 1.2																																																		
38	9	5	10 19.0	9 59.28	4 0 53.3	15 19 29.7																																																		
39	9	5	11 42.0	11 22.22	3 27 48.9	15 52 34.1																																																		
40	7.8	4	12 34.6	12 34.60	2 30 26.9	16 49 56.1																																																		
41	8	4	12 59.5	12 59.50	2 33 19.1	16 47 3.9																																																		
42	9	6	13 1.7	12 31.86	3 2 45.4	16 17 37.6																																																		
43	9	5	15 4.7	14 45.17	4 17 9.7	15 3 13.3																																																		
44	9	5	16 17.4	15 57.68	4 3 18.5	15 17 4.5																																																		
45	6.7	6	16 36.5	16 6.79	3 55 29.6	15 24 53.4																																																		
46	7	6	18 35.0	18 5.26	3 43 24.1	15 36 58.9																																																		
47	7.8	3	19 14.7	19 34.52	4 12 20.4	15 8 2.6																																																		
48	9	4	20 20.5	20 20.50	3 54 25.8	15 25 57.2																																																		
49	8	6	21 54.1	21 24.28	2 54 7.9	16 26 15.1																																																		
50	8.9	4	23 0.3	23 0.30	3 12 12.1	16 8 10.9																																																		
51	9	4	38.1	23 38.10	3 12 48.5	16 7 34.5																																																		
52		7	0.0	23 20.37	3 5 6.4	16 15 16.6																																																		
53	8.9	5	25 17.0	24 57.23	3 32 38.6	15 47 44.4																																																		
54	8.9	5	26 2.0	25 42.24	3 36 46.0	15 43 37.0																																																		
55	9	3	26 .6	27 15.34	3 32 52.7	15 47 30.3																																																		
56	8.9	3	29 19.3	29 39.20	3 27 45.4	15 52 37.6																																																		
57	8.9	2	30 0.0	30 29.72	3 27 13.2	15 53 9.8																																																		
58	9	4	30 44.2	30 44.20	3 29 9.8	15 51 13.2																																																		
59	8	4	31 44.6	31 44.60	3 24 11.8	15 56 11.2																																																		
60	9	5	32 22.0	32 2.13	2 32 36.1	16 47 46.9																																																		
61	9	5	54.4	32 34.50	2 12 28.0	17 7 55.0																																																		
62	9	4	51.5	33 51.50	2 42 36.0	16 37 47.0																																																		
63	9	4	25.7	34 25.70	2 40 27.1	16 39 55.9																																																		
64	9.0	4	35 6.7	35 6.70	2 40 30.5	16 39 52.5																																																		
65	7.8	1	52.0	36 31.74	3 6 26.9	16 13 56.1																																																		
66	9	6	36 48.0	36 18.33	4 15 29.5	15 4 53.5																																																		

13	Fad.	2.	32.3	
14	"	6.	21.7	Zeitminute vielleicht 44'.
15	"	7.	8.7	
17	"	7.	58.7	
20	"	3.	4.5	
27	"	7.	27.5	
31	"	4.	2.4	+ 10"? oder andre Fäden
32	"	6.	53.8	Fäden 24".28 u. 23".95
43	"	6.	15.0	" 45".01 u. 45".33
49	"	7.	4.0	
55	"	4.	15.2	
57	"	6.	59.5	

13 Fad. 2. 32.3
 14 „ 6. 21.7 Zeitminute vielleicht 44'.
 15 „ 7. 8.7
 17 „ 7. 58.7
 20 „ 3. 4.5
 27 „ 7. 27.5
 31 „ 4. 2.4 + 10''? oder andre Fäden?
 32 „ 6. 53.8 Fäden 24''.28 u. 23''.95
 43 „ 6. 15.0 „ 45''.01 u. 45''.33
 49 „ 7. 4.0
 55 „ 4. 15.2
 57 „ 6. 59.5

Nº.	Gr.	Fad.	Beob. Zeit.	T.	Microsc. I	Südl. Declin.
67	9	7	38' 12.0	^u 14 37' 32.63	^u 4 28' 31.3	^o 14 51' 51.7
68	6	6	38 33.8	38 4.17	4 31 0.9	14 49 22.1
69	9	6	39 35.7	39 5.92	3 30 8.7	15 50 14.3
70	7.8	1	41 31.4	42 11.05	3 33 43.0	15 46 40.0
71	9	3	42 34.0	42 53.93	3 5 58.3	16 14 24.7
72	3	5	17.1	42 57.36	3 55 38.8	15 24 44.2
73	7.8	3	44 21.9	44 41.79	3 33 52.3	15 46 30.7
74	8.9	2	45 13.6	45 43.32	3 26 55.1	15 53 27.9
75	8.9	1	45 53.0	46 32.65	3 33 52.2	15 46 30.8
76	8.9	3	46 27.7	46 47.60	3 25 34.3	15 54 48.7
77	9.0	3	12.9	47 32.83	3 8 57.9	16 11 25.1
78	9.0	4	49.2	47 49.20	3 13 40.9	16 6 42.1
79	6	3	48 0.6	48 20.71	3 9 15.4	16 11 7.6
80	8	5	49 28.4	49 8.62	3 26 11.2	15 54 11.8
81	8.9	5	0.0	49 40.23	3 32 22.0	15 48 1.0
82	9	5	35.4	50 15.63	3 27 40.1	15 52 42.9
83	9	4	51.4	50 51.32	3 29 55.0	15 50 28.0
84	9	4	51.5	51 51.50	4 9 5.7	15 11 17.3
85	9	6	50.7	52 20.93	3 24 19.1	15 56 3.9
86	9	5	53 43.0	53 23.19	3 3 19.6	16 17 3.4
87	8	3	20.8	54 40.61	4 19 21.1	15 1 1.9
88	7.8	3	55 51.6	56 11.38	4 28 12.0	14 52 11.0
89	7	4	56 16.9	56 16.90	4 26 7.8	14 54 15.2
90	8.9	1	46.0	58 25.79	2 51 54.2	16 28 28.8
91	9	5	24.8	58 5.07	3 0 13.1	16 20 9.9
92	8.9	4	26.0	59 26.00	2 33 44.7	16 46 38.3
93	9	5	2.7	59 42.83	2 32 22.6	16 48 0.4
94	7.8	6	42.4	¹⁵ 0 12.52	2 50 1.0	16 30 22.0
95	8.9	3	1 34.9	1 54.72	4 12 42.2	15 7 40.8
96	9	5	43.0	2 23.25	3 41 11.6	15 39 11.4
97	9	7	2.5	2 22.97	3 36 11.7	15 44 11.3
98	9	7	47.3	3 7.78	3 38 16.9	15 42 6.1
99	6	6	4 19.5	3 49.83	3 44 18.5	15 35 4.5
1	9	4	16 39.3	¹⁴ 16 39.30	1 54 41.6	17 25 58.4
2	8.9	4	18 40.0	18 40.00	1 12 19.5	18 8 20.5
3	9	5	19 27.2	19 7.23	1 38 21.1	17 42 18.9
4	9	5	49.6	19 29.63	1 37 26.8	17 43 13.2
5	9	4	50.1	20 50.10	2 26 18.0	16 54 22.0
6	9	6	21 24.8	20 54.87	2 29 34.0	16 51 6.0
7	9.0	6	22 21.0	21 50.99	2 0 37.9	17 20 2.1
8	9	4	23 48.2	23 48.20	1 18 36.8	18 2 3.2
9	8.9	4	24 27.0	24 27.00	2 7 47.7	17 12 52.3
10	9	5	25 57.1	25 37.03	0 43 8.5	18 37 31.5
11	9	7	28.4	25 48.50	1 48 51.1	17 31 48.9
12	8	7	26 54.6	26 14.69	1 46 59.6	17 33 40.4
13	9	6	27 52.3	27 22.04	0 22 12.0	18 58 28.0
14	9	7	28 35.4	27 55.32	1 1 59.0	18 18 41.0
15	9	7	29 24.6	28 44.55	1 9 58.6	18 10 41.4
16	9.0	7	30 29.6	29 49.78	2 11 11.4	17 9 28.6
17	8.9	5	30 52.2	30 32.35	2 7 21.2	17 13 18.8
18	8.9	4	31 26.2	31 26.20	2 6 29.9	17 14 10.1
19	9	3	32 15.6	32 35.62	2 12 27.5	17 8 12.5
20	9.0	5	33 10.5	32 50.57	2 1 4.3	17 19 35.7
21	8	5	34 19.0	33 59.00	1 19 19.2	18 1 20.8
22	9	5	48.5	34 28.54	1 40 28.4	17 40 11.6

Hülftafel zur Reduction auf den mittlern Ort 1850 Januar 0 D = - 16°.

T.	k	k'	d	d'
^u 14 30' - 22.28	-2	0	-10.6	-0.7
40 - 22.30	-1	0	-11.3	-0.6
50 - 22.31	-1	-1	-11.9	-0.6
15 0 - 22.32	-1	-1	-12.5	-0.6
10 - 22.33		-1	-13.1	+10

72 Fad. 6. 27.0 Fad. 7. 36".9
 79 " 4. 20.9 Fäden 20".52 u. 20".90
 83 " 5. 11.0
 91 " 6. 35.0
 99 " 7. 29.4 Microsc. I Minute 45', v
 Zone 205 Nº. 18 und LL. 27640—42 zeige
 damit ist die Decl. berechnet.

ZONE 207. 1849 Mai 26. Wei

NC. 13 10' - 1 52.08
 16 9 - 1 55.86
 Anf. 28 1.12 + 13.4 54.7
 Ende 1.09 + 11.4 52.9
 Micr. I - 9".35 und - 9".95
 Decl. = Micr. I - 19° 20' 40"
 15" r + i - 24".362 Δr - 0".018 Δi - 0".0

Hülftafel zur Reduction auf den mittlern Ort 1850 Januar 0 D = - 18°.

T.	k	k'	d	d'
^u 14 10' - 23.18	-2	0	- 5.6	-0.4
20 - 23.20	-2	0	- 6.0	-0.5
30 - 23.22	-2	0	- 6.5	-0.4
40 - 23.24		0	- 6.9	+1

13 Fad. 7. 2".3 17 Fad. 6. 2".4
 18 " 5. 46".0 21 Nach dem Zeugniß
 von LL. 26730, Z. 303 Nº. 3 u. Z. 381 Nº. 1
 ist Fad. 6 zu lesen und dann T. 33' 48".8

No.	Gr.	Fad.	Beob. Zeit.	T.	Microsc. I	Südl. Declin.
23	9	5	35' 2.3	14 34' 42.33	1 38' 39.7	17 42' 0.3
24	8	2	36 51.0	37 20.95	1 58 54.6	17 21 45.4
25	8.9	3	37 29.6	37 49.69	1 38 25.6	17 42 14.4
26	7	6	24.0	37 54.04	2 17 0.8	17 3 39.2
27	9	5	3.2	38 43.32	2 26 41.7	16 53 58.3
28	9	5	39 41.2	39 21.22	1 29 42.2	17 50 57.8
29	9.0	7	10.1	39 30.22	1 55 7.2	17 25 32.8
30	9	4	24.7	41 24.70	1 39 32.8	17 41 7.2
31	8.9	5	2.2	41 42.20	1 20 25.7	18 0 14.3
32	8.9	5	43 27.6	43 7.57	1 3 12.4	18 17 27.6
33	8.9	4	45 4.7	45 4.70	1 18 17.3	18 2 22.7
34	9.0	4	45 44.7	45 44.70	1 12 11.9	18 8 28.1
35	8.9	3	46 50.8	47 10.87	1 47 55.6	17 32 44.4
36	8	3	27.7	47 47.79	1 35 30.7	17 45 9.3
37	7.8	4	48 15.0	48 15.00	1 1 48.8	18 18 51.2
38	9.0	6	49 8.3	48 37.99	0 18 37.0	19 2 3.0
39	8	2	49 58.6	50 28.91	0 13 38.5	19 7 1.5
40	9	4	51.5	50 51.50	0 37 12.9	18 43 27.1
41	8	2	7.7	51 37.94	0 38 43.6	18 41 56.4
42	9	6	51 46.4	51 16.14	0 32 34.7	18 48 5.3
43	8	5	38.4	52 18.40	1 19 11.7	18 1 28.3
44	7.8	3	6.5	53 26.64	1 8 25.7	18 12 14.3
45	9.0	4	53 52.2	53 52.20	1 53 22.7	17 27 17.3
46	9.0	5	54 15.6	53 55.66	1 52 15.9	17 28 24.1
47	9	5	55 1.7	54 41.78	1 58 30.4	17 22 9.6
48	7	6	55 34.4	55 4.44	2 18 26.1	17 2 13.9
49	8	4	56 27.8	56 27.94	2 1 54.1	17 18 45.9
50	9	5	56 49.9	56 29.98	2 1 54.1	17 18 45.9
51	9	7	57 54.6	57 14.75	2 3 18.1	17 17 21.9
52	9	4	58 47.8	58 47.93	1 49 46.7	17 30 53.3
53	8.9	3	0 10.5	15 0 30.70	0 42 6.1	18 38 33.9
54	9	4	1 2.3	1 2.30	0 37 18.7	18 43 21.3
55	9	4	47.5	1 47.50	0 59 26.6	18 21 13.4
56	9.0	2	2 22.5	2 52.56	1 20 50.2	17 59 49.8
57	9	3	39.3	3 59.38	1 43 17.8	17 37 22.2
58	7	3	4 0.6	4 20.67	1 49 30.7	17 31 9.3
59	9	6	5 7.4	4 37.24	1 5 52.2	18 14 47.8
60	9	5	6 1.0	5 41.01	1 25 54.0	17 54 46.0
61	6	4	6 23.0	6 22.91	1 28 58.8	17 51 41.2
62	9	4	6 24.9	6 25.06	1 28 20.0	17 52 20.0
63	8	2	42.6	8 12.70	1 16 39.0	18 4 1.0
64	9	7	39.7	7 59.57	0 47 30.0	18 33 10.0
65	9.0	7	9 42.0	9 1.87	0 48 24.9	18 32 15.1
66	8.9	7	9 52.7	9 12.59	0 53 19.4	18 27 20.6
67	7.8	4	20.0	11 20.00	1 36 30.3	17 44 9.7
68	9	5	42.1	11 22.13	1 33 52.0	17 46 48.0
69	9	4	12 3.8	12 3.82	1 40 59.6	17 39 40.4
70	6	4	12 46.9	12 46.97	1 44 12.3	17 36 27.7
71	8.9	5	13 30.4	13 10.44	1 40 24.9	17 40 15.1
72	8.9	3	47.4	14 7.44	1 38 11.2	17 42 28.8
73	8.9	4	14 51.6	14 51.60	1 2 39.8	18 18 0.2
74	9	4	16 41.9	16 41.90	1 30 15.7	17 50 24.3
75	7.8	2	17 13.5	17 43.56	1 21 49.3	17 58 50.7
76	9.0	3	17 37.2	17 57.33	1 17 24.2	18 3 15.8
77	8.9	5	34.5	18 14.56	1 52 36.8	17 28 3.2

Hülftafel zur Reduction auf den mittlern Ort 1850 Januar 0 D = - 18°.

T.	k	k'	d	d'
14 30'-23.22	-2	0	- 6.5	-0.4 +12.0
40-23.24	-1	0	- 6.9	-0.4 +12.1
50-23.25	-2	0	- 7.3	-0.3 +12.1
15 0-23.27	-1	-1	- 7.6	-0.4 +12.1
10-23.28	0	-1	- 8.0	-0.3 +12.1
20-23.28		-1	- 8.3	+12.2

23	Fad. 6.	12.4
39	" 3.	8.7
41	" 3.	17.8
48	Decl.-Minute zweifelhaft.	
49	Fad. 5.	48.0
52	" 5.	8.0
61	" 5.	42.8
62	" 5.	45.2
63	" 3.	52.6
69	" 5.	23.8
70	" 5.	7.0
72	" 4.	7.4

Fäden 24".90 u. 25".92

No.	Gr.	Fad.	Beob. Zeit.	T.	Microsc. I	Südl. Declin.
78	9	5	59.6	15 18 39.66	1 52 36.1	17 28 3.9
79	9.0	6	18 54.2	19 23.92	1 17 12.9	18 3 27.1
80	8	5	19 53.3	20 33.28	1 8 59.6	18 11 40.4
81	8.9	5	32.5	21 12.40	0 28 0.2	18 52 39.8
82	9	6	19.0	21 48.89	1 25 47.6	17 54 52.4
83	7.8	4	52.3	22 52.33	1 1 47.2	18 18 52.8
84	9	3	23 28.7	23 48.82	1 20 34.5	18 0 5.5
85	9	2	9.1	24 38.96	1 55 49.1	17 24 50.9
86	9.0	5	3.4	24 43.48	2 5 53.4	17 14 46.6
87	8.9	3	31.8	25 51.80	2 23 38.7	16 57 1.3
88	8.9	4	19.2	26 19.20	2 9 23.3	17 11 16.7
89	9	2	54.8	27 24.70	2 16 38.2	17 4 1.8
90	8.9	4	27 21.2	27 21.20	2 26 33.4	16 54 6.6
91	9	7	4.6	27 24.79	2 16 37.6	17 4 2.4
92	9.0	6	52.0	28 22.02	2 9 9.0	17 11 31.0
93	9	7	43.0	29 3.09	1 48 41.1	17 31 58.9
94	9	5	28.7	30 8.80	2 16 57.1	17 3 42.9
95	7	5	53.4	30 33.79	2 10 38.9	17 10 1.1
96	9	5	40.5	31 20.52	1 31 46.7	17 48 53.3
97	9	6	31 50.4	31 20.51	1 29 50.9	17 50 49.1
98	9	6	42.7	32 12.69	1 36 47.0	17 43 53.0
99	9	6	49.9	33 19.73	1 1 27.1	18 19 12.9
100	7	34	14.4	33 34.33	1 4 34.4	18 16 5.6
101	9.0	6	36 8.5	35 38.50	2 1 27.1	17 19 12.9
102	9.0	4	36 42.6	36 42.56	2 7 24.1	17 13 15.9
103	9	4	52.8	37 52.80	1 39 56.9	17 40 43.1
104	9	4	10.7	38 10.70	1 44 40.6	17 35 59.4
105	8	2	39.2	39 9.20	1 43 36.4	17 37 3.6
106	9	5	19.3	38 59.30	1 20 46.7	17 59 53.3
107	8.9	2	39.4	40 9.54	1 22 35.4	17 58 4.6
108	9	4	23.6	40 23.60	0 35 56.7	18 44 43.3
109	9.0	7	12.6	40 32.37	0 24 8.4	18 56 31.6
110	7.8	4	41 51.4	41 51.40	1 40 3.5	17 40 36.5
111	9	5	44.7	42 24.72	1 31 5.2	17 49 34.8
112	8.9	6	15.2	42 45.15	1 45 33.0	17 35 7.0
113	7	4	44 3.5	44 3.50	1 21 56.4	17 58 43.6
114	9.0	7	45 33.6	44 53.43	0 39 39.6	18 41 0.4
115	5	3	46 23.8	46 44.03	0 24 49.4	18 55 50.6
116	8.9	4	47 22.6	47 22.60	1 0 6.5	18 20 33.4
117	8.9	4	49.0	47 49.00	1 31 54.4	17 48 45.6
118	9	5	16.6	47 56.75	1 26 45.2	17 53 54.8
119	8.9	2	49 45.5	50 15.44	2 2 14.0	17 18 26.0
120	9	6	40.0	50 10.06	2 22 55.2	16 57 44.8
121	9.0	7	12.5	50 32.71	2 19 30.9	17 1 9.1
122	8	6	51 37.7	51 7.77	2 29 26.4	16 51 13.6
123	9.0	4	52 46.5	52 46.50	0 28 57.4	18 51 42.6
124	9	3	54 5.0	54 25.09	1 34 54.8	17 45 45.2
125	8.9	5	42.2	54 22.26	1 54 25.4	17 26 14.6
126	9.0	7	9.0	54 29.11	1 52 31.7	17 28 8.3
127	9	5	3.7	55 43.62	0 39 56.8	18 40 43.2
128	8	4	30.6	56 30.61	0 36 27.5	18 44 12.5
129	8	4	25.6	57 25.60	0 4 59.4	19 15 40.6
130	9	4	57 54.8	57 54.80	0 23 7.6	18 57 32.4
131	8	5	26.5	59 6.50	1 23 21.1	17 57 18.9
132	6.7	4	52.2	59 52.20	30 54.7	18 49 45.3

Hülfsstafel zur Reduction auf den mittlere Ort 1850 Januar 0 D = - 18°.

T.	k	k'	d
15 10-23.28	0	-1	- 8.0
20-23.28	-1	-1	- 8.3
30-23.29	0	-1	- 8.5
40-23.29	0	-1	- 8.8
50-23.29	0	-1	- 9.0
16 0-23.29		-1	- 9.2

79 Fad. 7. 3".8 Die Zeit dieses und des genden Sterns muss um 1' vergrößert werden, wie die Folge der Beobachtungen z und die AR. des Sterns LL. 28183. I dieser Annahme ist T berechnet.

85 Fad. 3. 18.8

89. 91 derselbe.

97 Fad. 7. 0.7 Fäden 20.30 u. 20.72

98 " 7. 52.7

102 " 6. 12.5

107 " 3. 49.5

118 " 6. 27.0

128 " 5. 50.7

132. Der Grad der Decl. nach LL. 29338 sup

133 Fad. 4. 45".2

Nº.	Gr.	Fad.	Beob. Zeit.	T.	Microsc. I	Südl. Declin.
133	8	3	0 24.9	16 0 45.15	0 45 25.0	18 35 15.0
1	9	6	32 26.1	14 31 55.81	10 21 25.9	18 58 24.1
2	9	6	33 5.8	32 35.49	10 15 48.2	19 5 1.8
3	7.8	5	43.3	33 23.15	10 4 2.3	19 16 47.7
4	9	6	21.0	33 50.79	10 47 23.5	18 33 26.5
5	9.0	5	8.0	34 47.87	10 12 49.9	19 8 0.1
6	9.0	6	58.5	35 27.97	9 3 58.7	20 16 51.3
7	9	4	36 38.5	36 38.64	9 30 22.6	19 50 27.4
8	9.0	7	38 1.2	37 20.79	9 40 13.7	19 40 36.3
9	9	5	58.6	38 38.48	10 18 31.0	19 2 19.0
10	9.0	7	39 30.0	38 49.72	10 10 0.1	19 10 49.9
11	9.0	7	40 33.2	39 52.65	9 7 6.6	20 13 43.4
12	9	3	41 26.7	41 47.05	9 25 59.3	19 54 50.7
13	9	4	9.8	42 9.80	9 18 29.4	20 2 20.6
14	9	4	24.4	42 24.40	9 12 30.8	20 8 19.2
15	9.0	5	8.1	43 47.86	9 18 22.5	20 2 27.5
16	7.8	4	44 38.4	44 38.40	9 21 28.0	19 59 22.0
17	8.9	4	45 8.5	45 8.50	8 21 56.6	20 58 53.4
18	9.0	6	31.8	45 1.10	8 16 8.6	21 4 41.4
19	8	5	45 53.8	45 33.42	8 15 28.4	21 5 21.6
20	7	4	46 59.8	46 59.80	9 57 3.4	19 23 46.6
21	9	5	47 51.5	47 31.32	9 49 26.9	19 31 23.1
22	9	4	33.5	48 33.50	10 2 27.3	19 18 22.7
23	9	7	49 19.6	48 39.35	10 18 37.7	19 2 12.3
24	8	3	9.2	50 29.45	10 13 37.4	19 7 12.6
25	9.0	4	54.5	50 54.50	10 22 17.4	18 58 32.6
26	8.9	5	36.5	51 16.41	10 32 33.7	18 48 16.3
27	8	5	58.4	51 38.34	10 38 40.6	18 42 9.4
28	8.9	4	53 20.0	53 20.00	8 50 32.4	20 30 17.6
29	8.9	5	53.3	53 32.98	8 42 50.3	20 37 59.7
30	9	3	21.6	54 42.07	8 32 18.9	20 48 31.1
31	9.0	4	37.0	54 37.08	8 31 13.5	20 49 36.5
32	8	3	57 18.5	57 38.84	9 31 19.6	19 49 30.4
33	9.0	7	58 9.2	57 28.83	9 49 3.0	19 31 47.0
34	8.9	5	58 56.9	58 36.73	9 53 55.0	19 26 55.0
35	8	5	59 28.6	59 8.42	9 42 33.9	19 38 16.1
36	9	6	0 39.5	15 0 9.16	10 4 47.3	19 16 2.7
37	9.0	5	1 23.8	1 3.66	10 9 15.1	19 11 34.9
38	9.0	5	2 15.5	1 55.35	10 2 50.3	19 17 59.7
39	9.0	4	3 18.5	3 18.50	9 14 2.8	20 6 47.2
40	9.0	4	53.0	3 53.00	9 10 9.8	20 10 40.2
41	8.9	4	4 23.3	4 23.30	8 58 37.2	20 22 12.8
42	8.9	7	5 47.0	5 6.59	9 39 53.4	19 40 56.6
43	9	6	20.8	5 50.38	9 42 3.3	19 38 46.7
44	9	3	58.8	7 19.12	9 41 40.2	19 39 9.8
45	9	3	35.8	7 56.15	9 28 56.7	19 51 53.3
46	8.9	7	13.7	7 33.11	8 58 23.9	20 22 26.1
47	9	3	52.0	9 12.40	9 4 15.4	20 16 34.6
48	7	3	17.1	9 37.36	9 11 5.4	20 9 44.6
49	9	7	53.0	9 12.44	9 4 15.5	20 16 34.5
50	7	4	6.2	10 6.20	9 2 38.0	20 18 12.0
51	9	5	44.8	10 24.51	8 56 48.3	20 24 1.7
52	7.8	6	10 59.6	10 29.01	8 48 1.9	20 32 48.1
53	7.8	5	11 55.5	11 35.22	9 2 0.7	20 18 49.3
54	9	3	13 3.0	13 23.37	9 15 43.3	20 5 6.7

ZONE 208. 1849 Mai 27. W

SC. 14 22-1 40.18
 16 13-1 43.44
 Anf. 28 1.28+14.2 60.7
 Ende 1.32+13.3 56.8
 Micr. I - 9.07
 Decl. = Micr. I - 29° 20' 50"
 15^u $\tau + i - 24''$.769 $\Delta\tau - 0''$.020 $\Delta i - 0$

Hilfstafel zur Reduction auf den mittl. Ort 1850 Januar 0 D = - 20°.

T.	k	k'	d
14 30-23.64	-2	0	- 7.2 -0.6 +
40-23.66	-1	0	- 7.8 -0.5 +
50-23.67	-1	0	- 8.3 -0.6 +
15 0-23.68	-1	0	- 8.9 -0.5 +
10-23.69	-1	-1	- 9.4 -0.4 +
20-23.70		-1	- 9.8 -0.4 +

7 Fad. 5. 59.0
 27 „ 6. 8.6
 31 „ 5. 57.5
 47. 49 derselbe

No.	Gr.	Fad.	Beob. Zeit.	T.	Microsc. I	Südl. Declin.
55	9	1	13 33.7	^u 15 14' 14.47	9 9 58.5	20° 10' 51.5
56	9	2	13 50.0	14 20.45	9 10 49.4	20 10 0.6
57	8.9	1	15 14.8	15 55.49	9 2 45.0	20 18 5.0
58	8	5	16 37.9	16 17.73	9 55 20.3	19 25 29.7
59	7	4	17 48.9	17 48.90	8 30 14.3	20 50 35.7
60	8.9	5	18 41.0	18 20.62	9 23 1.5	19 57 48.5
61	9	4	44.5	19 44.50	9 59 0.0	19 21 50.0
62	8.9	4	20 41.2	20 41.20	9 39 56.4	19 40 53.6
63	9	3	21 26.2	21 46.49	9 56 4.3	19 24 45.7
64	9	4	21 47.4	21 47.40	9 53 59.0	19 26 51.0
65	9.0	5	26.2	22 5.95	9 15 29.5	20 5 20.5
66	6.7	7	23 0.8	22 20.25	9 8 33.7	20 12 16.3
67	9	7	24 21.0	23 40.48	9 14 15.1	20 6 34.9
68	9	5	56.6	24 36.35	9 13 58.6	20 6 51.4
69	9	6	18.8	24 48.29	9 12 41.7	20 8 8.3
70	8	5	46.9	25 26.66	9 18 47.6	20 2 2.4
71	9	7	26.7	25 46.44	10 16 47.4	19 4 2.6
72	8.9	4	3.2	27 3.20	10 19 11.9	19 1 38.1
73	9	5	26 39.3	27 19.17	10 13 39.0	19 7 11.0
74	9.0	5	28 55.2	28 34.98	9 30 13.8	19 50 36.2
75	8	4	30 2.2	30 2.20	9 29 56.4	19 50 53.6
76	8.9	4	43.3	30 43.30	9 15 52.6	20 4 57.4
77	8	4	31 21.5	31 21.50	8 49 39.8	20 31 10.2
78	9	4	32 5.5	32 5.50	8 52 37.2	20 28 12.8
79	9	7	33 5.2	32 24.62	8 39 17.9	20 41 32.1
80	9	5	3.6	33 43.27	8 39 30.9	20 41 19.1
81	9	6	23.7	33 53.06	8 31 50.3	20 48 59.7
82	8.9	5	35 20.6	35 0.28	8 43 12.3	20 37 37.7
83	9	4	36 30.0	36 30.00	9 46 28.0	19 34 22.0
84	9	1	15.4	37 55.74	10 27 20.6	18 53 29.4
85	9	3	57.7	38 17.96	10 12 12.4	19 8 37.6
86	9	7	28.7	37 48.44	10 15 59.5	19 4 50.5
87	8	5	5.2	38 45.14	10 41 8.3	18 39 41.7
88	8.9	5	54.2	39 34.06	10 7 0.3	19 13 49.7
89	9.0	6	39.5	40 9.15	10 2 25.4	19 18 24.6
90	8	5	5.0	40 44.84	9 59 46.2	19 21 3.8
91	9.0	3	29.5	41 49.80	9 52 50.1	19 27 59.9
92	8.9	1	6.6	42 47.17	9 48 3.4	19 32 46.6
93	7	4	43 10.5	43 10.50	9 13 18.6	20 7 31.4
94	9	7	54.0	43 13.39	8 53 26.6	20 27 23.4
95	9.0	5	50.0	44 29.78	9 30 21.0	19 50 29.0
96	4	5	21.8	45 1.60	9 38 8.5	19 42 41.5
97	8	5	53.6	45 33.38	9 29 10.2	19 51 39.8
98	8.9	2	12.7	46 43.11	9 32 38.4	19 48 11.6
99	8	7	47 8.6	46 28.01	8 58 51.3	20 21 58.7
100	8.9	7	23.6	46 43.02	9 0 24.9	20 20 25.1
101	8	5	48 21.2	48 0.98	9 1 11.9	20 19 38.1
102	5	5	39.0	49 18.69	8 48 30.2	20 32 19.8
103	7	4	8.9	50 8.90	8 53 45.3	20 27 4.7
104	7.8	4	38.0	50 38.00	8 46 13.1	20 24 36.9
105	9	4	23.8	51 23.80	8 48 55.6	20 31 54.4
106	9.0	7	52 18.5	51 37.91	8 59 8.2	20 21 41.8
107	7	5	3.2	52 42.92	8 37 33.2	20 43 16.8
108	9	5	3.6	53 43.32	9 1 16.4	20 19 33.6
109	9	6	38.5	54 8.01	9 16 30.5	20 4 19.5

*Hülftafel zur Reduction auf den mittlere
Ort 1850 Januar 0 D = - 20°.*

T.	k	k'	d	
^u 15 10' 23.69	-1	-1	-9.4	-0.4 +
20-23.70	0	-1	-9.8	-0.5 +
30-23.70	0	-1	-10.3	-0.4 +
40-23.70	0	-1	-10.7	-0.4 +
50-23.70	0	-1	-11.1	-0.4 +
16 0-23.70	0	-1	-11.5	+

55 Fad. 3. 54.2

60 " 6. 51.2

73. Die Zeitminute muss 27' sein, wie die I
der Beobachtungen zeigt; unter dieser
nahme ist T berechnet.

77 Fad. 5. 41.8

87 " 6. 15.4

92 " 2. 16.9

98 " 3. 22.8

101 " 6. 31.6

107 " 6. 13.6

Gr.	Fad.	Beob. Zeit.	T.	Microsc. I	Südl. Declin.
9	5	2.2	15 54' 41.99	9 18' 9.0	20 2' 41.0
3.9	4	41.3	55 41.30	10 0 6.8	19 20 43.2
8	4	30.8	56 30.80	10 6 53.5	19 13 56.5
8	1	45.6	57 26.05	10 4 55.2	19 15 54.8
9	2	26.4	57 56.69	9 58 43.9	19 22 6.1
3.9	5	15.2	57 55.09	10 23 5.6	18 57 44.4
3.9	3	59 9.6	59 29.91	9 46 5.6	19 34 44.4
9.0	5	3.5	59 43.21	8 59 27.0	20 21 23.0
3.9	6	19.3	59 48.74	8 56 13.2	20 24 36.8
7.8	6	42.9	16 0 12.18	8 59 56.1	20 20 53.9
8	5	33.0	1 12.73	9 8 16.2	20 12 33.8
9	3	55.5	2 15.90	9 2 52.6	20 17 57.4
8	4	2 35.5	2 35.50	9 20 55.4	19 59 54.6
9	7	30 31.8	14 29 50.65	6 50 45.4	22 30 14.6
9	6	31 17.5	30 46.42	6 31 49.2	22 49 10.8
3.9	6	32 16.3	31 45.62	8 19 42.4	21 1 17.6
8	5	33 18.6	32 58.09	7 23 0.9	21 57 59.1
7.8	3	33 51.5	34 12.26	6 34 33.1	22 46 26.9
9	1	35 19.6	36 0.56	8 1 36.0	21 19 24.0
9.0	2	35 57.3	36 28.04	7 45 14.8	21 35 45.2
9	6	37 0.0	36 29.05	7 7 8.0	22 13 52.0
3.9	5	37 55.8	37 35.32	7 34 48.9	21 46 11.1
3.9	4	38 19.4	38 19.40	7 35 10.3	21 45 49.7
9.0	2	40 36.8	41 7.60	7 30 36.6	21 50 23.4
3.9	1	41 22.4	42 3.53	7 24 28.6	21 56 31.4
9.0	5	42 39.2	42 18.60	6 44 3.3	22 36 56.7
8	5	43 20.6	42 59.91	6 7 27.8	23 13 32.2
9	7	44 15.7	43 34.83	7 56 33.9	21 24 26.1
3.9	4	45 8.8	45 8.80	8 21 53.1	20 59 6.9
9	4	45 34.0	45 34.00	8 15 25.2	21 5 34.8
9	4	46 45.8	46 45.80	6 18 34.7	23 2 25.3
3.9	5	47 52.9	47 32.48	7 58 42.0	21 22 18.0
9.0	4	49 7.5	49 7.50	6 14 35.3	23 6 24.7
9.0	5	49 51.7	49 31.06	6 27 9.8	22 53 50.2
8	5	50 49.4	50 28.92	7 33 35.8	21 47 24.2
9	3	51 23.2	51 43.78	7 57 50.4	21 23 9.6
8	5	52 36.4	52 15.85	7 6 23.9	22 14 36.1
9	5	53 5.8	52 45.20	6 46 31.6	22 34 28.4
9.0	7	53 55.4	53 14.46	7 42 59.6	21 38 0.4
3.9	5	54 37.5	54 16.95	7 56 6.6	21 24 53.4
8	2	56 30.4	57 1.50	6 10 15.0	23 10 45.0
7.8	1	57 13.0	57 54.37	6 37 19.2	22 43 40.8
7	6	58 43.3	58 12.53	7 54 33.2	21 26 26.8
9	2	59 36.6	15 0 7.33	7 50 13.4	21 30 46.6
9	1	11.7	0 52.56	7 52 58.3	21 28 1.7
9.0	4	0 50.0	0 50.00	7 51 31.0	21 29 29.0
9.0	6	1 12.4	0 41.55	7 32 28.2	21 48 31.8
9	5	3 10.6	2 50.16	7 51 4.0	21 29 56.0
9.0	7	4 31.0	3 50.02	7 33 38.2	21 47 21.8
9.0	6	6 12.5	5 41.68	7 41 57.9	21 39 2.1
9	6	7 21.1	6 50.13	7 0 3.5	22 20 56.5
6	4	8 5.9	8 5.90	7 30 52.6	21 50 7.4
9	5	10 2.5	9 41.85	6 26 25.2	22 54 34.8
9	4	10 41.9	10 41.90	6 35 6.6	22 45 53.4
9	6	13 46.5	13 15.65	7 33 20.7	21 47 39.3

$D = - 20^{\circ}.$

T.	k	k'	d
15 50' - 23.70	0	-1	-11.1 -0.4 +
16 0 - 23.70	0	-1	-11.5 -0.3 +

110 Fad. 6. 12.5
113 „ 2. 55.8
114 „ 3. 36.4
119 „ 7. 52.6 Fäden 12'' .35 u. 12''

Ausgezeichnete Luft während der ganzen Z

ZONE 209. 1849 Mai 28. W.

SC. 14 22' - 1' 40.84
16 10 - 1' 42.72
Anf. 28 1.34 + 15.5 65.4
Ende 1.29 + 14.7 61.0
Microsc. I - 9'' .18
Decl. = Micr. I - 29° 21' 0''
15'' r+i - 25'' .330 Δr - 0'' .022 Δi - 0''

Hülfsstafel zur Reduction auf den mittlern Ort 1850 Januar 0 D = - 22°.

T.	k	k'	d
14 30' - 24.21	-2	0	-17.3 -0.5 +
40 - 24.23	-1	0	-17.8 -0.5 +
50 - 24.24	-1	0	-18.3 -0.4 +
15 0 - 24.25	-1	0	-18.7 -0.5 +
10 - 24.26	-0	-1	-19.2 -0.4 +
20 - 24.26	-0	-1	-19.6 -0.4 +

19. Wahrscheinlich Fad. 3 und Zeit 48' 13"
Vergl. Z. 295 N°. 122.
21. Secunde 57'' .7 und dann T. 37'' .06?

23 Fad. 4. 43.8
27 „ 7. 57.7
32 „ 2. 21.7

N.	Gr.	Fad.	Beob. Zeit.	T.	Microsc. I	Südl. Declin.
43	9	7	14 44.0	15 14 2.83	6 55 22.9	22 25 37.1
44	8.9	6	14 54.5	14 23.54	7 0 0.1	22 20 59.9
45	9	4	15 51.3	15 51.30	7 10 14.7	22 10 45.3
46	7.8	4	16 39.6	16 39.60	7 50 46.0	21 30 14.0
47	7.8	4	17 4.8	17 4.80	7 57 35.1	21 23 24.9
48	7.8	4	17 49.3	17 49.30	8 30 12.8	20 50 47.2
49	8	5	18 45.2	18 24.69	7 22 51.7	21 58 8.3
50	9.0	7	19 30.3	18 49.15	6 59 45.8	22 21 14.2
51	9	6	20 39.0	20 8.18	7 41 16.1	21 39 43.9
52	8.9	4	22 25.0	22 25.00	7 41 4.6	21 39 55.4
53	8	6	22 55.2	22 24.44	7 59 38.3	21 21 21.7
54	7.8	3	30.3	23 50.91	7 54 12.6	21 26 47.4
55	9.0	5	50.0	24 29.42	6 51 3.7	22 29 56.3
56	8.9	6	22.1	24 50.98	6 24 18.7	22 56 41.3
57	9	5	30.6	26 10.17	7 56 41.5	21 24 18.5
58	8	1	7.1	27 48.04	8 6 52.5	21 14 7.5
59	9.0	7	28 59.2	27 17.90	6 29 47.0	22 51 13.0
60	9	4	45.7	28 45.70	6 12 31.8	23 8 28.2
61	6.7	5	44.4	29 23.79	6 42 4.4	22 38 55.6
62	7.8	4	20.3	30 20.30	6 48 16.7	22 32 43.3
63	7	3	35.8	30 56.54	6 42 9.1	22 38 50.9
64	8.9	4	24.6	31 24.60	6 23 3.8	22 57 56.2
65	9	5	8.6	31 47.93	6 15 38.1	23 5 21.9
66	8	6	32 56.5	33 27.51	6 34 23.7	22 46 36.3
67	8.9	5	33 59.5	33 38.91	6 48 26.9	22 32 33.1
68	9	1	34 58.8	35 40.01	7 8 2.8	22 12 57.2
69	9.0	3	35 35.5	35 56.06	7 27 33.5	21 53 26.5
70	9	4	36 34.8	36 34.79	8 1 2.2	21 19 57.8
71	6	7	37 59.2	37 18.08	7 4 46.4	22 16 13.6
72	9.0	5	38 7.0	37 46.62	8 17 26.4	21 3 33.6
73	9.0	5	38 53.8	38 33.41	8 11 12.7	21 9 47.3
74	9	4	40 26.2	40 26.20	8 36 1.3	20 44 58.7
75	8.9	4	41 34.6	41 34.60	8 19 34.0	21 1 26.0
76	8	2	42 9.3	42 40.21	7 11 25.2	22 9 34.8
77	9	4	42 59.6	42 59.60	7 13 22.0	22 7 38.0
78	8.9	5	44 6.9	43 46.54	8 7 39.8	21 13 20.2
79	9.0	4	45 10.2	45 10.20	8 3 10.7	21 17 49.3
80	9.0	4	45 22.6	45 22.58	8 4 1.9	21 16 58.1
81	7	5	46 35.3	46 14.74	7 2 22.8	22 18 37.2
82	9	5	9.2	46 48.55	6 26 19.7	22 54 40.3
83	9	4	47 39.3	47 39.30	6 19 37.9	23 1 22.1
84	8	4	48 19.1	48 19.04	6 37 1.2	22 43 58.8
85	8	4	49 18.4	49 18.40	6 16 15.9	23 4 44.1
86	9.0	6	50 4.0	49 33.08	7 14 54.5	22 6 5.5
87	9	5	51 35.6	51 15.05	7 6 29.1	22 14 30.9
88	9.0	7	52 57.4	52 16.41	7 32 2.8	21 48 57.2
89	9	7	53 22.5	52 41.53	7 36 53.0	21 44 7.0
90	8	5	54 6.0	53 45.50	7 5 41.8	22 15 18.2
91	8.9	6	54 46.3	54 15.23	6 36 2.3	22 44 57.7
92	9	5	56 0.6	55 40.16	7 51 6.3	21 29 53.7
93	9.0	6	42.4	56 11.70	8 25 3.7	20 55 56.3
94	8.9	4	57 31.3	57 31.30	8 36 44.2	20 44 15.8
95	9	4	23.3	58 23.30	7 50 39.7	21 30 20.3
96	8	5	58 45.4	58 24.97	7 54 4.4	21 26 55.6
97	9	6	59 22.0	58 51.18	7 42 16.0	21 38 44.0

*Hülftafel zur Reduction auf den mittler
Ort 1850 Januar 0 D = - 22°.*

T.	k	k'	d	
15 10' - 24.26	0	-1	-19.2	-0.4 +1
20 - 24.26	-1	-1	-19.6	-0.4 +1
30 - 24.27	0	-1	-20.0	-0.3 +1
40 - 24.27	0	-1	-20.3	-0.4 +1
50 - 24.27	0	-1	-20.7	-0.3 +1
16 0 - 24.27	+1	-1	-21.0	-0.3 +1
10 - 24.26		-1	-21.3	+1

44 Fad. 7. 4.7

53 " 7. 5.3

56 " 7. 32.3

59. Die Zeitminute muss offenbar 27 sein, so kommen die Zeiten bis N°. 66 her und bei diesem Sterne ist die Minute bestmöglich, wie eigens angemerkt ist. Dann stimmen auch die N°. 61—64 mit LL. 28414.

66.82. Unter dieser Annahme ist T berechnet. Es muss Fad. 2 sein. Nur unter dieser Annahme ist die Beobachtung mit Hist. pag. 345 zu vereinigen, und nach ihr ist her T berechnet.

69 Fad. 4. 56.0

70 " 5. 55.2

76 " 3. 19.6

78 " 7. 27.4

80 " 6. 53.3

84 " 5. 39.6

87 " 6. 46.0

90 " 6. 16.5

91 " 7. 56.5

93 " 7. 52.4

Nº.	Gr.	Fad.	Beob. Zeit.	T.	Microsc. I	Sadl. Declin.
98	9	5	0 21.2	16 0 0.69	7 21 15.2	21 59 44.8
99	8	1	48.5	1 29.65	7 20 50.9	22 0 9.1
100	9	6	25.3	0 54.24	6 48 32.7	22 32 27.3
101	8	5	2 15.0	1 54.42	6 39 6.9	22 41 53.1
1	8.9	7	33 28.5	15 32 46.88	5 27 6.6	23 54 33.4
2	7	7	34 11.8	33 30.21	5 32 58.7	23 48 41.3
3	8	4	35 49.0	35 49.00	5 26 49.6	23 54 50.4
4	8	3	36 52.0	37 13.12	4 20 50.2	25 0 49.8
5	8	5	37 41.0	37 20.14	5 7 28.1	24 14 11.9
6	9	7	38 6 :	37 24	5 16 49.1	24 4 50.9
7	9.0	3	39 14.7	39 35.54	6 2 2.8	23 19 37.2
8	7.8	4	39 58.9	39 58.90	6 1 40.0	23 20 0.0
9	9	5	40 44.1	40 23.32	6 8 26.4	23 13 13.6
10	9.0	5	41 47.5	41 26.57	4 40 44.8	24 40 55.2
11	9	5	42 47.6	42 26.68	4 46 3.5	24 35 36.5
12	9	3	43 24.4	43 45.44	4 50 10.0	24 31 30.0
13	8	3	43 41.1	44 2.14	4 48 19.3	24 33 20.7
14	6	1	44 20.0	45 2.06	4 29 31.1	24 52 8.9
15	7	4	45 22.0	45 22.00	5 16 53.9	24 4 46.1
16	8.9	2	46 18.6	46 50.11	5 8 24.9	24 13 15.1
17	9	3	46 52.0	47 12.77	5 7 38.3	24 14 1.7
18	9	5	48 26.3	48 5.50	5 28 9.7	23 53 30.3
19	7.8	4	49 19.8	49 19.76	6 16 20.2	23 5 19.8
20	9	5	50 28.5	50 7.77	5 53 43.9	23 27 56.1
21	8	4	51 0.8	51 0.80	5 36 3.7	23 45 36.3
22	9	5	51 59.2	51 38.32	5 0 8.4	24 21 31.6
23	8.9	3	52 29.7	52 50.74	4 35 49.2	24 45 50.8
24	9.0	2	53 32.5	54 3.90	4 55 43.0	24 25 57.0
25	9.0	5	4.6	53 43.71	4 55 18.8	24 26 21.2
26	9.0	6	25.3	53 53.82	4 51 33.8	24 30 6.2
27	7	6	54 48.1	54 16.63	4 46 29.3	24 35 10.7
28	7	5	55 40.9	55 20.03	5 3 27.4	24 18 12.6
29	9.0	6	56 33.6	56 2.11	4 50 42.1	24 30 57.9
30	7.8	5	23.3	57 2.51	5 33 20.1	23 48 19.9
31	9	2	51.2	58 22.43	5 37 14.9	23 44 25.1
32	9	2	26.4	58 57.58	5 49 13.3	23 32 26.7
33	9	7	59 2.0	58 20.59	6 7 29.7	23 14 10.3
34	6.7	3	0 12.0	16 0 32.83	6 4 51.4	23 16 48.6
35	9	4	1 18.4	1 18.40	5 2 15.8	24 19 24.2
36	7	5	1 55.5	1 34.65	5 10 57.3	24 10 42.7
37	9	3	2 32.6	2 53.61	5 0 13.9	24 21 26.1
38	9	3	3 26.7	3 47.77	4 39 28.6	24 42 11.4
39	9	5	4 45.0	4 24.27	6 25 21.8	22 56 18.2
40	8	5	5 49.3	5 28.58	5 58 26.4	23 23 13.6
41	9.0	2	6 5.0	6 36.14	5 59 10.5	23 22 29.5
42	8.9	6	7 3.2	6 31.79	5 9 38.2	24 12 1.8
43	8.9	6	40.3	7 8.69	4 37 54.9	24 43 45.1
44	9	6	16.1	7 44.57	4 41 4.2	24 40 35.8
45	8.9	7	29.0	7 47.15	4 45 30.1	24 36 9.9
46	9	7	8 52.3	8 10.47	4 49 39.5	24 32 0.5
47	9	5	9 37.4	9 16.50	4 51 26.3	24 30 13.7
48	8	7	10 37.4	9 56.09	6 27 32.5	22 54 7.5
49	5	3	11 41.5	12 2.42	5 33 37.2	23 48 2.8
50	9	7	12 10.4	11 28.75	5 22 0.1	23 59 39.9
51	9	3	12 .2	13 18.33	4 44 30.2	24 37 9.8

100 Fad. 4. 35.4

101 „ 6. 25.5

Anfangs unruhige Luft, und zuweilen vielleicht etwas Gewölk; zuletzt ganz klar, Luft gut.

ZONE 210. 1849 Mai 30. West.

SC. 15 22'—1' 39.92

17 18—1 45.41

Anf. 28 2.02+12.7 52.3

Ende 1.87+11.3 50.6

Microsc. I — 12".09

Decl. = Microsc. I — 29° 21' 40"

16" $\tau+i = -26''.295$ $\Delta\tau-0''.020$ $\Delta i-0''.010$

Hilfstafel zur Reduction auf den mittlern Ort 1850 Januar 0 D = - 24°.

T.	k	k'	d	d'
15 30'—25.23	0	-1	- 5.3	-0.6
40—25.23	0	-1	- 5.9	-0.6
50—25.23	+1	-1	- 6.5	-0.5
16 0—25.22	0	-1	- 7.0	-0.5
10—25.22	+1	-1	- 7.5	-0.5

8. Microsc. wahrscheinlich 5 59 40 und dann Decl. 23 22 0. Vergl. LL. 28744, LC. 6537 und Z. 387 N°. 10.

9 Fad. 6. 54.4

16 „ 3. 29.3 Fäden 49.94 u. 50.28

17 „ 5. 33.4 „ 12.99 u. 12.54

19 „ 5. 40.4

23 „ 4. 50.7

26. Zeit vielleicht 25.7?

27 Fad. 7. 58.5

34. Statt Fad. 3 zu lesen Fad. 4 und T. 0 12.00 vergl. LC. 6710 Z. 387 N°. 48 und LL. 29345

39 Fad. 7. 5.5

43 „ 7. 50.5

51 „ 4. 18.4

No.	Gr.	Fad.	Beob. Zeit.	T.	Microsc. I	Südl. Declin.
52	9	5	14' 20.5	16' 13' 59.68	5' 20' 28.5	24° 1' 11.5
53	9	4	39.4	15 39.40	6 13 1.1	23 8 38.9
54	8.9	3	25.5	16 46.47	5 14 57.7	24 6 42.3
55	8	7	17 31.6	16 50.23	6 15 7.3	23 6 32.7
56	8	7	17 42.7	17 1.34	6 18 19.8	23 3 20.2
57	8	6	20 4.3	19 32.66	4 15 18.7	25 6 21.3
58	8	6	52.4	20 21.00	5 10 22.8	24 11 17.2
59	8.9	5	35.1	21 14.18	4 43 24.0	24 38 16.0
60	8.9	6	49.7	21 18.14	4 33 18.7	24 48 21.3
61	6	6	22 2.9	21 31.37	4 35 13.7	24 46 26.3
62	9.0	4	24 22.7	24 22.62	4 33 45.6	24 47 54.4
63	8.9	5	25 52.4	25 31.47	4 41 17.5	24 40 22.5
64	9	4	27 13.8	27 13.80	4 31 2.4	24 50 37.6
65	9	7	27 51.5	27 9.50	4 18 12.9	25 3 27.1
66	9	6	30 26.5	29 55.25	5 32 22.1	23 49 17.9
67	9.0	5	31 57.8	31 36.82	4 23 54.6	24 57 45.4
68	9	4	32 46.8	32 46.80	5 15 32.9	24 6 7.1
69	6.7	4	32 56.4	32 56.40	5 11 32.8	24 10 7.2
70	9	4	33 48.5	33 48.50	4 36 50.7	24 44 49.3
71	8.9	5	46.2	34 25.43	5 38 17.9	23 43 22.1
72	9.0	7	33.3	34 51.35	4 26 23.0	24 55 17.0
73	7.8	1	37 23.8	38 5.95	4 7 8.6	25 14 31.4
74	9	5	38 55.5	38 34.77	5 54 5.9	23 27 34.1
75	8.9	7	48.8	39 7.24	5 39 51.5	23 41 48.5
76	8	7	13.8	39 32.07	5 6 43.2	24 14 56.8
77	9	5	41 13.7	40 52.79	4 48 32.9	24 33 7.1
78	7	5	41 23.0	41 2.12	4 59 38.6	24 22 1.4
79	9	5	7.6	41 46.78	5 6 54.9	24 14 45.1
80	8.9	4	38.0	42 38.00	4 47 43.0	24 33 57.0
81	9	6	36.5	43 4.82	4 5 44.4	25 15 55.6
82	8.9	4	23.3	44 23.30	4 21 22.5	25 0 17.5
83	9.0	7	51.3	44 9.29	4 16 50.6	25 4 49.4
84	9	5	45 34.0	45 13.00	4 33 8.4	24 48 31.6
85	8	6	46 46.5	46 15.08	5 6 26.9	24 15 13.1
86	9	5	29.0	47 8.22	5 35 7.5	23 46 32.5
87	6.7	4	10.9	48 10.90	6 27 11.7	22 54 28.3
88	9	4	57.6	48 57.60	6 16 58.6	23 4 41.4
89	9.0	5	42.5	49 21.79	6 1 38.0	23 20 2.0
90	8.9	4	50 13.7	50 13.70	5 51 20.3	23 30 19.7
91	9.0	4	51 14.0	51 14.00	5 23 40.2	23 57 59.8
92	9	2	52 9.5	52 41.09	4 18 50.0	25 2 50.0
93	9	3	55.5	53 16.59	4 32 2.5	24 49 37.5
94	9.0	7	36.4	52 54.57	4 49 10.4	24 32 29.6
95	9	2	1.5	54 32.98	4 35 31.6	24 46 8.4
96	9.0	3	54 37.5	54 58.55	4 45 8.7	24 36 31.3
97	9	4	55 8.4	55 8.49	4 44 25.6	24 37 14.4
98	8	5	5.7	55 44.91	5 20 25.8	24 1 14.2
99	8.9	5	2.9	56 42.16	5 51 39.2	23 30 0.8
100	8.9	4	57 52.6	57 52.60	5 40 5.6	23 41 34.4
101	9	6	40.1	58 8.66	5 0 48.3	24 20 51.7
102	7.8	4	10.0	59 10.00	4 34 23.4	24 47 16.6
103	9	7	45.5	59 3.43	4 6 55.8	25 14 44.2
104	9.0	7	38 :	59 56	5 8 32.1	24 13 7.9
105	9	4	22.2	17 1 22.20	5 32 48.2	23 48 51.8
106	7.8	6	35.6	2 4.05	4 36 51.8	24 44 48.2

*Hülftafel zur Reduction auf den mittlern
Ort 1850 Januar 0 D = -24°.*

T.	k	k'	d	d'
16 10' -25.22	+1	-1	- 7.5	-0.5
20 -25.21	+1	-1	- 8.0	-0.5
30 -25.20	+1	-2	- 8.5	-0.4
40 -25.19	+1	-2	- 8.9	-0.4
50 -25.18	+2	-2	- 9.3	-0.4
17 0 -25.16	+2	-2	- 9.7	-0.4
10 -25.14		-2	-10.1	+23.1

52	Fad. 6.	31.0
61	" 7.	13.3
62	" 6.	54.1
66	" 7.	36.9
73	" 2.	34.3
84	" 6.	44.5
92	" 3.	20.0
97	" 5.	29.5
98	" 6.	16.3
106.	dupl. III. Cl. seq.	

Gr.	Fad.	Beob. Zeit.	T.	Microsc. I	Südl. Declin.
8	6	5.9	17 2 34.33	4 31 51.0	24 49 49.0
8	3	6.0	4 26.75	6 37 23.7	22 44 16.3
9	7	4 54.8	4 12.83	4 23 2.5	24 58 37.5
8	6	55 22.3	15 54 51.93	9 55 52.5	19 24 57.5
3.9	7	58 10.1	57 29.81	10 4 53.0	19 15 57.0
6	7	59 10.5	58 29.94	9 5 36.9	20 15 13.1
6	7	45.2	59 4.59	8 53 33.5	20 27 16.5
3.9	7	47.0	59 6.37	8 49 11.2	20 31 38.8
3.9	4	0 16.3	16 1 16.30	9 8 16.9	20 12 33.1
9	1	56.6	2 37.13	9 44 11.8	19 36 38.2
9	7	7.0	2 26.76	10 21 19.4	18 59 30.6
8	3	23.1	3 43.35	10 17 36.5	19 3 13.5
6	4	44.4	3 44.40	10 16 58.6	19 3 51.4
3.9	4	6.2	4 6.20	10 9 50.4	19 10 59.6
8	4	28.2	4 28.33	10 14 20.2	19 6 29.8
8	4	5 7.7	5 7.70	8 37 58.4	20 42 51.6
3.0	7	7 2.2	6 21.75	9 30 10.9	19 50 39.1
3.0	5	30.2	7 9.98	9 29 44.2	19 51 5.8
8	7	8 13.2	7 32.79	9 39 26.1	19 41 23.9
7	5	9 1.3	8 40.98	9 27 28.9	19 43 21.1
7	4	10 48.5	10 48.50	9 30 15.4	19 50 34.6
9	4	11 45.6	11 45.60	9 40 29.7	19 40 20.3
3.9	4	47.0	11 47.00	9 39 46.5	19 41 3.5
3.9	4	12 11.6	12 11.60	9 36 4.0	19 44 46.0
9	4	51.6	12 51.51	9 46 43.6	19 34 6.4
9	7	14 26.5	13 45.66	8 3 44.6	21 17 5.4
3.7	3	15 27.0	15 47.32	9 40 12.8	19 40 37.2
9	5	17 28.5	17 8.33	9 51 56.4	19 28 53.6
3.0	5	18 45.4	18 25.31	10 33 51.2	18 46 58.8
3.9	4	20 55.0	20 55.00	8 7 26.5	21 13 23.5
9	4	21 21.3	21 21.30	8 14 40.1	21 6 9.9
3.0	5	22 49.5	22 29.20	8 51 46.1	20 29 3.9
9	2	23 32.7	24 3.21	8 55 40.0	20 25 10.0
9	5	26 47.5	26 27.31	9 43 45.0	19 37 5.0
3.0	4	28 14.2	28 14.20	10 23 14.2	18 57 35.8
8	2	31 41.4	32 11.86	9 14 29.3	20 6 20.7
3.8	3	33 12.0	33 32.32	9 43 9.7	19 37 40.2
9	4	33 54.6	33 54.60	9 34 57.7	19 45 52.3
9	5	15.5	33 55.27	9 27 28.8	19 53 21.2
3.9	5	34 22.8	34 2.46	9 28 54.0	19 51 56.0
3.9	4	35 13.7	35 13.70	8 56 46.1	20 24 3.9
9	7	36 44.6	36 4.22	9 47 16.7	19 33 33.3
3	6	37 41.9	37 11.63	10 29 43.0	18 51 7.0
3.9	4	38 34.5	38 34.50	9 31 59.4	19 48 50.6
9	3	39 26.8	39 47.25	8 40 56.5	20 39 53.5
9	3	40 17.5	40 37.89	9 10 3.6	20 10 46.4
9	7	41 5.2	40 24.76	9 33 31.3	19 47 18.7
9	3	42 13.7	42 34.01	9 46 35.6	19 34 14.4
3.9	4	51.0	42 51.00	10 25 33.7	18 55 16.3
3.0	3	33.4	43 53.63	10 26 45.4	18 54 4.6
9	5	44 21.6	44 1.47	10 15 14.2	19 5 35.8
3.0	7	45 13.5	44 33.04	9 25 34.7	19 55 15.3
3.8	7	45 42.0	45 1.47	9 11 37.8	20 9 12.2
9	5	46 46.4	46 26.09	8 48 32.8	20 32 17.2
3	6	47 34.3	47 3.56	8 2 3.4	21 18 46.6

108. Statt Fad. 3 zu lesen Fad. 5 und T. 3' 45''
vergl. LL. 31247 und Z. 213 N°. 75.
Unruhige Luft.

ZONE 211. 1849 Juni 3. West

SC. 15 43-1 42.90
17 48-1 46.34
Anf. 28 1.95+14.8 60.0
Ende 1.85+13.8 58.1
Micr. I - 8''.96 u. -9''.84
Decl. = Micr. I - 29° 20' 50''
17'' $\tau + i - 28''.500$ $\Delta\tau - 0''.024$ $\Delta i - 0''$

Hülftafel zur Reduction auf den mittleren Ort 1850 Januar 0 $D = -20^\circ$.

T.	k	k'	d
15 50-27.44	0	-1	-12.6 -0.4 +1
16 0-27.44	0	-1	-13.0 -0.4 +1
10-27.44	0	-2	-13.4 -0.3 +1
20-27.44	0	-2	-13.7 -0.3 +1
30-27.44	0	-2	-14.0 -0.3 +1
40-28.44	0	-2	-14.3 -0.3 +1
50-27.43	+1	-2	-14.6 -0.3 +1

6. Zeitminute 1 nach Zone 208 N°. 120 und 29375; damit ist T berechnet.

7 Fad. 2. 6.8

12 " 5. 48.6

13. Zeitminute 6'. Nach dem Zeugniß von N°. 29535 und Z. 305 N°. 10.

17 Fad. 6. 11''.3 Nach dem Zeugniß von N°. 29631 und Z. 305 N°. 13 ist die Min des Microscops 37' zu lesen, womit D un berechnet sind.

21. dupl. III. Cl. praec.

22 Fad. 5. 11.6

30 " 3. 42.8

33 " 3. 51.5

No.	Gr.	Fad.	Beob. Zeit.	T.	Microsc. I	Südl. Declin.
53	8	4	48 42.8	16 48 42.80	10° 3' 12.9	19° 17' 37.1
54	9	6	49 36.0	49 5.59	9 42 20.8	19 38 29.2
55	8.9	5	49 51.5	49 31.26	9 47 57.4	19 32 52.6
56	9	3	51 38.6	51 58.83	10 24 42.7	18 56 7.3
57	9	1	25.2	53 5.49	10 38 23.6	18 42 26.4
58	7	1	52 52.0	53 32.28	10 41 19.2	18 39 30.8
59	8	5	53 56.7	53 36.41	8 58 57.9	20 21 52.1
60	9	2	54 51.1	55 21.55	9 10 54.1	20 9 55.9
61	8.9	3	55 11.9	55 32.30	9 5 45.4	20 15 4.6
62	7.8	1	55 39.0	56 19.68	9 4 24.0	20 16 26.0
63	7.8	4	57 14.0	57 14.00	8 17 12.7	21 3 37.3
64	9	4	57 45.5	57 45.50	8 17 56.1	21 2 53.9
65	9.0	5	58 52.8	58 32.59	9 36 46.6	19 44 3.4
66	8.9	3	59 47.2	17 0 7.56	9 20 11.0	20 0 39.0
67	8.9	4	0 45.7	0 45.70	9 52 9.5	19 28 40.5
68	8	2	1 22.5	1 52.78	10 6 30.6	19 14 19.4
69	9.0	4	2 2.6	2 2.60	10 1 59.2	19 18 50.8
70	9.0	7	2 39.0	1 58.82	10 37 7.0	18 43 43.0
71	9.0	4	3 4.2	3 4.20	9 45 28.2	19 35 21.8
72	9	4	52.8	4 52.80	8 57 0.0	20 23 50.0
73	9	4	5 50.2	5 50.20	8 10 32.8	21 10 17.2
74	9	3	6 16.0	6 36.53	8 9 47.7	21 11 2.3
75	8.9	6	6 55.7	6 25.06	8 33 52.0	20 46 58.0
76	9.0	7	7 33.3	6 52.78	9 14 7.2	20 6 42.8
77	9.0	4	9 4.0	9 4.00	10 24 14.3	18 56 35.7
78	9.0	3	9 47.6	10 8.00	9 3 26.0	20 17 24.0
79	9	4	10 25.7	10 25.70	9 1 8.5	20 19 41.5
80	9	5	10 41.5	10 21.21	8 52 37.4	20 28 12.6
81	9	6	11 6.0	10 35.44	8 56 54.2	20 23 55.8
82	8.9	5	11 56.6	11 36.38	9 31 56.7	19 48 53.3
83	9	4	12 37.5	12 37.46	9 2 29.1	20 18 20.9
84	9	4	40.0	12 39.86	9 1 28.4	20 19 21.6
85	8	4	13 24.4	13 24.40	8 56 16.0	20 24 34.0
86	9	5	56.3	13 35.98	8 45 56.3	20 34 53.7
87	9	5	14 29.0	14 8.67	8 41 6.4	20 39 43.6
88	8.9	7	15 33.5	14 53.19	10 3 3.6	19 17 46.4
89	9.0	5	16 35.6	16 15.32	9 3 38.7	20 17 11.3
90	9	5	17 5.2	16 44.96	9 23 19.2	19 57 30.8
91	9	6	17 35.6	17 5.20	9 45 8.9	19 35 41.1
92	9	6	18 30.8	18 0.43	9 58 16.1	19 22 33.9
93	9	4	19 20.4	19 20.40	10 15 42.1	19 5 7.9
94	9	4	19 56.7	19 56.70	9 7 11.0	20 13 39.0
95	8	4	21 20.1	21 20.10	10 0 10.1	19 20 39.9
96	9	2	21 44.6	22 14.92	9 54 56.4	19 25 53.6
97	9.0	2	23 2.0	23 32.44	9 15 59.4	20 4 50.6
98	9	3	24 36.6	24 57.03	8 41 22.5	20 39 27.5
99	9.0	7	26 59.5	26 19.06	9 32 43.9	19 48 6.1
100	9.0	4	27 7.8	27 7.80	9 33 37.4	19 47 12.6
101	9.0	7	28 7.2	27 26.67	9 11 9.8	20 9 40.2
102	9	7	28 22.4	27 41.84	9 5 8.0	20 15 42.0
103	9.0	6	29 36.4	29 5.93	9 23 45.9	19 57 4.1
104	9	6	30 13.1	29 42.74	9 28 25.2	19 52 24.8
105	9	6	30 57.6	30 27.26	9 54 23.6	19 26 26.4
106	9	5	32 42.0	32 21.66	8 34 35.1	20 46 14.9
107	9	7	34.3	32 53.97	9 58 43.5	19 22 6.5

Hilfstafel zur Reduction auf den mittlern
Ort 1850 Januar 0 D = - 20°.

T.	k	k'	d	d'
16 40-27.44	+1	-2	-14.3	-0.3
50-27.43	+1	-2	-14.6	-0.2
17 0-27.42	+1	-2	-14.8	-0.2
10-27.41	+1	-2	-15.0	-0.2
20-27.40	+2	-2	-15.2	-0.2
30-27.38	+1	-3	-15.4	-0.1
40-27.37		-3	-15.5	+14.8

53. dupl. II. Cl. praec.

55 Fad. 6. 1".6

57. die Minute der Decl. zweifelhaft.

58 Fad. 2. 2".1

76. Zeitsecunde zweifelhaft. Ein anderer 9^m.0
in demselben Declinationskreise 1' N.

80 Fad. 6. 51.8

83 " 5. 57.7

84 " 5. 0.0

98 " 4. 57.0

104 " 7. 23.3

105 " 7. 7.6

Nº.	Gr.	Fad.	Beob. Zeit.	T.	Microsc. I	Südl. Declin.	
108	9.0	4	0.2	17 34 0.20	10 1 42.2	19 19 7.8	110 Fad. 3. 53.0; einer von diesen Fäden ist um 10" verschoben; ich habe den 3ten als richtig angenommen nach Zone 219 N°. 1.
109	9.0	4	45.0	34 45.00	9 55 15.2	19 25 34.8	
110	8.9	2	36 33.0	37 13.41	9 13 0.8	20 7 49.2	113 Fad. 5. 21".9
111	9	5	38 14.1	37 53.70	8 9 0.6	21 11 49.4	Gute Luft, aber vielleicht zuweilen etwas Streifwolken.
112	9.0	6	42.2	38 11.50	8 16 35.0	21 4 15.0	
113	8	4	39 1.5	39 1.53	8 34 44.3	20 46 5.7	
114	8	1	40 28.6	41 9.20	9 24 0.0	19 56 50.0	
1	7	3	34 23.9	15 34 44.99	5 38 44.8	24 57 4.8	ZONE 212. 1849 Juni 14. Ost.
2	9.0	6	35 29.2	34 57.39	6 41 1.8	25 59 21.8	NC. 15 24 - 1 52.11
3	9	4	36 56.3	36 56.12	6 30 53.2	25 49 13.2	17 18 - 1 54.47
4	9	3	58.2	38 19.27	6 11 45.6	25 30 5.6	Anf. 28 1.11 + 12.8 55.5
5	9	4	33.0	38 33.00	6 10 45.6	25 29 5.6	Ende 1.05 + 12.0 53.3
6	7.8	4	53.5	38 53.50	6 5 31.3	25 23 51.3	Microsc. I + 7".46
7	6.7	4	39 26.5	39 26.50	6 12 48.0	25 31 8.0	Decl. = - (19° 18' 20" + Microsc. I)
8	9	5	41 9.0	40 47.70	6 46 23.0	26 4 43.0	16" $\tau + i - 32".357$ $\Delta \tau - 0."012$ $\Delta i - 0."029$
9	8.9	3	41 36.2	41 57.37	6 45 46.2	26 4 6.2	Hilfstafel zur Reduction auf den mittlern Ort 1850 Januar 0 D = - 26°.
10	7.8	5	42 26.0	42 4.74	6 31 19.5	25 49 39.5	
11	7.8	4	43 32.5	43 32.45	6 45 34.9	26 3 54.9	
12	9	6	44 40.4	44 8.36	7 19 32.3	26 37 52.3	
13	7	2	45 22.0	45 54.11	7 34 38.9	26 52 58.9	
14	9.0	6	46 21.7	45 49.59	7 47 59.8	27 6 19.8	
15	7.8	5	47 29.0	47 7.66	6 59 24.5	26 17 44.5	
16	9	7	48 24.6	47 42.37	6 3 24.3	25 21 44.3	
17	9	7	49 29.3	48 47.26	5 30 39.5	24 48 59.5	
18	9.0	7	50 48.0	50 5.88	5 44 43.6	25 3 3.6	
19	8.9	6	52 10.2	51 38.46	6 26 22.9	25 44 42.9	
20	8	6	53 0.2	52 28.28	7 18 28.2	26 36 48.2	
21	7.8	4	53 55.4	53 55.40	6 25 5.5	25 43 25.5	
22	8	5	54 31.8	54 10.54	6 31 28.3	25 49 48.3	
23	5	5	55 10.0	54 48.78	6 8 18.8	25 26 38.8	
24	9	4	56 30.6	56 30.60	6 32 24.1	25 50 44.1	
25	9	6	57 7.2	56 35.39	6 42 11.1	26 0 31.1	
26	9	3	58 12.4	58 33.68	7 22 46.6	26 41 6.6	
27	5	2	58 58.0	59 29.85	6 36 52.3	25 55 12.3	
28	9	4	59 11.0	16 0 11.00	5 40 11.5	24 58 31.5	
29	8.9	3	0 48.6	1 9.78	6 44 56.1	26 3 16.1	
30	9	5	2 6.8	1 45.53	6 34 45.8	25 53 5.8	
31	7.8	3	2 57.2	3 18.27	6 10 58.0	25 29 18.0	
32	9	5	6 28.4	6 7.28	5 45 3.1	25 3 23.1	
33	6	5	6 41.0	6 19.87	5 47 24.4	25 5 44.4	
34	8.9	4	8 15.4	8 15.40	6 10 51.8	25 29 11.8	
35	7	6	11 19.6	10 47.96	6 5 10.7	25 23 30.7	
36	9	5	11 55.5	11 34.30	6 11 7.4	25 29 27.4	
37	9	7	12 22.5	11 40.30	5 58 30.0	25 16 50.0	
38	3	6	13 7.6	12 35.99	5 55 32.8	25 13 52.8	
39	8.9	6	15 40.6	15 8.82	6 36 33.5	25 54 53.5	
40	9.0	7	16 10 :	15 28	6 28 22.3	25 46 42.3	
41	8	7	17 6.5	16 24.40	5 42 3.9	25 0 23.9	
42	8.9	2	17 56.7	18 28.65	6 36 27.6	25 54 47.6	
43	8.9	7	19 12.7	18 29.94	7 32 0.5	26 50 20.5	
44	6.7	6	20 10.4	19 38.74	5 48 44.0	25 7 4.0	
45	8	3	20 59.5	21 20.43	5 20 36.2	24 38 56.2	
46	7.8	5	21 45.5	21 24.41	5 30 40.6	24 49 0.6	
47	5	5	21 58.6	21 37.52	5 28 46.8	24 47 6.8	
48	8	3	22 54.5	23 15.60	6 22 45.1	25 41 5.1	

11 Fad. 5. 53.7
12 „ 7. 51.0
16. 7". praec. ad Austr.
20 Fad. 7. 11.0
23 „ 7. 31.0
27 „ 3. 8.7
28. Die Zeitminute muss nothwendig 0 sein, wie die Beobachtung des vorhergehenden Sterns (P. XV. 265) zeigt; darnach ist T corrigirt.
29 Fad. 5. 31.1
42 „ 3. 7.6
44 „ 7. 20.8

Nº.	Gr.	Fad.	Beob. Zeit.	T.	Microsc. I	Südl. Declin.
49	9.0	4	25 23.6	16 25 23.60	7 3 16.9	26 21 36.9
50	8.9	4	26 34.0	26 34.00	6 51 20.5	26 9 40.5
51	9	7	27 3.5	26 21.01	6 48 31.9	26 6 51.9
52	9	6	28 6.5	27 34.49	7 51 31.0	27 9 51.0
53	9.0	4	29 39.0	29 39.00	5 16 51.5	24 35 11.5
54	7.8	1	30 43.3	31 25.55	6 27 20.7	25 45 40.7
55	8	4	31 31.7	31 31.70	6 42 56.4	26 1 16.4
56	8.9	7	32 12.4	31 29.89	6 50 42.7	26 9 2.7
57	8.9	5	33 13.4	32 51.96	7 29 56.3	26 48 16.3
58	8	4	33 5.0	33 4.84	7 30 0.5	26 48 20.5
59	8	5	34 23.4	34 1.94	7 35 4.3	26 53 24.3
60	7	4	35 7.8	35 7.80	7 12 30.3	26 30 50.3
61	7	5	52.2	35 30.69	7 51 27.2	27 9 47.2
62	8.9	4	36 3.3	36 3.30	7 51 31.0	27 9 51.0
63	7	5	37 26.3	37 4.94	7 3 33.7	26 21 53.7
64	7	4	38 12.0	38 12.00	5 56 53.6	25 15 13.6
65	9.0	7	38 51.0	38 9.04	5 17 27.8	24 35 47.8
66	9.0	6	39 35.5	39 3.85	5 26 13.3	24 44 33.3
67	7.8	4	40 57.0	40 57.00	5 30 13.0	24 48 33.0
68	8	2	32.4	42 4.03	5 51 40.1	25 10 0.1
69	9	6	42 32.0	42 0.24	6 31 3.1	25 49 23.1
70	9.0	7	50 :	42 8	6 24 38.6	25 42 58.6
71	8.9	6	43 59.5	43 27.51	7 20 58.8	26 39 18.8
72	8.9	5	45 40.4	45 19.31	5 30 55.0	24 49 15.0
73	7.8	7	46 21.7	45 39.40	6 16 16.3	25 34 36.3
74	8.9	7	46 33.3	45 51.01	6 15 23.7	25 33 43.7
75	9	5	47 48.2	47 26.95	6 27 14.1	25 45 34.1
76	9	4	48 41.8	48 41.80	7 8 4.0	26 26 24.0
77	9	4	49 44.2	49 44.20	6 48 40.0	26 7 0.0
78	8	3	50 21.5	50 42.68	6 49 53.7	26 8 13.7
79	6	5	51 39.6	51 18.51	5 33 29.8	24 51 49.8
80	6	5	51 51.0	51 29.92	5 27 16.2	24 45 36.2
81	8.9	5	53 0.4	52 39.04	7 6 25.8	26 24 45.8
82	7.8	4	54 16.5	54 16.50	7 33 56.9	26 52 16.9
83	9	5	54 47.6	54 26.18	7 25 12.1	26 43 32.1
84	8.9	4	55 28.0	55 28.00	7 23 51.9	26 42 11.9
85	8	7	55 56.3	55 13.48	7 41 0.4	26 59 20.4
86	8	4	57 19.2	57 19.20	7 3 40.2	26 22 0.2
87	7	3	45.7	58 6.91	6 59 46.9	26 18 6.9
88	9	1	59 6.5	59 49.07	7 19 29.7	26 37 49.7
89	7	7	59 58.4	59 16.37	5 29 32.8	24 47 52.8
90	9	4	1 46.2	17 1 46.20	6 44 28.2	26 2 48.2
91	8	3	2 28.5	2 49.75	7 12 4.4	26 30 24.4
92	7.8	4	3 22.6	3 22.60	7 32 16.9	26 50 36.9
93	9	4	3 47.5	3 47.50	7 31 12.1	26 49 32.1
94	9	4	4 37.7	4 37.70	6 32 9.1	25 50 29.1
95	9.0	4	6 1.7	6 1.70	6 26 10.2	25 44 30.2
1	8.9	6	56 19.5	15 55 48.78	2 12 44.6	21 30 4.6
2	8	4	57 26.2	57 26.20	2 8 4.8	21 25 24.8
3	8	1	53.0	58 33.88	2 9 49.0	21 27 9.0
4	9	4	31.9	58 31.90	2 13 11.6	21 30 31.6
5	9	4	59.7	58 59.70	2 21 35.5	21 38 55.5
6	8	5	59 49.3	59 28.80	1 42 56.4	21 0 16.4
7	9	3	6 36.5	0 56.97	2 14 52.9	21 32 12.9
8	7.8	1	20.0	2 0.97	2 27 55.7	21 45 15.7

*Hülftafel zur Reduction auf den mittlen
Ort 1850 Januar 0 D = - 26°.*

T.	k	k'	d	
16 20-31.38	-1	-3	+ 1.7	+ 0.3
30-31.39	0	-3	+ 2.0	- 0.1
40-31.39	0	-3	+ 1.9	- 1.2
50-31.39	+1	-3	+ 0.7	- 2.2
17 0-31.38	0	-3	- 1.5	- 3.2
10-31.38		-4	- 4.7	+

52 Fad. 7. 17.5
 58 „ 6. 36.7 Fäden 5.00 u. 4.67
 66 „ 7. 45.7 „ 4.02 u. 3.68
 68 „ 3. 43.0
 71. 8^m. praec. ad B. u. 8.9^m. seq. ad A.

ZONE 213. 1849 Juni 20. Ost

NC. 15 43 - 1 52.52
 17 45 - 1 52.34
 Anf. 28 2.11 + 11.1 50.1
 Ende 1.90 + 9.8 47.1
 Micr. I + 7''.04 und + 5''.84
 Decl. = - (Micr. I + 19° 17' 20'')

Nº.	Gr.	Fad.	Beob. Zeit.	T.	Microsc. I	Südl. Declin.
9	8.9	1	49.9	16 2 30.88	2 30 30.8	21 47 50.8
10	7.8	7	19 :	1 38	2 43 1.8	22 0 21.8
11	9	5	3 13.8	2 53.04	3 30 43.3	22 48 3.3
12	9	5	4 3.4	3 42.64	3 33 25.7	22 50 45.7
13	9	4	31.7	4 31.70	3 38 35.8	22 55 55.8
14	8.9	5	11.7	4 50.95	2 48 10.8	22 5 30.8
15	9	5	57.5	5 36.85	2 45 35.4	22 2 55.4
16	7	3	12.4	6 32.91	2 42 14.9	21 59 34.9
17	8	7	6 42.0	6 0.92	2 27 30.0	21 44 50.0
18	9	5	31.4	7 10.88	1 54 59.7	21 12 19.7
19	8.9	1	10.5	8 51.80	3 15 7.1	22 32 27.1
20	7	6	12.0	8 41.39	1 38 12.8	20 55 32.8
21	8.9	5	48.4	9 27.83	2 14 2.9	21 31 22.9
22	9.0	7	11 10.0	10 28.73	3 5 46.9	22 23 6.9
23	7	3	12 3.3	12 23.74	2 11 4.9	21 28 24.9
24	9	6	40.5	12 9.85	1 51 8.5	21 8 28.5
25	9	6	31.3	13 0.52	2 27 12.9	21 44 32.9
26	7	4	27.1	14 27.17	3 27 53.7	22 45 13.7
27	9	7	34.0	14 53.15	1 38 13.4	20 55 33.4
28	7.8	4	32.0	16 32.00	2 35 28.4	21 52 48.4
29	7.8	5	17 19.0	16 58.20	3 48 48.1	23 6 8.1
30	—	5	29.5	17 8.71	3 48 3.3	23 5 23.3
31	8.9	7	17 50.5	17 9.04	3 45 31.4	23 2 51.4
32	8	5	19 14.6	18 54.00	2 28 44.4	21 46 4.4
33	—	4	0.3	21 0.30	1 56 30.3	21 13 50.3
34	9	4	21 26.7	21 26.70	1 49 17.7	21 6 37.7
35	9	1	22 31.4	23 12.58	3 10 41.6	22 28 1.6
36	5	3	23 27.5	23 47.89	1 51 2.4	21 8 22.4
37	9	2	24 52.9	25 23.90	3 12 38.1	22 29 58.1
38	9.0	5	26 38.3	26 17.64	3 0 13.2	22 17 33.2
39	9	5	27 28.4	27 7.82	2 15 57.5	21 33 17.5
40	9	5	28 55.7	28 35.10	2 27 9.7	21 44 29.7
41	7.8	5	30 14.0	29 53.28	3 17 23.9	22 34 43.9
42	9	5	30 57.7	30 37.10	2 26 53.3	21 44 13.3
43	8.9	4	32 44.9	32 44.90	3 43 57.0	23 1 17.0
44	9.0	4	33 48.4	33 48.40	3 6 56.0	22 24 16.0
45	8.9	4	34 40.8	34 40.80	1 45 43.7	21 3 3.7
46	7.8	3	35 31.5	35 52.05	2 56 38.6	22 13 58.6
47	7	2	9.3	36 40.39	3 36 17.4	22 53 37.4
48	9.0	7	50.4	36 9.04	3 24 55.0	22 42 15.0
49	8	4	38 2.5	38 2.50	3 3 19.5	22 20 39.5
50	9.0	3	38 44.3	39 4.80	2 36 23.2	21 53 43.2
51	9.0	7	40 4.4	39 23.18	2 57 7.8	22 14 27.8
52	8.9	5	41 5.8	40 45.10	3 8 52.6	22 26 12.6
53	9.0	7	43 9.0	42 27.87	2 38 59.0	21 56 19.0
54	9	7	48.0	43 7.02	2 6 9.9	21 23 29.9
55	9.0	2	46 28.7	46 59.47	2 8 19.4	21 25 39.4
56	7	3	46 48.9	47 9.32	2 1 54.8	21 19 14.8
57	9.0	7	47 23 :	46 42	2 25 44.7	21 43 4.7
58	6.7	4	48 18.1	48 18.10	3 36 43.7	22 54 3.7
59	8.9	4	49 17.7	49 17.70	2 14 36.3	21 31 56.3
60	9	6	50 9.4	49 38.70	2 5 14.8	21 22 34.8
61	9	4	53.5	50 53.50	1 58 32.2	21 15 52.2
62	7.8	1	51 25.6	52 6.41	1 56 18.6	21 13 38.6
63	9	4	52 56.1	52 56.10	3 18 11.2	22 35 31.2

17^a $\tau+i-33''.726$ $\Delta\tau 0''.000$ $\Delta i-0''.023$

*Hälftafel zur Reduction auf den mittlern
Ort 1850 Januar 0 D = - 22°.*

T.	k	k'	d	d'
15 50-32.74	-1	-2	-9.7	0.0
16 0-32.75	-2	-2	-9.7	0.0
10-32.77	-1	-2	-9.7	0.0
20-32.78	-1	-3	-9.7	+0.1
30-32.79	0	-3	-9.6	0.0
40-32.79	-1	-3	-9.6	+0.1
50-32.80	0	-3	-9.5	+0.1
17 0-32.80		-3	-9.4	+18.4

- 1 Fad. 7. 29.8
7 " 4. 57.0
14 " 6. 21.7
19 " 2. 20.9
26 " 5. 48.0
30 " 6. 39.8 dupl. II. Cl. Beide Sterne genau in demselben Declinationskreise, der südliche 6^m, der nördliche 7^m; die Mitte zwischen beiden ward eingestellt.
37 Fad. 3. 3''.3
40. Wahrscheinlich Fad. 3 und dann T. 29' 16''.17
Vergl. Z. 382 N^o. 30 und Z. 396 N^o. 31.
51. Zeit vielleicht 24''.4 und dann T. 43''.18
62 Fad. 3. 46''.0

Nº.	Gr.	Fad.	Beob. Zeit.	T.	Microsc. I	Südl. Declin.
64		4	53' 38.0	16 53' 38.00	3 45' 58.2	23° 3' 18.2
65	7.8	4	54' 51.4	54' 51.40	3 38' 9.3	22° 55' 29.3
66	9	6	55' 43.0	55' 12.06	3 9' 46.8	22° 27' 6.8
67	9	7	56' 34.3	55' 53.47	1 32' 13.5	20° 49' 33.5
68	7	4	57' 19.5	57' 19.50	1 46' 39.3	21° 3' 59.3
69	8.9	4	57' 51.2	57' 51.20	1 46' 57.3	21° 3' 17.3
70	9	1	59' 21.4	17 0' 2.74	3 43' 38.1	23° 0' 58.1
71	9.0	4	1' 25.0	1' 25.00	2 18' 22.7	21° 35' 42.7
72	9.0	5	1' 15.1	1' 54.55	2 5' 42.5	21° 23' 2.5
73	9	4	54.5	2' 54.50	1 53' 28.4	21° 10' 48.4
74	8.9	4	38.8	3' 38.80	2 18' 28.3	21° 35' 48.3
75	8	6	24.1	3' 53.10	3 26' 31.9	22° 43' 51.9
76	9	5	5' 12.4	4' 51.61	3 45' 6.3	23° 2' 26.3
77	9.0	7	5' 49.0	5' 7.55	3 42' 23.7	22° 59' 43.7
78	9	5	7' 0.0	6' 39.40	2 27' 24.9	21° 44' 44.9
79	7.8	2	27.4	7' 58.14	2 23' 7.2	21° 40' 27.2
80	9	4	8' 30.7	8' 30.70	3 0' 9.0	22° 17' 29.0
81	8	2	9' 56.0	10' 26.58	1 11' 21.8	20° 28' 41.8
82	8.9	2	10' 10.3	10' 40.86	1 7' 0.9	20° 24' 20.9
83	9.0	7	11' 41.0	10' 59.60	3 31' 55.4	22° 49' 15.4
84	9	3	36.5	12' 56.93	2 6' 34.6	21° 23' 54.6
85	9.0	7	13' 17.7	12' 36.76	1 56' 34.9	21° 13' 54.9
86	8.9	7	13' 59.5	13' 18.17	3 18' 0.4	22° 35' 20.4
87	9.0	6	38.4	14' 7.44	3 15' 17.0	22° 32' 37.0
88	8.9	6	14' 55.4	14' 24.47	3 8' 11.7	22° 25' 31.7
89	8.9	4	15' 52.8	15' 52.80	3 21' 40.7	22° 39' 0.7
90	8.9	4	44.2	16' 44.20	2 27' 34.1	21° 44' 54.1
91	8.9	4	10.3	17' 10.30	2 11' 56.0	21° 29' 16.0
92	9	5	17' 52.6	17' 32.07	1 59' 13.6	21° 16' 33.6
93	9	4	18.2	18' 18.20	1 59' 13.3	21° 16' 33.3
94	7	5	18' 37.3	18' 16.76	2 2' 29.1	21° 19' 49.1
95	8	2	21.7	19' 52.35	1 32' 38.8	20° 49' 58.8
96	9	4	11.6	20' 11.60	3 9' 25.7	22° 26' 45.7
97	9	3	13.5	21' 34.14	3 31' 51.5	22° 49' 11.5
98	8.9	2	22' 6.6	22' 37.36	2 4' 23.0	21° 21' 43.0
99	9.0	4	23' 1.0	23' 1.00	2 9' 16.0	21° 26' 36.0
100	10	6	24' 12.0	23' 41.36	1 48' 37.5	21° 5' 57.5
101	9.0	5	25' 15.7	24' 55.18	1 53' 59.2	21° 11' 19.2
102	9.0	5	54.5	25' 33.97	1 57' 23.0	21° 14' 43.0
103	9	3	13.6	26' 33.99	1 49' 3.2	21° 6' 23.2
104	9	3	55.6	27' 15.93	1 25' 0.8	20° 42' 20.8
105	8.9	4	23.6	27' 23.60	1 48' 26.1	21° 5' 46.1
106	9	5	28' 19.2	27' 58.65	3 2' 45.0	22° 20' 5.0
107	8.9	5	29' 37.3	29' 16.78	1 52' 11.3	21° 9' 31.3
108	9	5	30' 45.4	30' 24.05	1 21' 28.8	20° 38' 48.8
109	9	5	31' 14.7	30' 54.26	1 19' 43.6	20° 37' 3.6
110	10	4	47.5	32' 47.50	1 54' 5.1	21° 11' 25.1
111	9.0	6	33' 43.0	33' 12.20	2 34' 7.1	21° 51' 27.1
112	9.0	7	34' 51.7	34' 10.47	2 59' 38.8	22° 16' 58.8
113	9	4	35' 36.0	35' 36.00	2 54' 51.9	22° 12' 11.9
114	6	4	35' 54.3	35' 54.30	2 49' 43.9	22° 7' 3.9
1	8.9	5	58' 39.4	15 58' 18.85	7 59' 36.4	27° 18' 36.4
2	7.8	4	59' 27.7	59' 27.70	8 0' 32.0	27° 19' 32.0
3	9.0	4	0' 27.5	16 0' 27.50	9 34' 28.6	28° 53' 28.6
4	9	3	1' 15.3	1' 37.02	9 33' 30.3	28° 52' 30.3

Hilfstafel zur Reduction auf den mittlern Ort 1850 Januar 0 D = - 22°.

T.	k	k'	d	e
u				
16 50' - 32.80	0	-3	- 9.5	+0.1
17 0' - 32.80	0	-3	- 9.4	+0.2
10 - 32.80	0	-3	- 9.2	+0.1
20 - 32.80	0	-3	- 9.1	+0.1
30 - 32.80	+1	-3	- 9.0	+0.2
40 - 32.79		-3	- 8.8	+0.2

69. Die unmittelbare Ablesung des Microsc. giebt die Decl. - 21° 4' 17".3; aber Z. N°. 64, Z. 305 N°. 76 und Z. 393 N°. 26 zeigen, dass das Microsc. um 1' falsch demgemäss ist die Decl. angesetzt.
72. Die Minute muss wohl 2 sein; unter dieser Annahme ist T berechnet.
- 79 Fad. 3. 37".6
102. Minute der Decl. 47?
- 106 Fad. 6. 29".7
107. Bei diesem Sterne ward ein Fehler von 1' in der Zeit entdeckt und verbessert; es könnte sein, dass diese Verzeichnung schon stattgefunden hätte, in welchem Falle den vorhergehenden T 1" abziehen.
111. Wahrscheinlich Fad. 7 und dann T 1". Vergl. Z. 224 N°. 2.

etwas unruhige Luft.

ZONE 214. 1849 Juni 22. 0

NC. 15 49' - 1 51".63
18 4 - 1 57.75

Gr.	Fad.	Beob. Zeit.	T.	Microsc. I	Südl. Declin.
9	7	2' 20.8	16 ^u 1' 37.21	9 34 29.6	28 53 29.6
7	6	2 48.7	2 16.04	9 41 21.2	29 0 21.2
9	5	3 53.6	3 31.81	9 17 5.0	28 36 5.0
9	7	4 43.6	4 0.41	8 36 42.4	27 55 42.4
8.9	5	5 36.8	5 15.15	8 32 45.7	27 51 45.7
8	4	6 40.6	6 40.60	7 30 35.6	26 49 35.6
9	7	8 56.4	8 12.62	10 2 12.2	29 21 12.2
6	4	9 32.8	9 32.80	8 55 0.1	28 14 0.1
8.9	4	10 23.5	10 23.50	8 35 39.0	27 54 39.0
8	4	11 44.0	11 44.05	9 49 16.8	29 8 16.8
9	6	13 10.3	12 38.25	7 33 18.6	26 52 18.6
9	4	14 21.1	14 21.10	8 12 22.2	27 31 22.2
7	2	15 14.6	15 47.46	10 1 15.6	29 20 15.6
8.9	1	5.2	16 48.72	9 43 29.5	29 2 29.5
9	5	16 50.3	16 28.76	8 0 2.3	27 19 2.3
9.0	6	17 5.5	16 33.42	8 3 22.3	27 22 22.3
9	4	46.7	17 46.70	8 1 37.4	27 20 37.4
8.9	5	18 52.7	18 31.25	7 31 57.7	26 50 57.7
7.8	7	23 :	18 39	9 37 9.7	28 56 9.7
8.9	3	21 29.0	21 50.78	9 49 23.6	29 8 23.6
8	6	22 2.8	21 30.60	8 15 57.2	27 34 57.2
8.9	4	23 34.6	23 34.60	9 23 31.4	28 42 31.4
8.9	4	24 27.0	24 27.00	8 28 28.3	27 47 28.3
8	4	26 3.5	26 3.50	7 28 49.4	26 47 49.4
9	3	44.2	27 5.72	8 34 56.4	27 53 56.4
9	4	27 14.7	27 14.70	8 43 34.7	28 2 34.7
9.0	3	29 54.6	30 16.26	9 16 30.8	28 35 30.8
8.9	5	30 39.3	30 17.69	8 21 40.4	27 40 40.4
9	3	31 4.0	31 25.49	8 22 42.9	27 41 42.9
9	7	32 9 :	31 26	8 22 36.2	27 41 36.2
9.0	6	33 17.5	32 45.10	8 58 14.8	28 17 14.8
8.9	3	34 15.8	34 37.34	8 42 15.1	28 1 15.1
7	2	59.7	35 31.94	7 51 23.1	27 10 23.1
8	3	43.0	35 4.38	7 51 28.1	27 10 28.1
9	6	36 42.9	36 10.45	8 54 22.9	28 13 22.9
9.0	3	28.7	37 50.09	7 53 22.8	27 12 22.8
9.0	2	38 35.0	39 7.47	8 47 13.8	28 6 13.8
9.0	7	39 46.9	39 3.40	9 21 34.7	28 40 34.7
9.0	5	40 44.5	40 22.51	9 31 39.6	28 50 39.6
8	4	41 57.8	41 57.80	8 19 17.1	27 38 17.1
8	4	16.7	42 16.55	8 24 6.0	27 43 6.0
8	4	42 35.5	42 35.50	8 26 40.4	27 45 40.4
8	5	43 54.6	43 33.17	7 26 42.8	26 45 42.8
9	5	32.3	44 10.63	8 40 16.3	27 59 16.3
9	6	46 11.3	45 38.83	8 59 27.6	28 18 27.6
9	7	51.5	46 7.85	9 43 48.5	29 2 48.5
8	6	9.9	46 37.20	9 42 11.8	29 1 11.8
9	6	57.0	47 25.50	8 32 14.3	27 51 14.3
8	4	49 6.0	49 6.00	8 3 22.0	27 22 22.0
8.9	4	44.0	49 44.00	7 33 42.2	26 52 42.2
9.0	5	15.7	49 54.26	7 28 8.3	26 47 8.3
9	5	50 58.9	50 37.43	7 37 57.6	26 56 57.6
9.0	4	42.5	51 42.50	7 29 41.5	26 48 41.5
8	4	52 58.2	52 58.20	7 24 54.7	26 43 54.7
9	7	53 24.8	52 42.13	7 16 56.8	26 35 56.8

Anf. 28 0.53 + 11.3 51.8

Ende 0.50 + 10.7 49.6

Micr. I + 6".42

Decl. = - (Microsc. I + 19° 19' 0")

17^a r+i - 33".350 $\Delta r + 0".002$ $\Delta i - 0".030$

*Hülftafel zur Reduction auf den mittlern
Ort 1850 Januar 0 D = - 28°.*

T.	k	k'	d	d'
u	0' 0"		2.0	+0.3
16	0-32.38	-1	-3	+39.5
	10-32.39	-1	-3	+39.6
	20-32.40	-1	-3	+39.6
	30-32.41	-1	-3	+39.6
	40-32.42	0	-3	+39.7
	50-32.42	0	-3	+39.7
17	0-32.42	-3	0.0	+39.7

1 Fad. 6. 51".0 Die Fäden geben 17".87 und 18".83; die Secunde des frühern Fadens ist wohl um 1 verschrieben; unter dieser Annahme ist T berechnet.

4. 5. ist offenbar derselbe Stern und an letzterer Stelle die Decl. um 1' verschrieben, wie Z. 388 N°. 4 und Z. 384 N°. 106 zeigen.

6 Fad. 7. 59".7

11. Zeit wahrscheinlich 46".4 und dann T. 8' 2".62. Vergl. Z. 215 N°. 7 u. Z. 389 N°. 8.

14 Fad. 5. 6".0

17. dupl. III. Cl. Austr. seq.

20 Fad. 7. 16".5

25 " 7. 13.7

33 " 4. 25.5

33. 34. derselbe.

35 Fad. 7. 28".5

37 " 3. 10.6

43 " 6. 55.0

45 " 6. 48.7

52 " 7. 8.5 Fäden 24".66 u. 25".34; ich habe nach Z. 388 N°. 79 angenommen, dass 6. um 1" verzählt sei.

57. Zeit unsicher beobachtet.

59. Zeitsecunde zweifelhaft.

Nº.	Gr	Fad.	Beob. Zeit.	T.	Microsc. I	Südl. Declin.	
60	7.8	4	54' 17.0	16 54' 17.00	7 33' 54.8	26 52' 54.8	
61	8.9	5	49.0	54 27.58	7 25' 13.1	26 44' 13.1	
62	8	4	29.4	55 29.40	7 23' 55.9	26 42' 55.9	
63	8.9	7	57.3	55 14.48	7 41' 6.1	27 0' 6.1	
64	9	7	56 41.0	55 58.07	7 58' 0.9	27 17' 0.9	
65	9	7	56 48.5	56 5.61	7 51' 18.2	27 10' 18.2	
66	9	3	24.5	58 45.94	8 12' 37.5	27 31' 37.5	
67	9	4	58 50.5	58 50.47	8 10' 55.4	27 29' 55.4	
68	9	4	59 57.5	59 57.50	8 7' 31.1	27 26' 31.1	
69	8	4	1 18.2	17 1 18.20	8 15' 35.3	27 34' 35.3	
70	8.9	5	2 11.6	1 50.16	7 29' 57.1	26 48' 57.1	
71	6.7	3	3 12.9	3 34.35	8 15' 25.5	27 34' 25.5	
72	7	2	4 38.5	5 10.82	8 17' 55.7	27 36' 55.7	
73	7	4	26.6	5 26.60	7 29' 22.7	26 48' 22.7	
74	7	7	53.6	5 10.54	8 17' 56.7	27 36' 56.7	
75	9	5	51.4	6 29.77	8 28' 29.8	27 47' 29.8	
76	8.9	4	40.3	7 40.30	8 4' 25.5	27 23' 25.5	
77	8	4	35.9	8 36.00	8 16' 52.9	27 35' 52.9	
78	9	4	2.0	9 2.00	8 17' 10.5	27 36' 10.5	
79	9	2	9 59.0	10 31.79	9 48' 20.8	29 7' 20.8	
80	9	2	11 1.3	11 34.09	9 48' 2.0	29 7' 2.0	
81	8	4	11 28.7	11 28.69	9 52' 38.6	29 11' 38.6	
82	8	7	12 58.3	12 15.37	7 56' 54.0	27 15' 54.0	
83	8.9	7	12 47.7	12 4.80	7 52' 22.6	27 11' 22.6	
84	9	5	14 16.4	13 54.82	8 12' 35.8	27 31' 35.8	
85	6	7	15 11.1	14 27.88	8 40' 30.8	27 59' 30.8	
86	8.9	5	49.0	15 27.23	9 11' 13.0	28 30' 13.0	
87	9	5	31.4	16 9.57	9 27' 48.9	28 46' 48.9	
88	9	5	17 16.5	16 54.73	9 11' 26.0	28 30' 26.0	
89	8	6	45.0	17 12.50	9 4' 46.6	28 23' 46.6	
90	8	7	18 3.8	17 20.47	8 57' 26.0	28 16' 26.0	
91	8.9	4	50.7	18 50.70	8 54' 21.1	28 13' 21.1	
92	9	7	19 29.5	18 46.27	8 43' 34.9	28 2' 34.9	
93	9.0	7	19 40.5	18 57.27	8 43' 1.3	28 2' 1.3	
94	9	7	20 57.5	20 13.94	9 31' 15.8	28 50' 15.8	
95	9	5	22 5.3	21 43.80	7 46' 7.2	27 5' 7.2	
96	9	4	23 7.5	23 7.50	9 23' 44.4	28 42' 44.4	
97	9.0	5	24 27.0	24 5.12	9 40' 54.8	28 59' 54.8	
98	9	4	54.7	24 54.70	9 47' 9.9	29 6' 9.9	
99	9.0	4	25 40.7	25 40.70	9 49' 20.7	29 8' 20.7	
100	9.0	7	26 39.0	25 55.35	9 42' 50.8	29 1' 50.8	
101	8.9	4	28 48.4	28 48.40	9 1' 14.3	28 20' 14.3	
102	8	1	22.1	30 5.32	8 59' 50.6	28 18' 50.6	
103	9	4	18.3	30 18.30	8 2' 16.8	27 21' 16.8	
104	8	7	59.2	30 16.44	7 31' 57.8	26 50' 57.8	
105	8.9	2	28.5	32 0.92	7 59' 49.8	27 18' 49.8	
106	8.9	7	32 32.2	31 49.06	8 29' 25.1	27 48' 25.1	
107	8	5	33 37.2	33 15.77	7 27' 12.9	26 46' 12.9	
108	9	4	29.6	34 29.60	7 51' 15.4	27 10' 15.4	
109	8.9	2	35 22.3	35 54.50	7 50' 42.7	27 9' 42.7	
110	9	6	15.0	35 42.64	8 37' 21.8	27 56' 21.8	
111	9	6	37 1.3	36 28.93	8 39' 31.6	27 58' 31.6	
112	9	7	37 20 :	36 37	8 40' 43.0	27 59' 43.0	
113	9	4	38 43.7	38 43.70	9 4' 57.2	28 23' 57.2	
114	7	5	39 59.0	39 37.54	7 36' 24.0	26 55' 24.0	

*Hülftafel zur Reduction auf den mittl
Ort 1850 Januar 0 D = - 28°.*

T.	k	k'	d
16 50-32.42	0	-3	- 0.4 + 0.4 +
17 0-32.42	0	-3	0.0 + 0.3 +
10-32.42	+1	-3	+ 0.3 + 0.4 +
20-32.41	0	-4	+ 0.7 + 0.5 +
30-32.41	+1	-4	+ 1.2 + 0.4 +
40-32.40		-4	+ 1.6 +

67 Fad. 7. 33.5

72. 74. derselbe.

77 Fad. 5. 57.7

81 „ 5. 50.6

105 „ 3. 39.7 Fäden 0.74 u. 1.10

110. Zeitsecunde zweifelhaft. Decl. +10.5

111. 112. Viele Sterne 9.0 Grösse in diese

gend.

114 Fad. 6. 9.6

Ziemlich gute Luft.

Gr.	Fad.	Beob. Zeit.	T.	Microsc. I	Südl. Declin.
3.9	5	0 56.4	16 0 34.16	11 18 29.7	30 38 29.7
7	3	1 54.0	2 15.83	9 41 29.1	29 1 29.1
9	4	3 49.2	3 49.20	10 25 43.6	29 45 43.6
9	6	4 53.6	4 20.83	9 55 50.4	29 15 50.4
3.9	7	5 43.5	4 59.51	10 29 28.5	29 49 28.5
3.9	3	6 48.5	7 10.51	10 54 19.7	30 14 19.7
3	5	8 24.8	8 3.05	9 2 16.4	28 22 16.4
9	5	9 15.5	8 52.53	10 5 29.6	29 25 29.6
9	4	10 11.5	10 11.50	10 53 14.3	30 13 14.3
7	7	11 20 :	10 36	11 12 2.6	30 32 2.6
9	6	12 56.4	12 23.48	10 24 22.2	29 44 22.2
9	5	15 20.1	14 58.04	10 29 42.6	29 49 42.6
9	6	15 46.7	15 13.75	10 28 26.8	29 48 26.8
7	7	31.3	15 47.53	10 1 21.5	29 21 21.5
3.9	7	17 32.6	16 48.95	9 43 31.9	29 3 31.9
8	3	18.0	18 39.74	9 37 17.2	28 57 17.2
9	6	19 6.0	18 33.30	9 42 15.0	29 2 15.0
9	5	21 7.2	20 45.20	10 12 11.8	29 32 11.8
8	5	22 12.5	21 50.58	9 49 28.4	29 9 28.4
3.9	3	23 13.0	23 34.69	9 23 37.0	28 43 37.0
9	5	25 37.3	25 15.31	10 10 53.5	29 30 53.5
3.9	4	26 32.4	26 32.40	9 53 18.7	29 13 18.7
3.9	3	29 28.4	29 50.27	10 15 17.0	29 35 17.0
8	2	29 48.1	30 21.05	10 17 30.0	29 37 30.0
3.9	6	30 56.3	30 23.23	10 49 38.2	30 9 38.2
3.9	6	33 47.0	33 14.37	9 30 13.5	28 50 13.5
3.9	4	35 1.0	35 1.00	9 58 27.7	29 18 27.7
9	6	35 35.2	35 2.20	10 38 22.0	29 58 22.0
8	4	37 1.8	37 1.80	9 36 4.9	28 56 4.9
3.9	5	38 31.0	38 9.05	9 59 22.3	29 19 22.3
3.9	4	39 29.3	39 29.30	10 45 33.2	30 5 33.2
3.9	7	41 5.8	40 22.23	9 31 46.1	28 51 46.1
3.9	4	42 10.6	42 10.60	11 4 25.5	30 24 25.5
9	7	43 6.6	42 22.62	10 29 13.8	29 49 13.8
8	4	44 7.5	44 7.50	10 50 26.0	30 10 26.0
3.9	4	43.0	44 43.00	10 49 5.7	30 9 5.7
9	5	23.3	45 1.40	9 47 35.0	29 7 35.0
9	5	45 36.0	45 14.09	9 48 37.1	29 8 37.1
9	5	29.7	46 7.81	9 43 53.5	29 3 53.5
8	4	46 37.0	46 37.11	9 42 16.1	29 2 16.1
6	5	47 59.0	47 36.83	11 0 4.1	30 20 4.1
3.9	4	49 31.3	49 31.30	9 50 35.8	29 10 35.8
9	7	50 20.5	49 36.49	10 33 9.3	29 53 9.3
8	7	52 47.5	52 3.68	10 6 50.7	29 26 50.7
3.9	7	52 58.5	52 14.68	10 7 44.2	29 27 44.2
9	4	54 54.8	54 54.80	10 0 59.4	29 20 59.4
9	3	43.5	56 5.35	10 10 39.6	29 30 39.6
3.9	5	29.0	56 6.94	10 29 2.0	29 49 2.0
3.9	2	56 55.8	57 28.90	10 36 27.1	29 56 27.1
8	1	58 32.8	59 16.67	10 31 3.9	29 51 3.9
8	2	58 58.0	59 31.01	10 27 9.4	29 47 9.4
9	5	59 45.0	59 22.87	9 49 46.8	29 9 46.8
9	5	0 42.6	17 0 20.32	10 22 14.9	29 42 14.9
9	4	51.5	1 51.50	10 54 28.4	30 14 28.4
9	3	5 49.7	6 11.74	11 1 22.8	30 21 22.8

ZONE 215. 1849 Juni 23.

NC. 15 47-1 50.46
 17 49-1 54.17
 Anf. 27 10.71+13.9 60.4
 Ende 10.56+12.9 55.6
 Microsc. I + 9".39 u. + 6".63
 Decl. - (Microsc. I + 19° 20' 0")
 17^a r+i - 33".369 Δr 0".000 Δi-0'

Hülftafel zur Reduction auf den mittl. Ort 1850 Januar 0 D = - 30°.

T.	k	k'	d
16 0-32.40	-1	-3	+ 8.1 + 0.1 +
10-32.41	-1	-3	+ 8.2 + 0.2 +
20-32.42	-1	-3	+ 8.4 + 0.1 +
30-32.43	0	-3	+ 8.5 + 0.2 +
40-32.43	-1	-3	+ 8.7 + 0.2 +
50-32.44	0	-3	+ 8.9 + 0.2 +
17 0-32.44	0	-3	+ 9.1 + 0.2 +
10-32.44		-3	+ 9.3 +

- 1 Fad. 6. 7.4
 2 " 4. 15.9
 7. Grad des Microscops wahrscheinlich 10°, dann D. 29° 22' 16".4, T. 8' 2".84; stimmt die Beob. vollkommen zu LC. No. 1 = Z. 214 No. 11 u. Z. 389 No. 8.
 10. dupl. IV. Cl. seq.
 14. dupl. III. Cl. seq.
 19 Fad. 6. 23".3
 37. vielleicht Faden 6 und dann T. 44' 50"
 40 Fad. 5. 59".1
 49 " 3. 7.0
 52 " 6. 55.4 Fäden 23.08 und 22.66
 53 " 7. 4.0 " 20.57 und 20.07

No.	Gr.	Fad.	Beob. Zeit.	T.	Microsc. I	Südl. Declin.
56	8.9	5	6 48.5	17 6 26.55	10 55 16.8	30 15 16.8
57	6.7	5	7 11.5	6 49.39	10 41 59.5	30 1 59.5
58	7	2	45.6	8 18.68	10 39 38.1	29 59 38.1
59	7.8	6	8 24.4	7 51.33	10 50 37.4	30 10 37.4
60	9	4	9 26.4	9 26.40	10 28 4.2	29 48 4.2
61	8	5	9 44.1	9 22.08	10 22 31.6	29 42 31.6
62	9	7	10 37.0	9 52.97	10 36 17.4	29 56 17.4
63	8	5	11 50.6	11 28.68	9 52 39.1	29 12 39.1
64	8.9	5	13 1.1	12 39.10	10 14 40.2	29 34 40.2
65	8	5	43.0	13 20.89	10 42 51.7	30 2 51.7
66	8	4	14 50.8	14 52.79	10 20 31.2	29 40 31.2
67	8	4	15 18.0	15 18.00	10 23 35.7	29 43 35.7
68	7	4	16 29.0	16 29.00	10 11 56.9	29 31 56.9
69	9	5	17 2.5	16 40.36	10 4 46.2	29 24 46.2
70	8.9	2	17 47.0	18 19.64	9 18 42.1	28 38 42.1
71	7	4	18 36.4	18 36.40	10 15 35.5	29 35 35.5
72	4	6	18 51.9	18 19.02	10 23 41.0	29 43 41.0
73	8.9	5	20 0.8	19 38.56	11 27 37.6	30 47 37.6
74	9	6	23 4.5	22 31.44	10 47 28.0	30 7 28.0
75	9	7	23 36.0	22 51.81	10 56 47.0	30 16 47.0
76	9	7	56.5	23 12.29	11 0 22.0	30 20 22.0
77	8.9	5	24 17.4	23 55.25	10 55 28.7	30 15 28.7
78	8	4	24 56.5	24 56.50	10 57 49.8	30 17 49.8
79	9	7	26 24.0	25 40.31	9 49 14.9	29 9 14.9
1	8	6	32 15.6	16 31 45.81	7 1 56.5	16 18 26.5
2	8.9	7	33 11.8	32 32.23	6 4 39.4	15 21 9.4
3	8.9	7	44.0	33 4.49	5 46 55.0	15 3 25.0
4	9	6	34 43.9	34 14.10	7 27 10.4	16 43 40.4
5	8	5	36 0.5	35 40.69	5 40 44.8	14 57 14.8
6	9.0	7	36 37.0	35 57.50	5 44 39.2	15 1 9.2
7	9	5	37 46.5	37 26.58	6 53 20.8	16 9 50.8
8	8.9	5	20.8	38 0.83	7 20 30.6	16 37 0.6
9	9.0	5	51.9	38 31.93	7 20 4.7	16 36 34.7
10	7	3	39 29.9	39 59.65	6 24 37.8	15 41 7.8
11	7.8	4	15.5	40 15.50	5 48 47.0	15 5 17.0
12	6.7	5	49.1	40 29.32	5 21 45.6	14 38 15.6
13	6.7	4	27.2	41 27.20	6 7 28.5	15 23 58.5
14	9.0	7	4.5	41 24.77	6 52 27.7	16 8 57.7
15	7	4	51.8	42 51.80	7 0 22.0	16 16 52.0
16	9.0	6	45 8.5	44 38.77	6 36 34.7	15 53 4.7
17	9.0	7	45 32.5	44 52.62	6 39 51.5	15 56 21.5
18	9.0	5	21.0	46 1.08	6 52 47.6	16 9 17.6
19	9.0	5	47 44.9	47 25.00	6 30 53.1	15 47 23.1
20	8.9	5	18.9	47 59.03	6 25 22.0	15 41 52.0
21	9	6	55.9	48 26.27	5 57 58.4	15 14 28.4
22	9	4	50 59.9	50 59.90	5 31 0.4	14 47 30.4
23	8	7	52 0.0	51 20.34	6 33 12.9	15 49 42.9
24	9.0	6	29.0	51 59.20	6 37 25.9	15 53 55.9
25	9.0	5	17.0	52 57.09	6 41 59.2	15 58 29.2
26	8	7	43.9	53 3.97	7 50 21.6	17 6 51.6
27	9.0	4	55 4.5	55 4.50	6 22 31.0	15 39 1.0
28	8	4	37.6	55 37.60	6 22 19.1	15 38 49.1
29	8.9	5	22.0	56 2.09	6 41 59.5	15 58 29.5
30	10	7	7.0	56 27.24	7 2 56.7	16 19 26.7
31	9	7	42.5	57 2.99	5 46 41.6	15 3 11.6

Hilfstafel zur Reduction auf den mittlern Ort 1850 Januar 0 D = - 30°.

Diese Tafel gilt für die Sterne von No. 60 an, für die frühern die der vorigen Seite.

T.	k	k'	d	d'
17 10-32.44	0	-3	+ 5.3	+ 0.3
20-32.44	+ 1	-3	+ 5.6	+ 0.3
30-32.43		-4	+ 5.9	+ 5.5

61 Fad. 6. 55".0

62. Grad der Decl. zweifelhaft.

66 Fad. 7. 36".7 Fäden 50".80 und 52".7 ich halte den letztern für richtig und habe demnach T berechnet.

69 Fad. 6. 13".0 Fäden 40".53 und 40".19

72 " 7. 3".0

Die Zone ward durch Wolken unterbrochen.

Zone 216. 1849 Juni 27. Ost

NC. 16 12-1 50.12

18 10-1 53.58

Anf. 27 11.59+14.3 59.3

Ende 11.52+14.2 57.2

Microscop I + 3".44 und + 6".24

Decl. = - (Microsc. I + 9° 16' 30")

17" r+i -34".137 Δr-0".003 Δi-0".00

Hilfstafel zur Reduction auf den mittlern Ort 1850 Januar 0 D = - 16°.

T.	k	k'	d	d'
16 30-33.23	-2	-3	- 3.4	+ 0.1
40-33.25	-1	-3	- 3.3	+ 0.2
50-33.26	-2	-3	- 3.1	+ 0.2
17 0-33.28		-3	- 2.9	+ 1.0

4 Fad. 7. 54".0

10. LL. No. 30521 u. Z. 390 No. 12 zeigen, da statt Fad. 3 zu lesen sei Fad. 2; hiermit ist berechnet.

24 Fad. 7. 38".8

Nº.	Gr.	Fad.	Beob. Zeit.	T.	Microsc. I	Südl. Declin.
32	9	4	58 49.7	16 58 49.70	6 57 31.9	16 14 1.9
33	9	4	59 3.6	59 3.49	6 54 30.2	16 11 0.2
34	8	4	0 18.5	17 0 18.50	7 34 8.0	16 50 38.0
35	7	4	55.0	0 55.00	7 25 26.2	16 41 56.2
36	8.9	4	46.0	1 46.00	6 50 23.4	16 6 53.4
37	8	4	8.4	2 8.40	6 41 41.2	15 58 11.2
38	3	5	40.0	2 20.14	6 15 31.2	15 32 1.2
39	9.0	4	5.3	3 5.30	6 11 33.6	15 28 3.6
40	9.0	5	36.5	3 16.65	6 8 53.9	15 25 23.9
41	9.0	4	31.2	4 31.20	6 8 34.8	15 25 4.8
42	9	3	7.7	5 27.43	6 9 55.4	15 26 25.4
43	6.7	3	15.4	5 35.12	6 6 3.4	15 22 33.4
44	9	3	35.5	5 55.24	6 8 22.8	15 24 52.8
45	7.8	3	55.6	6 15.33	6 9 17.0	15 25 47.0
46	9	5	6 59.3	6 39.54	6 27 32.3	15 44 2.3
47	9	7	7 9.5	6 29.85	6 30 0.4	15 46 30.4
48	9	4	14.5	8 14.50	6 38 49.8	15 55 19.8
49	7.8	7	35.4	7 55.70	6 41 37.3	16 1 7.3
50	9	5	1.9	8 41.99	6 46 10.3	16 2 40.3
51	9	7	9 27.7	8 47.93	7 6 4.5	16 22 34.7
52	9	5	10 27.8	10 7.84	7 14 9.7	16 30 39.7
53	8	7	14.9	10 35.23	6 35 17.7	15 51 47.7
54	9.0	7	12 0.0	11 20.47	5 54 32.0	15 11 2.0
55	9.0	7	13 6.8	12 26.95	7 28 28.9	16 44 58.9
56	8.9	4	13 53.4	13 53.40	7 47 18.8	17 3 48.8
57	7.8	5	14 33.7	14 13.67	7 54 34.2	17 11 4.2
58	9	6	14 50.9	14 20.98	7 54 54.3	17 11 24.3
59	9	4	15 34.1	15 34.10	7 57 55.6	17 14 25.6
60	7	6	1.5	15 31.80	6 36 52.2	15 53 22.2
61	8.9	4	43.2	16 43.20	6 44 15.2	16 0 45.2
62	9.0	6	26.5	16 56.88	5 56 7.1	15 12 37.1
63	8.9	5	59.4	17 39.58	5 50 44.2	15 7 14.2
64	8.9	3	24.5	18 44.19	5 43 7.1	14 59 37.1
65	9	6	9.8	18 40.12	6 17 32.8	15 34 2.8
66	7	6	35.9	19 6.20	6 26 34.4	15 43 4.4
67	9	4	10.8	20 10.80	6 18 0.6	15 34 30.6
68	9	4	51.5	20 51.50	6 36 55.8	15 53 25.8
69	9	5	18.7	20 58.80	6 38 22.0	15 54 52.0
70	7.8	4	25.2	21 25.20	6 37 57.0	15 54 27.0
71	8.9	4	49.6	21 49.60	6 36 54.8	15 53 24.8
72	8.9	5	14.2	21 54.32	6 30 39.4	15 47 9.4
73	9	4	45.2	22 45.20	6 35 22.9	15 51 52.9
74	8.9	5	24.4	23 4.39	7 44 39.8	17 1 9.8
75	8.9	4	24 16.0	24 16.00	6 42 7.1	15 58 37.1
76	9	5	59.8	24 40.03	6 32 39.0	15 49 9.0
77	9.0	5	1.7	25 41.89	5 44 36.0	15 1 6.0
78	9.0	7	21.0	25 41.51	5 41 31.5	14 58 1.5
79	8.9	6	9.9	26 40.08	7 14 22.9	16 30 52.9
80	9	4	59.3	27 59.30	7 3 27.1	16 19 57.1
81	9	5	43.7	28 23.78	6 48 55.9	16 5 25.9
82	9.0	5	13.0	28 53.11	6 33 55.7	15 50 25.7
83	9	5	44.4	29 24.50	6 37 43.6	15 54 13.6
84	9.0	5	4.3	29 44.39	6 41 20.6	15 57 50.6
85	9.0	7	31 3.9	30 24.21	6 41 22.9	15 57 52.9
86	9	7	0.7	31 21.07	6 23 35.3	15 40 5.3

Hülftafel zur Reduction auf den mittlern Ort 1850 Januar 0 D = - 16°.

T.	k	k'	d	d'
17 0-33.28	-1	-3	- 2.9	+ 0.3
10-33.29	-1	-4	- 2.6	+ 0.2
20-33.30	0	-4	- 2.4	+ 0.3
30-33.30		-4	- 2.1	+ 10.2

33 Fad. 5. 23.3
 44 „ 5. 15.1
 46 „ 7. 19.3
 54. 8^m. praec. ad Bor.
 60 Fad. 7. 11^m.5
 76 „ 7. 19.8
 85. Zeitsecunde zweifelhaft.

Nº.	Gr.	Fad.	Beob. Zeit.	T.	Microsc. I	Südl. Declin.																									
87	9.0	5	32' 50.2	17 32' 30.48	6° 10' 4.5	15° 26' 34.5	Hülfsstafel zur Reduction auf den mittleren Ort 1850 Januar 0 D = - 16°. <table><tr><th>T.</th><th>k</th><th>k'</th><th>d</th></tr><tr><td>17 30' - 33.30</td><td>-1</td><td>-4</td><td>- 2.1 + 0.3 +</td></tr><tr><td>40 - 33.31</td><td>0</td><td>-4</td><td>- 1.8 + 0.3 +</td></tr><tr><td>50 - 33.31</td><td>0</td><td>-4</td><td>- 1.5 + 0.3 +</td></tr><tr><td>18 0 - 33.31</td><td>0</td><td>-4</td><td>- 1.2 + 0.3 +</td></tr><tr><td>10 - 33.31</td><td></td><td>-4</td><td>- 0.9 +</td></tr></table>	T.	k	k'	d	17 30' - 33.30	-1	-4	- 2.1 + 0.3 +	40 - 33.31	0	-4	- 1.8 + 0.3 +	50 - 33.31	0	-4	- 1.5 + 0.3 +	18 0 - 33.31	0	-4	- 1.2 + 0.3 +	10 - 33.31		-4	- 0.9 +
T.	k	k'	d																												
17 30' - 33.30	-1	-4	- 2.1 + 0.3 +																												
40 - 33.31	0	-4	- 1.8 + 0.3 +																												
50 - 33.31	0	-4	- 1.5 + 0.3 +																												
18 0 - 33.31	0	-4	- 1.2 + 0.3 +																												
10 - 33.31		-4	- 0.9 +																												
88	9	5	46.4	33 26.57	5 55 54.0	15 12 24.0																									
89	9	7	13.7	33 34.22	5 36 32.2	14 53 2.2																									
90	8	5	39.0	34 19.19	5 38 58.7	14 55 28.7																									
91	8.9	3	54.2	35 13.88	5 39 14.9	14 55 44.9																									
92	8.9	4	28.4	35 28.40	5 36 17.9	14 52 47.9																									
93	7.8	4	11.8	36 11.80	7 30 48.4	16 47 18.4																									
94	9	4	30.6	36 30.60	7 25 37.0	16 42 7.0																									
95	8	4	51.5	36 51.50	7 24 59.3	16 41 29.3																									
96	8	7	26.4	36 46.46	7 52 46.9	17 9 16.9																									
97	9	7	46.9	37 6.96	7 53 24.0	17 9 54.0	87 Fad. 7. 10.2 127 „ 4. 32.6 129 „ 5. 44.6 131 „ 6. 27.8																								
98	8	5	24.0	38 4.04	7 14 51.2	16 31 21.2																									
99	8.9	5	51.0	38 31.10	6 39 45.4	15 56 15.4																									
100	9	6	34.7	39 5.04	6 10 34.9	15 27 4.9																									
101	9	4	22.3	40 22.30	5 49 14.0	15 5 44.0																									
102	9	5	15.2	40 55.28	6 55 3.2	16 11 33.2																									
103	9	4	37.6	41 37.60	6 50 2.5	16 6 32.5																									
104	8	2	7.0	42 36.81	6 49 43.9	16 6 13.9																									
105	8	5	39.0	42 19.10	6 38 41.9	15 55 11.9																									
106	9	3	7.0	43 26.73	6 9 39.8	15 26 9.8																									
107	9	2	23.6	43 53.32	6 10 35.7	15 27 5.7	Die Sterne waren, besonders Anfangs, etwas ruhig. ZONE 217. 1849 Juli 1. Os SC. 16 50' - 1' 59.77 18 16 - 2 2.74 Anf. 28 0.34 + 11.2 51.2 Ende 0.05 + 10.2 48.1 Microsc. I + 5''.64 u. + 6''.76 Decl. = - (Microsc. I + 19° 18' 20'')																								
108	8	4	2.9	44 2.90	5 42 29.4	14 58 59.4																									
109	8.9	6	43.6	44 13.77	7 19 54.4	16 36 24.5																									
110	9	5	42.8	45 22.93	6 20 31.8	15 37 1.8																									
111	8.9	5	25.4	46 5.60	5 35 50.9	14 52 20.9																									
112	—	6	6.2	46 36.50	6 25 12.6	15 41 42.6																									
113	—	6	35.0	47 5.30	6 25 27.3	15 41 57.3																									
114	—	7	55.0	47 15.34	6 32 37.3	15 49 7.3																									
115	—	7	25.0	47 45.37	6 23 26.5	15 39 56.5																									
116	5	6	48 44.5	48 14.79	6 30 22.1	15 46 52.1																									
117	9.0	7	55.0	48 15.35	6 30 39.0	15 47 9.0																									
118	7	6	49 13.7	48 44.01	6 22 53.1	15 39 23.1																									
119	9.0	7	50 51.5	50 11.79	6 46 44.4	16 3 14.4																									
120	9.0	7	31.7	50 51.94	7 2 16.5	16 18 46.5																									
121	8	5	52 27.6	52 7.69	6 46 34.4	16 3 4.4																									
122	9	7	53 13.6	52 33.91	6 30 51.7	15 47 21.7																									
123	9.0	6	54 16.4	53 46.71	6 21 50.7	15 38 20.7																									
124	9	4	55 47.7	55 47.70	7 39 24.3	16 55 54.3																									
125	8	4	56 28.5	56 28.50	7 45 19.3	17 1 49.3																									
126	8.9	6	57 21.6	56 51.86	6 44 8.9	16 0 38.9																									
127	7.8	3	12.9	58 32.59	5 42 21.5	14 58 51.5																									
128	9	4	9.0	59 9.00	5 47 21.0	15 3 51.0																									
129	9	4	24.8	59 24.80	5 43 33.8	15 0 3.8																									
130	9	7	35.9	59 56.21	6 41 56.9	15 58 26.9																									
131	9	5	17.8	18 0 57.92	7 8 35.3	16 25 5.3																									
132	9	4	2 6.0	2 6.00	7 0 26.7	16 16 56.7																									
1	8.9	4	0 56.5	17 0 56.50	6 2 17.6	25 20 37.6																									
2	8	5	2 10.1	1 48.80	6 44 26.2	26 2 46.2																									
3	8	6	39.2	2 7.32	6 56 55.1	26 15 15.1																									
4	7.8	5	13.0	2 51.62	7 12 0.9	26 30 20.9																									
5	7	6	56.2	3 24.16	7 32 15.0	26 50 35.0																									
6	8.9	5	10.8	3 49.36	7 31 12.1	26 49 32.1																									
7	9	5	0.2	4 39.09	6 32 8.0	25 50 28.0																									
8	9	3	42.0	6 3.11	6 26 5.5	25 44 25.5																									
9	8.9	3	6 55.0	7 16.15	6 39 13.5	25 57 33.5																									

No.	Gr.	Fad.	Beob. Zeit.	T.	Microsc. I	Südl. Declin.
65	8.9	5	52 31.6	17 52 10.52	5 28 20.4	24 46 40.4
66	8.9	4	53 20.7	53 20.70	5 42 13.2	25 0 33.2
67	8.9	5	54 0.0	53 38.91	5 33 33.8	24 51 53.8
68	9	6	55 15.0	54 43.39	5 57 30.9	25 15 50.9
69	9	6	55 32.7	55 1.18	6 0 20.2	25 18 40.2
70	9	5	56 19.5	55 58.38	5 53 46.0	25 12 6.0
71	9	4	57 38.3	57 38.30	6 53 42.3	26 12 2.3
72	9	5	57 53.5	57 32.16	6 58 32.2	26 16 52.2
73	9	5	58 30.0	58 8.73	6 48 36.2	26 6 56.2
74	9	5	58 32.7	58 11.39	6 48 1.9	26 6 21.9
75	8.9	1	59 46.6	18 0 28.98	6 48 44.9	26 7 4.9
76	9	4	0 45.0	0 44.08	7 3 11.1	26 21 31.1
77	8	4	1 47.1	1 47.10	6 44 49.8	26 3 9.8
78	7	4	20.2	2 20.20	6 28 50.4	25 47 10.4
79	9	6	3 34.3	3 2.48	6 44 20.2	26 2 40.2
80	8.9	7	59.5	3 18.89	7 6 45.2	26 25 5.2
81	8.9	5	5 1.4	4 40.26	5 52 46.4	25 11 6.4
82	8.9	5	5 46.3	5 25.16	6 2 34.3	25 20 54.3
1	8.9	3	30 35.2	17 30 55.12	8 4 26.0	17 21 16.0
2	9.0	6	34.5	31 4.38	9 2 14.9	18 19 4.9
3	9.0	4	32 50.3	32 50.30	7 53 8.9	17 9 58.9
4	9	4	38.4	33 38.40	7 41 27.8	16 58 17.8
5	9.0	5	35 29.0	35 8.95	8 8 56.7	17 25 46.7
6	8	3	46.8	36 6.72	8 4 59.7	17 21 49.7
7	8	6	27.5	35 57.50	8 23 20.0	17 40 10.0
8	8.9	7	26.3	36 46.36	7 52 35.9	17 9 25.9
9	9.0	7	46.7	37 6.76	7 53 15.7	17 10 5.7
10	8.9	4	38 33.5	38 33.50	8 32 34.6	17 49 24.6
11	8	4	14.0	39 14.00	8 45 50.0	18 2 40.0
12	9	4	40 37.5	40 37.50	7 29 24.4	16 46 14.4
13	9.0	5	42 5.5	41 45.46	7 58 50.9	17 15 40.9
14	8.9	4	46.9	42 46.90	7 55 36.9	17 12 26.9
15	8	1	22.0	44 2.28	9 47 33.7	19 4 23.7
16	8	4	10.5	44 10.50	8 45 55.1	18 2 45.1
17	8.9	6	41.4	44 11.52	7 38 38.9	16 55 28.9
18	9	5	26.0	45 5.78	9 33 10.1	18 50 0.1
19	9	5	47 12.4	46 52.25	8 58 34.5	18 15 24.5
20	7	5	59.0	47 38.79	9 29 15.7	18 46 5.7
21	9	4	49 9.2	49 9.20	9 37 42.6	18 54 32.6
22	9.0	7	48.3	49 8.17	8 45 8.3	18 1 58.3
23	7	4	33.6	50 33.60	7 33 26.6	16 50 16.6
24	9	5	30.0	51 9.78	8 54 22.4	18 11 12.4
25	9	4	13.7	52 13.70	9 16 55.6	13 33 45.6
26	8.9	3	36.8	52 56.86	9 13 8.0	18 29 58.0
27	8	3	14.9	53 35.03	9 28 49.2	19 5 39.2
28	8	7	37.0	52 56.76	9 13 8.4	18 29 58.4
29	9.0	5	28.0	54 7.90	8 33 12.4	17 50 2.4
30	8.9	6	1.1	54 31.12	8 14 11.9	17 31 1.9
31	8	5	15.6	54 55.59	8 7 43.3	17 24 33.3
32	8	7	50.4	55 10.17	8 19 32.4	17 36 22.4
33	8	5	31.0	56 10.95	8 4 25.9	17 21 15.9
34	9.0	4	57 15.3	57 15.30	8 0 50.1	17 17 40.1
35	8.9	4	58 25.8	58 25.80	9 42 34.8	18 59 24.8
36	9.0	7	54.3	58 13.92	9 47 30.4	19 4 20.4
37	5	4	39.5	59 39.50	7 53 23.7	17 10 13.7

Hilfstafel zur Reduction auf den mitt. Ort 1850 Januar 0 D = - 26°.

T.	k	k'	d
17 50-33.04	0	-3	- 3.4 + 0.1
18 0-33.04	0	-4	- 3.3 + 0.1
10-33.04	0	-4	- 3.2

69 Fad. 7. 43.5
 70 „ 6. 30.0
 73 „ 6. 40.6
 76 „ 5. 5.5 gibt T = 44".16; ich angenommen, dass bei Fad. 4 die S verzählt ist.

82 Fad. 6. 56".6 Fad. 7. 7".6
 Die Sterne waren unruhig und wurden zuletzt so sehr, dass die Zone gesc. werden musste. Auch viell. zuweilen c

ZONE 218. 1849 Juli 2.

SC. 16 35' - 1 59.60
 19 19 - 2 3.25
 Anf. 28 0.35 + 11.1 50.1
 Ende 0.37 + 10.5 49.1
 Micr. I + 6".6 und + 5".8
 Decl. = - (Micr. I + 9° 16' 50")
 18" r + i - 33".936 Δr + 0".004 Δi -

Hilfstafel zur Reduction auf den mitt. Ort 1850 Januar 0 D = - 18°.

T.	k	k'	d
17 30-33.12	0	-3	- 1.7 + 0.5
40-33.12	-1	-3	- 1.2 + 0.5
50-33.13	0	-4	- 0.7 + 0.5
18 0-33.13		-4	- 0.2

12. Statt Fad. 4 ist wahrscheinlich Fad. 5 zu sen und dann T. 40' 17".52; vergl. LL. 32459 und Z. 391 No. 84.

15 Fad. 2. 32".0

20. Eine vollständige Beobachtung 1851 Juli

gibt für 1850 17" 47' 5".63 - 18° 46' 10"

24 Fad. 6. 39".8

26. 28. derselbe.

27. Die Minute des Microscops ist 48, damit D und T berechnet; vergl. Z. 219 No. 24 Z. 391 No. 103. Eine Beobachtung 1851 Juli die zeigte, dass an der Stelle der uncorri- ten Declination kein Stern steht, giebt 1850 die Position 17" 53' 1".84 - 19° 5' 40"

31 Fad. 6. 25".6

Nº.	Gr.	Fad.	Boob. Zeit.	T.	Microsc. I	Südl. Declin.
38	7.8	5	31.6	18 0' 11.37	9 17' 4.6	18 33' 54.6
39	8	4	28.3	1 28.30	9 34 51.5	18 51 41.5
40	8.9	2	8.3	2 38.58	9 36 38.6	18 53 28.6
41	9.0	5	2.2	2 41.98	9 33 52.4	18 50 42.4
42	8.9	7	28.0	2 47.74	9 17 17.4	18 34 7.4
43	9.0	4	57.0	3 57.00	9 10 35.7	18 27 25.7
44	8.9	4	19.5	4 19.50	9 8 42.6	18 25 32.6
45	9	4	49.4	4 49.40	9 3 39.8	18 20 29.8
46	8.9	3	4.5	5 24.55	9 8 27.8	18 25 17.8
47	9	5	50.3	5 30.08	9 33 41.6	18 50 31.6
48	8.9	6	7.3	5 37.10	9 31 0.3	18 47 50.3
49	8.9	4	28.5	6 28.50	9 2 18.8	18 19 8.8
50	9	5	3.6	6 43.36	9 41 58.4	18 58 48.4
51	8	5	20.1	6 59.86	9 44 59.1	19 1 49.1
52	9	6	41.5	7 11.27	9 40 58.3	18 57 48.3
53	9	6	58.6	7 28.27	9 42 43.1	18 59 33.1
54	8.9	6	26.4	7 56.19	9 33 32.5	18 50 22.5
55	8	5	42.0	8 21.64	9 34 5.7	18 50 55.7
56	7	6	12.1	8 41.86	9 43 51.5	19 0 41.5
57	8	7	22.9	8 42.51	9 50 19.1	19 7 9.1
58	7.8	6	5.3	9 35.09	9 33 54.7	18 50 44.7
59	8	7	23.1	9 42.80	9 28 9.0	18 44 59.0
60	7.8	5	48.0	10 27.80	9 23 22.3	18 40 12.3
61	8.9	6	59.0	10 28.82	9 23 11.2	18 40 1.2
62	8	7	25.5	10 45.25	9 16 44.9	18 33 34.9
63	9.0	4	3.0	12 3.00	9 22 4.3	18 38 54.3
64	8.9	3	38.4	12 58.33	8 9 49.1	17 26 39.1
65	9	5	10.8	12 50.76	7 55 59.0	17 12 49.0
66	9	5	13 50.7	13 30.58	8 40 50.0	17 57 40.0
67	8.9	4	14 49.3	14 49.30	8 27 52.0	17 44 42.0
68	7.8	1	16 4.8	16 44.95	9 19 53.8	18 36 43.8
69	8.9	4	52.6	16 52.60	9 4 16.4	18 21 6.4
70	9	4	17 56.7	17 56.70	9 20 10.6	18 37 0.6
71	9	2	16.0	18 46.22	9 17 37.1	18 34 27.1
72	9	4	42.6	18 42.60	9 24 54.2	18 41 44.2
73	9	6	25.7	18 55.46	9 45 13.7	19 2 3.7
74	6.7	5	4.5	19 44.39	8 36 20.4	17 53 10.4
75	9.0	5	43.7	20 23.68	7 47 12.5	17 4 2.5
76	6	3	36.0	21 56.09	9 32 12.3	18 49 2.3
77	7	1	24.0	23 4.24	9 42 56.6	18 59 46.6
78	8	1	56.3	23 36.59	9 56 29.4	19 13 19.4
79	9	4	20.5	23 20.50	9 54 14.1	19 11 4.1
80	9.0	5	2.2	23 39.96	9 44 2.9	19 0 52.9
81	8	4	12.6	24 12.60	9 47 26.5	19 4 16.5
82	8.9	7	32.4	23 51.99	9 56 28.2	19 13 18.2
83	7	5	16.0	24 55.82	9 11 26.7	18 28 16.7
84	8.9	6	25 48.3	25 18.41	7 41 53.4	16 58 43.4
85	8.9	7	27 39.0	26 59.08	7 49 9.2	17 5 59.2
86	8.9	5	37.3	28 17.07	9 37 15.7	18 54 5.7
87	7.8	3	22.0	29 41.92	8 4 26.1	17 21 16.1
88	9.0	5	56.3	29 36.26	8 0 8.8	17 16 58.8
89	9	7	46.4	30 6.16	9 13 26.7	18 30 16.7
90	9	4	33 24.0	33 24.00	8 50 31.8	18 7 21.8
91	7.8	5	21.6	34 1.57	7 52 9.9	17 8 59.9
92	8.9	3	58.9	35 18.78	7 38 55.5	16 55 45.5

Hülftafel zur Reduction auf den mittlern Ort Januar 1850 0 D — 18°.

T.	k	k'	d	d'
18 0'—33.13	0	-4	- 0.2	+0.6
10—33.13	0	-4	+ 0.4	+0.5
20—33.13	0	-4	+ 0.9	+0.5
30—33.13	+1	-4	+ 1.4	+0.6
40—33.12		-4	+ 2.0	+12.5

38 Fad. 6. 41".5

49. Ich vermute, dass die Minute des Microscops zu lesen sei 32' und D. -18 49 8.8; Vgl. Z. 391 No. 128

55 Fad. 6. 51".7

60. 61. dupl. III. Cl.

82. Zeitsecunde zweifelhaft; nach LL. No. 34221 und Z. 207 No. 51 müsste sie 37".4 sein und dann T. 23' 56".99

84. 8.9 Gr. pr. ad Bor.

90. Die Pause entstand durch Anzünden der Lampe.

Nº.	Gr.	Fad.	Beob. Zeit.	T.	Microsc. I	Südl. Declin.
93	8	3	23.2	18° 35' 43.10	7 48 18.8	17° 5' 8.8
94	9	7	36 12.3	35 32.25	8 24 27.6	17 41 17.6
95	9	5	9.3	36 49.15	8 57 33.3	18 14 23.3
96	8	4	39.5	37 39.50	9 13 57.5	18 30 47.5
97	8	7	6.4	37 26.35	8 24 52.5	17 41 42.5
98	8	2	39 15.1	39 45.29	9 6 18.7	18 23 8.7
99	8.9	4	51.4	39 51.40	9 17 58.4	18 34 48.4
100	7	4	30.6	40 30.60	9 28 48.2	18 45 38.2
101	8	5	54.5	40 34.28	9 30 39.4	18 47 29.4
102	9.0	7	8.7	40 28.37	9 34 42.7	18 51 32.7
103	9	6	38.2	41 7.98	9 39 4.0	18 55 54.0
104	9	7	42 0.0	41 19.62	9 47 21.4	19 4 11.4
105	9	6	31.0	42 0.74	9 51 12.5	19 8 2.5
106	9.0	5	19.6	42 59.36	9 42 13.4	18 59 3.4
107	9	7	46.2	43 5.98	9 9 2.5	18 25 52.5
108	8	3	23.0	44 43.05	9 9 15.2	18 26 5.2
109	7.8	6	22.2	44 52.00	9 31 45.4	18 48 35.4
110	8.9	7	45 :	45 5	9 40 50.8	18 57 40.8
111	8.9	4	47 43.3	47 43.30	8 29 11.6	17 46 1.6
112	7.8	3	15.1	48 35.06	8 21 14.3	17 38 4.3
113	9	5	1.1	48 41.04	8 9 22.9	17 26 12.9
114	8.9	3	49 54.4	50 14.48	9 26 42.1	18 43 32.1
115	9	4	38.0	50 38.00	8 51 21.2	18 8 11.2
116	9	3	56.7	51 16.71	8 47 55.4	18 4 45.4
117	8.9	2	45.6	52 15.66	8 24 26.2	17 41 16.2
118	9	3	14.3	52 34.23	8 8 26.1	17 25 16.1
119	9	5	40.1	52 20.07	7 55 1.1	17 11 51.1
120	8.9	4	53 42.0	53 42.00	8 16 41.6	17 33 31.6
121	9.0	3	54 41.7	55 1.68	8 34 20.5	17 51 10.5
122	9	2	27.2	55 57.17	7 49 42.0	17 6 32.0
123	9	4	58.5	55 58.50	8 41 44.3	17 58 34.3
124	9	3	15.8	56 35.80	8 44 21.5	18 1 11.5
125	9	5	58.2	56 38.13	8 16 13.8	17 33 3.8
126	9	7	23.2	56 43.28	7 47 56.5	17 4 46.5
127	8.9	6	37.5	57 7.59	7 48 28.0	17 5 18.0
128	9	7	12.6	57 32.75	7 30 13.1	16 47 3.1
129	9.0	6	5.6	58 35.63	8 11 26.2	17 28 16.2
130	8.9	5	30.4	59 10.34	8 11 20.3	17 28 10.3
131	9	4	3.0	19 0 3.00	8 10 36.2	17 27 26.2
132	8	4	0 43.6	0 43.68	9 37 56.2	18 54 46.2
133	9	6	1 26.5	0 56.21	9 26 23.9	18 43 13.9
134	8.9	5	15.3	1 55.21	8 27 43.9	17 44 33.9
135	9	4	7.1	3 7.10	8 23 37.4	17 40 27.4
1	9	6	37 49.7	17 37 19.25	10 50 31.9	20 7 51.9
2	9	6	48.4	38 17.76	11 46 56.0	21 4 16.0
3	7.8	5	28.4	39 7.94	11 28 52.4	20 46 12.4
4	8.9	3	9.7	40 29.91	10 25 54.4	19 43 14.4
5	8	3	55.1	41 15.33	10 39 37.7	19 56 57.7
6	8.9	5	34.3	41 13.84	11 28 57.6	20 46 17.6
7	9	7	12.0	41 31.43	10 33 37.6	19 50 57.6
8	9	4	43 24.9	43 24.90	11 43 4.7	21 0 24.7
9	9	2	8.4	44 39.04	11 30 47.3	20 48 7.3
10	7	1	46.6	45 27.05	10 33 27.5	19 50 47.5
11	9	5	25.9	45 5.84	9 32 48.3	18 50 8.3
12	9	5	46 36.5	46 16.00	11 41 33.7	20 58 53.7

Hülftafel zur Reduction auf den mittl. Ort 1850 Januar 0 D = - 18°.

T.	k	k'	d
18 30-33.13	+1	+4	+ 1.4
40-33.12	+1	+4	+ 2.0
50-33.11	+1	+4	+ 2.6
19 0-33.10	+1	+4	+ 3.2
10-33.09		+4	+ 3.8

102. Zeitsecunde zweifelhaft.

132 Fad. 5. 4".0

133 „ 7. 36.4

Luft unruhig, Anfangs weniger, gegen das mehr; Anfangs aber vielleicht zuweilen D

ZONE 219. 1849 Juli 5. 0

SC. 17 22-1 58.47
 18 39-2 0.07
 Anf. 28 0.62+11.5 52.2
 Ende 0.80+11.0 50.6
 Micr. I + 21".73 u. + 21".46
 Decl. = -(Micr. I + 9° 17' 20")
 18" r + i - 34".068 Δ - 0".003 Δ - 0
 6. Wahrsch. Fad. 6 u. T. 3".66; vgl. Z. 224
 7. Ein anderes 8.9: m. pr. ad austr.
 11 Fad. 6. 36".2 Fäden 5".68 u. 5".99

Nº.	Gr.	Fad.	Beob. Zeit.	T.	Microsc. I	Südl. Declin.	
4	8.9	3	52.2	17 2 12.14	5 27 8.7	24 44 48.7	NC. 16 47-1 51.14
5	9	3	23.0	2 42.96	5 32 10.1	24 49 50.1	19 21-1 55.04
6	7	3	14.4	3 34.39	5 45 44.6	25 3 24.6	Anf. 28 2.75 + 13.1 57.9
7	9	3	32.2	3 52.19	5 44 8.2	25 1 48.2	Ende 2.76 + 12.4 56.5
8	9.0	4	54.3	3 53.34	5 46 33.1	25 4 13.1	Microsc. I + 3".33
9	9	5	43.0	4 20.89	5 41 9.6	24 58 49.6	Decl. = - (Micr. I + 19° 17' 40")
10	8	1	32.2	6 12.81	4 35 2.0	23 52 42.0	18° r+i - 34".092 Δr-0".002 Δi-0
11	9	7	5 54.3	5 11.58	4 34 12.8	23 51 52.8	
12	9.0	7	7 5.0	6 23.04	5 12 55.7	24 30 35.7	Hilfstafel zur Reduction auf den mittl.
13	9	5	8 53.5	8 32.44	5 20 36.2	24 38 16.2	Ort 1850 Januar 0 D = - 24°.
14	9.0	7	9 37.3	8 55.22	5 37 59.8	24 55 39.8	
15	9	1	11 24.5	12 6.19	4 48 57.8	24 6 37.8	
16	9.0	4	17.5	12 17.50	5 5 32.8	24 23 12.8	
17	8.9	5	49.8	12 28.77	5 13 37.3	24 31 17.3	
18	9.0	7	28.5	12 46.52	5 21 2.8	24 38 42.8	
19	6	7	45.0	13 2.98	5 26 58.1	24 44 38.1	
20	3	7	3.3	13 21.25	5 32 39.4	24 50 19.4	
21	7.8	5	51.2	14 30.12	5 38 48.8	24 56 28.8	
22	7	5	15 49.7	15 28.81	4 24 4.9	23 41 44.9	
23	9	4	16.7	16 16.70	4 29 9.2	23 46 49.2	
24	9.0	6	56.5	16 25.28	4 24 20.1	23 42 0.1	
25	9	4	33.4	17 33.40	4 27 21.3	23 45 1.3	
26	8.9	6	1.2	17 30.09	3 44 10.8	23 1 50.8	
27	6	7	18 25 :	17 43	4 44 6.9	24 1 46.9	
28	8.9	3	20 2.3	20 23.15	4 54 33.1	24 12 13.1	
29	9	7	21 0.4	20 18.85	4 1 2.8	23 18 42.8	
30	7.8	2	43.6	22 14.89	4 25 26.1	23 43 6.1	
31	5.6	2	18.1	22 49.42	4 32 43.2	23 50 23.3	
32	8	7	23 20.1	22 38.48	4 14 32.9	23 32 12.9	
33	8.9	4	24 23.3	24 23.30	4 54 25.4	24 12 5.4	
34	9	5	25 12.7	24 51.76	4 39 33.4	23 57 13.4	
35	9	7	26 6.0	25 24.56	3 40 7.2	22 57 47.2	
36	7.8	7	26 12.2	26 30.77	3 37 30.8	22 55 10.8	
37	8.9	5	27 17.2	26 56.17	5 13 15.9	24 30 55.9	
38	8.9	3	28 52.8	29 13.50	3 59 49.5	23 17 29.5	
39	9	3	48.2	30 9.01	4 39 5.9	23 56 45.9	
40	9.0	4	31 3.6	31 3.60	4 17 49.4	23 35 29.4	
41	8.9	5	44.3	31 23.52	3 40 40.2	22 58 20.2	
42	8.9	4	14.0	32 14.00	4 27 17.0	23 44 57.0	
43	8	5	34 8.2	33 47.37	3 58 35.9	23 16 15.9	
44	9.0	6	35 20.3	34 48.76	5 42 1.7	24 59 41.7	
45	7.8	5	3.0	35 42.12	4 18 36.0	23 36 16.0	
46	8.9	5	53.6	36 32.84	3 31 33.8	22 49 13.8	
47	8.9	3	37 27.5	37 48.37	4 46 39.8	24 4 19.8	
48	9	4	22.5	38 22.50	4 43 13.9	24 0 53.9	
49	9	7	1.7	38 19.65	5 33 0.2	24 50 40.2	
50	9	6	33.7	39 2.12	5 49 35.8	25 7 15.8	
51	8	6	19.9	39 48.80	3 52 49.6	23 10 29.6	
52	7	4	46.7	40 46.70	4 1 9.6	23 18 49.6	
53	9	7	13.8	40 32.23	4 5 46.7	23 23 26.7	
54	8.9	4	41.6	41 41.60	3 47 3.5	23 4 43.5	
55	7	3	14.3	42 34.94	3 34 39.4	22 52 19.4	
56	8	3	43.0	43 3.63	4 20 9.9	23 37 49.9	
57	8.9	1	43 38.8	44 20.68	5 20 14.6	24 37 54.6	
58	9	3	44 27.2	44 48.14	5 26 7.3	24 43 47.3	

T.	k	k'	d
17 0-33.21	-2	-3	- 4.3 +0.3
10-33.23	-1	-3	- 4.0 +0.3
20-33.24	-1	-3	- 3.7 +0.4
30-33.25	-1	-3	- 3.3 +0.3
40-33.26	-1	-3	- 3.0 +0.4
50-33.27		-4	- 2.6

4. dupl. II. Cl. bor. seq. Ein Fehler von in Zeit, der bei N°. 12 entdeckt wurde, nach dem Zeugniß von Zone 210 schon stattgefunden, und sind daher für die St. 4 bis 11 die T um 1" vermindert.

8 Fad. 5. 15".5

18. vielleicht Fad. 6 und dann T... 57".0

26 Fad. 7. 11".5

47 " 4. 48.4

56 " 4. 3.5

57 " 2. 49.2

No.	Gr.	Fad.	Beob. Zeit.	T.	Microsc. I	Südl. Declin.
114	9	5	13.0	18 15 51.91	5 9 37.5	24 27 17.5
115	8.9	5	47.2	16 26.17	5 11 32.6	24 29 12.6
116	8.9	5	31.6	17 10.79	3 51 59.2	23 9 39.2
117	9	4	17 58.5	17 58.50	4 7 55.7	23 25 35.7
118	8	5	18 27.9	18 7.03	4 13 23.8	23 31 3.8
119	8.9	3	19 4.5	19 25.43	5 21 0.9	24 38 40.9
120	8	2	43.6	20 15.24	5 49 49.8	25 7 29.8
121	8.9	7	7.2	19 25.22	5 20 58.8	24 38 35.8
122	9	5	58.8	20 37.76	5 14 47.0	24 32 27.0
123	8.9	3	26.4	21 47.25	4 51 42.1	24 9 22.1
124	7.8	6	25.8	21 54.67	4 3 7.8	23 20 47.8
125	8	4	46.5	22 46.50	4 7 14.3	23 24 54.3
126	8.9	4	28 :	23 28.28	4 31 49.6	23 49 29.6
127	9	5	32.7	24 11.56	5 53 30.0	25 11 10.0
128	7	5	58.1	24 37.12	4 55 3.0	24 12 43.0
129	9	5	19.3	24 58.33	4 53 2.6	24 10 42.6
130	8.9	5	31.4	25 10.42	4 55 59.3	24 13 39.3
131	5	7	58.4	25 16.59	4 50 35.5	24 8 15.5
132	7.8	6	26.5	25 55.22	5 2 5.3	24 19 45.3
133	8.9	3	27 8.3	27 29.21	5 15 16.6	24 32 56.6
134	9.0	4	28 5.0	28 5.00	4 53 0.0	24 10 40.0
135	9.0	4	49.3	28 49.30	4 26 18.3	23 43 58.3
136	8.9	4	35.0	29 35.00	4 32 46.7	23 50 26.7
137	6	4	56.3	29 56.30	4 20 2.2	23 37 42.2
138	7.8	6	24.6	29 53.49	3 56 1.0	23 13 41.0
139	7	5	50.0	30 29.17	4 0 52.9	23 18 32.9
140	9	3	19.5	31 40.11	3 30 9.6	22 47 49.6
141	9	5	32 27.8	32 6.67	5 50 40.1	25 8 20.1
142	8	4	32 56.6	32 56.60	5 49 24.6	25 7 4.6
143	9.0	4	39.5	33 39.50	5 33 28.9	24 51 8.9
144	9.0	6	19.0	33 47.52	5 27 59.4	24 45 39.4
145	8	5	34 42.5	34 21.54	4 48 43.6	24 6 23.6
146	9	5	27.7	35 6.85	4 4 48.2	23 22 28.2
147	9	4	51.4	35 51.37	4 7 6.0	23 24 46.0
148	9	4	31.5	36 31.50	4 6 4.0	23 23 44.0
149	9	3	37 26.3	37 47.13	4 45 52.0	24 3 32.0
150	9	4	16.5	38 16.50	4 28 57.0	23 46 37.0
151	9.0	7	57.6	38 16.07	3 57 40.6	23 15 20.6
152	9	5	43.5	39 22.65	4 7 19.1	23 24 59.1
153	9	4	5.1	40 5.10	4 4 54.4	23 22 34.4
154	7.8	4	41 41.0	41 41.00	3 43 20.0	23 1 0.0
155	9	4	4.6	42 4.70	3 41 48.6	22 59 28.6
156	9.0	6	58.8	42 27.80	3 27 35.5	22 45 15.5
157	9	7	58.3	43 16.40	5 5 46.3	24 23 26.3
158	9	4	45.3	44 45.30	5 27 41.8	24 45 21.8
159	7	2	13.6	45 45.20	5 38 58.3	24 56 38.3
160	8.9	2	22.6	45 54.33	5 35 33.3	24 53 13.3
161	9.0	6	26.6	45 55.33	4 36 22.0	23 54 2.0
162	9	2	53.7	47 25.04	4 38 31.6	23 56 11.6
163	6.7	4	29.8	47 29.80	4 3 59.9	23 21 39.9
164	8	3	42.6	48 3.31	4 2 23.1	23 20 3.1
165	9	4	14.3	48 14.30	4 9 6.9	23 26 46.9
166	9.0	7	49 0.4	48 18.79	4 11 42.0	23 29 22.0
167	8.9	7	49 59.6	49 18.07	3 57 45.6	23 15 25.6
168	9	5	46.0	50 25.17	3 59 12.6	23 16 52.6

Hülftafel zur Reduction auf den mittleren Ort 1850 Januar 0 D = - 24°.

T.	k	k'	d	e
18 10-33.27	0	-4	- 1.8	+0.4
20-33.27	0	-4	- 1.4	+0.4
30-33.27	0	-4	- 1.0	+0.5
40-33.27	0	-4	- 0.5	+0.4
50-33.27		-4	- 0.1	+0.4

119, 121. derselbe.

126 Fad. 5. 49".2

132 " 7. 37.2

140 " 7. 40.1

147 " 5. 12.2

155 " 5. 25.6

160 " 3. 33.5

155—165. Ein Fehler von +1", der bei N. 155 entdeckt ward, könnte vielleicht schon bei N. 155 stattgefunden haben. Dass sämmtliche T von 157—165 um 1" vermindert werden müssen, zeigt die Vergleichung mit der Histoire Céleste und Zone 222.

Gr.	Fad.	Beob. Zeit.	T.	Microsc. 1	Südl. Declin.
8	5	18.5	18 50 57.64	4 10 14.6	23 27 54.6
8.9	5	53.6	51 32.77	3 57 59.1	23 15 39.1
8.9	5	26.6	52 5.80	3 46 52.0	23 4 32.0
9	6	59.5	52 28.44	3 44 4.9	23 1 44.9
6	5	29.0	53 8.23	3 36 38.5	22 54 18.5
9	6	54.1	53 23.02	3 47 2.5	23 4 42.5
9	3	35.8	54 56.48	3 50 3.1	23 7 43.1
7	1	2.7	55 44.11	3 49 15.2	23 6 55.2
9.0	1	2.2	56 43.83	4 38 25.9	23 56 5.9
9.0	4	50.6	56 50.60	4 30 7.7	23 47 47.7
7.8	1	19.5	58 1.03	4 11 2.4	23 38 42.4
9	5	57 52.2	57 31.40	3 46 36.9	23 4 16.9
8.9	6	22.5	57 51.48	3 31 51.8	22 49 31.8
7	5	50.8	58 30.05	3 25 55.9	22 43 35.9
9.0	6	17.3	58 46.25	3 40 5.1	22 57 45.1
9	6	54.2	59 23.06	4 4 8.8	23 21 48.8
9	6	13.0	59 41.85	4 6 29.7	23 24 9.7
3	7	34.5	19 0 13.64	4 7 41.0	23 25 21.0
7	8	4.0	1 4.00	4 7 53.9	23 25 33.9
3	9.0	3 25.4	1 46.11	4 1 36.9	23 19 16.9
9	7.8	2 1 53.6	2 25.07	5 7 36.3	24 25 16.3
9	8	2 0.3	3 31.66	4 41 16.6	23 58 56.6
9.0	3	19.5	3 40.31	4 38 18.8	23 55 58.8
8	1	51.7	4 33.34	4 39 33.6	23 57 13.6
8	6	4 2.6	3 31.48	4 41 16.8	23 58 56.8
8	3	14 31.4	17 14 53.29	10 20 38.6	29 40 18.6
8.9	3	57.0	15 18.90	10 23 43.3	29 43 23.3
8.9	5	46.5	15 24.33	11 1 48.8	30 21 28.8
7	4	29.7	16 29.70	10 11 59.4	29 31 39.4
9	5	17 3.3	16 41.33	10 4 52.6	29 24 32.6
7.8	2	4.0	18 36.94	10 15 41.8	29 35 21.8
5	4	20.0	18 20.00	10 23 46.6	29 43 26.6
8.9	3	19 17.6	19 39.74	11 27 39.4	30 47 19.4
9	7	49.2	19 4.66	11 43 47.9	31 3 27.9
9	7	34.8	19 50.98	10 8 6.1	29 27 46.1
9	6	21 41.8	21 8.75	10 48 3.6	30 7 43.6
9	3	10.1	22 32.09	10 47 34.8	30 7 14.8
9	4	32.0	22 32.00	10 50 22.3	30 10 2.3
8.9	4	52.4	22 52.40	10 56 49.9	30 16 29.9
9	4	13.4	23 13.40	11 0 28.0	30 20 8.0
9	4	56.5	23 56.50	10 55 37.9	30 15 17.9
9	1	13.5	24 57.57	10 57 56.6	30 17 36.6
9.9	5	25 17.4	24 55.50	9 47 18.7	29 6 58.7
9	5	3.3	25 41.39	9 49 21.1	29 9 1.1
9	7	39.6	25 55.95	9 42 57.9	29 2 37.9
9	6	41.0	27 7.60	11 6 11.6	30 25 51.6
9.9	3	28 22.1	28 44.24	11 28 18.9	30 47 58.9
7	1	29 36.2	30 19.94	10 6 42.9	29 26 22.9
9	4	30.5	30 30.50	9 55 40.1	29 15 20.1
8	6	57.3	30 24.36	10 32 17.0	29 51 57.0
9	5	39.5	31 17.38	10 47 54.9	30 7 34.9
9	7	32 12.6	31 28.39	11 1 11.2	30 20 51.2
9	5	31 20.4	32 58.21	11 4 30.2	30 24 10.2
9	6	5.6	33 32.37	11 17 58.0	30 37 38.0
8.9	5	48.7	34 26.58	10 46 0.0	30 5 40.0

Hülftafel zur Reduction auf den mittlern Ort 1850 Januar 0 D = - 24°.

T.	k	k'	d	d'
18 50 - 33.27	+1	-4	- 0.1	+ 0.5
19 0 - 33.26	+1	-4	+ 0.4	+ 0.4
10 - 33.25		-4	+ 0.8	+ 22.9

176. dupl. II. Cl. seq. Fad. 2. 13".0

189 Fad. 3. 4".2

193 " 7. 13.4 Fäden 31".31 u. 31".64

190. 193. derselbe.

Luft Anfangs unruhig, bald besser und zuletzt sehr schön.

ZONE 221. 1849 Juli 7. Ost.

NC. 17 3 - 1 56.01

19 22 55.86

Anf. 28 1.51 + 15.5 64.2

Ende 1.40 + 13.5 56.6

Micr. I + 3".70 u. + 1".76

Decl. = - (Microsc. I + 19° 19' 40")

18° r + i - 34".029 Δ 0".000 Δ i - 0".028

Hülftafel zur Reduction auf den mittlern Ort 1850 Januar 0 D = - 30°.

T.	k	k'	d	d'
17 10 - 34.15	-1	-3	- 8.1	- 0.3
20 - 34.16	-1	-3	- 8.4	- 0.2
30 - 34.17	-1	-3	- 8.6	- 0.2
40 - 34.18		-3	- 8.8	+ 55.1

21 Fad. 7. 51.6 Fäden 7".85 u. 7".35

23 " 2. 47.1

25 " 7. 8.4

28. Die Zeitminute muss wohl 33' sein; unter dieser Annahme ist T angesetzt.

Nr.	Gr.	Fad.	Beob. Zeit.	T.	Microsc. I	Südl. Declin.
31	9	6	32.6	17 34 59.77	10 6 18.3	29 25 58.3
32	9	4	14.7	36 14.70	10 27 1.3	29 46 41.3
33	8.9	1	0.0	37 43.77	10 3 45.7	29 23 25.7
34	8	3	37 18.0	37 39.71	10 0 5.6	29 19 45.6
35	8.9	3	39 0.4	39 22.41	10 54 19.8	30 13 59.8
36	7.8	5	40 32.9	40 10.68	11 12 12.3	30 31 52.3
37	8.9	5	23.4	41 1.10	11 33 58.4	30 53 38.4
38	8.9	5	42 4.8	41 42.50	11 33 45.1	30 53 28.1
39	8.9	4	41 57.0	41 57.05	11 34 45.6	30 54 25.6
40	8	4	43 7.7	43 7.70	11 56 16.8	31 15 56.8
41	8.9	5	46.2	43 24.07	10 50 27.5	30 10 7.5
42	9	6	13.8	43 40.78	10 42 54.2	30 2 34.2
43	8.9	4	43.8	44 43.80	9 38 59.6	28 58 39.6
44	8.9	5	4.5	44 42.66	9 29 26.9	28 49 6.9
45	8	7	45 35.0	44 51.51	9 19 43.5	28 39 23.5
46	8.9	7	46 50.2	46 6.24	10 26 52.4	29 46 32.4
47	8.9	7	17.5	46 33.47	10 36 46.3	29 56 26.3
48	8.9	6	47 52.5	47 19.55	10 30 18.6	29 49 58.6
49	8.9	6	12.6	47 39.63	10 33 47.0	29 53 27.0
50	9	4	48 33.6	48 33.60	10 30 18.0	29 49 58.0
51	9	7	29.0	48 45.14	10 13 16.0	29 32 56.0
52	9	7	49.2	49 5.33	10 13 57.3	29 33 37.3
53	9	6	23.7	49 50.84	10 12 34.4	29 32 14.4
54	7.8	6	47.2	50 14.40	10 2 40.2	29 22 20.2
55	9	5	28.7	51 6.64	10 29 16.1	29 48 56.1
56	8.9	7	56.2	51 12.21	10 30 50.7	29 50 30.7
57	8	7	52 9.1	51 25.12	10 28 45.5	29 48 25.5
58	8	6	58.0	52 25.13	10 14 54.4	29 34 34.4
59	8.9	3	20.3	53 42.16	10 12 5.1	29 31 45.1
60	9	3	45.3	54 7.16	10 11 46.6	29 31 26.6
61	8	5	54 9.2	53 47.03	10 2 0.8	29 21 40.8
62	8	6	6.2	54 33.24	10 31 36.7	29 51 16.7
63	9	5	56 18.0	55 55.86	10 53 40.1	30 13 20.1
64	8.9	5	10.2	56 48.31	9 43 17.0	29 2 57.0
65	8.9	5	58 18.0	57 55.97	9 45 35.4	29 5 15.4
66	9	7	59 8.5	58 24.66	10 9 31.4	29 29 11.4
67	9	7	59 23.3	58 39.48	10 7 35.6	29 27 15.6
68	8	7	0 34.8	59 50.74	10 40 34.9	30 0 14.9
69	6	5	20.7	18 0 58.43	11 24 28.6	30 44 8.6
70	8	4	1.4	2 1.40	10 26 40.9	29 46 20.9
71	8	4	14.0	2 14.00	10 20 5.2	29 39 45.2
72	8	3	37.4	2 59.27	10 16 12.0	29 35 52.0
73	9	4	22.0	3 21.81	10 10 34.8	29 30 14.8
74	9	7	4 10.0	3 26.21	10 3 25.5	29 23 5.5
75	9	4	49.0	4 49.00	9 32 18.3	28 51 58.3
76	8.9	4	35.3	5 35.30	9 33 11.9	28 52 51.9
77	7.8	4	2.4	6 2.40	10 31 48.2	29 51 28.2
78	9	5	7 11.5	6 49.49	10 16 14.8	29 35 54.8
79	8	5	43.6	7 21.72	9 39 7.2	28 58 47.2
80	9	7	21.3	7 37.33	10 28 19.2	29 47 59.2
81	9	4	6.1	9 6.10	10 25 55.3	29 45 35.3
82	9	3	49.4	10 11.30	10 24 16.7	29 43 56.7
83	8.9	2	10 7.2	10 40.28	10 20 45.1	29 40 25.1
84	9	5	14.0	10 52.05	10 0 10.9	29 19 50.9
85	7.8	5	48.3	11 26.39	9 48 2.0	29 7 42.0

Hälftafel zur Reduction auf den mittlern Ort 1850 Januar 0 D = -30°.

T.	k	k'	d	t
17 30-34.17	-1	-3	-8.6	-0.2
40-34.18	-1	-3	-8.8	-0.2
50-34.19	0	-3	-9.0	-0.2
18 0-34.19	0	-3	-9.2	-0.1
10-34.19		-3	-9.3	+5

33 Fad. 2. 11.0

34 „ 4. 39.6

39 „ 5. 19.4

45. Zeit 34.0 und dann T. 50.51?

61 Fad. 7. 30.6 Fäden 47.24 u. 46.82

65 „ 7. 39.5

73 „ 5. 43.6 Fäden 22.00 u. 21.61

83 „ 3. 18.5

Fad.	Beob. Zeit.	T.	Microsc. I	Südl. Declin.
		^u	^o	^o
4	25.5	18 12 25.50	10 16 13.2	29 35 53.2
5	0.4	12 38.28	10 48 0.2	30 7 40.2
3	19.9	13 41.91	10 52 25.3	30 12 5.3
2	14 40.0	15 12.75	9 40 13.0	28 59 53.0
4	23.5	15 23.51	10 17 0.0	29 36 40.0
4	25.7	15 25.71	10 16 9.1	29 35 49.1
5	16 47.8	16 14.68	10 59 38.8	30 19 18.8
6	17 5.5	16 32.39	10 57 22.7	30 17 2.7
6	46.2	17 13.11	10 54 10.3	30 13 50.3
4	18.2	18 18.20	10 52 22.9	30 12 2.9
5	19 9.0	18 47.07	10 34 17.9	29 53 57.9
5	58.0	19 35.91	10 38 8.2	29 57 48.2
4	2.5	20 2.50	10 40 16.0	29 59 56.0
4	20 42.5	20 42.50	10 35 18.4	29 54 58.4
4	33.6	21 33.60	9 34 4.7	28 53 44.7
2	23 42.0	24 14.84	9 57 57.2	29 17 37.2
4	5.7	24 5.70	9 53 18.5	29 12 58.5
2	45.0	25 18.13	10 50 6.0	30 9 46.0
6	25 11.0	24 38.23	9 57 18.5	29 16 58.5
5	26 10.9	25 48.56	11 30 6.0	30 49 46.0
5	27 3.0	26 40.89	10 43 5.8	30 2 45.8
6	31.0	26 58.14	10 28 57.9	29 48 37.9
4	17.3	28 17.30	10 15 51.0	29 35 31.0
6	43.7	28 10.90	10 1 48.6	29 21 28.6
3	29 25.3	29 47.15	10 26 41.1	29 46 21.1
7	23.2	29 39.08	10 49 5.0	30 8 45.0
5	3.8	30 41.61	11 6 34.9	30 26 14.9
7	32 22.0	31 37.47	11 42 23.5	31 2 3.5
5	33.2	33 11.16	10 24 29.7	29 44 9.7
5	3.2	33 41.19	10 17 13.8	29 36 53.8
5	40.7	34 18.65	10 27 43.9	29 47 23.9
5	11.5	34 49.46	10 24 36.0	29 44 16.0
5	44.3	35 22.30	10 14 37.5	29 34 17.5
4	48.4	35 48.40	10 18 52.1	29 38 32.1
1	36 43.0	37 26.79	10 20 42.9	29 40 22.9
1	0.3	37 44.08	10 19 16.1	29 38 56.1
2	14.2	37 47.16	10 27 11.8	29 46 51.8
6	38 39.5	38 6.73	9 56 17.4	29 15 57.4
5	39 28.9	39 6.69	11 10 43.7	30 30 23.7
3	55.4	40 17.50	11 17 45.1	30 37 25.1
5	41 14.4	40 52.27	10 50 17.9	30 9 57.9
5	1.0	41 38.81	11 4 11.6	30 23 51.6
4	21.2	42 21.20	10 57 7.0	30 16 47.0
6	46.6	42 13.53	10 51 20.7	30 11 0.7
5	45 32.1	45 10.20	9 56 12.5	29 15 52.5
4	28.0	46 28.00	10 4 14.6	29 23 54.6
3	47.8	47 9.69	10 20 5.1	29 39 45.1
4	47 39.6	47 39.60	10 15 31.7	29 35 11.7
5	49 24.0	49 1.67	11 40 34.9	31 0 14.9
7	19.2	49 34.70	11 38 46.4	30 58 26.4
4	51 9.0	51 9.00	9 34 50.5	28 54 30.5
2	38.4	52 11.13	9 35 36.8	28 55 16.8
3	4.0	52 25.76	9 42 12.5	29 1 52.5
3	52 55.1	53 17.21	11 48 13.0	31 7 53.0
4	53.8	53 53.80	11 13 9.7	30 32 49.7

**Hälftafel zur Reduction auf den mittlern
Ort 1850 Januar 0 D = - 30°.**

T.	k	k'	d	d'
^u				
18	10-34.19	0	-3	-9.3 -0.2 +55.4
	20-34.19	0	-4	-9.5 -0.1 +55.5
	30-34.19	0	-4	-9.6 -0.1 +55.6
	40-34.19	+1	-4	-9.7 -0.1 +55.7
	50-34.18	+1	-4	-9.8 -0.1 +55.7
19	0-34.17		-4	-9.9 -0.1 +55.8

90 Fad. 6. 56.4

91 " 6. 58.6

96 " 6. 20.2

101. Ich vermute, dass die Zeitminute 22' statt 23' sein müsse, und also von den T dieses und der beiden folgenden Sterne 1' abzuziehen sei; dann wird erklärlich, wesshalb bei No. 104 die Minute von Neuem abgelesen ward, und es stimmt No. 101 mit LC. 7759 überein.

105 Fad. 6. 21".8

107 " 7. 42.2

110 " 4. 47.1

122 " 3. 25.2

125 " 4. 17.5

130 " 6. 43.0 Die Pause entstand durch das Verlöschen der Beleuchtungslampe.

139 Fad. 4. 17".5

Nº.	Gr.	Fad.	Beob. Zeit.	T.	Microsc. I	Südl. Declin.
141	9	5	54' 56.7	18 ^u 54' 34.63	10 29' 50.2	29° 49' 30.2
142	9	5	7.3	55 45.40	9 45 22.2	29 5 2.2
143	7	3	29.0	56 50.91	9 58 40.0	29 18 20.0
144	9	7	9.5	56 25.69	10 6 7.2	29 25 47.2
145	9	4	55.4	57 55.40	10 50 42.7	30 10 22.7
146	9	4	12.6	58 12.60	10 50 14.2	30 9 54.2
147	9	6	45.8	58 12.67	11 3 7.0	30 22 47.0
148	9	5	45.8	59 33.69	10 45 0.9	30 4 40.9
149	8.9	5	27.6	19 0 5.31	11 31 5.4	30 50 45.4
150	7	3	5.0	1 27.01	10 54 24.8	30 14 4.8
151	8.9	3	22.2	1 44.17	10 42 57.0	39 2 37.0
152	6.7	3	59.6	2 21.50	10 24 43.4	29 44 23.4
153	8.9	6	30.4	1 57.68	9 46 25.2	29 6 5.2
154	9	6	51.5	2 18.89	9 27 7.4	28 46 47.4
155	9	7	42.0	2 58.04	10 26 57.3	29 46 37.3
156	9	5	4 32.0	4 9.93	10 33 12.6	29 52 52.6
1	7	7	10 8.0	17 9 26.19	4 49 16.4	24 7 6.4
2	9	3	12 7.1	12 7.10	4 48 55.6	24 6 45.6
3	9.0	6	49.6	12 18.21	5 5 1.3	24 22 51.3
4	8	7	13 40.7	12 58.68	5 27 1.9	24 44 51.9
5	5	7	14 4.0	13 21.95	5 32 42.9	24 50 32.9
6	8.9	5	51.8	14 30.70	5 38 52.8	24 56 42.8
7	8	4	29.5	15 29.50	4 24 9.4	23 51 59.4
8	9.0	3	56.7	16 17.48	4 29 16.3	23 47 6.3
9	7.8	4	30.5	16 30.47	4 48 22.0	24 6 12.0
10	6.7	2	15.4	17 46.77	4 44 12.1	24 2 2.1
11	9	5	51.7	17 30.76	3 44 18.7	23 2 8.7
12	9.0	7	18 58.4	18 16.55	4 56 50.0	24 14 40.0
13	8.9	5	20 45.0	20 24.02	4 54 39.2	24 12 29.2
14	8	3	21 54.7	22 15.47	4 25 30.0	23 43 20.0
15	6.7	3	29.2	22 49.99	4 32 49.4	23 50 39.4
16	9	7	23 21.0	22 39.38	4 14 37.0	23 32 27.0
17	9.0	7	6.7	23 25.28	3 35 24.7	22 53 14.7
18	9	4	52.9	24 52.90	4 39 38.6	23 57 28.6
19	9.0	7	18.5	24 36.72	4 44 0.6	24 1 50.6
20	8.9	6	7.1	25 35.62	5 28 2.8	24 45 52.8
21	8.9	3	26 36.0	26 56.90	5 13 23.5	24 31 13.5
22	9	3	28 16.7	28 37.60	5 12 0.0	24 29 50.0
23	8.9	4	14.2	29 14.20	3 59 55.2	23 17 45.2
24	9.0	3	49.4	30 10.31	4 39 12.7	23 57 2.7
25	8.9	4	31 24.2	31 24.20	3 40 45.4	22 58 35.4
26	8	4	15.2	32 15.20	4 37 23.6	23 55 13.6
27	9.0	3	33 30.0	33 50.76	4 21 45.1	23 39 35.1
28	8.9	7	29.9	33 48.36	3 58 43.1	23 16 33.1
29	7.8	4	35 43.1	35 43.10	4 18 41.0	23 36 31.0
30	9	5	36 36.5	36 15.49	5 18 54.2	24 36 44.2
31	9.0	2	37 49.1	38 20.67	5 33 5.8	24 50 55.8
32	9	6	20.5	37 49.19	4 46 46.3	24 4 36.3
33	9.0	6	54.7	38 23.41	4 43 13.3	24 1 3.3
34	9.0	4	40 18.0	40 18.00	4 59 24.8	24 17 14.8
35	9.0	4	7.5	41 7.50	5 6 30.0	24 24 20.0
36	7.8	5	42.0	41 21.03	4 51 26.5	24 9 16.5
37	9	3	17.9	42 38.79	5 9 52.8	24 27 42.8
38	8.9	4	4.6	43 4.60	4 20 13.6	23 38 3.6
39	9	3	43 57.2	44 18.05	4 52 37.4	24 10 27.4

Hülftafel zur Reduction auf den mittlern Ort 1850 Januar 0 D = - 30°.

T.	k	k'	d	h
18 ^u 50' - 34.18	+1	-4	- 9.8	-0.1
19 0 - 34.17	+1	-4	- 9.9	-0.1
10 - 34.16		-4	-10.0	+0.5

141 Fad. 7. 18.6

143 „ 4. 51.0

Sehr schöne Luft.

ZONE 222. 1849 Juli 10. Ost.

NC. 17^u 1' - 1' 51.87

19 12 - 1 51.77

Anf. 28 3.33 + 14.8 58.7

Ende 3.36 + 13.4 54.7

Microsc. I + 3'' 52 u. + 1'' 45

Decl. = - (Microsc. I + 19° 17' 50'')

18^u r+i - 34'' 756 Δr - 0.0002 Δi - 0.0002

Hülftafel zur Reduction auf den mittlern Ort 1850 Januar 0 D = - 24°.

T.	k	k'	d	h
17 10 - 33.89	-1	-3	+ 9.4	+0.1
20 - 33.90	-2	-3	+ 9.5	+0.2
30 - 33.92	-1	-3	+ 9.7	+0.1
40 - 33.93	-1	-3	+ 9.8	+0.2
50 - 33.94		-3	+10.0	+2

1. dupl. II. Cl. Austr.

3. Zeitsecunde zweifelhaft.

4. Z. 220 N°. 19 und LL. 31487 zeigen, da um 5'' vergrößert werden muss; auch die Zahl im Original etwas undeutlich.

9 Fad. 5. 51'' 4

11 „ 6. 1.7

24 „ 4. 10.4

26. Die Minuten des Microscops müssen dem Zeugniß von Z. 220 N°. 42 und 32156 gelesen werden 27 und dann Decl. 23 45 13.6.

30 Fad. 7. 57'' 5

Fad.	Beob. Zeit.	T.	Microsc. I	Südl. Declin.
4	48.5	17 44' 48.50	4 55' 43.5	24 13' 33.5
4	16.5	45 16.43	5 14 40.8	24 32 30.8
4	14.3	46 14.30	5 33 13.8	24 51 3.8
4	5.4	47 5.40	5 11 42.5	24 29 32.5
4	9.4	47 9.40	5 11 22.8	24 29 12.8
3	1.7	48 22.58	5 5 54.3	24 23 44.3
5	36.6	48 15.54	5 21 45.8	24 39 35.8
5	18.4	48 57.35	5 19 24.0	24 37 14.0
7	48.0	49 5.98	5 27 39.6	24 45 29.6
50	21.3	49 39.16	5 49 12.6	25 7 2.6
3	52.2	51 13.21	5 50 42.1	25 8 32.1
4	19.2	51 19.20	5 46 14.3	25 4 4.3
3	50.6	52 11.55	5 28 33.0	24 46 23.0
5	24.5	52 3.44	5 21 52.6	24 39 42.6
4	41.6	52 41.48	5 19 18.8	24 37 8.8
4	39.9	53 39.90	5 33 47.4	24 51 37.4
5	22.4	54 1.42	4 57 8.3	24 14 58.3
5	34.7	54 13.71	4 58 46.6	24 16 36.6
4	14.9	55 14.75	5 3 42.7	24 21 32.7
5	40.5	55 19.50	5 0 49.1	24 18 39.1
5	9.1	55 48.09	5 5 18.2	24 23 8.2
6	21.5	55 50.11	5 3 53.1	24 21 43.1
7	40.3	55 58.42	5 2 5.0	24 19 55.0
3	53.8	57 14.68	5 6 13.8	24 24 3.8
6	59.0	57 27.66	4 54 19.9	24 12 9.9
7	34.9	57 53.08	4 52 12.0	24 10 2.0
7	7.0	58 25.12	5 2 15.7	24 20 5.7
7	59 22.6	58 40.74	4 58 30.1	24 16 20.1
7	0 18.5	59 36.59	5 7 50.9	24 25 40.9
5	37.4	18 0 16.39	5 4 36.3	24 22 26.3
6	24.8	0 53.34	5 22 58.6	24 40 48.6
7	44.4	1 2.39	5 26 8.8	24 43 58.8
6	28.1	1 56.79	4 48 44.5	24 6 34.5
4	7.8	3 7.80	4 43 22.5	24 1 12.5
6	34.7	3 3.39	4 47 25.1	24 5 15.1
4	4 55.2	4 55.20	5 19 46.4	24 37 36.4
5	6 5.5	5 44.60	4 24 37.4	23 42 27.4
3	6 37.3	6 57.99	3 51 53.0	23 9 43.0
4	13.1	7 13.10	4 33 17.5	23 51 7.5
4	58.4	7 58.40	4 38 58.3	23 56 48.3
5	28.5	8 7.54	4 45 33.5	24 3 23.5
5	51.6	8 31.10	4 43 39.7	24 1 29.7
6	25.0	8 53.72	4 38 58.2	23 57 9.2
6	8.3	9 36.90	5 6 33.1	24 24 23.1
1	12 9.4	12 51.37	5 40 42.2	24 58 32.2
1	52.2	13 34.17	5 40 15.4	24 58 5.4
5	46.5	13 25.66	4 2 42.2	23 20 32.2
3	14 34.0	14 54.69	5 3 30.1	24 21 20.1
3	32.0	15 52.89	5 9 40.1	24 27 30.1
1	45.3	16 27.10	5 11 33.1	24 29 23.1
5	57.4	16 36.60	3 45 47.1	23 3 37.1
4	11.7	17 11.84	3 51 57.2	23 9 47.2
7	56.6	17 15.05	4 0 57.4	23 18 47.4
7	49.7	18 8.08	4 13 21.9	23 31 11.9
4	26.9	19 26.24	5 21 0.4	24 38 50.4

Hülftafel zur Reduction auf den mittlern Ort Januar 1850 0 D = - 24°.

T.	k	k'	d	d'
17 40' 33.93	-1	-3	+ 9.8	+ 0.2
50' 33.94	-1	-3	+10.0	+ 0.2
18 0' 33.95	-1	-3	+10.2	+ 0.2
10' 33.96	0	-3	+10.4	+ 0.2
20' 33.96		-3	+10.6	+ 0.2

41 Fad. 5. 37".4

48. Zeitsecunde zweifelhaft.

54 Fad. 5. 2".4

56. dupl. III. Cl. praec.

58 Fad. 5. 35".6 Viele Sterne 9 Gr. und 9.0 Gr. in dieser Gegend.

63. Ich vermuthe, dass statt Fad. 3 zu lesen sei Fad. 5; dann wird T. 56' 32".79 und der Stern stimmt P. XVII. 342 und Z. 220 No. 89.

67. Zeit -1" und T. 39".74?

81 Fad. 6. 2".4 Fäden 30".65 u. 31".10; ich glaube, dass der letztere sicherer ist, und habe daher T nur nach diesem angesetzt.

87 Fad. 4. 54".5 Beide Fäden unsicher, sie geben 54.87 und 54.50.

89 Fad. 2. 55".6

91 " 5. 32.8

94 " 6. 57.7 Fäden 26".90 und 26".24; ich habe den erstern fortgelassen.

No.	Gr.	Fad.	Beob. Zeit.	T.	Microsc. I	Südl. Declin.
95	9	3	17.5	18 20' 38.30	5 14' 46.9	24 32' 36.9
96	8	7	58.1	20 15.96	5 49 53.9	25 7 43.9
97	8.9	4	47.7	21 47.70	4 51 41.0	24 9 31.0
98	7.8	5	17.1	21 56.26	4 3 6.8	23 20 56.8
99	8	4	47.6	22 47.60	4 7 15.8	23 25 5.8
100	8.9	4	23 28.9	23 28.90	5 31 52.0	24 49 42.0
101	7.8	4	24 38.5	24 38.50	4 55 5.1	24 12 55.1
102	8.9	4	59.4	24 59.40	4 53 2.9	24 10 52.9
103	8	4	11.5	25 11.50	4 56 2.8	24 13 52.8
104	6.7	5	38.6	25 17.66	4 50 37.8	24 8 27.8
105	7	5	26 17.0	25 56.00	5 2 6.5	24 19 56.5
106	9.0	5	27 39.3	27 18.54	3 33 0.9	22 50 50.9
107	8.9	4	12.6	28 12.60	4 35 7.9	23 52 57.9
108	9.0	5	11.0	28 50.10	4 26 22.3	23 44 12.3
109	8.9	4	35.8	29 35.80	4 32 47.1	23 50 37.1
110	6	6	28.6	29 57.40	4 20 3.6	23 37 53.6
111	7	6	1.0	30 29.87	4 0 54.0	23 18 44.0
112	9	4	41.2	31 41.20	3 30 9.3	22 47 59.3
113	9.0	5	24.0	32 3.08	4 56 12.3	24 14 2.3
114	8	4	33 12.7	33 12.84	5 11 34.2	24 29 24.2
115	9.0	3	16.7	34 28.00	5 9 37.5	24 27 27.5
116	9.0	6	35 20.3	34 48.86	5 17 30.7	24 35 20.7
117	9	6	35 34.2	35 2.74	5 20 55.2	24 38 45.2
118	6.7	4	36 10.0	36 10.03	5 51 23.5	25 9 13.5
119	9.0	2	37 17.2	37 48.57	4 45 48.5	24 3 38.5
120	9	4	14.2	38 14.20	5 46 14.9	25 4 4.9
121	9	2	0.0	39 31.58	5 37 53.9	24 55 43.9
122	9.0	7	39 57.2	39 15.26	5 14 1.8	24 31 51.8
123	9	6	24.5	40 53.03	5 24 22.3	24 42 12.3
124	8	6	5.0	41 33.51	5 30 20.2	24 48 10.2
125	9	5	44.6	42 23.78	4 28 33.3	23 46 23.3
126	8.9	6	43 47.5	43 16.11	5 5 44.0	24 23 34.0
127	9	5	5.9	44 44.82	5 27 38.6	24 45 28.6
128	7	4	45 45.3	45 45.30	5 38 57.9	24 56 47.9
129	9	4	54.2	45 54.25	5 35 33.4	24 53 23.4
130	7	3	47 8.9	47 29.61	4 3 59.7	23 21 49.7
131	8	3	42.4	48 3.11	4 2 24.2	23 20 14.2
132	8.9	4	14.2	48 14.20	4 9 8.7	23 26 58.7
133	9	2	48 47.5	49 18.68	3 57 44.9	23 15 34.9
134	9	7	49 47.0	49 5.42	4 6 16.8	23 24 6.8
135	8.9	4	26.0	50 26.00	3 59 11.6	23 17 1.6
136	8	5	19.5	50 58.64	4 10 14.5	23 28 4.5
137	9	5	54.6	51 33.77	3 57 56.8	23 15 46.8
138	9.0	7	53 3.7	52 21.65	5 33 32.8	24 51 22.8
139	6.7	4	50.9	53 50.90	5 44 56.7	25 2 46.7
140	8.9	5	28.8	54 7.76	5 16 34.1	24 34 24.1
141	9.0	4	54.3	54 54.30	5 1 0.4	24 18 50.4
142	8.9	6	45.2	55 13.87	4 51 0.3	24 8 50.3
143	8	4	23.6	56 23.55	5 35 11.7	24 53 1.7
144	7.8	4	0.9	57 0.90	5 35 43.6	24 53 33.6
145	9	4	58 17.8	58 17.80	5 7 17.2	24 25 7.2
146	9.0	4	57.3	58 57.30	5 3 5.9	24 20 55.9
147	9	4	11.6	19 0 11.60	5 20 51.5	24 38 41.5
148	8.9	5	12.	0 51.10	4 27 8.2	23 44 58.2
149	8	6	36.0	1 4.85	4 7 51.5	23 25 41.5

Hülftafel zur Reduction auf den mittleren Ort 1850 Januar 0 D = - 24°.

T.	k	k'	d
18 20' - 33.96	-1	-3	+10.6
30 - 33.97	0	-4	+10.8
40 - 33.97	0	-4	+11.0
50 - 33.97	+1	-4	+11.3
19 0 - 33.96	0	-4	+11.5
10 - 33.96		-4	+11.8

95	Fad. 4.	38.2
104	" 6.	49.0
113	" 6.	34.5
114	" 5.	34.0
115	" 4.	28.0
Fad. 3, der 37.59 giebt, la gelassen.		
118	Fad. 5.	31.2
121	" 3.	10.6
125	" 6.	55.1
129	" 5.	15.4
143	" 5.	44.6
146	" 5.	18.3

Gr.	Fad.	Beob. Zeit.	T.	Microsc. I	Südl. Declin.
9.0	5	7.5	19 1' 46.77	4 1' 33.7	23 19' 23.7
8	6	57.3	2 25.90	5 7 34.6	24 25 24.6
9	3	31.3	3 52.21	5 15 31.8	24 33 21.8
8	4	4 10.5	4 10.50	5 26 0.2	24 43 50.2
8.9	4	32 2.3	17 32 2.30	7 59 46.9	27 18 46.9
9.0	7	50.5	32 6.88	8 40 10.1	27 59 10.1
8.9	5	0.4	33 38.88	8 54 52.6	28 13 52.6
7	7	35 8.2	34 25.06	8 29 28.2	27 48 28.2
8.9	5	45.0	35 23.45	8 4 13.6	27 23 13.6
8.9	5	17.7	35 56.19	7 50 43.8	27 9 43.8
9	3	36 39.4	37 0.79	7 50 14.5	27 9 14.5
8	5	34.5	37 13.04	7 35 42.5	26 54 42.5
9	6	12.5	37 40.37	8 3 36.6	27 22 36.6
5	5	2.9	38 41.27	8 27 12.5	27 46 12.5
9	5	34.4	39 15.64	9 22 56.8	28 41 56.8
9	7	41 11.5	40 28.51	8 6 21.9	27 25 21.9
9	7	30.3	40 47.35	8 1 49.2	27 20 49.2
8.9	4	17.4	42 17.40	8 1 50.2	27 20 50.2
9	5	14.4	42 52.96	7 31 9.1	26 50 9.1
8.9	4	16.3	43 16.32	7 32 25.0	26 51 25.0
8.9	5	7.6	43 46.11	7 44 20.1	27 3 20.1
7.8	4	43.9	44 43.90	7 55 51.8	27 14 51.8
8.9	7	8.0	44 24.95	8 16 24.3	27 35 24.3
8.9	3	46 27.5	46 48.82	7 35 20.7	26 54 20.7
9	4	2.5	47 2.50	7 41 30.1	27 0 30.1
9	4	17.1	47 17.10	7 41 2.3	27 0 2.3
8	5	58.0	47 36.57	7 25 56.8	26 44 56.8
8.9	5	28.9	48 7.40	7 47 50.9	27 6 50.9
9	4	1.0	49 1.00	7 40 41.1	26 59 41.1
9	5	22.6	49 1.02	7 40 43.9	26 59 43.9
9	4	6.4	50 6.40	8 3 0.3	27 22 0.3
8.9	7	28.3	49 45.28	8 11 12.5	27 30 12.5
9	4	1.4	51 1.40	8 17 54.8	27 36 54.8
8.9	4	20.4	51 20.40	8 16 48.6	27 35 48.6
9	6	11.0	51 38.71	8 23 35.1	27 42 35.1
8.9	4	41.5	52 41.50	8 21 27.9	27 40 27.9
9.0	6	53 16.2	52 43.92	8 20 36.8	27 39 36.8
8.9	7	53 54.4	53 11.38	8 11 36.0	27 30 36.0
4		0.6	55 0.65	8 24 48.4	27 43 48.4
4		3.3	55 3.15	8 25 32.6	27 44 32.6
5		10.4	55 48.75	8 32 59.0	27 51 59.0
4		28.0	56 28.00	8 31 21.5	27 50 21.5
6		59.3	56 27.01	8 23 9.0	27 42 9.0
3		28.8	57 50.42	9 3 11.1	28 22 11.1
5		.7	57 39.79	9 13 9.9	28 42 9.9
2		36.4	59 8.96	9 8 59.7	28 27 59.7
1		11.5	59 54.90	9 26 57.6	28 45 57.6
5		3.3	59 41.65	8 33 47.8	27 52 47.8
5		22.8	18 0 1.23	8 29 7.4	27 48 7.4
8		46.0	0 24.37	8 26 13.4	27 45 13.4
9		37.7	1 37.70	8 51 27.3	28 10 27.3
4		2.5	2 2.50	8 46 40.7	28 5 40.7
8		18.5	2 50.75	8 44 27.5	28 3 27.5
9		25.5	2 42.25	8 46 41.5	28 5 41.5
8		43.0	3 43.00	8 56 51.1	28 15 51.1

150 Fad. 6. 18".0

Die Sterne waren blass und unruhig; gegen das Ende vielleicht auch etwas wolkig.

ZONE 223. 1849 Juli 11. Ost.

NC. 17 17-1' 49.69

19 16-1' 49.44

Anf. 28 3.23+14.4 58.4

Ende 3.18+13.3 55.6

Microscop I + 1".91 und - 0".36

Decl. = - (Microsc. I + 19° 19' 0")

18" r+i - 34".667 $\Delta r + 0".003$ $\Delta i - 0".026$

Hilfstafel zur Reduction auf den mittlern Ort 1850 Januar 0 D = - 28°.

T.	k	k'	d	d'
17 30-33.82	-1	-3	+ 5.6	+0.1
40-33.83	-1	-3	+ 5.7	+0.1
50-33.84	0	-3	+ 5.8	+0.1
18 0-33.84	-1	-3	+ 5.9	+0.2
10-33.85		-3	+ 6.1	+0.3

7 Fad. 4. 0.8

9 " 7. 23.4

11 " 6. 48.3 Einer von beiden Fäden ist um 3" verschoben, ich habe angenommen, dass Fad. 6 richtig ist.

16 Fad. 5. 37".8

26 " 6. 33.0 identisch mit N°. 25.

35 " 6. 33.0

36 " 6. 35.3

41 " 6. 12.2

42 " 3. 47.3

45 " 6. 33.6

49 " 3. 29.0 Die Fäden geben 50".96 und 50".55; vielleicht ist Fad. 1 und 2 zu lesen und dann T. 3' 1".53.

50. Zeit zweifelhaft.

Nr.	Gr.	Fad.	Beob. Zeit.	T.	Microsc. I	Südl. Declin.
52	9	5	58.4	18° 3' 36.67	8° 56' 44.0	28° 15' 44.0
53	9	4	35.6	4 35.60	8 58 14.0	28 17 14.0
54	9	6	21.7	4 49.06	9 32 19.0	28 51 19.0
55	9	7	49.0	5 5.49	9 24 9.0	28 43 9.0
56	8.9	6	8.5	5 35.86	9 33 12.8	28 52 12.8
57	8	6	49.5	6 16.93	9 19 53.7	28 38 53.7
58	8.9	6	17.5	6 45.08	8 48 14.9	28 7 14.9
59	9	5	7 35.3	7 13.59	8 49 24.2	28 8 24.2
60	9	7	8 17.6	7 34.39	8 39 21.8	27 58 21.8
61	8	4	42.4	8 42.40	8 35 51.6	27 54 51.6
62	9	5	12.8	8 51.15	8 35 44.7	27 54 44.7
63	9	7	30 :	8 47	8 37 50.1	27 56 50.1
64	9	5	42.6	9 20.82	8 38 18.0	27 57 18.0
65	8.9	4	51.7	10 51.70	8 14 51.1	27 33 51.1
66	8	4	11 30.0	11 30.00	8 9 8.2	27 28 8.2
67	9.0	6	12 42.3	12 9.90	8 33 18.9	27 52 18.9
68	9	5	48.4	13 26.67	8 56 14.9	28 15 14.9
69	9	4	19.4	14 19.40	9 9 35.4	28 28 35.4
70	9	3	14 51.2	15 12.98	9 50 6.4	29 9 6.4
71	9.0	4	40.6	15 40.60	7 34 59.4	26 53 59.4
72	9	3	25.3	16 46.74	8 10 13.5	27 29 13.5
73	9	3	32.6	16 54.04	8 12 17.0	27 31 17.0
74	9	5	17 30.5	17 8.95	8 5 50.3	27 24 50.3
75	8.9	4	19 10.0	19 10.00	9 8 55.7	28 27 55.7
76	9	3	43.2	20 4.61	8 2 15.3	27 21 15.3
77	8	2	21 28.0	22 0.39	8 43 54.3	28 2 54.3
78	8.9	6	6.7	21 34.05	9 34 0.2	28 53 0.2
79	8	6	32.8	22 0.28	8 43 48.8	28 2 48.8
80	8.9	4	26.0	23 26.00	8 0 35.7	27 19 35.7
81	9.0	6	20.4	23 48.23	7 58 45.9	27 17 45.9
82	9	4	44.0	24 44.00	7 39 49.8	26 58 49.8
83	8.9	4	11.5	25 11.50	7 35 34.4	26 54 34.4
84	9	5	26 8.0	25 46.38	8 21 43.2	27 40 43.2
85	8.9	4	43.2	26 43.20	9 7 9.3	28 26 9.3
86	7	2	35.3	28 8.05	9 18 16.6	28 37 16.6
87	9	5	28.0	28 6.36	8 31 53.6	27 50 53.6
88	9.0	6	46.5	28 14.14	8 37 3.8	27 56 3.8
89	8	4	30 19.9	30 19.90	8 59 19.1	28 18 19.1
90	9	7	2.8	30 19.32	9 19 5.8	28 38 5.8
91	8.9	3	31 58.0	32 19.32	7 33 53.1	26 52 53.1
92	9	3	36.2	32 57.69	7 49 39.5	27 8 39.5
93	8.9	6	29.5	32 57.25	8 15 56.9	37 34 56.9
94	8.9	2	.7	34 28.92	8 12 58.6	27 31 58.6
95	9	7	34 47.6	34 4.47	8 28 19.7	27 47 19.7
96	9	4	36 46.7	36 46.70	7 40 51.5	26 59 51.6
97	3	5	37 12.5	36 50.99	7 49 44.9	27 8 44.9
98	8.9	5	48.5	37 26.93	8 10 54.9	27 29 54.9
99	7	7	37 58 :	37 15	8 20 11.4	27 39 11.4
100	9	4	39 18.0	39 18.00	8 16 28.0	27 35 28.0
101	9.0	5	40 44.5	40 22.97	7 57 27.3	27 16 27.3
102	8	5	41 10.2	40 48.67	7 58 37.0	27 17 37.0
103	7.8	4	51.0	41 51.00	7 37 39.6	26 56 39.6
104	8	5	42 59.8	42 38.26	8 1 17.7	27 20 17.7
105	9	6	34.0	43 1.67	9 2 52.8	28 21 52.8
106	8.9	4	5.7	44 5.70	9 0 0.2	28 19 0.2

Hülftafel zur Reduction auf den mittlern Ort 1850 Januar 0 D = - 28°.

T.	k	k'	d	t
18° 0' - 33.84	-1	-3	+ 5.9	+0.2
10 - 33.85	0	-3	+ 6.1	+0.1
20 - 33.85	-1	-3	+ 6.2	+0.2
30 - 33.86	0	-4	+ 6.4	+0.1
40 - 33.86	+1	-4	+ 6.5	+0.2
50 - 33.85		-4	+ 6.7	+0.2

59 Fad. 6. 46.0
 64 " 7. 3.9
 67 " 7. 53.0
 79 " 7. 43.4 identisch mit No. 77.
 86 " 3. 46.5
 90. Zeitsecunde zweifelhaft.
 92 Fad. 4. 57".8
 94 " 3. 7.4
 105 " 7. 45.2 Fäden 1".51 und 1".83

Gr.	Fad.	Beob. Zeit.	T.	Microsc. I	Südl. Declin.
8	5	44' 38.6	18 44' 16.95	8 36' 2.8	27 55' 2.8
8.9	2	19.3	45 51.42	7 45 39.5	27 4 39.5
9	6	8.3	45 35.65	8 41 48.3	28 0 48.3
8.9	3	45.0	47 6.61	8 59 49.3	28 18 49.3
9	1	47 31.2	48 14.42	8 59 12.3	28 18 12.3
8.9	2	7.6	48 39.85	8 19 55.1	27 38 55.1
9	4	49 19.4	49 19.40	9 37 22.9	28 56 22.9
9	3	52.3	50 14.00	9 28 2.6	28 47 2.6
8.9	2	50 36.0	51 8.81	8 55 57.7	28 14 57.7
8.9	4	43.4	51 43.40	8 31 53.9	27 50 53.9
9	5	52 33.6	52 11.74	9 35 27.3	28 54 27.3
9	4	54 12.0	54 12.00	8 15 8.0	27 34 8.0
9	2	55 13.2	55 45.97	9 45 13.9	29 4 13.9
9	2	51.3	56 24.41	9 0 45.5	28 19 45.5
8.9	4	57 0.6	57 0.60	7 33 3.5	26 52 3.5
8	4	31.8	57 31.80	8 11 46.6	27 30 46.6
3	4	58 8.2	58 8.20	8 34 11.4	27 53 11.4
7	4	37.6	58 37.60	9 32 26.6	28 51 26.6
7.8	5	59 44.2	59 22.71	7 45 13.4	27 4 13.4
8.9	7	0 46.2	19 0 2.58	9 38 44.8	28 57 44.8
8	7	40.6	0 57.64	8 2 7.4	27 21 7.4
8.9	2	2 14.2	2 46.34	8 0 15.8	27 19 15.8
9	7	32 5.5	17 31 24.06	3 40 37.0	22 57 57.0
9.0	5	33 24.4	33 3.79	2 34 14.8	21 51 34.8
9.0	6	34 42.3	34 11.39	3 1 44.7	22 17 4.7
7	2	24.4	35 55.32	2 49 51.9	22 7 11.9
9.0	5	58.3	35 37.63	2 55 1.5	22 12 21.5
9	5	34.6	36 13.97	2 39 40.7	21 57 0.7
9	5	6.8	36 46.21	2 20 58.6	21 38 18.6
9	4	45.3	37 45.30	2 14 25.7	21 31 45.7
9	5	35.5	38 14.94	2 9 28.2	21 26 48.2
9	7	59.0	38 18.11	1 47 27.5	21 4 47.5
7.8	6	39.0	39 8.43	1 29 19.8	20 46 39.8
8.9	7	30.8	39 49.30	3 52 49.4	23 10 9.4
9.0	5	41 24.6	41 4.14	1 29 26.1	20 46 46.1
9.0	5	42 32.3	42 11.68	2 35 28.9	21 52 48.9
8.9	3	43 27.6	43 48.35	3 20 3.3	22 37 23.3
8.9	4	44 43.5	44 43.50	3 12 14.3	22 29 34.3
9	3	46 7.5	46 28.15	3 39 14.9	22 56 34.9
9	7	57.4	46 16.53	1 42 0.6	20 59 20.6
9	3	33.0	47 53.50	2 38 12.6	21 55 32.6
9	6	11.7	47 40.77	3 8 15.9	22 25 35.9
9	3	50 6.5	50 27.09	3 12 24.2	22 29 44.2
9	7	10.5	50 29.24	3 4 8.8	22 21 28.8
9	6	27.0	50 56.07	3 9 30.8	22 26 50.8
9	5	51.0	51 30.42	3 14 29.9	22 31 49.9
9	3	16.2	52 36.80	3 17 43.5	22 36 3.5
9	3	2.5	53 23.13	3 28 46.1	22 46 6.1
9	2	28.9	54 0.00	3 36 27.0	22 53 47.0
9	4	51.1	53 51.10	3 43 48.9	23 1 8.9
9	4	30.6	54 30.60	3 24 19.3	22 41 39.3
9	4	54.2	54 54.20	3 19 21.4	22 36 41.4
9	3	11.8	55 32.40	3 16 25.9	22 33 45.9
9	4	40.0	55 40.95	3 12 12.4	22 29 32.4
8	4	41.6	55 42.45		

Hülftafel zur Reduction auf den mittlern Ort 1850 Januar 0 D = -28°.

T.	k	k'	d	d'
18 40'-33.86	+1	-4	+ 6.5	+0.2
50-33.85	0	-4	+ 6.7	+0.2
19 0-33.85	+1	-4	+ 6.9	+0.2

108 Fad. 3. 30.0
 109 „ 7. 18.6 Fäden 35“.92 und 35“.38
 112 „ 3. 18.3
 115 „ 3. 47.0
 120 „ 3. 2.8 Fäden 23“.84 u. 24“.41; ich halte den erstern für unrichtig, und habe ihn daher ausgeschlossen.
 128 Fad. 3. 24“.8 5. 7“.9

Sehr schöne Luft.

ZONE 224. 1849 Juli 12. Ost.

NC. 17 18'-1 50.83
 19 19-1 51.10
 Anf. 28 2.48+1.43 56.5
 Ende 2.45+13.3 55.1
 Die Temperatur ist aber nach dem Zeugniß des Minimithermometers während der Zone um 0°.7 R. tiefer gewesen und stieg nach dem Schlusse der Zone noch mehr, so dass um 19^u 41' das Thermometer 56.5 zeigte; ich nehme an, dass der tiefere Stand 53°.5 um 18^u 30' eingetroffen sei.
 Microsc. I + 2“.42 u. + 1“.08
 Decl. = - (Microsc. I + 19° 17' 20")
 18^u r+i - 34“.647 Δr+0“.004 Δi-0“.023

$$D = -22°.$$

T.	k	k'	d	d'
17 30'-33.82	+2	-3	- 1.6	+0.1
40-33.80	+1	-3	- 1.7	+0.2
50-33.79	+1	-3	- 1.9	+0.1
18 0-33.78		-3	- 3.0	+18.1

3. Nach Z. 213 N°. 112 und Z. 393 N°. 83 muss das Microscop 2 59 44.7 sein; darnach ist die Decl. und T berechnet.
 15 Fad. 4. 48“.5
 24 „ 6. 1.5
 32. 33. Einer von diesen, einen Doppelstern III. oder IV. Classe bildenden Sternen hat keine Declination; ich vermuthe der folgende, in-

Nº.	Gr.	Fad.	Beob. Zeit.	T.	Microsc. I	Südl. Declin.
34	9.0	7	56' 28.5	17 55' 47.20	3 12' 11.9	22 29' 31.9
35	9	5	57 14.5	56 53.80	3 7 18.8	22 24 38.8
36	9.0	4	41.0	57 41.00	3 10 34.0	22 27 54.0
37	8	3	55.5	58 16.08	3 10 58.2	22 28 18.2
38	7.8	5	42.2	58 21.55	2 45 56.1	22 3 16.1
39	8	4	12.0	59 12.00	2 47 55.2	22 5 15.2
40	8.9	5	30.2	59 9.54	2 50 20.0	22 7 40.0
41	8	5	0.7	59 40.00	2 59 54.0	22 17 14.0
42	8	4	15.9	18 0 15.90	2 53 13.6	22 10 33.6
43	9	5	48.2	0 27.54	2 54 12.8	22 11 32.8
44	9	5	3.5	0 42.83	2 54 31.0	22 11 51.0
45	9	5	40.4	1 19.74	2 51 11.9	22 8 31.9
46	9	7	1.4	1 20.28	2 37 10.3	21 54 30.3
47	9	7	29.5	1 48.54	2 3 39.3	21 20 59.3
48	9	6	52.5	2 21.81	2 2 49.6	21 20 9.6
49	9	7	10.4	2 29.46	1 56 38.2	21 13 58.2
50	9	4	4 16.1	4 16.10	1 43 52.8	21 1 12.8
51	5	2	50.7	5 21.40	1 48 25.6	21 5 45.6
52	8.9	5	9.3	4 48.76	2 0 26.8	21 17 46.8
53	9	6	57.6	5 26.80	2 33 55.2	21 51 15.2
54	6	6	20.0	5 49.22	2 47 34.9	21 44 54.9
55	9	6	44.2	6 13.36	2 28 45.9	21 46 5.9
56	9	6	8 23.0	7 52.15	2 47 14.0	22 4 34.0
57	8	5	1.5	8 40.83	2 55 38.7	22 12 58.7
58	8	4	25.4	9 25.36	3 3 4.6	22 20 24.6
59	8	4	27.3	9 27.35	3 6 9.4	22 23 29.4
60	9	5	27.7	10 6.97	3 18 51.1	22 36 11.1
61	9	3	49.0	11 9.60	3 17 33.4	22 34 53.4
62	9	7	12 1.2	11 39.92	3 8 18.8	22 25 38.8
63	7.8	2	0.1	13 31.22	3 41 36.4	22 58 56.4
64	8	4	13 35.3	13 35.30	3 4 16.9	22 21 36.9
65	8	5	14 1.6	13 40.91	3 0 47.9	22 18 7.9
66	8	4	57.4	14 57.40	1 26 12.6	20 43 32.6
67	8	5	15 29.0	15 8.40	2 26 43.4	21 44 3.4
68	9	5	17 14.5	16 53.89	2 31 29.2	21 48 49.2
69	9.0	5	18 44.7	18 24.12	2 18 52.9	21 36 12.9
70	9	3	13.6	19 34.07	2 23 15.5	21 40 35.5
71	9	5	20 23.0	20 2.44	2 8 20.6	21 25 40.6
72	9	5	46.5	20 25.94	2 10 7.9	21 27 27.9
73	9	5	22.0	21 1.38	2 36 22.4	21 53 42.4
74	8.9	4	8.4	22 8.40	2 33 31.7	21 50 51.7
75	8.9	5	22 55.3	22 34.71	2 20 7.0	21 37 27.0
76	9.0	2	31.0	24 2.02	3 6 15.4	22 23 35.4
77	8.9	4	16.6	24 16.60	2 56 52.3	22 14 12.3
78	8.9	4	51.8	24 51.80	3 25 58.8	22 43 18.8
79	8.9	7	22.1	24 40.68	3 37 18.8	22 54 38.8
80	7	7	27 39.0	26 58.14	1 40 2.3	20 57 22.3
81	8.9	2	28 33.8	29 4.73	2 31 56.4	21 49 16.4
82	9.0	4	27.5	29 27.50	2 35 27.4	21 52 47.4
83	9.0	3	19.3	30 39.88	3 8 52.5	22 26 12.5
84	8.9	4	2.9	31 2.90	2 48 12.3	22 5 32.3
85	9	2	43.3	32 14.11	2 20 19.5	21 37 39.5
86	9	5	37.8	32 17.20	2 30 6.7	21 47 26.7
87	8.9	3	14.1	33 34.54	2 10 12.6	21 27 32.6
88	9	5	34 31.6	34 10.91	3 1 9.6	22 18 29.6

dem ich mich zu erinnern glaube, vorhergehende mit N^o 34 auf demselben rallele war. Beide Sterne wurden Fad. 5 beobachtet, resp. um 1'' 6 u und ich halte diese Fäden für richtig früheren um 1'' verschrieben. Für be nahmen spricht auch LL. 33058, sowie N^o. 44, der offenbar identisch mit N^o

*Hülfsstafel zur Reduction auf den mi
Ort 1850 Januar 0 D = - 22*

T.	k	k'	d
17 50' - 33.79	+1	-3	+ 1.9 + 0.1
18 0 - 33.78	+1	-3	+ 2.0 + 0.2
10 - 33.77	+1	-3	+ 2.2 + 0.2
20 - 33.76	+1	-3	+ 2.4 + 0.2
30 - 33.75	0	-4	+ 2.6 + 0.5

38. Minute der Decl. zweifelhaft, aber 307 N^o. 49 richtig.

46. Decl. wahrscheinlich 22° 4' 30'' .3, ve Z. 307 N^o. 58, wo ein Fehler von 10 unwahrscheinlich ist.

54. Der Stern ist offenbar 14 Sagittar Microsc. I statt 2° 47' 34'' .9 zu lesen 34'' .9. Unter dieser Annahme ist T Declin. berechnet.

55 Fad. 7. 54'' .4

58 " 5. 46.0

59 " 5. 48.1

64 " 5. 56.0

76 " 3. 41.5

79. 80. Zwischen diesen beiden Sternen

81 Fad. 3. 44'' .3 Fad. 4. 5'' .0, der wohl nur zur Controlle der ganzen beobachtet, ward ausgeschlossen.

85. Secunde des Microscops 14'' .5 und da Decl. 34'' .5 ?

86. Secunde des Microscops 0'' .7 und da Decl. 20'' .7 ?

Gr.	Fad.	Beob. Zeit.	T.	Microsc. I	Südl. Declin.
8.9	5	12.2	18 34 51.40	3 15 40.7	22 33 0.7
7.8	4	15.2	36 15.20	1 49 54.0	21 7 14.0
7	2	24.4	36 55.25	1 51 44.7	21 9 4.7
9	6	7.9	36 37.14	2 23 16.1	21 40 36.1
6	4	52.0	37 52.00	3 15 16.0	22 32 36.0
9	4	29.7	38 29.70	3 9 26.8	22 26 46.8
9	6	57.5	38 26.47	3 36 46.8	22 54 6.8
9.0	5	40 20.4	39 59.73	2 56 55.9	22 14 15.9
9	3	51.6	42 12.18	3 8 40.2	22 26 0.2
7	4	23.0	42 23.00	3 2 23.8	22 19 43.8
9	4	55.5	42 55.50	3 12 22.7	22 29 42.7
9	6	47.3	43 16.30	2 44 26.5	22 1 46.5
7.8	6	44 12.5	43 41.59	2 48 11.5	22 5 31.5
8.9	7	45 35.2	44 54.08	2 36 45.7	21 54 5.7
9	7	16.8	45 35.65	2 43 30.1	22 0 50.1
9.0	5	47 24.0	47 3.33	3 9 41.9	22 27 1.9
6	4	48 59.4	48 59.40	1 33 42.8	20 51 2.8
9	6	44.6	49 13.91	2 3 20.0	21 20 40.0
4	7	1.7	49 20.75	2 0 42.4	21 18 2.4
7.8	7	31.5	49 50.73	1 19 56.7	20 37 16.7
8.9	5	10.5	50 49.94	2 8 27.3	21 25 47.3
8.9	7	51.6	51 10.44	2 44 19.1	22 1 39.1
9	6	37.7	52 6.63	3 46 52.0	23 4 12.0
6.7	4	9.0	53 9.00	3 36 35.9	22 53 55.9
9	5	53 53.6	53 32.92	3 0 39.9	22 17 59.9
8.9	4	54 46.2	54 46.20	1 39 0.9	20 56 20.9
8.9	3	28.7	55 49.07	1 43 48.7	21 1 8.7
9.0	7	12.7	55 31.85	1 36 48.7	20 54 8.7
8	4	42.4	56 42.40	1 52 43.9	21 10 3.9
9	7	58.0	56 17.06	1 56 36.2	21 13 56.2
9	6	20.2	56 49.52	2 0 56.1	21 18 16.1
8.9	6	55.5	57 24.77	1 51 8.2	21 8 28.2
9	4	38.2	58 38.20	2 21 48.4	21 39 8.4
9	5	21.6	59 0.99	2 33 10.1	21 50 30.1
8.9	4	36.6	59 36.54	2 38 7.1	21 55 27.1
9	7	28.8	59 47.64	2 43 46.4	22 1 6.4
9	5	25.0	19 1 4.27	3 19 15.1	22 36 35.1
8.9	6	49.4	1 18.64	2 24 2.2	21 41 22.2
9.0	7	41.5	2 0.47	2 15 46.7	21 33 6.7
8.9	4	3 38.2	3 38.20	2 2 31.9	21 19 51.9
8.9	5	58 52.7	17 58 33.01	4 21 43.6	14 58 46.4
7	5	0 0.4	59 40.49	2 10 35.5	17 9 54.5
8.9	5	42.3	18 0 22.47	2 54 48.8	16 25 41.2
8	4	1 41.0	1 41.00	4 2 26.6	15 18 3.4
9	3	2 46.7	3 6.60	3 25 25.3	15 55 4.7
9	5	25.7	3 5.84	2 37 1.4	16 43 28.6
9	5	59.6	3 39.72	2 25 30.5	16 54 59.5
8.9	3	21.4	4 41.28	2 44 20.0	16 36 10.0
8.9	4	5 32.4	5 32.67	3 42 45.7	15 37 44.3
7.8	2	25.8	6 55.46	3 55 12.0	15 25 18.0
8.9	3	16.6	7 36.50	3 24 34.2	15 55 55.8
9	4	1.8	8 1.80	4 22 33.3	14 57 56.7
7	4	9 35.3	9 35.30	3 51 51.7	15 28 38.3
9	3	10 38.5	10 58.44	2 59 14.5	16 21 15.5
9.0	6	9.3	10 39.45	2 59 5.6	16 21 24.4

Hilfstafel zur Reduction auf den mittlern Ort 1850 Januar 0 $\Delta = - 22^\circ$.

T.	k	k'	d	d'
18 30' - 33.75	0	-4	+ 2.6	+0.5
40 - 33.75	0	-4	+ 3.1	+0.5
50 - 33.75	0	-4	+ 3.6	+0.6
19 0 - 33.75	+1	-4	+ 4.2	+0.7
10 - 33.74		-4	+ 4.9	+18.2

89 Fad. 6. 22.3
91 " 3. 35.0
95 " 7. 7.9
99 " 5. 16.2
100 " 7. 57.3 Fäden 16".46 und 16".14
101 " 7. 22.7
104 " 6. 34.3
120 " 7. 5.6
123 " 5. 57.1

Unruhige Luft.

ZONE 225. 1849 Juli 13. West.

NC. 17 15' - 1 57.14
19 20 - 2 4.76
Anf. 28 1.80 + 13.6 53.9
Ende 1.81 + 13.1 52.6
Das Minimumtherm. zeigte, dass die Temperatur während der Zone 0°.7 R. geringer gewesen war.
Micr. I - 9".43 und - 10".14
Decl. = 19° 20' 30" - Micr. I
18° 30' $\tau + i - 34".652$ $\Delta \tau + 0".004$ $\Delta i - 0".019$
8 Fad. 4. 41".2
9 " 5. 52.7 Fäden 32".40 und 32".95

Nº.	Gr.	Fad.	Beob. Zeit.	T.	Microsc. I	Südl. Declin.
16	6	4	12' 4.6	18° 12' 4.60	3° 27' 21.4	15° 53' 8.6
17	9	7	56.4	12 16.96	4 3 55.7	15 16 34.3
18	7	5	20.4	13 0.68	4 3 4.6	15 17 25.4
19	9	5	3.1	13 43.27	2 57 24.1	16 23 5.9
20	8.9	2	32.5	15 2.34	2 41 0.9	16 39 29.1
21	9	5	1.7	14 41.81	2 21 16.3	16 59 13.7
22	9.0	6	28.8	14 59.02	2 15 36.8	17 4 53.2
23	9	3	16 27.6	16 47.54	2 59 34.7	16 20 55.3
24	9	7	16.8	16 37.32	3 52 41.9	15 27 48.1
25	9	7	17 53.6	17 14.17	4 8 37.4	15 11 52.6
26	8	4	17 36.6	17 36.56	4 6 42.2	15 13 47.8
27	8	2	59.1	19 28.76	3 53 3.9	15 27 26.1
28	8.9	4	42.0	19 42.00	2 49 56.7	16 30 33.3
29	9	4	25.0	20 25.00	2 16 49.0	17 3 41.0
30	9.0	4	56.6	20 56.60	2 50 26.8	16 30 3.2
31	9	4	31.0	21 31.00	3 9 31.2	16 10 58.8
32	8.9	3	42.6	22 2.53	3 3 35.8	16 16 54.2
33	9	1	22 12.7	22 52.53	2 40 35.2	16 39 54.8
34	9	4	27.2	23 27.20	3 16 9.0	16 4 21.0
35	9	4	24 3.5	24 3.50	3 18 36.6	16 1 53.4
36	8	5	25 38.0	25 18.20	3 11 39.8	16 8 50.2
37	8.9	5	21.7	26 1.85	2 44 13.7	16 36 16.3
38	8.9	4	0.0	27 0.00	2 14 57.2	17 5 32.8
39	9	6	45.7	27 15.87	3 5 40.3	16 14 49.7
40	7.8	2	13.7	28 43.45	3 16 50.0	16 3 40.0
41	8.9	4	29 8.4	29 8.40	4 11 53.6	15 8 36.4
42	9.0	6	30 11.4	29 41.66	3 47 42.0	15 32 48.0
43	9	5	51.4	30 31.50	2 54 42.5	16 25 47.5
44	7.8	5	34 3.6	33 43.94	4 38 32.4	14 41 57.6
45	8.9	6	35 7.5	34 37.75	3 41 5.2	15 39 24.8
46	9	6	49.5	35 19.56	2 25 11.4	16 55 18.6
47	8.9	7	24.0	35 44.20	2 15 45.0	17 4 45.0
48	8	4	39 52.5	39 52.50	2 24 42.6	16 55 47.4
49	9	6	32.3	40 2.41	2 46 4.4	16 34 25.6
50	9	6	5.7	40 36.02	3 53 17.6	15 27 12.4
51	9.0	6	41.0	41 11.30	4 1 45.4	15 18 44.6
52	9	4	43 12.0	43 12.00	3 0 59.9	16 19 30.1
53	9	4	45.2	43 45.20	2 39 47.7	16 40 42.3
54	9.0	6	24.4	43 54.44	2 18 32.0	17 1 58.0
55	8	4	55.6	44 55.60	2 47 18.1	16 33 11.9
56	9.0	7	34.2	44 54.71	3 50 24.4	15 30 5.6
57	7	4	46 41.4	46 41.40	3 33 34.4	15 46 55.6
58	8	6	47 46.6	47 16.96	4 27 56.8	14 52 33.2
59	9.0	6	21.0	47 51.34	4 20 28.2	15 0 1.8
60	8.9	4	47.1	48 47.10	4 17 42.4	15 2 47.6
61	9	2	51 27.2	51 56.98	3 26 33.9	15 53 56.1
62	9	7	14.6	51 34.96	3 2 15.9	16 18 14.1
63	7.8	3	53 13.4	53 33.26	3 51 19.4	15 29 10.6
64	9.0	3	54 32.1	54 52.02	3 8 49.3	16 11 40.7
65	9.0	4	29.6	55 29.60	3 50 52.0	15 29 38.0
66	9.0	4	56 6.3	56 6.30	3 46 56.4	15 33 33.6
67	7	2	57 10.0	57 39.73	3 27 47.2	15 52 42.8
68	9	4	57.6	57 57.60	4 28 8.9	14 52 21.1
69	9	6	59 12.8	58 43.05	3 38 49.8	15 41 40.2
70	9	7	51.3	59 11.69	3 12 11.5	16 8 18.5

*Hilfstafel zur Reduction auf den mittlen
Ort 1850 Januar 0 D = - 16°.*

T.	k	k'	d
18 0' - 33.92	-1	-3	- 7.7 - 0.4
10 - 33.93	-1	-3	- 8.1 - 0.4
20 - 33.94	0	-3	- 8.5 - 0.4
30 - 33.94	-1	-3	- 8.9 - 0.4
40 - 33.95	0	-4	- 9.3 - 0.4
50 - 33.95	0	-4	- 9.7 - 0.4
19 0 - 33.95	0	-4	- 10.1 - 0.3

22 Fad. 7. 39.0 Fäden 58".84 und 59"

26 " 6. 6.2

35. Vielleicht Fad. 3 und dann T. 24' 23",
vergl. LL. N°. 34238.

43 Fad. 6. 1".3

50 " 7. 15.6

Fad.	Beob. Zeit.	T.	Microsc. I	Südl. Declin.
4	27.0	19 0' 26.85	3 14' 6.9	16 6' 23.1
4	16.0	1 16.00	3 16' 18.9	16 4' 11.1
3	2 43.4	3 3.32	3 11' 5.3	16 9' 24.7
5	38.0	3 18.26	3 45' 53.5	15 34' 36.5
5	16.8	3 57.13	4 30' 51.8	14 49' 38.2
3	0 10.0	19 0' 30.26	0 9' 55.5	19 10' 49.5
4	44.4	0 44.40	0 26' 4.7	18 54' 40.3
6	27.6	0 57.35	0 37' 38.5	18 43' 6.5
5	15.9	1 55.93	1 36' 19.1	17 44' 25.9
5	4 25.6	4 5.75	2 40' 20.6	16 40' 24.4
5	5 31.6	5 11.47	0 14' 51.8	19 5' 53.2
5	2.0	5 41.88	0 14' 21.2	19 6' 23.8
4	31.4	6 31.40	0 7' 19.2	19 13' 25.8
7	7 3.0	6 22.92	1 2' 15.6	18 18' 29.4
3	8 18.4	8 35.39	2 31' 9.4	16 49' 35.6
7	32.8	7 53.04	2 27' 56.8	16 52' 48.2
5	5.0	8 45.13	2 28' 41.2	16 52' 3.8
7	21.0	8 41.25	2 29' 49.1	16 50' 55.9
3	50.0	10 10.00	2 23' 32.6	16 57' 12.4
5	49.9	10 30.04	2 35' 0.0	16 45' 45.0
7	29.7	10 49.65	1 9' 11.5	18 11' 33.5
4	26.0	12 26.00	2 1' 45.6	17 18' 59.4
2	6.0	13 35.98	1 49' 33.7	17 31' 11.3
6	14 2.2	13 32.06	1 13' 23.7	18 7' 21.3
4	45.5	14 45.50	1 4' 42.9	18 16' 2.1
3	0.2	15 20.34	1 12' 40.3	18 8' 4.7
6	15 48.3	15 18.13	1 4' 13.6	18 16' 31.4
7	15 56.5	15 16.43	1 3' 57.3	18 16' 47.7
7	15 58.5	15 18.43	1 3' 51.0	18 16' 54.0
4	17 13.5	17 13.50	1 24' 54.8	17 55' 50.2
7	17 34.7	16 54.70	1 22' 16.4	17 58' 28.6
5	18 36.2	18 16.27	1 55' 13.1	17 25' 31.9
6	12.0	18 42.04	2 16' 6.8	17 4' 38.2
4	32.5	19 32.50	2 35' 54.8	16 44' 50.2
4	26.7	20 26.70	1 12' 46.1	18 7' 58.9
7	0.0	20 19.98	1 19' 27.4	18 1' 17.6
7	37.0	20 57.02	1 28' 31.8	17 52' 13.2
4	21 56.5	21 56.50	1 28' 53.2	17 51' 51.8
6	22 55.0	22 24.79	0 49' 1.7	18 31' 43.3
7	11.9	22 31.75	0 43' 5.0	18 37' 40.0
5	7.3	23 47.19	0 22' 57.9	18 57' 47.1
3	24 57.5	25 17.50	2 25' 10.1	16 55' 34.9
4	26 35.3	26 35.30	0 55' 35.5	18 25' 9.5
4	28 1.1	28 1.10	0 7' 13.7	19 13' 31.3
4	15.0	28 15.00	0 10' 17.3	19 10' 27.7
4	28 38.8	28 38.80	0 14' 21.8	19 6' 23.2
6	25.0	28 54.78	0 47' 22.9	18 33' 22.1
7	53.5	29 13.60	1 50' 51.5	17 29' 53.5
3	18.6	30 38.63	1 55' 3.6	17 25' 41.4
4	31 9.1	31 9.10	2 6' 3.7	17 14' 41.3
2	44.4	32 14.33	2 7' 42.5	17 13' 2.5
3	26.8	32 46.78	2 37' 11.2	16 43' 33.8
6	34 11.2	33 41.25	2 20' 51.9	16 59' 53.1
3	44.7	35 4.70	2 26' 49.2	16 53' 55.8
7	35 23 :	34 43	0 48' 7.2	18 32' 37.8

71 Fad. 5. 46".5

Die Zone musste wegen Wolken geschlossen werden. Wahrscheinlich von Anfang an dunstig. Die Sterne sind um eine Grösse zu schwach geschätzt.

ZONE 226. 1849 Juli 28. West.

NC. 18 40' - 2' 3.15

20 4 - 2 5.17

Anf. 28 1.11 + 13.9 57.0

Ende 1.05 + 13.0 56.0

Micr. I - 8".83

Decl. = Micr. I - 19° 20' 45"

$\tau + i 19^{\circ} 0' - 34''.548 \quad \Delta\tau - 0''.002 \quad \Delta i - 0''.019$

Hilfstafel zur Reduction auf den mittlern Ort 1850 Januar 0 D = - 18°.

T.	k	k'	d	d'
19 0' - 33.90	-1	-3	- 5.8	+ 0.1
10 - 33.91	-1	-3	- 5.7	0.0
20 - 33.92	-1	-3	- 5.7	0.0
30 - 33.93	-1	-4	- 5.7	+ 0.1
40 - 33.94	-1	-4	- 5.6	+ 0.1

34. Ein Zweifel über den Faden ist durch eine Beobachtung 1851 Oct. 13. beseitigt.

44 Fad. 4. 38".6

45. dupl. II. Cl. seq. praec. auch 8 : m.

Nº.	Gr.	Fad.	Beob. Zeit.	T.	Microsc. I	Südl. Declin.
51	8	4	36 26.2	19 36 26.20	1 35 37.0	17 45 8.0
52	9.0	4	46.6	36 46.60	1 33 28.7	17 47 16.3
53	9.0	4	9.7	37 9.61	1 30 14.8	17 50 30.2
54	9	3	58.6	38 18.69	0 50 11.0	18 30 34.0
55	7	4	39 5.7	39 5.70	1 54 24.3	17 26 20.7
56	8	4	37.4	39 37.40	1 54 55.3	17 25 49.7
57	8.9	5	15.6	39 55.66	1 30 10.2	17 50 34.8
1	7.8	4	54 14.0	17 54 14.00	8 37 24.5	20 43 35.5
2	8.9	2	55 12.7	55 42.91	9 53 37.1	19 27 22.9
3	9	3	11.1	56 31.34	10 18 28.4	19 2 31.6
4	7	3	53.8	57 14.13	9 35 36.2	19 45 23.8
5	9	3	16.5	57 36.83	9 38 14.0	19 42 46.0
6	9	5	59.1	57 38.87	9 23 35.1	19 57 24.9
7	9	5	31.5	58 11.02	8 53 19.2	20 27 40.8
8	8	6	25.5	58 54.77	8 8 37.2	21 12 22.8
9	8	4	3.0	18 0 3.00	8 5 17.3	21 15 42.7
10	9	4	28.3	0 28.30	8 25 15.9	20 55 44.1
11	8.9	7	1.2	0 20.68	9 15 1.4	20 5 58.6
12	9	5	23.6	1 3.35	9 17 59.1	20 3 0.9
13	9	7	59.3	1 18.97	9 58 30.8	19 22 29.2
14	9.0	7	3 1.6	2 21.28	10 1 43.1	19 19 16.9
15	7	3	36.2	3 56.50	9 53 22.7	19 27 37.3
16	9.0	4	22.5	4 22.50	9 54 30.9	19 26 29.1
17	9.0	5	4.0	4 43.85	10 5 4.7	19 15 55.3
18	9	5	37.7	5 17.54	10 1 32.1	19 19 27.9
19	9	6	20.2	5 49.86	10 7 3.4	19 13 56.6
20	8.9	7	58.0	6 17.74	10 15 27.9	19 5 32.1
21	8.9	6	14.3	6 44.00	10 22 7.8	18 58 52.2
22	7.8	6	30.7	7 0.39	10 19 5.7	19 1 54.3
23	8.9	7	52.2	7 11.97	10 23 9.0	18 57 51.0
24	9	7	9.4	7 29.16	10 21 20.0	18 59 40.0
25	8.9	6	52.3	8 22.03	10 29 59.4	18 51 0.6
26	7.8	6	12.7	8 42.40	10 20 12.3	19 0 47.7
27	7	4	35.5	9 35.50	10 30 9.4	18 50 50.6
28	8.9	5	8.2	9 48.11	10 32 14.8	18 48 45.2
29	9.0	6	11 12.7	10 42.31	9 50 31.4	19 30 28.6
30	9.0	4	46.0	11 46.00	9 47 23.8	19 33 36.2
31	8.9	3	22.1	12 42.43	9 38 3.2	19 42 56.8
32	9	7	49.9	12 9.43	9 27 5.1	19 53 54.9
33	9	4	14 0.3	14 0.30	9 13 16.3	20 7 43.7
34	8	4	57.1	14 57.10	8 37 54.9	20 43 5.1
35	9.0	6	23.4	14 52.79	8 42 39.4	20 38 20.6
36	9	5	12.0	15 51.71	8 57 22.7	20 23 37.3
37	8.9	7	38.1	15 57.64	9 28 21.1	19 52 38.9
38	7.8	7	59.5	16 19.06	9 32 43.9	19 48 16.1
39	9	5	18 32.0	18 11.64	8 25 13.9	20 55 46.1
40	9	3	13.0	19 33.36	9 19 32.0	20 1 28.0
41	8.9	3	55.0	20 15.34	9 29 19.9	19 51 40.1
42	9	7	20 34.0	19 53.62	9 48 28.1	19 32 31.9
43	9	7	20 38.7	19 58.31	9 45 28.3	19 35 31.7
44	9	5	21 44.7	21 24.50	9 39 20.2	19 41 39.8
45	9	5	21 56.5	21 36.31	9 45 5.5	19 35 54.5
46	9	7	45.0	22 4.65	9 53 28.6	19 27 31.4
47	8.9	5	28.0	23 7.85	10 5 38.9	19 15 21.1
48	9.0	5	31.7	23 11.55	10 6 6.8	19 14 53.2

53 Fad. 5. 29.5
54 „ 4. 18.6
57 „ 6. 25.8

Die Zone musste wegen Wolken geschlossen werden.

ZONE 227. 1849 Aug. 7. Wes

NC. 17 35 - 2 0.36
19 57 - 2 4.54

Anf. 28 1.42 + 13.7 56.9

Ende 1.36 + 12.3 54.7

Microsc. I - 9'' 16 u. 9'' 60

Decl. = Micr. I - 29° 21' 0''

18° 30' r+i-34'' 489 Δr 0'' 000 Δi - 0''

Hülftafel zur Reduction auf den mittleren Ort 1850 Januar 0 D = - 20°.

T.	k	k'	d	e
u	'	''	'''	'''
17	50-33.61	-3	-3	- 8.1 -0.1 +14
18	0-33.64	-3	-3	- 8.2 -0.2 +14
	10-33.67	-3	-3	- 8.4 -0.1 +14
	20-33.70	-3	-3	- 8.5 -0.1 +14

2 Fad. 3. 22.5

7 „ 6. 41.4 Fäden 11'' 20 und 10'' 83

38. Ein Zweifel in der Zeitsecunde wird durch Z. 219 N°. 61 und Z. 310 N°. 41 beseitigt.

P.	Gr.	Fad.	Beob. Zeit.	T.	Microsc. I	Südl. Declin.
9	6		51.6	18 23 21.27	10 9 49.0	19 11 11.0
8.9	6		7.2	23 36.93	10 7 33.7	19 13 26.3
8.9	6		27.0	23 56.66	10 7 35.1	19 13 24.9
8	7		53.5	24 13.24	10 16 33.8	19 4 26.2
9	3	26	20.6	26 40.92	9 42 32.8	19 38 27.2
8.9	1		52.0	27 32.52	9 41 6.0	19 39 54.0
7	5		26.5	27 6.33	9 58 15.5	19 22 44.5
9	6		43.0	27 12.61	9 50 56.4	19 30 3.6
8.9	7		12.9	27 32.49	9 41 6.3	19 39 53.7
8.9	4		42.0	28 42.00	10 5 35.6	19 15 24.4
7	5		10.6	28 50.44	10 1 24.2	19 19 35.8
9	6		26.6	28 56.21	9 49 41.2	19 31 18.8
8.9	6		40.6	29 10.21	9 48 27.8	19 32 32.2
8.9	7		14.3	29 33.88	9 37 42.3	19 43 17.7
8.9	5		11.6	30 51.30	8 53 34.6	20 27 25.4
8.9	5		54.0	31 33.65	8 33 7.4	20 47 52.6
8.9	7		20.2	31 39.42	8 15 40.8	21 5 19.2
8.9	7	32	58.0	32 17.33	8 40 6.2	20 40 53.8
8.9	4	33	55.8	33 55.80	8 41 59.8	20 39 0.2
8.9	6		35.3	34 4.73	8 54 18.3	20 26 41.7
8.9	6		8.9	34 38.59	9 55 44.9	19 25 15.1
8.9	6		32.0	35 1.65	9 59 3.1	19 21 56.9
8.9	4		52.0	35 52.06	9 53 20.2	19 27 39.8
8.9	5		45.4	36 25.22	9 52 51.1	19 28 8.9
8.9	3		20.0	37 40.13	10 7 7.3	19 13 52.7
8.9	5		3.5	37 43.29	9 35 42.6	19 45 17.4
8.9	3		59.4	39 19.76	9 19 52.9	20 1 7.1
8.9	4		31.7	39 31.70	8 55 20.2	20 25 39.8
8.9	3		10.2	40 30.61	9 2 21.6	20 18 38.4
8.9	2		49.0	41 19.52	8 51 51.5	20 29 8.5
8.9	5	41	48.0	41 27.74	9 10 42.0	20 10 18.0
8.9	5		32.7	42 12.52	9 53 12.5	19 27 47.5
8.9	5		47.4	42 27.23	9 58 2.1	19 22 57.9
8.9	7		40.3	43 0.06	10 21 50.9	18 59 9.1
8.9	2		22.5	44 52.76	10 32 17.2	18 48 42.8
8.9	4		6.4	45 6.40	10 23 16.2	18 57 43.8
8.9	5		41.1	45 20.90	9 43 22.2	19 37 37.8
8.9	3		23.7	46 44.04	9 31 56.1	19 49 3.9
8.9	5		47.0	46 26.78	9 31 14.9	19 49 45.1
8.9	4	47	8.5	47 8.50	9 38 37.8	19 42 22.2
8.9	4	48	22.5	48 22.50	9 31 53.4	19 49 6.6
8.9	2		0.3	49 30.70	9 27 7.0	19 53 53.0
8.9	3		29.9	49 50.34	8 44 14.4	20 36 45.6
8.9	6	50	44.4	50 14.03	9 58 45.4	19 22 14.6
8.9	4	51	8.0	51 8.00	9 52 29.1	19 28 30.9
8.9	4		44.9	51 44.90	9 50 52.0	19 30 8.0
8.9	3		28.6	52 48.91	9 47 56.8	19 33 3.2
8.9	7		59.2	52 18.74	9 29 31.2	19 51 28.8
8.9	5		39.3	53 19.06	9 19 32.3	20 1 27.7
8.9	4		22.2	54 22.20	8 44 4.1	20 36 55.9
8.9	3	54	54.0	55 14.46	9 0 44.1	20 20 15.9
8.9	3	55	30.0	55 59.44	8 56 45.0	20 21 17.0
8.9	4		34.5	56 34.50	10 25 29.5	19 55 30.5
8.9	3		21.0	57 41.46	9 38 58.2	19 42 4.8
8.9	4		17.6	58 17.60	9 28 12.1	19 52 47.9

*Hülftafel zur Reduction auf den mittlern
Ort 1850 Januar 0 D = - 20°.*

T.	k	k'	d	d'
18 20-33.70	-3	-3	- 8.5	-0.2
30-33.73	-3	-3	- 8.7	-0.1
40-33.76	-2	-3	- 8.8	-0.2
50-33.78	-3	-3	- 9.0	-0.1
19 0-33.81	-3	-3	- 9.1	+14.4

- 50 Fad. 7. 17.3
 54. 57. derselbe.
 61 Fad. 7. 50".6
 69 " 7. 19.0
 70 " 7. 42.0
 71 " 5. 12.3
 73 " 4. 40.0
 76 " 5. 52.0
 81. Min. der Decl. 59' und dann -19° 21' 57".9.
 83 Fad. 3. 32".6
 99 " 4. 14.5
 102 " 4. 41.6

Nº.	Gr.	Fad.	Beob. Zeit.	T.	Microsc. I	Südl. Declin.
104	9	5	2.6	18 58 42.34	9 8 39.5	20° 12' 20.5
105	9	4	56.2	59 56.20	9 30 40.7	19 50 19.3
106	6	5	21.6	19 0 1.46	9 49 54.2	19 31 5.8
107	9	4	15.0	1 15.00	9 42 25.0	19 38 35.0
108	9.0	6	52.2	1 21.91	10 23 27.7	18 57 32.3
109	9.0	7	12.5	1 32.28	10 26 14.6	18 54 45.4
110	9	5	2 59.9	2 39.64	9 8 27.4	20 12 32.6
111	9.0	5	40.2	3 19.96	9 11 28.6	20 9 31.4
112	9.0	6	11.5	3 41.06	9 8 49.5	20 12 10.5
113	9.0	7	44.3	4 3.76	9 10 40.4	20 10 19.6
114	9	6	20.6	4 50.12	9 37 9.7	19 43 50.3
115	9	4	6 31.0	6 31.15	10 7 22.2	19 13 37.8
116	9	3	7 37.7	7 57.93	10 26 22.1	18 54 37.9
117	8.9	4	37.2	8 27.20	9 47 7.4	19 33 52.6
118	9	5	13.4	8 53.05	8 32 52.9	20 48 7.1
119	9	7	9 36.5	8 55.75	8 23 33.9	20 57 26.1
120	8.9	5	26.2	10 6.00	9 43 34.0	19 37 26.0
121	8.9	7	57.6	10 17.37	10 23 16.5	18 57 43.5
122	8.9	7	11.9	10 31.66	10 20 54.6	19 0 5.4
123	9	4	12 13.6	12 13.60	10 12 57.2	19 8 2.8
124	8.9	4	57.7	12 57.70	10 33 29.1	18 47 30.9
125	8.9	5	24.0	13 3.89	10 25 34.4	18 55 25.6
126	7.8	6	53.6	13 23.21	9 50 31.2	19 30 28.8
127	8	5	41.6	14 21.24	8 26 14.8	20 54 45.2
128	8.9	6	21.4	14 51.05	10 5 18.7	19 15 41.3
129	8	2	46.9	16 17.27	10 8 16.1	19 12 43.9
130	9.0	7	51.0	16 10.51	9 21 12.7	19 59 47.3
131	9	5	49.2	17 29.01	9 53 21.4	19 27 38.6
132	9	6	18 45.3	18 14.64	8 28 27.1	20 52 32.9
133	9	3	19 27.1	19 47.57	8 32 26.5	20 48 33.5
134	9.0	7	58.2	19 17.53	8 41 41.2	20 39 18.8
135	9	3	21 6.5	21 26.84	9 33 27.0	19 47 33.0
136	9	3	28.6	21 48.94	9 29 37.2	19 51 22.8
137	8.9	4	21 56.1	21 56.10	9 39 40.9	19 41 19.1
138	8.9	3	23 29.1	23 49.55	8 38 33.8	20 42 26.2
139	9.0	4	12.3	24 12.30	9 20 21.3	20 0 38.7
140	9	4	59.6	24 59.60	9 45 49.1	19 35 10.9
141	9	4	34.0	25 34.00	10 10 24.1	19 10 35.9
142	8.9	7	26 4.6	25 24.38	10 25 10.1	18 55 49.9
143	8.9	4	45.7	26 45.70	10 15 44.7	19 5 15.3
144	7.8	5	37.0	27 16.62	8 15 25.0	21 5 35.0
145	9	7	13.5	27 32.68	8 6 37.3	21 14 22.7
146	9	6	59.0	28 28.60	9 46 14.0	19 34 46.0
147	9	2	29 20.1	29 50.44	9 48 35.3	19 32 25.3
148	9	7	3.7	29 23.38	10 0 21.9	19 20 38.1
149	9.0	4	50.1	30 50.10	9 48 24.3	19 32 35.7
150	8	3	31 14.4	31 34.71	9 47 3.0	19 33 57.0
151	8.9	6	32 17.3	31 46.75	9 0 1.8	20 20 58.2
152	9	5	16.7	32 56.37	8 39 25.6	20 41 34.4
153	8.9	5	52.8	33 32.40	8 10 31.1	21 10 28.9
154	8.9	3	34 41.0	35 1.27	9 53 25.0	19 27 35.0
1	7.8	7	1 18.0	21 0 34.46	10 19 2.3	29 4 57.7
2	8	4	2 5.7	2 5.70	10 17 42.9	29 6 17.1
3	8.9	3	3 16.7	3 38.13	8 12 50.2	31 11 9.8
4	9	4	4 59.6	4 59.43	9 50 57.3	29 24 2.7

Hülfsstafel zur Reduction auf den mittleren Ort 1850 Januar 0 D = - 20°.

T.	k	k'	d
19 0 - 33.81	-2	-3	- 9.1
10 - 33.83	-2	-4	- 9.2
20 - 33.85	-2	-4	- 9.3
30 - 33.87	-1	-4	- 9.4
40 - 33.88		-4	- 9.5

106 Fad. 6. 31''9

108. Ein Stern 7^m. geht einige Secunden vor

111 Fad. 6. 50''5

112 „ 7. 21.7

114 „ 7. 30.5 Ein Fehler von + 1'', beim folgenden Sterne entdeckt wurde, nach dem Zeugniß von LL. N^o. 35970 hier stattgefunden, so dass T. 4' 49''.12 muss; dass der Fehler aber erst bei die Sterne gemacht ist, zeigt die Uebereinstimmung der Sterne 112 und 113 mit Z. N^o. 127 und 128.

115 Fad. 7. 11''6

129 „ 3. 57.1

130. Zeitsecunde zweifelhaft.

154 Fad. 7. 41''6

Ausgezeichnete Luft.

ZONE 228. 1849 Aug. 7. W

NC. 20^u 50' - 2'' 5''.25

Veränderung in 1^u ... - 0''.8

N ^o .	Gr.	Fad.	Beob. Zeit.	T.	Microsc. I	Südl. Declin.	
5	8	7	18.0	21 5 33.94	9 7 36.1	30 16 23.9	Anf. 28 1.36+11.7 51.3
6	9	5	8 23.0	8 1.27	10 29 58.6	28 54 1.4	Ende 1.28+11.5 51.9
7	7	5	9 19.9	8 57.63	8 2 45.9	31 21 14.1	Microsc. I -10".46
8	9	5	2.8	9 40.70	9 16 9.6	30 7 50.4	Decl. = Microsc. I -39° 24' 0"
9	9	6	48.0	10 14.96	9 31 1.8	29 52 58.2	21 ^u r+i -34".353 Δr 0".000 Δi -0".025
10	9	3	15.1	11 37.20	9 25 13.1	29 58 46.9	D = -30°.
11	9	6	10.4	11 37.33	9 25 12.5	29 58 47.5	T. k k' d d'
12	7	3	13 5.9	13 27.95	9 35 57.4	29 48 2.6	21 ^u 0'-33.74 0 -3 + 0.7 +0.1 +56.2
13	8	2	46.1	14 19.13	9 19 48.0	30 4 12.0	10-33.74 0 -3 + 0.8 +0.1 +56.2
14	9	5	16 14.5	15 52.94	9 35 17.7	29 48 42.3	20-33.74 +1 -3 + 0.9 +0.1 +56.2
15	8.9	4	18 24.4	18 24.40	9 44 33.2	29 39 26.8	30-33.73 0 -3 + 1.0 +0.1 +56.2
16	9	3	20 39.6	21 1.94	8 20 57.9	31 3 2.1	
17	9	5	25 2.5	24 40.36	8 36 35.1	30 47 24.9	3 Fad. 4. 28.2 Fad. 3. -1" geändert.
18	9	4	25 46.3	25 46.30	8 39 17.4	30 44 42.6	4 „ 5. 21.1 Fäden 59".60 und 59".27
19	7	3	26 13.0	26 35.17	9 2 42.5	30 21 17.5	8 „ 6. 14.3 10. 11. derselbe.
20	8.9	7	27 8.0	26 24.26	9 50 45.3	29 33 14.7	14 „ 6. 26.3 Fäden 52".58 und 53".29
21	8	3	29 45.7	30 7.86	9 5 26.6	30 18 33.4	20. Ein Zweifel in der Zeitsecunde wird durch
22	8	6	31 36.0	31 2.59	8 25 57.8	30 58 2.2	Z. 245 N ^o . 51 beseitigt.
23	8.9	4	32 33.2	32 33.20	8 58 14.9	30 25 45.1	ZONE 229. 1849 Aug. 8. West.
1	8.9	4	56 28.9	17 56 28.90	2 18 45.1	17 1 44.9	NC. 17 37 - 2 2.52 Aenderung 0".00
2	9	6	22.3	56 52.50	3 19 55.7	16 0 34.3	Anf. 28 0.12 + 15.6 67.0
3	8	3	13.2	58 33.01	4 21 42.9	14 58 47.1	Ende 66.5
4	9	4	2.3	59 2.30	3 40 15.4	15 40 14.6	Micr. I -7".82
5	9.0	5	32.7	59 12.96	3 46 33.3	15 33 56.7	Decl. = Microsc. I +19° 20' 30"
6	9	6	8.5	59 38.69	3 17 24.7	16 3 5.3	18 ^u r+i -34".671 Δr -0".005 Δi -0".020
7	9.0	6	26.2	59 56.27	3 22 9.7	15 58 20.3	Hülfsstafel zur Reduction auf den mittlern
8	9.0	7	1 38.5	18 0 59.00	3 47 49.5	15 32 40.5	Ort 1850 Januar 0 D = -16°.
9	8.9	4	3 6.4	3 6.40	3 25 25.9	15 55 4.1	T. k k' d d'
10	9	4	40.0	3 40.00	3 44 0.2	15 36 29.8	17 50'-33.81 -4 -3 - 7.3 +0.3 + 9.7
11	8.9	5	7.2	3 47.45	3 38 8.3	15 42 21.7	18 0-33.85 -3 -3 - 7.0 +0.2 + 9.7
12	9	4	31.5	4 31.50	3 41 16.9	15 39 13.1	10-33.88 -3 -3 - 6.8 +0.3 + 9.7
13	8	2	2.6	5 32.29	3 42 43.3	15 37 46.7	20-33.91 -3 -3 - 6.5 + 9.7
14	7.8	4	6 55.2	6 55.20	3 55 7.8	15 25 22.2	
15	9.0	6	35.4	7 5.65	3 38 18.2	15 42 11.8	7 Fad. 7. 35".7
16	8.9	6	6.2	7 36.41	3 24 29.2	15 56 0.8	17. Zeit zweifelhaft.
17	9.0	7	8 26.5	7 46.93	3 24 5.3	15 56 24.7	26. dupl. III. Cl. seq.
18	9	7	22.6	8 42.91	2 46 56.2	16 33 33.8	
19	9.0	4	10 22.0	10 22.00	2 11 3.5	17 9 26.5	
20	8.9	5	16.0	10 56.15	2 38 5.2	16 42 24.8	
21	9.0	7	29.0	10 49.27	2 37 48.9	16 42 41.1	
22	9.0	7	12 10.4	11 30.81	3 16 42.6	16 3 47.4	
23	9.0	7	14.4	11 34.80	3 15 56.5	16 4 33.5	
24	6	7	12 44.0	12 4.44	3 27 19.8	15 53 10.2	
25	7	7	39.9	13 0.46	4 3 2.7	15 17 27.3	
26	8	4	12.8	14 12.80	4 11 20.4	15 9 9.6	
27	9	4	2.2	15 2.20	2 41 0.4	16 39 29.6	
28	9.0	4	32.6	16 32.60	4 29 34.0	14 50 56.0	
29	9.0	6	17 2.3	16 32.67	4 30 56.3	14 49 33.7	
30	9.0	6	36.2	17 6.58	4 37 0.3	14 43 29.7	
1	9.0	4	56 26.0	17 56 26.00	3 39 52.7	15 40 37.3	ZONE 230. 1849 Aug. 11. West.
2	9	5	57 3.3	56 43.55	3 38 3.6	15 42 26.4	NC. 17 46 - 2 2.92
3	9	4	58 24.6	58 24.60	2 8 14.3	17 12 15.7	19 57 - 2 6.76
4	9	5	55.0	58 35.12	2 24 53.1	16 55 36.9	Anf. 28 0.63 + 16.6 66.8
5	9	5	25.9	59 6.15	2 40 40.7	16 39 49.3	Ende 0.62 + 16.1 64.1
6	9.0	4	51.9	59 51.90	2 42 50.0	16 37 40.0	

Die Zone musste wegen Wolken geschlossen werden.

No.	Gr.	Fad.	Beob. Zeit.	T.	Microsc. I	Südl. Declin.
7	9	4	0 23.2	18 0 23.20	2° 50' 23.2	16 30' 6.8
8	8	5	42.5	0 22.67	2 54 46.5	16 25 43.5
9	9.0	5	18.6	0 58.95	2 55 26.6	16 25 3.4
10	9	4	6.8	2 6.80	3 3 40.3	16 16 49.7
11	8	4	58.0	2 58.00	4 35 14.4	14 45 15.6
12	8.9	3	21.0	3 40.83	4 6 56.3	15 13 33.7
13	8	2	56.7	4 26.35	3 56 20.9	15 24 9.1
14	9.0	6	33.3	4 3.60	4 1 38.1	15 18 51.9
15	8.9	6	52.0	4 22.32	4 8 9.5	15 12 20.5
16	8	5	14.5	4 54.79	4 7 6.4	15 13 23.6
17	7.8	5	52.0	5 32.25	3 42 42.8	15 37 47.2
18	9.0	7	25.0	5 45.45	3 29 55.0	15 50 35.0
19	9	4	5.8	7 5.80	3 38 16.6	15 42 13.4
20	9.0	7	42.0	7 2.40	3 16 34.7	16 3 55.3
21	9.0	7	58.2	7 18.62	3 20 54.3	15 59 35.7
22	8	7	8 16.1	7 36.53	3 24 28.9	15 56 1.1
23	9.0	7	8 26.0	7 46.43	3 24 5.5	15 56 24.5
24	9	4	12.9	9 12.90	3 13 29.8	16 7 0.2
25	9	5	43.4	9 23.59	3 3 16.2	16 17 13.8
26	9.0	7	3.2	9 23.55	2 59 38.4	16 20 51.6
27	8.9	4	39.4	10 39.40	2 59 0.3	16 21 29.7
28	8.9	4	58.5	10 58.50	2 59 17.7	16 21 12.3
29	9	6	28.6	10 58.74	2 54 53.9	16 25 36.1
30	9	5	5.0	11 45.10	2 12 55.8	17 7 34.3
31	9	6	20.5	11 50.53	2 13 44.0	17 6 46.0
32	9	7	34.2	11 54.39	2 13 46.8	17 6 43.2
33	9	7	58.5	12 18.68	2 10 25.1	17 10 4.9
34	8.9	6	13 21.5	12 51.51	2 7 58.4	17 12 31.6
35	9.0	6	9.5	13 39.55	2 20 20.8	17 0 9.2
36	9.0	6	43.4	14 13.46	2 23 43.4	16 56 46.6
37	8	5	1.6	14 41.71	2 21 11.0	16 59 19.0
38	8.9	5	19.0	14 59.10	2 15 33.1	17 4 56.9
39	9	6	15 47.0	15 17.02	2 9 7.2	17 11 22.8
40	8.9	5	16 57.0	16 37.13	2 28 24.5	16 52 5.5
41	9	5	15.1	16 55.23	2 30 24.2	16 50 5.8
42	9	2	37.5	18 7.38	2 26 36.6	16 53 53.4
43	9.0	7	21.0	17 41.36	3 4 20.0	16 16 28.0
44	8	7	0.4	18 20.87	3 37 56.5	15 42 33.5
45	7	4	29.0	19 29.00	3 53 1.4	15 27 28.6
46	9	4	7.0	20 7.00	4 25 5.5	14 55 24.5
47	9.0	7	48.1	20 8.59	3 45 8.3	15 35 21.7
48	9.0	6	14.9	20 45.15	3 41 43.1	15 38 46.9
49	8.9	6	1.0	21 31.18	3 9 27.9	16 11 2.1
50	8	5	22.4	22 2.59	3 3 34.4	16 16 55.6
51	9	6	55.6	22 25.67	2 36 52.5	16 43 37.5
52	8.9	5	12.2	22 52.43	2 40 27.5	16 40 2.5
53	9.0	6	24 6.6	23 36.64	2 17 12.6	17 3 17.4
54	8.9	3	44.3	25 4.30	2 23 47.7	16 56 42.3
55	8	3	59.2	25 19.21	2 22 7.3	16 58 22.7
56	9.0	4	29.1	25 29.10	2 25 15.8	16 55 14.2
57	8.9	4	57.4	25 57.40	2 19 15.3	17 1 14.7
58	8.9	4	16.0	26 16.00	2 17 49.3	17 2 40.7
59	7	2	30.1	27 0.01	2 14 54.0	17 5 36.0
60	9	7	9.0	26 29.25	2 29 50.2	16 50 39.8
61	9.0	7	52.2	27 12.43	2 24 42.0	16 55 48.0

Microsc. I - 7".97

Decl. = Microsc. I - 19° 20' 30"

19° r+i - 34".804 Δr - 0".004 Δi -

Hilfstafel zur Reduction auf den mittl
Ort 1850 Januar 0 D = - 16°.

T.	k	k'	d
17 50-33.91	-4	-3	- 5.7 -0.1
18 0-33.95	-3	-3	- 5.8 -0.1
10-33.98	-4	-3	- 5.9 -0.1
20-34.02	-3	-3	- 6.0 -0.0
30-34.05		-3	- 6.0

9 Fad. 6. 29".0 Fäden 58".77 und 59".

26 " 7. vielleicht 32.0 und dann T. 56

52 " 6. 22".4

59 " 3. 40.0

n.	Gr.	Fad.	Beob. Zeit.	T.	Microsc. I	Südl. Declin.
2	8	3	31.0	18 28' 50.95	2 56' 8.1	16 24' 21.9
3	8	3	44.2	29 4.15	2 57' 33.7	16 22' 56.3
4	6.7	6	13.2	28 43.50	3 16' 51.7	16 3 38.3
5	8.9	5	1.5	29 41.76	3 47' 38.3	15 32' 51.7
6	9	7	26.3	29 46.90	4 17' 4.4	15 3 25.6
7	7	4	31 2.2	31 2.20	4 10' 35.7	15 9' 54.3
8	9	4	34.5	31 34.50	4 7' 23.1	15 13' 6.9
9	8.9	5	0.5	31 40.78	4 3' 27.3	15 17' 2.7
0	9.0	6	13.5	31 43.98	4 1' 55.3	15 18' 34.7
1	9	7	59.3	32 19.93	4 27' 13.6	14 53' 16.4
2	8.9	5	19.1	32 59.41	4 19' 13.9	15 1' 16.1
3	8.9	6	38.9	33 9.25	4 27' 5.5	14 53' 24.5
4	6.7	4	37.6	34 37.60	3 41' 2.2	15 39' 27.8
5	9	5	3.8	34 44.06	3 48' 55.2	15 31' 34.8
6	8.9	4	44.5	35 44.50	3 55' 34.0	15 24' 56.0
7	9.0	4	36.2	36 36.20	2 24' 8.5	16 56' 21.5
8	9.0	4	10.2	37 10.20	2 25' 5.0	16 55' 25.0
9	9.0	6	54.0	37 24.10	2 41' 27.8	16 39' 2.2
0	9	4	38.5	38 38.50	2 22' 50.4	16 57' 39.6
1	9	4	4.1	39 4.10	2 29' 23.0	16 51' 7.0
2	6.7	2	22.6	39 52.48	2 24' 39.6	16 55' 50.4
3	8	4	40 2.2	40 2.20	2 46' 2.1	16 34' 27.9
4	9	4	47.4	40 47.40	2 56' 22.9	16 34' 7.1
5	8.9	6	41.3	41 11.60	4 1' 39.0	15 18' 51.0
5	8.9	5	4.0	41 44.29	4 7' 43.4	15 12' 46.6
7	9	4	54.5	42 54.50	3 55' 6.8	15 25' 23.2
8	9	3	18.9	43 38.74	3 59' 14.4	15 21' 15.6
9	8	7	4.5	43 25.14	4 29' 14.9	14 51' 15.1
0	8	4	44 54.6	44 54.60	3 50' 20.5	15 30' 9.5
1	8	5	31.9	45 12.15	3 44' 15.1	15 36' 14.9
2	9	5	57.8	45 37.98	3 0' 18.0	16 20' 12.0
3	9.0	5	30.0	46 10.15	2 44' 54.3	16 35' 35.7
4	8.9	6	12.5	46 42.61	2 45' 59.9	16 34' 30.1
5	5	4	26.7	47 26.70	2 47' 26.5	16 33' 3.5
6	7.8	5	59.4	47 39.56	2 48' 39.5	16 31' 50.5
7	9	5	42.0	48 22.12	2 25' 58.0	16 54' 32.0
8	7	7	26.4	48 47.00	4 17' 40.0	15 2' 50.0
9	8.9	2	9.0	50 38.57	4 22' 41.0	14 57' 49.0
0	9	5	50 46.9	50 27.16	3 49' 5.4	15 31' 24.6
1	8.9	3	23.4	51 43.26	3 49' 46.9	15 30' 43.1
2	8.9	5	17.0	51 57.22	3 26' 31.8	15 53' 58.2
3	9	6	31.0	52 1.21	3 23' 43.5	15 56' 46.5
4	9	5	14.3	52 54.47	2 55' 32.6	16 24' 57.4
5	9	5	44.8	53 24.98	3 0' 7.2	16 20' 22.8
6	8.9	4	28.0	54 28.00	2 32' 13.6	16 48' 16.4
7	9	4	46.0	54 46.00	2 17' 40.9	17 2' 49.1
8	9	7	19.0	54 39.17	2 7' 56.5	17 12' 33.5
9	8	4	58.0	55 58.00	2 14' 19.5	17 6' 10.5
0	8	2	14.4	56 44.36	2 16' 2.6	17 4' 27.4
1	8	2	39.0	57 8.90	2 15' 32.9	17 4' 57.1
2	9.0	5	22.3	57 2.42	2 25' 44.3	16 54' 45.7
3	8	5	53.5	57 33.64	2 33' 49.2	16 46' 40.8
4	6	3	28.6	58 48.55	2 53' 26.0	16 27' 4.0
5	8.9	3	51.9	59 11.76	3 42' 5.1	16 8' 24.9
6	8	4	48.0	59 48.00	3 59' 34.2	15 20' 55.8

**Hilfstafel zur Reduction auf den mittlern
Ort 1850 Januar 0 D = - 16°.**

T.	k	k'	d	d'
18 20-34.02	-3	-3	- 6.0	0.0 + 9.7
30-34.05	-3	-3	- 6.0	-0.1 + 9.7
40-34.08	-3	-4	- 6.1	0.0 + 9.7
50-34.11	-3	-4	- 6.1	-0.1 + 9.8
19 0-34.14		-4	- 6.2	+ 9.8

64	Fad. 7.	23.2
70	" 7.	23.6 Fäden 43".80 und 44".16
73	" 7.	48.6
110	" 3.	24.4
115	" 4.	11.7

N ^o .	Gr	Fad.	Beob. Zeit.	T.	Microsc. I	Südl. Declin.
117	9.0	7	0 39.0	18 59 59.52	3 53 27.6	15 27 2.4
118	9	5	1 21.2	19 1 1.46	3 49 36.8	15 30 53.2
119	9.0	6	5.5	1 35.77	3 50 43.5	15 29 46.5
120	7	3	32.7	2 52.57	4 1 30.5	15 18 59.5
121	8	5	3 38.0	3 18.26	3 45 47.4	15 34 42.6
122	9	7	4 3.2	3 23.72	3 53 30.5	15 26 59.5
123	8.9	5	5 15.8	4 56.09	4 4 44.6	15 15 45.4
124	8	5	1.3	5 41.49	3 6 9.6	16 14 20.4
125	8	5	20.7	6 0.90	3 11 35.2	16 8 54.8
126	9.0	7	37.6	5 57.96	3 3 14.2	16 17 15.8
127	9	5	19.2	6 59.39	3 6 49.5	16 13 40.5
128	7	5	43.6	7 23.81	2 59 28.3	16 21 1.7
129	8.9	1	29.3	9 9.06	3 1 54.8	16 18 35.2
130	8	1	41.5	9 21.26	3 0 33.3	16 19 56.7
131	7	1	58.2	9 37.98	3 6 51.4	16 13 38.6
132	8	2	34.0	10 3.75	3 7 32.9	16 12 57.1
133	8.9	5	36.0	10 16.21	3 14 48.0	16 5 42.0
134	7	4	11 7.9	11 7.90	3 10 1.9	16 10 28.1
135	9	7	11 50.6	11 10.82	2 24 0.4	16 56 29.6
136	9.0	6	13 5.3	12 35.56	3 46 0.2	15 34 29.8
137	9.0	4	40.0	13 40.00	4 17 23.8	15 3 6.2
138	9.0	4	14 54.5	14 54.50	4 13 21.0	15 7 9.0
139	9	5	21.7	15 1.99	4 8 46.3	15 11 43.7
140	7.8	6	6.2	15 36.39	3 14 54.3	16 5 35.7
141	9	6	36.3	16 6.41	2 44 49.6	16 35 40.4
142	9.0	7	11.0	16 31.25	2 29 40.3	16 50 49.7
143	7.8	6	47.0	17 17.05	2 19 0.2	17 1 29.8
144	7	7	54.7	17 14.89	2 13 19.6	17 7 10.4
145	7.8	4	42.4	18 42.40	2 16 6.0	17 4 24.0
146	9.0	6	24.3	18 54.41	2 44 47.8	16 35 42.2
147	9.0	7	51.2	19 11.53	2 52 25.1	16 28 4.9
148	7.8	7	12.3	19 32.57	2 35 52.9	16 44 37.1
149	8	4	47.6	20 47.60	2 31 33.8	16 48 56.2
150	9	4	13.7	21 13.70	2 37 29.3	16 43 0.7
151	7	4	22 1.2	22 1.20	3 3 47.9	16 16 42.1
152	7	4	45.4	22 45.40	2 52 13.9	16 28 16.1
153	8.9	4	13.8	23 13.80	2 38 18.4	16 42 11.6
154	8	4	55.5	23 55.50	2 13 19.9	17 7 10.1
155	9	4	37.2	24 37.20	2 42 38.2	16 37 51.8
156	9	6	58.6	24 28.71	2 45 30.3	16 34 59.7
157	8	2	25 26.5	25 56.33	2 45 9.8	16 35 20.2
158	7.8	3	25 52.3	26 12.46	2 43 1.1	16 37 28.9
159	6.7	4	26 17.0	26 17.00	2 39 3.8	16 41 26.2
160	9	5	28 13.4	27 53.75	3 18 35.9	16 1 54.1
161	9.0	7	8.7	28 29.10	3 15 16.8	16 5 13.2
162	9	7	41.6	29 1.86	2 34 5.3	16 46 24.7
163	9	7	17.5	29 37.76	2 33 41.4	16 46 48.6
164	8	6	31 39.0	31 9.01	2 5 56.4	17 14 33.6
165	8.9	5	34.4	32 14.49	2 7 40.4	17 12 49.6
166	5	6	11.7	32 41.80	2 42 45.2	16 37 44.8
167	8.9	7	23.7	32 43.99	2 43 19.1	16 37 10.9
168	9	7	34 2.3	33 22.69	3 13 8.7	16 7 21.3
1	8.9	5	56 36.7	18 56 15.21	1 38 39.9	27 44 20.1
2	9	4	35.4	57 35.40	1 37 43.6	27 45 16.4
3	3	4	8.5	58 8.50	1 29 54.7	27 53 5.3

Hülfsstafel zur Reduction auf den mittl.
Ort 1850 Januar 0 D = - 16°.

T.	k	k'	d
19 0-34.14	-3	-4	- 6.2
10-34.17	-2	-4	- 6.2
20-34.19	-2	-4	- 6.3
30-34.21	-2	-4	- 6.3
40-34.23	-2	-4	- 6.3

120 Fad. 4. 52.6
 128 „ 7. 3.5
 131 „ 3. 18.1 dupl. II. Cl. praec.
 132 „ 3. 43.8 dupl. II. Cl. seq.
 157. dupl. II. Cl. praec.
 158. Fad. 5. 32.5 Fäden 12.27 und 12.6
 160 „ 6. 23.7
 164. dupl. I. II. Cl. praec. seq. auch 8.n.

Sehr schöne Luft, nur gegen das Ende ein
unruhig.

ZONE 231. 1849 Aug. 15. W.
 NC. 18° 39' - 2' 2.87
 20 1 - 2 5.78

Nº.	Gr.	Fad.	Beob. Zeit.	T.	Microsc. I	Südl. Declin.
4	7	7	59' 22" :	^u 18 58' 39"	0 31' 35.4	28 51' 24.6
5	7.8	5	0 24.6	19 0 2.86	0 25 15.2	28 57 44.8
6	6.7	5	19.4	0 57.99	2 1 54.9	27 21 5.1
7	8	7	52.0	1 9.34	2 29 38.0	26 53 22.0
8	8.9	5	43.7	2 22.30	2 5 25.9	27 17 34.1
9	8	4	2 47.0	2 47.00	2 3 45.6	27 19 14.4
10	9	5	4 26.5	4 4.97	1 25 42.6	27 57 17.4
11	8	3	5 31.8	5 53.39	1 48 38.3	27 34 21.7
12	8.9	4	43.0	5 43.12	1 45 8.9	27 37 51.1
13	9	6	36.4	6 4.03	1 36 8.0	27 46 52.0
14	9	4	19.0	7 19.00	2 30 16.7	26 52 43.3
15	9	5	8 24.2	8 2.78	1 59 46.9	27 23 13.1
16	9	5	16.4	8 54.96	1 52 1.6	27 30 58.4
17	9	6	15.3	9 42.84	1 18 38.2	28 4 21.8
18	8.9	7	46.1	10 2.80	0 53 27.7	28 29 32.3
19	9	5	11 56.5	11 35.13	2 17 11.8	27 5 48.2
20	9	5	47.0	12 25.59	2 2 3.7	27 20 56.3
21	9	4	14 44.2	14 44.20	1 19 36.6	28 3 23.4
22	9	6	14.6	14 42.27	1 44 8.5	27 38 51.5
23	9	6	31.8	14 59.45	1 41 56.0	27 41 4.0
24	9	6	21.2	15 48.96	2 4 54.8	27 18 5.2
25	9	5	18 38.2	18 16.84	2 18 5.7	27 4 54.3
26	9	5	31.5	19 9.78	0 29 24.7	28 53 35.3
27	9	7	12.2	19 28.78	0 35 13.4	28 47 46.6
28	8	6	20 35.4	20 2.58	0 7 25.9	29 15 34.1
29	8.9	5	21 27.6	21 6.11	1 38 40.5	27 44 19.5
30	8.9	6	21 50.0	21 17.71	1 53 50.9	27 29 9.1
31	9	5	46.4	22 14.86	1 22 26.2	28 0 33.8
1	7	4	31 26.0	20 31 26.00	1 8 39.0	28 14 21.0
2	7	4	6.7	32 6.77	1 16 16.1	28 6 43.9
3	7.8	4	3.0	33 3.00	0 51 49.6	28 31 10.4
4	7.8	5	35.2	33 13.39	0 6 0.5	29 16 59.5
5	8	3	35 4.0	35 25.76	0 56 11.6	28 26 48.4
6	7.8	4	5.1	36 5.10	0 38 51.9	28 44 8.1
7	9	7	52.6	36 9.52	1 24 34.9	27 58 25.1
8	6.7	6	19.0	36 46.62	1 35 42.2	27 47 17.8
9	8.9	2	42.2	38 14.51	1 36 24.7	27 46 35.3
10	8	3	57.7	38 19.32	1 39 17.2	27 43 42.8
11	7.8	6	34.7	38 2.43	1 58 8.4	27 24 51.6
12	8	5	18.4	38 57.06	2 25 2.9	26 57 57.1
13	9	4	40 29.2	40 29.20	1 49 26.3	27 33 33.7
14	9	7	51.5	40 8.58	1 50 19.5	27 32 40.5
15	9	5	22.3	41 0.86	1 53 51.1	27 29 8.9
16	7.8	5	1.3	41 39.77	1 27 48.8	27 55 11.2
17	9	3	38.4	43 0.02	1 40 31.7	27 42 28.4
18	7	4	9.1	43 9.10	1 34 55.6	27 48 4.4
19	7.8	6	41.3	43 8.68	0 50 6.6	28 32 53.4
20	8.9	2	20.2	44 52.75	0 48 8.7	28 34 51.3
21	7	1	57.2	45 40.61	0 53 53.8	28 29 6.2
22	8	1	26.5	46 9.92	0 53 27.0	28 29 33.0
23	8	7	46 17.3	46 34.64	2 29 54.4	26 53 5.6
24	9	6	10.7	46 38.26	1 22 27.5	28 0 32.5
25	9	6	49.5	47 17.06	1 22 31.6	28 0 28.4
26	9	4	48 57.4	48 57.40	1 21 41.9	28 1 18.1
27	9	7	53.0	49 10.11	1 44 56.8	27 38 3.2

Anf. 28 1.27 + 14.6 57.4
 Ende 59.0
 Micr. I - 9".38
 Decl. = Micr. I - 29° 23' 0"
 19^u r+i - 34".863 Δr 0".000 Δi - 0".026

*Hülftafel zur Reduction auf den mittlern
 Ort 1850 Januar 0 D = - 28°.*

T.	k	k'	d	d'
^u 19 0'-33.22	-2	-4	+ 1.6	+0.1 +39.0
10-33.24	-2	-4	+ 1.7	+0.2 +38.9
20-33.26	-1	-4	+ 1.9	+0.1 +38.9
30-33.27		-4	+ 2.0	+38.9

12 Fad. 5. 4".7
 20. Zeit unsicher.
 28 Fad. 7. 46".

Sehr schöne Luft; Wolken verhinderten die Fortsetzung.

ZONE 232. 1849 Aug. 15. West.

NC. 20 ^u 1'-2' 5.78
 22 17-2 9.26
 Anf. 28 1.25 + 13.6 56.5
 21 22 57.3
 Ende 1.15 + 13.1 54.4
 Microsc. I - 9".38
 Decl. = Micr. I - 29° 23' 0"
 21^u r+i - 34".863 Δr 0".000 Δi - 0".026

*Hülftafel zur Reduction auf den mittlern
 Ort 1850 Januar 0 D = - 28°.*

T.	k	k'	d	d'
^u 20 30'-34.27	-2	-4	- 0.9	+0.2 +39.1
40-34.29	-1	-4	- 0.7	+0.1 +39.1
50-34.30		-4	- 0.6	0.0 +39.1

2 Fad. 5. 28".4
 11. dupl. III. Cl. austr.; bor. 9 : m.
 16. dupl. III. Cl. praec.; seq. 9.0 :
 19 Fad. 7. 52".0

N ^o .	Gr.	Fad.	Beob. Zeit.	T.	Microsc. I	Südl. Declin.
28	9	6	30.1	20 49' 57.97	2 27' 8.8	26° 55' 51.2
29	8.9	4	51 10.6	51 10.60	1 47 14.9	27 35 45.1
30	8.9	4	56.4	51 56.40	1 27 47.2	27 55 12.8
31	9	5	50.9	52 29.26	0 53 39.0	28 29 21.0
32	8	4	9.3	53 9.30	0 59 58.5	28 23 1.5
33	8.9	6	53 30.3	52 57.78	1 5 44.6	28 17 15.4
34	6	3	54 25.5	54 47.24	1 4 7.3	28 18 52.7
35	9	4	55 33.0	55 33.00	1 45 6.0	27 37 54.0
36	8.9	4	59.0	55 59.00	1 15 44.5	28 7 15.5
37	9.0	6	57 9.7	56 37.32	1 35 36.1	27 47 23.9
38	9.0	7	57.6	57 14.57	1 32 23.6	27 50 36.4
39	8	3	41.0	59 2.65	1 29 40.2	27 53 19.8
40	9	5	15.5	58 53.96	1 24 10.9	27 58 49.1
41	8.9	3	50.9	21 0 12.42	2 10 15.8	27 12 44.2
42	9	5	32.8	0 11.43	2 16 39.9	27 6 20.1
43	8.9	3	1 19.7	1 41.13	2 36 44.4	26 46 15.6
44	9	4	55.0	1 55.00	2 33 19.0	26 49 41.0
45	8.9	7	23.9	1 41.28	2 36 42.8	26 46 17.2
46	8.9	4	54.9	2 54.77	2 17 22.5	27 5 37.5
47	5	1	4 14.0	4 57.38	1 9 28.6	28 13 31.4
48	9	3	6 41.5	7 3.08	1 49 32.8	27 33 27.2
49	9	3	39.3	8 0.95	0 29 54.1	28 53 5.9
50	9	5	28.7	8 6.93	0 15 41.8	29 7 18.2
51	8.9	4	24.3	9 24.30	2 16 14.4	27 6 45.6
52	9	6	2.1	9 29.63	1 31 54.6	27 51 5.4
53	8.9	5	55.1	10 33.71	2 8 18.1	27 14 41.9
54	7	3	17.5	11 38.98	2 24 35.3	26 58 24.7
55	9	3	12 2.2	12 23.92	2 5 4.2	27 17 55.8
56	9	3	12 18.2	12 39.66	2 7 54.7	27 15 5.3
57	9	3	18.9	13 40.53	1 37 19.1	27 45 40.9
58	9	4	14 19.3	14 19.30	1 54 57.0	27 28 3.0
59	9	6	17 6.4	16 34.09	1 51 3.7	27 31 56.3
60	9	4	4.0	18 4.00	1 34 20.1	27 48 39.9
61	9	3	48.0	19 10.66	1 54 16.4	27 28 43.6
62	8.9	5	20 29.9	20 8.52	2 11 31.4	27 11 28.6
63	9	7	22 3.3	21 20.29	1 35 23.1	27 47 36.9
64	9	4	49.6	22 49.60	1 35 19.9	27 47 40.1
65	9	7	9.0	22 26.10	1 52 4.3	27 30 55.7
66	8.9	3	24 31.7	24 53.31	1 44 42.2	27 38 17.8
67	9	2	25 31.5	26 3.78	1 22 53.0	28 0 7.0
68	9	2	20.6	26 53.25	1 6 33.5	28 16 26.5
69	9	4	25.3	27 25.30	2 2 56.3	27 20 3.7
70	6.7	4	2.7	28 2.70	2 32 19.8	26 50 40.2
71	9	3	50.0	29 11.70	1 5 24.4	28 17 35.6
72	8.9	7	30.4	28 46.78	0 6 52.8	29 16 7.2
73	8	4	20.5	30 20.50	0 49 20.5	28 33 39.5
74	7.8	4	57.0	30 57.00	1 24 27.6	27 58 32.4
75	9	4	17.0	31 16.73	1 22 32.2	28 0 27.8
76	9	7	2.0	31 18.04	1 43 30.4	27 39 29.6
77	8	2	33 23.5	33 55.99	1 1 11.7	28 21 48.3
78	8.9	5	34 25.0	34 3.43	1 14 4.8	28 8 55.2
79	9	5	57.4	34 25.83	1 12 55.5	28 10 4.5
80	9	5	46.3	35 24.88	1 58 55.0	27 24 5.0
81	8.9	5	15.6	35 54.21	2 10 43.2	27 12 16.8
82	8	3	34.1	36 55.61	2 12 8.7	27 10 51.3

*Hilfstafel zur Reduction auf den mittl.
Ort 1850 Januar 0 D = - 28°.*

T.	k	k'	d
20 50' - 34.30	-1	-4	-0.6
21 0 - 34.31	0	-4	-0.6
10 - 34.31	-1	-4	-0.6
20 - 34.32	0	-4	-0.8
30 - 34.32	-1	-4	-1.1
40 - 34.33		-3	-1.5

- 33 Fad. 7. 41.0
 42 " 6. 43.6
 43. 45. derselbe; ein 3^{ter} Stern in der N^o ward aus Versehen nicht beobachtet, sondern statt dessen dieser zweimal.
 46 Fad. 5. 16".0
 47 " 2. 25.0
 52 " 7. 12.6
 55 " 4. 24.1 Faden 3 giebt 23".73
 56 " 4. 39.6
 61 " 4. 9.3 Fad. 5. 32".2 Faden 9".30 und 10".76; Fad. 3 war ursprünglich 49".0 gewesen, und Z. 242 N^o. 61 zeigt dies auch das richtige sei, unter dieser Annahme ist T im Mittel aus 3 u. 5 angegeben.
 67 Fad. 3. 42".0
 68 " 3. 31.7 Fäden 53".06 und 53".43
 75 " 5. 38.0 giebt 16".46

ir.	Fad.	Beob. Zeit.	T.	Microsc. I	Südl. Declin.
.9	1	54.7	21 37 37.71	2 12 19.3	27 10 40.7
.9	7	28.0	36 45.30	2 23 35.0	26 59 25.0
)	3	19.1	38 40.63	2 6 0.8	27 16 59.2
)	4	39 24.0	39 24.00	1 50 8.2	27 32 51.8
)	4	54.3	39 54.30	1 29 23.6	27 53 36.4
)	5	36.5	40 14.99	1 32 50.6	27 50 9.4
)	7	41 8.2	40 25.52	2 27 6.7	26 55 53.3
)	7	30.2	40 47.58	2 36 18.0	26 46 42.0
)	4	42 5.5	42 5.50	2 29 9.4	26 53 50.6
)	5	51.5	42 29.96	1 21 15.8	28 1 44.2
.9	4	26.8	43 26.80	1 17 14.2	28 5 45.8
)	2	52.8	44 25.18	1 22 6.3	28 0 53.7
)	4	33.6	44 33.50	1 34 41.0	27 48 19.0
)	5	45 39.7	45 18.33	2 6 28.6	27 16 31.4
)	4	26.8	46 26.94	2 2 27.6	27 20 32.4
)	5	47 44.3	47 22.75	1 19 27.6	28 3 32.4
)	6	48 49.1	48 16.66	1 23 10.6	27 59 49.4
)	7	49 41.5	48 58.51	1 39 24.5	27 43 35.5
.9	4	51 59.7	51 59.70	1 14 7.9	28 8 52.1
.6	4	52 46.7	52 46.70	0 13 20.0	29 9 40.0
)	4	53 11.5	53 11.50	0 20 56.7	29 2 3.3
)	7	11.2	53 27.86	0 46 55.0	28 36 5.0
)	4	41.6	54 41.60	1 17 51.9	28 5 8.1
)	4	9.5	55 9.50	1 36 37.6	27 46 22.4
.9	5	56 6.0	55 44.30	0 36 58.6	28 46 1.4
.8	5	59.3	56 37.52	0 13 58.0	29 9 2.0
)	5	31.9	57 9.97	0 29 2.2	28 53 57.8
.9	4	9.3	58 9.30	0 38 16.5	28 44 43.5
)	2	36.8	59 9.41	0 36 46.0	28 46 14.0
)	1	58.5	59 42.08	0 36 10.9	28 46 49.1
.8	3	22.6	59 44.38	0 30 46.6	28 52 13.4
)	3	0 38.5	22 1 0.16	1 27 23.8	27 55 36.2
.9	3	1 49.8	2 11.53	0 59 0.0	28 24 0.0
)	2	58.4	3 30.75	1 29 45.7	27 53 14.3
)	6	53.5	3 21.28	2 15 49.0	27 7 11.0
)	6	28.6	3 56.40	2 13 2.3	27 9 57.7
)	4	4.0	5 4.00	2 18 46.8	27 4 13.2
)	5	31.7	5 10.35	2 8 42.2	27 14 17.8
)	4	6 22.2	6 22.18	0 52 46.2	28 30 13.8
)	7	0 5.0	18 59 24.00	2 11 6.7	21 28 26.7
)	7	57.5	19 0 16.50	2 11 10.4	21 28 30.4
)	4	24.6	1 24.60	1 58 10.3	21 15 30.3
)	4	11.6	2 11.60	1 37 21.8	20 54 41.8
)	7	51.8	2 10.68	2 37 18.9	21 54 38.9
.9	3	21.0	3 41.54	2 52 56.2	22 10 16.2
)	3	50.6	4 11.18	3 8 40.7	22 26 0.7
.9	1	30.7	5 11.98	3 31 25.3	22 48 45.3
.8	1	5 2.8	5 43.93	3 1 15.1	22 18 35.1
)	1	28.3	6 9.44	3 2 21.2	22 19 41.2
)	6	57.6	5 26.72	2 54 13.1	22 11 33.1
.0	7	57.0	6 15.99	2 11 59.6	21 29 19.6
.0	7	10.9	6 29.90	2 11 0.3	21 28 20.3
)	4	43.0	7 43.00	1 55 35.2	21 12 55.2
)	4	59.3	7 59.30	1 55 20.1	21 12 40.1
.0	5	34.8	8 14.28	1 54 20.8	21 11 40.8

Hülftafel zur Reduction auf den mittlern Ort 1850 Januar 0 D = - 28°.				
T.	k	k'	d	d'
21 30'-34.32	-1	-4	-1.1	-0.4
40-34.33	0	-3	-1.5	-0.5
50-34.33	0	-3	-2.0	-0.7
22 0-34.33	0	-3	-2.7	-0.7
10-34.33		-3	-3.4	+39.5

83	Fad.	2.	5.7
95	"	5.	54.9
96	"	6.	50.6
97	"	5.	48.5
112	"	2.	9.5
113	"	4.	44.3
115	"	4.	11.5
117	"	7.	4.0
120	"	6.	42.6
121	"	5.	43.8

Anfangs sehr schöne Luft, gegen das Ende etwas unruhig.

ZONE 233. 1849 Aug. 17. Ost.

NC. 18 42-1 47.71
19 57-1 47.38
Anf. 27 11.88+13.2 55.0
Ende 11.97+12.8 54.2
Micr. I + 0".38
Decl. = - (Micr. I + 19° 17' 20")
19° τ + i - 34".938 $\Delta\tau$ - 0".002 Δi - 0".026

Hülftafel zur Reduction auf den mittlern Ort 1850 Januar 0 D = - 22°.				
T.	k	k'	d	d'
19 0'-34.18	-3	-4	+4.9	+0.1
10-34.21		-4	+5.0	+17.8

Nº.	Gr.	Fad.	Beob. Zeit.	T.	Microsc. I	Südl. Declin.
17	7	4	54.4	19 8' 54.40	2 2' 48.0	21 20' 8.0
18	9	4	28.4	9 28.42	2 8' 45.6	21 26' 5.6
19	8.9	3	36.2	10 56.59	1 52' 29.3	21 9' 49.3
20	9	4	12.0	11 12.00	2 9' 56.1	21 27' 16.1
21	8.9	6	50.1	11 19.17	3 9' 55.7	22 27' 15.7
22	6.7	5	33.3	12 12.69	3 23' 11.0	22 40' 31.0
23	8.9	7	13.2	12 32.03	2 47' 13.2	22 4' 33.2
24	8.9	5	51.2	13 30.57	2 38' 0.6	21 55' 20.6
25	7	4	21.8	14 21.80	1 37' 58.5	20 55' 18.5
26	9.0	5	14 50.5	14 39.98	1 46' 53.8	21 4' 13.8
27	9	5	57.3	15 36.66	2 44' 56.7	22 2' 16.7
28	8.9	6	29.6	15 58.56	3 36' 52.7	22 54' 12.7
29	8.9	7	50.1	16 8.66	3 41' 28.4	22 58' 48.4
30	7.8	7	54.5	16 13.09	3 34' 5.6	22 51' 25.6
31	7	5	38.7	17 17.95	3 26' 59.8	22 44' 19.8
32	9	7	52.0	17 10.61	3 30' 29.5	22 47' 49.5
33	9	3	18 35.8	18 56.45	3 37' 17.5	22 54' 37.5
34	9	6	19 15.9	18 45.13	2 37' 56.2	21 55' 16.2
35	9.0	6	10.5	19 39.78	2 9' 42.7	21 27' 2.7
36	8	3	21 2.6	21 23.06	2 21' 20.1	21 38' 40.1
37	8.9	3	40.8	22 1.19	1 51' 18.8	21 8' 38.8
38	7	3	22 13.4	22 33.86	2 19' 56.8	21 37' 16.8
1	8	4	29 31.0	20 29 31.00	3 40' 0.4	22 57' 50.4
2	7.8	7	28.2	29 46.19	5 26' 46.1	24 44' 36.1
3	6.7	2	18.6	31 50.04	5 1' 13.3	24 19' 3.3
4	9	5	9.0	31 48.12	4 15' 41.6	23 33' 31.6
5	8.9	4	33 38.3	33 38.30	4 22' 19.8	23 40' 9.8
6	8.9	4	58.3	33 58.30	4 14' 14.6	23 32' 4.6
7	9	7	40.0	33 58.38	4 14' 13.9	23 32' 3.9
8	8.9	4	24.8	35 24.80	4 42' 28.1	24 0' 18.1
9	9.0	4	7.3	36 7.30	4 53' 10.2	24 11' 0.2
10	9	4	48.0	36 48.00	4 59' 54.2	24 17' 44.2
11	9	5	24.6	37 3.59	5 6' 56.0	24 24' 46.0
12	9	4	58.0	37 58.00	5 2' 25.0	24 20' 15.0
13	7.8	4	2.4	38 2.36	4 58' 10.3	24 16' 0.3
14	9	7	46.5	38 4.71	4 46' 20.2	24 4' 10.2
15	8	3	15.4	39 36.21	4 43' 29.9	24 1' 19.9
16	9	4	56.5	39 56.50	4 42' 1.1	23 59' 51.1
17	9.0	6	41 48.4	41 16.98	5 11' 57.2	24 29' 47.2
18	9.0	3	43 42.4	44 3.53	5 24' 55.1	24 42' 45.1
19	8.9	5	45 1.3	44 40.22	5 28' 28.9	24 46' 18.9
20	7	7	29.0	44 47.12	5 2' 39.2	24 20' 29.2
21	9	7	10.2	45 28.75	3 41' 47.5	22 59' 37.5
22	9.0	4	48 5.6	48 5.60	5 12' 58.6	24 30' 48.6
23	7.8	3	44.4	49 5.28	5 7' 11.5	24 25' 1.5
24	9	6	22.4	48 51.20	4 56' 19.0	24 14' 9.0
25	9.0	4	2.4	50 3.32	4 51' 25.8	24 9' 15.8
26	9.0	1	51 24.3	52 5.61	3 37' 5.3	22 54' 55.3
27	9	5	13.3	51 52.47	3 59' 25.7	23 17' 15.7
28	9.0	7	28 :	51 46	4 2' 12.4	23 20' 2.4
29	8	5	28.4	53 7.54	4 9' 57.4	23 27' 47.4
30	9.0	3	9.2	54 29.77	3 36' 34.9	22 54' 24.9
31	9	3	10.3	55 31.00	3 56' 4.6	23 13' 54.6
32	9	3	56 25.7	56 46.55	4 54' 38.6	24 12' 28.6
33	9.0	7	57 27.9	56 46.32	3 47' 59.4	23 5' 49.4

**Hülftafel zur Reduction auf den mittl.
Ort 1850 Januar 0 D = - 22°.**

T.	k	k'	d
19 0-34.18	-3	-4	+ 4.9 + 0.
10-34.21	-3	-4	+ 5.0 + 0.
20-34.24	-3	-4	+ 5.2 + 0.
30-34.27		-4	+ 5.4

18 Fad. 5. 49.0

26 „ 6. 10.6 und Z. 310 N°. 146 zeigt
Fad. 5 um 10'' verschoben ist und 0.1
sen muss : darnach ist T berechnet.

34 Fad. 7. 26''.3

Die Zone wurde wegen Wolken geschlossen

ZONE 234. 1849 Aug. 18 0

NC. 20 17-1 47.70
22 17-1 50.02
Anf. 28 0.52+12.3 50.5
Ende 28 0.52+11.3 49.3
Microsc. I + 1''.66 u. + 0''.36
Decl. = - (Microsc. I + 19° 17' 50'')
21'' r+i - 35''.249 Ar 0''.000 di-

**Hülftafel zur Reduction auf den mittl.
Ort 1850 Januar 0 D = - 24°.**

T.	k	k'	d
20 30-34.69	-1	-4	+ 7.9 + 0.5
40-34.70	-2	-4	+ 8.4 + 0.5
50-34.72	-1	-4	+ 8.9 + 0.4
21 0-34.73		-4	+ 9.3

6. 7. derselbe.

13 Fad. 5. 23''.3

15 „ 4. 36.2

18 „ 5. 24.8 Fäden 3''.34 und 3''.73

24 „ 7. 33.2

25 „ 5. 24.2 Fad. 4 + 1'' corrigirt.

30 „ 4. 29.

	Fad.	Beob. Zeit.	T.	Microsc. I	Südl. Declin.
	4	58' 43.4	20 58' 43.40	4° 31' 6.7	23° 48' 56.7
	4	55.3	58 55.14	4 27 11.7	23 45 1.7
	3	0.7	21 0 20.93	5 30 26.5	24 48 16.5
	4	4.2	1 4.20	4 56 5.8	24 13 55.8
9	3	33.7	1 54.38	3 50 21.7	23 8 11.7
8	3	5.4	2 26.07	3 47 39.7	23 5 29.7
	4	3 28.5	3 28.50	4 25 38.2	23 43 28.2
9	7	4 35.6	3 53.59	5 26 0.9	24 43 50.9
8	6	5 52.0	5 20.86	4 4 55.2	23 22 45.2
9	4	27.2	6 27.20	4 12 2.4	23 29 52.4
	4	8.7	7 8.70	3 51 3.4	23 8 53.4
	4	57.4	7 57.40	4 29 57.1	23 47 47.1
	5	8 58.9	8 38.04	4 8 19.9	23 26 9.9
	6	58.1	9 26.64	5 21 19.9	24 39 9.9
	4	39.0	10 39.00	5 8 16.0	24 26 6.0
9	3	5.0	11 25.88	5 6 8.4	24 23 58.4
0	4	13 14.5	13 14.50	4 43 57.3	24 1 47.3
0	3	49.9	14 10.73	4 45 40.2	24 3 30.2
0	4	14 52.2	14 52.20	4 48 42.5	24 6 32.5
	5	19.0	14 58.32	4 0 48.6	23 18 38.6
	3	45.9	16 6.62	4 5 37.9	23 23 27.9
0	7	31.5	15 50.02	3 47 47.3	23 5 37.3
	5	17 55.2	17 34.31	4 20 9.0	23 37 59.0
	4	40.1	18 40.10	3 46 2.0	23 3 52.0
3	4	19 22.2	19 22.20	4 58 6.4	24 15 56.4
9	4	20 26.0	20 26.00	4 58 22.6	24 16 12.6
	5	23 13.7	22 52.77	4 36 3.8	23 53 53.8
0	7	45.7	23 3.95	4 39 12.9	23 57 2.9
3	3	24 2.9	24 23.60	3 59 42.9	23 17 32.9
0	7	49 :	24 7	4 13 15.7	23 31 5.7
0	4	27 34.0	27 34.00	3 51 40.9	23 9 30.9
	4	13.7	28 13.70	4 11 47.1	23 29 37.1
9	2	29 0.8	29 31.91	3 49 21.9	23 7 11.9
9	5	30 2.7	29 41.69	5 4 9.8	24 21 59.8
	7	14.3	29 32.45	4 57 27.7	24 15 17.7
0	6	5.6	30 34.35	4 31 19.6	23 49 9.6
	3	38.1	31 58.85	4 34 50.1	23 52 40.1
	6	31.0	31 59.98	3 32 32.1	22 50 22.1
0	6	28.0	32 56.98	3 33 28.7	22 51 18.7
3	5	55.7	33 34.97	3 19 1.3	22 36 51.3
3	3	41.6	35 2.39	4 33 33.5	23 51 23.5
	4	9.7	35 9.70	4 26 35.8	23 44 25.8
0	3	36 3.5	36 24.35	4 54 31.5	24 12 21.5
8	4	37 10.0	37 10.09	3 57 26.4	23 15 16.4
9	1	38 50.3	39 32.11	5 3 57.6	24 21 47.6
9	3	36.6	39 57.50	5 10 45.5	24 28 35.5
9	4	12.7	40 12.67	5 27 2.7	24 44 52.7
9	5	41 10.0	40 48.86	5 51 27.9	25 9 17.9
0	4	6.3	42 7.08	5 13 33.3	24 31 23.3
8	4	43 26.4	43 26.40	4 40 20.7	23 58 10.7
9	4	10.2	44 10.20	4 10 0.8	23 27 50.8
0	4	40.3	44 40.30	4 5 19.8	23 23 9.8
9	5	45 46.2	45 25.12	5 27 51.1	24 45 41.1
0	5	45.4	46 24.65	4 22 33.3	23 40 23.3
8	3	29.4	47 50.18	4 27 58.6	23 45 48.6

Hülftafel zur Reduction auf den mittlern Ort 1850 Januar 0 D = - 24°.

T.	k	k'	d	d'
21 0' - 34.73	-1	-4	+ 9.3	+ 0.5
10 - 34.74	-1	-4	+ 9.8	+ 0.5
20 - 34.75	0	-4	+ 10.3	+ 0.4
30 - 34.75	-1	-4	+ 10.7	+ 0.5
40 - 34.76	0	-4	+ 11.2	+ 0.4
50 - 34.76		-4	+ 11.6	+ 0.3

35 Fad. 6. 26".2 giebt 54".97
 36 „ 4. 22.2 Fäden 21".66 und 22".20
 40. dupl. II. Cl. seq.
 53 Fad. 6. 29".6 Fäden 58".17 und 58".48
 66 „ 3. 11.2
 70 „ 4. 58.8
 77 „ 5. 31.0
 78 „ 2. 0.7
 80 „ 5. 33.7
 82 „ 6. 38.5 giebt 7".08; ich vermuthe, dass Fad. 4 zweifelhaft ist, und habe ihn daher fortgelassen.
 87 Fad. 6. 56".0

N ^o .	Gr.	Fad.	Beob. Zeit.	T.	Microsc. I	Südl. Declin.
89	8.9	5	54.8	21 47' 33.84	4 42' 7.9	23° 59' 57.9
90	9.0	4	32.3	48 32.30	4 50 55.7	24 8 45.7
91	8.9	6	19.5	48 48.21	5 25 7.5	24 42 57.5
92	8	4	19.2	50 19.20	4 38 56.7	23 56 46.7
93	8	2	50 54.5	51 25.47	4 17 37.6	23 35 27.6
94	9	6	56.7	51 25.56	4 5 8.5	23 22 58.5
95	8	4	50.0	52 50.00	4 43 1.3	24 0 51.3
96	9	3	13.0	53 33.84	4 49 0.8	24 6 50.8
97	7	7	55 4.5	54 22.62	5 2 23.8	24 20 13.8
98	8	2	34.6	57 5.66	3 40 45.9	22 58 35.9
99	9.0	4	57 3.3	57 3.22	3 43 19.5	23 1 9.5
100	9	4	58 31.2	58 31.20	4 32 1.5	23 49 51.5
101	9	4	58 38.8	58 38.80	4 31 10.6	23 49 0.6
102	9	5	59 35.6	59 14.60	5 4 1.6	24 21 51.6
103	8	3	4.2	22 0 25.05	5 10 1.2	24 27 51.2
104	9	5	2 24.6	2 3.69	4 28 16.0	23 46 6.0
105	9	5	3.1	2 42.12	4 59 29.7	24 17 19.7
106	9	7	4 6.0	3 24.49	3 54 35.2	23 12 25.2
107	9	3	5 44.5	6 5.44	5 7 14.6	24 25 4.6
1	8.9	7	0 50.7	19 0 6.25	11 30 54.7	30 50 54.7
2	7	5	1 50.5	1 28.23	10 54 19.1	30 14 19.1
3	6.7	5	44.4	2 22.36	10 24 37.4	29 44 37.4
4	9	4	58.7	2 58.68	10 26 53.0	29 46 53.0
5	8.9	3	48.8	4 10.73	10 33 4.1	29 53 4.1
6	9	1	5 11.1	5 55.37	11 11 59.8	30 31 59.8
7	7.8	5	1.2	5 39.09	10 44 55.9	30 4 55.9
8	9.0	5	57.4	6 35.36	10 24 8.8	29 44 8.8
9	9	6	7 31.5	6 58.29	11 15 28.6	30 35 28.6
10	8.9	7	51.0	7 6.66	11 16 53.5	30 36 53.5
11	7	7	7 57.6	7 13.22	11 22 36.5	30 42 36.5
12	9	5	9 6.2	8 43.96	11 16 47.2	30 36 47.2
13	9.0	5	54.0	9 31.89	11 44 58.4	31 4 58.4
14	8.9	4	54.7	10 54.70	11 37 23.9	30 57 23.9
15	7	4	12 43.0	12 43.00	10 31 58.3	29 51 58.3
16	7	4	13 7.6	13 7.60	10 28 8.5	29 48 8.5
17	9	6	40.0	13 7.02	10 34 41.7	29 54 41.7
18	7.8	5	14 25.6	14 3.65	10 1 1.8	29 21 1.8
19	8.9	4	14 56.4	14 56.31	9 38 11.5	28 58 11.5
20	8.9	5	15 10.5	14 48.41	9 37 43.4	28 57 43.4
21	8.9	4	42.5	15 42.50	9 34 38.4	28 54 38.4
22	7	5	32.6	16 10.59	10 15 53.2	29 35 53.2
23	8.9	5	14.2	16 52.02	11 3 38.1	30 23 38.1
24	6	4	1.5	18 1.50	10 42 6.9	30 2 6.9
25	8.9	5	36.0	18 13.99	10 16 17.2	29 36 17.2
26	8.9	3	7.0	19 28.89	10 21 21.5	29 41 21.5
27	8	5	20.0	18 57.95	10 27 50.9	29 47 50.9
28	8	4	20 2.6	20 2.60	9 56 36.0	29 16 36.0
29	9	7	41.5	19 57.44	10 40 16.3	30 0 16.3
30	8.9	6	2.5	20 29.49	10 40 36.7	30 0 36.7
31	9	5	29.5	21 7.41	10 38 3.7	29 58 3.7
32	9	5	18.9	21 56.72	11 2 16.0	30 22 16.0
33	9	5	23 34.5	23 12.17	11 42 47.2	31 2 47.2
34	7.8	6	24 2.6	23 29.19	11 50 4.5	31 10 4.5
35	7.8	7	51.0	24 6.64	11 20 9.1	30 40 9.1
36	9	4	25 27.3	25 27.30	10 55 41.5	30 15 41.5

Hülfsstafel zur Reduction auf den mittlern Ort 1850 Januar 0 D = - 24.

T.	k	k'	d	e
21 50' - 34.76	0	-4	+11.6	+0.4
22 0 - 34.76	0	-4	+12.0	+0.4
10 - 34.76		-4	+12.4	+0.4

89 Fad. 7. 15.6
 91 " 7. 30.4 Fäden 48".03 und 48".39
 93 " 3. 4.5 Fad. 4. 25.4
 97. Zeit zweifelhaft.
 99 Fad. 6. 34".2
 103 " 4. 25.0
 105 " 6. 13.5
 107 " 4. 5.5
 Anfangs etwas unruhige Luft.

ZONE 235. 1849 Aug. 19. 00

NC. 18 46' - 1 46.77
 20 44 - 1 47.81
 Anf. 28 2.47 + 10.6 48.7
 19 42 47.0
 Ende 2.85 + 9.7 45.7
 Microsc. I + 0.81 u. + 0.10
 Decl. = - (Microsc. I + 19° 20' 0")
 20^u r+i - 35".026 Δr + 0".004 Δi - 0".004

Hülfsstafel zur Reduction auf den mittlern Ort 1850 Januar 0 D = - 30°.

T.	k	k'	d	e
19 0' - 34.19	-3	-4	+ 4.8	0.0
10 - 34.22	-3	-4	+ 4.8	0.0
20 - 34.25	-3	-4	+ 4.8	0.0
30 - 34.28		-4	+ 4.8	0.0

2 Fad. 6. 1.2
 4 " 5. 20.7
 6 " 2. 22.2
 13 " 6. 5.5 Fäden 31".66 und 32".12
 19 " 5. 18.3

Fad.	Beob. Zeit.	T.	Microsc. I	Südl. Declin.
		^u		
5	27 27.5	19 27 5.61	9 41 58.9	29 1 58.9
6	47.0	27 14.31	9 40 3.7	29 0 3.7
5	27 58.8	27 36.92	9 40 31.9	29 0 31.9
3	28 42.1	29 3.88	9 49 6.6	29 9 6.6
2	17.6	29 50.41	9 52 8.9	29 12 8.9
4	46.7	29 46.70	9 44 55.1	29 4 55.1
4	8.2	30 8.20	9 37 0.8	28 57 0.8
3	39.6	31 1.62	10 55 18.9	30 15 18.9
4	5.5	31 5.50	11 2 59.1	30 22 59.1
3	31 58.0	32 19.98	10 44 56.8	30 4 56.8
2	32 36.5	33 9.46	10 18 49.7	29 38 49.7
4	7.5	33 7.43	11 19 43.3	30 39 43.3
4	34 22.7	34 22.70	9 40 10.4	29 0 10.4
1	35 28.4	36 12.69	11 14 54.3	30 34 54.3
6	36.2	36 3.15	10 46 32.1	30 6 32.1
5	17.5	36 55.63	9 36 40.2	28 56 40.2
4	39 3.6	39 3.60	10 11 42.2	29 31 42.2
3	39 30.6	39 52.40	9 56 24.9	29 16 24.9
3	1.9	40 23.68	9 49 37.1	29 9 37.1
7	40 27.7	39 44.04	9 44 9.6	29 4 9.6
6	22.4	40 49.17	11 18 9.6	30 38 9.6
5	2.6	42 40.76	9 30 45.1	28 50 45.1
5	43 27.2	43 5.33	9 36 34.8	28 56 34.8
5	35.3	43 13.34	9 33 3.6	28 53 3.6
5	35.3	44 13.79	10 58 54.0	30 18 54.0
7	18.5	44 34.15	11 18 36.7	30 38 36.7
4	12.5	46 12.50	10 38 38.4	29 58 38.4
5	47 6.1	46 44.11	10 9 18.8	29 29 18.8
5	19.6	46 57.59	10 16 2.3	29 36 2.8
5	31.7	47 9.81	10 15 0.7	29 35 0.7
5	48 45.6	48 23.37	11 15 18.6	30 35 18.6
4	38.1	49 38.10	11 7 52.8	30 27 52.8
4	27.5	50 27.50	9 55 37.4	29 15 37.4
7	48.6	50 4.95	9 43 36.6	29 3 36.6
2	19.8	51 52.55	9 40 1.5	29 0 1.5
3	52 25.4	52 47.40	10 51 41.0	30 11 41.0
4	54 2.5	54 2.50	9 27 53.9	28 47 53.9
2	51.6	55 25.06	11 47 16.8	31 7 16.8
4	35.6	55 35.60	11 14 42.1	30 34 42.1
7	56 12.4	55 28.39	10 32 57.0	29 52 57.0
6	7.6	56 34.75	10 10 0.0	29 30 0.0
4	33.7	57 33.70	10 14 21.7	29 34 21.7
5	20.0	57 58.16	9 28 22.5	28 48 22.5
6	42.0	58 9.03	10 30 31.0	29 50 31.0
7	21.6	58 37.47	10 48 56.2	30 8 56.2
6	0 10.3	59 36.95	11 39 33.8	30 59 33.8
6	41.3	20 0 8.00	11 31 24.8	30 51 24.8
7	1 29.9	0 45.87	10 36 32.8	29 56 32.8
7	1 50.4	1 6.31	10 44 4.1	30 4 4.1
4	45.8	2 45.80	9 48 26.2	29 8 26.2
5	35.0	3 13.04	10 2 30.6	29 22 30.6
6	1.0	3 27.99	10 39 43.8	29 59 43.8
3	6 24.9	6 46.64	9 36 30.8	28 56 30.8
5	7 27.4	7 5.20	11 7 19.7	30 27 19.7
4	8 54.2	8 54.20	10 31 19.6	29 51 19.6

*Hülftafel zur Reduction auf den mittlern
Ort 1850 Januar 0 D = - 30°.*

T.	k	k'	d	d'
^u				
19 20-34.25	-3	-4	+ 4.8	0.0
30-34.28	-3	-4	+ 4.8	+0.1
40-34.31	-2	-4	+ 4.9	0.0
50-34.33	-3	-4	+ 4.9	+0.1
20 0-34.36	-2	-4	+ 5.0	0.0
10-34.38		-4	+ 5.0	+56.9

48 Fad. 5. 29.6
 50 „ 2. 39.5.
 60 „ 7. 56.8
 61 „ 6. 46.9 Fad. 5, der 13“.13 giebt, aus-
 geschlossen.
 66 Fad. 6. 42“.8
 72 „ 4. 47.4
 80 „ 7. 53.0

Nº.	Gr.	Fad.	Beob. Zeit.	T.	Microsc. I	Südl. Declin.
92	8	4	10' 40.7	20 ^u 10' 40.70	10 45' 16.2	30° 5' 16.2
93	8	5	11 56.3	11 34.43	10 16 6.7	29 36 6.7
94	8.9	5	12 7.9	11 45.88	10 19 46.6	29 39 46.6
95	7.8	6	19.7	11 46.80	10 20 7.2	29 40 7.2
96	9.0	5	13 39.0	13 17.00	10 14 1.8	29 34 1.8
97	8.9	4	16.5	14 16.50	10 17 53.9	29 37 53.9
98	8.9	3	3.6	15 25.78	11 37 32.8	30 57 32.8
99	9	5	15 56.3	15 34.13	10 59 5.7	30 19 5.7
100	8	4	16 38.1	16 38.10	11 7 48.9	30 27 48.9
101	8.9	5	16.1	16 54.02	10 35 21.2	29 55 21.2
102	9	5	17 46.3	17 24.30	10 11 40.7	29 31 40.7
103	7.8	5	18 16.0	17 54.00	10 13 47.9	29 33 47.9
104	8	4	51.0	18 51.00	9 58 36.5	29 18 36.5
105	8	4	19.9	19 19.90	9 25 48.9	28 45 48.9
106	8	5	48.6	19 26.53	10 31 59.1	29 51 59.1
107	9	3	43.6	21 5.44	10 11 37.6	29 31 37.6
108	8.9	4	22 4.6	22 4.60	10 51 17.3	30 11 17.3
109	7	5	41.0	22 18.99	10 16 54.2	29 36 54.2
110	9	2	23 13.6	23 46.38	9 46 50.3	29 6 50.3
111	8	1	23.5	24 7.05	9 46 27.3	29 6 27.3
112	9.0	6	24 31.5	23 58.37	11 46 18.4	31 6 18.4
113	7.8	5	33.6	25 11.55	10 28 8.4	29 48 8.4
114	9	7	15.0	25 31.10	10 17 38.3	29 37 38.3
115	9	6	52.1	26 19.38	9 46 40.2	29 6 40.2
116	9	7	27 39.6	26 55.02	11 48 3.1	31 8 3.1
117	9.0	7	27 59.4	27 14.86	11 43 2.5	31 3 2.5
118	8	5	29 3.1	28 41.17	9 54 13.1	29 14 13.1
119	9	5	50.4	29 28.14	11 44 1.2	31 4 1.2
120	8.9	5	30 50.9	30 29.03	9 37 26.6	28 57 26.6
121	8.9	4	35.0	31 35.00	10 4 7.6	29 24 7.6
122	8.9	5	12.7	31 50.66	10 23 43.2	29 43 43.2
123	9.0	4	57.7	32 57.70	10 20 27.4	29 40 27.4
124	8	5	33 35.2	33 13.26	9 57 57.0	29 17 57.0
125	9	7	34 21.5	33 36.95	11 44 40.8	31 4 40.8
1	8	4	0 11.1	21 0 11.10	6 56 52.1	16 13 22.1
2	8.9	3	2.2	1 22.06	7 29 8.9	16 45 38.9
3	7.8	5	2 12.2	1 52.41	5 26 56.9	14 43 26.9
4	8.9	5	40.7	2 20.90	5 36 5.0	14 52 35.0
5	8.9	4	20.7	3 20.70	5 23 46.9	14 40 16.9
6	9	2	45.9	4 15.51	5 23 4.7	14 39 34.7
7	7.8	6	27.2	3 57.59	5 48 31.7	15 5 1.7
8	8.9	6	51.5	4 21.88	5 53 42.6	15 10 12.6
9	8	5	5 23.1	5 3.30	5 43 53.6	15 0 23.6
10	8.9	5	20.0	6 0.16	5 59 15.6	15 15 45.6
11	8.9	3	6.2	7 26.01	7 4 40.5	16 21 10.5
12	9.0	5	58.8	7 38.83	7 19 32.4	16 36 2.4
13	8.9	6	18.0	7 48.15	7 25 58.6	16 42 28.6
14	9	4	4.8	9 4.80	6 26 46.2	15 43 16.2
15	8	7	32.0	8 52.41	6 10 16.8	15 26 46.8
16	9.0	6	10 16.5	9 46.96	5 21 26.2	14 37 56.2
17	9.0	4	8.9	11 8.90	6 27 44.1	15 44 14.1
18	9.0	5	12 23.5	12 3.59	6 45 59.3	16 2 29.3
19	8	3	13 26.8	13 46.56	6 30 53.6	15 47 23.6
20	9	3	53.3	14 13.06	6 27 14.4	15 43 44.4
21	8	6	32.5	14 2.67	7 20 9.0	16 36 39.0

Hülftafel zur Reduction auf den mittleren Ort 1850 Januar 0 D = - 30°.

T.	k	k'	d	t
20 ^u 10' 34.38	-2	-4	+ 5.0	+0.1
20-34.40	-2	-4	+ 5.1	+0.1
30-34.42	-2	-4	+ 5.2	+0.1
40-34.44		-4	+ 5.3	+0.1

112 Fad. 7. 43.2 Fäden 58".11 und 58".63
119 " 6. 1.6

Schöne Luft.

ZONE 236. 1849 Aug. 22. 0

NC. 20 43' - 1' 49.30
22 43 - 1 52.59

Anf. 28 2.20 + 12.9 56.3

Ende 1.94 + 11.6 52.9

Microsc. I + 2".70

Decl. = - (Microsc. I + 9° 16' 30")

22^u $\tau + i$ - 34".182 $\Delta \tau + 0".006$ $\Delta i - 0".1$

Hülftafel zur Reduction auf den mittleren Ort 1850 Januar 0 D = - 16°.

T.	k	k'	d	t
21 ^u 0' 33.74	-1	-4	+ 2.2	+0.5
10-33.75	-1	-4	+ 2.7	+0.5
20-33.76		-4	+ 3.2	+1

9 Fad. 6. 32.9

11 " 4. 26.0

Fad.	Beob. Zeit.	T.	Microsc. I	Südl. Declin.						
7	13.6	21 ^u 14' 33.99	6° 16' 53.2	15° 33' 23.2	<i>Hülftafel zur Reduction auf den mittlern Ort 1850 Januar 0 D = - 16°.</i>					
5	48.7	15 28.84	6 11 17.1	15 27 47.1						
4	42.3	16 42.22	5 11 14.1	14 27 44.1						
3	35.1	17 54.75	5 19 36.5	14 36 6.5						
6	13.7	17 44.11	5 38 50.9	14 55 20.9						
5	1.5	18 41.68	5 52 10.0	15 8 40.0	T.	k	k'	d	d'	
5	20 7.6	19 47.74	6 15 1.9	15 31 31.9	21 ^u 10' - 33.75	-1	-4	+ 2.7	+0.5	+10.3
5	41.9	20 22.04	6 12 32.6	15 29 2.6	20 - 33.76	-1	-4	+ 3.2	+0.5	+10.4
4	9.0	21 9.00	6 11 58.7	15 28 28.7	30 - 33.77	0	-4	+ 3.7	+0.5	+10.4
3	55.7	22 15.47	6 32 6.5	15 48 36.5	40 - 33.77	0	-4	+ 4.2	+0.5	+10.4
4	50.8	22 50.80	5 48 27.9	15 4 57.9	50 - 33.77	-1	-4	+ 4.7	+0.4	+10.5
4	23 0.9	23 0.90	5 40 19.0	14 56 49.0	22 0 - 33.78		-4	+ 5.1		+10.5
2	24 12.1	24 41.95	7 5 40.8	16 22 10.8						
5	3.3	24 43.14	6 35 59.1	15 52 29.1						
6	26 26.2	25 56.33	7 34 55.4	16 51 25.4	24 Fad. 5.	1.9				
6	23.2	26 53.56	6 1 8.9	15 17 38.9	26 "	7.	23.6			
5	53.3	27 33.46	5 59 25.3	15 15 55.3	27 "	6.	11.3			
3	26.7	28 46.36	5 22 25.4	14 38 55.4	35 "	6.	12.6	Fäden 43".40 und 43".88		
6	2.5	28 32.97	5 15 46.9	14 32 16.9	64 "	6.	49.6			
4	25.5	29 25.50	5 14 29.6	14 30 59.6	73 "	5.	23.5			
5	45.6	29 25.82	5 22 25.4	14 38 55.4						
4	30 34.0	30 34.00	6 18 33.1	15 35 3.1						
4	19.9	31 19.90	6 50 45.1	16 7 15.1						
4	32 58.5	32 58.50	5 47 5.1	15 3 35.1						
4	43.1	33 43.10	5 30 27.7	14 46 57.7						
4	56.9	33 56.90	5 26 28.9	14 42 58.9						
2	34 57.1	35 26.77	5 48 36.4	15 5 6.4						
2	53.4	36 23.12	6 9 37.1	15 26 7.1						
4	24.5	36 24.50	5 21 44.1	14 38 14.1						
4	9.2	37 9.20	5 22 27.5	14 38 57.5						
3	49.7	38 9.47	6 32 43.6	15 49 13.6						
3	38 17.0	38 36.85	7 24 26.7	16 40 56.7						
3	59.4	39 19.27	7 31 48.5	16 48 18.5						
5	53.6	39 33.75	6 6 2.9	15 22 32.9						
7	12.5	39 32.96	5 55 53.8	15 12 23.8						
4	57.0	40 57.00	5 35 10.2	14 51 40.2						
5	37.6	41 17.84	5 8 55.7	14 25 25.7						
4	52.0	41 52.00	5 1 0.9	14 17 30.9						
4	42 44.0	42 44.00	7 36 44.6	16 53 14.6						
2	43 47.5	44 17.07	5 21 26.6	14 37 56.6						
4	44 59.4	44 59.40	7 13 51.7	16 30 21.7						
4	46.4	45 46.40	5 37 11.9	14 53 41.9						
5	46 40.0	46 20.14	5 22 26.6	14 38 56.6						
5	43.0	47 23.09	6 41 20.2	15 57 50.2						
5	48 25.1	48 5.16	7 5 43.6	16 22 13.6						
3	48 51.6	49 11.42	7 2 59.0	16 19 29.0						
5	49.5	49 29.52	7 23 44.2	16 40 14.2						
7	50 50.6	50 10.94	6 33 36.6	15 50 6.6						
6	51 5.2	50 35.49	6 31 45.6	15 48 15.6						
4	42.6	51 42.60	6 31 26.3	15 47 56.3						
7	10.8	51 31.14	6 34 59.9	15 51 29.9						
4	53 3.6	53 3.65	5 36 33.3	14 53 3.3						
5	55.2	53 35.40	5 38 5.2	14 54 35.2						
5	12.6	53 52.78	5 46 14.1	15 2 44.1						
4	44.8	54 44.80	5 47 20.1	15 3 50.1						

No.	Gr.	Fad.	Beob. Zeit.	T.	Microsc. I	Südl. Declin.
77	8	4	55 48.3	21 55 48.30	6° 23' 59.1"	15° 40' 29.1"
78	8.9	6	39.0	56 9.16	7 21 35.5	16 38 5.5
79	8.9	6	5.2	56 35.34	7 36 37.7	16 53 7.7
80	9	4	58 9.0	58 9.00	6 19 28.1	15 35 58.1
81	7	3	17.0	58 36.75	6 21 0.5	15 37 30.5
82	5	7	59 33.0	58 53.58	5 19 21.9	14 35 51.9
83	7.8	5	0 21.0	22 0 1.17	5 56 47.9	15 13 17.9
84	9	4	7.3	1 7.30	6 6 9.2	15 22 39.2
85	9	1	35.0	2 14.51	6 34 55.9	15 51 25.9
86	8.9	4	2 39.3	2 39.21	6 27 37.4	15 44 7.4
87	9	1	4 0.6	4 39.95	5 41 27.8	14 57 57.8
88	6.7	1	14.4	4 53.71	5 39 28.6	14 55 58.6
89	9.0	5	21.4	5 1.49	6 46 10.7	16 2 40.7
90	9.0	5	4.0	5 44.02	7 25 10.7	16 41 40.7
91	7	4	7 4.0	7 4.00	7 16 11.5	16 32 41.5
92	8.9	4	10.6	7 10.60	7 10 0.1	16 26 30.1
93	8.9	2	59.6	8 29.28	5 54 25.1	15 10 55.1
94	9.0	4	36.9	8 36.90	5 48 55.2	15 5 25.2
95	8.9	5	14.0	8 54.20	5 31 0.9	14 47 30.9
96	8.9	4	38.5	9 38.50	5 39 56.9	14 56 26.9
97	9.0	5	3.6	9 43.81	5 37 52.8	14 54 22.8
98	8.9	3	54.7	11 14.41	5 58 17.6	15 14 47.6
99	9	6	11 33.6	11 3.95	6 6 54.4	15 23 24.4
100	9.0	4	12 36.3	12 36.30	6 45 33.9	16 2 3.9
101	8.9	5	13 49.6	13 29.73	6 23 51.4	15 40 21.4
102	8.9	5	14 5.6	13 45.72	6 27 8.4	15 43 38.4
103	9.0	5	57.5	14 37.63	6 20 46.9	15 37 16.9
104	7	2	20.5	15 50.25	6 25 36.8	15 42 6.8
105	8.9	4	6.2	16 6.20	7 3 55.8	16 20 25.8
106	9	7	16 41.2	16 1.36	7 26 49.7	16 43 19.7
107	9	7	26.2	16 46.47	6 54 29.5	16 10 59.5
108	8	3	53.6	18 13.50	6 50 33.4	16 7 3.4
109	8	5	49.5	18 29.62	6 26 17.6	15 42 47.6
110	9	6	26.6	18 57.02	5 36 11.1	14 52 41.1
111	9.0	4	51.0	19 51.00	5 28 30.3	14 45 0.3
112	9.0	6	38.0	20 8.68	4 33 5.4	13 49 35.4
113	9	4	36.8	21 36.80	5 11 35.5	14 28 5.5
114	9.0	7	52.5	21 13.08	5 17 34.9	14 34 4.9
115	7	4	22 48.5	22 48.50	6 4 38.4	15 21 8.4
116	8	3	9.0	23 28.76	6 3 39.4	15 20 9.4
117	9.0	6	2.2	23 32.47	6 37 37.8	15 54 7.8
118	9	7	41.3	24 1.57	6 55 3.4	16 11 33.4
119	9	5	23.7	25 3.83	6 24 47.9	15 41 17.9
120	9.0	7	49.3	25 9.65	6 30 26.9	15 46 56.9
121	8.9	3	26 38.3	26 58.14	6 36 59.7	15 53 29.7
122	9	3	26 46.8	27 6.54	6 37 58.5	15 54 28.5
123	9	2	28 16.1	28 45.73	5 32 20.9	14 48 50.9
124	9	3	9.8	29 29.64	7 13 25.4	16 29 55.4
125	9.0	3	30 20.5	30 40.29	6 44 16.1	16 0 46.1
126	8	4	8.0	31 8.01	5 34 25.2	14 50 55.2
127	8.9	5	23.4	31 3.60	5 33 52.1	14 50 22.1
128	7.8	3	8.9	32 28.62	6 3 5.9	15 19 35.9
129	8	3	35.0	32 54.73	6 6 38.6	15 23 8.6
130	9	3	10.9	33 30.56	5 21 52.0	14 38 22.0
131	8.9	4	34 11.9	34 11.85	7 7 37.3	16 24 7.3

Hülftafel zur Reduction auf den mit
Ort 1850 Januar 0 $D = -16^\circ$

T.	k	k'	d
21 50-33.77	-1	-4	+ 4.7
22 0-33.78	0	-4	+ 5.1
10-33.78	+1	-4	+ 5.6
20-33.77	0	-4	+ 6.0
30-33.77	+1	-4	+ 6.5
40-33.76		-4	+ 6.9

85	Fad. 2.	44.7
86	" 5.	59.0
88	" 2.	24.0
108	" 4.	13.6
112	" 7.	48.1
116	" 4.	28.8
121	" 4.	58.2
122	" 4.	6.5
126	" 6.	37.6
131	" 6.	41.6
132	" 5.	47.7

Gr.	Fad.	Beob. Zeit.	T.	Microsc. I	Südl. Declin.
2 8.9	4	34 28.0	22 34 27.87	7° 9' 26.2	16° 25' 56.2
1 9	7	28 52.8	20 28 11.79	2 12 19.4	21 29 39.4
2 7.8	3	29 56.0	30 16.37	2 13 30.4	21 30 50.4
3 8.9	6	30 41.8	30 10.76	2 39 18.2	21 56 38.2
4 9	3	32 0.6	32 21.14	2 51 39.0	22 8 59.0
5 9	5	38.0	32 17.41	2 27 16.7	21 44 36.7
6 9.0	6	39.4	33 8.65	2 18 21.8	21 35 41.8
7 9	5	18.1	33 57.49	2 30 53.9	21 48 13.9
8 9	4	35 10.2	35 10.20	3 32 45.9	22 50 5.9
7.8	6	45.6	35 14.54	3 41 42.9	22 59 2.9
9	4	24.4	36 24.40	2 51 7.1	22 8 27.1
8.9	4	7.4	37 7.40	2 24 12.0	21 41 32.0
9.0	6	38 7.3	37 36.59	2 6 28.8	21 23 48.8
9	6	39 35.2	39 4.26	3 11 55.1	22 29 15.1
9	4	18.5	40 18.50	3 19 59.5	22 37 19.5
9	4	40 58.5	40 58.50	2 53 36.8	22 10 56.8
8	6	38.2	41 7.56	1 53 13.6	21 10 33.6
7.8	4	42 47.1	42 47.10	2 34 35.7	21 51 55.7
9	5	39.8	43 19.09	3 11 17.9	22 28 37.9
7.8	4	15.4	44 15.40	2 30 7.2	21 47 27.2
9	7	45 56.0	45 14.69	3 13 48.7	22 31 8.7
8.9	3	21.6	46 42.21	3 22 37.1	22 39 57.1
8.9	3	49.8	47 10.46	3 23 56.0	22 41 16.0
7.8	3	48 24.5	48 45.15	3 17 13.1	22 34 33.1
8.9	3	19.6	49 40.13	2 50 21.6	22 7 41.6
9	7	52.5	49 11.29	2 54 49.5	22 12 9.5
9	7	50 49.4	50 8.27	2 37 16.5	21 54 36.5
9	2	20.5	51 51.43	2 53 53.3	22 11 13.3
9	7	52 46.4	52 4.98	3 37 5.2	22 54 25.2
9	4	54 3.5	54 3.50	2 37 43.5	21 55 3.5
8.9	2	48.8	55 19.72	2 50 10.1	22 7 30.1
8	6	26.9	54 55.94	3 15 56.3	22 33 16.3
8.9	7	0 :	55 19	2 50 10.6	22 7 30.6
8.9	3	56 49.0	57 9.48	2 29 46.8	21 47 6.8
8	4	57 41.5	57 41.50	2 15 42.7	21 33 2.7
9.0	4	58 59.6	58 59.60	2 3 54.6	21 21 14.6
9	5	25.5	59 4.93	2 12 13.7	21 29 33.7
5	4	0 31.0	21 0 31.00	2 30 22.5	21 47 42.5
8	7	13.7	0 32.46	2 59 44.4	22 17 4.4
8.9	4	1 53.3	1 53.30	3 50 24.2	23 7 44.2
7.8	3	4.2	2 24.84	3 47 39.2	23 4 59.2
8	2	3 32.8	4 3.47	1 39 28.9	20 56 48.5
8	3	15.3	4 35.76	2 20 13.4	21 37 33.4
9	4	2.2	5 2.20	2 36 40.1	21 54 0.1
9	4	50.1	5 50.10	3 23 18.9	22 40 38.9
9	5	18.0	5 57.29	3 32 9.5	22 49 29.5
8.9	3	6 46.8	7 7.48	3 51 8.9	23 8 28.9
9	1	27.6	8 8.88	3 30 41.2	22 48 1.2
9	5	11.6	7 50.95	2 46 16.7	22 3 36.7
8.9	4	42.6	8 42.60	1 30 34.4	20 47 54.4
9	4	9 39.6	9 39.60	2 35 32.9	21 52 52.9
9	4	9 57.7	9 57.70	2 35 23.0	21 52 43.0
9	2	34.3	11 5.17	2 37 6.8	21 54 26.8
9	3	46.2	11 6.70	2 37 47.5	21 55 7.5
8	7	31.8	10 50.45	3 22 26.5	22 39 46.5

ZONE 237. 1849 Aug. 25. Ost.

^u 20 18 NC. — 1' 49.14
^u 22 16 " — 1' 50.32
 Anf. 28 1.90 + 11.9 50.8
 21^u 21' 48.5
 Ende 1.85 + 10.4 48.2
 Microsc. I + 2".97 u. + 1".16
 Decl. = — (Microsc. I + 19° 17' 20")
 21^u r+i-33".975 Δr-0".004 Δi-0".032

Hülftafel zur Reduction auf den mittlern Ort 1850 Januar 0 D = - 22°.

T.	k	k'	d	d'
^u 20 30-33.41	-2	-5	+ 3.6	+0.4
40-33.43	-2	-5	+ 4.0	+0.3
50-33.45	-2	-4	+ 4.3	+0.4
21 0-33.47	-2	-4	+ 4.7	+0.3
10-33.49	-2	-4	+ 5.0	+18.3

2 Fad. 4. 16.3
 3 " 7. 52.2
 5 " 6. 48.2
 12. vielleicht Fad. 7 und dann T. 46.75
 16 Fad. 7. 48".5
 19 " 5. 36.0
 22 " 4. 10.5
 23 " 4. 45.2
 30. 32. derselbe.
 40 Fad. 4. 24".8
 44. Ein Zweifel in der Minute der Declin. ist durch eine Beobachtung 1851 Oct. 8. beseitigt.

No.	Gr.	Fad.	Beob. Zeit.	T.	Microsc. I	Südl. Declin.
55	8.9	5	5.0	21 11 44.28	3 16 14.0	22 33 34.0
56	8	4	39.4	12 39.40	3 43 38.6	23 0 58.6
57	9	5	22.3	13 1.65	2 47 41.7	22 5 1.7
58	9	6	14 25.0	13 54.32	2 0 50.1	21 18 10.1
59	9	6	48.5	14 17.81	2 2 44.2	21 20 4.2
60	5.6	1	31.2	16 12.07	2 12 1.6	21 29 21.6
61	9	3	42.6	17 3.05	2 18 2.3	21 35 22.3
62	8.9	3	21.5	17 42.06	3 1 2.9	22 18 22.9
63	9	5	3.9	17 43.24	2 52 13.3	22 9 33.3
64	7	5	45.0	18 24.41	2 21 25.8	21 38 45.8
65	9	7	11.3	18 30.41	1 47 3.8	21 4 23.8
66	8.9	5	19 54.7	19 34.21	1 37 45.8	20 55 5.8
67	7	7	20 15.1	19 34.26	1 34 21.2	20 51 41.2
68	9.0	7	22 27.8	21 46.45	3 22 39.3	22 39 59.3
69	8	2	2.7	23 33.74	3 22 39.5	22 39 59.5
70	8.9	2	24 0.1	24 30.93	2 19 29.1	21 36 49.1
71	8.9	5	2.2	24 41.69	1 45 29.2	21 2 49.2
72	9	5	30.5	25 10.01	1 39 45.2	20 57 5.2
73	8.9	7	10.2	25 29.07	2 38 57.6	21 56 17.6
74	9.0	6	33.0	26 2.18	2 39 54.3	21 57 14.3
75	9.0	6	27 46.5	27 15.51	3 26 7.1	22 43 27.1
76	9.0	4	38.7	28 38.70	3 40 31.9	22 57 51.9
77	9	7	26.6	28 45.30	3 12 26.9	22 29 46.9
78	8	6	13.7	29 43.06	1 48 57.2	21 6 17.2
79	7.8	4	12.9	31 12.90	3 5 55.1	22 23 15.1
80	8.9	3	38.3	31 58.94	3 32 33.1	22 49 53.1
81	8.9	6	32 37.0	32 6.58	1 36 48.2	20 54 8.2
82	9.0	5	34 4.6	33 44.07	1 56 59.5	21 14 19.5
83	9.0	5	35 20.4	34 59.82	2 17 18.2	21 34 38.2
84	8.9	4	36 1.6	36 1.60	2 9 38.4	21 26 58.4
85	9	7	37 17.6	36 36.57	2 17 22.6	21 34 42.6
86	9	6	57.2	37 26.24	3 16 7.9	22 33 27.9
87	8.9	4	38 49.6	38 49.60	3 52 52.8	23 10 12.8
88	9	4	41.3	39 41.30	2 10 4.2	21 27 24.2
89	9	2	40 54.0	41 25.20	4 1 49.6	23 19 9.6
90	8.9	5	49.5	41 28.76	3 23 49.3	22 41 9.3
91	9	6	59.4	42 28.57	2 41 12.1	21 58 32.1
92	9	2	28.2	43 59.08	2 39 18.3	21 56 38.3
93	9	6	45 34.0	45 3.44	1 26 14.5	20 43 34.5
94	7.8	4	58.6	45 58.60	1 25 59.7	20 43 19.7
95	8	2	47 17.2	47 47.91	1 50 34.4	21 7 54.4
96	7	5	10.0	47 49.23	2 33 33.6	21 50 53.6
97	9.0	5	59.5	48 38.75	3 31 10.9	22 48 30.9
98	9	5	50 2.4	49 41.79	2 32 32.0	21 49 52.0
99	9	7	23.5	49 42.39	2 34 7.9	21 51 27.9
100	7	4	54.7	50 54.74	2 36 31.9	21 53 51.9
101	9.0	7	52 41.0	52 0.03	2 3 49.8	21 21 9.8
102	9	7	53 48.5	53 7.61	1 46 33.6	21 3 53.6
103	9.0	6	54 54.5	54 23.48	3 31 53.0	22 49 13.0
104	9.0	7	56 20.3	55 39.02	3 8 5.9	22 25 25.9
105	7	5	42.3	56 21.59	3 12 54.9	22 30 14.9
106	8.9	6	36.0	57 4.95	3 40 45.7	22 58 5.7
107	6.7	3	59 5.8	59 26.53	3 40 48.5	22 58 8.5
108	8	4	3.5	22 0 3.50	3 2 1.2	22 19 21.2
109	9	3	34.6	0 55.18	3 7 55.1	22 25 15.1

*Hülftafel zur Reduction auf den mittlern
Ort 1850 Januar 0 D = - 22°.*

T.	k	k'	d	d'
21 10' - 33.49	-2	-4	+ 5.0	+0.3
20 - 33.51	-1	-4	+ 5.3	+0.4
30 - 33.52	-1	-4	+ 5.7	+0.4
40 - 33.53	-1	-4	+ 6.1	+0.4
50 - 33.54	-1	-4	+ 6.5	+0.5
22 0 - 33.55	0	-4	+ 7.0	+0.4
10 - 33.55		-4	+ 7.4	+18.4

60 Fad. 3. 51.6
 70 " 3. 10.5
 81 " 7. 47.6 Fäden 6".40 und 6".75
 89 " 3. 4.5
 96 " 6. 19.9
 97 " 6. 9.7
 100 " 5. 15.4
 107 " 4. 26.6
 109. 110. derselbe.

Nº.	Gr.	Fad.	Beob. Zeit.	T.	Microsc. I	Südl. Declin.
48	9	5	16.7	19 28' 55.98	3 17' 51.5	22 35' 11.5
49	8.9	7	29 45.6	29 4.36	2 59 44.8	22 17 4.8
50	9.0	6	41.0	30 10.40	1 35 16.4	20 52 36.4
51	8.9	2	23.2	31 53.86	1 36 9.0	20 53 29.0
52	9.0	7	16.2	31 35.24	2 3 26.9	21 20 46.9
53	8.9	5	53.1	32 32.58	1 53 41.4	21 11 1.4
54	9	4	25.4	33 25.40	2 36 44.9	21 54 4.9
55	9	3	34 19.1	34 39.37	2 32 38.0	21 49 58.0
56	9.0	7	35 57.1	35 15.87	2 59 36.1	22 16 56.1
57	8.9	3	37 50.7	38 11.20	2 35 46.4	21 53 6.4
58	9.0	6	39 41.0	39 10.13	2 54 12.6	22 11 32.6
59	8.9	7	24.5	39 43.54	2 2 14.8	21 19 34.8
1	9	7	57 43.3	18 57 0.53	7 33 5.6	26 51 15.6
2	8.9	4	58 44.1	58 44.10	6 10 26.7	25 28 36.7
3	8.9	7	12.4	58 30.26	5 48 26.1	25 6 36.1
4	7	5	59.6	59 38.50	5 35 11.5	24 53 21.5
5	7	5	30.5	19 0 9.33	6 0 32.6	25 18 42.6
6	8.9	5	59.9	0 38.73	6 2 49.0	25 20 59.0
7	8.9	6	37.5	1 5.48	7 28 5.9	26 46 15.9
8	8.9	7	52.0	1 9.22	7 34 30.8	26 52 40.8
9	8.9	7	17.0	1 34.30	7 22 24.7	26 40 34.7
10	8.9	7	58.5	2 15.99	6 50 41.8	26 8 51.8
11	9	7	47.5	3 5.42	5 39 4.8	24 57 14.8
12	9	5	24.6	4 3.48	5 45 24.0	25 3 34.0
13	9	7	51.7	4 9.55	5 51 4.8	25 9 14.8
14	9	7	24.5	4 42.13	6 28 39.0	25 46 49.0
15	5	2	22.9	6 54.60	6 12 32.1	25 30 42.1
16	8	3	6.6	7 27.58	5 40 29.3	24 58 39.3
17	8	4	46.2	7 46.20	6 17 51.3	25 36 1.3
18	8	4	9 12.5	9 12.50	6 53 8.7	26 11 18.7
19	8	3	40.7	10 1.92	7 2 5.8	26 20 15.8
20	8.9	3	59.5	10 20.72	7 0 11.2	26 18 21.2
21	9	5	11 12.0	10 50.69	6 47 28.8	26 5 38.8
22	9	5	39.4	11 18.08	6 51 16.0	26 9 26.0
23	8.9	4	20.0	12 20.00	6 30 8.8	25 48 18.8
24	9	5	48.3	12 27.03	6 33 39.9	25 51 49.9
25	8.9	1	13 50.3	14 32.55	6 27 0.9	25 45 10.9
26	9	5	41.4	14 19.92	7 41 35.0	26 59 45.0
27	8	7	14.6	14 32.24	6 27 0.9	25 45 10.9
28	9	5	50.7	15 29.48	6 19 48.8	25 37 58.8
29	5	3	21.6	16 42.55	5 29 47.7	24 47 57.7
30	7	4	49.6	16 49.60	5 24 10.2	24 42 20.2
31	8	2	17 29.8	18 1.84	7 18 16.1	26 36 26.1
32	9	4	17.1	18 17.10	7 46 3.1	27 4 13.1
33	9	5	19 6.4	18 44.94	7 11 13.0	26 29 23.0
34	9	5	19 11.0	18 49.49	7 11 43.5	26 29 53.5
35	8.9	5	32.2	20 10.87	6 53 40.4	26 11 50.4
36	9	5	54.4	20 33.10	6 45 26.6	26 3 36.6
37	8.9	5	21.2	20 59.89	6 48 2.1	26 6 12.1
38	9	6	40.4	21 8.60	6 40 42.2	25 58 52.2
39	8	6	8.2	21 36.46	6 26 22.3	25 44 32.3
40	8.9	7	17.5	21 35.11	6 31 8.1	25 49 18.1
41	8	5	22 42.4	22 21.14	6 32 19.9	25 50 29.9
42	9	5	37.7	23 16.55	5 56 46.9	25 14 56.9
43	8.9	3	50.0	24 11.01	5 56 25.3	25 14 35.3

**Hülftafel zur Reduction auf den mittl.
Ort 1850 Januar 0 D = -22°.**

T.	k	k'	d
19 30-34.23	-4	-5	+ 7.5
40-34.27		-5	+ 7.7

55 Fad. 4. 39''3

Von Anfang an einige schwache Streifswoll
zuletzt so stark, dass die Zone geschlos-
sen werden musste.

ZONE 239. 1849 Sept. 2. 0h.

NC. 18 48-1' 48.52	
20 48-1 51.06	
Anf. 27 11.85 + 15.5	63.0
19 38	61.6
Ende	11.89 + 14.6
Micr. I + 4''45 u. + 2''01	
Decl. = - (Micr. I + 19° 18' 10'')	
20'' τ + i - 35''077	Δτ - 0''007 Δi - 0''000

**Hülftafel zur Reduction auf den mittlern
Ort 1850 Januar 0 D = -26°.**

T.	k	k'	d
18 50-34.05	-5	-5	+ 0.7
19 0-34.10	-4	-5	+ 1.2
10-34.14	-4	-5	+ 1.7
20-34.18	-4	-5	+ 2.2
30-34.22		-5	+ 2.8

15 Fad. 3. 33''5

17. dupl. III. Cl. seq. praec. 9.0 : m.

25. 27. derselbe.

33 Fad. 7. 27''5

34 „ 7. 32.0

43 „ 4. 11.0

Fad.	Beob. Zeit.	T.	Microsc. 1	Südl. Declin.
		^u	^u	^o
3	53.7	19 24' 14.87	5 57' 22.1	25 15' 32.1
7	54.8	24 12.49	6 18 56.3	25 37 6.3
7	16.0	24 33.63	6 27 58.5	25 46 8.5
5	45.0	25 23.71	6 43 6.2	26 1 16.2
4	26 36.4	26 36.40	6 8 35.0	25 26 45.0
4	29.1	27 29.10	5 44 39.8	25 2 49.8
4	2.7	28 2.70	5 34 48.9	24 52 58.9
5	28 29.8	28 8.68	5 54 38.4	25 12 48.4
5	37.3	29 16.03	6 36 37.9	25 54 47.9
7	51.5	29 9.04	6 42 49.8	26 0 59.8
6	25.5	29 53.70	6 40 13.6	25 58 23.6
7	57.3	30 14.88	6 36 13.5	25 54 23.5
6	32 9.5	31 37.91	5 51 40.8	25 9 50.8
4	30.5	32 30.50	5 54 37.9	25 12 47.9
4	33 3.5	33 3.50	5 52 54.5	25 11 4.5
3	29.3	33 50.32	5 54 17.7	25 12 27.7
4	7.0	34 7.00	5 25 39.8	24 43 49.8
5	27.7	34 6.60	5 35 2.8	24 53 12.8
4	13.0	35 13.00	5 46 8.0	25 4 18.0
5	39.2	35 18.04	5 57 51.2	25 16 1.2
4	36 17.0	36 17.04	6 21 42.9	25 39 52.9
4	36 38.0	36 38.00	6 25 47.1	25 43 57.1
6	35.0	37 3.32	6 13 45.4	25 31 55.4
7	56.8	37 14.50	6 16 41.1	25 34 51.1
4	39 5.7	39 5.70	6 41 15.6	25 59 25.6
5	54.0	39 32.67	6 57 26.9	26 15 36.9
7	24.7	39 41.87	7 42 55.8	27 1 5.8
3	58.6	41 19.89	7 25 34.6	26 43 44.6
2	41 33.8	42 6.04	7 14 10.4	26 32 20.4
6	42 39.1	42 7.38	6 22 37.9	25 40 47.9
3	43 49.4	44 10.93	7 15 7.2	26 33 17.2
5	55.0	44 33.72	6 37 36.1	25 55 46.1
6	7.5	44 35.74	6 32 19.8	25 50 29.8
5	54.7	45 33.21	7 46 18.7	27 4 28.7
6	20.3	45 48.22	7 39 11.8	26 57 21.8
2	44.0	47 16.13	7 38 1.9	26 56 11.9
6	47 45.0	47 13.60	7 23 12.3	26 41 22.3
2	8.4	48 40.65	7 18 31.0	26 36 41.0
5	56.7	48 35.50	6 10 55.9	25 29 5.0
5	9.0	48 47.81	6 9 3.7	25 27 13.7
6	29.0	48 57.31	6 16 16.1	25 34 26.1
5	10.7	49 49.52	6 3 31.1	25 21 41.1
5	36.8	50 15.63	6 2 23.1	25 20 33.1
7	15.3	50 33.03	6 11 34.4	25 29 44.4
7	5.0	51 22.45	6 57 35.4	26 15 45.4
6	24.0	51 52.11	6 59 51.0	26 18 1.0
6	37.4	52 5.50	7 2 35.0	26 20 45.0
3	54 18.3	54 39.49	6 7 5.7	25 25 15.7
4	55 44.0	55 44.00	7 26 14.9	26 44 24.9
4	36.6	56 36.60	7 55 27.0	27 13 37.0
6	17.0	56 45.33	6 10 44.5	25 28 54.5
4	6.0	58 6.00	6 41 55.3	26 0 5.3
6	45.2	58 13.15	7 33 10.9	26 51 20.9
3	33.8	59 54.69	5 43 16.9	25 1 26.9
5	25.4	20 0 4.27	5 49 43.8	25 7 53.8

*Hülfsstafel zur Reduction auf den mittlern
Ort 1850 Januar 0 D = - 26°.*

T.	k	k'	d	d'
^u			^u	^u
19 20-34.18	-4	-5	+ 2.2	+0.6
30-34.22	-4	-5	+ 2.8	+0.5
40-34.26	-4	-5	+ 3.3	+0.6
50-34.30	-4	-5	+ 3.9	+0.6
20 0-34.34		-5	+ 4.5	+28.6
44 Fad. 4.	15.0			
51 " 6.	40.3			
64 " 7.	59.4			
72 " 3.	45.0	Fäden 5".82 und 6".26		
74 " 4.	11.2	" 10.66 und 11.20		
81 " 3.	19.6	" 40.44 und 40.87		
97 " 4.	54.6			

Nº.	Gr.	Fad.	Beob. Zeit.	T.	Microsc. I	Südl. Declin.
99	9	7	3.2	20 0 20.62	7 3 28.3	26 21 38.3
100	8.9	4	1 29.7	1 29.70	7 0 17.4	26 18 27.4
101	9	4	2 40.9	2 40.90	6 48 41.1	26 6 51.1
102	9	7	4 13.5	3 30.75	7 29 47.0	26 47 57.0
103	8.9	7	5 3.5	4 21.31	5 57 0.5	25 15 10.5
104	8.9	6	14.0	4 42.38	6 0 48.6	25 18 58.6
105	9	3	7 23.3	7 44.40	6 21 22.5	25 39 32.5
106	9	2	9 11.0	9 42.73	6 10 25.5	25 28 35.5
107	8.9	4	9 43.1	9 43.10	5 32 2.4	24 50 12.4
108	9	7	10 25.7	9 43.69	5 25 56.8	24 44 6.8
109	9	4	15.6	11 15.60	5 49 56.3	25 8 6.3
110	7	5	42.0	11 20.77	6 23 14.0	25 41 24.0
111	8	4	0.2	12 0.20	6 22 37.9	25 40 47.9
112	9.0	4	40.5	12 40.50	6 29 46.6	25 47 56.6
113	9.0	6	32.5	13 0.60	7 3 5.8	26 21 15.8
114	9	6	14 1.3	13 29.31	7 21 24.2	26 39 34.2
115	9	5	23.5	14 2.13	7 19 36.8	26 37 46.8
116	7	4	15 2.9	15 2.90	7 54 10.2	27 12 20.2
117	7	3	48.4	16 9.62	7 0 34.3	26 18 44.3
118	8.9	4	21.5	16 21.50	5 26 21.1	24 44 31.1
119	9	7	56.3	16 14.20	5 42 44.0	25 0 54.0
120	9	7	5.5	16 23.39	5 43 33.0	25 1 43.0
121	8.9	4	0.2	18 0.20	5 44 41.2	25 2 51.2
122	8.9	3	22.7	18 43.70	5 48 58.2	25 7 8.2
123	7	2	3.6	19 35.50	6 47 46.5	26 5 56.5
124	9	5	35.7	19 14.40	6 45 50.8	26 4 0.8
125	9	4	9.0	20 9.00	7 5 58.1	26 24 8.1
126	9	4	27.5	20 27.50	7 21 4.8	26 39 14.8
127	8.9	6	24.5	20 52.40	7 45 40.3	27 3 50.3
128	8.9	3	22 42.5	23 3.57	6 13 44.9	25 31 54.9
129	8.9	4	23 28.6	23 28.60	6 12 2.0	25 30 12.0
130	7	4	57.0	23 57.00	6 4 28.9	25 22 38.9
131	7	3	9.4	24 30.48	6 8 49.2	25 26 59.2
132	8	3	8.4	25 29.41	5 52 6.4	25 10 16.4
133	9	6	25 47.4	25 15.63	6 34 5.9	25 52 15.9
134	8.9	4	26 47.7	26 47.70	6 41 27.0	25 59 37.0
135	7	5	27 50.6	27 29.50	5 35 22.9	24 53 32.9
136	8	4	28.0	28 28.09	6 50 56.0	26 9 6.0
137	7	3	9.0	29 30.09	6 19 37.9	25 37 47.9
138	8.9	6	53.2	29 21.69	5 35 39.6	24 53 49.6
139	7	5	7.0	29 45.92	5 27 4.4	24 45 14.4
140	8.9	5	48.5	30 27.26	6 25 3.0	25 43 13.0
141	9.0	5	32 4.3	31 42.97	6 54 6.9	26 12 16.9
142	6.7	3	39.5	33 0.76	7 13 23.1	26 31 33.1
143	9	7	29.4	32 47.29	5 44 6.0	25 2 16.0
144	9	5	24.5	34 3.03	7 26 1.8	26 44 11.8
145	8.9	3	34 56.2	35 17.60	7 28 48.8	26 46 58.8
1	7.8	4	0 14.8	19 0 14.80	4 9 35.2	23 25 15.2
2	8.9	3	44.2	1 4.96	4 9 51.0	23 25 31.0
3	9	7	33.1	0 51.42	4 27 0.6	23 44 40.6
4	8	4	2 26.3	2 26.30	5 9 35.2	24 25 15.2
5	8.9	3	11.7	3 32.52	4 41 15.1	23 58 55.1
6	8	3	40.5	4 1.20	3 59 17.0	23 16 57.0
7	9	4	26.5	4 26.50	3 45 10.0	23 2 50.0
8	8.9	3	51.6	5 12.24	3 31 21.3	22 49 1.3

Halftafel zur Reduction auf den mit
Ort 1850 Januar 0 D = - 26°

T.	k	k'	d
21 0 - 34.34	-3	-5	+ 4.5 + 0.6 + 0.6
10 - 34.37	-4	-5	+ 5.1 + 0.6 + 0.6
20 - 34.41	-3	-5	+ 5.7 + 0.6 + 0.6
30 - 34.44	-3	-5	+ 6.3 + 0.6 + 0.6
40 - 34.47		-5	+ 6.9 + 0.6 + 0.6

104 Fad. 7. 24.6
107 " 5. 4.2
128 " 2. 31.6 zweifelhaft u. daher ausgeschl.
131 " 4. 30.5
136 " 5. 49.5
144 " 6. 35.0
145 " 4. 17.7

Sehr gute Luft; nur von 20^u bis 20^u 15' w
die Sterne blass.

ZONE 240. 1849 Sept. 4. 04
NC. 18^u 42' - 1' 48".67
20 44 - 1 51.31
Anf. 28 1.66 + 16.3 65.0
19^u 50' 63.6
Ende 1.77 + 15.4 61.2
Microsc. I + 4".90 u. + 3".38
Decl. = - (Microsc. I + 19^u 17' 40"

Fad.	Beob. Zeit.	T.	Microsc. I	Südl. Declin.	
5	51.5	19 5 30.69	3 53 22.4	23 11 2.4	20 ^u r + i - 35".298 Δr - 0".003 Δi - 0".040
3	38.1	6 58.99	5 7 59.2	24 25 39.2	<i>Hülftafel zur Reduction auf den mittlern</i>
5	7 49.0	7 27.89	5 40 29.5	24 58 9.5	<i>Ort 1850 Januar 0 D = - 24°.</i>
1	9 31.3	10 13.00	4 51 18.3	24 8 58.3	
2	10.0	10 41.32	4 31 52.8	23 49 32.8	
5	12 4.4	11 43.30	5 36 13.6	24 53 53.6	
5	29.6	12 8.57	5 10 49.3	24 28 29.3	
7	15.4	12 33.67	4 35 51.2	23 53 31.2	
4	9.7	14 9.70	4 33 54.8	23 51 34.8	
3	15 15.0	15 35.71	4 3 12.9	23 20 52.9	
4	15 52.0	15 52.00	3 33 43.6	22 51 23.6	
4	58.6	15 58.77	3 36 49.7	22 54 29.7	
5	31.0	16 10.23	3 34 3.4	22 51 43.4	
7	50 :	16 9	3 41 24.6	22 59 4.6	
7	17 52.0	17 10.61	3 30 25.0	22 48 5.0	
3	29.7	18 50.46	4 20 55.7	23 38 35.7	
7	8.5	18 26.62	5 2 36.8	24 20 16.8	
5	57.5	19 36.69	3 52 52.4	23 10 32.4	
5	51.0	20 29.97	5 13 45.7	24 31 25.7	
4	0.2	21 0.20	5 13 7.2	24 30 47.2	
7	27.6	20 45.62	5 19 48.2	24 37 28.2	
7	15.5	21 33.40	5 41 55.8	24 59 35.8	
6	36.1	22 4.56	5 35 24.7	24 53 4.7	
7	22.4	22 40.50	5 6 18.5	24 23 58.5	
5	23 50.6	23 29.67	4 35 36.3	23 53 16.3	
7	24 41.1	23 59.63	3 45 45.7	23 3 25.7	
3	29.3	25 50.06	4 21 3.8	23 38 43.8	
3	37.8	25 58.57	4 22 58.8	23 40 38.8	
5	25.7	26 4.70	4 52 59.6	24 10 39.6	
4	23.7	27 23.70	5 24 7.4	24 41 47.4	
4	3.0	28 3.00	5 34 48.5	24 52 28.5	
4	30 2.0	30 2.00	5 8 49.5	24 26 29.5	
4	45.3	30 45.30	5 13 0.4	24 30 40.4	
4	7.3	31 7.30	5 10 52.9	24 28 32.9	
4	34.0	31 34.00	5 5 36.2	24 23 16.2	
4	30.7	32 30.70	4 58 12.4	24 15 52.4	
5	33 24.6	33 3.46	5 52 53.9	25 10 33.9	
4	33 50.5	33 50.50	5 54 18.2	25 11 58.2	
5	28.3	34 7.23	5 25 39.6	24 43 19.6	
4	13.7	35 13.70	4 38 10.3	23 55 50.3	
7	37.6	34 55.84	4 40 16.1	23 57 56.1	
4	15.0	36 15.00	4 19 24.6	23 37 4.6	
6	33.0	36 1.83	4 12 41.1	23 30 21.1	
4	19.7	37 19.70	4 5 25.2	23 23 5.2	
2	38 13.8	38 45.10	4 27 0.0	23 44 40.0	
5	1.5	38 40.53	4 48 3.2	24 5 43.2	
4	59.6	39 59.60	4 10 54.6	23 28 34.6	
1	40 47.8	41 29.68	4 47 41.7	24 5 21.7	
5	42 14.3	41 53.49	3 51 40.4	23 9 20.4	
3	43 15.2	43 36.16	5 31 4.4	24 48 44.4	
2	55.6	44 26.85	4 14 39.0	23 32 19.0	
3	46.0	45 6.78	4 28 52.6	23 46 32.6	
7	8.2	44 26.58	4 14 36.0	23 32 16.0	
6	46 12.0	45 40.97	3 34 6.4	22 51 46.4	
5	5.6	46 44.61	4 59 57.9	24 17 37.9	

T.	k	k'	d	d'
19 0-34.33	-4	-6	- 2.2 + 0.6	+ 22.0
10-34.37	-4	-6	- 1.6 + 0.6	+ 22.0
20-34.41	-4	-6	- 1.0 + 0.6	+ 22.0
30-34.45	-4	-5	- 0.4 + 0.6	+ 22.0
40-34.49	-4	-5	+ 0.2 + 0.5	+ 22.1
50-34.53	-4	-5	+ 0.7	+ 22.1

1. 2. 4. Die Vergleichung mit Zone 222 und mit der Hist. Cél. zeigt, dass bei der Ablesung des Microscops für diese 3 Sterne ein Versehen vorgefallen, und die Minute alle drei Male 7 statt 9 sein soll, wonach die Declination berechnet ist.

2 Fad. 4. 5".0

12 " 2. 41.6

20 " 5. 19.7 giebt 58.93

21. Die Zeit wahrscheinlich verschrieben statt 34", und dann T. 16' 13".23; vergl. Z. 229 No. 30 und LL. 36516 und 36517.

31 Fad. 7. 46".6

37 " 6. 36.0

43 " 5. 55.0

56 " 2. 58.5 Fäden 29".48 und 29".88

59. 61. derselbe.

Nº.	Gr.	Fad.	Beob. Zeit.	T.	Microsc. I	Südl. Declin.
64	8	4	48 17.5	19 48 17.50	4 9 57.0	23 27 37.0
65	9	3	58.7	49 19.41	4 2 23.5	23 20 3.5
66	8.9	3	49 38.5	49 59.27	4 26 2.5	23 43 42.5
67	8.9	5	50 58.8	50 37.90	4 26 41.8	23 44 21.8
68	8.9	4	51 54.7	51 54.75	5 3 50.7	24 21 30.7
69	9	7	4.6	52 22.64	5 17 41.0	24 35 21.0
70	9.0	6	59.3	53 28.12	4 14 0.9	23 31 40.9
71	8	4	55 8.3	55 8.30	4 4 43.8	23 22 23.8
72	7	5	45.9	55 25.11	3 43 16.9	23 0 56.9
73	9	6	57 33.7	57 2.58	3 45 45.2	23 3 25.2
74	7.8	4	59 16.7	59 16.70	5 0 50.6	24 18 30.6
75	8	3	53.4	20 0 14.22	4 43 22.3	24 1 2.3
76	9	4	30.5	0 30.50	3 49 57.7	23 7 37.7
77	9	5	21.0	1 0.17	4 0 46.5	23 18 26.5
78	8.9	3	2 9.2	2 30.09	5 9 42.5	24 27 22.5
79	8.9	4	4.6	3 4.60	5 22 9.2	24 39 49.2
80	9	4	36.3	3 36.30	5 25 21.1	24 43 1.1
81	8.9	4	19.7	4 19.70	4 35 22.5	23 53 2.5
82	8	5	55.5	4 34.64	4 8 8.7	23 25 48.7
83	8.9	6	6 26.8	5 55.67	4 2 4.6	23 19 44.6
84	8	4	7 51.0	7 51.00	4 40 14.9	23 57 54.9
85	9	7	32.3	7 50.58	4 33 44.9	23 51 24.9
86	7.8	2	10 2.0	10 33.44	5 3 42.8	24 21 22.8
87	8.9	4	18.0	11 18.00	3 54 10.5	23 11 50.5
88	9	2	12 29.7	12 51.25	5 30 2.2	24 47 42.2
89	7	5	13 31.6	13 10.66	4 39 12.2	23 56 52.2
90	8	4	22.5	14 22.50	3 31 42.1	22 49 22.1
91	9	4	15 32.3	15 32.30	5 20 38.4	24 38 18.4
92	9	3	0.5	16 21.44	5 26 18.2	24 43 58.2
93	9.0	5	16 44.5	16 23.39	5 43 27.9	25 1 7.9
94	9.0	7	56.4	16 14.30	5 42 42.5	25 0 22.5
95	9	1	18 13.3	18 55.20	5 32 35.9	24 50 15.9
96	9	6	17.2	18 46.13	3 45 6.8	23 2 46.8
97	8.9	5	13.2	19 52.33	4 12 43.5	23 30 23.5
98	8	2	51.1	21 22.30	4 2 54.9	23 20 34.9
99	6	4	21 17.5	21 17.50	3 35 40.5	22 53 20.5
100	8.9	5	22 14.5	21 53.67	3 42 42.0	23 0 22.0
101	8.9	2	54.1	23 25.22	3 42 50.0	23 0 30.0
102	9	3	20.6	23 41.70	3 45 35.1	23 3 15.1
103	9.0	5	30.0	24 8.98	5 10 24.7	24 28 4.7
104	8.9	3	8.5	25 29.51	5 52 0.4	25 9 40.4
105	8.9	4	51.9	25 51.75	4 27 51.8	23 45 31.8
106	9	4	47.0	26 47.08	3 58 35.0	23 16 15.0
107	9.0	7	33.6	26 52.12	3 48 36.1	23 6 16.1
108	9	6	28 41.3	28 10.34	3 56 0.2	23 13 40.2
109	9.0	3	29.5	29 50.20	3 57 43.5	23 15 23.5
110	7.8	7	30 12.5	29 31.06	3 40 14.2	22 57 54.2
111	9	6	7.3	30 36.28	3 33 1.8	22 50 41.8
112	8.9	4	43.3	31 43.30	4 3 31.0	23 21 11.0
113	9.0	6	34 19.5	32 47.95	5 44 2.6	25 1 42.6
1	8	3	58 2.0	18 59 23.36	7 45 14.9	27 4 4.9
2	9	4	26.0	59 26.00	7 45 42.5	27 4 32.5
3	9.0	4	17.7	19 0 17.70	8 8 46.8	27 27 36.8
4	7	3	37.0	0 58.41	8 2 10.5	27 21 0.5
5	8	7	1 52.0	1 9.22	7 34 31.4	26 53 21.4

Hülftafel zur Reduction auf den mittleren Ort 1850 Januar 0 D = - 24.

T.	k	k'	d
19 50-34.53	-4	-5	+ 0.7
20 0-34.57	-3	-5	+ 1.2
10-34.60	-4	-5	+ 1.7
20-34.64	-3	-5	+ 2.2
30-34.67	-3	-5	+ 2.6
40-34.70	-5	-5	+ 3.0

- 68 Fad. 5. 15.8
 73 „ 7. 44.0
 86 „ 3. 12.6 Fad. 4. 33.4
 88 „ 3. 30.3 einer von beiden Fäden 10'' verschrieben; nach einer Beobachtung 1851 Oct. 12. ist 3 richtig und darauf angesetzt.
 93. 94. Zeit - 1''?
 95 Fad. 2. 23.6
 100 „ 6. 24.7
 102 „ 4. 41.7 Fad. 3, der 41.27 geschlossen.
 105 Fad. 5. 12.5
 106 „ 5. 8.0
 108 „ 7. 52.0
 113. Die Zeitminute ist nach dem Zeugnis Z. 239 N°. 143, Z. 251 N°. 7 und Z. 311 N. verlesen, und muss 33' sein, womit 1 rechnet ist.

Luft unruhig, gegen das Ende weniger.

ZONE 241. 1849 Sept. 5. 04

NC. 18 42-1 49.65
 20 51-1 51.49

1. Zeitmin. corrig. nach Z. 223 N°. 125 u. Hist. G.

	Fad.	Beob. Zeit.	T.	Microsc. I	Südl. Declin.
5		43.7	19 2 22.17	7 58 46.3	27 17 36.3
5		8.2	2 46.66	8 0 21.8	27 19 11.8
6	4	4.5	3 32.01	9 3 58.3	28 22 48.3
4		52.5	4 52.50	8 19 50.9	27 38 40.9
4		43.3	5 43.30	8 19 4.3	27 37 54.3
4		53.5	5 53.50	8 15 37.8	27 34 27.8
6	7	50.6	7 18.55	7 33 55.0	26 52 45.0
4	9	43.2	9 43.20	8 45 38.2	28 4 28.2
3	12	4.5	12 26.20	9 27 0.4	28 45 50.4
3	13	42.2	14 4.02	10 1 14.8	29 20 4.8
3	14	27.3	14 49.04	9 37 54.0	28 56 44.0
4		56.8	14 56.80	9 38 28.8	28 57 18.8
3	15	21.0	15 42.72	9 34 50.4	28 53 40.4
6	16	15.5	15 43.07	8 50 12.2	28 9 2.2
9	17	43.2	17 0.05	8 31 42.0	27 50 32.0
9.0	6	18 48.5	18 16.52	7 46 5.0	27 4 55.0
8.9	2	20 33.5	21 5.56	8 25 35.8	27 44 25.8
8.9	5	21 39.3	21 17.69	8 20 25.6	27 39 15.6
8	1	22 31.8	23 15.88	9 12 23.5	28 31 13.5
8	2	21.0	23 53.53	8 59 12.9	28 18 2.9
8.9	5	23 49.5	23 27.82	8 44 50.8	28 3 40.8
9	6	24 52.0	24 19.79	8 7 18.8	27 26 8.8
8.9	3	21.2	25 42.64	8 9 40.7	27 28 30.7
9	5	35.5	25 14.85	8 10 8.7	27 28 58.7
9.0	7	35.5	25 52.50	8 7 59.8	27 26 49.8
8.9	6	27 47.2	27 14.51	9 40 19.3	28 59 9.3
8	5	27 59.0	27 37.12	9 40 41.6	28 59 31.6
9	7	28 57.2	28 14.05	8 30 55.7	27 49 45.7
8.9	4	30 14.0	30 14.00	8 23 35.6	27 42 25.6
9	3	54.6	31 16.12	8 33 32.7	27 52 22.7
8	2	32.8	32 5.25	8 43 18.0	28 2 8.0
8.9	7	32.5	31 49.43	8 19 31.6	27 38 21.6
8.9	6	34 17.0	33 44.97	7 29 0.3	26 47 50.3
9	4	35 48.0	35 48.00	7 30 7.8	26 48 57.8
9	5	34.7	36 13.19	7 50 59.1	27 9 49.1
7	3	37 17.0	37 38.46	8 18 56.5	27 37 46.5
8.9	4	38 44.3	38 44.30	7 52 46.2	27 11 36.2
7.8	7	39 6 :	38 23	7 32 35.7	26 51 25.7
9	5	40 4.0	39 42.52	7 42 59.2	27 1 49.2
6.7	7	41 7.6	40 23.91	9 49 56.6	29 8 46.6
9	5	42 11.5	41 49.89	8 20 42.5	27 39 32.5
8.9	5	27.7	42 6.08	8 24 41.8	27 43 31.8
7.8	5	42 51.0	42 29.36	8 32 0.6	27 50 50.6
8.9	7	43 49.5	43 5.90	9 36 47.8	28 55 37.8
8.9	7	57.6	43 14.02	9 33 24.4	28 52 14.4
9	4	45 20.4	45 20.40	8 33 39.2	27 52 29.2
9	6	47 1.0	46 28.98	8 11 9.1	27 29 59.1
4	2	46.4	48 18.71	8 15 8.6	27 33 58.6
9	4	50 5.3	50 5.30	9 43 55.2	29 2 45.2
9	3	51 53.5	52 14.96	8 16 37.3	27 35 27.3
8.9	3	53 4.0	53 25.62	9 5 27.5	28 24 17.5
5	4	54 0.0	53 59.95	8 48 30.1	28 7 20.1
7.8	3	55 25.4	55 46.97	8 50 55.6	28 9 45.6
7.8	2	4.6	56 36.82	7 55 32.5	27 14 22.5
8	5	0.4	56 38.68	8 55 3.3	28 13 53.3

Anf. 28 1.20+16.4 64.0

19 49 67.1

20 9 66.0

Ende 1.29+16.1 63.4

Microsc. I + 4".17 u. + 3".41

Decl. = - (Microsc. I + 19° 18' 50")

20" $\tau+i-35''.250$ $\Delta\tau-0''.003$ $\Delta i-0''.042$

Hülftafel zur Reduction auf den mittlern
Ort 1850 Januar 0 D = - 28°.

T.	k	k'	d	d'
19 0' 34.21	-5	-6	+ 1.5	+ 0.9
10-34.26	-4	-6	+ 2.4	+ 0.8
20-34.30	-4	-6	+ 3.2	+ 0.7
30-34.34	-4	-6	+ 3.9	+ 0.6
40-34.38	-4	-6	+ 4.5	+ 0.5
50-34.42	-4	-6	+ 5.0	+ 0.4
20 0-34.46	-5	-5	+ 5.4	+ 0.3

21 Fad. 7. 59.5

24 „ 2. 43.2 Fäden 15''.11 und 15''.88, ich habe 2 als richtig angenommen.

25. Nach dem übereinstimmenden Zeugniß von LL. 36872, LC. 8139 und Taylor 8969 hat dieser Stern eine EB. in Declination von -0''.95 jährlich.

29 Fad. 6. 47''.0; ich nehme an, dass 5 um 1'' verzählt ist; vergl. Z. 394 N°. 24.

52 Fad. 7. 12''.2 Fäden 28''.77 und 29''.18

55. dupl. l. Cl ?

57 Fad. 5. 21''.6

N ^o .	Gr.	Fad.	Beob. Zeit.	T.	Microsc. I	Südl. Declin.
61	9	4	57' 58.0	19 57' 58.28	9° 28' 36.2	28° 47' 26.2
62	9	3	59 39.3	59 50.66	8 7 32.0	27 26 22.0
63	9	6	0 58.3	20 0 25.80	9 4 3.4	28 22 53.4
64	8.9	6	1 14.6	0 42.10	9 4 16.0	28 23 6.0
65	9	6	3 18.6	2 45.94	9 48 41.2	29 7 31.2
66	9	3	4 41.7	5 3.14	8 11 26.3	27 30 16.3
67	6	4	6 29.9	6 29.90	8 9 57.5	27 28 47.5
68	9	3	9 53.2	10 14.65	8 13 37.8	27 32 27.8
69	8.9	3	11 50.7	12 11.97	7 18 40.6	26 37 30.6
70	9	5	12 34.4	12 12.76	8 29 32.1	27 48 22.1
71	8.9	4	15 3.5	15 3.29	7 54 13.6	27 13 3.6
72	7	5	17 11.6	16 49.69	9 49 28.9	29 8 18.9
73	9	5	18 22.6	18 1.10	7 48 12.1	27 7 2.1
74	9	5	19 15.5	18 53.94	8 8 11.5	27 27 1.5
75	8	7	20 4.1	19 20.57	9 26 0.3	28 44 50.3
76	9	4	21 8.0	21 7.83	8 29 42.1	27 48 32.1
77	9	4	22 28.8	22 28.80	8 9 52.3	27 28 42.3
78	9	5	14.3	22 52.58	8 55 58.2	28 14 48.2
79	8.9	6	23 45.4	23 12.95	9 15 26.6	28 34 16.6
80	8	5	24 29.2	24 7.30	9 46 44.5	29 5 34.5
81	8	3	25 54.5	26 15.98	8 25 45.2	27 44 35.2
82	7.8	3	4.9	27 26.30	7 58 44.0	27 17 34.0
83	8.9	3	28 19.8	28 41.59	9 54 27.5	29 13 17.5
84	8.9	1	29 45.7	30 29.21	9 37 47.5	28 56 37.5
85	8	6	31 58.5	31 26.05	8 55 36.3	28 14 26.3
86	8	5	32 28.6	32 6.90	8 47 59.7	28 6 49.7
1	7	7	33 43.9	20 33 1.25	7 13 19.2	26 31 49.2
2	9.0	7	25.7	33 42.88	7 42 6.2	27 0 36.2
3	9	4	35 29.7	35 29.70	8 22 44.7	27 41 14.7
4	8	4	36 0.6	36 0.60	8 26 12.1	27 44 42.1
5	8.9	6	34.2	36 1.95	8 16 35.2	27 35 5.2
6	7	5	37 8.8	36 47.17	8 28 25.6	27 46 55.6
7	8	3	53.0	38 14.50	8 27 49.2	27 46 19.2
8	8.9	4	19.5	38 19.50	8 24 54.0	27 43 24.0
9	7	7	45.8	38 2.82	8 6 2.9	27 24 32.9
10	7.8	5	18.6	38 57.28	7 39 9.4	26 57 39.4
11	9	5	30.5	40 8.92	8 13 54.2	27 32 24.2
12	9	5	51.5	40 29.92	8 14 45.6	27 33 15.6
13	9	5	22.6	41 1.03	8 10 20.5	27 28 50.5
14	9	7	42 :	40 59	7 35 4.0	26 53 34.0
15	8	3	31.4	42 52.59	6 50 5.3	26 8 35.3
16	9	5	21.0	42 59.46	8 1 36.1	27 20 6.1
17	5	5	47.7	43 26.15	8 9 59.8	27 28 29.8
18	9.0	4	15.5	44 15.50	8 10 8.2	27 28 38.2
19	8.9	5	59.4	44 37.78	8 24 58.0	27 43 28.0
20	8	4	45 35.2	45 35.20	7 34 22.2	26 52 52.2
21	9.0	4	22.7	46 22.70	7 16 35.6	26 35 5.6
22	9	4	1.1	47 1.10	7 22 25.6	26 40 55.6
23	9.0	4	48 5.2	48 5.20	8 27 54.4	27 46 24.4
24	9.0	4	29.6	48 29.60	8 30 39.0	27 49 9.0
25	9.0	5	49 31.9	49 10.30	8 19 15.7	27 37 45.7
26	8.9	3	50 26.2	50 47.35	6 38 46.2	25 57 16.2
27	8.9	5	51 32.4	51 10.81	8 16 56.1	27 35 26.1
28	9	3	10.2	52 31.66	8 19 10.5	27 37 40.5
29	8.9	7	39.6	51 56.41	8 36 31.3	27 55 1.3

**Hülftafel zur Reduction auf den mittl
Ort 1850 Januar 0 D = -28°.**

T.	k	k'	d
19 50'-34.42	-4	-6	+ 5.0 +0.4 +
20 0-34.46	-4	-5	+ 5.4 +0.3 +
10-34.50	-4	-5	+ 5.7 +0.2 +
20-34.54	-3	-5	+ 5.9 +0.2 +
30-34.57	-4	-5	+ 6.1 0.0 +

61 Fad. 5. 20.4 giebt 58".57

62 " 4. 50.6

65 " 7. 29.7

71 " 5. 24.6 giebt 3".08

72 " 7. 33.0 ausgeschlossen.

76 " 5. 29.3 giebt 7".67

79 " 7. 56.5

81 " 5. 37.6

84 " 2. 56.5

Die Sterne gross und blass, wenn auch nicht besonders unruhig; bei den Sternen 9^m. u. zum Theil auch 8.9^m. musste die Beleuchtung so sehr geschwächt werden, dass die Beobachtung dadurch unsicher wurde. Auch bemerkte nach 20^u eine Streifwolke.

ZONE 242. 1849 Sept. 6. 06

NC. 20 26-1' 48.26

22 9-1 50.94

Microsc. I + 1".30

Decl. = - (Micr. I + 19° 18' 30")

Anf. 28 0.73 + 14.8 58.6

20 58 58.4

21 28 56.5

Ende 28 0.75 + 13.3 55.3

21^u r+i-35".287 Ar-0".002 Ai-0".1

**Hülftafel zur Reduction auf den mittlern
Ort 1850 Januar 0 D = -27°.**

T.	k	k'	d
20 30'-34.60	-4	-5	+ 5.2 +0.6 +
40-34.64	-3	-5	+ 5.8 +0.4 +
50-34.67	-3	-5	+ 6.2 +0.2 +
21 0-34.70	-4	-5	+ 6.4 +0.2 +

10 Fad. 6. 29.5

17 " 6. 58.4

Gr.	Fad.	Beob. Zeit.	T.	Microsc. I	Südl. Declin.
7	4	25.0	20 53 25.00	8° 9' 15.4"	27° 27' 45.4"
9	3	55 11.6	55 33.06	8 19 7.4	27 37 37.4
8.9	3	48.1	56 9.51	8 1 1.0	27 19 31.0
9.0	5	56 33.5	56 12.18	6 51 50.0	26 10 20.0
9.0	5	58 51.6	58 29.87	8 56 42.2	28 15 12.2
9.0	7	37.0	58 53.79	8 40 2.4	27 58 32.4
7	7	46.1	59 2.93	8 34 32.3	27 53 2.3
8.9	3	27.0	21 0 48.48	8 23 54.3	27 42 24.3
9.0	5	4.2	0 42.60	8 17 57.1	27 36 27.1
8.9	4	41.4	1 41.40	7 27 32.0	26 46 2.0
9	4	55.5	1 55.06	7 30 53.1	26 49 23.1
9	4	7.3	3 7.30	7 3 35.1	26 22 5.1
9.0	4	51.2	3 51.20	6 41 10.9	25 59 40.9
8.9	4	32.0	4 31.98	8 0 18.5	27 18 48.5
6	7	41.0	4 57.70	8 34 48.8	28 13 18.8
9.0	4	30.6	6 30.60	7 27 14.7	26 45 44.7
8.9	5	53.7	6 32.31	7 13 20.2	26 31 50.2
9	7	46.5	7 3.46	8 14 40.5	27 33 10.5
9	2	8 36.6	9 8.64	7 19 42.9	26 38 12.9
9	1	24.0	10 6.46	7 1 56.6	26 20 26.6
8.9	7	7.5	9 24.63	7 47 59.0	27 6 29.0
8.9	4	33.8	10 33.80	7 55 54.4	27 14 24.4
9.0	5	11 37.7	11 16.29	7 22 23.0	26 40 53.0
7	6	11.4	11 39.32	7 39 36.9	26 58 6.9
8.9	3	35.4	12 56.76	7 43 38.0	27 2 8.0
9	7	13 7.3	12 24.36	7 59 4.6	27 17 34.6
9	7	13 22.7	12 39.78	7 56 17.1	27 14 47.1
8	1	15 23.0	16 5.37	6 53 50.6	26 12 20.6
7	5	16 8.3	15 47.04	6 32 22.3	25 50 52.3
9.0	4	17 0.5	17 0.50	7 26 27.6	26 44 57.6
9.0	4	18 4.4	18 4.40	8 29 56.8	27 48 26.8
9.0	4	19 11.2	19 11.20	8 9 54.5	27 28 24.5
8.9	3	47.6	20 8.98	7 52 36.9	27 11 6.9
8.9	5	20 54.8	20 33.46	6 59 22.4	26 17 52.4
7.8	4	22 36.9	22 37.02	7 3 38.2	26 22 8.2
8	5	55.0	23 33.61	6 39 18.6	25 57 48.6
8	7	28.0	23 45.52	6 45 59.8	26 4 29.8
8.9	7	24 43.3	24 0.89	6 34 57.3	25 53 27.3
9.0	5	26 0.0	25 38.73	6 35 45.7	25 54 15.7
6	1	27 20.5	28 3.27	7 31 51.8	26 50 21.8
8	4	30 6.5	30 6.50	6 48 50.1	26 7 20.1
9	3	42.5	31 3.04	7 5 25.3	26 23 55.3
8.9	6	32 24.1	31 52.32	6 35 37.9	25 54 7.9
7	2	12.9	33 44.71	6 28 43.3	25 47 13.3
9.0	7	51.8	33 9.23	7 0 12.2	26 18 42.2
7.8	7	34 43.3	34 0.64	7 13 57.4	26 32 27.4
9	6	.0	34 45.95	7 22 17.0	26 40 47.0
9.0	7	36 0.0	35 17.29	7 23 17.7	26 41 47.7
8.9	5	37 7.6	36 46.12	7 40 34.9	26 59 4.9
8	6	28.3	36 56.14	7 52 35.6	27 10 35.6
8.9	5	59.6	37 38.09	7 51 53.2	27 10 23.2
9	4	41.2	38 41.20	7 58 12.9	27 16 42.9
9	4	24.5	39 24.50	8 13 59.8	27 32 29.8
9	5	16.5	39 54.85	8 34 49.2	27 53 19.2
9	6	47.5	40 15.17	8 31 25.6	27 49 55.6

Hülftafel zur Reduction auf den mittlern Ort 1850 Januar 0 D = - 27°.

T.	k	k'	d	d'
20 50-34.67	-3	-5	+ 6.2	+0.2
21 0-34.70	-3	-5	+ 6.4	+0.2
10-34.73	-3	-5	+ 6.6	+0.1
20-34.76	-3	-5	+ 6.7	0.0
30-34.79	-2	-5	+ 6.7	+0.1
40-34.81		-5	+ 6.8	+0.1

40 Fad. 5. 16.5 Fad. 4 ausgeschlossen.

43 „ 5. 53.5

44. Die bekannte Position dieses Sterns, 3 Piscis austr., zeigt, dass die Minute bei Microsc. I statt 34 zu lesen sei 54, wonach die Decl. und T berechnet ist.

56. Zeitsecunde zweifelhaft.

57 Fad. 6. 37".2

64 „ 5. 58.5

65 „ 6. 5.3

69 „ 2. 31.3

71 „ 5. 24.4 Fad. 3, der 3".73 giebt, ausgeschlossen.

76 Fad. 7. 28".6

79 „ 7. 39.0

Nº.	Gr.	Fad.	Beob. Zeit.	T.	Microsc. I	Südl. Declin.
85	9	3	44.6	21 42' 5.92	7 35' 5.8	26 53' 35.8
86	7	6	42 21.0	41 48.59	8 47' 7.5	28 5' 37.5
87	8.9	5	51.9	42 30.22	8 43' 3.2	28 1' 33.2
88	8.9	4	27.3	43 27.30	8 47' 3.2	28 5' 33.2
89	8.9	2	53.3	44 25.74	8 42' 9.3	28 0' 39.3
90	9	5	44 56.2	44 34.57	8 29' 30.8	27 48' 0.8
91	8.9	3	35.5	45 56.75	7 10' 35.5	26 29' 45.5
92	9	5	46 49.0	46 27.46	8 1 46.0	27 20' 16.0
93	8	3	48 10.3	48 31.50	6 54' 25.7	26 12' 55.7
94	8	4	2.4	49 2.44	7 52' 41.8	27 11' 11.8
95	9.0	7	50 21.0	49 38.01	8 7' 12.4	27 25' 42.4
96	9	2	51 3.7	51 35.65	7 8' 29.3	26 26' 59.3
97	9	3	18.2	51 39.47	7 7' 29.8	26 25' 59.8
98	8.9	3	33.0	52 54.39	7 55' 53.6	27 14' 23.6
99	9	4	53 52.7	53 52.70	6 52' 34.8	26 11' 4.8
100	7.8	3	54 48.4	55 9.89	8 27' 39.9	27 46' 9.9
101	6.7	4	56 39.0	56 39.00	8 14' 8.6	27 32' 38.6
102	9.0	5	58 38.2	58 16.78	7 23' 19.4	26 41' 49.4
1	9	3	26 45.4	19 27' 5.63	10 37' 4.4	19 54' 4.4
2	9.0	2	23.4	27 53.90	10 38' 4.9	19 55' 4.9
3	9	5	19.4	27 58.98	11 6' 22.0	20 23' 22.0
4	9	4	36.0	28 36.00	11 6' 5.2	20 23' 5.2
5	8.9	5	16.2	28 55.75	11 24' 33.2	20 41' 33.2
6	9	5	48.3	29 27.78	11 51' 32.9	21 8' 32.9
7	9	7	31.6	29 51.11	10 15' 31.5	19 32' 31.5
8	8	1	30 55.2	31 35.58	10 17' 7.1	19 34' 7.1
9	9	7	31.2	30 50.71	10 15' 40.6	19 32' 40.6
10	9	5	57.0	31 36.70	10 13' 34.7	19 30' 34.7
11	9.0	5	32 59.2	32 38.85	10 35' 49.8	19 52' 49.8
12	9	5	37.4	33 17.03	10 45' 30.2	20 2' 30.2
13	9.0	4	26.5	34 26.50	11 0' 31.6	20 17' 31.6
14	9	6	4.4	34 33.87	11 15' 31.1	20 32' 31.1
15	9	5	30.2	35 9.77	11 13' 41.4	20 30' 41.4
16	8.9	4	10.7	36 10.70	11 51' 17.6	21 8' 17.6
17	9	5	59.3	36 39.07	9 35' 55.5	18 52' 55.5
18	9	7	50.9	37 10.49	9 55' 35.6	19 12' 35.6
19	6	5	31.5	38 11.12	10 49' 59.0	20 6' 59.0
20	8.9	4	55.0	38 55.00	10 57' 25.9	20 14' 25.9
21	9	3	42.4	40 2.78	11 46' 1.0	21 3' 1.0
22	9.0	5	40 35.3	40 15.04	9 53' 19.8	19 10' 19.8
23	9	6	32.4	41 1.97	10 7' 17.5	19 24' 17.5
24	9	6	19.0	41 48.69	10 7' 59.2	19 24' 59.2
25	9	7	39.8	41 59.38	9 58' 34.7	19 15' 34.7
26	8	4	28.3	43 26.30	10 18' 17.8	19 35' 17.8
27	8.9	5	3.1	43 40.73	10 47' 21.6	20 4' 21.6
28	9.0	4	29.5	44 27.50	11 2' 50.7	20 19' 50.7
29	9.0	3	11.0	45 29.34	11 27' 38.6	20 44' 38.6
30	9.0	3	46 13.0	46 33.30	11 11' 38.9	20 28' 38.9
31	7.8	5	47 34.7	47 14.38	10 23' 54.5	19 40' 54.5
32	8.9	5	9.0	47 48.73	9 58' 58.7	19 15' 58.7
33	9.0	4	49 14.5	49 14.50	9 57' 21.7	19 14' 21.7
34	9	3	50 8.3	50 28.58	11 2' 36.1	20 19' 36.1
35	9	4	49.0	50 49.00	11 11' 58.6	20 28' 58.6
36	9	3	14.1	51 34.42	11 19' 35.7	20 36' 35.7
37	8	2	50.1	52 20.60	10 58' 41.9	20 15' 41.9

Hülftafel zur Reduction auf den mittl Ort 1850 Januar 0 D = - 27°.

T.	k	k'	d
21 40' - 34.81	-3	-5	+ 6.8 + 0.2
50 - 34.84	-2	-5	+ 7.0 + 0.3
22 0 - 34.86		-5	+ 7.3

94 Fad. 5. 24.0

96 „ 4. 35.6

97 „ 4. 39.5

98. Ein Zweifel in der Declinationsminute durch eine Beobachtung 1851 Oct. 8. besetzt

Anfangs sehr schöne Luft, seit 21^h 15' etwas ruhig, zuletzt Wolken.

ZONE 243. 1849 Sept. 8. Oct.

NC. 19 18' - 1' 47.87

21 11' - 1' 51.08

Anf. 28 1.14 + 11.5 48.4

Ende 0.97 + 9.9 43.9

Microsc. I + 1.33 u. + 1.72

Decl. = - (Microsc. I + 9° 17' 0")

20^u τ + i - 35".462 Δτ - 0".001 Δi - 0".001

Hülftafel zur Reduction auf den mittl Ort 1850 Januar 0 D = - 20°.

T.	k	k'	d
19 20' - 34.54	-5	-6	- 0.6 + 0.4
30 - 34.59	-4	-6	- 0.2 + 0.4
40 - 34.63	-4	-6	+ 0.2 + 0.4
50 - 34.67	-4	-6	+ 0.6 + 0.4

2 Fad. 3. 33.7

23 „ 7. 42.3

30 „ 5. 54.2 Fäden 33".30 und 33".77; habe den erstern allein berücksichtigt, der zweite wohl nur beobachtet ward, einen Fehler von + 2" um so sicherer constatiren der bei dem erstern entstand. Dieser Fehler ist nach Beobachtung im Oct. 1851 zwischen N^{is}. 25 und 26 entstanden, wesshalb die T der Sterne 26 um 2" vermindert sind.

37 Fad. 3. 0".3

	Gr.	Fad.	Beob. Zeit.	T.	Microsc. I	Südl. Declin.
8	8	4	37.4	19 52 37.40	9 54 50.0	19 11 50.0
9	8	1	12.8	53 53.28	10 13 37.7	19 30 37.7
0	8.9	2	54 13.4	54 44.06	11 52 14.7	21 9 14.7
1	9	2	55 15.7	55 46.04	9 55 22.1	19 12 22.1
2	8.9	1	15.6	56 55.88	9 54 35.9	19 11 35.9
3	9	2	36.6	57 6.92	9 50 50.3	19 7 50.3
4	9	3	57 18.0	57 38.36	11 40 23.8	20 57 23.8
5	9.0	3	58 17.0	58 37.37	11 42 1.5	20 59 1.5
6	8	7	46.2	58 5.62	10 37 48.1	19 54 48.1
7	8	4	12.7	59 12.70	10 42 56.1	19 59 56.1
8	9.0	5	46.2	59 26.01	10 28 43.2	19 45 43.2
9	9	7	22.5	59 41.99	10 20 37.2	19 37 37.2
0	9	4	1 27.2	20 1 27.20	10 3 5.7	19 20 5.7
1	8.9	5	58.5	1 38.20	9 29 58.9	18 46 58.9
2	7.8	6	48.8	2 18.41	10 31 56.2	19 48 56.2
3	9	5	26.1	3 5.72	10 48 37.9	20 5 37.9
4	9.0	4	59.4	3 59.40	11 1 26.2	20 18 26.2
5	9	3	19.3	4 39.56	10 55 26.6	20 12 26.6
6	8.9	3	54.2	5 14.48	11 2 58.6	20 19 58.6
7	8.9	3	40.6	6 0.93	11 24 8.2	20 41 8.2
8	9.0	5	7.6	5 47.15	11 21 58.8	20 38 58.8
9	9.0	3	7 36.3	7 56.53	10 42 40.3	19 59 40.3
0	8	5	27.5	8 7.07	11 11 30.6	20 28 30.6
1	9	7	2.5	8 21.75	11 15 32.3	20 32 32.3
2	7.8	5	28.5	9 8.08	11 7 57.3	20 24 57.3
3	9.0	5	0.5	9 40.31	10 57 41.4	20 14 41.4
4	8.9	5	49.0	10 28.61	10 52 27.3	20 9 27.3
5	8.9	4	12.0	11 12.00	10 45 12.2	20 2 12.2
6	6.7	2	11 51.6	12 22.11	10 49 47.1	20 6 47.1
7	8.9	2	12 20.4	12 50.91	10 49 35.8	20 6 35.8
8	9	7	2.2	12 21.59	10 43 36.1	20 0 36.1
9	9	3	54.0	14 14.33	11 24 59.5	20 41 59.5
0	8.9	3	15 1.2	15 21.57	11 43 13.9	21 0 13.9
1	9	5	16 5.0	15 44.54	11 25 31.5	20 42 31.5
2	9.0	7	37.7	15 56.96	11 13 22.8	20 30 22.8
3	8.9	5	11.0	16 50.57	11 12 27.4	20 29 27.4
4	9.0	4	50.2	17 50.20	10 55 6.7	20 12 6.7
5	9.0	4	18 59.4	18 59.40	11 3 14.0	20 20 14.0
6	8.9	7	38.5	18 57.89	10 44 57.1	20 1 57.1
7	9	7	20 55.9	20 15.56	9 37 31.5	18 54 31.5
8	7	3	21 32.3	21 52.42	9 47 39.5	19 4 39.5
9	8	4	21 51.0	21 51.00	9 47 49.2	19 4 49.2
0	8.9	4	22 58.2	22 58.24	10 20 26.8	19 37 26.8
1	8.9	4	42.0	24 42.00	11 17 14.7	20 34 14.7
2	9	7	9.5	24 28.77	11 11 4.9	20 28 4.9
3	8	4	25 47.5	25 47.50	11 45 31.4	21 2 31.4
4	8.9	6	37.8	26 7.42	10 30 45.1	19 47 45.1
5	8	6	54.8	26 24.40	10 37 19.4	19 54 19.4
6	9	5	41.4	27 11.09	10 19 22.2	19 36 22.2
7	8.9	5	1.5	27 41.19	10 18 54.8	19 35 54.8
8	9	6	20 9.5	28 39.01	11 3 32.3	20 20 32.3
9	8.9	4	18.5	29 17.89	11 4 52.0	20 21 52.0
0	9	6	30 44.5	30 14.06	10 47 44.6	20 4 44.6
1	8.9	4	30.0	31 30.00	10 54 36.0	20 11 36.0
2	8	7	54 :	31 14	10 31 2.6	19 48 2.6

Hülftafel zur Reduction auf den mittlern Ort 1850 Januar 0 D = - 20°.

T.	k	k'	d	d'
19 50-34.67	-4	-6	+ 0.6	+0.4 +14.6
20 0-34.71	-4	-6	+ 1.0	+0.4 +14.7
10-34.75	-4	-6	+ 1.4	+0.4 +14.7
20-34.79	-4	-6	+ 1.8	+0.4 +14.7
30-34.72	-4	-6	+ 2.2	+0.4 +14.7

39 Fad. 2. 23.0

40 „ 4. 44.0

46. Ein Zweifel in der Minute des Microscops ist durch eine Beobachtung 1851 Oct. 12 beseitigt.

48 Fad. 7. 6''7

51 „ 6. 8.3

59 „ 4. 56.5

63 „ 6. 11.0 Fäden 40''10 und 40''53

69. dupl. III. Cl. seq.; praec. 10 : m.

72. Zeit zweifelhaft.

80 Fad. 5. 18''6

89 „ 5. 38.3 Faden 4. ausgeschlossen.

Nr.	Gr.	Fad.	Beob. Zeit.	T.	Microsc. I	Südl. Declin.
93	8	3	28.7	20 32' 48.86	10 1' 10.8	19 18' 10.8
94	9	7	15.1	32 34.72	9 47 32.4	19 4 32.4
95	8.9	3	56.3	34 16.43	9 50 35.0	19 7 35.0
96	8.9	4	56.0	34 56.00	10 44 8.9	20 1 8.9
97	9	4	24.5	35 25.50	10 43 55.7	20 0 55.7
98	7	4	53.5	35 54.50	10 35 40.9	19 52 40.9
99	9	3	36 15.2	36 35.44	10 17 57.8	19 34 57.8
100	9	4	37 31.4	37 31.40	10 18 39.1	19 35 39.1
101	8.9	4	38 6.6	38 6.60	10 23 47.0	19 40 47.0
102	8.9	7	38 27.7	37 47.17	10 25 41.2	10 42 41.2
103	8	7	18.0	38 37.40	10 41 47.6	19 58 47.6
104	9	3	40 22.4	40 42.64	10 44 42.9	20 1 42.9
105	9	6	41 21.5	40 50.84	11 52 53.3	21 9 53.3
106	8.9	6	41 39.4	41 8.74	11 53 8.2	21 10 8.2
107	9	3	42 45.5	43 5.74	10 51 38.4	20 8 38.4
108	7	2	45.3	44 15.79	10 55 4.5	20 12 4.5
109	8	4	27.6	44 27.60	10 48 16.2	20 5 16.2
110	9.0	6	7.2	44 36.75	10 50 42.5	20 7 42.5
111	7	3	47.8	46 7.99	10 16 35.2	19 33 35.2
112	7	7	14.3	45 33.78	10 23 34.9	19 40 34.9
113	7	4	48.7	46 48.70	10 4 38.6	19 21 38.6
114	8.9	6	5.1	46 34.79	10 7 55.0	19 24 55.0
115	9.0	4	29.5	47 29.50	10 13 41.9	19 30 41.9
116	8.9	4	7.3	48 7.30	10 19 11.3	19 36 11.3
117	9.0	7	25.8	47 45.30	10 18 35.5	19 35 35.5
118	9	3	11.5	49 31.68	10 12 37.9	19 29 37.9
119	8.9	5	36.5	49 16.22	10 4 25.6	19 21 25.6
120	8.9	5	3.0	49 42.73	9 59 37.3	19 16 37.3
121	8	2	50 36.0	51 6.43	10 12 25.1	19 29 25.1
122	6	3	17.9	51 38.09	10 19 49.8	19 36 49.8
123	9	5	52 23.2	52 2.76	11 16 28.1	20 33 28.1
124	8	4	55.2	52 55.20	11 12 52.2	20 29 52.2
125	9	4	53 30.2	53 30.20	10 13 2.3	19 30 2.3
126	9	5	21.5	54 1.16	10 32 50.2	19 49 50.2
127	7	4	48.1	54 48.10	10 33 7.3	19 50 7.3
128	8.9	3	50.1	55 10.31	10 37 15.6	19 54 15.6
129	8.9	5	42.4	55 21.99	11 1 36.5	20 18 36.5
130	8	4	53.2	55 53.20	10 55 23.9	20 12 23.9
131	9.0	6	35.3	56 4.83	10 58 14.7	20 15 14.7
132	4	7	57 6.5	56 25.78	11 9 34.7	20 26 34.7
133	7	2	58 12.7	58 43.34	11 29 29.0	20 46 29.0
134	8.9	2	31.4	59 2.02	11 22 43.5	20 39 43.5
135	8.9	4	20.4	59 20.40	11 48 48.7	21 5 48.7
136	8.9	4	51.6	59 51.60	11 20 57.5	20 37 57.5
137	9	6	36.3	21 0 5.95	10 18 7.5	19 35 7.5
138	9	7	47.5	0 7.01	10 14 32.4	19 31 32.4
139	8	7	36.4	0 55.96	10 2 50.7	19 19 50.7
140	8	3	19.5	2 39.61	9 39 21.6	18 56 21.6
141	8.9	5	49.5	2 29.25	9 47 0.6	19 4 0.6
142	9	2	40.8	4 11.07	9 32 4.6	18 49 4.6
143	8	5	4 25.6	4 5.11	11 39 22.0	20 56 22.0
1	8.9	5	27 6.6	19 26 46.35	9 48 19.9	19 4 59.9
2	8.9	3	28 17.3	28 37.26	8 22 56.1	17 39 36.1
3	9	2	44.4	29 14.43	8 13 9.3	17 29 49.3
4	9.0	5	22.0	29 2.02	7 29 57.4	16 46 37.4

Hälftafel zur Reduction auf den mittleren Ort 1850 Januar 0 D = - 20.

T.	k	k'	d	t
20 30' - 34.82	-4	-6	+ 2.2	+0.4
40 - 34.86	-3	-5	+ 2.6	+0.3
50 - 34.89	-3	-5	+ 2.9	+0.4
21 0 - 34.92	-3	-5	+ 3.3	+0.4
10 - 34.95		-5	+ 3.7	+0.4

99 Fad. 5. 55'' 8 Ein Fehler von -1''
der bei diesem Sterne entdeckt wrl,
nach dem Zeugniß der Beobachtungen
Oct. 12. zwischen 96 und 97 begangen w
den, wesshalb die T von 97 und 98 m
vermehrt worden sind.

107 Fad. 5. 26'' 0

108 „ 3. 55.5

121 „ 3. 46.3

128 „ 4. 10.3

132. Zeit zweifelhaft.

134 Fad. 3. 41'' 7

Anfangs ziemlich gute Luft; seit 20' 30'
aber fing sie an, unruhig zu werden;
Unruhe nahm bis 20' 50' zu, wo die
besonders gross und blass waren;
wieder besser.

ZONE 244. 1849 Sept. 9.

NC. 19 18' - 1 51.03
21 12 - 1 53.65

Fad.	Beob. Zeit.	T.	Microsc. I	Südl. Declin.
7	51.0	19 29' 11.16	7 25' 16.3	16 41' 56.3
7	18.7	29 38.85	7 30' 21.6	16 47' 1.6
3	50.0	31 9.91	7 57' 58.8	17 14' 38.8
4	31 55.9	31 55.90	8 31' 15.0	17 47' 55.0
5	29.3	32 9.15	8 57' 3.4	18 13' 43.4
4	33 42.4	33 42.40	7 43' 17.4	16 59' 57.4
3	23.8	34 43.86	9 15' 58.9	18 32' 38.9
7	35 29.5	34 49.17	9 35' 33.9	18 52' 13.9
5	36 47.0	36 26.91	8 28' 28.9	17 45' 8.9
5	7.2	36 47.11	8 30' 38.7	17 47' 18.7
5	30.3	37 10.20	8 33' 54.0	17 50' 34.0
4	11.9	38 11.90	9 6' 25.4	18 23' 5.4
7	59.9	38 19.66	9 13' 52.0	18 30' 32.0
4	46.5	39 46.50	9 6' 5.9	18 22' 45.9
7	26.4	39 46.10	9 29' 14.7	18 45' 54.7
3	41 34.7	41 54.68	8 30' 54.9	17 47' 34.9
7	42 48 :	42 8	9 2' 41.6	18 19' 21.6
4	42.5	43 42.50	8 22' 1.4	17 38' 41.4
4	8.6	44 8.60	8 20' 28.4	17 37' 8.4
3	58.7	45 18.73	9 0' 43.7	18 17' 23.7
3	45.7	46 5.68	8 31' 11.2	17 47' 51.2
4	46 53.9	46 53.90	8 9' 40.5	17 26' 20.5
4	34.5	47 34.50	8 40' 16.6	17 56' 56.6
1	3.3	48 43.34	8 51' 32.9	18 8' 12.9
4	36.4	48 36.40	9 2' 8.0	18 18' 48.0
6	13.0	48 42.83	9 21' 37.6	18 38' 17.6
7	33.2	48 52.90	9 28' 34.4	18 45' 14.4
4	58.0	49 58.00	9 24' 19.0	18 40' 59.0
3	50 8.5	50 28.65	9 30' 3.9	18 46' 43.9
5	51 18.7	50 58.54	9 4' 51.0	18 21' 31.0
4	52 41.0	52 41.00	9 4' 58.0	18 21' 38.0
7	17.6	52 37.31	9 24' 54.5	18 41' 34.5
6	19.2	53 49.15	8 40' 55.0	17 57' 35.0
3	44.4	55 4.37	8 29' 0.0	17 45' 40.0
3	21.1	55 41.01	7 53' 13.5	17 9' 53.5
4	57.5	55 57.50	7 46' 21.8	17 3' 1.8
5	26.2	56 6.20	7 35' 59.2	16 52' 39.2
5	33.4	56 13.40	7 37' 21.1	16 54' 1.1
4	24.2	57 24.20	7 31' 6.9	16 47' 46.9
6	19.3	57 49.37	7 55' 12.9	17 11' 52.9
4	3.1	59 3.10	8 20' 38.8	17 37' 18.8
6	0 14.0	59 44.04	8 8' 55.6	17 25' 35.6
4	1 53.5	20 1 53.50	8 17' 56.8	17 34' 36.8
3	50.1	3 10.03	8 7' 50.3	17 24' 30.3
7	3 55.0	3 14.84	8 58' 54.2	18 15' 34.2
3	4 57.0	5 16.92	8 2' 58.3	17 19' 38.3
4	35.7	5 35.70	8 8' 8.0	17 24' 48.0
5	21.0	6 0.98	7 50' 21.2	17 7' 1.2
5	42.5	6 22.48	7 46' 56.6	17 3' 36.6
5	15.8	6 55.77	7 55' 30.7	17 12' 10.7
5	35.4	7 15.35	8 1' 32.1	17 18' 12.1
2	53.5	8 23.51	8 2' 22.5	17 19' 2.5
5	26.4	8 6.42	7 28' 21.7	16 45' 1.7
5	52.7	8 32.82	7 31' 23.5	16 48' 3.5
4	37.7	9 37.70	7 22' 28.1	16 39' 8.1

Anf. 27 9.53 + 12.1 53.2
 Ende 9.53 + 11.4 51.1
 Microsc. I + 4.36
 Decl. = - (Microsc. I + 9° 16' 40")
 20" r+i -35".498 Δr-0".002 Δi-0".040

**Hülftafel zur Reduction auf den mittlern
 Ort 1850 Januar 0 D = - 18°.**

T.	k	k'	d	d'
19 20'-34.58	-5	-6	- 1.4	+0.5
30-34.63	-4	-6	- 0.9	+0.5
40-34.67	-4	-6	- 0.4	+0.5
50-34.71	-4	-6	+ 0.1	+0.5
20 0-34.75	-4	-6	+ 0.6	+0.5
10-34.79	-4	-6	+ 1.1	+0.5

7. dupl. III. Cl. seq.
 20. Statt Fad. 3 ist sehr wahrscheinlich Fad. 5 zu lesen, und dann T. 41' 14".61; dann stimmt die Beob. mit Z. 252 N°. 60 und einer Beobachtung 1851 Oct. 15.
 33 Fad. 4. 28".7
 47. Microsc. vielleicht 8 15 56.8 und dann die Decl. 17 32 36.8; vergl. Z. 252 N°. 92.
 58 Fad. 6. 2".8

Nº.	Gr.	Fad.	Beob. Zeit.	T.	Microsc. I	Südl. Declin.
60	9.0	5	22.5	20° 10' 2.52	7° 26' 37.2	16° 43' 17.2
61	8.9	5	12 3.8	11 43.69	8 40 34.0	17 57 14.0
62	9	5	12 27.7	12 7.58	8 41 12.2	17 57 52.2
63	8	5	11.7	12 51.51	9 20 41.5	18 37 21.5
64	8.9	3	13 58.6	14 18.87	9 52 50.8	19 9 30.8
65	8	3	15 26.6	15 46.69	9 32 14.4	18 48 54.4
66	8.9	5	52.6	15 32.40	9 24 49.6	18 41 29.6
67	9	5	17 19.1	16 58.94	9 3 0.5	18 19 40.5
68	7	2	18 3.5	18 33.59	8 35 6.4	17 51 46.4
69	8.9	3	50.2	19 10.15	8 18 36.7	17 35 16.7
70	9.0	6	19 58.7	19 28.72	8 16 40.2	17 33 20.2
71	8.9	5	46.4	20 26.30	8 32 42.0	17 49 22.0
72	7	5	21.2	21 1.09	8 38 57.2	17 55 37.2
73	9.0	4	22 27.6	22 27.60	8 36 3.1	17 52 43.1
74	8	4	23.7	23 23.70	8 21 41.0	17 38 21.0
75	9	4	19.0	24 19.00	8 13 43.3	17 30 23.3
76	7	5	24 56.2	24 36.18	7 50 8.0	17 6 48.0
77	6	4	27 37.2	27 37.20	7 45 37.5	17 2 17.5
78	8.9	4	19.7	28 19.70	8 15 19.0	17 31 59.0
79	9.0	4	56.5	28 56.50	8 15 0.8	17 31 40.8
80	7	2	23.2	29 53.26	8 21 49.2	17 38 29.2
81	9.0	4	1.4	30 1.40	8 33 6.8	17 49 46.8
82	9.0	6	59.5	30 29.34	9 17 36.7	18 34 16.7
83	5	3	31 45.0	32 5.08	9 23 0.1	18 39 40.1
84	9.0	4	34.5	32 34.50	9 47 36.7	19 4 16.7
85	9	4	1.2	33 1.20	9 2 40.1	18 19 20.1
86	9	6	33 53.1	33 23.02	8 50 58.9	18 7 38.9
87	9	7	12.0	33 31.84	8 52 52.7	18 9 32.7
88	9	7	34 41.3	34 1.08	9 7 54.3	18 24 34.3
89	9.0	5	36 19.4	35 59.35	8 1 20.1	17 18 0.1
90	8.9	4	38 38.7	38 38.70	7 57 56.3	17 14 36.3
91	9	7	11.2	38 31.21	8 8 52.7	17 25 32.7
92	9.0	7	53.2	39 13.13	8 29 17.2	17 45 57.2
93	7.8	5	49.2	40 28.99	9 28 13.2	18 44 53.2
94	6	4	24.4	41 24.40	9 18 24.5	18 35 4.5
95	8.9	7	2.6	41 22.29	9 29 26.5	18 46 6.5
96	9	3	32.3	42 52.39	9 30 29.5	18 47 9.5
97	8.9	7	43 46.0	43 5.80	9 2 9.8	18 18 49.8
98	8.9	3	42.8	45 2.81	8 50 22.8	18 7 2.8
99	9	5	43.6	45 23.49	8 36 1.6	17 52 41.6
100	9	6	46 22.2	45 52.18	8 31 20.5	17 48 0.5
101	9.0	4	47 27.0	47 27.00	7 50 39.8	17 7 19.8
102	9.0	7	10.7	47 30.75	7 57 30.9	17 14 10.9
103	7	7	48 57.7	48 17.62	8 32 4.8	17 48 44.8
104	8.9	4	50 29.8	50 29.80	8 18 54.6	17 35 34.6
105	9.0	2	15.6	51 45.73	8 46 5.7	18 2 45.7
106	8.9	4	7.5	52 7.50	8 35 28.0	17 52 8.0
107	8.9	4	42.5	52 42.50	8 57 44.8	18 14 24.8
108	6	4	59.5	52 59.51	8 50 4.6	18 6 44.6
109	8	3	11.0	54 30.99	8 37 9.4	17 53 49.4
110	7	2	58.3	55 28.43	8 46 45.9	18 3 25.9
111	8.9	3	56 9.8	56 29.81	8 50 43.2	18 7 23.2
112	4	3	57 45.4	58 5.38	8 32 56.8	17 49 36.8
113	9.0	4	58 52.0	58 52.00	7 51 50.9	17 8 30.9
114	8	4	27.2	59 27.20	7 44 42.0	17 1 22.0

Hülftafel zur Reduction auf den mittleren Ort 1850 Januar 0 D = - 18°.

T.	k	k'	d
20 10' 34.79	-4	-6	+ 1.1 +0.5 +1.1
20-34.83	-3	-6	+ 1.6 +0.4 +1.1
30-34.86	-4	-5	+ 2.0 +0.5 +1.1
40-34.90	-3	-5	+ 2.5 +0.5 +1.1
50-34.93	-3	-5	+ 3.0 +0.4 +1.1
21 0-34.96	-4	-5	+ 3.4 +0.5 +1.1
10-35.00		-5	+ 3.9 +1.1

64 Fad. 4. 19".0

65. Soll sein Fad. 5 und T. 6".38; vgl. LL 3911 Taylor 9378 und Z. 252 Nº. 115.

68 Fad. 3. 13".6

81 „ 5. 21.5

93. dupl. III. Cl. seq.; praec. 8. m.

103. Zeit - 1" ? der Durchgang ganz oben Felde beobachtet. Eine Beobachtung 18 Oct. 8. giebt für 1850 die AR. 20° 47' 42".

108 Fad. 6. 29".6

Nº. 115 116 117 118 119 120 1 2 3 4 5 6 7 8 9 10 11 12 13 14 15 16 17 18 19 20 21 22 23 24 25 26 27 28 29 30 31 32 33 34 35 36 37 38 39 40 41 42 43 44 45 46 47 48 49

Nr.	Gr.	Fad.	Beob. Zeit.	T.	Microsc. I	Südl. Declin.
115	9	4	39.5	20 59 39.54	7 48 20.7	17 5 0.7
116	8.9	6	54.0	21 0 24.05	8 3 4.5	17 19 44.5
117	7	3	16.5	1 36.56	7 56 41.6	17 13 21.6
118	8.9	3	13.4	2 33.42	8 17 15.6	17 33 55.7
119	9	4	54.0	2 54.00	8 48 12.8	18 4 52.8
120	9.0	6	4 7.6	3 37.43	9 22 2.1	18 38 42.1
1	8.9	7	30 13.4	20 29 28.98	8 20 2.4	31 3 57.6
2	7.8	3	31 29.2	31 51.24	9 40 21.6	29 43 38.4
3	8.9	6	8.5	31 35.57	9 59 55.6	29 24 4.4
4	7.8	3	52.4	33 14.34	10 6 2.3	29 17 57.7
5	9	5	34 0.3	33 38.09	8 19 20.4	31 4 39.6
6	7	4	42.5	34 42.50	9 26 59.7	29 57 0.3
7	8.9	3	43.5	36 5.56	9 35 5.6	29 48 54.4
8	7	5	37 9.2	36 47.01	8 23 35.7	31 0 24.3
9	8.9	2	41.5	38 14.73	9 30 16.9	29 53 43.1
10	9	7	48.3	38 4.64	10 2 6.5	29 21 53.5
11	8.9	3	40 8.6	40 30.60	9 48 50.0	29 35 10.0
12	8.9	4	59.4	40 59.40	10 29 28.2	28 54 31.8
13	8.9	4	42 0.9	42 0.90	9 49 31.3	29 34 28.7
14	7.8	2	35.9	43 8.91	9 24 17.8	29 59 42.2
15	8	4	7.7	43 7.70	9 3 55.9	30 20 4.1
16	8.9	5	44 0.6	43 38.35	8 9 28.0	31 14 32.0
17	7.8	3	27.0	44 49.38	8 7 59.6	31 16 0.4
18	8.9	2	45 41.6	46 14.64	9 25 30.9	29 58 29.1
19	8.9	4	41.0	46 41.00	8 42 3.0	30 41 57.0
20	9	4	12.0	47 12.00	8 42 50.2	30 41 9.8
21	8.9	5	6.2	47 44.32	9 45 28.5	29 38 31.5
22	8.9	3	48 33.4	48 55.28	10 28 39.0	28 55 21.0
23	9	4	51 35.5	51 35.50	9 20 43.2	30 3 16.8
24	7.8	4	52 34.2	52 34.20	9 5 39.0	30 18 21.0
25	8.9	5	52 59.0	52 36.97	9 4 23.2	30 19 36.8
26	7	1	46.2	54 30.17	9 42 1.0	29 41 59.0
27	8.9	4	55 45.7	55 45.70	9 39 44.5	29 44 15.5
28	6.7	5	57 54.0	57 31.88	8 41 25.9	30 42 34.1
29	8.9	5	58 54.1	58 32.10	9 13 13.3	30 10 46.7
30	7	4	0 35.7	21 0 35.70	10 19 1.3	29 4 58.7
31	8	2	34.5	2 7.22	10 17 38.9	29 6 21.1
32	7.8	6	13.0	1 39.81	9 4 36.4	30 19 23.6
33	8	5	4 1.5	3 39.29	8 12 50.9	31 11 9.1
34	8	3	5 12.6	5 34.76	9 7 32.6	30 16 27.4
35	9	5	3.0	5 41.26	10 26 26.0	28 57 34.0
36	8	7	10 30.1	9 46.46	10 4 33.6	29 19 26.4
37	7	5	58.8	10 36.97	10 0 17.4	29 23 42.6
38	8.9	4	38.5	11 38.50	9 25 13.9	29 58 46.1
39	9	5	24.5	12 2.42	8 50 31.4	30 33 28.6
40	7	3	7.3	13 29.39	9 35 57.9	29 48 2.1
41	8	3	58.3	14 20.41	9 19 48.0	30 4 12.0
42	9	5	15 18.0	14 56.06	9 41 27.4	29 42 32.6
43	8.9	5	17.1	15 55.18	9 35 15.8	29 48 44.2
44	9	3	17 20.5	17 42.73	8 50 2.0	30 33 58.0
45	9	6	56.7	17 23.45	8 53 38.4	30 30 21.6
46	9	5	46.2	18 24.13	8 54 32.3	30 29 27.7
47	9	3	20 43.0	21 5.39	8 8 9.3	31 15 50.7
48	9	5	23 7.4	22 45.57	10 0 39.9	29 23 20.1
49	9	7	24 27.5	23 44.00	10 23 48.9	29 0 11.1

115 Fad. 5. 59.6

117 " 4. 36.7

118 " 4. 33.5

Anfangs gute Luft, seit 20^u 18' unruhig.

ZONE 245. 1849 Sept. 16. West.

NC. 20 18-2 8.41

22 11-2 10.57

Anf. 28 2.05 + 12.4 54.8

21 9 52.9

21 33 53.0

Ende 2.03 + 10.8 49.3

Microsc. I - 9".45 u. - 10".24

Decl. = Microsc. I - 39° 24' 0"

21^u r+i-35".705 Δr+0".005 Δi-0".048

Hilfstafel zur Reduction auf den mittlern Ort 1850 Januar 0 D = - 30°.

T.	k	k'	d	d'
20 30'-34.89	-4	-6	+ 2.6	-0.5
40-34.93	-5	-6	+ 2.1	-0.3
50-34.98	-4	-6	+ 1.8	-0.3
21 0-35.02	-4	-6	+ 1.5	-0.2
10-35.06	-3	-6	+ 1.3	-0.1
20-35.09	-4	-6	+ 1.2	-0.2
30-35.13	-6	-6	+ 1.0	+55.8

3 Fad. 7. 19.2

9 " 3. 52.9 Fäden 14".48 und 14".98

18 " 3. 52.6

22 " 4. 55.3

26 " 2. 57.3

33 " 6. 12.8

42 " 6. 29.0

N ^o .	Gr.	Fad.	Beob. Zeit.	T.	Microsc. I	Südl. Declin.
50	8.9	3	10.8	21 25 32.96	9 16 20.4	30 7 39.6
51	8.9	3	3.5	26 25.50	9 50 44.9	29 33 15.1
52	7	5	58.5	26 36.47	9 2 42.1	30 21 17.9
53	8	2	28 15.1	28 47.90	10 6 59.2	29 17 0.8
54	8.9	6	29 23.3	28 49.75	8 11 10.2	31 12 49.8
55	8	5	31.3	30 9.27	9 5 25.5	30 18 34.5
56	8	6	37.2	31 3.79	8 25 55.6	30 58 4.4
57	9	5	34 9.5	33 47.47	9 3 2.7	30 20 57.3
58	9	4	36 9.0	36 9.12	10 22 24.1	29 1 35.9
59	8	4	37 21.0	37 21.00	10 34 38.6	28 49 21.4
60	8	5	44.6	37 22.79	9 59 7.0	29 24 53.0
61	8	4	40 5.0	40 5.00	10 29 19.9	28 54 40.1
62	8.9	5	4.6	40 42.63	9 20 31.8	30 3 28.2
63	9	4	57.0	40 57.00	10 9 43.3	29 14 16.7
64	8	3	43 25.6	43 47.93	8 23 38.9	31 0 21.1
65	8.9	3	44 12.5	44 34.51	9 48 10.0	29 35 50.0
66	8	3	45 12.5	45 34.46	10 1 51.3	29 22 8.7
67	8.9	4	46 29.5	46 29.50	9 51 19.8	29 32 40.2
68	8.9	3	11.5	47 33.75	8 59 59.1	30 24 0.9
69	7	5	7.5	47 45.24	8 6 13.9	31 17 46.1
70	8	4	42.9	48 42.90	9 52 13.3	29 31 46.7
71	8	6	49 27.4	48 54.60	10 28 18.2	28 55 41.8
72	8.9	5	50 44.4	50 22.20	8 57 14.6	30 26 45.4
73	7.8	5	48.7	51 26.79	9 37 46.1	29 46 13.9
74	8.9	5	21.5	51 59.61	9 42 47.0	29 41 13.0
75	6	5	53 9.5	52 47.72	10 13 22.5	29 10 37.5
76	8.9	5	34.8	53 13.04	10 21 0.0	29 3 0.0
77	7	2	54 37.9	55 11.12	8 46 57.3	30 37 2.7
78	7.8	4	36.0	55 36.00	9 20 0.0	30 4 0.0
79	7	2	5.8	56 38.54	10 14 3.1	29 9 56.9
80	8.9	3	49.4	57 11.26	10 29 6.6	28 54 53.4
81	7	2	40.6	58 13.65	9 57 50.8	29 26 9.2
82	8	4	11.6	58 11.64	9 36 10.0	29 47 50.0
83	8.9	4	49.9	58 49.90	9 3 28.4	30 20 31.6
84	8	5	0 4.6	59 42.90	10 36 17.2	28 47 42.8
85	7	6	18.3	59 45.59	10 30 52.1	28 53 7.9
86	7	2	1 29.0	22 2 1.79	10 21 56.9	29 2 3.1
1	6	6	51 27.6	21 50 56.73	7 27 36.5	21 53 53.5
2	8.9	3	25.0	52 45.57	7 49 10.7	21 32 19.3
3	9	7	53 50.5	53 9.73	8 17 36.8	21 3 53.2
4	9	6	54 56.3	54 25.22	6 32 19.0	22 49 11.0
5	9.0	4	41.2	55 41.20	6 56 4.9	22 25 25.1
6	8	4	23.5	56 23.50	6 51 15.7	22 30 14.3
7	9	4	3.5	57 3.50	7 56 21.6	21 25 8.4
8	8.9	7	48.4	57 7.07	6 23 25.8	22 58 4.2
9	7	7	0 9.9	59 28.57	6 23 23.7	22 58 6.3
10	9.0	7	1 38.4	22 0 57.24	6 56 16.0	22 25 14.0
11	8.9	4	35.5	2 35.50	7 37 48.7	21 43 41.3
12	9.0	7	3 41.3	3 0.43	7 56 50.2	21 24 39.8
13	9.0	7	4 43.8	4 2.73	7 14 49.2	22 6 40.8
14	8.9	3	5.7	5 26.36	7 12 43.8	22 8 46.2
15	9.0	6	34.6	5 3.65	7 7 2.0	22 14 28.0
16	9	7	52.2	5 11.09	7 8 12.1	22 13 17.9
17	7.8	4	24.0	6 24.00	7 12 19.0	22 9 11.0
18	6	5	56.3	6 35.81	7 32 17.8	21 49 12.2

Hülfsstafel zur Reduction auf den mittlern Ort 1850 Januar 0 D = - 30°.

T.	k	k'	d	e
21 20-35.09	-4	-6	+ 1.2	-0.2
30-35.13	-3	-6	+ 1.0	-0.7
40-35.16	-4	-6	+ 0.3	-0.9
50-35.20	-3	-5	- 0.6	-1.2
22 0-35.23	-3	-5	- 1.8	-1.3

50 Fad. 4. 33.0
53 " 3. 26.0
54 " 7. 34.2
58 " 5. 31.0
60 " 6. 55.7
68 " 4. 33.8
71 " 7. 38.0
72 " 6. 55.3
81 " 3. 51.9 Fäden 13".43 und 13".87
82 " 5. 33.6
86 " 3. 40.0

Aufangs gute Luft, bald unruhig, dann wieder besser, und zuletzt sehr schön.

ZONE 246. 1849 Sept. 18. West

NC. 21 34' - 2 1.33
Anf. 28 2.17 + 9.9 49.1
Ende 49.9
Microsc. I - 8".24
Decl. = Microsc. I - 29° 21' 30"
22^u r+i - 35".786 Δr + 0".002 Δi - 0".00

T.	k	k'	d	e
21 50-35.30	-3	-5	+ 5.5	+ 0.2
22 0-35.33	-4	-5	+ 5.7	+ 0.3
10-35.37	-3	-5	+ 6.0	+ 0.3
20-35.40		-5	+ 6.3	+ 1.1

Hülfsstafel zur Reduction auf den mittlern Ort 1850 Januar 0 D = - 22°.

Aufangs gute Luft, bald unruhig, dann wieder besser, und zuletzt sehr schön.

ZONE 246. 1849 Sept. 18. West

NC. 21 34' - 2 1.33
 Anf. 28 2.17 + 9.9 49.1
 Ende 49.9
 Microsc. I - 8".24
 Decl. = Microsc. I - 29° 21' 30"
 22^u r+i - 35".786 Δr + 0".002 Δi - 0".00

Hülfsstafel zur Reduction auf den mittlern Ort 1850 Januar 0 D = - 22°.

T.	k	k'	d	e
21 50-35.30	-3	-5	+ 5.5	+ 0.2
22 0-35.33	-4	-5	+ 5.7	+ 0.3
10-35.37	-3	-5	+ 6.0	+ 0.3
20-35.40		-5	+ 6.3	+ 1.1

Nr.	Gr.	Fad.	Beob. Zeit.	T.	Microsc. I	Südl. Declin.	
19	9	6	17.4	22 6' 46.55	7 34' 57.2	21 46' 32.8	19. dupl. II. Cl. praec.
20	9	7	28.3	6 47.36	7 40 18.5	21 41 11.5	
21	8.9	5	19.2	7 58.69	7 20 13.2	22 1 16.8	
22	9.0	6	51.0	8 20.10	7 19 5.4	22 2 24.6	
23	8.9	7	8.6	8 27.60	7 29 24.9	21 52 5.1	
24	7	2	57.1	10 28.17	6 18 50.6	23 2 39.4	
25	9	5	53.5	10 32.96	7 10 56.3	22 10 33.7	
26	8.9	7	26.3	10 45.34	7 36 20.6	21 45 9.4	
27	7.8	4	18.9	12 18.90	6 35 28.8	22 46 1.2	Es bezog sich ganz; gute Luft.
28	7	3	13 34.3	13 54.99	7 0 37.6	22 20 52.4	
1	8.9	3	41 33.0	19 41 53.81	6 12 29.8	23 8 50.2	ZONE 247. 1849 Sept. 21. West.
2	9	5	23.0	42 2.49	7 20 30.1	22 0 49.9	NC. 19 11'-2' 4.27
3	9	4	5.0	43 5.00	7 39 56.2	21 41 23.8	21 17-2 8.03
4	8	2	44 6.2	44 36.92	7 54 31.1	21 26 48.9	Anf. 28 2.51+11.4 54.8
5	9	6	52.1	44 21.27	7 38 2.2	21 43 17.8	Ende 2.60+10.9 53.8
6	9.0	3	30.0	45 50.60	7 37 9.3	21 44 10.7	Micr. I - 7".34 u. 6".92
7	9.0	7	12.2	45 30.91	6 30 3.8	22 51 16.2	Decl. = Micr. I - 29° 21' 20"
8	8	3	54.2	47 14.82	7 27 40.1	21 53 39.9	20" $\tau + i - 35''.657$ $\Delta\tau + 0''.002$ $\Delta i - 0''.042$
9	9	4	47.9	47 47.90	8 28 13.8	20 53 6.2	
10	9	3	9.0	48 29.49	8 29 0.0	20 52 20.0	
11	9	5	6.7	48 46.33	8 22 42.7	20 58 37.3	
12	8	3	49 54.2	50 14.94	6 42 31.2	22 38 48.8	Hülftafel zur Reduction auf den mittlern
13	9	3	23.5	50 44.20	6 41 37.7	22 39 42.3	Ort 1850 Januar 0 D = - 22°.
14	7	3	54.2	51 14.96	6 44 43.8	22 36 36.2	
15	8.9	5	52 6.8	51 46.26	7 11 1.7	22 10 18.3	
16	8	4	52.8	52 52.80	7 29 4.0	21 52 16.0	
17	9.0	5	16.7	52 56.19	7 23 40.7	21 57 39.3	
18	8.9	4	59.6	53 59.60	7 51 21.0	21 29 59.0	
19	9	5	54 38.4	54 17.70	6 6 53.5	23 14 26.5	
20	7	4	25.3	55 25.30	6 20 53.0	23 0 27.0	
21	8	4	8.5	56 8.50	6 45 12.8	22 36 7.2	
22	9.0	5	34.6	56 14.09	6 47 38.4	22 33 41.6	
23	8	6	13.6	56 42.69	7 37 23.6	21 43 56.4	
24	9	4	54.3	57 54.30	7 55 58.7	21 25 21.3	
25	9.0	5	42.2	58 21.78	8 1 35.6	21 19 44.4	
26	8	3	5.8	59 26.33	8 5 37.9	21 15 42.1	
27	9.0	7	53.2	59 12.20	7 29 27.8	21 51 52.2	
28	9.0	6	0 57.0	20 0 26.28	7 56 27.0	21 24 53.0	
29	9	5	1.2	1 40.70	7 23 59.8	21 57 20.2	
30	8.9	3	48.2	3 8.90	6 58 0.9	22 23 19.1	
31	9.0	6	4 19.7	3 48.86	7 36 50.7	21 44 29.3	
32	9	4	0.5	5 0.50	7 28 13.3	21 53 6.7	
33	9.0	6	5 47.4	5 16.55	7 34 48.1	21 46 31.9	
34	9.0	5	6 50.6	6 30.14	7 43 1.6	21 38 18.4	
35	9	4	8 36.3	8 36.29	7 57 57.5	21 23 22.5	
36	7	7	35.0	8 54.03	7 34 51.4	21 46 28.6	
37	6.7	7	28.1	9 46.98	7 5 17.0	22 16 3.0	
38	9	5	17.7	10 57.10	6 46 5.4	22 35 14.6	
39	9	6	49.6	11 18.43	6 10 1.0	23 11 19.0	
40	8.9	5	12 55.7	12 35.19	8 5 0.7	21 16 19.3	
41	8	5	42.8	13 22.30	7 28 15.0	21 53 5.0	
42	7.8	5	13.6	13 53.02	6 55 54.7	22 25 25.3	
43	8	5	43.3	14 22.66	6 32 28.0	22 48 52.0	
44	8.9	5	39.3	15 18.82	7 33 10.7	21 48 9.3	
45	8.9	5	15.5	15 55.04	7 42 19.7	21 39 0.3	

10 Fad. 4. 29.5
 13 " 4. 44.2
 14 " 4. 15.0
 22 " 6. 45.2
 23 " 7. 23.6
 28 " 7. 7.2
 35 " 5. 56.7
 45. Ein Zweifel in der Minute des Microscops wird durch eine Beob. 1851 Oct. 12. beseitigt.

No.	Gr.	Fad.	Beob. Zeit.	T.	Microsc. I	Südl. Declin.
46	8.9	1	36.3	20 ^u 17' 17.35	7° 42' 57.1	21° 38' 22.9
47	8.9	6	17 52.0	17 21.08	7 12 49.6	22 8 30.4
48	9	5	19 2.1	18 41.69	8 3 38.6	21 17 41.4
49	9	3	53.4	20 13.94	8 30 5.8	20 51 14.2
50	9	6	51.3	20 20.60	8 16 56.6	21 4 23.4
51	7	6	22.0	20 51.54	7 57 36.0	21 23 44.0
52	9	7	7.3	21 27.37	7 44 5.0	21 37 15.0
53	9.0	7	33.3	21 53.33	7 56 12.3	21 45 7.7
54	8	4	24.5	23 25.50	6 21 16.9	23 0 3.1
55	9.0	5	1.5	23 41.83	6 18 36.2	23 2 43.8
56	7.8	6	24 30.8	24 0.76	6 42 3.2	22 39 16.8
57	8	7	43.4	24 3.16	6 41 38.2	22 39 41.8
58	8	6	25 50.7	25 19.54	6 37 23.5	22 43 56.5
59	9	5	32.3	26 11.57	6 39 35.7	22 41 44.3
60	9.0	5	38.2	27 17.81	8 13 35.6	21 7 44.4
61	7	2	49.3	28 19.98	8 15 14.8	21 6 5.2
62	8.9	3	32.9	28 53.41	8 16 25.0	21 4 55.0
63	8.9	4	27.7	29 27.70	7 30 11.3	21 51 8.7
64	8	2	41.3	30 12.23	7 24 44.9	21 56 35.1
65	8.9	4	36.4	30 36.40	6 31 5.5	22 50 14.5
66	9	7	31 30.8	30 49.87	7 44 18.2	21 37 1.8
67	7.8	7	32 11.3	31 30.42	7 53 38.2	21 27 41.8
68	9	7	44.7	32 3.81	7 52 9.6	21 29 10.4
69	9.0	5	30.5	33 10.05	7 45 38.0	21 35 42.0
70	9	6	56.5	33 25.90	8 0 52.7	21 20 27.3
71	7	3	55.0	35 15.79	6 22 18.0	22 59 2.0
72	8.9	4	35 32.4	35 32.40	6 31 15.3	22 50 4.7
73	9	5	7.0	35 46.37	6 34 11.9	22 47 8.1
74	9	5	46.0	36 25.46	7 12 53.8	22 8 26.2
75	8	5	29.2	37 8.73	7 39 51.6	21 41 28.4
76	9.0	6	8.5	37 37.74	7 57 39.3	21 23 40.7
77	9	7	38 56.8	38 16.02	8 16 12.5	21 5 7.5
78	7	3	39 49.9	40 10.73	6 4 44.0	23 16 36.0
79	9	5	40.5	40 19.93	6 44 7.1	22 37 12.9
80	8.9	3	22.3	41 43.00	6 54 42.8	22 26 37.2
81	9.0	6	42 14.2	41 43.48	8 11 51.1	21 9 28.9
82	7.8	5	9.0	42 48.51	7 29 32.2	21 51 47.8
83	7	5	44 37.2	44 16.72	7 33 55.8	21 47 24.2
84	9	6	45 47.2	45 16.20	6 50 17.8	22 31 2.2
85	9	4	32.2	46 32.20	6 57 20.0	22 24 0.0
86	9	7	0.5	46 19.45	7 19 49.2	22 1 30.8
87	8.9	6	42.7	47 11.66	6 40 9.3	22 41 10.7
88	7	3	25.7	48 46.42	6 46 54.4	22 34 25.6
89	9.0	3	51.6	49 12.27	7 9 17.5	22 12 2.5
90	8.9	3	21.3	49 41.96	7 13 42.4	22 7 37.6
91	9	5	9.3	49 48.82	7 33 51.1	21 47 28.9
92	8.9	6	41.0	50 10.13	7 26 48.0	21 54 32.0
93	8.9	4	51 23.3	51 23.30	8 19 55.9	21 1 24.1
94	9	4	43.0	51 43.00	8 18 8.2	21 3 11.8
95	9	5	32.3	52 11.78	7 19 39.5	22 1 40.5
96	9.0	3	57.4	53 18.04	7 21 23.1	21 59 56.9
97	9	5	25.0	53 4.50	7 26 20.2	21 54 59.8
98	8.9	3	0.3	55 20.95	7 13 54.3	22 7 25.7
99	8.9	7	55 38.5	54 57.30	6 48 12.6	22 33 7.4
100	8.9	2	56 40.2	57 10.99	7 34 22.0	21 46 58.0

*Hülftafel zur Reduction auf den mittlern
Ort 1850 Januar 0 D = - 22°.*

T.	k	k'	d	e
20	10' - 34.46	-5	-6	- 3.4 0.0 +10
	20 - 34.51	-5	-6	- 3.4 -0.1 +10
	30 - 34.56	-5	-6	- 3.5 -0.1 +10
	40 - 34.61	-4	-6	- 3.6 0.0 +10
	50 - 34.65	-5	-6	- 3.6 -0.1 +10
21	0 - 34.70	-5	-6	- 3.7 -0.1 +10

49 Fad. 4. 14.0

51 " 7. 31.4 Fäden 51.24 und 50.54; Fad. 6 scheint flüchtig beobachtet, und ist daher ausgeschlossen; bei Fad. 7 ist aber wahrscheinlich die Secunde verzählt und 32.4 statt 31 zu lesen: es ward nämlich bei den Sternen 56 und 57 ein Fehler von einer Secunde entdeckt, von dem ich vermuthe, dass er sich von unserm Faden an fortgepflanzt hat; ich habe daher die Berechnung von T auch für den Sternen 52—55 eine Secunde hinzugefügt; so stimmen 51, 56 und 57 mit der Histoire Céleste, so wie 54 und 55 mit No. 140 N°. 101 u. 102.

56 Fad. 7. 41.0

56, 57. Ein Zweifel wegen der Zeitsec. bei diesen Sternen wird durch Beobachtungen vom Oct. 12. beseitigt.

58 Fad. 7. 0.7

59 " 6. 42.5

61 " 3. 59.5

64 " 3. 51.7

70 " 7. 6.9

79 " 6. 51.0

81. Ein anderer 7 : m. geht vorher.

Nr.	Gr.	Fad.	Beob. Zeit.	T.	Microsc. I	Südl. Declin.
101	8	3	22.5	20 57' 43.08	7 48' 25.5	21 32' 54.5
102	9.0	6	58 31.0	58 0.19	7 44' 28.3	21 36' 51.7
103	8.9	4	6.5	59 6.50	7 51' 56.8	21 29' 23.2
104	8	5	40.8	59 20.42	8 15' 18.1	21 6' 1.9
105	6	4	32.6	21 0 32.60	7 33' 47.4	21 47' 32.6
106	8	7	15.1	0 33.98	7 4' 23.9	22 16' 56.1
107	8.9	4	55.1	1 55.10	6 13' 43.5	23 7' 36.5
108	7.8	4	26.4	2 26.40	6 16' 31.5	23 4' 48.5
1	7	4	59 28.2	21 59 28.20	6 23' 18.8	22 58' 1.2
2	8	5	25.3	22 0 4.74	7 2' 4.1	22 19' 15.9
3	9	4	2 35.2	2 35.20	7 37' 43.8	21 43' 36.2
4	6.7	4	17.5	3 17.50	7 23' 19.0	21 58' 1.0
5	9	7	18.5	3 37.18	6 24' 50.0	22 56' 30.0
6	9	4	5 11.0	5 11.09	7 8' 6.1	22 13' 13.9
7	8.9	4	25.7	5 25.70	7 12' 39.7	22 8' 40.3
8	7.8	3	6 2.7	6 23.43	7 12' 13.2	22 9' 6.8
9	6.7	6	6.5	6 35.64	7 32' 14.1	21 49' 5.9
10	9	7	28.2	6 47.26	7 40' 14.5	21 41' 5.5
11	8.9	5	18.9	7 58.39	7 20' 6.9	22 1' 13.1
12	9	5	47.5	8 27.01	7 29' 22.3	21 51' 57.7
13	9	4	9 55.6	9 55.60	8 8' 14.1	21 13' 5.9
14	9	4	18.6	10 18.60	8 6' 50.7	21 14' 29.3
15	9	4	52.4	10 52.40	8 6' 38.0	21 14' 42.0
16	9	4	57.6	10 57.44	8 3' 13.7	21 18' 6.3
17	9	3	55.2	12 15.85	7 17' 15.3	22 4' 4.7
18	8	5	39.0	12 18.37	6 35' 23.1	22 45' 56.9
19	5	3	34.0	13 54.77	7 0' 32.5	22 20' 47.5
20	9	6	58.5	13 27.52	6 58' 16.7	22 23' 3.3
21	9	7	14 43.3	14 2.40	7 49' 3.0	21 32' 17.0
22	8.9	7	58.6	14 17.68	7 46' 24.1	21 34' 55.9
23	8.9	3	46.7	16 7.25	7 58' 57.0	21 22' 23.0
24	8.9	6	23.1	15 52.40	8 17' 4.0	21 4' 16.0
25	8	7	17.2	16 36.05	7 0' 7.7	22 21' 12.3
26	9	4	58.4	17 58.40	6 59' 55.7	22 21' 24.3
27	7	7	18 51.6	18 10.84	8 21' 22.5	20 59' 57.5
28	9.0	7	19 0 :	18 19	8 21' 23.3	20 59' 56.7
29	9.0	6	59.2	19 28.61	8 16' 28.8	21 4' 51.2
30	9	5	54.0	20 33.61	8 12' 37.9	21 8' 42.1
31	8.9	3	9.1	21 29.62	8 10' 49.9	21 10' 30.1
32	9.0	5	22 27.2	22 6.55	6 26' 0.1	22 55' 19.9
33	9.0	5	24 47.2	24 26.53	6 18' 33.3	23 2' 46.7
34	9	4	26 16.5	26 16.50	6 29' 3.0	22 52' 17.0
35	6	4	4.0	27 4.00	7 52' 47.6	21 28' 32.4
36	8	3	58.1	28 18.60	7 38' 47.5	21 42' 32.5
37	8	2	40.8	29 11.61	7 29' 22.0	21 51' 58.0
38	9	7	29 35.6	28 54.45	6 59' 50.5	22 21' 29.5
39	9	7	54.4	29 13.27	7 2' 56.6	22 18' 23.4
40	8.9	7	40.5	29 59.29	6 47' 2.3	22 34' 17.7
41	9	5	27.8	31 7.22	6 55' 22.0	22 25' 58.0
42	9	4	4.6	32 4.60	6 23' 27.2	22 57' 52.8
43	9.0	7	34 6.0	33 24.59	6 7' 46.9	23 13' 33.1
44	9.0	6	35 37.6	35 6.46	6 17' 11.7	23 4' 8.3
45	7.8	7	9.0	35 27.83	6 54' 55.5	22 26' 24.5
46	9.0	4	2.0	37 2.01	7 37' 20.3	21 43' 59.7
47	9.0	5	6.0	37 45.54	7 41' 51.5	21 39' 28.5

Die Luft war Anfangs etwas unruhig, ward aber bald besser; zuletzt sehr schön.

ZONE 248. 1849 Sept. 23. West.

NC. 21 42' - 2' 3.61
 23 47' - 2' 7.19
 Anf. 28 1.16 + 11.1 52.6
 22 44 50.5
 Ende 1.01 + 9.7 47.2
 Microsc. I - 7".70
 Decl. = Microsc. I - 29° 21' 20"
 23" r+i - 35".598 Δr + 0".003 Δi - 0".042

Hülftafel zur Reduction auf den mittlern Ort 1850 Januar 0 D = - 22°.

T.	k	k'	d	d'
22 0' - 35.13	-4	-5	+ 0.9	-0.2
10 - 35.17	-3	-5	+ 0.7	-0.3
20 - 35.20	-2	-5	+ 0.4	-0.2
30 - 35.22	-3	-5	+ 0.2	-0.3
40 - 35.25	-5	-5	- 0.1	+17.9

6 Fad. 7. 52.3
 8 „ 4. 23.5
 9. dupl. II. Cl. praec.
 16 Fad. 5. 17".7 giebt 57.29
 19 „ 5. 15.4
 27. dupl. II. Cl. praec.
 29 Fad. 7. 9".5
 36 „ 4. 18.5
 46 „ 5. 22.5

Nº.	Gr.	Fad.	Beob. Zeit.	T.	Microsc. I	Südl. Declin.
48	9.0	7	52.5	22 38' 11.62	7 54' 12.6	21 27' 7.4
49	8	4	18.7	39 18.70	7 46 30.3	21 34 49.7
50	8.9	7	47.3	39 6.53	8 18 15.5	21 3 4.5
51	9	7	36.0	39 55.01	7 30 55.3	21 50 24.7
52	9	7	14.6	40 33.44	6 56 17.8	22 25 2.2
53	9.0	6	42 14.4	41 43.71	8 18 5.0	21 3 15.0
54	7.8	5	46.7	42 26.32	8 16 37.7	21 4 42.3
55	8	3	44 32.5	44 52.95	6 51 20.5	22 29 59.5
56	8.9	6	29.2	44 58.31	7 22 38.9	21 58 41.1
57	9	5	15.0	45 54.65	8 29 15.1	20 52 4.9
58	9.0	5	53.6	46 33.20	8 10 49.6	21 10 30.4
59	9	6	30.2	46 59.37	7 42 33.5	21 38 46.5
60	9	7	49 7.2	48 26.35	8 1 27.1	21 19 52.9
61	8.9	3	41.7	50 2.26	7 53 8.7	21 28 11.3
62	8.9	4	30.7	50 30.70	6 31 20.7	22 49 59.3
63	9	4	26.6	51 26.60	7 39 53.0	21 41 27.0
64	9.0	7	52 41.2	51 59.88	6 24 19.7	22 57 0.3
65	9	4	24.3	53 24.30	6 17 44.8	23 3 35.2
66	7	5	54 25.3	54 4.60	6 8 17.0	23 13 3.0
67	6.7	5	55 39.0	55 18.53	7 41 5.9	21 40 14.1
68	8.9	5	19.9	55 59.47	7 56 41.0	21 24 39.0
69	7.8	6	15.1	56 44.01	6 19 9.8	23 2 10.2
70	7	4	57 57.9	57 57.90	6 3 54.2	23 17 25.8
71	9	4	48.8	58 48.80	6 36 45.4	22 44 34.6
72	9	4	29.1	59 29.10	7 5 41.4	22 15 38.6
73	5	6	1 32.5	23 1 1.72	7 22 13.1	21 59 6.9
74	8.9	5	3 48.1	3 27.61	7 31 31.2	21 49 48.8
75	9	5	32.6	4 12.11	7 32 20.0	21 49 0.0
76	9	4	6 59.4	6 59.25	6 10 9.9	23 11 10.1
77	9	4	18.5	8 18.50	6 16 50.7	23 4 29.3
78	9	7	8 57.6	8 16.52	7 12 50.3	22 8 29.7
79	8.9	6	9 44.6	9 13.71	7 21 21.8	21 59 58.2
80	7	6	58.5	9 27.53	7 20 15.5	22 1 4.5
81	9	4	11 27.5	11 27.42	6 24 25.5	22 56 54.5
82	9	6	43.6	12 12.81	7 49 59.0	21 31 21.0
83	8.9	5	27.1	13 6.75	8 30 20.8	20 50 59.2
84	9	4	59.3	13 59.27	7 41 12.2	21 40 7.8
85	5.6	4	15 40.7	15 40.70	8 26 5.1	20 55 14.9
86	9	7	16 27.5	15 46.42	7 13 13.2	22 8 6.8
87	8	4	27.7	17 27.70	7 5 27.0	22 15 53.0
88	9	4	13.5	18 13.50	6 52 37.8	22 28 42.2
89	7	2	45.0	19 15.96	6 47 32.9	22 33 47.1
90	9	3	23.4	19 44.17	6 27 46.7	22 53 33.3
91	9.0	7	20 25.5	19 44.45	7 18 42.3	22 2 37.7
92	9	5	21 31.5	21 11.09	8 3 49.3	21 17 30.7
93	8	3	16.7	22 37.25	7 57 10.0	21 24 10.0
94	7.8	4	57.8	22 57.79	6 38 57.9	22 42 22.1
95	8	5	33.0	23 12.36	6 31 29.9	22 49 50.1
96	8	3	24 11.4	24 32.02	7 16 50.2	22 4 29.8
97	6.7	5	45.5	24 24.96	7 9 34.8	22 11 45.2
98	6	2	29.9	26 0.68	7 36 44.6	21 44 35.4
99	8.9	5	10.0	25 49.64	8 26 18.8	20 55 1.2
100	9	5	26 42.0	26 21.64	8 24 30.0	20 56 50.0
101	9	4	22.4	27 22.40	8 21 16.2	21 0 3.8
102	9	5	6.8	27 46.19	6 40 22.0	22 40 58.0

Hülfsstafel zur Reduction auf den mittleren Ort 1850 Januar 0 D = - 22°.

T.	k	k'	d	
22 30' - 35.22	-3	-5	+ 0.2	-0.3 +1
40 - 35.25	-3	-5	- 0.1	-0.3 +1
50 - 35.28	-2	-5	- 0.4	-0.4 +1
23 0 - 35.30	-2	-5	- 0.8	-0.4 +1
10 - 35.32	-2	-5	- 1.2	-0.4 +1
20 - 35.34	-2	-5	- 1.6	-0.4 +1
30 - 35.36	-1	-4	- 2.0	-0.5 +1
40 - 35.37		-4	- 2.5	+1

55 Fad. 4. 52.7 Fäden 53''.21 und 52''.70

59 " 7. 40.3

69 " 7. 25.4

73 " 7. 42.9 Die bekannte Position die Sterns, 88 Aquarii, zeigt, dass die Minute sein muss.

76 Fad. 5. 19''.8

80 " 7. 8.5

81 " 5. 48.0

84 " 5. 19.7

91. Ein anderer 7.8 m. geht vorher.

94 Fad. 5. 18''.4

96 " 4. 32.0

No.	Gr.	Fad.	Beob. Zeit.	T.	Microsc. I	Südl. Declin.	
103	9	4	29.7	23 28 29.70	6 48 3.9	22 33 16.1	108 Fad. 4. 26.3
104	9	7	22.2	28 41.02	6 53 9.3	22 28 10.7	109 „ 7. 46.3
105	9	5	7.6	29 47.01	6 51 7.1	22 30 12.9	
106	8.9	3	30 52.3	31 13.01	6 51 23.2	22 29 56.8	
107	8	2	30.2	32 1.20	6 36 12.8	22 45 7.2	Die Sterne, besonders Anfangs, blass und un-
108	8	3	5.6	32 26.37	5 59 53.8	23 21 26.2	ruhig.
109	9	6	34 36.0	34 5.36	8 3 32.0	21 17 48.0	
1	9	7	35 40.0	19 35 0.35	2 59 26.2	16 21 3.8	ZONE 249. 1849 Sept. 25. West.
2	8.9	6	36 2.4	35 32.55	3 0 55.2	16 19 34.8	NC. 19' 18 - 2' 2.27
3	8.9	2	47.5	37 17.16	3 52 32.0	15 27 58.0	21 13 - 2 4.95
4	9	3	53.0	38 12.73	3 39 3.8	15 41 26.2	Anf. 27 11.00 + 11.4 51.3
5	9	3	33.6	38 53.49	3 37 40.9	15 42 49.1	Ende 11.17 + 9.9 49.1
6	8.9	2	38.6	40 18.19	4 24 32.7	14 55 57.3	Microsc. I - 7''.01 u. - 7''.65
7	8.9	4	35.0	40 35.00	2 48 50.5	16 31 39.5	Decl. = Microsc. I - 19° 20' 30''
8	8.9	6	32.0	41 2.28	3 53 17.6	15 27 12.4	20'' $\tau + i - 35''.896$ $\Delta\tau - 0''.003$ $\Delta i - 0''.037$
9	8	3	8.1	42 27.94	4 1 58.6	15 18 31.4	
10	9	5	50.7	42 30.93	3 32 49.1	15 47 40.9	
11	9.0	5	51.6	43 31.82	3 21 15.4	15 59 14.6	
12	9	4	31.6	44 31.60	3 29 38.1	15 50 51.9	Hülftafel zur Reduction auf den mittlern
13	9	4	48.0	44 48.00	3 32 47.2	15 47 42.8	Ort 1850 Januar 0 D = - 16°.
14	9	5	30.8	45 11.07	3 55 11.7	15 25 18.3	
15	8.9	3	23.6	46 43.74	3 2 36.9	16 17 53.1	
16	8	7	47 23.0	46 43.36	3 2 37.0	16 17 53.0	
17	9	4	0.5	48 0.50	3 32 50.0	15 47 40.0	
18	8	5	57.5	48 37.71	3 14 46.3	16 5 43.7	
19	8.9	7	28.5	48 48.71	2 20 9.9	17 0 20.1	
20	8	5	50 34.5	50 14.68	2 58 40.0	16 21 50.0	
21	8.9	4	14.9	51 14.90	2 54 34.3	16 25 55.7	
22	9	3	39.0	51 58.92	3 14 12.0	16 6 18.0	
23	7	4	32.5	52 33.53	3 3 10.1	16 17 19.9	
24	9	4	39.3	52 39.23	3 3 19.5	16 17 10.5	
25	8	5	46.6	53 26.86	4 11 27.6	15 9 2.4	
26	8	4	37.0	54 37.00	3 3 23.8	16 17 6.2	
27	9	6	21.2	54 51.33	2 52 2.7	16 28 27.3	
28	9	5	1.2	55 41.29	2 10 56.5	17 9 33.5	
29	9.0	6	27.3	55 57.34	2 17 47.6	17 2 42.4	
30	7.8	3	4.4	57 24.39	2 33 4.1	16 47 25.9	
31	9.0	5	49.2	57 29.41	3 15 44.9	16 4 45.1	
32	8.9	5	11.2	57 51.40	3 10 8.5	16 10 21.5	
33	8	5	58 51.5	58 31.78	4 0 39.6	15 19 50.4	
34	6.7	3	0 16.0	20 0 35.85	3 53 6.3	15 27 23.7	
35	8.9	4	55.4	0 55.40	3 29 54.2	15 50 35.8	
36	9.0	2	2 54.4	3 24.13	3 24 27.0	15 56 3.0	
37	8.9	6	6 2.2	5 32.42	3 28 33.8	15 51 56.2	
38	8.9	4	41.2	6 41.20	3 33 28.9	15 47 1.1	
39	9	5	9.0	6 49.23	3 32 23.2	15 48 6.8	
40	8.9	4	31.8	7 31.80	4 6 35.6	15 13 54.4	
41	9.0	5	5.5	7 45.78	3 59 59.1	15 20 30.9	
42	7.8	3	33.6	8 53.47	3 42 17.7	15 38 12.3	
43	7	3	12.5	9 32.43	3 3 32.9	16 16 57.1	
44	8.9	3	11.5	10 31.34	4 2 0.3	15 18 29.7	
45	7.8	3	53.1	11 12.89	4 35 12.0	14 45 18.0	
46	9	6	41.9	11 12.20	4 1 46.7	15 18 43.3	
47	8	5	21.1	12 1.36	3 51 39.5	15 28 50.5	
48	9.0	6	44.3	12 14.56	3 47 20.2	15 33 9.8	

Die Sterne, besonders Anfangs, blass und un-

ZONE 249. 1849 Sept. 25. West.

NC. 19' 18 - 2' 2.27
 21 13 - 2 4.95
 Anf. 27 11.00 + 11.4 51.3
 Ende 11.17 + 9.9 49.1
 Microsc. I - 7''.01 u. - 7''.65
 Decl. = Microsc. I - 19° 20' 30''
 20'' $\tau + i - 35''.896$ $\Delta\tau - 0''.003$ $\Delta i - 0''.037$

**Hülftafel zur Reduction auf den mittlern
 Ort 1850 Januar 0 D = - 16°.**

T.	k	k'	d	d'
19 30'-34.80	-5	-6	- 4.5	0.0
40 -34.85	-5	-6	- 4.5	0.0
50 -34.90	-5	-6	- 4.5	0.0
20 0 -34.95	-4	-6	- 4.5	0.0
10 -34.99	-5	-6	- 4.5	+0.1
20 -35.04	-5	-6	- 4.4	+ 9.9

3 Fad. 3. 57.3
 4 „ 4. 12.6
 5 „ 4. 53.5
 15. 16. derselbe.
 23 Fad. 7. 13''.2; zu Fad. 4 ist 1'' addirt.
 24 „ 5. 59.0
 25 „ 6. 56.5

Nº.	Gr.	Fad.	Beob. Zeit.	T.	Microsc. I	Südl. Declin.
49	7	5	15.0	20 12 55.29	4° 5' 17.3	15° 15' 12.7
50	3	5	29.2	13 9.49	4 5 27.9	15 15 2.1
51	9	6	50.7	13 21.08	4 2 52.3	15 17 37.7
52	8	5	14 39.5	14 19.80	3 14 44.8	16 5 45.2
53	8.9	5	38.6	15 18.79	3 4 41.4	16 15 48.6
54	9	5	33.0	16 13.26	3 52 46.1	15 27 43.9
55	9.0	6	8.4	16 38.53	2 51 16.4	16 29 13.6
56	8.9	6	58.2	17 28.50	4 2 29.5	15 18 0.5
57	7.8	4	13.6	18 13.60	3 52 42.6	15 27 47.4
58	9.0	6	57.1	18 27.36	3 46 3.2	15 34 26.8
59	9	4	23.3	19 23.30	3 48 25.2	15 32 4.8
60	9.0	6	20 33.0	20 3.26	3 44 15.9	15 36 14.1
61	9	4	12.3	21 12.30	3 47 21.1	15 33 8.9
62	7	1	22 14.2	22 53.92	3 4 26.7	16 16 3.3
63	8	6	14.5	22 44.54	2 17 54.5	17 2 35.5
64	9	3	2.4	24 22.37	2 42 37.7	16 37 52.3
65	9.0	4	25 10.3	25 10.30	3 45 37.4	15 34 52.6
66	9	5	51.2	25 31.44	3 37 10.2	15 43 19.8
67	9	4	32.5	26 32.50	3 20 32.0	15 59 58.0
68	8.9	4	58.2	26 58.19	3 2 12.0	16 18 18.0
69	6	5	57.5	27 37.61	2 18 29.5	17 2 0.5
70	8	5	48.1	28 28.33	3 31 11.8	15 49 18.2
71	7	4	31.4	29 31.40	3 40 48.4	15 39 41.6
72	9	4	30 54.0	30 54.00	2 51 44.4	16 28 45.6
73	9.0	7	41.8	31 2.15	2 59 42.5	16 20 47.5
74	8.9	3	18.5	32 38.40	3 26 14.5	15 54 15.5
75	8.9	3	31.3	32 51.05	3 24 30.4	15 55 59.6
76	9.0	6	18.0	32 48.21	3 23 43.6	15 56 46.4
77	8	3	34 28.6	34 48.52	3 8 24.7	16 12 5.3
78	9	3	54.4	35 14.32	3 11 16.1	16 9 13.9
79	9	3	25.5	35 45.34	3 37 12.9	15 43 17.1
80	9.0	4	9.0	36 9.00	3 49 40.1	15 30 49.9
81	8.9	4	36.2	36 36.20	3 45 40.7	15 34 49.3
82	7	3	5.3	37 25.16	3 46 2.5	15 34 27.5
83	9	6	27.2	36 57.47	3 50 41.0	15 29 49.0
84	9	5	39 40.3	39 20.61	4 13 55.4	15 6 34.6
85	9.0	6	21.3	39 51.61	4 7 40.0	15 12 50.0
86	9	5	0.8	40 41.07	3 53 16.9	15 27 13.1
87	9	4	21.5	41 21.48	3 53 35.3	15 26 54.7
88	8	2	17.3	42 47.05	3 16 42.4	16 3 47.6
89	8	3	55.2	43 15.21	2 22 29.8	16 58 0.2
90	9	4	45 12.1	45 12.10	2 54 52.7	16 25 37.3
91	8.9	5	9.1	45 49.41	4 21 31.1	14 58 58.9
92	9	3	47 0.2	47 20.18	2 38 57.2	16 41 32.8
93	8	7	48.9	47 9.35	3 29 40.1	15 50 49.9
94	8.9	4	13.0	48 13.00	3 28 11.7	15 52 18.3
95	8	4	57.6	48 57.60	2 55 17.0	16 25 13.0
96	8.9	5	49 42.2	49 22.34	2 35 58.7	16 44 31.3
97	5	3	51.5	49 51.52	2 44 22.2	16 36 7.8
98	8.9	7	56.9	50 17.37	3 36 26.6	15 44 3.4
99	9	4	51 44.7	51 44.70	3 57 52.5	15 22 37.5
100	9.0	7	53 1.8	52 22.32	3 52 58.2	15 27 31.8
101	8.9	4	53.9	53 53.90	4 2 44.8	15 17 45.2
102	9	2	42.4	55 11.99	4 22 18.1	14 58 11.9
103	8.9	4	55 29.0	55 29.00	3 55 23.2	15 25 6.8

Hülftafel zur Reduction auf den mittleren Ort 1850 Januar 0 D = -16°.

T.	k	k'	d	
20 10' 34.99	-5	-6	-4.5	+0.1
20-35.04	-5	-5	-4.4	0.0
30-35.09	-4	-5	-4.4	0.0
40-35.13	-5	-5	-4.4	0.0
50-35.18	-4	-5	-4.4	-0.1
21 0-35.22		-5	-4.5	+

51 Fad. 7. 0.6

52 „ 6. 49.7

62 „ 2. 24.1

68 „ 5. 18.0

75 „ 4. 50.9

79 „ 4. 45.3

84 „ 6. 50.3

87 „ 5. 41.2

97 „ 5. 11.4

100. Zeit vielleicht 18''.0 und dann T. 38''.52

Nr.	Gr.	Fad.	Beob. Zeit.	T.	Microsc. I	Südl. Declin.
104	8.9	2	15.5	20 56 45.27	3 6 58.0	16 13 32.0
105	9	5	54.6	56 34.77	2 57 44.2	16 22 45.8
106	9	4	16.3	57 16.32	2 32 8.2	16 48 21.8
107	8	5	13.9	57 54.16	3 50 36.0	15 29 54.0
108	8	5	59 22.5	59 2.70	3 10 24.6	16 10 5.4
109	7	5	46.5	59 26.68	3 0 15.5	16 20 14.5
110	7.8	4	12.4	21 0 12.40	3 7 13.2	16 13 16.8
111	8.9	5	1 2.1	0 42.36	3 50 13.1	15 30 16.9
112	7.8	4	53.7	1 53.70	4 37 11.0	14 43 19.0
113	8	4	22.4	2 22.40	4 27 58.0	14 52 32.0
114	7.8	7	2.6	2 22.95	3 2 15.9	16 18 14.1
115	8.9	4	36.6	3 36.60	2 42 38.3	16 37 51.7
116	8	5	31.7	4 11.96	3 46 29.1	15 34 0.9
117	—	5	58.4	4 38.65	3 44 0.4	15 36 29.6
1	7	5	28 58.1	22 28 38.19	2 10 59.3	17 9 40.7
2	9	4	30 4.1	30 4.10	2 11 52.2	17 8 47.8
3	8.9	4	31 5.5	31 5.50	4 30 18.7	14 50 21.3
4	7	4	10.0	31 9.96	4 29 45.3	14 50 54.7
5	8	2	0.8	32 30.44	4 1 3.3	15 19 36.7
6	8.9	3	36.6	32 56.45	3 57 28.9	15 23 11.1
7	9	7	23.9	32 44.31	3 17 45.5	16 2 54.5
8	8.9	3	53.6	34 13.55	2 56 31.3	16 24 8.7
9	8.9	3	9.5	34 29.48	2 54 44.9	16 25 55.1
10	9	3	35 36.7	35 56.68	2 39 47.9	16 40 52.1
11	7.8	3	33.9	36 53.75	3 56 43.1	15 23 56.9
12	7	4	57.6	36 57.60	3 52 51.7	15 27 48.3
13	7	1	23.3	38 3.13	2 58 30.3	16 22 9.7
14	9	6	28.4	37 58.74	4 20 43.1	14 59 56.9
15	7	2	22.0	39 51.94	2 24 43.2	16 55 56.8
16	8.9	5	54.5	39 34.59	2 8 42.8	17 11 57.2
17	8.9	6	38.5	40 8.71	3 25 15.4	15 55 24.6
18	9	6	15.3	40 45.43	2 51 56.8	16 28 43.2
19	8.9	4	41.4	41 41.40	2 14 22.3	17 6 17.7
20	9	7	43 50.6	43 11.10	3 49 3.6	15 31 36.4
21	9.0	4	43.1	44 43.20	4 6 54.9	15 13 45.1
22	9	4	46 18.8	46 18.80	2 55 24.2	16 25 15.8
23	3	3	56.6	47 16.57	2 43 35.7	16 37 4.3
24	6	4	24.5	47 24.50	2 16 45.3	17 3 54.7
25	8.9	4	22.0	48 22.00	3 2 17.0	16 18 23.0
26	9	4	39.4	48 39.40	3 4 19.0	16 16 21.0
27	8	5	28.7	49 8.94	3 33 13.9	15 47 26.1
28	9	3	2.9	50 22.74	4 5 31.9	15 15 8.1
29	8.9	4	34.1	50 34.10	4 14 59.4	15 5 40.6
30	7.8	2	51 54.7	52 24.63	2 9 5.3	17 11 34.7
31	8.9	5	34.0	52 14.03	2 26 4.2	16 54 35.8
32	9	5	38.6	53 18.89	4 5 52.1	15 14 47.9
33	7	4	54 5.0	54 5.00	4 16 3.2	15 4 36.8
34	8	4	55 25.0	55 25.05	4 17 0.0	15 3 40.0
35	8.9	7	30.5	55 50.93	3 25 11.9	15 55 28.1
36	9.0	5	30.0	57 10.21	3 17 14.1	16 3 25.9
37	9	4	12.9	58 12.90	3 18 23.2	15 52 16.8
38	8	4	58 37.6	58 37.60	4 5 18.6	15 15 21.4
39	8.9	7	56.0	58 16.57	4 8 5.7	15 12 34.3
40	8.9	4	1 19.7	23 1 19.70	3 29 24.0	15 51 16.0
41	9	1	55.7	2 35.37	3 29 6.8	15 51 33.2

*Hälftafel zur Reduction auf den mittlern
Ort 1850 Januar 0 D = - 16°.*

T.	k	k'	d	d'
20 50' - 35.18	-4	-5	- 4.4	-0.1
21 0 - 35.22	-5	-5	- 4.5	0.0
10 - 35.27		-5	- 4.5	+10.0

106 Fad. 5. 36.2

117. dupl. I. Cl.; beide Sterne 8.9 m.; die Mitte ward beobachtet.

Sehr schöne Luft.

ZONE 250. 1849 Sept. 25. West.

NC. 22 16' - 2 5.55
0 13 - 2 9.32
Anf. 27 11.16 + 9.0 46.1
Ende 11.22 + 8.3 44.2
Microsc. I - 7".49 u. - 8".14
Decl. = Microsc. I - 19° 20' 40"
23 ^u r+i - 35".905 Δr - 0".003 Δi - 0".027

*Hälftafel zur Reduction auf den mittlern
Ort 1850 Januar 0 D = - 16°.*

T.	k	k'	d	d'
22 30' - 35.55	-3	-5	+ 8.1	-0.2
40 - 35.58	-2	-5	+ 7.9	-0.2
50 - 35.60	-3	-5	+ 7.7	-0.2
23 0 - 35.63	-2	-5	+ 7.5	-0.2

1. Ein Zweifel in der Zeitsecunde ist durch eine Beobachtung 1851 Oct. 8. beseitigt.

4 Fad. 5. 29".6
9 " 4. 29.5
13 " 2. 33.4
15 " 3. 32.0
21 " 5. 3.0
31 " 7. 53.7
33 " 5. 24.7
34 " 5. 44.8
35. Zeit zweifelhaft.

Nº.	Gr.	Fad.	Beob. Zeit.	T.	Microsc. I	Südl. Declin.
42	9	4	44.6	23 2' 44.60	2° 20' 42.5	16° 59' 57.5
43	9.0	5	11.2	2 51.31	2 22 35.4	16 58 4.6
44	8.9	3	46.3	4 6.32	2 17 5.1	17 3 34.9
45	8.9	3	7.0	4 27.01	2 22 3.3	16 58 36.7
46	9	5	17.0	4 57.15	2 40 18.4	16 40 21.6
47	9.0	5	6 47.2	6 27.31	2 19 50.0	17 0 50.0
48	8	5	7 54.5	7 34.60	2 17 25.1	17 3 14.9
49	8.9	7	52.6	8 13.15	3 59 7.9	15 21 32.1
50	9	5	35.6	9 15.88	4 2 5.6	15 18 34.4
51	7	5	10 30.5	10 10.61	2 21 16.4	16 59 23.6
52	9	6	31.2	11 1.42	3 27 20.7	15 53 19.3
53	9	5	13.6	11 53.90	4 16 23.2	15 4 16.8
54	8	5	40.6	12 20.92	4 27 20.5	14 53 19.5
55	8	5	23.8	13 4.09	4 7 32.7	15 13 7.3
56	8.9	6	15 5.8	14 35.83	2 12 58.6	17 7 41.4
57	6	6	52.5	15 22.72	3 28 49.8	15 51 50.2
58	8	7	17 4.5	16 25.05	4 1 48.9	15 18 51.1
59	7.8	4	18 10.7	18 10.70	4 30 10.9	14 50 29.1
60	9	5	56.0	18 36.31	4 21 45.0	14 58 55.0
61	9	7	42.4	19 2.90	3 48 40.7	15 31 59.3
62	9.0	7	38.5	19 58.98	3 41 22.5	15 39 17.5
63	6.7	7	21.6	20 41.99	3 13 7.7	16 7 32.3
64	9.0	6	14.2	21 44.49	3 58 29.7	15 22 10.3
65	9	4	2.0	23 2.00	4 32 14.2	14 48 25.8
66	7.8	4	23 39.7	23 39.70	2 32 10.1	16 48 29.9
67	8.9	7	24 53.7	24 14.21	3 49 12.5	15 31 27.5
68	8	7	25 11.8	24 32.29	3 42 30.8	14 38 9.2
69	8	7	22.3	24 42.76	3 34 46.8	15 45 53.2
70	9.0	6	26 27.5	25 57.73	3 31 54.9	15 48 45.1
71	6	4	27 36.5	27 36.50	3 16 19.2	16 4 20.8
72	7.8	2	59.9	28 29.66	3 13 0.7	16 7 39.3
73	8	4	44.5	28 44.50	2 13 35.9	17 7 4.1
74	9.0	4	28.5	29 28.50	2 28 7.2	16 52 32.8
75	8.9	3	5.6	30 25.51	3 17 55.7	16 2 44.3
76	6.7	3	30.7	30 50.45	3 25 18.0	15 55 22.0
77	5	3	32 16.0	32 35.82	4 17 24.1	15 3 15.9
78	8.9	5	33 22.5	33 2.69	3 5 32.9	16 15 7.1
79	8	6	35 17.1	34 47.26	3 2 57.0	16 17 43.0
80	5	5	37.0	35 17.19	3 3 57.9	16 16 42.1
81	8	2	36 49.0	37 18.66	4 5 23.3	15 15 16.2
82	9	6	37 43.2	37 13.59	3 31 36.8	15 49 3.2
83	8.9	4	52.7	38 52.70	3 22 36.0	15 58 4.0
84	9.0	5	40 11.7	39 52.01	4 23 13.2	14 57 26.8
85	7.8	4	47.9	40 47.90	4 35 37.8	14 45 2.2
86	8.9	4	30.6	41 30.60	4 37 15.2	14 43 24.8
87	9	4	3.0	42 3.00	3 35 26.2	15 45 13.8
88	9	4	31.6	42 31.60	3 43 55.9	15 36 44.1
89	8	4	18.9	43 18.90	3 31 31.0	15 49 9.0
90	9	5	0.8	43 40.82	2 23 13.7	16 57 26.3
91	9	3	45.2	45 5.24	2 6 43.9	17 13 56.1
92	7.8	2	3.3	45 33.23	2 8 14.6	17 12 25.4
93	8	7	46 20.5	45 41.12	4 25 15.1	14 55 24.9
94	9	5	47 31.5	47 11.65	2 52 19.0	16 28 21.0
95	7	4	39.9	48 39.90	4 32 19.1	14 48 20.9
96	9	2	49 45.5	50 15.34	2 24 53.2	16 55 46.8

*Halfstafel zur Reduction auf den middle
Ort 1850 Januar 0 D = - 16°.*

T.	k	k'	d
23 0' 35.63	-2	-5	+ 7.5 -0.3 +
10-35.65	-2	-5	+ 7.2 -0.2 +
20-35.67	-2	-5	+ 7.0 -0.3 +
30-35.69	-2	-4	+ 6.7 -0.3 +
40-35.71	-2	-4	+ 6.4 -0.3 +
50-35.72	-2	-4	+ 6.1 -0.3 +

76 Fad. 4. 50.3
 82 „ 7. 53.3 Fäden 13''.43 und 13''.75
 90 „ 7. 20.5
 93. Zeit zweifelhaft.
 94 Fad. 6. 41''.5
 96 „ 3. 55.3

Gr.	Fad.	Beob. Zeit.	T.	Microsc. I	Südl. Declin.
6	2	43.8	23 51 13.71	2 39 45.2	16 40 54.8
7.8	5	48.0	51 28.31	4 22 51.6	14 57 48.4
9	5	52 19.8	52 0.01	4 33 43.1	14 46 56.9
8.9	7	53 56.3	53 16.85	4 1 2.2	15 19 37.8
9	1	55 2.5	55 42.17	3 28 4.6	15 52 35.4
9	5	48.0	55 28.15	2 40 44.0	16 39 56.0
9	5	57 51.3	57 31.44	2 37 17.2	16 43 22.8
8	5	58 58.2	58 38.40	3 8 35.1	16 12 4.9
8.9	4	0 2.5	0 0 2.50	2 39 39.5	16 41 0.5
9	5	25.9	0 6.06	2 48 57.5	16 31 42.5
9	5	1 5.5	0 45.72	3 23 53.4	15 56 46.6
9	3	44.0	2 3.91	3 19 59.9	16 0 40.1
9	5	3 32.2	3 12.27	3 50 38.4	15 30 1.6
8	7	4 1.3	3 21.86	4 3 26.7	15 17 13.3
8.9	3	29 1.0	20 29 22.10	4 28 29.0	24 53 51.0
7	3	25.5	29 46.58	4 37 5.5	24 45 14.5
7	6	2.4	29 30.63	3 44 27.9	25 37 52.1
8.9	5	48.9	30 27.79	3 39 5.9	25 43 14.1
7	2	38.4	32 10.53	2 12 23.3	27 9 56.7
8	4	30.0	32 30.00	3 47 33.2	25 34 46.8
9.0	5	8.5	32 47.51	4 20 4.0	25 2 16.0
9	4	35 15.5	35 15.50	4 8 26.9	25 13 53.1
8	7	12.0	35 29.53	3 0 38.8	26 21 41.2
9.0	3	44.7	37 6.08	2 52 47.2	26 29 32.8
8.9	4	41.4	37 41.40	3 43 22.7	25 38 57.3
4	5	8.4	37 47.27	3 33 49.5	25 48 30.5
9.0	6	32.2	38 1.37	3 31 15.7	25 51 4.3
7.8	7	56 :	38 14	3 54 42.1	25 27 37.9
6	2	40 25.5	40 57.40	3 2 28.8	26 19 51.2
9	2	49.5	41 21.41	3 0 48.6	26 21 31.4
9.0	3	59.0	41 20.33	3 1 20.8	26 20 59.2
7	3	41 52.9	42 14.05	3 50 9.0	25 32 11.0
8	4	52.6	42 52.60	3 13 58.0	26 8 22.0
8	3	44 19.3	44 40.38	4 35 30.1	24 46 49.9
8	4	45 35.3	45 35.30	2 29 48.8	26 52 31.2
9	4	23.0	46 23.00	2 47 36.5	26 34 43.5
9	3	39.8	47 1.21	2 41 42.1	26 40 37.9
9	3	31.5	47 52.75	3 36 27.4	25 45 52.6
9	3	29.0	48 50.08	4 35 54.0	24 46 26.0
8	2	54.7	49 26.26	4 18 15.3	25 4 4.7
8.9	3	19.5	49 40.64	4 13 42.3	25 8 37.7
8.9	5	48.3	49 27.24	3 54 33.9	25 27 46.1
9.0	7	42.4	50 0.27	3 56 53.8	25 25 26.2
9	6	19.6	50 47.77	3 25 20.7	25 56 59.3
9.0	5	52 58.5	52 37.32	3 15 20.6	26 6 59.4
8	3	54 42.6	55 3.83	3 42 24.9	25 39 55.1
8	4	55 36.8	55 36.80	4 27 14.9	24 55 5.1
9.0	6	56 43.6	56 11.68	3 12 17.5	26 10 2.5
8.9	3	58 19.8	58 40.96	4 7 6.0	25 15 14.0
9.0	3	2.3	59 23.44	3 56 4.1	25 26 15.9
5	7	38 :	58 56	3 45 58.9	25 36 21.1
7.8	7	0 55.5	21 0 12.72	2 10 9.5	27 12 10.5
8.9	4	55.3	1 55.30	3 56 26.5	25 25 53.5
8	1	9.0	2 51.26	3 55 59.0	25 26 21.0
9	7	2 50.3	2 7.83	3 0 31.2	26 21 48.8

*Hülftafel zur Reduction auf den mittlern
Ort 1850 Januar 0 D = - 16°.*

T.	k	k'	d	d'
23 50' - 35.72	-1	-4	+ 6.1	-0.4
0 0 - 35.73	-1	-4	+ 5.7	-0.3
10 - 35.74		-4	+ 5.4	+10.5

97 Fad. 3. 53.8

109 „ 6. 41.8 Fäden 12''.46 und 12''.07

Die Luft Anfangs gut, zuletzt etwas unruhig.

ZONE 251. 1849 Sept. 26. West.

NC. 20 18 - 2 3.13
22 12 4.95

Anf. 27 11.57 + 11.7 52.9

Ende 11.60 + 10.2 48.0

Microsc. I - 8.27

Decl. = Microsc. I - 29° 22' 20''

21^u $\tau + i$ - 35''.631 $\Delta\tau$ 0''.000 Δi - 0''.043

*Hülftafel zur Reduction auf den mittlern
Ort 1850 Januar 0 D = - 26°.*

T.	k	k'	d	d'
20 30' - 34.71	-4	-6	+ 7.3	-0.1
40 - 34.75	-5	-6	+ 7.2	-0.2
50 - 34.80	-5	-6	+ 7.0	-0.1
21 0 - 34.85	-5	-6	+ 6.9	-0.2
10 - 34.90		-6	+ 6.7	+29.1

16 Fad. 4. 22.0 ausgeschlossen.

17 „ 4. 20.3

18 „ 4. 14.0

36 „ 4. 23.4

N ^o .	Gr.	Fad.	Beob. Zeit.	T.	Microsc. I	Sädl. Declin.
42	7	4	5' 8.8	21 5' 8.80	3 54' 34.9	25 27' 45.1
43	9	4	17.5	5 17.50	3 52' 52.0	25 29' 28.0
44	9	5	6 28.9	6 7.76	3 27' 38.7	25 54' 41.3
45	8.9	6	4.6	6 32.58	2 50' 44.3	26 31' 35.7
46	9	6	9 41.3	9 9.26	2 44' 25.0	26 37' 55.0
47	8.9	4	34.2	10 34.20	2 8' 13.2	27 14' 6.8
48	6.7	1	56.9	11 39.71	2 24' 28.7	26 57' 51.3
49	8.9	5	13 18.0	12 56.65	2 20' 33.8	27 1' 46.2
50	9	4	14 15.5	14 15.50	3 34' 17.4	25 48' 2.6
51	7	1	5.0	15 47.39	3 31' 44.4	25 50' 35.6
52	8	2	34.0	16 5.86	3 10' 19.8	26 12' 0.2
53	7	6	16 46.5	16 14.79	4 18' 18.1	25 4' 1.9
54	7.8	2	31.3	18 2.88	4 14' 20.4	25 7' 59.6
55	9	3	53.2	18 14.33	4 14' 30.0	25 7' 50.0
56	9	5	24.5	18 3.51	4 20' 45.9	25 1' 34.1
57	8	1	19 26.4	20 9.26	2 11' 27.3	27 10' 52.7
58	8	4	33.4	20 33.35	3 4' 41.9	26 17' 38.1
59	9	7	6.3	20 23.83	2 59' 38.0	26 22' 42.0
60	7.8	2	49.0	22 20.76	3 31' 25.4	25 50' 54.6
61	8.9	4	19.8	22 19.80	4 17' 5.5	25 5' 14.5
62	7	7	23 3 :	22 21	3 31' 24.6	25 50' 55.4
63	7.8	4	34.0	23 34.00	3 24' 47.4	25 57' 32.6
64	7.8	5	24 6.5	23 45.33	3 18' 6.1	26 4' 13.9
65	9	4	41.4	24 41.40	3 17' 51.5	26 4' 28.5
66	9	4	26 26.0	26 26.00	3 45' 18.6	25 37' 1.4
67	8	4	12.5	27 12.50	3 23' 13.0	25 59' 7.0
68	9	4	54.8	27 54.80	3 2' 19.1	26 20' 0.9
69	9	4	26.2	28 26.20	2 52' 29.8	26 29' 50.2
70	9	3	15.0	29 36.22	3 41' 4.9	25 41' 15.1
71	8.9	6	30 4.5	29 32.92	4 14' 44.5	25 7' 35.5
72	8	3	35.6	30 56.73	4 14' 42.9	25 7' 37.1
73	9	2	38.3	32 9.94	3 59' 49.6	25 22' 30.4
74	8.9	5	13.5	31 52.36	3 28' 27.4	25 53' 52.6
75	8.9	4	57.0	32 57.00	2 51' 4.5	26 31' 15.5
76	7	1	18.1	34 0.75	2 50' 5.3	26 32' 14.7
77	6.7	5	6.0	33 44.88	3 35' 21.0	25 46' 59.0
78	8.9	6	30.5	33 58.85	4 2' 10.0	25 20' 10.0
79	9	5	6.5	34 45.45	3 59' 4.2	25 23' 15.8
80	7.8	5	43.0	35 22.04	4 32' 34.2	24 49' 45.8
81	7.8	4	32.2	36 32.20	3 46' 37.1	25 35' 42.9
82	8.9	6	37 18.4	36 46.25	2 23' 32.4	26 58' 47.6
83	8.9	6	10.6	37 38.40	2 12' 15.1	27 10' 4.9
84	9	4	41.4	38 41.24	2 5' 54.4	27 16' 25.6
85	9	5	39 54.9	39 33.62	2 46' 31.7	26 35' 48.3
86	8	4	8.0	40 8.00	2 48' 17.4	26 34' 2.6
87	9	5	41 10.4	40 49.39	4 12' 44.2	25 9' 35.8
88	8.9	4	54.0	41 54.00	3 31' 27.8	25 50' 52.2
89	9	3	37.2	42 58.49	3 21' 27.6	26 0' 52.4
90	9	3	44 13.2	44 34.62	2 39' 10.5	26 43' 9.5
91	9	5	57.5	44 36.10	2 6' 26.8	27 15' 53.2
92	9	2	45 25.3	45 57.23	2 53' 33.0	26 28' 47.0
93	9	2	47 1.4	47 33.13	3 38' 54.9	25 43' 25.1
94	7.8	2	59.8	48 31.66	3 9' 47.5	26 12' 32.5
95	8	3	41.5	49 3.01	2 11' 30.1	27 10' 49.9
96	9	3	51 14.5	51 35.87	2 55' 37.1	26 26' 42.9

Hälftafel zur Reduction auf den mittleren Ort 1850 Januar 0 D = - 26°.

T.	k	k'	d
21 0' - 34.85	-5	-6	+ 6.9 - 0.2 +
10 - 34.90	-4	-6	+ 6.7 - 0.2 +
20 - 34.94	-4	-6	+ 6.5 - 0.2 +
30 - 34.98	-5	-6	+ 6.3 - 0.2 +
40 - 35.03	-4	-5	+ 6.1 - 0.3 +
50 - 35.07		-5	+ 5.8 +

45 Fad. 7. 15.1

53 " 7. 56.7

57 " 2. 37.1

58 " 5. 54.5

60. 62. derselbe.

63. Minute des Microsc. 27? und dann der clination 54?

70 Fad. 4. 36".2

71 " 7. 15.0

78 " 7. 41.0

80 " 6. 53.6

84 " 6. 13.3 giebt 41".08

91. Wenn man statt Fad. 5 liest Fad. 3, und T. 45' 19".03, so stimmt dieser Stern, kommen mit Z. 232 N^o. 96, und ich halte her diesen Fehler für fast gewiss; in Z. kann kein Fehler sein, weil 2 Fäden beachtet sind.

Gr.	Fad.	Beob. Zeit.	T.	Microsc. I	Südl. Declin.
9	4	40.3	21 51' 40.16	2 56' 33.4	26 25' 46.6
9	5	44.2	52 23.07	3 32 50.0	25 49 30.0
8	4	53 17.8	53 17.95	3 38 40.5	25 43 39.5
8	5	7.6	53 46.52	3 47 7.0	25 35 13.0
9.0	4	55 25.2	55 25.20	2 59 59.9	26 22 20.1
8.9	5	18.4	55 57.32	3 48 2.0	25 34 18.0
8.9	6	28.5	55 56.75	3 49 41.2	25 32 38.8
9.0	7	58 0.5	57 18.54	4 25 57.0	24 56 23.0
9.0	7	59.4	58 16.81	2 40 45.7	26 41 34.3
9.0	5	0 16.5	59 55.44	3 56 36.8	25 25 43.2
7	7	1 34.6	0 52.08	2 52 26.8	26 29 53.2
9.0	3	23.4	2 44.77	3 5 2.1	26 17 17.9
8.9	4	19.4	3 19.36	3 15 58.2	26 6 21.8
6	2	4 32.9	5 4.80	2 18 43.0	27 3 37.0
8	4	5 11.3	5 11.30	2 8 38.9	27 13 41.1
8	4	3 3.9	19 3 3.90	3 11 0.1	16 9 39.9
8.9	3	46.5	4 6.48	2 40 17.8	16 40 22.2
9	7	5 28.6	4 48.76	2 6 8.9	17 14 31.1
7	2	14.0	6 43.99	1 44 47.0	17 35 53.0
9	4	43.0	6 43.00	1 22 9.6	17 58 30.4
8.9	2	28.5	7 58.72	0 26 13.3	18 54 26.7
8.9	3	18.3	8 58.27	2 1 54.2	17 18 45.8
8.9	7	55.7	8 15.95	2 31 6.7	16 49 33.3
8.9	7	9 25.8	8 46.04	2 28 38.2	16 52 1.8
9.0	7	9 24.0	8 44.25	2 29 44.6	16 50 55.4
9	4	10.6	10 10.60	2 23 27.6	16 57 12.4
9	6	43.0	10 13.00	2 4 41.3	17 15 58.7
8.9	7	57.3	10 17.44	2 0 7.2	17 20 32.8
9	7	18.0	10 38.15	2 4 12.2	17 16 27.8
9	7	36.9	10 57.08	2 10 58.7	17 9 41.3
9	6	6.3	11 36.30	2 3 57.8	17 16 42.2
8	4	26.8	12 26.80	2 1 40.2	17 18 59.8
9.0	5	51.6	12 31.67	1 56 42.7	17 23 57.3
7.8	2	6.9	13 36.89	1 49 29.4	17 31 10.6
9	5	13 43.3	13 23.36	1 50 49.9	17 29 50.1
9	5	33.7	14 13.83	2 28 32.8	16 52 7.2
9.9	5	13.2	14 53.22	1 32 36.0	17 48 4.0
9	4	33.0	15 33.11	1 27 53.5	17 52 46.5
9	5	26.0	16 5.99	1 16 32.2	18 4 7.8
8	6	10.5	16 40.22	0 26 40.0	18 54 0.0
7	6	27.4	16 57.13	0 29 50.0	18 50 50.0
9	4	17.0	18 17.00	1 55 9.1	17 25 30.9
8	4	42.9	18 42.90	2 16 3.4	17 4 36.6
8	4	19 31.1	19 31.07	0 42 4.0	18 38 36.0
7	3	36.0	19 56.20	0 41 24.8	18 39 15.2
9	5	40.9	20 20.90	1 19 22.8	18 1 17.2
9.9	7	7.1	20 27.06	1 12 39.5	18 8 0.5
9.0	6	37.5	21 7.33	1 2 56.7	18 17 43.3
9.0	6	6.0	21 35.82	1 0 45.2	18 19 54.8
7.8	7	22 40.3	22 0.17	0 47 59.8	18 32 40.2
7.8	5	22 52.4	22 32.35	0 43 1.6	18 37 38.4
8.9	4	47.0	23 47.00	0 22 55.3	18 57 44.7
8.9	7	24 35.6	23 55.79	2 13 19.9	17 7 20.1
9	3	11.2	25 31.23	2 12 25.0	17 8 15.0
8	5	38.0	25 18.12	2 25 10.1	16 55 29.9

Hülftafel zur Reduction auf den mittlern Ort 1850 Januar 0 D = - 26°.

T.	k	k'	d	d'
21 50'-35.07	-4	-5	+ 5.8	-0.2
22 0-35.11	-4	-5	+ 5.6	-0.3
10-35.15		-5	+ 5.3	+29.4

97 Fad. 5. 1.3
 99 „ 5. 39.2
 108 „ 4. 44.8
 109 „ 5. 40.5
 110 „ 3. 43.1 Fäden 5''00 und 4''59
 Gute Luft, nur zuletzt etwas unruhig.

ZONE 252. 1849 Sept. 27. West.

NC. 18 52-2' 3.43
 20 56-2' 4.58
 Anf. 27 10.97+12.7 59.0
 Ende 11.20+11.5 54.3
 Microsc. I - 7''47
 Decl. = Microsc. I - 19° 20' 40''
 $\tau + i 20'' - 35''.835$ $\Delta \tau 0''.000$ $\Delta i - 0''.038$

Hülftafel zur Reduction auf den mittlern Ort 1850 Januar 0 D = - 18°.

T.	k	k'	d	d'
19 0'-34.53	-5	-6	- 6.8	+0.1
10-34.58	-5	-6	- 6.7	+0.2
20-34.63	-5	-6	- 6.5	+0.1
30-34.68		-6	- 6.4	+11.5

10. Die Zahl des Durchganges ist undeutlich, und könnte auch vielleicht 22 sein, dann würde T. 8' 42''.25 und die Beob. stimmte vollkommen zu Z. 226 No. 13.

19 Fad. 4. 36''.9
 23 „ 5. 53.2
 29 „ 5. 51.1
 30 „ 4. 56.2
 36 „ 6. 2.6

N ^o .	Gr.	Fad.	Beob. Zeit.	T.	Microsc. I	Sadl. Declin.
41	9	4	36.2	19 26' 36.20	0 55' 31.8	18 25' 8.2
42	9.0	7	7.2	26 27.08	0 51' 17.2	18 29' 22.8
43	6	2	45.6	28 15.87	0 10' 11.9	19 10' 28.1
44	8	2	9.0	28 39.26	0 14' 16.5	19 6' 23.5
45	5.6	3	35.0	28 55.19	0 47' 19.2	18 33' 20.8
46	8.9	7	17.2	28 37.27	1 41' 3.1	17 39' 36.9
47	9	1	59.6	30 39.59	1 55' 1.2	17 25' 38.8
48	9	3	31 36.0	31 56.10	1 32' 46.9	17 47' 53.1
49	9	5	34.8	32 14.89	2 7' 39.5	17 13' 0.5
50	9	5	7.5	32 47.64	2 37' 8.0	16 43' 32.0
51	9	3	34 23.6	34 43.79	0 48' 5.6	18 32' 34.4
52	9	5	35 25.5	35 5.62	2 26' 48.2	16 53' 51.8
53	8	2	56.8	36 26.82	1 35' 33.5	17 45' 6.5
54	9	3	36 34.5	36 54.64	0 50' 34.1	18 30' 5.9
55	9.0	2	38 9.7	38 39.68	1 48' 16.1	17 32' 23.9
56	6.7	3	46.4	39 6.47	1 54' 17.4	17 26' 22.6
57	7	2	8.4	39 38.36	1 54' 48.8	17 25' 51.2
58	9	4	55.0	39 55.00	2 28' 38.5	16 52' 1.5
59	8	6	26.7	39 56.61	1 30' 7.6	17 50' 32.4
60	9	3	54.9	41 15.00	1 33' 8.9	17 47' 31.1
61	8.9	2	38.2	42 8.32	1 1' 21.1	18 19' 18.9
62	9.0	6	33.5	42 3.33	1 6' 47.9	18 13' 52.1
63	9	4	43 49.5	43 49.50	0 11' 18.0	19 9' 22.0
64	9.0	4	13.2	44 13.20	0 11' 38.1	19 9' 1.9
65	9	5	48.4	44 28.32	0 37' 29.5	18 43' 10.5
66	9.0	4	19.1	45 19.10	1 3' 19.8	18 17' 20.2
67	8.9	3	45 45.6	46 5.70	1 32' 53.1	17 47' 46.9
68	8.9	4	46 53.8	46 53.80	1 54' 26.5	17 26' 13.5
69	9.0	5	32.5	47 12.59	2 11' 11.0	17 9' 29.0
70	9	2	13.4	48 43.48	1 12' 35.1	18 8' 4.9
71	9.0	5	56.5	48 36.46	1 2' 0.5	18 18' 39.5
72	9	6	23.3	48 53.04	0 35' 31.9	18 45' 8.1
73	9	4	58.3	49 58.30	0 39' 48.1	18 40' 51.9
74	8.9	3	8.8	50 29.01	0 34' 1.2	18 46' 38.8
75	9	7	47.6	50 7.36	0 19' 56.5	19 0' 43.5
76	8.9	6	28.9	50 58.82	0 59' 13.9	18 21' 26.1
77	9	2	52 44.3	53 14.19	2 22' 22.2	16 58' 17.8
78	7	3	11.5	53 31.54	2 4' 13.1	17 16' 26.9
79	7.8	4	49.7	53 49.70	1 23' 10.6	17 57' 29.4
80	9.0	4	28.0	54 28.00	1 1' 49.2	18 18' 50.8
81	9	5	5.2	54 45.13	0 45' 46.3	18 34' 53.7
82	7	4	8.9	55 8.90	0 41' 27.5	18 39' 12.5
83	8.9	6	11.2	55 41.22	2 10' 54.1	17 9' 45.9
84	9	7	37.6	55 57.80	2 17' 46.9	17 2' 53.1
85	9.0	7	57 34.0	56 54.27	2 37' 20.2	16 43' 19.8
86	7	5	57 44.3	57 24.36	2 33' 2.7	16 47' 37.3
87	7.8	3	43.3	59 3.38	1 43' 29.8	17 37' 10.2
88	9.0	5	15.8	58 55.77	1 5' 39.5	18 15' 0.5
89	7	4	0 7.5	20 0 7.50	0 6' 58.9	19 13' 41.1
90	9.0	6	37.5	0 7.26	0 40' 6.6	18 40' 33.4
91	8	3	18.0	1 38.21	0 34' 4.5	18 46' 35.5
92	9	5	13.5	1 53.56	1 48' 12.4	17 32' 27.6
93	8	3	50.2	3 10.26	1 56' 19.0	17 24' 21.0
94	9	6	45.0	3 14.83	1 5' 13.0	18 15' 27.0
95	8	4	12.4	4 12.40	0 45' 44.8	18 34' 55.2

*Hilfstafel zur Reduction auf den mittlern
Ort 1850 Januar 0. D = - 18°.*

T.	k	k'	d	d'
19 20'-34.63	-5	-6	- 6.5	+0.1
30-34.68	-5	-6	- 6.4	+0.2
40-34.73	-5	-6	- 6.2	+0.1
50-34.78	-5	-6	- 6.1	+0.1
20 0-34.83	-5	-6	- 6.0	+0.2
10-34.88	-5	-6	- 5.8	+11.6

54 Fad. 4. 54.6

76 " 7. 39.0

86 " 6. 54.2

92. Microsc. vielleicht 1 46 12.4 und dann Decl.
17 34 27.6; vergl. Z. 244 N^o. 47.

No.	Gr.	Fad.	Beob. Zeit.	T.	Microsc. I	Südl. Declin.
96	8.9	5	38.0	20 4 17.91	0 35 1.8	18 45 38.2
97	9.0	3	11.2	5 31.36	0 31 47.1	18 48 52.9
98	8.9	3	18.5	5 38.66	0 29 37.8	18 51 2.2
99	8	3	5.3	6 25.49	0 48 11.7	18 32 28.3
100	8.9	4	55.8	6 55.80	2 8 39.4	17 12 0.6
101	8	5	7 35.3	7 15.38	2 2 37.4	17 18 2.6
102	8.9	4	8 23.8	8 23.80	2 1 45.7	17 18 54.3
103	7.8	3	50.6	9 10.66	1 54 36.1	17 26 3.9
104	8	2	28.4	9 58.58	0 37 25.5	18 43 14.5
105	9.0	3	35.6	9 55.80	0 40 35.3	18 40 4.7
106	9	2	12.7	10 42.80	0 33 42.9	18 46 57.1
107	7.8	5	3.3	10 43.26	1 1 39.9	18 19 0.1
108	8.9	3	23.7	11 43.81	1 23 34.0	17 57 6.0
109	8.9	2	37.6	12 7.73	1 22 55.0	17 57 45.0
110	8	2	28.0	12 57.94	2 2 49.9	17 17 50.1
111	8.9	3	42.7	13 2.73	2 10 47.5	17 9 52.5
112	9.0	6	31.5	13 1.47	1 51 42.4	17 28 57.6
113	9	7	53.9	13 13.99	1 49 3.1	17 31 36.9
114	9	5	39.2	14 19.07	0 11 16.4	19 9 23.6
115	8	4	6.4	15 6.40	0 31 53.1	18 48 46.9
116	9	4	32.8	15 32.80	0 39 19.0	18 41 21.0
117	8.9	5	16 54.5	16 34.56	1 51 16.3	17 29 23.7
118	9	4	24.4	17 24.40	2 29 43.8	16 50 56.2
119	9.0	7	6.4	17 26.44	1 32 31.4	17 48 8.6
120	7	4	33.7	18 33.70	1 29 0.1	17 51 39.9
121	8.9	4	10.6	19 10.60	1 45 31.0	17 35 9.0
122	9	5	48.2	19 28.25	1 47 25.2	17 33 14.8
123	8.9	4	26.5	20 26.50	1 31 22.0	17 49 18.0
124	6.7	3	41.1	21 1.21	1 25 9.9	17 55 30.1
125	9.0	2	7.4	21 37.44	1 26 47.2	17 53 52.8
126	7	7	21 41.4	21 1.31	0 58 59.3	18 21 40.7
127	6	7	32.7	21 52.44	0 16 24.3	19 4 15.7
128	8.9	4	25.4	23 25.40	0 45 43.8	18 34 56.2
129	9	4	51.0	23 51.00	0 42 16.7	18 38 23.3
130	8.9	4	19.2	24 19.20	1 50 23.9	17 30 16.1
131	7	5	56.4	24 36.50	2 13 52.0	17 6 48.0
132	9	3	57.2	26 17.29	1 34 16.9	17 46 23.1
133	8.9	1	46.4	27 26.59	1 2 56.0	18 17 44.0
134	9	3	27 14.7	27 34.85	1 6 20.9	18 14 19.1
135	9.0	4	56.4	27 56.40	0 52 8.1	18 28 31.9
136	8.9	6	49.9	28 19.86	1 48 44.7	17 31 55.3
137	9	5	15.3	28 55.36	1 49 2.8	17 31 37.2
138	7	3	33.5	29 53.58	1 42 18.2	17 38 21.8
139	9.0	4	1.6	30 1.61	1 30 57.7	17 49 42.3
140	9	6	59.5	30 29.17	0 11 10.8	19 9 29.2
141	5	-	-	32 5.27	0 41 6.9	28 39 33.1
142	9	4	33 30.6	33 30.60	0 50 25.6	18 30 14.4
143	9	4	1.5	34 1.50	0 56 10.8	18 24 29.2
144	8.9	5	38.6	34 18.65	1 44 9.3	17 36 30.7
145	9.0	4	23.5	35 23.50	1 47 32.0	17 33 8.0
46	9	7	36 12.5	35 32.32	0 35 8.6	18 45 31.4
47	9.0	5	37 22.0	37 2.12	2 27 21.5	16 53 18.5
48	8.9	4	38 29.3	38 29.30	9 59 50.6	19 20 49.4
49	8	3	4.5	39 24.76	0 11 0.2	19 9 39.8
50	9.0	7	53.3	39 13.35	1 34 49.6	17 45 50.4

Hülftafel zur Reduction auf den mittlern Ort 1850 Januar 0 D = - 18°.

T.	k	k'	d	d'
20 0-34.83	-5	-6	- 6.0	+0.2 +11.6
10-34.88	-5	-6	- 5.8	+0.1 +11.6
20-34.93	-5	-6	- 5.7	+0.1 +11.7
30-34.98	-4	-6	- 5.6	+0.1 +11.7
40-35.02	-5	-5	- 5.5	+11.7

- 97 Fad. 4. 31.3
 98 „ 4. 38.6
 106 „ 3. 22.5
 109 „ 3. 47.7
 122 „ 6. 58.3
 126. Ein anderer 5 : m. pr. 10'' ad Bor.
 127. dupl. IV. Cl. seq.
 139 Fad. 5. 21'',6
 141. An allen Fäden beobachtet.

Nº.	Gr.	Fad.	Beob. Zeit.	T.	Microsc. I	Südl. Declin.
151	8	4	21.2	20 40' 21.20	2 3 37.0	17 17' 3.0
152	7	6	51.8	40 21.84	3 16 39.3	17 4 0.7
153	9.0	6	41.7	41 11.67	1 50 48.0	17 29 52.0
154	9	3	32.6	42 52.76	0 33 36.5	18 47 3.5
1	9.0	3	26 40.2	22 27 0.35	1 4 2.4	18 16 37.6
2	9	5	30.9	27 10.80	0 26 26.0	18 54 14.0
3	9	6	8.5	27 38.17	0 9 26.3	19 11 13.7
4	8	3	46.0	29 6.22	0 18 6.5	19 2 33.5
5	8.9	6	32.3	29 2.02	0 26 0.0	18 54 40.0
6	8.9	5	23.7	30 3.79	2 11 47.9	17 8 52.1
7	8.9	4	2.4	31 2.40	2 5 36.8	17 15 3.2
8	9	6	32 8.0	31 37.78	0 46 12.9	18 34 27.1
9	9	4	34.2	32 34.20	0 45 33.2	18 35 6.8
10	8	5	31.1	33 11.15	1 47 35.5	17 33 4.5
11	9	4	32.6	34 32.60	0 7 48.9	19 12 51.1
12	9	3	0.6	35 20.74	1 10 17.1	18 10 22.9
13	8.9	3	45.6	36 5.60	2 25 22.3	16 55 17.7
14	9	5	16.2	35 56.35	2 39 45.0	16 40 55.0
15	9	7	4.4	36 24.33	1 2 27.7	18 18 12.3
16	9	5	11.0	37 51.08	1 58 19.6	17 22 20.4
17	9	6	38.0	38 7.99	1 59 2.8	17 21 37.2
18	9	5	28.4	39 8.42	1 30 48.3	17 49 51.7
19	9	4	9.7	40 9.70	1 29 41.1	17 50 58.9
20	9	5	54.2	40 34.28	2 0 3.1	17 20 36.9
21	8.9	4	41 28.4	41 28.40	1 33 33.0	17 47 7.0
22	9	4	42 34.8	42 34.80	0 31 13.4	18 49 26.6
23	9	3	6.5	43 26.69	0 44 2.9	18 36 37.1
24	9.0	5	44 22.0	44 2.12	2 24 20.0	16 56 20.0
25	8	4	3.2	45 3.20	1 53 37.2	17 27 2.8
26	8.9	4	50.5	45 50.50	1 23 6.1	17 57 33.9
27	9.0	4	26.5	46 26.50	1 16 21.6	18 4 18.4
28	8.9	6	3.0	46 32.73	0 29 34.4	18 51 5.6
29	7	6	54.4	47 24.57	2 16 42.5	17 3 57.5
30	8.9	3	49 10.5	49 30.52	2 16 25.0	17 4 15.0
31	8.9	4	11.0	50 11.00	2 0 37.5	17 20 2.5
32	8	4	45.5	50 45.50	0 51 12.5	18 29 27.5
33	8	7	51 27.8	50 47.51	0 9 22.7	19 11 17.3
34	8	6	19.2	51 49.09	1 22 58.9	17 57 41.1
35	8	7	54.3	52 14.48	2 9 5.2	17 11 34.8
36	8	5	49.2	53 29.24	1 39 37.7	17 41 2.3
37	9.0	6	34.2	54 3.88	0 14 14.6	19 6 25.4
38	9.0	7	0.2	54 19.96	0 19 45.6	19 0 54.4
39	8.9	7	55 23.5	54 43.20	0 4 37.8	19 16 2.2
40	9	5	3.6	55 43.46	0 6 56.8	10 13 43.2
41	7	4	58 0.3	58 0.30	1 38 17.5	17 42 22.5
42	9.0	6	59 51.3	59 21.27	1 53 43.2	17 26 56.8
43	8	3	38.6	23 0 58.67	1 47 9.6	17 33 30.4
44	8.9	6	25.9	0 55.80	1 28 46.9	17 51 53.1
45	9	6	2.5	1 32.39	1 6 12.9	18 14 27.1
46	9	4	45.3	2 45.30	1 5 11.8	18 15 28.2
47	9.0	7	11.0	2 30.92	0 59 32.6	18 21 7.4
48	9	7	35.0	2 54.89	0 53 40.5	18 26 59.5
49	8.9	7	0.4	3 20.31	0 58 19.2	18 22 20.8
50	8.9	6	51.5	4 21.43	1 37 49.9	17 42 50.1
51	9	7	5 43.5	5 3.45	1 10 45.2	18 9 54.8

154 Fad. 4. 52''7

Gute, bis zur Mitte der Zone sogar ausgezeichnete Luft.

ZONE 253. 1849 Sept. 27. W.

NC. 22 18-2 4.24

23 33-2 4.94

Anf. 27 11.34+11.1 54.1

Ende 11.36+11.0 53.0

Microsc. I - 7''30

Decl. = Microsc. I - 19° 20' 40''

23° $\tau+i-35''835$ $\Delta\tau 0''000$ $\Delta i-0''$ **Hilfstafel zur Reduction auf den mittleren Ort 1850 Januar 0 D = -18°.**

T.	k	k'	d
22 20-35.42	-4	-5	-3.8
30-35.46	-3	-5	-3.7
40-35.49	-3	-5	-3.7
50-35.52	-2	-5	-3.6
23 0-35.54	-3	-5	-3.6
10-35.57		-5	-3.6

4 Fad. 4. 6.2

29 „ 7. 4.5

35. Statt Fad. 7 ist Fad. 6 zu lesen, und dann 52' 24''.32, wie LL. N°. 44938 und Zone N°. 30 zeigen.

45 Fad. 7. 12''5

N ^o .	Gr.	Fad.	Beob. Zeit.	T.	Microsc. I	Südl. Declin.
52	9	7	54.7	23 5 14.66	1 12 41.1	18 7 58.9
53	9.0	5	30.3	6 10.17	1 9 43.6	18 10 56.4
54	9	5	20.1	7 0.08	1 9 12.4	18 11 27.6
55	8	7	38.4	6 58.46	1 37 13.4	17 43 26.6
56	8	7	14.0	7 34.20	2 17 21.0	17 3 19.0
57	8	3	9 11.5	9 31.63	1 14 44.3	18 5 55.7
58	7	5	9.6	9 49.49	0 21 55.7	18 58 44.3
59	7	7	50.5	10 10.26	0 21 12.2	18 59 27.8
60	6	3	45.5	12 5.79	0 27 7.9	18 53 32.1
61	9	5	13 59.5	13 39.45	0 56 24.1	18 24 15.9
62	9	5	24.8	14 4.76	1 0 35.8	18 20 4.2
63	9.0	5	15 52.0	15 32.08	1 20 48.4	17 19 51.6
64	9	7	36.8	15 56.93	1 59 11.7	17 21 28.3
65	9	4	6.0	17 5.91	2 20 44.1	16 59 55.9
66	8.9	7	17 57 :	17 17	0 53 44.0	18 26 56.0
67	8.9	7	18 28.9	17 48.79	0 53 46.6	18 26 53.4
1	8.9	4	35 25.4	20 35 25.40	4 42 43.4	24 0 23.4
2	9	4	36 26.5	36 26.50	4 26 3.2	23 43 43.2
3	9	4	15.4	37 15.40	3 51 6.5	23 8 46.5
4	7.8	3	0.8	38 21.42	3 25 2.7	22 42 42.7
5	9	7	47.2	38 5.41	4 46 30.7	24 4 10.7
6	7.8	3	15.7	39 36.52	4 43 40.2	24 1 20.2
7	9	5	40 17.5	39 56.81	4 42 17.5	23 59 57.5
8	7	7	40 52.5	40 10.96	3 59 32.3	23 17 12.3
9	9	2	43 16.3	43 47.48	3 58 12.9	23 15 52.9
10	6.7	5	45 8.9	44 47.90	5 2 51.6	24 20 31.6
11	7.8	4	47.2	45 47.20	5 32 49.2	24 50 29.2
12	9	4	46 55.2	46 55.27	4 7 40.7	23 25 20.7
13	8.9	7	53.6	47 12.24	3 24 8.0	22 41 48.0
14	7	3	26.3	48 46.90	3 17 24.0	22 35 4.0
15	8.9	7	49 34.0	48 52.21	4 46 31.5	24 4 11.5
16	8	7	8.0	49 25.88	5 45 56.3	25 3 36.3
17	9	7	19.2	49 37.05	5 50 30.6	25 8 10.6
18	9	5	51 47.5	51 26.51	4 58 35.0	24 16 15.0
19	8	1	26.6	53 8.08	4 10 11.3	23 27 51.3
20	7.8	4	17.3	53 17.30	4 22 14.6	23 39 54.6
21	8	5	53.9	53 32.89	5 5 19.5	24 22 59.5
22	8.9	5	51.5	54 30.73	3 36 43.0	22 54 23.0
23	8.9	4	55 31.5	55 31.50	3 56 16.0	23 13 56.0
24	8.9	2	15.6	56 46.93	4 54 52.2	24 12 32.2
25	9.0	6	58 21.6	57 50.11	5 29 38.4	24 47 18.4
26	7.8	6	59 14.9	58 43.77	4 31 20.4	23 49 0.4
27	7	7	37.4	58 55.72	4 27 24.5	23 45 4.5
28	7.8	6	22.9	59 51.86	3 38 45.4	22 56 25.4
29	8	6	1 14.9	21 0 43.80	4 14 31.4	23 32 11.4
30	8.9	6	7.0	1 35.89	3 56 46.7	23 14 26.7
31	7.8	6	26.4	1 55.31	3 50 35.6	23 8 15.6
32	7	5	47.5	2 26.70	3 47 46.9	23 5 26.9
33	9.0	6	4 31.7	4 0.61	3 51 57.3	23 9 37.3
34	7	3	5 3.5	5 24.19	3 52 10.2	23 9 50.2
35	7	5	42.3	5 21.45	4 5 6.5	22 22 46.5
36	7.8	3	7.1	6 27.84	4 12 15.5	23 29 55.5
37	8.9	5	7 30.3	7 9.49	3 51 20.1	23 9 0.1
38	8	2	7.7	8 38.92	4 8 37.0	23 26 17.0
39	8.9	7	39.6	7 57.90	4 30 8.4	23 47 48.4

Hülfsstafel zur Reduction auf den mittlern Ort 1850 Januar 0 D = - 18°.

T.	k	k'	d	d'
23 0-35.54	-3	-5	- 3.6	0.0
10-35.57	-2	-5	- 3.6	0.0
20-35.59		-4	- 3.6	+12.0

53 Fad. 6. 40.2
60 „ 4. 5.9
65 „ 5. 25.7

Die Sterne gross und blass, aber ziemlich ruhig; zuletzt Streifwolken.

ZONE 254. 1849 Sept. 29. Ost.

NC. 20 22 - 1 51.33
22 16 - 1 54.99
Anf. 27 9.31 + 12.2 56.1
21 21 55.0
Ende 8.96 + 11.2 53.4
Microsc. I - 1'' 00 u. + 0'' 32
Decl. = - (Microsc. I + 19° 17' 40'')
21^a r+i - 35''.921 Δr 0''.000 Δi - 0''.041

Hülfsstafel zur Reduction auf den mittlern Ort 1850 Januar 0 D = - 24°.

T.	k	k'	d	d'
20 30-34.97	-5	-6	+ 9.7	+0.5
40-35.02	-5	-6	+10.2	+0.4
50-35.07	-5	-6	+10.6	+0.4
21 0-35.12	-4	-6	+11.0	+0.3
10-35.16		-6	-11.3	+22.1

7 Fad. 6. 28.1 Fad. 5 zweifelhaft und daher ausgeschlossen.

12 Fad. 5. 16''.2

15. Sehr wahrscheinlich ist das Microscop zu lesen 4 56 31.5, und dann die Decl. 24 14 11.5, und T. 48' 52''.15; dann kommt die Beob. vollkommen mit Z. 234 N^o. 24 und LL. 40437 überein.

24 Fad. 3. 26''.0

26 „ 7. 25.6

29 „ 7. 25.5

No.	Gr.	Fad.	Beob. Zeit.	T.	Microsc. I	Südl. Declin.
40	9	4	27.2	21 9' 27.20	5 21' 34.3	24 39' 14.3
41	8.9	6	58.8	9 27.34	5 21' 34.7	24 39' 14.7
42	8	4	52.3	10 52.23	3 22' 36.1	22 40' 16.1
43	8.9	4	46.0	11 46.00	3 16' 26.1	22 34' 6.1
44	7	2	10.0	12 41.13	3 43' 50.1	23 1' 30.1
45	9.0	6	14 42.5	14 11.20	4 45' 53.7	24 3' 33.7
46	9	5	13.6	14 52.64	4 48' 53.8	24 6' 33.8
47	7	2	15 40.4	16 11.81	4 58' 51.7	24 16' 31.7
48	9	4	23.4	16 23.30	5 0' 46.7	24 18' 26.8
49	8	3	6.6	17 27.48	4 55' 30.3	24 13' 10.3
50	6	5	6.2	17 45.18	5 10' 17.9	24 27' 57.9
51	7	7	45.1	18 2.95	5 49' 53.5	25 7' 33.5
52	9	7	58 :	18 16	5 49' 46.4	25 7' 26.4
53	8	5	43.6	19 22.62	4 58' 14.5	24 15' 54.5
54	8.9	4	26.7	20 26.70	4 58' 33.9	24 16' 13.9
55	9	6	21 50.8	21 19.39	5 9' 10.4	24 26' 50.4
56	8.9	7	23 2.3	22 20.17	5 47' 8.2	25 4' 48.2
57	9	5	53.5	23 32.37	5 48' 3.9	25 5' 43.9
58	6	3	8.4	24 29.31	5 57' 6.6	25 14' 46.6
59	8.9	6	6.9	24 35.19	5 30' 48.7	24 48' 28.7
60	9.0	7	26 19.0	25 37.57	3 38' 5.0	22 55' 45.0
61	8	4	24.1	27 24.10	4 29' 36.4	23 47' 16.4
62	6	7	57.5	27 15.69	4 49' 39.1	24 7' 19.1
63	9.0	7	29 21.6	28 40.16	3 40' 40.4	22 58' 20.4
64	9	5	52.0	29 31.24	3 32' 22.0	22 50' 2.0
65	8.9	6	31.5	30 0.30	4 26' 47.4	23 44' 27.4
66	9.0	7	31 16 :	30 34	4 31' 28.9	23 49' 8.9
67	8.9	4	31 59.6	31 59.60	4 34' 59.7	23 52' 39.7
68	8.9	4	42.6	32 42.60	5 17' 26.2	24 35' 6.2
69	9	5	16.9	32 55.87	5 11' 32.0	24 29' 12.0
70	5.6	4	2.9	34 2.90	4 38' 50.5	23 56' 30.5
71	7.8	4	2.8	35 2.80	4 33' 43.1	23 51' 23.1
72	9	3	3.6	36 24.45	4 54' 43.0	24 12' 23.0
73	7.8	4	10.7	37 10.70	3 57' 36.8	23 15' 16.8
74	9	3	38 30.5	38 51.35	3 53' 2.5	23 10' 42.5
75	9	5	39 54.2	39 33.19	5 4' 8.8	24 21' 48.8
76	9	5	19.2	39 58.17	5 11' 1.6	24 28' 41.6
77	8.9	3	40 38.2	40 59.07	5 2' 22.0	24 20' 2.0
78	8.9	6	41 44.6	41 13.43	4 13' 28.7	23 31' 8.7
79	9.0	5	43.5	42 22.43	5 26' 13.0	24 43' 53.0
80	7	7	44 8.7	43 26.94	4 40' 29.1	23 58' 9.1
81	8.9	7	52.6	44 11.00	4 10' 12.5	23 27' 52.5
82	9	6	12.1	44 40.96	4 5' 32.2	23 23' 12.2
83	9	5	46 46.5	46 25.61	4 22' 45.4	23 40' 25.4
84	7	2	19.7	47 51.00	4 28' 10.5	23 45' 50.5
85	9.0	7	48 13.5	47 32.05	3 43' 26.1	23 1' 6.1
86	8	1	49 38.4	50 20.03	4 39' 6.7	23 56' 46.7
87	7.8	2	50 55.3	41 26.65	4 17' 51.4	23 35' 31.4
88	9	7	52 1.3	51 19.33	5 18' 34.5	24 36' 14.5
89	7	7	6.7	51 24.75	5 15' 8.2	24 32' 48.2
90	8	6	53 22.4	52 51.11	4 43' 10.0	24 0' 50.0
91	8	4	21.7	54 21.70	5 2' 36.0	24 20' 16.0
92	8.9	1	56 25.5	57 6.77	3 40' 53.9	22 58' 33.9
93	8.9	4	30.0	57 30.00	4 52' 5.0	24 9' 45.0
94	9	4	50.3	57 50.30	4 57' 48.1	24 15' 28.1

Hülftafel zur Reduction auf den mittleren Ort 1850 Januar 0 D = - 24°.

T.	k	k'	d	
21 10' 35.16	-5	-6	+11.3	+0.3
20-35.21	-4	-6	+11.6	+0.3
30-35.25	-5	-6	+11.9	+0.2
40-35.30	-4	-5	+12.1	+0.2
50-35.34	-4	-5	+12.3	+0.2
22 0-35.38		-5	+12.5	+

40. 41. derselbe.

42 Fad. 5. 12".9

47 " 4. 11.8

48 " 5. 44.2

49 " 4. 27.5

53 " 6. 54.0

58 " 4. 29.2

59 " 7. 17.0

65 " 7. 42.0

74 " 4. 51.5

85. Zeit zweifelhaft.

87 Fad. 3. 6".0

92 " 2. 35.6

Fäden 35".41 und 34".96

Nr.	Fad.	Beob. Zeit.	T.	Microsc. I	Sädl. Declin.																																				
9	5	0' 44.6	22 0' 23.76	4 3' 16.8	23 20' 56.8	Luft Anfangs etwas unruhig, seit 21 ^u ziemlich gut, aber vielleicht etwas dunstig.																																			
7	4	1 40.0	1 40.00	5 5' 58.3	24 23' 38.3																																				
3	4	4 7.9	21 4 7.90	11 39' 27.3	20 56' 27.3	ZONE 255. 1849 Oct. 17. Ost.																																			
9	6	5 23.5	4 53.26	9 44' 35.4	19 1' 35.4																																				
0	4	15.3	6 15.30	10 11' 24.7	19 28' 24.7	SC. 20 54'-2' 6.31																																			
7	4	3.1	7 3.10	11 24' 18.2	20 41' 18.2	22 40 8.31																																			
5	5	3.0	7 42.47	11 59' 9.6	21 16' 9.6	Anf. 28 2.20+8.2 49.5																																			
3	3	26.4	8 46.97	11 30' 38.4	20 47' 38.4	Ende 2.62+8.0 48.4																																			
9	4	25.9	9 25.90	11 8' 1.6	20 25' 1.6	Micr. I + 4".63																																			
9	7	1 :	9 20	10 50' 48.0	20 7' 48.0	Decl. = - (Micr. I + 9° 17' 0")																																			
0	5	11 21.8	11 1.39	11 4' 36.5	20 21' 36.5	22 ^u $\tau + i - 38''.835$ $\Delta\tau - 0''.002$ $\Delta i - 0''.040$																																			
0	2	53.4	12 23.97	11 10' 12.5	20 27' 12.5	Hülftafel zur Reduction auf den mittlern Ort 1850 Januar 0 D = - 20°.																																			
0	3	13 10.8	13 31.10	11 12' 20.6	20 29' 20.6																																				
0	3	53.1	14 13.42	11 17' 5.4	20 34' 5.4	<table><tr><th>T.</th><th>k</th><th>k'</th><th>d</th><th>d'</th></tr><tr><td>21 0'-37.79</td><td>-5</td><td>-6</td><td>+ 7.6</td><td>+ 0.5</td><td>+ 14.5</td></tr><tr><td>10-37.84</td><td>-5</td><td>-6</td><td>+ 8.1</td><td>+ 0.5</td><td>+ 14.5</td></tr><tr><td>20-37.90</td><td>-5</td><td>-6</td><td>+ 8.6</td><td>+ 0.4</td><td>+ 14.5</td></tr><tr><td>30-37.95</td><td>-6</td><td>-6</td><td>+ 9.0</td><td>+ 0.5</td><td>+ 14.6</td></tr><tr><td>40-38.01</td><td>-5</td><td>-6</td><td>+ 9.5</td><td>+ 0.4</td><td>+ 14.6</td></tr></table>	T.	k	k'	d	d'	21 0'-37.79	-5	-6	+ 7.6	+ 0.5	+ 14.5	10-37.84	-5	-6	+ 8.1	+ 0.5	+ 14.5	20-37.90	-5	-6	+ 8.6	+ 0.4	+ 14.5	30-37.95	-6	-6	+ 9.0	+ 0.5	+ 14.6	40-38.01	-5	-6	+ 9.5	+ 0.4	+ 14.6
T.	k	k'	d	d'																																					
21 0'-37.79	-5	-6	+ 7.6	+ 0.5	+ 14.5																																				
10-37.84	-5	-6	+ 8.1	+ 0.5	+ 14.5																																				
20-37.90	-5	-6	+ 8.6	+ 0.4	+ 14.5																																				
30-37.95	-6	-6	+ 9.0	+ 0.5	+ 14.6																																				
40-38.01	-5	-6	+ 9.5	+ 0.4	+ 14.6																																				
0	5	34.5	14 14.18	10 34' 37.6	19 51' 37.6																																				
0	7	10.8	14 30.21	10 40' 18.9	19 57' 18.9	6 Fad. 5. 7.3																																			
0	5	58.6	15 38.37	9 38' 44.8	18 55' 44.8																																				
0	5	38.4	16 18.00	10 58' 37.4	20 15' 37.4	10. Dass ein Fehler von -1" Zeit, der bei dem folgenden Sterne entdeckt wurde, hier noch nicht stattgefunden, zeigt eine Beob. 1851 Oct. 13.																																			
0	5	10.2	16 49.80	10 57' 20.0	20 14' 20.0																																				
0	6	39.3	17 8.66	11 48' 50.2	21 5' 50.2	13 Fad. 6. 44".6																																			
0	7	9.5	17 28.62	11 44' 40.5	21 1' 40.5																																				
0	4	34.4	18 34.34	11 47' 4.9	21 4' 4.9	20 " 5. 54.8																																			
0	3	18.0	19 38.35	11 34' 25.0	20 51' 25.0	22 " 5. 0.0																																			
0	4	39.4	19 39.46	11 37' 48.6	20 54' 48.6	26 " 7. 52.0																																			
0	6	28.0	19 57.41	11 32' 52.7	20 49' 52.7	32 " 5. 3.4																																			
0	6	14.3	20 44.00	10 2' 10.6	19 19' 10.6	34 " 6. 17.0																																			
0	4	4.3	22 4.30	9 43' 26.2	19 0' 26.2	35 " 3. 52.8																																			
0	6	42.0	22 11.54	10 31' 5.3	19 48' 5.3	39 " 6. 27.0																																			
0	3	17.0	23 37.23	10 36' 46.5	19 53' 46.5	43 " 2. 23.9 Fäden 53".98 und 54".30																																			
0	6	3.6	23 33.18	10 41' 54.8	19 58' 54.8	45 " 4. 18.2																																			
0	4	24 45.6	24 45.60	11 45' 32.4	21 2' 32.4	46 " 7. 56.9																																			
0	5	34.5	25 14.01	11 39' 47.2	20 56' 47.2	48 " 7. 59.1																																			
0	7	18.0	25 37.47	10 25' 15.6	19 42' 15.6																																				
0	4	43.0	26 43.03	10 34' 42.3	19 51' 42.3																																				
0	4	27 32.6	27 32.60	10 37' 40.8	19 54' 40.8																																				
0	5	6.9	27 46.64	10 9' 22.5	19 26' 22.5																																				
0	2	42.9	29 13.12	10 7' 52.0	19 24' 52.0																																				
0	5	17.4	28 57.12	10 2' 47.8	19 19' 47.8																																				
0	5	56.6	29 36.35	9 49' 38.6	19 6' 38.6																																				
0	5	30 36.5	30 16.26	9 43' 37.5	19 0' 37.5																																				
0	5	16.8	30 56.61	10 4' 24.5	19 21' 24.5																																				
0	5	6.0	31 45.65	10 36' 33.9	19 53' 33.9																																				
0	6	41.5	32 10.90	11 36' 49.6	20 53' 49.6																																				
0	3	39.2	33 59.50	11 12' 8.9	20 29' 8.9																																				
0	1	13.6	34 54.14	10 16' 1.1	19 33' 1.1																																				
0	5	35 31.0	35 10.76	9 42' 18.8	18 59' 18.8																																				
0	3	58.3	36 18.30	9 35' 12.5	18 52' 12.5																																				
0	6	46.7	36 16.24	10 54' 38.8	20 11' 38.8																																				
0	6	17.5	36 47.04	10 55' 48.2	20 12' 48.2																																				
0	6	48.8	37 18.25	11 30' 54.3	20 47' 54.3																																				
9	3	38 38.7	38 58.80	9 33' 55.8	18 50' 55.8																																				
8	2	32.9	40 3.18	9 37' 34.2	18 54' 34.2																																				
9	2	5.6	40 35.91	9 46' 50.1	10 3' 50.1																																				
9	4	57.0	40 57.00	10 49' 22.4	20 6' 22.4																																				
0	5	29.2	41 8.79	11 4' 24.0	20 21' 24.0																																				

No.	Gr.	Fad.	Beob. Zeit.	T.	Microsc. I	Südl. Declin.
54	9.0	3	28.2	21 42 48.49	11 7 25.9	20 24 25.9
55	8.9	2	43 1.7	43 32.29	11 16 6.3	20 33 6.3
56	8	5	31.8	43 11.36	11 36 10.7	20 53 10.7
57	6.7	5	19.6	43 59.32	10 2 23.0	19 19 23.0
58	8	4	3.9	45 3.90	8 29 29.8	17 46 29.8
59	8.9	6	45 50.1	45 19.71	10 34 17.0	19 51 17.0
60	8	2	47 21.5	47 52.25	11 50 39.3	21 7 39.3
61	9	5	14.0	47 53.64	10 49 39.8	20 6 39.8
62	9	4	45.2	48 45.20	10 52 42.8	20 9 42.8
63	7.8	5	44.3	49 23.89	10 37 9.7	19 54 9.7
64	8.9	4	46.7	50 46.70	9 59 32.0	19 16 32.0
65	9	7	25.6	50 44.97	10 48 51.8	20 5 51.8
66	9	5	51 46.7	51 26.33	10 45 15.9	20 2 15.9
67	9	3	52 51.9	53 12.28	11 46 37.2	21 3 37.2
68	9	4	33.4	53 33.40	10 44 56.8	20 1 56.8
69	6.7	3	13.7	54 33.78	9 20 35.1	18 37 35.1
70	9.0	4	55 30.5	55 30.50	11 32 56.6	20 49 56.6
71	7.8	4	56 44.5	56 44.50	11 51 5.8	21 8 5.8
72	7.8	2	40.1	58 10.47	10 6 56.5	19 23 56.5
73	9.0	5	36.6	58 16.28	10 22 41.6	19 39 41.6
74	8	7	53 :	58 12	11 13 3.8	20 30 3.8
75	8.9	2	35.4	22 0 5.93	11 8 5.9	20 25 5.9
76	7	5	7.0	21 59 46.60	11 0 56.3	20 17 56.3
77	5	3	2.5	22 1 22.62	9 58 19.0	19 15 19.0
78	8.9	3	9.5	1 29.62	9 56 12.7	19 13 12.7
79	9	4	52.0	1 52.00	9 54 16.0	19 11 16.0
80	9.0	6	21.2	1 51.06	9 53 48.2	19 10 48.2
81	8.9	6	1.6	2 31.46	9 26 56.1	18 43 56.1
82	9.0	4	3 51.6	3 51.60	10 7 26.9	19 24 26.9
83	9.0	7	4 44.5	4 4.08	9 59 21.2	19 16 21.2
84	9	3	5 47.5	6 7.64	9 54 57.9	19 11 57.9
85	7	4	44.0	6 44.00	10 42 26.7	19 59 26.7
86	9	3	14.2	7 34.49	11 8 17.0	20 25 17.0
87	9	3	36.8	7 57.09	11 6 3.3	20 23 3.3
88	8	1	4.7	8 45.23	11 7 21.9	20 24 21.9
89	9	5	54.4	8 33.94	11 26 3.8	20 43 3.8
90	9	6	10.7	8 40.13	11 28 56.3	20 45 56.3
91	7.8	5	37.4	9 16.88	11 29 6.3	20 46 6.3
92	9.0	5	18.6	9 58.07	11 55 54.9	21 12 54.9
93	9	5	41.7	10 21.17	11 57 20.9	21 14 20.9
94	8.9	4	54.8	10 54.80	11 57 30.1	21 14 30.1
95	9	5	11 20.5	10 59.94	12 0 57.2	21 17 57.2
96	8.9	3	12 36.3	12 56.53	10 40 21.1	19 57 21.1
97	9	4	15.3	13 15.30	11 24 11.8	20 41 11.8
98	8	4	14 26.0	14 26.00	10 54 21.3	20 11 21.3
99	8.9	3	44.6	15 4.85	10 49 25.7	20 6 25.7
100	9	4	15 58.5	15 58.50	11 10 20.4	20 27 20.4
101	9	3	51.2	17 11.48	11 4 14.9	20 21 14.9
102	9	3	25.9	17 46.24	11 30 23.4	20 47 23.4
103	7	4	18 13.5	18 13.50	11 42 47.6	20 59 47.6
104	9	5	42.7	18 22.20	11 42 46.9	20 59 46.9
105	9	3	11.4	19 31.78	11 47 43.9	21 4 43.9
106	8	6	0.2	19 29.76	10 49 9.1	20 6 9.1
107	9	7	20.0	19 39.34	10 55 23.2	20 12 23.2
108	9	6	7.1	20 36.44	11 51 34.0	21 8 34.0

Hülftafel zur Reduction auf den mittleren Ort 1850 Januar 0 D = - 20°.

T.	k	k'	d	
21 40' - 38.01	-5	-6	+ 9.5	+ 0.4
50 - 38.06	-5	-6	+ 9.9	+ 0.5
22 0 - 38.11	-5	-5	+ 10.4	+ 0.4
10 - 38.16	-5	-5	+ 10.8	+ 0.4
20 - 38.21	-5	-5	+ 11.2	+ 0.4
30 - 38.26	-5	-5	+ 11.6	+ 0.3
40 - 38.31	-5	-5	+ 11.9	+

56 Fad. 6. 42.0
60 " 3. 31.9
61 " 6. 24.1
63 " 7. 4.4 Faden 5 im Original 45.3,
Zeitsecunde als zweifelhaft angegeben.
75 Fad. 3. 45".6
77 " 4. 22.6
78 " 4. 29.6
80 " 7. 31.6
81 " 7. 11.8
82. Zeit vielleicht 50".60
88 Fad. 2. 14".6
91 " 6. 47.4
95 " 6. 30.6
103. dupl. II. Cl. praec.

Nr.	Gr.	Fad.	Beob. Zeit.	T.	Microsc. I	Schl. Declin.	
109	8	4	32.2	22 21 32.14	11 53 24.0	21 10 24.0	109 Fad. 5. 52.6
110	9	4	22 34.0	22 34.07	9 53 45.0	19 10 45.0	110 " 5. 54.4
111	9	5	23 40.5	23 20.15	10 40 16.0	19 57 16.0	114 " 4. 37.4
112	8.9	2	25 6.0	25 36.52	10 52 49.7	20 9 49.7	116 " 7. 21.0 Faden 5 ist zweifelhaft und deshalb ausgeschlossen.
113	9	4	48.5	25 48.50	10 44 54.7	20 1 54.7	121 Fad. 6. 4".4
114	8	3	16.9	26 37.28	10 51 11.9	20 8 11.9	
115	8	4	10.5	27 10.59	11 21 0.3	20 38 0.3	
116	8.9	5	0.5	27 40.59	9 54 40.5	19 11 40.5	
117	8.9	4	29 4.4	29 4.40	9 38 10.1	18 55 10.1	
118	7.8	5	28.8	29 8.55	9 46 0.8	19 3 0.8	Sehr schöne Luft. Einer der Fäden im Microsc. war etwas krumm geworden; doch liess sich die Einstellung noch recht gut machen.
119	9	7	7.4	29 26.88	10 22 49.3	19 39 49.3	
120	8.9	4	11.2	32 11.20	10 37 25.8	19 54 25.8	
121	7	4	32 34.0	32 33.99	10 41 44.2	19 58 44.2	
1	8.9	3	56 1.3	20 56 21.43	9 49 56.7	19 6 46.7	ZONE 256. 1849 Oct. 18. Ost.
2	8	6	41.0	56 10.91	9 25 11.3	18 42 1.3	NC. 20' 44 - 1' 50.82
3	8	5	23.5	57 3.41	8 28 34.8	17 45 24.8	22 41 - 1' 53.12
4	5	3	48.2	58 8.18	8 32 48.5	17 49 38.4	Anf. 28 4.30 + 10.2 54.0
5	9.0	7	27.3	57 47.26	8 20 45.8	17 37 35.8	Ende 4.37 + 9.5 51.9
6	8.9	2	0.0	59 29.95	7 44 33.9	17 1 23.9	Microsc. I + 7".27
7	9	3	22.2	59 42.20	7 48 14.9	17 5 4.9	Decl. = - (Microsc. I + 9° 16' 50")
8	8.9	3	7.3	21 0 27.22	8 2 58.4	17 19 48.4	22" r+i-38".588 Δr 0".000 Δi-0".039
9	9.0	5	1 15.0	0 54.89	8 36 19.8	17 53 9.8	Halftafel zur Reduction auf den mittlern Ort 1850 Januar 0 D = - 18°.
10	9.0	5	2 29.5	2 9.40	8 35 10.3	17 52 0.3	
11	9	5	56.4	2 36.33	8 17 5.4	17 33 55.4	
12	9	4	39.4	3 39.40	7 21 27.4	16 38 17.4	
13	9.0	5	5 8.8	4 48.72	8 20 42.5	17 37 32.5	
14	9.0	6	39.3	5 9.30	8 30 43.7	17 47 33.7	
15	9.0	4	22.9	6 22.90	8 36 28.8	17 53 18.8	
16	7	2	50.2	7 20.31	8 41 3.2	17 57 53.2	
17	9.0	6	29.5	6 59.47	8 33 23.9	17 50 13.9	
18	8.9	6	22.0	7 52.15	7 25 59.0	16 42 49.3	
19	9	3	9 36.3	9 56.39	9 31 0.8	18 47 50.8	
20	6	4	9.9	10 9.90	9 19 48.1	18 36 38.1	
21	8	5	49.4	10 29.31	8 48 30.8	18 5 20.8	
22	9.0	7	27.2	10 47.04	8 52 47.1	18 9 37.1	
23	9.0	5	12 13.0	11 52.94	8 7 39.8	17 24 29.8	
24	5	4	14 31.0	14 31.00	8 11 31.8	17 28 21.8	
25	9.0	5	20.7	15 0.67	7 53 58.2	17 10 48.2	
26	9.0	3	51.4	16 11.55	7 48 1.9	17 4 51.9	
27	9	6	17 9.6	16 39.75	7 25 34.1	16 42 24.1	
28	8.9	3	18 41.5	19 1.49	8 38 8.8	17 54 58.8	
29	9	7	27.5	18 47.25	9 14 38.0	18 31 28.0	
30	9.0	7	54.1	19 13.73	9 45 21.4	19 2 11.4	
31	8.9	5	20 58.5	20 38.39	8 37 39.8	17 54 29.8	
32	9.0	5	22 24.6	22 4.36	9 43 16.8	19 0 6.8	
33	8.9	2	23 2.1	23 32.25	8 38 11.1	17 55 1.1	
34	8.9	3	26 5.0	26 24.99	8 38 29.7	17 55 19.7	
35	9	4	26 47.0	26 47.00	8 7 52.0	17 24 42.0	
36	9.0	4	27 0.2	27 0.20	8 7 31.1	17 24 21.1	
37	8.9	5	27.7	27 7.64	8 7 4.0	17 23 54.0	
38	8.9	4	28 5.0	28 5.00	8 2 35.0	17 19 25.0	
39	8.9	3	26.0	28 45.93	8 6 4.8	17 22 54.8	
40	8.9	5	17.2	28 57.11	8 29 23.2	17 46 13.2	
41	7.8	2	45.0	30 15.10	8 36 6.7	17 52 56.7	
42	9.0	5	36.4	30 16.16	9 43 29.1	19 0 19.1	

109 Fad. 5. 52.6
110 " 5. 54.4
114 " 4. 37.4
116 " 7. 21.0 Faden 5 ist zweifelhaft und
deshalb ausgeschlossen.
121 Fad. 6. 4".4

Sehr schöne Luft. Einer der Fäden im Microsc.
war etwas krumm geworden; doch liess sich
die Einstellung noch recht gut machen.

ZONE 256. 1849 Oct. 18. Ost.

NC. 20' 44 - 1' 50.82
22 41 - 1' 53.12
Anf. 28 4.30 + 10.2 54.0
Ende 4.37 + 9.5 51.9
Microsc. I + 7".27
Decl. = - (Microsc. I + 9° 16' 50")
22" r+i-38".588 Δr 0".000 Δi-0".039

Halftafel zur Reduction auf den mittlern Ort 1850 Januar 0 D = - 18°.

T.	k	k'	d	d'
20 50-37.49	-6	-6	+ 6.4	+0.5
21 0-37.55	-5	-6	+ 6.9	+0.6
10-37.60	-6	-6	+ 7.5	+0.5
20-37.66	-5	-6	+ 8.0	+0.5
30-37.71	-6	-6	+ 8.5	+12.0

2 Fad. 7. 51.3
7 " 4. 42.3
14 " 7. 49.4
21 " 7. 9.5
26 " 4. 11.8 Fad. 3 giebt 11".30
33 " 3. 12.3

No.	Gr.	Fad.	Beob. Zeit.	T.	Microsc. I	Südl. Declin.
43	8	7	31' 33.4	21 30' 53.38	8 15 23.6	17 32 13.6
44	4	3	4.3	32 24.26	8 3 32.9	17 20 22.9
45	8.9	4	56.8	32 56.80	8 10 2.1	17 26 52.1
46	7.8	2	45.9	34 16.00	8 37 30.0	17 54 20.0
47	9.0	7	35 17.5	34 37.48	8 16 17.9	17 33 7.9
48	8	5	12.3	35 52.17	8 47 25.3	18 4 15.3
49	9.0	4	48.3	36 48.30	9 3 53.7	18 20 43.7
50	8	2	37 39.7	38 9.94	9 23 16.5	18 40 6.5
51	7.8	2	16.7	38 46.93	9 19 41.0	18 36 31.0
52	9.0	3	55.9	39 15.81	7 57 0.2	17 13 50.2
53	4	5	43.1	39 23.11	7 31 43.5	16 48 33.5
54	8.9	4	16.5	40 16.50	7 29 34.9	16 46 24.9
55	9.0	6	41 6.0	40 35.75	9 46 43.4	19 3 33.4
56	8	3	41 18.3	41 38.46	9 48 1.3	19 4 51.3
57	9	4	33.4	42 33.40	8 43 46.3	18 0 36.3
58	7	5	42 55.5	42 35.37	8 15 48.4	17 32 38.4
59	7	5	44 19.5	43 59.22	10 2 18.4	19 19 8.4
60	8	4	4.1	45 4.10	8 29 22.1	17 46 12.1
61	8.9	7	32.1	44 52.10	8 10 7.8	17 26 57.8
62	8	4	4.6	46 4.60	8 10 35.7	17 27 25.7
63	9.0	5	45.5	46 25.45	8 3 36.5	17 20 26.5
64	9.0	6	2.5	46 32.55	8 4 15.8	17 21 5.8
65	7	1	48 27.6	49 7.74	9 19 36.1	18 36 26.1
66	8.9	5	50 6.7	49 46.70	7 40 10.0	16 57 0.0
67	9	7	51 8.5	50 28.30	9 3 9.5	18 19 59.5
68	8	4	49.9	51 49.90	9 25 48.2	18 42 38.2
69	9.0	6	27.5	51 57.28	9 38 6.5	18 54 56.5
70	8	6	13.1	52 43.02	8 49 24.9	18 6 14.9
71	7.8	4	42.7	53 42.70	8 57 18.0	18 14 8.0
72	9	4	10.3	54 10.30	8 53 40.5	18 10 30.5
73	9.0	7	34.4	53 54.24	8 52 9.1	18 8 59.1
74	8.9	3	1.5	55 21.56	8 52 16.0	18 9 6.0
75	9	3	46.1	56 6.10	8 44 6.1	18 0 56.1
76	8	3	56 19.4	56 39.28	7 36 36.8	16 53 26.8
77	9.0	4	9.5	57 9.32	9 0 3.0	18 16 53.0
78	9.0	6	9.7	57 39.56	9 8 36.0	18 25 26.0
79	8	1	59 36.9	22 0 17.06	9 22 52.6	18 39 42.6
80	8	1	58.4	0 38.53	9 16 57.9	18 33 47.9
81	9	1	41.0	1 21.19	9 21 13.8	18 38 3.8
82	6	5	43.1	1 22.83	9 58 14.8	19 15 4.8
83	8.9	6	0.0	1 29.72	9 56 8.3	19 12 58.3
84	9	6	22.0	1 51.73	9 54 10.5	19 11 0.5
85	9.0	7	2 31.5	1 51.10	9 53 42.6	19 10 32.6
86	9	7	4 7.1	3 27.21	7 39 53.9	16 56 43.9
87	9.0	7	5 20.5	4 40.17	9 35 11.5	18 52 1.5
88	8.9	7	39.3	4 59.00	9 29 6.1	18 45 56.1
89	9.0	7	32.2	5 52.09	8 41 31.4	17 58 21.4
90	9.0	3	6.5	7 26.49	8 36 29.4	17 53 19.4
91	8.9	1	8 4.4	8 44.40	8 40 19.0	17 57 9.0
92	9.0	5	58.2	8 38.05	8 58 50.2	18 15 40.2
93	8.9	3	39.3	9 59.40	9 37 44.3	18 54 34.3
94	7	7	10 37.4	9 57.56	7 27 1.7	16 43 51.7
95	9.0	6	11 57.5	11 27.59	7 50 3.6	17 6 53.6
96	8	6	12 33.8	12 3.83	8 10 26.4	17 27 16.4
97	9	5	18.2	12 58.15	8 3 14.5	17 20 4.5

Hülftafel zur Reduction auf den mittleren Ort 1850 Januar 0 D = - 18°.

T.	k	k'	d	
21 30' 37.71	-6	-6	+ 8.5	+0.5 +
40 -37.77	-5	-6	+ 9.0	+0.5 +
50 -37.82	-5	-5	+ 9.5	+0.5 +
22 0 -37.87	-5	-5	+10.0	+0.4 +
10 -37.92	-5	-5	+10.4	+0.5 +
20 -37.97		-5	+10.9	

44 Fad. 4. 24.3

56 " 4. 38.5

58 " 6. 5.3

74 " 4. 21.6

77 " 5. 29.3 giebt 9".15

81 " 2. 51.0

84. Zeit zweifelhaft.

94. Ein Stern 8^m. geht südlich voraus.

Nº.	Gr.	Fad.	Beob. Zeit.	T.	Microsc. I	Südl. Declin.
98	9.0	4	14' 50.6	22 14' 50.60	8° 9' 48.6	17 26' 38.6
99	8.9	3	15 45.8	16 5.66	7 26 44.8	16 43 34.8
100	9.0	6	16 57.8	16 27.81	8 44 5.1	18 0 55.1
101	8.9	2	3.5	18 33.82	9 50 4.0	19 6 54.0
102	8.9	4	46.7	18 46.70	9 29 13.4	18 46 3.4
103	9.0	5	21.8	19 1.62	9 11 44.2	18 28 34.2
104	9	5	48.2	19 28.02	9 15 44.3	18 32 34.3
105	9.0	5	15.3	19 55.13	9 9 18.8	18 26 8.8
106	8	6	50.6	20 20.50	8 45 17.9	18 2 7.9
107	9	5	21 34.5	21 14.50	7 40 11.5	16 57 1.5
108	8.9	5	46.3	21 26.30	7 38 23.0	16 55 13.0
109	8	5	22 50.9	22 30.96	7 57 15.4	17 14 5.4
110	7	5	19.0	22 58.98	7 50 18.3	17 7 8.3
111	9	4	24 40.0	24 40.00	9 8 8.3	18 24 58.3
112	7	3	25 15.2	25 35.23	8 59 28.9	18 16 18.9
113	9	4	25 38.2	25 38.20	8 55 27.6	18 12 17.6
114	9	3	26 42.5	27 2.41	7 56 50.5	17 13 40.5
115	8.9	3	40.3	28 0.30	8 45 11.6	18 2 1.6
116	6.7	4	22.0	28 22.00	8 57 16.2	18 14 6.2
117	9.0	5	2.5	28 42.35	8 58 54.1	18 15 44.1
118	8.9	7	44.8	29 4.46	9 38 1.5	18 54 51.5
119	9.0	7	44.6	30 4.56	8 19 48.7	17 36 38.7
120	8.9	5	24.0	31 4.96	7 58 24.3	17 15 14.3
121	8.9	6	9.3	31 40.14	9 17 46.8	18 34 36.8
122	9	4	32 35.6	32 36.60	9 18 28.1	18 35 18.1
1	7.8	4	52 53.3	21 52 53.30	4 42 58.7	24 0 48.7
2	7.8	4	54 24.1	54 24.10	5 2 24.2	24 20 14.2
3	8.9	3	58 48.5	57 9.16	3 40 41.4	22 58 31.4
4	9	5	57 27.2	57 6.41	3 43 50.5	23 1 40.5
5	9	7	13.5	57 31.68	4 51 52.9	24 9 42.9
6	9	7	34 :	57 52	4 57 37.0	24 15 27.0
7	9	4	17.7	59 17.70	5 4 5.4	24 21 55.4
8	9	4	43.5	50 53.52	5 22 41.9	24 40 31.9
9	8	4	28.2	22 0 28.20	5 10 1.7	24 27 51.7
10	7	3	1 21.4	1 42.28	5 5 46.7	24 23 36.7
11	9	5	2 27.5	2 6.59	4 28 16.1	23 46 6.1
12	9	5	6.6	2 45.61	4 59 27.5	24 17 17.5
13	9	7	35.5	2 53.48	5 27 44.1	24 45 34.1
14	8.9	3	5 47.9	6 8.79	5 7 13.6	24 25 3.6
15	8.9	6	6 42.1	6 10.95	3 42 36.7	23 0 26.7
16	7	7	42.5	7 0.48	5 26 53.8	24 44 43.8
17	7.8	5	8 45.0	8 24.09	4 27 36.6	23 45 26.6
18	6	4	16.2	9 16.20	4 35 21.9	23 53 11.9
19	8	3	27.6	9 48.70	4 34 1.0	23 51 51.0
20	7.8	3	9.5	10 30.17	3 45 19.5	23 3 9.5
21	8	3	56.8	11 17.57	4 15 2.7	23 32 52.7
22	9	5	42.5	11 21.61	4 22 9.0	23 39 59.0
23	8.9	6	16.5	11 45.06	5 15 19.6	24 33 9.6
24	9	4	13 10.5	13 10.10	4 10 20.4	23 28 10.4
25	9	5	14 17.4	13 56.52	4 16 55.4	23 34 45.4
26	9	5	15 25.3	15 4.70	3 38 2.3	22 55 52.3
27	8.9	2	11.9	16 42.99	3 43 28.0	23 1 18.0
28	8	5	17 14.2	16 53.23	4 49 47.6	24 7 37.6
29	7	3	9.0	18 29.89	5 8 46.5	24 26 36.5
30	9	7	6.2	18 24.53	4 23 31.2	23 41 21.2

Hülfsstafel zur Reduction auf den mittlern Ort 1850 Januar 0 D = - 18°.

T.	k	k'	d	d'
22 10-37.92	-5	-5	+10.4	+0.5
20-37.97	-5	-5	+10.9	+0.4
30-38.02	-5	-5	+11.3	+0.4

100 Fad. 7. 8.0
 106 „ 7. 0.6
 110 „ 6. 28.9
 122 „ 6. 6.3 giebt 36".14. Er ist ausgeschlossen, da er nur flüchtig beobachtet ward, um einen Zweifel in der Secunde bei Fad. 4 zu lösen. Obgleich er nun diesen fast ganz unentschieden lässt, so zeigt doch die Vergleichung mit den Zonen 253 und 264, dass sowohl bei diesen, als den beiden vorhergehenden Sternen die Secunde verzählt war, und sind die T darnach geändert. No. 118 ist richtig.

Anfangs etwas unruhige, nachher ziemlich gute Luft.

ZONE 257. 1849 Oct. 19. Ost.

NC. 21 39 - 1 48.84
 23 41 - 1 51.73
 Anf. 28 1.59 10.8 54.7
 23 1 54.0
 Ende 1.55 10.3 52.3
 Microsc. I + 6".83
 Decl. = - (Microsc. I + 19° 17' 50")
 23^a r+i - 38".264 Δr+0".005 Δi-0".042

Hülfsstafel zur Reduction auf den mittlern Ort 1850 Januar 0 D = - 24°.

T.	k	k'	d	d'
21 50-37.43	-5	-6	+8.8	+0.6
22 0-37.48	-6	-6	+9.4	+0.5
10-37.54	-5	-6	+9.9	+0.5
20-37.59	-6	-6	+10.4	+0.4

8 Fad. 5. 14.6 Fad. 4 ist nach einer Beob. 1851 Oct. 12. um 10" verschrieben; demgemäss ist T angesetzt.
 15 Fad. 7. 52".3
 19 „ 4. 48.7; Fad. 3 giebt 48".40, und ist als wahrscheinlich nur flüchtig beobachtet, ausgeschlossen.
 23 Fad. 7. 27".0
 24 „ 7. 51.7 giebt 10".10 u. ist ausgeschl.
 26 „ 7. 46.3 Fäden 4".52 und 4".87
 27 „ 3. 22.3

Nr.	Gr.	Fad.	Beob. Zeit.	T.	Microsc. I	Südl. Declin.
31	8.9	4	47.4	22 19 47.40	4 0 12.5	23 18 2.5
32	8.9	4	10.7	19 49.85	4 4 21.3	23 22 11.3
33	8	3	20 50.6	21 11.24	3 32 41.6	22 50 31.6
34	9	5	22 1.5	21 40.50	4 30 15.1	23 48 5.1
35	8	1	54.4	23 35.98	4 28 11.9	23 46 1.9
36	8	5	30.5	23 9.44	5 38 11.1	24 56 1.1
37	9	5	18.5	23 57.64	4 8 52.9	23 26 42.9
38	9	6	59.9	24 28.83	3 45 30.6	23 3 20.6
39	9	3	26 11.2	26 32.03	4 46 10.5	24 4 0.5
40	8.9	5	6.6	26 45.75	4 4 57.2	23 22 47.2
41	9	6	49.2	27 17.90	4 44 32.9	24 2 22.9
42	6.7	6	27 29.9	27 58.40	5 28 0.4	24 45 50.4
43	8.9	6	28 2.2	28 30.71	5 28 42.1	24 46 32.1
44	9	4	30 22.2	30 22.20	4 7 37.2	23 25 27.2
45	7.8	4	49.6	30 49.60	4 13 23.6	23 31 13.6
46	8	4	31.7	31 31.70	4 7 19.2	23 25 9.2
47	8	4	57.9	31 57.90	4 15 55.2	23 33 45.2
48	9	5	28.0	32 7.21	3 40 41.9	22 58 31.9
49	7	3	33 8.0	33 28.99	5 0 19.7	24 18 9.7
50	9	7	3.5	33 21.62	5 2 52.6	24 20 42.6
51	9	2	35 58.5	36 29.82	4 37 16.0	23 55 6.0
52	8.9	4	51.5	36 51.50	5 15 13.9	24 33 3.9
53	9	5	37 56.6	37 35.67	4 35 35.3	23 53 25.3
54	8.9	7	38 10.7	37 29.01	4 28 39.3	23 46 29.3
55	8.9	2	39 33.6	40 4.95	4 40 2.9	23 57 52.9
56	9	4	17.0	40 17.00	5 36 51.0	24 54 41.0
57	7	1	41 4.5	41 46.11	4 35 26.0	23 53 16.0
58	8.9	5	47.4	41 26.54	4 9 10.4	23 27 0.4
59	9	3	42 14.8	42 35.54	4 13 6.5	23 30 56.5
60	8.9	3	49.3	43 10.04	4 12 39.6	23 30 29.6
61	7.8	5	44 7.5	43 46.46	5 15 46.2	24 33 36.2
62	9.0	4	45 17.5	45 17.50	4 26 4.1	23 43 54.1
63	8.9	7	46 27.0	45 45.41	4 8 35.4	23 26 25.4
64	9	5	5.5	46 44.67	3 57 52.7	23 15 42.7
65	7	4	47 25.9	47 25.85	3 52 2.9	23 9 52.9
66	9	4	48 45.8	48 45.80	5 21 4.6	24 38 54.6
67	8.9	2	49 18.0	49 49.51	5 20 30.2	24 38 20.2
68	9	3	4.3	50 25.06	4 20 45.5	23 38 35.5
69	8.9	5	39.5	50 18.65	4 7 10.2	23 25 0.2
70	9	6	20.5	50 49.40	3 54 48.5	23 12 38.5
71	9	3	41.7	52 2.38	3 39 49.5	22 57 39.5
72	8.9	4	40.3	52 40.30	4 7 47.4	23 25 37.4
73	8	5	20.2	52 59.36	4 2 19.1	23 20 9.1
74	9	5	53 54.0	53 33.18	3 54 57.5	23 12 47.5
75	9	7	54 7.3	53 25.83	3 46 18.3	23 4 8.3
76	8	6	38.3	54 7.09	3 55 51.0	23 13 41.0
77	9	5	55 51.5	55 30.64	4 7 35.1	23 25 25.1
78	7.8	2	56 6.8	56 38.04	4 13 28.5	23 31 18.5
79	9	5	2.8	56 41.75	5 17 50.2	24 35 40.2
80	8.9	3	13.6	57 34.61	5 21 7.9	24 38 57.9
81	7	5	10.1	57 48.96	5 51 33.1	25 9 23.1
82	9	6	35.5	58 3.93	5 49 0.7	25 6 50.7
83	9	6	19.3	58 47.84	5 21 28.5	24 39 18.5
84	5	5	59 35.6	59 14.56	5 15 20.0	24 33 10.0
85	6	5	2 52.4	23 2 31.52	3 58 38.2	23 16 28.2

Hülfsstafel zur Reduction auf den middle Ort 1850 Januar 0 D = - 24°.

T.	k	k'	d
22 20 - 37.59	-5	-6	+10.4 +0.5 +
30 - 37.64	-5	-5	+10.9 +0.4 +
40 - 37.69	-5	-5	+11.3 +0.4 +
50 - 37.74	-5	-5	+11.7 +0.3 +
23 0 - 37.79	-5	-5	+12.0 +0.2 +

34 Fad. 7. 22.1

36 " 6. 41.0

42 " 7. 40.4

42. 43. Die Zeitminute muss um 1' vergrößert werden, wie die Folge der Zeiten und 44107 und 44135 zeigen. Unter dieser nahme sind die T angesetzt.

49 Fad. 4. 29.1

51 " 3. 9.0

57 " 3. 25.3

65 " 5. 46.6

71 " 4. 2.4

73. Der 4^{te} Faden, flüchtig beobachtet, ist angegeben; der Zweifel von 10", der dadurch entstand, wird durch eine Beobachtung Oct. 8. beseitigt.

76 Fad. 7. 48.5

80 " 4. 34.7

84 " 6. 46.0

85 " 6. 2.6

Gr.	Fad.	Beob. Zeit.	T.	Microsc. I	Südl. Declin.
9.0	7	5 7.0	23 4 25.54	3 44 27.6	23 2 17.6
9	6	43.7	5 12.45	4 31 41.9	23 49 31.9
9	4	6 40.5	6 40.50	4 41 28.7	23 59 18.7
9	4	24.3	7 24.30	5 21 5.0	24 38 55.0
9	6	8 29.8	7 58.68	3 59 17.0	23 17 7.0
7.8	4	8.6	9 8.57	4 44 50.6	24 2 40.6
9	5	5.2	9 44.12	5 29 52.5	24 47 42.5
8	7	10 49.6	10 7.95	4 20 24.7	23 38 14.7
9	4	29.9	11 29.90	3 39 40.9	22 57 30.9
8	3	21.7	12 42.48	4 21 1.5	23 38 51.5
9.0	6	13 56.5	13 25.41	3 50 7.3	23 7 57.3
7.8	2	14 59.0	15 30.41	4 58 37.1	24 16 27.1
8.9	2	15 14.3	15 45.71	4 55 9.9	24 12 59.9
8.9	6	16 8.9	15 37.65	4 33 8.7	23 50 58.7
8.9	6	16 57.5	16 26.34	4 8 20.4	23 26 10.4
8	3	17 19.6	17 40.31	4 2 1.3	23 19 51.3
8.9	1	1.3	18 42.74	4 3 6.6	23 20 56.6
8	3	42.2	19 3.00	4 36 5.9	23 53 55.9
9	7	47.1	19 5.47	4 16 22.7	23 34 12.7
8	5	4.8	19 44.00	4 15 20.4	23 33 10.4
9	3	21 34.0	21 54.81	4 46 28.1	24 4 18.1
8.9	3	27.7	22 48.57	4 11 34.5	23 29 24.5
9	5	19.6	22 58.76	4 2 33.9	23 20 23.9
8.9	7	23 56.4	23 15.00	3 32 40.8	22 50 30.8
9.0	7	26 1.5	25 20.06	3 40 55.1	22 58 45.1
8	5	27 4.4	26 43.49	4 28 35.7	23 46 25.7
9	4	28 21.2	28 21.20	4 8 57.4	23 26 47.4
9	6	30 13.7	29 42.67	3 34 55.0	22 52 45.0
8.9	3	31 16.2	31 37.10	5 12 45.7	24 30 35.7
7.8	3	32 8.4	32 29.06	4 4 17.2	23 22 7.2
9	3	33 0.5	33 21.25	4 17 29.0	23 35 19.0
9	3	56.9	34 17.84	5 24 52.2	24 42 42.2
8.9	4	34 32.3	34 32.24	5 8 44.1	24 26 34.1
9	4	30 7.2	1 30 7.20	5 52 47.8	15 9 17.8
8.9	2	31 17.6	31 47.43	6 57 10.2	16 13 40.2
8.9	4	45.9	31 45.90	7 21 39.9	16 38 9.9
9	4	38.0	32 38.00	7 29 9.2	16 45 39.2
8.9	4	34 8.8	34 8.80	6 22 43.9	15 39 13.9
8	2	35 51.2	36 20.89	5 58 36.5	15 15 6.5
9.0	6	37 26.6	36 56.99	5 49 0.1	15 5 30.1
8	5	38 48.6	38 28.76	6 2 36.5	15 19 6.5
7	7	40 57.2	40 17.76	5 22 9.8	14 38 39.8
9	6	47.0	41 17.34	6 8 57.0	15 25 27.0
7.8	4	58.3	41 58.30	6 14 28.8	15 30 58.8
9	7	43 7.3	42 27.54	7 3 18.3	16 19 48.3
9.0	5	43 44.4	43 24.44	7 14 34.8	16 31 4.8
9.0	6	45 0.4	44 30.78	5 52 9.2	15 8 39.2
9.0	5	48.0	45 28.20	5 33 0.2	14 49 30.2
9.0	5	14.0	45 54.16	6 0 36.9	15 17 6.9
9	6	56.7	46 27.08	5 55 46.3	15 12 16.3
9	6	37.6	47 7.90	6 26 41.0	15 43 11.0
9	3	13.8	48 33.60	6 47 54.1	16 4 24.1
9	7	49 19.0	48 39.53	5 34 21.0	14 50 51.0
8.9	4	51 12.0	51 12.00	7 35 24.3	16 51 54.3
9	4	52.8	51 52.84	6 52 48.1	16 9 18.1

Hülftafel zur Reduction auf den mittlern Ort 1850 Januar 0 D = - 21°.

T.	k	k'	d	d'
23 0' - 37.79	-5	-5	+12.0	+0.2
10 - 37.84	-4	-5	+12.2	+0.1
20 - 37.88	-5	-5	+12.3	+0.1
30 - 37.93	-4	-5	+12.4	0.0
40 - 37.97	-5	-5	+12.4	+22.6

91 Fad. 5. 29.5
95 " 4. 42.5
97 " 4. 30.4
106 " 4. 54.8
107 " 4. 48.7
109. Ungefähr 15" und 8' nördlich geht ein Stern 7 m. vorher.
115 Fad. 4. 29.0
118 " 5. 53.2

Unruhige Luft, besonders Anfangs, gegen das Ende etwas besser.

ZONE 258. 1849 Oct. 19. Ost.

NC. 1 19' - 1 51.90
3 15 - 1 54.74
Anf. 28 1.26 + 10.0 51.9
Ende 0.81 + 9.5 51.6
Microsc. I + 7.44
Decl. = - (Microsc. I + 9° 16' 30")
2" r + i - 38".437 Δr + 0".005 Δi - 0".038

Hülftafel zur Reduction auf den mittlern Ort 1850 Januar 0 D = - 16°.

T.	k	k'	d	d'
1 30' - 38.47	-1	-3	+ 5.4	+0.2
40 - 38.48	-1	-3	+ 5.6	+0.2
50 - 38.49	-1	-3	+ 5.8	+0.1

19 Fad. 4. 33.6
22 " 5. 12.8

N ^o .	Gr.	Fad.	Beob. Zeit.	T.	Microsc. I	Südl. Declin.
23	8	4	52 38.0	1 52 38.00	6 34 44.5	15 51 14.5
24	9.0	5	56 19.5	55 59.56	7 3 49.5	16 20 19.5
25	8	3	57 38.5	57 58.38	7 39 37.0	16 56 7.0
26	9	4	8.0	58 8.00	7 44 3.2	17 0 33.2
27	9.0	6	58 39.3	58 9.39	7 49 51.9	17 6 21.9
28	7.8	3	59 26.9	59 46.70	6 53 23.3	16 9 53.3
29	8	3	4.6	2 0 24.47	7 8 53.8	16 25 23.8
30	9.0	4	4.0	1 4.00	7 45 10.7	17 1 40.7
31	9	6	43.2	1 13.45	6 47 18.2	16 3 48.2
32	8.9	5	43.4	2 23.42	7 26 55.0	16 43 25.0
33	8	4	3 5.1	3 5.10	7 33 45.9	16 50 15.9
34	8.9	2	3 53.8	4 23.69	6 45 5.1	16 1 35.1
35	7.8	5	50.9	4 31.02	6 30 20.0	15 46 50.0
36	8	7	15.9	4 36.32	6 8 4.2	15 24 34.2
37	8	4	6 46.0	6 46.00	6 20 22.8	15 36 52.8
38	9	7	8 7.0	7 27.17	7 35 1.0	16 41 31.0
39	8	2	27.1	8 57.00	7 24 9.8	16 40 39.8
40	9.0	5	11.2	8 51.22	7 29 43.6	16 46 13.6
41	9	5	39.5	9 19.53	7 18 49.2	16 35 19.2
42	9.0	7	11 6.3	10 26.48	7 21 35.5	16 38 5.5
43	8.9	4	11 29.7	11 29.70	7 19 55.9	16 36 25.9
44	8.9	7	12 14.5	11 35.03	5 33 25.2	14 49 55.2
45	8.9	4	13 35.5	13 35.50	5 50 9.8	15 6 39.8
46	8.9	5	4.5	13 44.76	6 2 34.0	15 19 4.0
47	9.0	7	56.0	14 16.31	6 41 0.6	15 57 30.6
48	8.9	2	26.3	15 56.03	6 39 0.4	15 55 30.4
49	8	5	10.1	15 50.07	7 55 3.7	17 11 33.7
50	8	7	53.5	16 13.88	6 18 50.8	15 35 20.8
51	7	5	18 1.6	17 41.60	7 39 43.2	16 56 13.2
52	6.7	2	19 1.3	19 31.09	6 44 39.6	16 1 9.6
53	9	6	20 55.4	20 25.77	5 53 24.5	15 9 54.5
54	9	4	18.0	22 18.00	6 41 55.9	15 58 25.9
55	8	4	24 34.9	24 34.90	6 31 50.1	15 48 20.1
56	9.0	5	25 22.5	25 2.59	6 42 23.8	15 58 53.8
57	9	5	34.4	25 14.50	6 49 43.0	15 56 13.0
58	6	5	25 57.0	25 37.14	6 37 57.0	15 54 27.0
59	9	5	56.7	26 36.69	7 25 42.8	16 42 12.8
60	8	4	35.3	27 35.30	7 31 8.6	16 47 38.6
61	9	4	28 37.7	28 37.70	6 58 4.3	16 14 34.3
62	9	6	9.2	28 39.48	6 34 16.5	15 50 46.5
63	9	3	55.1	30 14.87	6 35 2.3	15 51 32.3
64	7.8	5	24.9	30 5.11	6 2 20.5	15 18 50.5
65	9.0	5	32 23.3	32 3.49	5 40 45.6	14 57 15.6
66	8	4	32 53.9	32 53.90	5 39 29.3	14 55 59.3
67	9	4	19.8	33 19.85	5 39 11.7	14 55 41.7
68	7	5	34 16.6	33 56.78	5 49 26.8	15 5 56.8
69	7	4	5.5	35 5.50	5 55 23.2	15 11 53.2
70	8.9	5	36 13.0	35 53.03	7 23 22.2	16 39 52.2
71	9	5	37 52.3	37 32.35	7 8 58.0	16 25 28.0
72	8	5	39 6.1	38 46.19	6 47 25.1	16 3 55.1
73	8.9	2	56.5	40 26.28	6 38 37.2	15 55 7.2
74	8.9	4	40 43.4	40 43.40	6 44 8.5	16 0 38.5
75	9	3	42 45.5	43 5.40	7 50 2.0	17 6 32.0
76	8	3	46 5.6	46 25.51	7 57 37.0	17 14 7.0
77	8.9	1	48 5.6	48 45.32	7 23 4.1	16 39 34.1

Hilfstafel zur Reduction auf den mittleren Ort 1850 Januar 0 D = -16°.

T.	k	k'	d
1 50-38.49	-1	-3	+ 5.8 +0.1 +
2 0-38.50	-1	-3	+ 5.9 +0.1 +
10-38.51	0	-3	+ 6.0 +0.1 +
20-38.51	0	-3	+ 6.1 +0.1 +
30-38.51	0	-3	+ 6.2 +0.1 +
40-38.51	+1	-3	+ 6.3 0.0 +
50-38.50	0	-3	+ 6.3 +0.1 +
3 0-38.50	+1	-3	+ 6.4 0.0 +
10-38.49		-3	+ 6.4 +

29 Fad. 4. 24.5

34 „ 3. 4.0

38. Z. 339 N^o. 55 und eine Beob. 1851 Jan. zeigen, dass die Minute des Microscops zu lesen sei; damit ist T und die Decl. rechnet.

44. Zeit zweifelhaft.

46 Fad. 6. 14.5

48 „ 3. 36.2

49 „ 6. 20.0

52 „ 3. 11.3

53 „ 7. 5.3

57. Z. 339 N. 88 und eine Beob. 1851 Octob zeigen, dass die Minute des Microscops zu lesen sei; danach sind T und die De berechnet.

58 Fad. 6. 6.9

59 „ 6. 6.5

64 „ 6. 34.8

67 „ 5. 39.7

68 „ 6. 26.4

73 „ 3. 6.5

Gr.	Fad.	Beob. Zeit.	T.	Microsc. I	Südl. Declin.	
7.8	7	49' 5.9	2 48' 26.46	5 21' 58.3	14 38' 28.3	79 Fad. 4. 3.7
8	3	44.0	50 3.72	6 21' 9.0	15 37' 39.0	81 " 3. 18.0 Fäden 38".16 und 37".84
9	4	37.0	50 37.00	7 3' 28.7	16 19' 58.7	82 " 3. 23.0
8	2	8.3	51 38.00	7 10' 28.3	16 26' 58.3	85 " 6. 8.9
3	1	53 3.0	53 42.78	7 23' 33.7	16 40' 3.7	
9	1	55 28.6	56 8.16	6 35' 43.0	15 52' 13.0	
9	5	56 42.5	56 22.69	5 43' 16.4	14 59' 46.4	
3	4	58 39.4	58 39.35	5 42' 55.6	14 59' 25.6	
9	4	0 7.4	3 0 7.40	7 30' 33.5	16 47' 3.5	Unruhige Luft, die Sterne gross und blass; gegen das Ende vielleicht auch dunstig.
9	4	2 58.9	2 58.90	7 18' 52.6	16 35' 22.6	
3	2	55 4.0	21 55' 37.04	10 44' 13.8	30 4' 13.8	ZONE 259. 1849 Oct. 24. Ost.
7	4	56 20.9	56 20.90	11 18' 10.5	30 38' 10.5	
8	6	12.8	56 40.06	9 50' 10.2	29 10' 10.2	NC. 21 46' - 1 48.89
9	4	11.5	58 11.50	9 25' 50.7	28 45' 50.7	23 41' - 1 50.65
9	3	50.2	59 11.90	9 27' 18.1	28 47' 18.1	Anf. 28 3.04 + 10.5 52.7
8	2	11.6	59 44.29	9 27' 56.4	28 47' 56.4	22 55 51.6
9	3	25.4	59 47.12	9 33' 24.3	28 53' 24.3	Ende 3.23 + 9.6 50.3
7	1	1 19.5	22 2 3.04	9 42' 18.9	29 2' 18.9	Microsc. I + 7".71 u. + 6".59
9	7	5 58.0	5 14.36	9 42' 18.5	29 2' 18.5	Decl. = - (Microsc. I + 19° 20' 0")
9	5	6 59.0	6 36.87	10 48' 33.3	30 8' 33.3	23° r + i - 37".509 Ar + 0".005 Ai - 0".046
9	5	9 20.9	8 58.79	10 44' 5.2	30 4' 5.2	
9	3	10 20.0	10 41.72	9 32' 39.9	28 52' 39.9	Hülftafel zur Reduction auf den mittlern Ort 1850 Januar 0 D = -30°.
9	2	54.6	11 27.39	9 38' 13.3	28 58' 13.3	
9	2	12 16.2	12 48.95	9 39' 38.1	28 59' 38.1	
3	5	14 7.0	13 45.00	10 11' 56.6	29 31' 56.6	
9	5	15 10.7	14 48.52	11 2' 11.0	30 22' 11.0	
9	5	1.3	15 39.10	11 6' 51.0	30 26' 51.0	
9	7	17 5.1	16 21	10 6' 18.7	29 26' 18.7	
9	4	4.2	18 4.20	10 9' 14.1	29 29' 14.1	
3	5	40.3	18 18.24	10 30' 44.7	29 50' 44.7	
9	6	20 5.6	19 32.98	9 28' 25.1	28 48' 25.1	
3	4	21 21.2	21 21.20	11 24' 45.2	30 44' 45.2	
9	6	22 13.8	21 40.84	10 30' 54.9	29 50' 54.9	
3	3	24 50.3	25 12.21	10 25' 27.9	29 45' 27.9	
3	4	44.4	25 44.40	11 6' 4.0	30 26' 4.0	
9	2	27 25.5	27 58.33	9 55' 41.0	29 15' 41.0	
9	4	8.2	28 8.33	9 59' 55.9	29 19' 55.9	
9	4	29 40.1	29 40.10	11 24' 8.6	30 44' 8.6	
9	5	18.1	29 56.04	10 29' 33.8	29 49' 33.8	
7	6	31 33.0	31 0.14	10 12' 2.2	29 32' 2.2	
3	4	4.6	32 4.60	10 17' 58.4	29 37' 58.4	
7	6	32 32.0	31 59.30	9 46' 51.9	29 6' 51.9	
8	6	34.4	32 1.74	9 48' 11.2	29 8' 11.2	
9	4	34 16.0	34 16.00	10 59' 32.4	30 19' 32.4	
9	5	35 35.5	35 13.16	11 43' 23.8	31 3' 23.8	
8	7	12 :	35 28	9 36' 53.4	28 56' 53.4	
9	2	39 48.2	40 21.03	9 59' 7.7	29 19' 7.7	
9	5	41 55.5	41 33.40	10 38' 54.9	29 58' 54.9	
7	4	43 40.9	43 40.90	10 57' 47.2	30 19' 47.2	
8	3	40.6	45 2.56	10 38' 50.7	29 58' 50.7	
8	2	16.0	45 48.82	9 53' 16.9	29 13' 16.9	
9	7	46 59.5	46 15.21	11 11' 31.0	30 31' 31.0	
9	4	41.0	47 41.00	11 4' 30.2	30 24' 30.2	
9	5	49 13.2	48 51.23	10 4' 47.7	29 24' 47.7	
8	4	7.4	50 7.40	9 26' 46.1	28 46' 46.1	

79 Fad. 4. 3.7
81 " 3. 18.0 Fäden 38".16 und 37".84
82 " 3. 23.0
85 " 6. 8.9

Unruhige Luft, die Sterne gross und blass; gegen das Ende vielleicht auch dunstig.

ZONE 259. 1849 Oct. 24. Ost.

NC. 21 46' - 1 48.89
23 41' - 1 50.65
Anf. 28 3.04 + 10.5 52.7
22 55 51.6
Ende 3.23 + 9.6 50.3
Microsc. I + 7".71 u. + 6".59
Decl. = - (Microsc. I + 19° 20' 0")
23° r + i - 37".509 Ar + 0".005 Ai - 0".046

Hülftafel zur Reduction auf den mittlern Ort 1850 Januar 0 D = -30°.

T.	k	k'	d	d'
21 50' - 36.54	-6	-6	+ 9.6	+ 0.4
22 0' - 36.60	-6	-6	+ 10.0	+ 0.4
10 - 36.66	-6	-6	+ 10.4	+ 0.3
20 - 36.72	-6	-6	+ 10.7	+ 0.3
30 - 36.78	-6	-6	+ 11.0	+ 0.3
40 - 36.84	-6	-6	+ 11.3	+ 0.2
50 - 36.90	-6	-6	+ 11.5	+ 0.2

1 Fad. 3. 15.0
8 " 2. 30.3
13 " 3. 5.7
27 " 5. 30.4
29 " 6. 29.0
32 " 7. 43.0
33 " 7. 45.5
37 " 3. 59.2
39. Die bekannte Position dieses Sterns, 21 Piscis austr., zeigt, dass das Microsc. statt 10 57 47.2 zu lesen sei 10 59 47.2. Unter Annahme dieser Verbesserung ist die Decl. angesetzt.

Nº.	Gr.	Fad.	Beob. Zeit.	T.	Microsc. I	Südl. Declin.	
46	9	3	42.3	22 51' 4.07	9 47' 0.3	29 7' 0.3	
47	8	4	4.4	51 4.40	9 37 48.2	28 57 48.2	
48	8.9	6	37.0	51 4.27	9 47 0.8	29 7 0.8	
49	6	5	22.0	51 59.85	10 55 55.9	30 15 55.9	
50	6	2	11.3	53 44.28	10 19 50.9	29 39 50.9	
51	8.9	5	54 11.7	53 49.86	9 29 27.7	28 49 27.7	
52	7.8	4	56 8.5	56 8.50	11 54 32.0	31 14 32.0	
53	8.9	5	55.6	56 34.71	9 43 17.5	29 3 17.5	
54	9	5	40.0	57 18.19	9 46 28.6	29 6 28.6	
55	7	5	59 46.5	59 24.20	11 31 5.6	30 51 5.6	
56	9	6	42.6	23 0 9.24	11 42 5.9	31 2 5.9	
57	8.9	3	11.1	1 33.27	11 36 19.0	30 56 19.0	
58	8	2	2 3.9	2 36.90	10 25 48.5	29 45 48.5	
59	8.9	4	0.7	3 0.70	9 54 59.8	29 14 59.8	
60	9	5	43.9	3 22.05	9 31 44.0	28 51 44.0	
61	9	2	5 3.4	5 36.61	11 3 35.2	30 23 35.2	
62	8.9	2	32.5	6 5.70	11 7 14.0	30 27 14.0	
63	8	7	32.9	5 49.17	9 54 14.3	29 14 14.3	
64	8	4	4.5	7 4.50	9 56 59.5	29 16 59.5	
65	7	3	52.1	8 14.21	11 19 33.3	30 39 33.3	
66	7	4	9 12.4	9 12.45	10 10 29.5	29 30 29.5	
67	7	6	10 14.6	9 41.83	9 55 40.7	29 15 40.7	
68	8	3	41.4	11 3.21	9 58 12.1	29 18 12.1	
69	7	4	37.6	11 37.60	9 53 3.9	29 13 3.9	
70	8	7	10 :	11 26	10 13 59.8	29 33 59.8	
71	9	7	14 11.4	13 27.57	10 8 39.2	29 28 39.2	
72	9	3	15 48.3	16 10.18	10 29 39.9	29 49 39.9	
73	8.9	7	3.3	16 19.50	10 4 51.6	29 24 51.6	
74	8.9	6	18 36.0	18 2.76	11 29 26.4	30 49 26.4	
75	8.9	4	19 58.2	19 58.20	9 32 58.0	28 52 58.0	
76	8.9	6	55.0	20 22.28	11 0 33.8	30 20 33.8	
77	8	5	22 8.0	21 46.10	9 45 56.3	29 5 56.3	
78	9	5	23 14.0	22 51.69	11 35 21.3	30 55 21.3	
79	8.9	4	10.7	24 10.70	10 26 29.7	29 46 29.7	
80	9	7	26 40.0	25 56.16	10 10 38.6	29 30 38.6	
81	8.9	2	30.9	28 3.84	10 14 20.3	29 34 20.3	
82	9	4	17.0	28 17.00	10 21 23.3	29 41 23.3	
83	9	5	31 26.5	31 4.45	10 51 24.7	30 11 24.7	
84	7.8	3	18.9	32 40.81	10 26 40.1	29 46 40.1	
85	9	4	1.6	33 1.60	10 24 34.7	29 44 34.7	
86	8	7	42.8	32 59.09	9 51 48.4	29 11 48.4	
87	8	3	34 25.0	34 47.18	11 7 11.8	30 27 11.8	
1	9	5	57 13.2	21 56 51.94	6 32 3.9	25 50 33.9	
2	9	3	59 35.9	59 56.96	6 7 14.2	25 25 44.2	
3	7	5	1 14.3	22 0 52.92	7 11 23.2	26 29 53.2	
4	9	4	2 18.5	2 18.43	6 29 9.8	25 47 39.8	
5	9	3	12.5	3 33.60	6 21 32.3	25 40 2.3	
6	8	6	52.0	3 20.16	6 47 52.7	26 6 22.7	
7	6.7	5	5 26.9	5 5.41	7 45 8.9	27 3 38.9	
8	6.7	5	15.4	5 54.12	6 36 53.8	25 55 23.8	
9	8	6	44.9	6 13.26	6 3 37.5	25 22 7.5	
10	7.8	5	20.5	6 59.42	5 26 40.7	24 45 10.7	
11	8.9	6	2.0	7 30.26	6 25 31.9	25 44 1.9	
12	7	4	47.0	8 47.00	7 19 54.1	26 38 24.1	
13	9	2	11 22.9	11 54.48	6 5 7.7	25 23 37.7	

Hälftafel zur Reduction auf den mittleren Ort 1850 Januar 0 D = - 30°.

T.	k	k'	d	
22 50 - 36.90	-5	-6	+11.5	+0.2
23 0 - 36.95	-6	-5	+11.7	+0.1
10 - 37.01	-5	-5	+11.8	0.0
20 - 37.06	-6	-5	+11.8	0.0
30 - 37.12	-5	-5	+11.8	0.0
40 - 37.17		-5	+11.8	+

46, 48. derselbe.
50 Fad. 3. 22".4
54 " 6. 51.0
62 " 3. 43.6
63. Zeit - 1" ?
66 Fad. 5. 34".5
72 " 5. 32.2
73. 8.9^m. praec. 18" circ. u. 5' A.
76 Fad. 7. 6".4
83 " 6. 37.6
87 " 4. 47.3

Ziemlich gute Luft.

ZONE 260. 1849 Oct. 29. 0

NC. 21 48 - 1 46.33
23 42 - 1 50.02
Anf. 28 7.86 + 7.8 40.8
22 43 40.8
Ende 28 7.55 + 6.6 38.8
Microsc. I + 7.35
Decl. = - (Microsc. I + 19° 18' 30")
23^a τ+i - 36".866 Δτ + 0".010 Δi - 0"

4 Fad. 5. 39.6
13 " 3. 33.3

Gr.	Fad.	Beob. Zeit.	T.	Microsc. 1	Südl. Declin.
8.9	5	12 27.5	22 12 6.41	5 32 12.3	24 50 42.3
8	2	13 36.6	14 8.51	6 48 39.2	26 7 9.2
9	2	24.2	14 55.99	6 8 30.5	25 27 0.5
6.7	2	12.7	15 44.44	6 12 50.3	25 31 20.3
8.9	5	44.3	15 22.90	7 16 59.9	26 35 29.9
8.9	4	18.0	16 18.05	7 49 0.1	27 7 30.1
9	3	17 34.7	17 55.77	6 10 58.0	25 29 28.0
9	5	18 48.5	18 27.35	5 53 51.5	25 12 21.5
8	4	19 52.6	19 52.60	7 51 57.4	27 10 27.4
8.9	3	20 54.2	21 15.09	5 35 37.9	24 54 7.9
7.8	2	22 36.7	23 8.80	7 31 32.6	26 50 2.6
8	6	23 39.5	23 7.95	5 37 56.8	24 56 26.8
9	6	25 34.2	25 2.23	7 18 23.8	26 36 53.8
9	7	26 0.3	25 17.63	7 15 57.9	26 34 27.9
8.9	6	27 1.5	26 29.90	5 47 51.9	25 6 21.9
7	4	27 57.0	27 57.00	5 27 48.8	24 46 18.8
8.9	3	28 8.3	28 29.25	5 28 28.9	24 46 58.9
8.9	4	29 16.1	29 16.10	7 31 5.5	26 49 35.5
8	2	58.5	30 30.49	7 7 22.7	26 25 52.7
8.9	2	31 3.3	31 35.24	6 57 9.7	26 15 39.7
7.8	4	33 41.8	33 41.80	6 49 26.9	26 7 56.9
8.9	3	35 16.0	35 37.24	7 8 24.2	26 26 54.2
8.9	5	12.2	35 51.06	5 51 43.9	25 10 13.9
9	7	37 31.7	36 49.85	7 45 49.7	27 4 19.7
8	7	38 36.6	37 54.14	6 42 58.8	26 1 28.8
8.9	5	27.8	39 6.48	6 52 37.3	26 11 7.3
9	5	40 36.5	40 15.40	5 36 33.6	24 55 3.6
8.9	4	25.3	41 25.30	6 24 23.4	25 42 53.4
9	4	44 57.4	44 57.40	6 3 22.8	25 21 52.8
8	3	30.0	45 50.94	5 25 22.9	24 43 52.9
8.9	5	24.6	46 3.49	5 39 41.7	24 58 11.7
8	5	6.2	46 44.95	6 28 22.5	25 46 52.5
8.9	6	48 10.2	47 38.72	5 27 52.8	24 46 22.8
8	4	42.9	48 42.90	5 38 51.0	24 57 21.0
8.9	3	42.7	50 3.90	6 56 22.4	26 14 52.4
8.9	7	50 19.6	49 36.77	7 41 55.6	27 0 25.6
8	6	45.0	50 12.94	7 35 8.7	26 53 38.7
9	4	52 5.6	52 5.60	5 35 53.8	24 54 23.8
9	4	53 23.1	53 23.10	6 9 43.5	25 28 13.5
8.9	7	54.5	53 12.13	6 29 6.1	25 47 36.1
9	7	36 :	53 54	6 34 17.3	25 52 47.3
9	7	55 24.5	54 42.09	6 35 38.2	25 54 8.2
9	4	26.0	56 26.10	6 32 14.0	25 50 44.0
8.9	5	57 16.2	56 55.10	5 37 17.2	24 55 47.2
9	7	39.5	56 57.42	5 37 33.0	24 56 3.0
8	7	29.4	57 47.24	5 51 19.9	25 9 49.9
9	5	23.4	59 1.92	7 40 2.5	26 58 32.5
7	2	0 52.9	23 1 25.11	7 19 48.0	26 38 18.0
9	6	2 14.0	1 42.52	5 27 30.9	24 46 0.9
7.8	4	5 4.5	5 4.50	5 20 0.5	24 38 30.5
8	4	38.0	5 38.00	5 37 9.2	24 55 39.2
8.9	6	19.5	5 47.43	7 54 9.2	27 12 39.2
7.8	3	57.5	7 18.73	7 4 14.9	26 22 44.9
8.9	5	7 50.4	7 29.10	6 43 33.3	26 2 3.3
8	7	37.2	7 54.87	6 21 48.8	25 40 18.8

Hülftafel zur Reduction auf den mittlern Ort 1850 Januar 0 D = - 26°.

T.	k	k'	d	d'
22 0-35.92	-6	-6	+ 5.1	+0.8
10-35.98	-6	-6	+ 5.9	+0.7
20-36.04	-6	-6	+ 6.6	+0.6
30-36.10	-5	-6	+ 7.2	+0.5
40-36.15	-6	-5	+ 7.7	+0.5
50-36.21	-6	-5	+ 8.2	+0.3
23 0-36.27	-5	-5	+ 8.5	+0.3
10-36.32	-5	-5	+ 8.8	+0.6

16 Fad. 3. 35.0

19 " 5. 39.6

23 " 4. 15.0

24 " 3. 47.5

25 " 7. 50.0

28 " 7. 12.0

37. Zeitsecunde zweifelhaft; nach einer Beob. 1851 Oct. 8. muss sie 32".7 sein; danach ist T angesetzt.

61 Fad. 3. 4".0 Fäden 24".94 und 25".27

65 " 7. 30.4

68. Die Zeit als unsicher beobachtet angegeben, stimmt aber vollkommen mit einer Beobachtung 1851 Oct. 8.

No.	Gr.	Fad.	Beob. Zeit.	T.	Microsc. I	Südl. Declin.
69	8.9	5	34.0	23 9 12.81	6 6 47.3	25 25 17.3
70	9	4	35.0	10 35.00	6 8 17.1	25 26 37.1
71	9	7	20.6	10 38.33	6 11 2.4	25 29 32.4
72	9	6	16.0	11 44.34	5 47 55.7	25 6 25.7
73	8.9	4	13 42.4	13 42.40	6 46 3.3	26 4 33.3
74	9	7	14 5.5	13 23.06	6 40 2.8	25 58 32.8
75	8.9	5	15 19.4	14 58.28	5 46 9.8	25 4 39.8
76	8.9	4	52.3	15 52.30	6 7 56.8	25 26 26.8
77	8.9	4	20 12.4	20 12.40	5 59 38.3	25 18 8.3
78	7	4	5.4	21 5.40	6 56 17.7	26 14 47.7
79	8	4	22 7.1	22 7.10	5 33 55.0	24 52 25.0
80	8	7	49.5	22 7.44	5 33 54.9	24 52 24.9
81	8	5	32.6	23 21.49	5 43 17.0	25 1 47.0
82	7	4	37.4	24 37.31	7 15 49.4	26 34 19.4
83	9	4	26 13.5	26 13.50	6 1 46.0	25 20 16.0
84	8	5	3.5	26 42.27	6 23 3.5	25 41 33.5
85	8	4	29 24.4	29 24.40	6 45 47.5	26 4 17.5
86	9	5	14.6	29 53.18	7 23 3.9	26 41 33.9
87	9	4	52.5	30 52.84	6 44 33.0	26 3 3.0
88	8	5	31.9	33 10.26	7 42 54.8	27 1 24.8
89	7	6	34 24.5	33 52.80	5 41 22.2	24 59 52.2
1	9	7	0 43.0	0 3.17	7 24 26.9	16 41 6.9
2	7.8	6	42.9	1 13.21	6 23 4.7	15 39 44.7
3	8.9	4	33.0	2 33.00	5 44 16.9	15 0 56.9
4	9	3	58.5	3 18.17	5 32 56.7	14 49 36.7
5	7.8	3	31.0	3 50.67	5 27 54.2	14 44 34.2
6	8.9	7	2.4	3 22.84	6 0 39.1	15 17 19.1
7	8.9	3	4 51.9	5 11.69	6 43 24.8	16 0 4.8
8	9.0	5	6 52.4	6 32.44	7 16 9.7	16 32 49.7
9	9	4	7 59.2	7 59.20	7 36 45.9	16 53 25.9
10	9.0	4	9.6	9 9.60	6 9 3.0	15 25 43.0
11	8.9	5	37.0	9 17.16	6 1 55.5	15 18 35.5
12	9	5	10 20.9	10 1.07	5 54 14.0	15 10 54.0
13	8.9	3	44.2	11 3.90	5 52 18.6	15 8 58.6
14	9	6	12 51.7	12 22.01	6 23 27.4	15 40 7.4
15	9.0	7	13 57.5	13 17.73	7 7 14.0	16 23 54.0
16	9	7	26.0	13 46.21	7 13 7.8	16 29 47.8
17	8.9	6	5.9	14 36.04	7 45 47.0	17 2 27.0
18	9	4	58.6	15 58.60	7 25 16.7	16 41 56.7
19	7	5	24.3	16 4.32	7 29 59.8	16 46 39.8
20	8.9	5	15.9	16 56.07	5 54 15.6	15 10 55.6
21	9	4	5.2	18 5.20	7 0 0.9	16 16 40.9
22	9	5	58.7	18 38.73	7 20 48.4	16 37 28.4
23	9	5	27.0	19 7.04	7 15 35.9	16 32 15.9
24	8	5	20 32.5	20 12.68	5 48 22.0	15 5 2.0
25	9	5	22 0.1	21 40.08	7 46 15.3	17 2 55.3
26	7.8	6	45.6	22 15.90	6 37 13.3	15 53 53.3
27	8	4	29.6	23 29.60	6 40 39.4	15 57 19.4
28	8	6	57.2	23 27.35	7 28 10.8	16 44 50.8
29	9	4	44.6	24 44.60	7 20 48.2	16 37 28.2
30	9	1	26 6.2	26 45.62	5 53 12.7	15 9 52.7
31	9.0	7	27 51.2	27 11.37	7 24 51.8	16 41 31.8
32	8.9	2	26.5	28 56.42	7 31 21.4	16 48 1.4
33	9	4	28 59.7	28 59.70	7 1 4.0	16 17 44.0
34	8.9	3	30 17.2	30 37.05	7 22 41.8	16 39 21.8

**Hülftafel zur Reduction auf den mittl
Ort 1850 Januar 0 D = - 26°.**

T.	k	k'	d
23 10-36.32	-6	-5	+ 8.8 + 0.2 +
20-36.38	-5	-5	+ 9.0 + 0.1 +
30-36.43	-5	-5	+ 9.1 + 0.1 +

69 Fad. 6. 43".8 giebt 12.15, und ist nach Beobachtung 1851 Oct. 8. ausgeschlossen

72 Fad. 7. 26".4

79. 80. derselbe.

81. Die Zeit muss 42".6 sein, wie LL. 46010 Z. 312 No. 85 zeigen; danach ist T berec

82 Fad. 5. 58".6

87 " 6. 25.0 giebt 53".18

88 " 6. 42.2 Zeitminute nach LL. und

89 " 7. 35.0

Die Luft war Anfangs ziemlich gut, ward seit 22^u 30' unruhig, und ward es zule sehr, dass die kleinern Sterne nur zeit sichtbar waren. Zuletzt auch noch Dür

ZONE 261. 1849 Oct. 30. C

NC. 23 51-1' 49.52

1 44-1 52.50

Anf. 28 2.49+6.7 41.3

Ende 1.93+5.9 41.1

Microsc. I + 7".66 u. + 6.98

Decl. = - (Microsc. I + 9° 16' 40")

1^a $\tau + i - 36''.740$ $\Delta \tau + 0''.010$ $\Delta i - 0$

**Hülftafel zur Reduction auf den mittl
Ort 1850 Januar 0 D = - 16°.**

T.	k	k'	d
0 0-36.50	-4	-5	+ 9.4 + 0.5 -
10-36.54	-4	-5	+ 9.9 + 0.5 -
20-36.58	-3	-5	+ 10.4 + 0.4 -
30-36.61		-5	+ 10.8

15. Zeit zweifelhaft.

17 Fad. 7. 16".0

26 " 7. 55.6

Gr.	Fad.	Beob. Zeit.	T.	Microsc. I	Südl. Declin.
8	3	56.2	0 31' 16.10	7 47' 37.0	17° 4' 17.0
8.9	5	32 7.8	31 47.84	7 12 47.8	16 29 27.8
9	4	53.5	32 53.50	5 50 59.2	15 7 39.2
9	4	30.8	33 30.80	5 36 40.8	14 53 20.8
9.0	4	34 46.8	34 46.80	7 55 21.7	17 12 1.7
9	2	23.5	35 53.44	7 40 26.2	16 57 6.2
9	3	43.2	36 3.07	7 35 50.8	16 52 30.8
9.0	3	59.5	36 19.38	7 36 15.1	16 52 55.1
9	3	3.6	37 23.35	5 46 56.0	15 3 36.0
9	5	7.8	37 47.87	6 55 57.8	16 12 37.8
6.7	5	39 8.3	38 48.26	7 58 5.0	17 14 45.0
9	4	57.0	39 57.00	7 31 50.8	16 48 30.8
9.0	6	40.5	40 10.73	6 55 33.9	16 12 13.9
8	3	19.5	41 39.24	6 17 43.3	15 34 23.3
9	3	42 25.9	42 45.71	6 56 16.7	16 12 56.7
8.9	2	22.0	43 51.75	6 22 51.1	15 39 31.1
9	4	6.1	44 6.10	5 37 18.3	14 53 58.3
9	4	51.5	44 51.50	5 19 38.8	14 36 18.8
8	4	23.4	45 23.40	5 27 1.2	14 43 41.2
9	2	6.6	46 36.35	6 23 32.9	15 40 12.9
7.8	3	55.6	47 15.50	7 42 46.6	16 59 26.6
8.9	5	49 19.2	48 59.17	7 54 13.8	17 10 53.8
8.9	4	5.1	50 5.10	6 39 41.0	15 56 21.0
9	4	2.5	51 2.50	6 45 19.1	16 1 59.1
9	3	40.2	51 59.98	6 41 38.6	15 58 18.6
9	5	16.9	51 57.04	6 13 11.1	15 29 51.1
8	2	54 32.1	55 1.75	5 40 2.9	14 56 42.9
8.9	5	56 0.3	55 40.30	7 40 21.7	16 57 1.7
8.9	5	52.6	56 32.67	6 58 27.2	16 15 7.2
8.9	2	57 50.9	58 20.61	6 26 13.3	15 42 53.3
9	4	57.1	58 57.10	6 24 55.3	15 41 35.3
6.7	3	59 35.7	59 55.52	7 2 16.8	16 18 56.8
8.9	3	34.0	1 0 53.86	7 28 31.6	16 45 11.6
9	4	3 9.5	3 9.50	6 59 2.2	16 15 42.2
7.8	7	57.0	3 17.47	5 56 47.4	15 13 27.4
8.9	4	5 5.8	5 5.80	6 4 47.2	15 21 27.2
8.9	3	50.0	6 9.74	6 17 26.8	15 34 6.8
8	1	21.2	7 0.97	6 51 36.8	16 8 16.8
9	5	16.2	6 56.25	7 9 12.3	16 25 52.3
7	3	46.7	8 6.55	7 20 14.9	16 36 54.9
8	5	42.5	8 22.60	6 40 11.7	15 56 51.7
9.0	4	32.1	9 32.10	5 58 12.5	15 14 52.5
9.0	2	9.0	10 38.68	5 55 33.0	15 12 13.0
9.0	7	11 32.4	10 52.59	7 19 25.0	16 36 5.0
8	2	33.7	13 3.45	6 25 46.4	15 42 26.4
7	2	13 23.1	13 52.68	5 24 24.8	14 41 4.8
9	5	14 37.7	14 17.86	6 5 43.6	15 22 23.6
8.9	7	11.5	14 31.78	6 51 33.5	16 8 13.5
7.8	3	58.6	16 18.46	7 59 20.1	17 16 0.1
8	4	48.9	16 48.90	7 43 52.7	17 0 32.7
6	3	35.4	17 55.23	7 10 5.6	16 26 45.6
7.8	2	3.4	18 33.17	6 30 9.5	15 46 49.5
9	5	5.0	18 45.14	6 14 54.7	15 31 34.7
3	5	11.0	18 51.15	6 6 24.8	15 23 4.8
8.9	7	22 21.1	21 41.27	7 24 30.9	16 41 10.9

Hilfstafel zur Reduction auf den mittlern Ort 1850 Januar 0 D = - 16°.

T.	k	k'	d	d'
0 30'-36.61	-4	-5	+10.8	+0.5
40-36.65	-3	-5	+11.3	+0.4
50-36.68	-3	-5	+11.7	+0.3
1 0-36.71	-3	-4	+12.0	+0.4
10-36.74	-3	-4	+12.4	+0.3
20-36.77	-4	-4	+12.7	+0.6

43	Fad.	4.	23.4
50	"	3.	32.0
55	"	4.	15.5
57	"	5.	25.0
64	"	3.	0.8
72	"	2.	31.3
80	"	3.	33.0
83	"	4.	18.4
86	"	3.	13.4
88	"	6.	20.8

Fäden 0".81 und 1".12

Nº.	Gr.	Fad.	Beob. Zeit.	T.	Microsc. I	Südl. Declin.
90	9	7	55.0	1 22' 15.17	7 22' 53.0	16° 39' 33.0
91	7.8	5	35.2	23 15.24	7 13 45.2	16 30 25.2
92	8.9	7	24.2	23 44.73	5 34 38.7	14 51 18.7
93	7.8	4	25 28.4	25 28.40	5 59 30.2	15 16 10.2
94	8	7	28.0	25 48.26	6 56 56.5	16 13 36.5
95	6	5	28 14.6	27 54.65	7 10 16.2	16 26 56.2
96	9.0	4	29 26.4	29 26.40	7 10 5.0	16 26 45.0
97	6	7	56.4	29 16.67	6 53 37.2	16 10 17.2
98	8	5	43.0	30 23.07	7 0 29.0	16 17 9.0
99	9	7	31 7.0	30 27.24	7 4 34.0	16 21 14.0
100	8	5	5.4	31 45.47	6 57 7.7	16 13 47.7
101	8.9	4	45.9	32 45.90	6 11 42.2	15 28 22.2
102	8	3	35.2	33 55.15	7 46 24.2	17 3 4.2
103	9	3	30.5	34 50.34	6 42 56.3	15 59 36.3
104	7	4	36 19.0	36 19.00	5 58 36.5	15 15 16.5
105	9	4	36 55.2	36 55.20	5 49 0.7	15 5 40.7
1	8.9	7	26 15.3	22 25 34.65	10 52 40.0	20 9 50.0
2	8	5	55.6	26 35.21	10 51 4.9	20 8 14.9
3	8.9	6	21.7	26 51.38	10 32 21.2	19 49 31.2
4	9	6	8.9	27 38.63	9 54 31.5	19 11 41.5
5	7.8	3	46.5	29 6.62	9 45 54.9	19 3 4.9
6	8.9	5	22.6	29 2.37	9 38 2.9	18 55 12.9
7	9.0	6	5.4	29 35.04	10 22 41.9	19 39 51.9
8	9	3	54.6	31 14.80	10 22 51.9	19 40 1.0
9	9.0	4	25.6	31 25.60	10 28 51.3	19 46 1.3
10	8.9	4	8.7	32 8.77	10 37 17.0	19 54 27.0
11	6.7	5	52.3	32 31.94	10 41 37.2	19 58 47.2
12	8.9	3	34 1.7	34 21.86	10 3 45.8	19 20 55.8
13	8.9	5	53.2	34 32.93	9 56 12.6	19 13 22.6
14	8	5	36 23.5	36 3.12	10 50 57.5	20 8 7.5
15	7.8	5	3.4	36 43.01	10 51 27.1	20 8 37.1
16	9	5	26.3	37 5.92	10 47 53.5	20 5 3.5
17	9	4	38 35.2	38 35.20	9 36 32.5	18 53 42.5
18	7.8	6	33.4	39 3.15	9 47 36.0	19 4 46.0
19	8	5	24.2	40 3.85	10 40 10.0	19 57 20.0
20	8.9	5	4.4	40 44.06	10 32 6.9	19 49 16.9
21	9	5	43.0	41 22.65	10 35 59.6	19 53 9.6
22	9	7	42 33 :	41 52	11 46 47.1	21 3 57.1
23	7	5	47.5	42 26.90	11 47 27.2	21 4 37.2
24	8.9	4	44 19.7	44 19.70	10 58 44.8	20 15 54.8
25	9.0	5	45 5.5	44 45.17	10 27 28.0	19 44 38.0
26	7	5	30.1	45 9.88	10 32 58.9	19 50 8.9
27	6	3	18.1	46 38.34	10 41 20.1	19 58 30.1
28	8.9	2	59.2	47 29.70	10 49 27.8	20 6 37.8
29	9.0	7	40.0	47 59.44	10 33 28.9	19 50 38.9
30	9.0	5	49 2.5	48 42.24	9 53 8.9	19 10 18.9
31	8	5	4.4	49 43.99	11 4 9.9	20 21 19.9
32	7.8	4	38.2	50 38.20	10 29 26.2	19 46 36.2
33	8.9	6	51 10.2	50 39.87	10 13 30.1	19 30 40.1
34	9	4	53 5.3	53 5.30	11 8 33.4	20 25 43.4
35	7.8	5	51.0	53 30.58	10 52 3.5	20 9 13.5
36	8.9	3	21.0	54 41.27	10 57 20.9	20 14 30.9
37	9	3	3.0	55 23.26	10 54 17.6	20 11 27.6
38	8.9	1	20.5	56 0.96	10 50 6.8	20 7 16.8
39	9	5	21.6	56 1.20	10 59 55.2	20 17 5.2

Hülfsstafel zur Reduction auf den mittleren Ort 1850 Januar 0 D = - 16°.

T.	k	k'	d
1 20' - 36.77	-3	-4	+12.7
30 - 36.80	-2	-4	+13.1
40 - 36.82		-4	+13.4

102 Fad. 4. 55.2

103 „ 4. 50.4

Ziemlich gute Luft.

ZONE 262. 1849 Oct. 31. 0

NC. 22 17' - 1 50.07
 0 15 - 1 54.18
 Anf. 27 8.71 + 4.4 37.4
 23 20 37.4
 Ende 27 8.46 + 3.9 37.2
 Microsc. I + 7''.53
 Decl. = - (Microsc. I + 9° 17' 10'')
 23^u $\tau + i - 36''.485$ $\Delta\tau + 0''.001$ $\Delta i - 0''$

Hülfsstafel zur Reduction auf den mittleren Ort 1850 Januar 0 D = - 20°.

T.	k	k'	d
22 20' - 35.67	-6	-6	+10.8
30 - 35.73	-6	-6	+11.5
40 - 35.79	-6	-6	+12.2
50 - 35.85	-5	-6	+12.8
23 0 - 35.90		-6	+12.5

3 Fad. 7. 32.0

10 „ 5. 29.2

23 „ 7. 7.7

26 „ 6. 40.4

35 „ 6. 1.0

38 „ 2. 30.4

Fad.	Beob. Zeit.	T.	Microsc. I	Südl. Declin.
4	57 32.1	22 57 32.10	10 37 5.5	19 54 15.5
5	58 56.6	58 36.30	10 10 48.2	19 27 58.2
6	3.4	59 33.09	10 5 54.9	19 23 4.9
4	40.2	23 0 40.17	10 44 1.3	20 1 11.3
4	25.5	1 25.58	10 34 23.9	19 51 33.9
4	2 43.6	2 43.60	10 14 5.3	19 31 15.3
3	21.5	3 41.69	10 10 44.4	19 27 54.4
5	0.0	3 39.83	10 15 36.0	19 32 46.0
7	5 18.0	4 37.56	10 2 7.9	19 19 17.9
5	16.5	5 56.24	9 54 16.2	19 11 26.2
3	51.7	7 11.90	10 24 26.8	19 41 36.8
2	9 9.0	9 39.43	10 24 33.1	19 41 43.1
4	53.8	9 53.80	10 18 28.4	19 35 38.4
4	23.0	10 23.00	10 17 16.8	19 34 26.8
3	50.4	11 10.60	10 22 45.7	19 39 55.7
5	12 11.7	11 51.40	10 13 59.8	19 31 9.8
6	39.2	12 8.89	10 5 36.1	19 22 46.1
2	13 8.0	13 38.37	10 4 58.5	19 22 8.5
5	57.5	13 37.14	10 31 38.0	19 48 48.0
3	41.6	15 1.94	11 27 16.9	20 44 26.9
4	40.9	15 40.90	11 38 0.8	20 55 10.8
4	27.0	16 27.00	10 38 58.8	19 56 8.8
5	9.3	16 49.00	10 13 55.8	19 31 5.8
4	55.6	17 55.60	9 38 21.3	18 55 31.3
4	18 51.5	18 51.50	10 54 53.6	20 12 3.6
6	21 40.5	21 9.88	11 41 33.9	20 58 43.9
4	30.4	22 30.40	11 50 32.5	21 7 42.5
4	22 49.3	22 49.15	11 42 43.4	20 59 53.4
5	24 6.2	23 45.79	11 2 0.8	20 19 10.8
4	25 8.1	25 8.10	10 35 42.9	19 52 52.9
2	45.6	26 16.08	10 41 24.3	19 58 34.3
4	27 58.0	27 58.00	10 7 7.3	19 24 17.3
4	40.0	28 40.03	10 29 37.4	19 46 47.4
4	32 17.2	32 17.18	10 37 23.8	19 54 33.8
3	22.5	33 22.50	10 32 11.8	19 49 21.8
2	2.7	34 33.30	11 18 18.2	20 35 28.2
5	34 41.6	34 21.12	11 37 23.4	20 54 33.4
7	13.7	34 32.83	11 43 1.6	21 0 11.6
3	36 40.9	37 1.03	9 49 44.2	19 6 54.2
5	37 43.5	37 23.19	10 20 8.8	19 37 18.8
1	8.6	38 49.13	10 13 52.8	19 31 2.8
3	8.3	39 28.50	10 18 25.0	19 35 35.0
4	57.0	39 57.00	10 43 13.0	20 0 23.0
6	27.8	39 56.34	10 54 17.6	20 11 27.6
7	41 44.0	41 3.42	10 37 27.0	19 54 37.0
7	0 :	41 19	10 26 8.1	19 43 18.1
2	7.2	43 37.52	9 50 40.2	19 7 50.2
2	42.0	44 12.25	9 27 42.5	18 44 52.5
2	15.8	44 46.19	10 12 54.2	19 30 4.2
2	44.0	45 14.22	9 45 50.2	19 3 0.2
5	31.0	45 10.88	9 34 47.2	18 51 57.2
3	0.8	46 20.93	9 49 5.4	19 6 15.4
5	56.7	46 36.45	9 45 57.4	19 3 7.4
7	18.2	46 37.79	9 55 6.8	19 12 16.8
5	8.1	47 47.79	10 17 41.3	19 34 51.3

*Hülfsstafel zur Reduction auf den mittlern
Ort 1850 Januar 0 D = - 20°.*

T.	k	k'	d	d'
23 0 -35.90	-6	-6	+13.5	+0.6
10 -35.96	-5	-6	+14.1	+0.5
20 -36.01	-5	-6	+14.6	+0.6
30 -36.06	-5	-5	+15.2	+0.5
40 -36.11	-5	-5	+15.7	+0.5
50 -36.16	-5	-5	+16.2	+14.8

- 43 Fad. 5. 0.5
 44 " 5. 46.0
 46 " 4. 41.7
 47 " 6. 10.3
 54 " 4. 10.6
 58 " 6. 7.5
 67 " 5. 9.5
 72 " 5. 0.4
 73 " 5. 37.5
 80 " 2. 18.9 dupl. II. CL. praec.; seq. 7.8 m.
 die Fäden geben 48".97 und 49".29.
 81 Fad. 4. 28".5
 83 " 7. 37.0 der 6te Faden muss 26".8 sein.
 87. Ich vermuthe, dass das Microsc. zu lesen sei
 10 27 42.5; dann wird die Decl. 19 44 52.5,
 T. 44 12.43 und die Beobachtung stimmt voll-
 kommen zu 108 Aquarii.
 89 Fad. 3. 54".0
 90 " 6. 41.2

Nº.	Gr.	Fad.	Beob. Zeit.	T.	Microsc. I	Südl. Declin.
95	7.8	6	48.3	23 48' 18.12	9 23' 5.2	18° 40' 15.2
96	8.9	5	21.0	49 0.78	9 33' 41.9	18 50 51.9
97	9	4	9.5	50 9.50	9 56' 56.2	19 14 6.2
98	8.9	4	51 14.6	51 14.60	11 52' 2.3	21 9 12.3
99	7	3	56.3	52 16.55	11 34' 26.6	20 51 36.6
100	9	3	29.7	52 50.13	11 35' 13.1	20 52 23.1
101	8	7	53 44.6	53 3.97	10 58' 2.6	20 15 12.6
102	9	7	54 49.2	54 8.64	10 33' 40.9	19 50 50.9
103	9	4	34.0	55 33.99	10 59' 43.0	20 16 53.0
104	7	7	31.7	55 50.86	11 36' 0.3	20 53 10.3
105	9	3	11.4	57 31.67	10 59' 23.0	20 16 33.0
106	9	3	28.2	57 48.54	10 57' 54.0	20 15 4.0
107	9	6	10.0	57 39.76	9 43' 40.6	19 0 50.6
108	7	4	20.8	59 20.79	9 35' 37.0	18 52 47.0
109	9	6	12.5	59 42.14	10 21' 19.2	19 38 29.2
110	8.9	6	28.4	59 58.04	10 22' 31.0	19 39 41.0
111	7	5	16.0	0 0 55.70	10 14' 20.4	19 31 30.4
112	9	7	1 55.5	1 14.88	10 45' 47.5	20 2 57.5
113	9	7	2 0.4	1 19.78	10 46' 37.4	20 3 47.4
114	9	4	3 7.3	3 7.30	11 32' 2.0	20 49 12.0
115	8	3	35.3	3 55.49	10 7' 33.2	19 34 43.2
1	8.9	4	30 37.8	1 30 37.80	10 51' 21.1	20 8 31.1
2	9	6	33 10.8	32 40.46	10 16' 56.5	19 34 6.5
3	9	3	34 35.0	34 55.09	9 28' 8.2	18 45 18.2
4	7.8	3	12.2	35 32.27	9 22' 13.6	18 39 23.6
5	8	6	58.3	35 27.89	10 40' 5.9	19 57 15.9
6	8.9	6	27.2	35 56.75	10 50' 40.0	20 7 50.0
7	9	4	57.7	36 57.70	10 52' 44.7	20 9 54.7
8	9	3	53.7	38 14.06	11 37' 15.0	20 54 25.0
9	9	4	42 16.2	42 16.20	9 50' 54.3	19 8 4.3
10	8.9	4	30.8	42 30.80	9 56' 43.7	19 13 53.7
11	9	5	30.0	43 9.68	10 24' 11.6	19 41 21.6
12	9.0	4	44 56.6	44 56.60	10 44' 13.0	20 1 23.0
13	8	3	45 59.0	46 19.27	10 57' 45.6	20 14 55.6
14	9.0	4	49 5.5	49 5.50	10 20' 2.7	19 37 12.7
15	9	4	43.2	49 43.20	10 4 26.3	19 21 36.3
16	9	7	50 55.3	50 15.00	9 27' 37.8	18 44 47.8
17	9	4	52 31.3	52 31.30	9 30' 43.4	18 47 53.4
18	9	4	57 7.6	57 7.60	10 3 37.2	19 20 47.2
19	9.0	2	50.6	58 21.06	10 34' 29.8	19 51 39.8
20	8.9	7	30.8	57 50.17	10 48' 27.7	20 5 37.7
21	9.0	3	4.5	59 24.88	10 50' 1.7	20 7 11.7
22	7	3	2.4	2 0 22.71	10 34' 24.2	19 51 34.2
23	8.9	3	1 10.2	1 30.40	10 20' 53.1	19 38 3.1
24	9.0	6	2 24.0	1 53.73	9 53' 55.9	19 11 5.9
25	7	5	10.9	2 50.50	10 59' 58.9	20 17 8.9
26	9	5	36.0	3 15.59	11 2' 13.7	20 19 23.7
27	9	4	10.4	4 10.40	11 37' 15.8	20 54 25.8
28	7	5	2.6	4 42.24	10 44' 5.9	20 1 15.9
29	7	5	25.7	5 5.51	10 24' 11.7	19 41 21.7
30	9.0	4	6 45.6	6 45.60	11 30' 23.7	20 47 33.7
31	9.0	5	41.5	7 21.10	10 57' 58.2	20 15 8.2
32	9	3	9 8.9	9 29.12	10 33' 19.5	19 50 29.5
33	8.9	7	59.6	9 19.26	9 39' 11.8	18 56 21.8
34	9	4	11 10.9	11 10.90	11 0' 2.8	20 17 12.8

Hülftafel zur Reduction auf den mittleren Ort 1850 Januar 0 D = - 20°.

T.	k	k'	d
23 50' - 36.16	-5	-5	+16.2 +0.4 +
0 0 - 36.21	-4	-5	+16.6 +0.5 +
10 - 36.25		-5	+17.1 +

100 Fad. 4. 50.2

103 „ 5. 54.4

106 „ 4. 48.6

107. Zeitminute vielleicht 58.

108 Fad. 5. 41.0

115 „ 4. 55.5

Die Sterne waren zuweilen recht ruhig, zuweilen wenn heftige Windstöße waren, ziemlich ruhig.

ZONE 263. 1849 Nov. 1. 0.

NC. 1 20' - 1 50.93

3 27' - 1 53.41

Anf. 27 9.48 + 5.3 40.4

2 25 39.0

Ende 27 9.53 + 4.7 38.3

Microsc. I + 8.21

Decl. = - (Microsc. I + 9° 17' 10'')

2^u r+i - 36''.732 Δr - 0''.005 Δi - 0'

Hülftafel zur Reduction auf den mittleren Ort 1850 Januar 0 D = - 20°.

T.	k	k'	d
1 30' - 36.84	-3	-4	+18.2 -0.1 +
40 - 36.87	-3	-4	+18.1 -0.1 +
50 - 36.90	-3	-4	+18.0 -0.1 +
2 0 - 36.93	-2	-3	+17.9 -0.1 +
10 - 36.95	-2	-3	+17.8 -0.2 +

21 Fad. 4. 25.0

22 „ 4. 22.8

29 „ 6. 36.0

r.	Fad.	Beob. Zeit.	T.	Microsc. I	Südl. Declin.
			^u	^o	^o
	2	59.6	2 12 30.13	10 56 40.8	20 13 50.8
	1	35.3	13 15.75	10 33 49.7	19 50 59.7
	3	13.5	13 33.71	10 28 19.8	19 45 29.8
	6	14 2.2	13 32.06	9 25 38.1	18 42 48.1
	5	15 11.9	14 51.46	11 19 16.3	20 36 26.3
	2	0.6	16 30.72	9 45 20.3	19 2 30.3
	4	17 58.0	17 58.00	9 33 55.7	18 51 5.7
	7	19 1.2	18 20.67	10 26 13.9	19 43 23.9
7	1	32.8	20 13.22	10 26 27.2	19 43 37.2
0	7	20 46.5	20 5.95	10 29 3.9	19 46 13.9
	2	21 58.3	22 28.65	10 0 40.1	19 17 50.1
	4	43.6	22 43.60	9 55 29.2	19 12 39.2
9	7	25.8	22 45.21	10 40 35.7	19 57 45.7
0	4	26 45.0	26 45.00	9 44 22.9	19 1 32.9
	4	27 3.5	27 3.50	9 43 34.5	19 2 44.5
0	5	28 24.0	28 3.66	10 35 38.1	19 52 48.1
0	4	30.3	29 30.30	11 15 40.5	20 32 50.5
	3	29 54.3	30 14.60	11 11 25.9	20 28 35.9
0	4	30 4.6	30 4.60	11 10 39.8	20 27 49.8
8	7	31 13.6	30 32.79	11 29 30.5	20 46 40.5
	3	56.6	32 16.99	11 49 15.2	21 6 25.2
	3	39.1	32 59.45	11 32 13.5	19 49 23.5
0	6	33 50.6	33 20.25	10 21 22.6	19 38 32.6
0	3	34 57.5	35 17.77	10 58 22.2	20 15 32.2
0	4	36 49.2	36 49.20	10 24 21.9	19 41 31.9
	7	29.0	36 48.40	10 42 41.9	19 59 51.9
	2	38 12.6	38 42.89	9 55 49.3	19 12 59.3
8	7	39 44 :	39 3	11 45 10.0	21 2 20.0
9	6	40 40.2	40 9.86	10 14 54.4	19 32 4.4
0	7	22.6	40 42.10	10 18 46.5	19 35 56.5
9	2	5.2	42 35.62	10 22 21.6	19 39 31.6
9	6	43 6.2	42 35.84	10 22 21.7	19 39 31.7
	6	43 59.7	43 29.10	11 35 9.4	20 52 19.4
	6	44 3.5	43 32.90	11 35 14.0	20 52 24.0
9	7	57.6	44 16.79	11 27 57.4	20 45 7.4
	6	46 10.5	45 40.27	9 42 5.0	18 59 15.0
	5	46.2	46 25.95	9 47 2.5	19 4 12.5
	3	48.2	48 8.54	11 26 54.6	20 44 4.6
	3	49 1.5	49 21.71	10 28 2.3	19 45 12.3
0	3	47.2	50 7.36	10 1 51.0	19 19 1.0
0	7	52 1.3	51 20.72	10 37 55.1	19 55 5.1
	5	54 58.5	54 37.96	12 0 20.6	21 17 30.6
9	4	39.2	55 39.20	10 39 42.2	19 56 52.2
	3	30.2	56 50.33	9 49 5.9	19 6 15.9
	6	16.0	56 45.80	9 32 36.2	18 49 46.2
	6	58 24.6	57 53.91	12 1 18.0	21 18 28.0
	5	19.1	58 58.78	10 23 2.5	19 40 12.5
	5	9.5	59 49.23	10 35 25.3	19 52 35.3
9	6	3.3	3 0 33.00	10 4 39.3	19 21 49.3
	4	1 56.6	1 56.60	10 35 57.9	19 53 7.9
0	6	2 38.2	2 7.73	10 58 22.7	20 15 32.7
	3	16.5	3 36.74	10 44 57.1	20 2 7.1
	6	51.8	3 21.47	10 19 23.0	10 36 33.0
	4	37.5	4 37.50	9 36 38.8	18 53 48.8
0	4	55.0	5 55.04	10 6 47.0	19 23 57.0

Hülftafel zur Reduction auf den mittlern Ort 1850 Januar 0 D = - 20°.

T.	k	k'	d	d'
ⁿ				
2 10-36.95	-2	-3	+17.8	-0.2 +15.0
20-36.97	-2	-3	+17.6	-0.2 +15.1
30-36.99	-1	-3	+17.4	-0.2 +15.1
40-37.00	-2	-3	+17.2	-0.2 +15.1
50-37.02	-1	-3	+17.0	-0.2 +15.2
3 0-37.03	0	-3	+16.8	-0.3 +15.2
10-37.03		-3	+16.5	+15.2

38 Fad. 7. 12.4

40 „ 3. 10.6 Fad. 4. 30.5; die Fäden geben 30.91, 30.74 und 30.50.

42. 43. Ich vermuthe, dass bei diesen beiden Sternen der Grad des Microscops 11 und also der der Declination 20 zu lesen sei. Dann kommt N°. 43 vollkommen mit LL. 4552 und einer Beob. 1851 Oct. 3. überein, während an diesem Tage an dem uncorrectirten Orte kein Stern sich vorfand, dass aber N°. 42 nahe auf dem Parallel von 43 war, erinnere ich mich mit Bestimmtheit. In dieser Hypothese werden die T. resp. 18' 20.40 und 20' 13.49.

49. Nach dem Zeugniß von Z. 318 N°. 13 und einer Beob. 1851 Jan. 20. muss die Minute des Microscops 45' sein; danach ist die Declination angesetzt.

55 Fad. 4. 17.0

61 „ 3. 22.7

65. 66. derselbe.

75. Vielleicht Fad. 6 und dann T. 30.89

82 Fad. 6. 19.7

87 „ 7. 2.0

89 „ 6. 25.4

Gute Luft; nur gegen das Ende etwas unruhig.

Nº.	Gr.	Fad.	Beob. Zeit.	T.	Microsc. I	Südl. Declin.
90	7	5	7' 9.4	3 6' 49.01	11 18 40.7	20 35 50.7
91	7.8	2	8 35.0	9 5.61	11 17 42.1	20 34 52.1
1	9.0	5	25 56.0	22 25 35.86	8 55 30.4	18 12 20.4
2	8.9	7	13.2	25 33.01	8 59 28.9	18 16 18.9
3	9	5	27 20.6	27 0.45	9 0 3.6	18 16 53.6
4	7	2	49.9	28 20.06	8 57 15.6	18 14 5.6
5	8	4	11.0	28 11.00	9 6 59.4	18 23 49.4
6	8	7	46.9	28 6.64	9 18 15.5	18 35 5.5
7	9	6	32.7	29 2.48	9 38 4.5	18 54 54.5
8	8	7	47.1	29 6.73	9 45 56.3	19 2 46.3
9	9	2	32.6	31 2.60	7 58 26.8	17 15 16.8
10	9	4	31 38.2	31 38.20	9 17 49.1	18 34 39.1
11	9.0	3	14.6	32 34.67	9 18 27.8	18 35 17.8
12	7.8	4	11.9	33 11.90	8 16 29.2	17 33 19.2
13	9	3	13.0	34 33.14	9 56 13.8	19 13 3.8
14	9.0	5	35 41.2	35 21.06	8 53 50.2	18 10 40.2
15	8.9	7	36 46.2	36 6.32	7 39 43.9	16 55 33.9
16	9.0	6	38 21.5	37 51.54	8 5 41.1	17 22 31.1
17	9.0	6	38.6	38 8.64	8 5 3.9	17 21 53.9
18	8.9	5	39 55.0	39 34.97	7 55 23.5	17 12 13.5
19	9	5	41 29.9	41 9.77	8 46 4.8	18 2 54.8
20	8.9	6	58.6	41 28.55	8 30 33.7	17 47 23.7
1	7	3	56 19.3	21 56 41.91	1 49 49.1	27 33 10.9
2	9	4	58 12.4	58 12.40	0 37 59.7	28 45 0.3
3	8.9	6	0 18.0	59 45.31	0 35 56.2	28 47 3.8
4	7.8	7	0 31.6	59 48.15	0 30 31.9	28 52 28.1
5	7	6	2 36.6	22 2 3.84	0 21 36.4	29 1 23.6
6	7	4	34.3	3 34.30	1 29 32.3	27 53 27.7
7	7.8	1	1.6	4 44.75	1 33 20.0	27 49 40.0
8	8.9	2	41.9	5 14.05	2 8 27.2	27 14 32.8
9	7	4	7.4	5 7.40	2 18 30.2	27 4 29.8
10	9	5	6 8.2	5 46.62	1 11 3.2	28 11 56.8
11	6	5	47.4	6 25.76	0 52 31.3	28 30 28.7
12	7.8	4	9 26.1	9 26.10	1 14 52.1	28 8 7.9
13	9	4	10 34.0	10 34.00	1 20 16.3	28 2 43.7
14	8	3	11 37.0	11 58.70	1 14 32.2	28 8 27.8
15	9	3	28.1	12 49.98	0 24 16.6	28 58 43.4
16	9	3	14 22.6	14 44.31	1 12 27.7	28 10 32.3
17	8.9	4	4.5	15 4.50	1 4 29.8	28 18 30.2
18	8.9	6	16 14.2	15 41.56	0 44 31.2	28 38 28.8
19	8	4	0.0	17 0.00	1 45 40.1	27 37 19.9
20	9	4	18 19.8	18 19.80	1 29 43.2	27 53 16.8
21	9	6	54.2	18 21.95	1 16 44.2	28 6 15.8
22	9	5	56.0	19 34.30	0 35 30.8	28 47 29.2
23	8.9	4	20 25.2	20 25.20	1 24 35.0	27 58 25.0
24	8.9	2	21 6.0	21 38.03	1 27 24.8	27 55 35.2
25	6	2	21 27.3	21 59.65	1 30 24.6	27 52 35.4
26	8.9	7	22 43.5	22 0.67	2 3 12.2	27 19 47.8
27	7	5	31.7	23 10.39	2 32 6.1	26 50 53.9
28	9	4	24 49.1	24 49.10	0 54 11.0	28 28 49.0
29	9	3	2.0	25 23.63	0 57 34.0	28 25 26.0
30	9	6	9.3	25 36.76	1 3 50.0	28 19 10.0
31	8.9	7	28.0	25 44.84	1 13 1.8	28 9 58.2
32	8.9	6	54.3	26 21.79	1 8 13.0	28 14 47.0
33	9	7	28 28.6	27 48.39	1 5 20.9	28 17 39.1

90 Fad. 6. 19.6

91 „ 3. 45.3

ZONE 264. 1849 Nov. 3. Or

NC. 22 16' - 1' 50.77

Anf. 27 9.01 + 7.4 45.2 Ende 46.8

Microsc. I + 8".70

Decl. = - (Micr. I + 9° 16' 50")

22" $\tau + i - 36''.800$ $\Delta\tau 0''.000$ $\Delta i - 0''$ *Hülftafel zur Reduction auf den mittleren Ort 1850 Januar 0 D = - 18°.*

T.	k	k'	d
22 20' - 35.98	-6	-6	+11.3 +0.4 +
30 - 36.04	-6	-6	+11.7 +9.5 +
40 - 36.10	-5	-6	+12.2 +0.5 +

20 Fad. 7. 8".6

Wolken verhinderten die Fortsetzung.

ZONE 265. 1849 Nov. 11. We

NC. 21 46' - 1' 57.49

23 43 - 2 1.18

Anf. 28 4.05 + 6.8 43.6

22 52 42.1

Ende 28 4.13 + 6.3 41.7

Microsc. I -- 3".36

Decl. = Microsc. I - 29° 23' 0"

23" $\tau + i - 38''.643$ $\Delta\tau + 0''.011$ $\Delta i - 0''$ *Hülftafel zur Reduction auf den mittleren Ort 1850 Januar 0 D = - 28°.*

T.	k	k'	d
22 0' - 37.46	-7	-3	+15.5 -0.2 +
10 - 37.53	-6	-3	+15.3 -0.1 +
20 - 37.59	-7	-3	+15.2 -0.2 +
30 - 37.66	-2	-2	+15.0 -0.2 +

1 Fad. 5. 2".3 Fad. 6. 14".3; die Zeitsec bei Fad. 3 ist als zweifelhaft angegeben ist hier, wie an Fad. 5, um 1" verzählt, gegen Fad. 6 richtig ist, wie eine Beob. Oct. 12. zeigt; hiernach ist T berechnet.

21 Fad. 7. 5".3 Fäden 21".73 und 22".17

24 „ 3. 16.0 Fad. 5. 59".6

25 „ 3. 38.0

29 „ 4. 23.5

Nr.	Gr.	Fad.	Beob. Zeit.	T.	Microsc. 1	Südl. Declin.
34	8.9	5	29 39.4	22 29 18.09	2 32 39.2	26 50 20.8
35	8.9	3	19.5	30 41.14	1 33 46.0	27 49 14.0
36	9	4	56.4	30 56.40	1 19 41.0	28 3 19.0
37	8	7	7 :	30 24	1 9 35.1	28 13 24.9
38	9	6	48.3	31 15.76	1 2 9.9	28 20 50.1
39	7	7	32 45 :	32 1	0 17 0.7	29 5 59.3
40	8	7	47 :	32 3	0 15 39.4	29 7 20.6
41	8	5	34 7.5	33 45.95	1 20 29.9	28 2 30.1
42	8.9	4	38.3	34 38.30	1 12 56.3	28 10 3.7
43	8.9	5	32.2	35 10.52	0 43 3.7	28 39 56.3
44	8.9	6	1.1	35 28.45	0 26 59.4	28 56 0.6
45	9	6	50.5	36 18.06	1 23 32.8	27 59 27.2
46	9	4	24.5	37 24.62	1 18 6.0	28 4 54.0
47	8.9	5	25.6	38 4.11	1 36 50.7	27 46 9.3
48	8.9	3	38 57.0	39 18.50	2 17 6.4	27 5 53.6
49	8.9	5	40 7.3	39 45.73	1 12 34.0	28 10 26.0
50	9	6	31.6	39 59.11	1 13 32.2	28 9 27.8
51	8	5	12.1	40 50.49	1 1 53.4	28 21 6.6
52	9	4	42 19.2	42 19.20	2 4 51.4	27 18 8.6
53	9	3	2.1	43 23.91	2 8 20.1	27 14 39.9
54	9	7	44 35.5	43 52.58	1 49 47.1	27 33 12.9
55	9	7	45 35.5	44 52.33	1 12 1.4	28 10 58.6
56	8.9	6	23.0	45 50.19	0 10 39.9	29 12 20.1
57	8.9	4	5.4	47 5.40	1 38 25.9	27 44 34.1
58	8	2	45.7	48 17.94	1 55 34.4	27 27 25.6
59	8.9	5	48.4	48 26.69	0 33 49.9	28 49 10.1
60	9	7	49 52 :	49 9	2 19 15.4	27 3 44.6
61	8	6	50 10.9	49 38.75	2 21 50.0	27 1 10.0
62	7.8	5	36.0	50 14.67	2 28 33.1	26 54 26.9
63	8.9	7	58 :	50 15	2 24 23.6	26 58 36.4
64	7.8	4	52 47.6	52 47.60	2 25 22.0	26 57 38.0
65	8.9	4	52 54.7	52 54.68	2 26 12.5	26 56 47.5
66	9	7	54 24.3	53 41.67	2 34 25.2	26 48 34.8
67	7	3	55 46.2	56 7.90	1 45 24.7	27 37 36.3
68	7.8	2	48.2	57 20.56	1 26 10.0	27 56 50.0
69	9	7	51.4	57 8.70	2 22 49.7	27 0 10.3
70	9	2	31.6	59 3.78	2 23 41.8	26 59 18.2
71	9	5	2 32.6	23 2 11.20	2 4 44.4	27 18 15.6
72	8.9	2	13.2	3 45.50	1 39 5.1	27 43 54.9
73	9	3	25.4	3 47.06	1 40 29.9	27 42 30.1
74	9	2	5 17.1	5 49.25	2 9 36.5	27 13 21.5
75	8.9	2	34.0	6 6.19	2 1 9.7	27 21 50.3
76	9	2	28.5	7 0.84	1 31 2.8	27 51 57.2
77	8.9	4	7 5.3	7 5.30	0 6 56.0	29 16 4.0
78	8.9	3	56.0	8 17.88	1 23 5.1	27 59 54.9
79	8	3	44.0	9 5.65	1 28 50.7	27 54 9.3
80	9	5	9 29.6	9 8.26	2 11 30.3	27 11 29.7
81	8	3	10 42.2	11 4.14	0 5 44.4	29 17 15.6
82	7	2	6.0	11 38.84	0 10 53.2	29 12 6.8
83	9	4	12 8.3	12 8.30	2 6 13.0	27 16 47.0
84	9	4	13 30.8	13 30.80	0 53 11.0	28 29 49.0
85	6.7	6	25.6	13 53.22	1 34 19.8	27 48 40.2
86	9	4	11.5	15 11.70	2 4 20.3	27 18 39.7
87	9	5	22.0	16 0.75	2 9 36.9	27 13 23.2
88	8.9	6	17 12.6	16 40.13	1 16 36.2	28 6 23.8

**Hülftafel zur Reduction auf den mittlern
Ort 1850 Januar 0 D = - 28°.**

T.	k	k'	d	d'
22 30 - 37.66	-6	-2	+15.0	-0.2
40 - 37.72	-7	-2	+14.8	-0.1
50 - 37.79	-6	-2	+14.7	-0.2
23 0 - 37.85	-7	-2	+14.5	-0.1
10 - 37.92	-6	-2	+14.4	-0.2
20 - 37.98		-2	+14.2	+40.4

44	Fad.	7.	12.0
46	"	5.	46.3
53	"	4.	24.2 Fäden 23".62 und 24".20
58	"	3.	56.4
62	"	6.	46.8
65	"	5.	16.0
67	"	4.	8.0
70	"	3.	42.4
73	"	4.	47.1
78	"	4.	18.1 Fäden 17".67 und 18".10
80	"	6.	30.5
82	"	3.	17.0
86	"	5.	33.3 giebt T. 11".90
87	"	6.	33.1

Die Luft war unruhig, so dass die Sterne 9 : m. bei sehr geschwächter Beleuchtung nur mit grosser Mühe beobachtet wurden.

No.	Gr.	Fad.	Beob. Zeit.	T.	Microsc. I	Südl. Declin.
89	8	4	21.9	23 17' 21.86	1 12' 29.2	28 10' 30.8
90	7	2	18.5	18 51.04	1 7' 57.7	28 15' 2.3
91	9	5	19 11.6	18 50.57	2 3' 16.4	27 19' 43.6
92	8.9	2	4.3	20 36.46	2 5' 52.2	27 17' 7.8
93	8.9	5	47.2	20 25.68	1 52' 24.7	27 30' 35.3
94	9	4	56.5	21 56.50	1 27' 31.7	27 55' 28.3
95	9	5	19.5	21 57.65	0 57' 40.8	28 25' 19.2
96	9	4	30.2	23 30.20	1 15' 34.2	28 7' 24.8
97	9	6	26.5	23 54.00	1 10' 46.9	28 12' 13.1
98	6.7	2	27 50.4	28 22.91	1 4' 10.3	28 18' 49.7
99	9	7	29 10.5	28 27.37	1 16' 16.3	28 6' 43.7
100	8.9	3	31 46.5	32 8.17	1 23' 30.8	27 59' 29.2
101	8	3	38.3	33 0.26	0 12' 8.2	29 10' 51.8
102	8	5	27.4	33 5.93	1 39' 30.7	27 43' 29.3
103	9	5	13.5	33 52.00	1 34' 56.2	27 48' 3.8
104	8.9	4	3.3	35 3.38	0 54' 49.3	28 28' 10.7
105	8.9	6	55.6	35 22.92	0 22' 29.1	29 0' 30.9
106	6.7	2	36 46.2	37 18.25	2 17' 45.7	27 5' 14.3
1	9	7	0 3.8	0 59 20.89	1 50' 38.9	27 32' 21.1
2	8.9	4	4.9	1 1 4.90	0 51' 30.8	28 31' 29.2
3	8	4	3 30.0	3 30.00	2 22' 46.3	27 0' 13.7
4	9	7	4 44.6	4 1.26	0 48' 18.9	28 34' 41.1
5	8.9	4	39.0	5 39.00	2 16' 4.9	27 6' 55.1
6	9	6	7 10.5	6 38.28	2 8' 6.8	27 14' 53.2
7	9	3	11 19.2	11 40.94	1 43' 33.9	27 39' 26.1
8	8.9	6	44.4	12 12.17	2 4' 27.6	27 18' 32.4
9	8.9	6	51.4	13 18.64	0 21' 54.0	29 1' 6.0
10	8.9	4	15 15.0	15 15.00	1 55' 24.9	27 27' 35.1
11	9	7	8.4	15 25.50	1 52' 57.0	27 30' 3.0
12	9	4	17 13.9	17 13.93	2 23' 51.8	26 59' 8.2
13	8.9	4	20.6	18 20.60	0 46' 25.9	28 36' 34.1
14	9	4	4.4	19 4.40	2 8' 4.1	27 14' 55.9
15	8	4	21 36.3	21 36.39	1 29' 17.1	27 53' 42.9
16	8.9	3	23 15.4	23 15.40	1 37' 50.5	27 45' 9.5
17	7	5	18.3	23 56.95	2 23' 23.1	26 59' 36.9
18	8	2	58.7	25 31.22	0 54' 25.2	28 28' 34.8
19	8.9	5	26.6	24 53.88	0 30' 47.1	28 52' 12.9
20	9	7	32.6	25 49.67	1 47' 40.9	27 35' 19.1
21	8	3	27 35.0	27 56.70	1 14' 48.0	28 8' 12.0
22	7.8	5	25.5	28 3.75	0 22' 51.6	29 0' 8.4
23	8.9	4	31 38.7	31 38.70	1 23' 34.5	27 59' 25.5
24	9	5	32 56.6	32 35.06	1 21' 47.0	28 1' 13.0
25	9	3	38 33.4	38 54.90	2 15' 35.8	27 7' 24.2
26	8.9	4	39 25.5	39 25.50	2 18' 48.9	27 4' 11.1
27	8	6	46.6	39 14.42	2 13' 28.3	27 9' 31.7
28	9	5	41 43.2	41 21.76	1 53' 15.4	27 29' 44.6
29	7.8	4	42 18.5	42 18.42	2 22' 17.3	27 0' 42.7
30	8.9	6	43 5.5	42 33.38	2 28' 24.0	26 54' 36.0
31	8.9	7	26.0	42 43.38	2 35' 29.7	26 47' 30.3
32	9	6	44 53.2	44 20.37	9 59' 33.1	29 23' 26.9
33	9	7	46 30 :	45 47	1 31' 29.5	27 51' 30.5
34	8.9	5	48 33.0	48 11.63	2 17' 24.9	27 5' 35.1
35	8	5	49 42.5	49 20.87	0 55' 59.9	28 27' 0.1
36	8.9	4	25.3	50 25.30	1 5' 4.7	28 17' 55.3
37	8.9	2	51 12.8	51 45.08	1 42' 31.2	27 40' 28.8

**Hülftafel zur Reduction auf den mittler
Ort 1850 Januar 0 D = - 28°.**

T.	k	k'	d
23 20' - 37.98	-6	-2	+14.2 -0.1 +4
30 - 38.04	-7	-2	+14.1 -0.2 +4
40 - 38.11		-1	+13.9

89 Fad. 5. 43.4

90 " 3. 29.4

91 " 6. 23.2 Fäden 50".19 und 50".90

93 " 7. 8.5

95 " 6. 30.0 Fäden 57".87 und 57".4

98 " 3. 1.2

99. Zeit zweifelhaft. 101 Fad. 4. 0".3

102 Fad. 6. 38".3 104 " 5. 25.1

105 " 7. 6.5 106 " 3. 56.7

ZONE 266. 1849 Nov. 11. W.

NC. 0 47' - 2' 0.79

2 49 - 2 1.57

Anf. 28 4.04 + 5.6 39.6

1 37 39.2

Ende 28 3.86 + 4.9 38.4

Microsc. I - 2".8

Decl. = Microsc. I - 29° 23' 0"

2" $\tau + i$ - 38".608 $\Delta\tau + 0".011$ $\Delta i - 0"$

**Hülftafel zur Reduction auf den mittl.
Ort 1850 Januar 0 D = - 28°.**

T.	k	k'	d
1 0' - 38.55	-5	0	+13.5 -0.2 +
10 - 38.60	-5	0	+13.3 -0.2 +
20 - 38.65	-4	0	+13.1 -0.3 +
30 - 38.69	-5	0	+12.8 -0.3 +
40 - 38.74	-4	0	+12.5 -0.3 +
50 - 38.78	-4	0	+12.2 -0.3 +

7 Fad. 6. 13.4

8 " 7. 55.0

12 " 5. 35.3

15 " 5. 58.0

19. LL. 2793, Z. 328 No. 16 und Z. 336 N
zeigen, dass statt des 5^{ten} der 6^{te} Faden
lesen sei; nach dieser Correction ist T
rechnet.

27 Fad. 7. 57".2

29 " 5. 39.7

32 " 7. 4.1

Nr.	Gr.	Fad.	Beob. Zeit.	T.	Microsc. I	Südl. Declin.
38	9	7	52 23.3	1 51 40.29	1 35 33.2	27 47 26.8
39	8.9	4	18.3	53 18.30	0 42 55.9	28 40 4.1
40	9	7	54 29.2	53 45.74	0 30 7.0	28 52 53.0
41	9	6	27.2	54 54.87	1 2 48.0	28 20 12.0
42	9	4	13.6	56 13.60	0 19 36.1	29 3 23.9
43	8	7	57 6.8	56 23.91	1 54 39.5	27 28 20.5
44	8.9	4	58 48.4	58 48.40	0 18 31.4	29 4 28.6
45	8	4	59 9.7	59 9.70	0 17 25.7	29 5 34.3
46	8	6	42.7	59 9.86	0 6 49.8	29 16 10.2
47	8.9	4	0 51.6	2 0 51.60	2 35 21.6	26 47 38.4
48	7	4	2 0.6	2 0.60	1 5 46.0	28 17 14.0
49	9	4	49.5	2 49.50	1 15 30.2	28 7 29.8
50	9	4	3 54.2	3 54.20	1 58 26.1	27 24 33.9
51	8.9	3	30.5	4 52.16	1 26 59.7	27 56 0.3
52	9	7	4.7	4 21.39	0 51 33.8	28 31 26.2
53	8	4	4.8	6 4.80	1 9 48.5	28 13 11.5
54	9	5	31.7	6 10.37	2 1 51.0	27 21 9.0
55	8	1	31.1	8 14.56	0 46 43.4	28 36 16.6
56	8	3	9 9.7	9 31.22	2 9 11.9	27 13 48.1
57	8.9	6	10 38.6	10 5.76	0 6 24.0	29 16 36.0
58	8.9	6	12 31.0	11 58.05	0 19 10.6	29 3 49.4
59	8.9	1	13 35.5	14 18.64	1 25 0.2	27 57 59.8
60	7	2	15 28.8	16 1.34	0 50 7.0	28 32 53.0
61	7	4	17 20.4	17 20.40	1 42 3.7	27 40 56.3
62	8.9	6	19 19.2	18 46.34	0 3 34.4	29 19 25.6
63	8.9	5	2.3	19 40.70	1 33 20.1	27 49 39.9
64	8.9	3	48.0	20 48.00	1 52 51.9	27 30 8.1
65	9	5	21 51.0	21 29.40	1 4 52.5	28 18 7.5
66	8	6	22 45.1	22 12.92	2 16 4.9	27 6 55.1
67	9	4	23 48.6	23 48.60	2 35 54.9	26 47 5.1
68	9	4	24 27.2	24 27.20	1 57 25.3	27 25 34.7
69	8	4	25 34.6	25 34.71	1 12 34.4	28 10 25.6
70	8	5	37.0	26 15.39	0 55 39.1	28 27 20.9
71	7	7	13 :	26 30	1 42 38.7	27 40 21.3
72	8	7	58.3	27 15.61	2 25 12.8	26 57 47.2
73	9	4	29 1.3	29 1.30	1 57 25.6	27 25 34.4
74	8.9	4	45.2	29 45.20	2 1 22.0	27 21 38.0
75	8.9	5	35.6	30 13.88	0 30 37.7	28 52 22.3
76	9	3	32 28.8	32 50.61	1 13 9.0	28 9 51.0
77	8.9	6	33 41.0	33 8.78	2 24 54.9	26 58 5.1
78	8.9	7	34 57.6	34 14.22	0 40 18.6	28 42 41.4
79	9	5	58.7	35 36.97	1 13 20.0	28 9 40.0
80	9	5	36 35.5	36 14.06	1 22 37.8	28 0 22.2
1	9.0	4	6 19.2	23 6 19.20	2 19 24.4	17 1 15.6
2	7.8	2	7.1	7 37.11	2 17 4.9	17 3 35.1
3	9.0	7	9 3.5	8 23.56	1 38 48.7	17 41 51.3
4	8.9	5	54.2	9 34.19	1 14 24.7	18 6 15.3
5	8	7	32.0	9 51.76	0 21 37.8	18 59 2.2
6	9.0	4	16.0	11 16.00	0 7 58.1	19 12 41.9
7	6	3	47.9	12 8.13	0 26 50.7	18 53 49.3
8	9	4	13 41.7	13 41.70	0 56 4.9	18 24 35.1
9	9	4	6.7	14 6.83	1 0 13.9	18 20 26.1
10	9	7	56.0	14 16.06	1 38 34.5	17 42 5.5
11	9	4	15 59.3	15 59.30	1 58 51.1	17 21 48.9
12	9	3	50.2	17 10.34	1 11 54.9	18 8 45.1

Hälftafel zur Reduction auf den mittlern Ort 1850 Januar 0 D = - 28°.

T.	k	k'	d	d'
1 50 - 38.78	-4	0	+12.2	-0.3
2 0 - 38.82	-3	+1	+11.9	-0.4
10 - 38.85	-4	+1	+11.5	-0.4
20 - 38.89	-3	+1	+11.1	-0.4
30 - 38.92	-3	+1	+10.7	-0.5
40 - 38.95	+1	+1	+10.2	+41.0

41 Fad. 7. 38.3 Fäden 54".66 und 55".07

54 " 6. 42.7

58 " 7. 41.4 Fäden 57".23 und 56".87

59 " 2. 46.2

60 " 3. 39.6 Fad. 4. 1".30

63 " 6. 13.0

69 " 5. 56.4

72. Ein Stern 8.9^m. geht ungefähr 2" voraus und ist 2' nördlicher.

76 Fad. 4. 50".7

77 " 7. 51.4

78. Die Zeit ist um 10" verschoben und muss T sein 34' 4".22, wie Z. 336 No. 119 und eine Beob. 1851 Jan. 20. zeigen.

79 Fad. 6. 9".3 Faden 37".13 und 36".81

80 " 6. 46.6

Zustand der Luft, wie bei der vorigen Zone.

ZONE 267. 1849 Nov. 13. West.

NC. 22^m 52' - 1' 58".38

Anf. 28 1.72 + 7.0 44.2

Ende 1.62 + 6.4 44.0

Microsc. I - 3".38

Decl. = Microsc. I - 19° 20' 40"

23^m r+i - 38".466 $\Delta r + 0".006$ $\Delta i - 0".006$

1. Die Vergleichung mit Z. 250 No. 47 und Z. 268 No. 11 zeigt, dass die Zeit statt 19.2 zu lesen sei 29.2.

2 Fad. 3. 17".2

9 " 5. 27.0

Nº.	Gr.	Fad.	Beob. Zeit.	T.	Microsc. I	Südl. Declin.
13	8.9	7	30.4	23 16 50.28	0° 49' 10.9"	18° 31' 29.1"
14	8.9	7	58.7	17 18.59	0 53 24.4	18 27 15.6
15	8.9	5	11.0	17 50.98	0 53 28.0	18 27 12.0
16	8.9	4	19 22.2	19 22.20	2 14 11.9	17 6 28.1
17	9.0	5	22 58.4	22 38.39	1 14 50.3	18 5 49.7
18	7.8	4	42.1	23 42.10	2 31 50.9	16 48 49.1
19	8.9	5	25 54.4	25 34.44	1 40 32.5	17 40 7.5
20	8.9	4	41.6	26 41.60	2 11 49.9	17 8 50.1
21	8	4	24.2	27 24.20	1 30 46.6	17 49 53.4
22	9.0	7	28 13.2	27 33.27	1 40 18.1	17 40 21.9
23	9	6	28 41.7	28 11.63	1 38 37.1	17 42 2.9
24	9	6	0.4	28 30.27	1 16 28.6	18 4 11.4
25	9	6	33.5	29 3.40	1 27 16.9	17 53 23.1
26	8.9	3	31 49.2	32 9.40	0 43 12.9	18 37 27.1
27	9	5	32 54.4	32 34.42	1 28 10.2	17 52 29.8
28	9	4	33 55.2	33 55.20	0 59 0.8	18 21 39.2
29	5	4	36.4	34 36.40	0 41 39.1	18 39 0.9
30	8.9	5	57.5	34 37.43	0 43 43.5	18 36 56.5
31	9.0	4	36 44.5	36 44.50	1 41 9.0	17 39 31.0
32	8	4	38 56.7	38 56.70	1 22 21.4	17 58 18.6
33	9	2	29.4	39 59.45	1 24 27.9	17 56 12.1
1	7	4	58 2.3	22 58 2.27	1 38 1.7	17 42 38.3
2	9	7	0 3.5	59 23.61	1 53 28.8	17 27 11.2
3	7	3	40.9	23 1 0.97	1 46 54.0	17 33 46.0
4	8.9	6	28.0	0 57.90	1 28 28.6	17 52 11.4
5	9	6	4.4	1 34.24	1 5 54.5	18 14 45.5
6	9	4	47.5	2 47.50	1 4 55.4	18 15 44.6
7	9	7	13 :	2 33	0 59 21.7	18 21 18.3
8	8.9	6	52.6	3 22.41	0 58 2.0	18 22 38.0
9	9.0	5	40.8	4 20.67	0 13 58.0	19 6 42.0
10	9	4	5 46.2	5 46.20	2 15 56.6	17 4 43.4
11	9	4	29.2	6 29.20	2 19 26.5	17 1 13.5
12	9	6	0.6	6 30.62	2 11 54.8	17 8 45.2
13	7.8	4	36.9	7 36.90	2 17 7.9	17 3 32.1
14	9.0	5	30.0	8 10.08	2 4 35.5	17 16 4.5
15	9.0	7	3.3	8 23.36	1 38 48.5	17 41 51.5
16	8	6	10 4.2	9 34.11	1 14 27.0	18 6 13.0
17	9	4	15.9	11 15.88	0 8 0.8	19 12 39.2
18	6	4	8.0	12 8.00	0 26 50.4	18 53 49.6
19	9	6	13 5.2	12 35.16	1 48 20.8	17 32 19.2
20	8	3	53.9	14 13.97	1 49 49.8	17 30 50.2
21	9.0	2	8.5	14 38.48	1 48 53.7	17 31 46.3
22	9.0	7	15 43.5	15 3.51	1 25 36.0	17 55 4.0
23	8.9	4	50.7	16 50.70	0 49 14.5	18 31 25.5
24	7	7	17.9	16 37.75	0 43 52.0	18 36 48.0
25	8.9	4	57.4	17 57.40	0 25 28.1	18 55 11.9
26	8.9	7	31.1	17 50.99	0 53 30.3	18 27 9.7
27	8.9	4	19 42.2	19 42.20	2 14 15.2	17 6 24.8
28	9.0	6	22 54.2	22 24.15	1 46 6.7	17 34 33.3
29	9	4	43.7	23 43.70	0 34 11.3	18 46 28.7
30	8	7	26 11.0	25 30.85	0 42 12.7	18 38 27.3
31	8.9	4	56.6	26 56.60	0 37 21.5	18 43 18.5
32	9	7	42.6	27 2.31	0 7 29.2	19 13 10.8
33	8.9	6	28 41.8	28 11.70	1 38 38.9	17 42 1.1
34	9	7	30 10.4	29 30.64	2 27 50.4	16 52 49.6

*Hülftafel zur Reduction auf den mittl.
Ort 1850 Januar 0 D = - 18°.*

T.	k	k'	d
23 0-37.75	-6	-2	+13.4 +0.2 +
10-37.81	-5	-2	+13.6 +0.3 +
20-37.86	-6	-2	+13.9 +0.3 +
30-37.92	-6	-2	+14.2 +0.2 +
40-37.98		-2	+14.4 +

13. Ein Stern 8:m. geht südlich vorher.
15 Fad. 6. 21".2

Die Luft, Anfangs ziemlich gut, ward bald unruhig, dass die Zone geschlossen werden musste.

ZONE 268. 1849 Nov. 13. W.

NC. 22 44' - 1' 57.52
0 54 - 2 1.37
Anf. 28 0.25 + 5.5 40.7
23 59 38.6
Ende 28 0.22 + 4.6 39.3
Microsc. I - 1".93 u. - 2".79
Decl. = Microsc. I - 19° 20' 40"
0" $\tau + i - 38".413$ $\Delta \tau + 0".003$ $\Delta i - 0"$

*Hülftafel zur Reduction auf den mittl.
Ort 1850 Januar 0 D = - 18°.*

T.	k	k'	d
23 0-37.68	-6	-2	+14.1 -0.3 +
10-37.74	-6	-2	+13.8 -0.3 +
20-37.80	-6	-2	+13.5 -0.3 +
30-37.86		-2	+13.2 +

1 Fad. 5. 22.2
16 " 7. 14.2
17 " 5. 36.0
33 " 7. 51.6

Nr.	Gr.	Fad.	Beob. Zeit.	T.	Microsc. I	Südl. Declin.
35	8.9	4	32 9.4	23 32 9.40	0 43 15.7	18 37 24.3
36	9	4	34 55.0	33 55.00	0 59 1.8	18 21 38.2
37	5	4	36.0	34 36.08	0 41 40.7	18 38 59.3
38	8.9	5	57.2	34 37.19	0 43 45.0	18 36 55.0
39	9.0	4	36 44.0	36 44.00	1 41 9.9	17 39 30.1
40	9	5	37 52.2	37 32.12	0 37 21.9	18 43 18.1
41	8.9	2	39 53.3	40 23.49	0 34 2.1	18 46 37.9
42	7	4	41 3.2	41 3.20	1 48 35.6	17 32 4.4
43	9	5	54.3	41 34.40	2 14 10.5	17 6 29.5
44	7.8	5	42 20.4	42 0.50	2 14 41.0	17 5 59.0
45	6.7	7	3.4	42 23.46	2 38 42.0	16 41 58.0
46	9	7	44 22.9	43 43.12	2 22 53.7	16 57 46.3
47	9	4	7.7	45 7.70	2 6 24.0	17 14 16.0
48	7	4	35.6	45 35.60	2 7 55.8	17 12 44.2
49	9	6	54.0	45 24.00	2 11 47.1	17 8 52.9
50	9	7	31.5	45 51.64	2 1 34.0	17 19 6.0
51	7	7	47 19.8	46 39.51	0 8 41.8	19 11 58.2
52	7	3	59.6	48 19.80	0 40 44.1	18 39 55.9
53	9.0	5	48.0	48 8.08	0 36 8.0	18 44 32.0
54	8.9	5	22.6	49 2.50	0 30 5.8	18 50 34.2
55	9	6	0.0	49 29.86	1 14 24.2	18 6 15.8
56	8.9	6	47.3	50 17.36	2 24 31.1	16 56 8.9
57	9.0	7	52 1.5	51 21.47	1 16 41.9	18 3 58.1
58	8.9	3	41.9	53 2.11	0 29 43.4	18 50 56.6
59	7	5	41.2	53 21.26	1 48 34.0	17 32 6.0
60	9	5	18.8	53 58.84	1 40 43.8	17 39 56.2
61	7.8	6	10.5	54 40.49	1 58 19.6	17 22 20.4
62	9	7	41.3	55 1.51	2 21 9.2	16 59 30.8
63	4	5	1.0	56 40.98	1 10 14.0	18 10 26.0
64	8.9	5	32.4	57 12.37	1 4 56.8	18 15 43.2
65	7.8	4	50.2	57 50.20	1 39 8.7	17 41 31.3
66	6	7	57 55 :	57 15	1 58 39.8	17 22 0.2
67	9	5	59 40.5	59 20.58	2 4 54.8	17 15 45.2
68	6	5	36.5	0 0 16.40	1 7 8.1	18 13 31.9
69	5.6	2	1.6	1 31.67	0 55 52.2	18 24 47.8
70	9	4	2 29.5	2 29.50	1 12 42.1	18 7 57.9
71	9.0	4	56.2	2 56.20	1 15 33.6	18 5 6.4
72	9	6	48.6	3 18.55	1 43 31.3	17 37 8.7
73	9	4	46.4	4 46.40	0 57 2.6	18 23 37.4
74	5	5	29.0	5 8.91	0 34 19.0	18 46 21.0
75	7	4	6 55.5	6 55.50	0 57 44.1	18 22 55.9
76	9	5	48.0	7 27.99	1 15 46.7	18 4 53.3
77	9	5	4.2	7 44.04	1 21 11.0	17 59 29.0
78	9	6	35.8	8 5.66	1 14 52.3	18 5 47.7
79	8	3	14.2	9 34.35	0 36 41.5	18 43 58.5
80	9	5	27.4	10 7.33	0 44 40.5	18 35 59.5
81	9	6	46.5	10 16.29	0 50 38.4	18 30 1.6
82	9	6	23.7	10 53.51	0 56 31.2	18 24 8.8
83	8	4	12 30.3	12 30.30	0 49 43.9	18 30 56.1
84	6	4	4.0	13 4.00	0 48 33.7	18 32 6.3
85	9.0	7	43.6	13 3.52	1 2 1.1	18 18 38.9
86	8	4	37.5	14 37.50	2 17 58.0	17 2 42.0
87	7.8	3	28.3	15 48.35	1 56 26.5	17 24 13.5
88	8.9	4	57.4	15 57.40	1 50 2.9	17 30 37.1
89	9	6	39.9	16 9.84	1 40 28.1	17 40 11.9

**Halfstafel zur Reduction auf den mittlern
Ort 1850 Januar 0 D = - 18°.**

T.	k	k'	d	d'
23 30 - 37.86	-6	-2	+13.2	-0.2
40 - 37.92	-5	-2	+13.0	-0.2
50 - 37.97	-6	-2	+12.8	-0.2
0 0 - 38.03	-5	-2	+12.6	-0.2
10 - 38.08	-5	-2	+12.4	-0.2
20 - 38.13	-1	-1	+12.2	+12.2

36. Die Zeitminute muss 33 sein, wie die Folge der Zeiten zeigt und die bekannte AR. des folgenden Sterns A² Aquarii; danach sind die T berechnet.

37 Fad. 6. 6".4

38 " 7. 17.4

40. Ein Zweifel von 10' in der Angabe des Microscops wird durch eine Beobachtung 1851 Oct. 8. beseitigt.

49 Fad. 7. 3".8

56. dupl. II. Cl. austr.; seq. 9.0 : m.

58 Fad. 4. 2".1

66. ist Baily's Flamst. N^o. 3291; die Position für 1830 aus 2 Aboer Beobachtungen Astr. Nachr. X. p. 182.

68 Fad. 6. 46".5

69 " 3. 11.4 Fad. 4. 31".7

77 " 6. 14.0 Fäden 44".20 und 43".88

78 " 7. 45.7

79 " 4. 34.3

Nº.	Gr.	Fad.	Beob. Zeit.	T.	Microsc. I	Südl. Declin.
90	9	4	13.7	0 17' 13.70	1 40' 47.0	17 39' 53.0
91	9	7	55.5	17 15.58	1 44' 21.3	17 36' 18.7
92	8	7	18 36.0	17 56.24	2 28' 44.1	16 51' 55.9
93	8.9	5	53.3	18 33.41	2 22' 26.2	16 58' 13.8
94	9	6	19 32.4	19 2.44	2 18' 52.7	17 1' 47.3
95	8.9	4	26.5	20 26.56	0 39' 56.5	18 40' 43.5
96	9	4	22 8.1	22 8.10	1 17' 40.2	18 2' 59.8
97	9	5	23 10.3	22 50.30	1 18' 20.8	18 2' 19.2
98	8	6	48.6	23 18.69	2 35' 35.1	16 45' 4.9
99	8	4	21.4	24 21.40	1 43' 9.9	17 37' 30.1
100	6.7	4	25 9.7	25 9.70	0 17' 38.5	19 3' 1.5
101	8	4	40.3	25 40.30	0 24' 18.0	18 56' 22.0
102	8.9	4	8.0	26 8.00	0 24' 3.8	18 56' 36.2
103	8.9	3	26.3	26 46.53	0 24' 0.0	18 56' 40.0
104	9	6	50.0	26 19.61	0 29' 55.0	18 50' 45.0
105	9	7	27 53.5	27 13.59	1 47' 27.6	17 33' 12.4
106	9	3	37.5	28 57.68	1 50' 40.3	17 29' 59.7
107	9	5	28 31.8	29 11.98	1 52' 15.6	17 28' 24.4
108	7.8	7	29 34.7	28 54.82	1 56' 43.8	17 23' 56.2
109	8	4	30 58.6	30 58.60	1 50' 39.3	17 30' 0.7
110	8.9	2	28.4	31 58.39	1 46' 9.6	17 34' 30.4
111	9	4	32 53.5	32 53.50	2 11' 18.8	17 9' 21.2
112	6.7	5	33 54.8	33 34.88	2 0' 1.9	17 20' 38.1
113	9.0	7	19.5	33 39.60	1 50' 50.9	17 29' 49.1
114	8.9	3	35 23.6	35 43.61	1 48' 49.0	17 31' 51.0
115	2	4	41.5	36 41.50	0 31' 56.7	18 48' 43.3
1	6.7	4	26 2.9	23 26 2.90	7 36' 25.0	21 44' 45.0
2	9	5	27 44.6	27 24.23	8 20' 57.4	21 0' 12.6
3	9	4	32.2	28 32.05	6 47' 40.8	22 33' 29.2
4	9	7	24.0	28 42.82	6 52' 53.1	22 28' 16.9
5	9	4	49.5	29 49.50	6 50' 49.1	22 30' 20.9
6	9.0	7	21 7.3	30 26.45	8 0' 52.6	21 20' 17.4
7	8	6	0.4	31 29.57	7 39' 9.5	21 42' 0.5
8	8	6	34.3	32 3.29	6 35' 56.7	22 45' 13.3
9	9	3	42.3	34 2.78	8 26' 20.5	20 54' 49.5
10	8.9	4	34.8	34 34.80	8 20' 47.1	21 0' 22.9
11	8.9	3	35 47.1	36 7.73	7 25' 45.3	21 55' 24.7
12	8.9	5	33.4	36 12.85	6 48' 50.7	22 32' 19.3
13	9	4	35.5	37 35.50	6 26' 4.7	22 55' 5.3
14	9	3	39 39.9	40 0.59	7 0' 37.6	22 20' 32.4
15	7.8	2	41 46.5	42 17.47	6 54' 18.3	22 26' 51.7
16	9	7	46.5	42 5.50	7 29' 43.4	21 51' 26.6
17	8.9	5	27.7	43 7.23	7 38' 6.6	21 43' 3.4
18	9	3	4.4	44 24.98	7 44' 4.8	21 37' 5.2
19	8.9	2	45 17.8	45 48.70	7 2' 16.5	22 18' 53.5
20	7.8	4	46 31.5	46 31.50	7 59' 57.5	21 21' 12.5
21	9	6	7.6	46 36.61	6 53' 59.9	22 27' 10.1
22	9	4	48 6.3	48 6.30	6 53' 33.8	22 27' 36.2
23	7.8	4	0.8	49 0.80	6 31' 36.9	22 49' 33.1
24	9	6	0.2	49 29.21	6 53' 52.3	22 27' 17.7
25	8.9	4	23.5	50 23.50	6 52' 21.0	22 28' 49.0
26	9	4	16.5	51 16.50	8 11' 46.9	21 9' 23.1
27	9.0	7	2.2	51 21.41	8 12' 57.9	21 8' 12.1
28	7.8	5	38.6	52 18.25	8 29' 23.8	20 51' 46.2
29	9	5	12.0	52 51.65	8 28' 38.7	20 52' 31.3

Halftafel zur Reduction auf den mittleren Ort 1850 Januar 0 D = - 18°.

T.	k	k'	d
0 10' -38.08	-5	-2	+12.4 -0.2 +
20-38.13	-6	-1	+12.2 -0.1 +
30-38.19	-5	-1	+12.1 -0.2 +
40-38.24		-1	+11.9

95 Fad. 5. 46.7

98. LL. 696 und Z. 261 N°. 28 zeigen, dass Fad. 6 zu lesen sei Fad. 5 und dann T. 28

104 Fad. 7. 59.7

106 „ 4. 57.8

107 „ 7. 52.0 die Zeitminute muss oft 29 sein.

114 Fad. 5. 3.5

115 „ 5. 1.6

Gute Luft, nur um 0° eine Zeitlang etwas ruhig.

ZONE 269. 1849 Nov. 19. W

NC. 23 17' -153.30

1 12 -155.34

Anf. 28 1.02 + 2.9 32.9

0 16 32.3

Ende 28 1.04 + 1.8 32.2

Microsc. I -3.09 u. -2.16

Decl. = Microsc. I -29° 21' 10"

23° 30' $\tau + i - 38''.375$ $\Delta \tau + 0''.003$ $\Delta i - 0''$

1 0 -37''.886 + 0''.003 - 0''

Halftafel zur Reduction auf den mittleren Ort 1850 Januar 0 D = - 22°.

T.	k	k'	d
23 20' -37.72	-1	-2	+ 6.0 + 0.1 +
30-37.73	0	-2	+ 6.1 + 0.2 +
40-37.73	-1	-2	+ 6.3 + 0.1 +
50-37.74		-2	+ 6.4

3 Fad. 5. 52.5

8 „ 7. 44.6

12 „ 6. 43.9

15 „ 3. 56.8

16. Zeit zweifelhaft.

19 Fad. 3. 28.0

21. Die Zeitangabe ist undeutlich und könnte leicht auch 1''.6 sein; indess zeigt eine 1851 Oct. 8, dass die im Texte aufgenommene Lesart die richtige ist.

Gr.	Fad.	Beob. Zeit.	T.	Microsc. I	Südl. Declin.
9.0	4	50.8	23 53 50.80	8° 5' 26.7	21 15 43.3
8.9	5	25.5	54 5.06	7 48 30.8	21 32 39.2
9.0	7	55 46.4	55 5.45	7 38 39.1	21 42 30.9
7	7	56 33.5	55 52.78	8 27 48.1	20 53 21.9
8.9	2	57 46.6	58 7.26	7 12 9.3	22 9 0.7
9	4	59 28.5	59 28.42	7 0 59.4	22 20 10.6
9	6	29.5	59 58.46	6 41 19.7	22 39 50.3
8.9	3	55.7	0 1 16.44	6 40 45.3	22 40 24.7
7	3	31.6	1 52.39	6 20 24.5	23 0 45.5
7	3	17.9	2 38.54	7 18 42.6	22 2 27.4
9	6	3 4.8	2 33.88	7 8 8.7	22 13 1.3
8.9	3	.8	4 17.48	7 16 8.2	22 5 1.8
8.9	4	5 28.0	5 28.00	6 27 22.5	22 53 47.5
8.9	4	53.5	5 53.50	6 15 20.9	23 5 49.1
7	6	6 35.3	6 4.11	6 3 0.9	23 18 9.1
9	4	20.4	7 20.40	6 56 43.0	22 24 27.0
7	6	53.0	7 22.11	7 19 47.2	22 1 22.8
9	5	9 19.5	8 58.66	6 6 8.7	23 15 1.3
9	6	10 8.5	9 37.52	6 58 9.2	22 23 0.8
9.0	7	10 19.5	9 38.33	6 54 57.9	22 26 12.1
7	5	11 39.3	11 18.79	7 22 46.4	21 58 23.6
8	5	12 57.5	12 36.90	6 42 46.4	22 38 23.6
8	4	54.6	13 54.60	8 35 10.7	20 45 59.3
6	5	27.9	14 48.38	8 27 28.5	20 53 41.5
9	6	17 1.0	16 30.30	7 49 19.0	21 31 51.0
8.9	6	18 30.5	17 59.86	8 34 23.1	20 46 46.9
7.8	4	18 40.7	18 40.70	8 35 3.3	20 46 6.7
8.9	3	26.9	19 47.51	7 51 15.4	21 29 54.6
9	4	9.3	20 9.30	8 0 24.3	21 20 45.7
6.7	2	56.6	21 27.29	8 11 17.3	21 9 52.7
7	7	22 :	20 41	8 22 58.8	20 58 11.2
9	4	23 16.2	23 16.20	7 3 34.1	22 17 35.9
8	3	57.5	24 18.16	7 10 19.8	22 10 50.2
9	5	26 16.7	25 56.05	6 25 54.0	22 55 16.0
9	5	28 18.7	27 58.08	6 38 43.4	22 42 26.6
8	3	53.7	29 14.28	7 45 51.4	21 35 18.6
9	7	30 1.4	29 20.29	7 7 36.3	22 13 33.7
9	2	30 43.2	31 14.09	7 7 0.8	22 14 9.2
9	6	31 54.0	31 23.11	7 19 55.4	22 1 14.6
8.9	5	14.4	31 54.02	7 29 7.8	21 52 2.2
9	7	32 51.8	32 10.73	7 14 52.8	22 6 17.2
7.8	3	34 18.3	34 38.82	8 13 30.5	21 7 39.5
9.0	5	35 36.5	35 15.82	6 13 27.6	23 7 42.4
8.9	6	36 31.9	36 0.90	6 52 18.2	22 28 51.8
8.9	6	36 49.0	36 17.99	6 49 26.3	22 31 43.7
9	6	37.2	37 6.50	8 16 44.1	21 4 25.9
8.9	5	22.4	38 2.01	8 11 31.9	21 9 38.1
9	5	8.5	38 48.03	7 37 14.9	21 43 55.1
9	6	54.5	39 23.37	6 17 29.9	23 3 40.1
5.6	2	40 42.3	41 13.25	6 48 41.6	22 32 28.4
7	4	42 18.7	42 18.70	7 22 58.9	21 58 11.1
8.9	3	34.6	42 55.23	7 24 15.8	21 56 54.2
7.8	7	43 51.0	43 9.69	6 26 2.1	22 55 7.9
8.9	7	48.5	44 7.55	7 39 26.1	21 41 43.9
8	3	23.3	45 43.91	7 32 30.1	21 48 39.9

Hülftafel zur Reduction auf den mittlern Ort 1850 Januar 0 D = -22°.

T.	k	k'	d	d'
23 50-37.74	-1	-2	+ 6.4	0.0 +18.4
0 0-37.75	0	-2	+ 6.4	+0.1 +18.4
10-37.75	-1	-2	+ 6.5	0.0 +18.4
20-37.76	0	-2	+ 6.5	0.0 +18.5
30-37.76	-1	-2	+ 6.5	0.0 +18.5
40-37.77	0	-2	+ 6.5	0.0 +18.5
50-37.77	-2	+ 6.5	0.0 +18.5	

33. Zeit zweifelhaft.

35 Fad. 5. 48''9

40 „ 7. 15.0

41 „ 4. 17.5

47 „ 6. 29.7

49. Decl. zweifelhaft.

53. Statt Fad. 5 ist Fad. 3 zu lesen, wie die Vergleichung mit Z. 319 N°. 15 und LL. N°. 405 und 406 zeigt; unter dieser Annahme ist T berechnet.

54 Fad. 7. 11.3

59 „ 3. 6.8

69 „ 6. 25.0

75. Die Minute des Microscops ist wahrscheinlich 18' zu lesen, und dann die Decl. - 21° 2' 25''9, T. 37' 6''51; vgl. Z. 319 N°. 47, wo ein Fehler weniger wahrscheinlich ist.

No.	Gr.	Fad.	Beob. Zeit.	T.	Microsc. I	Südl. Declin.
85	7.8	5	47.5	0 45' 27.00	7 25' 44.0	21 55' 26.0
86	7	5	14.6	45 54.05	7 5 58.2	22 15' 11.8
87	8.9	5	8.2	46 47.54	6 20 23.2	23 0 46.8
88	9	7	50.5	47 9.43	7 14 47.2	22 6 22.8
89	8.9	5	14.5	47 54.00	7 3 52.6	22 17 17.4
90	8	5	55.0	48 34.46	6 36 30.5	22 44 39.5
91	8.9	7	49 59.4	49 18.50	7 50 1.6	21 31 8.4
92	8	1	32.2	51 13.21	7 51 48.4	21 29 21.6
93	9	2	2.7	51 33.35	8 13 4.7	21 8 5.3
94	9	7	52 5.5	51 24.46	7 21 40.2	21 59 29.8
95	9	2	50.0	53 20.81	7 28 49.9	21 52 20.1
96	9.0	6	42.1	53 10.98	6 19 51.2	23 1 18.8
97	7	7	36.0	53 55.27	8 26 53.3	20 54 16.7
98	9	3	37.2	55 57.74	8 0 21.1	21 20 48.9
99	8	7	56 9.4	55 28.24	6 56 5.8	22 25 4.2
100	8	7	56 23.6	55 42.44	6 56 7.4	22 25 2.6
101	7	2	57 36.5	58 7.24	7 48 44.3	21 32 25.7
102	9	7	58 41.0	58 0.02	7 33 28.7	21 47 41.3
103	8.9	5	30.2	59 9.63	6 58 48.2	22 22 21.8
104	9	5	59.4	59 38.81	6 52 36.9	22 28 33.1
105	8	7	0 54.7	1 0 13.33	6 16 2.0	23 5 8.0
106	9	5	2 38.3	2 17.93	8 19 18.5	21 1 51.5
1	8.9	4	31 35.2	23 31 35.20	5 13 0.8	24 30 50.8
2	9.0	7	34 0.2	33 18.56	4 17 47.9	23 35 37.9
3	8	3	35 36.0	35 56.90	5 12 50.3	24 30 40.3
4	8	5	36 41.5	36 20.60	4 26 31.0	23 44 21.0
5	8.9	4	36.0	37 36.00	4 43 9.8	24 0 59.8
6	8.9	5	16.5	37 55.64	4 10 19.0	23 28 9.0
7	9	7	56.5	38 15.14	3 23 24.4	22 41 14.4
8	9	5	37.4	39 16.46	4 34 6.3	23 51 56.3
9	8.9	3	18.6	40 39.40	4 34 9.7	23 51 59.7
10	8.9	6	12.9	40 41.57	4 9 12.5	23 27 2.5
11	8	5	19.6	41 58.64	4 45 58.3	24 3 48.3
12	8.9	4	42 47.0	42 47.00	5 42 13.0	25 0 3.0
13	8	6	46.7	43 15.62	3 47 19.2	23 5 9.2
14	9	6	45 10.5	44 38.98	5 37 24.8	24 55 14.8
15	7	3	45 50.0	46 10.99	5 46 5.9	25 3 55.9
16	9	7	48 12.1	47 30.38	4 34 35.5	23 52 25.5
17	9	5	0.3	48 39.42	4 31 2.5	23 48 52.5
18	8.9	4	1.0	50 1.00	3 27 2.5	22 44 52.5
19	9	4	17.1	51 17.10	3 26 56.7	22 44 46.7
20	8	7	5.6	51 23.50	5 42 36.0	25 0 26.0
21	8.9	5	53 6.1	52 45.27	3 58 36.8	23 16 26.8
22	8.9	5	24.3	53 3.44	4 8 26.5	23 26 16.5
23	8	5	55.9	53 35.03	4 12 51.0	23 30 41.0
24	8.9	6	54 26.2	53 55.00	4 19 15.2	23 37 5.2
25	9	6	56 14.4	55 42.93	5 25 4.7	24 42 54.7
26	7	7	43.6	56 1.51	5 41 9.1	24 58 59.1
27	9	5	58 17.6	57 56.76	4 3 26.3	23 21 16.3
28	9	3	11.0	59 31.86	4 57 0.7	24 14 50.7
29	8.9	3	0 4.3	0 0 25.26	5 21 52.0	24 39 42.0
30	7.8	3	2.7	1 23.68	5 38 7.5	24 55 57.5
31	7.8	5	11.4	1 50.61	3 43 39.8	23 1 29.8
32	9	5	4.5	2 43.85	3 38 5.8	22 55 55.8
33	8.9	4	3 32.5	3 32.50	3 41 9.2	22 58 59.2

*Hülfsstafel zur Reduction auf den mittler
Ort 1850 Januar 0 D = - 22°.*

T.	k	k'	d	d
0 40' - 37.77	0	-2	+ 6.5	0.0
50 - 37.77	0	-2	+ 6.5	0.0
1 0 - 37.77	0	-2	+ 6.5	0.0

86 Fad. 6. 25.0
89 „ 6. 25.0
90 „ 6. 5.6

Die Sterne waren etwas blass, aber ziem
ruhig.

ZONE 270. 1849 Dec. 6. 0

NC. 23 19' - 2' 4.86
0 37 - 2 6.38
Anf. 27 11.19 + 1.9 33.2
0 19 34.2
Ende 33.9
Microsc. I + 5''.11
Decl. = - (Microsc. I + 19° 17' 50'')
0'' r + i - 36''.580 Δr + 0''.010 Δi - 0''

*Hülfsstafel zur Reduction auf den mittl.
Ort 1850 Januar 0 D = - 24°.*

T.	k	k'	d	d
23 30' - 35.68	-7	-2	+ 23.1	+ 0.7
40 - 35.75	-7	-2	+ 23.8	+ 0.6
50 - 35.82	-6	-2	+ 24.4	+ 0.5
0 0 - 35.88	-7	-2	+ 24.9	+ 0.4
10 - 35.95	-7	-2	+ 25.3	+ 0.3

8 Fad. 6. 47.7
10 „ 7. 23.0 Fäden 41''.74 und 41''.41
17 „ 6. 10.7
18 „ 6. 32.0
29 „ 4. 25.3

Fad.	Beob. Zeit.	T.	Microsc. I	Südl. Declin.
3	31.4	0 4 52.16	4 21 44.8	23 39 34.8
6	5.0	4 33.58	5 10 31.1	24 28 21.1
2	44.6	6 16.10	5 16 29.0	24 34 19.0
3	21.9	6 42.73	4 45 22.8	24 3 12.8
7	43.3	6 1.75	4 1 4.0	23 18 54.0
2	43.3	8 14.59	4 26 10.0	23 44 0.0
5	8 53.8	8 32.66	5 53 1.3	25 10 51.3
5	43.5	9 22.64	4 7 55.4	23 25 45.4
7	58 :	9 16	4 7 26.6	23 25 16.6
3	41.6	11 2.21	3 22 50.8	22 40 40.8
3	49.3	12 10.30	5 47 30.2	25 5 20.2
6	37.7	12 6.47	4 27 20.6	23 45 10.6
7	13 32.4	12 50.88	3 56 7.2	23 13 57.2
2	21.5	14 52.74	4 11 6.7	23 28 56.7
4	52.6	14 52.59	4 32 45.7	23 50 35.7
4	8.1	16 8.10	4 36 29.1	23 54 19.1
2	44.6	17 16.02	4 56 35.7	24 14 25.7
2	20.6	17 52.03	4 59 37.7	24 17 27.7
5	10.1	17 48.97	5 49 23.9	25 7 13.9
5	19 55.2	19 34.62	3 59 29.4	23 17 19.4
6	50.8	19 19.74	4 16 32.7	23 34 22.7
4	27.0	21 27.00	4 23 48.8	23 41 38.8
5	22.3	22 1.23	5 25 47.0	24 43 37.0
3	23 7.4	23 28.36	5 19 30.5	24 37 20.5
3	32 34.0	23 32 55.78	9 51 51.3	29 10 51.3
5	23.2	33 1.58	8 24 28.0	27 43 28.0
7	34 30.5	33 47.36	8 29 5.1	27 48 5.1
5	31.2	34 58.68	9 9 10.5	28 28 10.5
7	1.8	35 18.17	9 41 31.9	29 0 31.9
1	37 13.9	37 13.95	7 46 12.9	27 5 12.9
1	0.4	37 17.46	7 59 47.9	27 18 47.9
1	47.1	38 47.10	8 20 20.0	27 39 20.0
1	41.8	39 9.50	8 25 8.8	27 44 8.8
1	40 46.0	40 24.50	8 11 5.9	27 30 5.9
1	42 28.0	42 6.19	9 22 0.3	28 41 0.3
1	14.2	42 30.50	9 51 9.3	29 10 9.3
1	44 41.0	44 41.00	9 50 17.5	29 9 17.5
5	25.3	45 47.08	9 51 57.9	29 10 57.9
5	20.5	45 58.99	7 35 15.6	26 54 15.6
5	47 31.4	47 9.75	8 33 55.1	27 52 55.1
3	48 34.6	48 56.15	7 26 16.5	26 45 16.5
3	35.9	49 57.33	8 9 0.5	27 28 0.5
4	59.3	49 59.34	8 21 29.8	27 40 29.8
7	2.7	50 19.12	9 33 16.2	28 52 16.2
6	24.4	50 51.77	9 30 49.9	28 49 49.9
7	24.5	51 41.04	9 17 21.1	28 36 21.1
5	9.6	52 47.60	9 13 25.0	28 32 25.0
6	54 8.2	53 35.54	9 25 21.3	28 44 21.3
6	6.7	54 34.00	9 43 50.4	29 2 50.4
3	56.4	56 17.80	7 56 32.0	27 15 32.0
3	38.7	56 59.99	7 25 15.9	26 44 15.9
7	57 28.7	56 44.96	9 54 20.3	29 13 20.3
6	2 48.2	0 2 15.61	9 30 11.7	28 49 11.7
5	4 39.4	4 17.76	8 32 3.5	27 51 3.5
4	57.7	4 57.70	8 24 40.5	27 43 40.5

*Hülftafel zur Reduction auf den mittlern
Ort 1850 Januar 0 D = - 24°.*

T.	k	k'	d	d'
u	'	"	"	"
0	0-35.88	-7	-2	+24.9
10	-35.95	-7	-2	+25.3
20	-36.02	-6	-2	+25.7
30	-36.08	-2	-2	+26.1

35 Fad. 7. 15.5

38. Zeit zweifelhaft.

48 Fad. 5. 13.5

53 „ 6. 6.0 Fäden 34''.37 und 34''.88

54 „ 7. 1.5

57 „ 4. 28.4

Die Luft, die Anfangs gut war, wurde bald unruhig, und zuletzt so sehr, dass die Zone geschlossen werden musste.

ZONE 271. 1849 Dec. 23. Ost.

NC. 23 20 - 2 7.66

1 10 - 2 6.36

Anf. 28 4.76 - 1.7 22.3

0 2 21.5

0 28 20.7

Ende 28 4.73 - 2.2 20.1

Microsc. I + 2.47

Decl. = - (Microsc. I + 19° 19' 0'')

0'' r+i -34''.924 Δr+0''.006 Δi+0''.010

*Hülftafel zur Reduction auf den mittlern
Ort 1850 Januar 0 D = - 28°.*

T.	k	k'	d	d'
u	'	"	"	"
23	30-33.77	-7	-1	+13.8
40	-33.84	-7	-1	+13.9
50	-33.91	-7	-1	+14.0
0	0-33.98	-7	-1	+14.1

3. Zeit zweifelhaft.

6 Fad. 5. 35.5

10 „ 6. 56.8

15 „ 6. 31.0

16. dupl. II. Cl. seq. praec. 8 m.

17 Fad. 4. 56.4 Fad. 3 giebt 55''.90

19 „ 5. 21.0

24 „ 7. 19.0

28. 2 Sterne 8 m. gehen vorher.

29 Fad. 7. 59.2. Vor dieser Beobachtung war die Lampe ausgegangen.

No.	Gr.	Fad.	Beob. Zeit.	T.	Microsc. I	Südl. Declin.
32	8	4	5 32.7	0 5 32.70	8 22 56.1	27 41 56.1
33	8	4	12.6	6 12.60	7 51 10.0	27 10 10.0
34	6	4	7 41.6	6 41.60	7 48 47.9	27 7 47.9
35	8.9	6	45.4	7 13.02	8 41 23.7	28 0 23.7
36	9	6	32.6	8 0.12	9 1 20.1	28 20 20.1
37	9	5	32.7	9 10.91	9 17 33.3	28 36 33.3
38	8.9	2	10 23.2	10 55.28	7 26 43.0	26 45 43.0
39	8.9	3	9.9	11 31.50	9 28 4.3	28 47 4.3
40	9	4	28.0	11 27.89	9 27 2.9	28 46 2.9
41	8.9	4	13 41.0	13 41.00	7 49 24.8	27 8 24.8
42	9	4	14 6.7	14 6.70	7 47 15.9	27 6 15.9
43	9	4	1.1	15 1.10	8 14 5.1	27 33 5.1
44	8	5	44.1	15 22.46	8 32 12.8	27 51 12.8
45	8	2	16 59.7	17 32.07	8 26 15.8	27 45 15.8
46	8	4	17 20.6	17 20.60	8 33 1.8	27 52 1.8
47	6.7	5	19 10.2	18 48.42	9 13 25.4	28 32 25.4
48	8	5	56.6	19 34.67	9 55 13.2	29 14 13.2
49	7	4	26.6	20 26.60	9 45 12.5	29 4 12.5
50	9	7	21 44.5	21 0.95	9 29 56.2	28 48 56.2
51	8.9	6	44.3	22 11.97	8 31 35.0	27 50 35.0
52	9	6	23 33.5	23 1.17	8 45 42.0	28 4 42.0
53	8.9	7	27.5	23 43.97	9 26 44.2	28 45 44.2
54	9	7	25 22.3	24 39.53	7 32 45.9	26 51 45.9
55	7	2	10.3	26 42.43	7 36 52.5	26 55 52.5
56	9	6	28 40.5	28 8.25	8 15 45.2	27 34 45.2
57	8.9	5	29 7.0	28 45.39	8 22 23.4	27 41 23.4
58	8	5	41.5	29 19.83	8 16 38.9	27 35 38.9
59	8	7	30 32.0	29 48.74	8 47 21.5	28 6 21.5
60	8	7	30 34.4	29 51.09	8 55 55.0	28 14 55.0
61	8	5	31 37.6	31 15.84	9 7 53.6	28 26 53.6
62	8.9	3	4.8	32 26.57	9 39 20.3	28 58 20.3
63	9	5	41.7	32 19.83	9 37 16.4	28 56 16.4
64	8	5	39.4	33 17.94	7 34 8.3	26 53 8.3
65	8.9	7	34 25.2	33 41.95	8 46 49.1	28 5 49.1
66	8.9	7	34 41.1	33 57.80	8 53 5.6	28 12 5.6
67	9	4	36 7.5	36 7.62	8 8 32.7	27 27 32.7
68	7.8	2	1.9	37 34.15	8 2 9.8	27 21 9.8
69	8.9	3	38 1.0	38 22.66	9 16 23.0	28 35 23.0
70	8.9	4	47.2	38 47.20	9 23 3.8	28 42 3.8
71	9	5	41 15.2	40 53.57	8 29 4.1	27 48 4.1
72	6.7	4	54.9	41 54.90	9 59 21.9	29 18 21.9
73	8.9	4	37.4	42 37.40	9 6 25.3	28 25 25.3
74	9	5	43 55.4	43 33.67	8 56 38.5	28 15 38.5
75	9	6	44 22.8	43 50.34	8 56 18.8	28 15 18.8
76	9	5	35.4	45 13.64	9 7 30.1	28 26 30.1
77	8.9	7	46 15.6	45 32.69	7 54 27.6	27 13 27.6
78	9	6	47 26.8	46 54.35	7 57 43.0	27 16 43.0
79	9	4	48 58.0	48 57.98	7 29 25.1	26 48 25.1
80	6	7	49 56.2	49 12.74	9 16 16.7	28 35 16.7
81	8	3	51 7.4	51 28.69	7 23 0.2	26 42 0.2
82	8.9	5	56.0	51 34.35	8 35 31.2	27 54 31.2
83	8.9	4	53 7.2	53 7.20	7 22 9.7	26 41 9.7
84	8.9	4	56.2	53 56.20	7 47 9.2	27 6 9.2
85	9	7	49.3	54 6.07	8 42 36.6	28 1 36.6
86	8	2	56 1.8	56 33.95	7 40 43.6	26 59 43.6

Hülftafel zur Reduction auf den mittleren Ort 1850 Januar 0 D = - 28°.

T.	k	k'	d	
0 0-33.98	-7	-1	+14.1	0.0 +
10-34.05	-7	-1	+14.1	0.0 +
20-34.12	-7	-1	+14.1	0.0 +
30-34.19	-7	-1	+14.1	0.0 +
40-34.26	-7	0	+14.1	0.0 +
50-34.33	-8	0	+14.1	+0.1 +
1 0-34.41	-7	0	+14.2	0.0 +

34. Die Zeitminute muss 6' sein; denn ich habe mich bestimmt, dass dieser Stern auf den vorhergehenden folgte; so ist die Beobachtung auch zu LC. 9, und die minute bei No. 38 passt.

39 Fad. 4. 31.4

40 „ 5. 49.6

52 „ 7. 44.5

58 „ 6. 52.0

61. Der Stern ist LL. 979, dessen Decl. aber unrichtig ist, wie ausser dieser eine 1851 Oct. 3. zeigt.

62 Fad. 4. 26.6

67 „ 5. 29.3

78 „ 7. 37.0 Fäden 54''.64 und 54''.07

79 „ 5. 19.4

No.	Gr.	Fad.	Beob. Zeit.	T.	Microsc. I	Südl. Declin.
87	8	4	39.5	0 56' 39.50	9 22' 9.2	28 41' 9.2
88	9	6	58 10.7	57 38.33	8 39' 0.3	27 58' 0.3
89	8.9	4	48.4	58 48.40	9 48' 16.3	29 7' 16.3
90	9	6	41.5	59 9.28	8 9' 23.3	27 28' 23.3
91	8.9	7	59.6	59 16.57	8 13' 24.0	27 32' 24.0
92	8.9	4	0.5	1 1' 0.50	9 12' 30.8	28 31' 30.8
93	8	4	3 25.5	3 25.50	7 41' 16.0	27 0' 16.0
1	4	1	33 41.5	4 34' 22.08	10 41' 20.9	19 58' 10.9
2	9	7	34 59.8	34 18.98	11 30' 56.8	20 47' 46.8
3	9	7	58.0	35 17.46	10 27' 53.3	19 44' 43.3
4	9.0	4	50.4	36 50.40	10 48' 4.1	20 4' 54.1
5	7.8	3	24.6	37 44.93	11 21' 37.0	20 38' 27.0
6	9	6	10.4	37 39.78	11 44' 11.5	21 1' 1.5
7	8	4	54.0	38 54.00	11 16' 45.1	20 33' 35.1
8	9	7	24.0	38 43.32	11 1' 20.0	20 18' 10.0
9	7.8	3	40 39.0	40 59.44	12 12' 27.1	21 29' 17.1
10	8.9	2	16.7	41 47.40	11 48' 13.1	21 5' 3.1
11	9	3	57.3	42 17.70	11 54' 18.2	21 11' 8.2
12	8.9	4	35.1	42 35.10	11 25' 7.0	20 41' 57.0
13	8	7	1.3	42 20.66	10 50' 47.3	20 7' 37.3
14	9	5	41.7	43 21.31	10 52' 59.1	20 9' 49.1
15	9	4	25.6	44 25.60	10 2' 47.9	19 19' 37.9
16	7	4	38.0	44 38.00	9 53' 13.4	19 10' 3.4
17	9.0	6	24.2	44 54.00	9 30' 40.9	18 47' 30.9
18	7	2	46 42.8	47 13.49	11 44' 50.9	21 1' 40.9
19	9	5	27.9	47 7.47	11 14' 58.6	20 31' 48.6
20	9	4	41.7	48 41.70	11 15' 36.4	20 32' 26.4
21	8.9	3	28.0	49 48.33	11 21' 36.0	20 38' 26.0
22	9	3	50 21.1	50 41.44	11 26' 10.9	20 43' 0.9
23	9	5	51 25.8	51 5.58	9 30' 39.7	18 47' 29.7
24	9	5	24.4	52 3.98	11 8' 42.8	20 25' 32.8
25	9	5	4.9	52 44.65	9 48' 18.1	19 5' 8.1
26	9	3	29.5	53 49.62	9 46' 53.7	19 3' 43.7
27	8	5	59.5	53 39.29	9 36' 53.3	18 53' 43.3
28	9	7	29.6	53 49.23	9 46' 52.0	19 3' 42.0
29	8	2	21.2	55 51.48	9 36' 39.0	18 53' 29.0
30	5.6	5	44.9	55 24.51	11 0' 0.9	20 16' 50.9
31	8	7	32.5	55 51.92	10 36' 36.1	19 53' 26.1
32	8	4	19.5	57 19.50	10 26' 35.7	19 43' 25.7
33	9	2	57 57.2	58 27.65	10 34' 1.0	19 50' 51.0
34	8	6	59 4.7	58 34.17	11 15' 34.7	20 32' 24.7
35	7	6	20.1	58 49.59	11 11' 7.9	20 27' 57.9
36	9	3	57.8	5 0' 18.08	11 3' 44.0	20 20' 34.0
37	8	2	29.0	0 59.55	11 2' 34.7	20 19' 24.7
38	9	6	6.5	0 35.80	11 31' 38.7	20 48' 28.7
39	7.8	4	0.0	2 0.00	11 2' 38.8	20 19' 28.8
40	8.9	4	3 10.5	3 10.50	11 8' 50.6	20 25' 40.6
41	9.0	7	46.4	3 5.70	11 5' 28.5	20 22' 18.5
42	8.9	4	27.9	4 27.90	11 0' 37.7	20 17' 27.7
43	9	4	4.3	5 4.30	10 4' 34.8	19 21' 24.8
44	9	4	39.2	5 39.20	9 55' 35.2	19 12' 25.2
45	9	5	7.9	5 47.63	9 56' 28.6	19 13' 18.6
46	9.0	4	31.2	6 31.20	9 54' 39.7	19 11' 29.7
47	8	3	59.7	7 19.79	9 28' 0.0	18 44' 50.0
48	8.9	5	50.2	7 29.74	11 26' 6.4	20 42' 56.4

89 Fad. 5. 10".3

Ziemlich gute Luft.

ZONE 272. 1850 Febr. 19. Ost.

NC. 4 13-2 3.94

6 9-2 6.89

Anf. 28 1.91+6.6 48.0

5 10 46.0

Ende 28 1.81+6.5 44.1

Microsc. I + 2".95

Decl. = - (Microsc. I + 9° 16' 50")

5^a r+i - 29".007 Δr+0".004 Δi+0".026

*Hülftafel zur Reduction auf den mittlern
Ort 1850 Januar 0 D = - 20°.*

T.	k	k'	d	d'
4 30'-29.04	-6	+2	+27.6	+0.1 +14.7
40-29.10	-7	+3	+27.7	+0.1 +14.7
50-29.17	-6	+3	+27.8	+0.1 +14.7
5 0-29.23	-6	+3	+27.9	0.0 +14.7
10-29.29		+3	+27.9	+14.7

1 Fad. 2. 51".7

26. 28. derselbe.

30 Fad. 6. 55".0

29. 31 ist wahrscheinlich derselbe Stern und die Decl. an der erstern Stelle 19° 53' 29".0 zu lesen, und dann T. 55' 51".66.

38 Fad. 7. 16".5

Nº.	Gr.	Fad.	Beob. Zeit.	T.	Microsc. I	Südl. Declin.
49	8	2	8' 50.2	5' 9' 20.54	9' 57' 39.0	19° 14' 29.0
50	8.9	1	10' 59.3	11' 39.70	10' 21' 41.9	19' 38' 31.9
51	9	7	12' 0.3	11' 19.43	11' 43' 29.0	21' 0' 19.0
52	8.9	4	30.0	12' 30.00	11' 45' 51.3	21' 2' 41.3
53	9	5	23.3	13' 2.93	10' 45' 7.4	20' 1' 57.4
54	7.8	1	14' 14.3	14' 54.74	10' 34' 9.8	19' 50' 59.8
55	9	4	12.1	15' 12.10	10' 21' 10.9	19' 38' 0.9
56	9.0	6	16' 19.5	15' 49.27	9' 43' 1.2	18' 59' 51.2
57	8	6	5.8	16' 35.37	10' 45' 9.8	20' 1' 59.8
58	9	7	17.0	16' 36.39	10' 43' 43.5	20' 0' 33.5
59	9	5	18' 18.5	17' 58.19	10' 9' 45.9	19' 26' 35.9
60	9	6	59.7	18' 29.39	10' 5' 2.0	19' 21' 52.0
61	7	5	19' 18.8	18' 58.50	10' 14' 25.4	19' 31' 15.4
62	8.9	5	42.0	19' 21.75	10' 8' 52.8	19' 25' 42.8
63	8.9	6	28.4	19' 58.01	10' 33' 5.4	19' 49' 55.4
64	7	7	39.9	19' 59.34	10' 33' 24.0	19' 50' 14.0
65	8.9	4	41.2	21' 41.20	11' 46' 4.8	21' 2' 54.8
66	9	4	58.0	21' 58.00	11' 39' 31.0	20' 56' 21.0
67	3	5	22' 39.0	22' 18.52	11' 36' 27.0	20' 53' 17.0
68	8.9	6	30.9	23' 0.61	9' 59' 30.2	19' 16' 20.2
69	8.9	2	7.0	24' 37.22	9' 27' 20.9	18' 44' 10.9
70	9.0	6	47.4	24' 17.09	10' 7' 23.5	19' 24' 13.5
71	9	4	28.9	25' 28.90	10' 8' 10.9	19' 25' 0.9
72	7	7	25' 53.5	25' 12.63	11' 42' 9.2	20' 58' 59.2
73	9	4	27' 2.8	27' 2.80	11' 51' 5.2	21' 7' 55.2
74	9	6	39.6	27' 9.07	11' 15' 17.9	20' 32' 7.9
75	8.9	6	18.0	27' 47.68	10' 15' 56.7	19' 32' 46.7
76	9	6	22.0	27' 51.66	10' 14' 55.5	19' 31' 45.5
77	8	2	18.0	29' 48.49	10' 46' 24.3	20' 3' 14.3
78	8	1	9.5	30' 49.92	10' 28' 22.2	19' 45' 12.2
79	8.9	4	1.0	31' 1.00	10' 40' 52.8	19' 57' 42.8
80	8.9	5	21.0	31' 0.64	10' 44' 59.3	20' 1' 49.3
81	8	2	49.1	32' 19.64	10' 59' 32.8	20' 16' 22.8
82	8	2	15.3	32' 45.83	10' 55' 49.4	20' 12' 39.4
83	8	1	45.1	33' 25.56	10' 36' 12.6	19' 53' 2.6
84	8.9	4	37.0	33' 37.00	9' 32' 14.3	18' 49' 4.3
85	8.9	2	54.9	34' 25.17	9' 33' 29.9	18' 50' 19.9
86	8.9	5	34' 45.4	34' 25.30	9' 33' 29.3	18' 50' 19.3
87	9	7	35.0	34' 54.60	9' 53' 21.4	19' 10' 11.4
88	9	4	57.7	35' 57.70	9' 47' 20.2	19' 4' 10.2
89	8	4	37.0	36' 37.00	10' 57' 22.5	20' 14' 12.5
90	8.9	3	2.7	37' 22.97	10' 59' 15.8	20' 16' 5.8
91	7.8	4	40.7	37' 40.70	11' 9' 10.2	20' 26' 0.2
92	8.9	5	59.0	37' 38.57	11' 10' 51.2	20' 27' 41.2
93	9	4	43.7	38' 43.70	11' 29' 22.9	20' 46' 12.9
94	8.9	5	21.4	39' 0.96	11' 16' 43.4	20' 33' 33.4
95	8	6	54.3	39' 23.85	10' 52' 49.5	20' 9' 39.5
96	9.0	5	33.0	40' 12.60	11' 0' 56.3	20' 17' 46.3
97	8.9	6	7.7	40' 37.17	11' 15' 3.5	20' 31' 53.5
98	8.9	3	32.8	41' 53.20	11' 53' 34.8	21' 10' 24.8
99	8.9	2	42' 9.7	42' 40.43	11' 24' 37.3	20' 41' 27.3
100	8.9	4	43' 9.9	43' 9.90	10' 52' 38.0	20' 9' 28.0
101	9	4	36.2	43' 36.20	10' 50' 35.6	20' 7' 25.6
102	9.0	4	9.3	44' 9.30	10' 52' 4.9	20' 8' 54.9
103	7.8	7	39.5	43' 58.79	11' 7' 2.0	20' 23' 52.0

Hilfstafel zur Reduction auf den mittleren Ort 1850 Januar 0 D = - 20°.

T.	k	k'	d
5' 10' - 29.29	-6	+3	+27.9
20 - 29.35	-6	+3	+28.0
30 - 29.41	-6	+3	+28.0
40 - 29.47	-6	+3	+28.0
50 - 29.53	-6	+3	+28.0

54 Fad. 3. 34.5
 59 „ 6. 28.5
 62 „ 6. 52.1
 69 „ 3. 17.1
 72. Zeit zweifelhaft.
 75 Fad. 7. 28.2
 78 „ 3. 29.7
 85. 86. derselbe.
 98 Fad. 4. 53.2
 99 „ 3. 20.2

Gr.	Fad.	Beob. Zeit.	T.	Microsc. I	Südl. Declin.
8	3	59.8	5 45 20.08	11 3 57.1	20 20 47.1
7	3	27.2	45 47.37	10 9 26.2	19 26 16.2
3.9	7	8.8	45 28.41	9 51 16.1	19 8 6.1
7	6	39.7	46 10.44	9 49 23.3	19 6 13.3
3.7	2	26.3	47 57.12	10 23 59.0	19 40 49.0
7.8	2	58.2	48 29.66	10 37 44.8	19 54 34.8
3.9	6	49 8.0	48 37.78	9 37 9.9	18 53 59.9
7.8	5	53.0	49 32.76	9 42 58.4	18 59 48.4
3.9	2	33.3	51 3.60	9 58 11.1	19 15 1.1
7.8	2	13.4	51 43.77	10 8 1.9	19 24 51.9
9	4	45.3	51 45.30	11 16 59.3	20 33 49.3
9	4	28.5	52 28.50	11 23 17.3	20 40 7.3
8	2	51.7	53 22.21	11 18 50.7	20 35 40.7
9	4	42.8	53 42.80	11 39 53.5	20 56 43.5
9.0	4	7.4	54 7.40	11 43 53.0	21 0 43.0
8	3	37.1	54 57.47	11 44 10.0	21 1 0.0
8	5	16.6	54 56.08	11 52 47.8	21 9 37.8
7.8	5	54.9	55 34.45	11 22 29.8	20 39 19.8
8.9	4	17.1	56 17.10	10 45 2.6	20 1 52.6
8.9	6	57 19.8	56 49.43	10 26 54.1	19 43 44.1
8	3	58.5	58 18.62	9 43 41.3	19 0 31.3
8.9	4	28.5	58 28.50	10 0 8.7	19 16 58.7
9	5	7.6	58 47.33	9 58 51.1	19 15 41.1
8.9	4	5.0	6 0 5.00	8 46 31.0	18 3 21.0
9	3	45.3	0 5.31	8 45 54.1	18 2 44.1
9	7	42.0	0 1.67	9 36 43.5	18 53 33.5
8.9	5	20.5	1 0.25	9 48 15.0	19 5 5.0
5	4	39.9	1 39.90	9 52 49.5	19 9 39.5
9	3	2 8.5	2 28.61	9 48 9.3	19 4 59.3
9	6	3 56.1	3 26.16	7 59 55.7	17 16 25.7
9	5	31.1	4 11.06	7 56 9.8	17 12 39.8
9	6	3.4	4 33.25	8 32 51.6	17 49 21.6
8.9	7	28.0	4 47.90	8 38 22.5	17 54 52.5
9	7	54.5	5 14.43	8 30 29.6	17 46 59.6
9.0	4	30.2	6 30.20	8 31 4.3	17 47 34.3
8	4	3.6	7 3.60	8 25 10.8	17 41 40.8
9	3	21.4	7 41.37	8 26 7.1	17 42 37.1
8.9	5	0.0	7 39.96	7 56 42.8	17 13 12.8
9	4	13.6	8 13.60	8 1 20.2	17 17 50.2
9	4	40.0	8 40.00	7 58 28.7	17 14 58.7
8.9	7	21.5	8 41.58	7 48 20.4	17 4 50.4
9	6	11.6	9 41.72	7 38 18.6	16 54 48.6
9	3	36.0	10 55.88	7 39 28.9	16 55 58.9
9	4	11 45.0	11 45.00	8 42 42.6	17 59 12.6
8.9	1	21.0	13 1.01	8 43 44.1	18 0 14.1
9	5	8.8	12 48.71	8 30 6.3	17 46 36.3
9	4	26.6	13 26.60	8 31 33.6	17 48 3.6
9	6	4.0	13 34.00	8 22 37.3	17 39 7.3
9	4	25.4	14 25.40	8 15 16.4	17 31 46.4
9	7	57.2	14 17.22	8 6 9.2	17 22 39.2
9	7	40.2	15 0.24	7 59 43.1	17 16 13.1
7	6	6.0	15 36.09	7 50 27.0	17 6 57.0
9	4	52.9	16 52.90	7 31 0.1	16 47 30.1
9	4	6.8	17 6.80	7 33 31.2	16 50 1.2
9	6	2.6	17 32.77	7 20 32.2	16 37 2.2

Hülftafel zur Reduction auf den mittlern Ort 1850 Januar 0 D = - 20°.

T.	k	k'	d	d'
5 40' - 29.47	-6	+3	+28.0	0.0
50 - 29.53	-6	+3	+28.0	0.0
6 0 - 29.59	-6	+3	+28.0	-0.1
10 - 29.65		+4	+27.9	+14.9

110. Ein Fehler von -1'', der bei diesem Sterne entdeckt und corrigirt ward, hat nach dem Zeugniß von LL. und Z. 359 zwischen N^{ts}. 106 und 107 begonnen; wesshalb ich die T der Sterne 107—109 um +1'' corrigirt habe.

112 Fad. 3. 43''.4

116 „ 3. 1.8

119. dupl. III. Cl. seq. praec. 9^m.

127 Fad. 4 und T vielleicht 55.00, indem der 3^{te} als zweifelhaft bezeichnete Faden 34.3 angegeben ist; aber vielleicht war dies der 2^{te} Faden.

132 Fad. 4. 28''.6

Gute Luft.

ZONE 273. 1850 Febr. 19. Ost.

NC. 7 55' - 2 4.68

9 50 - 2 3.86

Anf. 28 1.76 + 6.2 42.2

8 56 41.3

Ende 28 1.83 + 5.3 40.9

Microsc. I + 1''.68

Decl. = - (Microsc. I + 9° 16' 30'')

9^m r+i - 28''.961 Δr+0''.004 Δi+0''.025

Hülftafel zur Reduction auf den mittlern Ort 1850 Januar 0 D = - 18°.

T.	k	k'	d	d'
8 0' - 30.09	-3	+4	+17.4	-0.5
10 - 30.12	-3	+5	+16.9	-0.6
20 - 30.15		+5	+16.3	+12.6

3 Fad. 7. 13''.2

Nº.	Gr.	Fad.	Beob. Zeit.	T.	Microsc. I	Südl. Declin.	
27	8.9	5	19' 2.0	8 18' 41.85	8 59' 39.8	18 16' 9.8	
28	9	4	36.9	19 36.90	9 24' 4.9	18 40' 34.9	
29	9.0	3	8.4	20 28.48	9 24' 14.0	18 40' 44.0	
30	9	6	47.9	20 17.70	9 33' 5.9	18 49' 35.9	
31	8.9	7	21.8	20 41.75	8 23' 57.3	17 40' 27.3	
32	8.9	4	53.0	21 53.00	8 16' 20.2	17 32' 50.2	
33	8.9	3	22 15.0	22 34.87	8 11' 44.3	17 28' 14.3	
34	8.9	4	7.2	23 7.20	7 58' 10.3	17 14' 40.3	
35	9	6	22.6	22 52.60	8 1' 39.0	17 18' 9.0	
36	9	5	7.5	23 47.50	7 37' 36.3	16 54' 6.3	
37	8.9	4	28.6	24 28.60	7 41' 38.6	16 58' 8.6	
38	9	7	32.9	24 52.79	8 39' 30.2	17 56' 0.2	
39	9	7	39.5	24 59.38	8 43' 12.9	17 59' 42.9	
40	7.8	7	21.0	25 40.91	8 36' 32.8	17 53' 2.8	
41	9	6	53.6	26 23.55	8 47' 40.0	18 4' 10.0	
42	9	4	35.8	27 35.80	8 39' 27.3	17 55' 57.3	
43	9	3	10.7	28 30.73	8 57' 36.9	18 14' 6.9	
44	9	3	19.5	28 39.53	8 59' 21.3	18 15' 51.3	
45	9	6	57.9	28 27.78	9 1' 56.6	18 18' 26.6	
46	9	3	18.7	29 38.73	8 58' 11.2	18 14' 41.2	
47	9	3	26.5	29 46.56	8 56' 13.8	18 12' 43.8	
48	7	2	9.3	30 39.45	8 53' 18.1	18 9' 48.1	
49	8.9	7	52.0	30 11.99	8 14' 2.9	17 30' 32.9	
50	8.9	7	15.6	30 35.63	8 4' 53.8	17 21' 23.8	
51	9	7	45.0	31 5.16	7 25' 47.2	16 42' 17.2	
52	8.9	5	9.6	31 49.63	7 29' 37.6	16 46' 7.6	
53	9	4	38.5	32 38.50	7 30' 32.6	16 47' 2.6	
54	7	2	0.2	33 30.24	7 30' 2.6	16 46' 32.6	
55	9	4	37.6	33 37.60	7 27' 27.0	16 43' 57.0	
56	7.8	2	1.1	34 31.03	7 32' 24.1	16 48' 54.1	
57	9	3	22.0	34 41.88	7 39' 33.5	16 56' 3.5	
58	9	7	4.6	34 24.56	8 20' 50.0	17 37' 20.0	
59	8.9	5	35 45.0	35 24.90	8 31' 24.3	17 47' 54.3	
60	8.9	4	39.2	36 39.20	7 23' 33.6	16 40' 3.6	
61	9	4	6.8	37 6.80	7 25' 27.7	16 41' 57.7	
62	9	6	46.2	37 16.29	7 50' 53.9	17 7' 23.9	
63	9	5	6.5	37 46.47	7 52' 43.1	17 9' 13.1	
64	8.9	7	43.0	38 3.00	8 12' 1.5	17 28' 31.5	
65	8.9	3	36.3	39 56.37	9 20' 16.5	18 36' 46.5	
66	7	3	40 5.4	40 25.43	8 56' 21.4	18 12' 51.4	
67	8.9	3	37.6	40 57.63	9 0' 26.3	18 16' 56.3	
68	8.9	4	14.1	41 14.10	8 53' 24.9	18 9' 54.9	
69	8	2	37.6	42 7.63	8 13' 16.9	17 29' 46.9	
70	9	3	28.6	42 48.53	8 10' 8.4	17 26' 38.4	
71	9	3	1.3	43 21.26	8 23' 31.2	17 40' 1.2	
72	9	4	21.6	43 21.60	8 18' 59.7	17 35' 29.7	
73	9	4	50.5	43 50.50	8 20' 30.1	17 37' 0.1	
74	9	7	21.5	43 41.62	7 38' 43.1	16 55' 13.1	
75	7.8	3	45 35.5	45 55.51	8 46' 58.2	18 3' 28.2	
76	9	5	25.5	46 5.26	9 41' 9.2	18 57' 39.2	
77	7.8	5	47 30.8	47 10.79	7 31' 32.8	16 48' 2.8	
78	8	6	49.0	47 19.16	7 23' 5.6	16 39' 35.6	
79	6.7	4	49.0	48 49.00	8 24' 5.7	17 40' 35.7	
80	8	4	51.8	48 51.86	8 25' 2.5	17 41' 32.5	
81	9	6	39.8	49 9.66	9 9' 21.7	18 25' 51.7	

*Hilfstafel zur Reduction auf den mittl.
Ort 1850 Januar 0 D = - 18°.*

T.	k	k'	d
8 10' - 30.12	-3	+5	+16.9 -0.6
20 - 30.15	-3	+5	+16.3 -0.6
30 - 30.18	-2	+5	+15.7 -0.6
40 - 30.20	-2	+5	+15.1 -0.6
50 - 30.22		+5	+14.5

33 Fad. 4. 34.8
35 „ 7. 32.5
38. Zeit vielleicht 37“.9 und dann T. 57“.7
41 Fad. 7. 3.7
47 „ 4. 46.6
52 „ 6. 19.5
54 „ 3. 10.5
75. Decl. 19° 3' 28“.2?
80 Fad. 5. 12.0

Gr.	Fad.	Beob. Zeit.	T.	Microsc. I	Südl. Declin.
8	4	25.2	8 50' 25.20	9 37' 47.9	18 54' 17.9
9.0	7	55.2	50 14.83	9 46' 53.9	19 3 23.9
9	5	32.0	51 11.75	9 49 4.1	19 5 34.1
8.9	7	57.6	51 17.34	9 17 28.4	18 33 58.4
9	5	52 58.6	52 38.57	7 54 47.8	17 11 17.8
9	3	45.5	54 5.46	8 22 36.0	17 39 6.0
9	4	23.5	54 23.50	8 29 30.9	17 46 0.9
7.8	5	8.6	54 48.39	9 29 0.0	18 45 30.0
9	3	56 35.2	56 55.08	7 36 46.8	16 53 16.8
7	2	48.4	57 18.26	7 38 8.9	16 54 38.9
9	5	42.2	57 22.20	7 42 4.2	16 58 34.2
9	5	6.6	57 46.58	7 49 49.8	17 6 19.8
7	6	43.8	58 13.96	7 22 25.9	16 38 55.9
8	5	11.8	58 51.82	7 28 31.7	16 45 1.7
8.9	5	37.8	59 17.77	7 55 35.1	17 12 5.1
8.9	5	9.5	59 49.47	7 53 12.1	17 9 42.1
9	4	35.1	9 0 35.10	7 59 22.2	17 15 52.2
7	6	59.3	0 29.34	8 19 51.0	17 36 21.0
9	5	59.7	1 39.64	8 12 56.6	17 29 26.6
8.9	4	36.0	2 36.00	8 20 56.9	17 37 26.9
6	4	39.2	2 39.26	8 27 13.6	17 43 43.6
8.9	4	27.7	3 27.70	8 46 15.0	18 2 45.0
8.9	7	0.4	3 40.18	9 9 42.2	18 26 12.2
8.9	4	37.9	4 37.90	9 36 0.0	18 52 30.0
6	4	37.0	5 37.00	9 51 49.0	19 8 19.0
9	3	9.0	6 28.95	8 20 30.3	17 37 0.3
9.0	5	14.2	6 54.14	8 18 8.2	17 34 38.2
7.8	5	8 16.6	7 56.47	8 47 12.0	18 3 42.0
7.8	4	50.6	8 50.60	9 42 9.5	18 58 39.5
7.8	3	41.2	10 1.30	9 33 43.7	18 50 13.7
9	6	10.2	9 39.98	9 38 10.2	18 54 40.2
9	7	34.2	9 53.91	9 26 22.7	18 42 52.7
9	5	24.2	11 4.12	8 22 51.3	17 39 21.3
9	5	52.4	11 32.32	8 25 43.8	17 42 13.8
7.8	7	12 22.5	11 42.46	8 21 1.9	17 37 31.9
9	3	9.2	13 29.15	8 17 4.6	17 33 34.6
8.9	1	36.2	14 16.12	8 19 46.0	17 36 16.0
8	6	7.4	13 37.36	8 38 9.3	17 54 39.3
9	7	56.0	14 15.97	8 19 41.2	17 36 11.2
8.9	7	41.2	15 1.00	9 2 12.8	18 18 42.8
7	5	20.0	16 0.01	7 59 7.2	17 15 37.2
9.0	5	52.6	16 32.65	8 3 9.5	17 19 39.5
9	5	3.8	17 43.78	7 50 31.2	17 7 1.2
9	6	9.6	18 39.73	7 34 37.2	16 51 7.2
7	3	6.9	20 26.82	8 1 56.6	17 18 26.6
9	6	41.4	20 11.42	8 11 28.3	17 27 58.3
9	2	0.7	21 30.74	8 16 31.4	17 33 1.4
8.9	6	44.7	21 14.65	8 41 2.9	17 57 32.9
8.9	4	22 7.0	22 7.00	9 39 11.0	18 55 41.0
8.9	6	46.6	22 16.56	8 27 32.0	17 44 2.0
9	5	33.8	23 13.69	8 40 1.6	17 56 31.6
9	7	24 11.6	23 31.48	8 43 30.2	18 0 0.2
8	4	56.4	24 56.45	8 29 19.8	17 45 49.8
9	6	46.7	25 16.72	8 16 31.5	17 33 1.5
9	4	43.6	26 43.56	8 20 15.6	17 36 45.6

*Hülftafel zur Reduction auf den mittlern
Ort 1850 Januar 0 D = - 18°.*

T.	k	k'	d	d'
8 50' 30.22	-2	+5	+14.5 -0.6	+12.7
9 0' 30.24	-2	+5	+13.9 -0.6	+12.7
10' 30.26	-1	+5	+13.3 -0.6	+12.7
20' 30.27	-1	+5	+12.7 -0.6	+12.7
30' 30.28		+5	+12.1	+12.8

91 Fad. 3. 58.3
 96 " 6. 47.7
 99 " 7. 19.4
 102 " 5. 59.4
 108 " 3. 34.0 Fad. 4. 54".0 beide unsicher.
 118, 120. derselbe.
 122 Fad. 6. 30.0
 123 " 6. 2.7
 124. Fad. 5 vielleicht 38".0 und dann T. 9^a 17'
 17".98. Dann wäre aber auch von den T.
 bis N^o. 129 incl. eine Minute abzuziehen.
 131 Fad. 7. 56.6
 134 " 5. 16.6
 136 " 5. 3.6

Nr.	Gr.	Fad.	Beob. Zeit.	T.	Microsc. I	Südl. Declin.
137	8.9	7	26"	9 26' 46"	8 56' 54.7"	18 13' 24.7"
138	8	5	14.7	27 54.57	8 48 56.2	18 5 26.2
139	6.7	4	5.5	29 5.50	9 38 27.5	18 54 57.5
140	8.9	6	35.0	28 54.27	9 37 2.9	18 53 32.9
141	8	7	25.6	29 45.49	8 41 51.9	17 58 21.9
142	9	3	13.1	31 33.10	8 41 4.7	17 57 34.7
143	9	3	28.5	31 48.45	8 43 22.5	17 59 52.5
144	8	6	16.8	31 46.74	9 2 14.3	18 18 44.3
145	9	3	0.7	33 20.73	8 59 10.9	18 15 40.9
146	8.9	2	35.5	34 5.54	8 32 3.8	17 48 33.8
147	9	3	44.6	34 4.58	8 33 48.3	17 50 18.3
148	7.8	2	28.4	34 58.49	8 32 1.2	17 48 31.2
149	8	4	16.2	35 16.20	7 50 56.1	17 7 26.1
150	8.9	6	31.6	35 1.67	7 56 2.1	17 12 32.1
151	9	5	36 29.9	36 9.91	7 31 52.0	16 48 22.0
1	8	4	55 31.0	4 55 31.00	4 38 44.3	23 56 24.3
2	6.7	2	22.6	56 53.69	3 43 44.9	23 1 24.9
3	9	7	22.0	56 40.23	4 42 51.1	24 0 31.1
4	6	4	9.0	58 9.00	5 18 33.1	24 36 13.1
5	8.9	3	56.2	59 16.96	4 22 12.5	23 39 52.5
6	8.9	4	45.4	59 45.40	4 13 4.8	23 30 44.8
7	9.0	4	1 15.7	5 1 15.70	4 17 8.3	23 34 48.3
8	8.9	6	58.0	1 26.97	3 33 54.1	22 51 34.1
9	9	7	31.3	1 49.90	3 32 34.8	22 50 14.8
10	7.8	4	1.0	3 1.00	3 32 51.5	22 50 31.5
11	7	4	36.6	3 36.60	4 1 38.2	23 19 18.2
12	9	4	27.5	4 27.50	4 58 56.1	24 16 36.1
13	8.9	4	5.4	5 5.50	4 28 33.0	23 46 13.0
14	9	7	1.5	5 19.52	5 20 49.3	24 38 29.3
15	8	7	9.0	5 27.05	5 14 51.1	24 32 31.1
16	9	7	4.9	6 22.90	5 25 13.2	24 42 53.2
17	9.0	5	45.5	7 24.42	5 27 26.2	24 45 6.2
18	7.8	6	8 38.0	8 6.90	3 52 59.8	23 10 39.8
19	8.9	4	10 2.0	10 2.00	5 10 10.7	24 27 50.7
20	7.8	4	36.5	10 36.59	3 56 39.2	23 14 19.2
21	8.9	4	12 11.9	12 11.90	4 18 21.1	23 36 1.1
22	8.9	5	0.0	12 39.15	4 5 59.2	23 23 39.2
23	8	3	36.6	13 57.22	3 25 0.8	22 42 40.8
24	9	5	28.6	14 7.57	5 10 47.0	24 28 27.0
25	8.9	3	15 51.1	16 11.85	4 18 6.5	23 35 46.5
26	8	3	22.6	16 53.83	4 7 12.9	23 24 52.9
27	8.9	3	54.7	17 15.40	3 55 30.1	23 13 10.1
28	9	3	18 14.7	18 35.66	5 32 20.0	24 50 0.0
29	9	6	19 19.0	18 47.90	3 55 5.2	23 12 45.2
30	8.9	5	52.0	19 31.16	4 1 20.8	23 19 0.8
31	8.9	5	29.5	20 8.73	3 35 32.9	22 53 12.9
32	8.9	4	52.4	20 52.40	3 26 11.7	22 43 51.7
33	9	6	21 45.4	21 14.24	4 10 41.3	23 28 21.3
34	9.0	6	22 53.5	22 22.15	4 55 47.9	24 13 27.9
35	7	5	26.0	23 4.99	5 5 44.6	24 23 24.6
36	7.8	5	11.6	23 50.84	3 33 24.7	22 51 4.7
37	8.9	4	43.5	24 43.50	3 38 48.5	22 56 28.5
38	9	5	14.4	24 53.59	3 53 38.9	23 11 18.9
39	8.9	4	5.2	26 5.20	3 46 10.2	23 3 50.2
40	8.9	7	27.4	25 45.78	4 15 17.6	23 32 57.6

Hülfsstafel zur Reduction auf den middle Ort 1850 Januar 0 D = - 18°.

T.	k	k'	d
9 20' - 30.27	-1	+5	+12.7
30 - 30.28	-1	+5	+12.1
40 - 30.29		+5	+11.5

139. dupl. IV. Cl. praec.

140. wie Z. 279 N^o. 2 und LL. 18882 zeigen Fad. 7 zu lesen; damit ist T berechnet.

143 Fad. 4. 48.4

144 " 7. 27.0

146 " 4. 5.5

Etwas unruhige Luft.

ZONE 274. 1850 Febr. 25. 0

NC. 4 46' - 2 1.49

6 44' - 2 4.38

Anf. 28 5.00 + 6.6 42.1

Ende 5.02 + 5.8 40.1

Microsc. I + 2".10

Decl. = - (Microsc. I + 19° 17' 40")

6" $\tau + i - 28''.397$ $\Delta \tau + 0''.006$ $\Delta i + 0$

Hülfsstafel zur Reduction auf den middle Ort 1850 Januar 0 D = - 24°.

T.	k	k'	d
4 50' - 28.44	-7	+3	+23.8
5 0 - 28.51	-7	+3	+24.0
10 - 28.58	-6	+3	+24.1
20 - 28.64	-7	+3	+24.2
30 - 28.71		+3	+24.3

2 Fad. 3. 33.0

13 " 5. 26.5

20 " 5. 57.5

26 " 6. 25.0 giebt 53''.85 und zeigt, statt Fad. 3 zu lesen sei 2; dann stimmt Stern mit LL. 10142.

34 Fad. 7. 4.0

Gr.	Fad.	Beob. Zeit.	T.	Microsc. I	Südl. Declin.
8	6	50.5	26 19.32	4 15 23.0	23 33 3.0
9	5	38.0	27 16.99	5 4 26.1	24 22 6.1
7	4	48.0	27 48.00	5 8 57.4	24 26 37.4
9	5	29 6.3	28 45.41	4 20 36.9	23 38 16.9
9	5	29 20.3	28 59.42	4 16 5.4	23 23 45.4
8.9	4	14.0	30 14.00	4 48 27.0	24 6 7.0
9	2	31.5	31 2.97	4 50 19.0	24 7 59.0
8	3	11.0	31 31.90	5 12 22.0	24 30 2.0
8.9	7	31 45.8	31 3.76	5 30 32.0	24 48 12.0
8	6	32.2	32 0.85	4 56 19.8	24 13 59.8
9	4	54.6	32 54.60	4 36 26.6	23 54 6.6
9	2	27.3	33 58.65	4 40 24.6	23 58 4.6
7	1	40.2	34 21.85	4 31 9.5	23 48 49.5
9	6	27.6	33 56.56	3 37 47.6	22 55 27.6
9	6	13.5	34 42.41	3 50 4.3	23 7 44.3
8.9	4	36 15.9	36 15.90	5 11 30.1	24 29 10.1
8.9	5	41.0	36 19.99	5 7 6.9	24 24 46.9
8	2	22.6	37 53.69	3 34 5.0	22 51 45.0
8.9	2	43.7	38 14.79	3 35 34.1	22 53 14.1
9	4	12.7	38 12.70	4 8 57.6	23 26 37.6
9	6	39 12.8	38 41.59	4 23 46.8	23 41 26.8
8	4	32.1	39 32.10	4 24 28.1	23 42 8.1
6	2	58.0	40 29.29	4 25 14.2	23 42 54.2
8	7	18.6	39 36.87	4 36 51.2	23 54 31.2
8.9	3	11.0	41 31.96	5 15 58.3	24 33 38.3
9	3	12.2	41 33.11	5 15 51.7	24 33 31.7
8	4	42 39.5	42 39.50	5 13 34.9	24 31 14.9
8.9	1	10.5	43 52.32	5 13 21.8	24 31 1.8
9	5	58.1	43 37.00	5 40 30.9	24 58 10.9
8.9	4	18.7	44 18.70	5 45 26.4	25 3 6.4
8	5	52.5	44 31.53	4 52 11.2	24 9 51.2
8.9	3	19.6	45 40.43	4 46 56.2	24 4 36.2
9.0	4	8.5	46 8.50	4 46 31.3	24 4 11.3
8.9	3	40.7	47 1.46	4 22 1.0	23 39 41.0
9	6	15.9	46 44.66	4 1 37.0	23 19 17.0
9	4	9.6	48 9.60	3 55 1.9	23 12 41.9
8.9	5	55.5	48 34.37	5 47 6.7	25 4 46.7
8.9	3	27.4	49 48.41	5 52 30.1	25 10 10.1
9	5	20.2	49 59.29	4 28 23.4	23 46 3.4
9	6	44.2	50 12.87	4 11 4.8	23 28 44.8
9	6	14.3	50 43.18	4 8 35.0	23 26 15.0
9	6	3.8	51 32.56	4 30 15.9	23 47 55.9
9	5	46.6	52 25.68	4 31 26.2	23 49 6.2
9	2	18.2	53 49.58	4 25 41.9	23 43 21.9
9	3	54 57.2	55 16.89	3 53 19.5	23 10 59.5
8.9	2	56 23.0	56 54.71	4 33 18.7	23 50 58.7
7.8	5	57 35.4	57 14.64	3 56 13.0	23 13 53.0
9	5	28.3	58 7.49	3 51 9.0	23 8 49.0
8	5	59 58.7	59 37.59	5 43 38.6	25 1 18.6
7	4	1 5.9	6 1 5.90	5 37 26.1	24 55 6.1
3.9	7	4.6	1 22.99	4 12 41.9	23 30 21.9
9	6	42.7	2 12.50	4 18 58.0	23 36 38.0
3.9	6	35.1	3 3.87	4 28 8.5	23 45 48.5
2.0	4	28.0	4 28.00	4 25 59.8	23 43 39.8
9	5	26.0	5 5.11	4 21 20.0	23 39 0.0

Hülfsstafel zur Reduction auf den mittlern Ort 1850 Januar 0 D = - 24°.

T.	k	k'	d	d'
5 20-28.64	-7	+3	+24.2	+0.1
30-28.71	-6	+3	+24.3	+0.1
40-28.77	-7	+3	+24.4	0.0
50-28.84	-6	+3	+24.4	0.0
6 0-28.90	-6	+4	+24.4	0.0
10-28.96		+4	+24.4	+23.5

- 47 Fad. 3. 42.2
53 " 2. 50.6
54 " 7. 38.0
65 " 4. 32.0 Fad. 6. 3.4
66 " 4. 33.1
65. 66. dupl. III. Cl.
75 Fad. 7. 26.1
80 " 7. 54.3 Fäden 13".04 und 12".70
81 " 7. 24.8
84 " 3. 28.9
85. Es ward ein Fehler von 1" entdeckt, und beigeschrieben +1"; ich vermute aber, dass es heissen soll -1", und habe demnach T berechnet, weil Fad. 6, der zur Controlle um 47".4 beobachtet ward, 16".30 giebt.
86 Fad. 3. 33.9 Fäden 54".32 und 54".69
87 " 6. 45.8
89. dupl. II. Cl. seq. ad Austrum; praec. 8.9^m.
92. Zeit +1" und darnach T berechnet.

Nº.	Gr.	Fad.	Beob. Zeit.	T.	Microsc. I	Südl. Declin.
96	7	4	47.7	6 5 47.70	4 27 56.4	23 45 36.4
97	9	7	33.2	5 51.79	3 35 2.6	22 52 42.6
98	9	7	40.2	5 58.82	3 29 19.2	22 46 59.2
99	8.9	2	7 24.6	7 55.80	4 1 32.5	23 19 12.5
100	9	5	26.2	8 5.32	4 19 16.3	23 36 56.3
101	8	3	30.3	8 50.98	4 24 12.6	23 41 52.6
102	9	5	32.0	9 11.04	4 46 1.4	24 3 41.4
103	9	5	6.5	9 45.52	4 55 4.7	24 12 44.7
104	8.9	5	43.8	10 22.69	5 40 2.5	24 57 42.5
105	8	4	9.9	11 9.90	5 36 21.0	24 54 1.0
106	7	4	11 55.6	11 55.60	5 5 53.6	24 23 33.6
107	8	3	22.0	12 42.78	4 59 11.9	24 16 51.9
108	8.9	3	28.6	12 49.47	4 56 35.8	24 14 15.8
109	8	5	39.0	13 18.13	4 11 23.1	23 29 3.1
110	7	3	58.0	14 18.67	3 45 34.6	23 3 14.6
111	8.9	7	40.7	13 59.36	3 19 56.6	22 37 36.6
112	6	6	22.0	14 50.84	4 17 8.3	23 34 48.3
113	7	1	57.7	16 39.20	4 14 6.0	23 31 46.0
114	7	1	35.0	17 16.81	5 11 39.8	24 29 19.8
115	8	4	7.7	17 7.70	5 30 57.2	24 48 37.2
116	8.9	5	36.7	17 15.60	5 36 35.1	24 54 15.1
117	7.8	4	22.8	18 22.80	5 47 4.7	25 4 44.7
118	8.9	4	44.0	18 44.00	5 40 33.7	24 58 13.7
119	9	6	16 :	19 44.5	5 37 36.6	24 55 16.6
120	8	1	45.8	21 27.50	4 51 49.2	24 9 29.2
121	8.9	1	0.3	21 42.01	4 54 7.2	24 11 47.2
122	9	7	50.6	21 8.52	5 38 16.0	24 55 56.0
123	8.9	3	23 20.9	23 41.70	4 35 55.4	23 53 35.4
124	9	5	45.0	23 24.07	4 36 24.6	23 54 4.6
125	8	4	41.1	24 41.22	4 45 23.3	24 3 3.3
126	4	3	25 44.6	26 5.30	4 1 45.0	23 19 25.0
127	9.0	4	40.3	26 40.30	4 9 59.0	23 27 39.0
128	8.9	5	12.4	26 51.53	4 14 19.8	23 31 59.8
129	8	5	52.9	27 32.01	4 21 23.0	23 39 3.0
130	8.9	6	17.4	27 45.99	4 49 21.3	24 7 1.3
131	9	5	16.4	28 55.44	4 48 30.7	24 6 10.7
132	9	7	29 41.6	28 59.81	4 45 48.2	24 3 28.2
133	7.8	4	30 21.8	30 21.80	4 42 41.8	24 0 21.8
134	8	2	20.0	31 51.62	5 44 16.9	25 1 56.9
135	7	4	37.4	32 37.40	4 9 59.8	23 27 39.8
136	9	6	54.2	32 23.02	4 14 18.5	23 31 58.5
137	6	3	30.2	33 50.95	4 16 35.0	23 34 15.0
138	8.9	2	39.4	34 10.71	4 17 4.0	23 34 44.0
139	8.9	4	15.0	34 15.00	4 13 29.6	23 31 9.6
140	8	2	35 13.5	35 44.99	4 57 19.1	24 14 59.1
141	8.9	3	3.0	36 23.84	4 48 43.2	24 6 23.2
142	9	3	36 19.7	36 40.54	4 48 13.0	24 5 53.0
1	8	5	58 29.5	7 58 7.62	9 40 58.9	29 0 48.9
2	8.9	4	27.8	59 27.80	10 12 11.3	29 32 1.3
3	8	7	59 50.3	59 6.44	10 13 18.8	29 33 8.8
4	9	7	18.4	59 34.50	10 19 23.5	29 39 13.5
5	8	6	0 40.2	8 0 7.33	10 14 42.6	29 34 32.6
6	7	7	2 5.0	1 21.39	9 38 30.9	28 58 20.9
7	8	1	49.4	3 33.10	10 6 53.7	29 26 43.7
8	7	3	12.3	3 34.32	10 33 37.8	29 53 27.8

*Hälftafel zur Reduction auf den mittlern
Ort 1850 Januar 0 D = - 24°.*

T.	k	k'	d	d'
6 0' - 28.90	-6	+4	+24.4	0.0 +23.4
10 - 28.96	-6	+4	+24.4	0.0 +23.5
20 - 29.02	-6	+4	+24.4	-0.1 +23.5
30 - 29.08	-6	+4	+24.3	-0.1 +23.5
40 - 29.14		+4	+24.2	+23.5

101 Fad. 4. 50.9

107 „ 4. 42.7

108 „ 4. 49.5

109. Zeitsecunde viell. 37''.0 und dann T. 16''.13

112 Fad. 7. 32.5

118 „ 7. 25.5 gibt 43''.41 und ist als flüchtig beobachtet ausgeschlossen.

119. Zeit zweifelhaft.

121 Fad. 2. 10.6

125 „ 5. 2.3

126 „ 4. 5.3

130 „ 7. 28.7 Einer von beiden Fäden ist um 1'' verschoben; ich habe Fad. 6 als richtig angenommen; wäre 7 richtig, so würde T. 46''.99.

133. dupl. IV. Cl. seq.; praec. 9".

138 Fad. 3. 50.0

140 „ 3. 24.2

Sehr gute Luft.

ZONE 275. 1850 Febr. 25. Ost.

NC. 7 49' - 2' 3.62

9 45 - 2 4.05

Anf. 28 5.05 + 5.5 40.3

8 31 39.0

8 58 39.4

Ende 28 5.00 + 5.0 38.0

Jr.	Fad.	Beob. Zeit.	T.	Microsc. I	Südl. Declin.
3.9	5	55.0	8 3 33.10	10 6 53.2	29 26 43.2
3.9	4	48.8	4 48.80	10 16 35.3	29 36 25.3
8	4	10.6	5 10.60	10 22 58.4	29 42 48.4
9	7	35.4	4 51.42	10 28 16.8	29 48 6.8
3.9	4	21.5	6 21.50	10 26 32.8	29 46 22.8
9	6	52.4	6 19.43	10 33 16.0	29 53 6.0
7	5	7 33.7	7 11.72	10 8 34.7	29 28 24.7
9	5	25.4	8 3.44	10 3 7.8	29 22 57.8
3.9	4	9 29.1	9 29.10	11 4 21.9	30 24 11.9
7.8	3	59.5	10 21.56	11 8 13.8	30 28 3.8
3.9	4	23.7	10 23.70	11 2 24.8	30 22 14.8
9	6	47.3	10 25.13	11 1 29.5	30 21 19.5
9	3	22.6	11 44.62	10 55 27.4	30 15 17.4
9	5	57.5	11 35.33	10 59 30.0	30 19 20.0
7	5	44.0	12 22.00	10 13 7.5	29 32 57.5
9	4	21.7	13 21.70	9 58 8.6	29 17 58.6
8.9	7	58.4	13 14.75	9 43 11.9	29 3 1.9
8	4	17.8	14 17.80	9 33 42.8	28 53 32.8
9	4	50.2	14 50.20	9 39 43.8	28 59 33.8
7.8	6	13.3	14 40.58	9 45 13.4	29 5 3.4
8	2	16 41.0	17 14.46	11 47 28.1	31 7 18.1
7.8	3	17 34.4	17 56.43	10 59 32.3	30 19 22.3
8	5	28.0	18 5.92	10 35 12.8	29 55 2.8
8.9	6	56.8	18 23.99	10 3 24.9	29 23 14.9
8.9	7	15.6	18 31.81	10 2 59.1	29 22 49.1
8.9	3	19 47.8	20 9.64	10 6 36.0	29 26 26.0
9	6	21 35.4	21 2.62	9 57 46.9	29 17 36.9
9	5	21.4	21 59.53	9 36 55.9	28 56 45.9
8.9	5	35.2	23 13.22	10 8 0.9	29 27 50.9
9	7	24.0	23 39.99	10 32 37.0	29 52 27.0
8	6	46.7	24 13.75	10 30 4.9	29 49 54.9
8.9	5	25 36.0	25 13.72	11 18 0.5	30 37 50.5
8	5	41.3	26 19.45	9 32 32.7	28 52 22.7
8.9	2	56.4	27 29.27	9 34 16.5	28 54 6.5
9	4	35.6	27 35.60	10 7 34.6	29 27 24.6
9	6	56.3	27 23.46	10 8 41.4	29 28 31.4
9	2	19.5	28 52.40	10 8 4.8	29 27 54.8
8	4	29 47.0	29 47.00	9 41 31.2	29 1 21.2
8.9	6	31 16.5	30 43.64	10 12 1.9	29 31 51.9
8.9	4	52.5	31 52.50	10 39 6.2	29 58 56.2
9	4	33 11.7	33 11.70	10 32 9.3	29 51 59.3
5	4	59.0	33 59.00	9 42 42.1	29 2 32.1
8	7	21.4	33 37.86	9 27 28.4	28 47 18.4
8	3	36 57.3	37 19.05	9 40 16.5	29 0 6.5
9	7	53.5	37 9.77	9 55 2.0	29 14 52.0
8	5	41.9	38 19.87	10 22 39.8	29 42 29.8
9	5	43.5	39 21.42	10 34 44.7	29 54 34.7
8	4	40 49.5	40 49.50	9 53 34.8	29 13 24.8
7.8	5	41 13.0	40 50.82	9 51 48.1	29 11 38.1
9	4	45.5	41 45.64	9 48 19.0	29 8 9.0
3.9	4	43 19.2	43 19.20	10 20 27.8	29 40 17.8
8	3	9.3	44 31.23	10 32 9.2	29 51 59.2
9	4	44 48.6	44 48.60	9 52 21.7	29 12 11.7
8.9	3	38.0	45 59.73	9 35 6.8	28 54 56.8
8.9	3	25.7	46 47.52	9 59 38.9	29 19 28.9

Microsc. I + 1".32
Decl. = - (Microsc. I + 19° 19' 50")
9^a r+i -28".474 Δr+0".006 Δi+0".030

*Hülftafel zur Reduction auf den mittlern
Ort 1850 Januar 0 D = -30°.*

T.	k	k'	d	d'
8 0 -29.72	-4	+6	+19.6	-0.9
10 -29.76	-5	+6	+18.7	-0.7
20 -29.81	-3	+6	+18.0	-0.5
30 -29.84	-4	+6	+17.5	-0.5
40 -29.88	-3	+6	+17.0	-0.5
50 -29.91	+7	+7	+16.5	+58.4

7. 9. derselbe.

8 Fad. 4. 34".4
9 " 6. 6.0
36 " 6. 33.2
40 " 6. 46.9
42 " 3. 7.7
57 " 6. 23.3 Fäden 51".08 und 50".55
58 " 5. 7.7

Nº.	Gr.	Fad.	Beob. Zeit.	T.	Microsc. I	Südl. Declin.	
64	8.9	4	52.4	8 46 52.40	10 6 24.5	29 26 14.5	
65	8.9	6	48 56.8	48 23.56	11 20 36.0	30 40 26.0	
66	9	3	49 30.4	49 52.52	11 23 4.1	30 42 54.1	
67	8.9	5	50 14.7	49 52.46	11 17 12.9	30 37 2.9	
68	9	5	51 25.6	51 3.48	10 48 13.7	30 8 3.7	
69	8.9	3	6.2	52 28.24	11 3 39.9	30 23 29.9	
70	9	3	39.2	53 1.31	11 19 54.6	30 39 44.6	
71	8.9	4	56 48.4	56 48.40	11 5 51.6	30 25 41.6	
72	9	6	1 4.5	9 0 31.15	11 39 26.3	30 59 16.3	
73	7.8	5	59.6	1 37.58	10 9 38.7	29 29 28.7	
74	9	7	8.0	2 24.09	10 20 53.4	29 40 43.4	
75	5.6	2	3 32.0	4 4.95	10 25 52.6	29 45 42.6	
76	7	7	25.4	3 41.68	9 53 29.4	29 13 19.4	
77	6.7	4	7 26.2	7 26.20	9 43 50.2	29 3 40.2	
78	8	2	8 37.6	9 10.60	10 25 21.2	29 45 11.2	
79	8	5	13.6	8 51.57	10 13 9.3	29 32 59.3	
80	9	4	10 49.0	10 49.00	10 0 18.5	29 20 8.5	
81	8	3	14 21.7	14 43.33	9 16 13.9	28 36 3.9	
82	8	4	31.6	15 31.60	10 50 30.6	30 10 20.6	
83	8	3	29.7	16 51.62	10 33 29.2	29 53 19.2	
84	8.9	4	.5	17 17.47	10 31 19.8	29 51 9.8	
85	7.8	4	20 12.6	20 12.60	10 4 0.6	29 23 50.6	
86	9	6	53.3	20 20.72	9 43 30.4	29 3 20.4	
87	7.8	4	24 10.3	24 10.30	10 9 58.4	29 29 48.4	
88	7.8	7	25 11.3	24 26.83	11 33 28.6	30 53 18.6	
89	7	5	59.7	25 37.33	11 52 18.4	31 12 8.4	
90	8.9	3	27 40.5	28 2.76	11 56 25.1	31 16 15.1	
91	8.9	4	4.7	28 4.65	12 1 1.9	31 20 51.9	
92	8.9	3	29 41.2	30 4.44	11 13 53.2	30 33 43.2	
93	8	3	49.6	31 11.46	10 12 55.2	29 32 45.2	
94	8	5	31 38.6	31 16.44	10 58 2.0	30 17 52.0	
1	9	7	56 45.6	4 56 5.83	7 7 13.8	16 23 43.8	
2	8.9	7	59 11.5	58 31.34	8 52 58.7	18 9 28.7	
3	7	3	0 37.0	5 0 56.94	8 13 36.6	17 30 6.6	
4	7.8	3	10.7	1 30.64	8 13 1.2	17 29 31.2	
5	9	4	40.2	1 40.20	8 9 51.9	17 26 21.9	
6	9	3	2.8	2 22.74	8 15 24.5	17 31 54.5	
7	9	5	10.0	2 49.87	8 49 59.1	18 6 29.1	
8	9	5	4 10.7	3 50.66	7 56 39.8	17 13 9.8	
9	8.9	6	56.8	4 26.59	9 34 50.4	18 51 20.4	
10	9	6	6 48.7	6 18.70	8 22 0.2	17 38 30.2	
11	9	7	2.3	6 22.26	8 22 7.0	17 38 37.0	
12	8.9	6	36.2	7 6.18	8 30 17.9	17 46 47.9	
13	8	4	22.1	8 22.10	9 17 24.6	18 33 54.6	
14	7	3	10 16.7	10 36.58	8 2 28.9	17 18 58.9	
15	9	5	15.6	10 55.55	8 3 26.2	17 19 56.2	
16	8.9	4	56.3	11 56.30	8 15 42.3	17 32 12.3	
17	8	4	35.5	12 35.50	8 27 51.4	17 44 21.4	
18	6.7	6	9.0	12 38.89	9 1 21.3	18 17 51.3	
19	8	5	31.1	13 11.01	9 24 27.0	18 40 57.0	
20	8	6	42.1	13 11.92	9 23 50.8	18 40 20.8	
21	7	3	15 25.5	15 45.49	8 29 4.0	17 45 34.0	
22	8.9	2	27.0	16 57.02	8 6 2.9	17 22 32.9	
23	9	6	58.6	16 28.62	8 9 10.3	17 25 40.3	
24	6	4	18 16.3	18 16.30	7 50 50.8	17 7 20.8	

Hülftafel zur Reduction auf den mittlen Ort 1850 Januar 0 D = - 30°.

T.	k	k'	d	
8 40 - 29.88	-3	+7	+17.0	-0.5 +
50 - 29.91	-3	+7	+16.5	-0.5 +
9 0 - 29.94	-3	+7	+16.0	-0.6 +
10 - 29.97	-2	+7	+15.4	-0.9 +
20 - 29.99	-2	+7	+14.5	-1.1 +
30 - 30.01	-2	+7	+13.4	-1.4 +

73 Fad. 6. 10.4
75 „ 3. 43.0
79 „ 6. 24.4
81 „ 4. 43.3
83 „ 4. 51.6
84 „ 5. 39.5
86 „ 7. 4.5
91 „ 5. 27.0
92 „ 4. 4.6 Faden 3 giebt 3“.28; ich angenommen, dass er 1“ verschrieben sei

Anfangs gute Luft, die letzte halbe Stunde unruhig, und die Sterne sehr blass.

ZONE 276. 1850 Febr. 26.

NC. 4 48 - 2 3.22
6 38 - 2 5.01
Anf. 28 4.80 + 6.9 43.0
Ende 4.82 + 5.9 40.2
Microsc. I + 3“.25 u. + 2“.76
Decl. = - (Microsc. I + 9° 16' 30")
6" r + i - 28".119 Δr + 0".006 Δi + 0'

Hülftafel zur Reduction auf den mittlen Ort 1850 Januar 0 D = - 18°.

T.	k	k'	d	
4 50 - 28.15	-6	+2	+16.0	+0.2 +
5 0 - 28.21	-6	+2	+16.2	+0.1 +
10 - 28.27	-6	+3	+16.3	+0.1 +
20 - 28.33	-6	+3	+16.4	+0.1 +

14 Fad. 5. 56.6
19 „ 7. 51.4
21 „ 5. 5.6
23 „ 7. 8.6

Fad.	Beob. Zeit.	T.	Microsc. I	Südl. Declin.
5	58.1	5 18 38.06	7 59 9.9	17 15 39.9
9 6	31.0	19 0.79	9 35 10.2	18 51 40.2
2	26.6	20 56.50	7 22 56.6	16 39 26.6
9 1	9.0	21 49.04	8 51 43.4	18 8 13.4
5	22 33.5	22 13.49	7 42 35.2	16 59 5.2
5	17.7	22 57.64	8 10 33.8	17 27 3.8
0 5	52.2	23 32.15	8 6 21.4	17 22 51.4
0 7	44.7	24 4.42	9 24 11.8	18 40 41.8
6	25 6.4	24 36.21	9 27 14.3	18 43 44.3
9 4	38.3	25 38.30	9 33 30.0	18 50 0.0
4	31.6	26 31.60	9 56 32.9	19 13 2.9
0 4	58.5	26 58.50	9 55 10.7	19 11 40.7
3	18.2	27 38.29	9 30 51.1	18 47 21.1
3	51.3	28 11.41	9 38 40.5	18 55 10.5
9 5	27.7	28 7.53	9 10 23.0	18 26 53.0
6	56.9	28 26.90	8 23 17.0	17 39 47.0
3	33.4	29 53.29	7 41 34.4	16 58 4.4
4	12.8	30 12.80	7 31 49.4	16 48 19.4
9 4	41.9	30 41.90	7 50 31.9	17 7 1.9
5	28.0	31 8.01	7 31 36.8	16 48 6.8
2	56.0	32 24.95	7 44 12.8	17 0 42.8
3	14.9	32 34.81	7 53 25.0	17 9 55.0
7	33 40.3	33 0.20	8 39 0.6	17 55 30.6
6	33 38.2	33 8.15	8 39 59.7	17 56 29.7
9 3	47.6	35 7.66	9 16 10.6	18 32 40.6
9 5	35 41.8	35 21.70	8 31 25.6	17 47 55.6
0 3	29.0	36 48.98	8 35 12.1	17 51 42.1
0 6	6.5	36 36.43	8 47 40.5	18 4 10.5
0 7	32.7	36 52.58	8 44 21.2	18 0 51.2
8 4	57.9	37 57.90	9 5 0.1	18 21 30.1
9 5	39 0.6	38 40.55	8 2 56.2	17 19 26.2
4	36.7	39 36.70	8 12 43.0	17 29 13.0
4	1.3	40 1.30	9 28 5.8	18 44 35.8
9 3	41.2	41 1.23	8 57 24.5	18 13 54.5
0 5	9.5	40 49.36	8 52 36.1	18 9 6.1
6	42 15.2	41 45.02	9 23 59.3	18 40 29.3
9 5	42 41.0	42 20.95	9 29 11.7	18 45 41.7
9 7	39.3	42 59.15	8 50 14.9	18 6 44.9
5	32.5	44 12.38	8 42 47.8	17 59 17.8
9 3	0.0	45 19.99	8 40 28.8	17 56 58.8
2	32.7	46 2.75	8 19 43.2	17 36 13.2
0 5	46 34.6	46 14.52	8 23 31.2	17 40 1.2
5	24.4	47 4.30	8 32 12.9	17 48 42.9
9 2	50.1	48 20.19	8 32 2.4	17 48 32.4
0 5	43.4	48 23.15	8 28 10.7	17 44 40.7
4	36.7	49 36.70	8 45 57.6	18 2 27.6
4	59.7	49 59.70	8 38 9.2	17 54 39.2
0 4	16.4	50 16.40	8 35 19.2	17 51 49.2
4	26.4	51 26.40	8 48 19.4	18 4 49.4
9 3	47.5	52 7.50	8 44 6.8	18 0 36.8
0 4	53 14.7	53 14.70	7 49 28.7	17 5 58.7
4	36.9	53 36.90	7 49 30.8	17 6 0.8
3	54 43.0	55 2.94	8 14 39.4	17 31 9.4
9 3	18.0	55 38.01	8 47 49.1	18 4 19.1
6	53.6	55 23.49	9 1 22.9	18 17 52.9

**Hülftafel zur Reduction auf den mittlern
Ort 1850 Januar 0 D = - 18°.**

T.	k	k'	d	d'
5 20-28.33	-7	+3	+16.4	+0.1
30-28.40	-6	+3	+16.5	0.0
40-28.46	-6	+3	+16.5	0.0
50-28.52	-5	+3	+16.5	+0.1
6 0-28.57		+3	+16.6	+12.5

43. 44. T wahrscheinlich -1"; vgl. die folgende Note.

45 Fad. 7. 5".1 giebt 25".20, während Fad. 2 25".95 giebt; es geht hieraus hervor, dass ein Fehler von +1, der bei Fad. 3 des folgenden Sterns entdeckt wurde, schon bei Fad. 2 dieses stattgefunden hat. Da Faden 7 nur zur Controlle flüchtig beobachtet ward, ist er ausgeschlossen.

61 Fad. 6. 51.3 Fäden 20".79 und 21".11

69 " 6. 53.0 " 23".31 " 22".99

72 " 7. 56.5

Nº.	Gr.	Fad.	Beob. Zeit.	T.	Microsc. I	Südl. Declin.
80	8.9	3	11.2	5 56 31.25	9 7 50.7	18 24 20.7
81	8	6	48.8	56 18.64	9 17 49.8	18 34 19.8
82	9	6	26.0	56 56.05	8 31 57.7	17 48 27.7
83	8	4	39.2	58 39.20	8 40 52.5	17 57 22.5
84	8	5	3.0	58 42.87	8 48 7.3	18 4 37.3
85	9.0	4	2.9	6 0 2.90	8 17 54.4	17 34 24.4
86	7.8	5	41.7	0 21.70	7 36 59.7	16 53 29.7
87	6.7	7	5.2	0 25.41	7 14 13.0	16 30 43.0
88	9.0	7	41.5	1 1.43	8 29 0.1	17 45 30.1
89	9	7	47.7	1 7.63	8 31 55.8	17 48 25.8
90	6	2	43.2	3 13.34	8 49 59.0	18 6 29.0
91	8	4	3 14.7	3 14.70	9 12 11.3	18 28 41.3
92	9.0	7	9.5	3 29.2	9 42 8.5	18 58 38.5
93	8.9	3	9.4	5 29.33	8 8 38.7	17 25 8.7
94	8.9	7	52.6	5 12.74	7 31 48.8	16 48 18.8
95	9	3	31.3	6 51.17	7 35 24.0	16 51 54.0
96	9	6	56.8	6 26.94	7 30 36.4	16 47 6.4
97	8	2	38.0	8 8.03	8 10 3.6	17 26 33.6
98	9.0	4	8 14.7	8 14.70	8 20 15.9	17 26 45.9
99	9	5	34.5	8 14.44	8 8 56.0	17 25 26.0
100	8.9	3	10 2.5	10 22.44	8 11 21.9	17 27 51.9
101	9.0	3	9 38.5	9 58.31	8 15 22.8	17 31 52.8
102	6.7	5	2.0	10 41.74	9 51 45.1	19 8 15.1
103	8.9	5	33.6	11 13.44	9 5 17.6	18 21 47.6
104	7	4	32.0	12 32.00	8 11 47.2	17 28 17.2
105	8.9	5	57.4	12 37.33	8 14 43.9	17 31 13.9
106	8.9	6	20.7	12 50.58	8 21 10.7	17 37 40.7
107	9	7	13.3	13 33.32	8 34 38.6	17 51 8.6
108	8	6	25.3	13 55.26	8 37 18.0	17 53 48.0
109	2	3	16 14.1	16 34.23	8 36 53.0	17 53 23.0
110	8.9	5	26.4	17 6.26	8 52 42.3	18 9 12.3
111	8	6	57.3	17 27.12	9 38 59.8	18 55 29.8
112	9	6	19 36.5	19 6.37	9 7 59.3	18 24 29.3
113	9	6	12.5	19 42.34	9 17 15.2	18 33 45.2
114	7.8	6	55.5	20 25.22	9 57 59.2	19 14 29.2
115	8.9	7	42.2	21 2.17	8 18 30.7	17 35 0.7
116	9	5	3.4	21 43.33	8 16 13.0	17 32 43.0
117	6	4	27.5	22 27.50	8 6 17.8	17 22 47.8
118	7.8	3	6.5	23 26.38	7 38 50.3	16 55 20.3
119	8.9	6	43.0	23 12.92	8 26 53.8	17 43 23.8
120	8	2	13.3	24 33.28	8 32 35.6	17 49 5.6
121	7.8	7	24 52.0	24 12.13	7 34 29.0	16 50 59.0
122	7	4	48.2	25 48.20	8 41 17.0	17 57 47.0
123	9	4	18.0	26 18.00	8 41 38.3	17 58 8.3
124	8.9	2	45.8	27 15.92	8 41 50.4	17 58 20.4
125	9.0	3	7.9	27 27.91	8 46 54.6	18 3 24.6
126	8	3	6.1	28 26.24	9 25 33.7	18 42 3.7
127	9	2	15.2	29 45.35	8 55 11.6	18 11 41.6
128	8.9	1	38.0	30 18.06	8 57 28.0	18 13 58.0
129	9	3	30 15.2	30 35.10	7 50 42.6	17 7 12.6
130	9	4	10.1	31 10.10	8 33 12.9	17 49 42.9
131	8.9	4	47.2	31 47.20	7 49 38.7	17 6 8.7
132	9	4	32 32.4	32 32.40	8 31 59.8	17 48 29.8
1	9	6	58 5.6	7 57 35.87	6 39 14.0	15 55 34.0
2	8.9	5	8.2	58 48.23	7 19 55.1	16 36 15.1

*Hülfsstafel zur Reduction auf den mittl.
Ort 1850 Januar 0 D = - 18°.*

T.	k	k'	d
u			
5 50-28.52	-5	+3	+16.5 +0.1 +
6 0-28.57	-6	+3	+16.6 -0.1 +
10-28.63	-6	+3	+16.5 0.0 +
20-28.69	-5	+3	+16.5 -0.1 +
30-28.74	-6	+3	+16.4 -0.1 +

82 Fad. 7. 36.2

92. Zeit zweifelhaft.

101 Fad. 7. 38.5

102—108. Nach dem Zeugniß von LL. n
die Zeit dieser Sterne um 1' vergri
werden; da bei LL. ein Fehler nicht
scheinlich, bei mir aber sehr möglich
so halte ich die Vergrößerung für
wahrscheinlich.

106 Fad. 7. 30.5

109 „ 4. 34.3 Fad. 5. 54.4

111 „ 7. 7.5

119 „ 7. 52.9

126 „ 4. 26.3 Grad des Microscops 8°

131. Minute der Decl. zweifelhaft; nach LL
sie richtig.

Sehr schöne Luft, gegen das Ende weniger

ZONE 277. 1850 Febr. 26. 0

Gr.	Fad.	Beob. Zeit.	T.	Microsc. I	Südl. Declin.	
9	5	52.4	7 59' 32.49	6 42' 22.9	15 58' 42.9	NC. 7 50' - 2 2.69
9	4	31.2	8 0' 31.20	6 6' 48.5	15 23' 8.5	Anfang 28 4.79 + 5.4 38.3
8	5	17.6	0 57.60	7 40' 11.8	16 56' 31.8	Ende 4.80 + 5.1 39.0
8.9	4	2 51.8	2 51.80	5 52' 3.2	15 8' 23.2	Microscop I + 1".51
9.0	4	38.5	3 38.50	5 59' 43.1	15 16' 3.1	Decl. = - (Microsc. I + 9° 16' 20")
9.0	5	5 48.5	5 28.68	5 49' 1.8	15 5' 21.8	8° r+i - 28".073 Δr+0".006 Δi+0".024
6.7	4	55.5	6 55.50	6 4' 22.3	15 20' 42.3	
8	3	8 15.6	8 35.47	7 33' 21.2	16 49' 41.2	
9	4	54.6	8 54.60	6 42' 24.6	15 58' 44.6	
8.9	2	35.7	10 5.48	6 35' 35.2	15 51' 55.2	
7	2	29.6	10 59.47	6 33' 23.5	15 49' 43.5	
9.0	4	21.5	11 21.50	6 3' 53.5	15 20' 13.5	
9	7	18.5	11 38.73	7 7' 44.3	16 24' 4.3	
9	7	31.5	11 51.74	7 4' 14.2	16 20' 34.2	
9	5	14.5	12 54.55	7 7' 31.8	16 23' 51.8	
9	4	14 28.7	14 28.70	5 46' 55.0	15 3' 15.0	
9	6	21.9	14 51.94	7 15' 41.9	16 32' 1.9	
7	6	16 5.4	15 35.49	7 50' 27.3	17 6' 47.3	
9.0	3	17 15.0	17 34.86	6 2' 55.6	15 19' 15.6	11 Fad. 5. 14.5
9	7	18 50.9	18 11.40	5 42' 37.6	14 58' 57.6	12 " 3. 45.7
8	7	19 10.4	18 30.93	5 32' 43.5	14 49' 3.5	13 " 3. 39.8
9	6	49.7	19 20.11	5 40' 39.3	14 56' 59.3	19 " 7. 31.6
8.9	4	20 38.3	20 38.30	5 53' 10.8	15 9' 30.8	21 " 4. 35.0
9	4	13.5	21 13.50	6 31' 52.9	15 48' 12.9	28 " 6. 52.6
9	6	59.6	21 29.80	7 6' 49.8	16 23' 9.8	
9	5	42.5	22 22.60	7 45' 38.0	17 1' 58.0	
9	4	54.3	23 54.30	5 36' 4.4	14 52' 24.4	
8	4	26.7	24 26.70	6 3' 59.5	15 20' 19.5	
9.0	5	59.3	24 39.45	6 6' 39.1	15 22' 59.1	
9	3	26 8.4	26 28.15	6 18' 56.4	15 35' 16.4	
8	2	37.2	27 6.94	6 20' 1.7	15 36' 21.7	
6	4	31 46.3	6 31' 46.30	8 50' 23.8	18 6' 43.8	
9	3	28.8	32 48.83	8 57' 36.8	18 13' 56.8	
8	4	56.0	32 56.00	8 47' 6.0	18 3' 26.0	
9.0	7	56.3	33 16.31	8 8' 30.9	17 24' 50.9	
8	7	33.1	33 53.16	7 53' 25.6	17 9' 45.6	
8.9	4	23.8	35 23.80	8 7' 29.9	17 23' 49.9	
9.0	4	21.3	36 21.30	8 22' 42.6	17 39' 2.6	
9.0	5	16.5	36 56.43	8 15' 6.9	17 31' 26.9	
9	2	41.1	38 11.17	8 25' 24.0	17 41' 44.0	
9.0	3	14.9	38 34.90	8 41' 32.5	17 57' 52.5	
7	3	38 42.3	39 2.60	8 50' 39.9	18 6' 59.9	
9	3	32.2	39 52.24	9 5' 53.6	18 22' 13.6	
9	4	1.1	40 1.10	9 5' 7.1	18 21' 27.1	
8.9	4	23.6	40 23.60	9 11' 51.0	18 28' 11.0	
9.0	6	52.0	40 21.90	9 13' 30.0	18 29' 50.0	
8.9	6	20.1	40 49.93	9 21' 49.8	18 38' 9.8	
9	4	0.7	42 0.70	9 41' 59.7	18 58' 19.7	
9	5	25.4	42 5.16	9 41' 45.2	18 58' 5.2	
9	7	18.3	42 38.37	7 49' 42.8	17 6' 2.8	
7	2	35.4	44 5.37	7 51' 8.0	17 7' 28.0	
9	1	57.4	44 37.21	7 51' 44.4	17 8' 4.4	
9.0	6	32.5	44 2.60	7 48' 28.9	17 4' 48.9	
6	7	49.6	44 9.72	7 38' 43.2	16 55' 3.2	
9	7	17.0	44 37.07	7 51' 41.3	17 8' 1.3	

T.	k	k'	d	d'
8 0'-29.11	-4	+4	+16.0	-0.3
10-29.15	-3	+4	+15.7	-0.3
20-29.18	-3	+4	+15.4	-0.4
30-29.21		+4	+15.0	+10.8

Von Anfang an etwas neblig, zuletzt ganz trübe.

ZONE 278. 1850 Febr. 27. Ost.

NC. 6 6' - 2 3.46
8 11 4.63
Anf. 28 3.29 + 6.2 40.6
Ende 3.22 + 4.8 39.2
Microsc. I + 2".86 u. + 1".84
Decl. = - (Microsc. I + 9° 16' 20")
7° r+i - 27".994 Δr+0".006 Δi+0".025

Hilfstafel zur Reduction auf den mittlern Ort 1850 Januar 0 D = - 18°.

T.	k	k'	d	d'
6 30'-28.61	-5	+3	+ 6.5	-0.1
40-28.66	-6	+4	+ 6.4	0.0
50-28.72		+4	+ 6.4	+12.5

11 Fad. 4. 2.6; Fad. 3 ist flüchtig beobachtet und deshalb ausgeschlossen; er giebt 2".32.

15 Fad. 7. 2.2

No.	Gr.	Fad.	Beob. Zeit.	T.	Microsc. I	Südl. Declin.
25	8.9	4	45.0	6 45 45.00	7 48 1.8	17 4 21.8
26	9	6	28.0	45 57.86	9 11 22.9	18 27 42.9
27	9	3	56.4	47 16.47	9 18 43.2	18 35 3.2
28	6.7	4	16.5	47 16.50	9 28 50.3	18 45 10.3
29	6.7	5	34.6	47 14.38	9 34 46.0	18 51 6.0
30	8.9	5	16.5	47 56.41	8 27 0.1	17 43 20.1
31	8	5	46.7	48 26.61	8 27 41.8	17 44 1.8
32	8	6	34.0	49 4.10	7 45 29.8	17 1 49.8
33	6	5	15.7	49 55.71	7 35 42.1	16 52 2.1
34	8	4	50.6	50 50.60	7 38 8.5	16 54 28.5
35	9	5	2.9	50 42.90	7 37 0.8	16 53 20.8
36	9	5	33.5	51 13.50	7 37 51.2	16 54 11.2
37	9	3	0.3	52 20.18	7 40 33.7	16 56 53.7
38	8.9	5	23.7	52 3.63	8 18 38.3	17 34 58.3
39	8.9	5	57.1	52 37.04	8 9 43.9	17 26 3.9
40	9	5	23.6	53 3.54	8 11 58.5	17 28 18.5
41	9	3	54 14.5	54 34.51	8 49 25.8	18 5 45.8
42	9.0	4	7.4	55 7.40	8 49 8.3	18 5 28.3
43	9	2	21.5	55 51.64	8 51 16.8	18 7 36.8
44	9.0	5	47.3	55 27.17	8 39 2.7	17 55 22.7
45	8	7	26.2	55 46.21	8 9 46.1	17 26 6.1
46	8.9	7	31.0	55 50.99	8 13 8.3	17 29 28.3
47	7.8	6	0.2	56 30.24	8 5 52.9	17 22 12.9
48	9.0	7	32.0	56 52.02	8 7 18.7	17 23 38.7
49	9.0	7	18.2	57 38.24	7 59 17.8	17 15 37.8
50	8.9	5	40.1	58 20.07	7 55 7.8	17 11 27.8
51	9	6	9.3	58 39.43	7 33 30.0	16 49 50.0
52	8.9	5	55.6	59 35.44	9 1 7.5	18 17 27.5
53	9	7	24.2	59 43.96	9 13 29.5	18 29 49.5
54	9	7	39.0	59 58.76	9 12 47.1	18 29 7.1
55	9.0	5	40.9	7 1 20.90	7 38 21.8	16 54 41.8
56	9	4	14.2	2 14.20	8 3 9.9	17 19 29.9
57	9.0	5	46.2	2 26.14	8 7 47.5	17 24 7.5
58	9	7	3.3	2 23.31	8 9 56.1	17 26 16.1
59	9	3	19.5	3 39.44	8 11 12.8	17 27 32.8
60	9.0	5	56.4	3 26.42	8 15 12.8	17 31 32.8
61	9.0	6	17.4	3 47.38	8 22 19.7	17 38 39.7
62	9.0	2	18.3	5 48.33	8 9 43.2	17 26 3.2
63	9	6	54.0	5 23.96	8 35 26.6	17 51 46.6
64	9.0	7	2.4	5 22.31	8 37 19.0	17 53 39.0
65	8	7	41.4	6 1.22	8 57 51.5	18 14 11.5
66	9	3	7 11.3	7 31.35	9 7 17.4	18 23 37.4
67	8.9	5	8 23.5	8 3.29	9 27 23.9	18 43 43.9
68	9	5	21.0	8 1.51	9 27 12.3	18 43 32.3
69	8.9	3	25.9	9 45.97	9 18 7.2	18 34 27.2
70	9	5	51.3	9 31.10	9 21 19.1	18 37 39.1
71	9	7	13.6	9 43.35	9 15 33.8	18 31 53.8
72	8	1	44.8	11 24.93	9 15 20.4	18 31 40.4
73	9.0	4	18.5	11 18.50	9 10 59.9	18 27 19.9
74	9	4	39.2	11 39.20	9 16 38.3	18 32 58.3
75	9.0	4	4.5	12 4.50	9 13 42.0	18 30 2.0
76	8.9	1	53.8	13 33.90	9 7 59.2	18 24 19.2
77	9	1	14.0	13 54.09	9 5 10.1	18 21 30.1
78	9	4	14 7.4	14 7.40	8 19 17.2	17 35 37.2
79	9	5	49.1	14 28.98	8 46 10.2	18 2 30.2

Hülftafel zur Reduction auf den mittlere Ort 1850 Januar 0 D = - 18°.

T.	k	k'	d
u 6 40' - 28.66	-6	+4	+ 6.4 0.0
50 - 28.72	-5	+4	+ 6.4 -0.1
7 0 - 28.77	-5	+4	+ 6.3 -0.1
10 - 28.82	-4	+4	+ 6.2 -0.1
20 - 28.86		+4	+ 6.1

32 Fad. 7. 44.0

44 „ 6. 57.2

46. Nach dem Zeugniß von LL. 13670 und Z. No. 35 ist T um 2'' zu klein; wahrscheinlich ist die Zeit nur ungefähr beobachtet, und nur anzugeben vergessen, da der Stern nahe auf den vorhergehenden folgte.

61 Fad. 7. 27.4

68 „ 7. 41.8 die Fäden geben 0''.79 1''.51; ich vermuthe, dass der erste nur flüchtig beobachtet, oder auch das Zehnthel zuschreiben vergessen ist, da im Original der 21 noch ein Punkt steht, und daher die Angabe von Faden 7 allein ange-

79—87. Ein Fehler von + 1'', der bei N entdeckt ward, könnte wohl schon früher gefunden haben; dass dies bei 82 der gewesen, zeigt Z. 395 No. 68, so dass die T der Sterne 82 bis 87 eine Corre von - 1'' erhalten müssen.

N ^o .	Gr.	Fad.	Beob. Zeit.	T.	Microsc. I	Südl. Declin.
80	9	4	25.0	7 15 25.00	8 36 30.0	17 52 50.0
81	9	5	8.1	15 47.96	8 55 18.5	18 11 38.5
82	6	6	37.0	16 6.81	9 27 40.7	18 44 0.7
83	9	6	57.2	16 27.01	9 28 25.8	18 44 45.8
84	9	4	27.5	17 27.50	9 21 58.9	18 38 18.9
85	9	7	55.2	17 15.06	8 47 46.3	18 4 6.3
86	7.8	5	28.5	18 8.37	8 47 23.1	18 3 43.1
87	9	7	4.7	18 24.63	8 31 9.3	17 47 29.3
88	8.9	3	29.0	19 48.89	8 34 23.7	17 50 43.7
89	8	3	36.2	19 56.24	8 33 22.7	17 49 42.7
90	6.7	5	21 15.7	20 55.63	8 17 47.7	17 34 7.7
91	9	7	49.6	21 9.65	7 58 26.2	17 14 46.2
92	9	1	15.4	22 55.23	7 56 25.8	17 12 45.8
93	8	1	41.7	23 21.54	7 59 55.8	17 16 15.8
94	9	3	8.6	23 28.51	7 55 17.0	17 11 37.0
95	8.9	3	20.3	23 40.21	7 57 20.0	17 13 40.0
96	7	7	45.6	23 5.69	7 46 9.1	17 2 29.1
97	8.9	4	19.2	24 19.20	7 44 37.0	17 0 57.0
98	9.0	6	40.0	24 10.10	7 47 43.5	17 4 3.5
99	8	4	25 22.7	25 22.70	7 36 54.3	16 53 14.3
100	9	6	52.0	25 22.13	7 36 25.7	16 52 45.7
101	9.0	3	20.6	26 40.48	7 38 18.3	16 54 38.3
102	9	7	50.8	26 10.86	7 55 17.1	17 11 37.1
103	9	5	17.7	26 57.63	8 14 4.8	17 30 24.8
104	9.0	5	8.4	27 48.34	8 13 17.1	17 29 37.1
105	8.9	2	38.6	29 8.65	8 19 51.7	17 36 11.7
106	8.9	7	26.2	28 45.92	9 23 5.6	18 39 25.6
107	9	7	46.0	29 5.74	9 18 18.8	18 34 38.8
108	8	5	7.6	29 47.42	9 14 45.4	18 31 5.4
109	8.9	4	39.8	30 39.80	9 22 55.9	18 37 15.9
110	9.0	7	24.1	30 43.87	9 10 47.8	18 27 7.8
111	9	7	12.5	31 32.58	7 48 59.9	17 5 19.9
112	9	7	35.8	31 55.90	7 44 41.0	17 1 1.0
113	8	4	24.4	33 24.40	8 15 35.0	17 31 55.0
114	9.0	5	54.8	33 34.73	8 17 47.3	17 34 7.3
115	9	4	34 56.6	34 56.60	8 30 43.2	17 47 3.2
116	8.9	3	35.0	35 54.98	8 35 20.5	17 51 40.5
117	9	6	13.1	35 43.03	8 46 36.8	18 2 56.8
118	9	4	39.3	36 39.30	8 37 26.2	17 53 46.2
119	9	1	6.6	37 46.67	8 58 41.0	18 15 1.0
120	9	5	2.2	37 42.01	9 17 46.8	18 34 6.8
121	9.0	5	43.5	38 23.27	9 37 47.7	18 54 7.7
122	8	4	39 46.3	39 46.30	9 16 13.8	18 32 33.8
123	9	5	30.7	40 10.56	8 52 3.3	18 8 23.3
124	7	8	29.6	41 49.72	9 45 43.3	19 2 3.3
125	8	4	58.5	41 58.50	9 41 21.2	18 57 41.2
126	7	4	33.8	42 33.80	9 31 51.4	18 48 11.4
127	7	4	32.2	43 32.20	9 51 25.9	19 7 45.9
128	6	3	36.6	43 56.73	9 52 29.8	19 8 49.8
129	9.0	4	44 54.0	44 54.00	9 47 40.6	19 4 0.6
130	9	4	31.8	45 31.80	9 40 56.1	18 57 16.1
131	9	7	2.4	45 22.05	9 40 54.6	18 57 14.6
132	9	5	47 0.1	46 39.82	7 51 38.8	17 7 58.8
133	9	3	52.4	48 12.32	7 59 7.1	17 15 27.1
134	9	6	38.0	48 8.04	8 8 32.6	17 24 52.6

*Hülftafel zur Reduction auf den mittlern
Ort 1850 Januar 0 D = - 18°.*

T.	k	k'	d	d'
7 10' - 28.82	-4	+4	+ 6.2	-0.1
20 - 28.86	-5	+4	+ 6.1	-0.2
30 - 28.91	-4	+4	+ 5.9	-0.1
40 - 28.95	-5	+4	+ 5.8	-0.2
50 - 29.00		+4	+ 5.6	+12.6

88 Fad. 5. 8.9

89 „ 5. 16.4

109. Nach dem Zeugniß von Z. 397 N^o. 49 und Z. 389 N^o. 1 ist die Minute des Microscops 20' zu lesen; demgemäss ist die Declination corrigirt.

118. Minute der Decl. +10', also 18° 3' 46''.2?

132 Fad. 6. 10.0

134. 135. duplex.

Nº.	Gr.	Fad.	Beob. Zeit.	T.	Microsc. I	Südl. Declin.
135	9	7	46.5	7 48' 6.51	8° 8' 48.3	17° 25' 8.3
136	7	5	37.8	49 17.71	9 22 57.1	18 39 17.1
137	8.9	7	5.4	49 25.11	9 25 56.9	18 42 16.9
138	9	5	49.2	50 29.02	9 13 56.0	18 30 16.0
139	8	4	26.8	51 26.80	9 28 7.3	18 44 27.3
140	8	4	49.6	51 49.60	9 35 45.2	18 52 5.2
141	8	5	28.7	52 8.45	9 50 8.0	19 6 28.0
142	8.9	5	44.7	52 24.46	9 45 47.4	19 2 7.4
143	8	4	10.6	53 10.60	9 47 17.1	19 3 37.1
144	9	5	25.5	53 5.25	9 47 13.8	19 3 33.8
145	8	7	53 35.0	52 54.66	9 39 26.2	18 55 46.2
146	9	3	34.0	54 54.08	9 27 0.6	18 43 20.6
147	7	4	20.8	55 20.80	8 57 27.1	18 13 47.1
148	9	4	42.2	55 42.09	8 49 21.6	18 5 41.6
149	8	1	24.6	57 4.65	8 53 51.2	18 10 11.2
150	9	3	12.6	57 32.51	7 52 34.1	17 8 54.1
151	6	2	44.9	58 14.89	7 58 28.1	17 14 48.1
152	9	3	22.5	58 52.42	8 5 40.8	17 22 0.8
153	8.9	5	22.1	59 2.03	8 17 30.3	17 33 50.3
154	9	5	45.4	59 25.32	8 25 25.4	17 41 45.4
155	8.9	7	17.2	59 37.11	8 36 55.0	17 53 15.0
156	8	6	32.0	8 0 1.97	8 40 28.9	17 56 48.9
157	8.9	3	13.8	1 33.88	9 27 28.2	18 43 48.2
158	9	4	28.5	1 28.40	9 28 21.9	18 44 41.9
159	4	3	28.6	2 48.80	9 32 12.4	18 48 32.4
160	9.0	4	25.4	3 25.40	8 40 4.2	17 56 24.2
161	9	4	40.3	3 40.30	8 36 20.2	17 52 40.2
162	8.9	4	4.6	4 4.60	8 28 55.7	17 45 15.7
163	8.9	4	32.3	4 32.30	8 32 52.7	17 49 12.7
164	8	4	46.5	4 46.50	8 38 22.5	17 54 42.5
165	7.8	7	5 29.6	4 49.35	9 15 35.8	18 31 55.8
1	8	4	27 53.5	9 27 53.50	8 48 53.7	18 5 23.7
2	9	4	28 53.5	28 53.50	9 36 58.2	18 53 28.2
3	7	3	28 44.4	29 4.60	9 38 22.4	18 54 52.4
4	9	7	30 24.7	29 44.59	8 41 49.5	17 58 19.5
5	9.0	2	1.5	31 31.60	8 40 57.0	17 57 27.0
6	8	2	55.0	32 25.04	8 14 13.9	17 30 43.9
7	8.9	2	17.6	32 47.65	8 21 54.1	17 38 24.1
8	8	3	51.0	33 10.93	8 9 11.8	17 23 41.8
9	8	4	34 4.6	34 4.60	8 32 0.2	17 48 30.2
10	8.9	5	23.5	34 3.40	8 33 44.9	17 50 14.9
11	8	3	37.7	34 57.70	8 31 56.7	17 48 26.7
12	8.9	4	16.2	35 15.20	7 50 54.2	17 7 24.2
13	9	7	41.7	35 0.75	7 55 58.9	17 12 28.9
14	9.0	5	35.0	36 13.88	8 41 53.1	17 58 23.1
15	8.9	2	4.0	37 33.27	9 34 11.2	18 50 41.2
16	7	3	56.5	38 15.39	7 44 56.6	17 1 26.6
17	9.0	5	42.6	38 21.59	7 43 10.0	16 59 40.0
18	9.0	5	25.4	39 4.36	7 58 45.8	17 15 15.8
19	8	7	54.0	39 13.88	8 44 15.8	18 0 45.8
20	9	4	41 30.8	41 30.80	8 24 27.9	17 40 57.9
21	8	2	2.3	42 32.37	8 28 18.4	17 44 48.4
22	8	3	12.5	42 32.48	8 31 39.0	17 48 9.0
23	8.9	4	53.6	42 53.60	8 21 2.0	17 37 32.0
24	7.8	1	43 53.9	44 33.90	8 41 15.7	17 57 45.7

Hülftafel zur Reduction auf den mittleren Ort 1850 Januar 0 D = - 18°.

T.	k	k'	d
7 40-28.95	-5	+4	+ 5.8 -0.2 +
50-29.00	-4	+4	+ 5.6 -0.2 +
8 0-29.04	-3	+4	+ 5.4 -0.3 +
10-29.07		+4	+ 5.1

136 Fad. 6. 58.0

143. Grösse 7?

148 Fad. 5. 2.1

156 „ 7. 42.1

158 „ 5. 48.5

159 „ 4. 48.9

Recht gute Luft.

ZONE 279. 1850 Febr. 27. 0

Hülftafel zur Reduction auf den mittleren Ort 1850 Januar 0 D = - 18°.

T.	k	k'	d
9 30-29.29	-2	+5	+ 9.1 -0.1 +
40-29.31	-1	+5	+ 9.0 +0.1 +
50-29.32		+5	+ 9.1

3 Fad. 4. 4.7

5 „ 3. 11.6

8. Die Minute des Microscops muss nach 19002 und Z. 402 N°. 165 sein 7'; damit die Decl. berechnet.

19. Ein Fehler von + 1'' in der Zeit, der diesem Sterne entdeckt und verbessert ist nach dem Zeugnisse der Zonen 273 402 zwischen N°. 11 und 12 entstanden, es sind daher die T der Sterne 12 bis 18 - 1'' corrigirt worden.

24 Fad. 3. 13.5, der 33.50 giebt, ist ausgeschlossen.

Nr.	Gr.	Fad.	Beob. Zeit.	T.	Microsc. I	Südl. Declin.
25	8	3	37.8	9 44' 57.91	9 41' 24.6	18 57' 54.6
26	8.9	4	17.0	45 17.00	9 46 58.7	19 3 28.7
27	9.0	4	3.1	46 3.10	9 12 15.8	18 28 45.8
28	9	6	38.2	46 8.20	8 21 41.6	17 38 11.6
29	8.9	7	56.0	46 15.97	8 17 41.0	17 34 11.0
30	8	4	31.9	47 31.90	8 17 18.9	17 33 48.9
31	9	4	18.2	48 18.20	8 9 7.6	17 25 37.6
32	9	2	38.3	49 8.22	8 7 55.5	17 24 25.5
33	7	6	49 26.4	48 56.54	7 29 24.8	16 45 54.8
34	9	4	4.6	50 4.60	7 28 49.5	16 45 19.5
35	8.9	4	25.4	50 25.40	7 37 42.2	16 54 12.2
36	9.0	5	7.2	50 47.22	7 27 19.0	16 43 49.0
37	8.9	1	52 26.6	53 6.60	8 40 32.3	17 57 2.3
38	9	3	23.1	53 43.00	7 50 30.1	17 7 0.1
39	9	7	9.7	53 29.82	7 38 58.2	16 55 28.2
40	8	2	51.1	55 21.10	8 0 6.4	17 16 36.4
41	9	7	33.6	54 53.52	8 32 50.8	17 49 20.8
42	9	1	54.6	56 34.62	8 29 57.1	17 46 27.1
43	9.0	6	45.5	56 15.58	7 54 9.8	17 10 39.8
44	7.8	1	15.6	57 55.43	7 56 33.9	17 13 3.9
45	8	5	40.8	57 20.75	8 6 18.9	17 22 48.9
46	7.8	6	53.0	57 23.04	8 6 21.1	17 22 51.1
47	9	7	48.1	58 8.09	8 12 35.2	17 29 5.2
48	8.9	3	40.2	10 0 0.27	9 18 20.0	18 34 50.0
49	7.8	3	24.9	0 45.01	9 42 15.4	18 58 45.4
50	9	6	53.3	0 23.05	9 47 58.4	19 4 28.4
51	7.8	3	25.0	1 45.12	9 44 5.5	19 0 35.5
52	8	6	1 59.6	1 29.40	9 33 29.1	18 49 59.1
53	8.9	2	48.5	3 18.64	8 51 23.3	18 7 53.3
54	9	6	31.5	3 1.52	8 15 33.9	17 32 3.9
55	9	3	10.7	4 30.62	7 59 3.9	17 15 33.9
56	8	7	5 15.2	4 35.32	7 37 38.3	16 54 8.3
57	7	4	0.2	6 0.20	9 8 8.2	18 24 38.2
58	9	1	23.9	7 4.10	9 9 34.9	18 26 4.9
59	8	7	2.4	6 22.05	9 40 27.3	18 56 57.3
60	8.9	2	8 23.2	8 53.35	8 55 2.1	18 11 32.1
61	9	5	20.0	8 59.75	9 49 11.5	19 5 41.5
62	7	4	52.4	9 52.40	9 17 15.3	18 33 45.3
63	9	2	24.6	10 54.67	8 26 51.9	17 43 21.9
64	8.9	5	13.0	10 53.01	7 31 7.2	16 47 37.2
65	9.0	7	53.6	11 13.43	8 56 5.2	18 12 35.2
66	8.9	5	13 2.2	12 42.08	8 45 40.9	18 2 10.9
67	9	4	46.4	13 46.40	8 56 7.9	18 12 37.9
68	7.8	4	5.2	14 5.20	9 1 40.7	18 18 10.7
69	7.8	4	15 15.0	15 15.00	8 0 28.8	17 16 58.8
70	9	4	16.3	16 16.30	9 13 53.1	18 30 23.1
71	8	6	34.2	16 4.02	9 24 10.2	18 40 40.2
72	9.0	2	58.7	17 28.94	9 23 12.1	18 39 42.1
73	8.9	4	53.5	17 53.50	9 3 33.3	18 20 3.3
74	9	4	19 3.0	19 3.00	8 24 10.7	17 40 40.7
75	9	6	3.8	19 33.91	7 42 58.6	16 59 28.6
76	9	6	15.4	19 45.51	7 44 49.1	17 1 19.1
77	9	7	24.0	19 44.11	7 39 39.6	16 56 9.6
78	9	7	21 49.2	21 9.01	9 1 10.1	18 17 40.1
79	7	7	33.0	21 52.70	9 29 4.9	18 45 34.9

NC. 9 16' - 2' 1.68
 11 2 - 2 8.07
 Anf. 28 3.09 + 4.2 37.0
 10 1 36.6
 Ende 28 2.78 + 3.9 38.0
 Microsc. I + 1''.21 u. + 1''.59
 Decl. = - (Microsc. I + 9° 16' 30'')
 10'' r+i - 27''.976 $\Delta r + 0''.006$ $\Delta i + 0''.025$

*Hilfstafel zur Reduction auf den mittlern
 Ort 1850 Januar 0 D = - 18°.*

T.	k	k'	d	d'
9 40 - 29.31	-1	+5	+ 9.0	+0.1
50 - 29.32	-1	+5	+ 9.1	+0.1
10 0 - 29.33	-1	+5	+ 9.2	+0.1
10 - 29.34	-1	+5	+ 9.3	+0.1
20 - 29.35		+5	+ 9.4	+13.0

32 Fad. 3. 48.2
 41. Ein Zweifel in der Minute der Declin. wird
 durch eine Beob. 1851 März 14. beseitigt.
 42 Fad. 2. 4.6
 45. 46. dupl. IV. Cl.
 48. dupl. II. Cl. seq.; praec. 8.9^m.
 58 Fad. 2. 34.0

Nº.	Gr.	Fad.	Beob. Zeit.	T.	Microsc. I	Südl. Declin.
80	9	2	6.6	10 23 36.92	9 49 4.1	19 5 34.1
81	9	7	49.4	23 9.24	8 53 46.9	18 10 16.9
82	9.0	6	25 43.2	25 13.22	8 16 13.5	17 32 43.5
83	9	4	28.0	26 28.00	8 14 29.5	17 30 59.5
84	8.9	5	27 25.6	27 5.58	7 47 5.2	17 3 35.2
85	9	5	30.2	27 10.19	7 45 47.0	17 2 17.0
86	9	5	21.7	28 1.63	8 16 42.1	17 33 12.1
87	7	4	51.7	28 51.70	8 31 20.8	17 47 50.8
88	9	3	43.2	30 3.33	9 50 23.4	19 6 53.4
89	9	3	27.2	30 47.27	9 18 19.5	18 34 49.5
90	9	5	10.4	30 50.38	7 46 19.9	17 2 49.9
91	8	6	36.4	31 6.51	7 41 11.8	16 57 41.8
92	8	5	4.0	31 43.98	7 50 8.2	17 6 38.2
93	9	5	39.0	32 19.01	7 32 3.8	16 48 33.8
94	8	6	48.6	32 18.76	7 31 36.9	16 48 6.9
95	9	7	48.0	33 8.16	7 26 15.8	16 42 45.8
96	8	5	36 9.4	35 49.40	7 40 23.0	16 56 53.0
97	8.9	7	29.2	35 49.34	7 30 54.8	16 47 24.8
98	8.9	7	21.0	36 40.86	8 48 36.7	18 5 6.7
99	8	5	37 52.5	37 32.31	9 4 53.2	18 21 23.2
100	9	6	1.6	38 31.38	9 37 53.3	18 54 23.3
101	9	5	23.4	39 3.17	9 38 44.8	18 55 14.8
102	9	7	47.0	39 6.67	9 35 14.8	18 51 44.8
103	7	6	11.0	39 40.77	9 41 51.6	18 58 21.6
104	9	7	32.6	39 52.26	9 39 29.8	18 55 59.8
105	9.0	4	42 20.4	42 20.40	8 27 13.9	17 43 43.9
106	9	4	43 36.0	43 36.00	7 59 36.8	17 16 6.8
107	7	4	14.8	44 14.80	8 16 2.0	17 32 32.0
108	9.0	3	45 28.6	45 48.49	7 42 57.5	16 59 27.5
109	8.9	7	21.0	45 40.92	8 34 12.0	17 50 42.0
110	6	6	9.0	46 38.70	10 3 23.9	19 19 53.9
111	9	4	5.0	48 5.00	7 24 0.5	16 40 30.5
112	9	2	51.2	49 21.37	9 26 54.7	18 43 24.7
113	9	5	6.0	49 45.90	8 35 47.1	17 52 17.1
114	8.9	6	30.0	50 0.00	8 25 15.6	17 41 45.6
115	9	7	51 10.0	50 29.99	8 13 9.2	17 29 39.2
116	8.9	7	51 19.6	50 39.59	8 14 0.1	17 30 30.1
1	9	7	31 3.0	6 30 21.23	4 42 43.5	24 0 23.5
2	9	4	1.2	32 1.20	5 20 36.1	24 38 16.1
3	9	3	34.9	32 55.86	5 32 51.5	24 50 31.5
4	9	5	12.3	32 51.22	5 29 49.0	24 47 29.0
5	9	5	46.0	33 24.92	5 29 56.2	24 47 36.2
6	9	5	18.8	33 57.74	5 22 12.9	24 39 52.9
7	9	3	46.4	35 7.34	5 26 53.4	24 44 33.4
8	9	6	7.3	34 35.82	5 27 21.0	24 45 1.0
9	9	5	45.0	35 23.94	5 23 9.0	24 40 49.0
10	9	6	15.9	35 44.54	4 57 22.2	24 15 2.2
11	9	5	44.6	36 23.64	4 48 45.9	24 6 25.9
12	9	5	1.0	36 40.04	4 48 15.9	24 5 55.9
13	9	3	37.5	37 58.26	4 20 46.5	23 38 26.5
14	9	3	38 14.3	38 34.97	3 46 25.9	23 4 5.9
15	8.9	3	46.5	39 7.34	4 25 25.5	23 43 5.5
16	9	4	53.5	39 53.50	4 44 33.8	24 2 13.8
17	8	3	32.5	40 53.32	4 41 57.9	23 59 37.9
18	9	4	8.7	41 8.70	5 43 15.4	25 0 55.4

*Hülfsstafel zur Reduction auf den mittl.
Ort 1850 Januar 0 D = - 18°.*

T.	k	k'	d
10 20-29.35	0	+5	+ 9.4 + 0.1 +
30-29.35	0	+5	+ 9.5 + 0.2 +
40-29.35	0	+5	+ 9.7 + 0.1 +
50-29.35	+1	+5	+ 9.8 +

93. 94. Die Durchgangszeiten dieser beiden St.
sind zweifelhaft; es ist im Original angem.
dass N°. 93 etwas N°. 94 vorhergeht. I
2 Beobachtungen 1851 März 8. u. 11.
die mittlern Rectascensionen dieser St
für 1850 10^a 31' 47".01 und 50".04.

99 Fad. 6. 2.4
112 " 3. 1.2

Etwas unruhige Luft; die Zone musste w.
Streifwolken geschlossen werden. Hef
Wind schadete der Sicherheit der Beob.
tungen.

ZONE 280. 1850 Febr. 28. 1

NC. 6 2 - 2 2.18
8 12 4.53
Anf. 28 2.08 + 6.9 43.1
6 50 43.0
7 29 40.5
Ende 28 2.14 + 6.1 41.2
Microsc. I + 2".49 u. + 1".25
Decl. = - (Microsc. I + 19° 17' 40")
7 ^a τ + i - 27".935 Δτ + 0".005 Δi + 0'

*Hülfsstafel zur Reduction auf den mittl.
Ort 1850 Januar 0 D = - 24°.*

T.	k	k'	d
6 30-28.57	-6	+4	+ 25.1 + 0.2 +
40-28.63		+4	+ 25.3 +

N ^o .	Gr.	Fad.	Beob. Zeit.	T.	Microsc. I	Südl. Declin.
19	9	4	57.0	6 41 57.00	5 42 31.2	25 0 11.2
20	9	4	34.5	42 34.50	5 6 41.9	24 24 21.9
21	9	3	4.5	43 25.40	5 9 34.6	24 27 14.6
22	9	4	53.4	43 53.40	4 40 47.0	23 58 27.0
23	8	5	14.3	43 53.35	4 41 15.3	23 58 55.3
24	9	6	28.0	43 56.73	4 37 3.9	23 54 43.9
25	7	7	40.9	43 59.16	4 37 12.0	23 54 52.0
26	8.9	7	28.0	44 46.39	4 12 8.9	23 29 48.9
27	7.8	4	55.2	45 55.20	4 20 26.1	23 38 6.1
28	8.9	7	20.2	45 38.59	4 11 7.2	23 28 47.2
29	9	4	47.5	46 47.50	4 8 56.2	23 26 36.2
30	8	6	29.3	46 58.27	3 35 2.5	22 52 42.5
31	8.9	5	56.3	47 35.54	3 30 18.0	22 47 58.0
32	8.9	3	12.4	48 33.07	3 34 46.0	22 52 26.0
33	8	3	48 48.5	49 9.13	3 28 6.5	22 45 46.5
34	8	4	52 11.8	52 11.80	3 23 42.1	22 41 22.1
35	9	6	4.8	52 33.80	3 28 27.2	22 46 7.2
36	8	4	44.6	53 44.60	3 36 59.9	22 54 39.9
37	7	4	12.4	54 12.40	3 31 11.0	22 48 51.0
38	8.9	2	42.5	55 13.58	3 31 30.0	22 49 10.0
39	9	5	6.1	54 45.32	3 37 20.1	22 55 0.1
40	8.9	4	32.9	55 32.90	3 41 47.2	22 59 27.2
41	8.9	4	56.8	55 56.80	3 36 39.8	22 54 19.8
42	7.8	7	32.9	55 51.35	4 0 19.1	23 17 59.1
43	8	7	41.0	55 59.47	3 57 44.8	23 15 24.8
44	7.8	6	51.6	56 20.46	4 0 4.7	23 17 44.7
45	9	7	25.2	56 43.72	3 48 17.3	23 5 57.3
46	8.9	3	3.6	58 24.26	3 43 49.0	23 1 29.0
47	9	4	22.2	58 22.20	3 43 2.9	23 0 42.9
48	9	1	59 0.7	59 42.04	3 42 22.1	23 0 2.1
49	9	4	58.3	59 58.30	5 3 19.6	24 20 59.6
50	8	4	28.0	7 0 28.00	5 10 2.0	24 27 42.0
51	6	3	49.0	1 9.94	5 26 25.9	24 44 5.9
52	9	6	37.0	1 5.43	5 47 48.8	25 5 28.8
53	8	5	2 0.1	1 38.96	5 53 20.3	25 11 0.3
54	8	5	25.8	2 4.68	5 45 35.0	25 3 15.0
55	9	6	3.6	2 32.31	4 43 38.1	24 1 18.1
56	8	7	22.0	2 40.29	4 33 17.9	23 50 57.9
57	7	6	33.9	3 2.63	4 31 14.0	23 48 54.0
58	8	5	16.6	3 55.70	4 24 54.9	23 42 34.9
59	9	5	5 45.5	5 24.66	4 0 58.9	23 18 38.9
60	9	6	35.4	6 4.21	4 17 45.6	23 35 25.6
61	9	6	56.7	6 25.51	4 17 0.5	23 34 40.5
62	9	6	13.5	6 42.30	4 19 32.5	23 37 12.5
63	9	6	43.6	7 12.40	4 19 0.0	23 36 40.0
64	7.8	4	8 13.8	8 13.80	4 8 36.6	23 26 16.6
65	9	4	52.2	8 52.25	4 24 14.1	23 41 54.1
66	9	4	9 44.0	9 44.02	4 9 41.0	23 27 21.0
67	6	4	9 58.6	9 58.60	4 11 42.0	23 29 22.0
68	7.8	4	10 47.9	10 47.90	4 16 40.0	23 34 20.0
69	9	6	32.5	11 1.25	4 32 34.0	23 50 14.0
70	8	6	55.0	11 23.69	4 47 54.8	24 5 34.8
71	5	2	23.0	12 54.45	4 59 58.2	24 17 38.2
72	9	4	59.0	12 59.00	5 5 19.8	24 22 59.8
73	8.9	4	1.4	13 1.40	5 5 42.1	24 23 22.1

*Hülftafel zur Reduction auf den mittlern
Ort 1850 Januar 0 D = - 24°.*

T.	k	k'	d	d'
6 40 - 28.63	-5	+4	+25.3	-0.1 +23.2
50 - 28.68	-6	+4	+25.2	-0.2 +23.2
7 0 - 28.74	-6	+4	+25.0	-0.3 +23.2
10 - 28.80	-5	+4	+24.7	-0.3 +23.2
20 - 28.85		+4	+24.4	+23.3

- 15 Fad. 4. 7.4
 21 „ 4. 25.4
 22. 23. duplex. IV. Cl.
 32 Fad. 4. 33.1
 33. Nach dieser Beob. musste der Schlüssel zur
 Moderirung der Beleuchtung, der in Unbestand
 gekommen war, in Ordnung gebracht werden;
 daher die Pause.
 44 Fad. 7. 2.0
 57 „ 7. 44.3
 59 „ 6. 55.5
 65 „ 5. 13.2
 66 „ 6. 15.2
 71 „ 3. 33.6

Nº.	Gr.	Fad.	Beob. Zeit.	T.	Microsc. I	Südl. Declin.
74	5	7	40.0	7 12 58.00	5 23 36.6	24 41 16.6
75	9	7	46.2	13 4.20	5 23 17.4	24 40 57.4
76	7.8	7	10.4	13 28.40	5 23 34.0	24 41 14.0
77	8.9	6	39.1	14 7.63	5 25 55.2	24 43 35.2
78	9	5	16.5	14 55.46	5 15 54.8	24 33 34.8
79	8	3	16 17.6	16 38.52	5 19 50.1	24 37 30.1
80	9	7	4.4	16 22.66	4 37 43.9	23 55 23.9
81	8.9	4	26.4	17 26.40	4 35 18.7	23 52 58.7
82	9	4	18 22.7	18 22.70	3 47 2.2	23 4 42.2
83	9	4	11.0	19 11.00	4 15 26.8	23 33 6.8
84	9	6	31.0	18 59.62	4 10 46.1	23 28 26.1
85	9	4	1.5	20 1.57	4 6 8.1	23 23 48.1
86	7	4	50.5	20 50.50	4 7 43.9	23 25 23.9
87	8.9	6	7.7	20 36.54	4 9 38.3	23 27 18.3
88	9	4	39.3	21 39.30	4 12 0.5	23 29 40.5
89	8	4	4.0	22 4.00	3 54 8.4	23 11 48.4
90	8.9	4	14.6	22 14.54	3 55 58.2	23 13 38.2
91	9	2	59.7	23 30.87	3 56 5.3	23 13 45.3
92	8	2	24.5	23 55.71	4 5 56.3	23 23 36.3
93	8.9	2	49.7	24 20.87	3 54 7.1	23 11 47.1
94	8	5	28.0	24 7.13	4 12 35.6	23 30 15.6
95	8.9	4	56.0	24 56.00	3 55 40.3	23 13 20.3
96	8.9	5	44.7	25 23.83	4 14 10.8	23 31 50.8
97	9	4	19.6	26 19.60	4 37 32.2	23 55 12.2
98	8.9	6	49.0	26 17.69	4 47 7.9	24 4 47.9
99	8.9	5	11.0	26 50.08	4 58 0.0	24 15 40.0
100	9	5	16.5	26 55.52	4 57 12.8	24 14 52.8
101	5.6	7	27 4.3	27 22.40	5 6 8.3	24 23 48.3
102	8.9	3	29 23.3	29 44.29	5 46 30.6	25 4 10.6
103	8.9	4	56.0	29 56.00	5 43 14.2	25 0 54.2
104	6	3	25.4	30 46.39	5 42 37.5	25 0 17.5
105	8.9	6	54.5	30 22.92	5 50 2.7	25 7 42.7
106	9	5	11.2	30 50.06	5 51 11.7	25 8 51.7
107	8.9	4	49.5	31 49.50	5 49 32.9	25 7 12.9
108	3	3	11.4	32 32.39	5 44 6.9	25 1 46.9
109	8.9	3	5.7	33 26.70	5 48 47.6	25 6 27.6
110	9	2	42.7	34 14.36	5 54 51.3	25 12 31.3
111	8	4	13.5	34 13.45	5 5 25.9	24 23 5.9
112	8.9	4	11.0	35 11.00	4 57 47.8	24 15 27.8
113	9	7	6.0	35 24.29	4 32 2.9	23 49 42.9
114	8.9	5	36.5	36 15.59	4 28 42.3	23 46 22.3
115	8.9	4	17.5	37 17.50	3 34 15.7	22 51 55.7
116	9	5	40.0	37 19.25	3 29 27.9	22 47 7.9
117	8.9	5	45.6	38 24.73	4 14 48.8	23 32 28.8
118	8.9	4	32.5	38 32.50	4 14 20.8	23 32 0.8
119	9	7	21.2	38 39.59	4 12 41.7	23 30 21.7
120	7.8	5	40 21.9	40 0.97	4 36 23.9	23 54 3.9
121	8.9	5	2.4	40 41.49	4 30 1.8	23 47 41.8
122	8	7	34.0	40 52.60	3 33 6.7	22 50 46.7
123	9	4	12.6	42 12.60	4 6 49.3	23 24 29.3
124	9	5	39.4	42 18.55	4 4 41.4	23 22 21.4
125	9	3	4.2	43 24.97	4 8 25.2	23 26 5.2
126	7	3	45.5	44 6.23	4 8 15.4	23 25 55.4
127	8.9	6	14.3	43 43.13	4 13 10.7	23 30 50.7
128	6.7	4	9.4	45 9.40	4 51 38.5	24 9 18.5

Hülftafel zur Reduction auf den mittleren Ort 1850 Januar 0 D = - 24°.

T.	k	k'	d	
u 7 10 - 28.80	-5	+4	+24.7	-0.3 +
20 - 28.85	-5	+4	+24.4	-0.3 +
30 - 28.90	-5	+4	+24.1	-0.2 +
40 - 28.95	-4	+5	+23.9	-0.0 +
50 - 28.99		+5	+23.9	+

84 Fad. 7. 41.00 Fäden 59".84 und 59".

85 " 5. 22.5

90 " 5. 35.3

99 " 7. 32.0

101. Die Zeitminute muss offenbar 28 sein wie die Folge der Zeiten und die bekannte Position des Sterns B. A. C. N°. 2494 z Unter dieser Annahme ist T angesetzt.

111 Fad. 5. 34.4

119. Bei diesem Sterne ward ein Fehler von in Zeit entdeckt, der vielleicht schon festgestellt hat, in welchem Falle der vorhergehenden Sterne um +1" zu rigiren wären. N°. 112 ist nach Ausweis Zone 362 noch richtig.

125 Fad. 4. 25.0

Gr.	Fad.	Beob. Zeit.	T.	Microsc. I	Südl. Declin.
8	4	45.7	7 45 45.70	5 10 15.1	24 27 55.1
8.9	2	8.9	46 40.29	5 15 12.2	24 32 52.2
8.9	4	57.2	46 57.20	5 25 40.9	24 43 20.9
8.9	5	40.8	47 19.71	5 33 20.5	24 51 0.5
9	5	19.8	47 58.69	5 43 25.1	25 1 5.1
8.9	5	49 15.9	48 54.88	5 9 22.7	24 27 2.7
8	5	3.6	49 42.71	4 22 41.9	23 40 21.9
3.9	5	23.3	50 2.40	4 25 40.3	23 43 20.3
3.9	7	40.7	49 59.02	4 27 15.7	23 44 55.7
8	7	13.7	50 32.37	3 19 29.9	22 37 9.9
3.9	2	46.6	52 17.63	3 19 28.8	22 37 8.8
9	4	25.6	52 25.60	3 54 33.5	23 12 13.5
8	2	52.9	53 24.15	4 15 26.1	23 33 6.1
9	5	27.5	53 6.57	4 36 9.8	23 53 49.8
3.9	4	31.4	54 31.40	5 41 10.8	24 58 50.8
7	2	53.0	55 24.61	5 42 36.4	25 0 16.4
7	4	55 31.4	55 31.40	5 15 7.6	24 32 47.6
9	7	25.7	55 44.06	4 17 38.0	23 35 18.0
3.9	2	54.7	57 25.89	4 0 34.8	23 18 14.8
9	6	22.5	56 51.37	4 1 4.8	23 18 44.8
8	4	53.6	57 53.60	4 10 55.7	23 28 35.7
3.9	2	18.4	58 49.57	4 7 56.1	23 25 36.1
8	5	5.4	58 44.46	4 39 18.2	23 56 58.2
3.9	4	41.6	59 41.60	5 30 22.1	24 48 2.1
9	7	8.0	59 25.99	5 26 41.1	24 44 21.1
8	4	37.3	8 0 37.30	5 23 59.2	24 41 39.2
9	3	15.0	1 35.87	4 56 34.0	24 14 14.2
3.9	4	55.5	1 55.50	4 48 9.7	24 5 49.7
9	2	19.9	2 51.28	4 48 39.9	24 6 19.9
3	4	46.0	2 46.00	4 39 56.4	23 57 36.4
3.9	7	27.3	2 45.82	3 49 26.8	23 7 6.8
3.9	6	58.5	3 27.44	3 42 11.6	22 59 51.6
9	5	31.0	4 10.56	3 46 24.0	23 4 4.0
9	5	3.8	4 43.02	3 39 50.7	22 57 30.7
3.9	4	6 21.1	6 21.10	4 26 35.2	23 44 15.2
3.9	6	29 25.0	9 28 53.90	3 53 36.2	23 11 16.2
7	4	12.4	30 12.40	4 16 14.8	23 33 54.3
7	6	49.0	30 17.70	4 44 48.5	24 2 28.5
7	6	16.4	30 44.98	5 20 9.3	24 37 49.3
0	7	34 4.8	33 23.07	4 35 13.8	23 52 53.8
7	7	35 17.3	34 35.70	4 11 3.5	23 28 43.5
7	4	41.0	35 41.00	4 18 14.1	23 35 54.1
7	5	18.5	35 57.77	3 57 26.9	23 15 6.9
7	4	37 53.0	37 53.00	5 0 24.0	24 18 4.0
7	3	38 24.3	38 45.18	5 4 14.8	24 21 54.8
3.9	7	14.6	38 33.21	3 30 43.2	22 48 23.2
7	5	40 32.2	40 11.09	5 41 20.8	24 59 0.8
7	4	14.3	41 14.30	5 19 0.4	24 36 40.4
3.9	3	36.6	41 57.50	5 13 20.4	24 31 0.4
7	4	34.5	42 34.50	4 19 3.8	23 36 43.8
3.9	1	54.0	43 35.61	4 22 47.8	23 40 27.8
3.9	3	28.7	43 49.49	4 30 9.3	23 47 49.3
7	7	39.5	43 57.71	4 45 53.1	24 3 33.1
3.9	2	4.6	45 35.85	4 13 56.2	23 31 36.2
3.9	6	46 7.5	45 36.32	4 13 55.0	23 31 35.0

Hülfsstafel zur Reduction auf den mittlern Ort 1850 Januar 0 D = - 24°.

T.	k	k'	d	d'
7 40-28.95	-4	+5	+23.9	0.0
50-28.99	-5	+5	+23.9	+0.1
8 0-29.04	-4	+5	+24.0	+0.5
10-29.08		+5	+24.5	+23.4

130 Fad. 4. 40.2
150 " 3. 28.8
161 " 6. 42.0 Fäden 10".20 und 10".92

Sehr schöne Luft.

ZONE 281. 1850 Febr. 28. Ost.

NC. 9 15-2 4.17
11 15-2 3.43
Anf. 28 2.20+6.2 40.9
10 22 38.2
Ende 28 2.18+4.5 36.6
Microsc. I + 2".45 u. + 0".67
Decl. = - (Microsc. I + 19° 17' 40")
10" $\tau + i - 27''.920$ $\Delta\tau + 0''.005$ $\Delta i + 0''.027$

Hülfsstafel zur Reduction auf den mittlern Ort 1850 Januar 0 D = - 24°.

T.	k	k'	d	d'
9 30-29.33	-2	+6	+18.5	-0.6
40-29.35	-2	+6	+17.9	-0.7
50-29.37		+6	+17.2	+23.7

4 Fad. 7. 27.0
8 " 7. 39.4

Nº.	Gr.	Fad.	Beob. Zeit.	T.	Microsc. I	Südl. Declin.
21	8	4	7.0	9 47' 7.00	4 6' 56.1	23 24' 36.1
22	8	7	30.8	46 49.35	3 41' 31.0	22 59' 11.0
23	8.9	4	0.0	48 0.00	3 19' 19.1	22 36' 59.1
24	8	4	37.6	48 37.60	3 30' 13.8	22 47' 53.8
25	7.8	3	31.4	49 52.28	5 4' 42.0	24 22' 22.0
26	8	4	17.9	50 17.90	5 19' 50.2	24 37' 30.2
27	9	3	51 22.2	51 42.89	3 50' 45.2	23 8' 25.2
28	7	2	8.9	52 40.08	3 56' 55.0	23 14' 35.0
29	8	5	30.4	52 3.50	4 20' 1.2	23 37' 41.2
30	8.9	4	39.2	53 39.20	4 29' 48.9	23 47' 28.9
31	9	3	46.0	55 7.17	5 23' 55.0	24 41' 35.0
32	8.9	2	37.1	56 8.64	5 27' 3.2	24 44' 43.2
33	7	3	56 56.0	57 16.92	5 18' 1.9	24 35' 41.9
34	8.9	5	51.0	57 29.93	5 27' 2.1	24 44' 42.1
35	7	7	58 36.4	57 54.77	4 16' 19.0	23 33' 59.0
36	8.9	4	13.0	59 13.00	4 9' 19.0	23 26' 59.0
37	9	5	57.4	59 36.58	3 56' 37.1	23 14' 17.1
38	8.9	4	0 26.9	10 0 26.77	3 31' 38.9	22 49' 18.9
39	8.9	5	45.5	1 24.66	4 2' 14.6	23 19' 54.6
40	9	5	46.2	2 25.30	4 26' 56.6	23 44' 36.6
41	9	5	24.0	3 3.15	4 50' 46.0	24 8' 26.0
42	8	3	3.6	4 24.54	5 24' 25.9	24 42' 5.9
43	9	3	40.5	5 1.43	5 20' 44.3	24 38' 24.3
44	9	6	24.9	4 53.48	5 9' 6.8	24 26' 46.8
45	8	2	38.3	6 9.76	5 6' 23.8	24 24' 3.8
46	6	3	7 17.0	7 37.67	3 47' 8.5	23 4' 48.5
47	9	4	14.5	8 14.50	4 32' 49.0	23 50' 29.0
48	8.9	5	58.4	8 37.42	4 57' 8.0	24 14' 48.0
49	9	7	37.0	8 55.03	5 18' 34.9	24 36' 14.9
50	7	2	30.0	11 1.15	3 50' 29.4	23 8' 9.4
51	9	5	9.0	10 48.00	5 2' 19.4	24 19' 59.4
52	9	6	12 17.5	11 46.44	3 41' 32.8	22 59' 12.8
53	9	7	13 35.4	12 53.46	5 14' 38.3	24 32' 18.3
54	9	7	54.5	13 12.58	5 11' 15.1	24 28' 55.1
55	6.7	3	29.4	14 50.36	5 19' 33.8	24 37' 13.8
56	9	5	26.5	15 5.43	5 26' 48.5	24 44' 28.5
57	7.8	7	59.4	15 17.73	4 23' 30.0	23 41' 10.0
58	7	4	25.0	16 25.00	4 17' 14.8	23 34' 54.8
59	8	4	2.3	17 2.30	3 25' 25.8	22 43' 5.8
60	7.8	4	43.7	17 43.70	4 33' 40.8	23 51' 20.8
61	8	4	16.9	18 16.90	4 55' 18.0	24 12' 58.0
62	9	6	45.4	18 13.94	5 21' 51.5	24 39' 31.5
63	9	3	15.8	19 36.74	5 24' 37.8	24 42' 17.8
64	9	4	54.0	19 54.00	5 17' 35.0	24 35' 15.0
65	8	4	44.0	20 44.00	3 43' 59.3	23 1' 39.3
66	9	4	21 14.9	21 14.90	3 49' 15.4	23 6' 55.4
67	9	5	22 26.7	22 5.93	3 42' 36.7	23 0' 16.7
68	9	4	50.4	22 50.40	3 38' 2.6	22 55' 42.6
69	8.9	4	46.0	23 46.00	4 49' 18.4	24 6' 58.4
70	8.9	4	12.5	24 12.74	5 9' 43.5	24 27' 23.5
71	8.9	4	22.0	25 22.00	4 29' 38.8	23 47' 18.8
72	8.9	4	45.0	25 45.00	4 28' 40.1	23 46' 20.1
73	9	4	12.3	26 12.30	4 15' 43.1	23 33' 23.1
74	5	3	1.6	27 22.33	3 41' 11.7	22 58' 51.7
75	9	5	10.5	27 49.74	3 32' 7.9	22 49' 47.9

Hülftafel zur Reduction auf den mittlere Ort 1850 Januar 0 D = -24°.

T.	k	k'	d
9 40' -29.35	-2	+6	+17.9 -0.7
50 -29.37	-1	+6	+17.2 -0.7
10 0 -29.38	-1	+6	+16.5 -0.7
10 -29.39	-1	+6	+15.8 -0.6
20 -29.40	0	+6	+15.2 -0.7
30 -29.40		+6	+14.5

16 Fad. 2. 4.4
 19. 20. derselbe.
 29 Fad. 6. 40.7
 31 " 4. 7.4 Faden 3 giebt 6".94
 38 " 5. 47.6 Fad. 6. 57".6
 41 " 6. 34.6
 55 " 4. 50.4
 70 " 5. 34.0 giebt 12".98
 74 " 4. 22.4

No.	Gr.	Fad.	Beob. Zeit.	T.	Microsc. I	Südl. Declin.
76	8.9	5	44.0	10 28 23.26	3 23 33.8	22 41 13.8
77	9	3	29 24.8	29 45.58	4 30 1.1	23 47 41.1
78	9	7	30 27.1	29 45.40	4 29 59.8	23 47 39.8
79	7	6	26.9	30 55.93	3 19 7.8	22 36 47.8
80	8.9	5	15.1	31 54.19	4 28 4.1	23 45 44.1
81	8.9	5	54.6	32 33.71	4 22 44.1	23 40 24.1
82	9	4	32.2	33 32.20	5 4 12.9	24 21 52.9
83	8.9	3	34 49.0	35 10.00	5 47 13.0	25 4 53.0
84	7.8	5	35.9	35 14.74	5 58 0.5	25 15 40.5
85	8	6	9.4	35 38.12	4 52 49.8	24 10 29.8
86	8.9	4	57.0	36 57.00	5 0 35.8	24 18 15.8
87	7	3	25.8	37 46.49	3 54 42.4	23 12 22.4
88	9	5	38 39.5	38 18.59	4 30 26.6	23 48 6.6
89	7	7	34.2	38 52.35	4 56 52.6	24 14 32.6
90	7.8	5	27.4	40 6.33	5 27 3.5	24 44 43.5
91	9	4	48.3	40 48.30	5 21 9.5	24 38 49.5
92	9	3	33.6	41 54.48	5 4 35.8	24 22 15.8
93	8.9	5	44 20.6	43 59.53	5 26 4.8	24 43 44.8
94	8	6	45 47.2	45 16.01	4 17 10.7	23 34 50.7
95	8.9	5	26.0	46 5.06	4 37 59.7	23 55 39.7
96	8	5	33.3	46 12.34	4 39 53.2	23 57 33.2
97	8	5	19.0	46 58.05	4 43 54.0	24 1 34.0
98	8.9	3	35.9	47 56.72	4 43 18.4	24 0 58.4
99	8	2	48 45.0	49 16.14	3 57 15.2	23 14 55.2
100	8.9	7	50 13.8	49 31.72	5 29 24.6	24 47 4.6
101	8.9	5	51 23.3	51 2.48	3 56 54.7	23 14 34.7
102	7.8	4	47.9	51 47.90	4 6 32.9	23 24 12.9
103	8	7	28.2	51 46.52	4 27 8.0	23 44 48.0
104	8.9	4	8.0	53 7.97	5 26 2.9	24 43 42.9
105	8	5	9.6	53 48.48	5 45 18.5	25 2 58.5
106	7	6	29.5	53 57.98	5 37 5.1	24 54 45.1
107	8.9	2	21.5	55 52.58	3 31 18.4	22 48 58.4
108	8	4	56 7.3	56 7.30	3 53 36.0	23 11 16.0
109	9	6	51.5	56 20.11	5 4 37.3	24 22 17.3
110	8	7	36.7	56 54.65	5 33 28.8	24 51 8.8
111	7.8	2	59 29.7	11 0 0.76	3 27 31.0	22 45 11.0
112	7.8	4	7.6	0 7.60	4 3 3.4	23 20 43.4
113	8	5	1 29.6	1 8.80	3 45 33.9	23 3 13.9
114	8.9	4	2 38.4	2 38.40	5 52 46.9	25 10 26.9
115	7	1	59.7	3 41.74	5 53 2.6	25 10 42.6
116	7	5	3 36.2	3 15.12	5 29 57.9	24 47 37.9
1	7	4	34 26.4	6 34 26.40	11 0 7.1	30 19 57.1
2	8.9	5	35 44.0	35 22.18	9 24 7.5	28 43 57.5
3	8.9	6	24.6	35 51.57	11 10 42.4	30 30 32.4
4	9	3	37 47.7	38 9.55	10 10 14.5	29 30 4.5
5	8	7	27.6	37 43.93	9 46 27.8	29 6 17.8
6	9	4	39 23.6	39 23.60	9 25 50.2	28 45 40.2
7	8	2	0.9	40 33.55	9 20 33.9	28 40 23.9
8	7.8	3	33.5	40 55.33	10 5 8.8	29 24 58.8
9	8.9	4	27.2	41 27.20	11 15 16.9	30 35 6.9
10	8.9	4	55.1	41 55.10	11 28 0.0	30 47 50.0
11	8.9	4	44.0	42 44.00	10 56 43.4	30 16 33.4
12	8	4	30.2	43 30.20	10 15 25.8	29 35 15.8
13	7.8	5	14.5	43 52.66	9 29 28.2	28 49 18.2
14	8	3	3.0	45 25.31	11 46 9.3	31 5 59.3

Hülftafel zur Reduction auf den mittlern Ort 1850 Januar 0 D = - 24°.

T.	k	k'	d	d'
10 30 - 29.40	0	+6	+14.5	-0.7 +23.8
40 - 29.40	0	+6	+13.8	-0.6 +23.9
50 - 29.40	0	+6	+13.2	-0.7 +23.9
11 0 - 29.40	+1	+6	+12.5	-0.6 +24.0
10 - 29.39		+6	+11.9	+24.0

76. Minute des Microscops vielleicht 25', und dann Declination 22 43 13.8.

77. 78. derselbe.

85 Fad.	7.	20.0
96 "	6.	43.6
99 "	3.	55.4
104 "	5.	29.0

Die Luft Anfangs sehr unruhig, ward bald besser und zuletzt sehr gut; doch war das Auge durch die Anstrengung bei der unruhigen Luft nachher sehr ermüdet.

ZONE 282. 1850 März 6. Ost.

Hülftafel zur Reduction auf den mittlern Ort 1850 Januar 0 D = - 30°.

T.	k	k'	d	d'
6 30 - 28.50	-7	+4	+24.5	-0.7 +57.8
40 - 28.57	-7	+4	+23.8	-0.5 +57.9
50 - 28.64		+5	+23.3	+58.0

3 Fad.	7.	36.0
14 "	4.	25.4

Nº.	Gr.	Fad.	Beob. Zeit.	T.	Microsc. I	Südl. Declin.
15	8	6	56.0	6 45 23.22	9 57 24.1	29 17 14.1
16	8	5	32.3	46 10.37	9 52 59.8	29 12 49.8
17	8.9	7	28.4	46 44.73	9 46 12.2	29 6 2.2
18	8.9	7	48.0	47 4.40	9 36 18.1	28 56 8.1
19	8.9	4	48 54.2	48 54.20	11 5 58.5	30 25 48.5
20	7	5	50 12.2	49 50.35	9 31 57.0	28 51 47.0
21	8.9	4	.4	51 51.38	9 58 50.0	29 18 40.0
22	2	3	51.0	53 12.70	9 27 25.4	28 47 15.4
23	7.8	2	7.1	53 39.78	9 26 47.4	28 46 37.4
24	8	2	48.6	54 21.51	10 10 43.8	29 30 33.8
25	8	4	42.5	54 42.50	10 32 56.2	29 52 46.2
26	8.9	6	57.5	54 14.53	10 33 34.1	29 53 24.1
27	8.9	4	37.0	55 37.00	11 1 0.0	30 20 50.0
28	8	5	15.3	55 53.10	11 7 38.8	30 27 28.8
29	9	7	46.2	56 1.96	11 4 44.8	30 24 34.8
30	8.9	3	58 5.2	58 27.22	11 2 50.0	30 22 40.0
31	8.9	4	2.5	59 2.50	11 13 22.3	30 33 12.3
32	8.9	4	0 3.6	7 0 3.60	9 31 51.1	28 51 41.1
33	9	7	38.3	6 59 54.67	9 40 33.8	29 0 23.8
34	8	5	2 7.6	7 1 45.65	9 59 27.7	29 19 17.7
35	8.9	5	48.5	2 26.58	9 52 52.9	29 12 42.9
36	9	5	39.0	3 16.96	10 26 9.2	29 45 59.2
37	8.9	3	4 40.5	5 2.42	10 29 26.9	29 49 16.9
38	8.9	5	33.9	5 11.71	11 5 29.5	30 25 19.5
39	6.7	1	1.8	6 45.88	11 14 36.3	30 34 26.3
40	8.9	4	49.2	6 49.20	10 42 34.2	30 2 24.2
41	9	4	28.5	7 28.50	10 20 27.2	29 40 17.2
42	7.8	4	1.7	8 1.72	9 36 53.8	28 56 43.8
43	8	2	55.2	9 27.87	9 23 35.1	28 43 25.1
44	9	7	29.3	8 45.38	10 21 10.2	29 41 0.2
45	7.8	2	13.0	10 46.17	10 50 50.5	30 10 40.5
46	6	7	45 :	10 1	11 5 55.6	30 25 45.6
47	7	4	38.1	11 38.10	11 17 56.0	30 37 46.0
48	8.9	7	22.5	11 38.15	11 18 35.9	30 38 25.9
49	8.9	4	12 41.9	12 41.90	11 20 12.9	30 40 2.9
50	8	4	13 13.7	13 13.70	11 11 49.5	30 31 39.5
51	7.8	6	14 16.0	13 43.40	9 25 31.9	28 45 21.9
52	9	6	56.5	14 23.90	9 25 23.0	28 45 13.0
53	9	7	35.5	14 51.84	9 44 42.5	29 4 32.5
54	8	2	17 0.0	17 32.67	10 8 42.9	29 28 32.9
55	8	2	45.4	18 18.53	10 50 6.7	30 9 56.7
56	7	4	31.2	18 31.20	10 36 15.3	29 56 5.3
57	8.9	4	53.5	18 53.50	10 31 59.7	29 51 49.7
58	5	7	21 :	18 37	9 41 51.6	29 1 41.6
59	9	7	20 24.3	19 40.69	9 37 34.8	28 57 24.8
60	9	7	20 39.5	19 55.84	9 45 17.1	29 5 7.1
61	8.9	4	21 42.5	21 42.50	10 0 5.7	29 19 55.7
62	8	4	20.4	22 20.40	9 53 12.4	29 13 2.4
63	7	7	56.3	23 12.74	9 29 52.2	28 49 42.2
64	8.9	7	37.5	23 53.29	11 0 31.0	30 20 21.0
65	6	4	22.5	25 22.50	11 19 5.1	30 38 55.1
66	9	7	26 28.5	25 44.30	10 45 47.9	30 5 37.9
67	8.9	4	28 21.4	28 21.40	10 44 21.6	30 4 11.6
68	8	4	19.2	29 19.20	9 46 1.3	29 5 51.3
69	8.9	3	5.4	30 27.16	9 42 41.0	29 2 31.0

NC. 6 1-2 1.73

8 15-2 2.35

Anf. 28 6.10+6.0 44.0

7 1 42.1

7 37 41.0

Ende 28 6.15+5.7 39.6

Microsc. I + 1".97 u. + 0".61

Decl. = - (Microsc. I + 19° 19' 50")

7^a τ+i - 27".950 Δ 0".000 Δi + 0".030

*Hilfstafel zur Reduction auf den mittlern
Ort 1850 Januar 0 D = - 30°.*

T.	k	k'	d	d'
6 40-28.57	-7	+4	+23.8	-0.5
50-28.64	-6	+5	+23.3	-0.5
7 0-28.70	-7	+5	+22.8	-0.3
10-28.77	-6	+5	+22.5	-0.4
20-28.83	-6	+5	+22.1	-0.3
30-28.89		+5	+21.8	

21 Fad. 5. 52' 13".3

30 " 4. 27".2

39 " 2. 12.5

42 " 5. 23.6

45 " 3. 24.2

53. Zeit zweifelhaft.

54 Fad. 3. 10.6 Fäden 32".90 und 32".45

59 " 6. und dann T. 51".62?

65 " 5. 44.7

66. Bei diesem Sterne ward ein Fehler von +1" Zeit entdeckt und verbessert, der nach dem Zeugniß von P. VII. 123 schon bei N°. 63 stattgefunden hat, so dass also die T der Sterne 63—65 um -1" zu corrigiren wären.

N ^o .	Gr.	Fad.	Beob. Zeit.	T.	Microsc. I	Südl. Declin.
70	8	3	30' 18.9	7 30' 40.63	9 36' 8.9	28 55' 58.9
71	9	4	31' 27.2	31 27.20	9 30' 16.9	28 50' 6.9
72	8.9	5	19.0	31 56.80	11 7 40.0	30 27 30.0
73	9	3	1.1	33 23.25	11 28 53.6	30 48 43.6
74	8.9	7	34.7	32 50.14	11 46 42.6	31 6 32.6
75	8	3	15.8	34 37.72	10 30 8.0	29 49 58.0
76	8	3	37.5	34 59.40	10 24 47.8	29 44 37.8
77	8.9	4	2.1	35 2.10	10 22 56.2	29 42 46.2
78	8.9	4	24.2	35 24.20	10 20 28.1	29 40 18.1
79	7.8	4	36 39.8	36 39.80	10 30 45.2	29 50 35.2
80	8	4	52.6	36 52.60	10 33 59.2	29 53 49.2
81	8.9	4	38 42.6	38 42.60	11 31 35.1	30 51 25.1
82	8.9	5	39 5.1	38 42.78	11 38 23.7	30 58 13.7
83	8.9	7	38 :	38 54	10 33 12.1	29 53 2.1
84	8.9	3	46.6	41 8.46	10 12 37.0	29 32 27.0
85	8	3	59.4	41 21.13	10 15 39.2	29 35 29.2
86	8.9	4	8.7	42 8.70	10 51 14.9	30 11 4.9
87	8	2	42 37.3	43 10.52	11 3 21.0	30 23 11.0
88	8	2	23.7	43 56.84	10 51 24.1	30 11 14.1
89	8	6	50.0	43 17.16	10 33 59.6	29 53 49.6
90	8	6	29.7	43 56.62	10 51 22.5	30 11 12.5
91	8.9	6	45 31.5	44 58.76	9 37 21.5	28 57 11.5
92	8.9	5	34.0	46 12.06	9 57 50.9	29 17 40.9
93	9	5	32.5	47 10.38	10 45 55.0	30 5 45.0
94	8.9	5	19.0	47 56.95	10 6 57.9	29 26 47.9
95	9	5	6.6	48 44.69	9 49 47.3	29 9 37.3
96	8	4	49 58.4	49 58.40	10 38 0.6	29 57 50.6
97	6	3	31.0	50 52.93	10 33 48.8	29 53 38.8
98	9	4	30.2	51 30.20	9 31 50.1	28 51 40.1
99	9	6	51 58.5	51 25.75	9 38 47.9	28 58 37.9
100	8.9	5	53 8.8	52 46.98	9 24 47.0	28 44 37.0
101	8	3	57.3	54 19.28	10 40 44.2	30 0 34.2
102	8	4	27.0	54 27.00	10 38 36.2	29 58 26.2
103	8.9	6	20.5	54 47.23	11 27 20.2	30 47 10.2
104	9	5	47.7	55 25.41	11 30 48.0	30 50 38.0
105	8.9	6	56 7.0	55 33.74	11 23 16.6	30 43 6.6
106	8	5	43.5	56 21.22	11 27 53.1	30 47 43.1
107	9	7	39.3	56 55.10	10 59 9.9	30 18 59.9
108	8	5	59 27.7	59 5.70	10 13 20.0	29 33 10.0
109	8.9	5	49.0	59 27.00	10 12 8.8	29 31 58.8
110	9	6	0 39.6	8 0 6.73	10 14 44.2	29 34 34.2
111	9	5	1 50.5	1 28.52	10 8 40.2	29 28 30.2
112	9	7	2 22.5	1 38.28	11 1 45.0	30 21 35.0
113	9	7	2 20.7	1 36.47	11 2 30.8	30 22 20.8
114	9	7	3 44.0	2 59.65	11 18 56.0	30 38 46.0
115	9	5	24.0	4 1.80	11 8 10.6	30 28 0.6
116	8.9	7	54.0	5 10.07	10 23 0.8	29 42 50.8
117	8.9	4	20.0	6 21.08	10 26 37.6	29 46 27.6
118	7	5	7 32.8	7 10.80	10 8 37.4	29 28 27.4
1	7.8	5	29 24.0	9 29 3.36	2 44 6.8	22 1 16.8
2	8	6	31 11.8	30 41.23	1 27 4.0	20 44 14.0
3	8.9	3	38.4	31 58.73	1 24 41.7	20 41 51.7
4	9	4	32.3	32 32.30	3 0 28.9	22 17 38.9
5	8	5	4.5	32 43.80	3 8 10.7	22 25 20.7
6	8.9	2	39.5	34 10.54	3 23 23.6	22 40 33.6

Hülftafel zur Reduction auf den mittlern Ort 1850 Januar 0 D = - 30°.

T.	k	k'	d	d'
7 30' - 28.89	-6	+5	+21.8 - 0.5	+58.2
40 - 28.95	-6	+5	+21.3 - 0.5	+58.2
50 - 29.01	-5	+5	+20.8 - 0.7	+58.3
8 0 - 29.06	-6	+6	+20.1 - 0.8	+58.4
10 - 29.12		+6	+19.3	+58.5

85 Fad. 4. 21.0
 87 " 3. 48.5
 89 " 7. 1.3
 88. 90. derselbe.
 91 Fad. 7. 42.3
 94 " 6. 29.7
 99 " 7. 9.3
 101 " 4. 19.3
 117 " 5. 42.2 vgl. die folgende Note.
 118 " 7. 54.6 Ein Fehler von - 1", der bei Fad. 5 dieses Sterns entdeckt und corrigirt ward, hat nach Zone 275 schon bei N^o. 117 stattgefunden, bei N^o. 116 noch nicht; ich habe daher T des Sterns 117 um 1" vergrößert.

Recht ruhige Luft.

ZONE 283. 1850 März 6. Ost.
 D = - 22°.

T.	k	k'	d	d'
9 30' - 29.17	-2	+5	+12.6 - 0.1	+18.9
40 - 29.19		+5	+12.5	+18.9

N ^o .	Gr.	Fad.	Beob. Zeit.	T.	Microsc. I	Südl. Declin.
7	9.0	6	24.2	9 33' 53.24	2° 48' 13.9	22° 5' 23.9
8	6	5	16.3	34 55.54	3 37 33.0	22 54 43.0
9	8.9	4	46.6	35 46.60	3 44 21.2	23 1 31.2
10	6	6	29.8	35 57.69	3 57 26.0	23 14 36.0
11	9.0	5	4.3	36 42.48	3 55 44.3	23 12 54.3
12	8.9	1	36.5	38 16.80	3 36 4.9	22 53 14.9
13	8	2	3.0	38 33.07	3 30 41.0	22 47 51.0
14	7.8	4	15.3	38 14.30	3 23 20.9	22 40 30.9
15	7.8	7	53.6	38 12.43	2 47 0.3	22 4 10.3
16	8	3	31.9	39 52.41	2 40 50.7	21 58 0.7
17	9.0	5	23.6	40 2.96	2 43 27.9	22 0 37.9
18	8.9	6	41 11.2	40 40.58	1 43 46.8	21 0 56.8
19	8.9	2	2.0	42 32.63	1 27 48.0	20 44 58.0
20	9	2	24.3	42 54.94	1 30 24.0	20 47 34.0
21	9	4	7.8	43 7.80	1 47 55.1	21 5 5.1
22	9	6	27.6	42 56.93	1 56 43.7	21 13 53.7
23	6.7	2	6.6	44 37.56	3 2 2.0	22 19 12.0
24	9	4	48.3	44 48.30	2 58 43.3	22 15 53.3
25	9.0	3	46 8.0	46 28.41	1 57 23.7	21 14 33.7
26	9	5	47 42.6	47 21.99	2 32 30.2	21 49 40.2
27	7	4	48 3.9	48 3.90	2 29 57.0	21 47 7.0
28	8.9	4	37.5	48 37.50	2 20 48.1	21 37 58.1
29	9.0	4	27.3	49 27.30	2 52 48.2	22 9 58.2
30	9	4	17.4	50 17.40	3 40 40.0	22 57 50.0
31	9	3	49.6	51 10.14	2 54 55.2	22 12 5.2
32	8.9	5	52 31.4	52 10.82	2 19 33.5	21 36 43.5
33	8.9	5	52 54.6	52 34.03	2 11 29.8	21 28 39.8
34	9	6	53 41.7	53 11.11	1 33 58.1	20 51 8.1
35	8	4	54 46.4	54 46.40	2 45 50.0	22 3 0.0
36	8.9	6	13.0	54 42.20	3 8 38.0	22 25 48.0
37	7.8	7	58.5	55 16.97	3 58 1.0	23 15 11.0
38	8	7	56 57.0	56 16.03	2 5 51.4	21 23 1.4
39	8	4	47.8	57 47.80	2 33 8.3	21 50 18.3
40	9.0	5	57 38.6	58 17.93	2 55 41.8	22 12 51.8
41	9.0	6	3.4	58 32.51	2 58 41.9	22 15 51.9
42	8	3	49.3	10 0 9.94	3 7 35.1	22 24 45.1
43	9	5	47.6	0 26.84	3 31 43.1	22 48 53.1
44	8	6	30.7	0 59.92	2 28 37.5	21 45 47.5
45	8.9	5	1.7	1 41.12	2 18 28.0	21 35 38.0
46	9	6	28.7	1 57.97	2 27 29.2	21 44 39.2
47	8	7	18.6	2 37.20	3 32 46.2	22 49 56.2
48	9	6	7.4	3 36.36	3 37 49.3	22 54 59.3
49	9.0	7	28.0	3 46.56	3 40 7.5	22 57 17.5
50	8.9	4	18.1	5 18.10	2 36 40.2	21 53 50.2
51	9	6	3.5	5 32.76	2 15 49.6	21 32 59.6
52	8	3	6 58.6	7 19.16	3 3 20.6	22 20 30.6
53	7	4	37.5	7 37.50	3 47 9.0	23 4 19.0
54	8.9	6	8 39.2	8 8.35	2 48 22.3	22 5 32.3
55	8.9	2	35.4	10 6.24	2 27 16.5	21 44 26.5
56	9	4	0.6	10 0.60	2 32 37.9	21 49 47.9
57	9	3	46.5	11 7.00	2 37 35.4	21 54 45.4
58	8.9	2	17.7	11 48.59	2 43 30.1	22 0 40.1
59	7.8	3	55.0	12 15.58	3 8 51.9	22 26 1.9
60	8.9	3	10.2	12 30.77	3 7 48.3	22 24 58.3
61	7.8	3	53.2	13 13.75	2 56 10.8	22 13 20.8

NC. 9' 14" - 2' 1.49

11 11 - 2 3.80

Anf. 28 6.10 + 5.4 41.3

10 18 42.0

Ende 28 6.04 + 5.6 42.2

Microsc. I + 3".04 u. + 1".89

Decl. = - (Microsc. I + 19° 17' 10")

10" $\tau + i - 27''.823$ $\Delta\tau 0''.000$ $\Delta i + 0''$

Hülftafel zur Reduction auf den mittleren Ort 1850 Januar 0 $\Delta = - 22^\circ$.

T.	k	k'	d
9 30' - 29.17	-2	+5	+12.6 -0.1 +
40 - 29.19	-2	+5	+12.5 -0.2 +
50 - 29.21	-2	+5	+12.3 -0.1 +
10 0 - 29.23	-2	+5	+12.2 -0.2 +
10 - 29.25	-2	+5	+12.0 -0.2 +
20 - 29.27		+6	+11.8

7 Fad. 7. 34.3

8 " 6. 26.6

15. Ein Fehler von +1", der bei diesem St. entdeckt und verbessert ward, hat nach Zeugnisse von Zone 281 schon bei den 13 und 10 stattgefunden, während 8 9 nach Z. 358 noch richtig sind; ich daher von den T der Sterne 10 bis 14 1" gezogen.

23 Fad. 3. 17.0 roth.

36 " 7. 23.6

40. Die Zeitminute ist offenbar verlesen, und 58 heissen; unter dieser Annahme ist T rechnet.

42 Fad. 4. 10.0

46 " 7. 39.1

N ^o .	Gr.	Fad.	Beob. Zeit.	T.	Microsc. 1	Südl. Declin.
62	8	4	38.2	10 13 38.20	3 4 3.0	22 21 13.0
63	9	4	41.5	14 41.64	3 6 56.9	22 24 6.9
64	9	5	48.4	15 27.75	2 47 43.6	22 4 53.6
65	9.0	5	17.7	15 57.04	2 51 23.8	22 8 33.8
66	9.0	6	17 7.5	16 36.65	2 47 51.0	22 5 1.0
67	9	7	18 32.8	17 51.72	2 26 11.1	21 43 21.1
68	8	5	16.5	18 55.98	1 54 46.0	21 11 56.0
69	9	5	16.7	19 56.20	1 42 37.7	20 59 47.7
70	8.9	1	34.2	21 14.95	1 41 25.0	20 58 35.0
71	8.9	3	57.7	21 18.06	1 39 33.1	20 56 43.1
72	9	3	38.2	21 58.54	1 29 26.6	20 46 36.6
73	8	4	22.6	22 22.60	2 12 23.0	21 29 33.0
74	7	3	38.7	22 59.14	2 11 57.9	21 29 7.9
75	9	4	27.2	23 27.20	2 13 5.0	21 30 15.0
76	9	5	15.5	23 54.90	2 28 16.1	21 45 26.1
77	9	6	54.7	24 23.91	2 31 7.8	21 48 17.8
78	8	5	26 7.3	25 46.54	3 32 44.9	22 40 54.9
79	5	2	51.0	27 22.18	3 41 15.1	22 58 25.1
80	6.7	1	37.5	28 18.66	3 7 13.1	22 24 23.1
81	9	3	11.2	28 31.79	3 12 39.7	22 29 49.7
82	9	3	58.2	29 18.58	1 46 43.0	21 3 53.0
83	9	4	55.0	29 55.00	2 4 22.3	21 21 32.3
84	9	4	31.0	30 31.00	1 37 13.5	20 54 23.5
85	7	6	31 27.0	30 56.03	3 19 9.9	22 36 19.9
86	9	3	25.9	32 46.41	2 42 43.1	21 59 53.1
87	7	4	59.9	32 59.90	2 28 5.6	21 45 15.6
88	9	4	48.1	33 48.12	1 30 32.3	20 47 42.3
89	8.9	7	48.2	34 7.04	2 44 20.2	22 1 30.2
90	8.9	2	31.7	36 2.62	2 51 6.6	22 8 16.6
91	7	4	10.0	36 10.00	3 28 45.8	22 45 55.8
92	8.9	4	36 48.7	36 48.70	3 3 33.5	22 20 43.5
93	8	4	21.9	37 21.90	2 53 51.8	22 11 1.8
94	9	3	38.0	37 59.30	2 53 11.1	22 10 21.1
95	9	6	35.8	38 5.21	2 28 22.5	21 45 32.5
96	7.8	5	46.2	39 25.50	3 21 33.6	22 38 43.6
97	8.9	4	47.2	40 47.20	2 16 30.4	21 33 40.4
98	9.0	3	15.3	41 35.77	2 24 5.0	21 41 15.0
99	8.9	4	41 55.5	41 55.50	2 20 36.9	21 37 46.9
100	8.9	5	43 5.0	42 44.45	2 5 27.2	21 22 37.2
101	8	4	44 27.2	44 27.20	1 27 3.3	20 44 13.3
102	8	4	55.4	44 55.43	1 59 50.1	21 17 0.1
103	9.0	6	49.2	45 18.44	2 36 49.0	21 53 59.0
104	8.9	4	57.0	46 57.00	3 15 58.3	22 33 8.3
105	8	4	18.8	47 18.80	3 5 49.9	22 22 59.9
106	8.9	3	59.0	48 19.53	2 50 31.6	22 7 41.6
107	8.9	3	16.2	48 36.75	2 57 25.9	22 14 35.9
108	9	5	49 2.4	48 41.70	3 6 33.7	22 23 43.7
109	9	6	38.0	49 7.10	3 18 59.8	22 36 9.8
110	7	5	51 26.5	51 5.97	1 56 19.1	21 13 29.1
111	9	4	11.2	52 11.19	1 52 12.9	21 9 22.9
112	9.0	6	16.4	52 45.74	1 52 43.1	21 9 53.1
113	9	5	54.0	53 33.45	2 7 32.3	21 24 42.3
114	9	4	37.4	54 37.40	3 19 36.6	22 36 46.6
115	9.0	3	4.3	55 24.80	3 18 55.2	22 36 5.2
116	8.9	4	52.5	55 52.50	3 31 19.9	22 48 29.9

Hülftafel zur Reduction auf den mittlern Ort 1850 Januar 0 D = - 22°.

T.	k	k'	d	d'
10 10' - 29.25	-2	+5	+12.0	-0.2 +19.0
20 - 29.27	-1	+6	+11.8	-0.2 +19.0
30 - 29.28	-1	+6	+11.6	-0.3 +19.0
40 - 29.29	0	+6	+11.3	-0.2 +19.0
50 - 29.29	-1	+6	+11.1	-0.3 +19.0
11 0 - 29.30		+6	+10.8	+19.1

63 Fad. 6. 12.7
 79 " 3. 1.6
 88 " 5. 8.6
 94 " 4. 59.3 Faden 3 giebt 58.54; ich habe ihn ausgeschlossen.
 95 Fad. 7. 46.3
 96 " 6. 56.5
 102 " 5. 16.0
 103 " 7. 59.6
 108. Zeitsecunde zweifelhaft.
 109 Fad. 7. 48.5
 111 " 5. 31.7
 115 " 4. 24.7

Nº.	Gr.	Fad.	Beob. Zeit.	T.	Microsc. I	Südl. Declin.
117	9	4	35.3	10 56' 35.30	3 41' 22.8	22° 58' 32.8
118	9.0	5	28.5	57 7.85	2 49 11.1	22 6 21.1
119	8	4	47.5	57 47.50	2 41 31.6	21 58 41.6
120	8.9	4	58 49.4	58 49.40	2 0 33.0	21 17 43.0
121	8	4	59 13.2	59 13.20	2 0 1.7	21 17 11.7
122	9	5	0.0	59 39.53	1 32 59.0	20 50 9.0
123	9	7	37.6	59 56.57	2 16 8.9	21 33 18.9
124	9	5	37.6	11 1 17.00	2 27 25.2	21 44 35.2
125	9	2	14.3	2 45.36	3 27 8.2	22 44 18.2
126	8.9	3	2 52.0	3 12.51	2 44 50.6	22 2 0.6
1	8.9	6	58 47.0	5 58 16.85	9 43 37.5	19 0 27.5
2	9	5	46.5	59 26.10	10 59 52.8	20 16 42.8
3	9	4	0 58.7	6 0 58.70	9 48 12.8	19 5 2.8
4	6	3	18.0	1 38.13	9 52 48.5	19 9 38.5
5	8.9	3	46.5	2 6.67	10 8 26.5	19 25 16.5
6	8.9	5	25.5	2 5.17	10 28 54.1	19 45 44.1
7	9	3	56.0	3 16.33	11 23 1.0	20 39 51.0
8	9.0	4	27.0	3 27.00	11 21 47.1	20 38 37.1
9	8	4	48.4	3 48.40	11 12 12.3	20 29 2.3
10	9	3	16.4	4 36.69	11 5 14.2	20 22 4.2
11	8	4	42.0	4 42.00	11 2 59.5	20 19 49.5
12	9.0	6	14.5	4 44.00	11 5 7.5	20 21 57.5
13	9	7	51.5	5 10.76	11 14 18.3	20 31 8.3
14	9.0	6	21.2	5 50.68	11 11 32.9	20 28 22.9
15	9.0	5	7 26.3	7 6.08	9 32 49.7	18 49 39.7
16	9	5	59.7	7 39.49	9 26 52.0	18 43 42.0
17	9	7	42.0	8 1.50	10 17 41.2	19 34 31.2
18	8	7	57.6	8 17.12	10 12 42.8	19 29 32.8
19	8.9	6	18.8	8 48.44	10 24 10.3	19 41 0.3
20	8.9	4	37.0	9 37.00	10 29 0.9	19 45 50.9
21	8	6	12.9	9 42.45	10 52 56.7	20 9 46.7
22	8.9	4	36.3	10 36.30	10 53 1.0	20 9 51.0
23	8.9	5	1.0	10 40.61	11 18 58.0	20 35 48.0
24	6.7	4	12 13.1	12 13.10	10 38 18.6	19 55 8.6
25	8.9	2	13 30.0	14 0.58	11 11 38.7	20 28 28.7
26	9.0	4	55.5	13 55.50	11 32 16.0	20 49 6.0
27	9	4	38.4	14 38.40	11 20 21.0	20 37 11.0
28	9	4	20.0	15 20.00	11 6 27.5	20 23 17.5
29	9	5	58.0	15 37.63	11 29 4.7	20 45 54.7
30	9	6	37.3	16 6.72	11 29 59.4	20 46 49.4
31	9	4	32.2	17 32.20	11 52 48.3	21 9 38.3
32	8.9	3	55.0	18 15.35	11 35 29.3	22 52 19.3
33	9.0	7	18 36.0	17 55.29	11 7 21.8	22 24 11.8
34	9	6	19 21.7	18 51.21	10 22 1.5	19 38 51.5
35	8.9	4	2.0	20 2.04	9 37 13.3	18 54 3.3
36	9	4	41.6	20 41.60	9 33 15.2	18 50 5.2
37	8.9	4	18.1	21 18.10	9 40 3.6	18 56 53.6
38	9	3	34.2	21 54.32	9 44 12.1	19 1 2.1
39	8	7	14.0	21 33.55	10 5 31.0	19 22 21.0
40	8	6	44.9	22 14.53	10 25 53.9	19 42 43.9
41	9	6	9.6	22 39.25	10 19 32.8	19 36 22.8
42	8.9	4	53.6	23 53.60	10 51 32.9	20 8 22.9
43	9.0	5	35.0	24 14.58	11 8 37.1	20 25 27.1
44	7.8	2	52.9	25 23.49	11 14 59.0	20 31 49.0
45	9	4	32.7	25 32.70	11 21 17.7	20 38 7.7

Hälftafel zur Reduction auf den mittlern Ort 1850 Januar 0 D = - 22°.

T.	k	k'	d	d'
10 50' - 29.29	-1	+6	+11.1	-0.3
11 0 - 29.30	0	+6	+10.8	-0.2
10 - 29.30		+6	+10.6	+19.1

126 Fad. 4. 12.5

Recht ruhige Luft.

ZONE 284. 1850 März 9. Ost.

NC. 5 42 - 2 0.66
7 40 - 2 3.17

Anf. 28 1.71 + 6.7 45.1
6 52 44.6

Ende 28 1.55 + 6.2 44.6

Microsc. I + 2".54 u. + 1".71

Decl. = - (Microsc. I + 9° 16' 50")

7^a τ + i - 27".756 Δ 0".000 Δ i + 0".026

Hälftafel zur Reduction auf den mittlern Ort 1850 Januar 0 D = - 20°.

T.	k	k'	d	d'
6 0' - 28.00	-7	+3	+21.3	+0.2
10 - 28.07	-6	+3	+21.5	+0.1
20 - 28.13	-6	+3	+21.6	+0.2
30 - 28.19		+3	+21.8	+14.8

1 Fad. 7. 57.3

23 " 6. 11.2

29 " 6. 8.3

34 " 7. 31.6

35 " 5. 22.3

N ^o .	Gr.	Fad.	Beob. Zeit.	T.	Microsc. I	Südl. Declin.
46	9.0	5	58.1	6 25' 37.67	11 14' 2.1	20° 30' 52.1
47	9	7	41.2	26 0.55	10 54' 25.0	20 11 15.0
48	8	7	25.1	26 44.52	10 38' 20.9	19 55 10.9
49	7	5	54.1	27 33.73	10 45' 15.8	20 2 5.8
50	9.0	5	37.3	28 17.05	10 45' 16.9	20 2 6.9
51	9.0	5	25.5	29 5.13	10 46' 59.8	20 3 49.8
52	8	6	47.0	29 16.52	11 0' 2.6	20 16 52.6
53	9	2	17.3	30 47.84	10 59' 21.7	20 16 11.7
54	9.0	6	57.4	30 26.91	11 3' 27.4	20 20 17.4
55	9	4	21.6	31 21.60	11 2' 47.6	20 19 37.6
56	9.0	6	42.4	31 11.89	11 10' 0.5	20 26 50.5
57	9.0	4	33 50.0	33 50.00	11 16' 36.3	20 33 26.3
58	9	7	35.5	33 55.13	9 45' 55.9	19 2 45.9
59	8.9	7	51.0	34 10.65	9 41' 24.6	18 58 14.6
60	7	4	30.4	35 30.40	10 54' 11.2	20 11 1.2
61	7	4	57.1	35 57.10	10 49' 57.9	20 6 47.9
62	8.9	4	19.3	36 19.30	10 40' 19.0	19 57 9.0
63	8	3	42.0	37 2.24	10 44' 4.2	20 0 54.2
64	8.9	5	30.2	37 9.79	11 1' 27.9	20 18 17.9
65	9.0	6	45.0	37 14.51	11 3' 9.2	20 19 59.2
66	8.9	3	23.3	38 43.58	11 1' 33.5	20 18 23.5
67	9	6	39 10.2	38 39.72	10 59' 16.5	20 16 6.5
68	9	6	39.9	39 9.41	11 2' 56.1	20 19 46.1
69	9	6	55.7	39 25.22	11 0' 4.1	20 16 54.1
70	8	7	40.0	39 59.23	11 20' 39.8	20 37 29.8
71	8	7	49.6	40 8.84	11 19' 23.9	20 36 13.9
72	9	7	57.5	40 16.74	11 19' 39.9	20 36 29.9
73	8.9	7	16.0	40 35.22	11 22' 43.2	20 39 33.2
74	8.9	7	44.1	41 3.36	11 14' 30.8	20 31 20.8
75	8.9	5	43 11.3	42 50.90	10 59' 9.3	20 15 59.3
76	9	3	33.4	43 53.68	11 1' 11.5	20 18 1.5
77	9	3	11.3	44 31.54	10 54' 47.1	20 11 37.1
78	8.9	3	38.4	44 58.57	10 8' 29.1	19 25 19.1
79	9	3	13.0	45 33.18	10 14' 29.4	19 31 19.4
80	8.9	5	46 11.9	45 51.65	9 48' 53.0	19 5 43.0
81	8.9	2	32.8	47 3.13	9 52' 31.7	19 9 21.7
82	8	2	48.6	47 18.94	9 55' 50.5	19 12 40.5
83	8.9	5	33.9	47 13.61	10 7' 53.5	19 24 43.5
84	9	3	58.6	48 18.78	10 0' 32.3	19 17 22.3
85	7.8	1	9.3	49 49.68	10 17' 54.0	19 34 44.0
86	5	4	35.3	49 35.30	10 40' 26.8	19 57 16.8
87	9.0	4	11.3	50 11.30	10 35' 15.1	19 52 5.1
88	9	3	31.2	50 51.43	10 39' 54.9	19 56 44.9
89	9.0	5	3.5	50 43.14	10 30' 10.2	19 47 0.2
90	8.9	2	51 52.2	52 22.75	11 3' 20.9	20 20 10.9
91	8	4	52 44.6	52 44.60	11 8' 20.2	20 25 10.2
92	8.9	5	28.3	53 7.86	11 18' 54.2	20 35 44.2
93	9	5	0.6	53 40.16	11 18' 45.2	20 35 35.2
94	7.8	3	54 21.3	54 41.60	11 11' 35.2	20 28 25.2
95	7	4	54 35.0	54 35.00	11 9' 26.9	20 26 16.9
96	9	5	35.1	55 14.60	11 5' 9.5	20 21 59.5
97	8	3	12.0	56 32.19	10 16' 57.0	19 33 47.0
98	9	4	2.4	57 2.40	9 49' 27.2	19 6 17.2
99	9	5	57 41.5	57 21.26	9 43' 30.4	19 0 20.4
100	8.9	4	11.4	58 11.40	9 45' 49.1	19 2 39.1

Hülftafel zur Reduction auf den mittleren Ort 1850 Januar 0 D = - 20°.

T.	k	k'	d	
6 20'—28.13	-6	+3	+21.6	+0.2
30—28.19	-6	+3	+21.8	+0.1
40—28.25	-6	+3	+21.9	+0.1
50—28.31	-6	+3	+22.0	+0.1
7 0—28.37		+4	+22.1	+

48. Zeitsecunde zweifelhaft.

50 Fad. 6. 47.6

70—74. Ende eines Sternhaufens.

73. Minute des Microscops 20' und dann der clination 37'?

84 Fad. 4. 18.8

89 " 6. 13.5

94 " 4. 41.6

96 " 6. 45.0

Nº.	Gr.	Fad.	Beob. Zeit.	T.	Microsc. I	Südl. Declin.
101	8.9	4	39.3	6 58' 39.30	9 39' 12.0	18 56' 2.0
102	9.0	4	3.0	59 3.00	9 49' 37.2	19 6' 27.2
103	9	5	52.4	59 32.14	9 54' 46.8	19 11' 36.8
104	9	7	17.9	59 37.44	10 9' 47.6	19 26' 37.6
105	9	4	40.6	7 0' 40.60	10 9' 13.2	19 26' 3.2
106	9	7	10.0	0 29.54	10 8' 51.3	19 25' 41.3
107	9	6	26.6	0 56.27	10 13' 58.9	19 30' 48.9
108	9	3	2.6	2 22.77	10 7' 21.8	19 24' 11.8
109	9	3	32.4	2 52.24	10 0' 15.9	19 17' 5.9
110	9.0	5	2.0	2 41.72	10 2' 10.6	19 19' 0.6
111	8	2	25.0	3 55.36	10 4' 24.8	19 21' 14.8
112	9	3	45.7	4 5.86	10 5' 24.2	19 22' 14.2
113	9	4	5.8	4 5.80	10 14' 37.8	19 31' 27.8
114	8.9	2	28.1	4 58.50	10 17' 9.7	19 33' 59.7
115	9	3	3.5	5 23.70	10 24' 11.8	19 41' 1.8
116	8	2	19.4	5 49.82	10 22' 40.9	19 39' 30.9
117	9	4	54.5	5 54.50	10 39' 41.3	19 56' 31.3
118	9	7	12.4	5 31.80	10 41' 40.8	19 58' 30.8
119	9	7	1.4	6 20.70	11 5' 11.0	20 22' 1.0
120	9	7	9.0	6 28.29	11 7' 22.8	20 24' 12.8
121	8.9	5	29.1	7 8.75	11 3' 21.1	20 20' 11.1
122	9	6	58.3	7 27.78	11 12' 22.9	20 29' 12.9
123	9	5	43.4	8 22.95	11 23' 19.0	20 40' 9.0
124	8.9	4	48.7	8 48.62	11 29' 26.9	20 46' 16.9
125	8.9	5	9 41.2	9 20.74	11 26' 4.3	20 42' 54.3
126	8	5	19.3	9 58.80	11 44' 54.3	21 1' 44.3
127	8.9	5	38.6	10 18.08	11 52' 55.8	21 9' 45.8
128	8.9	2	3.3	11 34.02	11 53' 35.5	21 10' 25.5
129	7.8	1	19.5	12 0.28	11 48' 57.9	21 5' 47.9
130	7	7	46.4	11 5.55	11 38' 40.2	20 55' 30.2
131	8	7	6.0	11 25.14	11 39' 19.1	20 56' 9.1
132	8.9	5	12 41.6	12 21.19	11 3' 31.2	20 20' 21.2
133	8.9	4	8.1	13 8.10	11 7' 1.2	20 23' 51.2
134	7	2	32.9	14 3.47	11 9' 13.2	20 26' 3.2
135	9	3	44.5	14 4.80	11 11' 32.7	20 28' 22.7
136	7	3	14 32.0	14 52.29	11 5' 46.0	20 22' 36.0
137	9.0	4	13.0	15 13.00	11 13' 0.4	20 29' 50.4
138	8.9	4	43.1	15 43.10	10 51' 26.0	20 8' 16.0
139	9	5	0.2	15 39.80	10 58' 28.7	20 15' 18.7
140	7	4	20.6	16 20.60	10 56' 58.9	20 13' 48.9
141	7.8	1	40.4	17 20.87	10 40' 12.5	19 57' 2.5
142	8	1	7.9	17 48.37	10 37' 54.2	19 54' 44.2
143	9	4	34.6	17 34.60	9 59' 55.8	19 16' 45.8
144	7	1	2.4	18 42.56	9 27' 1.2	18 43' 51.2
145	9	4	36.0	18 36.00	9 27' 37.2	18 44' 27.2
146	9	4	56.5	18 56.50	9 54' 15.8	19 11' 5.8
147	7	4	26.8	19 26.80	9 52' 20.0	19 9' 10.0
148	9	3	6.2	20 26.40	10 25' 44.0	19 42' 34.0
149	8.9	1	29.8	21 10.22	10 25' 35.1	19 42' 25.1
150	7.8	3	13.0	21 33.35	11 34' 9.2	20 50' 59.2
151	9	2	35.0	22 5.36	11 37' 26.2	20 54' 16.2
152	9	2	0.0	22 30.35	11 34' 56.1	20 51' 46.1
153	8.9	7	27.3	21 46.73	10 36' 24.9	19 53' 14.9
154	9	4	26 54.0	22 54.00	10 34' 57.2	19 51' 47.2
155	9	4	25.6	23 25.32	10 43' 45.9	20 0' 35.9

Hilfstafel zur Reduction auf den mittlere
Ort 1850 Januar 0 D = -20°.

T.	k	k'	d
7 0' -28.37	-6	+4	+22.1 +0.1 +
10 -28.43	-5	+4	+22.2 +0.1 +
20 -28.48	-6	+4	+22.3 0.0 +
30 -28.54		+4	+22.3 +

121 Fad. 6. 39.3
124 „ 5. 9.0
141 „ 2. 50.4
144 „ 2. 12.3
155 „ 5. 45.4 giebt 25'' 04

N ^o .	Gr.	Fad.	Beob. Zeit.	T.	Microsc. I	Südl. Declin.
156	9	7	11.3	7 23 30.89	9 56 43.8	19 13 33.8
157	7	6	25.5	23 55.10	9 56 42.0	19 13 32.0
158	7	3	2.8	25 22.94	9 55 30.5	19 12 20.5
159	9	2	19.7	25 50.09	9 55 20.9	19 12 10.9
160	8.9	4	3.4	26 3.40	10 57 32.3	20 14 22.3
161	9	2	36.6	27 7.16	11 6 32.9	20 23 22.9
162	8.9	5	4.1	26 43.67	11 12 1.7	20 28 51.7
163	8	6	15.3	26 44.76	11 18 57.0	20 35 47.0
164	8.9	2	11.0	28 41.61	11 23 2.8	20 39 52.8
165	9	5	28 46.4	28 25.95	11 24 17.3	20 41 7.3
166	8.9	6	29 54.4	29 23.94	10 53 41.9	20 10 31.9
167	8.9	7	12.0	29 31.34	10 55 38.6	20 12 28.6
168	8	4	7.1	31 7.10	10 41 21.3	19 58 11.3
169	8	7	34.6	30 53.80	11 26 39.7	20 43 29.7
170	8	1	11.4	32 51.87	10 39 25.1	19 56 15.1
171	9	2	38.3	33 8.78	10 44 18.9	20 1 8.9
172	9	5	10.5	32 50.18	10 26 4.9	19 42 54.9
173	9	4	45.7	33 45.70	10 2 27.9	19 19 17.9
174	6.7	4	34 5.8	34 5.80	10 2 45.9	19 19 35.9
1	8	6	55 51.9	5 55 22.22	6 19 42.1	15 36 2.1
2	8.9	2	33.5	57 3.31	6 46 30.3	16 2 50.3
3	8.9	4	57 49.4	57 49.40	6 24 45.1	15 41 5.1
4	7	4	45.3	58 45.30	7 12 39.0	16 28 59.0
5	9	3	16.7	59 36.59	7 40 55.5	16 57 15.5
6	8	1	45.6	6 0 25.28	7 14 14.6	16 30 34.6
7	7	7	29.5	5 59 50.01	5 39 38.0	14 55 58.0
8	8	4	1 51.1	6 1 51.10	6 36 56.9	15 53 16.9
9	9	5	3 10.4	2 50.53	6 24 51.9	15 41 11.9
10	7.8	5	4 17.5	3 57.69	5 46 9.8	15 2 29.8
11	7.8	3	45.6	5 5.36	6 29 48.3	15 46 8.3
12	9	4	34.5	5 34.50	6 20 21.8	15 36 41.8
13	9.0	7	7.8	5 28.20	6 15 19.8	15 31 39.8
14	9.0	3	29.6	6 49.34	6 11 31.2	15 27 51.2
15	8	4	7.0	7 7.00	6 4 54.3	15 21 14.3
16	9	4	22.7	7 22.70	6 8 58.5	15 25 18.5
17	9	2	5.4	8 35.26	7 6 47.2	16 23 7.2
18	9.0	6	41.0	8 11.03	7 18 51.9	16 35 11.9
19	7	1	14.9	9 54.62	7 18 15.1	16 34 35.1
20	9	3	11.7	10 31.40	5 48 42.6	15 5 2.6
21	6	3	11 9.4	11 29.26	7 29 46.9	16 46 6.9
1	8.9	1	0 59.8	9 1 39.36	6 37 31.6	15 53 51.6
2	9	4	55.6	1 55.60	7 1 15.0	16 17 35.0
3	8	3	15.7	2 35.50	6 53 4.5	16 9 24.5
4	8.9	7	48.0	2 8.17	7 22 50.9	16 39 10.9
5	7	4	39.5	3 39.50	6 59 9.0	16 15 29.0
6	8	4	4.6	4 4.60	7 5 39.0	16 21 59.0
7	9.0	6	35.9	4 6.18	6 35 42.1	15 52 2.1
8	9	3	9.5	5 29.24	6 15 53.1	15 32 13.1
9	9	4	6 7.1	6 7.10	5 49 11.6	15 5 31.6
10	9.0	5	46.7	6 26.88	5 48 6.9	15 4 26.9
11	9	4	20.4	7 20.40	5 51 24.5	15 7 44.5
12	9.0	5	21.0	8 1.22	5 23 13.6	14 39 33.6
13	9	3	39.5	8 59.17	5 27 50.4	14 44 10.4
14	9	5	10 14.0	9 54.13	6 19 3.8	15 35 23.8
15	8.9	4	46.2	10 46.20	6 25 32.6	15 41 52.6

Hülftafel zur Reduction auf den mittlern Ort 1850 Januar 0 D = - 20°.

T.	k	k'	d	d'
7 20-28.48	-6	+4	+22.3	0.0
30-28.54	-5	+4	+22.3	+0.1
40-28.59		+4	+22.4	+14.9

157 Fad. 7. 35.4
159 „ 3. 30.0

Die Luft war sehr durchsichtig, aber gegen das Ende nicht mehr so ruhig, als Anfangs. Das Flackern der Lampe durch den sehr heftigen Wind störte die Beobachtung der kleineren Sterne etwas.

ZONE 285. 1850 März 10. Ost.

NC. 5 42 - 2 0.23
Anf. 28 1.90 + 6.1 41.1 Ende 40.8
Microscop I + 2".33
Decl. = - (Microsc. I + 9° 16' 20")
6^u r+i - 27".753 Δr - 0".003 Δi + 0".024

Hülftafel zur Reduction auf den mittlern Ort 1850 Januar 0 D = - 16°.

T.	k	k'	d	d'
5 50-28.10	-6	+3	+20.3	-0.1
6 0-28.16	-5	+3	+20.2	-0.2
10-28.21	-6	+3	+20.0	+10.3

18 Fad. 7. 50.7
19 „ 3. 34.8

Die Zone wegen Wolken geschlossen; vielleicht auch schon während derselben Dünste; die Sterne sind alle zu schwach geschätzt.

ZONE 286. 1850 März 10. Ost.

NC. 10 13 - 2 1.83
Anf. 28 2.06 + 5.0 37.8
Ende 2.04 + 4.2 37.0
Microsc. I + 1".71
Decl. = - (Microsc. I + 9° 16' 20")
9^u r+i - 27".762 Δr - 0".003 Δi + 0".024

Hülftafel zur Reduction auf den mittlern Ort 1850 Januar 0 D = - 16°.

T.	k	k'	d	d'
9 0-28.90	-3	+4	+15.5	-0.4
10-28.93	-3	+4	+15.1	-0.4
10 Fad. 6. 56".5				

Nº.	Gr.	Fad.	Beob. Zeit.	T.	Microsc. I	Südl. Declin.
16	9.0	4	28.3	9 11' 28.30	7° 6' 11.7	16° 22' 31.7
17	9	4	7.0	12 7.00	7 18 31.5	16 34 51.5
18	8.9	3	18.9	12 38.74	7 17 12.6	16 33 32.6
19	9	4	2.2	13 2.20	7 27 27.0	16 43 47.0
20	9	5	26.3	13 6.31	7 34 1.0	16 50 21.0
21	8.9	4	55.7	13 55.70	7 31 14.8	16 47 34.8
22	9	2	29.0	14 58.60	7 50 17.0	17 6 37.0
23	8.9	2	31.0	15 1.30	7 50 53.0	17 7 13.0
24	9	3	15 40.8	16 0.61	6 59 49.1	16 16 9.1
25	7	4	16 56.4	16 56.40	6 45 28.4	16 1 48.4
26	9	4	17 42.2	17 41.20	6 26 55.7	15 43 15.7
27	8	4	37.2	18 37.20	6 28 37.0	15 44 57.0
28	8.9	5	13.6	18 53.75	6 10 52.1	15 27 12.1
29	9	3	30.7	19 50.41	6 5 31.9	15 21 51.9
30	6.7	3	5.2	20 24.92	6 5 50.9	15 22 10.9
31	9	4	43.1	20 43.10	5 50 35.7	15 6 55.7
32	9.0	5	18.6	20 58.77	5 58 26.8	15 14 46.8
33	9	4	21 59.7	21 59.70	6 35 28.9	15 51 48.9
34	8	5	22 18.5	21 58.79	6 36 8.1	15 52 28.1
35	8.9	4	23 37.5	23 37.50	7 40 50.7	16 57 10.7
36	9	5	27.3	24 7.31	7 34 55.5	16 51 15.5
37	9	3	1.7	25 21.50	6 52 45.1	16 9 5.1
38	9	3	14.8	25 34.55	6 56 58.0	16 13 18.0
39	9	6	5.6	25 35.75	7 27 33.3	16 43 53.3
40	9	5	25.2	26 5.21	7 30 0.4	16 46 20.4
41	9	4	58.4	26 58.40	7 26 15.5	16 42 35.5
42	8	2	30.7	28 0.46	6 26 34.4	15 42 54.4
43	9	3	8.0	28 27.72	6 4 25.3	15 20 45.3
44	9	3	38.6	28 58.33	6 8 33.8	15 24 53.8
45	9	7	21.0	28 41.38	6 20 29.8	15 36 49.8
46	9	7	30 15.3	29 35.49	7 18 39.4	16 34 59.4
47	9	7	30.2	29 50.36	7 26 46.2	16 43 6.2
48	9	2	5.9	31 35.80	7 22 35.1	16 38 55.1
49	8.9	4	34.5	31 34.50	6 46 31.3	16 2 51.3
50	9	6	58.0	31 28.26	6 42 38.9	15 58 58.9
51	9.0	4	55.2	32 55.20	6 24 9.7	15 40 29.7
52	8.9	3	19.6	33 39.35	6 24 9.4	15 40 29.4
53	9	5	54.9	33 35.07	5 57 26.1	15 13 46.1
54	9	6	15.6	33 46.02	5 37 5.6	14 53 25.6
55	8.9	2	46.3	35 15.89	5 29 25.5	14 45 45.5
56	8.9	4	37.5	35 37.50	6 2 51.3	15 19 11.3
57	8	6	7.2	35 37.57	5 58 10.1	15 14 30.1
58	8.9	6	18.6	35 48.98	5 54 51.3	15 11 11.3
59	8	5	59.3	36 39.43	6 22 33.9	15 38 53.9
60	9	4	21.3	37 21.30	6 31 39.8	15 47 59.8
61	9	3	56.8	38 16.57	6 35 52.7	15 52 12.7
62	8.9	5	30.3	38 10.38	6 53 24.3	16 9 44.3
63	8.9	7	49.1	38 9.34	7 3 31.4	16 19 51.4
64	9	7	8.0	38 28.25	7 0 56.2	16 17 16.2
65	7	1	56.6	40 36.28	7 14 40.4	16 31 0.4
66	9	4	40 24.2	40 24.20	6 51 30.2	16 7 50.2
67	9	5	11.2	40 51.28	6 54 23.3	16 10 43.3
68	9	1	30.6	42 10.22	6 54 53.8	16 11 13.8
69	9	4	59.9	41 59.90	6 56 49.5	16 13 9.5
70	8.9	2	26.5	42 56.29	6 40 41.1	15 57 1.1

Hülftafel zur Reduction auf den mittleren Ort 1850 Januar 0 D = - 16°.

T.	k	k'	d
9 10' - 28.93	-3	+4	+15.1 - 0.4 +
20 - 28.96	-3	+4	+14.7 - 0.4 +
30 - 28.99	-3	+4	+14.3 - 0.5 +
40 - 29.02		+5	+13.8 - 0.4 +

22 Fad. 3. 38.6 Fad. 4. 58.7 | Fad. 2 bei b
 23 " 3. 41.4 " 4. 1.3 | Stern. fortge
 26 " 5. 11.4 nur flüchtig beobachtet, un
 nen Zweifel in der Secunde bei Fad. 4
 entscheiden; da nun T aus Fad. 5 41
 folgt, so habe ich Fad. 4 um 1" corrigir
 29 Fad. 4. 50.4
 34 " 6. 28.7 Fäden 58".61 und 58".97
 38 " 4. 34.5
 42 " 3. 40.7 Decl. 14° 42' 54".4 und
 T. 28' 0".34?
 55 Fad. 3. 56.2

Gr.	Fad.	Beob. Zeit.	T.	Microsc. I	Südl. Declin.
8	7	46.6	9 42 6.95	6 28 44.7	15 45 4.7
3.9	7	35.5	42 55.81	6 40 39.3	15 56 59.3
9	3	14.0	44 33.79	6 46 29.9	16 2 49.9
3.9	4	45.3	44 45.30	6 35 22.5	15 51 42.5
7	4	19.0	45 19.00	6 33 44.5	15 50 4.5
3.9	3	41.5	46 1.25	6 24 39.8	15 40 59.8
3.9	4	10.2	46 10.20	5 56 16.6	15 12 36.6
9	4	36.5	46 36.50	5 59 20.1	15 15 40.1
9	5	25.0	47 5.01	7 31 5.0	16 47 25.0
1.0	4	59.4	47 59.40	7 38 22.8	16 54 42.8
7	5	38.7	48 18.84	6 13 10.2	15 29 30.2
9	4	13.5	49 13.50	5 34 6.0	14 50 26.0
8	3	55.5	50 15.21	5 54 51.3	15 11 11.3
9	3	8.9	50 28.61	5 54 15.8	15 10 35.8
9	5	30.5	50 10.67	5 55 40.9	15 12 0.9
1.0	2	52.3	51 21.95	5 58 4.7	15 14 24.7
7	7	37.5	50 57.84	6 32 23.8	15 48 43.8
3	4	52 25.8	52 25.80	6 1 44.8	15 18 4.8
3	4	7.1	53 7.10	6 18 2.8	15 34 22.8
9	5	0.8	53 40.94	6 18 26.1	15 34 46.1
9	4	56.7	54 56.70	7 20 34.2	16 36 54.2
9	4	55 46.3	55 46.30	6 1 36.0	15 17 56.0
3	4	39.0	56 39.00	7 11 20.1	16 27 40.1
9	6	56.6	56 26.71	7 9 4.9	16 25 24.9
1.0	6	35.6	57 5.77	7 17 1.7	16 33 21.7
8	5	15.2	57 55.16	7 56 31.9	17 12 51.9
3	6	58.5	58 28.73	6 57 22.9	16 13 42.9
9	3	41.7	10 0 1.49	6 48 0.1	16 4 20.1
9	5	6.2	9 59 46.30	6 29 54.2	15 46 14.2
3	7	0 28.7	59 49.08	6 20 29.9	15 36 49.9
1.9	7	21.6	10 0 41.96	6 25 46.0	15 42 6.0
7	5	2 9.9	1 50.10	5 36 45.7	14 53 5.7
8	5	43.0	2 23.21	5 29 9.7	14 45 29.7
7	1	34.0	4 13.62	6 55 30.6	16 11 50.6
1.9	4	4 35.2	4 35.20	7 37 39.9	16 53 59.9
1.0	4	31.6	5 31.60	6 4 47.6	15 21 7.6
7	7	28 37.4	6 28 5.47	3 8 42.4	26 13 27.6
8	5	29 57.6	29 36.49	3 38 14.8	25 43 55.2
8	5	23.1	30 1.95	3 26 21.9	25 55 48.1
8	5	2.0	30 40.84	3 21 32.9	26 0 37.1
8	4	28.0	31 28.00	3 28 7.8	25 54 2.2
1.9	5	11.7	31 50.71	4 19 44.7	25 2 25.3
1.9	3	34.6	32 55.69	4 31 10.5	24 50 59.5
9	4	50.9	32 50.90	4 34 8.1	24 48 1.9
9	3	42.3	34 3.69	2 49 11.9	26 32 58.1
1.9	6	10.2	33 38.21	2 55 25.8	26 26 44.2
9	5	42.7	34 21.42	2 42 43.8	26 39 26.2
9	6	25.7	34 53.84	3 11 27.2	26 10 42.8
1.9	3	27.4	36 48.61	3 49 1.2	25 33 8.8
9	3	50.7	37 11.90	3 51 58.4	25 30 11.6
3.9	3	35.0	37 56.29	3 21 12.0	26 0 58.0
3.9	5	56.8	37 35.64	3 22 52.5	25 59 17.5
3.9	7	27.9	37 45.45	3 2 24.9	26 19 45.1
5.7	5	42.7	39 21.31	2 10 0.6	27 12 9.4
9	7	40 10.5	39 27.63	2 15 15.2	27 6 54.8

Halfstafel zur Reduction auf den mittlern Ort 1850 Januar 0 D = - 16°.

T.	k	k'	d	d'
9 40-29.02	-3	+5	+13.8	-0.4
50-29.05	-2	+5	+13.4	-0.5
10 0-29.07	-2	+5	+12.9	-0.5
10-29.09		+5	+12.4	+10.8

86 Fad. 3. 2.2
94 „ 7. 6.4
96 „ 6. 25.0
99 „ 6. 16.0

Sehr schöne Luft; die letzten Minuten wohl schon Dünste; zuletzt ganz bezogen.

ZONE 287. 1850 März 15. West.

NC. 6 14 - 1 50.77
8 13 - 1 52.62
Anf. 28 3.91 + 3.7 34.1
7 25 32.7
Ende 28 3.82 + 2.4 31.9
Microsc. I - 3'' 46 u. - 2'' 31
Decl. = Microsc. I + 29° 22' 10''
7'' r+i - 28''.117 Δr - 0''.003 Δi + 0''.027

D = - 26°.

T.	k	k'	d	d'
6 30-28.45	-7	+3	+23.5	-0.2
40-28.52		+3	+23.3	+30.6

1. Der Faden ist nach dem Zeugniß von Z. 360 No. 48 und LC. No. 2382 der 6^{te} gewesen; hiernach ist T berechnet.

5. Siehe unten! 12 Fad. 7. 36.3

Nº.	Gr.	Fad.	Beob. Zeit.	T.	Microsc. I	Südl. Declin.
20	9	4	8.6	6 41' 8.60	4 20' 44.4	25 1' 25.6
21	8	3	32.5	41 53.71	3 50' 10.7	25 31' 59.3
22	9	5	9.9	41 48.82	3 47' 48.0	25 34' 22.0
23	9	5	45.4	42 24.17	2 59' 31.3	26 22' 38.7
24	8.9	5	43 25.2	43 3.81	2 9' 11.1	27 12' 58.9
25	7	1	51.8	44 34.89	2 12' 17.4	27 9' 52.6
26	8.9	1	17.4	45 0.19	2 24' 41.4	26 57' 28.6
27	9	5	3.6	44 42.33	2 45' 54.3	26 36' 15.7
28	7.8	2	31.0	46 2.91	3 0' 18.6	26 21' 51.4
29	7.8	2	42.8	46 14.72	2 57' 31.9	26 24' 38.1
30	7	1	22.0	47 4.43	3 25' 32.8	25 56' 37.2
31	9	4	52.5	46 52.50	3 58' 42.3	25 23' 27.7
32	9	3	13.3	47 34.48	3 59' 37.0	25 22' 33.0
33	9	4	48 23.5	48 23.50	2 41' 14.8	26 40' 55.2
34	8.9	2	49 26.1	49 58.18	2 25' 13.9	26 56' 56.1
35	8.9	2	44.6	50 16.67	2 25' 41.6	26 56' 28.4
36	7.8	3	34.0	50 55.24	3 38' 44.7	25 43' 25.3
37	8	2	4.6	51 36.31	3 44' 20.8	25 37' 49.2
38	8	5	50.0	51 29.02	4 24' 9.7	24 58' 0.3
39	5	2	24.0	52 55.60	4 8' 46.3	25 13' 23.7
40	9	2	46.2	53 17.71	4 13' 30.1	25 8' 39.9
41	9	5	41.7	53 20.76	4 37' 10.9	24 44' 59.1
42	9	4	17.2	54 17.13	3 29' 18.1	25 52' 51.9
43	7.8	3	48.7	55 9.97	3 28' 38.6	25 53' 31.4
44	6.7	3	12.0	55 33.24	3 37' 17.2	25 44' 52.8
45	9	6	32.4	55 0.59	3 35' 33.8	25 46' 36.2
46	8.9	4	58.4	55 58.40	3 57' 9.0	25 25' 1.0
47	8.9	4	21.4	56 21.40	3 51' 46.8	25 30' 23.2
48	9	4	10.3	57 10.30	3 20' 6.2	26 2' 3.8
49	9	4	43.5	57 43.50	3 28' 10.2	25 53' 59.8
50	9	4	22.7	58 22.70	2 50' 2.5	26 32' 7.5
51	9	6	46.6	58 14.61	2 56' 28.8	26 25' 41.2
52	9	4	18.0	59 18.00	2 58' 37.6	26 23' 32.4
53	9	4	29.4	59 29.40	3 0' 37.7	26 21' 32.3
54	8	7	9.3	59 26.84	2 28' 37.6	26 53' 32.4
55	9	6	40.7	7 0' 8.53	2 17' 58.0	27 4' 12.0
56	9	4	28.1	1 28.10	2 40' 45.7	26 41' 24.3
57	7	6	55.9	1 23.91	2 56' 19.7	26 25' 50.3
58	2	3	24.9	2 46.22	3 12' 19.6	26 9' 50.4
59	8.9	6	2 55.8	2 23.91	3 18' 55.9	26 3' 14.1
60	8	6	37.4	3 5.70	3 58' 44.9	25 23' 25.1
61	8.9	5	4.2	3 43.13	3 52' 1.0	25 30' 9.0
62	9	6	33.5	4 1.82	4 5' 12.2	25 16' 57.8
63	8.9	4	13.1	5 13.10	4 10' 53.5	25 11' 16.5
64	8.9	3	38.2	5 59.37	4 2' 43.7	25 19' 26.3
65	6.7	3	11.4	6 32.64	3 40' 2.6	25 42' 7.4
66	9	5	7 3.1	6 41.90	3 7' 30.3	26 14' 39.7
67	9	3	57.5	8 18.99	2 19' 47.8	27 2' 22.2
68	7	4	2.5	8 2.57	2 15' 58.0	27 6' 12.0
69	6.7	2	.1	9 16.03	2 35' 19.1	26 46' 50.9
70	5	5	33.5	9 12.25	2 51' 2.3	26 31' 7.7
71	8	2	57.6	10 29.56	2 48' 21.2	26 33' 48.8
72	9	5	23.4	10 2.13	2 46' 14.1	26 35' 55.9
73	7	4	6.8	11 6.80	4 27' 47.7	24 54' 22.3
74	8.9	5	58.6	11 37.53	3 51' 12.0	25 30' 58.0

Halftafel zur Reduction auf den mittleren Ort 1850 Januar 0 D = - 26°.

T.	k	k'	d
6 40' - 28.52	-7	+3	+23.0 - 0.3 +
50 - 28.59	-6	+4	+22.7 - 0.3 +
7 0 - 28.65	-7	+4	+22.4 - 0.4 +
10 - 28.72	-6	+4	+22.0 - 0.4 +
20 - 28.78		+4	+21.6 +

26 Fad. 2. 28.1

36. Ein Zweifel von 10' im Microscop wird d eine Beobachtung 1852 März 8. beseitigt

40 Fad. 3. 56.5

42 " 5. 38.2

68 " 5. 24.0

69 " 3. 54.5

Gr.	Fad.	Beob. Zeit.	T.	Microsc. 1	Südl. Declin.
		' "	^u ' "	' "	' "
8	5	28.0	7 12 6.89	3 38 34.8	25 43 35.2
7.8	2	56.0	13 27.62	4 3 58.6	25 18 11.4
9	4	27.0	13 27.00	4 6 51.0	25 15 19.0
8.9	7	45.5	13 3.62	4 40 43.9	24 41 26.1
7	7	14 10.0	13 28.12	4 40 27.0	24 41 43.0
6	4	15 23.4	15 23.40	3 44 53.1	25 37 16.9
9	5	13.0	15 51.85	3 40 17.8	25 41 52.2
9	7	42.5	16 0.30	3 44 27.8	25 37 42.2
7	5	17 23.6	17 2.49	3 38 6.8	25 44 3.2
9	5	11.5	17 50.38	3 34 4.0	25 48 6.0
9	5	48.1	18 26.97	3 32 20.5	25 49 49.5
9	1	15.2	19 57.57	3 35 40.6	25 46 29.4
7	4	55.0	19 55.00	3 2 2.8	26 20 7.2
7	4	27.3	20 27.30	2 52 16.2	26 29 53.8
3.9	4	43.6	20 43.60	2 37 50.2	26 44 19.8
3.9	3	35.0	21 56.42	2 38 40.7	26 43 29.3
8	3	45.9	22 7.33	2 35 36.1	26 46 33.9
8	4	36.5	22 36.50	2 16 26.2	27 5 43.8
9	4	48.5	22 48.50	2 25 44.5	26 56 25.5
9	4	50.5	22 50.50	2 26 40.2	26 55 29.8
9	5	24 29.9	24 8.77	3 31 53.4	25 50 16.6
9	7	24 53.2	24 10.95	3 36 5.0	25 46 5.0
3.9	5	26 42.5	26 21.54	4 31 1.5	24 51 8.5
3.9	4	39.2	27 39.20	2 37 0.9	26 45 9.1
7	2	28 15.1	28 46.85	3 34 16.8	25 47 53.2
3.9	3	40.6	29 1.84	3 39 18.8	25 42 51.2
8	3	3.1	29 24.35	3 34 13.8	25 47 56.2
8	2	18.4	29 50.16	3 32 14.3	25 49 55.7
9	6	3.1	29 31.42	4 3 25.7	25 18 44.3
8	7	26.4	29 44.40	4 17 33.9	25 4 36.1
1.9	5	43.6	30 22.59	4 14 3.5	25 8 6.5
1.9	7	56.5	30 14.45	4 10 38.4	25 11 31.6
7	7	28.4	30 46.42	4 21 26.8	25 0 43.2
1.9	5	10.4	31 49.40	4 14 30.5	25 7 39.5
5	4	32.0	32 32.00	4 19 56.9	25 2 13.1
9	5	41.4	32 20.41	4 19 29.7	25 2 40.3
1.8	3	5.4	33 26.53	4 15 17.1	25 6 52.9
9	5	47.7	33 26.66	4 1 54.0	25 20 16.0
7	4	10.1	34 10.10	3 51 28.8	25 30 41.2
9	3	47.0	35 8.29	3 21 31.8	26 0 38.2
3	6	9.4	34 37.46	3 7 6.7	26 15 3.3
9	6	55.0	35 22.90	2 31 45.9	26 50 24.1
7	5	22.2	36 0.88	2 29 4.1	26 53 5.9
1.8	4	39.6	36 39.60	2 32 8.5	26 50 1.5
1.8	1	10.0	37 52.76	2 32 36.7	26 49 33.3
1.8	2	27.7	37 59.75	2 29 19.6	26 52 50.4
9	1	40.4	38 22.50	2 27 57.5	26 54 12.5
1.9	6	6.4	38 34.60	4 0 13.0	25 21 57.0
9	2	39 50.5	40 22.13	4 2 58.8	25 19 11.2
3	1	27.8	41 9.90	4 21 22.0	25 0 48.0
3	5	3.4	40 42.23	3 20 19.9	26 1 50.1
9	3	42 23.5	42 44.94	2 53 5.5	26 29 4.5
1.9	5	43 14.0	42 52.72	2 41 54.3	26 40 35.7
3	6	26.5	42 54.46	2 44 36.1	26 37 33.9
9	7	18.5	43 36.09	3 8 56.3	26 13 13.7

*Hälftafel zur Reduction auf den mittlern
Ort 1850 Januar 0 D = - 26°.*

T.	k	k'	d	d'
ⁿ ' "			' "	' "
7 10 - 28.72	-6	+4	+22.0	-0.4 +30.7
20 - 28.78	-7	+4	+21.6	-0.4 +30.7
30 - 28.85	-6	+4	+21.2	-0.4 +30.8
40 - 28.91	-6	+4	+20.8	-0.5 +30.8
50 - 28.97		+4	+20.3	+30.8

78. Zeit zweifelhaft.

81 Fad. 6. 23".6

93 " 6. 19.0 giebt 46".87 der 4^{te} Fad. ist
94 " 6. 22.2 giebt 50".07 (bei beiden Ster-
nen als der sicherere bezeichnet, und diese
daher ausgeschlossen, obgleich ich mich zu
erinnern glaube, dass auch an Fad. 5 der
Unterschied 3" war. Vielleicht ist bei 93
statt 48".5 zu lesen 47".5.

121 Fad. 4. 22.5; Fad. 1, der 23".19 giebt, ist
als wahrscheinlich unsicher ausgeschlossen.

122 Fad. 7. 16.6

126 " 4. 44.0; Fad. 3 giebt 44".88; einer
von beiden Fäden ist wahrscheinlich um 1"
verschoben; ich habe angenommen, dass
3 richtig sei.

No.	Gr.	Fad.	Beob. Zeit.	T.	Microsc. I	Südl. Declin.
130	8.9	7	30.5	7 43' 48.09	3° 9' 38.2	26° 12' 31.8
131	8.9	6	6.6	44 34.67	3 10 48.1	26 11 21.9
132	8.9	7	45 48.6	45 6.35	3 35 43.0	25 46 27.0
133	8.9	7	45 46.0	45 3.75	3 37 5.1	25 45 4.9
134	7.8	3	46 48.6	47 9.77	4 2 8.0	25 20 2.0
135	8.9	5	40.5	47 19.54	4 30 41.3	24 51 28.7
136	8.9	3	18.6	48 39.77	4 3 28.3	25 18 41.7
137	9	3	6.5	49 27.69	3 54 18.4	25 27 51.6
138	9	5	44.7	49 23.64	3 54 17.5	25 27 52.5
139	7	6	3.7	49 31.95	3 49 19.9	25 32 50.1
140	8.9	6	33.4	50 1.67	3 55 0.8	25 27 9.2
141	8	5	51 17.0	50 55.85	3 26 38.7	25 55 31.3
142	9	4	55.2	51 55.14	3 34 42.3	25 47 27.7
143	9	5	37.2	52 15.83	3 22 29.8	25 59 40.2
144	9	4	28.3	53 28.30	2 40 33.7	26 41 36.3
145	8	4	51.5	53 51.50	2 34 18.2	26 47 51.8
146	8	4	5.6	54 5.60	2 29 30.7	26 52 39.3
147	8	5	54.5	54 33.31	3 10 57.5	26 11 12.5
148	9	7	10.2	54 27.78	3 8 44.6	26 13 25.4
149	8	1	48.3	56 30.63	3 42 43.9	25 39 26.1
150	9	5	33.0	56 12.02	4 24 54.9	24 57 15.1
151	7	5	4.6	56 43.68	4 44 19.1	24 37 50.9
152	9	5	25.1	57 4.11	4 36 48.8	24 45 21.2
153	6	2	11.6	58 43.19	4 5 1.1	25 17 8.9
154	8.9	4	50.0	58 50.00	3 9 4.2	26 13 5.8
155	8.9	5	30.4	59 9.22	3 16 22.2	26 5 47.8
156	7.8	5	59 57.2	59 35.98	3 1 48.4	26 20 21.6
157	7	2	34.8	8 1 6.85	2 41 0.3	26 41 9.7
158	9	4	35.7	1 35.70	4 0 57.0	25 21 13.0
159	7.8	3	57.4	2 18.58	3 58 48.2	25 23 21.8
160	9	5	2 56.0	2 34.80	3 38 53.0	25 43 17.0
161	8.9	5	39.5	3 18.38	3 34 12.0	25 47 58.0
162	9	5	23.2	4 2.03	3 17 20.9	26 4 49.1
163	8.9	4	33.9	4 33.90	3 16 20.2	26 5 49.8
164	8.9	5	2.5	4 41.26	2 54 26.0	26 27 44.0
165	9	5	33.4	5 12.13	2 47 5.2	26 35 4.8
166	9	7	4.0	5 21.46	2 48 58.5	26 33 11.5
167	8.9	5	6 26.1	6 4.69	2 42 23.8	26 39 46.2
1	7.8	3	30 20.0	9 30 41.32	3 10 47.1	26 11 22.9
2	7.8	7	2.5	30 19.93	2 43 8.0	26 39 2.0
3	8.9	2	48.7	32 20.87	2 3 44.8	27 18 25.2
4	8.9	7	32 53.7	32 11.61	4 3 15.7	25 18 54.3
5	8	2	33 43.8	34 15.64	3 14 4.8	26 8 5.2
6	9	5	39.4	34 18.30	3 34 42.2	25 38 27.8
7	8.9	4	27.1	35 27.10	4 4 43.1	25 17 26.9
8	8.9	6	48.5	35 16.84	4 8 48.3	25 13 21.7
9	9	6	47.1	36 15.02	2 36 45.1	26 45 24.9
10	9	4	22.0	37 22.00	2 26 48.3	26 55 21.7
11	5	4	0.7	38 0.70	2 17 15.7	27 4 54.3
12	7.8	4	35.3	38 35.30	2 25 46.1	26 56 23.9
13	8.9	6	12.7	38 40.65	2 41 36.0	26 40 34.0
14	7.8	2	36.2	40 8.17	2 47 12.4	26 34 57.6
15	9	5	28.7	40 7.49	3 6 18.9	26 15 51.1
16	9	5	28.6	41 7.66	4 40 7.8	24 42 2.2
17	8	7	56.6	41 14.75	4 45 3.0	24 37 7.0

Hülftafel zur Reduction auf den mittl. Ort 1850 Januar 0 D = - 26°.

T.	k	k'	d
7 40'-28.91	-6	+4	+20.8 -0.5 +
50-28.97	-6	+4	+20.3 -0.4 +
8 0-29.03	-5	+5	+19.9 -0.5 +
10-29.08		+5	+19.4

142 Fad. 5. 16.2
143 " 6. 47.5 Fäden 16".04 und 15".
152 " 6. 35.6
153 " 3. 22.0
157 " 3. 45.5
160 " 6. 6.5
167 " 6. 36.6

Die Befürchtung, dass der Stern No. 5 stat
mittlern an dem beweglichen Faden beol
tet sein könnte, wird durch eine Beobac
1852 März 8. beseitigt.

Sehr gute Luft. Anfangs die Dämmerung
etwas stark.

ZONE 288. 1850 März 15. W

NC. 9 15' - 1' 51.43
11 10 - 1 55.51
Anf. 28 3.78 + 1.4 29.3
10 4 27.5
10 38 27.7
Ende 28 3.61 + 0.8 26.3
Microscop I - 2".21
Declin. = Microsc. I - 29° 22' 10"
10" $\tau + i - 28''.125$ $\Delta\tau - 0''.003$ $\Delta i + 0$
- 26°.

T.	k	k'	d
9 30'-29.46	-4	+6	+15.2 -1.4 +
40-29.50	-3	+6	+13.8 -1.1 +

9. Grösse vielleicht 7^m.

Nr.	Gr.	Fad.	Beob. Zeit.	T.	Microsc. I	Südl. Declin.
18	8	5	34.7	9 42' 13.74	4 30' 50.8	24 51' 19.2
19	8.9	3	6.5	43 27.67	4 2 30.8	25 19 39.2
20	8.9	4	40.5	43 40.50	4 11 2.8	25 11 7.2
21	9	5	10.0	43 48.94	3 53 49.1	25 28 20.9
22	9	6	40.7	44 8.94	3 46 43.8	25 35 26.2
23	9	6	0.5	44 28.73	3 43 50.1	25 38 19.9
24	9	3	35.3	45 56.60	3 19 40.3	26 2 29.7
25	9	5	19.0	45 57.83	3 20 5.0	26 2 5.0
26	8	4	46 38.6	46 38.60	3 18 49.3	26 3 20.7
27	7	6	16.7	46 44.66	2 44 15.7	26 37 54.3
28	8	4	50.3	47 50.30	2 4 50.7	27 17 19.3
29	8.9	2	9.6	48 41.92	2 0 15.1	27 21 54.9
30	8	2	49 17.5	49 49.36	3 9 43.0	26 12 27.0
31	8.9	4	50.7	49 50.70	3 1 58.2	26 20 11.8
32	7	4	28.1	50 28.10	3 31 34.6	25 50 35.4
33	8.9	3	50 45.6	51 6.87	3 28 3.0	25 54 7.0
34	9	5	32.6	51 11.45	3 25 45.2	25 56 24.8
35	9	4	52 37.6	52 37.60	3 0 54.2	26 21 15.8
36	7.8	4	31.4	53 31.40	3 41 3.6	25 41 6.4
37	8.9	5	54 37.9	54 16.66	2 55 54.8	26 26 15.2
38	8.9	5	35.6	55 14.45	3 25 2.7	25 57 7.3
39	7.8	6	55.7	55 23.90	3 37 13.1	25 44 56.9
40	8	4	20.5	56 20.50	3 34 48.6	25 47 21.4
41	9	7	53.4	56 11.15	3 36 22.7	25 45 47.3
42	8.9	5	23.3	57 2.14	3 21 43.1	26 0 26.9
43	7.8	6	51.0	57 19.08	3 10 52.8	26 11 17.2
44	9	5	28.4	58 7.05	2 22 9.5	27 0 0.5
45	9	3	44.5	59 5.84	2 23 42.8	26 58 27.2
46	7	5	59 52.6	59 31.34	2 49 16.8	26 32 53.2
47	9	6	35.0	10 0 2.97	2 40 36.5	26 41 33.5
48	8.9	4	8.4	1 8.40	2 57 53.5	26 24 16.5
49	9	4	42.5	1 42.50	3 45 15.9	25 36 54.1
50	9	3	19.6	2 40.72	4 18 14.0	25 3 56.0
51	9	7	57.5	2 15.54	4 24 53.1	24 57 16.9
52	7.8	5	4 45.9	4 24.96	4 39 37.9	24 42 32.1
53	9	5	22.6	5 1.67	4 43 18.9	24 38 51.1
54	9	7	59.2	5 17.04	3 52 42.8	25 29 27.2
55	9	7	49.6	6 7.32	3 31 44.9	25 50 25.1
56	6.7	6	27.0	6 55.05	3 4 41.1	26 17 28.9
57	9	4	6.8	8 6.80	3 4 25.3	26 17 44.7
58	8.9	4	29.1	8 29.10	2 48 18.4	26 33 51.6
59	9	3	0.6	9 22.02	2 40 5.1	26 42 4.9
60	8.9	3	29.6	9 51.07	2 24 32.1	26 57 37.9
61	7	5	5.6	9 44.09	1 30 26.1	27 51 43.9
62	8.9	3	6.5	11 27.94	2 33 59.2	26 48 10.8
63	8.9	4	11 45.4	11 45.40	2 55 30.8	26 26 39.2
64	8	6	28.7	11 56.90	3 36 58.7	25 45 11.3
65	9	2	56.0	13 27.71	3 43 56.5	25 38 13.5
66	9	5	14 23.5	14 2.28	3 3 28.7	26 18 41.3
67	8.9	5	16.6	14 55.53	3 51 24.2	25 30 45.8
68	9	5	57.0	15 35.98	4 7 6.9	25 15 3.1
69	7	1	17.9	17 0.11	4 3 47.6	25 18 22.4
70	9	6	42.5	16 11.24	3 34 50.7	25 47 19.3
71	8	7	3.5	16 21.19	3 26 59.0	25 55 11.0
72	9	5	6.6	17 45.32	2 42 9.0	26 40 1.0

**Hülftafel zur Reduction auf den mittlern
Ort 1850 Januar 0 D = - 26°.**

T.	k	k'	d	d'
9 40' - 29.50	-3	+6	+13.8	-1.1
50 - 29.53	-3	+6	+12.7	-1.1
10 0 - 29.56	-3	+6	+11.6	-0.9
10 - 29.59	-3	+6	+10.7	-0.9
20 - 29.62		+6	+ 9.8	

29 Fad. 3. 20.5
 45 „ 4. 5.7
 47 „ 7. 45.6
 61 „ 6. 16.5
 70 „ 7. 53.5 Fad. 6, der 10'' 69 giebt, aus-
 geschlossen.

Nº.	Gr.	Fad.	Beob. Zeit.	T.	Microsc. I	Südl. Declin.
				^u 10 18 16.50	^o 2 51 10.9	26° 30' 59.1
73	8.9	4	16.5	18 34.74	3 46 0.3	25 36 9.7
74	7	6	6.5	18 51.72	3 31 44.6	25 50 25.4
75	8	7	34.0	21 38.44	4 19 6.8	25 3 3.2
76	8	1	20 56.5	22 9.00	2 46 50.1	26 35 19.9
77	8.9	4	22 9.0	22 41.70	3 15 57.6	26 6 12.4
78	8.9	4	41.7	23 28.62	4 10 2.3	25 12 7.7
79	9	3	7.5	24 21.27	4 2 12.1	25 19 57.9
80	8	3	0.1	24 38.40	4 8 27.2	25 13 42.8
81	8.9	4	38.4	25 44.87	3 7 12.8	26 14 57.2
82	9	2	25 13.0	26 18.06	3 31 38.0	25 50 32.0
83	7	3	56.8	26 56.22	3 41 5.8	25 41 4.2
84	9	2	24.5	26 30.07	4 32 35.0	24 49 35.0
85	9	7	12.0	26 36.71	4 38 0.7	24 44 9.3
86	9	7	18.6	28 36.87	4 40 15.0	24 41 55.0
87	9	2	5.4	28 28.01	3 45 30.0	25 36 40.0
88	7.8	5	49.1	29 30.20	3 28 14.2	25 53 55.8
89	6.7	4	30.2	29 51.50	3 24 34.3	25 57 35.7
90	8	4	51.5	30 41.40	2 44 4.0	26 38 6.0
91	5	3	20.0	30 10.04	2 29 32.8	26 52 37.2
92	7	7	52.7	31 4.20	2 5 0.6	27 17 9.4
93	8	5	25.6	31 54.67	2 2 34.9	27 19 35.1
94	9	7	32 37.5	32 50.21	2 12 11.0	27 9 59.0
95	8.9	5	33 11.5	34 11.17	3 21 49.0	26 0 21.0
96	8	4	11.2	35 15.00	4 5 59.8	25 16 10.2
97	7.8	4	15.0	35 10.27	4 16 50.1	25 5 19.9
98	8.9	6	41.9	36 31.24	4 16 51.0	25 5 19.0
99	8	2	35 59.7	37 26.55	4 45 57.1	24 36 12.9
100	8.9	2	55.0	39 39.20	3 25 44.8	25 56 25.2
101	7	1	38 56.9	40 7.32	3 45 24.9	25 36 45.1
102	7.8	3	46.1	40 5.07	4 6 7.9	25 16 2.1
103	6.7	5	26.1	41 27.62	3 45 31.0	25 36 39.0
104	8	3	6.4	42 36.02	3 20 37.2	26 1 32.8
105	7	2	4.2	42 20.63	2 14 50.3	27 7 19.7
106	7	5	42.0	43 59.77	4 37 57.1	24 44 12.9
107	8	3	43 38.7	44 52.72	3 15 54.0	26 6 16.0
108	8	3	31.4	45 21.60	2 35 38.1	26 46 31.9
109	8	4	21.6	46 13.90	2 46 42.1	26 35 27.9
110	8.9	3	52.5	46 1.49	3 34 55.8	25 47 14.2
111	8.9	6	33.3	47 17.30	3 25 4.2	25 57 5.8
112	7	4	17.3	47 57.19	3 21 25.2	26 0 44.8
113	7.8	3	35.9	48 33.80	3 5 21.8	26 16 48.2
114	9	4	33.8	48 46.40	3 11 18.2	26 10 51.8
115	7	4	46.4	48 56.15	3 48 46.6	25 33 23.4
116	8.9	6	27.9	49 59.50	3 49 10.8	25 32 59.2
117	8.9	4	59.5	50 0.74	3 54 59.1	25 27 10.9
118	9	5	21.8	51 59.83	2 36 57.0	26 45 13.0
119	9	3	51 38.4	52 48.29	2 41 31.0	26 40 39.0
120	8.9	2	16.3	53 20.23	2 53 33.0	26 28 37.0
121	8	1	37.6	52 40.39	3 24 6.1	25 58 3.9
122	8	6	12.2	53 20.54	4 8 5.8	25 14 4.2
123	9	7	2.6	53 49.20	4 18 42.5	25 3 27.5
124	8	7	31.2	53 58.55	4 26 57.0	24 55 13.0
125	7	7	40.5	55 38.60	3 20 49.9	26 1 20.1
126	6	4	38.6	56 32.82	2 39 39.0	26 42 31.0
127	8	3	11.4			

Hülftafel zur Reduction auf den mittleren Ort 1850 Januar 0 D = -26°.

T.	k	k'	d
^u 10 10-29.59	-3	+6	+10.7
20-29.62	-2	+6	+9.8
30-29.64	-2	+6	+8.8
40-29.66	-2	+6	+7.8
50-29.68	-1	+6	+6.6
11 0-29.69		+6	+5.3

76	Fad. 2.	6.7	Fäden 38".62 und 38".2
79	"	4.	28.6
95	"	6.	22.5
96	"	5.	32.3
99	"	3.	10.1
100	"	3.	5.6
101	"	3.	17.8

Nr.	Gr.	Fad.	Beob. Zeit.	T.	Microsc. I	Südl. Declin.
28	9	5	0.7	10 56' 39.36	2 25' 26.9	26 56' 43.1
29	9	6	27.9	56 55.77	2 25' 40.5	26 56' 29.5
0	9	4	9.4	58 9.40	2 40' 52.0	26 41' 18.0
1	5	4	36.4	58 36.40	2 53' 10.8	26 28' 59.2
2	6.7	3	50.0	59 11.39	2 53' 33.7	26 28' 36.3
3	9	5	39.4	11 0 18.21	3 12' 48.2	26 9' 21.8
4	9	5	0.5	0 39.31	3 13' 6.7	26 9' 3.3
5	8.9	4	27.4	1 27.40	3 3' 30.9	26 18' 39.1
6	5	5	20.0	1 58.60	2 6' 26.5	27 15' 43.5
7	8.9	5	2 59.7	2 38.77	4 11' 17.5	25 10' 52.5
8	7	7	55 0.2	6 54' 17.02	1 10' 54.0	28 12' 6.0
9	7	5	37.0	55 15.40	1 5' 51.8	28 17' 8.2
10	8.9	2	19.0	56 51.54	1 18' 30.8	28 4' 29.2
11	9	5	13.8	56 52.23	1 14' 4.7	28 8' 55.3
12	9	3	45.4	58 7.20	0 45' 33.4	28 37' 26.6
13	9	2	25.3	58 57.88	0 42' 12.9	28 40' 47.1
14	9	5	8.1	58 45.38	0 29' 54.1	28 53' 5.9
15	8.9	2	32.4	7 0 4.03	0 32' 12.2	28 50' 47.8
16	9	4	55.4	6 59 54.58	0 23' 31.1	28 59' 28.9
17	8.9	7	53 :	7 0 9	2 17' 59.1	27 5' 0.9
18	9	5	40.8	1 18.42	3 11' 55.2	27 11' 4.8
19	9	7	2 10.5	1 27.91	2 40' 48.6	26 42' 11.4
20	8	7	4 3.4	3 20.60	2 7' 0.4	27 15' 59.6
21	7	3	24.9	4 46.43	2 7' 16.9	27 15' 43.1
22	9	5	48.4	4 26.99	2 2' 23.8	27 20' 36.2
23	8.9	7	10.3	4 27.43	1 56' 22.9	27 26' 37.1
24	7	3	33.2	5 54.77	1 53' 12.5	27 29' 47.5
25	8.9	6	6.2	5 33.90	1 50' 59.6	27 32' 0.4
26	9	2	34.5	7 6.75	1 49' 4.4	27 33' 55.6
27	8.9	4	43.7	6 43.70	1 45' 30.2	27 37' 29.8
28	7	6	25.0	6 50.78	2 8' 44.1	27 14' 15.9
29	6.7	4	2.4	8 2.40	2 15' 58.7	27 7' 1.3
30	9	5	40.2	8 18.84	2 19' 45.5	27 3' 14.5
31	8	6	9 15.6	8 43.32	1 54' 11.6	27 28' 48.4
32	8	4	49.2	9 49.20	1 16' 15.4	28 6' 44.6
33	6	4	11 2.8	11 2.80	1 45' 16.3	27 37' 43.7
34	9	6	22.3	10 50.05	1 52' 28.9	27 30' 31.1
35	8.9	7	55.6	11 12.68	1 49' 18.5	27 33' 41.5
36	8	3	13 21.6	13 43.46	0 38' 30.1	28 44' 29.9
37	8.9	5	44.0	14 22.57	1 55' 43.9	27 27' 16.1
38	8.9	4	24.8	15 24.80	1 30' 11.0	27 52' 49.0
39	7	4	57.2	15 57.20	1 27' 51.0	27 55' 9.0
40	9	4	16 40.2	16 40.20	1 21' 20.1	28 1' 39.9
41	8.9	4	8.2	17 8.20	1 4' 37.9	28 18' 22.1
42	3	3	16.5	18 38.38	0 22' 12.0	29 0' 48.0
43	8.9	4	25.5	18 25.50	0 22' 59.2	29 0' 0.8
44	8.9	7	21.8	18 38.48	0 50' 29.8	28 32' 30.2
45	8.9	4	56 25.0	7 56' 25.00	3 18' 37.4	26 3' 32.6
46	9	5	48.4	56 27.24	3 23' 26.2	25 58' 43.8
47	7	2	46.7	58 18.66	2 48' 36.2	26 33' 33.8
48	8	7	58 16.2	57 33.55	2 30' 45.8	26 51' 24.2
49	7	6	59 16.5	58 44.82	4 4' 51.3	25 17' 18.7
50	9	4	56.1	59 56.10	4 1' 9.1	25 21' 0.9
51	7	2	36.4	8 1' 8.35	2 40' 48.9	26 41' 21.1
52	9	3	50.1	1 11.51	2 41' 48.2	26 40' 21.8

T. k k' d d'

u

10 50'-29.68 -1 +6 + 6.6 -1.3 +31.5

11 0-29.69 -1 +6 + 5.3 -1.5 +31.5

10-29.70 +6 + 3.8 +31.5

132 Fad. 4. 11.4
137 „ 6. 10.5
Recht gute Luft.

ZONE 289. 1850 März 17. West.

u

NC. 6 47'-1' 47.22

Anf. 28 2.45 - 0.8 23.9 Ende 23.0

Microsc. I - 3''.22

Decl. = Microsc. I - 29° 23' 0''

7^a r+i - 28''.106 Δr - 0''.002 Δi + 0''.022

Hilfstafel zur Reduction auf den mittlern Ort 1850 Januar 0 D = - 28°.

T. k k' d d'

u

6 50'-28.54 -7 +3 +26.9 -0.5 +42.0

7 0-28.61 -7 +3 +26.4 -0.4 +42.0

10-28.68 -7 +3 +26.0 -0.4 +42.0

20-28.75 +4 +25.6 +42.1

3 Fad. 3. 30''.0
7-11. Ein Fehler von +1'', der bei No. 12 entdeckt und corrigirt ward, hat nach dem Zeug- niss der Zone 349 und zum Theil auch 282 schon hier stattgefunden, wesshalb die T die- ser Sterne um -1'' geändert und vielleicht noch frühere um dieselbe Quantität zu corri- giren sind.
9 Fad. 5. 17''.5 giebt 55''.75
22. Bei diesem Sterne ward ein Fehler von +2'' entdeckt und corrigirt, der nach einer Beob- achtung 1852 März 7. schon bei No. 21 statt- gefunden hatte, wesshalb auch dessen T um -2'' geändert ward. No. 20 ist nach Z. 349 noch richtig.
27 Fad. 7. 33.0
29 „ 4. 43.5
Luft gut, aber zuletzt Wolken.

ZONE 290. 1850 März 29. West.

D = - 26°.

T. k k' d d'

u

7 50'-30.32 -7 +3 +30.6 -0.5 +30.5

8 0-30.39 -6 +3 +30.1 -0.6 +30.5

5 Fad. 7. 26''.9
7 „ 4. 8.3

No.	Gr.	Fad.	Beob. Zeit.	T.	Microsc. I	Satl. Declia.	
9	8.9	4	1' 56.0	8 1' 56.00	3 24' 57.1	25 57' 12.9	NC. 7 49' - 1' 48.48
10	9	7	2 16.0	1 33.68	3 24 20.8	25 57 49.2	9 41 - 1 50.44
11	9	3	58.8	3 20.05	3 33 58.3	25 48 11.7	Anf. 28 2.46 + 3.5 33.3
12	9	7	18.7	2 36.46	3 38 42.9	25 43 27.1	8 47 32.2
13	8	5	4 24.3	4 3.24	3 56 54.9	25 25 15.1	Ende 28 2.39 + 2.1 30.9
14	9	6	1.4	4 29.75	4 11 43.1	25 10 26.9	Microsc. I - 2''.55
15	9	4	53.1	5 53.10	4 6 11.3	25 15 58.7	Decl. = Microsc. I - 29° 22' 10''
16	9	6	38.0	6 5.95	2 42 13.5	26 39 56.5	9° $\tau + i$ - 29''.747 $\Delta \tau$ 0''.000 Δi + 0''.015
17	8.9	5	8 7.5	7 46.39	3 39 0.2	25 43 9.8	
18	8	4	50.8	8 50.80	3 48 46.1	25 33 23.9	
19	8.9	3	14.6	9 35.84	3 40 1.2	25 42 8.8	
20	9	6	40.3	9 8.52	3 41 58.8	25 40 11.2	
21	9	6	18.3	9 46.55	3 50 40.1	25 31 29.9	
22	9	4	7.5	11 7.50	4 28 25.2	24 53 44.8	
23	9	6	32.7	11 1.16	4 37 48.0	24 44 22.0	
24	8.9	4	12 2.4	12 2.40	4 27 31.5	24 54 38.5	
25	9	6	21.8	11 50.22	4 26 50.8	24 55 19.2	
26	9	7	12 36 :	11 54	4 30 4.8	24 52 5.2	
27	9	4	27.0	13 27.00	4 35 16.2	24 46 53.8	
28	7.8	4	48.4	13 48.40	4 24 5.4	24 58 4.6	
29	8.9	5	30.4	14 9.41	4 20 33.0	25 1 37.0	
30	9	7	58.0	14 15.97	4 13 38.6	25 8 31.4	
31	8	4	28.8	15 28.80	4 23 20.7	24 58 49.3	
32	8.9	2	3.5	16 35.02	4 26 27.9	24 55 42.1	
33	8.9	5	16 40.2	16 19.19	4 12 9.7	25 10 0.3	
34	6.7	5	21.3	17 0.16	3 29 27.1	25 52 42.9	
35	9	4	2.7	18 2.70	3 26 23.9	25 55 46.1	
36	8	1	31.0	19 13.65	2 51 8.2	26 31 1.8	
37	9	7	22.9	18 40.69	3 43 13.0	25 38 57.0	
38	9	6	19 53.5	19 21.68	3 32 48.3	25 49 21.7	
39	9	6	20 36.7	20 4.84	3 24 51.5	25 57 18.5	
40	9	4	20.2	21 20.20	3 26 34.0	25 55 36.0	
41	9	5	51.9	21 30.73	3 18 38.7	26 3 31.3	
42	6.7	5	23.2	22 2.10	3 43 15.1	25 38 54.9	
43	8.9	4	4.5	23 4.50	4 17 14.1	25 4 55.9	
44	9	5	20.0	22 59.02	4 22 52.6	24 59 17.4	
45	8.9	2	55.0	24 26.46	4 41 6.1	24 41 3.9	
46	9	4	29.6	24 29.60	4 32 20.7	24 49 49.3	
47	9	4	49.0	24 49.00	4 31 16.9	24 50 53.1	
48	9	5	10.5	24 49.52	4 25 25.8	24 56 44.2	
49	9	4	44.6	25 44.60	4 21 33.3	25 0 36.7	
50	8	6	5.5	25 33.85	4 10 44.0	25 11 26.0	
51	8.9	6	17.5	25 45.86	4 15 8.0	25 7 2.0	
52	9	7	48.5	26 6.45	4 10 8.1	25 12 1.9	
53	8	2	12.1	27 43.71	4 7 26.2	25 14 43.8	
54	9	6	55.6	27 23.82	3 40 58.4	25 41 11.6	
55	8.9	3	37.9	28 59.19	3 22 43.9	25 59 26.1	
56	6	2	29 5.9	29 37.80	3 2 6.8	26 20 3.2	
57	6.7	1	30 28.2	31 10.61	3 27 58.7	25 54 11.3	
58	9	4	31 36.2	31 36.20	3 35 14.3	25 46 55.7	
59	5.6	4	58.5	31 58.50	3 37 43.3	25 44 26.7	
60	9	4	32 6.7	32 6.70	3 40 38.2	25 41 31.8	
61	8	7	33 8.2	32 25.89	3 27 4.9	25 55 5.1	
62	9	3	51.1	34 12.44	3 6 39.5	26 15 30.5	
63	8.9	4	35.6	34 35.60	2 38 17.1	26 43 52.9	

*Halftafel zur Reduction auf den mittlern
Ort 1850 Januar 0 D = - 26°.*

T.	k	k'	d	d'
8 0' - 30.39	-6	+3	+30.1	-0.6
10 - 30.45	-6	+3	+29.5	-0.6
20 - 30.51	-7	+3	+28.9	-0.6
30 - 30.58	-6	+3	+28.3	-0.6
40 - 30.64		+3	+27.7	+30.6

34 Fad. 6. 32''.0

Gr.	Fad.	Beob. Zeit.	T.	Microsc. I	Südl. Declin.
			^u		
3.9	4	45.9	8 34' 45.90	2 31' 9.9	26 51' 0.1
3.9	4	22.8	35 22.80	2 27' 27.9	26 54' 42.1
9	5	35 44.6	35 23.29	2 20' 21.1	27 1' 48.9
3.9	5	36 58.1	36 36.98	3 35' 3.8	25 47' 6.2
3.9	7	31.7	36 49.59	4 0' 58.9	25 21' 11.1
9	7	20.0	37 38.09	4 35' 31.0	24 46' 39.0
3.9	5	38 57.4	38 36.24	3 23' 16.7	25 58' 53.3
3.9	5	39 22.1	39 0' 9.7	3 31' 30.9	25 50' 39.1
3.8	3	53.6	40 14.90	3 17' 42.2	26 4' 27.8
8	3	10.6	40 31.91	3 16' 49.1	26 5' 20.9
3.9	3	7.1	41 28.62	2 9' 3.3	27 13' 6.7
3.9	5	49.1	41 27.85	2 51' 43.2	26 30' 26.8
9	7	21.8	41 39.61	3 47' 17.0	25 34' 53.0
3.9	5	55.0	42 33.91	3 44' 56.9	25 37' 13.1
3.8	4	21.2	43 21.20	3 29' 29.1	25 52' 40.9
9	5	0.3	43 39.04	2 48' 38.5	26 33' 31.5
3.8	4	49.5	44 49.50	3 47' 59.9	25 34' 10.1
7	2	45 8.2	45 39.92	3 42' 52.0	25 39' 18.0
9	7	41.7	44 59.61	4 4' 17.8	25 17' 52.2
8	4	33.6	46 33.60	4 28' 35.0	24 53' 35.0
9	5	11.9	46 50.67	2 58' 43.2	26 23' 26.8
9	4	48 5.4	48 5.40	3 0' 46.0	26 21' 24.0
8	5	49 11.5	48 50.52	4 22' 11.9	24 59' 58.1
3.9	4	45.6	49 45.60	4 30' 51.2	24 51' 18.8
3.9	3	2.2	50 23.30	4 27' 40.8	24 54' 29.2
9	3	39.5	51 0' 6.1	4 21' 57.1	25 0' 12.9
9	7	38.6	50 55.94	2 28' 39.5	26 53' 30.5
3.9	3	52 30.0	52 51.47	2 32' 11.2	26 49' 58.8
9	4	53 51.4	53 51.40	4 5' 33.5	25 16' 36.5
9	8	43.5	54 22.32	3 16' 46.0	26 5' 24.0
6	4	12.0	55 12.00	3 17' 12.0	26 4' 58.0
7	3	30.8	55 52.09	3 22' 27.2	25 59' 42.8
3.9	3	2.2	56 23.40	3 53' 26.8	25 28' 43.2
8	3	35.3	56 56.42	4 19' 32.0	25 2' 38.0
3.7	4	5.5	57 5.50	4 26' 37.6	24 55' 32.4
8	4	57 39.5	57 39.50	3 48' 4.8	25 34' 5.2
9	6	58 30.0	57 58.14	3 14' 6.0	26 8' 4.0
8	5	56.8	58 35.52	2 52' 15.3	26 29' 54.7
3.9	4	52.6	59 52.60	2 37' 56.8	26 44' 13.2
9	3	19.4	9 0' 40.87	2 25' 21.2	26 56' 48.8
9	6	9.3	0 37.13	2 18' 48.1	27 3' 21.9
5	3	37.5	1 58.63	4 6' 10.0	25 16' 0.0
7	3	15.0	2 36.28	4 7' 29.3	25 14' 40.7
9	4	2.4	3 2.40	4 19' 58.8	25 2' 11.2
9	5	44.3	3 23.39	4 49' 44.6	24 32' 25.4
7	6	13.0	3 41.34	4 9' 45.2	25 12' 24.8
3.8	5	4 46.5	4 25.40	3 41' 0.4	25 41' 9.6
9	7	5 53.3	5 11.01	3 29' 28.3	25 52' 41.7
8	4	13.4	6 13.40	3 29' 57.2	25 52' 12.8
3.9	5	50.6	6 29.46	3 27' 58.5	25 54' 11.5
3.9	2	7 57.0	8 28.64	4 0' 24.7	25 21' 45.3
3.9	2	9 50.0	10 21.51	4 40' 41.3	24 41' 28.7
3.8	7	38.7	9 56.15	2 47' 33.7	26 34' 36.3
9	3	24.1	11 45.62	2 7' 56.1	27 14' 13.9
8	5	12 26.7	12 5.42	2 42' 45.0	26 39' 25.0

<i>Hülfsstafel zur Reduction auf den mittleren Ort 1850 Januar 0 D = - 26°.</i>					
T.	k	k'	d	d	
^u 8 30' - 30.58	-6	+3	+28.3	-0.6	+3
40 - 30.64	-6	+3	+27.7	-0.6	+3
50 - 30.70	-5	+3	+27.1	-0.7	+3
9 0 - 30.75	-6	+4	+26.4	-0.7	+3
10 - 30.81	-5	+4	+25.7	-0.8	+3
20 - 30.86		+4	+24.9		+3

66 Fad. 6. 55.5

90. Bei diesem Sterne ward ein Fehler von - Zeit entdeckt und corrigirt, der vielleicht schon bei dem vorhergehenden Sterne gefunden hat; N^o. 87 und 88 sind nach Beobachtungen 1852 März 25. noch richtig

91 Fad. 4. 51.5

101 " 6. 7.5

105 " 4. 58.6

106 " 4. 36.4

115 " 5. 0.5

No.	Gr.	Fad.	Beob. Zeit.	T.	Microsc. I	Südl. Declin.
119	8.9	4	59.9	9 12 59.90	3 43 27.0	25 38 43.0
120	9	4	14 0.5	14 0.50	4 9 33.8	25 12 36.2
121	5	2	50.5	15 22.13	4 1 47.2	25 20 22.8
122	8	3	16.6	15 37.81	3 48 52.2	25 33 17.8
123	8.9	7	11.3	15 28.53	2 11 52.2	27 10 17.8
124	8.9	4	56.0	16 56.00	2 49 44.0	26 32 26.0
125	9	5	38.5	17 17.23	2 40 18.5	26 41 51.5
126	8.9	6	18 50.5	18 18.95	4 35 9.9	24 47 0.1
127	7	4	26.8	19 26.80	4 39 53.2	24 42 16.8
128	9	6	46.5	19 14.90	4 23 39.7	24 58 30.3
129	9	4	31.6	20 31.60	3 26 0.1	25 56 9.9
130	9	6	8.7	20 36.76	3 7 14.5	26 14 55.5
131	8.9	4	36.6	21 36.60	2 54 37.3	26 27 32.7
132	9	7	22 29.7	21 47.06	2 32 37.3	26 49 32.7
133	8.9	4	23 30.4	23 30.40	2 17 56.8	27 4 13.2
134	9	6	57.7	23 25.50	2 13 23.9	27 8 46.1
135	9	6	24 37.2	24 5.04	2 20 39.0	27 1 31.0
136	8.9	7	16.1	24 33.71	3 12 33.4	26 9 36.6
137	8	3	0.0	26 21.25	3 35 49.3	25 46 20.7
138	8.9	1	47.5	27 29.63	4 16 42.1	25 5 27.9
139	9	3	28 12.6	28 33.98	2 57 40.9	26 24 29.1
140	9	4	20.4	29 20.40	3 19 30.2	26 2 39.8
141	9	5	29 54.6	29 33.58	4 8 46.5	25 13 23.5
142	8	5	30 11.4	29 50.35	4 6 48.0	25 15 22.0
143	7.8	6	29.7	29 58.02	4 4 2.0	25 18 8.0
144	8.9	5	13.8	30 52.74	3 56 20.8	25 25 49.2
145	8.9	4	42.0	31 42.00	4 5 54.7	25 16 15.3
146	9	4	12.6	32 12.60	4 3 5.8	25 19 4.2
147	9	7	33 41.6	32 59.22	3 14 22.2	26 7 47.8
148	8.9	4	34 17.1	34 17.10	3 13 55.0	26 8 15.0
1	9	4	58 5.4	10 58 5.40	3 20 3.3	26 2 6.7
2	8.9	4	24.4	58 24.27	3 18 50.4	26 3 19.6
3	6.7	7	20.7	58 38.18	2 52 56.8	26 29 13.2
4	7	6	44.9	59 12.90	2 53 22.3	26 28 47.7
5	9	7	42 :	11 0 0	3 49 33.3	25 32 36.7
6	9	6	2 0.9	1 28.94	3 3 19.8	26 18 50.2
7	9	2	34.3	3 6.40	2 29 37.1	26 52 32.9
8	8	3	0.9	3 22.32	2 38 58.5	26 43 11.5
9	9	6	38.5	3 6.39	2 29 37.1	26 52 32.9
10	7	1	4 28.0	5 10.22	4 2 30.5	25 19 39.5
11	8.9	6	1.3	4 29.66	4 15 4.3	25 7 5.7
12	9	3	39.2	6 0.36	4 23 15.4	24 58 54.6
13	8	5	45.6	6 24.50	3 42 45.0	25 39 25.0
14	8.9	5	27.1	7 5.95	3 26 58.7	25 55 11.3
15	8.9	5	51.2	7 30.00	3 7 12.5	26 14 57.5
16	9	6	20.4	7 48.46	3 6 29.7	26 15 40.3
17	9.0	7	58.2	8 15.73	3 0 21.8	26 21 48.2
18	7.8	3	9 41.8	10 3.17	2 56 46.5	26 25 23.5
19	8	1	10 59.1	11 41.47	3 35 13.8	25 46 56.2
20	9	7	12 58.2	12 15.84	3 17 13.0	26 4 57.0
21	8	4	13 35.5	13 35.50	4 1 42.9	25 20 27.1
22	8.9	7	14 32.0	13 49.38	2 35 37.0	26 46 33.0
23	9	7	7.6	14 24.91	2 25 15.8	26 56 54.2
24	8.9	7	7.1	15 24.82	3 31 33.0	25 50 37.0
25	8	4	1.4	17 1.40	3 13 45.8	26 8 24.2

*Hülftafel zur Reduction auf den mittlere
Ort 1850 Januar 0 D = - 26°.*

T.	k	k'	d
9 0'-30.81	-5	+4	+25.7 -0.8 +
10-30.86	-5	+4	+24.9 -0.7 +
20-30.91	-5	+4	+24.2 -0.8 +
30-30.96		+4	+23.4

125 Fad. 6. 49.3

139 „ 4. 34.0

142 „ 6. 22.0

Sehr schöne Luft.

ZONE 291. 1850 März 29. W.

NC. 10 50' - 1' 49.86

12 45 - 1 52.97

Anf. 28 2.32 + 1.5 30.2

11 29 29.8

11 59 29.2

Ende 28 2.21 + 1.2 30.1

Microsc. I - 1'' 72

Decl. = Microsc. I - 29° 22' 10''

12° $\tau + i$ - 29'' 747 $\Delta \tau$ 0'' 000 Δi + 0''

*Hülftafel zur Reduction auf den mittlere
Ort 1850 Januar 0 D = - 26°.*

T.	k	k'	d
11 0'-31.27	-3	+5	+17.3 -0.9 +
10-31.30	-2	+5	+16.4 -0.9 +
20-31.32		+5	+15.5

2 Fad. 5. 45.3

7 „ 3. 45.0 7 und 9 derselbe.

12 „ 5. 21.4

nr.	Fad.	Beob. Zeit.	T.	Microsc. 1	Südl. Declin.
19	3	18' 2.3	11 18' 23.60	3 19' 7.9	26 3' 2.1
19	4	55.4	18 55.40	4 9 22.5	25 12 47.5
9	5	50.0	19 29.00	4 14 31.3	25 7 38.7
7	2	12.0	20 43.55	4 19 26.8	25 2 43.2
9	3	50.7	21 11.89	3 55 33.9	25 26 36.1
3	2	18.6	21 50.28	3 49 45.7	25 32 24.3
3	2	26.4	21 58.13	3 52 11.0	25 29 59.0
9	2	21 58.1	22 29.78	3 49 38.0	25 32 32.0
7	1	43.1	23 25.19	4 23 18.0	24 58 52.0
9	5	27.5	23 6.56	4 37 56.8	24 44 13.2
9	5	10.7	23 49.73	4 28 2.1	24 54 7.9
3	6	36.6	24 4.97	4 17 17.0	25 4 53.0
3	3	6.6	25 27.99	3 26 42.1	25 55 27.9
9	7	46.8	25 4.50	3 27 23.3	25 54 46.7
9	2	22.7	26 54.51	3 22 40.3	25 59 29.7
9	7	22.2	26 39.97	3 39 59.7	25 42 10.3
9	6	29 24.0	28 52.08	3 2 59.8	26 19 10.2
9	6	57.0	29 25.15	3 26 9.7	25 56 0.3
9	5	48.4	30 27.30	3 43 7.1	25 39 2.9
9	4	24.4	31 24.40	3 53 56.6	25 28 13.4
9	7	32 0.3	31 18.39	4 35 57.7	24 46 12.3
3	4	0.6	33 0.60	3 33 22.5	25 48 47.5
3	3	40.2	34 1.38	3 57 21.8	25 24 48.2
8	5	34 46.0	34 24.87	3 31 39.9	25 50 30.1
9	4	34.4	35 34.40	2 41 25.9	26 40 44.1
9	5	11.7	35 50.34	2 20 20.5	27 1 49.5
9	5	37 3.7	36 42.74	4 31 44.1	24 50 25.9
9	5	38 39.0	38 17.95	3 57 34.9	25 24 35.1
9	5	39.5	39 18.30	3 8 10.5	26 13 59.5
8	5	38.6	40 17.60	4 13 58.7	25 8 11.3
9	5	0.5	40 39.49	4 13 10.9	25 8 59.1
9	4	33.0	41 33.00	4 17 24.0	25 4 46.0
9	4	50.1	41 50.10	4 8 49.0	25 13 21.0
6	7	23 :	41 41	3 26 58.3	25 55 11.7
7	3	43 13.0	43 34.37	2 55 26.9	26 26 43.1
8	4	1.8	44 1.80	3 7 17.7	26 14 52.3
9	5	46 46.0	46 24.98	4 8 41.0	25 13 29.0
9	6	17.5	46 45.89	4 21 35.3	25 0 34.7
3	4	36.0	47 36.00	4 28 41.9	24 53 28.1
9	4	48 47.5	48 47.50	2 44 35.4	26 37 34.6
9	4	49 26.2	49 26.20	3 39 46.6	25 42 23.4
9	3	50 5.2	50 26.44	3 40 10.2	25 41 59.8
7	6	56.7	50 24.77	3 8 56.7	26 13 13.3
9	4	36.8	51 36.87	2 45 59.7	26 36 10.3
9	4	53 16.0	53 16.00	3 49 47.1	25 32 22.9
7	4	52.4	53 52.40	3 43 12.6	25 38 57.4
9	2	14.9	54 46.61	3 43 43.8	25 38 26.2
9	2	41.4	55 13.10	3 45 43.7	25 36 26.3
9	2	56.4	55 28.04	3 50 2.2	25 32 7.8
9	3	57 52.5	58 13.76	3 31 6.1	25 51 3.9
9	4	44.3	58 44.30	2 54 58.4	26 27 11.6
9	6	59 36.5	59 4.29	2 10 11.8	27 11 58.2
9	6	3 41.6	12 3 9.70	3 16 6.9	26 6 3.1
8	4	20.5	4 20.50	3 7 53.4	26 14 16.6
8	1	5 44.3	6 26.93	2 52 58.1	26 29 11.9

*Hülftafel zur Reduction auf den mittlern
Ort 1850 Januar 0 D = - 26°.*

T.	k	k'	d	d'
n				
11 10' - 31.30	-2	+5	+16.4	-0.9 +31.0
20 - 31.32	-2	+5	+15.5	-1.0 +31.1
30 - 31.34	-2	+5	+14.5	-1.0 +31.1
40 - 31.36	-1	+5	+13.5	-1.0 +31.1
50 - 31.37	-2	+5	+12.5	-1.0 +31.2
12 0 - 31.39	-1	+5	+11.5	-0.8 +31.2
10 - 31.40		+5	+10.7	+31.2

26 Fad. 4. 23.6

32 " 3. 37.0

38 " 4. 28.1

46. Zeitsecunde zweifelhaft.

69 Fad. 5. 58.2

74 " 3. 6.8

Nº.	Gr.	Fad.	Beob. Zeit.	T.	Microsc. I	Südl. Declin.
81	8	3	43.1	12 7' 4.26	4 4' 20.0	25 17' 50.0
82	8.9	4	26.5	7 26.50	3 58 21.7	25 23 48.3
83	9	5	8 35.2	8 13.90	2 34 30.3	26 47 39.7
84	8	5	20.2	8 58.93	2 46 13.7	26 35 56.3
85	8.9	5	12.3	9 51.08	3 2 53.9	26 19 16.1
86	6.7	3	12 18.0	12 39.27	3 27 48.3	25 54 21.7
87	8.9	5	10.5	12 49.51	4 37 47.2	24 44 22.8
88	7	4	59.4	13 59.40	3 27 59.5	25 54 10.5
89	8.9	6	14 54.1	14 22.11	2 55 44.8	26 26 25.2
90	8	3	43.4	16 4.61	3 43 34.1	25 38 35.9
91	9	6	34.9	16 3.02	3 20 38.2	26 1 31.8
92	6	2	17 27.2	17 59.26	2 27 17.9	26 54 52.1
93	7.8	4	18.6	18 18.60	3 23 19.2	25 58 50.8
94	9	7	7.5	18 25.60	4 37 16.3	24 44 53.7
95	8	7	1.5	19 19.04	3 1 4.4	26 21 5.6
96	8.9	2	21 35.2	22 6.88	3 53 22.0	25 28 48.0
97	8.9	4	34.6	22 34.60	3 46 43.1	25 35 26.9
98	8	4	2.5	23 2.50	3 6 40.5	26 15 29.5
99	7	4	24 47.6	24 47.60	2 37 58.9	26 44 11.1
100	9	4	26 26.2	26 26.41	2 11 47.2	27 10 22.8
101	8	4	38.3	27 38.30	3 28 54.5	25 53 15.5
102	9	2	28 10.6	28 42.32	4 11 55.4	25 10 14.6
103	8.9	4	8.0	29 7.93	3 25 59.1	25 56 10.9
104	8.9	5	11.6	29 50.58	4 10 16.8	25 11 53.2
105	6	7	30 59.2	30 16.76	3 3 35.4	26 18 34.6
106	8.9	6	56.5	31 24.74	3 40 26.7	25 41 43.3
107	8.9	5	42.9	32 21.76	3 16 49.2	26 5 20.8
108	8.9	4	18.4	33 18.40	3 21 41.0	26 0 29.0
109	9	5	34 19.7	33 58.42	2 40 57.6	26 41 12.4
1	8.9	6	33 36.4	11 33 3.80	0 52 30.9	28 30 29.1
2	6	4	17.6	34 17.60	1 0 20.8	28 22 39.2
3	7	5	36 1.0	35 39.29	0 34 39.1	28 48 20.9
4	8.9	3	29.4	36 51.24	0 32 9.9	28 50 50.1
5	7	3	42.3	37 4.08	0 27 57.8	28 55 2.2
6	8	3	22.4	37 44.29	0 19 50.2	29 3 9.8
7	8.9	3	7.5	38 29.08	1 50 7.3	27 32 52.7
8	7	1	38 41.9	39 24.78	2 14 29.6	27 8 30.4
9	9	5	51.5	39 29.87	0 56 2.1	28 26 57.9
10	8.9	5	14.3	39 52.65	0 51 35.1	28 31 24.9
11	8.9	5	44.5	40 22.69	0 43 25.3	28 39 34.7
12	8	7	38.5	40 55.60	1 53 2.9	27 29 57.1
13	8.9	3	45 51.7	46 13.29	1 48 37.8	27 34 22.2
14	8	3	46 14.6	46 36.16	1 55 51.1	27 27 8.9
15	8.9	6	47 39.2	47 6.41	0 14 20.0	29 8 40.0
16	6	4	38.6	48 38.60	1 44 2.0	27 38 58.0
17	9	4	49 47.5	49 47.50	2 3 41.8	27 19 18.2
18	7.8	1	22.8	51 5.57	2 31 28.3	26 51 31.7
19	8.9	5	53 3.5	52 41.82	0 43 0.1	28 39 59.9
20	9	7	53.3	53 9.84	0 29 22.1	28 53 37.9
21	9	5	18.8	53 57.19	0 31 6.0	28 51 54.0
22	8	1	14.3	55 57.29	1 57 4.0	27 25 56.0
23	8	5	56 27.6	56 5.97	0 57 17.2	28 25 42.8
24	9	6	10.2	56 37.49	0 31 53.8	28 51 6.2
25	8	3	57 43.4	58 5.13	1 30 44.1	27 52 15.9
26	9	6	58 19.5	57 47.11	1 33 8.2	27 49 51.8

Hülftafel zur Reduction auf den mittleren Ort 1850 Januar 0 D = - 26°.

T.	k	k'	d
12 0-31.39	-1	+5	+11.5 -0.8 +
10-31.40	0	+5	+10.7 -0.8 +
20-31.40	-1	+5	+ 9.9 -0.7 +
30-31.41	0	+5	+ 9.2 -0.5 +
40-31.41		+5	+ 8.7 +

87	Fad. 6.	21.0
90	" 4.	4.6
96	" 3.	45.7
100	" 5.	48.0 giebt 26".62
102	" 3.	21.3
103	" 5.	29.0 Fad. 6. 39.8
106	" 7.	7.0
107	" 6.	53.7

Gute, Anfangs sehr gute Luft; aber das 1 etwas müde.

ZONE 292. 1850 April 16. W

NC. 11	22 - 2 3.40
13	13 - 2 3.64
Anf. 27	7.33 9.6 49.6
12 24	48.9
Ende 27	7.33 8.4 48.5
Microsc. I	- 9".36 u. - 8".74
Decl. = Microsc. I	- 29° 23' 0"
12" $\tau + i$	- 34".218 $\Delta \tau$ - 0".012 Δi + 0"

Hülftafel zur Reduction auf den mittleren Ort 1850 Januar 0 D = - 28°.

T.	k	k'	d
11 30-35.76	-4	+6	+22.9 -0.7 +
40-35.80	-4	+6	+22.2 -0.6 +
50-35.84	-3	+6	+21.6 -0.7 +
12 0-35.87		+7	+20.9 +

5	Fad. 4.	4.0
12	Zeit zweifelhaft; nach diesem Sterne kl Pause.	
21	Fad. 6.	30.0
25	" 4.	5.2

No.	Gr.	Fad.	Beob. Zeit.	T.	Microsc. I	Südl. Declin.
27	9	4	3.6	11 59' 3.60	2 14' 7.7	27 8' 52.3
28	9	6	38.5	59 6.29	2 10 12.8	27 12 47.2
29	8.9	7	30.0	59 46.29	1 5 19.4	28 17 40.6
30	8	5	51.6	12 0 30.02	1 9 6.6	28 13 53.4
31	9	6	7.2	0 34.68	1 14 38.9	28 8 21.1
32	9	6	56.3	1 23.69	0 50 33.8	28 32 26.2
33	8.9	6	2 46.5	2 14.30	2 13 28.7	27 9 31.3
34	7.8	3	22.5	3 44.02	2 8 29.9	27 14 30.1
35	9	5	4 59.7	4 38.04	0 49 9.1	28 33 50.9
36	8.9	3	38.6	6 0.42	0 38 16.1	28 44 43.9
37	9	7	25.5	5 42.10	0 36 31.7	28 46 28.3
38	6.7	1	7 12.8	7 56.18	0 58 42.1	28 24 17.9
39	9	7	46.5	7 3.63	1 57 25.2	27 25 34.8
40	7	7	39.4	7 56.14	0 58 44.2	28 24 15.8
41	8.9	5	14.0	8 52.16	0 35 39.2	28 47 20.8
42	9	2	10 10.9	10 43.52	0 35 49.9	28 47 10.1
43	7.8	5	10 57.0	10 35.57	1 56 19.2	27 26 40.8
44	8.9	7	12 19.0	11 35.44	0 15 37.0	29 7 23.0
45	8.9	4	18.1	13 18.10	0 56 13.6	28 26 46.4
46	9	6	56.5	13 24.01	1 13 49.9	28 9 10.1
47	9	7	9.0	13 25.82	1 10 14.0	28 12 46.0
48	9	3	7.7	15 29.17	2 26 34.9	26 56 25.1
49	8.9	3	16 34.0	16 55.56	1 39 14.3	27 43 45.7
50	8	1	17 41.4	18 24.45	1 47 28.7	27 35 31.3
51	6.7	5	25.0	18 3.67	2 27 18.7	26 55 41.3
52	8.9	1	9.1	19 51.88	2 30 6.9	26 52 53.1
53	8	3	49.2	20 10.85	1 29 34.6	27 53 25.4
54	8.9	5	33.0	20 11.26	0 25 58.1	28 57 1.9
55	8.9	7	27.0	20 43.67	0 48 43.1	28 34 16.9
56	8.9	5	54.6	21 32.93	0 45 34.1	28 37 25.9
57	9	5	16.5	21 54.86	0 53 9.8	28 29 50.2
58	8.9	6	39.5	22 6.87	0 46 6.0	28 36 54.0
59	7.8	6	23 3.6	22 31.06	0 54 0.4	28 28 59.6
60	7	5	25 13.3	24 52.01	2 38 2.0	26 44 58.0
61	9	4	6.6	26 6.60	1 45 24.1	27 37 35.9
62	8.9	4	30.0	26 30.00	1 35 40.1	27 47 19.9
63	9	4	27 44.3	27 44.30	1 25 39.6	27 57 20.4
64	8.9	4	28 16.3	28 16.30	1 33 45.0	27 49 15.0
65	9	5	29 18.5	28 57.23	2 46 10.0	26 36 50.0
66	8.9	4	30 11.2	30 11.20	1 47 12.2	27 35 47.8
67	7.8	1	31 18.5	32 2.01	0 40 19.7	28 42 40.3
68	8	1	42.4	32 25.96	0 33 12.1	28 49 47.9
69	8	1	13.5	32 57.04	0 35 39.0	28 47 21.0
70	9	4	52.6	32 52.60	0 17 37.6	29 5 22.4
71	8.9	7	40.4	32 56.98	0 35 38.1	28 47 21.9
72	9	2	23.6	34 56.24	0 32 0.1	28 50 59.9
73	8.9	6	1.6	34 29.11	1 12 52.6	28 10 7.4
74	8.9	2	31.5	36 3.88	1 23 7.5	27 59 52.5
75	8	2	53.9	36 26.24	1 29 58.1	27 53 1.9
76	8.9	5	30.0	36 8.58	2 0 47.0	27 22 13.0
77	6	5	58.7	36 37.26	1 52 32.1	27 30 27.9
78	7.8	4	52.4	37 52.40	1 26 3.7	27 56 56.3
79	8.9	6	38 28.0	37 55.38	0 25 31.2	28 57 28.8
80	7.8	1	39 48.0	40 30.74	2 37 47.4	26 45 12.6
81	5.6	1	20.3	41 3.04	2 35 46.5	26 47 13.5

*Hülftafel zur Reduction auf den mittlern
Ort 1850 Januar 0 D = - 28°.*

T.	k	k'	d	d'
12 0-35.87	-3	+7	+20.9	-0.7
10-35.90	-3	+7	+20.2	-0.6
20-35.93	-3	+7	+19.6	-0.7
30-35.96	-2	+7	+18.9	-0.7
40-35.98	-2	+7	+18.2	-0.7
50-36.00		+7	+17.5	+39.2

27. Zeit vielleicht 36'' 00

31 Fad. 7. 17'' 8

39. Zeit zweifelhaft.

38. 40. derselbe.

41 Fad. 6. 24.7

49 „ 4. 55.5

54 „ 6. 44.0

59 „ 7. 14.4

69. 71. derselbe.

79 Fad. 7. 39.0

No.	Gr.	Fad.	Beob. Zeit.	T.	Microsc. I	Südl. Declin.
62	6	3	52.2	12 50' 12.83	7° 24' 49.7	21° 56' 30.3
63	7	2	18.9	50 49.79	7 6 43.1	22 14 36.9
64	8.9	4	13.2	51 13.20	6 41 48.2	22 39 31.8
65	7.8	4	5.8	52 5.80	8 2 6.8	21 19 13.2
66	9	4	52 28.2	52 28.20	8 5 47.2	21 15 32.8
67	8	4	9.6	53 9.60	8 22 23.9	20 58 56.1
68	9	6	54 40.3	54 9.49	7 43 31.1	21 37 48.9
69	9	6	56 57.8	56 26.75	6 38 25.0	22 42 55.0
70	8.9	6	41.9	57 11.00	7 19 57.0	22 1 23.0
71	7.8	4	13.0	58 13.00	8 5 13.4	21 16 6.6
72	9	4	53.6	58 53.60	8 25 41.5	20 55 38.5
73	8	4	0 42.4	13 0 42.40	6 34 14.9	22 47 5.1
74	9	5	27.4	1 6.75	6 28 49.1	22 52 30.9
75	7	7	56.6	1 15.25	6 20 15.9	23 1 4.1
76	9	4	2 54.2	2 54.20	6 17 48.5	23 3 31.5
77	9	5	23.5	3 2.82	6 13 56.2	23 7 23.8
78	9	7	49.0	3 7.60	6 8 53.0	23 12 27.0
79	7	7	3.5	3 22.05	5 58 49.1	23 22 30.9
80	7	1	3.9	5 45.09	7 13 11.0	22 8 9.0
81	9	4	54.8	5 54.80	7 29 40.0	21 51 40.0
82	7.8	4	34.6	6 34.60	7 47 20.9	21 33 59.1
83	9	2	18.4	7 48.97	8 34 53.6	20 46 26.4
84	8	1	8 0.0	8 40.96	8 13 47.5	21 7 32.5
85	8	1	40.0	9 20.87	8 21 22.3	20 59 57.7
86	7.8	1	17.3	9 58.10	8 36 20.9	20 44 59.1
87	8.9	5	55.0	9 34.43	8 6 59.4	21 14 20.6
88	3	1	44.7	11 25.96	6 58 37.5	22 22 42.5
89	9	7	15.1	10 33.85	6 39 0.9	22 42 19.1
90	9	5	57.3	11 36.68	6 36 30.5	22 44 49.5
91	9	6	25.4	11 54.31	6 29 18.4	22 52 1.6
92	7	3	55.3	13 16.09	6 23 3.0	22 58 17.0
93	7	4	55.0	13 55.00	7 20 51.0	22 0 29.0
94	7	7	15.6	13 34.68	7 45 34.9	21 35 45.1
95	9	6	4.4	14 33.74	8 29 18.0	20 52 2.0
96	8	7	46.0	15 4.91	7 11 23.4	22 9 56.6
97	9	4	16 59.7	16 59.70	6 33 31.1	22 47 48.9
98	8.9	2	18 14.0	18 44.94	6 53 48.5	22 27 31.5
99	8.9	2	18 34.0	19 4.94	6 54 21.8	22 26 58.2
100	9	7	19.0	18 37.87	7 2 46.5	22 18 33.5
101	7.8	7	20 19.0	19 38.08	7 46 9.1	21 35 10.9
102	7	5	21 14.0	20 43.19	7 44 3.9	21 37 16.1
103	8	4	21 2.4	21 2.54	7 42 22.4	21 38 57.6
104	8.9	4	22 10.3	22 10.30	7 45 46.6	21 35 33.4
105	7.8	5	23 17.0	22 56.35	6 29 5.7	22 52 14.3
106	9	3	12.6	24 33.26	7 9 42.9	22 11 37.1
107	8.9	4	31.5	24 31.50	7 14 12.9	22 7 7.1
108	8.9	4	16.3	25 16.30	7 56 45.0	21 24 35.0
109	7	1	27 19.6	28 0.54	8 5 57.9	21 15 22.1
110	8.9	4	15.9	28 15.90	7 44 23.4	21 36 56.6
111	7	7	32.5	27 51.50	7 30 18.8	21 51 1.2
112	8	1	31.1	30 12.25	7 21 27.5	21 59 52.5
113	8	1	1.8	30 42.95	7 20 39.6	22 0 40.4
114	7.8	4	22.5	30 22.50	6 54 7.2	22 27 12.8
115	8	5	0.7	30 39.92	6 25 48.3	22 55 31.7
116	9.0	3	32 20.6	32 41.09	8 23 22.2	20 57 57.8

Hilfstafel zur Reduction auf den mittleren Ort 1850 Januar 0 D = - 22°.

T.	k	k'	d
u			
12 50' -39.37	-4	+6	+ 8.1 -0.7 +
13 0 -39.41	-3	+6	+ 7.4 -0.6 +
10 -39.44	-4	+6	+ 6.8 -0.7 +
20 -39.48	-3	+6	+ 6.1 -0.7 +
30 -39.51	-3	+6	+ 5.4 -0.7 +
40 -39.54		+6	+ 4.7 +

83. Zeitsecunde zweifelhaft.

84 Fad. 3. 20".5

87 " 6. 5.0 Fäden 34".60 und 34".2

96. dupl. III. Cl. seq. praec. auch 8^m.

102. Eine Beobachtung 1851 Juni 3., die für giebt 13^u 20' 3".75 - 21° 37' 5".9, so auch die bekannte Position des Sterns XIII^u. 86, der auch von LL. und Taylor obachtet ist, zeigt, dass statt Fad. 5 zu sen sei Fad. 6. Mit dieser Correction i berechnet.

103 Fad. 6. 33.5

111. Zeit zweifelhaft.

115 Fad. 6. 10.9

118 " 5. 45.6

Nr.	Gr.	Fad.	Beob. Zeit.	T.	Microsc. 1	Südl. Declin.
117	7	3	33.5	13 33 54.24	6 40 6.8	22 41 13.2
118	9	4	34 25.0	34 25.02	7 0 3.0	22 21 17.0
1	9	4	26 17.1	13 26 17.10	7 28 11.2	21 53 8.8
2	7	1	11.0	27 52.11	7 30 13.1	21 51 6.9
3	9	4	55.2	27 55.20	7 37 48.0	21 43 32.0
4	8.9	5	36.9	28 16.44	7 44 18.9	21 37 1.1
5	9	4	19.9	29 19.00	8 24 52.9	20 56 27.1
6	8	4	31.5	29 31.50	8 15 49.1	21 5 30.9
7	9	5	9.4	29 49.01	8 11 42.9	21 9 37.1
8	8.9	6	43.4	30 12.51	7 21 21.8	21 59 58.2
9	8.9	5	3.6	30 43.09	7 20 36.1	22 0 43.9
10	9.0	1	30.3	32 11.39	7 22 2.8	21 59 17.2
11	8.9	2	4.2	32 35.01	7 28 46.1	21 52 33.9
12	9.0	4	46.5	32 46.50	7 5 0.2	22 16 19.8
13	6	1	33 13.2	33 54.56	6 39 58.9	22 41 21.1
14	9.0	4	58.9	33 58.90	6 30 24.7	22 50 55.3
15	8.9	4	25.5	34 25.50	6 59 55.5	22 21 24.5
16	9	3	58.7	35 19.40	6 56 22.9	22 24 57.1
17	8.9	7	57.0	35 16.00	7 29 12.1	21 52 7.9
18	8.9	6	6.6	35 35.78	7 31 44.0	21 49 36.0
19	9.0	4	53.9	37 53.90	6 9 7.1	23 12 12.9
20	9.0	4	44.2	38 44.20	7 24 14.3	21 57 5.7
21	8.9	4	18.0	39 18.00	8 10 10.6	21 11 9.4
22	9	3	42.9	40 3.41	8 14 58.0	21 6 22.0
23	9.0	5	21.8	40 1.39	8 4 32.1	21 16 47.9
24	9	6	43.0	40 12.24	7 57 48.0	21 23 32.0
25	7.8	4	55.5	40 55.48	7 56 43.5	21 24 36.5
26	7	6	54.2	41 23.39	7 22 45.1	21 58 34.9
27	9.0	3	47.5	43 8.27	6 39 43.0	22 41 37.0
28	8.9	4	42.3	43 42.30	8 0 57.3	21 20 22.7
29	9	3	24.4	44 44.90	8 19 12.2	21 2 7.8
30	9	4	3.4	45 3.40	7 3 38.6	22 17 41.4
31	8.9	5	46.5	45 25.87	6 35 9.2	22 46 10.8
32	7	3	1.2	46 21.98	6 33 14.1	22 48 5.9
33	7	1	46 48.3	47 29.73	6 25 42.2	22 55 37.8
34	8.9	3	31.5	47 52.14	7 19 57.2	22 1 22.8
35	9	4	15.6	48 15.60	7 42 57.0	21 38 23.0
36	8.9	4	56.5	48 56.50	7 34 16.2	21 47 3.8
37	9	3	26.2	49 46.78	7 46 23.8	21 34 56.2
38	9	5	1.6	49 41.24	8 26 13.3	20 55 6.7
39	8	4	15.4	50 15.40	8 29 22.8	20 51 57.2
40	9	5	5.4	50 45.02	8 17 2.7	21 4 17.3
41	8	2	42.7	52 13.45	7 44 22.2	21 36 57.8
42	7.8	4	20.8	52 20.80	6 39 40.0	22 41 40.0
43	9	1	52 57.0	53 38.48	6 15 59.1	23 5 20.9
44	8.9	4	34.2	53 34.20	6 44 2.1	22 37 17.9
45	7.8	4	12.7	54 12.70	6 42 29.1	22 38 50.9
46	8.9	4	33.6	54 33.60	6 16 31.7	23 4 48.3
47	7.8	5	20.8	55 0.44	8 24 56.0	20 56 24.0
48	9	6	41.4	55 10.72	8 22 5.3	20 59 14.7
49	8	2	2.2	56 32.77	8 18 50.8	21 2 29.2
50	8	3	26.6	56 47.20	8 18 29.9	21 2 50.1
51	8.9	3	4.9	57 25.37	8 29 27.0	20 51 53.0
52	9	4	43.8	57 43.80	8 10 12.2	21 11 7.8
53	8.9	6	58 48.7	58 17.83	7 28 29.0	21 52 51.0

Recht gute Luft.

ZONE 295. 1850 Mai 20. West.

NC. 12 47' - 2 7.36
 15 12 - 2 6.72
 Anf. 27 8.75 + 11.4 52.6
 14 14 52.1
 Ende 27 8.71 + 10.2 50.1
 Microsc. I - 8".60 u. - 7".84
 Decl. = Microsc. I - 29° 21' 20"
 14" r+i -38".076 Δr-0".004 Δi+0".032

Hülftafel zur Reduction auf den mittlern Ort 1850 Januar 0 D = - 22°.

T.	k	k'	d	d'
13 20-39.76	-4	+6	+ 9.7	-0.4
30-39.80	-4	+6	+ 9.3	-0.5
40-39.84	-4	+6	+ 8.8	-0.5
50-39.88	-3	+6	+ 8.3	-0.5
14 0-39.91		+6	+ 7.8	+17.7

10	Fad.	2.	40.5
18	"	7.	16.8
25	"	5.	15.9
26	"	7.	4.5
27	"	4.	8.3
32	"	4.	22.0
49	"	3.	12.2
50	"	4.	47.3

Nº.	Gr.	Fad.	Beob. Zeit.	T.	Microsc. I	Südl. Declin.
				^u		
54	8	7	1.3	13 58 20.26	7 20 56.0	22° 0' 24.0
55	7	3	43.3	14 0 3.96	6 46 32.1	22 34 47.9
56	9	7	19.0	13 59 37.74	6 35 56.2	22 45 23.8
57	8.9	3	4.0	14 1 24.62	7 18 14.9	22 3 5.1
58	8.9	6	32.4	1 1.52	7 18 18.0	22 3 2.0
59	7.8	3	33.2	2 53.87	7 7 20.0	22 14 0.0
60	7.8	2	0.4	3 31.26	7 14 20.5	22 6 59.5
61	9	5	2.1	3 41.67	7 58 48.2	21 22 31.8
62	9	7	38.0	3 57.04	7 37 30.1	21 43 49.9
63	7	3	38.0	5 58.60	7 35 17.0	21 46 3.0
64	7	3	12.4	6 33.10	6 55 40.8	22 25 39.2
65	9.0	7	43.5	6 2.30	6 48 58.5	22 32 21.5
66	9	5	7 26.3	7 5.69	6 39 49.8	22 41 30.2
67	9	5	2.5	7 41.93	6 59 2.7	22 22 17.3
68	9	2	44.6	9 15.28	7 58 3.5	21 23 16.5
69	8	4	29.0	9 29.00	8 15 45.9	21 5 34.1
70	7	3	37.3	9 57.91	8 13 14.9	21 8 5.1
71	8.9	2	1.2	11 32.18	6 40 53.0	22 40 27.0
72	7.8	5	39.1	11 18.55	7 5 45.2	22 15 34.8
73	8.9	5	14 19.7	13 59.34	8 26 29.3	20 54 50.7
74	9	6	13.5	14 42.55	7 6 44.9	22 14 35.1
75	9	3	1.2	16 22.03	6 5 36.5	23 15 43.5
76	9	5	26.2	16 5.38	6 41 48.1	22 39 31.9
77	9	4	13.0	17 13.00	7 27 23.3	21 53 56.7
78	9.0	7	46.0	17 5.01	7 31 10.4	21 50 9.6
79	8	3	11.8	18 32.41	7 28 27.0	21 52 53.0
80	7	7	49.5	18 8.62	7 54 21.5	21 26 58.5
81	8	5	33.0	19 12.55	7 47 21.9	21 33 58.1
82	6	5	6.3	19 45.88	8 2 13.5	21 19 6.5
83	8	3	25.0	20 45.54	8 2 0.0	21 19 20.0
84	7	5	7.9	20 47.45	7 45 37.2	21 35 42.8
85	8.9	6	44.2	21 13.41	7 24 22.9	21 56 57.1
86	6	2	20.1	22 50.89	7 33 47.0	21 47 33.0
87	7.8	3	43.8	23 4.42	7 27 51.9	21 53 28.1
88	9	7	23.3	22 42.18	7 4 29.5	22 16 50.5
89	9	6	2.3	23 31.32	6 56 27.5	22 24 52.5
90	9	3	24 46.0	25 6.69	7 0 58.6	22 20 21.4
91	6.7	5	36.6	25 15.89	6 0 14.9	23 21 5.1
92	7	3	15.7	26 36.30	7 37 30.8	21 43 49.2
93	9	7	46.5	26 5.57	7 42 39.6	21 38 40.4
94	6	2	47.0	28 17.73	7 50 0.9	21 31 19.1
95	9	4	54.4	28 54.40	6 50 54.8	22 30 25.2
96	6	1	25.0	30 6.30	6 50 46.3	22 30 33.7
97	7.8	6	43.4	29 12.51	7 52 11.1	21 29 8.9
98	8.9	6	25.5	29 54.74	7 57 56.8	21 23 23.2
99	6	5	31 23.7	31 3.21	7 40 39.3	21 40 40.7
100	9	2	10.0	32 40.78	7 36 3.1	21 45 16.9
101	7	2	43.2	33 14.03	7 22 58.2	21 58 21.8
102	9	4	33 45.0	33 45.00	6 45 12.5	22 36 7.5
103	6	4	28.0	34 28.00	6 34 31.7	22 46 48.3
104	8	1	48.2	35 29.46	6 58 54.8	22 22 25.2
105	7.8	2	45.8	36 16.49	8 1 37.0	21 19 43.0
106	8.9	3	23.0	36 43.58	7 45 12.9	21 36 7.1
107	8.9	7	48.0	36 6.86	7 1 28.8	22 19 51.2
108	8.9	7	7.7	36 26.55	7 0 0.1	22 21 19.9

Hülftafel zur Reduction auf den mittlere Ort 1850 Januar 0 D = - 22°.

T.	k	k'	d
ⁿ 14 0' - 39.91	-3	+6	+ 7.8
10 - 39.94	-3	+6	+ 7.2
20 - 39.97	-3	+6	+ 6.7
30 - 40.00	-2	+6	+ 6.1
40 - 40.02		+6	+ 5.4

55 Fad. 4. 3.9

56. Zeit zweifelhaft.

57 Fad. 4. 24.6 Eine Beobachtung 1851 Ju giebt für 1850 14ⁿ 0' 44".73 - 22° 2' 57

58 Fad. 7. 42.6 Eine Beobachtung 1851 Ju giebt die Position für 1850 14ⁿ 0' 21".5 22° 2' 54".3.

68 Fad. 3. 54.7

70 „ 4. 58.0

76 „ 6. 36.2 Fäden 5".59 und 5".16

79 „ 4. 32.4

80. Zeit zweifelhaft.

85 Fad. 7. 54.5

97 „ 7. 53.3

99 „ 6. 34.0

No.	Gr.	Fad.	Beob. Zeit.	T.	Microsc. I	Südl. Declin.
109	8.9	7	26 :	14 36 45	7 7 8.9	22 14 11.1
110	5	5	38 31.4	38 10.81	6 50 29.1	22 30 50.9
111	9.0	7	39 42.7	39 1.49	6 47 8.6	22 34 11.4
112	8.9	4	41 13.0	41 13.00	7 30 33.6	21 50 46.4
113	8	2	48.6	42 19.42	7 24 31.0	21 56 49.0
114	9	4	34.9	42 34.90	6 43 58.0	22 37 22.0
115	9	5	13.6	42 52.97	6 34 12.0	22 47 8.0
116	6.7	5	36.7	43 16.00	6 7 25.8	23 13 54.2
117	7	3	44 0.9	44 21.74	6 1 35.6	23 19 44.4
118	9	6	44.1	44 13.12	6 58 0.2	22 23 19.8
119	9	4	24.2	45 24.20	6 53 1.2	22 28 18.8
120	9.0	5	0.0	45 39.40	6 49 33.8	22 31 46.2
121	9	5	41.8	46 21.27	7 15 7.1	22 6 12.9
122	7	4	48 29.2	48 29.20	7 58 43.2	21 22 36.8
123	4	4	23.0	49 23.00	8 37 0.0	20 44 20.0
124	7.8	6	1.0	49 30.25	7 48 43.2	21 32 36.8
125	7	4	45.5	50 45.50	7 33 36.2	21 47 43.8
126	9	4	29.0	51 29.00	6 40 42.0	22 40 38.0
127	8.9	3	52.6	52 13.39	6 21 54.3	22 59 25.7
128	7	4	32.5	52 32.50	7 6 23.8	22 14 56.2
129	7	7	42 :	53 1	6 46 31.0	22 34 49.0
130	8	3	54 30.2	54 50.96	6 50 12.9	22 31 7.1
131	9	5	55 25.2	55 4.53	6 42 37.9	22 38 42.1
132	7	2	56 46.0	57 17.10	6 10 15.9	23 11 4.1
133	9	6	57 38.5	57 7.21	6 7 47.6	23 13 32.4
134	8.9	3	15.4	58 36.21	6 10 26.4	23 10 53.6
135	8.9	6	50.2	58 19.02	5 58 23.8	23 22 56.2
136	9	2	26.2	59 56.99	7 32 32.2	21 48 47.8
137	9	4	1 5.9	15 1 5.78	7 41 33.0	21 39 47.0
138	8.9	4	8.3	1 8.42	7 42 59.9	21 38 20.1
139	9	7	15.3	1 34.54	8 22 5.8	20 59 14.2
140	7.8	4	3 5.9	3 5.90	7 51 2.7	21 30 17.3
141	9	7	35.6	2 54.71	7 52 48.4	21 28 31.6
1	9	7	24 22.6	13 23 43.10	3 45 45.0	15 34 45.0
2	9.0	7	27 27.6	26 47.96	3 2 17.9	16 18 12.1
3	8.9	4	6.5	28 6.60	3 11 11.3	16 9 18.7
4	8	1	0.0	29 39.51	3 39 35.9	15 40 54.1
5	8.9	6	31.5	30 1.97	4 47 59.8	14 32 30.2
6	8.9	3	52.1	32 11.90	4 29 10.9	14 51 19.1
7	7	5	32 53.9	32 34.15	3 39 21.0	15 41 9.0
8	9	5	44.5	33 24.61	2 18 41.8	17 1 48.2
9	9	3	35 32.3	35 52.07	2 5 16.1	17 15 13.9
10	8.9	1	23.9	37 3.84	2 9 39.1	17 10 50.9
11	6.7	4	37 4.7	37 4.70	3 54 59.8	15 25 30.2
12	7	2	41.4	38 11.00	4 19 35.0	15 0 55.0
13	9	6	16.9	37 47.22	4 10 10.5	15 10 19.5
14	9	3	14.0	39 34.02	2 16 13.9	17 4 16.1
15	6	3	36.3	39 56.32	2 14 5.4	17 6 24.6
16	8.9	4	33.0	40 33.00	4 1 29.0	15 19 1.0
1	7	4	59 7.6	14 59 7.60	3 26 31.8	15 54 8.2
2	9	4	47.6	59 47.60	3 31 11.5	15 49 28.5
3	8	7	25.3	59 45.94	4 30 25.0	14 50 15.0
4	9	7	9.5	15 0 29.82	2 49 54.0	16 30 46.0
5	8.9	4	2 13.0	2 13.00	4 12 38.6	15 8 1.4
6	9	3	7.2	3 27.15	2 56 48.5	16 23 51.5

Hälftafel zur Reduction auf den mittlern Ort 1850 Januar 0 D = -22°.

T.	k	k'	d	d'
14 30-40.00	-2	+6	+ 6.1	-0.7
40-40.02	-2	+6	+ 5.4	-0.6
50-40.04	-1	+6	+ 4.8	-0.7
15 0-40.05	-2	+6	+ 4.1	-0.7
10-40.07		+6	+ 3.4	+17.9

123. dupl. III. Cl. seq. roth.

124 Fad. 7. 11".2

130 „ 4. 51.0

131 „ 6. 35.5 Ein Fehler von + 1" Zeit, der bei diesem Sterne bemerkt und corrigirt ward, hat vielleicht schon früher stattgefunden.

133 Fad. 7. 48.5

135 „ 7. 0.5

137 „ 7. 46.6

138 „ 4. 29.0

Anfangs sehr schöne Luft, zuletzt etwas unruhig, und die Sterne etwas blass und gross. Die Sterne sind in dieser Zone wohl etwas zu hell geschätzt.

ZONE 296. 1850 Mai 23. West.

NC. 12 58' - 2' 7.09

Mitte 27 7.54 + 13.0 55.9

Microsc. I - 7".16

Decl. = Microsc. I - 19° 20' 30"

13^a r+i -38".475 Δr-0".004 Δi+0".031

Reductionstafel. D = -16°.

T.	k	k'	d	d'
13 20-40.06	-4	+6	+ 7.6	-0.6
30-40.10	-4	+6	+ 7.0	-0.6
40-40.14		+6	+ 6.4	+ 9.8

3 Fad. 5. 26".5

9 „ 4. 51.8 Fäden 52".34 und 51".80

Dunstig, zuletzt Wolken.

ZONE 297. 1850 Mai 28. West.

NC. 14 51' - 2' 7.71

16 47 - 2 7.76

Anf. 28 3.30 + 13.0 53.0

Ende 3.34 + 10.9 50.4

No.	Gr.	Fad.	Beob. Zeit.	T.	Microsc. I	Südl. Declin.
7	7	2	6' 17.0	15 6' 46.93	2° 8' 23.4	17° 12' 16.6
8	8.9	7	4.1	6 24.32	2 23 28.8	16 57 11.2
9	8.9	2	8 50.8	9 20.40	4 19 10.3	15 1 29.7
10	9	5	10 22.2	10 2.54	4 37 23.7	14 43 16.3
11	8.9	4	12 10.0	12 10.00	4 32 18.0	14 48 22.0
12	7	1	36.2	13 15.67	4 30 47.2	14 49 52.8
13	6	3	59.2	13 19.01	4 20 12.9	15 0 27.1
14	9	5	39.7	13 19.97	3 55 14.8	15 25 25.2
15	8	7	14 47.6	14 8.28	4 43 21.8	14 37 18.2
16	7	4	20.9	15 20.90	4 44 44.8	14 35 55.2
17	9	3	14.0	16 33.86	3 46 55.3	15 33 44.7
18	9	6	17 12.2	16 42.33	2 53 4.2	16 27 35.8
19	9	7	17 22.5	16 42.83	2 53 37.1	16 27 2.9
20	8.9	6	8.7	17 38.81	2 47 0.4	16 33 39.6
21	9	4	47.6	18 47.60	2 46 50.7	16 33 49.3
22	9.0	5	6.0	18 46.19	2 50 50.0	16 29 50.0
23	8	4	20 28.8	20 28.80	3 9 12.0	16 11 28.0
24	8	5	23 39.9	23 20.18	4 0 46.5	15 19 53.5
25	9	6	3.5	23 33.98	4 5 30.0	15 15 10.0
26	8.9	4	54.8	24 54.80	4 14 28.3	15 6 11.7
27	6	5	27.5	25 7.68	3 0 11.8	16 20 28.2
28	8	3	49.6	26 9.56	2 51 51.1	16 28 48.9
29	7	1	30.9	27 10.72	2 42 43.9	16 37 56.1
30	8	7	50 :	26 10	2 23 34.9	16 57 5.1
31	8.9	4	38.8	27 38.80	2 26 32.5	16 54 7.5
32	7.8	2	18.0	28 47.82	2 49 57.8	16 30 42.2
33	8	7	28 50.6	28 11.12	3 52 24.0	15 28 16.0
34	8	6	39.7	29 10.17	4 19 41.0	15 0 59.0
35	8.9	7	31.7	29 52.07	3 6 37.2	16 14 2.8
36	7.8	5	10.7	30 50.79	2 10 36.8	17 10 3.2
37	8.9	2	32 22.6	32 52.38	3 4 39.9	16 16 0.1
38	9	3	33 35.8	33 55.62	4 16 8.0	15 4 32.0
39	9	3	56.9	34 16.76	4 15 36.8	15 5 3.2
40	7	4	1.0	35 1.00	3 48 51.0	15 31 49.0
41	7.8	2	38.0	36 7.77	2 57 13.8	16 23 26.2
42	9	5	43.9	36 24.17	3 55 23.5	15 25 16.5
43	6	7	58.4	36 18.98	4 9 1.4	15 11 38.6
44	8.9	1	56.9	38 36.53	3 39 17.2	15 41 22.8
45	7.8	7	40.7	38 1.02	2 52 5.2	16 28 34.8
46	7.8	5	21.7	39 1.85	2 42 23.9	16 38 16.1
47	8	7	40 1.0	39 21.65	4 34 29.9	14 46 10.1
48	8.9	7	41 1.3	40 21.69	3 12 43.9	16 7 56.1
49	8	1	41 56.6	42 36.48	2 27 21.7	16 53 18.3
50	8.9	1	33.5	43 13.30	2 48 7.2	16 32 32.8
51	9	5	21.5	43 1.76	3 48 50.1	15 31 49.9
52	9	4	44 31.3	44 31.30	2 33 54.2	16 46 45.8
53	5	1	18.3	45 58.05	3 3 30.0	16 17 10.0
54	9	2	53.6	46 23.38	4 7 38.2	15 13 1.8
55	9	4	47 10.0	47 10.00	3 25 48.1	15 54 51.9
56	8	5	48 19.5	47 59.84	4 37 41.9	14 42 58.1
57	8	4	55.5	48 55.50	3 57 7.8	15 23 32.2
58	6.7	4	16.6	49 16.58	3 44 59.1	15 35 40.9
59	9	5	9.8	49 49.98	2 58 17.1	16 22 22.9
60	8	7	46.0	50 6.28	2 41 44.9	16 38 55.1
61	8.9	4	25.1	51 25.10	2 29 24.5	16 51 15.5

Microsc. I — 7".30

Decl. = Microsc. I — 19° 20' 40"

16" $\tau + i$ — 38".618 $\Delta \tau + 0".004$ $\Delta i + 0"$

Hilfstafel zur Reduction auf den mittlere
Ort 1850 Januar 0 $D = -16^\circ$.

T.	k	k'	d
15 0'—40.53	—2	+6	+10.4 —0.6 +
10—40.55	—1	+6	+ 9.8 —0.7 +
20—40.56	—2	+6	+ 9.1 —0.6 +
30—40.58	—1	+6	+ 8.5 —0.6 +
40—40.59	—1	+6	+ 7.9 —0.6 +
50—40.60	—1	+6	+ 7.3 —0.6 +

6. Die Beobachtung ward durch Wolken unterbrochen, ehe die Decl. ganz sicher eingezeichnet war, die daher etwas zweifelhaft ist.

22	Fad. 6.	16".1
25	" 7.	13.6 Fäden 33".81 und 34".16
34	" 7.	49.7
39	" 4.	16.8
41	" 3.	47.8
54	" 3.	3.7 Fäden 23".23 und 23".53
58	" 5.	36.3

Gr.	Fad.	Beob. Zeit.	T.	Microsc. I	Südl. Declin.
6	2	52' 5.5	15 52 35.38	3 15 21.0	16 5 19.0
9	4	57.0	52 57.00	4 21 20.0	14 59 20.0
9	3	29.5	53 49.40	4 32 47.1	14 47 52.9
8	4	54 42.5	54 42.50	3 21 40.9	15 58 59.1
9	4	57 26.4	57 26.40	4 50 3.0	14 30 37.0
3.9	4	58 18.5	58 18.50	4 17 3.3	15 3 36.7
8	4	3.0	59 3.00	3 36 26.0	15 44 14.0
9	3	41.0	16 0 0.87	3 38 21.8	15 42 18.2
9	1	11.6	0 51.23	3 39 11.8	15 41 28.2
9	2	39.3	1 9.20	3 33 44.0	15 46 56.0
8	4	36.5	1 36.50	2 33 43.6	16 46 56.4
9	7	8.8	1 29.02	2 23 49.8	16 56 50.2
8	4	5 23.4	5 23.40	4 36 52.0	14 43 48.0
9	6	5.0	5 35.29	3 57 26.0	15 23 14.0
9	7	50.8	6 11.22	3 19 42.7	16 0 57.3
9	7	3.5	6 23.88	3 11 22.9	16 9 17.1
3	4	8 3.1	8 3.18	3 50 16.6	15 30 23.4
8	3	12.0	9 31.81	4 23 23.5	14 57 16.5
9	2	10 20.0	10 49.75	3 16 17.1	16 4 22.9
9	4	14.3	11 14.30	2 41 25.8	16 39 14.2
9	5	1.3	11 41.46	2 47 51.1	16 32 48.9
3	4	39.4	12 39.40	2 37 42.4	16 42 57.6
7	2	14 28.2	14 58.04	2 41 1.4	16 39 38.6
9	4	56.4	14 56.40	2 33 2.5	16 47 37.5
9	3	16 13.4	16 33.19	4 37 46.0	14 42 54.0
9	7	17 24.2	16 44.37	2 8 21.8	17 12 18.2
9	7	3.5	17 23.95	3 30 9.6	15 50 30.4
9	3	20 3.2	20 23.09	3 28 19.2	15 52 20.8
8	4	23 14.0	23 14.00	3 3 48.7	16 16 51.3
8	3	24 26.0	24 45.87	3 41 11.3	15 39 28.7
9	1	26 48.1	27 27.76	3 23 35.1	15 57 4.9
9	4	29 3.5	29 3.56	2 29 50.9	16 50 49.1
9	5	1.0	29 41.16	2 48 15.0	16 32 25.0
9	2	31 23.2	31 53.11	3 1 58.9	16 18 41.1
9	5	25 51.0	13 25 31.35	4 44 56.5	14 35 43.5
9	5	27 21.8	27 2.14	2 45 46.1	16 34 53.9
9	5	26.8	28 7.00	3 11 15.0	16 9 25.0
9	2	9.9	29 39.68	3 39 39.8	15 41 0.2
9	6	30 34.0	30 4.37	4 30 48.0	14 49 52.0
9	2	32 4.5	32 34.19	3 39 24.4	15 41 15.6
9	5	32.7	32 12.95	3 38 35.8	15 42 4.2
9	4	24.0	33 24.00	4 11 15.3	15 9 24.7
9	3	2.3	34 22.21	3 17 38.6	16 3 1.4
9	6	44.0	34 14.11	2 46 41.2	16 33 58.8
9	4	8.4	35 8.40	2 49 47.0	16 30 53.0
9	4	52.1	35 52.10	2 5 22.9	17 15 17.1
9	1	36 23.9	37 3.88	2 9 44.1	17 10 55.9
9	4	16.5	37 16.50	2 23 6.2	16 57 33.8
9	4	55.4	37 55.40	2 51 9.5	16 29 30.5
9	7	50.4	38 11.01	4 19 37.7	15 1 2.3
9	4	49.5	39 49.50	3 1 3.5	16 19 36.5
9	5	16.4	39 56.52	2 14 9.4	17 6 30.6
9	4	42 24.0	42 24.00	1 57 32.0	17 23 8.0
7	3	46 32.9	46 52.85	2 54 9.1	16 26 30.9
9	7	48 18.0	47 38.65	4 33 39.2	14 47 0.8

Hälftafel zur Reduction auf den mittlern Ort 1850 Januar 0 D = - 16°.

T.	k	k'	d	d'
15 50 - 40.60	-1	+6	+ 7.3	-0.6
16 0 - 40.61	0	+6	+ 6.7	-0.6
10 - 40.61	0	+6	+ 6.1	-0.6
20 - 40.61	0	+6	+ 5.5	-0.6
30 - 40.61		+6	+ 4.9	-0.6

62 Fad. 3. 15.6
 64 " 4. 49.5
 71 " 3. 49.5 Fäden 9".01 und 9".38
 78 " 5. 23.0
 92 " 2. 58.0
 93 " 5. 23.5
 95 " 3. 33.3

Gute Luft, aber Anfangs zuweilen etwas unruhig.
 Die Beleuchtung war schwer zu reguliren.

ZONE 298. 1850 Mai 29. West.

NC. 12 58 - 2 7.76
 Anf. 28 2.40 13.8 57.9 Ende 56.5
 Microsc. I - 8".41
 Decl. = Microsc. I - 19° 20' 40"
 13" 30' r + i - 38".512 Δr + 0".004 Δi + 0".030

Hälftafel. D = - 16°.

T.	k	k'	d	d'
13 20 - 40.07	-4	+5	+14.8	-0.6
30 - 40.11	-4	+5	+14.2	-0.7
40 - 40.15	-4	+5	+13.5	-0.7
50 - 40.19		+5	+12.8	+10.0

2 Fad. 6. 32.2 Fäden 1".96 und 2".31
 4 " 3. 19.9
 13 " 2. 34.0
 18 " 6. 26.5

Zeitweise Wolken.

Nº.	Gr.	Fad.	Beob. Zeit.	T.	Microsc. I	Südl. Declin.	
1	9	5	34' 42.0	13 34' 22.21	3° 17' 36.2	16° 2' 53.8	ZONE 299. 1850 Mai 30. Wes
2	9	5	28.3	35 8.46	2 49 42.8	16 30 47.2	μ NC. 12 58' - 2' 8.39
3	8.9	5	11.9	35 51.98	2 5 20.6	17 15 9.4	15 20 - 2 9.77
4	7	2	34.0	37 3.92	2 9 42.8	17 10 47.2	Anf. 28 0.54 + 14.5 58.6
5	6	5	24.4	37 4.73	3 55 1.8	15 25 28.2	14 15 58.8
6	8.9	5	6.5	37 46.79	4 10 15.2	15 10 14.8	Ende 28 0.62 + 14.0 60.6
7	7	5	30.6	38 10.91	4 19 37.1	15 0 52.9	Microsc. I - 6'' 86 μ - 7'' 24
8	8.9	2	19.7	39 49.49	3 1 2.9	16 19 27.1	Decl. = Microsc. I - 19° 20' 30''
9	9	5	53.8	39 33.95	2 16 17.2	17 4 12.8	14 μ τ + i - 38'' 504 $\Delta\tau$ + 0'' 003 Δi + 0''
10	6	4	56.4	39 56.35	2 14 9.4	17 6 20.6	
11	8.9	6	2.7	40 33.08	4 1 31.4	15 18 58.6	
12	9.0	7	42 38.1	41 58.54	3 26 25.7	15 54 4.3	Hilfstafel zur Reduction auf den mittleren Ort 1850 Januar 0 D = - 16°.
13	9	7	44 58.8	44 19.46	4 36 51.5	14 43 38.5	
14	8	3	27.6	45 47.44	4 5 5.9	15 15 24.1	
15	7	4	46 52.8	46 52.80	2 54 8.6	16 26 21.4	
16	9	5	38.2	47 18.31	2 20 55.9	16 59 34.1	
17	9	4	17.5	48 17.50	4 0 57.0	15 19 33.0	
18	7.8	6	39.6	48 9.89	3 56 5.8	15 24 24.2	
19	9	1	38.0	50 17.82	2 44 16.3	16 36 13.7	
20	9	7	24.2	49 44.55	3 1 12.8	16 19 17.2	
21	8.9	7	50 55 :	50 16	4 10 31.9	15 9 58.1	
22	8.9	5	38.7	51 18.99	4 10 5.2	15 10 24.8	
23	9	6	31.8	52 1.83	2 14 5.4	17 6 24.6	
24	8	4	22.5	53 22.50	3 44 39.4	15 35 50.6	
25	8	4	19.7	54 19.70	2 10 38.4	17 9 51.6	
26	6.7	3	14.9	55 34.87	2 42 0.8	16 38 29.2	
27	9	6	37.5	55 7.60	2 42 30.1	16 37 59.9	
28	9	5	57 25.4	57 5.58	3 2 58.3	16 17 31.7	
29	9	7	42.7	57 3.04	2 56 31.8	16 23 58.2	
30	8	3	19.3	58 39.21	2 32 21.0	16 48 9.0	
31	7	3	41.0	59 0.84	2 36 17.0	16 44 13.0	
32	7	5	0 4.0	59 44.26	3 52 2.6	15 28 27.4	
33	8.9	5	1 37.6	14 1 17.73	2 19 16.0	17 1 14.0	
34	9	4	2 59.4	2 59.40	2 3 48.4	17 16 41.6	
35	8.9	1	39.5	4 19.44	2 10 15.1	17 10 14.9	
36	8.9	7	21.8	3 42.15	3 1 41.0	16 18 49.0	
37	9	3	8.0	5 27.84	3 59 46.2	15 20 43.8	
38	9.0	7	42.0	5 2.58	4 10 39.9	15 9 50.1	
39	9	7	22.2	5 42.82	4 25 12.8	14 55 17.2	
40	9	7	24.2	5 44.83	4 26 18.6	14 54 11.4	
41	7.8	2	7 49.6	8 19.25	3 57 33.3	15 22 56.7	
42	8.9	4	9 27.0	9 27.00	3 36 4.2	15 44 25.8	
43	8.9	3	21.6	10 41.61	2 18 18.8	17 2 11.2	
44	9	4	11 39.7	11 39.70	3 27 41.8	15 52 48.2	
45	7	2	22.9	12 52.77	2 30 20.8	16 50 9.2	
46	7.8	2	48.8	13 18.66	2 33 15.3	16 47 14.7	
47	9	4	24.6	13 24.60	2 14 28.1	17 6 1.9	
48	9	4	54.3	13 54.30	2 4 47.2	17 15 42.8	
49	7	2	15 55.0	16 24.70	3 55 23.3	15 25 6.7	
50	7.8	4	18 23.1	18 23.10	3 43 20.0	15 37 10.0	
51	8	4	21.8	19 21.80	2 22 9.1	16 58 20.9	
52	7.8	5	11.9	19 52.20	4 12 13.9	15 8 16.1	
53	8	5	21 15.1	20 55.36	3 52 32.0	15 27 58.0	
54	8.9	7	49.7	21 10.04	2 56 24.5	16 24 5.5	
55	8	6	12.0	21 42.14	2 54 2.9	16 26 27.1	

ZONE 299. 1850 Mai 30. Wes

NC. 12 58' - 2' 8.39

15 20 - 2 9.77

Anf. 28 0.54 + 14.5 58.6

14 15 58.8

Ende 28 0.62 + 14.0 60.6

Microsc. I - 6'' 86 μ - 7'' 24

Decl. = Microsc. I - 19° 20' 30''

14 μ τ + i - 38'' 504 $\Delta\tau$ + 0'' 003 Δi + 0''

Hilfstafel zur Reduction auf den mittleren Ort 1850 Januar 0 D = - 16°.

T.	k	k'	d	
13 30-40.10	-4	+6	+ 4.3	-0.3
40-40.14	-4	+6	+ 4.0	-0.3
50-40.18	-4	+6	+ 3.7	-0.3
14 0-40.22	-4	+6	+ 3.4	-0.2
10-40.26	-3	+6	+ 3.2	-0.3
20-40.29	-4	+6	+ 2.9	-0.2
30-40.33		+6	+ 2.7	

5 Fad. 6. 34.5''

9 " 7. 13.8

10 " 5. 16.2

11 " 7. 12.6

19 " 2. 48.0

31 " 4. 0.7

33 " 6. 47.6

49 " 3. 4.9

Gr.	Fad.	Beob. Zeit.	T.	Microsc. I	Südl. Declin.
9	5	23 32.0	14 23 12.25	3 37 46.1	15 42 43.9
7	2	52.4	24 22.09	3 38 47.4	15 41 42.6
9	6	34.5	24 4.78	3 46 4.9	15 34 25.1
8	4	14.8	25 14.80	3 41 4.2	15 39 25.8
8.9	3	40.5	26 0.38	3 36 41.9	15 43 48.1
7	4	26.9	26 26.90	3 11 6.6	16 9 23.4
9	6	3.5	26 33.56	2 26 34.8	16 53 55.2
8.9	3	48.5	28 8.55	1 58 0.0	17 22 30.0
9	6	33.6	28 3.64	2 17 34.1	17 2 55.9
8	1	17.4	29 57.07	3 27 39.7	15 52 50.3
8.9	4	49.5	30 49.50	2 7 18.0	17 13 12.0
8	3	23.1	31 43.14	2 6 28.1	17 14 1.9
9	6	4.5	31 34.54	2 15 46.0	17 4 44.0
8.9	5	40.1	32 20.23	2 32 30.1	16 47 59.9
9	5	33 12.5	32 52.56	2 12 23.9	17 8 6.1
8.9	1	55.5	34 35.44	2 9 53.8	17 10 36.2
9	5	29.2	34 9.35	2 42 34.7	16 37 55.3
8.9	7	27.5	34 47.93	3 23 12.9	15 57 17.1
9.0	7	2.5	35 22.92	3 19 45.8	16 0 44.2
9	5	55.9	36 36.20	4 15 25.8	15 5 4.2
9	3	30.9	37 50.70	4 28 24.2	14 52 5.8
6	1	42.7	38 22.22	4 30 56.6	14 49 33.4
9	4	39 24.2	39 24.20	3 30 1.0	15 50 29.0
6.7	1	10.6	40 50.34	2 38 4.3	16 42 25.7
8.9	2	49.0	41 18.80	2 57 53.1	16 22 36.9
9.0	5	15.0	40 55.21	2 56 54.3	16 23 35.7
8	3	9.6	42 29.48	3 33 36.1	15 46 53.9
6	3	44.3	43 4.15	3 58 12.2	15 22 17.8
3	3	55.7	43 15.52	3 55 32.4	15 24 57.6
7.8	2	44 25.6	44 55.28	4 34 18.2	14 46 11.8
7.8	5	19.4	44 59.64	3 33 45.2	15 46 44.8
8	3	41.5	46 1.40	3 26 48.1	15 53 41.9
8	1	11.0	46 50.65	3 33 50.1	15 46 39.9
7.8	2	36.0	47 5.73	3 25 28.8	15 55 1.2
9	3	48 6.5	48 26.38	3 33 46.2	15 46 43.8
7.8	1	47.0	49 26.50	3 26 4.3	15 54 25.7
8	4	18.7	49 18.70	3 38 19.9	15 42 10.1
8	3	38.1	49 57.99	3 32 15.9	15 48 14.1
9	2	3.7	50 33.46	3 27 35.3	15 52 54.7
9	2	39.6	51 9.32	3 29 47.1	15 50 42.9
8	4	14.6	51 14.71	4 30 32.1	14 49 57.9
9	4	9.6	52 9.60	4 8 59.0	15 11 31.0
9	5	59.0	52 39.22	3 24 17.0	15 56 13.0
8.9	4	53 41.6	53 41.60	3 3 15.7	16 17 14.3
8.9	6	16.4	53 46.53	2 54 25.1	16 26 4.9
7	2	51.6	55 21.50	2 18 21.2	17 2 8.8
7	4	51.7	55 51.70	3 20 35.4	15 59 54.6
9	5	24.6	56 4.79	3 35 10.1	15 45 19.9
8	7	9.4	56 30.03	4 28 6.9	14 52 23.1
8	7	14.2	56 34.83	4 26 3.5	14 54 26.5
5	2	26.7	58 56.33	3 40 9.5	15 40 20.5
9	5	13.1	58 53.34	3 35 3.0	15 45 27.0
6	5	27.2	59 7.42	3 26 29.3	15 54 0.7
8	2	0.7	15 0 30.59	2 49 54.1	16 30 35.9
9	5	2 11.9	1 52.03	2 31 35.9	16 48 54.1

*Hülftafel zur Reduction auf den mittlern
Ort 1850 Januar 0 D = - 16°.*

T.	k	k'	d	d'
14 20-40.29	-4	+6	+ 3.9 -0.2	+ 9.9
30-40.33	-3	+6	+ 2.7 -0.3	+10.0
40-40.36	-2	+6	+ 2.4 -0.2	+10.0
50-40.38	-3	+6	+ 2.2 -0.2	+10.0
15 0-40.41	-2	+6	+ 2.0 -0.2	+10.0
10-40.43		+6	+ 1.8	+10.0

58	Fad.	7.	44.3
70	"	6.	22.5
72	"	6.	39.3 Fad. 7. 49".0
77	"	2.	52.7
79	"	2.	20.4
81	"	6.	25.1
83	"	4.	4.15
84	"	4.	15.5
85	"	3.	35.6
91	"	2.	56.6 Fäden 26".68 und 26".33
94	"	3.	13.6
96	"	5.	34.5
101	"	3.	1.5
103	"	6.	34.5 Ein Fehler von +1", der bei den beiden folgenden Sternen entdeckt ward, hat vielleicht schon hier stattgefunden, und wäre dann T zu lesen 56' 3".79.
106	Fad.	3.	36.4
109	"	3.	10.7

N ^o .	Gr.	Fad.	Beob. Zeit.	T.	Microsc. I	Südl. Declin.
111	9	5	0.6	15 2 40.84	3 36 0.8	15 44 29.2
112	9	7	20.6	2 41.08	3 41 1.8	15 39 28.2
113	9	5	45.5	3 25.75	3 38 9.0	15 42 21.0
114	6.7	4	8.0	4 8.00	3 45 13.9	15 35 16.1
115	7	4	38.0	4 38.00	3 30 0.1	15 50 29.9
116	9	6	34.4	5 4.51	2 46 36.8	16 33 53.2
117	8.9	3	58.8	6 18.78	2 33 58.9	16 46 31.1
118	7.8	4	24.5	6 24.38	2 23 25.9	16 57 4.1
119	6.7	6	16.6	6 46.61	2 8 22.5	17 12 7.5
120	9	5	8 8.9	7 49.08	2 58 6.8	16 22 23.2
1	8.9	6	55 50.9	15 55 20.81	1 29 52.9	17 50 57.1
2	7	4	57 5.4	57 5.40	1 13 28.7	18 7 21.3
3	9	4	26.2	57 26.20	1 5 56.3	18 14 53.7
4	8.9	2	56.6	58 26.70	1 6 4.9	18 14 45.1
5	8.9	5	32.1	58 11.99	0 23 4.1	18 57 45.9
6	8.9	7	6.8	58 26.74	1 6 5.0	18 14 45.0
7	8	5	43.6	59 23.60	1 23 19.0	17 57 31.0
8	7	4	9.3	16 0 9.30	1 30 50.9	17 49 59.1
9	8	2	6.4	1 36.26	2 33 41.1	16 47 8.9
10	9	4	30.2	1 30.20	2 29 13.5	16 51 36.5
11	9	5	49.0	1 29.12	2 23 49.1	16 57 0.9
12	7	6	28.0	1 57.89	1 24 32.2	17 56 17.8
13	7	1	16.0	3 56.41	0 17 36.8	19 3 13.2
14	5	1	17.1	3 57.46	0 16 57.1	19 3 52.9
15	8	4	19.2	4 19.20	0 9 48.1	19 11 1.9
16	8	4	41.8	4 41.80	0 14 18.5	19 6 31.5
17	7.8	4	29.3	5 29.30	1 38 2.2	17 42 47.8
18	8.9	3	47.6	6 7.70	1 32 6.1	17 48 43.9
19	9	5	17.7	5 57.78	1 59 40.7	17 21 9.3
20	9	7	56.4	6 16.60	2 18 42.3	17 2 7.7
21	8	3	8 0.2	8 20.35	1 7 45.4	18 13 4.6
22	9	6	9 9.6	8 39.44	1 6 50.5	18 13 59.5
23	7	1	50.8	10 30.70	2 19 51.7	17 0 58.3
24	7	2	11 4.0	11 34.14	0 53 20.3	18 27 29.7
25	9	3	29.1	11 49.28	0 50 35.2	18 30 14.8
26	7.8	3	8.5	12 28.66	1 1 25.0	18 19 25.0
27	9	6	43.2	12 13.07	1 18 3.9	18 2 46.1
28	9	5	26.3	13 6.38	2 0 51.6	17 19 58.4
29	8.9	5	15 16.1	14 56.23	2 32 59.8	16 47 50.2
30	8	4	16 44.2	16 44.20	2 8 19.1	17 12 30.9
31	6	4	19 0.8	19 0.80	1 14 13.4	18 6 36.6
32	8	6	20 32.7	20 2.66	1 50 28.0	17 30 22.0
33	7	4	45.9	20 45.87	1 42 2.0	17 38 48.0
34	8.9	5	21 59.2	21 39.21	1 26 35.5	17 54 14.5
35	9	4	24.5	22 24.50	1 20 38.9	18 0 11.1
36	7.8	4	23 40.2	23 40.20	1 57 42.5	17 23 7.5
37	8.9	2	26 58.0	27 28.14	0 59 26.0	18 21 24.0
38	8.9	3	43.0	28 3.15	1 6 10.5	18 14 39.5
39	8.9	2	28 33.5	29 3.37	2 29 50.9	16 50 59.1
40	9	3	12.5	29 32.63	1 17 5.5	18 3 44.5
41	7	1	51.2	30 31.46	0 49 46.6	18 31 3.4
42	9	3	38.5	30 58.65	1 7 37.8	18 13 12.2
43	7	3	32 57.4	33 17.49	1 35 6.0	17 45 44.0
44	5.6	4	34.5	33 34.50	1 53 58.3	17 26 51.7
45	8.9	4	21.3	34 21.30	2 36 46.5	16 44 3.5

Hälftafel. D = - 16°.

T.	k	k'	d
15	0-40.41	-2	+6 + 2.0 -0.2
10	40.43		+6 + 1.8

118 Fad. 6. 54''.2

Gute Luft.

ZONE 300. 1850 Mai 30. W

NC. 15	20-2	9.77
17	52-2	8.97
Anf. 28	0.67+14.1	58.1
16 45		53.9
Ende 28	0.64+11.5	50.0
Microsc. I	-8''00	
Decl. = Microsc. I	-19° 20' 50''	
17° τ+i	-38''526	Δτ+0''003 Δi+

Hälftafel zur Reduction auf den mittl. Ort 1850 Januar 0 D = - 18°.

T.	k	k'	d
15	50-40.56	-1	+6 + 4.0 -0.8
16	0-40.57	0	+6 + 3.2 -0.7
10	40.57	0	+6 + 2.5 -0.7
20	40.57	0	+6 + 1.8 -0.7
30	40.57	0	+6 + 1.1 -0.8
40	40.57		+6 + 0.3

4. 6. derselbe.

13 Fad. 2. 26''.2

14 " 3. 37.2

33 " 5. 5.8

37 " 3. 8.0

41 " 2. 1.0 Fad. 7. 11''.6; die Fäden 31''45, 31''15 und 31''47, der m ist ausgeschlossen.

N ^o .	Gr.	Fad.	Beob. Zeit.	T.	Microsc. I	Süd. Declin.
46	8.9	4	35 13.5	16 35 13.50	1 10 43.5	18 10 6.5
47	7	2	31.3	36 1.41	1 5 36.9	18 15 13.1
48	8.9	7	36 52.3	36 12.48	2 11 22.9	17 9 27.1
49	8.9	1	36.6	38 16.52	2 16 44.2	17 4 5.8
50	8	4	38 8.0	38 8.00	2 43 28.7	16 37 21.3
51	9	7	56.1	38 16.30	2 16 44.4	17 4 5.6
52	8	1	39 46.8	40 27.16	0 20 53.8	18 59 56.2
53	9	4	40 54.5	40 54.50	0 0 59.9	19 19 50.1
54	8	4	41 25.3	41 25.30	0 41 27.8	18 39 22.2
55	8.9	6	14.4	41 44.28	1 21 15.8	17 59 34.2
56	8	3	2.0	43 22.08	1 40 15.8	17 40 34.2
57	8.9	5	44 34.6	44 14.47	0 15 13.7	19 5 36.3
58	7.8	7	46 34.8	45 54.86	1 37 26.1	17 43 23.9
59	8	2	28.7	47 58.70	1 41 14.0	17 39 36.0
60	8.9	2	2.7	48 32.74	1 27 34.0	17 53 16.0
61	6.7	4	48 56.0	48 56.00	0 3 12.9	19 17 37.1
62	8	7	45.0	49 5.07	1 39 41.2	17 41 8.8
63	8	7	47.1	49 7.19	1 46 30.8	17 34 19.2
64	8.9	7	50 52.7	50 12.78	1 43 40.2	17 37 9.8
65	7	4	41.0	51 41.00	1 20 16.1	18 0 33.9
66	8.9	4	52 10.9	52 10.90	1 21 51.6	17 58 58.4
67	8	3	50.9	53 10.91	2 13 43.9	17 7 6.1
68	8	7	53 58.8	53 18.63	0 38 26.3	18 42 23.7
69	6	6	15.5	53 45.35	0 41 23.7	18 39 26.3
70	9	1	51.5	55 31.73	0 38 26.8	18 42 23.2
71	8	5	31.2	55 11.05	0 4 49.1	19 16 0.9
72	9	6	58.1	55 27.76	0 6 26.9	19 14 23.1
73	9	7	57 17.4	56 37.33	1 5 8.6	18 15 41.4
74	8	2	58 33.5	59 3.62	1 1 5.2	18 19 44.8
75	8	3	19.0	59 39.16	0 59 39.0	18 21 11.0
76	8.9	2	44.3	17 0 14.39	1 10 20.8	18 10 29.2
77	8	4	23.3	0 23.30	1 22 48.8	17 58 1.2
78	8	3	43.2	1 3.33	1 17 30.8	18 3 19.2
79	8	1	17.3	1 57.38	1 31 44.3	17 49 5.7
80	8	1	2 48.2	3 28.36	1 11 48.9	18 9 1.1
81	9	3	3 50.8	4 11.00	0 37 51.2	18 42 58.8
82	8.9	4	4 21.2	4 21.20	0 59 25.9	18 21 24.1
83	9	4	35.0	4 34.83	0 58 52.1	18 21 57.9
84	8	3	5 11.4	5 31.56	0 59 48.7	18 21 1.3
85	9	1	40.6	6 20.81	0 58 4.2	18 22 45.8
86	8	5	10.4	5 50.39	1 18 46.7	18 2 3.3
87	8	6	49.9	6 20.02	2 3 45.4	17 17 4.6
88	7	4	36.6	7 36.60	2 17 43.2	17 3 6.8
89	9	4	58.5	7 58.50	2 43 8.2	16 37 41.8
90	9	3	39.2	8 59.26	1 51 40.8	17 29 9.2
91	7.8	7	20.6	8 40.65	1 36 24.1	17 44 25.9
92	8.9	7	36.6	8 56.64	1 32 24.0	17 48 26.0
93	9	6	7.2	9 37.20	1 41 15.7	17 39 34.3
94	7	3	11 2.0	11 22.21	0 33 33.3	18 47 16.7
95	8.9	3	32.6	11 52.82	0 30 5.1	18 50 44.9
96	9	5	6.2	11 46.09	0 25 16.2	18 55 33.8
97	7	5	46.9	12 26.77	0 10 53.0	19 9 57.0
98	9	4	30.0	13 30.00	0 50 50.3	18 29 59.7
	7.8	2	13 45.5	14 15.65	0 51 30.0	18 29 20.0
	3	3	44.8	15 4.92	1 22 54.0	17 57 56.0

*Halftafel zur Reduction auf den mittlern
Ort 1850 Januar 0 D = - 18°.*

T.	k	k'	d	d'
16 30-40.57	0	+6	+ 1.1	-0.8
40-40.57	+1	+6	+ 0.3	-0.7
50-40.56	+1	+6	- 0.4	-0.6
17 0-40.55	+1	+6	- 1.0	-0.7
10-40.54	+1	+5	- 1.7	-0.7
20-40.53		+5	- 2.4	+12.4

49. 51. derselbe.

61. dupl. II. Cl. seq.

67 Fad. 4. 10''9

69 „ 7. 25.6

70 „ 2. 1.5

83 „ 5. 54.7 giebt 34''65

86 „ 6. 20.5

87 „ 7. 0.0

93 „ 7. 17.2

No.	Gr.	Fad.	Beob. Zeit.	T.	Microsc. I	Südl. Declin.
101	8	4	15' 21.3	17 15' 21.30	1 31' 32.7	17° 49' 17.3
102	8.9	4	14.0	16 14.00	1 21' 38.1	17 59 11.9
103	7	7	17 11.0	16 30.93	1 2 50.8	18 17 59.2
104	8	5	35.1	17 15.08	1 12 32.3	18 8 17.7
105	8.9	7	20 :	17 40	0 11 44.7	19 9 5.3
106	8.9	2	3.1	19 33.35	0 15 45.2	19 5 4.8
107	8	5	49.0	19 28.98	1 8 17.9	18 12 32.1
108	8.9	3	9.7	20 29.84	1 10 56.2	18 9 53.8
109	8	5	52.4	20 32.46	1 28 59.8	17 51 50.2
110	8.9	4	37.5	21 37.37	1 40 3.5	17 40 46.5
111	7	4	54.6	21 54.60	1 39 42.7	17 41 7.3
112	9	4	36.2	22 36.20	1 35 28.0	17 45 22.0
113	8	4	23 11.3	23 11.30	2 19 26.1	17 1 23.9
114	6.7	2	24 26.4	24 56.36	1 57 52.5	17 22 57.5
115	9	4	14.3	25 14.30	1 25 5.6	17 55 44.4
116	7	5	41.0	25 20.97	1 7 21.1	18 13 28.9
117	7	2	57.7	26 27.76	1 14 13.0	18 6 37.0
118	9	3	28.9	26 49.04	1 12 12.2	18 8 37.8
119	9	3	53.8	27 13.90	1 12 34.2	18 8 15.8
120	9.0	7	35.5	26 55.44	1 7 36.4	18 13 13.6
121	7	2	23.8	28 54.01	0 27 37.7	18 53 12.3
122	9	5	8.0	28 48.02	1 29 43.3	17 51 6.7
123	8	5	54.6	29 34.63	1 37 5.4	17 43 44.6
124	9	4	39.6	30 39.60	1 15 47.0	18 5 3.0
125	8	5	22.4	31 2.48	1 59 36.9	17 21 13.1
126	9	2	12.4	32 42.32	2 10 0.8	17 10 49.2
127	9	7	45.0	32 5.10	1 50 55.2	17 29 54.8
128	8.9	4	29.9	33 29.90	1 50 18.0	17 30 32.0
129	9	4	47.3	33 47.30	1 46 17.5	17 34 32.5
130	9	7	27.4	33 47.42	1 28 48.0	17 52 2.0
131	9	5	5.4	34 45.42	1 28 39.0	17 52 11.0
132	7.8	5	36 24.6	36 4.64	1 40 42.2	17 40 7.8
1	9	3	58 15.2	13 58 36.22	4 55 57.0	24 25 53.0
2	8.9	4	5.0	59 5.00	4 7 34.5	25 14 15.5
3	8	2	37.5	14 0 8.84	5 2 8.0	24 19 42.0
4	8.9	3	0 43.4	1 4.25	5 59 2.1	23 22 47.9
5	9	4	35.9	1 35.90	5 28 51.8	23 52 58.2
6	9	6	9.0	1 37.56	5 1 39.7	24 20 10.3
7	7	5	44.4	2 23.47	4 40 30.6	24 41 19.4
8	7	4	5.3	3 5.30	4 45 13.5	24 36 36.5
9	7	3	25.9	3 46.96	4 53 28.4	24 28 21.6
10	9	7	34.2	3 52.21	4 19 40.0	25 2 10.0
11	7	4	5.7	5 5.70	4 34 3.8	24 47 46.2
12	9	5	30.5	5 9.53	4 29 7.1	24 52 42.9
13	9	5	7 40.7	7 19.96	5 51 8.8	23 30 41.2
14	8.9	4	22.8	8 22.80	4 41 53.8	24 39 56.2
15	9	2	12.5	9 43.94	4 45 40.2	24 36 9.8
16	9	3	57.3	10 18.38	4 40 23.0	24 41 27.0
17	6.7	2	40.0	11 11.58	4 13 51.0	25 7 59.0
18	8.9	4	35.5	11 35.50	4 54 53.9	24 26 56.1
19	9	7	6.0	11 24.31	5 14 51.1	24 6 58.9
20	7.8	5	6.0	12 45.21	5 32 43.6	23 49 6.4
21	9	7	45.5	13 3.87	5 25 47.5	23 56 2.5
22	9	3	40.9	15 1.93	4 52 28.3	24 29 21.7
23	9	6	8.0	14 36.50	4 45 8.6	24 36 41.4

*Hälftafel zur Reduction auf den mittlere
Ort 1850 Januar 0 D = - 18°.*

T.	k	k'	d
17 10-40.54	+1	+5	- 1.7 - 0.7
20-40.53	+2	+5	- 2.4 - 0.6
30-40.51	+2	+5	- 3.0 - 0.6
40-40.49		+5	- 3.6

109 Fad. 6. 2.6
110 „ 6. 7.3 dupl. II. Cl. bor.
117 „ 3. 7.6

Die Luft war Anfangs unruhig, und wurde e
immer höherem Grade bis 17^u, wo sie pl
lich besser und zuletzt recht gut wurde.

ZONE 301. 1850 Mai 31. Wei

NC. 13 51 - 2 7.67
16 1 - 2 7.98
Anf. 28 2.07 + 14.5 58.7
14 46 55.8
Ende 28 2.16 + 12.9 55.2
Microsc. I - 8''.01 u. - 8''.86
Decl. = Microsc. I - 29° 21' 50''
15^u r+i - 38''.568 Δr+0''.004 Δi+0''.

*Hälftafel zur Reduction auf den mittlere
Ort 1850 Januar 0 D = - 24°.*

T.	k	k'	d
14 0-40.42	-4	+7	+13.6 - 1.1
10-40.46	-4	+7	+12.5 - 1.0
20-40.50		+7	+11.5

3 Fad. 3. 47.8
9 „ 4. 47.0
16 „ 4. 18.4
19. Zeit zweifelhaft.

Nr.	Gr.	Fad.	Beob. Zeit.	T.	Microsc. I	Südl. Declin.
24	9	6	46.0	14 15 14.36	4 15 9.2	25 6 40.8
25	8.9	6	59.5	15 27.96	4 13 25.1	25 8 24.9
26	6	3	35.2	16 56.28	5 14 21.0	24 7 29.0
27	8	4	35.0	17 35.00	5 27 42.0	23 54 8.0
28	8	3	5.6	18 26.47	5 49 38.3	23 32 11.7
29	8.9	1	5.1	19 46.92	5 10 53.1	24 10 56.9
30	9.0	5	4.9	19 43.88	4 9 14.5	25 12 35.5
31	8.9	4	3.5	21 3.50	4 41 38.9	24 40 11.1
32	9	3	36.8	21 57.77	5 11 7.9	24 10 42.1
33	9	6	22 16.6	21 45.24	5 20 52.0	24 0 58.0
34	8	5	18.9	22 58.10	5 26 31.0	23 55 19.0
35	7	4	52.4	23 52.40	5 28 14.0	23 53 36.0
36	7.8	5	25 19.0	24 58.22	5 36 3.9	23 45 46.1
37	7.8	4	52.5	25 52.50	5 40 40.8	23 41 9.2
38	9	6	27 32.6	27 0.96	4 15 9.5	25 6 40.5
39	8	5	29.2	28 8.39	5 26 10.1	23 55 39.9
40	9	6	18.2	28 46.88	5 32 32.8	23 49 17.2
41	7	1	30 41.4	31 23.29	4 59 14.1	24 22 35.9
42	9	5	34.9	31 14.01	4 56 34.3	24 25 15.7
43	9	3	12.7	32 33.59	5 41 7.5	23 40 42.5
44	8.9	7	48.2	32 6.73	5 54 23.4	23 27 26.6
45	7	5	16.0	32 55.28	5 56 59.8	23 24 50.2
46	6.7	2	57.7	34 28.71	6 34 35.6	22 47 14.4
47	7.8	3	35.9	34 56.82	5 30 50.8	23 50 59.2
48	8	2	1.5	35 32.73	5 32 37.5	23 49 12.5
49	8	7	53.3	35 11.50	4 53 51.2	24 27 58.8
50	6	7	56.4	35 14.63	5 0 31.0	24 21 19.0
51	8	4	37.9	36 37.90	4 57 11.1	24 24 38.9
52	5	1	18.3	38 0.41	4 33 44.5	24 48 5.5
53	8.9	1	15.7	38 57.74	4 32 8.1	24 49 41.9
54	5	2	49.0	39 20.52	4 22 30.1	24 59 19.9
55	9	6	29.6	38 58.04	4 32 7.5	24 49 42.5
56	7.8	2	56.5	40 28.01	4 30 4.0	24 51 46.0
57	9	3	33.5	40 54.58	4 36 43.1	24 45 6.9
58	8.9	4	17.4	41 17.32	5 43 27.7	23 38 22.3
59	5.6	5	41.0	41 20.09	5 44 12.0	23 37 38.0
60	8.9	5	17.5	41 56.75	5 46 1.9	23 35 48.1
61	8	6	50.4	42 19.09	5 33 31.5	23 48 18.5
62	7.8	3	43 29.9	43 50.79	5 41 46.2	23 40 3.8
63	7.8	4	22.1	44 22.10	6 1 36.1	23 20 13.9
64	7.8	4	38.4	44 38.40	5 51 47.5	23 30 2.5
65	7	6	9.6	44 38.36	5 51 46.7	23 30 3.3
66	7	4	45 54.2	45 54.20	6 0 6.8	23 21 43.2
67	9	5	47 23.0	47 2.33	6 18 36.5	23 3 13.5
68	8.9	7	48 29.2	47 47.66	5 41 34.8	23 40 15.2
69	7.8	5	51.9	48 31.14	5 42 49.2	23 39 0.8
70	9	5	17.0	48 56.16	5 36 12.5	23 45 37.5
71	9.0	5	51 19.8	50 59.13	6 19 32.4	23 2 17.6
72	8.9	3	51.8	52 12.59	6 21 56.2	22 59 53.8
73	9	5	53 6.9	52 46.17	5 55 40.2	23 26 9.8
74	9	5	16.5	52 55.90	5 54 36.0	23 27 14.0
75	8.9	1	7.7	54 49.42	5 57 10.8	23 24 39.2
76	8.9	5	58.3	54 37.40	4 52 13.8	24 29 36.2
77	3	3	37.6	55 58.63	4 40 34.9	24 41 15.1
78	8.9	6	50.8	56 19.55	5 48 25.5	23 33 24.5

Hülftafel zur Reduction auf den mittlern Ort 1850 Januar 0 D = - 24°.

T.	k	k'	d	d'
14 10-40.46	-4	+7	+12.5	-1.0 +22.3
20-40.50	-3	+7	+11.5	-1.0 +22.3
30-40.53	-4	+7	+10.5	-0.9 +22.4
40-40.57	-2	+7	+9.6	-0.9 +22.4
50-40.59	-3	+7	+8.7	-0.9 +22.5
15 0-40.62		+7	+7.8	+22.5

25 Fad. 7.	10.1
26 „ 4.	56.4
48 „ 3.	11.8
52 „ 2.	29.0 dupl. II. Cl. praec.; seq. 8 ^m .
54 „ 3.	59.4
53. 55. derselbe.	
58 Fad. 5.	38.0
59 „ 6.	51.2 Fäden 20''.24 und 19''.94
64. 65. derselbe.	
70 Fad. 6.	27.4
74 „ 7.	37.5
75 „ 2.	18.4
77 „ 4.	58.6

No.	Gr.	Fad.	Beob. Zeit.	T.	Microsc. I	Südl. Declin.
79	9	5	27.6	14 57' 6.90	6° 7' 39.0	23° 14' 11.0
80	7	5	38.4	57 17.85	6 10 16.2	23 11 33.8
81	7	5	27.9	58 7.15	5 49 5.8	23 32 44.2
82	7	3	51.5	59 12.38	5 45 1.5	23 36 48.5
83	9	7	30.6	58 49.25	6 19 13.9	23 2 36.1
84	9.0	7	0 49.3	15 0 7.84	5 58 8.2	23 23 41.8
85	7	3	26.6	1 47.45	5 57 5.2	23 24 44.8
86	9	7	3.7	1 22.02	5 16 49.4	24 5 0.6
87	9	6	3 21.2	2 49.97	5 54 50.3	23 26 59.7
88	9	6	14.4	3 43.02	5 17 48.1	24 4 1.9
89	7	2	52.5	5 23.97	4 37 32.2	24 44 17.8
90	9	4	40.8	5 40.80	4 26 38.7	24 55 11.3
91	8.9	5	23.7	6 2.70	4 16 56.5	25 4 53.5
92	9	4	10.0	7 10.00	5 7 55.6	24 13 54.4
93	7	4	8 42.4	8 42.40	5 54 33.0	23 27 17.0
94	8	1	16.6	9 58.13	6 26 29.2	22 55 20.8
95	9	2	7.3	10 38.42	6 5 17.8	23 16 32.2
96	8	5	49.8	10 29.03	5 40 0.8	23 41 49.2
97	7	4	2.6	11 2.66	5 38 54.1	23 42 55.9
98	7	3	12.5	11 33.40	5 38 32.7	23 43 17.3
99	9	6	12 27.8	11 56.40	5 12 3.1	24 9 46.9
100	9	7	19.5	12 37.51	4 19 15.2	25 2 34.8
101	7.8	4	10.1	14 10.10	4 26 59.0	24 54 51.0
102	8.9	2	50.3	15 21.48	5 48 35.8	23 33 14.2
103	8	3	15 53.7	16 14.85	4 8 30.2	25 13 19.8
104	7	4	26.3	16 26.30	4 14 17.3	25 7 32.7
105	8	7	6.0	16 24.40	5 31 44.9	23 50 5.1
106	8.9	6	53.8	17 22.64	6 12 22.6	23 9 27.4
107	9	5	19 1.1	18 40.35	5 44 51.1	23 36 58.9
108	9	5	54.2	19 33.40	5 29 51.9	23 51 58.1
109	7	1	17.5	20 59.26	5 26 4.7	23 55 45.3
110	9	5	57.2	20 36.37	5 17 35.0	24 4 15.0
111	9	5	11.3	20 50.46	5 16 32.9	24 5 17.1
112	9	7	22 38.4	21 56.75	5 21 17.1	24 0 32.9
113	7	2	34.3	24 5.44	5 59 43.7	23 22 6.3
114	8	3	3.6	24 24.45	5 57 8.6	23 24 41.4
115	7.8	4	58.0	24 58.00	5 23 7.9	23 58 42.1
116	9	4	49.2	25 49.20	5 1 27.0	24 20 23.0
117	7	6	13.0	25 41.50	4 45 55.8	24 35 54.2
118	7.8	3	31.4	26 52.45	4 46 3.2	24 35 46.8
119	9	7	2.4	26 20.60	4 54 5.9	24 27 44.1
120	8	5	44.5	27 23.57	4 43 17.9	24 38 32.1
121	8.9	3	24.4	28 45.57	4 0 28.5	25 21 21.5
122	9	5	9.0	28 48.21	5 32 57.1	23 48 52.9
123	9	5	26.7	29 5.90	5 27 13.1	23 54 36.9
124	9	6	3.6	29 32.23	5 19 53.9	24 1 56.1
125	7.8	5	29.7	30 8.85	5 12 23.9	24 9 26.1
126	8.9	5	19.4	30 58.67	5 53 53.1	23 27 56.9
127	7.8	5	45.7	31 25.00	6 3 16.0	23 18 34.0
128	8	7	13.6	31 32.19	6 7 49.5	23 14 0.5
129	5	6	37.0	32 5.93	6 2 4.2	23 19 45.8
130	9.0	7	6.5	32 24.04	5 58 13.7	23 23 36.3
131	8	4	43.8	33 43.79	6 34 28.2	22 47 21.8
132	7.8	7	27.0	33 45.41	5 33 0.1	23 48 49.9
133	7.8	5	35 7.0	34 46.22	5 34 49.2	23 47 0.8

Hälftafel zur Reduction auf den mittl.
Ort 1850 Januar 0 D = - 24°.

T.	k	k'	d
14 50' - 40.59	-3	+7	+ 8.7 - 0.9 +
15 0 - 40.62	-2	+7	+ 7.8 - 0.8 +
10 - 40.64	-2	+7	+ 7.0 - 0.8 +
20 - 40.66	-2	+7	+ 6.2 - 0.8 +
30 - 40.68	-2	+7	+ 5.4 - 0.8 +
40 - 40.70		+7	+ 4.6 +

80 Fad. 7. 59.4 die Fäden geben 17".71
18".00; vielleicht wäre es besser, den
ten, der wohl nur flüchtig beobachtet
auszuschliessen.

89 Fad. 3.	2.9
94 "	2. 27.2
97 "	5. 23.5
98 "	4. 33.4
109 "	2. 28.0
111 "	6. 22.0
113 "	3. 44.6
115. dupl. II.—III. Cl. seq.; praec. 7.8. m.	
129 Fad. 7.	47.5
131 "	5. 4.4 Zeitsecunde zweifelhaft.

Schöne Luft; aber die Regulierung der Bele-
tung machte wieder Schwierigkeiten.

Gr.	Fad.	Beob. Zeit.	T.	Microsc. I	Südl. Declin.
8	3	2 11.5	14 2 32.82	3 11 59.0	26 10 21.0
7	7	4.7	2 22.88	4 50 29.2	24 31 50.8
7.8	7	10.3	3 28.15	3 53 59.3	25 28 20.7
6	2	47.4	5 19.18	3 27 48.0	25 54 32.0
6	7	33.5	4 50.96	2 49 10.8	26 33 9.2
8	3	24.0	6 45.49	2 18 59.0	27 3 21.0
8	6	16.9	6 45.11	3 40 1.1	25 42 18.9
7	2	9 6.5	9 38.38	3 6 34.1	26 15 45.9
8.9	3	53.0	10 14.44	2 32 58.9	26 49 21.1
6.7	2	38.2	11 10.05	2 55 30.9	26 26 49.1
6.7	5	31.7	11 10.69	4 13 46.5	25 8 33.5
7.8	2	13 11.0	13 42.98	2 44 30.3	26 37 49.7
7.8	1	1.2	14 43.69	3 16 13.2	26 6 6.8
8	2	55.5	15 27.11	4 13 21.0	25 8 59.0
8.9	4	45.5	15 45.50	3 41 9.9	25 41 10.1
8.9	3	3.3	16 24.45	3 17 43.2	26 4 36.8
8.9	2	7.5	17 39.54	2 32 4.6	26 50 15.4
8	3	42.6	18 4.05	2 49 40.4	26 32 39.6
8.9	2	19.6	18 51.50	2 53 36.8	26 28 43.2
8	6	11.2	18 39.28	3 11 31.7	26 10 48.3
9	1	20 18.2	21 0.31	4 20 29.9	25 1 50.1
7	1	50.8	21 33.02	4 1 32.1	25 20 47.9
7	6	4.9	21 33.21	4 1 32.5	25 20 47.5
8	4	44.4	22 44.40	3 12 18.5	26 10 1.5
7.8	2	39.3	24 11.14	3 15 15.9	26 7 4.1
7.8	5	24.7	24 3.19	2 20 12.5	27 2 7.5
8.9	6	29 36.5	29 4.92	4 13 32.2	25 8 47.8
7	1	31 10.9	31 53.54	2 53 30.0	26 28 50.0
7	5	58.2	31 37.03	3 17 54.7	26 4 25.3
7.8	2	21.4	32 53.15	3 35 13.6	25 47 6.4
7	5	44.0	32 22.91	3 45 40.0	25 36 40.0
9	6	59.6	32 27.84	3 46 7.9	25 36 12.1
8	4	34 18.8	34 18.80	2 13 59.0	27 8 21.0
8.9	1	51.8	35 34.64	2 14 55.0	27 7 25.0
8.9	5	36 7.7	35 46.65	3 59 42.7	25 22 37.3
8	2	54.6	37 26.49	3 3 59.4	26 18 20.6
9	5	36.1	37 15.00	2 48 10.2	26 34 9.8
8.9	1	3.5	38 46.22	2 45 42.5	26 36 37.5
9	4	55.5	38 55.50	2 31 37.4	26 50 42.6
8	4	35.2	39 35.20	2 18 34.3	27 3 45.7
6.7	6	40 23.4	39 51.52	3 21 19.0	26 1 1.0
5	4	42 9.5	42 9.50	2 2 43.2	27 19 36.8
9	2	44.3	43 16.23	2 21 43.8	27 0 36.2
8.9	2	12.5	43 44.53	2 24 8.0	26 58 12.0
9	5	27.4	44 6.24	3 22 6.8	26 0 13.2
8	6	6.6	44 35.03	4 32 3.7	24 50 16.3
9	5	57.0	45 36.02	4 26 16.0	24 56 4.0
9	7	15.4	45 33.42	4 22 58.2	24 59 21.8
9	7	43.2	46 1.23	4 24 32.1	24 57 47.9
8.9	4	47 21.7	47 21.70	4 21 49.2	25 0 30.8
8.9	5	18.7	47 57.29	3 10 48.0	26 11 32.0
7	5	10.9	48 49.80	3 41 39.5	25 40 40.5
8	3	47.6	50 9.01	2 39 11.5	26 43 8.5
6	4	27.4	50 27.40	2 19 28.1	27 2 51.9
8	7	51.6	50 9.00	2 39 9.0	26 43 11.0

ZONE 302. 1850 Juni 4. West.

NC. 13 44 - 2 8.27
 15 57 - 2 8.39
 Anf. 28 1.34 + 14.9 60.5
 14 53 57.0
 Ende 28 1.21 + 13.0 55.0
 Microsc. I - 9".19 u. - 8".25
 Decl. = Microsc. I - 29° 22' 20"
 15" r + i - 38".071 $\Delta r + 0".006$ $\Delta i + 0".037$

Hülftafel zur Reduction auf den mittlern Ort 1850 Januar 0 D = - 26°.

T.	k	k'	d	d'
14 u	0-39.95	-5	+7	+13.3 -0.8 +28.7
	10-40.00	-4	+7	+12.5 -0.9 +28.8
	20-40.04	-4	+7	+11.6 -0.9 +28.8
	30-40.08	-3	+7	+10.7 -0.8 +28.9
	40-40.11	-3	+7	+ 9.9 -0.9 +29.0
	50-40.14		+7	+ 9.0 +29.0

4 Fad. 3. 57.9
 10 " 3. 48.6
 14 " 3. 6.0
 16 " 4. 24.5
 18 " 4. 4.1
 19 " 3. 30.1
 22, 23. derselbe.
 24. Microsc. 40? und dann Decl. 25° 10' 1".5?
 26 Fad. 6. 35.2
 27 " 7. 47.0
 28 " 2. 21.6
 34 " 2. 2.5
 37 " 6. 47.2 Fäden 14".84 und 15".17
 38 " 2. 14.3
 43 " 3. 54.6 " 16".39 " 16".08
 44 " 3. 23.0
 51 " 6. 29.0 " 57".51 " 57".07
 53 " 4. 9.0
 53, 55. derselbe.

No.	Gr.	Fad.	Beob. Zeit.	T.	Microsc. I	Südl. Declin.
56	8.9	2	54' 47.2	14 55' 19.34	2° 8' 5.0	27 14' 15.0
57	4	4	56 57.9	55 57.98	4 40 33.3	24 41 46.7
58	7	1	56.4	57 38.57	4 9 53.8	25 12 26.2
59	7.8	1	28.7	58 10.98	3 50 51.0	25 31 29.0
60	9	3	57.6	58 18.79	3 56 0.0	25 26 20.0
61	7.8	5	59.7	58 38.50	3 7 53.5	26 14 26.5
62	8	1	27.7	15 0 10.20	3 14 14.1	26 8 5.9
63	7	4	0 45.6	0 45.60	3 27 9.1	25 55 10.9
64	6.7	4	2 6.9	2 6.90	3 36 46.1	25 45 33.9
65	8.9	5	52.9	2 31.85	3 58 41.2	25 23 38.8
66	9	6	3 41.0	3 9.01	2 37 27.6	26 44 52.4
67	8	6	5 5.0	4 33.36	4 15 4.2	25 7 15.8
68	8.9	2	30.4	6 1.97	4 16 54.4	25 5 25.6
69	9	5	46.0	5 24.93	3 53 0.6	25 29 19.4
70	6	7	23.2	5 41.00	3 44 32.2	25 37 47.8
71	9	4	6.7	7 6.70	4 32 21.9	24 49 58.1
72	8.9	5	58.4	7 37.16	2 54 42.8	26 27 37.2
73	8	3	9 6.4	9 27.63	3 40 51.2	25 41 28.8
74	8.9	7	10 18.5	9 36.00	2 55 55.1	26 26 24.9
75	8.9	4	11 21.3	11 21.30	3 10 3.6	26 12 16.4
76	8	3	6.8	12 27.99	3 55 53.2	25 26 26.8
77	8	4	13 14.1	13 14.12	1 59 59.5	27 22 20.5
78	8	6	26.0	13 54.00	2 54 45.1	26 27 34.9
79	8.9	2	52.0	15 23.92	2 57 4.9	26 25 15.1
80	7	7	22.4	14 40.01	3 13 25.8	26 8 54.2
81	9	3	56.3	16 17.53	3 41 51.2	25 40 28.8
82	7.8	4	25.8	16 25.80	4 14 12.3	25 8 7.7
83	8.9	1	9.4	17 51.53	4 16 56.7	25 5 23.3
84	8	5	20 11.0	19 49.70	2 34 42.1	26 47 37.9
85	9	4	58.6	20 58.60	2 11 55.4	27 10 24.6
86	8.9	6	40.0	21 8.11	3 17 21.8	26 4 58.2
87	7	2	24 19.6	24 51.22	4 4 51.1	25 17 28.9
88	9	7	55.2	24 12.81	3 13 46.9	26 8 33.1
89	8.9	2	25 59.8	26 31.78	2 43 45.8	26 38 34.2
90	8.9	4	27 21.4	27 21.40	3 34 29.0	25 47 51.0
91	9	1	2.8	28 45.03	4 0 24.7	25 21 55.3
92	7	2	37.5	29 9.25	3 35 28.7	25 46 51.3
93	7.8	5	8.0	28 46.84	3 22 48.9	25 59 31.1
94	9	5	42.3	29 21.12	3 15 7.5	26 7 12.5
95	9	5	43.3	30 22.08	3 1 47.7	26 20 32.3
96	8.9	4	11.4	31 11.40	2 13 42.0	27 8 38.0
97	8	5	32 41.5	32 20.50	4 16 1.7	25 6 18.3
98	7.8	4	34 53.5	34 53.50	4 26 2.5	24 56 17.5
1	8.9	4	31 42.0	14 31 42.00	7 57 36.3	17 14 16.3
2	8.9	5	38.9	32 19.02	7 31 34.9	16 48 14.9
3	8	3	33 44.7	34 4.70	8 44 50.7	18 1 30.7
4	7	4	34 59.7	34 59.70	9 23 26.9	18 40 6.9
5	8	7	36 28.0	35 47.81	9 2 3.2	18 18 43.2
6	7.8	3	16.8	37 36.72	8 5 13.4	17 21 53.4
7	8.9	4	5.5	38 5.50	8 25 40.6	17 42 20.6
8	7	5	39.7	38 9.80	7 47 7.2	17 3 47.2
9	9	5	19.3	38 59.30	7 37 26.9	16 54 6.9
10	6.7	5	41 9.2	40 49.22	7 26 1.8	16 42 41.8
11	8.9	5	42 15.4	41 55.24	9 2 15.1	18 18 55.1
12	8	3	46.4	43 6.50	9 34 34.1	18 51 14.1

Hülftafel zur Reduction auf den mittler Ort 1850 Januar 0 D = - 26°.

T.	k	k'	d
14 50' - 40.14	-3	+7	+ 9.0 -0.9 +
15 0 - 40.17	-3	+7	+ 8.1 -0.8 +
10 - 40.20	-2	+7	+ 7.3 -0.8 +
20 - 40.22	-2	+7	+ 6.5 -0.7 +
30 - 40.24	-2	+7	+ 5.8 -0.8 +
40 - 40.26		+7	+ 5.0

56 Fad. 3. 57.8 dupl. II. Cl. seq.; pr. 8.9
57 „ 5. 19.0 Die Zeitminute muss 55' s wie die bekannte AR. des Sterns, 20 Lib lehrt. Damit ist T berechnet.
66 Fad. 7. 51.7
77 „ 6. 46.4 Ein Fehler von -1'' Zeit, bei diesem Sterne entdeckt und corrigirt w hat vielleicht schon früher stattgefunden.
92 Fad. 3. 48.0

Anfangs noch Dämmerung; ruhige Luft, aber was Höhenrauch.

ZONE 303. 1850 Juni 10. 0

NC. 13 31 - 1 57.20
16 15 - 1 58.27
Anf. 28 1.05 + 14.6 59.0
Ende 0.85 + 13.8 56.4
Microsc. I + 9''.10 u. + 8''.38
Decl. = - (Microsc. I + 9° 16' 40'')
15° r+i - 37''.180 Ar+0''.004 Ai+0''.
2 Fad. 6. 49''.0
8. LL. No. 26858 und Z. 207 No. 26 zeigen, Fad. 6 zu lesen sei; damit ist T berechnet

Nº.	Gr.	Fad.	Beob. Zeit.	T.	Microsc. I	Südl. Declin.
13	9	5	11.5	14 42' 51.27	9 39' 6.5	18 55' 46.5
14	8.9	6	53.4	43 23.29	9 0 55.8	18 17 35.8
15	9	4	31.2	44 31.20	9 32 30.9	18 49 10.9
16	8.9	3	28.4	45 48.48	9 15 8.2	18 31 48.2
17	9	1	46.9	47 26.81	8 16 13.6	17 32 53.6
18	8.9	1	23.8	48 3.75	8 28 38.1	17 45 18.1
19	7.8	2	1.0	48 31.18	9 2 21.2	18 19 1.2
20	9	4	0.3	50 0.30	8 7 48.1	17 24 28.1
21	9.0	7	29.0	49 49.03	8 2 51.3	17 19 31.3
22	9	4	51 32.2	51 32.20	9 31 31.8	18 48 11.8
23	8.9	4	53.9	51 53.90	9 25 27.1	18 42 7.1
24	7.8	5	54.5	52 34.38	8 44 57.6	18 1 37.6
25	9	7	32.7	52 52.62	8 34 12.9	17 50 52.9
26	9	3	54 37.2	54 57.18	8 34 20.8	17 51 0.8
27	9	7	35.2	54 54.90	9 27 31.2	18 44 11.2
28	8	4	44.3	56 44.28	8 2 17.1	17 18 57.1
29	8.9	4	46.1	56 46.08	8 2 18.7	17 18 58.7
30	9	3	30.5	57 30.53	8 0 52.9	17 17 32.9
31	8	6	58 53.6	58 23.40	9 30 42.4	18 47 22.4
32	9	6	0 12.7	59 42.83	7 30 28.5	16 47 8.5
33	8.9	3	1 11.4	15 1 31.33	8 9 31.2	17 26 11.2
34	8	2	53.2	2 23.23	8 12 19.7	17 28 59.7
35	9	7	20.3	1 40.22	8 32 41.5	17 49 21.5
36	9	4	3 59.7	3 59.70	7 54 35.9	17 11 15.9
37	9.0	6	4 20.8	3 50.87	7 56 54.8	17 13 34.8
38	7	6	6.7	4 36.72	8 14 40.8	17 31 20.8
39	9	4	56.0	5 56.06	8 23 2.8	17 39 42.8
40	7	4	39.0	6 39.00	8 35 12.3	17 51 52.3
41	9	4	41.2	6 41.15	8 35 50.5	17 52 30.5
42	9	4	55.0	7 55.00	9 42 16.7	18 58 56.7
43	9	7	56.0	8 15.75	9 16 38.7	18 33 18.7
44	9	4	9 29.0	9 29.00	9 10 49.5	18 27 29.5
45	9	5	10 30.9	10 10.74	9 3 5.8	18 19 45.8
46	7.8	2	6.0	11 36.02	8 27 39.9	17 44 19.9
47	8	5	54.0	11 33.81	9 20 21.6	18 37 1.6
48	7	5	16.8	11 56.56	9 43 18.7	18 59 58.7
49	8.9	4	11.1	13 11.10	8 50 0.6	18 6 40.6
50	6.7	6	33.1	13 3.11	8 20 1.2	17 36 41.2
51	8.9	6	56.6	13 26.60	8 23 46.1	17 40 26.1
52	9	4	23.3	14 23.30	8 25 59.7	17 42 39.7
53	8.9	4	8.0	15 8.00	9 1 29.1	18 18 9.1
54	9	4	16 21.7	16 21.70	7 43 48.3	17 0 28.3
55	9.0	6	16.0	16 45.70	9 16 33.8	18 33 13.8
56	7	5	19.8	17 59.68	8 42 22.9	17 59 2.9
57	9.0	7	54.0	18 13.87	8 46 44.8	18 3 24.8
58	9	3	19.9	19 39.91	8 46 57.5	18 3 37.5
59	9.0	5	8.5	19 48.19	9 49 42.5	19 6 22.5
60	8	6	21 19.2	20 49.10	8 55 11.1	18 11 51.1
61	9	4	4.8	22 4.80	8 38 26.5	17 55 6.5
62	9	6	51.6	22 21.75	7 27 33.2	16 44 13.2
63	8.9	3	45.0	24 4.95	8 41 37.6	17 58 17.6
64	8.9	4	37.9	24 37.90	9 36 34.5	18 53 14.5
65	5	7	20.0	24 39.60	9 52 32.9	19 9 12.9
66	8	1	25 55.4	26 35.17	7 54 52.7	17 11 32.7
67	8.9	7	47.2	26 7.31	7 40 33.2	16 57 13.2

Hülftafel zur Reduction auf den mittlern Ort 1850 Januar 0 D = - 18°.

T.	k	k'	d	d'
14 30-39.02	-4	+6	+ 6.8	-0.5
40-39.06	-3	+6	+ 6.3	-0.5
50-39.09	-4	+6	+ 5.8	-0.4
15 0-39.13	-3	+6	+ 5.4	-0.5
10-39.16	-3	+6	+ 4.9	-0.5
20-39.19	-3	+6	+ 4.4	-0.5
30-39.22		+6	+ 3.9	+12.1

- 16 Fad. 4. 48.5
 28 " 5. 4.3
 29 " 5. 6.1
 30 " 4. 50.6 Nach dem Zeugniß von LL. 27424 und Z. 207 N°. 51 ist Fad. 4 und 5 zu lesen; damit ist T berechnet.
 39 Fad. 5. 16.2
 40 " 5. 59.1
 41 " 5. 1.2
 46 " 3. 16.0
 55 " 7. 25.8
 59 " 6. 18.4
 63 " 4. 4.9
 66 " 2. 5.2 Fad. 3. 15''.2

Nº.	Gr.	Fad.	Beob. Zeit.	T.	Microsc. I	Südl. Decln.
68	8.9	4	37.1	15 27 37.10	7 37 38.2	16 54 18.2
69	9.0	4	38.2	28 38.20	7 55 3.6	17 11 43.6
70	8.9	6	29 49.3	29 19.27	8 33 29.3	17 50 9.3
71	8.9	3	15.7	30 35.70	8 40 32.1	17 57 12.1
72	5.6	4	56.2	30 56.24	9 31 29.3	18 48 9.3
73	8.9	4	50.5	31 50.50	9 56 30.1	19 13 10.1
74	7	5	15.2	31 54.92	9 59 44.6	19 16 24.6
75	9.0	6	31.2	33 1.33	7 32 2.1	16 48 42.1
76	9	4	18.4	34 18.40	7 36 54.4	16 53 34.4
77	8	5	2.5	34 42.39	8 40 41.7	17 57 21.7
78	9	2	51.0	36 21.34	9 57 10.4	19 13 50.4
79	9.0	5	37 16.7	36 56.58	8 59 37.2	18 16 17.2
80	9	3	38 40.7	39 0.69	9 23 1.2	18 39 41.2
81	9	3	29.5	39 49.65	9 57 11.9	19 13 51.9
82	8.9	7	5.0	39 24.96	8 20 37.3	17 37 17.3
83	8	5	41 29.6	41 9.45	8 57 39.1	18 14 19.1
84	7.8	4	7.4	42 7.40	8 24 9.8	17 40 49.8
85	6.7	7	37.0	41 57.00	8 9 46.9	17 26 26.9
86	8.9	4	1.2	43 1.20	8 18 38.9	17 35 18.9
87	7	1	39.5	44 19.56	8 42 18.2	17 58 58.2
88	7	6	9.9	43 39.75	9 12 8.3	18 28 48.3
89	7	7	59.7	44 19.58	8 42 17.4	17 58 57.4
90	7.8	5	41.8	45 21.73	8 14 22.7	17 31 2.7
91	8.9	2	47 8.4	47 38.58	9 4 2.7	18 20 42.7
92	6	7	40.3	46 59.96	9 39 23.0	18 56 3.0
93	9	6	35.2	48 5.17	8 32 18.9	17 48 58.9
94	8.9	2	50 1.1	50 31.11	8 1 57.9	17 18 37.9
95	9	5	46.0	50 25.99	7 41 15.0	16 57 55.0
96	8.9	3	3.9	51 23.94	7 34 44.4	16 51 24.4
97	9	4	52 47.5	52 47.50	7 47 42.2	17 4 22.2
98	8	3	53 52.9	54 13.02	9 44 55.7	19 1 35.7
99	9	4	54 41.0	54 41.00	8 28 14.9	17 44 54.9
100	8	4	20.0	55 20.00	8 34 16.9	17 50 56.9
101	9	7	56 40.0	55 59.72	9 24 12.6	18 40 52.6
102	8	5	6.9	56 46.69	9 27 41.1	18 44 21.1
103	7	6	34.1	57 4.02	8 50 41.9	18 7 21.9
104	9	3	5.5	58 25.53	8 58 2.1	18 14 42.1
105	9	6	41.3	58 11.11	9 41 3.0	18 57 43.0
106	8	4	22.5	59 22.44	8 40 49.7	17 57 29.7
107	7	3	48.3	16 0 8.24	8 33 18.1	17 49 58.1
108	7.8	3	41.5	1 1.57	9 18 44.5	18 35 24.5
109	8	4	18.2	1 18.20	9 46 29.2	19 3 9.2
110	6.7	4	56.6	1 56.60	8 39 35.9	17 56 15.9
111	8	1	37.3	3 17.28	8 26 33.7	17 43 13.7
112	7.8	2	25.0	3 55.31	9 46 31.1	19 3 11.1
113	4	3	36.4	3 56.41	9 47 10.2	19 3 50.2
114	8	4	18.2	4 18.20	9 54 20.5	19 11 0.5
115	8	4	40.4	4 40.40	9 49 51.1	19 6 31.1
116	8	5	5 48.0	5 27.92	8 26 4.8	17 42 44.8
1	8	5	32 40.9	15 32 19.77	5 48 0.1	25 6 20.1
2	9	5	33 49.4	33 28.17	6 21 32.8	25 39 52.8
3	7	4	34 52.6	34 52.70	5 37 56.2	24 56 16.2
4	9	3	36 42.5	37 3.63	6 31 0.9	25 49 20.9
5	9	2	37 55.5	38 27.24	6 11 52.0	25 30 12.0
6	9	4	40.3	38 40.30	6 9 56.9	25 28 16.9

Hülfsstafel zur Reduction auf den mittleren Ort 1850 Januar 0 D = - 18°.

T.	k	k'	d
15 20' - 39.19	-3	+6	+ 4.4 - 0.5 +
30 - 39.22	-2	+6	+ 3.9 - 0.5 +
40 - 39.24	-2	+6	+ 3.4 - 0.5 +
50 - 39.26	-2	+6	+ 2.9 - 0.5 +
16 0 - 39.28	-2	+6	+ 2.4 - 0.5 +
10 - 39.30		+6	+ 1.9 +

71	Fad.	4.	35.7
72	"	5.	16.5
74	"	6.	25.2
79	"	7.	36.8
80	"	4.	0.6
87	"	2.	49.5
87. und 89.	derselbe.		
96	Fad.	4.	24.0
105	"	7.	51.5
106	"	5.	42.5
107	"	4.	8.2
113	"	4.	56.3

Schöne Luft. Anfangs noch helle Dämmerung.
Die Beleuchtung machte wieder Schwierigkeiten.

ZONE 304. 1850 Juni 17. 0.
D = - 26°.

15 30' - 39.16	-3	+7	+ 6.0 - 1.1 +
40 - 39.19		+7	+ 4.9 +
3	Fad.	5.	13.9

N ^o .	Gr.	Fad.	Beob. Zeit.	T.	Microsc. I	Südl. Declin.	
7	7.8	4	2.4	15 39 2.40	6 5 38.6	25 23 58.6	NC. 15 22 - 1 54 18
8	7	4	34.3	39 34.30	6 12 55.8	25 31 15.8	17 23 - 1 51 37
9	9	5	16.6	39 55.30	6 44 1.7	26 2 21.7	Anf. 28 1.52 + 10.4 47.0
10	9	2	33.9	41 5.79	6 46 28.0	26 4 48.0	16 20 46.6
11	9	7	23.5	40 40.68	7 42 11.9	27 0 31.9	Ende 28 1.60 + 8.7 44.4
12	8.9	4	15.9	42 15.90	6 45 49.0	26 4 9.0	Microsc. I + 5".15 u. + 6".15
13	7	6	44.0	42 12.23	6 31 25.5	25 49 45.5	Decl. = - (Microsc. I + 19° 18' 20")
14	6	7	19.4	42 37.20	5 59 21.1	25 17 41.1	16 ^a r+i -36".965 Δr+0".003 Δi+0".036
15	9	7	1.2	43 19.04	5 52 17.8	25 10 37.8	
16	5.6	3	55.0	45 16.19	5 34 29.8	24 52 49.8	
17	7	1	36.9	46 18.82	5 29 40.2	24 48 0.2	
18	8	3	28.7	46 49.74	6 1 54.9	25 20 14.9	
19	8	1	59.6	47 41.76	6 11 17.2	25 29 37.2	
20	8.9	2	18.3	47 50.00	6 3 32.3	25 21 52.3	
21	8	4	48 44.0	48 44.00	7 53 18.7	27 11 38.7	
22	9	4	50 14.4	50 14.40	5 44 42.2	25 3 2.2	
23	4	5	47.9	50 26.67	6 22 27.1	25 40 47.1	
24	9	2	14.2	51 45.91	6 26 28.8	25 44 48.8	
25	9	6	52 36.0	52 4.13	6 54 54.8	26 13 14.8	
26	9	5	28.6	53 7.15	7 32 30.2	26 50 50.2	
27	9	3	54 21.3	54 42.60	6 54 5.8	26 12 25.8	
28	7	4	48.2	54 48.18	6 58 52.0	26 17 12.0	
29	5.6	7	37 :	54 55	6 8 23.8	25 26 43.8	
30	8.9	6	28.6	55 57.07	5 33 21.5	24 51 41.5	
31	9	7	20.0	56 37.61	6 32 29.3	25 50 49.3	
32	9	5	33.1	58 11.84	6 30 21.8	25 48 41.8	
33	7	1	58 56.6	59 38.98	6 36 56.0	25 55 16.0	
34	9	4	0 19.7	16 0 19.70	5 40 17.1	24 58 37.1	
35	8.9	1	6.5	1 48.47	5 39 54.5	24 58 14.5	
36	9	4	49.3	1 49.30	5 43 24.9	25 1 44.9	
37	9	4	30.3	2 30.30	5 49 22.1	25 7 42.1	
38	8.9	5	5 16.9	4 55.42	7 42 7.6	27 0 27.6	
39	9	6	57.2	5 25.30	6 35 43.1	25 54 3.1	
40	7	7	7 10.0	6 27.87	5 47 26.0	25 5 46.0	
41	8.9	2	51.6	8 23.34	6 10 50.1	25 29 10.1	
42	9	6	50.6	8 19.10	5 32 56.8	24 51 16.8	
43	8	1	10 13.7	10 55.82	6 5 13.7	25 23 33.7	
44	9	4	11 47.5	11 47.50	5 58 31.0	25 16 51.0	
45	4	3	22.9	12 43.92	5 55 32.9	25 13 52.9	
46	9	7	5.2	12 23.09	5 43 39.0	25 1 59.0	
47	8.9	5	53.2	13 32.15	5 19 32.1	24 37 52.1	
48	9	2	45.0	15 16.85	6 36 37.1	25 54 57.1	
49	8.9	3	47.0	16 8.22	7 8 42.1	26 27 2.1	
50	8	6	28.5	15 56.36	7 29 11.8	26 47 31.8	
51	8	5	17 40.0	17 18.67	6 54 42.3	26 13 2.3	
52	8.9	4	36.7	18 36.70	6 36 25.9	25 54 45.9	
53	8.9	5	59.2	18 37.75	7 32 1.3	26 50 21.3	
54	7	5	20 8.0	19 46.87	5 48 42.6	25 7 2.6	
55	9	1	21 23.2	22 5.18	5 50 5.7	25 8 25.7	
56	8	7	14.2	21 32.16	5 30 38.3	24 48 58.3	
57	6.7	7	27.5	21 45.47	5 28 45.6	24 47 5.6	
58	8	4	23.6	23 23.60	6 22 41.0	25 41 1.0	
59	9	4	24 37.2	24 37.11	5 30 12.1	24 48 32.1	
60	8	3	24.3	25 45.23	5 22 43.1	24 41 3.1	
61	8.9	3	20.5	26 41.69	6 51 16.9	26 9 36.9	

15	40-39.19	-3	+7	+ 4.9	-1.0	+29.8
50	50-39.22	-3	+7	+ 3.9	-1.1	+29.8
16	0-39.25	-2	+7	+ 2.8	-1.1	+29.8
10	10-39.27	-2	+7	+ 1.7	-1.2	+29.9
20	20-39.29	-1	+7	+ 0.5	-1.2	+29.9
30	30-39.30		+7	- 0.7		+29.9

13 Fad. 7. 54.6
 16 " 4. 16.3 Fad. 3 giebt 15".97
 24 " 3. 24.7
 27 " 4. 42.7
 28 " 5. 9.5
 30 " 7. 39.2
 33 " 2. 7.2
 39 " 7. 7.6
 49 " 4. 8.2
 50 " 7. 39.0
 55 " 2. 33.5
 59 " 5. 58.1

No.	Gr.	Fad.	Beob. Zeit.	T.	Microsc. I	Südl. Declin.	
62	9	7	11.2	16 26 28.70	6 48 32.6	26° 6' 52.6	
63	9	7	9.6	27 27.55	5 32 57.9	24 51 17.9	
64	8.9	3	29 39.0	30 0.24	7 22 19.6	26 40 39.6	
65	7.8	1	50.8	31 33.05	6 27 18.5	25 45 38.5	
66	9	3	31 30.0	31 50.98	5 40 6.1	24 58 26.1	
67	7.8	7	32 16 :	31 34	6 27 15.1	25 45 35.1	
68	9	5	21.4	32 59.96	7 29 54.2	26 48 14.2	
69	9	5	34.0	33 12.73	7 29 56.6	26 48 16.6	
70	8	5	31.2	34 9.74	7 34 58.5	26 53 18.5	
71	7.8	2	6.3	35 38.49	7 51 22.0	27 9 42.0	
72	8.9	3	49.6	36 10.98	7 51 28.5	27 9 48.5	
73	8	1	30.5	37 12.96	7 3 26.8	26 21 46.8	
74	7	3	37 59.0	38 20.03	5 56 49.0	25 15 9.0	
75	9	6	27.9	38 55.93	7 18 34.2	26 36 54.2	
76	8.9	5	43.0	40 21.85	5 55 59.8	25 14 19.8	
77	9	6	19.0	40 47.38	5 59 10.5	25 17 30.5	
78	8	3	51.0	42 12.01	5 51 34.9	25 9 54.9	
79	8.9	4	43 18.7	43 18.70	5 58 14.7	25 16 34.7	
80	7	4	43.3	43 43.30	6 2 12.6	25 20 32.6	
81	8.9	4	19.0	44 19.00	7 11 1.3	26 29 21.3	
82	8.9	1	3.4	45 46.22	8 0 10.2	27 18 30.2	
83	8	2	41.9	46 13.82	6 51 15.5	26 9 35.5	
84	7.8	5	9.0	45 47.79	6 16 14.0	25 34 34.0	
85	8.9	6	30.6	45 58.91	6 15 19.4	25 33 39.4	
86	7.8	4	11.6	47 11.60	5 58 57.7	25 17 17.7	
87	8.9	4	48 50.0	48 50.00	7 8 0.9	26 26 20.9	
88	9	3	30.0	49 51.32	7 33 40.2	26 52 0.2	
89	9	4	1.3	50 1.30	7 28 2.0	26 46 22.0	
90	8	4	44.5	50 44.50	7 37 55.6	26 56 15.6	
91	8	6	22.7	50 50.92	6 49 48.2	26 8 8.2	
92	8.9	1	12.7	52 54.70	5 45 26.8	25 3 46.8	
93	9	4	8.8	53 8.80	5 24 47.1	24 43 7.1	
94	8.9	4	30.7	53 30.70	5 31 55.9	24 50 15.9	
95	8	1	5.6	54 47.51	5 28 28.2	24 46 48.2	
96	8	6	56.5	54 24.45	7 33 51.8	26 52 11.8	
97	8.9	7	17.2	54 34.48	7 25 7.9	26 43 27.9	
98	8	5	57.5	55 36.08	7 23 50.2	26 42 10.2	
99	7	5	30.8	56 9.61	6 7 16.1	25 25 36.1	
100	8.9	5	57 10.2	56 49.04	5 57 34.8	25 15 54.8	
101	9	7	45.6	57 3.29	6 17 50.0	25 36 10.0	
102	7	1	42.5	59 24.42	5 29 29.1	24 47 49.1	
103	8.9	4	17.5	59 17.50	5 56 57.3	25 15 17.3	
104	9	2	56.7	17 0 28.63	6 57 55.2	26 13 15.2	
105	9	6	28.8	16 59 57.01	7 19 22.1	26 37 42.1	
106	9	6	34.0	17 1 2.33	6 2 23.8	25 20 43.8	
107	8.9	7	37.5	1 55.03	6 44 24.5	26 2 44.5	
108	8	3	5.0	3 26.08	6 11 9.1	25 29 29.1	
109	9	4	45.2	3 45.20	6 9 36.4	25 27 56.4	
1	8.9	4	0 29.0	16 0 29.00	11 4 9.1	20 21 9.1	
2	9	7	46.0	0 5.39	11 7 49.7	20 24 49.7	
3	8.9	4	28.9	1 28.90	10 55 48.8	20 12 48.8	
4	9	2	19.4	2 49.85	10 19 53.1	19 36 53.1	
5	9	7	32.9	2 52.29	10 43 9.0	20 0 9.0	
6	7.8	4	56.2	3 56.20	9 46 29.5	19 3 29.5	
7	6	5	17.5	3 57.18	9 47 8.2	19 4 8.2	

Hilfstafel zur Reduction auf den mittlere
Ort 1850 Januar 0 D = - 26°.

T.	k	k'	d	
16 20-39.29	-1	+7	+ 0.5	-1.2 +
30-39.30	-2	+7	- 0.7	-1.2 +
40-39.32	-1	+7	+ 1.9	-1.3 +
50-39.33	0	+7	- 3.2	-1.4 +
17 0-39.33	-1	+7	- 4.6	-1.4 +
10-39.34		+7	- 6.0	

64 Fad. 4. 0.2
65. 67. derselbe.
69 Fad. 6. 45.0 Fad. 7. 55".4; die Fäden
ben 12".56, 12".97 und 12".65.
71 Fad. 3. 17.1
73 " 2. 41.0
91 " 7. 33.5
104. Die Minute des Microscops ist zweifel
Z. 306 No. 2 zeigt, dass sie 54 sein mi
hiermit ist die Decl. und T berechnet.
105 Fad. 7. 39.9 Fäden 56".82 und 57".9
106 " 7. 44.5
108 " 4. 26.1

Die Luft Anfangs recht gut, wurde bald unr
und war es zuletzt in ziemlich hohem G

ZONE 305. 1850 Juni 23. 0
D = - 20°.

T.	k	k'	d	
16 0-40.22	-3	+6	+ 2.3	-0.3 +
10-40.25		+6	+ 2.0	
4 Fad. 3. 29".7				
7 " 6. 27.5				

Gr.	Fad.	Beob. Zeit.	T.	Microsc. I	Südl. Declin.
8	6	49.2	16 4 18.91	9 54 16.4	19 11 16.4
8	6	11.7	4 41.38	9 49 47.4	19 6 47.4
7	3	0.0	6 20.34	11 26 10.5	20 43 10.5
9	6	7 5.1	6 34.71	10 33 55.9	19 50 55.9
8	4	45.6	7 45.60	10 24 42.4	19 41 42.4
7	2	23.3	8 53.77	10 26 38.5	19 43 38.5
3.0	5	6.6	8 46.19	11 7 14.5	20 24 14.5
9	3	7.9	10 28.30	11 56 1.4	21 13 1.4
9	1	38.0	11 18.83	11 44 50.0	21 1 50.0
8	2	16.5	11 47.03	11 7 46.6	20 24 46.6
3.9	4	58.4	11 58.40	10 23 38.8	19 40 38.8
7.8	5	20.3	11 59.98	10 24 26.8	19 41 26.8
8	5	44.7	12 24.30	10 28 5.1	19 45 5.1
9	7	5.0	12 24.46	10 27 53.9	19 44 53.9
3.9	7	44.8	13 4.30	10 17 21.8	19 34 21.8
3.9	7	39.4	13 58.45	12 0 26.1	21 17 26.1
5.6	6	16 30.5	16 0.21	10 23 55.8	19 40 55.8
3.9	7	18 1.5	17 21.02	10 12 17.3	19 29 17.3
9.0	7	19 17.7	18 37.39	9 30 13.0	18 47 13.0
3.9	7	21 48.8	21 7.87	11 56 43.7	21 13 43.7
9	6	5.1	21 34.45	11 49 29.9	21 6 29.9
3.9	2	23 45.7	24 16.18	11 8 27.5	20 25 27.5
9	5	32.0	24 11.58	11 10 20.9	20 27 20.9
9	3	0.5	25 20.87	11 44 44.2	21 1 44.2
3.9	3	26 20.1	26 40.29	10 20 24.2	19 37 24.2
1.0	6	27 20.5	26 50.11	10 31 49.1	19 48 49.1
9	6	27 58.7	27 28.25	10 39 23.3	19 56 23.3
9	5	54.0	28 33.60	10 57 3.8	20 14 3.8
9	4	14.0	29 14.05	10 55 33.7	20 12 33.7
7	3	32 4.5	32 24.75	10 49 39.6	20 6 39.6
1.0	7	3.5	32 19.01	10 16 19.8	19 33 19.8
7	4	45.4	33 45.34	10 20 57.9	19 37 57.9
3.9	5	27.5	34 7.17	10 29 10.0	19 46 10.0
9	7	49.1	34 8.53	10 36 39.1	19 53 39.1
3.9	7	56.2	34 15.63	10 35 15.2	19 52 15.2
3	5	46.9	35 26.49	11 7 21.5	20 24 21.5
9	5	36.9	36 16.63	10 16 53.1	19 33 53.1
7	5	37 45.0	37 24.78	9 34 24.7	18 51 24.7
7.8	3	38 27.4	38 47.56	10 32 16.1	19 49 16.1
3.9	1	19.8	40 0.44	11 23 11.3	20 40 11.3
9	4	59.7	39 59.70	11 51 18.5	21 8 18.5
9	3	40 25.5	40 45.89	11 49 18.2	21 6 18.2
3.9	5	11.1	40 50.71	10 54 7.2	20 11 7.2
9	-	-	41 3.58	10 3 8.2	19 20 8.2
8	5	43 24.0	43 3.89	9 38 33.5	18 55 33.5
3.9	4	6.5	44 6.50	9 37 18.9	18 54 18.9
8	5	34.6	44 14.35	9 48 54.5	19 5 54.5
3.9	5	6.1	44 45.75	10 38 34.7	19 55 34.7
6	5	34.9	45 14.53	10 52 30.7	20 9 30.7
8	6	17.6	45 47.34	9 46 37.9	19 3 37.9
9	7	51.7	46 11.31	9 49 58.0	19 6 58.0
8.9	5	47 31.0	47 10.74	9 54 39.5	19 11 39.5
8.9	6	46.0	47 15.71	9 59 26.2	19 16 26.2
7.8	4	48 55.8	48 55.76	10 0 53.2	19 17 53.2
9	7	59.0	49 18.49	10 21 42.3	19 38 42.3

NC.	15 49 - 1 52.27
	17 47 - 1 54.38
Anf.	28 3.05 + 16.2 64.5
16 31	64.4
Ende	28 3.18 + 15.9 64.1
Microsc. I	+ 9'' 90 u. + 8'' 70
Decl. =	-(Microsc. I + 9° 17' 0'')
17° r+i	- 38'' 063 Δr - 0'' 013 Δi + 0'' 033

Hilfstafel zur Reduction auf den mittlern Ort 1850 Januar 0 D = - 20°.

T.	k	k'	d	d'
16 0 - 40.22	-3	+6	+ 2.3	- 0.3 + 14.4
10 - 40.25	-3	+6	+ 2.0	- 0.3 + 14.4
20 - 40.28	-2	+6	+ 1.7	- 0.3 + 14.4
30 - 40.30	-2	+6	+ 1.4	- 0.3 + 14.4
40 - 40.32	-2	+6	+ 1.1	- 0.3 + 14.5
50 - 40.34		+6	+ 0.8	+ 14.5

8 Fad.	7. 59.3
9 "	7. 21.7
13 "	3. 33.6
14 "	6. 16.7
16 "	2. 48.2
17 "	3. 26.7
20 "	6. 54.6
20, 21.	duplex.
24 Fad.	7. 40.8
29 "	3. 55.8
34 "	7. 8.8
36 "	5. 34.5
38.	Zeit zweifelhaft.
39 Fad.	5. 5.6
43 "	6. 57.0
44 "	6. 47.0
46 "	4. 47.5
47 "	2. 29.8
51.	dupl. II. Cl. borealis. Der Austritt aus dem Felde ward um 42' 37'' beobachtet; das daraus abgeleitete T ist daher nicht sehr sicher. Der Stern ist Z. 300 No. 53.
56 Fad.	6. 45.0
57 "	7. 27.7
61 "	5. 16.0 dupl. I. Cl. seq. praec. 8.9m,

Nº.	Gr.	Fad.	Beob. Zeit.	T.	Microsc. I	Südl. Declin.	
63	8.9	6	14.7	16 49 44.43	10 16 6.5	19 33 6.5	
64	9.0	4	13.3	51 13.30	10 28 21.9	19 45 21.9	
65	9	4	44.7	51 44.70	11 35 2.5	20 52 2.5	
66	8.9	4	52 22.2	52 22.20	11 3 59.9	20 20 59.9	
67	7.8	4	2.9	53 2.90	10 55 27.6	20 12 27.6	
68	7.8	3	29.2	53 49.48	11 5 8.5	20 22 8.5	
69	9.0	6	18.7	53 48.03	10 56 16.9	20 13 16.9	
70	8.9	5	57.8	54 37.40	10 55 59.2	20 12 59.2	
71	8.9	3	14.3	55 34.58	10 53 7.6	20 10 7.6	
72	8	4	45.5	55 45.50	10 58 17.2	20 15 17.2	
73	7	3	12.6	56 32.84	10 59 37.9	20 16 37.9	
74	9.0	5	8.2	56 47.81	11 19 28.7	20 36 28.7	
75	7	5	47.5	57 26.98	11 46 50.1	21 3 50.1	
76	7.8	6	58 29.5	57 58.87	11 46 7.1	21 3 7.1	
77	8.9	7	59 26.5	58 45.97	10 27 19.3	19 44 19.3	
78	9	5	27.0	17 0 6.69	10 18 52.0	19 35 52.0	
79	7.8	3	38.8	0 58.99	10 11 52.9	19 28 52.9	
80	9	7	24.2	0 43.73	10 11 35.0	19 28 35.0	
81	7	4	6.0	2 6.00	9 57 29.7	19 14 29.7	
82	9.0	5	35.7	2 15.42	10 2 1.8	19 19 1.8	
83	9	5	7.5	2 47.27	9 38 3.8	18 55 3.8	
84	7	7	3 48 :	3 8	9 56 50.9	19 13 50.9	
85	9	3	45.5	5 5.80	11 7 1.9	20 24 1.9	
86	8.9	2	32.7	6 3.40	11 53 31.6	21 10 31.6	
87	8	2	18.5	6 49.31	11 54 17.1	21 11 17.1	
88	7.8	6	8.6	6 37.95	11 30 12.5	20 47 12.5	
89	8	3	59.3	8 19.52	9 52 52.6	19 9 52.6	
90	9	7	44.7	8 4.35	9 39 55.1	18 56 55.1	
91	9	5	37.2	9 16.97	9 39 48.1	18 56 48.1	
92	8.9	3	18.5	10 38.78	11 2 57.9	20 19 57.9	
93	8.9	5	54.6	10 34.21	10 54 48.2	20 11 48.2	
94	9	6	9.2	10 38.71	11 2 56.9	20 19 56.9	
95	9	7	29.2	10 48.49	11 7 8.1	20 24 8.1	
96	7.8	6	12 19.8	11 49.41	10 32 7.9	19 49 7.9	
97	7	6	56.6	12 26.33	9 53 12.7	19 10 12.7	
98	9	2	51.3	14 21.59	9 40 10.6	18 57 10.6	
99	7.8	6	14 54.3	14 23.98	10 10 32.1	19 27 32.1	
100	7.8	5	26.5	15 6.22	10 1 1.1	19 18 1.1	
101	9	4	16 28.6	16 28.60	11 0 26.9	20 17 26.9	
102	8.9	4	58.0	16 58.00	10 40 46.0	19 57 46.0	
103	8	5	38.7	17 18.39	10 18 56.1	19 35 56.1	
104	9	4	13.5	18 13.50	10 5 47.1	19 22 47.1	
105	9.0	6	6.4	18 35.97	10 34 1.1	19 51 1.1	
106	9	7	40.9	19 0.25	10 53 40.6	20 10 40.6	
107	8.9	4	10.1	20 10.10	10 56 50.4	20 13 50.4	
108	7	4	21 33.4	21 33.40	10 3 51.0	19 20 51.0	
109	8	5	22 52.2	22 31.96	9 42 30.6	18 59 30.6	
110	9	4	51.7	23 51.70	11 10 38.6	20 27 38.6	
1	8	4	59 19.0	16 59 19.00	5 57 4.0	25 15 24.0	
2	8.9	4	0 30.6	17 0 30.60	6 55 0.8	26 13 20.8	
3	8	2	25.0	1 56.88	6 44 34.7	26 2 54.7	
4	8	3	58.8	2 19.75	5 27 13.0	24 45 33.0	
5	7.8	3	29.6	2 50.56	5 32 12.8	24 50 32.8	
6	9	5	18.2	2 57.07	5 49 30.1	25 7 50.1	
7	6.7	4	42.0	3 42.00	5 45 46.8	25 4 6.8	

Hülftafel zur Reduction auf den mittler Ort 1850 Januar 0 D = - 20°.

T.	k	k'	d	
16 50-40.34	-2	+6	+ 0.8	-0.3
17 0-40.36	-1	+6	+ 0.5	-0.3
10-40.37	-1	+6	+ 0.2	-0.3
20-40.38	-1	+6	- 0.1	-0.2
30-40.39		+6	- 0.3	+

63 Fad. 7. 25.0
 69 " 7. 28.5 Fäden 48".23 und 47".8
 71 " 4. 34.6
 73 " 4. 32.8
 74 " 6. 18.4
 75 " 6. 57.6
 79 " 4. 59.0
 85 " 4. 5.8
 86 " 7. 44.3
 87 " 3. 29.0
 88 " 7. 18.7
 89 " 4. 19.6
 92. 94. derselbe.
 94 Fad. 7. 19.4
 97 " 7. 6.8
 105 " 7. 16.5

ZONE 306. 1850 Juni 24. 0.

D = - 26°.

17 0-40.96	-1	+7	+ 5.2	-1.0	+
10-40.97		+7	+ 4.2		+

4. dupl. II. Cl. seq. praec. 8.9^m.

Nº.	Gr.	Fad.	Beob. Zeit.	T.	Microsc. I	Südl. Declin.
8	8	4	59.7	17 3 59.70	5 44 8.9	25 2 28.9
9	8.9	4	28.7	4 28.70	5 41 10.9	24 59 30.9
10	9	-	-	4 1	5 46 34.5	25 4 54.5
11	9	7	29.0	4 46.60	6 32 11.6	25 50 31.6
12	8.9	4	11.6	6 11.60	6 26 10.5	25 44 30.5
13	6	4	49.0	6 49.00	7 4 8.3	26 22 28.3
14	8	6	8.0	6 36.10	7 2 44.3	26 21 4.3
15	6.7	4	41.5	7 41.50	7 1 5.2	26 19 25.2
16	8.9	7	7 :	7 25	6 39 22.5	25 57 42.5
17	8.9	5	24.0	9 3.03	5 38 1.8	24 56 21.8
18	9	5	10 39.7	10 18.59	5 42 35.4	25 0 55.4
19	9	5	36.3	11 15.03	6 33 43.2	25 52 3.2
20	8.9	7	5.5	11 22.88	7 8 22.8	26 26 42.8
21	7	6	25.2	11 53.14	7 4 56.4	26 23 16.4
22	7.8	4	48.3	12 48.30	7 2 13.7	26 20 33.7
23	8.9	6	19.0	12 47.12	6 58 18.7	26 16 38.7
24	8.9	7	35.5	12 52.98	6 52 27.9	26 10 47.9
25	8	5	7.5	13 45.99	6 45 15.6	26 3 35.6
26	8.9	7	54.7	14 12.46	6 6 13.3	25 24 33.3
27	9	4	43.6	15 43.60	5 30 42.8	24 49 2.8
28	9	4	16 41.3	16 41.30	6 41 43.4	26 0 3.4
29	9	5	25.0	17 3.55	7 32 27.1	26 50 47.1
30	7.8	4	18 13.3	18 13.30	6 53 19.1	26 11 39.1
31	6.7	5	41.0	18 19.75	6 30 3.1	25 48 23.1
32	6.7	2	32.8	20 4.58	6 4 38.1	25 22 58.1
33	8.9	4	20 10.4	20 10.40	7 17 22.3	26 35 42.3
34	8.9	1	9.6	21 52.34	7 46 8.4	27 4 28.4
35	6.7	2	22 35.0	23 6.91	6 50 36.9	26 8 56.9
36	7.8	1	25 0.9	25 42.81	5 27 59.5	24 46 19.5
37	8.9	4	26 6.4	26 6.40	7 19 21.0	26 37 41.0
38	7	5	30 46.5	30 25.05	7 31 55.5	26 50 15.5
39	8.9	2	27.6	31 59.41	6 14 0.8	25 32 20.8
40	7.8	2	32 52.6	33 24.74	7 27 15.0	26 45 35.0
41	9	4	52.3	33 52.30	6 23 39.7	25 41 59.7
42	9	3	36.4	34 57.19	5 42 0.7	25 0 20.7
43	8	5	35 39.6	35 18.27	6 55 27.9	26 13 47.9
44	8.9	4	9.2	36 9.20	7 12 27.5	26 30 47.5
45	8.9	7	46.3	36 3.42	7 50 41.1	27 9 1.1
46	8.9	5	29.6	37 8.09	7 50 12.1	27 8 32.1
47	7	7	2.8	37 20.01	7 35 39.0	26 53 59.0
48	9	4	28.5	38 28.43	7 38 41.5	26 57 1.5
49	6	3	24.8	39 46.13	7 36 19.9	26 54 39.9
50	8.9	4	3.3	40 3.30	7 38 15.8	26 56 35.8
51	9	5	38.6	40 17.16	7 31 26.8	26 49 46.8
52	7.8	3	3.2	41 24.50	7 26 55.1	26 45 15.1
53	8.9	5	46.5	41 25.11	7 16 1.2	26 34 21.2
54	8	6	11.0	41 39.12	6 58 0.1	26 16 20.1
55	7.8	3	57.4	43 18.51	6 25 20.1	25 43 40.1
56	9.0	6	56.5	43 24.76	6 26 37.7	25 44 57.7
57	8	5	21.2	44 0.00	6 10 45.9	25 29 5.9
58	8.9	5	45 17.4	44 56.33	5 26 3.8	24 44 23.8
59	8.9	5	2.0	45 40.72	6 37 10.8	25 55 30.8
60	9	5	52.0	46 30.66	6 57 39.1	26 15 59.1
61	9	4	23.5	47 23.50	7 30 17.8	26 48 37.8
62	8	7	38.6	46 55.82	7 35 15.0	26 53 35.0

NC. 16 50' - 1 52.63
 18 43 - 1 51.97
 Anf. 28 2.28 + 15.3 62.2
 Ende 2.20 + 14.7 57.9
 Microsc. I + 8".32
 Decl. = - (Microsc. I + 19° 18' 20")
 18" r+i - 38".556 Δr - 0".013 Δi + 0".

**Hülftafel zur Reduction auf den mittler
 Ort 1850 Januar 0 D = - 26°.**

T.	k	k'	d
17 0 - 40.96	-1	+7	+ 5.2 - 1.0 + 5
10 - 40.97	-1	+7	+ 4.2 - 1.0 + 5
20 - 40.98	-1	+7	+ 3.2 - 1.0 + 5
30 - 40.99	0	+7	+ 2.2 - 0.9 + 5
40 - 40.99	0	+7	+ 1.3 - 1.0 + 5
50 - 40.99		+7	+ 0.3

10. folgt ungefähr 1" auf No. 8.
 13. dupl. II. Cl. seq.; praec. 6".
 21 Fad. 7. 35".5; die Fäden geben 53".29
 52".90.
 25 Fad. 6. 17.6 Fäden 46".20 und 45".78
 32 " 3. 43.6
 39 " 3. 38.4
 40 " 3. 3.5
 42 " 4. 57.0; Fad. 3 giebt 57".39
 48 " 5. 49.7

No.	Gr.	Fad.	Beob. Zeit.	T.	Microsc. I	Südl. Declin.
63	7	6	15.6	17 47' 43.63	7 25' 48.2	26 44' 8.2
64	9	4	8.3	49 8.30	7 30 15.1	26 48 35.1
65	9	6	40.3	49 8.22	7 40 33.6	26 58 53.6
66	9	5	50 30.3	50 8.86	7 29 47.6	26 48 7.6
67	9	7	10.5	50 27.63	7 47 51.9	27 6 11.9
68	8	6	26.5	50 54.39	7 44 23.7	27 2 43.7
69	9	4	7.6	52 7.60	6 52 3.9	26 10 23.9
70	8	4	18.5	52 18.50	6 54 9.5	26 12 29.5
71	9	4	40.3	52 40.30	6 58 17.2	26 16 37.2
72	9	5	25.0	53 3.79	6 17 57.4	25 36 17.4
73	8.9	6	0.6	53 29.06	5 42 15.5	25 0 35.5
74	8	6	18.4	53 46.89	5 33 37.8	24 51 57.8
75	9	7	59.5	54 17.52	5 20 45.2	24 39 5.2
76	9	7	19.0	54 37.02	5 19 40.2	24 38 0.2
77	7	2	54.6	56 26.23	5 22 52.5	24 41 12.5
78	9	6	28.0	55 56.53	5 24 35.2	24 42 55.2
79	7.8	3	57 36.4	57 57.53	6 10 41.9	25 29 1.9
80	8	2	26.7	58 58.46	6 16 35.8	25 34 55.8
81	8	3	40.4	59 1.50	6 18 1.1	25 36 21.1
82	7.8	3	24.4	59 45.51	6 25 24.5	25 43 44.5
83	7.8	2	5.4	18 0 37.30	6 48 47.8	26 7 7.8
84	9	5	44.3	0 22.80	7 0 2.8	26 18 22.8
85	9	5	47.7	0 26.49	7 0 27.8	26 18 47.8
86	9	6	23.8	0 51.85	7 3 13.8	26 21 33.8
87	7	5	17.0	1 55.70	6 44 54.9	26 3 14.9
88	6.7	5	49.9	2 28.65	6 28 52.9	25 47 12.9
89	9	6	49.7	3 18.14	5 46 45.9	25 5 5.9
90	8.9	4	31.3	4 31.30	5 43 10.5	25 1 30.5
91	7	4	48.5	4 48.50	5 52 46.2	25 11 6.2
92	7	3	12.5	5 33.54	6 2 31.0	25 20 51.0
93	9	3	11.5	6 32.63	5 47 23.2	25 5 43.2
94	8	6	7 6.5	6 34.74	6 31 19.5	25 49 39.5
95	8	5	42.7	7 21.45	6 26 47.1	25 45 7.1
96	8	5	4.3	7 43.08	6 17 14.0	25 35 34.0
97	8.9	5	37.5	8 16.38	5 44 52.2	25 3 12.2
98	9	7	1.5	8 19.38	5 45 38.7	25 3 58.7
99	9	4	9 27.3	9 27.33	5 49 41.9	25 8 1.9
1	7	4	30 25.5	17 30 25.50	2 31 45.5	21 49 5.5
2	9	6	1.9	30 31.02	2 16 24.6	21 33 44.6
3	9	6	42.3	31 11.66	2 6 28.0	21 23 48.0
4	8	4	35.6	32 35.60	1 29 32.0	20 46 52.0
5	9	6	27.7	32 57.04	1 54 14.9	21 11 34.9
6	9	5	17.6	33 57.01	2 21 24.3	21 38 44.3
7	5	3	47.4	35 7.85	2 18 59.5	21 36 19.5
8	9	4	35.0	35 35.00	2 43 53.8	22 1 13.8
9	8.9	4	1.8	36 1.80	2 22 9.3	21 39 29.3
10	7	5	23.3	36 2.65	2 49 53.7	22 7 13.7
11	8.9	6	52.0	36 21.32	2 39 40.7	21 57 0.7
12	9	2	54.3	38 25.23	2 51 39.1	22 8 59.1
13	9	2	26.3	38 57.19	2 43 44.0	22 1 4.0
14	7	3	2.7	39 23.28	3 7 32.9	22 24 52.9
15	9.0	4	37.2	39 37.23	3 19 19.5	22 36 39.5
16	7	7	38.0	39 56.50	3 52 47.9	23 10 7.9
17	7	2	18.6	41 49.74	3 47 1.9	23 4 21.9
18	7	1	1.6	42 42.84	3 34 37.0	22 51 57.0

Hülfsstafel zur Reduction auf den mittleren Ort 1850 Januar 0 D = -26°.

T.	k	k'	d	e
17 40-40.99	0	+7	+ 1.3	-1.0
50-40.99	0	+7	+ 0.3	-1.0
18 0-40.99	0	+7	- 0.7	-0.9
10-40.99		+7	- 1.6	+

63	Fad.	7.	26.4
72	"	6.	35.5
77	"	3.	5.4
79	"	4.	57.6
81	"	4.	1.5
84	"	7.	5.2
85	"	7.	9.2
86	"	7.	34.4
99	"	5.	48.5

Fäden 22".96 und 22".64

Luft Anfangs gut, nachher etwas unruhig.

ZONE 307. 1850 Juni 24. 0

NC.	17 23 - 1	57.04
	19 26 - 1	55.97
Anf.	28 0.67 + 16.0	64.5
Ende	0.44 + 15.0	60.3
Microsc. I	+ 9".70 u. 8".12	
Decl. = -	(Microsc. I + 19° 17' 20")	
18° r+i	-38".475	$\Delta r = 0".014$ $\Delta i = 0"$
	D = -22°.	
17 30-40.83	-1	+6
40-40.84	0	+6
2	Fad.	7. 11".9
3	"	7. 52.7
11	"	7. 2.6
15	"	5. 58.0
18	"	2. 11.7

16. Zeit zweifelhaft.

N ^o .	Gr.	Fad.	Beob. Zeit.	T.	Microsc. I	Südl. Declin.
19	9	5	39.6	17 42 18.98	2 35 25.5	21 52 45.5
20	9	7	9.0	42 27.92	2 27 9.9	21 44 29.9
21	8.9	5	53.2	43 32.70	1 43 31.9	21 0 51.9
22	8	2	44 16.4	44 47.04	1 31 17.8	20 48 37.8
23	8.9	4	45 16.4	45 16.40	1 49 37.1	21 6 57.1
24	8	1	43.4	46 24.16	1 42 0.0	20 59 20.0
25	9	4	18.5	46 18.50	2 7 23.0	21 24 43.0
26	9	4	17.4	47 17.40	3 6 4.9	22 23 24.9
27	7	3	27.6	47 48.18	3 8 12.8	22 25 32.8
28	9	4	.5	48 1.37	3 28 39.2	22 45 59.2
29	9	5	8.6	48 47.80	3 49 41.1	23 7 1.1
30	9	4	31.4	49 31.40	3 39 29.7	22 56 49.7
31	9	7	12.5	49 31.19	3 15 13.0	22 32 33.0
32	7	4	34.5	50 34.50	3 12 23.2	22 29 43.2
33	9	6	51 7.5	50 36.59	3 4 2.3	22 21 22.3
34	7.8	6	34.6	51 3.69	3 9 25.4	22 26 45.4
35	7	6	8.8	51 37.85	3 14 26.2	22 31 46.2
36	8.9	3	23.3	52 43.95	3 17 38.8	22 34 58.8
37	9	7	12.7	52 31.48	2 57 3.8	22 14 23.8
38	7.8	5	38.8	53 18.15	2 49 50.8	22 7 10.8
39	8	4	54 1.4	54 1.40	2 39 54.7	21 57 14.7
40	9	3	31.2	54 51.72	2 44 33.9	22 1 53.9
41	9.0	7	2.2	54 21.03	2 47 29.5	22 4 49.5
42	8.9	4	27.5	55 27.50	2 56 38.8	22 13 58.8
43	8.9	6	10.7	55 39.74	3 16 20.5	22 33 40.5
44	8	6	20.5	55 49.58	3 12 30.0	22 29 50.0
45	9	7	36.0	55 54.70	3 12 7.5	22 29 27.5
46	9	6	22.2	56 51.28	3 7 14.2	22 24 34.2
47	8.9	4	48.2	57 48.20	3 10 26.8	22 27 46.8
48	7.8	3	2.8	58 23.38	3 10 52.2	22 28 12.2
49	8	5	49.3	58 28.65	2 45 53.5	22 3 13.5
50	9	4	9.4	59 9.40	2 49 7.1	22 6 27.1
51	7.8	5	37.5	59 16.85	2 50 13.9	22 7 33.9
52	7.8	7	0.3	59 19.12	2 47 51.5	22 5 11.5
53	8	7	28.8	59 47.56	2 59 45.8	22 17 5.8
54	8	6	54.3	18 0 23.43	2 53 8.6	22 10 28.6
55	9	6	5.8	0 34.91	2 54 5.9	22 11 25.9
56	9	7	32.0	0 50.79	2 54 23.7	22 11 43.7
57	9	6	58.0	1 27.14	2 51 7.8	22 8 27.8
58	9	7	8.7	1 27.53	2 47 4.6	22 4 24.6
59	8	6	53.3	2 22.41	2 58 16.2	22 15 36.2
60	9	7	3 33.5	2 52.56	1 57 28.2	21 14 48.2
61	8.9	5	15.7	3 55.17	1 58 10.7	21 15 30.7
62	8.9	3	35.8	4 56.21	2 0 21.3	21 17 41.3
63	9	7	4.5	4 23.63	1 43 46.8	21 1 6.8
64	4	4	29.0	5 29.00	1 48 18.0	21 5 38.0
65	9	3	55.0	6 16.00	1 38 1.6	20 55 21.6
66	8	4	6 46.0	6 46.00	1 37 18.9	20 54 38.9
67	6	5	7 17.9	6 57.44	1 28 48.0	20 46 8.0
68	9	7	56.8	7 15.95	1 39 32.0	20 56 52.0
69	8	5	9 8.7	8 48.03	2 55 28.3	22 12 48.3
70	7.8	4	32.5	9 32.50	3 2 57.2	22 20 17.2
71	7.8	5	55.3	9 34.60	3 6 2.0	22 23 22.0
72	9	7	35.0	9 53.83	2 45 47.1	22 3 7.1
73	9	6	41.3	10 10.45	2 46 53.5	22 4 13.5

Hilfstafel zur Reduction auf den mittlern Ort 1850 Januar 0 D = - 22°.

T.	k	k'	d	d'
17 40-40.84	0	+6	- 1.3	-0.7
50-40.84	0	+6	- 2.0	-0.6
18 0-40.84	+1	+6	- 2.6	-0.6
10-40.83		+6	- 3.2	+17.9

28 Fad. 5. 22.0
 34 „ 7. 45.0
 36 „ 4. 44.0
 44 „ 7. 30.9 Sternhaufen.
 55 „ 7. 16.1
 65 „ 4. 16.0; Fad. 3, der 15“.36 giebt, ist ausgeschlossen.

No.	Gr.	Fad.	Beob. Zeit.	T.	Microsc. I	Südl. Declin.
74	9	4	15.0	18 11 14.97	2 51 35.5	22 8 55.5
75	9	4	3.5	12 3.50	2 55 26.8	22 12 46.8
76	9	6	18.8	11 47.91	2 56 51.7	22 14 11.7
77	9.0	4	55.5	12 55.50	2 25 11.7	21 42 31.7
78	9	4	42.0	13 42.00	1 51 32.1	21 8 52.1
79	9	5	21.5	14 1.04	1 28 45.1	20 46 5.1
80	7	2	34.0	15 4.58	1 26 8.8	20 43 28.8
81	9	5	20.7	15 0.25	1 21 22.1	20 38 42.1
82	8	7	15 56.7	15 15.62	2 26 36.1	21 43 56.1
83	9	5	35.6	16 14.98	2 37 39.2	21 54 59.2
84	8.9	5	21.5	17 0.89	2 31 24.9	21 48 44.9
85	9	5	46.1	17 25.47	2 39 58.0	21 57 18.0
86	9	4	18.2	18 18.20	2 34 43.0	21 52 3.0
87	9	6	2.4	18 31.65	2 18 44.1	21 36 4.1
88	8	3	20.8	19 41.27	2 23 6.8	21 40 26.8
89	9	3	7.2	20 27.68	2 26 8.8	21 43 28.8
90	8	2	37.7	21 8.53	2 26 14.7	21 43 34.7
91	8	5	53.6	20 33.21	2 9 59.7	21 27 19.7
92	7	4	35.0	21 35.00	1 45 20.7	21 2 40.7
93	8	2	11.0	22 41.81	2 19 57.7	21 37 17.7
94	8	6	46.3	22 15.50	2 33 25.5	21 50 45.5
95	9	4	33.2	23 33.20	2 33 55.6	21 51 15.6
96	9	5	19.0	23 58.39	2 31 37.4	21 48 57.4
97	8	5	44.5	24 23.83	2 56 46.5	22 14 6.5
98	9	6	15.2	24 44.29	3 2 13.6	22 19 33.6
99	8.9	3	25 41.1	26 1.66	3 1 41.6	22 19 1.6
100	9	7	26 6.9	25 25.64	3 5 0.1	22 22 20.1
101	8.9	7	42.9	26 1.65	3 1 42.3	22 19 2.3
102	8	6	18.2	26 47.35	2 48 2.9	22 5 22.9
103	8	7	41.0	26 59.79	2 54 40.4	22 12 0.4
104	8.9	7	28 34.5	27 53.06	3 41 17.9	22 58 37.9
105	9	5	29 35.4	29 14.73	2 56 54.9	22 14 14.9
106	9	5	15.7	29 55.04	2 54 19.0	22 11 39.0
107	7.8	2	39.4	31 10 31	2 48 7.2	22 5 27.2
108	9	5	13.3	30 52.66	2 41 14.6	21 58 34.6
109	8.9	1	43.6	32 24.58	2 29 59.1	21 47 19.1
110	8	3	1.0	32 21.46	2 20 10.1	21 37 30.1
111	8	7	32 27 :	31 46	1 48 22.1	21 5 42.1
112	8.9	4	33 42.0	33 42.00	2 10 6.1	21 27 26.1
113	9	5	24.6	34 3.94	2 50 33.9	22 7 53.9
114	8	6	49.0	34 18.10	3 0 59.8	22 18 19.8
115	7	5	19.4	34 58.68	3 15 30.8	22 32 50.8
116	7.8	5	41.4	35 20.64	3 30 59.2	22 48 19.2
117	9	6	8.5	35 37.50	3 28 1.9	22 45 21.9
118	9	5	5.7	36 45.08	2 36 43.1	21 54 3.1
119	8.9	1	30.8	38 11.89	2 47 47.0	22 5 7.0
120	8.9	6	18.0	37 47.31	2 3 7.2	21 20 27.2
121	9	5	39 25.6	39 5.07	2 0 16.3	21 17 36.3
122	9	7	12.5	39 31.25	3 2 5.0	22 19 25.0
123	9	6	37.6	40 6.71	2 56 49.9	22 14 9.9
124	7	2	17.7	41 48.82	3 43 9.8	23 0 29.8
125	8.9	2	41.5	42 12.58	3 41 39.6	22 58 59.6
126	8	4	19.5	42 19.50	3 8 29.1	22 25 49.1
127	6	4	30.6	42 30.56	3 2 11.9	22 19 31.9
128	8.9	5	23.5	43 2.79	3 12 17.9	22 29 37.9

Hülftafel zur Reduction auf den mittleren Ort 1850 Januar 0 D = - 22°.

T.	k	k'	d
18 10 - 40.83	+1	+6	- 3.2 - 0.6 +
20 - 40.82	+1	+6	- 3.8 - 0.6 +
30 - 40.81	+1	+6	- 4.4 - 0.5 +
40 - 40.80	+1	+6	- 4.9 - 0.6 +
50 - 40.79		+6	- 5.5 +

74 Fad. 5. 35.6
 80 „ 3. 44.2
 91 „ 6. 4.1 Fäden 33''.04 und 33''.3
 99, 101. derselbe.
 119 Fad. 2. 41.0
 127 „ 5. 51.2

No.	Gr.	Fad.	Beob. Zeit.	T.	Microsc. I	Südl. Declin.
129	8.9	7	40.4	18 42 59.19	2 53 45.9	22 11 5.9
130	6	6	19.6	43 48.74	2 48 3.0	22 5 23.0
131	8.9	4	45 1.6	45 1.60	2 36 39.0	21 53 59.0
132	8.9	3	22.5	45 42.89	2 43 21.1	22 0 41.1
133	9	5	46 54.5	46 33.84	2 50 36.9	22 7 56.9
134	8.9	6	33.2	47 2.58	1 44 17.5	21 1 37.5
135	9.0	7	5.5	47 24.61	1 46 56.0	21 4 16.0
136	5.6	2	35.9	49 6.55	1 33 34.5	20 50 54.5
137	8	4	21.0	49 21.00	2 3 12.2	21 20 32.2
138	5	5	48.4	49 27.86	2 0 34.2	21 17 54.2
139	8	1	16.2	50 57.07	2 8 21.3	21 25 41.3
140	9	7	37.2	49 56.11	2 29 7.7	21 46 27.7
141	9	6	25.3	50 54.45	2 48 34.3	22 5 54.3
142	7.8	5	38.4	51 17.76	2 44 10.3	22 1 30.3
143	9.0	6	4.6	51 33.78	2 39 49.3	21 57 9.3
144	9.0	6	33.0	52 2.18	2 39 32.1	21 56 52.1
145	8.9	4	58.4	52 58.40	3 1 48.0	22 19 8.0
146	8.9	4	40.6	53 40.60	3 0 30.8	22 17 50.8
147	6	7	58 :	53 17	3 36 27.9	22 53 47.9
148	8	1	41.4	55 22.71	3 37 48.3	22 55 8.3
149	7	1	10.7	55 52.01	3 49 2.0	23 6 22.0
150	8.9	6	53.5	55 22.46	3 37 48.8	22 55 8.8
151	8.9	6	22.4	55 51.40	3 28 51.4	22 46 11.4
152	5	6	53.4	56 22.67	2 39 52.6	21 57 12.6
153	8.9	7	37.4	56 56.45	2 0 43.8	21 18 3.8
154	8.9	6	2.6	57 31.95	1 50 57.2	21 8 17.2
155	8.9	4	45.3	58 45.30	2 21 39.8	21 38 59.8
156	8.9	5	28.8	59 8.19	2 32 58.4	21 50 18.4
157	8	4	44.0	59 44.00	2 37 58.6	21 55 18.6
158	8	5	0 15.2	59 54.56	2 43 35.9	22 0 55.9
159	8.9	3	50.8	19 1 11.40	3 19 6.1	22 36 26.1
160	8.9	5	46.7	1 26.11	2 23 52.2	21 41 12.2
161	9	6	58.4	1 27.64	2 21 56.0	21 39 16.0
162	8.9	5	29.3	2 8.72	2 15 31.0	21 32 51.0
163	9	6	52.0	2 21.25	2 19 15.0	21 36 35.0
164	9	7	18.2	2 37.21	2 9 33.4	21 26 53.4
165	7.8	4	3 45.4	3 45.23	2 2 21.8	21 19 41.8
1	9	5	54 19.1	17 53 57.81	6 42 8.7	26 0 28.7
2	9	7	37.2	53 54.71	6 47 53.5	26 6 13.5
3	7	6	19.2	54 47.31	7 0 23.2	26 18 43.2
4	8	5	54.6	55 33.30	6 43 21.1	26 1 41.1
5	9	5	25.5	56 4.21	6 42 42.1	26 1 2.1
6	9	6	40.2	56 8.28	6 48 36.7	26 6 56.7
7	9.0	6	26.4	56 54.54	6 53 56.5	26 12 16.5
8	8.9	4	49.0	57 49.00	6 53 43.8	26 12 3.8
9	8.9	5	4.1	57 42.79	6 58 32.2	26 16 52.2
10	9	5	41.5	58 20.19	6 48 35.2	26 6 55.2
11	9	7	4.8	58 22.31	6 48 0.2	26 6 20.2
12	9	7	24.3	58 41.80	6 49 51.7	26 8 11.7
13	9	3	4.2	18 0 25.42	7 0 0.6	26 18 20.6
14	9	3	8.0	0 29.26	7 0 22.1	26 18 42.1
15	7.8	5	1.2	0 40.02	6 48 42.8	26 7 2.8
16	9	7	37.4	0 54.82	7 3 12.8	26 21 32.8
17	7	4	58.4	1 58.35	6 44 48.6	26 3 8.6
18	9	3	51.3	3 12.47	6 44 21.4	26 2 41.4

Hülftafel zur Reduction auf den mittlern Ort 1850 Januar 0 D = - 22°.

T.	k	k'	d	d'
18 40-40.80	+1	+6	- 4.9	- 0.6
50-40.79	+2	+6	- 5.5	- 0.5
19 0-40.77	+3	+6	- 6.0	- 0.5
10-40.74		+6	- 6.5	

129. duplex.
 130 Fad. 7. 29".9
 132 " 5. 3.4; Fad. 3 im Original 32".5, corrigirt nach Fad. 5 und Z. 224 No. 103.
 136 Fad. 3. 46.2
 149 " 2. 20.8 dupl. II. Cl. seq.; pracc. 9.0.
 148. 150. derselbe.
 152 Fad. 7. 3.9
 165 " 5. 5.6 giebt 45".06

Sehr gute Luft.

ZONE 308. 1850 Juni 30. Ost.

NC. 17 18-1 51.67
 19 45-1 53.47
 Anf. 28 1.46 12.2 53.5
 18 56 52.4
 Ende 28 1.43 11.9 52.6
 Microsc. I + 6".64
 Decl. = - (Microsc. I + 19° 18' 20")
 19" r+i - 41".210 Ar-0".019 Ai+0".039
 D = - 26°.

17 50-43.69	0	+7	- 0.8	- 0.5	+29.5
18 0-43.69	0	+7	- 1.3	- 0.6	+29.6
10-43.69		+7	- 1.9		+29.6

6 Fad. 7. 50".7 9 Fad. 6. 14".7
 14 " 4. 29.3 17 " 5. 19.6

Nº.	Gr.	Fad.	Beob. Zeit.	T.	Microsc. I	Südl. Declin.
19	9	5	24.5	18 3' 3.20	6 43' 32.1	26 1' 52.1
20	9	7	42.5	4 0.00	6 50' 12.8	26 8' 32.8
21	7	7	4 11 :	3 28	7 6' 51.9	26 25' 11.9
22	9	7	5.0	4 22.21	7 36' 28.8	26 54' 48.8
23	8.9	4	52.2	5 52.20	6 55' 35.0	26 13' 55.0
24	7.8	3	13.1	6 34.32	7 2' 28.9	26 20' 48.9
25	7.8	2	30.9	7 2.87	7 3' 29.0	26 21' 49.0
26	8.9	4	6.5	7 6.50	7 8' 31.0	26 26' 51.0
27	8.9	5	45.4	7 24.16	6 26' 46.4	25 45' 6.4
28	9	5	2.6	7 41.33	6 35' 57.1	25 54' 17.1
29	8.9	7	28.2	7 45.90	6 17' 12.6	25 35' 32.6
30	7.8	4	3.8	9 3.80	6 5' 9.6	25 23' 29.6
31	9	4	29.6	9 29.60	5 49' 38.1	25 7' 58.1
32	9	6	10.0	9 38.55	5 19' 56.0	24 38' 16.0
33	9.0	3	10 36.5	10 57.47	5 22' 34.0	24 40' 54.0
34	9.0	4	31.0	11 31.00	5 21' 12.8	24 39' 32.8
35	9	6	11.1	11 39.56	5 41' 53.5	25 0' 13.5
36	9.0	7	42.5	12 0.36	5 47' 52.4	25 6' 12.4
37	6	5	22.3	13 1.21	5 40' 28.0	24 58' 48.0
38	8.9	4	43.7	13 43.70	5 40' 3.0	24 58' 23.0
39	9	4	5.3	14 5.39	5 44' 16.1	25 2' 36.1
40	9	6	53.4	14 21.74	6 10' 5.1	25 28' 25.1
41	7	6	29.5	14 57.70	6 55' 50.8	26 14' 10.8
42	7.8	6	5.4	15 33.46	7 12' 32.8	26 30' 52.8
43	8.9	5	24.4	16 2.88	7 15' 18.6	26 33' 38.6
44	9	4	17 37.6	17 37.60	7 10' 43.5	26 29' 3.5
45	9	3	29.2	18 50.47	7 18' 20.0	26 36' 40.0
46	9	4	33.8	18 23.85	7 21' 37.1	26 39' 57.1
47	6.7	5	28.0	19 6.58	7 24' 23.1	26 42' 43.1
48	6.7	5	49.6	19 28.15	7 31' 44.9	26 50' 4.9
49	9	6	3.2	19 31.16	7 32' 28.3	26 50' 48.3
50	8.9	5	41.5	20 20.09	7 22' 15.9	26 40' 35.9
51	6.7	6	52.0	20 20.16	7 21' 34.0	26 39' 54.0
52	9	5	37.6	21 16.29	6 48' 19.0	26 6' 39.0
53	7	5	8.2	21 46.97	6 20' 14.9	25 38' 34.9
54	9.0	5	40.0	22 18.77	6 20' 35.8	25 38' 55.8
55	8.9	4	7.5	23 7.50	6 28' 56.8	25 47' 16.8
56	9.0	4	34.0	23 34.00	6 30' 53.9	25 49' 13.9
57	8.9	3	1.3	24 22.41	5 53' 15.7	25 11' 35.7
58	8.9	4	33.6	24 33.60	5 58' 49.2	25 17' 9.2
59	8	4	13.1	25 13.10	6 14' 55.2	25 33' 15.2
60	9	4	25 35.5	25 35.50	6 10' 56.2	25 29' 16.2
61	9	4	6.7	26 6.70	6 0' 43.1	25 19' 3.1
62	9	4	48.6	26 48.60	5 57' 2.6	25 15' 22.6
63	9.0	5	28.4	27 7.16	6 25' 3.7	25 43' 23.7
64	7	1	56.0	28 38.25	6 28' 21.6	25 46' 41.6
65	7.8	5	34.5	28 13.14	7 5' 43.1	26 24' 3.1
66	9	1	28 58.6	29 41.24	7 25' 32.9	26 43' 52.9
67	8	6	30 15.1	29 43.42	6 14' 20.5	25 32' 40.5
68	8.9	2	44.6	31 16.39	6 19' 24.5	25 37' 44.5
69	8	2	48.4	31 20.25	6 19' 37.6	25 37' 57.6
70	9	4	56.3	31 56.30	5 49' 24.6	25 7' 44.6
71	9	4	17.5	32 17.50	5 50' 27.6	25 8' 47.6
72	8	3	46.1	33 7.05	5 49' 10.1	25 7' 30.1
73	9	5	36.0	33 14.84	5 59' 55.3	25 18' 15.3

Hülftafel zur Reduction auf den mittleren Ort 1850 Januar 0 D = - 26°.

T.	k	k'	d
18 0'-43.69	0	+7	- 1.3 - 0.6 +
10-43.69	0	+7	- 1.9 - 0.5 +
20-43.69	+1	+7	- 2.4 - 0.6 +
30-43.68	+1	+7	- 3.0 - 0.6 +
40-43.67		+7	- 3.6 +

- 33 Fad. 4. 57.5
 39 „ 5. 26.6
 41 „ 7. 40.3
 43 „ 6. 34.7
 45. Zeitsecunde zweifelhaft, wahrscheinlich sie 19.2 sein, und dann T 40''.47.
 46. Zeitsecunde zweifelhaft; Faden 7, an dem Stern um 6''.6 beobachtet ward, zeigt, sie 23.8 sein muss, womit T berechnet i
 51 Fad. 7. 3.0
 57 „ 4. 22.5
 66 „ 2. 9.2
 68 „ 4. 16.4
 69 „ 3. 59.1 Fad. 4. 20''.4 dupl. II. Cl.
 72 „ 4. 7.0

No.	Gr.	Fad.	Beob. Zeit.	T.	Microsc. I	Südl. Declin.
74	9	4	4.5	18 34' 4.50	5 58' 7.3	25 16' 27.3
75	7	4	23.6	34 23.60	5 52' 6.7	25 10' 26.7
76	8	1	28.0	36 10.16	6 12' 33.1	25 30' 53.1
77	9	2	44.5	36 16.25	6 13' 41.5	25 32' 1.5
78	8	5	32.6	36 11.32	6 37' 52.9	25 56' 12.9
79	9	3	10.5	37 31.77	7 18' 46.9	26 37' 6.9
80	4	7	43.2	37 0.32	7 49' 35.0	27 7' 55.0
81	9	4	36.4	38 36.40	7 3' 30.6	26 21' 50.6
82	9	5	8.8	38 47.62	6 4' 0.0	25 22' 20.0
83	8.9	4	41.6	39 41.60	5 37' 40.9	24 56' 0.9
84	8.9	1	21.2	41 3.16	5 24' 10.9	24 42' 30.9
85	9.0	5	23.2	41 2.16	5 15' 43.1	24 34' 3.1
86	8	4	43.7	41 43.71	5 30' 8.7	24 48' 28.7
87	9	3	21.7	42 42.65	5 51' 30.9	25 9' 50.9
88	8.9	5	12.2	42 51.03	6 3' 28.8	25 21' 48.8
89	9	3	34.0	44 55.07	5 27' 30.8	24 45' 50.8
90	7	3	34.0	45 55.10	5 38' 46.9	24 57' 6.9
91	8.9	4	4.2	46 4.20	5 35' 22.9	24 53' 42.9
92	9	2	34.6	47 6.26	5 54' 28.5	25 12' 48.5
93	7	1	49.0	47 31.06	5 55' 49.5	25 14' 9.5
94	8.9	3	21.2	47 42.20	5 48' 21.8	25 6' 41.8
95	9	6	3.8	47 32.27	5 39' 45.5	24 58' 5.5
96	7	5	37.0	48 15.92	5 30' 22.5	24 48' 42.5
97	8	6	10.5	48 38.78	6 20' 56.9	25 39' 16.9
98	9.0	5	45.4	49 24.18	6 17' 18.8	25 35' 38.8
99	7.8	4	27.1	50 27.10	6 1' 32.8	25 19' 52.8
100	9	4	17.5	51 17.50	5 56' 40.7	25 15' 0.7
101	6	3	34.8	51 55.80	5 50' 32.3	25 8' 52.3
102	9	3	10.0	52 30.96	5 33' 22.2	24 51' 42.2
103	9	7	0.4	52 17.98	6 36' 27.0	25 54' 47.0
104	9	7	10.2	52 27.78	6 37' 11.3	25 55' 31.3
105	8	4	53.0	53 53.00	6 35' 27.5	25 53' 47.5
106	9	5	19.0	53 57.76	6 25' 18.0	25 43' 38.0
107	9	5	14.5	54 53.18	6 52' 6.9	26 10' 26.9
108	7	3	55.6	56 16.66	6 8' 33.0	25 26' 53.0
109	8	7	3.5	56 21.39	5 43' 47.2	25 2' 7.2
110	8	7	19.6	56 37.45	5 49' 57.8	25 8' 17.8
111	6.7	7	52.0	57 9.93	5 35' 33.6	24 53' 53.6
112	7.8	3	17.9	58 38.90	5 48' 19.1	25 6' 39.1
113	7.8	4	48.7	58 48.70	5 26' 51.9	24 45' 11.9
114	6.7	2	16.6	59 48.24	5 35' 3.8	24 53' 23.8
115	7	4	18.7	19 0 18.70	6 0' 21.3	25 18' 41.3
116	9	4	48.5	0 48.50	6 2' 37.5	25 20' 57.5
117	9.0	4	19.3	1 19.30	6 6' 41.6	25 25' 1.6
118	9.0	7	45.0	1 2.65	6 25' 7.9	25 43' 27.9
119	9	1	12.3	2 54.54	6 26' 17.0	25 44' 37.0
120	8.9	4	33.0	2 32.96	6 35' 58.0	25 54' 18.0
121	9	7	13.5	2 31.03	6 44' 19.1	26 2' 39.1
122	8.9	3	51.9	4 13.04	6 36' 25.0	25 54' 45.0
123	9	2	20.2	4 52.01	6 28' 27.9	25 46' 47.9
124	9	4	42.9	4 42.90	6 48' 51.9	26 7' 11.9
125	6	5	4.3	4 42.92	6 50' 40.7	26 9' 0.7
126	9.0	6	52.5	5 20.68	6 44' 27.9	26 2' 47.9
127	9.0	4	35.7	6 35.70	6 49' 22.0	26 7' 42.0
128	8.9	4	28.2	7 28.20	7 33' 36.8	26 51' 56.8

**Helfstafel zur Reduction auf den mittlern
Ort 1850 Januar 0 D = - 26°.**

T.	k	k'	d	d'
18 30' - 43.68	+1	+7	- 3.0	- 0.6 + 29.7
40 - 43.67	+1	+7	- 3.6	- 0.5 + 29.7
50 - 43.66	+2	+7	- 4.1	- 0.5 + 29.7
19 0 - 43.64	+1	+7	- 4.6	- 0.4 + 29.8
10 - 43.63		+7	- 5.0	+ 29.8

84 Fad. 2. 31.7

86 „ 5. 4.8

87 „ 4. 42.6

89 „ 5. 16.0 Bei Faden 3 ward ein Fehler von +1'' entdeckt und corrigirt.

93 Fad. 2. 59.4

113. Bei Faden 4 ward ein Fehler von -1'' entdeckt und corrigirt, zur Bestätigung ward beob. Fad. 7. 31''.0, aber wohl nur flüchtig, und desshalb nicht berücksichtigt.

114 Fad. 4. 48.3

120 „ 5. 54.2

125 „ 6. 14.7

Nº.	Gr.	Fad.	Beob. Zeit.	T.	Microsc. I	Südl. Declin.
129	7	5	3.2	19 7 41.92	6 36 57.0	25 55 17.0
130	8.9	6	27.0	7 55.40	6 17 36.6	25 35 56.6
131	8.9	3	9 42.5	10 3.47	5 35 5.0	24 53 25.0
132	9	5	18.8	9 57.67	5 46 43.5	25 5 3.5
133	9	5	11 11.2	10 50.00	6 13 38.8	25 31 58.8
134	9.0	4	56.0	11 56.00	6 17 37.5	25 35 57.5
135	8	4	29.6	12 29.60	6 29 53.7	25 48 13.7
136	9	5	57.5	12 36.24	6 33 22.4	25 51 42.4
137	9	4	26.5	13 26.50	6 41 31.3	25 59 51.3
138	9	5	20.1	13 58.81	6 41 8.9	25 59 28.9
139	9.0	5	5.0	14 43.64	7 11 59.5	26 30 19.5
140	9.0	4	42.2	15 42.20	7 11 7.1	26 29 27.1
141	5.6	3	31.2	16 52.15	5 29 32.8	24 47 52.8
142	8	4	59.1	16 59.10	5 23 59.7	24 42 19.7
143	8.9	2	45.0	18 16.84	6 34 6.2	25 52 26.2
144	8.9	1	12.0	18 54.41	6 55 23.5	26 13 43.5
145	8	7	54.0	18 11.34	7 18 2.2	26 36 22.2
146	9	5	15.7	18 54.34	7 10 58.7	26 29 18.7
147	9	5	20.7	18 59.32	7 11 24.1	26 29 44.1
148	9	6	32.5	20 0.61	6 59 38.8	26 17 58.8
149	8.9	6	52.3	20 20.44	6 53 23.5	26 11 43.5
150	9	7	7.6	20 25.10	6 49 41.4	26 8 1.4
151	9	7	24.5	20 42.03	6 45 11.1	26 3 31.1
152	8.9	7	52.0	21 9.51	6 47 45.2	26 6 5.2
153	7.8	3	27.6	22 48.77	6 44 9.9	26 2 29.9
154	9	7	56.6	22 14.19	6 35 26.8	25 53 46.8
155	8.9	7	13.1	22 30.71	6 32 4.0	25 50 24.0
156	8.9	2	59.6	24 21.53	6 18 42.2	25 37 2.2
157	8	3	22.2	24 43.32	6 27 45.2	25 46 5.2
158	8	6	24 56.5	24 24.60	7 1 59.0	26 20 19.0
1	9	7	0 12.4	17 59 32.79	6 17 21.7	15 34 1.7
2	8.9	2	48.9	18 1 18.63	6 16 4.1	15 32 44.1
3	8.9	1	27.5	2 7.00	6 17 32.5	15 34 12.5
4	7.8	4	0.4	2 0.40	6 1 27.5	15 18 7.5
5	9	4	15.9	2 15.90	5 59 38.4	15 16 18.4
6	7.8	3	57.5	3 17.17	5 28 37.9	14 45 17.9
7	9	3	31.0	3 50.73	6 10 19.0	15 26 59.0
8	8	4	59.5	3 59.50	6 19 53.5	15 36 33.5
9	7	5	26.6	4 6.73	6 25 42.1	15 42 22.1
10	9	5	54.6	4 34.73	6 19 4.7	15 35 44.7
11	7.8	5	10.9	4 51.03	6 22 36.9	15 39 16.9
12	6.7	4	5 51.7	5 51.70	6 21 10.9	15 37 50.9
13	8.9	5	16.2	5 56.32	6 27 39.6	15 44 19.6
14	9	7	44.5	6 4.84	6 33 54.8	15 50 34.8
15	9	4	21.8	7 21.80	6 47 18.9	16 3 58.9
16	9	5	40.7	7 20.78	6 50 7.0	16 6 47.0
17	9	6	7.4	7 37.73	6 42 59.6	15 59 39.6
18	7	7	35.5	7 55.82	6 39 23.0	15 56 3.0
19	9	7	45.4	8 5.72	6 29 45.2	15 56 25.2
20	8.9	4	29.9	9 29.90	6 29 19.2	15 45 59.2
21	8.9	5	53.2	9 33.33	6 23 26.2	15 40 6.2
22	6	5	14.4	9 54.54	6 12 5.0	15 28 45.0
23	8.9	4	43.6	10 43.60	6 12 52.2	15 29 32.2
24	9	3	57.9	11 17.64	6 14 55.9	15 31 35.9
25	8	4	38.1	11 38.10	6 23 21.5	15 40 1.5

*Hülftafel zur Reduction auf den mittl
Ort 1850 Januar 0 D = - 26°.*

T.	k	k'	d
19 0-43.64	+1	+7	- 4.6 -0.4
10-43.63	+2	+7	- 5.0 -0.3
20-43.61	+3	+7	- 5.3 -0.3
30-43.58		+7	- 5.6

130 Fad. 7. 37.8 dupl. III. Cl. seq.

139 " 6. 15.6

144 " 3. 33.2

146 " 7. 37.0

156 " 3. 0.6 Fäden 31".37 und 21
ich habe angenommen, dass Fad. 2
sein soll, was durch eine Beob. 1851 O
bestätigt wird.

Ziemlich ruhige Luft.

ZONE 309. 1850 Juli 21. C

NC. 17 52 - 1 50.93
20 0 - 1 50.56

Anf. 28 0.48 + 14.4 57.2

18 53 57.0

Ende 28 0.50 + 12.9 54.7

Microsc. I + 10".25 u. + 9".25

Decl. = - (Microsc. I + 9° 16' 40")

19° r+i - 50".710 Δr-0".022 Δi+0

*Hülftafel zur Reduction auf den mittl
Ort 1850 Januar 0 D = - 16°.*

T.	k	k'	d
18 0-53.09	-2	+5	- 2.4 -0.5
10-53.11	-2	+5	- 2.9 -0.4

17 Fad. 7. 16.5

19. Nach dem Zeugniß von Z. 229 Nº. 17
Z. 230 Nº. 23 ist die Angabe des Micro:
um 10' zu vergrössern. Unter dieser Ann
ist die Decl. und T berechnet.

22 Fad. 6. 24.2

Nr.	Gr.	Fad.	Beob. Zeit.	T.	Microsc. I	Südl. Declin.
26	9	5	10.0	18 11 50.14	6 47 12.1	16 3 52.1
27	9	5	14.0	11 54.04	6 47 56.9	16 4 36.9
28	5	6	53.4	12 23.70	6 36 31.9	15 53 11.9
29	9	5	22.3	13 2.32	6 48 24.3	16 5 4.3
30	8.9	6	54.9	13 25.15	6 47 17.0	16 3 57.0
31	8.9	3	16.7	14 36.50	6 51 29.2	16 8 9.2
32	9	4	52.1	14 52.10	6 55 48.0	16 12 28.0
33	7.8	4	21.4	15 21.40	7 22 55.0	16 39 35.0
34	8.9	5	50.1	15 30.13	7 30 8.7	16 46 48.7
35	9	2	26.4	16 56.33	7 35 28.2	16 52 8.2
36	8.9	2	44.1	17 14.03	7 33 30.4	16 50 10.4
37	8.9	6	18 5.6	17 35.77	7 18 17.9	16 34 57.9
38	7	5	43.5	18 23.59	6 44 9.2	16 0 49.2
39	6.7	6	9.6	18 39.93	6 25 55.4	15 42 35.4
40	9	4	36.8	19 36.80	6 29 59.4	15 46 39.4
41	6.7	5	7.7	19 47.84	6 10 51.8	15 27 31.8
42	9	7	59.7	20 20.24	5 30 57.8	14 47 37.8
43	8.9	7	2.5	20 23.05	5 28 12.2	14 44 52.2
44	9	5	52.6	21 32.81	5 27 25.0	14 44 5.0
45	5	7	11.6	21 32.16	5 22 45.1	14 39 25.1
46	7	6	36.3	22 6.75	5 23 55.0	14 40 35.0
47	9	7	1.6	22 22.12	5 37 17.8	14 53 57.8
48	8.9	5	33.5	23 13.69	5 44 50.9	15 1 30.9
49	7	4	24 8.6	24 8.60	6 0 17.1	15 16 57.1
50	8.9	4	44.0	24 44.00	6 21 30.5	15 38 10.5
51	7	5	13.7	24 53.81	6 31 32.0	15 48 12.0
52	7	2	51.8	26 21.58	6 35 46.2	15 52 26.2
53	7	7	17.1	25 37.37	6 52 14.7	16 8 54.7
54	9	4	4.0	27 4.00	6 57 46.2	16 14 26.2
55	7.8	3	15.5	27 35.25	6 58 13.3	16 14 53.3
56	9	5	27 51.5	27 31.56	7 2 56.1	16 19 36.1
57	8	2	40.3	29 10.16	7 7 44.2	16 24 24.2
58	8	2	53.4	29 23.28	7 6 17.9	16 22 57.9
59	9.0	6	56.9	29 27.14	6 52 28.9	16 9 8.9
60	8	6	30.4	30 0.72	6 16 13.7	15 32 53.7
61	7	3	1.5	31 21.20	5 53 16.6	15 9 56.6
62	9	2	24.0	31 53.69	5 56 25.9	15 13 5.9
63	8	3	40.1	31 59.82	6 0 24.3	15 17 4.3
64	9.0	4	3.4	32 3.28	6 1 54.7	15 18 34.7
65	9.0	7	56.4	32 16.81	6 10 11.2	15 26 51.2
66	8.9	7	33 29.6	32 49.98	6 20 37.9	15 37 17.9
67	6	7	34 42.5	34 3.05	5 25 21.8	14 42 1.8
68	8.9	5	2.6	34 42.81	5 28 55.3	14 45 35.3
69	9	7	25.0	34 45.54	5 30 21.4	14 47 1.4
70	8.9	5	52.5	35 32.70	5 32 45.0	14 49 25.0
71	9	6	11.2	35 41.58	5 31 39.9	14 48 19.9
72	8.9	4	37 5.1	37 5.10	6 56 55.0	16 13 35.0
73	9.0	1	52.0	38 31.68	6 55 42.0	16 12 22.0
74	9	4	57.4	38 57.40	7 41 2.8	16 57 42.8
75	9	4	23.2	39 23.20	7 34 28.5	16 51 8.5
76	6.7	2	41.9	40 11.86	7 39 13.2	16 55 53.2
77	9	4	12.8	40 12.80	7 45 31.6	17 2 11.6
78	7.8	4	56.0	40 56.00	7 54 53.8	17 11 33.8
79	7.8	3	28.2	41 48.10	7 47 15.1	17 3 55.1
80	9	6	49.2	41 19.30	7 45 51.6	17 2 31.6

*Halftafel zur Reduction auf den mittlern
Ort 1850 Januar 0 D = - 16°.*

T.	k	k'	d	d'
18 10 - 53.11	-2	+5	- 2.9	-0.4 +10.2
20 - 53.13	-2	+5	- 3.3	-0.5 +10.2
30 - 53.15	-2	+5	- 3.8	-0.4 +10.2
40 - 53.17	-1	+5	- 4.2	-0.4 +10.2
50 - 53.18		+5	- 4.6	+10.3

26	Fad. 7.	29.9
27	" 7.	33.7
28	" 7.	3.4
29	" 6.	32.0
34	" 6.	0.0
39	" 7.	19.6
41	" 6.	17.5
55	" 4.	35.2
58	" 3.	2.2, Fad. 4. 23".3; Fad. 3, der 22".03 giebt, ist ausgeschlossen.
64	Fad. 5.	23.0
71	" 7.	21.0
73	" 2.	1.9
76	" 3.	52.0

No.	Gr.	Fad.	Beob. Zeit.	T.	Microsc. I	Südl. Declin.
81	6.7	7	21.4	18 41 41.52	7 36 20.9	16 53 0.9
82	8	4	55.4	42 55.40	7 38 40.7	16 55 20.7
83	8.9	4	33.8	43 33.80	7 45 28.5	17 2 8.5
84	8.9	3	53.7	44 13.59	7 45 24.3	17 2 4.3
85	8	5	24.6	44 4.62	7 24 6.5	16 40 46.5
86	8.9	6	48.4	44 18.58	7 12 12.9	16 28 52.9
87	6.7	4	14.6	45 14.60	7 16 36.9	16 33 16.9
88	9	4	33.2	45 33.20	7 16 23.2	16 33 3.2
89	9	4	29.5	46 29.50	7 18 56.8	16 35 36.8
90	8.9	4	1.7	47 1.70	7 17 50.1	16 34 30.1
91	7	6	38.4	47 8.55	7 25 38.4	16 42 18.4
92	5	5	5.6	47 45.64	7 16 25.2	16 33 5.2
93	7	4	59.0	47 58.87	7 15 13.7	16 31 53.7
94	7	4	6.0	49 6.00	5 46 12.1	15 2 52.1
95	8	1	50 17.7	50 57.19	5 41 11.0	14 57 51.0
96	9	5	5.5	50 45.64	6 14 47.0	15 31 27.0
97	8	2	32.5	52 2.23	6 14 2.8	15 30 42.8
98	9.0	6	2.2	51 32.51	6 22 7.5	15 38 47.5
99	9	2	52 47.0	53 16.74	6 17 38.2	15 34 18.2
100	6	4	53 52.2	53 52.20	6 12 37.5	15 29 17.5
101	9	4	38.3	54 38.30	6 28 18.4	15 44 58.4
102	9.0	5	16.5	54 56.94	6 36 6.1	15 52 46.1
103	9	5	51.7	55 31.80	6 36 44.9	15 53 24.9
104	9.0	4	22.0	56 22.00	6 32 46.7	15 49 26.7
105	7	5	57 23.6	57 3.58	7 47 47.0	17 4 27.0
106	7	5	48.1	57 28.08	7 48 15.9	17 4 55.9
107	9.0	7	6.6	57 26.70	7 43 50.5	17 0 30.5
108	9	4	38.0	58 38.00	7 42 10.7	16 58 50.7
109	6	5	27.9	59 7.95	7 10 24.8	16 27 4.8
110	8.9	6	0.2	59 30.51	6 51 46.6	16 8 26.6
111	8	3	26.4	19 0 46.10	6 49 45.8	16 6 25.8
112	8	3	15.3	1 35.09	6 47 35.3	16 4 15.3
113	9	3	34.8	1 54.55	6 51 10.2	16 7 50.2
114	9	5	47.9	2 28.00	6 37 56.1	15 54 36.1
115	9	3	12.5	3 32.26	6 30 34.2	15 47 14.2
116	7	7	3 51.4	3 11.84	6 2 17.9	15 18 57.9
117	8	1	35.6	5 15.16	5 59 6.3	15 15 46.3
118	9	6	5.7	4 36.05	6 7 34.2	15 24 14.2
119	9	4	59.0	5 59.00	6 24 30.0	15 41 10.0
120	9.0	6	30.3	6 0.72	6 31 4.7	15 47 44.7
121	9	5	21.5	7 1.63	6 21 39.2	15 38 19.2
122	7	4	3.6	8 3.60	5 48 56.0	15 5 36.0
123	9	6	25.1	7 55.51	5 41 20.1	14 58 0.1
124	9	3	2.2	9 21.93	5 32 34.0	14 49 14.0
125	8	3	31.0	9 50.69	5 29 9.8	14 45 49.8
126	7	2	10 33.6	11 3.20	5 31 38.8	14 48 18.8
127	8	5	21.1	11 1.28	5 46 26.0	15 3 6.0
128	9	5	57.7	11 37.86	6 1 32.2	15 18 12.2
129	9	3	35.0	12 54.82	6 17 49.1	15 34 29.1
130	9	7	19.5	12 39.88	6 21 30.7	15 38 10.7
131	8.9	4	2.3	14 2.30	6 33 52.3	15 50 32.3
132	4	6	31.0	14 1.15	6 57 6.2	16 13 46.2
133	9	4	14 57.5	14 57.48	7 0 3.4	16 16 43.4
134	7.8	4	55.5	15 55.50	6 48 55.3	16 5 35.3
135	9	5	45.4	16 25.57	7 18 59.0	16 35 39.0

*Hälftafel zur Reduction auf den mittl.
Ort 1850 Januar 0 D = - 16°.*

T.	k	k'	d
18 40-53.17	-1	+5	- 4.2
50-53.18	-1	+5	- 4.6
19 0-53.19	-1	+5	- 5.1
10-53.20	0	+5	- 5.5
20-53.20		+5	- 6.0

93	Fad. 5.	18.7
95	" 3.	37.6
99	" 3.	57.0
102	" 6.	27.0 Fäden 56".60 und 57".
109.	dupl. II.	Cl. austr., bor. 9.0 ^m .
110	" 7.	10.3
111	Fad. 4.	46.0
113	" 4.	54.5
117	" 2.	45.6
120	" 7.	40.5
123	" 7.	35.0
124	" 4.	22.0
125	" 4.	50.7
126	" 3.	43.5
129	" 4.	54.9
132	" 7.	40.8
133	" 5.	17.4

Nr.	Gr.	Fad.	Beob. Zeit.	T.	Microsc. I	Südl. Declin.
136	7.8	7	20 14.0	19 17 34.07	7 50 30.3	17 7 10.3
137	8	7	16.3	17 36.39	7 44 49.8	17 1 29.8
138	7.8	4	1.5	19 1.50	7 47 42.9	17 4 22.9
139	9	6	43.2	19 13.37	7 19 3.6	16 35 43.6
140	9.0	6	0.3	19 30.46	7 21 25.7	16 38 5.7
141	8.9	7	18.4	19 38.61	7 14 34.0	16 31 14.0
142	8	5	50.0	20 30.04	7 13 44.2	16 30 24.2
143	8.9	4	4.6	21 4.68	7 8 57.9	16 25 37.9
144	9	4	58.8	21 58.80	7 10 18.0	16 26 58.0
145	7.8	4	20.3	22 20.30	6 59 59.0	16 16 39.0
146	9	7	1.7	22 22.09	6 15 7.8	15 31 47.8
147	9	7	8.8	22 29.18	6 20 3.1	15 36 43.1
148	9	1	6.0	24 45.41	5 57 44.9	15 14 24.9
149	8	7	43.2	24 3.74	5 31 19.3	14 47 59.3
150	8.9	5	18.9	24 59.10	5 38 12.2	14 54 52.2
151	8	4	0.7	26 0.70	5 29 56.1	14 46 36.1
152	9	7	25.6	25 46.09	5 47 40.9	15 4 20.9
153	9	6	7.3	26 37.73	5 51 45.1	15 8 25.1
154	9	7	56.2	27 16.71	5 39 21.4	14 56 1.4
155	7	2	29 5.5	29 35.12	5 29 59.1	14 46 39.1
156	6	2	30.5	30 0.10	5 20 55.4	14 37 35.4
157	9	4	57.4	29 57.40	5 27 18.1	14 43 58.1
158	9.0	6	23.2	29 53.63	5 31 25.0	14 48 5.0
159	8.9	2	55.4	31 25.04	5 37 33.3	14 54 13.3
160	6.7	2	44.4	32 14.19	6 13 32.1	15 30 12.1
161	7.8	4	32 17.2	32 17.20	5 54 31.6	15 11 11.6
1	8	7	56 44.0	17 56 3.53	10 10 21.8	19 27 21.8
2	8.9	1	18.0	57 58.36	10 10 57.0	19 27 57.0
3	9	7	54.4	57 13.90	10 18 10.4	19 35 10.4
4	7	7	15.4	57 34.86	10 28 21.9	19 45 21.9
5	8.9	6	28.0	57 57.63	10 25 45.7	19 42 45.7
6	9	7	1.1	58 20.61	10 16 46.3	19 33 46.3
7	9.0	5	45.0	59 24.59	11 4 41.5	20 21 41.5
8	9.0	7	13.8	59 33.08	11 8 59.1	20 25 59.1
9	9	4	56.0	18 0 56.00	11 21 23.3	20 38 23.3
10	8	6	19.4	0 48.79	11 38 45.1	20 55 45.1
11	9	6	34.6	1 3.99	11 39 59.5	20 56 59.5
12	9.0	4	24.1	2 24.10	11 38 3.2	20 55 3.2
13	8.9	4	3.5	3 3.50	11 37 11.9	20 54 11.9
14	8.9	5	42.4	3 21.94	11 26 59.7	20 43 59.7
15	9	5	9.5	3 49.06	11 18 45.2	20 35 45.2
16	9	7	29.2	3 48.49	11 6 39.2	20 23 39.2
17	7	7	36.6	3 55.88	11 9 48.2	20 26 48.2
18	9	6	9.2	4 38.57	11 11 44.2	20 28 44.2
19	9	7	31.0	4 50.24	11 17 18.1	20 34 18.1
20	8.9	4	2.5	6 2.52	11 23 58.0	20 40 58.0
21	5.6	3	50.2	7 10.54	11 28 46.0	20 45 46.0
22	7.8	5	19.6	6 59.12	11 37 17.1	20 54 17.1
23	9	5	50.2	7 29.71	11 39 26.4	20 56 26.4
24	9	7	19.5	7 38.73	11 21 40.8	20 38 40.8
25	7	5	53.9	8 33.61	11 18 2.9	20 35 2.9
26	8.9	4	33.8	9 33.80	11 21 12.5	20 38 12.5
27	9	5	52.0	9 31.55	11 24 18.2	20 41 18.2
28	9.0	6	22.0	9 51.44	11 25 53.9	20 42 53.9
29	9.0	4	43.7	10 43.72	11 30 57.5	20 47 57.5

Hülftafel zur Reduction auf den mittlern Ort 1850 Januar 0 D = -16°.

T.	k	k'	d	d'
19 10-53.20	0	+5	- 5.5	- 0.5
20-53.20	-1	+5	- 6.0	- 0.6
30-53.21	0	+5	- 6.6	- 0.5
40-53.21		+5	- 7.1	+10.4

136. Die Minute muss nach dem Zeugnis der folgenden Angaben, sowie der Zonen 230, 226 und 252 offenbar 18 sein, unter welcher Annahme T berechnet ist.

143 Fad. 5. 24".7

148 " 2. 15.7

153 " 7. 17.3

160 " 3. 54.5

Etwas unruhige Luft.

ZONE 310. 1850 Juli 23. Ost.

NC. 17 50' - 1 51.14

19 57 - 1 51.32

Anf. 27 11.35 + 16.9 66.0

18 50 65.9

Ende 27 11.20 + 16.1 64.5

Microsc. I + 11".97 u. + 10".27

Decl. = - (Microsc. I + 9° 17' 0")

19° $\tau + i$ - 51".927 $\Delta\tau$ - 0".024 Δi + 0".031

Hülftafel zur Reduction auf den mittlern Ort 1850 Januar 0 D = -20°.

T.	k	k'	d	d'
17 50-54.33	-3	+6	- 7.4	- 0.4
18 0-54.36	-3	+6	- 7.8	- 0.3
10-54.39	-2	+6	- 8.1	- 0.4

18 Fad. 7. 19.2

20 " 5. 23.0

25 " 6. 4.3 Fäden 33".46 und 33".76

29 " 5. 4.2

N ^o .	Gr.	Fad.	Beob. Zeit.	T.	Microsc. I	Sagl. Declin.
30	8	4	35.6	18 11 35.63	10 29 59.9	19 46 59.9
31	8	3	9.7	12 29.93	10 36 55.2	19 53 55.2
32	8.9	3	32.9	12 53.26	10 42 18.3	19 59 18.3
33	7.8	7	13 13.3	12 32.62	10 59 17.1	20 16 17.1
34	8	7	48.2	13 7.51	11 3 39.5	20 20 39.5
35	9.0	7	16.3	13 35.66	10 49 41.0	20 6 41.0
36	8.9	5	41.8	14 21.42	10 50 44.8	20 7 44.8
37	8.9	6	26.4	14 56.01	10 32 46.4	19 49 46.4
38	9	6	46.2	15 15.82	10 29 10.2	19 46 10.2
39	7.8	4	11.5	16 11.50	10 20 48.4	19 37 48.4
40	8	6	49.0	16 18.60	10 35 37.8	19 52 37.8
41	7	5	17 0.4	16 40.14	10 31 17.4	19 48 17.4
42	6	7	0.4	17 19.63	11 19 44.8	20 36 44.8
43	9	5	53.0	18 32.51	11 38 45.5	20 55 45.5
44	8.9	1	25.3	20 5.94	11 35 59.2	20 52 59.2
45	9.0	3	43.4	20 3.76	11 36 31.9	20 53 31.9
46	9	5	23.6	20 3.04	12 8 39.2	21 25 39.2
47	8	6	36.5	20 5.81	12 2 8.2	21 19 8.2
48	7	3	28.0	21 48.38	11 45 15.6	21 2 15.6
49	7.8	2	2.6	22 33.16	11 5 39.2	20 22 39.2
50	9	7	25.1	21 44.57	10 24 41.6	19 41 41.6
51	8.9	7	23 36.4	22 55.35	12 19 55.0	21 36 55.0
52	9.0	6	32.3	24 1.73	11 28 55.4	20 45 55.4
53	9.0	7	58.4	24 17.57	11 32 43.7	20 49 43.7
54	9	7	36.7	24 55.89	11 28 5.2	20 45 5.2
55	9	6	1.6	25 31.04	11 26 29.1	20 43 29.1
56	9	7	26.0	25 45.30	11 5 57.2	20 22 57.2
57	9	7	45.4	26 4.70	11 5 57.9	20 22 57.9
58	9.0	5	40.8	27 20.40	11 1 21.0	20 18 21.0
59	6.7	1	58.5	28 39.25	11 8 36.9	20 25 36.9
60	9	2	12.7	28 43.39	11 9 34.3	20 26 34.3
61	7.8	5	7.7	28 47.30	11 0 19.3	20 17 19.3
62	9	5	34.4	29 14.01	10 53 5.1	20 10 5.1
63	8.9	6	9.0	29 38.54	10 54 0.3	20 11 0.3
64	8.9	2	33.7	31 4.21	10 50 53.6	20 7 53.6
65	8.9	5	4.0	30 43.68	10 22 22.5	19 39 22.5
66	6.7	3	31 34.0	31 54.26	10 54 40.6	20 11 40.6
67	9	4	32 51.5	32 51.46	11 20 23.1	20 37 23.1
68	8.9	3	56.2	34 16.51	11 22 0.1	20 39 0.1
69	7	4	25.5	34 25.44	11 9 43.0	20 26 43.0
70	9	7	59.6	34 18.82	11 23 49.0	20 40 49.0
71	7	5	51.0	35 30.49	11 46 18.3	21 3 18.3
72	7.8	2	36 5.0	36 35.70	11 49 41.8	21 6 41.8
73	6.7	1	34.9	37 15.86	11 51 32.6	21 8 32.6
74	9	5	22.6	37 2.10	11 42 15.9	20 59 15.9
75	7	5	36.8	37 16.34	11 30 25.4	20 47 25.4
76	8	7	6.4	37 25.55	11 38 37.6	20 55 37.6
77	8.9	5	33.3	38 12.81	11 38 5.1	20 55 5.1
78	9	2	39 24.0	39 54.71	11 49 53.3	21 6 53.3
79	7	4	52.7	39 52.74	11 8 38.0	20 25 38.0
80	7.8	3	31.3	40 51.58	11 1 38.2	20 18 38.2
81	8	1	8.0	41 48.54	10 53 18.1	20 10 18.1
82	9	3	38.5	41 58.73	10 36 53.7	19 53 53.7
83	9	4	5.6	42 5.60	10 19 5.8	19 36 5.8
84	8	4	33.3	42 33.30	10 10 48.2	19 27 48.2

*Halftafel zur Reduction auf den mittl
Ort 1850 Januar 0 D = - 20°.*

T.	k	k'	d
18 10'—54.39	-2	+6	- 8.1 -0.4
20—54.41	-2	+6	- 8.5 -0.4
30—54.43	-2	+6	- 8.9 -0.3
40—54.45	-1	+6	- 9.2 -0.4
50—54.46		+6	- 9.6

30	Fad.	5.	56.0
41	"	6.	10.6
44	"	3.	45.5
59	"	4.	39.4
60	"	4.	43.5
67	"	5.	12.0, Fad. 7. 32".1
68	"	4.	16.5
69	"	5.	45.8
72	"	3.	15.3
73	"	2.	45.3 Fäden 15".70 und 16".0
79	"	5.	13.2

Nr.	Gr.	Fad.	Beob. Zeit.	T.	Microsc. I	Südl. Declin.
85	8	4	11.0	18 43 11.00	10 29 52.9	19 46 52.9
86	9.0	7	25.3	42 44.74	10 32 21.0	19 49 21.0
87	7.8	5	53.6	43 33.34	10 31 21.8	19 48 21.8
88	8	2	30.2	45 0.65	10 33 26.6	19 50 26.6
89	8.9	2	51.1	45 21.57	10 40 25.8	19 57 25.8
90	9	4	33.0	45 33.00	10 37 50.4	19 54 50.4
91	7	4	51.4	45 51.40	10 41 21.1	19 58 21.1
92	9	6	3.3	45 32.96	10 37 54.8	19 54 54.8
93	7	6	50.7	46 20.26	10 49 34.1	20 6 34.1
94	9	7	13.0	46 32.37	10 49 27.2	20 6 27.2
95	9	7	30.4	46 49.79	10 45 32.9	20 2 32.9
96	7	5	4.9	47 44.51	10 54 53.7	20 11 53.7
97	8.9	4	42.5	48 42.50	10 42 34.8	19 59 34.8
98	8	5	3.6	48 43.26	10 32 4.9	19 49 4.9
99	9.0	7	49 19.9	48 39.32	10 36 59.8	19 53 59.8
100	8	6	50 21.9	49 51.49	10 36 52.2	19 53 52.2
101	9.0	6	5.0	50 34.62	10 29 56.0	19 46 56.0
102	9	3	19.4	51 39.62	10 34 35.2	19 51 35.2
103	9.0	3	7.5	52 27.75	10 47 54.1	20 4 54.1
104	9.0	3	26.2	52 46.45	10 46 13.2	20 3 13.2
105	8.9	3	47.9	53 8.15	10 48 13.7	20 5 13.7
106	9	4	8.6	53 8.61	10 46 54.2	20 3 54.2
107	9	5	0.2	53 39.84	10 44 27.7	20 1 27.7
108	9	6	35.2	54 4.67	11 16 41.0	20 33 41.0
109	8	4	3.5	54 43.06	11 19 53.6	20 36 53.6
110	9.0	7	22.3	54 41.53	11 21 9.1	20 38 9.1
111	9	4	0.3	56 0.30	11 21 41.8	20 38 41.8
112	9	7	21.9	55 41.08	11 30 4.5	20 47 4.5
113	9	7	31.3	55 50.46	11 36 34.1	20 53 34.1
114	7	5	23.4	57 2.88	11 52 29.0	21 9 29.0
115	8	4	45.5	57 45.50	11 50 54.1	21 7 54.1
116	8	2	32.4	59 2.90	10 55 20.9	20 12 20.9
117	8.9	6	8.7	58 38.30	10 35 45.7	19 52 45.7
118	9	5	41.0	59 20.65	10 36 47.1	19 53 47.1
119	8	3	56.9	19 0 17.16	10 33 19.1	19 50 19.1
120	8	4	56.5	0 56.50	10 45 36.7	20 2 36.7
121	6	2	21.4	1 51.89	10 44 55.8	20 1 55.8
122	8	5	55.9	1 35.58	10 21 32.9	19 38 32.9
123	9.0	7	16.0	1 35.49	10 21 1.0	19 38 1.0
124	9	3	56.6	3 16.83	10 38 17.3	19 55 17.3
125	9	2	30.0	4 0.47	10 38 46.0	19 55 46.0
126	9	2	13.0	4 43.47	10 38 4.9	19 55 4.9
127	9	7	42.7	4 2.04	10 55 10.5	20 12 10.5
128	9	7	5.2	4 24.55	10 53 18.0	20 10 18.0
129	9	3	45.0	6 5.30	10 53 18.2	20 10 18.2
130	9	3	24.5	6 44.76	10 52 39.8	20 9 39.8
131	7	3	10.2	7 36.44	10 45 14.0	20 2 14.0
132	9.0	7	7 35.4	6 54.73	10 59 53.0	20 16 53.0
133	8.9	5	31.3	8 10.85	11 25 22.7	20 42 22.7
134	7.8	3	53.4	9 13.75	11 31 6.9	20 48 6.9
135	9	6	19.1	8 48.51	11 28 11.8	20 45 11.8
136	8	6	47.4	9 16.79	11 40 24.3	20 57 24.3
137	9	7	2.6	9 21.74	11 41 33.8	20 58 33.8
138	8	2	46.0	11 16.81	11 52 13.7	21 9 13.7
139	9	4	31.3	11 31.30	11 24 2.8	20 41 2.8

*Hülftafel zur Reduction auf den mittlern
Ort 1850 Januar 0 D = - 20°.*

T.	k	k'	d	d'
18 40-54.45	-1	+6	- 9.2	-0.4
50-54.46	-1	+6	- 9.6	-0.4
19 0-54.47	-1	+6	-10.0	-0.4
10-54.48	-1	+6	-10.4	-0.4

87 Fad. 6.	3.8
92 „ 7.	13.6
90. 92. derselbe.	
100 Fad. 7.	32.0
106 „ 5.	29.0
113. Zeitsecunde zweifelhaft.	
116 Fad. 3.	42.6
119 „ 4.	17.2
129 „ 7.	46.0
135 „ 7.	29.3
138 „ 3.	56.5

No.	Gr.	Fad.	Beob. Zeit.	T.	Microsc. I	Südl. Declin.
140	9	7	7.6	19 11' 26.94	10 55' 7.6	20 12' 7.6
141	9	5	30.6	12 10.23	10 53' 25.1	20 10' 25.1
142	9	3	8.1	13 28.36	10 52' 19.8	20 9' 19.8
143	6	5	4.5	13 44.20	10 13' 28.0	19 30' 28.0
144	9	6	36.0	14 5.41	11 31' 15.6	20 48' 15.6
145	6.7	5	2.5	14 42.02	11 37' 44.0	20 54' 44.0
146	9	5	15 21.0	15 0.49	11 46' 34.8	21 3' 34.8
147	8.9	5	17.9	15 57.47	11 11' 51.2	20 28' 51.2
148	8	4	38.5	16 38.50	11 9' 17.5	20 26' 17.5
149	9	7	56.0	16 15.24	11 17' 30.5	20 34' 30.5
150	9	4	56.4	17 56.40	11 33' 0.8	20 50' 0.8
151	7.8	2	5.0	18 35.64	11 35' 27.5	20 52' 27.5
152	9	4	17.5	18 17.46	11 35' 24.1	20 52' 24.1
153	8.9	4	22.4	19 22.40	11 39' 44.3	20 56' 44.3
154	8.9	4	45.0	19 45.00	11 43' 49.7	21 0' 49.7
155	8	4	8.6	20 8.60	11 31' 29.8	20 48' 29.8
156	8.9	4	51.6	20 51.67	10 44' 15.3	20 1' 15.3
157	9	5	38.7	21 18.37	10 45' 43.0	20 2' 43.0
158	8	5	8.0	21 47.67	10 30' 29.2	19 47' 29.2
159	7.8	5	29.7	22 9.36	10 34' 18.3	19 51' 18.3
160	7	7	57.3	22 16.78	10 24' 17.0	19 41' 17.0
161	6.7	4	23 49.9	23 49.90	10 24' 37.5	19 41' 37.5
162	8.9	5	24 53.4	24 33.04	10 43' 32.8	20 0' 32.8
163	8.9	1	17.0	25 57.49	10 45' 31.6	20 2' 31.6
164	9	1	20.5	26 1.50	10 46' 24.9	20 3' 24.9
165	7	4	26 16.6	26 16.60	10 36' 8.8	19 53' 8.8
166	8.9	2	55.3	27 25.76	10 36' 53.8	19 53' 53.8
167	8.9	4	25.7	27 25.70	10 49' 15.0	20 6' 15.0
168	9	4	47.4	27 47.40	10 48' 29.9	20 5' 29.9
169	8.9	4	14.0	28 14.00	10 37' 54.6	19 54' 54.6
170	8.9	5	39.3	28 18.99	11 6' 12.5	20 23' 12.5
171	9	5	23.5	29 3.07	11 14' 33.6	20 31' 33.6
172	8	6	46.3	29 15.73	11 24' 20.4	20 41' 20.4
173	9	3	16.3	30 36.63	11 21' 5.8	20 38' 5.8
174	9	4	31 7.0	31 7.00	11 6' 21.8	20 23' 21.8
1	9	4	26 34.2	19 26 34.20	4 18' 41.3	23 36' 21.3
2	8	5	8.9	26 48.01	4 20' 46.7	23 38' 26.7
3	9	6	27 27.8	26 56.47	4 22' 41.3	23 40' 21.3
4	7	4	9.2	28 9.20	4 20' 6.3	23 37' 46.3
5	9	2	47.5	29 18.74	4 12' 37.1	23 30' 17.1
6	9	5	21.9	29 1.20	3 50' 46.3	23 8' 26.3
7	9	5	30 49.4	30 28.52	4 14' 57.2	23 32' 37.2
8	9	6	31.0	30 59.60	5 8' 29.8	24 26' 9.8
9	8.9	6	14.0	31 42.58	5 12' 41.6	24 30' 21.6
10	9	6	36.1	32 4.69	5 10' 30.5	24 28' 10.5
11	9	7	13.6	32 31.70	5 6' 17.9	24 22' 57.9
12	9	5	49.4	33 28.58	4 57' 59.6	24 15' 39.6
13	9	6	40.1	34 8.76	4 54' 30.3	24 12' 10.3
14	7	4	4.8	35 4.80	5 44' 19.2	25 1' 59.2
15	7.8	5	36 31.8	36 10.68	5 46' 48.9	25 3' 28.9
16	7.8	7	37 54.6	37 12.95	4 20' 7.3	23 37' 47.3
17	9	6	48.5	38 17.36	4 7' 6.2	23 22' 46.2
18	9	7	24.5	38 42.92	4 7' 31.3	23 25' 11.3
19	9	5	3.0	39 42.19	3 51' 50.2	23 9' 30.2
20	8	5	24.5	40 3.69	3 52' 36.4	23 10' 16.4

Hülfsstafel zur Reduction auf den mittlere Ort 1850 Januar 0 D = - 20°.

T.	k	k'	d
19 10' - 54.48	-1	+6	-10.4
20 - 54.49	0	+5	-10.8
30 - 54.49	0	+5	-11.2

141 Fad. 6. 40.7

149. Zeit zweifelhaft.

151 Fad. 5. 56.1

152 „ 5. 37.9

156 „ 5. 12.1

160. Ein Zweifel wegen der Zeitsecunde durch eine Beob. 1851 Oct. 13. beseitigt

163 Fad. 3. 37.0

164 „ 4. 1.5; Fad. 1, der 1''00 giebt ausgeschlossen.

170 Fad. 6. 49.6

172 „ 7. 56.5

Ausgezeichnete Luft.

ZONE 311. 1850 Oct. 6. Os
D = - 24°.

19 20' - 1 31.98	-4	+6	-15.2	-0.3	+
30 32.02	-5	+6	-15.5	-0.3	+
40 32.07		+6	-15.8		+

3 Fad. 7. 38.0

6 „ 6. 32.4

11. Die Minute des Microscops muss 5' sein, dem Zeugniß von Z. 240 N°. 43 und e Beob. 1851 Oct. 12.; danach ist die Decl. angesetzt.

12 Fad. 6. 0.1

15. Nach dem Zeugniß von Z. 239 N°. 62 u. e Beob. 1851 Oct. 12. ist die Min. des Micr. zu lesen; danach ist die Decl. angesetzt.

17. Nach dem Zeugniß von Z. 240 N°. 52 u. e Beob. 1851 Oct. 13. ist die Min. des Micr. 5 lesen; danach sind T u. die Decl. berech

Gr.	Fad.	Beob. Zeit.	T.	Microsc. I	Südl. Declin.
3.9	4	57.3	19 40 57.37	4 10 35.9	23 28 15.9
7.8	1	42 9.8	42 51.19	3 51 22.9	23 9 2.9
9	4	43 39.2	43 39.20	4 24 19.5	23 41 59.5
8	4	33.6	44 33.60	5 30 45.1	24 48 25.1
3.9	4	22.0	45 22.00	4 59 36.1	24 17 16.1
9	7	43.2	45 1.32	5 1 34.0	24 19 14.0
6	1	8.9	46 50.59	5 0 31.7	24 18 11.7
9	7	46.2	46 4.51	4 28 32.2	23 46 12.2
3.9	5	48 27.3	48 6.34	4 47 57.8	24 5 37.8
3.9	2	0.8	49 32.39	5 25 36.2	24 43 16.2
9	5	50 11.0	49 49.86	5 53 49.4	25 11 29.4
8	5	50.5	50 29.41	5 31 41.5	24 49 21.5
9	7	53.4	51 11.61	4 46 29.2	24 4 9.2
9	7	53 11.0	52 29.19	4 49 21.6	24 7 1.6
8	5	46.5	53 25.62	3 44 48.4	23 2 28.4
6	5	21.6	54 0.80	3 50 55.6	23 8 35.6
3.9	3	54.7	55 15.40	3 56 57.4	23 14 37.4
8	2	34.7	56 5.96	4 4 25.0	23 22 5.0
6	3	2.0	56 22.68	3 42 58.9	23 0 38.9
9	3	54.5	57 15.90	3 53 46.3	23 11 26.3
3.9	4	0.4	58 0.40	3 45 27.7	23 3 7.7
9	5	37.9	58 17.11	3 44 8.0	23 1 48.0
7.8	4	59 16.6	59 16.60	2 48 15.0	22 5 55.0
9	7	0 55 :	20 0 13	4 36 40.6	23 54 20.6
7	5	1 33.0	1 12.05	4 43 4.6	24 0 44.6
8	4	3 27.7	3 27.70	5 9 25.3	24 27 5.3
7.8	4	2.4	4 2.40	5 21 50.0	24 39 30.0
3.9	4	34.2	4 34.20	5 25 2.5	24 42 42.5
3.9	5	5 40.6	5 19.45	5 56 37.9	25 14 17.9
3.9	5	6 1.7	5 40.54	6 0 25.7	25 18 5.7
9	4	53.2	6 53.20	4 1 48.9	23 19 28.9
9	2	8 17.0	8 48.32	4 33 24.0	23 51 4.0
8	4	48.9	8 48.90	4 39 35.1	23 57 15.1
9	7	30.2	8 48.48	4 33 24.6	23 51 4.6
3.9	2	9.2	10 40.76	5 31 41.2	24 48 21.2
9	4	41.9	10 41.90	5 25 33.6	24 43 13.6
7.8	4	31.4	11 31.40	5 3 23.3	24 21 3.3
3.9	5	12 36.7	12 15.89	3 53 52.3	23 11 32.3
9	6	6.7	12 35.59	3 56 44.0	23 14 24.0
3.9	2	33.3	14 4.34	3 57 15.7	23 14 55.7
7	1	14 39.0	15 20.29	3 31 22.8	22 49 2.8
3.9	2	58.5	16 29.97	5 20 20.1	24 38 0.1
3.9	3	58.4	17 19.34	5 25 1.5	24 43 41.5
7.8	7	40.5	16 58.75	4 39 18.2	23 56 58.2
3.9	4	1.2	18 1.20	4 39 44.7	23 57 24.7
7	4	19 10.8	19 10.80	4 30 24.2	23 48 4.2
7.8	3	20 29.3	20 50.04	4 12 24.5	23 30 4.5
3	6	25.4	20 54.06	4 55 7.5	24 12 47.5
3	6	8.5	21 37.17	4 51 21.5	24 9 1.5
3	5	58.8	22 37.91	4 24 0.2	23 41 40.2
3	3	27.2	23 48.04	4 49 43.3	24 7 23.3
3	2	21.7	24 53.20	5 16 6.6	24 33 46.6
3.9	4	7.2	25 7.20	5 10 5.1	24 27 45.1
7.8	1	26 8.0	26 49.58	4 27 32.3	23 45 12.3
7	7	58.4	26 17.03	3 26 26.2	22 44 6.2

NC.	19	15	-	1	54.59
	20	55	-	1	56.24
Anf.	27	10.53	+	9.5	45.3
Ende		10.46	+	8.4	44.2
Microsc. I			+	9".98	
Decl.			=	-(Microsc. I + 19° 17' 40")	
20 ^u τ + i			-	90".107	
			$\Delta \tau$ -	0".024	
			Δi +	0".041	

Hülftafel zur Reduction auf den mittlern Ort 1850 Januar 0 D = - 24°.

T.	k	k'	d	d'
19 40 - 1	32.07	-5	+6	-15.8 -0.2 +22.5
50	32.12	-5	+6	-16.0 -0.3 +22.6
20 0	32.17	-5	+6	-16.3 -0.2 +22.6
10	32.22	-5	+6	-16.5 -0.3 +22.6
20	32.27	-5	+6	-16.8 -0.2 +22.6
30	32.32	-5	+6	-17.0 -0.2 +22.6

21	Fad.	5.	18.3
27	"	2.	19.1
30	"	3.	11.5
35	"	6.	56.6
36	"	6.	31.9
38	"	3.	45.3
39	"	4.	22.7
40	"	4.	15.9; Fad. 3, der 15".19 giebt, ist ausgeschlossen.
52.	54.		derselbe.
53.			Die Secunden des Microscops müssen verschrieben sein, und sollten wohl 53".1 heißen, womit D. - 23° 57' 33".1 wird, wie dies Z. 240 N°. 84 und eine Beobachtung 1850 Oct. 16. zeigt, die den mittlern Ort für 1850 ergiebt 20 ^u 7' 16".47 - 23° 57' 48".5.
60	Fad.	3.	43.5
61	"	4.	20.3
62	"	3.	9.0
63.			Die Minute des Microscops muss nach dem Zeugniß von Z. 239 N°. 18 und Z. 240 N°. 92 sein 26', womit D und T berechnet sind.
68	Fad.	7.	35.9
72	"	3.	32.3
74	"	2.	18.3

Nº.	Gr.	Fad.	Beob. Zeit.	T.	Microsc. I	Südl. Declin.
76	9	5	30.0	20 27' 9.26	3 24' 14.5	22° 41' 54.5
77	9	7	26.3	27 44.77	3 58 19.8	23 15 59.8
78	8.9	4	8.0	29 8.00	3 55 43.6	23 13 23.6
79	6.7	1	48.0	30 29.33	3 39 57.3	22 57 37.3
80	9	2	16.9	30 48.08	3 57 19.6	23 14 59.6
81	7	7	31 26.2	30 44.19	5 26 40.4	24 44 20.4
82	8.9	6	12.4	31 40.96	5 17 47.0	24 34 27.0
83	9	7	36.0	31 53.95	5 33 46.4	24 51 26.4
84	6	4	1.3	33 1.30	5 19 44.2	24 37 24.2
85	9	7	29.3	32 47.30	5 23 56.9	24 41 36.9
86	9	7	27.5	33 45.39	5 43 43.5	25 1 23.5
87	8	7	35 38.0	34 56.38	4 14 4.5	23 31 44.5
88	7.8	3	36 2.0	36 22.81	4 42 18.1	23 59 58.1
1	8.9	7	4 54.2	22 4 11.94	6 8 31.5	25 26 51.5
2	7	3	51.0	6 12.36	7 45 5.6	27 3 25.6
3	8	4	19.1	6 19.10	7 55 9.5	27 13 29.5
4	6.7	4	1.0	7 1.00	6 36 49.3	25 55 9.3
5	9	5	41.4	7 20.22	6 3 36.1	25 21 56.1
6	8	5	27.0	8 5.97	4 26 36.2	24 44 56.2
7	8	3	8.8	9 29.58	4 27 19.7	23 45 39.7
8	7	4	10 21.4	10 21.40	4 35 4.0	23 53 24.0
9	8	4	54.3	10 54.30	4 33 39.3	23 51 59.3
10	8.9	3	30.1	11 50.97	4 46 38.1	24 4 58.1
11	9.0	5	13 22.3	13 1.09	6 4 55.8	25 23 15.8
12	9	6	39.5	14 7.67	6 33 35.1	25 51 55.1
13	9.0	4	16 2.6	16 2.60	6 8 25.6	25 26 45.6
14	6.7	2	19.7	16 51.44	6 12 43.1	25 31 3.1
15	9	5	17 46.5	17 25.00	7 48 53.7	27 7 13.7
16	9	4	18 49.6	18 49.60	6 48 2.3	26 6 22.3
17	8	1	20 16.9	20 59.67	7 52 0.2	27 10 20.2
18	8.9	3	21 59.8	22 21.77	5 35 34.2	24 53 54.2
19	8.9	2	45.8	23 18.31	5 19 1.5	24 37 21.5
20	7	1	32.0	24 15.64	7 31 30.3	26 49 50.3
21	8	4	14.0	24 15.00	5 37 51.8	24 56 11.8
22	9	2	25 35.0	26 6.65	6 4 50.3	25 23 10.3
23	9	7	52.0	26 9.32	7 18 20.8	26 36 40.8
24	8.9	4	36.6	27 36.60	5 47 48.9	25 6 8.9
25	7	2	32.3	29 3.85	5 27 43.5	24 46 3.5
26	8.9	1	54.2	29 36.11	5 28 22.6	24 46 42.6
27	9	2	51.0	30 23.10	7 30 59.6	26 49 19.6
28	9.0	4	31 25.7	31 25.70	6 28 26.4	25 46 46.4
29	8.9	6	9.5	31 37.58	7 7 15.8	26 25 35.8
30	8.9	4	42.4	32 42.40	6 57 1.8	26 15 21.8
31	9	1	33 53.3	34 35.45	5 43 0.1	25 1 20.1
32	7.8	4	48.7	34 48.70	6 49 21.7	26 7 41.7
33	8.9	3	36 22.9	36 44.14	7 8 18.9	26 26 38.9
34	9	4	37 56.8	37 56.80	5 14 56.1	24 33 16.1
35	7.8	3	39.9	39 1.06	6 42 58.1	26 1 18.1
36	9.0	6	39 43.1	39 11.68	5 20 22.9	24 38 42.9
37	9	5	34.6	40 13.36	6 52 33.3	26 10 53.3
38	7	4	24.7	41 24.70	7 23 6.5	26 41 26.5
39	8.9	3	10.8	42 31.91	6 24 16.5	25 42 36.5
40	9.0	4	24.3	43 24.37	7 58 39.6	27 16 59.6
41	9	4	29.6	44 29.60	7 55 12.7	27 13 32.7
42	9.0	3	10.4	45 31.28	5 31 8.7	24 49 28.7

Hülftafel zur Reduction auf den mittl. Ort 1850 Januar 0 D = - 24°.

T.	k	k'	d
20 20-1	32.27	-5	+6
30	32.32	-5	+6
40	32.37	+6	+6

85. Zeit zweifelhaft.

88 Fad. 4. 22".8

Luft ziemlich unruhig.

ZONE 312. 1850 Oct. 30. 0

NC. 21 48 - 1 59.41
23 53 - 2 1.37
Anf. 27 10.15 + 5.0 36.7
22 51 36.4
Ende 27 10.25 + 3.9 36.1
Microsc. I + 10".91
Decl. = - (Microsc. I + 19° 18' 20")
23 ^u r+i - 100".513 Δr - 0".018 Δi + 0"

D = - 26°.

T.	k	k'	d
22 0-1	42.68	-5	+5
10	42.73	-4	+5
20	42.75	-4	+5
30	42.81	-4	+5
40	42.85	-4	+5
50	42.89	+5	+5

6 Fad. 6. 37".5; die Grade des Micros müssen 5 sein, wie die Vergleichung Z. 257 und 260 zeigt; danach ist die I und T berechnet.

10 Fad. 4. 51.0

11 " 7. 43.3

12 " 7. 50.0

22 " 4. 6.6 Ein Fehler von - 1", der diesem Sterne entdeckt und verbessert wo hat nach dem Zeugnisse von Z. 260 und Beobachtungen der N. 18 u. 19 1851 O schon seit N. 18 stattgefunden, wesshalb T der N. 18 bis 21 um + 1" corrigirt:

23. Zeitsecunde zweifelhaft; nach Z. 260 is richtig.

29 Fad. 7. 20.2

31 " 2. 4.0 Fäden 35".29 und 35".61

36 " 7. 53.7

37 " 6. 45.3

40 " 6. 56.6

42 " 4. 31.2

Gr.	Fad.	Beob. Zeit.	T.	Microsc. 1	Südl. Declin.
3.9	4	46' 24.4"	22 46' 24.40	6 41' 37.6"	25 59' 57.6"
8	4	39.6	46 39.66	6 38' 6.2	25 56' 26.2
7.8	3	30.6	47 51.72	6 28' 19.6	25 46' 39.6
9	7	54 :	47 12	5 39' 34.8	24 57' 54.8
3.9	4	45.2	48 45.20	5 27' 47.9	24 46' 7.9
3.9	2	18.1	49 49.70	5 38' 44.6	24 57' 4.6
3.9	1	50 0.8	50 43.66	7 41' 46.1	27 0' 6.1
8	5	51 41.4	51 19.94	7 35' 2.2	26 53' 22.2
1.0	7	4.0	51 21.19	7 39' 15.6	26 57' 35.6
9	1	3.2	53 45.48	6 33' 10.5	25 51' 30.5
7	3	19.6	53 40.75	6 39' 22.1	25 57' 42.1
3.9	2	47.0	54 18.81	6 28' 59.0	25 47' 19.0
9	1	18.8	55 1.09	6 34' 13.5	25 52' 33.5
3.9	5	51.2	54 30.14	6 9' 35.0	25 27' 55.0
9	6	32.5	55 0.73	6 34' 12.4	25 52' 32.4
9	5	10.6	55 49.33	6 35' 31.3	25 53' 51.3
9	2	57 30.4	58 1.84	5 37' 9.2	24 55' 29.2
1.0	5	58 25.6	58 4.50	5 37' 29.0	24 55' 49.0
9	2	0 30.5	23 1 2.48	7 5' 43.4	26 24' 3.4
7	1	1 49.3	2 31.87	7 19' 42.6	26 38' 2.6
9	4	2 49.4	2 49.40	5 27' 28.2	24 45' 48.2
9	2	31.8	4 3.41	5 45' 34.2	25 3' 54.2
9	7	4 45.3	4 3.18	5 45' 33.5	25 3' 53.5
3	1	5 29.3	6 11.16	5 19' 50.7	24 38' 10.7
3	3	24.2	6 45.17	5 36' 59.5	24 55' 19.5
9	7	7 37.0	6 54.10	7 53' 58.6	27 12' 18.6
9	4	25.9	8 25.90	7 4' 5.4	26 22' 25.4
9	6	8.2	8 36.38	6 43' 19.7	26 1' 39.7
8	6	33.0	9 1.28	6 21' 42.3	25 40' 2.3
9	4	19.1	10 19.10	6 6' 36.1	25 24' 56.1
9	3	11 45.5	12 6.82	6 30' 48.3	25 49' 8.3
9	4	51.4	12 51.40	5 47' 47.9	25 6' 7.9
1.0	6	13 54.5	13 22.69	6 41' 11.3	25 59' 31.3
9	4	30.0	14 30.00	6 40' 1.8	25 58' 21.8
3	4	48.8	14 48.80	6 45' 57.6	26 4' 17.6
9	7	49.2	15 6.86	6 23' 16.3	25 41' 36.3
3	1	16.8	16 58.94	6 7' 48.4	25 26' 8.4
9	7	16 47.5	16 5.38	5 46' 3.9	25 4' 23.9
1.0	7	18 40.5	17 57.79	7 22' 42.7	26 41' 2.7
2	21	40.6	22 12.52	6 56' 7.3	26 14' 27.3
3	22	21.5	22 42.72	7 0' 20.0	26 18' 40.0
5	23	35.0	23 13.90	5 33' 42.5	24 52' 2.5
2	24	56.6	24 28.20	5 43' 16.1	25 1' 36.1
5	25	49.7	25 28.52	6 4' 35.1	25 22' 55.1
1	27	6.9	27 49.15	6 22' 57.6	25 41' 17.6
8	3	30 10.0	30 31.17	6 45' 38.0	26 3' 58.0
5	31	21.2	30 59.90	7 22' 56.2	26 41' 16.2
9	5	21.2	31 59.90	6 44' 27.4	26 2' 47.4
2	33	44.7	34 16.86	7 42' 46.4	27 1' 6.4
3	35.5	34 56.57	6 39' 30.9	25 57' 50.9	
6	31.5	34 59.98	5 41' 15.5	24 59' 35.3	
2	42.5	37 14.47	6 53' 3.1	26 11' 23.1	
5	59 16.0	1 58 55.25	3 27' 20.3	22 45' 10.3	
4	26.4	2 0 26.48	5 47' 23.4	25 5' 13.4	
5	42.5	0 22.37	5 47' 35.4	25 5' 25.4	

Hülftafel zur Reduction auf den mittlern Ort 1850 Januar 0 D = - 26°.

T.	k	k'	d	d'
22 40-1	42.85	-4	+5	- 7.8 - 0.1 + 29.9
50	42.89	-4	+5	- 7.9 + 0.1 + 30.0
23 0	42.93	-3	+5	- 7.8 0.0 + 30.0
10	42.96	-4	+5	- 7.8 0.0 + 30.0
20	43.00	-3	+5	- 7.8 0.0 + 30.0
30	43.03	-3	+5	- 7.8 + 0.1 + 30.0
40	43.06	+5	-	- 7.7 + 30.0

44 Fad. 5. 1.0
 49 " 2. 11.7, Fad. 6. 15.7; die Fäden geben 43".51, 43".85, 43".61.
 55. 57. derselbe.
 59 Fad. 4. 1.7
 60 " 3. 42.8? ist ausgeschlossen.
 64 " 3. 42.4
 64. 65. derselbe.
 73 Fad. 4. 7.0 Fad. 3 giebt 6".63.
 79 " 6. 30.6
 82 " 3. 51.3
 85 " 3. 7.2
 87 " 2. 17.4
 89 " 6. 32.0
 92 " 4. 56.5
 93 " 7. 42.1
 94 " 3. 53.3, Fad. 4. 14.5

Die Luft etwas unruhig, aber die Sterne sehr distinct.

ZONE 313. 1850 Oct. 30. Ost.
 2 Fad. 7. 8".7 3 Fad. 7. 4".5; ich habe angenommen, dass Fad. 5 um 1" verzählt sei.

No.	Gr.	Fad.	Beob. Zeit.	T.	Microsc. I	Südl. Declin.	
4	9	6	48.3	2 1 16.66	6 5 22.3	25 23 12.3	NC. 1 42' - 2' 1.76
5	9	2	9.5	2 41.30	5 57 40.6	25 15 30.6	3 56 2.58
6	8.9	3	43.2	3 4.25	6 6 14.2	25 24 4.2	Anf. 27 10.29 4.3 35.8
7	9	4	37.6	3 37.56	5 26 27.5	24 44 17.5	2 40 36.0
8	9	7	29.4	3 47.46	5 13 34.8	24 31 24.8	Ende 27 10.16 3.7 36.8
9	9	7	37.1	3 55.18	5 10 38.1	24 28 28.1	Microsc. I + 12'' 39
10	9	4	6 40.1	6 40.10	5 45 1.9	25 2 51.9	Decl. = - (Microsc. I + 19° 17' 50'')
11	8	1	20.9	8 2.38	4 16 44.3	23 34 34.3	3 ^u $\tau + i - 100'' .555$ $\Delta\tau - 0'' .018$ $\Delta i + 0''$
12	9	4	22.3	8 22.30	3 25 9.5	22 42 59.5	
13	7.8	1	10.6	9 52.33	4 58 23.6	24 14 13.6	
14	8.9	3	44.7	10 5.52	4 41 1.5	23 58 51.5	Hülftafel zur Reduction auf den mittl. Ort 1850 Januar 0 $\Delta = - 24''$.
15	8	3	5.0	10 25.83	4 46 10.7	24 4 0.7	
16	9	4	45.0	10 45.00	4 20 5.4	23 37 55.4	
17	8.9	4	2.9	11 2.90	4 26 31.2	23 44 21.2	
18	9	5	41.4	11 20.56	4 1 53.4	23 19 43.4	
19	9	3	4.9	12 25.53	3 33 15.7	22 51 5.7	
20	8.9	4	2.5	13 2.50	3 59 5.0	23 16 55.0	
21	7.8	7	37.5	12 55.63	5 1 20.3	24 19 10.3	
22	8.9	1	4.3	14 46.06	5 1 29.4	24 19 19.4	
23	8.9	4	39.8	14 39.73	5 13 12.1	24 31 2.1	
24	8.9	4	42.7	14 42.73	5 15 25.5	24 33 15.5	
25	6	1	16 42.0	17 23.82	5 11 56.3	24 29 46.3	
26	8.9	3	20 7.1	20 28.03	5 20 53.3	24 38 43.3	
27	8	3	25.8	20 46.70	5 13 15.2	24 31 5.2	
28	8.9	3	49.8	21 10.71	5 15 25.5	24 33 15.5	
29	8.9	6	22 9.6	21 38.39	4 21 8.1	23 38 58.1	
30	8	2	23 35.3	24 6.67	4 34 50.1	23 52 40.1	
31	7	1	6.2	24 47.57	4 3 27.9	23 21 17.9	
32	7	2	54.4	25 25.58	3 55 4.1	23 12 54.1	
33	9	4	25 46.5	25 46.49	4 32 33.2	23 50 23.2	
34	7.8	3	34.1	26 54.94	4 27 11.3	23 45 1.3	
35	8.9	4	21.2	27 21.20	4 41 41.8	23 59 31.8	
36	9	6	6.0	27 34.53	5 24 57.5	24 42 47.5	
37	8.9	1	53.1	29 34.70	4 30 17.7	23 48 7.7	
38	8	1	30 15.1	30 56.76	4 42 46.1	24 0 36.1	
39	8	2	55.6	31 27.10	5 16 24.2	24 34 14.2	
40	8.9	2	22.0	31 53.59	5 36 54.8	24 54 44.8	
41	7	4	31 49.9	31 49.90	6 22 11.5	25 40 1.5	
42	7.8	6	33 11.6	32 40.37	4 20 58.2	23 38 48.2	
43	8	4	34 52.5	34 52.50	5 16 39.5	24 34 29.5	
44	7	4	31.3	35 31.30	5 28 48.5	24 46 38.5	
45	8.9	2	22.4	36 53.49	3 57 7.2	23 14 57.2	
46	9	6	42 11.5	41 40.38	3 59 43.3	23 17 33.3	
47	7	6	39.9	42 8.75	3 49 10.8	23 7 0.8	
48	9	4	28.0	43 28.00	4 25 21.3	23 43 11.3	
49	9.0	4	44 26.0	44 25.85	5 4 2.8	24 21 52.8	
50	8.9	4	46 50.2	46 50.20	4 29 51.3	23 47 41.3	
51	9	5	47 58.3	47 37.35	4 36 38.3	23 54 28.3	
52	9	3	48 49.4	49 10.36	4 43 31.5	24 1 21.5	
53	8.9	7	56.8	49 15.17	4 15 58.7	23 33 48.7	
54	8	2	26.0	50 57.32	4 31 51.4	23 49 41.4	
55	9	2	50 59.4	51 30.81	4 54 42.3	24 12 32.3	
56	8.9	5	48.7	51 27.60	5 36 34.8	24 54 24.8	
57	6.7	4	26.8	52 26.80	5 9 59.8	24 27 49.8	
58	6.7	3	47.5	53 8.44	4 54 43.0	24 12 33.0	

Hülftafel zur Reduction auf den mittl.
Ort 1850 Januar 0 $\Delta = - 24''$.

T.	k		k'	d		
u	0	1				
2	0	43.29	0	+4	- 6.5	+0.2
	10	43.29	0	+3	- 6.3	+0.3
	20	43.29	0	+3	- 6.0	+0.3
	30	43.29	0	+3	- 5.7	+0.3
	40	43.29	0	+3	- 5.4	+0.4
	50	43.29	+1	+3	- 5.0	+0.3
3	0	43.28		+3	- 4.7	

5 Fad. 3. 20.4
7 " 5. 58.6
11 " 2. 31.1
13. LL. 4209 und LC. 678 zeigen, dass das
4 56 23.6 zu lesen sei; danach sind T
die Decl. berechnet.
19 Fad. 4. 25.6 Fad. 5. 46.2
23 " 5. 0.7
24 " 6. 14.2
25. Nach diesem Sterne musste die Lampe
angezündet werden; daher die Pause.
30 Fad. 3. 35.9
31 " 2. 16.3
32 " 3. 4.9
33 " 5. 7.4
34 " 4. 55.0
37 " 2. 3.4
42 " 7. 22.0
45 " 3. 32.7 nach diesem Sterne blies
Wind die Lampen wieder aus; sie w
nicht eher zum Brennen zu bringen, al
so viel wie möglich Klappen geschloss
ren; daher die Pause.
49 Fad. 5. 46.7 giebt 25.69
51 " 6. 8.6
52 " 4. 10.5
58 " 4. 8.5

Gr.	Fad.	Beob. Zeit.	T.	Microsc. I	Südl. Declin.
			^u	^o	^o
1.9	2	51.0	2 54' 22.43	4 59' 30.5	24 17' 20.5
9	3	25.5	54 46.32	4 41' 58.3	23 59' 48.3
9	2	55 54.1	56 25.61	5 18' 25.6	24 36' 15.6
9	6	32.6	56 1.42	4 14' 26.1	23 32' 26.1
1.9	3	5.6	57 26.32	4 6' 19.2	23 24' 9.2
5	4	30.0	57 30.01	4 54' 55.1	24 12' 45.1
9	7	29.4	57 47.91	3 49' 48.9	23 7' 38.9
9	7	50.0	58 8.55	3 41' 47.0	22 59' 37.0
9	6	59 48.4	59 17.21	4 16' 3.2	23 33' 53.2
1.9	4	0 50.0	3 0 50.00	5 29' 20.4	24 47' 10.4
9	2	33.5	2 5.14	5 25' 18.3	24 43' 8.3
9	2	12.2	2 43.45	4 45' 40.2	24 3' 30.2
9	5	7.5	2 46.92	3 44' 14.0	23 2' 4.0
1.9	4	4 21.5	4 21.50	5 24' 35.2	24 42' 25.2
9	5	49.8	4 28.76	5 16' 41.7	24 34' 31.7
9	4	23.5	5 23.71	5 27' 13.5	24 45' 3.5
9	4	17.5	6 17.50	5 17' 51.2	24 35' 41.2
9	2	3.0	7 34.50	4 16' 33.1	23 34' 23.1
9	4	8 23.5	8 23.50	4 36' 17.9	23 54' 7.9
9	7	17.5	8 35.86	4 17' 34.3	23 35' 24.3
1.0	4	14.3	10 14.30	5 11' 42.4	24 29' 32.4
1.9	3	11 41.4	11 52.00	3 19' 56.1	22 37' 46.1
9	4	13 2.2	13 2.20	3 44' 13.6	23 2' 3.6
1	4	27.4	13 27.40	3 46' 0.9	23 3' 50.9
1.0	2	55.2	14 26.30	3 37' 36.2	22 55' 26.2
9	3	15 17.5	15 38.20	3 57' 30.0	23 15' 20.0
1.9	5	11.7	15 50.78	4 33' 26.5	23 51' 16.5
1	6	17 5.3	16 33.97	4 52' 37.1	24 10' 27.1
1.0	5	12.0	17 51.13	4 12' 0.5	23 29' 50.5
1.8	4	19 28.5	19 28.50	5 32' 58.1	24 50' 48.1
1	2	5.0	20 36.61	5 42' 34.7	25 0' 24.7
1.9	4	37.5	20 37.49	5 48' 20.2	25 6' 10.2
9	6	44.4	21 13.41	3 13' 52.3	22 41' 42.3
1.8	1	24 15.6	24 56.95	3 43' 46.6	23 1' 36.6
1	4	45.4	24 45.48	4 41' 48.4	23 59' 38.4
1	5	27.7	25 6.71	4 57' 48.2	24 15' 38.2
1	5	46.5	25 25.78	4 57' 39.6	24 15' 29.6
9	3	21.9	26 42.89	5 3' 50.2	24 21' 40.2
8	2	10.0	27 41.82	5 49' 27.2	25 7' 17.2
9	3	58.2	28 19.06	4 58' 40.1	24 16' 30.1
9	5	29 8.7	28 47.84	4 9' 37.7	23 27' 27.7
9	5	45.9	29 25.05	4 3' 59.2	23 21' 49.2
9	6	16.7	29 45.69	3 21' 19.9	22 39' 9.9
9	1	31 17.9	31 59.24	3 41' 17.8	22 59' 7.8
9	7	55.0	31 13.23	4 43' 4.2	24 0' 54.2
9	7	26.5	31 44.78	4 34' 9.6	23 51' 59.6
9	4	25.3	33 25.30	3 27' 59.3	22 45' 49.3
9	1	43.5	34 24.88	3 31' 8.2	22 48' 58.2
9	5	36.0	34 14.91	5 16' 40.0	24 34' 30.0
9	3	14.6	35 35.59	5 42' 23.9	25 0' 13.9
9	7	13.1	35 31.65	3 42' 41.8	23 0' 31.8
9	1	37 19.7	38 1.26	4 5' 38.6	23 23' 28.6
8	5	31 6.0	23 30 44.23	10 18' 23.0	29 6' 17.0
8	2	37.3	32 9.99	10 13' 7.1	29 11' 32.9
8	6	24.5	31 51.50	9 38' 14.6	29 46' 25.4

Hülftafel zur Reduction auf den mittlern Ort 1850 Januar 0 D = - 24°.

T.	k	k'	d	d'
2 50 - 1	43.29 + 1	+ 3	- 5.0 + 0.3	+ 23.5
3 0	43.28 + 1	+ 3	- 4.7 + 0.3	+ 23.5
10	43.27 + 1	+ 3	- 4.4 + 0.4	+ 23.5
20	43.26 + 1	+ 3	- 4.0 + 0.3	+ 23.5
30	43.25 + 1	+ 3	- 3.7 + 0.4	+ 23.6
40	43.24	+ 3	- 3.3	+ 23.6

- 64 Fad. 5. 51.0
 69 " 3. 44.3
 70 " 3. 22.5
 71 " 6. 18.2 Fäden 46".71 und 47".13
 74 " 5. 45.0 giebt 23".92
 76 " 3. 14.0 Fäden 34".26 und 34".75
 80 " 4. 52.0; ich habe nach Z. 343 N°. 52 und Z. 346 N°. 14 angenommen, dass Fad. 3 um 10" verschoben sei.
 86 Fad. 7. 15.8
 90 " 5. 58.6
 91. Nach Z. 343 N°. 64, Z. 346 N°. 29 und einer Beob. 1852 Jan. 24. ist das Micr. 3 23 52.3 zu lesen; unter dieser Annahme sind die Decl. und T berechnet.
 93 " 5. 6.5
 95 " 6. 57.4 Fäden 25".51 und 26".04
 96 " 4. 43.0
 97 " 3. 21.0 " 41".64 " 42".00
 101 " 7. 27.0
 106 " 2. 53.9
 107 " 6. 46.3
 110 " 2. 30.1 Fad. 3. 40".6

Ziemlich gute Luft, zuletzt vielleicht schon etwas wolkig.

ZONE 314. 1850 Nov. 22. West.

2 Fad. 3. 48".0

No.	Gr.	Fad.	Beob. Zeit.	T.	Microsc. I	Südl. Declin.	
4	8.9	1	13.5	23 33 57.66	8 57 42.6	30 26 57.4	NC. 23 5 - 2 39.12
5	7	1	34 14.6	34 58.69	9 32 9.3	29 52 30.7	1 20 - 2 43.79
6	8.9	6	5.5	34 32.62	10 23 30.0	29 1 10.0	Anf. 27 10.51 + 4.7 38.5
7	8.9	4	40 19.0	40 18.91	10 40 23.7	28 44 16.3	0 0 38.7
8	7	2	47.5	41 20.20	10 43 1.2	28 41 38.8	0 28 38.8
9	5.6	6	26.6	40 54.03	10 26 38.6	28 58 1.4	Ende 27 10.22 + 4.6 39.3
10	8.9	6	17.5	41 44.70	10 13 46.6	29 10 53.4	Microsc. I - 7".67
11	8.9	7	42 56 :	42 12	9 10 44.6	30 13 55.4	Decl. = Microsc. I - 39° 24' 40"
12	8.9	5	44 16.6	43 54.82	10 14 40.2	29 9 59.8	0" r+i + 14".214 $\Delta r - 0".020$ $\Delta i + 0"$
13	9	4	45 58.5	45 58.50	8 14 4.8	31 10 35.2	
14	8.9	4	48 34.1	48 34.10	9 4 25.8	30 20 14.2	<i>Hülfsstafel zur Reduction auf den middle</i>
15	8	5	49 54.8	49 32.88	10 31 43.8	28 52 56.2	<i>Ort 1850 Januar 0 D = - 30°.</i>
16	9	6	50 37.6	50 4.90	10 34 5.4	28 50 34.6	
17	6.7	5	51 54.9	51 32.84	9 5 45.6	30 18 54.4	
18	9	6	53 33.7	53 0.32	8 31 26.4	30 53 13.6	
19	6	4	25.7	54 25.70	8 51 41.9	30 32 58.1	
20	9	6	55 36.2	55 2.79	8 26 10.4	30 58 29.6	
21	8	4	18.5	56 18.50	8 27 6.8	30 57 33.2	
22	9	4	0.5	57 0.15	8 19 53.2	31 4 46.8	
23	8.9	4	2.0	58 2.00	8 13 47.1	31 10 52.9	
24	8.9	5	38.7	58 16.74	9 25 38.1	29 59 1.9	
25	9	7	0 43.4	59 59.82	10 14 40.0	29 10 0.0	
26	6	5	1 51.4	0 1 29.75	10 34 46.4	28 49 53.6	
27	9	5	3 5.5	2 43.44	8 56 30.5	30 28 9.5	
28	8.9	3	5 23.7	5 45.89	9 0 25.9	30 24 14.1	
29	8.9	7	55 :	5 11	8 31 44.9	30 52 55.1	
30	9	7	7 18.8	6 34.97	9 38 42.3	29 45 57.7	
31	9	7	8 3.5	7 19.64	9 34 4.9	29 50 35.1	
32	8.9	2	10 22.2	10 55.38	8 37 48.6	30 46 51.4	
33	6	2	13 13.5	13 46.45	9 35 57.3	29 48 42.7	
34	8	2	15 5.6	15 38.55	8 44 29.2	30 40 10.8	
35	8.9	3	13.5	16 35.48	9 35 55.1	29 48 44.9	
36	8.9	2	17 42.5	18 15.22	10 18 2.7	29 6 37.3	
37	8.9	3	26.7	18 48.63	10 9 46.1	29 14 53.9	
38	7	5	20 2.5	19 40.74	10 19 50.0	29 4 50.0	
39	7.8	4	33.8	20 33.74	9 32 31.3	29 52 8.7	
40	8.9	5	24.9	21 3.00	9 40 51.3	29 43 48.7	
41	8	7	30 :	20 46	9 18 1.5	30 6 38.5	
42	8.9	4	22 58.0	22 58.00	10 38 10.6	28 46 29.4	
43	8.9	5	19.6	22 57.77	10 2 27.0	29 22 13.0	
44	8	2	24 21.6	24 54.39	9 50 0.1	29 34 39.9	
45	6	1	19.0	26 3.45	9 1 51.8	30 22 48.2	
46	9	4	26 23.0	26 22.89	8 16 27.5	31 8 12.5	
47	8.9	3	27 16.0	27 38.20	9 22 49.9	30 1 50.1	
48	8.9	7	29 39.4	28 55.60	9 43 49.1	29 40 50.9	
49	9	5	30 48.0	30 25.70	9 4 45.4	30 19 54.6	
50	8.9	5	32 19.8	31 57.75	8 46 27.4	30 38 12.6	
51	9	5	18.5	32 56.29	8 43 34.1	30 41 5.9	
52	7	7	43 :	32 59	9 10 12.9	30 14 27.1	
53	8	3	38 44.5	39 6.82	8 24 45.5	30 59 54.5	
54	8	2	39 51.7	40 24.70	9 15 0.1	30 9 39.9	
55	7	2	36.0	41 8.79	10 5 35.5	29 19 4.5	
56	8	2	43 44.5	44 16.41	9 56 24.2	29 28 15.8	
57	8	4	45 26.2	45 26.28	8 15 0.3	31 9 39.7	
58	8.9	5	42.0	46 20.17	10 2 50.6	29 21 49.4	

T.	k	k'	d	
23 30 + 12.23	-5	0	- 3.2	- 0.2 +
40 + 12.18	-4	0	- 3.4	- 0.2 +
50 + 12.14	-4	0	- 3.6	- 0.3 +
0 0 + 12.10	-4	0	- 3.9	- 0.2 +
10 + 12.06	-4	0	- 4.1	- 0.2 +
20 + 12.02	-4	0	- 4.3	- 0.2 +
30 + 11.98	-4	0	- 4.5	- 0.2 +
40 + 11.94	-4	0	- 4.7	- 0.2 +
50 + 11.90	-4	0	- 4.9	- 0.1 +
1 0 + 11.86		0	- 5.0	+

4 Fad. 2. 24.4
5 " 2. 25.8
6 " 7. 16.0
7 " 5. 40.5
8 " 3. 58.5
9 " 7. 37.7 Fäden 53".86 und 54".2
15 " 6. 5.4 " 33".08 " 32".6
16. Zeit zweifelhaft.
17 Fad. 6. 6.0 Der Stern ist 1851 Oc beobachtet.
22 Fad. 5. 22.0 giebt 59".79
26 " 6. 2.5
32 " 3. 33.0
33 " 3. 24.4
34 " 3. 16.0 Fäden 38".84 und 38".5
35 " 4. 35.4
39 " 5. 55.6
41. Ein Zweifel in der Minute des Micro wird durch eine Beob. 1851 Oct. 3. bes
44 Fad. 3. 32.3
45 " 3. 41.5 Fäden 3".23 und 3".68
46 " 5. 45.0
47 " 4. 38.3
49 " 6. 59.0 Fad. 7. 9".4
50 " 6. 31.1
51 " 6. 29.5
54 " 3. 2.5
56 " 3. 55.5
57 " 5. 48.6

No.	Gr.	Fad.	Beob. Zeit.	T.	Microsc. I	Südl. Declin.
59	6.7	5	48' 48.5	0 48' 26.84	10 48' 40.3	28 35' 59.7
60	9	4	50 25.0	50 24.89	10 31 46.7	28 52 53.3
61	5	5	32.1	51 10.19	9 14 44.2	30 9 55.8
62	9	3	53 28.0	53 50.03	9 42 59.9	29 41 40.1
63	7	1	55 11.6	55 55.81	9 5 4.8	30 19 35.2
64	9	4	57 14.5	57 14.62	8 7 50.7	31 16 49.3
65	8.9	6	35.0	58 2.21	10 16 40.0	29 8 0.0
66	9	6	0 46.5	1 0 13.59	9 54 1.3	29 30 38.7
1	8	1	34 38.0	23 35 20.59	3 11 26.4	26 11 33.6
2	9	2	38.4	36 10.24	3 15 26.3	26 7 33.7
3	8.9	5	19.1	35 58.02	3 47 5.7	25 35 54.3
4	9	5	11.5	36 50.25	2 53 48.3	26 29 11.7
5	8	5	39 14.0	38 53.00	4 15 8.8	25 7 51.2
6	9	5	47.9	39 26.99	4 4 5.7	25 18 54.3
7	9	5	43.0	40 21.50	2 9 9.3	27 13 50.7
8	6.7	4	41 52.2	41 52.20	3 13 8.4	26 9 51.6
9	9	5	34.3	42 13.16	3 31 0.1	25 51 59.9
10	9	4	15.3	43 15.30	3 25 0.0	25 58 0.0
11	8.9	4	52.4	43 52.40	3 27 35.4	25 55 24.6
12	7	4	44.6	44 44.60	3 33 42.3	25 49 17.7
13	9	5	18.8	44 57.64	3 24 44.2	25 58 15.8
14	9	2	47 40.4	48 12.24	3 15 2.5	26 7 57.5
15	9	4	20.5	48 20.50	3 6 25.0	26 16 35.0
16	7	5	56.0	48 35.03	3 48 31.8	25 34 28.2
17	9	6	49 29.3	48 57.73	4 7 12.4	25 15 47.6
18	8	4	37.2	50 37.20	4 22 28.1	25 0 31.9
19	9	4	22.3	51 22.30	2 40 8.9	26 42 51.1
20	9	3	51.0	52 12.48	2 22 26.0	27 0 34.0
21	8	7	18.5	51 35.66	2 1 48.5	27 21 11.5
22	9	2	10.6	53 42.77	2 5 5.4	27 17 54.6
23	8.9	4	58.2	53 58.20	2 56 0.0	26 27 0.0
24	9	2	28.3	55 0.17	3 9 10.6	26 13 49.4
25	8.9	3	53.0	55 14.31	3 17 15.2	26 5 44.8
26	8	5	39.0	55 17.94	3 57 22.3	25 25 37.7
27	8.9	5	1.3	55 40.21	3 46 34.7	25 36 25.3
28	9	4	53.5	56 53.50	3 6 21.8	26 16 38.2
29	8.9	4	58 24.3	58 24.30	4 2 31.4	25 20 28.6
30	8.9	4	49.0	58 49.00	3 55 38.0	25 27 22.0
31	7.8	4	29.9	59 29.90	3 11 49.7	26 11 10.3
32	9	7	54.4	59 11.91	2 56 56.5	26 26 3.5
33	8.9	4	39.4	0 0 39.40	2 34 23.4	26 48 36.6
34	9	6	38.7	1 6.66	2 45 11.8	26 37 48.2
35	8	4	2 9.4	2 9.40	2 40 34.3	26 42 25.7
36	9	4	3 40.3	3 40.30	2 18 13.4	27 4 46.6
37	7	2	4 55.6	5 27.73	2 13 44.0	27 9 16.0
38	6	2	24.8	5 56.92	2 16 7.5	27 6 52.5
39	6	4	54.3	5 54.30	2 32 1.2	26 50 58.8
40	8.9	3	7 4.6	7 25.77	4 3 43.2	25 19 16.8
41	8.9	4	47.0	7 47.00	4 12 4.1	25 10 55.9
42	8	1	9 28.2	10 10.93	2 38 12.5	26 44 47.5
43	8.9	4	11 14.4	11 14.43	4 6 16.1	25 16 43.9
44	8.9	6	55.0	11 23.38	4 17 33.7	25 5 26.3
45	8.9	6	13 6.4	12 34.65	3 50 42.5	25 32 17.5
46	8.9	4	59.4	13 59.40	3 28 27.1	25 54 32.9
47	8	4	29.6	14 29.60	3 20 10.1	26 2 49.9

60 Fad. 5. 46.5

61 " 6. 43.4

64 " 5. 37.0

Die Sterne nicht gerade sehr unruhig, aber gross und blass, so dass die Sterne 9^m. und zum Theil auch 8.9^m. unsicher beobachtet sind. Gegen das Ende vielleicht Wolken.

ZONE 315. 1850 Nov. 25. West.

NC. 23 10' - 2' 44.20

1 26 - 2 46.64

Anf. 27 5.26 + 7.8 46.9

0 16 46.9

Ende 27 5.46 + 7.7 46.3

Microsc. I - 8".04

Decl. = Microsc. I - 29° 23' 0"

0^u $\tau + i + 13''.187$ $\Delta \tau - 0''.014$ $\Delta i 0''.000$

Hülftafel zur Reduction auf den mittlern Ort 1850 Januar 0 D = - 26°.

T.	k	k'	d	d'
23 30' + 11.00	-4	0	+ 1.8	-0.1
40 + 10.96	-5	0	+ 1.7	-0.2
50 + 10.91	-4	0	+ 1.5	-0.1
0 0 + 10.87	-5	-1	+ 1.4	-0.1
10 + 10.82	-4	-1	+ 1.3	-0.1
20 + 10.78	-1	-1	+ 1.2	+28.7

1 Fad. 2. 48.8

3 " 6. 29.8

6 " 6. 58.8

7 " 6. 53.6

16 " 6. 6.9

17 " 7. 39.9

21. dupl. III. Cl. borealis, austr. auch 8^m.

43 Fad. 5. 35.5

44 " 7. 5.4

No.	Gr.	Fad.	Beob. Zeit.	T.	Microsc. I	Südl. Declin.
48	8.9	5	2.7	0 14' 41.57	3 33' 42.8	25 49' 17.2
49	9	5	16 56.9	16 35.80	3 42' 37.5	25 40' 22.5
50	8.9	6	22.4	16 50.64	3 48' 43.7	25 34' 16.3
51	8	4	49.3	17 49.29	3 34' 48.6	25 48' 11.4
52	6	4	19 32.8	19 32.80	3 0' 27.3	26 22' 32.7
53	8	4	9.5	20 9.50	3 16' 15.0	26 6' 45.0
54	8.9	4	22.2	20 22.20	3 21' 36.2	26 1' 23.8
55	8	7	54.0	20 11.78	3 42' 3.7	25 40' 56.3
56	8.9	4	33.9	21 33.90	3 37' 34.0	25 45' 26.0
57	7	7	21 52 :	21 10	3 54' 50.1	25 28' 9.9
58	5.6	5	23 2.6	22 41.58	4 45' 32.4	24 37' 27.6
59	7.8	1	58.4	24 40.67	3 54' 16.6	25 28' 43.4
60	9	1	33.7	25 15.95	3 56' 59.2	25 26' 0.8
61	7	5	21.0	24 59.67	3 11' 49.5	26 11' 10.5
62	7.8	4	57.6	25 57.69	2 28' 7.9	26 54' 52.1
63	7.8	1	41.3	27 24.11	2 26' 4.7	26 56' 55.3
64	9	5	37.3	27 15.99	2 33' 39.0	26 49' 21.0
65	8	5	15.8	27 54.68	3 9' 31.9	26 13' 28.1
66	9	7	57.4	28 15.05	3 19' 16.2	26 3' 43.8
67	9	7	40.0	28 57.66	3 21' 12.4	26 1' 47.6
68	8	7	44.5	30 2.03	3 0' 36.5	26 22' 23.5
69	7.8	4	31 16.9	31 16.83	2 57' 51.2	26 25' 9.8
70	8.9	5	31 34.8	31 13.56	2 57' 33.3	26 25' 27.7
71	8.9	6	20.7	31 48.44	2 24' 49.9	26 58' 10.1
72	8.9	5	54.4	32 33.08	2 30' 46.7	26 52' 13.3
73	6.7	3	37.3	33 58.59	3 21' 51.0	26 1' 9.0
74	8.9	5	27.3	34 6.22	3 47' 50.8	25 35' 9.2
75	9	6	35 41.0	35 9.48	4 18' 10.9	25 4' 49.1
76	9	4	44.7	36 44.70	4 23' 40.1	24 59' 19.9
77	8.9	1	37 41.4	38 23.37	4 23' 52.1	24 59' 7.9
78	7	2	53.7	39 25.25	4 20' 53.0	25 2' 7.0
79	8.9	2	29.4	40 1.48	3 10' 5.1	26 12' 54.9
80	9	4	47.0	39 47.00	3 10' 55.1	26 12' 4.9
81	8	3	40 38.0	40 59.52	2 11' 57.7	27 11' 2.3
82	8.9	4	41 49.1	41 49.10	3 7' 30.8	26 15' 29.2
83	8	7	9 :	41 27	3 59' 32.0	25 23' 28.0
84	9	5	43 0.3	42 39.29	4 11' 43.5	25 11' 16.5
85	8.9	3	56.9	44 18.19	3 22' 22.0	26 0' 38.0
86	8	4	47.7	44 47.70	2 10' 31.2	27 12' 28.8
87	8.9	4	33.2	45 33.20	3 36' 55.1	25 46' 4.9
88	6.7	5	1.0	45 39.88	3 47' 11.6	25 35' 48.4
89	8	4	27.9	46 27.90	3 31' 32.3	25 51' 27.7
90	7	1	9.3	47 51.57	3 54' 22.5	25 28' 37.5
91	8.9	6	43.4	47 11.86	4 38' 38.4	24 44' 21.6
92	9	2	34.3	49 5.80	4 31' 51.9	24 51' 8.1
93	7	3	58.0	49 19.31	3 12' 27.7	26 10' 32.3
94	9	4	15.2	50 15.20	2 21' 20.0	27 1' 40.0
95	7.8	5	5.4	50 44.12	2 41' 53.1	26 41' 6.9
96	8	2	50.3	52 22.35	2 42' 46.2	26 40' 13.8
97	7	2	33.5	53 5.46	2 49' 47.1	26 33' 12.9
98	9	7	53 37.0	52 54.70	3 28' 13.0	25 54' 47.0
99	8.9	3	56 29.7	56 50.83	4 17' 59.9	25 5' 0.1
100	8.9	2	57 54.4	58 26.31	3 5' 47.2	26 17' 12.8
101	8.9	7	59 6.3	58 23.55	2 16' 41.9	27 6' 18.1
102	8.9	6	45.2	59 13.35	3 26' 30.6	25 56' 29.4

*Hülftafel zur Reduction auf den mittl.
Ort 1850/Januar 0 D = - 26°.*

T.	k	k'	d
0 10' + 10.82	-4	-1	+ 1.3 - 0.1 +
20 + 10.78	-4	-1	+ 1.2 - 0.1 +
30 + 10.74	-4	-1	+ 1.1 - 0.1 +
40 + 10.70	-4	-1	+ 1.0 - 0.1 +
50 + 10.66	-3	-1	+ 0.9 - 0.2 +
1 0 + 10.63	-4	-1	+ 0.7 - 0.1 +

51 Fad. 3. 10.4
 55. Zeit zweifelhaft.
 58 Fad. 6. 13.0
 62 „ 5. 19.1
 65 „ 6. 26.7
 66. Zeit - 10''?
 67. Zeit zweifelhaft.
 69 Fad. 5. 38.0
 71 „ 7. 31.0
 75 „ 7. 51.6
 77 „ 2. 51.7
 79 „ 4. 1.7 Fad. 2 giebt 1''.27
 80 „ 5. 8.2
 89. dupl. II. Cl. praec.; seq. 8.9^m.
 93 Fad. 4. 19.3
 96 „ 3. 1.0
 99. Die Lampe war vom Winde ausgeblasen v
 den, daher die Pause.
 100 Fad. 3. 5.0

Nr.	Gr.	Fad.	Beob. Zeit.	T.	Microsc. I	Schl. Declin.
103	7	6	17.2	0 59' 45.42	3 43' 23.3	25 39' 36.7
104	8	5	50.1	1 0 29.05	3 58 19.3	25 24 40.7
105	8	5	22.1	1 1.11	4 20 7.0	25 2 52.3
106	8.9	5	1 59.4	1 38.11	3 2 52.2	26 20 7.8
1	7	5	30 17.3	2 29 56.16	3 42 14.8	25 40 45.2
2	9	4	31 45.4	31 45.40	3 28 43.4	25 54 16.6
3	7.8	5	19.4	31 58.24	3 21 59.8	26 1 0.2
4	7	7	47.5	32 5.02	2 59 31.5	26 23 28.5
5	7	7	18.1	32 35.69	3 10 54.5	26 12 5.5
6	9	3	34 39.5	35 0.95	2 32 35.9	26 50 24.1
7	8.9	1	27.6	36 10.27	2 38 35.0	26 44 25.0
8	8.9	6	8.6	35 36.58	2 51 8.1	26 31 51.9
9	8.9	5	43.9	36 22.64	2 48 13.3	26 34 46.7
10	7	5	37 45.4	37 24.22	3 14 52.1	26 8 7.9
11	9	6	13.6	37 41.68	3 11 48.5	26 11 11.5
12	9	7	49.4	38 7.07	3 24 2.4	25 58 57.6
13	7.8	3	58.2	39 19.49	3 25 1.1	25 57 58.9
14	8.9	6	41.1	39 9.27	3 32 15.7	25 50 44.3
15	9	6	19.8	39 47.97	3 32 24.4	25 50 35.6
16	9	5	59.9	40 38.74	3 23 52.9	25 59 7.1
17	8	5	28.6	41 7.51	3 57 10.4	25 25 49.6
18	7.8	4	6.2	42 6.20	4 8 33.6	25 14 26.4
19	6.7	4	2.1	43 2.10	4 11 58.1	25 11 1.9
20	9	4	26.4	43 26.40	4 2 9.5	25 20 50.5
21	9	6	59.2	43 27.55	4 12 26.6	25 10 33.4
22	9	5	23.5	44 2.61	4 24 15.6	24 58 44.4
23	9	6	20.2	44 48.64	4 34 8.4	24 48 51.6
24	8.9	7	54.9	45 12.69	3 43 57.5	25 39 2.5
25	8.9	4	48 0.5	48 0.50	3 10 10.3	26 11 49.7
26	8.9	2	29.3	49 1.20	3 3 56.6	26 19 3.4
27	7	6	12.5	48 40.48	2 50 23.5	26 32 36.5
28	7.8	5	46.0	49 24.69	2 34 37.1	26 48 22.9
29	8	5	0.9	49 39.58	2 41 5.1	26 41 54.9
30	8.9	4	59.5	50 59.50	3 13 5.1	26 9 54.9
1	8.9	2	0 4.3	1 0 36.06	6 57 5.9	22 24 54.1
2	9	4	55.7	0 55.70	7 2 45.2	22 19 14.8
3	9	5	2 1.2	1 40.54	6 33 26.2	22 58 33.8
4	9	6	46.5	2 15.82	8 20 49.1	21 1 10.9
5	9	6	21.2	2 50.67	8 31 15.8	20 50 44.2
9	9	6	4 32.4	4 1.71	8 8 7.3	21 13 52.7
7	7.8	3	46.2	5 6.73	8 6 43.0	21 15 17.0
8	8.9	5	6 44.1	6 23.68	8 3 23.2	21 18 36.8
9	9	6	41.2	7 10.48	8 11 51.8	21 10 8.2
10	8.9	4	8 45.1	8 45.10	7 5 35.5	22 16 24.5
11	8.9	4	21.6	9 21.60	6 46 0.0	22 36 0.0
12	9	3	6.0	10 26.57	7 21 8.2	22 0 51.8
13	9	3	53.0	11 13.55	7 59 33.6	21 22 26.4
14	7.8	6	32.6	11 2.03	8 23 5.0	20 58 55.0
15	7	4	39.5	12 39.50	8 6 23.5	21 15 36.5
16	9	7	12.3	12 31.35	7 39 39.7	21 42 20.3
17	9	2	50.8	14 21.87	7 10 14.4	22 11 45.6
18	8.9	3	21.5	14 42.14	7 3 55.7	22 18 4.3
19	8	3	59.6	15 20.27	7 9 23.1	22 12 36.9
20	7.8	4	41.0	15 41.00	7 27 21.0	21 54 39.0
21	8	7	8.5	15 27.60	7 50 41.1	21 31 18.9

106 Fad. 6. 10".0

Recht gute Luft.

ZONE 316. 1850 Nov. 25. West.

NC. 3 9' - 2' 46.07

Anf. 27 5.52 + 7.4 45.1

Ende 5.55 + 7.4 46.0

Microsc. I - 6".48

Decl. = Microsc. I - 29° 23' 0"

3" r+i + 13".145 Δr - 0".014 Δi 0".000

Hülftafel zur Reduction auf den mittlern Ort 1850 Januar 0 D = - 26°.

T.	k	k'	d	d'
2 30' + 10.35	-2	-1	+ 4.0	+ 0.4
40 + 10.33	-2	-1	+ 4.4	+ 0.4
50 + 10.31	-2	-1	+ 4.8	+ 0.4

1 Fad. 6. 27.9

7 " 2. 38.2

13 " 4. 19.5

17 " 6. 39.2

22 " 6. 34.3

25. Nach Zone 325 No. 2 und einer Beob. 1851 Oct. 20. muss die Minute des Microscops 11' sein; danach ist die Decl. berechnet.

29 Fad. 6. 11.6

Recht gute Luft. Wolken verhinderten die Fortsetzung.

ZONE 317. 1850 Nov. 27. West.

0" 21' NC. - 2' 41".31

2 51 - 2 43.55

Anf. 27 10.00 + 6.5 38.4

1 47 37.3

Ende 27 10.18 + 4.8 37.1

Microsc. I - 7".11

Decl. = Microsc. I - 29° 22' 0"

2" r+i + 12".637 Δr - 0".008 Δi 0".000

D = - 22°.

1 0' + 10.09	-3	-1	- 7.1	- 0.1
10 + 10.06	-4	-1	- 7.2	0.0
20 + 10.02	-1	-1	- 7.2	+ 18.1

1 Fad. 4. 35".9 ward zur Controlle der Secunde an Fad. 2 beob.; ich vermuthe daher, dass dieser 5".3 zu lesen sei, u. habe danach gerechn.

5 Fad. 7. 31.5 12 Fad. 4. 26.5

14 " 7. 42.9 16. Zeit unsicher.

17 " 3. 1.4 Fäden 21".68 und 22".06

18 " 4. 42.1

No.	Gr.	Fad.	Beob. Zeit.	T.	Microsc. I	Südl. Declin.
22	9	7	39.3	1 15 58.52	8 15 38.4	21 6 21.6
23	8.9	5	17 36.0	17 15.50	7 29 18.8	21 52 41.2
24	7	2	19 30.5	20 1.15	8 14 0.0	21 8 0.0
25	7	5	0.3	19 39.89	8 5 41.0	21 16 19.0
26	7	4	39.6	20 39.60	8 9 18.4	21 12 41.6
27	8	5	5.6	20 45.15	7 1 59.1	22 20 0.9
28	6	1	33.1	22 14.40	6 57 47.0	22 24 13.0
29	8	3	18.0	22 38.76	6 4 25.8	23 17 34.2
30	8.9	1	6.1	23 47.22	7 28 28.6	21 53 31.4
31	9.0	5	24 9.0	23 48.45	7 5 17.3	22 16 42.7
32	8.9	2	53.0	25 24.10	6 11 8.3	23 10 51.7
33	9	4	25 47.0	25 47.00	6 46 20.2	22 35 39.8
34	8	4	31.0	26 30.91	7 33 57.6	21 48 2.4
35	8.9	1	18.0	27 59.14	7 24 5.5	21 57 54.5
36	9	4	57.2	27 57.20	7 32 33.8	21 49 26.2
37	8	5	7.0	27 46.59	8 4 49.7	21 17 10.3
38	9	5	47.2	28 26.77	7 55 28.7	21 26 31.3
39	9	4	46.2	29 46.20	6 10 55.5	23 11 4.5
40	6	4	31 31.7	31 31.70	7 19 40.6	22 2 19.4
41	9	4	30.2	32 30.20	8 5 11.1	21 16 48.9
42	9	4	22.3	33 22.30	8 7 40.4	21 14 19.6
43	8.9	6	1.2	33 30.49	8 14 23.5	21 7 36.5
44	8.9	7	37.3	33 56.62	8 39 48.0	20 42 12.0
45	7	5	36.4	35 16.04	8 26 6.1	20 55 53.9
46	8	5	17.6	35 57.03	6 59 37.7	22 22 22.3
47	7.8	5	37 25.0	37 4.58	8 1 41.0	21 20 19.0
48	8.9	7	8.1	37 27.37	8 27 42.1	20 54 17.9
49	9	2	39 54.4	40 25.49	6 13 43.8	23 8 16.2
50	9	3	28.2	40 48.98	6 25 49.2	22 56 10.8
51	8	3	51.1	41 11.88	6 24 9.6	22 57 50.4
52	9	2	25.9	41 56.97	6 17 15.6	23 4 44.4
53	8.9	3	44 4.5	44 25.27	6 27 34.1	22 54 25.9
54	9	1	46.4	45 27.90	6 11 46.3	23 10 13.7
55	9	2	45 46.0	46 16.93	7 23 7.5	21 58 52.5
56	9	3	48 11.0	48 42.13	6 3 39.5	23 18 20.5
57	5.6	1	47.2	49 28.73	6 6 43.4	23 15 16.6
58	8.9	7	25.6	48 44.40	6 48 32.4	22 33 27.6
59	8	4	50 36.3	50 36.15	6 44 17.6	22 37 42.4
60	9	4	38.3	51 38.30	6 26 45.9	22 55 14.1
61	8.9	5	12.2	51 51.54	6 22 20.4	22 59 39.6
62	8.9	3	58.1	53 18.86	6 34 1.5	22 47 58.5
63	4.5	7	28 :	52 47	7 33 44.0	21 48 16.0
64	9	6	35.6	54 4.93	7 44 27.6	21 37 32.4
65	7	4	25.4	55 25.39	6 40 51.4	22 41 8.6
66	8	4	55 51.7	55 51.70	6 44 7.6	22 37 52.4
67	8.9	4	44.0	56 44.00	6 45 57.5	22 36 2.5
68	9	4	2.2	57 2.20	6 37 14.8	22 44 45.2
69	8	1	9.1	58 50.52	6 29 59.5	22 52 0.5
70	8	4	49.2	58 49.20	6 53 46.6	22 28 13.4
71	9	3	0 4.3	2 0 25.05	6 36 12.1	22 45 47.9
72	8	4	49.3	0 49.30	7 18 24.0	22 3 36.0
73	9	4	33.7	1 33.70	7 32 59.5	21 49 0.5
74	8.9	2	2 52.7	3 23.44	8 27 40.0	20 54 20.0
75	8	1	4 12.5	4 53.63	7 48 49.4	21 33 10.6
76	9	2	28.4	5 59.12	8 34 31.1	20 47 28.9

*Halftafel zur Reduction auf den mittlern
Ort 1850 Januar 0 D = -22°.*

T.	k	k'	d	d'
1 10+10.06	-4	-1	-7.2	0.0 +18.1
20+10.02	-4	-1	-7.2	-0.1 +18.1
30+ 9.98	-3	-1	-7.3	0.0 +18.1
40+ 9.95	-3	-1	-7.3	0.0 +18.1
50+ 9.92	-3	-1	-7.3	+0.1 +18.2
2 0+ 9.89	-3	-1	-7.2	0.0 +18.2
10+ 9.86	-1	-1	-7.2	+18.2

27 Fad. 6. 16.2

28 „ 2. 43.5

29 „ 4. 38.7

34 „ 5. 51.3

55 „ 3. 56.4

56. Z. 324 No. 102, wo kein Fehler sein kann, zeigt, dass Fad. 2 zu lesen sei; danach ist T berechnet.

59 Fad. 5. 56.6

60. Ein Stern 9.0 folgt etwa 2'' und 0'.5 nördlich.

64 Fad. 7. 46.0

65 „ 5. 46.0

69 „ 2. 19.5

74 „ 3. 3.1

73 „ 2. 23.0

76 „ 3. 38.8

Gr.	Fad.	Beob. Zeit.	T.	Microsc. I	Südl. Declin.
8.9	1	14.6	2 6 55.54	8° 7' 36.0	21° 14' 24.0
8	3	8 17.2	8 37.84	7 21 7.2	22 0 52.8
9	4	0.5	9 0.50	7 39 44.2	21 42 15.8
8.9	4	26.1	9 26.10	7 33 0.8	21 48 59.2
9	4	11 9.3	11 9.30	6 5 —	23 17 —
9	2	12 18.9	12 49.46	8 38 20.7	20 43 39.3
9	5	20.4	12 59.96	7 50 34.8	21 31 25.2
8.9	7	14 1.2	13 19.92	6 33 43.0	22 48 17.0
8.9	4	15 11.6	15 11.60	6 48 48.5	22 33 11.5
9	4	16 36.0	16 35.86	6 52 45.5	22 29 14.5
8	1	39.8	18 21.10	6 53 0.0	22 29 0.0
9	4	18 39.3	18 39.30	7 20 44.5	22 1 15.5
9	7	20 2.3	19 21.37	7 43 54.9	21 38 5.1
9	2	21 21.2	21 52.00	7 29 56.8	21 52 3.2
7	4	22 12.6	22 12.60	7 39 38.3	21 42 21.7
8.9	5	14.7	22 54.26	7 50 50.9	21 31 9.1
9	6	29.5	22 58.69	7 48 34.8	21 33 25.2
9.0	5	24 55.5	24 34.89	6 37 54.8	22 44 5.2
7	1	26 54.2	27 35.52	6 47 2.3	22 34 57.7
7	1	16.9	28 57.98	7 18 29.0	22 3 31.0
7.8	1	34.5	29 15.74	7 20 56.6	22 1 3.4
9	7	30 28.0	29 47.26	7 25 13.7	21 56 46.3
7	3	14.0	31 34.59	7 40 45.4	21 41 14.6
8	4	0.5	32 0.50	7 50 56.7	21 31 3.3
7	4	37.8	32 37.80	8 17 51.0	21 4 9.0
7.8	7	54 :	32 13	8 32 42.8	20 49 17.2
7.8	4	38.2	33 38.20	7 9 10.6	22 12 49.4
7.8	5	17.3	33 56.70	6 48 13.1	22 33 46.9
8	4	0.6	35 0.60	6 7 28.2	23 14 31.8
8	4	29.3	35 29.30	7 15 41.9	22 6 18.1
8.9	7	16.6	35 35.80	8 11 16.0	21 10 44.0
7	1	37 23.2	38 4.59	6 34 21.6	22 47 38.4
9	4	2 57.7	2 2 57.70	1 27 7.3	17 54 22.7
7	2	46.7	4 16.84	0 54 33.7	18 26 56.3
8	1	7.5	4 47.72	0 55 29.6	18 26 0.4
9	4	5 12.9	5 12.90	2 15 40.2	17 5 49.8
9	2	10.0	6 39.89	2 5 40.0	17 15 50.0
8	4	47.8	6 47.80	1 45 52.9	17 35 37.1
9	5	35.0	7 14.94	0 52 13.4	18 29 16.6
9	2	14.0	8 44.00	2 2 43.0	17 18 47.0
8.9	3	4.6	9 24.61	2 22 43.1	16 58 46.9
9	3	18.4	9 38.41	2 20 33.1	17 0 56.9
9	1	49.1	10 29.01	2 19 43.4	17 1 46.6
9	7	18.2	9 38.49	2 43 20.2	16 38 9.8
8.9	4	41.5	10 41.48	2 45 0.4	16 36 29.6
9	4	45.0	11 45.00	1 56 58.0	17 24 32.0
8.9	2	15.6	12 45.74	0 39 15.8	18 42 14.2
8.9	7	52.7	12 12.40	0 6 0.8	19 15 29.2
9.0	4	13 57.7	13 57.70	1 33 24.0	17 48 6.0
9	5	14 47.0	14 27.04	1 42 27.5	17 39 2.5
7.8	6	32.0	15 1.90	2 9 54.1	17 11 35.9
9.0	5	18.7	15 58.80	2 14 44.9	17 6 45.1
8.7	5	13.4	16 53.52	2 25 13.3	16 56 16.7
9	3	18 14.5	18 34.63	1 58 30.2	17 22 59.8
8.9	3	54.0	19 14.13	1 56 42.4	17 24 47.6

Hülftafel zur Reduction auf den mittlern Ort 1850 Januar 0 D = - 22°.

T.	k	k'	d	d'
2 0+	9.89	-3	-1	- 7.2 0.0 +18.2
10+	9.86	-3	-1	- 7.2 +0.1 +18.2
20+	9.83	-3	-1	- 7.1 +0.1 +18.2
30+	9.80	-2	-1	- 7.0 +0.1 +18.3
40+	9.78	-1	-1	- 6.9 +0.1 +18.3

86 Fad. 5. 56.3

88. dupl. II. Cl. borealis.

90 Fad. 4. 52.0

93 „ 7. 39.6

95. Der Stern ist LL. 4817, und dessen Polardistanz 112° 48' 33".0 zu lesen, wie dies durch eine Beob. 1851 Oct. 13. bestätigt wird.

96 Fad. 4. 57.9

97 „ 2. 45.0

Etwas unruhige Luft; vielleicht zuweilen etwas Gewölk.

ZONE 318. 1850 Nov. 29. West.

NC. 0 42 - 2 40.11

3 54 - 2 43.22

Anf. 28 2.67 + 2.5 32.0

2 49 31.9

Ende 28 2.30 + 1.9 31.1

Microsc. I - 7".94

Decl. = Microsc. I - 19° 21' 30"

3^u r+i +12".502 Δr 0".000 Δi - 0".001

D = - 18°.

u	o'	"	73	-3	-2	- 5.9	+0.2	+12.5
2	0+	9.73	-3	-2	- 5.7	+0.1	+12.6	
	10+	9.70	-3	-2	- 5.6	+0.1	+12.6	
	20+	9.67	-2	-2	- 5.6	+0.1	+12.6	

5 Fad. 3. 19".8

8 „ 3. 24.0

13 „ 5. 1.3

15 „ 3. 25.5

19 „ 7. 41.6

22 „ 4. 34.7

23 „ 4. 14.2

N ^o .	Gr.	Fad.	Beob. Zeit.	T.	Microsc. I	Südl. Declin.
79	8.9	6	0.7	3 5 30.69	2 0 50.2	17 20 39.8
80	8	4	35.4	6 35.40	1 45 37.3	17 35 52.7
81	9.0	4	58.0	6 57.97	1 41 52.0	17 39 38.0
82	8.9	7	49.8	7 9.97	2 7 52.0	17 13 38.0
83	7	3	20.9	8 40.95	1 58 18.4	17 23 11.6
84	8.9	5	46.0	8 26.10	2 14 41.9	17 6 48.1
85	9	2	17.2	10 7.07	2 29 18.5	16 52 11.3
86	8.9	3	53.5	10 33.64	1 9 40.2	18 11 49.8
87	9	7	11 4.1	10 23.87	0 25 7.3	18 56 22.7
88	6	5	12 0.7	11 40.63	0 15 18.5	19 6 11.5
89	9	5	13 30.5	13 10.44	0 48 46.8	18 32 43.2
90	7.8	5	1.9	13 41.89	1 17 40.2	18 3 49.8
91	9.0	5	16 7.3	15 47.38	1 58 51.8	17 22 38.2
92	6.7	5	35.9	16 15.89	1 22 50.2	17 58 39.8
93	9	6	29.2	16 59.11	1 31 46.3	17 49 43.7
94	8.9	3	13.4	18 33.55	1 7 51.1	18 13 38.9
95	7	4	6.6	19 6.60	0 23 31.9	18 57 58.1
96	8.9	4	37.7	19 37.70	0 36 35.1	18 44 54.9
97	8.9	5	34.8	20 14.66	0 8 28.8	19 13 1.2
98	9	3	21 22.4	21 42.61	0 36 33.2	18 44 56.8
99	8	4	21 42.1	21 42.10	0 27 44.4	18 53 45.6
100	9	6	22 52.6	22 22.41	0 56 32.0	18 24 58.0
101	9	5	23 52.2	23 32.15	0 58 25.1	18 23 4.9
102	8	5	21.2	24 1.29	1 40 31.4	17 40 58.6
103	9	6	3.3	24 33.24	1 40 22.0	17 41 8.0
104	8.9	4	48.5	25 48.50	2 2 5.5	17 19 24.5
105	9	3	10.0	26 30.18	1 54 13.1	17 27 16.9
106	8.9	2	8.2	27 38.02	2 37 2.6	16 44 27.4
107	7	1	27 36.4	28 16.77	0 18 50.7	19 2 39.3
108	8	2	28 41.6	29 11.73	0 59 16.4	18 22 13.6
109	9.0	5	16.5	28 56.46	0 59 15.0	18 22 15.0
110	9	4	59.3	29 59.30	1 12 15.8	18 9 14.2
111	6.7	2	32 7.5	32 37.53	1 30 15.9	17 51 14.1
112	9	5	33 20.5	33 0.59	2 13 49.4	17 7 40.6
113	9	5	17.5	33 57.63	2 33 34.7	16 47 55.3
114	8.9	4	24.0	34 24.07	2 33 34.9	16 47 55.1
115	8	6	34.5	35 4.45	1 43 51.9	17 37 38.1
116	8.9	6	51.8	35 21.74	1 41 47.0	17 39 43.0
117	9	5	48.6	36 28.51	0 32 41.5	18 48 48.5
118	9	3	17.8	37 38.01	0 35 41.6	18 45 48.4
119	8.9	4	6.6	38 6.60	0 49 14.0	18 32 16.0
120	7	5	38 59.0	38 39.23	1 44 35.0	17 36 55.0
1	9	7	1 9.2	0 0 28.70	9 19 13.7	20 2 36.3
2	9	7	3 1.0	2 20.29	8 32 58.0	20 48 52.0
3	9	4	59.5	3 59.50	8 49 40.3	20 32 9.7
4	9	4	50.0	4 50.00	9 20 5.4	20 1 44.6
5	8.9	7	16.7	4 36.37	9 59 40.0	19 22 10.0
6	9.0	5	58.6	5 38.45	10 5 17.5	19 16 32.5
7	9	4	38.5	6 38.50	10 5 47.2	19 16 2.8
8	9	7	7 3.5	6 23.17	9 59 46.1	19 22 3.9
9	9	2	8 10.5	8 40.75	10 16 31.7	19 5 18.3
10	8.9	4	45.6	8 45.60	10 37 50.7	18 43 59.3
11	7	2	14.6	9 44.97	9 28 47.1	19 53 2.9
12	9.0	1	10 54.5	11 35.36	8 24 25.0	20 57 25.0
13	9	3	38.3	11 58.73	8 53 58.9	20 27 51.1

Hülftafel zur Reduction auf den mittlern Ort 1850 Januar 0 D = - 18°.

T.	k	k'	d	d'
3 0+ 9.58	-2	-2	- 5.0	+0.1
10+ 9.56	-2	-2	- 4.9	+0.2
20+ 9.54	-2	-2	- 4.7	+0.1
30+ 9.52	-1	-2	- 4.6	+0.1
40+ 9.51		-2	- 4.5	+12.7

81 Fad. 5. 17.9

87. Bei diesem Sterne ward ein Fehler von - 20'' Zeit entdeckt und corrigirt, der nach dem Zeugniß von Z. 341 N^o. 9 schon bei N^o. 85 stattgefunden hat; N^o. 84 ist noch richtig, wie dieselbe Zone zeigt; hiernach ist T bei N^o. 85 und 86 corrigirt.

88 Fad. 6. 11.0 dupl. I. Cl. praec.; seq. 9^m.

92 „ 6. 46.0

102 „ 6. 31.4

105 „ 4. 30.3

106 „ 3. 18.0

107. Bei diesem Sterne ward ein Fehler von - 1'' in Zeit entdeckt und corrigirt.

114 Fad. 5. 44.0

120 „ 6. 9.4 Fad. 7. 19.2

Unruhige aber sehr durchsichtige Luft.

ZONE 319. 1850 Dec. 3. West.

Hülftafel zur Reduction auf den mittlern Ort 1850 Januar 0 D = - 20°.

T.	k	k'	d	d'
0 0+10.74	-5	-1	- 1.9	0.0
10+10.69	-4	-1	- 1.9	+0.1

1. 9^m. seq. 5'' u. 1' Aust.

6. Micr. 15' ? und dann Decl. - 19° 6' 32''.5, T 5' 38''.47?

11 Fad. 3. 24''.6

Nº.	Gr.	Fad.	Beob. Zeit.	T.	Microsc. I	Südl. Declin.
14	8	4	13' 6.3	0 13' 6.30	8 46' 18.2	20° 45' 31.8
15	6.7	3	39.3	13 59.78	8 28' 38.0	20 53' 12.0
16	9	4	21.0	14 21.00	8 20' 49.6	21 1' 0.4
17	7.8	1	58.5	15 39.03	9 38' 29.0	19 43' 21.0
18	7	2	16 34.0	17 4.29	10 3' 45.9	19 18' 4.1
19	9	4	10.6	17 10.60	10 9' 15.3	19 12' 34.7
20	8.9	4	49.9	17 49.90	9 43' 0.5	19 38' 49.5
21	7	2	6.3	18 36.67	9 50' 21.2	19 31' 28.8
22	9	4	48.5	18 48.50	9 38' 37.2	19 43' 12.8
23	9	5	20 20.4	20 0.14	9 12' 59.1	20 8' 50.9
24	7	6	9.4	20 38.74	8 12' 25.0	21 9' 25.0
25	9	3	51.6	22 11.94	9 29' 31.9	19 52' 18.1
26	8.9	4	31.5	22 31.50	9 21' 8.4	20 0' 41.6
27	7.8	4	52.6	22 52.58	9 54' 48.0	19 27' 2.0
28	8	1	40.6	24 21.06	10 18' 47.1	19 3' 2.9
29	8.9	2	21.5	24 51.72	10 25' 26.2	18 56' 23.8
30	9	2	49.0	25 19.22	10 25' 13.1	18 56' 36.9
31	9	3	10.5	25 30.86	10 31' 1.9	18 50' 48.1
32	8.9	4	57.7	25 57.70	10 25' 9.4	18 56' 40.6
33	9	4	26 44.0	26 44.12	9 12' 20.6	20 9' 29.4
34	8	5	57.3	27 37.13	9 58' 30.0	19 23' 20.0
35	8.9	7	16.0	27 35.70	10 6' 45.5	19 15' 4.5
36	8.9	6	48.5	28 18.09	9 46' 23.4	19 35' 26.6
37	9.0	5	17.6	28 57.40	9 41' 32.8	19 40' 17.2
38	8	5	2.3	29 42.01	8 58' 27.3	20 23' 22.7
39	7.8	3	30.8	30 51.31	8 14' 43.4	21 7' 6.6
40	8.9	3	10.1	31 30.59	8 26' 15.6	20 55' 34.4
41	8.9	7	37.7	30 57.06	8 47' 53.0	20 33' 57.0
42	9	6	7.5	31 36.88	8 40' 53.5	20 40' 56.5
43	7.8	4	33 50.5	33 50.50	8 14' 38.6	21 7' 11.4
44	9	7	18.5	33 37.83	8 40' 44.9	20 41' 5.1
45	9	5	20.1	34 59.70	8 11' 29.9	21 10' 20.1
46	7.8	7	42.6	35 1.84	8 21' 3.3	21 0' 46.7
47	9.0	5	38.4	36 18.03	8 19' 54.9	21 1' 55.1
48	8.9	4	13.9	37 13.90	8 12' 39.8	21 9' 10.2
49	8	6	51.0	37 20.58	9 14' 46.3	20 7' 3.7
50	9	2	32.1	39 2.57	9 6' 57.7	20 14' 52.3
51	8.9	3	59.5	39 19.83	9 38' 0.1	19 43' 49.9
52	9	5	32.2	39 12.07	10 14' 43.6	19 7' 6.4
53	6	4	40 4.0	40 3.95	10 28' 47.2	18 53' 2.8
54	8.9	4	3.4	41 3.42	10 0' 13.2	19 21' 36.8
55	9.0	4	2.0	42 2.00	9 52' 26.4	19 29' 23.6
56	8.9	3	42.0	43 2.29	10 2' 29.4	19 19' 20.6
57	9	2	23.0	43 53.30	10 2' 12.2	19 19' 37.8
58	8.9	2	56.2	44 26.67	9 7' 42.0	20 14' 8.0
59	8	2	25.0	44 55.51	8 39' 24.2	20 42' 25.8
60	8	5	29.3	45 9.13	9 58' 23.8	19 23' 26.2
61	9	4	21.5	46 21.50	10 32' 38.5	18 49' 11.5
62	8.9	4	30.6	46 30.50	10 31' 8.0	18 50' 42.0
63	8	2	47 47.1	48 17.44	9 47' 8.3	19 34' 41.7
64	7.8	5	33.4	48 13.24	10 0' 3.4	19 20' 46.6
65	7	2	32.2	50 2.59	9 33' 11.4	19 48' 38.6
66	9.0	6	50 4.3	49 33.79	9 13' 33.1	20 8' 16.9
67	7	1	47.0	51 27.64	9 13' 39.2	20 8' 10.8
68	6.7	4	9.4	51 9.40	8 55' 23.0	20 26' 27.0

NC. 23 21' - 2' 43.65

1 49 43.96

Anf. 28 3.09 + 3.3 36.0

Ende 2.98 + 2.8 35.3

Microsc. I - 6".55 u. - 7".41

Decl. = Microsc. I - 29° 21' 50"

1^a r+i +12".991 Δr+0".005 Δi-0"

*Hülfsstafel zur Reduction auf den mittle
Ort 1850 Januar 0 D = - 20°.*

T.	k	k'	d
0 10'+10.69	-4	-1	- 1.9 +0.1 +
20+10.65	-4	-1	- 1.8 +0.1 +
30+10.61	-5	-1	- 1.7 0.0 +
40+10.56	-4	-1	- 1.7 +0.1 +
50+10.52	-4	-1	- 1.6 +0.1 +

14. Die Vergleichung mit Zone 269 N°. 52
LL. 386 zeigt, dass die Minute des Micro.
36' zu lesen sei. Danach ist die Decl.
rechnet.

21 Fad. 3. 16".4

24 " 7. 19.6

27 " 5. 12.7 Fad. 6. 23".0

28 " 2. 50.9

31 " 4. 31.0

33 " 5. 4.5

49 " 7. 1.2

53 " 5. 24.0

54 " 5. 23.6

56 " 4. 2.3

59 " 3. 35.0

62 " 5. 50.5

64. Nach dem Zeugniß von LL. N°. 1586
einer Beob. 1851 Oct. 3. muss die Minut
Microscops 1' sein; danach ist die Decl
gesetzt.

Nr.	Gr.	Fad.	Beob. Zeit.	T.	Microsc. I	Südl. Declin.
69	8.9	5	52 42.6	0 52 22.38	10 29 24.0	18° 52' 26.0
70	7	4	3.1	53 3.10	10 26 3.4	18 55 46.6
71	8	5	52.9	53 32.70	9 42 58.4	19 38 51.6
72	7.8	5	32.8	54 12.53	9 8 38.0	20 13 12.0
73	8	6	3.2	54 32.62	8 53 26.0	20 28 24.0
74	8.9	6	39.9	55 9.15	8 1 27.4	21 20 22.6
75	9.0	5	54.1	56 33.92	9 49 41.9	19 32 8.1
76	8.9	7	8.4	56 28.07	9 59 26.2	19 22 23.8
77	8	7	48 :	57 8	10 14 15.1	19 7 34.9
78	8.9	6	59 8.3	58 37.88	9 43 21.1	19 38 28.9
79	9	4	55.4	59 55.40	9 25 14.0	19 56 36.0
80	7.8	5	30.9	1 0 10.65	9 15 23.5	20 6 26.5
81	8	5	14.2	0 53.96	9 23 50.4	19 57 59.6
82	9	5	48.0	1 27.74	9 11 29.0	20 10 21.0
83	8	4	1.0	2 1.07	9 10 23.0	20 11 27.0
84	9	7	55.9	2 15.14	8 18 58.7	21 0 51.3
85	9	5	4 15.3	3 55.01	8 58 3.8	20 23 46.2
86	9	6	42.9	4 12.33	8 54 28.4	20 27 21.6
87	9	4	5 57.3	5 57.30	9 24 20.2	19 57 29.8
88	9	7	51.3	6 10.60	8 33 29.3	20 48 20.7
89	9	5	7 54.5	7 34.20	8 53 6.5	20 28 43.5
90	8.9	4	36.0	8 36.00	8 46 8.5	20 35 41.5
91	8.9	2	20.5	9 50.89	9 32 44.3	19 49 5.7
92	9	5	7.9	9 47.70	9 42 38.1	19 39 11.9
93	9	5	33.3	10 13.01	9 49 34.9	19 32 15.1
94	9.0	6	11 47.4	11 16.94	9 28 30.2	19 53 19.8
95	7	7	13 42.4	13 1.72	8 38 21.3	20 43 28.7
96	8.9	4	14 52.6	14 52.60	9 0 2.9	20 21 47.1
97	9	3	40.4	16 0.81	8 59 23.0	20 22 27.0
98	8	2	22.7	16 53.25	9 2 52.8	20 18 57.2
99	9	6	17 0.3	16 29.88	9 41 24.0	19 40 26.0
100	9	7	18 54.0	18 13.68	10 1 6.0	19 20 44.0
101	8.9	5	55.0	19 34.87	10 14 3.8	19 7 46.2
102	9	5	12.2	19 52.07	10 12 34.5	19 9 15.5
103	8.9	5	58.8	20 38.44	8 46 44.9	20 35 5.1
104	8.9	2	40.0	22 10.54	8 46 16.1	20 35 33.9
105	8.9	4	55.6	21 55.60	8 52 45.7	20 29 4.3
106	8	4	36.0	22 36.00	8 59 31.8	20 22 18.2
107	9	2	29.5	24 0.03	8 47 16.0	20 34 34.0
108	8.9	2	27.4	24 57.90	8 59 6.1	20 22 43.9
109	8.9	1	20.6	26 1.64	8 29 21.5	20 52 28.5
110	7	7	20.3	25 39.83	9 26 15.8	19 55 34.2
111	9	5	7.7	26 47.45	9 18 17.0	20 3 33.0
112	8	4	44.6	27 44.60	10 6 10.7	19 15 39.3
113	9	3	12.7	28 32.92	10 30 52.2	18 50 57.8
114	7.8	1	10.1	29 50.74	9 14 34.8	20 7 15.2
115	9.0	7	30 27.5	29 47.20	10 7 26.0	19 14 24.0
116	9.0	4	19.5	31 19.50	9 54 2.5	19 27 47.5
117	8	5	13.6	31 53.41	9 48 3.2	19 33 46.8
118	9.0	5	33 30.0	33 9.71	8 58 17.8	20 23 32.2
119	8.9	5	33 59.9	33 39.63	9 5 6.9	20 16 43.1
1	8.9	4	0 20.7	3 0 20.70	8 8 21.5	21 13 28.5
2	9	3	59.5	1 20.15	9 6 35.0	20 15 15.0
3	8	2	8.7	2 39.39	8 46 47.5	20 35 2.5
4	9	3	59.8	3 20.32	8 14 21.9	21 7 28.1

*Hülftafel zur Reduction auf den mittlern
Ort 1850 Januar 0 D = - 20°.*

T.	k	k'	d	d'
0 50 + 10.52	-4	-1	1.6	+0.1 +14.9
1 0 + 10.48	-4	-1	1.5	+0.1 +14.9
10 + 10.44	-4	-1	1.4	+0.1 +14.9
20 + 10.40	-3	-1	1.3	+0.1 +15.0
30 + 10.37	-4	-1	1.2	+0.2 +15.0
40 + 10.33	-4	-1	1.0	+15.0

83 Fad. 5. 21.4

84. Nach dem Zeugniß von Z. 317 No. 4 und einer Beob. 1851 Oct. 3. muss die Minute des Microscops 20' sein; danach sind T und die Decl. berechnet.

93 Fad. 6. 43.3

98 „ 3. 32.9

100. Zeit unsicher.

103 Fad. 6. 9.0

109 „ 2. 31.0 Fad. 3. 41.4

110. Zeit unsicher.

Sehr klare, aber besonders gegen das Ende der Zone etwas unruhige Luft.

ZONE 320. 1850 Dec. 3. West.

2 Fad. 4. 20.4 Fad. 3 giebt 19.90

3 „ 3. 19.1 Fäden 39.24 und 39.54

No.	Gr.	Fad.	Beob. Zeit.	T.	Microsc. I	Südl. Declin.
5	7.8	7	4' 24.7	3' 3' 44.03	8 40 59.5	20 40 50.5
6	9	7	5 48.4	5 8.06	9 58 6.2	19 23 43.8
7	8	4	37.6	6 37.60	10 5 35.6	19 16 14.4
8	6	4	8 18.9	8 18.90	8 47 14.2	20 34 35.8
9	9	7	20.5	8 40.03	9 27 41.1	19 54 8.9
10	7.8	7	47.0	9 6.53	9 27 2.0	19 54 48.0
11	9	5	10 45.6	10 25.39	9 36 5.6	19 45 44.4
12	8	7	11 50.7	11 10.30	9 44 45.1	19 37 4.9
13	7	7	21.0	11 40 73	10 15 13.9	19 6 36.1
14	7	5	7.7	12 47.58	9 58 14.6	19 23 35.4
15	9	7	14 11.6	13 31.04	9 6 5.6	20 15 44.4
16	8.9	4	5.5	15 5.50	8 46 42.5	20 35 7.5
17	7	7	28.4	14 47.69	8 30 3.0	20 51 47.0
18	8	6	18.0	15 47.59	9 43 30.5	19 38 19.5
19	9	3	27.6	17 48.07	8 31 40.9	20 50 9.1
20	9	7	18 41.7	18 1.44	10 15 53.4	19 5 56.6
21	8	5	26.3	19 6.19	10 23 29.2	18 58 20.8
22	9	4	6.3	20 6.30	10 11 46.3	19 10 3.7
23	8	5	34.4	20 14.28	10 8 23.0	19 13 27.0
24	8.9	3	21.6	21 41.86	10 11 16.9	19 10 33.1
25	9.0	2	11.3	22 41.58	10 7 12.1	19 14 37.9
26	9	5	1.5	22 41.35	10 7 8.3	19 14 41.7
27	8.9	5	24 1.7	23 41.51	9 45 39.6	19 36 10.4
28	7	7	25 :	23 45	9 24 44.1	19 57 5.9
29	8	5	14.0	24 53.78	9 32 3.5	19 49 46.5
30	8.9	4	1.3	26 1.30	9 35 44.0	19 46 6.0
31	9	4	40.5	26 40.50	9 47 24.2	19 34 25.8
32	9	5	9.2	26 48.86	8 37 4.4	20 44 45.6
33	9	5	28 24.5	28 4.22	9 1 26.9	20 20 23.1
34	9	5	16.0	28 55.69	8 50 30.2	20 31 19.8
35	8.9	7	43.7	29 3.03	8 42 46.9	20 39 3.1
36	9.0	2	23.2	30 53.81	8 24 9.1	20 57 40.9
37	9	6	8.1	30 37.33	7 58 21.0	21 23 29.0
38	9	4	37.5	31 37.55	8 7 25.1	21 14 24.9
39	8	4	34.3	32 34.30	8 17 14.5	21 4 35.5
40	9	5	58.5	32 38.19	8 45 49.3	20 36 0.7
41	7	5	40.5	33 20.15	9 16 56.9	20 4 53.1
42	7	5	7.0	33 46.74	9 24 8.2	19 57 41.8
43	9	7	18.5	33 38.03	9 27 9.5	19 54 40.5
44	6.7	5	50.5	34 30.37	9 17 41.1	20 4 8.9
45	8.9	5	37.4	35 17.22	9 52 51.8	19 28 58.2
46	8.9	6	16.6	35 46.25	10 3 55.2	19 17 54.8
47	7	7	30.4	35 50.11	10 10 11.2	19 11 38.8
48	7	5	19.2	36 59.01	9 46 4.5	19 35 45.5
49	8.9	2	38.5	38 8.85	9 45 15.8	19 36 34.2
50	9.0	3	3.1	38 23.41	9 44 45.1	19 37 4.9
51	8.9	4	53.6	38 53.60	9 55 11.6	19 26 38.4
52	9	3	13.2	39 33.49	9 57 32.1	19 24 17.9
53	9.0	2	47.2	40 17.38	10 5 16.0	19 16 34.0
54	8.9	5	34.4	40 14.21	9 44 40.5	19 37 9.5
55	8.9	3	42 14.5	42 34.92	8 58 9.4	20 23 40.6
56	9	4	2.5	43 2.50	8 41 3.1	20 40 46.9
57	9.0	3	18.2	43 38.47	8 47 24.0	20 34 26.0
58	9.0	7	29.5	43 48.71	8 15 29.6	21 6 20.4
59	8.9	2	14.2	45 44.73	8 47 18.1	20 34 31.9

NC. 2' 40" - 2' 45.05

4 54 46.92

Anf. 28 2.89 + 3.0 35.0

Ende 2.75 + 2.3 34.4

Microsc. I - 4".38 u. - 6".19

Decl. = Microsc. I - 29° 21' 50"

4^u $\tau+i$ + 13".005 $\Delta\tau$ + 0".005 Δi - 0"

Hilfstafel zur Reduction auf den mittlere Ort 1850 Januar 0 $D = -20^\circ$.

T.	k	k'	d
3' 0' + 10.09	-2	-2	+ 0.9 0.0 +
10 + 10.07	-2	-2	+ 0.9 -0.1 +
20 + 10.05	-2	-2	+ 0.8 0.0 +
30 + 10.03	-2	-2	+ 0.8 -0.1 +
40 + 10.01	-1	-2	+ 0.7 0.0 +
50 + 10.00		-2	+ 0.7 +

9. Ein anderer Stern 9^m. folgt.

11. Vielleicht Fad. 6 und dann T. 10' 15".1

13. dupl. I. Cl. praec.; seq. 9^m.

14 Fad. 6. 18".0

23 " 7. 54.6

25. 26. derselbe.

38 Fad. 5. 58.0

40 " 6. 8.8

41 " 6. 50.6

44 " 6. 1.0

53 " 3. 57.0

57 " 4. 38.3 Fad. 3 giebt 38".64

nr.	Fad.	Beob. Zeit.	T.	Microsc. I	Südl. Declin.
			^u	^o	^o
1	3	45.9	3 46' 6.33	8 51' 22.8	20 30' 27.2
1	4	20.5	46 20.50	9 0 31.1	20 21' 18.9
1	5	53.2	46 32.87	8 42' 23.9	20 39' 26.1
1	2	34.3	48 4.80	8 57' 28.0	20 24' 22.0
9	4	56.5	47 56.50	9 6 32.0	20 15' 18.0
1	3	36.0	48 56.35	9 29' 16.3	19 52' 33.7
1	5	49 6.0	48 45.77	9 26' 25.0	19 55' 25.0
9	6	55.4	49 24.92	9 20' 40.4	20 1' 9.6
9	1	32.9	51 13.43	9 39' 52.1	19 41' 57.9
1	3	51 52.7	52 13.14	8 48' 4.0	20 33' 46.0
1	4	38.6	52 38.60	8 36' 18.6	20 45' 31.4
1	5	30.0	53 9.80	9 41' 21.0	19 40' 29.0
0	7	52.0	53 11.61	9 45' 15.3	19 36' 34.7
1	3	23.5	54 43.73	10 25' 9.0	18 56' 41.0
8	4	57.2	54 57.20	10 34' 13.1	18 47' 36.9
1	3	38.5	55 58.80	9 52' 18.6	19 29' 31.4
1	5	10.8	55 50.62	9 53' 52.7	19 27' 57.3
8	7	22 :	55 42	9 26' 46.1	19 55' 3.9
8	3	8.9	57 29.25	9 28' 47.0	19 53' 3.0
8	7	42.0	57 1.34	8 43' 43.2	20 38' 6.8
1	6	25.8	57 55.08	8 34' 16.2	20 47' 33.8
1	4	2.0	59 2.00	8 26' 40.4	20 55' 9.6
0	2	32.2	4 0 2.80	8 28' 53.5	20 52' 56.5
0	5	11.2	3 59 50.80	8 8 26.9	21 13' 23.1
9	7	44.7	4 0 4.28	9 39' 36.7	19 42' 13.3
1	4	32.5	1 32.50	9 32' 53.8	19 48' 56.2
9	4	7.6	2 7.60	9 40' 47.2	19 41' 2.8
1	5	26.4	2 6.22	9 49' 51.6	19 31' 58.4
1	4	4.0	3 4.00	9 40' 47.0	19 41' 3.0
0	1	20.3	4 0.82	9 32' 47.6	19 49' 2.4
9	7	57.5	3 17.14	9 52' 18.0	19 29' 32.0
1	6	4 27.3	3 57.02	9 52' 29.8	19 29' 20.2
1	4	19.6	5 19.60	9 32' 20.7	19 49' 29.3
9	4	0.7	6 0.70	9 3 33.6	20 18' 16.4
9	4	13.7	6 13.70	9 7 22.3	20 14' 27.7
1	6	12.5	6 42.07	9 38' 40.0	19 43' 10.0
1	4	54.0	7 54.00	10 6 37.1	19 15' 12.9
1	2	26.7	8 56.94	10 20' 36.0	19 1' 14.0
9	4	4.0	9 4.00	10 38' 26.4	18 43' 23.6
1	4	9 47.4	9 47.40	9 22' 55.5	19 58' 54.5
9	3	14.0	10 34.42	9 27' 57.5	19 53' 52.5
0	5	48.5	10 28.28	9 31' 32.8	19 50' 17.2
0	7	22.0	10 41.54	9 29' 22.4	19 52' 27.6
0	4	57.0	11 57.00	9 35' 51.9	19 45' 58.1
1	7	12.0	11 31.61	9 45' 35.0	19 36' 15.0
0	6	13 40.3	13 9.77	9 8 48.9	20 13' 1.1
9	4	13.5	14 13.50	9 11' 6.5	20 10' 43.5
9	6	41.6	14 11.12	9 22' 13.6	19 59' 36.4
1	7	3.0	14 22.53	9 27' 31.5	19 54' 18.5
8	6	52.3	15 21.82	9 22' 52.1	19 58' 57.9
8	7	7 :	15 27	9 35' 13.7	19 46' 36.3
1	4	54.3	16 54.30	9 32' 21.6	19 49' 28.4
1	6	23.6	16 53.23	9 57' 54.8	19 23' 55.2
9	4	35.2	18 35.20	10 28' 51.9	18 52' 58.1
1	4	28.0	19 28.00	9 21' 52.0	19 59' 58.0

*Hülftafel zur Reduction auf den mittlern
Ort 1850 Januar 0 D = - 20°.*

T.	k	k'	d	d'
^u				
3 40' + 10.01	-1	-2	+ 0.7	0.0 + 15.2
50 + 10.00	-1	-2	+ 0.7	0.0 + 15.3
4 0' + 9.99	-1	-2	+ 0.7	-0.1 + 15.3
10 + 9.98	-1	-2	+ 0.6	0.0 + 15.3
20 + 9.97		-2	+ 0.6	+ 15.3

79. Zeit unsicher; 2 Sterne 7^m. gehn vorher.

80 Fad. 7. 35'' 7

89 " 2. 30.4

91 " 7. 37.5

100 " 4. 34.5

104. Zeit unsicher.

108. vielleicht Fad. 6 und dann T. 14' 32'' 54

113 Fad. 3. 14.5 unsicher und daher ausgeschlossen.

No.	Gr.	Fad.	Beob. Zeit.	T.	Microsc. I	Südl. Declin.
115	8.9	1	0.4	4 20' 41.19	8 39' 9.4	20 42' 40.6
116	9.0	5	20 58.5	20 38.35	10 6 57.1	19 14 52.9
117	8	2	51.6	22 21.80	10 33 5.0	18 48 45.0
118	8.9	3	33.7	22 53.95	10 17 53.0	19 3 57.0
119	8.9	3	24 7.2	24 27.54	9 33 40.1	19 48 9.9
120	9	3	54.0	25 14.36	9 23 20.1	19 58 29.9
121	9	4	37.0	25 37.00	9 11 0.0	20 10 50.0
122	8.9	5	28.6	26 8.37	9 26 14.8	19 55 35.2
123	9	5	58.4	26 38.15	9 16 59.0	20 4 51.0
124	9	4	19.5	27 19.50	9 13 17.3	20 8 32.7
125	6.7	3	56.2	28 16.60	9 7 31.4	20 14 18.6
126	8.9	3	19.7	28 40.11	8 59 30.3	20 22 19.7
127	8.9	3	47.1	29 7.51	9 2 18.6	20 19 31.4
128	8	4	11.0	29 11.00	8 52 48.3	20 29 1.7
129	9	1	34.4	30 15.06	8 57 24.5	20 24 25.5
130	9	1	10.4	30 51.18	8 51 49.1	20 30 0.9
131	7	2	48.8	31 19.42	8 22 27.1	20 59 22.9
132	9	3	31 11.5	31 32.02	8 13 19.5	21 8 30.5
133	9.0	4	33.6	32 33.60	8 57 35.7	20 24 14.3
134	9.0	4	7.5	33 7.50	9 0 7.1	20 21 42.9
135	9.0	7	45.3	33 4.76	9 10 29.0	20 11 21.0
136	4	6	13.4	33 42.92	9 24 1.8	19 57 48.2
137	9.0	7	46.3	34 5.81	9 20 58.0	20 0 52.0
138	9	2	41.0	36 11.43	9 17 18.6	20 4 31.4
139	9	5	36 27.5	36 7.21	8 56 0.9	20 25 49.1
140	7.8	4	6.6	37 6.60	8 43 47.2	20 38 2.8
141	7.8	1	34.2	38 14.95	8 48 38.1	20 33 11.9
142	8	5	38 35.3	38 14.99	8 48 41.6	20 33 8.4
1	8.9	5	29 21.6	0 29 1.53	0 43 23.5	18 38 6.5
2	8.9	4	10.0	30 10.00	1 51 49.1	17 29 40.9
3	9	2	39.7	31 9.68	1 47 17.8	17 34 12.2
4	7	5	33 6.2	32 46.28	2 1 10.0	17 20 20.0
5	9.0	3	6.4	34 26.19	0 47 54.2	18 33 35.8
6	9	6	36 24.6	34 54.56	1 49 59.1	17 31 30.9
7	3	4	52.8	35 52.86	0 33 5.2	18 48 24.8
8	7	1	37 21.2	38 1.15	2 6 50.8	17 14 39.2
9	7.8	3	58.4	38 18.46	1 53 4.0	17 28 26.0
10	8.9	7	39 22.0	38 41.98	1 19 48.1	18 1 41.9
11	8	4	41 4.6	41 4.60	0 59 43.0	18 21 47.0
12	9	7	42 57.7	42 17.91	2 22 29.7	16 59 0.3
13	8	7	18 :	42 38	2 39 40.8	16 41 49.2
14	8	4	45 30.4	45 30.40	0 53 37.9	18 27 52.1
15	9	5	46 50.5	46 30.40	0 31 11.1	18 50 18.9
16	8	4	28.6	47 28.60	1 6 11.4	18 15 18.6
17	8	4	13.1	48 13.10	1 14 17.8	18 7 12.2
18	9	7	51.6	48 11.78	2 10 42.2	17 10 47.8
19	9	3	19.2	49 39.09	2 32 19.3	16 49 10.7
20	9	1	33.6	51 13.62	1 3 51.3	18 17 38.7
21	8.9	2	52 0.2	52 30.17	1 54 30.5	17 26 59.5
22	8.9	3	35.3	52 55.51	1 28 23.8	17 53 6.2
23	9	5	18.6	52 58.61	1 27 39.9	17 53 50.1
24	7.8	7	43 :	53 3	0 26 0.4	18 55 29.6
25	6	7	54 42.0	54 2.20	2 17 16.0	17 4 14.0
26	8.9	7	32.6	54 52.82	2 24 35.5	16 56 54.5
27	9	4	57 14.5	57 14.50	1 4 54.9	18 16 35.1

Hülftafel zur Reduction auf den mittl. Ort 1850 Januar 0 D = - 20°.

T.	k	k'	d
4 20' + 9.97	-1	-2	+ 0.6
30 + 9.96	0	-2	+ 0.6
40 + 9.96		-2	+ 0.6

129 Fad. 2. 44.5
130 „ 2. 20.7
136 „ 7. 23.4
141. 142. derselbe

Die Luft sehr klar, Anfangs unruhig, zuletzt b

ZONE 321. 1850 Dec., 4. W

NC. 0 19' - 2 44.33
Anf. 28 2.39 + 2.2 33.0 Ende 34.3
Microsc. I - 7".14
Decl. = Microsc. I - 19° 21' 30"
1° r + i + 13".140 Ar + 0".004 Ai - 0

Hülftafel zur Reduction auf den mittl. Ort 1850 Januar 0 D = - 18°.

T.	k	k'	d
0 30' + 10.76	-5	-1	- 7.6
40 + 10.71	-4	-1	- 7.4
50 + 10.67	-4	-1	- 7.1
1 0 + 10.63		-1	- 6.9

6. Die Zeitminute ist offenbar verlesen, und 35 heißen, wie Z. 268 und die bekannt von N°. 7 = β Ceti zeigt; mit Berücksichtigung hiervon ist T berechnet.

7 Fad. 5. 13".0
19 „ 4. 39.0
20 „ 3. 53.3 Fäden 13".79 und 13".4
22 „ 4. 55.6
25. Zeit unsicher.

Wegen gar zu dunstiger und auch etwas hoher Luft geschlossen.

Nr.	Gr.	Fad.	Beob. Zeit.	T.	Microsc. I	Südl. Declin.
1	8.9	6	29 57.2	2 29 24.42	0 31 38.1	28 52 11.9
2	8.9	2	31 28.6	32 1.03	1 14 —	28 10 —
3	7.8	5	32 42.6	32 20.97	0 55 56.7	28 27 53.3
4	8	4	15.0	33 15.00	0 41 20.0	28 42 30.0
5	8	4	34 47.7	34 47.70	1 14 17.1	28 9 32.9
6	8.9	4	24.4	35 24.40	1 23 34.9	28 0 15.1
7	8.9	7	57.8	35 14.47	0 48 29.9	28 35 20.1
8	7	5	30.4	36 8.61	0 36 38.8	28 47 11.2
9	7.8	4	2.6	37 2.60	0 51 46.8	28 32 3.2
10	9	6	49.5	36 16.73	0 19 47.7	29 4 2.3
11	8	4	39 29.0	39 29.00	2 35 0.4	26 48 49.6
12	7	1	28.0	41 10.72	2 39 59.6	26 43 50.4
13	9	7	19.5	40 36.42	1 25 30.4	27 58 19.6
14	9	7	42 39.2	41 55.63	0 14 —	29 10 —
15	9	4	15.4	43 15.40	0 40 16.0	28 43 34.0
16	6	7	56.9	43 13.57	0 50 0.5	28 33 49.5
17	8.9	5	40.7	44 18.92	0 38 55.5	28 44 54.5
18	7	2	20.3	45 52.85	0 49 28.0	28 34 22.0
19	8.9	5	13.0	45 51.59	2 3 13.7	27 20 36.3
20	8	4	56.5	46 56.50	2 37 9.4	26 46 40.6
21	8.9	7	37.5	46 54.21	0 55 52.9	28 27 57.1
22	8.9	5	32.6	48 10.96	0 53 39.5	28 30 10.5
23	7.8	6	15.5	48 43.43	2 38 41.4	26 45 8.6
24	7	4	24.0	49 24.30	2 34 48.8	26 49 1.2
25	7.8	5	0.4	49 39.11	2 41 17.3	26 42 32.7
26	8.9	4	51 1.7	51 1.70	1 7 38.9	28 16 11.1
27	8.9	4	14.4	51 14.40	1 5 20.8	28 18 29.2
28	9	4	52.4	51 52.38	0 54 17.7	28 29 32.3
29	8	1	49.5	53 32.92	0 53 22.2	28 30 27.8
30	8	5	53 55.3	53 33.62	0 43 25.0	28 40 25.0
31	6	1	15.5	54 58.99	0 43 54.1	28 39 55.9
32	8	7	49.8	54 6.61	1 9 48.6	28 14 1.4
33	8.9	7	55 23.0	54 39.87	1 18 27.2	28 5 22.8
34	8.9	4	22.5	56 22.50	1 49 12.9	27 34 37.1
35	9	4	7.0	57 7.00	2 4 19.8	27 19 30.2
36	8.9	3	58 17.3	58 39.08	0 51 50.0	28 32 0.0
37	9	4	56.3	58 56.30	1 9 11.2	28 14 38.8
38	9	3	17.3	59 39.16	1 9 28.1	28 14 21.9
39	9	3	12.6	3 0 34.09	2 19 52.8	27 3 57.2
40	9	6	9.3	0 37.14	2 21 52.6	27 1 57.4
41	8.9	3	37.4	1 58.89	2 21 5.9	27 2 44.1
42	9	4	11.2	2 11.20	2 27 19.2	26 56 30.8
43	9	2	29.4	3 1.44	2 33 36.1	26 50 13.9
44	7.8	6	8.2	2 35.97	2 6 5.0	27 17 45.0
45	9	6	4 52.5	4 20.08	1 27 43.0	27 56 7.0
46	9	6	6 3.3	5 30.82	1 15 14.6	28 8 35.4
47	7	3	26.4	6 48.10	1 15 29.6	28 8 20.4
48	8	7	6.5	6 22.85	0 4 5.1	29 19 44.9
49	9	7	49.6	7 6.02	0 12 44.3	29 11 5.7
50	8	2	10.2	8 42.86	0 29 59.9	28 53 50.1
51	9	4	2.3	9 2.30	0 50 6.9	28 33 43.1
52	8	5	41.0	9 19.53	1 42 34.2	27 41 15.8
53	8.9	5	10 15.0	9 53.64	2 19 48.2	27 4 1.8
54	7.8	2	42.3	11 14.36	2 29 14.4	26 54 35.6
55	6.7	4	33.0	11 33.00	0 3 35.1	29 20 14.9

ZONE 322. 1850 Dec. 6. West.

NC. 2 14' - 2 47.71
 4 17' - 2 48.56
 Anf. 28 5.26 + 4.2 37.2
 3 27 34.4
 Ende 28 5.22 + 3.1 33.2
 Microsc. I - 2".99 u. - 4".43
 Decl. = Microsc. I - 29° 23' 50"
 3" r+i + 13".325 Δ 0".000 Δ - 0".002

Hülftafel zur Reduction auf den mittlern Ort 1850 Januar 0 D = - 28°.

T.	k	k'	d	d'
2 30+10.59	-3	-2	+ 1.6	-0.2
40+10.56	-3	-2	+ 1.4	-0.3
50+10.53	-3	-2	+ 1.1	-0.2
3 0+10.50	-3	-2	+ 0.9	-0.3
10+10.47	-2	-2	+ 0.6	-0.2
20+10.45	-2	-2	+ 0.4	+1.4

- 1 Fad. 7. 7.8
 8 " 6. 41.2
 10. Um zu entscheiden, ob der bei dem folgenden Sterne gefundene Fehler in der Zeitsecunde schon hier stattgefunden habe, ward der Stern 1851 Oct. 20. beobachtet. Diese Beob. zeigt, dass hier kein Fehler ist.
 11 Fad. 6. 0.7 giebt 28".60 und ist ausgeschlossen, weil er nur beobachtet ward, um einen Fehler von +2" zu constatiren, der bei Faden 4 gefunden ward.
 13. Zeit unsicher.
 14. Aus Vergleichung von Z. 335 No. 11 und zweier Beobachtungen 1851 Oct. 13. und 20. scheint ein Fehler in der Zeitsecunde zu folgen, so dass diese 40".2 und T. 41' 56".63 zu lesen wäre.
 17 Fad. 6. 51.5
 24 " 5. 45.6 Faden 4 ist unsicher beobachtet und deshalb ausgeschlossen.
 28 Fad. 5. 14.0
 30. Schon während der Beobachtung vermuthete ich, dass diese Beob. zu dem vorhergehenden Sterne gehöre; doch müsste man dann einen doppelten Fehler voraussetzen, und es wäre möglich, dass ich diesen Stern bei der Beobachtung von No. 29 übersehen hätte.
 31 Fad. 2. 26.4
 38 " 4. 39.3
 50 " 3. 21.0

No.	Gr.	Fad.	Beob. Zeit.	T.	Microsc. I	Südl. Declin.
56	8.9	4	13 31.9	3 13 31.90	0° 4' 50.5"	29° 18' 59.5"
57	8	5	54.4	13 32.57	0 0 38.0	29 23 12.0
58	8	1	15 29.9	16 13.02	1 37 5.0	27 46 45.0
59	8	3	16 0.7	16 22.34	1 33 20.0	27 50 30.0
60	7.8	4	34.6	46 34.60	2 42 51.2	26 40 58.8
61	7.8	3	3.3	17 24.64	2 38 16.8	26 45 33.2
62	7.8	3	1.5	17 22.98	2 38 16.3	26 45 33.7
63	8.9	5	26.2	18 4.92	2 42 10.0	26 41 40.0
64	9	3	56.6	19 18.05	2 32 19.8	26 51 30.2
65	8.9	3	38.6	20 0.17	1 52 51.6	27 30 58.4
66	9	5	29.3	20 7.85	1 50 49.4	27 33 0.6
67	8.9	5	3.5	20 42.07	1 57 31.6	27 26 18.4
68	8.9	5	34.2	21 12.67	1 27 21.5	27 56 28.5
69	9	3	21 54.5	22 16.21	1 14 44.2	28 9 5.8
70	9	5	22 55.6	22 34.05	1 20 8.6	28 3 41.4
71	9	7	33.5	22 49.96	0 19 15.0	29 4 35.0
72	7.8	6	45.0	24 12.43	0 57 31.9	28 26 18.1
73	7.8	7	13.5	24 30.74	2 15 18.7	27 8 31.3
74	9	5	26 27.6	26 6.20	2 7 44.3	27 16 5.7
75	9	6	28 23.0	27 50.76	1 10 30.2	28 13 19.8
76	9	4	29 58.1	29 58.10	1 0 54.1	28 22 55.9
77	8.9	4	34.5	30 34.50	0 46 59.2	28 36 50.8
78	9	2	22.0	31 54.52	1 24 56.1	27 58 53.9
79	8.9	3	11.4	32 32.94	2 5 13.3	27 18 36.7
80	8.9	4	7.0	33 7.00	1 32 34.0	27 51 16.0
81	9	7	32.4	32 49.24	1 12 52.2	28 10 57.8
82	7	3	3.9	34 25.68	0 56 48.9	28 27 1.1
83	9	4	55.0	34 55.00	0 59 43.3	28 24 6.7
84	9	6	44.7	35 12.02	0 38 42.0	28 45 8.0
85	9	6	32.7	35 59.99	0 31 36.6	28 52 13.4
86	7	2	4.5	37 37.16	0 18 2.8	29 5 47.2
87	8.9	3	18.3	38 39.99	1 19 0.1	28 4 49.9
88	8.9	4	46.6	38 46.60	1 9 20.2	28 14 29.8
89	7.8	5	19.3	38 57.69	1 3 29.6	28 20 20.4
90	8.9	4	19.5	40 19.50	2 18 9.5	27 5 40.5
91	9	5	54.8	40 33.42	2 15 20.6	27 8 29.4
92	8.9	2	13.4	41 45.53	2 10 59.6	27 12 50.4
93	7	5	52.5	41 31.20	2 35 47.2	26 48 2.8
94	8	2	35.9	43 8.16	1 47 37.9	27 36 12.1
95	9	4	35.0	43 35.00	1 26 43.0	27 57 7.0
96	8.9	7	44 51.3	44 8.57	2 19 57.9	27 3 52.1
97	8	7	46 16.7	45 33.08	0 7 10.8	29 16 39.2
98	7	1	11.7	47 55.04	1 16 57.7	28 6 52.3
99	8.9	3	59.5	48 20.99	2 21 4.0	27 2 46.0
100	8	2	23.7	48 55.83	2 24 17.2	26 59 32.8
101	8.9	7	37.5	48 54.34	1 13 41.9	28 10 8.1
102	9	5	25.6	50 4.10	0 57 38.0	28 26 12.0
103	8.9	4	32.0	51 32.00	1 5 35.0	28 18 15.0
104	8.9	3	52 48.0	53 10.11	0 12 10.0	29 11 40.0
105	8.9	3	42.0	54 3.60	1 16 58.5	28 6 51.5
106	9	1	35.3	55 18.57	1 15 40.0	28 8 10.0
107	9	5	10.5	54 48.95	1 33 53.3	27 49 56.7
108	7	2	49.0	56 21.36	1 28 27.0	27 55 23.0
109	7.8	5	27.4	56 5.66	0 27 16.4	28 56 33.6
110	9	7	2.0	56 18.46	0 19 7.0	29 4 43.0

Hülftafel zur Reduction auf den mittl. Ort 1850 Januar 0 D = -28°.

T.	k	k'	d
3 10+10.47	-2	-2	+ 0.6 -0.2 +
20+10.45	-2	-2	+ 0.4 -0.3 +
30+10.43	-2	-2	+ 0.1 -0.2 +
40+10.41	-2	-2	- 0.1 -0.3 +
50+10.39	-2	-2	- 0.4 -0.3 +
4 0+10.37	-1	-1	- 0.7 -0.2 +
10+10.36	-1	-1	- 0.9 +

58 Fad. 2. 40.7

61 " 4. 24.5 Fad. 5. 46.0

62 " 4. 23.0 " 5. 44.3

75 " 7. 34.2 " 6. im Original 3 Fäden 50.50 und 51.02; vielleicht wär besser, Fad. 6 ganz auszuschliessen.

78 Fad. 3. 33.0

82 " 4. 25.7

86 " 3. 15.2

92 " 3. 24.0

98 " 2. 22.7

100 " 3. 34.4

102 " 7. 47.5

104 " 4. 10.3 Fad. 3 giebt 9".92

105 " 4. 3.5

107 " 6. 21.3

110. Zeit unsicher.

Nr.	Gr.	Fad.	Beob. Zeit.	T.	Microsc. I	Südl. Declin.	
111	8	3	58' 6.6	3 58 28.43	0 38 32.8	28 45 17.2	114 Fad. 6. 2.3
112	9	3	38.3	59 0.13	0 38 29.5	28 45 20.5	115 „ 4. 1.6 Zone 350 No. 4 und eine Beob.
113	6	4	16.2	59 16.20	1 19 55.3	28 3 54.7	1851 Febr. 17. zeigen, dass statt Fad. 3 und
114	8.9	5	51.6	59 30.18	2 19 28.1	27 4 21.9	4 zu lesen sei Fad. 4 und 5. Danach ist T
115	8	3	40.0	4 0 40.07	1 51 16.2	27 32 33.8	berechnet.
116	8	5	23.4	1 1.89	1 34 38.1	27 49 11.9	118 Fad. 6. 16.8
117	8.9	7	2 16.0	1 32.92	1 25 48.7	27 58 1.3	119 „ 7. 47.4
118	8	5	3 5.9	2 44.02	0 6 2.4	29 17 47.6	Sehr gute Luft.
119	8	6	3 36.5	3 3.76	0 13 12.2	29 10 37.8	
1	8.9	6	38 14.7	4 37 42.77	3 11 11.7	26 11 58.3	ZONE 323. 1850 Dec. 6. West.
2	8	5	39 21.4	39 0.18	3 4 11.3	26 18 58.7	NC. 4 17' - 2' 48.56
3	9	5	14.0	39 52.74	2 50 37.0	26 32 33.0	6 51 - 2 52.06
4	7.8	4	31.9	40 31.92	2 48 49.0	26 34 21.0	Anf. 28 5.10 + 2.8 31.9
5	9	4	24.1	41 24.10	2 54 12.0	26 28 58.0	Ende 4.89 + 2.2 30.9
6	9	5	42 35.5	42 14.48	4 10 24.5	25 12 45.5	Die Temperatur war zwischen beiden Ablesungen
7	9	4	43 52.3	43 52.30	3 14 34.1	26 8 35.9	um 0''.5 F. niedriger gewesen.
8	9	5	31.7	44 10.49	3 5 53.1	26 17 16.9	Microsc. I - 3''.71 u. - 2''.76
9	8	5	57.4	44 36.17	3 0 7.9	26 23 2.1	Decl. = Microsc. I - 29° 23' 10''
10	7.8	6	32.3	45 0.40	3 17 49.3	26 5 20.7	5'' r+i + 13''.324 Δr 0''.000 Δi - 0''.001
11	7.8	2	51.0	46 22.82	3 21 37.6	26 1 32.4	
12	8	4	29.4	46 29.40	3 46 48.1	25 36 21.9	
13	8.9	4	11.9	47 11.90	3 58 52.6	25 24 17.4	Hälftafel zur Reduction auf den mittlern
14	8.9	2	58.8	48 30.53	3 28 12.9	25 54 57.1	Ort 1850 Januar 0 D = - 26°.
15	7	2	40.0	49 11.80	3 24 49.1	25 58 20.9	
16	9	7	48.6	49 6.10	2 55 35.7	26 27 34.3	
17	9	5	1.7	50 40.37	2 28 44.6	26 54 25.4	
18	8.9	4	56.4	51 56.40	2 46 48.7	26 36 21.3	
19	9	6	37.3	52 5.38	3 12 3.2	26 11 6.8	
20	9	3	3.7	53 25.01	3 17 29.0	26 5 41.0	
21	8	5	37.5	53 16.41	3 47 8.4	25 36 1.6	
22	8.9	2	54 43.6	55 15.45	3 12 52.1	26 10 17.9	
23	5	2	21.5	55 53.46	2 53 52.5	26 29 17.5	
24	8.9	2	56.7	56 28.74	2 32 26.5	26 50 43.5	
25	9	3	32.6	56 54.19	2 26 3.1	26 57 6.9	
26	7.8	4	37.6	57 37.60	3 16 51.2	26 6 18.8	
27	9	4	8.8	58 8.85	3 8 11.1	26 14 58.9	
28	6	3	39.1	59 0.53	3 1 45.2	26 21 24.8	
29	9	5	33.2	59 11.98	3 3 27.0	26 19 43.0	
30	9	4	3.7	5 0 3.70	2 58 18.0	26 24 52.0	
31	8	6	27.7	4 59 55.78	2 41 45.1	26 41 24.9	
32	9	4	1 20.6	5 1 20.60	2 24 7.1	26 59 2.9	
33	8	4	1 47.8	1 47.80	2 23 47.2	26 59 22.8	
34	9	5	28.5	2 7.16	2 27 6.4	26 56 3.6	
35	8.9	7	14.5	2 32.27	3 41 7.3	25 42 2.7	
36	9	6	40.3	3 8.54	3 48 17.7	25 34 52.3	
37	8	7	47.3	3 5.17	3 58 46.6	25 24 23.4	
38	9	7	41.4	3 59.25	3 54 37.1	25 28 32.9	
39	9	6	23.7	4 51.93	3 46 0.3	25 37 9.7	
40	8.9	3	49.6	6 10.81	3 49 31.8	25 33 38.2	
41	8.9	5	26.7	6 5.70	4 16 36.0	25 6 34.0	
42	8.9	2	44.0	7 15.57	4 23 10.0	25 0 0.0	
43	9	7	27.0	6 45.10	4 37 57.0	24 45 13.0	
44	7	4	8 15.2	8 15.28	3 0 19.9	26 22 50.1	
45	9	4	30.3	9 30.30	2 59 15.3	26 23 54.7	
46	8	6	58.0	9 25.96	2 46 34.1	26 36 35.9	

114 Fad. 6. 2.3
115 „ 4. 1.6 Zone 350 No. 4 und eine Beob.
1851 Febr. 17. zeigen, dass statt Fad. 3 und
4 zu lesen sei Fad. 4 und 5. Danach ist T
berechnet.
118 Fad. 6. 16.8
119 „ 7. 47.4
Sehr gute Luft.

ZONE 323. 1850 Dec. 6. West.

NC. 4 17' - 2' 48.56
6 51 - 2 52.06
Anf. 28 5.10 + 2.8 31.9
Ende 4.89 + 2.2 30.9
Die Temperatur war zwischen beiden Ablesungen
um 0''.5 F. niedriger gewesen.
Microsc. I - 3''.71 u. - 2''.76
Decl. = Microsc. I - 29° 23' 10''
5'' r+i + 13''.324 Δr 0''.000 Δi - 0''.001

**Hälftafel zur Reduction auf den mittlern
Ort 1850 Januar 0 D = - 26°.**

T.	k	k'	d	d'
u				
4 30+10.31	-1	-2	+ 1.5	0.0
40+10.30	0	-1	+ 1.5	+0.1
50+10.30	-1	-1	+ 1.6	+0.1
5 0+10.29	0	-1	+ 1.7	+0.1
10+10.29		-1	+ 1.8	

4 Fad. 5. 53.2
14 „ 3. 9.2
23 „ 3. 32.1
25 „ 4. 54.3
27 „ 5. 30.1
28 „ 4. 0.6
31 „ 7. 38.5
37. Zeit unsicher.
42 Fad. 3. 54.5
43. Zeit unsicher.
44 Fad. 5. 36.6

N ^o .	Gr.	Fad.	Beob. Zeit.	T.	Microsc. I	Südl. Declin.
				^u	^o	^o
47	8.9	4	28.5	5 10' 28.50	2 52' 59.0	26 30' 11.0
48	9	6	46.2	10 14.22	2 59 11.1	26 23 58.9
49	8	4	26.7	11 26.70	2 5 42.1	27 17 27.9
50	9	4	7.3	12 7.25	2 36 46.0	26 46 24.0
51	9	5	57.2	12 35.93	2 47 12.6	26 35 57.4
52	9	4	25.3	13 25.30	3 13 23.0	26 9 47.0
53	7	5	51.7	13 30.52	3 17 36.0	26 5 34.0
54	8.9	7	20.0	13 37.74	3 36 15.6	25 46 54.4
55	8.9	5	55.8	14 34.70	3 41 31.0	25 41 39.0
56	9	5	48.3	15 27.24	3 56 55.1	25 26 14.9
57	7.8	5	37.0	16 15.89	3 39 16.4	25 43 53.6
58	9	5	17.3	16 56.22	3 50 57.9	25 32 12.1
59	neb.	6	18 20.5	17 48.98	4 42 45.2	24 40 24.8
60	8	4	9.5	19 9.50	4 34 17.3	24 48 52.7
61	9	5	40.2	19 19.22	4 26 41.0	24 56 29.0
62	7.8	2	10.4	20 41.95	4 20 41.9	25 2 28.1
63	9	2	51.3	21 22.82	4 26 20.4	24 56 49.6
64	9	6	22.8	20 51.24	4 35 7.4	24 48 2.6
65	8	1	22 17.3	22 59.66	3 58 11.3	25 24 58.7
66	8	2	11.9	23 43.79	3 5 19.7	26 17 50.3
67	8	5	24 4.0	23 42.77	2 58 36.4	26 24 33.6
68	8	7	25.5	23 43.06	3 5 22.0	26 17 48.0
69	9	5	2.1	24 40.89	3 5 40.0	26 17 30.0
70	9	5	41.6	25 20.47	3 32 55.6	25 50 14.4
71	9	4	3.6	26 3.60	3 58 25.0	25 24 45.0
72	6	3	23.6	26 44.80	3 54 24.5	25 28 45.5
73	8.9	1	51.4	27 33.65	3 57 58.6	25 25 11.4
74	8.9	2	44.0	28 15.72	3 44 5.4	25 39 4.6
75	9	6	31.5	27 59.29	2 11 7.9	27 12 2.1
76	8.9	2	53.4	29 25.56	2 7 30.1	27 15 39.9
77	8	5	30 42.0	30 20.85	3 27 29.9	25 55 40.1
78	9	4	31 44.3	31 44.30	4 21 12.0	25 1 58.0
79	7.8	1	10.2	32 52.35	4 14 47.9	25 8 22.1
80	8	4	44.6	32 44.60	4 13 29.6	25 9 40.4
81	7.8	3	55.5	33 16.65	4 8 55.7	25 14 14.3
82	7	5	28.0	33 6.96	4 3 11.1	25 19 58.9
83	9	3	1.2	34 22.41	4 19 34.0	25 3 36.0
84	8.9	2	50.4	35 21.92	4 28 11.0	24 54 59.0
85	9	5	32.4	35 11.38	4 8 47.6	25 14 22.4
86	9	7	36 29.6	35 47.60	4 19 45.2	25 3 24.8
87	9	7	45.7	36 3.71	4 21 31.0	25 1 39.0
88	9	5	37 54.3	37 33.31	4 20 39.1	25 2 30.9
89	9	6	55.5	38 23.54	3 3 25.0	26 19 45.0
90	8.9	7	10.6	38 28.18	3 10 12.2	26 12 57.8
91	8.9	2	44.4	40 16.32	2 57 4.1	26 26 5.9
92	8.9	5	15.2	39 54.97	2 42 16.2	26 40 53.8
93	8	7	58.7	40 16.21	2 57 2.7	26 26 7.3
94	7.8	6	28.5	40 56.54	3 4 19.1	26 18 50.9
95	8	4	4.2	42 4.20	3 11 56.0	26 11 14.0
96	9	2	32.2	43 4.08	3 6 36.8	26 16 33.2
97	7.8	2	52.0	43 23.94	2 59 33.2	26 23 36.8
98	9	5	25.3	43 4.09	3 6 41.3	26 16 28.7
99	8	4	59.3	43 59.30	3 33 19.7	25 49 50.3
100	8.9	4	31.8	43 31.80	3 36 —	25 47 —
101	8.9	5	6.5	44 45.35	3 26 57.1	25 56 12.9

Hülftafel zur Reduction auf den mittlere Ort 1850 Januar 0 D = - 26°.

T.	k	k'	d	
^u				
5 10' 10.29	0	-1	+ 1.8	0.0 +
20+10.29	0	-1	+ 1.8	+0.1 +
30+10.29	0	-1	+ 1.9	0.0 +
40+10.29	0	-1	+ 1.9	+0.1 +
50+10.29	0	-1	+ 2.0	+ +

50 Fad. 5. 28.5

59. Nebula.

65 Fad. 3. 38.6

66. 68. derselbe.

83 Fad. 4. 22.5

92 „ 9. 27.0 Fad. 7. 37.7; Fad. 5 is + 1" corrigirt.

91. 93. derselbe.

97 Fad. 3. 2.6

96. 98. derselbe.

Nº.	Gr.	Fad.	Beob. Zeit.	T.	Microsc. I	Südl. Declin.
102	8.9	6	25.7	5 44' 53.90	3 38' 47.7	25 44' 22.3
103	6.7	5	46 12.8	45 51.64	3 24' 2.5	25 59' 7.5
104	7.8	7	54.0	46 11.55	3 3' 24.7	26 19' 45.3
105	9	7	6 :	46 24	3 6' 15.9	26 16' 54.1
106	9	5	50.4	47 29.19	3 6' 16.1	26 16' 53.9
107	9	6	15.6	47 43.64	3 4' 5.6	26 19' 4.4
108	7	7	0.8	48 18.21	2 41' 52.3	26 41' 17.7
109	9	5	19.6	48 58.29	2 32' 27.9	26 50' 42.1
110	8.9	2	51.2	50 23.23	2 36' 34.8	26 46' 35.2
111	9	7	38.3	49 55.66	2 32' 35.8	26 50' 34.2
112	8	1	0.5	51 43.27	2 32' 5.0	26 51' 5.0
113	8.9	5	32.6	51 11.19	2 2' 30.4	27 20' 39.6
114	8.9	6	15.0	51 42.89	2 32' 7.0	26 51' 3.0
115	8	6	3.9	52 31.73	2 19' 12.9	27 3' 57.1
116	8	2	27.0	53 59.10	2 18' 58.5	27 4' 11.5
117	8.9	4	57.6	53 57.60	3 55' 45.6	25 27' 24.4
118	8.9	5	29.6	54 8.56	4 2' 27.1	25 20' 42.9
119	8.9	5	53.5	54 32.42	3 50' 10.5	25 32' 59.5
120	5	5	18.3	54 57.24	3 57' 34.1	25 25' 35.9
121	9	6	38.1	55 6.41	4 4' 25.6	25 18' 44.4
122	8	4	12.0	56 12.00	4 8' 39.7	25 14' 30.3
123	8.9	5	41.0	56 20.01	4 19' 55.0	25 3' 15.0
124	8.9	3	9.9	57 31.04	4 14' 27.8	25 8' 42.2
125	8.9	3	29.5	57 50.63	4 17' 27.9	25 5' 42.1
126	8.9	6	4.4	57 32.73	4 8' 31.1	25 14' 38.9
127	8	3	19.2	58 40.38	4 6' 40.9	25 16' 29.1
128	8.9	4	58.0	58 57.91	4 21' 48.4	25 1' 21.6
129	8	4	43.6	59 43.60	4 28' 9.8	24 55' 0.2
130	6.7	3	5.4	6 0 26.50	4 27' 54.7	24 55' 15.3
131	9	3	22.8	0 43.70	4 29' 2.4	24 54' 7.6
132	8.9	4	1 10.6	1 10.60	3 48' 22.2	25 34' 47.8
133	7.8	4	52.5	1 52.50	3 59' 1.0	25 24' 9.0
134	9	5	25.3	2 4.10	4 8' 50.6	25 14' 19.4
135	8	3	54.6	3 15.76	4 7' 42.9	25 15' 27.1
136	9	2	16.2	3 47.81	4 6' 55.5	25 16' 14.5
137	7	5	2.3	3 41.21	3 46' 54.2	25 36' 15.8
138	8	4	6.7	4 6.70	3 46' 42.9	25 36' 27.1
139	7.8	6	35.6	4 3.87	3 55' 35.1	25 27' 34.9
140	8.9	1	5.6	5 47.94	3 41' 52.1	25 41' 17.9
141	7	3	33.0	5 54.30	3 22' 8.2	26 1' 1.8
142	9	5	33.0	6 11.82	3 17' 45.0	26 5' 25.0
143	7.8	5	7.2	6 46.05	3 25' 50.0	25 57' 20.0
144	8.9	5	52.2	7 31.08	3 34' 43.1	25 48' 26.9
145	8	3	16.7	8 37.96	3 33' 9.8	25 50' 0.2
146	8.9	6	48.3	8 16.53	3 44' 34.7	25 38' 35.3
147	8.9	5	35.0	9 13.99	4 13' 59.5	25 9' 10.5
148	8.9	5	4.0	9 42.98	4 8' 22.3	25 14' 47.7
149	8.9	7	25.4	9 42.43	4 25' 21.1	24 57' 48.9
150	7.8	5	51.4	10 30.43	4 28' 59.3	24 54' 10.7
151	6.7	1	11 55.5	12 37.56	4 25' 31.9	24 57' 38.1
152	7	2	25.5	12 57.02	4 27' 54.0	24 55' 16.0
153	8	3	36.4	12 57.50	4 28' 54.1	24 54' 15.9
154	7	3	13 54.7	14 15.81	4 22' 17.9	25 0' 52.1
155	9	1	33.5	15 15.67	4 10' 28.1	25 12' 41.9
156	7	2	51.5	15 23.14	4 5' 57.7	25 17' 12.3

Hülftafel zur Reduction auf den mittlern Ort 1850 Januar 0 D = - 26°.

T.	k	k'	d	d'
5 40' + 10.29	0	-1	+ 1.9	+ 0.1
50 + 10.29	+1	-1	+ 2.0	0.0
6 0 + 10.30	+1	-1	+ 2.0	0.0
10 + 10.31	+1	-1	+ 2.0	0.0
20 + 10.32		-1	+ 2.0	+ 31.4

108. Ich vermute nach LC. N^o. 2048, dass statt des 7^{ten} der 6^{te} Faden zu lesen sei, und dann T. 48' 28".74.

110 Fad. 3. 1".8

112. 114. derselbe.

127 Fad. 4. 40.4

128 " 5. 18.8 dupl. II. Cl. praec.; seq. 8.9^m.

131 " 4. 43.5 Fad. 3 giebt 43".90

134 " 6. 35.6 Fäden 4".28 und 3".93

141 " 4. 54.3

148. Faden zweifeihalt; wäre es Fad. 6 gewesen, so würde T sein 32.33.

150 Fad. 6. 2.0

151 " 2. 6.0

156 " 3. 2.0

Nº.	Gr.	Fad.	Beob. Zeit.	T.	Microsc. I	Südl. Declin.
157	7	4	45.6	6 15 45.60	3 5 11.6	26 17 58.4
158	7	4	3.0	16 3.00	3 11 49.1	26 11 20.9
159	8	4	40.2	16 40.20	3 8 32.0	26 14 38.0
160	7	3	51.8	17 13.14	3 4 53.4	26 18 16.6
161	9	3	14.5	17 36.08	2 58 47.8	26 24 22.2
162	6.7	4	0.7	18 0.70	3 1 9.8	26 22 0.2
163	9	7	37.0	17 54.46	2 49 38.0	26 33 32.0
164	9	3	3.0	19 24.41	2 42 25.1	26 40 44.9
165	8.9	7	19 52.3	19 9.67	2 34 30.5	26 48 39.5
166	8	4	35.6	20 35.60	2 42 54.0	26 40 16.0
167	9	7	1.3	20 18.69	2 39 31.3	26 43 38.7
168	8.9	5	54.7	21 33.41	2 38 54.0	26 44 16.0
169	7.8	5	17.5	21 56.15	2 22 20.5	27 0 49.5
170	8	4	23 6.0	23 6.08	2 58 55.8	26 24 14.2
171	9	3	53.2	24 14.56	2 58 58.1	26 24 11.9
172	9	5	41.8	24 20.56	2 55 39.2	26 27 30.8
173	9	4	3.9	25 3.90	2 57 19.8	26 25 50.2
174	9	6	33.7	25 1.72	2 58 22.2	26 24 47.8
175	8.9	6	59.5	25 27.57	3 9 43.5	26 13 26.5
176	8.9	3	26.6	26 47.91	3 17 32.0	26 5 38.0
177	9	5	13.2	26 52.24	4 19 22.1	25 3 47.9
178	8.9	5	27.8	28 6.74	3 57 —	25 26 —
179	7	5	18.7	28 57.59	3 39 37.9	25 43 32.1
180	7	5	44.3	29 23.15	3 27 42.2	25 55 27.8
181	7.8	4	2.2	30 2.20	3 22 55.0	26 0 15.0
182	7	3	28.0	30 49.27	3 29 28.1	25 53 41.9
183	7	7	49.4	30 6.92	2 58 29.1	26 24 40.9
184	8.9	7	3.5	30 20.99	2 54 18.5	26 28 51.5
185	9	5	46.4	31 25.13	2 46 17.8	26 36 52.2
186	9	6	22.4	31 50.28	2 29 19.0	26 53 51.0
187	7	4	47.5	32 47.50	2 24 5.4	26 59 4.6
188	8.9	5	11.6	32 50.29	2 32 53.6	26 50 16.4
1	8	7	17 10.4	0 16 28.67	5 8 42.9	24 13 57.1
2	8.9	7	46.6	17 4.86	5 5 42.0	24 16 58.0
3	8.9	4	19 15.0	19 15.00	5 15 15.8	24 7 24.2
4	9	5	52.8	19 32.05	5 48 39.1	23 34 0.9
5	8	4	39.5	20 39.50	5 41 29.9	23 41 10.1
6	9	7	21 56.5	21 14.61	4 39 33.9	24 43 6.1
7	5	5	23 2.0	22 41.13	4 45 —	24 37 —
8	9	4	25 5.6	25 5.60	4 14 48.0	25 7 52.0
9	9	4	59.4	25 59.42	5 9 10.3	24 13 29.7
10	8.9	3	59.5	27 20.55	5 4 4.0	24 18 36.0
11	6.7	3	6.6	28 27.49	5 42 34.9	23 40 5.1
12	8	5	29 29.0	29 7.96	4 3 34.1	25 19 5.9
13	8	5	33.0	29 12.32	4 4 11.0	25 18 29.0
14	7.8	3	37.2	30 58.31	4 57 20.9	24 25 19.1
15	9	6	32 36.5	32 4.89	4 22 18.4	25 0 21.6
16	7	5	8.9	32 48.04	4 45 53.1	24 36 46.9
17	8.9	5	46.5	33 25.62	5 24 16.8	23 58 23.2
18	9	4	34.5	34 34.50	5 33 37.1	23 49 2.9
19	9	6	15.7	34 44.32	5 16 17.9	24 6 22.1
20	8.9	4	51.3	35 51.30	5 54 59.4	23 27 40.6
21	8.9	4	38.5	36 38.62	6 28 36.6	22 54 3.4
22	5.6	4	7.6	37 7.60	6 32 31.0	22 50 9.0
23	9	3	13.6	38 34.40	6 18 37.4	23 4 2.6

*Hülftafel zur Reduction auf den mittlern
Ort 1850 Januar 0 D = - 26°.*

T.	k	k'	d	d'
6 10' + 10.31	+1	-1	+ 2.0	0.0
20 + 10.32	+1	-1	+ 2.0	+0.1
30 + 10.33	+2	-1	+ 2.1	0.0
40 + 10.35		-1	+ 2.1	+31.5

158 Fad. 5. 24.2
 161 „ 4. 36.3 Fad. 3 giebt 35''86
 164 „ 4. 24.4
 167. dupl. II. Cl. praec.; seq. 9^m.
 170 Fad. 5. 27.4
 177 „ 6. 23.9

Ausgezeichnete Luft.

ZONE 324. 1850 Dec. 10. West.

*Hülftafel zur Reduction auf den mittlern
Ort 1850 Januar 0 D = - 24°.*

T.	k	k'	d	d'
0 10' + 11.33	-5	-1	+ 0.8	+0.1
20 + 11.28	-4	-1	+ 0.9	+0.1
30 + 11.24	-5	-1	+ 1.0	+0.1
40 + 11.19		-1	+ 1.1	+23.4

7 Fad. 6. 12.7
 9 „ 5. 20.3
 10 „ 4. 20.6
 13 „ 6. 44.0; Fad. 5 giebt 11''96 und ist
 als wahrscheinlich unsicher ausgeschlossen.
 14 Fad. 4. 58.4
 16 „ 6. 19.6
 17 „ 6. 56.9
 19 „ 7. 26.0
 21 „ 5. 59.4

Gr.	Fad.	Beob. Zeit.	T.	Microsc. I	Südl. Declin.
7	4	33.0	0 38' 33.04	6 1' 56.1	23 20' 43.9
9	5	44.3	39 23.55	5 48 1.4	23 34 38.6
9	6	31.7	40 0.26	5 1 53.8	24 20 46.2
9	4	10.5	41 10.50	4 25 15.8	24 57 24.2
7	3	18.0	41 38.95	4 25 41.7	24 56 58.3
9	5	47.3	41 26.33	2 26 41.7	24 55 58.3
9	4	43 10.0	43 10.00	4 53 39.8	24 29 0.2
3	5	18.5	43 57.59	4 58 56.0	24 23 44.0
8	7	21.0	44 39.53	5 57 2.0	23 25 38.0
9	5	46 19.2	45 58.54	6 21 28.1	23 1 11.9
9	7	47 52.5	47 10.61	4 38 49.7	24 43 50.3
9	4	49 5.5	49 5.50	4 54 23.6	24 28 16.4
9	4	53.0	49 53.00	6 8 25.1	23 14 14.9
9	4	27.9	50 27.90	5 58 5.0	23 24 35.0
9	5	52 44.5	52 23.48	4 8 10.9	25 14 29.1
9	4	22.5	53 22.50	4 9 3.1	25 13 36.9
9	7	58.5	53 16.49	4 18 3.2	25 4 36.8
3	6	50.5	54 19.09	5 11 2.9	24 11 37.1
9	3	22.0	55 42.91	5 23 26.8	23 59 13.2
9	2	37.0	57 8.13	6 3 52.2	23 18 47.8
3	3	57 57.2	58 18.21	4 58 47.9	24 23 52.1
7	4	40.5	58 40.50	4 35 6.1	24 47 33.9
7	1	2.5	59 44.71	4 34 56.6	24 47 43.4
9	6	2.5	59 31.13	5 19 38.4	24 3 1.6
9	7	4 43.0	1 4 1.50	5 50 55.0	23 31 45.0
9	7	27.2	4 45.72	5 54 33.9	23 28 6.1
9	5	6 47.5	6 26.51	4 19 38.6	25 3 1.4
9	5	8 24.3	8 3.36	4 38 0.9	24 44 39.1
8	4	30.1	8 30.08	4 36 47.9	24 45 52.1
3	7	13.0	8 31.32	5 16 6.1	24 6 33.9
9	6	11.5	9 40.13	5 20 45.9	24 1 54.1
8	3	40.4	11 1.31	5 34 25.0	23 48 15.0
9	5	35.7	11 14.94	5 45 51.6	23 36 48.4
9	7	12 39.3	11 57.68	5 28 46.9	23 53 53.1
3	2	13 52.6	14 24.12	4 27 51.8	24 54 48.2
7	2	15 43.0	16 14.58	4 14 39.4	25 8 0.6
9	4	26.4	16 26.40	4 32 14.6	24 50 25.4
9	5	5.0	16 44.25	5 49 16.5	23 33 23.5
9	7	18 39.5	17 57.73	5 1 38.1	24 21 1.9
8	7	24.5	18 42.99	5 47 44.1	23 34 55.9
7	5	20 21.8	20 1.12	6 15 34.0	23 7 6.0
7	4	40.5	20 40.50	6 15 35.2	23 7 4.8
7	7	21 18.4	20 37.12	6 33 22.7	22 49 17.3
3	2	22 6.3	22 37.42	6 4 32.5	23 18 7.5
9	2	8.3	23 39.42	6 4 29.7	23 18 10.3
3	6	43.5	23 12.14	5 21 30.6	24 1 9.4
9	3	1.0	24 21.95	5 22 14.0	24 0 26.0
8	5	25 10.4	24 49.51	4 57 39.0	24 25 1.0
8	4	55.8	25 55.80	4 26 17.6	24 56 22.4
9	4	47.2	26 47.20	5 49 38.1	23 33 1.9
9	4	27 38.3	27 38.30	5 43 12.1	23 39 27.9
9	6	16.3	27 45.13	6 10 26.0	23 12 14.0
9	3	47.3	29 8.12	6 10 14.3	23 12 25.7
3	3	6.0	29 26.82	6 9 49.6	23 12 50.4
9	3	30 13.5	30 34.58	4 35 6.1	24 47 33.9

NC. 23 56' - 2' 48.96
 2 18 - 2 51.83
 Anf. 28 2.70 + 1.9 32.8
 1 3 33.0
 Ende 28 2.62 + 1.2 32.2
 Microsc. I - 3".49 u. - 3".13
 Decl. = Microsc. I - 29° 22' 40"
 1^a r+i + 13".505 Δr - 0".003 Δi - 0".901

**Hülftafel zur Reduction auf den mittlern
 Ort 1850 Januar 0 D = - 24°.**

T.	k	k'	d	d'
0 40' + 11.19	-5	-1	+ 1.1	+ 0.1
50 + 11.14	-4	-1	+ 1.2	+ 0.1
1 0 + 11.10	-4	-1	+ 1.3	0.0
10 + 11.06	-5	-2	+ 1.3	+ 0.1
20 + 11.01	-4	-2	+ 1.4	+ 0.1
30 + 10.97	-4	-2	+ 1.5	0.0

- 24 Fad. 5. 53.8
 28 „ 4. 38.8
 29. Der Grad des Microscops soll wohl 4° sein;
 unter dieser Annahme ist die Decl. und T
 berechnet.
 31 Fad. 6. 29.0
 40. Zeit unsicher.
 42 Fad. 5. 3.7
 46 „ 2. 13.4 Fäden 44".53 und 44".89
 52 „ 5. 51.0
 67 „ 3. 16.6 Fad. 4. 37.4

No.	Gr.	Fad.	Beob. Zeit.	T.	Microsc. I	Südl. Declin.
79	9	7	5.5	1 30' 23.66	4 47' 13.5	24 35' 26.5
80	8.9	4	53.0	31 52.74	5 29' 24.5	23 53' 15.5
81	8	5	57.8	32 37.13	5 42' 2.9	23 40' 37.1
82	9	6	56.7	33 25.45	5 49' 44.5	23 32' 55.5
83	8.9	6	37.4	34 6.30	6 28' 37.2	22 54' 2.8
84	8.9	4	10.8	35 10.80	5 40' 54.1	23 41' 45.9
85	9	2	37.6	36 8.87	5 27' 8.6	23 55' 31.4
86	9	5	19.2	35 58.30	4 52' 26.8	24 30' 13.2
87	9	6	37 22.5	36 51.06	5 1' 21.1	24 21' 18.9
88	8	4	8.5	38 8.50	6 37' 55.1	22 44' 44.9
89	9	5	46.4	38 25.75	6 26' 50.9	22 45' 49.1
90	7.8	4	27.7	39 27.70	4 36' 39.9	24 46' 0.1
91	9	4	18.8	40 18.80	5 48' 13.7	23 34' 26.3
92	9	6	18.6	40 47.48	6 23' 47.4	22 58' 52.6
93	7.8	5	31.3	41 10.66	6 24' 13.3	22 58' 26.7
94	8.9	6	15.8	41 55.13	6 17' —	23 5' —
95	8.9	5	1.2	42 40.50	6 4' 59.2	23 17' 40.8
96	8	7	49.3	43 7.81	5 51' 41.4	23 30' 58.6
97	8	4	24.3	44 24.30	6 27' 39.6	22 55' 0.4
98	8.9	3	5.5	45 26.31	6 11' 48.0	23 10' 52.0
99	8	3	45 50.2	46 11.30	4 25' 57.0	24 56' 43.0
100	8.9	5	46 54.0	46 33.20	5 30' 21.9	23 52' 19.0
101	9	4	44.8	47 44.80	5 50' 57.1	23 31' 42.9
102	8.9	4	40.4	48 40.40	6 3' 38.0	23 19' 2.0
103	4	4	27.5	49 27.50	6 6' 49.5	23 15' 50.5
104	7.8	7	50 52.5	50 10.61	4 39' 9.2	24 43' 30.8
105	7.8	2	39.0	52 10.47	4 40' 15.3	24 42' 24.7
106	9	7	34.3	51 52.61	5 14' 42.8	24 7' 57.2
107	8.9	7	57.0	52 15.29	5 12' 36.9	24 10' 3.1
108	8.9	5	50.3	53 29.49	5 25' 3.8	23 57' 36.2
109	9	5	27.6	54 6.67	4 42' 17.8	24 40' 22.2
110	9	5	0.0	54 39.08	4 46' 34.9	24 36' 5.1
111	7	5	24.4	55 3.45	4 36' 51.1	24 45' 48.9
112	6	4	45.0	55 45.00	4 46' 15.0	24 36' 25.0
113	8.9	4	57 0.7	57 0.70	6 37' 21.0	22 45' 19.0
114	9	3	52.0	58 12.72	5 23' 35.0	23 59' 5.0
115	9	4	55.4	58 55.40	5 15' 31.6	24 7' 8.4
116	7.8	4	24.0	59 24.00	5 3' 35.5	24 17' 4.5
117	9	3	0 25.5	2 0 46.66	4 6' 58.7	25 15' 41.3
118	7	1	1 16.0	1 57.73	5 40' 22.0	23 42' 18.0
1	8	4	46 56.2	2 46 56.20	2 37' 11.1	26 45' 58.9
2	8.9	5	48 20.9	47 59.71	3 11' 24.5	26 11' 45.5
3	9	5	49 21.5	49 0.28	3 4' 16.1	26 18' 53.9
4	8.9	1	16.3	50 58.81	3 13' 14.9	26 9' 55.1
5	8	2	50.0	51 21.94	2 53' 37.8	26 29' 32.2
6	8.9	1	51 55.6	52 38.33	2 38' 5.7	26 45' 4.3
7	8.9	5	45.5	52 24.37	3 33' 4.2	25 50' 5.8
8	7	5	10.3	52 49.16	3 40' 27.7	25 52' 42.3
9	8.9	4	51.5	53 51.50	3 12' 45.2	26 10' 24.8
10	8.9	3	45.6	55 6.85	3 36' 0.8	25 47' 9.2
11	8.9	6	26.2	54 54.32	3 21' 48.5	26 1' 21.5
12	8.9	5	43.0	55 21.83	3 19' 59.7	26 3' 10.3
13	8.9	6	40.6	56 8.81	3 40' 3.9	25 43' 6.1
14	9	3	29.3	57 50.43	4 15' 38.2	25 7' 31.8
15	9	5	6.0	57 45.01	4 22' 30.0	25 0' 40.0

Hülfsstafel zur Reduction auf den mittlere Ort 1850 Januar 0 D = - 24°.

T.	k	k'	d
u	'	"	"
1 30' + 10.97	-4	-2	+ 1.5 0.0 +
40' + 10.93	-4	-2	+ 1.5 0.0 +
50' + 10.89	-4	-2	+ 1.5 0.0 +
2 0' + 10.85	-3	-2	+ 1.5 0.0 +

80 Fad. 6. 23.8 giebt 52'' 47, eine Beobachtung 1851 Oct. 8. giebt die AR. 1850 1 4'' 00.

81 Fad. 6. 8.5

93 „ 7. 52.0

94. Statt Fad. 6 ist Fad. 5 zu lesen, wie Z. No. 52 und eine Beob. 1851 Oct. 3. zeig. Danach ist T berechnet.

105 Fad. 3. 49.4

112. Der Stern ist offenbar identisch mit LL. 611, und bei LL. die Polardistanz um 10' zu vergrößern. Es ist dies ein Inductionsfehler; die Hist. Cél. hat das Feltige. Im Coelum australe, Z. XXV. p. 13 p. inf. ist aber der Austritt statt 1° 53' zu lesen 1° 52' 21'', womit die Position No. 611 wird 1° 51' 20'', 2, 115° 6' 12''. Richtigkeit dieser Aenderung wird durch eine Beob. 1851 Oct. 3. bestätigt.

114 Fad. 4. 12.5 Fad. 3. giebt 12'' 94

116. LL. 3917 und eine Beob. 1851 Oct. 13. zeigen, dass die Minute des Microscops 5' soll; danach ist die Decl. angesetzt.

118 Fad. 2. 26.4 Fad. 3. 37.0

Sehr unruhige Luft, besonders in der Mitte, gegen das Ende besser; vielleicht auch zu den Streifwolken. Die Sterne 9^m. und schwächeren 8,9^m. schwer zu beobachten

ZONE 325. 1850 Dec. 10. W

Hülfsstafel zur Reduction auf den mittlere Ort 1850 Januar 0 D = - 26°.

T.	k	k'	d
u	'	"	"
2 40' + 10.73	-3	-2	- 1.4 + 0.2 +
50' + 10.70	-3	-2	- 1.6 + 0.2 +
3 0' + 10.67	-2	-2	- 1.8 — +

8 Fad. 6. 21.0. Nach dem Zeugnis von 947 und Brisb. 450 muss die Minute Microscops 30' sein; unter dieser Annahme ist die Decl. und T berechnet.

r.	Fad.	Beob. Zeit.	T.	Microsc. I	Sädl. Declin.
	4	26.2	2 58 26.20	4 22 23.6	25 0 46.4
9	4	55.6	58 55.60	4 35 24.9	24 47 45.1
9	3	59 29.7	59 50.91	3 51 23.2	25 31 46.8
9	5	1 10.4	3 0 49.22	3 15 8.0	26 8 2.0
	6	8.6	1 36.73	3 23 14.7	25 59 55.3
9	7	41.3	1 58.59	2 22 6.0	27 1 4.0
	7	18.7	2 35.89	2 6 6.4	27 17 3.6
	4	1.2	4 1.20	3 5 23.3	26 17 46.7
9	4	47.3	4 47.29	3 37 0.0	25 46 10.0
	5	44.6	5 23.62	4 25 59.8	24 57 10.2
	2	41.6	7 13.12	4 31 11.3	24 51 58.7
9	5	12.0	6 50.94	3 56 57.3	25 26 12.7
8	2	50.4	8 22.39	2 43 47.8	26 39 22.2
	5	26.7	8 5.35	2 22 53.1	27 0 16.9
	4	12.5	9 12.50	2 26 35.5	26 56 34.5
	7	56.3	9 13.57	2 19 56.7	27 3 13.3
	6	25.6	9 53.43	2 19 52.1	27 3 17.9
	3	10 52.3	11 13.76	2 29 13.4	26 53 56.6
9	4	4.5	12 4.50	3 24 29.0	25 58 41.0
8	3	27.1	12 48.41	3 15 39.9	26 7 30.1
	7	21.4	12 39.29	4 1 54.2	25 21 15.8
	5	14 29.7	14 8.39	2 33 12.3	26 49 57.5
9	6	0.2	14 28.14	2 40 35.2	26 42 34.8
9	5	39.4	15 18.09	2 34 20.6	26 48 49.4
	6	10.6	15 38.69	3 15 34.4	26 7 35.6
8	2	17 2.9	17 34.40	4 32 44.0	24 50 26.0
9	6	47.6	17 15.79	3 36 51.8	25 46 18.2
	5	36.5	18 15.29	3 6 16.6	26 16 53.4
	5	4.6	18 43.32	2 53 42.6	26 29 27.4
	6	50.2	19 18.10	2 32 26.2	26 50 43.8
9	3	23.0	20 44.43	2 36 28.2	26 46 41.8
	5	3.8	20 42.44	2 20 23.9	27 2 46.1
9	3	32.0	21 53.50	2 15 29.4	27 7 40.6
9	6	23.7	21 51.59	2 31 26.8	26 51 43.2
	2	2.5	23 34.54	2 32 49.0	26 50 21.0
	5	50.5	23 29.35	3 25 44.5	25 57 25.5
9	5	46.4	24 25.21	3 14 7.2	26 9 2.8
	4	17.7	25 17.70	3 15 38.9	26 7 31.1
	4	52.3	25 52.30	3 13 8.5	26 10 1.5
8	7	30.0	25 47.97	4 15 15.9	25 7 54.1
	3	20.0	27 41.12	4 18 25.3	25 4 44.7
9	1	58.7	28 40.94	3 59 7.0	25 24 3.0
	5	32.0	28 10.84	3 21 58.4	26 1 11.6
	5	38.8	28 17.63	3 17 56.9	26 5 13.1
9	5	30 15.3	29 54.24	3 55 34.9	25 27 35.1
9	4	10.5	31 10.50	4 7 36.3	25 15 33.7
	5	32 41.7	32 20.78	4 48 0.6	24 35 9.4
9	4	42.0	33 42.00	4 22 19.5	25 0 50.5
	3	6.4	34 27.70	4 16 21.5	25 6 48.5
	1	34 39.3	35 21.45	4 14 51.0	25 8 19.0
	5	36 21.3	36 0.29	4 11 44.6	25 11 25.4
	3	37 38.1	37 59.33	3 44 32.2	25 38 37.8
	4	54.3	37 54.30	3 42 46.1	25 40 23.9
	5	49.5	38 28.33	3 19 21.8	26 3 48.2
	5	30.6	39 9.42	3 17 51.7	26 5 18.3

NC. 2 18' - 2 51.83
 4 54 - 2 52.54
 Anf. 28 2.52 + 1.2 31.2
 4 0 30.6
 Ende 28 2.35 + 1.0 30.9
 Microsc. I - 3".20 u. - 2".95
 Decl. = Microsc. I - 29° 23' 10"
 4^u r+i + 13".586 Δr - 0".003 Δi - 0".001

**Hülfsstafel zur Reduction auf den mittlern
 Ort 1850 Januar 0 D = - 28°.**

T.	k	k'	d	d'
3 0' + 10.67	-3	-2	+ 1.8 + 0.2	+ 30.7
10 + 10.64	-3	-2	+ 2.0 + 0.2	+ 30.8
20 + 10.61	-3	-2	+ 2.2 + 0.3	+ 30.8
30 + 10.58	-2	-2	+ 2.5 + 0.2	+ 30.8
40 + 10.56	-2	-2	+ 2.7	+ 30.8

24 Fad. 5. 8.4
 44 „ 6. 15.3
 59 „ 7. 0.0
 64 „ 6. 59.5 Fäden 27".53 und 27".86

No.	Gr.	Fad.	Beob. Zeit.	T.	Microsc. I	Südl. Declin.
71	8.9	5	1.8	3 39' 40.64	3 23' 6.2	26 0' 3.8
72	9	6	21.3	39 49.42	3 21' 49.5	26 1' 20.5
73	7	7	51.6	40 9.33	3 33' 30.0	25 49' 40.0
74	9	3	42 9.4	42 30.54	4 14' 25.4	25 8' 44.6
75	9	4	37.8	42 37.80	3 59' 26.5	25 23' 43.5
76	9	4	28.5	43 28.50	4 15' 14.4	25 7' 55.6
77	8	6	55.5	43 23.66	3 25' 23.1	25 57' 46.9
78	8.9	1	45.5	45 27.96	3 20' 46.5	26 2' 23.5
79	9	6	24.2	44 52.22	2 59' 38.5	26 23' 31.5
80	9	4	57.0	45 57.00	3 0' 19.4	26 22' 50.6
81	9	4	32.6	46 32.60	2 58' 52.4	26 24' 17.6
82	8.9	3	51.0	47 12.32	3 6' 54.5	26 16' 15.5
83	8.9	2	49.2	48 21.29	2 21' 9.2	27 2' 0.8
84	8	2	23.6	48 55.68	2 24' 20.8	26 58' 49.2
85	7	4	9.6	49 9.60	2 44' 7.0	26 39' 3.0
86	7	7	50.0	49 7.53	3 1' 6.1	26 22' 3.9
87	8	7	2.6	49 20.13	3 0' 11.8	26 22' 58.2
88	8	4	4.0	51 4.00	3 12' 46.7	26 10' 23.3
89	9	5	1.5	51 40.64	4 5' 2.5	25 18' 7.5
90	8.9	2	41.6	53 13.14	4 22' 15.0	25 0' 55.0
91	9	6	54 0.0	53 28.19	3 37' 28.1	25 45' 41.9
92	8.9	5	51.6	54 30.51	3 47' 2.5	25 36' 7.5
93	7	7	38 :	54 55	2 27' 2.2	26 56' 7.8
94	9	5	29.4	56 8.04	2 20' 33.0	27 2' 37.0
95	8.9	4	6.5	57 6.50	2 39' 43.0	26 43' 27.0
96	7.8	2	54.2	58 25.99	3 27' 47.9	25 55' 22.1
97	9	7	29.8	57 47.65	3 55' 11.6	25 27' 58.4
98	9	6	56.5	58 24.80	4 0' 55.2	25 22' 14.8
99	8.9	4	59 53.7	59 53.70	4 17' 21.0	25 5' 49.0
100	8.9	5	1 18.6	4 0' 57.59	4 14' 2.7	25 9' 7.3
101	9	5	49.5	1 28.53	4 28' 49.0	24 54' 21.0
102	8	5	2 52.6	2 31.54	3 57' 58.6	25 25' 11.4
103	7	3	9.0	3 30.19	3 56' 41.0	25 26' 29.0
104	7.8	2	45.6	4 17.27	3 53' 51.0	25 29' 19.0
105	9	7	26.8	3 44.68	3 59' 51.5	25 23' 18.5
106	8.9	4	3.3	5 3.30	3 51' 31.0	25 31' 39.0
107	9	7	52.7	5 10.70	4 19' 30.6	25 3' 39.4
108	9	5	38.7	6 17.69	4 11' 52.8	25 11' 17.2
109	8.9	2	7 51.4	8 23.04	3 59' 36.3	25 23' 33.7
110	9	4	42.5	8 42.50	3 27' 45.5	25 55' 24.5
111	8.9	2	13.6	9 45.44	3 52' 59.2	25 30' 10.8
112	9	1	10 14.5	10 56.84	3 41' 33.3	25 41' 36.7
113	9	2	11 18.6	11 50.32	3 44' 38.2	25 38' 31.8
114	8.9	4	11.0	12 11.00	4 32' 15.0	24 50' 55.0
115	9	4	35.5	12 35.50	4 33' 26.0	24 49' 44.0
116	8.9	4	14.0	13 14.00	4 7' 47.5	25 15' 22.5
117	6.7	5	36.5	13 15.45	3 59' 40.1	25 23' 29.9
118	6.7	1	24.9	15 7.38	3 17' 2.9	26 5' 7.1
119	8	2	37.6	15 9.43	3 18' 41.5	26 4' 28.5
120	9	4	16 0.5	16 0.50	3 7' 24.1	26 15' 45.9
121	9	3	56.3	17 17.65	3 4' 10.4	26 18' 59.6
122	8.9	3	18 11.4	18 32.84	2 34' 30.6	26 48' 39.4
123	9	4	9.2	19 9.20	4 8' 11.2	25 14' 58.8
124	7.8	4	20 1.6	20 1.60	2 46' 50.3	26 36' 19.7
125	9	4	37.2	20 36.95	2 33' 34.1	26 49' 35.9

Hülfsstafel zur Reduction auf den mittleren Ort 1850 Januar 0 D = - 26°.

T.	k	k'	d	c
3 40' + 10.56	-2	-2	+ 2.7	+ 0.2
50 + 10.54	-2	-2	+ 2.9	+ 0.3
4 0 + 10.52	-2	-2	+ 3.2	+ 0.2
10 + 10.50	-2	-2	+ 3.4	+ 0.3
20 + 10.48	-2	-2	+ 3.7	+

77 Fad. 7. 6.0

82 „ 4. 12.3

88 „ 5. 25.2

89 „ 6. 12.5 Fäden 40''.46 und 40''.8

91. Bei diesem Sterne ward ein Fehler von . Zeit entdeckt und corrigirt.

111 Fad. 3. 24.4 Fäden 45''.27 und 45''.6

113 „ 3. 29.1

118. Die bekannte Position dieses Sterns P. 68 = Taylor N°. 1523 zeigt, dass die Mi des Microscops 18' zu lesen sei, damit T und die Decl. berechnet.

125 Fad. 6. 8.8 giebt 36''.70

No.	Gr.	Fad.	Beob. Zeit.	T.	Microsc. I	Südl. Declin.
126	8	3	31.8	4 21 53.28	2 23 27.9	26 59 42.1
127	8.9	2	30.5	23 2.68	2 3 28.1	27 19 41.9
128	7	4	12.2	23 12.20	2 46 51.9	26 36 18.1
129	8.9	1	1.2	24 43.77	3 3 21.5	26 19 48.5
130	9	5	24 31.0	24 9.70	3 25 25.0	25 57 45.0
131	8	7	15.7	24 33.34	3 18 17.7	26 4 52.3
132	8	4	26 43.2	26 43.20	2 50 14.3	26 32 55.7
133	8.9	5	27 48.8	27 27.53	2 47 41.0	26 35 29.0
134	7.8	5	51.5	28 30.46	4 1 54.0	25 21 16.0
135	8	7	24.4	28 41.96	3 6 8.5	26 17 1.5
136	8	2	16.0	30 47.77	3 31 21.2	25 51 48.8
137	8.9	5	59.3	30 38.23	3 54 14.6	25 28 55.4
138	8	4	51.2	31 51.20	4 25 10.8	24 57 59.2
139	8.9	3	49.0	33 10.06	4 43 54.2	24 39 15.8
140	6	2	10.2	33 41.88	4 36 3.5	24 47 6.5
141	9	5	12.3	33 51.31	4 20 19.0	25 2 51.0
142	8.9	4	36 40.3	36 40.30	2 50 58.0	26 32 12.0
143	8	1	45.4	38 28.22	2 24 22.2	26 58 47.8
144	7.8	2	59.2	38 31.30	2 20 32.2	27 2 37.8
145	8	3	24.0	38 45.50	2 18 6.0	27 5 4.0
146	9	6	24.2	38 52.09	2 31 8.0	26 52 2.0
147	9	3	40 3.5	40 24.98	2 21 40.5	27 1 29.5
148	8.9	3	48.6	41 10.09	2 20 51.9	27 2 18.1
1	8.9	4	33 59.2	23 33 59.20	8 57 43.0	30 26 57.0
2	7.8	5	35 22.0	35 0.07	9 32 10.9	29 52 29.1
3	6	2	40 22.6	40 55.32	10 26 39.5	28 58 0.5
4	9	6	41 22.6	40 49.93	10 27 10.2	28 57 29.8
5	8.9	6	18.3	41 45.50	10 13 48.4	29 10 51.6
6	8.9	7	58.2	42 14.16	9 10 41.7	30 13 58.3
7	8.9	5	44 18.0	43 56.22	10 14 40.2	29 9 59.8
8	9	6	45 35.4	45 2.59	10 12 57.2	29 11 42.8
9	8	6	20.0	45 46.85	9 11 1.8	30 13 38.2
10	8	4	48 35.9	48 35.90	9 4 19.4	30 20 20.6
11	8.9	3	13.0	49 34.85	10 31 41.2	28 52 58.8
12	9	3	45.2	50 7.04	10 34 4.0	28 50 36.0
13	8.9	4	38.5	50 38.50	9 22 1.3	30 2 38.7
14	6.7	2	1.0	51 34.04	9 5 39.9	30 19 0.1
15	7.8	1	52 45.0	53 28.78	9 50 53.3	29 33 46.7
16	6.7	1	42.9	54 27.20	8 51 40.3	30 32 59.7
17	9	5	52.3	54 30.47	10 0 12.5	29 24 27.5
18	8.9	3	22.5	55 44.43	10 9 11.0	29 15 29.0
19	8.9	4	46.4	55 46.40	10 10 48.0	29 13 52.0
20	8	4	.5	56 0.54	10 10 42.0	29 13 58.0
21	8.9	7	57 34.0	56 50.20	9 43 24.7	29 41 15.3
22	8.9	4	17.4	58 17.72	9 25 33.3	29 59 6.7
23	9	3	39.0	0 0 0.91	10 14 37.3	29 10 2.7
24	9	4	14.0	0 14.11	10 14 25.1	29 10 14.9
25	6.7	6	3.6	1 30.90	10 34 47.1	28 49 52.9
26	9	5	6 9.3	5 47.25	9 0 30.9	30 24 9.1
27	9	5	7 43.0	7 21.08	9 34 11.4	29 50 28.6
28	8.9	3	10 33.8	10 56.08	8 37 42.0	30 46 58.0
29	8.9	3	12 49.5	13 11.71	8 53 52.7	30 30 47.3
30	7	4	47.8	13 47.77	9 35 56.1	29 48 43.9
31	8	3	17.7	15 39.95	8 44 29.8	30 40 10.2
32	9	7	16 38.5	15 54.42	9 5 49.0	30 18 51.0

Hülftafel zur Reduction auf den mittlern Ort 1850 Januar 0 D = -26°.

T.	k	k'	d	d'
4 20 + 10.48	-2	-2	+ 3.7	+ 0.3
30 + 10.46	-2	-1	+ 4.0	+ 0.3
40 + 10.44	-1	-1	+ 4.3	+ 0.3

130 Fad. 6. 41.4 Fäden 9".85 und 9".54
140 " 3. 21.0 " 41".69 " 42".08

Der Beobachter am Microscop war zuletzt sehr ermüdet.
Unruhige Luft; vielleicht zuweilen etwas wolkig.

ZONE 326. 1850 Dec. 14. West.

NC. 23 16 - 2 49.95
1 21 - 2 49.50
Anf. 27 10.54 + 3.9 40.5
0 24 40.6
Ende 27 10.36 + 4.2 40.1
Microsc. I - 4".76 u. - 4".05
Decl. = Microsc. I - 39° 24' 40"
1" r + i + 12".821 Δr - 0".009 Δi - 0".002

Hülftafel zur Reduction auf den mittlern Ort 1850 Januar 0 D = -30°.

T.	k	k'	d	d'
23 30 + 10.92	-5	-1	- 3.4	+ 0.3
40 + 10.87	-4	-1	- 3.1	+ 0.4
50 + 10.83	-5	-1	- 2.7	+ 0.3
0 0 + 10.78	-4	-1	- 2.4	+ 0.4
10 + 10.74	-5	-2	- 2.0	+ 0.4
20 + 10.69		-2	- 1.6	+ 0.6

3 Fad. 3. 33.5
4 " 7. 33.5
14 " 3. 11.8
15 " 3. 6.7
16 " 2. 54.0
20 " 6. 33.4
21. Zeit unsicher.
22 Fad. 5. 40.0 giebt 18".04
24 " 5. 36.0
30 " 7. 31.6

Nº.	Gr.	Fad.	Beob. Zeit.	T.	Microsc. I	Südl. Declin.
33	8.9	7	20.3	0 16 36.45	9 35 53.7	29 48 46.3
34	8.9	4	18 15.5	18 15.50	10 17 58.4	29 6 41.6
35	8.9	3	37.6	18 49.57	10 9 52.7	29 14 47.3
36	7.8	3	20.0	19 41.95	10 19 49.2	29 4 50.8
37	8.9	3	41.5	21 3.53	9 40 51.2	29 43 48.8
38	7.8	6	8.0	20 35.05	9 32 29.1	29 52 10.9
39	8.9	3	22 37.5	22 59.33	10 38 13.0	28 46 27.0
40	8.9	2	24 23.0	24 55.87	9 49 55.0	29 34 45.0
41	8.9	3	13.5	25 35.43	10 12 1.1	29 12 38.9
42	9	4	58.5	25 58.50	10 14 50.3	29 9 49.7
43	8	4	26 52.6	26 52.60	9 43 21.8	29 41 18.2
44	8.9	4	39.4	27 39.40	9 22 44.4	30 1 55.6
45	9	1	40.3	29 24.60	8 52 40.0	30 32 0.0
46	8.9	5	19.5	28 57.61	9 43 47.0	29 40 53.0
47	9	6	31 0.3	30 27.11	9 4 39.1	30 20 0.9
48	8.9	6	32 8.0	31 35.27	10 27 36.2	28 57 3.8
49	8.9	6	14.5	31 41.76	10 25 41.8	28 58 58.2
50	7.8	7	33 44.0	32 59.96	9 10 9.8	30 14 30.2
51	9	7	15.8	33 31.71	9 4 6.3	30 20 33.7
52	9	5	36 31.5	36 9.25	8 9 55.2	31 14 44.8
53	9	5	37 0.8	36 38.56	8 11 30.4	31 13 9.6
54	8	4	38 2.6	38 2.60	10 41 59.9	28 42 40.1
55	9	4	0.5	39 0.50	10 2 0.8	29 22 39.2
56	9	5	58.5	39 36.55	9 27 27.2	29 57 12.8
57	7.8	4	26.2	40 26.20	9 14 54.0	30 9 46.0
58	7	5	32.3	41 10.48	10 5 36.4	29 19 3.6
59	8	4	44 19.2	44 19.20	9 56 24.1	29 28 15.9
60	7.8	3	5.4	45 27.76	8 14 57.6	31 9 42.4
61	8.9	3	5.5	46 27.51	9 47 18.0	29 37 22.0
62	8.9	5	43.7	46 21.87	10 2 47.2	29 21 52.8
63	9	4	49 45.5	49 45.50	9 14 24.5	30 10 15.5
64	5	1	27.5	51 11.63	9 14 42.2	30 9 57.8
1	9	4	1 50.4	1 50.49	3 3 6.1	26 20 3.9
2	7	6	3 25.6	2 53.45	2 23 57.4	26 59 12.6
3	7.8	4	5 2.9	5 2.90	2 17 14.7	27 5 55.3
4	9	6	34.3	6 2.08	2 9 16.3	27 13 53.7
5	9	7	7 50.5	7 8.39	4 17 11.8	25 5 58.2
6	7.8	4	8 43.4	8 43.40	4 36 49.7	24 46 20.3
7	8.9	5	9 51.5	9 30.26	2 55 21.1	26 27 48.9
8	8.9	4	11 30.0	11 30.00	2 41 56.9	26 41 13.1
9	9	6	7.9	11 35.67	2 5 34.6	27 17 35.4
10	8	6	53.2	12 21.08	3 38 59.3	25 44 10.7
11	7.8	4	39.3	13 39.33	3 29 45.3	25 53 24.7
12	8	4	38.0	14 38.00	4 27 55.0	24 55 15.0
13	9	4	16 37.5	16 37.55	2 24 59.6	26 58 10.4
14	8	4	18 24.2	18 23.98	3 52 12.0	25 30 58.0
15	7	4	21 43.8	21 43.81	3 48 30.7	25 34 39.3
16	7	5	23 1.0	22 39.77	2 59 39.3	26 23 30.7
17	9	6	59.5	23 27.58	3 13 27.4	26 9 42.6
18	9	4	44.0	24 44.00	3 5 22.8	26 17 47.2
19	8	4	19.5	25 19.50	2 4 18.4	27 18 51.6
20	8	4	14.1	26 14.10	2 57 2.5	26 26 7.5
21	7	7	49 :	26 7	4 26 15.2	24 56 54.8
22	9	2	28 0.3	28 32.04	4 6 34.2	25 16 35.8
23	8	3	29 47.4	30 8.65	3 36 10.9	25 46 59.1

Hilfstafel zur Reduction auf den mittleren Ort 1850 Januar 0 D = - 30°.

T.	k	k'	d
0 10+10.74	-5	-2	- 2.0 +0.4
20+10.69	-5	-2	- 1.6 +0.4
30+10.64	-4	-2	- 1.2 +0.4
40+10.60	-5	-2	- 0.8 +0.4
50+10.55		-2	- 0.4

35 Fad. 4. 59.6. Obgleich 2 Fäden beobachtet sind, so zeigen doch Z. 271 N. 48 u. Z. N. 73 übereinstimmend, dass die Zeit um zu vermindern sei, was bei T geschehen
36 Fad. 4. 42.0
38 „ 7. 19.0

Die Sterne ziemlich ruhig, aber etwas blass; kleinern unsicher beobachtet; Wolken hinderten die Beendigung der Zone.

ZONE 327. 1850 Dec. 21. W.
NC. 0^u 17' - 2' 44".96, 2^u 9' - 2' 46".3.
Anf. 28 3.64 + 0.2 24.1
Ende 3.62 - 1.0 22.9
Microsc. I - 3".23 u. - 3".79
Decl. = Microsc. I - 29° 23' 10"
1^u r+i + 0".062 Δr + 0".016 Δi - 0'
D = - 26°.

T.	k	k'	d
1 0- 2.32	-4	-2	- 0.0 -0.1
10- 2.36	-4	-2	- 0.1 -0.1
20- 2.40	-4	-2	- 0.2 -0.1
30- 2.44		-2	- 0.3

1 Fad. 5. 11".8
10 „ 7. 3.0 Fäd. 21".40 und 20".76
11 „ 5. 0.5
13 „ 7. 20.3 bei Fad. 4 ward ein Fehler -1" entdeckt und verbessert.
14 Fad. 6. 55.5 giebt 23".76
15 „ 5. 4.9
19. dupl. II. Cl. praec., seq. 9.0^m.
22 Fad. 3. 11.0

N ^o .	Gr.	Fad.	Beob. Zeit.	T.	Microsc. I	Südl. Declin.
24	8.9	4	41.2	1 30 41.20	3 3 20.0	26 19 50.0
25	7	4	49.5	31 49.50	3 35 55.1	25 47 14.9
26	9	5	25.2	32 4.06	3 28 52.0	25 54 18.0
27	9	5	36 55.4	36 34.43	4 27 36.0	24 55 34.0
28	9	5	37 33.0	37 12.01	4 19 40.3	25 3 29.7
29	6	2	38 7.8	38 39.52	3 34 52.8	25 48 17.2
30	9	7	39 21.0	38 38.24	2 14 35.0	27 8 35.0
31	9	7	32.4	38 49.67	2 19 53.3	27 3 16.7
32	8	1	40 59.3	41 42.10	2 23 22.4	26 59 47.6
1	9	7	2 25 :	1 1 41	8 59 31.2	30 25 8.8
2	9	4	5 29.5	5 29.50	9 26 9.0	29 58 31.0
3	9	4	10 34.3	10 34.43	10 24 38.5	29 0 1.5
4	8	6	11 57.4	11 24.48	9 52 51.0	29 31 49.0
5	7.8	3	12 54.4	13 16.45	9 37 54.1	29 46 45.9
6	8	1	34.0	14 17.88	9 49 19.7	29 35 20.3
7	8.9	1	14 55.4	15 39.17	10 6 13.3	29 18 26.7
8	7.8	3	16 57.2	17 19.14	10 7 8.0	29 17 32.0
9	8.9	4	18 23.0	18 23.00	9 50 26.6	29 34 13.4
10	8.9	2	19 13.6	19 46.69	9 9 56.1	30 14 43.9
11	8.9	3	20 23.5	20 45.52	9 43 54.5	29 40 45.5
12	8.9	3	21 20.3	21 42.55	8 44 44.1	30 39 55.9
13	8.9	5	23 2.7	22 40.56	8 35 44.1	30 48 55.9
14	8.9	5	46.3	23 24.33	9 21 59.3	30 2 40.7
15	8	7	56 :	23 12	9 45 50.1	29 38 49.9
16	8.9	7	56.8	24 13.34	10 31 22.2	28 53 17.8
17	8.9	2	32.0	26 5.02	9 32 44.6	29 51 55.4
18	8.9	7	26 14.2	25 30.04	8 54 59.0	30 29 41.0
19	8.9	6	0.0	26 26.69	8 42 29.9	30 42 10.1
20	8	5	28 24.4	28 2.29	8 43 58.2	30 40 41.8
21	6	3	48.0	29 10.25	8 44 22.1	30 40 17.9
22	9	5	34.8	29 12.80	9 15 1.7	30 9 38.3
23	8	4	7.6	30 7.60	9 15 16.7	30 9 23.3
24	7	2	31 46.0	32 18.94	9 37 21.9	29 47 18.1
25	8.9	6	36 3.0	35 30.14	10 3 51.5	29 20 48.5
26	8.9	4	54.6	36 54.60	8 50 49.6	30 33 50.4
27	7	4	38 2.9	38 2.90	9 55 34.1	29 29 5.9
28	8	6	41.7	38 8.91	10 6 23.8	29 18 16.2
29	8	2	39 59.6	40 32.43	9 58 9.5	29 26 30.5
30	9	5	50.9	40 29.04	9 51 37.1	29 33 2.9
31	9	7	21.0	40 37.21	9 44 38.9	29 40 1.1
32	9	5	11.5	41 49.54	9 23 30.4	30 1 9.6
33	7.8	4	43 5.5	43 5.50	9 37 12.0	29 47 28.0
34	8.9	5	44 1.0	43 39.17	10 0 19.0	29 24 21.0
35	9	5	45 9.5	44 47.63	9 50 50.2	29 33 49.8
36	9	6	46 21.0	45 48.12	9 59 44.1	29 24 55.9
37	7.8	3	48 38.0	49 0.06	9 33 31.3	29 51 8.7
38	7.8	4	49 44.1	49 44.10	9 47 52.0	29 36 48.0
39	8	2	29.0	51 1.87	9 49 24.9	29 35 15.1
40	8.9	2	40.6	51 13.78	9 51 32.5	29 33 7.5
41	9	3	52 44.5	53 6.35	10 30 52.0	28 53 48.0
42	9	7	53 56.3	53 12.46	9 37 0.5	29 47 39.5
43	9	4	31.5	54 31.50	9 11 0.7	30 13 39.3
44	7	3	21.3	55 43.48	9 1 22.3	30 23 17.7
45	9	5	18.7	55 56.62	8 52 24.0	30 32 16.0
46	8.9	7	44.4	56 0.00	8 22 28.4	31 2 11.6

D = - 26°.

T.	k	k'	d	d'
1 30 - 2.44	-4	-2	- 0.3	-0.1
40 - 2.48	-5	-2	- 0.4	-0.1

29 Fad. 4. 39".5

32 " 2. 10.0

Sterne ziemlich ruhig; die Zone musste wegen Nebels geschlossen werden.

ZONE 328. 1851 Jan. 3. West.

NC. 0 49' - 2 45.19
2 57 . 45.51

Anf. 28 0.71 + 6.1 43.4
Ende 0.79 + 5.4 41.5

Microsc. I - 4".0 u. - 2".28

Decl. = Microsc. I - 39° 24' 40"

2" r+i + 4".086 Δr+0".016 Δi+0".002

Halftafel zur Reduction auf den mittlern Ort 1850 Januar 0 D = - 30°.

T.	k	k'	d	d'
1 0+ 2.04	-4	-2	+ 5.8	+0.4
10+ 2.00	-5	-2	+ 6.2	+0.4
20+ 1.95	-4	-2	+ 6.6	+0.4
30+ 1.91	-5	-2	+ 7.0	+0.4
40+ 1.86	-4	-2	+ 7.4	+0.4
50+ 1.82	-5	-2	+ 7.8	+0.4
2 0+ 1.77	-2	-2	+ 8.2	+56.8

3 Fad. 6. 7.3

7 " 2. 6.4

17 " 3. 43.0

28 " 7. 52.6

31. Zeit unsicher.

40 Fad. 3. 52.1 Fäden 13".46 und 14".10

46. dupl. IV. Cl. praec.; seq. 9^m.

Nº.	Gr.	Fad.	Beob. Zeit.	T.	Microsc. I	Südl. Declin.
47	4	4	57' 44.3	1 57' 44.22	9 23 26.7	30° 1' 13.3
48	8	6	40.6	58 7.83	10 19 17.3	29 5 22.7
49	8	6	1.9	58 29.14	10 18 11.8	29 6 28.2
50	9	7	0 20.5	59 37.06	10 33 29.5	28 51 10.5
51	7.8	5	2.4	2 0 40.52	9 47 40.4	29 36 59.6
52	8.9	4	27.1	1 27.10	9 57 20.1	29 27 19.9
53	8.9	6	21.5	1 48.66	10 8 25.7	29 16 14.3
54	8	4	0.6	3 0.60	10 5 19.4	29 19 20.6
55	7	6	32.0	2 59.02	9 41 17.1	29 43 22.9
56	8.9	3	8.7	4 30.77	9 31 27.1	29 53 12.9
57	8	4	5 19.0	5 19.00	9 44 33.6	29 40 6.4
58	8.9	2	9.3	6 42.20	9 43 52.8	29 40 47.2
59	8.9	4	42.0	6 42.00	10 0 38.2	29 24 1.8
60	9	4	8 16.5	8 16.50	9 31 20.0	29 53 20.0
61	9	6	9 37.5	9 4.63	10 2 47.5	29 21 52.5
62	8	6	58.5	9 25.71	10 7 8.6	29 17 31.4
63	7.8	3	55.6	11 17.50	10 20 3.2	29 4 36.8
64	8	3	12 1.0	12 23.01	9 47 22.6	29 37 17.4
65	8.9	7	49.3	12 5.20	9 3 0.4	30 21 39.6
66	9	3	13 30.5	13 52.79	8 33 44.4	30 50 55.6
67	8.9	4	14 59.5	14 59.50	9 6 49.1	30 17 50.9
68	8.9	1	39.5	16 23.70	9 6 27.6	30 18 12.4
69	8	4	31.6	16 31.60	9 40 51.6	29 43 48.4
70	8.9	4	5.5	17 5.50	9 29 4.6	29 55 35.4
71	8.9	5	42.4	17 20.41	9 17 38.2	30 7 1.8
72	8.9	1	3.5	18 47.52	9 11 9.8	30 13 30.2
73	8	6	46.2	18 12.94	8 52 13.4	30 32 26.6
74	8.9	6	19 43.5	19 10.61	9 58 1.4	29 26 38.6
75	8.9	7	27.0	19 43.14	9 35 19.3	29 49 20.7
76	8	4	18.5	21 18.50	9 56 3.3	29 28 36.7
77	8.9	6	50.2	21 16.69	9 1 38.3	30 23 1.7
78	8	6	24 28.0	23 55.15	10 5 48.9	29 18 51.1
79	8	5	51.6	24 29.68	9 57 4.0	29 27 36.0
80	4	1	26 31.4	27 14.99	10 30 20.5	28 54 19.5
81	8	4	20.0	27 20.00	9 19 23.0	30 5 17.0
82	7.8	6	50.6	27 17.33	8 49 4.9	30 35 35.1
83	8	5	22.6	28 0.51	8 48 22.1	30 36 17.9
84	6	1	55.0	29 39.37	8 42 56.3	30 41 43.7
85	7	2	59.1	30 32.00	9 45 32.1	29 39 7.9
86	8	7	16 :	29 33	10 31 18.5	28 53 21.5
87	8.9	2	18.5	31 51.32	9 58 47.1	29 25 52.9
88	8.9	7	52.0	31 8.07	9 25 52.1	29 58 47.9
89	6.7	7	33.5	31 49.19	8 34 30.9	30 50 9.1
90	7.8	1	18.7	34 3.11	8 37 54.6	30 46 45.4
91	7	5	33 57.5	33 36.06	8 8 40.2	31 15 59.8
1	9	4	34 7.0	3 34 7.00	0 28 25.0	18 52 55.0
2	9	5	35 40.1	35 19.99	0 22 19.0	18 59 1.0
3	7	5	19.0	35 58.86	0 9 58.0	19 11 22.0
4	8.9	5	56.6	36 36.51	0 32 28.0	18 48 52.0
5	9	4	45.6	37 45.60	0 35 25.0	18 45 55.0
6	8.9	5	45.1	38 15.04	0 48 59.0	18 32 21.0
7	7	5	17.5	38 47.55	1 44 20.6	17 36 59.4
8	7	4	40 42.0	40 42.00	1 21 55.0	17 59 25.0
9	8	1	45.2	42 25.42	0 55 26.0	18 25 54.0
10	8.9	3	15.7	42 35.87	0 57 10.8	18 24 9.2

Hülfsstafel zur Reduction auf den mittlere Ort 1850 Januar 0 D = - 30°.

T.	k	k'	d
1 50+	1.82	-5	-2
2 0+	1.77	-4	-2
10+	1.73	-5	-2
20+	1.68	-4	-2
30+	1.64	-4	-2
40+	1.60	-2	-2

47 Fad. 5. 6.1
 49 " 7. 12.7
 62 " 7. 9.4
 72 " 2. 14.3
 77 " 7. 0.5 Fäden 16".99 und 16".39
 79 " 6. 2.5
 88, Zeit unsicher.
 89, ebenso.
 91 Fad. 7. 20.4 Fäden 35".25 und 35".88
 Fad. 5 ist die Secunde zweifelhaft; ich
 sie nach Z. 335 N°. 2 und einer Beob.
 Oct. 13. zu 58".5 angenommen.

Die Sterne gross, blass und unruhig, so das
 Sterne 9^m. und zum Theil auch 8.9^m.
 unsicher beobachtet sind.

ZONE 329. 1851 Jan. 2. W

6. Ein Fehler von +10", der bei N°. 8 ent-
 ward, hat nach dem Zeugniß von Z. 318
 119 schon hier stattgefunden, und ist
 so wie beim folgenden Sterne = LL.
 T danach corrigirt. N°. 4 u. 5 sind nach
 Zeugniß von Z. 318 richtig.
 8 Fad. 5. 2".0

N ^o .	Gr.	Fad.	Beob. Zeit.	T.	Microsc. I	Südl. Declin.	
11	9.0	5	56.6	3 42 36.54	0 50 50.6	18 30 23.4	NC. 2 57' - 2' 45.51
12	8.9	7	16.0	42 36.01	1 26 7.4	17 55 12.6	5 28 45.89
13	7	1	3.7	44 43.74	1 44 8.9	17 37 11.1	Anf. 28 0.80 + 5.1 41.0
14	9	3	34.6	44 54.67	1 45 55.5	17 35 24.5	Ende 0.76 + 5.0 40.1
15	9.0	1	0.7	45 40.68	1 59 6.0	17 22 14.0	Microsc. I - 1'' 60 u. + 0'' 35
16	9	5	46 0.8	45 40.88	1 59 5.6	17 22 14.4	Decl. = Microsc. I - 19° 21' 20''
17	9	7	41.7	46 1.79	1 49 5.2	17 32 14.8	4 ^u $\tau + i + 4'' 131$ $\Delta \tau + 0'' 016$ $\Delta i + 0'' 001$
18	7	1	20.0	47 59.98	1 53 59.8	17 27 20.2	
19	8.9	1	57.5	48 37.46	2 3 25.2	17 17 54.8	
20	8.9	7	30.3	47 50.54	2 28 5.7	16 53 14.3	
21	9.0	7	4.0	48 24.24	2 29 40.0	16 51 40.0	
22	8.9	7	24.8	48 45.03	2 25 5.3	16 56 14.7	
23	9	6	50 35.4	50 5.25	1 10 52.8	18 10 27.2	
24	8.9	5	56.3	50 36.30	1 23 8.2	17 58 11.8	
25	9	4	37.4	51 37.40	1 15 36.4	18 5 43.6	
26	9	7	24.7	51 44.61	0 59 5.0	18 22 15.0	
27	7	3	40.3	53 0.46	1 0 50.0	18 20 30.0	
28	9.0	7	11.2	52 31.01	0 33 40.0	18 47 40.0	
29	9.0	6	15.7	53 45.48	0 48 15.5	18 33 4.5	
30	8	2	31.3	55 1.52	0 48 7.0	18 33 13.0	
31	9.0	5	4.4	54 44.35	0 54 41.8	18 26 38.2	
32	9	4	56 8.2	56 8.20	2 0 39.9	17 20 40.1	
33	9.0	4	46.4	56 46.40	2 6 49.0	17 14 31.0	
34	9.0	2	57 29.5	57 59.44	2 5 35.0	17 15 45.0	
35	9	2	52.9	58 22.83	2 6 20.0	17 15 0.0	
36	9.0	5	52.2	58 32.25	1 43 49.0	17 37 31.0	
37	9	4	21.5	59 21.50	1 6 55.0	18 14 25.0	
38	8	2	42.1	4 0 12.23	0 59 12.0	18 22 8.0	
39	6	5	12.5	3 59 52.44	0 53 56.0	18 27 24.0	
40	9.0	5	46.8	4 0 26.74	0 50 25.3	18 30 54.7	
41	8	3	14.1	1 34.18	1 42 0.9	17 39 19.1	
42	9	6	57.4	1 27.43	2 15 52.3	17 5 27.7	
43	9.0	5	39.5	2 19.59	2 9 50.4	17 11 29.6	
44	8.9	5	12.2	2 52.28	2 4 7.5	17 17 12.5	
45	8.9	4	57.2	3 57.20	1 49 0.3	17 32 19.7	
46	9.0	4	32.0	4 32.00	2 6 43.5	17 14 36.5	
47	8.9	1	16.2	5 56.21	2 18 22.3	17 2 57.7	
48	9.0	4	6.7	6 6.70	2 12 1.8	17 9 18.2	
49	9	4	29.9	6 29.79	2 9 44.2	17 11 35.8	
50	8	7	37.2	6 57.22	1 29 43.9	17 51 36.1	
51	9	7	8.5	7 28.52	1 28 8.9	17 53 11.1	
52	9.0	7	2.4	8 22.37	1 16 14.0	18 5 5.7	
53	9	7	33.5	8 53.40	0 55 30.1	18 25 49.9	
54	7	6	5.2	9 35.03	1 6 16.2	18 15 3.8	
55	8.9	5	44.3	10 24.32	1 31 58.0	17 49 22.0	
56	7.8	4	15.6	11 15.60	1 55 12.4	17 26 7.6	
57	9	6	37.5	11 7.49	2 0 52.6	17 20 27.4	
58	9	6	13.0	11 42.96	1 48 18.1	17 33 1.9	
59	9.0	3	38.5	12 58.54	2 7 32.4	17 13 47.6	
60	8.9	4	7.2	13 7.20	2 3 7.2	17 18 12.8	
61	7	2	24.4	13 54.33	2 9 40.3	17 11 39.7	
62	7	7	0.4	13 20.66	2 33 7.0	16 48 13.0	
63	9.0	4	40.4	14 40.40	1 59 48.6	17 21 31.4	
64	9.0	4	25.0	15 25.00	1 57 1.0	17 24 19.0	
65	9	5	8.5	15 48.46	1 2 18.1	18 19 1.9	

*Hülfsstafel zur Reduction auf den mittlern
Ort 1850 Januar 0 D = - 18°.*

T.	k	k'	d	d'
3 30+	1.23	-4	-1	-1.3
40+	1.19	-4	-1	-0.6
50+	1.15	-3	-1	+0.1
4 0+	1.12	-4	-1	+0.7
10+	1.08	-3	-1	+1.4
20+	1.05		-2	+2.0

15. 16. derselbe.
 18 Fad. 2. 30'' 0
 30 „ 3. 41.4
 47 „ 2. 26.4
 49 „ 7. 9.5 Bei diesem Sterne ward ein Fehler von +1'' entdeckt und corrigirt.
 61 Fad. 3. 34.3

Nº.	Gr.	Fad.	Beob. Zeit.	T.	Microsc. I	Südl. Declin.
66	9	1	17' 44.5	4 18' 24.83	0 28' 30.2	18. 52' 49.8
67	8	7	17 31.6	16 51.61	1 27 13.6	17 54 6.4
68	7.8	5	19 5.9	18 45.96	1 49 32.5	17 31 47.5
69	9	5	41.5	19 21.55	1 46 56.2	17 34 23.8
70	7.8	2	16.4	20 46.37	1 54 11.8	17 27 8.2
71	9.0	4	36.5	20 36.50	1 57 54.0	17 23 26.0
72	9	3	24.4	21 44.25	1 36 55.5	17 44 24.5
73	7.8	4	30.6	22 30.60	0 32 54.0	18 48 26.0
74	8.9	5	23.1	23 2.98	0 17 21.9	19 3 58.1
75	8	6	2.8	23 32.66	1 14 12.4	18 7 7.6
76	8	6	47.0	24 16.83	1 4 22.0	18 16 58.0
77	8.9	4	24.4	25 24.40	1 28 51.7	17 52 28.3
78	7	4	46.5	25 46.50	1 17 33.3	18 3 46.7
79	7	7	22.7	25 42.78	1 45 51.1	17 35 28.9
80	8.9	5	18.6	26 58.62	1 33 53.2	17 47 26.8
81	9.0	2	45.0	28 15.02	1 35 32.0	17 45 48.0
82	9.0	6	33.6	28 3.47	1 18 53.7	18 2 26.3
83	9.0	4	22.5	29 22.50	1 9 50.0	18 11 30.0
84	8.9	3	42.5	30 2.64	1 9 37.9	18 11 42.1
85	7	7	16.1	29 36.15	1 36 6.9	17 45 13.1
86	9	7	47.0	30 7.03	1 29 55.5	17 51 24.5
87	7	4	5.0	31 5.00	1 37 49.0	17 43 31.0
88	7	3	44.6	32 4.61	2 19 28.5	17 1 51.5
89	9	7	22.8	31 43.05	2 32 26.4	16 48 53.6
90	7.8	4	52.6	32 52.60	2 29 11.9	16 52 8.1
91	9	5	37.5	33 17.63	2 28 38.3	16 52 41.7
92	8	6	14.2	33 44.14	1 22 33.3	17 58 46.7
93	9.0	5	55.5	34 35.51	1 26 36.0	17 54 45.0
94	8.9	3	42.5	36 2.65	1 7 31.1	18 13 48.9
95	8	3	50.8	36 10.95	1 6 23.9	18 14 56.1
96	8	5	31.2	36 11.19	1 14 27.0	18 6 53.0
97	5.6	3	9.5	37 29.72	0 24 29.2	18 56 50.8
98	8	4	48.3	37 48.30	0 15 26.9	19 5 53.1
99	8.9	6	13.3	37 42.98	0 15 49.6	19 5 30.4
100	8	7	38 35.5	37 55.22	0 10 46.8	19 10 33.2
101	7.8	2	39 41.8	40 11.98	0 41 2.7	18 40 17.3
102	9	5	21.0	40 0.94	0 50 10.3	18 31 9.7
103	8	6	2.5	40 32.46	1 50 11.2	17 31 8.8
104	7.8	3	55.9	42 15.96	1 57 27.8	17 23 52.2
105	9.0	6	31.3	42 1.29	2 1 34.9	17 19 45.1
106	9	7	57.7	42 17.96	2 34 23.9	16 46 56.1
107	6.7	4	44 8.0	44 8.00	0 11 53.0	19 9 27.0
108	9	5	43.7	44 23.61	0 34 29.0	18 46 51.0
109	8.9	6	8.6	44 38.37	0 45 15.1	18 36 4.9
110	9.0	3	36.5	45 56.73	0 25 41.8	18 55 38.2
111	9	3	3.4	46 23.68	0 16 50.2	19 4 29.8
112	9	6	51.5	46 21.32	0 59 40.0	18 21 40.0
113	9	4	27.5	47 27.50	1 0 22.5	18 20 57.5
114	9	7	57.4	47 17.43	1 32 1.8	17 49 18.2
115	8	3	33.6	48 53.72	1 20 51.3	18 0 28.7
116	7	2	2.4	49 32.46	1 22 37.3	17 58 42.7
117	9	5	36.5	49 16.55	1 45 49.1	17 35 30.9
118	9	7	59.8	49 19.93	1 58 16.6	17 23 3.4
119	9.0	4	50 59.3	50 59.30	1 48 50.7	17 32 29.3
120	6	5	46.8	51 26.91	2 20 14.5	17 1 5.5

*Hülftafel zur Reduction auf den mittlern
Ort 1850 Januar 0 D = - 18°.*

T.	k	k'	d	d'
4 10+	1.08	-3	-1	+ 1.4
20+	1.05	-3	-2	+ 2.0
30+	1.02	-3	-2	+ 2.7
40+	0.99	-3	-2	+ 3.3
50+	0.96	-3	-2	+ 4.0
5 0+	0.93	-2	-2	+ 4.6

66. 67. Bei einem von diesen Sternen ist offenbar die Minute verschrieben; ich vermute, dass dies bei No. 66 ist, und dass also die Minute von T bei diesem Sterne 17 sein muss.

72 Fad. 4. 44'' 0 Faden 3 giebt 44'' 49

92 " 7. 24.2

97 " 4. 29.7

99. Minute des Microscops vielleicht 14', und dann D. 19° 6' 30'' 4.

103. dupl. IV. Cl. seq.; praec. 8.9.

111 Fad. 4. 23.7

Fr.	Fad.	Beob. Zeit.	T.	Microsc. I	Südl. Declin.
9	7	16.6	4 51' 36.83	2 24' 52.5	16 56' 27.5
1.6	6	47.5	52 17.75	2 44' 18.1	16 37' 1.9
9	5	43.0	53 23.11	2 23' 25.9	16 57' 54.1
9	6	15.3	53 45.33	2 15' 43.2	17 5' 36.8
7.8	7	43.4	54 3.43	1 32' 39.0	17 48' 41.0
7.8	6	9.8	54 39.72	1 34' 28.3	17 46' 51.7
9	5	56 13.3	55 53.22	0 39' 51.8	18 41' 28.2
10	3	57 34.2	57 54.45	0 16' 25.0	19 4' 55.0
9.9	5	22.1	58 2.08	1 12' 8.1	18 9' 11.9
7.8	6	28.5	57 58.36	1 15' 27.3	18 5' 52.7
9	4	24.7	59 24.70	1 42' 31.0	17 38' 49.0
7	2	58.0	5 0' 27.97	1 51' 25.5	17 29' 54.5
7	2	31.3	1 1.27	1 52' 2.0	17 29' 18.0
9.9	3	0 50.5	1 10.58	1 55' 9.2	17 26' 10.8
7.8	4	21 51.3	6 21' 51.30	7 27' 4.2	21 54' 55.8
9	5	23 1.0	22 40.45	7 8' 14.0	22 13' 46.0
3	5	27.0	23 6.41	6 52' 12.3	22 29' 47.7
7	4	18.3	24 18.30	7 8' 35.2	22 13' 24.8
3	3	46.5	25 7.13	7 25' 44.3	21 56' 15.7
7	5	26.0	25 5.58	8 3' 30.0	21 18' 30.0
3	3	40.0	26 0.53	8 8' 9.5	21 13' 50.5
9	7	13.8	25 33.05	8 24' 5.0	20 57' 55.0
7	6	37.6	26 6.93	8 26' 45.2	20 55' 14.8
7	4	1.0	27 1.00	8 32' 49.6	20 49' 10.4
9	4	9.9	27 9.97	8 28' 37.2	20 53' 22.8
9	3	2.0	28 22.50	8 20' 50.2	21 1' 9.8
7	7	25 :	27 44	7 56' 19.8	21 25' 40.2
9	7	4.2	28 23.38	8 7' 37.0	21 14' 23.0
3	7	23.4	28 42.56	8 3' 4.4	21 17' 55.6
3	4	52.5	29 52.50	8 11' 40.0	21 10' 20.0
9	4	17.5	30 17.50	8 9' 25.0	21 12' 35.0
9	5	50.3	30 29.89	8 5' 11.5	21 16' 48.5
9	3	12.2	31 32.73	8 6' 56.0	21 15' 4.0
3	5	47.6	31 27.14	7 42' 50.0	21 39' 10.0
9	5	23.8	32 3.35	7 47' 26.2	21 34' 33.8
9	6	41.3	32 10.47	7 39' 12.3	21 42' 47.7
3	4	6.3	33 6.30	7 42' 31.0	21 39' 29.0
9	4	32.4	33 32.40	7 53' 54.1	21 28' 5.9
7	4	0.6	34 0.60	8 6' 26.0	21 15' 34.0
9	4	39.0	34 39.00	8 9' 49.3	21 12' 10.7
3	5	16.5	34 56.02	8 18' 2.9	21 3' 57.1
9	4	46.3	35 46.30	8 23' 21.6	20 58' 38.4
9	5	25.5	36 5.12	8 18' 12.8	21 3' 47.2
7	4	51.6	36 51.60	7 38' 44.6	21 43' 15.4
7.8	5	16.6	36 56.15	7 46' 32.1	21 35' 27.9
7.8	4	54.9	37 54.90	7 2' 54.0	22 19' 6.0
7.8	5	21.6	38 1.05	7 5' 2.9	22 16' 57.1
7.8	7	38 34.5	37 53.34	6 56' 24.0	22 25' 36.0
3	4	39 41.9	39 41.90	6 15' 20.4	23 6' 39.6
7.8	4	7.8	40 7.80	6 22' 30.9	22 59' 29.1
7	3	36.2	40 56.97	6 28' 22.3	22 53' 37.7
9	3	1.0	41 21.76	6 31' 48.5	22 50' 11.5
8	2	46.0	42 16.99	6 38' 21.5	22 43' 38.5
9	4	11.2	42 11.20	6 36' 32.2	22 45' 27.8
9	3	43 37.5	43 58.25	6 37' 7.2	22 44' 52.8

$D = -18^{\circ}$.

T.	k	k'	d	d'
4 50' + 0.96	-3	-2	+ 4.0	+ 0.6
5 0' + 0.93	-2	-2	+ 4.6	+ 0.6

122 Fad. 7. 57.6

125. Zeit unsicher.

127. Bei diesem Sterne ward ein Fehler von +1'' entdeckt und verbessert.

134 Fad. 4. 10.6

Ziemlich gute Luft.

ZONE 330. 1851 Jan. 2. West.

NC. 5 28' - 2 45.89
 8 22 46.49
 Anf. 28 0.66 + 4.7 39.9
 Ende 0.72 + 4.4 37.6
 Microsc. I - 1''.99 u. - 1''.21
 Decl. = Microsc. I - 29° 22' 0''
 $7^{\circ} \tau + i + 4''.172 \quad \Delta \tau + 0''.016 \quad \Delta i + 0''.001$

Hilfstafel zur Reduction auf den mittlern Ort 1850 Januar 0 $D = -22^{\circ}$.

T.	k	k'	d	d'
6 20' + 0.82	-1	-1	+ 8.4	+ 0.3
30 + 0.81	-1	-1	+ 8.7	+ 0.2
40 + 0.80	-1	-1	+ 8.9	+ 0.2
50 + 0.79	-1	-1	+ 9.1	+ 0.2

11 Fad. 5. 30.4

15. Die Minute des Microscops ist 4' nach dem Zeugnisse von Z. 344 N°. 54 u. Z. 359 N°. 106; danach ist die Decl. und T berechnet.

25 Fad. 5. 21.0

No.	Gr.	Fad.	Beob. Zeit.	T.	Microsc. I	Südl. Declin.
42	8.9	4	23.2	6 44' 23.20	6 32' 43.1	22 49' 16.9
43	9	4	44.5	44 44.50	6 33' 55.0	22 48' 5.0
44	9	5	31.4	45 10.75	6 27' 9.4	22 54' 50.6
45	7.8	2	57.9	46 28.93	6 29' 53.8	22 52' 6.2
46	8.9	3	18.0	46 38.78	6 26' 9.4	22 55' 50.6
47	8.9	4	5.6	47 5.60	6 34' 40.9	22 47' 19.1
48	8.9	3	42.9	48 3.66	6 30' 14.0	22 51' 46.0
49	9	5	14.7	47 54.05	6 26' 44.8	22 55' 15.2
50	8.9	5	46.9	48 26.24	6 21' 7.5	23 0' 52.5
51	8	7	20.7	48 39.44	6 36' 51.9	22 45' 8.1
52	5	5	48.0	49 27.37	6 36' 51.9	22 45' 8.1
53	8.9	6	9.3	49 38.22	6 32' 46.2	22 49' 13.8
54	7.8	6	51 44.0	50 13.01	6 54' 47.0	22 27' 13.0
55	8.9	7	55.6	50 14.43	6 54' 5.0	22 27' 55.0
56	8	3	52 2.1	52 22.82	7 1' 46.0	22 20' 14.0
57	8.9	4	52 17.6	52 17.60	7 1' 43.7	22 20' 16.3
58	8.9	4	53 28.2	53 28.20	7 19' 26.1	22 2' 33.9
59	8.9	4	41.5	53 41.50	7 19' 51.1	22 2' 8.9
60	6.7	5	16.6	53 56.10	7 27' 4.1	21 54' 55.9
61	7.8	4	40.7	54 40.70	7 36' 17.3	21 45' 42.7
62	8	7	29.5	54 48.72	8 16' 9.9	21 5' 50.1
63	8	5	53.4	55 33.01	8 12' 47.2	21 9' 12.8
64	8	4	16.5	56 16.50	8 5' 23.0	21 16' 37.0
65	8	4	44.3	56 44.30	8 8' 12.8	21 13' 47.2
66	8.9	4	22.0	57 22.00	7 56' 20.3	21 25' 39.7
67	7.8	4	57 35.7	57 35.70	7 48' 31.6	21 33' 28.4
68	7	5	6.6	57 46.22	8 18' 53.3	21 3' 6.7
69	7.8	7	28.0	57 47.18	8 8' 38.6	21 13' 21.4
70	7	5	0.4	58 40.00	8 7' 57.6	21 14' 2.4
71	9	4	40.6	59 40.60	8 2' 32.7	21 19' 27.3
72	7	3	0 0.6	7 0 21.14	8 1' 56.8	21 20' 3.2
73	8	4	18.5	0 18.50	8 7' 38.0	21 14' 22.0
74	9	6	0.2	0 29.40	7 49' 38.6	21 32' 21.4
75	8.9	7	23.0	0 42.11	7 53' 24.7	21 28' 35.3
76	9	7	38.3	0 57.40	7 49' 50.9	21 32' 9.1
77	9	2	18.0	2 48.90	7 54' 10.3	21 27' 49.7
78	8.9	5	19.1	2 58.55	7 6' 30.5	22 15' 29.5
79	8	5	38.7	3 18.12	6 56' 19.2	22 25' 40.8
80	7.8	3	8.5	4 29.14	7 4' 26.7	22 17' 33.3
81	9	4	49.6	4 49.60	7 4' 32.6	22 17' 27.4
82	8	7	8 31.3	7 50.14	6 56' 33.0	22 25' 27.0
83	7	5	2.8	8 42.21	6 50' 47.5	22 31' 12.5
84	8	6	19.9	8 48.85	6 38' 18.9	22 43' 41.1
85	8.9	7	45.6	9 4.39	6 46' 58.4	22 35' 1.6
86	8.9	5	16.6	9 56.00	6 46' 43.4	22 35' 16.6
87	8	5	39.4	10 18.80	6 49' 0.5	22 32' 59.5
88	8.9	4	9.5	11 9.50	6 48' 8.8	22 33' 51.2
89	8	5	28.7	11 8.16	6 55' 29.1	22 26' 30.9
90	8.9	4	17.0	12 17.05	6 49' 38.0	22 32' 22.0
91	8.9	7	55.5	12 14.21	6 31' 40.0	22 50' 20.0
92	8.9	4	47.6	13 47.60	6 45' 2.5	22 36' 57.5
93	6.7	4	30.6	14 30.60	6 47' 36.2	22 34' 23.8
94	8.9	7	57.5	14 16.32	6 53' 41.8	22 28' 18.2
95	7	2	50.6	16 21.27	8 9' 38.0	21 12' 22.0
96	9	3	5.6	16 26.13	8 6' 32.0	21 15' 28.0

Hilfstafel zur Reduction auf den mittleren Ort 1850 Januar 0 $D = -22^\circ$.

T.	k	k'	d
6 40+ 0.80	-1	-1	+ 8.9 +0.2 +
50+ 0.79	0	-1	+ 9.1 +0.2 +
7 0+ 0.79	-1	-1	+ 9.3 +0.2 +
10+ 0.78	0	-1	+ 9.5 +0.2 +
20+ 0.78	-1	-1	+ 9.7 +0.2 +

54. Die Zeitminute muss nothwendig falsch sein bei der Berechnung von T habe ich angenommen, dass sie 50 sei.

56 Fad. 5. 43".4

77 „ 3. 28.5 Fäden 48".72 und 49".08

80 „ 4. 29.1

82. Die Pause entstand, weil der Wind die Ipen ausgeblasen hatte.

85. Zeit unsicher.

89 Fad. 6. 39.2

90 „ 5. 37.7

94. Zeit unsicher.

Gr.	Fad.	Beob. Zeit.	T.	Microsc. I	Südl. Declin.
8	2	27.6	7 16 58.27	8 8 20.5	21 13 39.5
9	4	10.5	17 10.50	8 14 57.7	21 7 2.3
9	6	22.4	16 51.69	8 15 26.1	21 6 33.9
9	4	50.5	17 50.50	8 9 25.0	21 12 35.0
8	7	18 22.3	17 41.45	8 2 54.0	21 19 6.0
8	4	19 43.3	19 43.30	7 26 28.9	21 55 31.1
9	4	18.2	20 18.20	7 26 30.9	21 55 29.1
9	2	1.5	21 32.30	7 16 46.0	22 5 14.0
9	6	22 20.2	21 43.21	6 54 33.8	22 27 26.2
9	4	45.4	22 45.40	6 46 33.2	22 35 26.8
9	3	7.6	23 28.17	6 39 3.1	22 42 56.9
9	3	52.5	24 13.31	6 47 18.5	22 34 41.5
8	3	46.0	25 6.76	6 34 30.0	22 47 30.0
7	2	3.5	25 34.40	6 45 47.7	22 36 12.3
9	3	35.8	25 56.51	6 50 55.0	22 31 5.0
9	4	16.2	26 16.20	6 53 1.6	22 28 58.4
9	7	1.2	26 19.97	6 43 47.5	22 38 12.5
9	7	45.4	27 4.08	6 25 48.6	22 56 11.4
9	4	17.6	28 17.53	6 28 56.3	22 53 3.7
8	5	34.1	29 13.51	6 51 13.6	22 30 46.4
8	6	6.6	29 35.72	7 23 56.5	21 58 3.5
9	7	21.4	29 40.41	7 31 58.7	21 50 1.3
9	2	23.3	31 54.11	7 27 43.8	21 54 16.2
9	3	31 52.4	32 13.05	7 17 2.6	22 4 57.4
9	7	37.6	31 56.71	7 52 24.9	21 29 35.1
9	7	51.2	32 10.30	7 49 29.2	21 32 30.8
9	3	36.5	33 57.09	7 39 31.6	21 42 28.4
9	4	12.9	34 12.90	7 45 49.7	21 36 10.3
9	4	47.2	34 47.20	7 50 44.1	21 31 15.9
8	1	16.8	35 57.84	7 46 35.8	21 35 24.2
8	1	45.6	36 26.65	7 43 29.1	21 38 30.9
9	5	35.6	36 15.11	7 32 30.3	21 49 29.7
9	4	58.2	36 58.20	7 35 49.1	21 46 10.9
8	6	45.5	37 14.64	7 33 0.5	21 48 59.5
8	2	38 13.7	38 44.56	7 30 0.0	21 52 0.0
9	4	56.9	38 56.90	7 24 18.0	21 57 42.0
9	3	38.5	39 59.09	7 42 44.0	21 39 16.0
9	7	40 2.9	39 21.94	7 37 40.0	21 44 20.0
9	7	48.3	40 7.52	8 15 46.4	21 6 13.6
9	4	23.3	41 23.21	8 14 55.3	21 7 4.7
9	3	39.0	42 59.48	8 26 56.6	20 55 3.4
9	3	13.7	43 34.13	8 53 25.0	20 28 35.0
9	5	44 34.3	44 13.83	7 41 7.3	21 40 52.7
9	5	11.0	44 50.27	7 13 17.2	22 8 42.8
9	3	47.5	46 8.09	7 3 35.0	22 18 25.0
9	4	42.2	46 42.20	6 36 46.8	22 45 13.2
9	4	13.8	47 13.80	6 33 0.0	22 48 0.0
9	6	44.0	47 12.90	6 26 27.4	22 55 32.6
7	4	34.9	48 34.90	6 17 37.3	23 4 22.7
9	4	11.4	49 11.40	6 19 54.0	23 2 6.0
9	5	53.4	49 32.74	6 24 8.5	22 57 51.5
8	7	44.0	50 2.78	6 45 29.5	22 36 30.5
9	7	5.0	50 23.82	6 52 57.3	22 29 2.7
9	7	11.3	50 30.13	6 56 15.0	22 25 45.0
9	6	6.3	51 35.29	7 1 18.6	22 20 42.0

**Hülftafel zur Reduction auf den mittlern
Ort 1850 Januar 0 D = - 22°.**

T.	k	k'	d	d'
7 10+	0.78	0	-1	+ 9.5
20+	0.78	0	-1	+ 9.7
30+	0.78	+1	-1	+ 9.8
40+	0.79	0	-1	+ 9.9
50+	0.79	+1	-1	+10.1
8 0+	0.80	-1	-1	+10.2

- 104 Fad. 3. 11.6
 107 " 4. 28.0, Fad. 3 giebt 28''34
 108 " 4. 13.4
 110 " 3. 13.6
 115 " 5. 38.1
 129 " 6. 28.6 giebt 57''76 u. ist ausgeschl.
 131 " 3. 24.0
 136 " 5. 43.5
 140 " 6. 21.0 Fäden 50''40 und 50''08
 141 " 4. 8.0
 143. Nach dem Zeugnisse von LL. 15450 und Bonner Meridianbeobachtungen muss die Minute des Microscops 34 sein; demgemäss ist die Decl. angesetzt.
 151 Fad. 7. 16.4

Nº.	Gr.	Fad.	Beob. Zeit.	T.	Microsc. I	Südl. Declin.
152	8.9	6	57.2	7 52 26.19	6 48 42.2	22 33 17.8
153	8.9	4	21.0	53 21.01	6 53 39.6	22 28 20.4
154	8	4	8.6	54 8.60	6 54 56.4	22 27 3.6
155	8	4	50.5	54 50.50	7 26 29.1	21 55 30.9
156	7	5	8.4	54 48.00	7 26 18.0	21 55 42.0
157	7.8	4	4.6	56 4.60	7 31 0.9	21 50 59.1
158	9	7	36.4	55 55.42	7 34 7.8	21 47 52.2
159	9	6	34.2	57 3.23	7 2 57.9	22 19 2.1
160	8	7	1.3	57 20.18	7 5 11.6	22 16 48.4
161	9	6	35.5	58 4.52	6 58 3.3	22 23 56.7
162	9	5	3.2	58 42.60	7 5 12.3	22 16 47.7
163	8	2	36.5	8 0 7.41	7 0 36.1	22 21 23.9
164	8	5	26.1	0 5.50	6 46 47.0	22 35 13.0
165	7.8	4	59.5	0 59.50	6 53 0.9	22 28 59.1
166	8.9	4	29.1	1 29.10	6 24 55.0	22 57 5.0
167	6	4	51.7	1 51.70	6 11 0.5	23 10 59.5
168	8	4	15.4	2 15.40	6 15 36.0	23 6 24.0
169	8	4	2 57.7	2 57.70	6 22 43.2	22 59 16.8
1	7.8	5	48 3.2	0 47 43.23	1 34 3.9	17 46 36.1
2	7.8	5	40.5	48 20.37	1 13 26.2	18 7 13.8
3	9	5	45.5	49 25.51	1 27 33.1	17 53 6.9
4	9.0	7	17.4	49 37.48	1 43 34.2	17 37 5.8
5	9	5	17.6	50 57.65	1 43 55.2	17 36 44.8
6	9.0	5	17.0	51 57.10	2 17 52.6	17 2 47.4
7	7.8	5	58.1	52 38.17	1 53 37.6	17 27 2.4
8	7.8	5	23.5	53 3.51	1 27 34.3	17 53 5.7
9	8.9	6	36.5	53 6.46	1 26 51.0	17 53 49.0
10	8.9	5	54 20.6	55 0.72	2 23 38.0	16 57 2.0
11	8.9	4	5.1	56 5.10	1 57 31.3	17 23 8.7
12	9.0	5	57 15.7	56 55.65	0 53 36.0	18 27 4.0
13	8.9	6	52.4	57 22.23	1 4 1.4	18 16 38.6
14	9.0	7	51.9	58 12.02	1 56 16.0	17 24 24.0
15	8.9	1	34.9	1 0 14.76	2 35 30.8	16 45 9.2
16	9.0	6	36.0	0 6.05	2 20 43.0	16 59 57.0
17	9.0	5	56.5	0 36.63	2 28 10.1	16 52 29.9
18	9.0	4	2 0.5	2 0.50	2 30 9.8	16 50 30.2
19	7	3	37.0	2 57.02	2 14 13.1	17 6 26.9
20	8.9	4	14.2	3 14.20	1 23 10.0	17 57 30.0
21	9	2	50.2	4 20.32	1 0 37.4	18 20 2.6
22	8.9	4	34.5	4 34.50	0 44 6.8	18 36 33.2
23	9.0	5	34.4	5 14.47	1 57 44.3	17 22 55.7
24	9	5	56.3	5 36.36	1 51 38.0	17 29 2.0
25	9	4	40.0	6 40.00	2 7 34.0	17 13 6.0
26	9	7	17.5	6 37.60	1 49 39.4	17 31 0.6
27	9	7	41.5	7 1.57	1 41 1.0	17 39 39.0
28	8	1	25.7	9 5.69	1 55 43.0	17 24 57.0
29	8	1	39.4	9 19.44	1 50 38.3	17 30 1.7
30	7	3	16.3	9 36.40	1 28 0.7	17 52 39.3
31	7.8	3	46.0	10 6.16	1 1 1.6	18 19 38.4
32	7	7	16.2	9 36.22	1 27 59.6	17 52 40.4
33	8.9	7	10 53.7	10 13.87	2 6 38.9	17 14 1.1
34	7.8	1	56.6	12 36.59	1 31 6.6	17 49 33.4
35	9	4	41.0	12 41.00	1 42 28.8	17 38 11.2
36	9.0	5	19.3	12 59.34	1 41 36.0	17 39 4.0
37	9	3	41.2	14 1.27	1 48 47.1	17 31 52.9

Hülftafel zur Reduction auf den mittlere Ort 1850 Januar 0 D = -22°.

T.	k	k'	d
7 50+	0.79	+1	-1
8 0+	0.80	+1	-1
10+	0.81		0
			+10.1
			+10.2
			+10.3

153 Fad. 5. 41.6

155 „ 7. 31.2 giebt 50".18 u. ist ausge-

156 „ 6. 19.0 Fad. 7. 29.0

162 „ 6. 13.5

163 „ 4. 7.2 ist ausgeschlossen.

Ziemlich unruhige Luft; das Microscop undenk-
weshalb die Beobachtungen desselben
langsam fortgingen.

ZONE 331. 1851 Jan. 4. W.

NC. 0 13 - 2 0.52

2 26 - 2 1.35

Anf. 27 11.48 + 4.7 39.0

Ende 11.30 + 3.7 37.1

Microsc. I - 4".94 u. - 4".52

Decl. = Microsc. I - 19° 20' 40"

1ⁿ τ + i + 4".891 Δτ + 0".015 Δi + 0'

Hülftafel zur Reduction auf den mittlere Ort 1850 Januar 0 D = -18°.

T.	k	k'	d
0 40+	2.83	-5	-2
50+	2.78	-4	-2
1 0+	2.74	-5	-2
10+	2.69	-5	-2
20+	2.64	-5	-2
			-5.0
			-4.7
			-4.4
			-4.0
			-3.7

2 Fad. 6. 50.4

9 „ 7. 46.5

10. Die Zeitminute muss 55' sein, wie nicht
Z. 321 N°. 26 und Z. 261 N°. 62 zeigen,
dern auch eine Beobachtung 1851 Oct.
bei welcher in 54' kein Stern gefunden w
danach ist T angesetzt.

15 Fad. 3. 54.8

29 „ 2. 49.5

30. 32. derselbe.

34 Fad. 3. 6.4

ir.	Fad.	Beob. Zeit.	T.	Microsc. I	Südl. Declin.
10	2	14' 22.8	1 14 52.94	0° 55' 33.5	18° 25' 6.5
9	7	55.2	14 15.04	0 40 47.1	18 39 52.9
7	2	30.2	16 0.29	0 37 41.7	18 42 58.3
9	5	21.4	16 1.26	0 10 30.7	19 10 9.3
9	7	43.3	16 3.01	0 7 40.5	19 12 59.5
9	7	51 :	16 11	0 5 25.0	19 15 15.0
9	4	43.4	17 43.32	0 43 47.5	18 36 52.5
9	3	21.5	18 41.63	1 15 15.8	18 5 24.2
10	5	19 28.5	19 8.47	1 7 14.5	18 13 25.5
10	4	15.6	20 15.60	1 29 34.0	17 51 6.0
7	4	44.6	20 44.60	1 18 17.6	18 2 22.4
10	2	17.2	21 47.26	1 20 9.0	18 0 31.0
9	4	3.0	22 3.00	1 16 52.5	18 3 47.5
9	2	37.2	23 7.32	0 59 59.0	18 20 41.0
9	2	5.3	23 35.41	1 3 50.6	18 16 49.4
9	3	20.0	23 39.93	1 0 44.4	18 19 55.6
8	5	17.7	23 57.64	0 53 3.1	18 27 36.9
8	4	37.0	24 37.00	0 52 14.7	18 28 25.3
8	5	10.9	24 50.86	1 2 23.0	18 18 17.0
8	4	35.0	25 35.00	0 57 44.0	18 22 56.0
9	1	10.8	26 50.96	1 11 23.0	18 9 17.0
9	6	21.3	26 51.36	2 23 45.0	16 56 55.0
10	6	28 16.3	27 46.36	2 24 19.7	16 56 20.3
8	4	0.0	29 0.00	2 33 33.4	16 47 6.6
8	1	25.4	30 5.25	2 34 38.5	16 46 1.5
9	5	11.9	29 52.01	2 18 40.3	17 1 59.7
9	3	49.3	31 9.42	1 18 8.0	18 2 32.0
9	1	20.9	32 1.02	1 19 46.1	18 0 53.9
9	4	55.7	31 55.70	0 59 7.0	18 21 33.0
7	4	29.0	32 29.00	1 2 6.6	18 18 33.4
7	7	44.1	32 3.97	0 47 24.0	18 33 16.0
9	6	41.3	33 11.17	1 17 27.8	18 3 12.2
9	5	44.6	34 24.63	1 34 0.7	17 46 39.3
8	5	35 2.7	34 42.71	1 24 37.0	17 56 3.0
9	3	34.7	35 54.77	1 45 39.4	17 35 0.6
3	2	33.5	37 3.37	2 36 51.2	16 43 48.8
9	4	20.1	37 20.10	1 45 28.4	17 35 11.6
9	6	6.7	37 36.37	0 11 45.9	19 8 54.1
9	4	55.7	38 55.70	1 8 40.2	18 11 59.8
7	1	20.5	40 0.54	1 6 41.9	18 13 58.1
10	4	57.3	39 57.30	0 55 43.1	18 24 56.9
7	5	42.2	40 22.20	1 22 35.9	17 58 4.1
9	3	9.5	41 29.58	1 41 21.1	17 39 18.9
9	3	39.8	41 59.83	1 56 5.1	17 24 34.9
9	3	15.9	42 35.97	1 49 29.7	17 31 10.3
9	4	10.4	43 10.40	2 24 15.8	16 56 24.2
10	7	47.5	43 7.75	2 29 3.8	16 51 36.2
7	4	44 23.0	44 23.00	2 17 46.9	17 2 53.1
7	1	5.3	45 45.25	2 6 48.5	17 13 51.5
7	3	32.9	45 52.96	1 52 19.0	17 28 21.0
5	5	56.7	45 36.74	1 40 32.6	17 40 7.4
9	4	51.2	46 51.20	1 33 47.6	17 46 52.4
9	7	29.4	46 49.20	0 31 21.6	18 49 18.4
9	2	9.6	48 39.65	1 24 6.4	17 56 33.6
9	4	36.5	48 36.50	1 28 28.6	17 52 11.4

*Hülfsstafel zur Reduction auf den mittlern
Ort 1850 Januar 0 D = - 18°.*

T.	k	k'	d	d'
1 10+	2.69	-5	-2	- 4.0 + 0.3 + 12.1
20+	2.64	-5	-2	- 3.7 + 0.4 + 12.1
30+	2.59	-4	-2	- 3.3 + 0.3 + 12.1
40+	2.55	-5	-2	- 3.0 + 0.4 + 12.1
50+	2.50		-2	- 2.6 + 12.1

40 Fad. 3. 40.0

44 " 5. 3.3

53 " 4. 39.7, Fad. 3 giebt 40".16

73 " 3. 43.4

77 " 2. 30.3

81 " 4. 59.8

84. Zeit unsicher.

87. Der Stern ist LL. 3487, wo aber die Minute der Polardistanz 43' statt 44' zu lesen ist, wie ausser dieser eine Beob. 1851 Oct. 13. zeigt.

No.	Gr.	Fad.	Beob. Zeit.	T.	Microsc. I	Südl. Declin.
93	8	5	5.5	1 48' 45.54	1 38' 56.9	17 41' 43.1
94	9.0	7	32.6	48 52.69	1 45 49.8	17 34 50.2
95	7	5	23.4	50 3.35	0 56 6.0	18 24 34.0
96	8	5	45.0	50 24.95	0 53 28.5	18 27 11.5
97	9	5	27.5	51 7.47	1 3 38.5	18 17 1.5
98	7.8	5	12.2	51 52.11	0 33 22.9	18 47 17.1
99	9.0	4	0.7	53 0.70	0 24 42.0	18 55 58.0
100	9	4	41.6	53 41.60	0 11 42.0	19 8 58.0
101	8	5	54 12.4	53 52.30	0 28 56.0	18 51 44.0
102	9	6	3.6	54 33.54	1 40 20.9	17 40 19.1
103	7	2	42.6	56 12.61	1 35 14.5	17 45 25.5
104	9	7	23.4	55 43.60	2 17 55.1	17 2 44.9
105	7	2	47.2	57 17.08	2 24 28.6	16 56 11.4
106	8	3	7.3	57 27.31	2 22 3.0	16 58 37.0
107	8	4	28.6	57 28.60	2 14 14.8	17 6 25.2
108	7	6	5.3	57 35.13	1 20 15.5	18 0 24.5
109	8.9	6	42.9	58 12.75	1 11 17.8	18 9 22.2
110	8	5	2.2	58 42.14	1 18 53.0	18 1 47.0
111	8.9	6	47.4	59 17.18	1 5 29.3	18 15 10.7
112	8.9	5	29.7	2 0 9.66	0 59 43.4	18 20 56.6
113	9	5	58.6	0 38.49	0 25 0.0	18 55 40.0
114	8.9	7	29.8	0 49.54	0 15 58.0	19 4 42.0
115	8.9	7	54.2	1 13.92	0 10 5.4	19 10 34.6
116	9	4	25.6	2 25.60	0 17 29.0	19 3 11.0
117	8	4	5.3	3 5.30	1 26 14.1	17 54 25.9
118	8.9	6	36.8	3 6.78	1 54 50.6	17 25 49.4
119	8.9	4	0.0	4 0.00	1 53 54.9	17 26 45.1
120	8.9	4	59.2	4 59.20	2 14 58.6	17 5 41.4
121	8	4	20.0	5 20.00	2 14 49.1	17 5 50.9
122	8	7	6.2	5 26.12	1 2 14.4	18 18 25.6
123	8	4	44.3	6 44.30	0 40 33.0	18 40 7.0
124	8.9	4	7 22.3	7 22.30	0 41 17.2	18 29 22.8
1	7	5	26 54.7	3 26 33.84	5 5 7.0	24 16 43.0
2	9	6	30.4	26 58.98	5 7 54.2	24 13 55.8
3	8	4	22.8	28 22.80	5 0 0.5	24 21 49.5
4	7.8	4	50.4	28 50.40	4 54 53.3	24 26 56.7
5	7	7	15.6	28 33.68	4 33 12.5	24 48 37.5
6	8	5	46.5	29 25.56	4 40 13.3	24 41 36.7
7	8	7	11.5	29 29.52	4 20 55.8	25 0 54.2
8	8.9	6	0.7	30 29.05	4 12 29.0	25 9 21.0
9	8.9	4	19.3	31 19.30	4 6 38.0	25 15 12.0
10	9.0	6	32 22.8	31 51.23	4 31 29.0	24 50 21.0
11	8	3	33 29.3	33 50.41	4 21 21.0	25 0 29.0
12	8.9	7	34 36.0	33 54.54	5 57 29.6	23 24 20.4
13	9	5	5.9	34 45.18	5 57 50.0	23 24 0.0
14	9	5	42.8	35 22.05	5 46 19.1	23 35 30.9
15	7.8	6	5.0	35 33.71	5 37 51.4	23 43 58.6
16	7.8	6	47.2	36 15.99	5 58 6.5	23 23 43.5
17	8.9	2	11.3	37 42.48	6 19 1.4	23 2 48.6
18	7	3	0.2	38 21.12	5 30 25.1	23 51 24.9
19	9	4	42.5	38 42.50	4 58 10.7	24 23 39.3
20	8.9	1	3.6	39 45.68	4 30 7.7	24 51 42.3
21	8.9	3	41.3	40 2.33	4 50 42.0	24 31 8.0
22	9	5	32.1	40 11.25	5 13 36.6	24 8 13.4
23	4.5	7	3.0	40 21.45	5 39 52.6	23 41 57.4

Hülfsstafel zur Reduction auf den mittlere Ort 1850 Januar 0 D = - 18°.

T.	k	k'	d
1 40+ 2.55	-5	-2	- 3.0 +0.4 +
50+ 2.50	-5	-2	- 2.6 +0.4 +
2 0+ 2.45	-4	-2	- 2.2 +0.4 +
10+ 2.41		-2	- 1.8 +

108 Fad. 7. 15.1

110 „ 6. 12.2

111 „ 7. 57.2

124. Die Minute des Microscops ist 51' zu 1 nach dem Zeugnis von Z. 318 No. 7 und der Beobachtung 1851 Oct. 20. Danach die Decl. angesetzt.

Gute Luft.

ZONE 332. 1851 Jan. 4. We

NC. 3 9 - 2 2.26

5 24 - 2 2.96

Anf. 27 11.16 + 3.4 34.2

Ende 10.91 + 3.5 36.0

Das Thermometer ist fortwährend gestiegen.

Microsc. I - 4'' 92 u. - 5'' 24

Decl. = Microsc. I - 29° 21' 50'

4'' r+i + 4'' 929 Δr + 0'' 015 Δi + 0'

Hülfsstafel zur Reduction auf den mittlere Ort 1850 Januar 0 D = - 24°.

T.	k	k'	d
3 20+ 2.18	-5	-2	+ 8.7 +0.5 +
30+ 2.13	-4	-2	+ 9.2 +0.5 +
40+ 2.09		-2	+ 9.7 +

10. Zeitsecunde zweifelhaft.

17 Fad. 3. 21'' 8

20 „ 2. 14.2

No.	Gr.	Fad.	Beob. Zeit.	T.	Microsc. I	Südl. Declin.
14	7.8	4	31.5	3 41' 31.50	5 41' 51.0	23 39' 59.0
15	9	7	52.3	41 10.72	5 35 12.4	23 46 37.6
16	7.8	7	12 :	41 30	5 41 49.5	23 40 0.5
17	8	4	43.6	42 43.62	5 48 25.3	23 33 24.7
18	9.0	4	29.7	43 29.70	5 45 51.3	23 35 58.7
19	8	5	1.4	43 40.76	6 5 36.8	23 16 13.2
20	8.9	5	45.4	44 24.68	5 59 42.4	23 22 7.6
21	7.8	4	11.4	45 11.40	5 58 27.9	23 23 22.1
22	9	7	39.5	44 58.04	5 56 52.8	23 24 57.2
23	8.9	3	45 57.0	46 17.85	5 57 58.5	23 23 51.5
24	8.9	5	45.5	46 24.69	6 0 43.0	23 21 7.0
25	8	3	14.9	47 35.66	6 31 47.0	22 50 3.0
26	9	4	37.7	47 37.70	6 33 0.2	22 48 49.8
27	6.7	7	7.3	47 25.79	5 47 16.8	23 34 33.2
28	8	1	45.4	49 27.27	5 22 15.8	23 59 34.2
29	7.8	2	11.4	49 42.66	5 29 44.0	23 52 6.0
30	8.9	5	47.7	49 26.96	5 52 32.1	23 29 17.9
31	8	4	22.2	50 22.20	5 44 14.2	23 37 35.8
32	8.9	3	57.1	51 17.88	6 26 46.7	22 55 3.3
33	9.0	6	26.2	50 55.06	6 16 58.0	23 4 52.0
34	9	7	52 35.7	51 54.29	6 7 9.1	23 14 40.9
35	8	7	9.4	52 27.89	5 47 8.2	23 34 41.8
36	8.9	5	47.0	53 26.25	5 45 17.3	23 36 32.7
37	8	5	9.6	53 48.85	5 45 42.5	23 36 7.5
38	8.9	4	35.0	54 35.00	5 39 9.2	23 42 40.8
39	9	7	6.4	54 24.78	5 27 53.8	23 53 56.2
40	9	4	38.5	55 38.50	5 14 17.8	24 7 32.2
41	8.9	3	4.6	56 25.61	4 57 33.6	24 24 16.4
42	8.9	7	36.0	55 54.06	4 30 4.9	24 51 45.1
43	7	4	5.4	57 5.40	4 29 20.1	24 52 29.9
44	9	7	34.6	56 52.70	4 37 4.6	24 44 45.4
45	8.9	2	59.8	58 31.30	4 32 10.6	24 49 39.4
46	9	2	57.5	59 28.76	5 29 59.5	23 51 50.5
47	7.8	3	58 24.7	59 45.63	5 28 18.0	23 53 32.0
48	8	5	4.9	59 44.13	5 40 14.9	23 41 35.1
49	9	7	27.0	59 45.46	5 42 43.8	23 39 6.2
50	8	3	58.8	4 1 19.67	5 51 2.6	23 30 47.4
51	9.0	4	2 44.3	2 44.30	5 21 4.9	24 0 45.1
52	9	7	30.5	2 48.72	4 58 33.6	24 23 16.4
53	9.0	7	12.4	3 30.36	4 12 47.5	25 9 2.5
54	9	2	47.9	5 19.46	4 18 27.9	25 3 22.1
55	9.0	3	6.7	5 27.83	4 15 6.0	25 6 44.0
56	9	1	5 44.1	6 26.23	4 10 52.1	25 10 57.9
57	8.9	5	42.0	6 21.14	5 4 42.0	24 17 8.0
58	7	6	55.6	6 24.24	5 9 11.3	24 12 38.7
59	7	4	49.5	7 49.50	4 46 29.1	24 35 20.9
60	9	7	17.2	7 35.47	5 6 32.5	24 15 17.5
61	7	3	59.5	9 20.38	5 44 36.5	23 37 13.5
62	9.0	6	29.4	8 58.10	5 36 43.8	23 45 6.2
63	9	7	59.3	9 17.71	5 33 48.8	23 48 1.2
64	7.8	5	25.6	10 4.80	5 27 3.7	23 54 46.3
65	9	6	1.2	10 30.02	6 5 46.8	23 16 3.2
66	6	1	29.4	12 10.96	6 1 6.9	23 20 43.1
67	8	4	51.0	11 51.00	6 13 47.0	23 8 3.0
68	9	2	25.2	12 56.23	6 28 37.3	22 53 12.7

Hälftafel zur Reduction auf den mittlern Ort 1850 Januar 0 D = - 24°.

T.	k	k'	d	d'
3 40 + 2.09	-4	-2	+ 9.7	+ 0.5
50 + 2.05	-4	-2	+ 10.2	+ 0.4
4 0 + 2.01	-3	-2	+ 10.6	+ 0.4
10 + 1.98	-4	-2	+ 11.0	+ 0.5
20 + 1.94	-2	-2	+ 11.5	+ 0.5

24. 26. derselbe.

27 Fad. 5. 4".4

29 „ 6. 12.0

52. Zeit unsicher.

57. Die Minute muss offenbar 59 heissen; unter dieser Annahme ist T berechnet.

66 Fad. 2. 54.6

68 „ 7. 6.0

No.	Gr.	Fad.	Beob. Zeit.	T.	Microsc. I	Südl. Declin.
79	7.8	3	2.3	4° 13' 23.11	6° 10' 53.7	23° 10' 56.3
80	8.9	4	28.5	13 28.50	6 18 28.1	23 3 21.9
81	9	3	20.4	14 41.36	5 15 46.9	24 6 3.1
82	8.9	3	51.0	15 12.06	4 42 36.4	24 39 13.6
83	9	6	21.4	14 49.81	4 27 53.0	24 53 57.0
84	8.9	7	53.6	15 11.73	4 42 36.0	24 39 14.0
85	8	1	16 50.3	17 32.00	5 16 21.0	24 5 29.0
86	8.9	6	48.0	17 16.83	6 1 52.6	23 19 57.4
87	9	5	26.4	18 5.72	5 54 28.9	23 27 21.1
88	8.9	3	9.5	19 30.29	6 20 42.0	23 1 8.0
89	9	2	37.5	20 8.43	6 22 6.2	22 59 43.8
90	9	7	23.2	19 41.72	5 53 59.9	23 27 50.1
91	7	6	38.9	20 7.66	5 52 56.2	23 28 53.8
92	7.8	7	8.6	20 27.17	6 3 35.9	23 18 14.1
93	8.9	4	42.0	21 42.00	6 18 23.0	23 3 27.0
94	6.7	5	9.8	21 49.12	6 15 11.9	23 6 38.1
95	8	7	32.3	21 50.83	5 55 16.2	23 26 33.8
96	8	4	12.3	23 12.30	5 58 29.4	23 23 20.6
97	6.7	2	38.4	24 9.53	6 0 18.2	23 21 31.8
98	8.9	4	4.6	24 4.60	5 54 19.0	23 27 31.0
99	9	2	24 34.6	25 5.74	5 58 55.0	23 22 55.0
100	9	7	16.7	24 35.10	5 32 26.0	23 49 24.0
101	7	6	0.3	25 28.72	4 55 40.4	24 26 9.6
102	8.9	3	33.6	26 54.65	5 1 4.4	24 20 45.6
103	8.9	4	45.7	26 45.70	5 1 52.9	24 19 57.1
104	8	5	25.3	27 4.44	5 6 16.8	24 15 33.2
105	6.7	2	47.0	28 18.34	5 0 22.0	24 21 28.0
106	6.7	2	28.0	28 59.50	4 31 5.8	24 50 44.2
107	8.9	1	54.7	29 36.75	4 31 2.6	24 50 47.4
108	9	3	37.3	29 58.37	4 38 39.1	24 43 10.9
109	9.0	5	31 14.5	30 53.68	5 20 54.0	24 0 56.0
110	7	7	34 :	30 53	6 0 12.3	23 21 37.7
111	9	7	18.7	31 37.29	6 7 59.3	23 13 50.7
112	8	1	58.0	33 39.42	6 26 44.2	22 55 5.8
113	8.9	7	23.0	32 41.33	5 17 33.8	24 4 16.2
114	9	5	0.6	33 39.71	4 55 15.8	24 26 34.2
115	5.6	7	32.5	33 50.59	4 35 6.1	24 46 43.9
116	9	7	59.0	34 17.12	4 40 45.0	24 41 5.0
117	7	5	33.2	35 12.34	5 5 35.8	24 16 14.2
118	8	1	7.7	36 49.52	5 13 43.6	24 8 6.4
119	7	3	35.8	36 56.73	5 26 47.5	23 55 2.5
120	9.0	5	41.4	37 20.67	5 54 51.1	23 26 58.9
121	9	3	59.4	38 20.27	5 51 56.5	23 29 53.5
122	9.0	5	37.8	38 17.10	6 6 50.3	23 14 59.7
123	8	5	57.6	38 36.92	6 13 49.1	23 8 0.9
124	8	2	40.6	40 11.67	6 18 14.4	23 3 35.6
125	9	2	40 0.0	40 31.08	6 16 29.4	23 5 20.6
126	9	4	39.0	40 39.00	6 28 1.7	22 53 48.3
127	8.9	4	59.4	40 59.40	6 31 40.3	22 50 9.7
128	8	5	28.9	41 8.12	6 8 28.7	23 13 21.3
129	7	1	8.3	42 49.85	6 1 50.1	23 19 59.9
130	7	4	28.6	42 28.60	5 49 15.0	23 32 35.0
131	8	6	56.3	42 24.95	5 23 41.6	23 58 8.4
132	8.9	4	43 27.6	43 27.60	5 12 25.7	24 9 24.3
133	9	5	1.5	43 40.63	5 3 47.2	24 18 2.8

*Hülftafel zur Reduction auf den mittl.
Ort 1850 Januar 0 D = - 21°.*

T.	k	k'	d
4 10+	1.98	-4	-2
20+	1.94	-3	-2
30+	1.91	-4	-2
40+	1.87	-3	-2
50+	1.84	-2	-2

82. 84. derselbe.

85 Fad. 2. 0".6

86 " 7. 58.3

87 " 6. 37.0

89 " 3. 47.5 Fäden 8".56 und 8".29

101 " 7. 10.4

102 " 4. 54.7

105 " 3. 57.3

113. Zeit unsicher.

116. ebenso.

118 Fad. 2. 18.2

128 " 6. 39.2

Gr.	Fad.	Beob. Zeit.	T.	Microsc. I	Südl. Declm.
3	1	27.2	4 45' 9.11	5 8' 3.0	24 13' 47.0
9	5	27.1	45 6.27	5 17 4.3	24 4 45.7
9	5	53.0	45 32.23	5 26 1.0	23 55 49.0
9	7	56.8	46 15.10	5 12 56.0	24 8 54.0
9	7	27.3	46 45.49	4 52 10.2	24 29 39.8
7	6	41.6	48 10.30	5 36 33.7	23 45 16.3
9	6	0.7	48 29.39	5 35 14.3	23 46 35.7
7	6	23.8	48 52.53	5 42 54.1	23 38 55.9
7	6	50.0	49 18.76	5 52 9.5	23 29 40.5
7	4	6.9	50 6.90	5 49 45.0	23 32 5.0
7	6	34.5	50 3.17	5 29 4.8	23 52 45.2
9	7	3.5	50 21.88	5 28 35.0	23 53 15.0
3	7	32.5	50 51.08	6 4 50.1	23 16 59.9
3	6	11.1	51 39.97	6 19 7.9	23 2 42.1
3	4	52 36.2	52 36.20	6 28 47.0	22 53 3.0
9	4	53 57.0	53 57.00	4 53 43.0	24 28 7.0
9	5	55.3	54 34.44	5 6 16.6	24 15 33.4
9	2	23.4	55 54.67	5 6 32.5	24 15 17.5
9	4	56.4	55 56.40	4 59 32.0	24 22 18.0
1	3	17.4	56 38.41	4 59 28.1	24 22 21.9
1	2	7.0	57 38.44	4 45 46.3	24 36 3.7
9	7	40.0	56 57.95	4 9 53.0	25 11 57.0
9	2	58 43.6	59 14.96	4 40 32.7	24 41 17.3
1	3	23.6	59 44.67	4 39 37.0	24 42 13.0
0	3	6.3	5 0 27.36	4 41 4.9	24 40 45.1
1	1	37.4	1 19.28	5 1 41.1	24 20 8.9
9	6	16.2	0 44.94	5 47 14.6	23 34 35.4
9	7	38.2	0 56.74	5 58 4.2	23 23 45.8
1	7	1.3	1 19.82	5 52 59.0	23 28 51.0
1	4	26.5	2 26.50	5 47 32.2	23 34 17.8
1	4	5.2	3 5.20	6 2 42.0	23 19 8.0
2	3	31.5	4 2.63	5 56 55.2	23 24 54.8
2	59	57.2	6 0 29.55	1 16 43.3	28 6 16.7
4	4	6.4	1 6.40	1 12 41.0	28 10 19.0
6	6	35.2	1 2.75	1 21 49.9	28 1 10.1
7	7	0.7	1 17.95	2 15 15.6	27 7 44.4
9	4	2.4	3 2.40	1 42 20.0	27 40 40.0
9	2	32.4	4 4.73	1 32 37.3	27 50 22.7
4	4	16.9	4 16.90	1 14 28.5	28 8 31.5
4	4	1.3	5 1.30	0 56 10.0	25 26 50.0
5	5	36.3	5 14.64	0 48 55.9	28 34 4.1
9	7	56.5	5 13.10	0 36 27.5	28 46 32.5
4	4	39.3	6 39.30	0 24 24.8	28 58 35.2
4	4	8.0	7 8.00	0 29 16.5	28 53 43.5
4	4	41.2	7 41.20	0 33 19.0	28 49 41.0
6	6	16.5	7 43.63	0 2 1.9	29 20 58.1
6	6	57.5	8 24.71	0 14 55.0	29 8 5.0
5	5	33.3	9 11.48	0 4 17.6	29 18 42.4
1	1	10.8	10 54.38	0 30 8.8	28 52 51.2
9	6	52.7	10 20.23	1 16 1.2	28 6 58.8
5	11	32.5	11 11.08	2 0 53.3	27 22 6.7
4	4	11.3	12 11.30	2 11 39.9	27 11 20.1
9	5	42.2	12 20.85	2 22 2.8	27 0 57.2
5	5	1.5	12 40.17	2 26 49.0	26 56 11.0
5	5	33.4	13 12.03	2 15 5.0	27 7 55.0

*Hülftafel zur Reduction auf den mittler
Ort 1850 Januar 0 D = - 24°.*

T.	k	k'	d
4 40+ 1.87	-3	-2	+12.3 +0.4 +5
50+ 1.84	-3	-2	+12.7 +0.4 +5
5 0+ 1.81	-3	-2	+13.1 +0.4 +5
10+ 1.78		-2	+13.5 +5

134 Fad. 3. 48.2
136 „ 7. 13.9
138. Ein Stern 8.9 pr. 7''-8''
151 Fad. 3. 33.6
156 „ 3. 53.8
165 „ 3. 41.9 Fad. 5. 23''.2; bei die
Sterne ward ein Fehler von -1'' entd
und verbessert.

Ausgezeichnete Luft.

ZONE 333. 1851 Jan. 4. Wes

NC. 5 24' - 2 2.96''
7 11 - 2 2.79
Anf. 27 10.79 + 3.5 37.0
Ende 10.73 + 3.4 36.1
Microsc. I - 5''.43
Decl. = Microsc. I - 29° 23' 0''
6'' r+i + 4'' .956 $\Delta r + 0'' .015$ $\Delta i + 0'' .1$

*Hülftafel zur Reduction auf den mittlern
Ort 1850 Januar 0 D = - 28°.*

T.	k	k'	d
6 0+ 1.70	-2	-1	+12.0 +0.2 +4
10+ 1.68	-2	-1	+12.2 +0.1 +4
20+ 1.66		-1	+12.3 +4

1 Fad. 3. 7.8
10. Zeit unsicher beobachtet.

Nº.	Gr.	Fad.	Beob. Zeit.	T.	Microsc. I	Südl. Declin.
24	7	5	0.3	6 13 38.97	2 27 11.0	26 55 49.0
25	9	5	21.5	14 0.19	2 31 51.6	26 51 8.4
26	7.8	7	49.6	14 7.00	2 39 24.0	26 43 36.0
27	9	7	31.0	14 48.34	2 29 36.0	26 53 24.0
28	9	4	13.2	16 13.20	2 19 33.0	27 3 27.0
29	9	3	34.6	16 56.07	2 24 44.0	26 58 16.0
30	7.8	1	55.5	17 38.35	2 22 59.7	27 0 0.3
31	9	7	39.3	16 56.61	2 24 43.0	26 58 17.0
32	7.8	3	2.8	18 24.32	2 7 58.3	27 15 1.7
33	9	7	18 36.3	17 53.48	2 4 54.5	27 18 5.5
34	9	7	6.5	18 23.63	1 56 56.3	27 26 3.7
35	9	2	49.6	20 21.93	1 33 51.2	27 49 8.8
36	8.9	3	20 58.6	21 20.35	1 0 19.5	28 22 40.5
37	9	2	32.5	22 5.01	0 56 11.8	28 26 48.2
38	9	3	29.0	22 50.79	0 48 43.6	28 34 16.4
39	9	6	20.6	22 47.85	0 23 10.4	28 59 49.6
40	9	5	24 16.5	23 54.75	0 21 48.1	29 1 11.9
41	9	4	46.5	24 46.50	0 24 40.0	28 58 20.0
42	7.8	1	21.4	26 5.11	0 11 13.0	29 11 47.0
43	8.9	7	51.3	25 8.06	1 1 25.8	28 21 34.2
44	7.8	5	24.6	26 3.07	1 27 15.2	27 55 44.8
45	8.9	7	7.3	26 24.33	1 41 41.2	27 41 18.8
46	8.9	6	29.5	26 57.19	1 32 49.9	27 50 10.1
47	8.9	5	10.5	27 48.99	1 32 5.9	27 50 54.1
48	8	5	36.0	28 14.61	2 9 46.6	27 13 13.4
49	8	4	0.0	29 0.00	2 12 15.0	27 10 45.0
50	9	6	24.7	28 52.54	2 20 28.1	27 2 31.9
51	8.9	2	20.2	30 52.27	2 26 46.0	26 56 14.0
52	9	5	59.8	30 38.38	1 59 31.4	27 23 28.6
53	9	5	41.4	31 19.99	2 1 34.0	27 21 26.0
54	9	4	16.0	32 16.00	2 10 9.8	27 12 50.2
55	7	7	43.5	32 0.54	1 42 22.5	27 40 37.5
56	7.8	5	11.6	32 50.11	1 45 55.2	27 37 4.8
57	8	3	42.4	34 4.01	1 43 20.3	27 39 39.7
58	9	4	27.4	34 27.40	1 17 16.6	28 5 43.4
59	7	5	59.2	34 37.64	1 15 7.0	28 7 53.0
60	8	3	20.1	35 41.81	1 13 49.8	28 9 10.2
61	9	2	1.2	36 33.71	0 56 40.6	28 26 19.4
62	9	4	58.2	36 58.20	0 40 2.2	28 42 57.8
63	7	5	35.2	37 13.43	0 17 50.2	29 5 9.8
64	9	7	0.6	37 17.11	0 24 52.6	28 58 7.4
65	9	3	30.7	38 52.56	0 28 3.5	28 54 56.5
66	8	5	39 14.8	38 53.11	0 38 28.0	28 44 32.0
67	9	7	10.8	39 27.58	1 3 54.8	28 19 5.2
68	8	5	42.1	40 20.55	1 20 36.9	28 2 23.1
69	9	5	12.5	40 50.96	1 23 54.1	27 59 5.9
70	8	7	42 34.5	41 51.63	1 56 41.0	27 26 19.0
71	7	6	5.8	42 33.59	2 9 31.2	27 13 28.8
72	8.9	7	30.5	42 47.72	2 10 31.0	27 12 29.0
73	7	4	4.5	44 4.50	2 12 39.3	27 10 20.7
74	8.9	4	18.9	44 18.90	2 14 14.2	27 8 45.8
75	7.8	5	51.2	44 29.86	2 25 0.7	26 57 59.3
76	7	4	8.6	45 8.60	2 17 16.1	27 5 43.9
77	9	4	37.8	45 37.88	2 22 10.3	27 0 49.7
78	8.9	7	27.5	45 44.90	2 39 8.1	26 43 51.9

Hilfstafel zur Reduction auf den mittl.
Ort 1850 Januar 0 D = - 28°.

T.	k	k'	d
6 10+ 1.68	-2	-1	+12.2 +0.1 +
20+ 1.66	-1	-1	+12.3 +0.2 +
30+ 1.65	-2	-1	+12.5 +0.1 +
40+ 1.63	-1	-1	+12.6 +0.1 +
50+ 1.62	-1	-1	+12.7 +0.1 +

30 Fad. 2. 6.3
29. 31. derselbe.
46 Fad. 7. 40.3
55. Zeit unsicher beobachtet.
56 Fad. 6. 22.4
77 " 5. 59.3

Gute Luft, die Fortsetzung der Zone ward d

Nº.	Gr.	Fad.	Beob. Zeit.	T.	Microsc. I	Südl. Declin.
79	6.7	4	46' 56.8	6 46' 56.80	2° 35' 52.6	26° 47' 7.4
1	7.8	7	39 26.4	1 38 43.67	2 18 58.1	27 3 21.9
2	8.9	6	40 40.6	40 8.61	2 55 39.7	26 26 40.3
3	8.9	4	15.0	41 15.00	3 1 18.4	26 21 1.6
4	7	7	19.2	41 36.50	2 22 24.5	26 59 55.5
5	8.9	7	43.5	42 0.88	2 35 37.4	26 46 42.6
6	8	4	44 9.0	44 9.00	4 11 35.8	25 10 44.2
7	8	4	45 19.6	45 19.60	3 34 53.8	25 47 26.2
8	8	5	12.6	45 51.34	2 48 19.5	26 34 0.5
9	8.9	1	46.8	47 29.66	2 17 34.7	27 4 45.3
10	8	2	47 44.5	48 16.33	3 15 55.7	26 6 24.3
11	9	1	22.4	49 4.92	3 11 48.1	26 10 31.9
12	8.9	3	56.4	49 17.69	3 21 19.8	26 1 0.2
13	8.9	4	41.7	49 41.70	4 9 59.0	25 12 21.0
14	7.8	7	0.0	49 18.03	4 23 46.8	24 58 33.2
15	9.0	5	41.0	50 20.02	4 24 32.3	24 57 47.7
16	8	7	59.7	50 17.81	4 38 9.0	24 44 11.0
17	7	1	36.1	52 18.10	4 39 16.0	24 43 4.0
18	9.0	6	22.5	51 50.73	3 44 22.0	25 37 58.0
19	9	1	58.4	53 40.87	3 19 38.3	26 2 41.7
20	8	4	32.3	53 32.30	2 25 20.6	26 56 59.4
21	9.0	7	29.5	53 46.82	2 27 56.5	26 54 23.5
22	8.9	6	11.1	54 39.13	3 0 46.6	26 21 33.4
23	9	7	47.7	55 5.30	3 12 9.4	26 10 10.6
24	8	5	49.5	56 28.37	3 31 8.8	25 51 11.2
25	8.9	4	58 35.4	58 35.53	4 16 12.0	25 6 8.0
26	8	3	58 18.5	58 39.72	4 16 21.4	25 5 58.6
27	8.9	3	9.2	59 30.38	3 58 21.0	25 23 59.0
28	8.9	4	9.8	2 0 9.80	2 35 29.2	26 46 50.8
29	8.9	1	3.7	1 46.32	2 55 5.9	26 27 14.1
30	8.9	2	2 26.6	2 58.33	3 38 43.6	25 43 36.4
31	4	5	0.2	2 39.21	4 18 38.0	25 3 42.0
32	9.0	4	53.4	3 53.40	4 8 52.2	25 13 27.8
33	9	4	4 26.8	4 26.80	4 5 28.1	25 16 51.9
34	8.9	5	14.6	4 53.61	4 18 47.0	25 3 33.0
35	9	4	11.2	6 11.20	3 50 57.1	25 31 22.9
36	7	4	42.5	6 42.50	3 52 20.0	25 30 0.0
37	9	2	7 58.2	8 30.07	2 45 36.1	26 36 43.9
38	7.8	6	21.6	8 49.39	2 9 16.1	27 13 3.9
39	8	5	20.6	9 59.56	4 2 15.6	25 20 4.4
40	9	3	56.3	11 17.50	3 52 37.4	25 29 42.6
41	8.9	1	12 0.4	12 42.85	3 22 35.4	25 59 44.6
42	6	5	33.2	12 11.92	2 43 0.9	26 39 19.1
43	8.9	7	25.2	12 42.87	3 22 35.0	25 59 45.0
44	9.0	2	3.2	14 34.85	3 56 8.1	25 26 11.9
45	8	1	39.5	15 21.85	3 29 8.1	25 53 11.9
46	8.9	2	11.8	15 43.68	3 6 57.0	26 15 23.0
47	9.0	7	11.3	15 28.87	3 5 13.1	26 17 6.9
48	9	2	54.5	17 26.25	3 35 31.5	25 46 48.5
49	9.0	6	19.9	16 48.03	3 22 53.8	25 59 26.2
50	6	5	53.6	17 32.34	2 50 35.7	26 31 44.3
51	9	4	34.7	18 34.70	2 47 10.9	26 35 9.1
52	9.0	5	24.5	19 3.15	2 23 7.9	26 59 12.1
53	9	5	20 50.4	20 29.38	4 10 22.5	25 11 57.5
54	8.9	3	41.2	22 2.40	3 53 0.1	25 29 19.9

Wolken verhindert.

ZONE 334. 1851 Jan. 6. W

NC. 1 25' - 2 0.00
4 36 2.78

Anf. 27 8.35 + 3.5 33.5

Ende 8.45 + 3.0 33.0 Barom. interpol

Microsc. I - 5".81 u. - 6" 27 Ende inter

Decl. = Microsc. I - 29° 22' 20"

2" $\tau + i + 5''.627$ $\Delta\tau + 0''.019$ $\Delta i +$

Hilfstafel zur Reduction auf den mittl Ort 1850 Januar 0 D = - 26°.

T.	k	k'	d
1 40' 3.41	-5	-2	+ 6.0 + 0.2
50' 3.36	-5	-2	+ 6.2 + 0.2
2 0' 3.31	-4	-2	+ 6.4 + 0.1
10' 3.27	-5	-2	+ 6.5 + 0.2
20' 3.22	-4	-2	+ 6.7 + 0.2
30' 3.18		-2	+ 6.9

5. Zeit unsicher beobachtet.

14. ebenso.

16. ebenso.

24 Fad. 6. 0".2

25 " 2. 4.1

26 " 4. 39.8

37 " 4. 30.1 Fad. 5. 51".2

36. Der Stern ist LL. 4162, wo aber die
der Polardistanz 44' statt 54' zu lese
wie dies eine Beob. 1851 Oct. 13. bes

No.	Gr.	Fad.	Beob. Zeit.	T.	Microsc. I	Südl. Decln.
55	8.9	4	1.0	2 22' 0.85	3 42' 51.8	25 39' 28.2
56	6.7	4	23 25.7	23 25.70	3 30' 45.8	25 51' 34.2
57	8.9	2	45.9	24 17.69	3 26' 39.7	25 55' 40.3
58	8.9	7	44.9	24 2.80	4 1' 28.0	25 20' 52.0
59	9.0	7	25 46.4	25 4.35	4 9' 58.4	25 12' 21.6
60	9	6	38.3	26 6.31	2 57' 19.0	26 25' 1.0
61	8.9	5	11.3	26 50.10	3 7' 53.3	26 14' 26.7
62	8	4	53.1	27 53.10	3 19' 54.0	26 2' 26.0
63	9	2	28 50.3	29 22.04	3 37' 7.4	25 45' 12.6
64	7	1	21.2	30 3.53	3 41' 35.0	25 40' 45.0
65	8.9	3	46.3	30 7.40	4 26' 52.2	24 55' 27.8
66	7	6	35.2	30 3.42	3 41' 35.5	25 40' 44.5
67	8	1	31 22.7	32 5.16	3 21' 17.2	26 1' 2.8
1	8	2	33 29.7	2 34' 2.97	8 37' 18.1	30 46' 41.9
2	6.7	6	7.9	33 34.38	8 8' 1.3	31 15' 58.7
3	7	1	39.0	35 23.54	8 21' 6.0	31 2' 24.0
4	9.0	4	8.5	35 8.50	8 27' 20.0	30 56' 40.0
5	7	7	54.6	35 10.35	8 42' 4.0	30 41' 56.0
6	7.8	2	43.3	37 16.13	9 56' 48.6	29 27' 11.4
7	8	4	24.2	37 24.20	10 18' 55.0	29 5' 5.0
8	8.9	5	13.5	37 51.58	9 33' 7.4	29 50' 52.6
9	9	4	5.3	39 5.30	8 53' 14.1	30 30' 45.9
10	8.9	5	50.6	39 28.38	8 17' 50.6	31 6' 9.4
11	9	2	41 31.3	42 4.04	10 13' 17.1	29 10' 42.9
12	9	1	5.6	42 49.52	9 42' 43.3	29 41' 16.7
13	9.0	2	30.4	43 3.19	9 37' 49.6	29 46' 10.4
14	9	5	8.5	42 46.50	9 13' 5.9	30 10' 54.1
15	7.8	1	44 12.7	44 57.23	8 21' 12.1	31 2' 47.9
16	8.9	5	53.2	44 31.32	9 46' 17.1	29 37' 42.9
17	9	7	42.0	44 58.47	10 19' 34.5	29 4' 25.5
18	8.9	5	47 10.5	46 48.44	8 57' 12.6	30 26' 47.4
19	7	2	38.9	48 12.06	8 56' 54.5	30 27' 5.5
20	7	4	15.4	48 15.40	7 54' 44.0	31 29' 16.0
21	7.8	6	45.5	48 12.27	8 56' 50.5	30 27' 9.5
22	8	3	30.8	49 52.80	9 50' 6.7	29 33' 53.3
23	8.9	5	8.5	49 46.72	10 12' 37.1	29 11' 22.9
24	9	1	31.2	51 14.85	10 20' 32.2	29 3' 27.8
25	8.9	2	11.4	51 44.07	10 24' 59.8	28 59' 0.2
26	6	2	52 7.3	52 40.22	9 53' 15.8	29 30' 44.2
27	8.9	5	53 48.1	53 25.97	8 38' 14.6	30 45' 45.4
28	7	3	14.3	54 36.61	8 27' 8.1	30 56' 51.9
29	9	6	53.9	54 20.78	9 5' 45.9	30 18' 14.1
30	9	4	37.4	55 37.40	8 21' 27.8	31 2' 32.2
31	9	4	58.5	55 58.50	8 20' 0.8	31 3' 59.2
32	9	6	57 29.1	56 56.14	9 45' 25.6	29 38' 34.4
33	8.9	6	57 55.1	57 22.08	9 34' 0.8	29 49' 59.2
34	9	2	45.5	59 18.47	9 41' 4.9	29 42' 55.1
35	8.9	3	22.2	59 44.17	9 59' 57.1	29 24' 2.9
36	9.0	5	50.5	59 28.61	9 52' 36.0	29 31' 24.0
37	7	5	42.0	3 0' 19.92	8 50' 12.5	30 33' 47.5
38	7	3	0 16.0	1 38.30	8 30' 55.0	30 53' 5.0
39	8	5	3 17.1	2 55.36	10 26' 57.2	28 57' 2.8
40	9.0	5	52.4	3 30.53	9 47' 37.9	29 36' 22.1
41	8	4	33.0	4 33.00	9 23' 15.1	30 0' 44.9
42	8.9	2	1.1	5 34.39	8 33' 44.9	30 50' 15.1

Hälftafel zur Reduction auf den mittlere Ort 1850 Januar 0 D = - 26°.

T.	k	k'	d
u			
2 20 + 3.22	-4	-2	+ 6.7 + 0.2 +
30 + 3.18	-5	-2	+ 6.9 + 0.1 +

55 Fad. 5. 21.8

59. Das Zehntel der Zeitsecunde ist undeutlich vielleicht 9 statt 4.

64. 66. derselbe.

Ausgezeichnete Luft.

ZONE 335. 1851 Jan. 6. Wei

NC. 1 25' - 2 0.00

4 36 - 2 2.78

Anf. 27 8.45 + 3.0 33.0, Barom. interpolir

3 2 32.6

Ende 27 8.59 + 2.1 31.0

Microsc. I - 5".82 u. - 6".52, Anf. interp

Decl. = Microsc. I - 39° 24' 0"

3^a τ + i + 5".643 Δτ + 0".019 Δi + 0"

Hälftafel zur Reduction auf den mittlere Ort 1850 Januar 0 D = - 30°.

T.	k	k'	d
u			
2 30 + 3.24	-5	-2	+ 7.3 + 0.1 +
40 + 3.19	-4	-2	+ 7.4 + 0.1 +
50 + 3.15	-5	-2	+ 7.5 0.0 +
3 0 + 3.10	-4	-2	+ 7.5 0.0 +
10 + 3.06		-2	+ 7.5 +

3. Die Secunde des Microscops muss 36".0 wie Z. 336 N°. 122 und eine eigene Beotung zeigt; unter dieser Annahme ist die berechnet.

13 Fad. 3. 41".0

25 " 3. 22.2

26 " 3. 18.3

34 " 3. 56.5

36 " 6. 1.5

38. Die Zeitminute muss 1 sein, wie die 1 der Zeiten und LC. 981 zeigen. Unter d Annahme ist T berechnet.

Nº.	Gr.	Fad.	Beob. Zeit.	T.	Microsc. I	Südl. Declin.
43	9	7	40.0	3 ^u 4' 55.58	8 20' 23.3	31° 3' 36.7
44	8	5	41.1	6 18.98	8 41' 4.8	30 42 55.2
45	8.9	3	0.6	7 22.88	8 37' 16.5	30 46 43.5
46	6.7	5	41.6	7 19.56	9 2' 4.2	30 21 55.8
47	9.0	5	0.5	7 38.32	9 0' 26.3	30 23 33.7
48	9.0	2	40.0	9 12.84	9 48' 17.2	29 35 42.8
49	8.9	3	20.5	9 42.42	10 12' 1.5	29 11 58.5
50	9	3	51.2	10 13.09	10 20' 47.0	29 3 13.0
51	6.7	3	11 18.8	11 40.75	10 2' 44.5	29 21 15.5
52	9	2	48.5	12 21.57	9 20' 0.6	30 3 59.4
53	6	7	34 :	11 40	10 2' 41.0	29 21 19.0
54	7	2	7.5	13 40.29	9 59' 44.3	29 24 15.7
55	8.9	4	39.5	13 39.50	10 13' 54.5	29 10 5.5
56	7	5	1.4	13 39.55	9 51' 24.8	29 32 35.2
57	8.9	3	42.2	15 4.42	8 52' 34.1	30 31 25.9
58	9	6	24.3	14 50.98	8 40' 22.3	30 43 37.7
59	9	3	57.6	16 19.87	8 40' 13.0	30 43 47.0
60	9	1	2.5	17 47.05	8 19' 57.1	31 4 2.9
61	7	4	18 57.1	18 57.10	9 1' 42.0	30 22 18.0
62	9	3	45.2	20 7.31	9 19' 35.5	30 4 24.5
63	7.8	4	25.3	20 25.30	10 18' 7.9	29 5 52.1
64	8.9	4	21 57.6	21 57.60	9 26' 49.7	29 57 10.3
65	9	3	23 12.9	23 34.98	9 29' 5.1	29 54 54.9
66	9	4	24 41.4	24 41.40	9 48' 13.6	29 35 46.4
67	8.9	2	16.2	25 49.06	9 51' 54.2	29 32 5.8
68	9.0	3	58.2	26 20.23	9 40' 13.6	29 43 46.4
69	9	4	33.5	26 33.28	9 0' 14.0	30 23 46.0
70	9.0	5	28 5.0	27 42.87	8 38' 4.0	30 45 56.0
71	7	7	29 :	27 45	8 16' 38.5	31 7 21.5
72	9	4	39 38.5	29 38.50	8 10' 25.5	31 13 34.5
73	8	6	29.2	29 56.37	10 8' 38.7	29 15 21.3
74	7	4	58.6	30 58.60	9 4' 35.0	30 19 25.0
75	8	7	56 :	31 12	8 43' 31.9	30 40 28.1
76	8	3	58.4	33 20.41	9 48' 13.5	29 35 46.5
77	7.8	4	39.0	33 39.00	10 23' 39.9	29 0 20.1
78	9	3	34 39.6	35 1.59	8 59' 24.1	30 24 35.9
79	8.9	2	35 25.7	35 58.96	8 39' 52.0	30 44 8.0
80	9	3	59.0	36 21.25	8 45' 6.0	30 38 54.0
81	7	2	37 11.9	37 44.62	10 17' 12.0	29 6 48.0
82	9.0	7	54.2	37 16.33	9 32' 37.0	29 51 23.0
83	9.0	6	32.5	37 59.26	8 54' 23.7	30 29 36.3
84	9	4	35.5	39 35.50	8 50' 35.1	30 33 24.9
85	7	1	9.7	40 53.99	8 52' 57.0	30 31 3.0
86	8.9	4	41.5	40 41.50	8 5' 34.0	31 18 26.0
87	7	5	16.0	40 53.93	8 52' 59.7	30 31 0.3
88	7.8	5	32.8	41 10.76	9 2' 8.0	30 21 52.0
89	6	5	11.9	41 49.80	8 46' 56.0	30 37 4.0
90	8.9	6	23.0	41 49.78	8 50' 32.2	30 33 27.8
91	9.0	7	6.2	42 22.02	8 51' 57.0	30 32 3.0
92	8.9	2	45.2	44 18.26	9 15' 57.0	30 8 3.0
93	7.8	1	7.3	44 51.23	9 32' 25.6	29 51 34.4
94	8.9	1	57.2	45 40.95	10 6' 15.3	29 17 44.7
95	8	7	35.3	44 51.42	9 32' 25.0	29 51 35.0
96	8.9	7	2.5	45 18.33	8 52' 23.9	30 31 36.1
97	9	4	47 26.5	47 26.50	10 37' 55.9	28 46 4.1

*Hälftafel zur Reduction auf den mittlern
Ort 1850 Januar 0 D = -30°.*

T.	k	k'	d	d'
3 ^u 0' + 3.10	-4	-2	+ 7.5	0.0 +57.4
10 + 3.06	-5	-2	+ 7.5	0.0 +57.4
20 + 3.01	-4	-2	+ 7.5	0.0 +57.5
30 + 2.97	-4	-2	+ 7.5	-0.1 +57.5
40 + 2.93	-4	-2	+ 7.4	0.0 +57.6
50 + 2.89		-2	+ 7.4	+57.6

47 Fad. 6. 11.4
 48 " 3. 50.8
 52 " 3. 59.5
 51. 53. derselbe.
 54 Fad. 3. 18.3
 60 " 3. 24.7
 69 " 5. 55.1 giebt 33".06
 78 " 4. 1.4 Faden 3 giebt 1".79
 85. 87. derselbe.
 90 Fad. 7. 34.0
 93 " 2. 18.2 identisch mit N°. 95.
 96. Zeit unsicher beobachtet.
 97 Fad. 5. 48.2

No.	Gr.	Fad.	Beob. Zeit.	T.	Microsc. I	Südl. Declin.
98	9	4	26.3	3 48' 26.30	9 57' 7.1	29 26' 52.9
99	9.0	5	26.5	49 4.61	9 42' 53.6	29 41' 6.4
100	8.9	7	49 35.9	48 52.11	9 44' 26.0	29 39' 34.0
101	7.8	5	27.2	50 5.22	9 18' 2.9	30 5' 57.1
102	8.9	6	1.0	50 27.82	8 58' 12.0	30 25' 48.0
103	9	6	6.0	51 32.82	9 5' 57.7	30 18' 2.3
104	9	4	3.2	53 3.20	9 24' 27.9	29 59' 32.1
105	9	5	51.3	53 29.39	9 37' 45.0	29 46' 15.0
106	8.9	4	17.5	54 17.50	9 43' 59.0	29 40' 1.0
107	9	2	0.3	55 33.09	9 47' 37.3	29 36' 22.7
108	7.8	2	41.0	56 13.67	10 26' 23.2	28 57' 36.8
109	9	4	26.8	56 26.80	10 18' 9.3	29 5' 50.7
110	7	1	57 52.7	58 36.23	10 37' 37.0	28 46' 23.0
111	9	6	59 22.2	59 49.09	9 18' 45.3	30 5' 14.7
112	8.9	5	19.5	4 0' 57.71	10 10' 29.1	29 13' 30.9
113	9	6	44.2	1 11.42	10 17' 45.2	29 6' 14.8
114	8	4	2 51.8	2 51.80	10 5' 8.1	29 18' 51.9
115	8.9	4	3 11.4	3 11.40	10 12' 17.9	29 11' 42.1
116	9	3	4 26.6	4 48.58	9 56' 47.5	29 27' 12.5
117	9.0	4	4 51.5	4 51.50	10 0' 45.1	29 23' 14.9
1	8.9	4	5 27.5	1 5' 27.50	9 25' 14.0	29 58' 46.0
2	9	7	0.3	5 16.43	9 32' 57.1	29 51' 2.9
3	9	4	7 8.3	7 8.30	10 1' 53.0	29 22' 7.0
4	9	3	45.5	8 7.39	10 20' 19.0	29 3' 41.0
5	9	6	39.2	8 5.75	9 1' 59.1	30 22' 0.9
6	9	2	27.4	10 0.67	8 37' 43.6	30 46' 16.4
7	9	3	11.2	10 33.08	10 23' 56.8	29 0' 3.2
8	8	2	49.3	11 22.08	9 52' 10.0	29 31' 50.0
9	9	7	17.0	10 33.49	10 23' 56.6	29 0' 3.4
10	8	1	52.1	12 35.74	10 22' 2.3	29 1' 57.7
11	9	4	32.5	12 32.50	9 44' 38.1	29 39' 21.9
12	7.8	3	52.2	13 14.25	9 37' 9.1	29 46' 50.9
13	8.9	5	39.2	13 17.16	9 0' 45.6	30 23' 14.4
14	9	7	10.5	13 26.30	8 48' 23.0	30 35' 37.0
15	8.9	7	59.5	14 15.74	9 48' 43.8	29 35' 16.2
16	8.9	4	36.7	15 36.70	10 15' 30.1	29 18' 29.9
17	9	1	16 31.4	17 14.96	10 33' 14.0	28 50' 46.0
18	8	4	17.1	17 17.10	10 36' 27.1	29 17' 32.9
19	9	5	45.0	17 23.14	9 50' 50.3	29 33' 9.7
20	8	4	21.4	18 21.40	9 49' 46.7	29 34' 13.3
21	9.0	4	49.4	18 49.40	9 56' 43.9	29 27' 16.1
22	8.9	3	22.5	19 44.65	9 9' 7.1	30 14' 52.9
23	9.0	5	20 29.4	20 7.33	8 53' 15.5	30 30' 44.5
24	7	7	46 :	20 2	8 23' 36.9	31 0' 23.1
25	8	4	40.7	21 40.70	8 44' 3.1	30 39' 56.9
26	8	2	5.2	22 38.49	8 35' 1.9	30 48' 58.1
27	7	3	47.7	23 9.72	9 45' 11.4	29 38' 48.6
28	8	1	27.6	24 11.18	10 30' 46.1	28 53' 13.9
29	6.7	4	24 28.0	24 28.00	8 38' 41.9	30 45' 18.1
30	6	5	5.0	24 42.80	8 21' 16.9	31 2' 43.1
31	8.9	5	49.7	25 27.63	8 54' 21.1	30 29' 38.9
32	8	4	24.4	26 24.40	8 41' 47.5	30 42' 12.5
33	8.9	3	26 49.1	27 11.36	8 40' 45.0	30 43' 15.0
34	7	2	26.6	27 59.84	8 43' 13.0	30 40' 47.0
35	8.9	3	41.5	28 3.74	8 45' 31.4	30 38' 28.6

Hülftafel zur Reduction auf den mittlere Ort 1850 Januar 0 D = - 30°.

T.	k	k'	d
u	0' + 2.93	-4	-2 + 7.4 0.0 +
3	40 + 2.89	-4	-2 + 7.4 0.0 +
50	0 + 2.85	-4	-2 + 7.4 0.0 +
10	0 + 2.81	-2	+ 7.4 0.0 +

102 Fad. 7. 12.0

107 " 3. 11.0

111. Die Zeitminute muss nach dem übereinstimmenden Zeugnis von Z. 348 und 351 statt 59. Unter dieser Annahme sind von No. 111 bis 113 berechnet.

Ganz ausgezeichnete Luft; zuletzt wohl zu etwas Gewölk.

ZONE 336. 1851 Jan. 8. We

NC. 0 49' - 2' 1.40

2 52 2.03

Anf. 27 8.76 + 4.5 40.1

Ende 9.04 + 4.1 37.3

Microsc. I - 5'' 84 u. - 5'' 14

Decl. = Microsc. I - 39° 24' 0''

2'' $\tau + i + 6'' 077$ $\Delta \tau + 0'' 019$ $\Delta i + 0''$

Hülftafel zur Reduction auf den mittlere Ort 1850 Januar 0 D = - 30°.

T.	k	k'	d
u	0' + 5.12	-4	-2 + 8.7 + 0.3 +
1	10 + 4.08	-5	-2 + 8.9 + 0.2 +
20	0 + 4.03	-4	-2 + 9.1 + 0.2 +
30	0 + 3.99	-2	+ 9.3 + 0.2 +

5 Fad. 7. 49.6 Fäden 6'' 00 und 5'' 50

8 " 3. 0.0

7. 9. derselbe.

16. Nach dem Zeugnis von Z. 328 No. 7 unter Beob. 1851 Oct. 3. muss die Minute Microscops 5' sein; danach ist T berechnet.

18. Nach dem Zeugnis von Z. 328 No. 8 unter Beob. 1851 Oct. 13. muss die Minute Microscops 6' sein; demgemäss ist die I angesetzt.

No.	Gr.	Fad.	Beob. Zeit.	T.	Microsc. I	Südl. Declin.
36	8.9	1	26.6	1 29' 10.73"	9 14' 19.0"	30 9' 41.0"
37	6	4	8.2	29 8.20	8 43 37.3	30 40 22.7
38	8	3	43.6	30 5.73	9 14 33.1	30 9 26.9
39	9.0	7	39.5	29 55.25	8 43 3.0	30 40 57.0
40	9	4	24.3	31 24.22	10 3 54.0	29 20 6.0
41	7.8	5	38.7	32 16.99	9 36 33.6	29 47 26.4
42	9	7	34 31.2	33 47.67	10 20 53.6	29 3 6.4
43	8.9	6	18.7	34 46.03	10 39 33.6	28 44 26.4
44	9	6	0.5	35 27.84	10 3 14.1	29 20 45.9
45	9	5	37 15.0	36 52.91	8 50 4.8	30 33 55.2
46	7	4	0.5	38 0.50	9 54 53.6	29 29 6.4
47	8	5	28.3	38 6.49	10 5 42.3	29 18 17.7
48	9	2	2.0	39 34.72	10 26 0.3	28 57 59.7
49	8	2	57.4	40 30.23	9 57 29.6	29 26 30.4
50	9	4	26.5	40 26.59	9 50 54.5	29 33 5.5
51	9	7	19.4	40 35.61	9 43 45.3	29 40 14.7
52	9	5	8.7	41 46.74	9 22 45.6	30 1 14.4
53	9.0	4	40.5	42 40.50	9 22 8.2	30 1 51.8
54	9	5	21.0	42 59.08	9 32 21.5	29 51 38.5
55	7	7	46.7	43 2.86	9 36 28.4	29 47 31.6
56	8.9	7	21.4	43 37.72	9 59 34.8	29 24 25.2
57	9	7	4.0	44 20.35	10 4 5.7	29 19 54.3
58	9	7	25.0	44 41.34	10 2 52.4	29 21 7.6
59	8.9	7	5.0	45 21.36	10 4 41.0	29 19 19.0
60	9	7	31.0	45 47.32	9 58 56.2	29 25 3.8
61	9	7	47 44.6	47 0.19	8 21 56.6	31 2 3.4
62	7.8	3	35.6	48 57.66	9 32 41.0	29 51 19.0
63	8.9	3	19.7	49 41.71	9 47 11.1	29 36 48.9
64	9	5	28.4	50 6.40	9 14 24.0	30 9 36.0
65	9	5	58.0	50 36.00	9 12 11.5	30 11 48.5
66	7.8	6	32.5	50 59.56	9 48 42.1	29 35 17.9
67	8	6	51 44.6	51 11.78	9 50 43.5	29 33 16.5
68	9	3	41.5	53 3.35	10 30 6.2	28 53 53.8
69	8	7	19.2	52 36.23	10 42 56.7	28 41 3.3
70	9	6	5.5	53 32.34	9 9 39.9	30 14 20.1
71	8.9	4	29.8	54 29.80	9 10 6.3	30 13 53.7
72	9	4	55.5	54 55.51	9 18 33.3	30 5 26.7
73	7	6	56 14.3	55 40.99	9 0 38.1	30 23 21.9
74	8.9	5	57 24.4	57 2.37	9 3 17.3	30 20 42.7
75	9	3	23.0	58 45.45	8 6 0.1	31 17 59.9
76	8.9	5	59 45.7	59 23.76	9 27 18.7	29 56 41.3
77	7.8	3	16.2	2 0 38.21	9 46 56.0	29 37 4.0
78	8	1	40.7	1 24.63	9 56 32.8	29 27 27.2
79	8.9	3	24.3	1 46.24	10 7 37.9	29 16 22.1
80	9	4	2 34.6	2 34.60	9 44 47.7	29 39 12.3
81	7	4	56.9	2 56.90	9 40 35.6	29 43 24.4
82	8.9	6	31.4	2 58.55	10 4 37.3	29 19 22.7
83	8.9	3	6.3	4 28.37	9 30 42.9	29 53 17.1
84	9.0	7	5 8.0	4 23.64	8 28 13.9	30 55 46.1
85	6	3	51.5	6 13.92	7 59 2.3	31 24 57.7
86	9.0	4	36.5	6 36.50	8 1 14.3	31 22 45.7
87	9	5	8 37.4	8 15.47	9 30 32.5	29 53 27.5
88	8.9	6	36.2	9 3.33	10 2 5.3	29 21 54.7
89	8	6	56.0	9 23.15	10 6 26.1	29 17 33.9
90	9	2	29.5	11 2.35	10 8 59.7	29 15 0.3

**Hülftafel zur Reduction auf den mittlern
Ort 1850 Januar 0 $\varnothing = -30^\circ$.**

T.	k	k'	d	d'
1 30+	3.99	-5	-2	+ 9.3 +0.2 +56.5
40+	3.94	-4	-2	+ 9.5 +0.2 +56.5
50+	3.90	-5	-2	+ 9.7 +0.3 +56.6
2 0+	3.85	-4	-3	+10.0 +0.2 +56.6
10+	3.81		-3	+10.2 +56.7

40 Fad. 6. 57.0

41 " 6. 50.2 Fäden 16".79 und 17".19

44 " 7. 11.7 " 27".64 " 28".04

48 " 3. 12.9 9.0^m. seq. ad Bor.

59. Zeit unsicher beobachtet.

61. Bei diesem Sterne ward ein Fehler von +1" bemerkt und verbessert; die Vergleichung mit Z. 328 macht es sehr wahrscheinlich, dass dieser Fehler zwischen No. 55 und 56 entstanden ist, so dass dann die T der Sterne 56—60 um 1" zu verkleinern wären.

67 Fad. 7. 55.5

72 " 5. 17.5

73 " 7. 25.0

75 " 4. 45.5

78 " 2. 51.9 Fäden 24".52 und 24".73

90 " 3. 40.5

No.	Gr.	Fad.	Beob. Zeit.	T.	Microsc. I	Südl. Declin.
91	8	4	15.4	2 11' 15.40	10 19' 15.2	29 4' 44.8
92	8	3	58.7	12 20.71	9 46' 33.5	29 37' 26.5
93	8.9	1	13 5.6	13 49.47	9 50' 2.1	29 33' 57.9
94	9	1	44.5	14 28.07	9 57' 51.8	29 26' 8.2
95	8	1	34.7	15 18.78	9 21' 54.2	30 2' 5.8
96	9	6	0.5	14 27.28	8 59' 0.4	30 24' 59.6
97	8.9	6	30.6	14 57.52	9 6' 7.2	30 17' 52.8
98	8	3	59.5	16 21.85	9 5' 43.2	30 18' 16.8
99	8.9	4	18.5	17 18.41	9 16' 56.0	30 7' 4.0
100	9	3	18 23.4	18 45.54	9 10' 23.8	30 13' 36.2
101	9	3	19 55.0	20 16.96	9 17' 56.8	30 6' 3.2
102	8.9	4	14.4	21 14.40	9 0' 57.9	30 23' 2.1
103	9	4	49.5	21 49.34	9 4' 54.5	30 19' 5.5
104	9	7	29.5	21 45.43	9 6' 36.9	30 17' 23.1
105	9	7	26.0	22 41.81	8 49' 58.9	30 34' 1.1
106	9	6	58.4	23 25.19	8 59' 25.1	30 24' 34.9
107	8.9	7	32.2	23 47.80	8 23' 18.4	31 0' 41.6
108	9	2	26 13.0	26 45.76	10 9' 49.2	29 14' 10.8
109	5.6	3	51.0	27 12.73	10 29' 40.5	28 54' 19.5
110	7.8	1	51.0	28 34.78	10 2' 7.5	29 21' 52.5
111	8	6	31.7	27 58.42	8 47' 39.2	30 36' 20.8
112	6	2	4.2	29 37.45	8 42' 12.6	30 41' 47.4
113	8.9	5	52.4	29 30.53	9 48' 31.0	29 35' 29.0
114	7	3	30 7.5	30 29.56	9 44' 50.0	29 39' 10.0
115	9	3	55.5	31 17.40	9 47' 53.0	29 36' 7.0
116	9	5	11.5	31 48.66	9 58' 1.0	29 25' 59.0
117	8.9	6	48.0	32 15.30	10 34' 21.5	28 49' 38.5
118	7.8	6	7.5	32 34.76	10 26' 30.7	28 57' 29.3
119	7.8	5	43.6	33 21.91	10 40' 21.4	28 43' 38.6
120	8	6	35.1	34 1.76	8 37' 14.9	30 46' 45.1
121	7	4	9.0	35 9.00	8 42' 3.0	30 41' 57.0
122	7.8	6	56.0	35 22.56	8 21' 39.8	31 2' 20.2
123	9	7	44.0	36 0.23	9 47' 17.5	29 36' 42.5
124	7	4	37 15.2	37 15.20	9 56' 49.7	29 27' 10.3
1	7	6	21 55.0	4 21' 24.14	7 30' 46.5	21 50' 33.5
2	8.9	3	29.3	22 49.70	7 35' 19.0	21 46' 1.0
3	7	4	24 16.3	24 16.30	7 38' 58.9	21 42' 21.1
4	8	2	52.1	25 22.84	7 47' 56.4	21 33' 23.6
5	8.9	5	44.6	25 24.12	7 37' 7.1	21 44' 12.9
6	9	5	18.2	25 57.74	7 42' 38.1	21 38' 41.9
7	8.9	4	48.6	26 48.60	7 39' 28.8	21 41' 51.2
8	9	5	9.2	26 48.57	7 27' 26.3	21 53' 53.7
9	8.9	4	44.8	27 44.80	7 23' 12.0	21 58' 8.0
10	9.0	5	25.6	28 5.02	6 55' 55.2	22 25' 24.8
11	9	2	46.2	29 17.13	6 55' 4.0	22 26' 16.0
12	8.9	2	23.6	29 54.56	6 47' 24.9	22 33' 55.1
13	8.9	2	42.0	30 12.96	6 45' 58.7	22 35' 21.3
14	8.9	2	52.4	30 23.40	6 44' 25.8	22 36' 54.2
15	8	4	47.1	30 47.10	6 26' 6.8	22 55' 13.2
16	9	4	36.2	31 36.20	6 7' 56.2	23 13' 23.8
17	9	2	0.4	32 31.27	6 54' 3.1	22 27' 16.9
18	9	6	46.6	32 15.77	7 38' 11.4	21 43' 8.6
19	9	4	3.7	33 3.73	7 48' 46.6	21 32' 33.4
20	7.8	5	26.3	33 5.92	7 48' 20.1	21 32' 59.9
21	9	6	9.6	33 38.83	7 56' 47.6	21 24' 32.4

Hülftafel zur Reduction auf den mittlere Ort 1850 Januar 0 D = - 30°.

T.	k	k'	d
2 10+ 3.81	-5	-3	+10.2 +0.2 +
20+ 3.76	-4	-3	+10.4 +0.2 +
30+ 3.72	-5	-3	+10.6 +0.2 +
40+ 3.67		-3	+10.8 +

94 Fad. 2. 55.0 Fäden 28".31 und 27".8
 97 " 7. 41.7
 98 " 4. 22.0, Fad. 5. 43.9
 99 " 5. 40.3
 101 " 4. 16.8, Fad. 3 giebt 17".12
 103 " 5. 11.2 giebt 49".17
 106. Bei diesem Sterne ward ein Fehler von .
 entdeckt und verbessert.
 109 Fad. 4. 12.6 dupl. II. Cl. seq., pr. 8.
 114 " 4. 29.6
 115 " 4. 17.3
 123. Zeit unsicher beobachtet.

Luft Anfangs schön; gegen das Ende der 1
 aber wurden die Sterne etwas blass
 gross.

ZONE 337. 1851 Jan. 8. We

Hülftafel zur Reduction auf den mittlere Ort 1850 Januar 0 D = - 22°.

T.	k	k'	d
4 20+ 3.14	-4	-2	+10.1 +0.3 +
30+ 3.10	-3	-2	+10.4 +0.2 +
40+ 3.07		-2	+10.6 +

2 Fad. 4. 49.5; Fad. 8 giebt 49".90
 8 " 6. 19.3
 14 " 3. 2.7
 17 " 3. 10.5
 19 " 5. 24.2
 20 " 7. 46.9

No.	Gr.	Fad.	Beob. Zeit.	T.	Microsc. I	Sädl. Declin.
77	9.0	5	30.5	5 8' 9.88	6 39' 36.2	22 41' 43.8
78	7	3	9 2.5	9 23.30	6 17' 21.9	23 3' 58.1
79	9.0	4	37.6	9 37.60	6 6' 47.0	23 14' 33.0
80	7	4	4.7	10 4.70	6 7' 37.1	23 13' 42.9
81	9	1	51.4	11 32.84	6 24' 19.2	22 57' 0.8
82	7	7	8.5	10 27.33	6 54' 57.6	22 26' 22.4
83	8	3	1.7	12 22.40	6 58' 48.1	22 22' 31.9
84	8	4	28.3	12 28.30	6 46' 4.0	22 35' 16.0
85	7.8	2	54.2	13 25.19	6 39' 18.6	22 42' 1.4
86	9	3	19.5	13 40.33	6 38' 10.0	22 43' 10.0
87	8	4	12.2	14 12.20	6 46' 58.3	22 34' 21.7
88	8	7	48.2	14 7.03	6 54' 46.8	22 26' 33.2
89	9	7	18.3	14 37.01	6 30' 54.0	22 50' 26.0
90	9	2	46.8	16 17.62	7 24' 30.6	21 56' 49.4
91	8.9	4	16 54.4	16 54.40	7 59' 46.8	21 21' 33.2
92	9	5	28.7	17 8.18	8 7' 10.2	21 14' 9.8
93	8.9	5	9.3	17 48.89	8 5' 14.2	21 16' 5.8
94	9	5	45.4	18 25.06	8 34' 9.0	20 47' 11.0
95	7.8	1	14.4	19 55.23	8 29' 59.5	20 51' 20.5
96	9	7	53.5	19 12.63	7 56' 56.6	21 24' 23.4
97	9	7	2.0	19 21.13	7 56' 40.2	21 24' 39.8
98	7	2	39.2	21 9.93	7 50' 40.6	21 30' 39.4
99	9	7	21 3.3	20 22.42	7 53' 16.3	21 28' 3.7
100	9.0	3	44.0	22 4.61	7 31' 59.7	21 49' 20.3
101	8.9	2	23.7	22 54.55	7 15' 1.0	22 6' 19.0
102	9	2	1.7	23 32.61	7 2' 14.3	22 19' 5.7
103	8.9	4	25 41.6	25 41.60	7 0' 54.2	22 20' 25.8
104	9	7	14.2	25 32.84	6 18' 9.1	23 3' 10.9
105	9	2	52.4	27 23.44	6 26' 39.6	22 54' 40.4
106	8.9	3	12.0	27 32.76	6 30' 46.7	22 50' 33.3
107	9	4	39.6	27 39.60	6 19' 23.6	23 1' 56.4
108	9	4	23.5	28 23.50	6 37' 55.6	22 43' 24.4
109	9.0	5	53.2	28 32.57	6 33' 39.5	22 47' 40.5
110	9	5	30 19.7	29 59.26	7 53' 6.1	21 28' 13.9
111	9	5	31.3	30 10.83	7 39' 54.7	21 41' 25.3
112	9	5	31 43.7	31 23.23	7 38' 17.5	21 43' 2.5
113	9	7	27.2	31 46.33	7 57' 20.2	21 23' 59.8
114	8.9	7	37.5	31 56.65	8 0' 45.5	21 20' 34.5
115	9	4	25.0	33 25.00	7 58' 32.9	21 22' 47.1
116	8	3	53.4	34 13.94	8 2' 18.1	21 19' 1.9
117	9	6	29.5	33 58.81	8 17' 20.5	21 3' 59.5
118	9	7	39.7	34 58.78	7 44' 34.4	21 36' 45.6
119	9	4	3.9	36 3.90	7 44' 1.4	21 37' 18.6
120	9	7	45.4	36 4.52	7 53' 54.9	21 27' 25.1
121	7.8	3	37 4.0	37 24.54	7 59' 58.0	21 21' 22.0
122	7	5	41.4	37 20.96	7 51' 5.5	21 30' 14.5
123	8.9	4	22.7	38 22.70	7 46' 30.0	21 34' 50.0
124	7	5	46.5	38 26.04	7 37' 34.1	21 43' 45.9
125	9	2	25.1	39 55.90	7 32' 25.2	21 48' 54.8
126	9.0	7	52.5	39 11.39	7 7' 29.5	22 13' 50.5
127	8	6	25.2	39 54.33	7 27' 33.9	21 53' 46.1
128	8.9	7	36.5	39 55.52	7 32' 27.9	21 48' 52.1
129	8	7	59.4	40 18.29	7 27' 55.5	21 53' 24.5
130	9	4	54.7	41 54.70	7 28' 51.9	21 52' 28.1
131	8.9	2	39.4	43 9.89	7 37' 41.6	21 43' 38.4

Hülfsstafel zur Reduction auf den mittleren Ort 1850 Januar 0 D = - 22°.

T.	k	k'	d
5 0+ 3.00	-3	-2	+11.1 +0.2 +1
10+ 2.97	-3	-2	+11.3 +0.2 +1
20+ 2.94	-3	-2	+11.5 +0.2 +1
30+ 2.91	-2	-2	+11.7 +0.1 +1
40+ 2.89	-3	-2	+11.8 +0.2 +1
50+ 2.86		-2	+12.0 +1

82. Zeit unsicher beobachtet.

86 Fad. 4. 40".4

92 " 6. 38.8

117 " 7. 39.6

120. Zeit vielleicht 45.6 und dann T. 4".72

124 Fad. 6. 56.9

125. 128. derselbe.

131 Fad. 3. 49.0, Fäden 10".17 und 9".60

Fad.	Beob. Zeit.	T.	Microsc. I	Südl. Declin.
3	43 7.6	5 43 28.19	7 40 19.8	21 41 0.2
3	28.7	44 49.24	8 27 12.0	20 54 8.0
2	38.5	45 9.00	8 28 16.2	20 53 3.8
1	27.2	46 8.03	8 30 58.7	20 50 21.3
5	46 29.9	46 9.43	7 39 1.1	21 42 18.9
5	12.6	46 52.11	7 30 10.2	21 51 9.8
4	48 23.3	48 23.30	6 29 13.1	22 52 6.9
4	8.3	49 8.30	6 40 46.9	22 40 33.1
2	31.2	50 2.18	6 40 49.1	22 40 30.9
4	53.5	49 53.50	6 29 20.0	22 52 0.0
7	17.0	49 35.73	6 34 23.8	22 46 56.2
3	3.7	51 24.42	6 38 20.2	22 42 59.8
1	58.0	52 39.33	6 45 55.4	22 35 24.6
3	28.4	52 49.11	6 52 23.0	22 28 57.0
4	56.5	52 56.50	6 42 20.0	22 39 0.0
7	31.6	52 50.51	7 10 58.9	22 10 21.1
5	0.7	53 40.17	7 15 9.1	22 6 10.9
4	26.9	54 26.90	7 24 11.0	21 57 9.0
3	56.6	55 17.26	7 12 7.5	22 9 12.5
6	38.0	55 7.00	6 50 10.0	22 31 10.0
5	17.0	55 56.44	7 2 30.2	22 18 49.8
7	46.8	56 5.64	6 55 42.0	22 25 38.0
7	57 50.5	57 9.22	6 32 24.0	22 48 56.0
1	58 58.8	59 40.26	6 42 51.1	22 38 28.9
1	40.2	6 0 21.45	6 57 48.1	22 23 31.9
5	32.4	0 11.87	7 13 15.6	22 8 4.4
5	54.5	0 34.98	7 16 23.0	22 4 57.0
6	21.5	0 50.55	7 6 6.2	22 15 13.8
5	21.3	2 0.80	7 25 6.0	21 56 14.0
1	36.4	3 17.54	7 21 41.9	21 59 38.1
3	58.5	3 19.15	7 15 25.0	22 5 55.0
5	35.7	3 15.14	7 3 56.5	22 17 23.5
4	11.4	4 11.40	7 1 10.9	22 20 9.1
4	4 45.5	4 45.50	6 58 7.4	22 23 12.6
3	20.6	5 41.24	7 21 43.1	21 59 36.9
5	5.0	5 44.47	7 15 41.3	22 5 38.7
7	6 58.7	6 17.75	7 38 21.0	21 42 59.0
1	5.3	8 46.15	8 15 21.3	21 5 58.7
1	10 0.4	10 41.75	6 42 3.0	22 39 17.0
4	46.2	10 46.20	7 1 51.1	22 19 28.9
7	27.3	10 46.16	7 1 53.2	22 19 26.8
3	12 55.0	13 15.65	7 18 30.9	22 2 49.1
3	30 43.5	0 31 4.52	4 56 31.3	24 25 18.7
6	32 43.6	32 11.99	4 21 32.4	25 0 17.6
5	15.0	32 54.08	4 45 4.5	24 36 45.5
7	35 32.9	34 51.22	5 15 27.1	24 6 22.9
4	36 44.9	36 44.90	6 27 46.1	22 54 3.9
4	13.9	37 13.90	6 31 42.1	22 50 7.9
4	38 39.2	38 39.20	6 1 11.0	23 20 39.0
4	30.2	39 30.20	5 47 10.5	23 34 39.5
9	6.5	40 6.50	5 1 8.6	24 20 41.4
9	2	41 16.73	4 24 22.9	24 57 27.1
1	2.7	41 44.78	4 24 54.6	24 56 55.4
8	4 52.4	41 52.40	5 19 39.1	24 2 10.9
9	5 14.2	41 53.35	5 13 3.2	24 8 46.8

*Hülftafel zur Reduction auf den mittlern
Ort 1850 Januar 0 D = - 22°.*

T.	k	k'	d	d'
5 40 + 2.89	-3	-2	+11.8	+0.2
50 + 2.86	-2	-2	+12.0	+0.1
6 0 + 2.84	-2	-2	+12.1	+0.2
10 + 2.82	-2	-1	+12.3	+0.1
20 + 2.80		-1	+12.4	+18.5

133 Fad. 4. 49.3
134 „ 4. 8.9
143 „ 4. 24.4
155 „ 2. 9.4
156 „ 2. 50.5
161 „ 2. 46.7
169 „ 3. 25.6
172. Zeit unsicher beobachtet.
171. 172. derselbe.

Die Sterne etwas gross und blass, aber sonst recht ruhig. Die Zone musste wegen Wolken geschlossen werden.

ZONE 338. 1851 Jan. 10. West.

*Hülftafel zur Reduction auf den mittlern
Ort 1850 Januar 0 D = - 24°.*

T.	k	k'	d	d'
0 30 + 5.09	-4	-2	- 0.4	+0.1
40 + 5.05	-4	-2	- 0.3	+23.5

N ^o .	Gr.	Fad.	Beob. Zeit.	T.	Microsc. I	Südl. Declin.
10	8	5	11.9	1 37 52.05	2 41 58.6	16 38 31.4
11	9.0	3	46.7	39 6.72	2 17 13.6	17 3 16.4
12	9.0	7	40.2	39 0.83	4 28 2.1	14 52 27.9
13	9	3	18.6	40 38.41	4 23 17.9	14 57 12.1
14	8.9	6	3.5	40 33.78	3 55 6.0	15 25 24.0
15	7	5	34.2	41 14.46	3 49 37.6	15 30 52.4
16	9.0	6	44.0	41 14.26	3 45 49.4	15 34 40.6
17	9	5	33.0	42 13.23	3 30 3.8	15 50 26.2
18	9	6	10.8	42 40.92	2 49 27.6	16 31 2.4
19	9	3	44.4	44 4.37	2 40 50.6	16 39 39.4
20	9	5	27.3	44 7.50	3 8 35.3	16 11 54.7
21	6.7	5	45.9	44 26.07	2 57 2.4	16 23 27.6
22	8	3	45	45 42.52	2 6 48.2	17 13 41.8
23	8.9	2	11.8	46 41.65	2 36 54.1	16 43 35.9
24	8.9	3	39.6	46 59.44	2 53 2.2	16 27 27.8
25	9.0	4	2.6	47 2.62	2 53 12.7	16 27 17.3
26	9	5	14.4	47 54.59	3 4 8.0	16 16 22.0
27	9	4	52.0	48 52.00	2 50 23.1	16 30 16.9
28	8.9	3	37.9	49 57.93	2 11 7.9	17 9 22.1
29	8	4	28.0	50 28.00	2 28 39.7	16 51 50.3
30	8.9	4	8.7	51 8.70	3 11 19.9	16 9 10.1
31	9	1	42.5	52 22.21	3 16 46.9	16 3 43.1
32	7	5	14.0	51 54.23	3 29 19.0	15 51 11.0
33	7	7	52	52 9.09	4 44 9.6	15 36 20.4
34	8.9	7	39.0	52 59.20	2 16 7.4	17 4 22.6
35	9	4	20.4	54 20.40	2 23 16.0	16 57 14.0
36	9	4	55.7	54 55.70	2 17 10.1	17 3 19.9
37	9.0	7	34.2	54 54.35	2 2 59.8	17 17 30.2
38	9.0	5	39.0	56 19.15	2 38 35.6	16 41 54.4
39	8	2	12.4	57 42.20	2 56 41.4	16 23 48.6
40	9.0	3	56.0	58 15.94	3 1 4.5	16 19 25.5
41	9.0	5	44.3	58 24.46	2 51 13.3	16 29 16.7
42	7	4	2.8	59 2.80	3 10 42.1	16 9 47.9
43	9	4	27.6	59 27.60	3 17 23.9	16 3 6.1
44	8	2	0.0	2 0 29.75	3 16 45.7	16 3 44.3
45	7.8	7	20.5	1 59 40.80	2 55 13.5	16 25 16.5
46	8	6	59.5	2 0 29.70	3 16 45.1	16 3 44.9
47	9	6	32.5	1 2.75	3 39 16.0	15 41 14.0
48	7	4	28.9	2 28.90	3 44 40.4	15 35 49.6
49	7.8	1	3	3 52.58	3 55 58.1	15 24 31.9
50	7	4	47.2	3 47.20	3 33 44.2	15 46 45.8
51	8	7	19.3	3 39.71	3 19 3.6	16 1 26.4
52	9	5	15.2	4 55.17	2 14 59.3	17 5 30.7
53	8.9	5	36.8	5 16.90	2 14 47.3	17 5 42.7
54	8	4	6	6 44.20	2 4 47.6	17 15 42.4
55	8	7	22 :	6 42	2 39 6.1	16 41 23.9
56	7.8	4	13.4	8 13.40	2 39 55.2	16 40 34.8
57	9	5	27.4	8 7.54	2 34 18.1	16 46 11.9
58	9	5	49.3	8 29.45	2 38 36.1	16 41 53.9
59	8	7	15.5	8 35.80	2 45 16.0	16 35 14.0
60	8.9	4	42.8	9 42.80	2 42 29.0	16 38 1.0
61	8	2	16.3	10 46.13	2 44 8.0	16 36 22.0
62	9	4	50.0	10 50.09	3 7 33.4	16 12 56.6
63	9	5	11	11 32.72	4 23 42.9	14 56 47.1
64	9	5	11.8	11 52.11	4 20 22.5	15 0 7.5

NC. 1 8' - 1 59.24
 3 21 - 2 0.43
 Anf. 28 3.53 + 2.8 35.1
 Ende 3.47 + 2.0 34.1
 Microsc. I - 4'' 34 u. - 5'' 20
 Decl. = Microsc. I - 19° 20' 30''
 2ⁿ r+i + 7''.637 Δr+0''.020 Δi+0''.001

*Hülftafel zur Reduction auf den mittlern
 Ort 1850 Januar 0 D = -16°.*

T.	k	k'	d	d'
1 30+ 5.39	-5	-2	+ 0.9	+0.3 +10.3
40+ 5.34	-5	-2	+ 1.1	+0.3 +10.3
50+ 5.29	-5	-2	+ 1.4	+0.3 +10.4
2 0+ 5.24	-4	-2	+ 1.7	+0.3 +10.4
10+ 5.20	-5	-2	+ 2.0	+0.3 +10.4
20+ 5.15	-2	-2	+ 2.3	+0.3 +10.4

22 Fad. 4. 42.5
 24 " 6. 29.2 Beim 3^{ten} Faden ward ein Fehler von -1'' entdeckt und verbessert.
 25 Fad. 6. 32.5
 37. 8^m. geht im Parallel vorher.
 46 Fad. 7. 9.3
 44. 46. derselbe.
 47. Zeit vielleicht 52''.5 und dann T. 22''.75.
 52 Fad. 6. 25.0

No.	Gr.	Fad.	Beob. Zeit.	T.	Microsc. I	Südl. Declin.
65	9	5	49.5	2 12 29.89	4 18 35.1	15 1 54.9
66	7.8	5	13 11.5	12 51.80	4 13 55.2	15 6 34.8
67	8.9	1	47.7	14 27.23	4 11 25.8	15 9 4.2
68	9	4	17.2	14 17.20	4 5 18.5	15 15 11.5
69	9	5	42.3	14 22.58	4 0 52.9	15 19 37.1
70	7	7	12.7	14 33.32	4 22 6.8	14 58 23.2
71	7.8	5	50.1	15 30.35	3 45 11.4	15 35 18.6
72	9	7	24.5	15 44.87	3 6 49.0	16 13 41.0
73	9.0	5	3.0	16 43.19	2 47 17.7	16 33 12.3
74	7	7	37.8	16 58.02	2 24 18.9	16 56 11.1
75	9	3	19.3	18 39.35	1 57 40.0	17 22 50.0
76	6	6	17.2	18 47.40	3 19 24.0	16 1 6.0
77	8.9	5	1.8	19 42.10	4 10 37.4	15 9 52.6
78	9	6	22.7	19 53.01	4 5 20.7	15 15 9.3
79	8.9	4	2.1	21 2.11	4 27 38.5	14 52 51.5
80	9.0	7	1.3	21 21.87	4 6 47.1	15 13 42.9
81	9	3	30.7	22 50.54	4 2 32.0	15 17 58.0
82	9	7	1.6	22 21.87	2 36 24.3	16 44 5.7
83	8.9	5	28.8	23 8.92	2 26 6.6	16 54 23.4
84	8.9	5	56.3	23 36.43	2 30 39.8	16 49 50.2
85	8.9	7	30.6	23 50.86	2 32 17.1	16 48 12.9
86	9	7	35.7	23 55.95	2 30 18.2	16 50 11.8
87	9	7	58.7	24 19.12	3 21 38.1	15 58 51.9
88	9	7	10.4	24 30.83	3 24 17.6	15 56 12.4
89	5	7	25 33.3	24 53.74	3 26 7.6	15 54 22.4
90	9	5	26 33.8	26 14.01	3 20 17.6	16 0 12.4
91	8	1	16.5	27 56.16	3 29 44.0	15 50 46.0
92	8	4	54.4	27 54.40	3 5 58.0	16 14 32.0
93	9	5	29.5	28 9.66	2 46 25.7	16 34 4.3
94	9.0	5	2.2	28 42.34	2 33 5.8	16 47 24.2
95	8.9	1	43.8	30 23.71	2 29 54.8	16 50 35.2
96	9	5	33.6	30 13.80	3 38 42.5	15 41 47.5
97	9	7	13.5	30 34.06	4 5 8.1	15 15 21.9
98	8.9	4	57.7	31 57.70	3 41 51.1	15 38 38.9
99	9.0	4	32 27.5	32 27.50	3 39 11.6	15 41 18.4
100	9	7	15.5	32 36.13	4 24 50.9	14 55 39.1
101	9	6	39.1	33 9.43	4 26 13.8	15 4 16.2
102	7	7	52.7	33 13.29	4 14 37.7	15 5 52.3
103	6	5	41.7	34 21.99	4 8 39.6	15 11 50.4
104	7.8	6	39.6	35 9.70	2 40 40.3	16 39 49.7
105	9.0	4	36 39.3	36 39.43	3 56 8.7	15 24 21.3
106	7.8	3	42.6	38 2.51	3 16 35.8	16 3 54.2
107	9	4	37.2	38 37.20	2 15 20.9	17 5 9.1
108	9.0	6	21.4	38 51.63	3 30 52.5	15 49 37.5
109	7	4	43.0	39 43.00	3 25 26.0	15 55 4.0
110	7	4	59.8	39 59.80	3 19 55.8	16 0 34.2
111	9.0	7	45.0	40 5.63	4 27 14.8	14 53 15.2
112	9	6	21.7	40 52.10	4 28 59.2	14 51 30.8
113	9	6	28.2	41 58.48	3 54 16.6	15 26 13.4
114	8.9	7	46.2	42 6.75	4 0 54.0	15 19 36.0
115	8.9	4	46.0	43 46.00	3 20 9.9	16 0 20.1
116	9	5	11.6	43 51.80	3 13 3.2	16 7 26.8
117	9.0	5	42.0	44 22.21	3 16 37.9	16 3 52.1
118	8	3	21.8	45 41.84	2 6 22.8	17 14 7.2
119	9	2	59.2	46 28.96	3 13 50.1	16 6 39.9

*Hülftafel zur Reduction auf den mittl.
Ort 1850 Januar 0 D = - 16°.*

T.	k	k'	d
u			
2 10+	5.20	-5	-2
20+	5.15	-5	-2
30+	5.10	-4	-2
40+	5.06	-5	-2
50+	5.01	-2	-2

73 Fad. 6. 13.1

79 „ 5. 21.8 Bei diesem Sterne war
Fehler von + 1'' entdeckt und verbe
No. 77 ist nach dem Zeugnis von Zone
No. 53 noch richtig.

95 Fad. 2. 54.0, Fad. 3. 3.6

96 „ 6. 43.5

101. Nach W. II. 581 und einer Beob. 1851
20. ist die Minute des Microscops 16' z
sen; danach sind T und die Decl. berec
102. Zeit - 2''? nach W. II. 583, Z. 258 1
und LL. 4987 u. 4988 richtig

105 Fad. 5. 59.3

112 „ 7. 31.5

Gr.	Fad.	Beob. Zeit.	T.	Microsc. I	Südl. Declin.
9	5	38.1	2 46' 18.42	4 27' 52.4	14 52' 37.6
6	2	13.7	47 43.24	4 42 5.5	14 38 24.5
9.0	4	48 4.7	48 4.70	4 10 10.9	15 10 19.1
7	7	41.3	48 1.58	2 41 2.3	16 39 27.7
7	5	8.5	48 48.65	2 40 26.5	16 40 3.5
7	3	40.2	49 20.45	3 42 58.0	15 37 32.0
8	5	13.2	49 53.38	3 0 34.5	16 19 55.5
7	3	34.7	50 54.63	2 53 37.3	16 26 52.7
9	4	21.3	51 21.30	2 57 0.4	16 23 29.6
8.9	4	58.1	51 58.10	3 41 54.7	15 38 35.3
9	5	48.7	52 28.97	3 54 36.1	15 25 53.9
8	6	29.3	52 59.40	2 40 29.3	16 40 0.7
9.0	4	54 55.5	54 55.50	3 55 5.2	15 25 24.8
9	5	53.3	55 33.59	4 7 11.2	15 13 18.8
8.9	2	9.2	56 38.82	4 11 48.2	15 8 41.8
9.0	3	48.1	57 7.92	4 16 47.9	15 3 42.1
7.8	1	16.4	57 55.90	4 21 8.1	14 59 21.9
8.9	1	35.6	58 15.19	4 24 16.4	14 56 13.6
9	2	20.2	58 49.83	4 6 47.9	15 13 42.1
9	3	58.3	59 18.17	3 45 14.6	15 35 15.4
9.0	6	21.2	58 51.45	3 38 43.8	15 41 46.2
9.0	5	54.0	59 34.26	3 51 56.9	15 28 33.1
9.0	6	14.8	59 45.10	3 58 59.1	15 21 30.9
9	5	3.6	3 0 43.86	3 47 45.9	15 32 44.1
9	3	46.0	2 5.93	3 5 16.1	16 15 13.9
9	7	32.1	1 52.40	2 44 35.3	16 35 54.7
8.9	7	2 54.8	2 15.10	2 45 11.7	16 35 18.3
7.8	6	24 16.8	7 23 47.05	3 29 27.0	15 41 3.0
9	7	45.7	24 6.16	3 32 30.3	15 47 59.7
8	4	14.3	25 14.30	3 34 46.0	15 45 44.0
8.9	3	42.6	26 2.51	3 19 32.6	16 0 57.4
9	7	24 46.8	26 7.03	2 25 57.3	16 54 32.7
9	6	12.6	26 42.74	2 23 5.7	16 57 24.3
8.9	4	6.0	28 6.00	2 32 57.0	16 47 33.0
9	2	33.5	29 3.37	2 30 31.8	16 49 58.2
8.9	1	48.0	29 27.87	2 28 32.5	16 51 57.5
8.9	7	11.3	28 31.50	2 15 40.3	17 4 49.7
9.0	4	38.9	29 38.90	2 13 3.0	17 7 27.0
9.0	5	34.8	30 15.00	3 7 34.5	16 12 55.5
9	5	57.3	30 37.50	3 11 19.8	16 9 10.2
8	6	17.2	30 47.39	3 15 16.4	16 5 13.6
8.9	3	44.0	32 3.92	3 14 46.1	16 5 43.9
8	2	56.7	32 26.44	3 21 32.3	15 58 57.7
9	5	15.3	31 55.51	3 17 34.4	16 2 55.6
8.9	2	45.9	33 15.70	3 7 14.1	16 13 15.9
8.9	7	21.7	32 42.18	3 38 59.6	15 41 30.4
9	4	10.2	34 10.20	3 48 39.5	15 31 50.5
9	4	35.5	34 35.50	3 48 43.7	15 31 46.3
8.9	2	55.3	35 24.96	3 53 44.1	15 26 45.9
9	3	12.2	35 32.05	3 53 36.0	15 26 54.0
8	4	38.6	35 38.60	3 44 0.9	15 36 29.1
7	7	5.3	35 25.77	3 37 1.9	15 43 28.1
8	2	33.0	37 2.72	3 30 48.6	15 49 41.4
9	4	58.0	36 58.00	3 25 45.8	15 54 44.2
9	4	17.3	37 17.30	3 27 27.1	15 53 2.9

Hülftafel zur Reduction auf den mittlern Ort 1850 Januar 0 D = - 16°.

T.	k	k'	d	d'
2 40' + 5.06	-5	-2	+ 2.9 + 0.4	+ 10.4
50 + 5.01	-5	-2	+ 3.3 + 0.3	+ 10.4
3 0 + 4.96	-4	-2	+ 3.6 + 0.3	+ 10.4
10 + 4.92		-2	+ 3.9	+ 10.4

125. Nach dem Zeugniß von Z. 258 N°. 79 und LL. N°. 5470 u. 5471 ist statt Fad. 3 zu lesen Fad. 5; hiernach ist T berechnet.

127 Fad. 4. 54'' 6

137 „ 2. 45.7

138 „ 3. 30.0

Anfangs gute Luft; seit 2^u 30' aber wurden die Sterne etwas gross.

ZONE 340. 1851 Jan. 11. West.

NC. 6 48 - 1 59.25
 9 18 - 2 1.56
 Anf. 28 2.92 + 2.2 33.5
 Ende 2.66 + 1.3 32.7
 Microsc. I - 4'' 70 u. - 4'' 42
 Decl. = Microsc. I - 19° 20' 30''
 8^u $\tau + i + 7''.755$ $\Delta \tau + 0''.020$ $\Delta i + 0''.001$

Hülftafel zur Reduction auf den mittlern Ort 1850 Januar 0 D = - 16°.

T.	k	k'	d	d'
7 20' + 4.28	-1	-1	+ 16.8 + 0.2	+ 10.9
30 + 4.27	0	-1	+ 17.0 + 0.2	+ 10.9
40 + 4.27		-1	+ 17.2	+ 11.0

1. Nach dem Zeugniß von Z. 342 N°. 149 und einer Beob. 1851 Febr. 6. ist die Angabe des Microscops um 10' zu klein; hiernach sind T und die Decl. berechnet.

6 Fad. 7. 22'' 6

18 „ 3. 55.8

No.	Gr.	Fad.	Beob. Zeit.	T.	Microsc. I	Südl. Declin.
29	8	3	39.5	7 37' 59.38	3 34' 20.6	15 46' 9.4
30	8	5	1.2	37 41.45	3 43 11.7	15 37 18.3
31	9	4	29.3	38 29.30	3 42 56.1	15 37 33.9
32	8.9	4	4.4	39 4.40	3 50 32.2	15 29 57.8
33	9	5	39 40.0	39 20.27	3 56 46.8	15 23 43.2
34	8	4	15.8	40 15.80	4 3 3.9	15 17 26.1
35	9.0	4	34.5	40 34.50	4 3 49.3	15 16 40.7
36	8	2	54.3	41 23.92	4 8 53.4	15 11 36.6
37	9	2	8.5	41 38.23	4 8 12.6	15 12 17.4
38	8.9	3	56.6	42 16.41	4 24 40.2	14 55 49.8
39	7.8	3	12.4	42 32.21	4 21 47.5	14 58 42.5
40	9	3	42.0	43 1.80	4 27 38.8	14 52 51.2
41	8	4	43 5.2	43 5.20	4 27 53.9	14 52 36.1
42	9	5	51.7	43 31.99	4 10 18.0	15 10 12.0
43	9	3	11.2	44 31.02	4 16 26.2	15 4 3.8
44	8	6	41.2	44 11.56	4 27 59.1	14 52 30.9
45	8	5	10.5	44 50.82	4 27 28.0	14 53 2.0
46	8	5	42.0	45 22.32	4 23 53.9	14 56 36.1
47	7	5	1.1	45 41.41	4 17 28.2	15 3 1.8
48	8.9	7	12.2	45 32.80	4 16 3.1	15 4 26.9
49	8	7	36.5	45 57.10	4 14 57.0	15 5 33.0
50	9	3	57.5	47 17.34	4 5 0.5	15 15 29.5
51	9	5	39.2	47 19.47	3 55 12.0	15 25 18.0
52	8.9	2	0.4	48 30.07	3 48 1.0	15 32 29.0
53	9	3	14.0	48 33.82	3 52 53.7	15 27 36.3
54	8	3	49.0	49 8.86	3 50 22.0	15 30 8.0
55	9	5	36.5	49 16.75	3 43 11.2	15 37 18.8
56	9	3	53.5	50 13.37	3 41 54.5	15 38 35.5
57	9	6	14.6	49 44.84	3 37 4.8	15 43 25.2
58	9.0	4	50 43.5	50 43.50	3 38 24.0	15 42 6.0
59	9	4	28.2	51 28.20	3 59 5.4	15 21 24.6
60	7	4	46.6	51 46.60	4 5 2.7	15 15 27.3
61	9	7	43.3	52 3.75	3 30 56.2	15 49 33.8
62	9.0	7	8.3	52 28.76	3 34 14.9	15 46 15.1
63	9.0	6	46.9	53 17.13	3 33 33.3	15 46 56.7
64	9	3	11.7	54 31.62	3 0 14.0	16 20 16.0
65	9	7	58.3	54 18.56	2 35 22.1	16 45 7.9
66	9	7	55 49.7	55 9.88	2 9 17.6	17 11 12.4
67	9	4	29.8	56 29.80	2 18 13.2	17 2 16.8
68	9	4	59.2	56 59.20	2 11 39.9	17 8 50.1
69	6.7	3	21.6	57 41.64	2 5 43.5	17 14 46.5
70	9	6	51.7	57 21.77	2 29 42.8	16 50 47.2
71	9	4	18.2	58 18.20	2 32 26.8	16 48 3.2
72	7	6	44.5	58 14.61	2 44 15.0	16 36 15.0
73	9.0	5	24.9	59 5.08	2 59 57.0	16 20 33.0
74	9	7	46.4	59 6.74	2 57 7.4	16 23 22.6
75	9	7	59 59.0	59 19.34	2 57 23.8	16 23 6.2
76	9	5	29.2	8 0 9.40	3 10 47.8	16 9 42.2
77	8	4	23.7	1 23.70	4 36 20.8	14 44 9.2
78	8	4	45.5	1 45.50	4 32 4.6	14 48 25.4
79	8	6	2 2.0	1 32.38	4 32 51.8	14 47 38.2
80	7	5	38.2	2 18.51	4 12 4.8	15 8 25.2
81	8.9	4	5.5	3 5.50	4 4 22.9	15 16 7.1
82	9	5	25.3	3 5.58	4 2 53.5	15 17 36.5
83	9	4	1.3	4 1.30	3 51 46.6	15 28 43.4

Hülftafel zur Reduction auf den mittl.
Ort 1850 Januar 0 $D = -16^{\circ}$.

T.	k	k'	d
7 30+ 4.27	0	-1	+17.0 +0.2 +
40+ 4.27	0	-1	+17.2 +0.1 +
50+ 4.27	0	-1	+17.3 +0.2 +
8 0+ 4.27	+1	-1	+17.5 +0.1 +
10+ 4.28		-1	+17.6

37 Fad. 3. 18.5
53 " 6. 3.5
64 " 4. 31.6

Nº.	Gr.	Fad.	Beob. Zeit.	T.	Microsc. I	Südl. Declin.
46	8.9	4	33.1	6 30 33.10	4 29 44.9	14° 50' 45.1
47	8.9	7	59.3	30 19.84	3 57 40.7	15 22 49.3
48	9	7	25.0	30 45.56	4 3 57.0	15 16 33.0
49	9	6	58.0	31 28.26	3 45 27.0	15 35 3.0
50	9	6	34.7	32 4.92	3 29 47.6	15 50 42.4
51	8	5	53.4	32 33.62	3 20 37.7	15 59 52.3
52	8	3	19.0	33 39.10	3 27 37.2	15 52 52.8
53	8.9	6	3.8	33 34.04	3 37 6.8	15 43 23.2
54	9	5	23.2	34 3.45	3 42 32.9	15 37 57.1
55	7	4	10.0	35 10.00	3 28 11.5	15 52 18.5
56	9	7	34.3	34 54.70	3 16 2.4	16 4 27.6
57	8.9	7	43.5	35 3.89	3 12 36.8	16 7 53.2
58	9	6	15.7	35 45.89	3 15 10.0	16 5 20.0
59	9	6	47.2	36 18.40	3 19 34.8	16 0 55.2
60	7.8	5	12.0	36 52.13	3 26 5.0	15 54 25.0
61	8.9	6	31.5	38 1.64	2 45 35.8	16 34 54.2
62	8.9	7	51.3	38 11.58	— — —	— — —
63	9	6	19.0	38 49.09	2 36 9.7	16 44 20.3
64	8.9	7	32.2	38 52.46	2 34 15.6	16 46 14.4
65	8.9	5	4.0	39 44.19	2 27 37.6	16 52 52.4
66	8.9	2	40 54.6	41 24.50	2 16 20.7	17 4 9.3
67	8.9	3	44.5	42 4.52	2 14 33.0	17 5 57.0
68	8.9	7	4.2	41 24.40	2 16 19.9	17 4 10.1
69	7.8	1	42 51.5	43 31.43	2 13 9.0	17 7 21.0
70	9	4	28.6	43 28.60	2 15 41.7	17 4 48.3
71	6	5	55.4	43 35.52	2 25 31.1	16 54 58.9
72	8.9	7	15.0	43 35.26	2 34 7.3	16 46 22.7
73	7.8	4	11.0	45 11.00	2 16 14.5	17 4 15.5
74	9.0	6	47.5	45 17.53	2 13 17.5	17 7 12.5
75	9.0	4	14.2	46 14.20	2 12 58.5	17 7 31.5
76	—	6	46.5	46 16.47	1 53 56.2	17 26 33.8
77	9	4	48 9.2	48 9.20	2 19 52.2	17 0 37.8
78	8.9	4	30.1	48 30.10	— — —	— — —
79	5.6	3	1.6	49 21.59	2 28 31.0	16 51 59.0
80	8.9	4	30.7	49 30.75	2 19 46.3	17 0 43.7
81	8.9	4	8.8	50 8.80	2 17 14.4	16 53 15.6
82	8	4	16.6	50 16.57	2 26 5.0	16 54 25.0
83	9	4	39.3	50 39.21	2 26 24.1	16 54 5.9
84	8.9	2	16.0	51 45.94	2 23 37.4	16 56 52.6
85	9	5	56.7	51 36.80	2 15 48.3	17 4 41.7
86	9	3	19.4	52 39.35	2 27 45.5	16 52 44.5
87	9.0	2	12.0	53 41.88	2 22 49.0	16 57 41.0
88	9.0	6	4.8	53 34.87	2 30 29.0	16 50 1.0
89	9	2	28.6	54 58.47	2 28 35.0	16 51 55.0
90	9	3	50.5	55 10.43	2 53 34.6	16 26 55.4
91	7	2	31.3	56 1.12	2 51 11.3	16 29 18.7
92	8.9	7	56.8	55 17.10	2 45 14.1	16 35 15.9
93	9.0	3	24.2	56 44.13	2 47 11.0	16 33 19.0
94	9	7	6.6	56 26.92	2 50 22.8	16 30 7.2
95	8.9	5	32.2	57 12.35	2 39 38.3	16 40 51.7
96	9	4	5.3	58 5.30	2 30 42.6	16 49 47.4
97	9.0	7	29.6	57 49.85	2 29 33.3	16 50 56.7
98	9	4	49.8	58 49.80	2 28 11.7	16 52 18.3
99	9	4	59 27.5	59 27.50	2 21 5.6	16 59 24.4
100	9	6	1 40.3	7 1 10.45	2 59 54.0	16 20 36.0

Hülftafel zur Reduction auf den mittlern Ort 1850 Januar 0 D = - 16°.

T.	k	k'	d	d'
6 30 + 5.23	-2	-2	+13.9	+0.4
40 + 5.21	-2	-1	+14.3	+0.3
50 + 5.19	-1	-1	+14.6	+0.4
7 0 + 5.18	-2	-1	+15.0	+0.3

- 52 Fad. 4. 39.3 Fad. 3 giebt 38".90
57. Zeit unsicher beobachtet.
59. Der bei dem folgenden Sterne entdeckte Fehler von -1" hat nach dem Zeugniß von Z. 345 N°. 67 schon hier stattgefunden, wesshalb T um +1" verbessert ist; die frühern Zeiten sind noch richtig, wie Beobachtungen der N°. 56—58 am 7. März 1852 zeigen.
60 Fad. 7. 31.6 bei Fad. 3 ward ein Fehler von -1" entdeckt und verbessert.
62. Zwischen N°. 60 und 66 ist eine Declination ausgelassen; ich glaube, dass es die von N°. 62 ist, den ich für identisch mit Z. 345 N°. 70 halte, so dass die Decl. -16° 39' wäre; damit ist T berechnet.
64. Zeit vielleicht 31".2 und dann T. 51".46.
65 Fad. 6. 14.2
66. 68. derselbe.
78. Dieser Stern hat keine Declination, es ist aber offenbar der Stern Z. 278 N°. 32.
80 Fad. 5. 50.7
81. Die Minute des Microscops muss 27 sein, wie LL. N°. 13481 und Z. 278 N°. 35 zeigen. Danach ist die Decl. berechnet.
82 Fad. 7. 56.3
83 " 5. 59.0
84 " 3. 26.0
86 " 4. 39.3
90 " 4. 10.4
93 " 4. 44.1

No.	Gr.	Fad.	Beob. Zeit.	T.	Microsc. I	Südl. Declin.
101	9	6	57.5	7 ^u 1' 27.65	3° 2' 18.8	16° 18' 11.2
102	9	5	26.3	2 6.48	3 3 15.3	16 17 14.7
103	9	7	59.4	2 19.83	3 25 8.9	15 55 21.1
104	7	6	12.4	2 42.60	3 30 27.5	16 0 2.5
105	7	6	31.6	3 1.80	3 20 31.2	15 59 58.8
106	9	7	45.2	3 5.63	3 24 24.2	15 56 5.8
107	8.9	6	11.5	3 41.72	3 26 33.7	15 53 56.3
108	9	4	36.4	4 36.40	3 27 5.8	15 53 24.2
109	9	7	54.0	4 14.44	3 26 22.4	15 54 7.6
110	8.9	1	21.2	6 0.87	3 26 10.9	15 54 19.1
111	9	3	35.0	5 54.91	3 22 35.3	15 57 54.7
112	9	4	35.5	6 35.50	3 47 8.7	15 33 21.3
113	9	6	2.0	6 32.31	4 5 28.0	15 15 2.0
114	9	7	20.2	6 40.77	4 5 22.0	15 15 8.0
115	8.9	7	43.3	7 3.84	3 58 45.7	15 21 44.3
116	9	6	59.3	7 29.61	4 4 17.3	15 16 12.7
117	8.9	7	18.6	7 39.17	4 6 35.3	15 13 54.7
118	8	7	34.0	7 54.57	4 7 4.0	15 13 26.0
119	9.0	5	0.0	8 40.29	4 5 41.8	15 14 48.2
120	6.7	4	21.4	9 21.40	4 0 42.9	15 19 47.1
121	9	6	13.2	9 43.57	4 30 41.8	14 49 48.2
122	8.9	4	49.1	10 49.10	4 35 51.6	14 44 38.4
123	8.9	4	8.6	11 8.60	4 11 17.6	15 9 12.4
124	8.9	3	32.0	11 51.83	4 8 18.3	15 12 11.7
125	8.9	7	55.6	11 16.14	3 58 32.0	15 21 58.0
126	9	2	23.5	12 53.18	4 5 51.0	15 14 39.0
127	8.9	6	10.4	12 40.66	3 43 26.2	15 37 3.8
128	9.0	7	28.4	12 48.86	3 34 21.1	15 46 8.9
129	9	5	9.5	13 49.73	3 28 32.0	15 51 58.0
130	8.9	5	42.5	14 22.71	3 16 34.3	16 3 55.7
131	9	5	19.0	14 59.21	3 17 42.3	16 2 47.7
132	7	4	28.4	15 28.40	3 18 25.6	16 2 4.4
133	9	5	16.2	15 56.40	3 14 55.4	16 5 34.6
134	8.9	5	52.3	16 32.42	3 3 17.8	16 17 12.2
135	9.0	6	24.5	16 54.65	3 1 22.0	16 19 8.0
136	9	3	8.2	18 28.20	2 24 2.2	16 56 27.8
137	9	2	32.4	19 2.28	2 25 51.1	16 54 38.9
138	9	2	58.3	19 28.20	2 17 21.0	17 3 9.0
139	9	2	26.8	19 56.69	2 19 8.1	17 1 21.9
140	9	5	59.7	19 39.90	3 9 16.0	16 11 14.0
141	9.0	3	44.7	21 4.62	3 15 18.6	16 5 11.4
142	8.9	5	18.1	20 58.33	3 32 39.0	15 47 51.0
143	9.0	5	46.5	21 26.75	3 39 37.1	15 40 52.9
144	9	3	12.3	22 32.18	3 35 1.7	15 45 28.3
145	8.9	5	39.9	22 20.13	3 29 34.4	15 50 55.6
146	8.9	5	2.5	22 42.59	3 22 5.0	15 58 25.0
147	9	5	32.7	23 12.96	3 50 45.2	15 29 44.8
148	8.9	5	44.5	23 24.76	3 47 49.1	15 32 40.9
149	8	5	6.0	23 46.25	3 39 26.6	15 41 3.4
150	9	6	35.4	24 5.65	3 32 31.8	15 47 58.2
151	8.9	4	13.4	25 13.40	3 34 49.0	15 45 41.0
152	9.0	6	46.4	25 16.65	3 42 33.6	15 37 56.4
153	9.0	3	4.3	26 24.18	3 36 15.9	15 44 14.1
154	8.9	6	47.1	26 17.42	4 12 4.1	15 8 25.9
155	9	7	57.3	26 17.87	4 8 32.3	15 11 57.7

Hülfsstafel zur Reduction auf den mittlere Ort 1850 Januar 0 D = - 16°.

T.	k	k'	d	
7 ^u 0' 5.18	-2	-1	+15.0	+0.3 +
10+ 5.16	-1	-1	+15.3	+0.3 +
20+ 5.15	-1	-1	+15.6	+0.3 +
30+ 5.14		-1	+15.9	+0.3 +

104. Nach dem Zeugniß von Z. 345 No. 117 LL. 13928 und 13929 ist die Minute der croscops 20'; damit ist die Decl. und T rechnet.

126	Fad.	3.	33".4
132	"	5.	48.2
133	"	6.	26.2
134	"	6.	2.2
150	"	7.	45.2

Gr.	Fad.	Beob. Zeit.	T.	Microsc. I	Südl. Declin.
9.0	5	13.1	7 27 53.38	4 0 42.9	15 19 47.1
8.9	4	31.3	28 31.30	4 3 11.5	15 17 18.5
7	6	57.3	28 27.63	4 16 45.6	15 3 44.4
9	1	18.2	29 57.77	4 13 28.8	15 7 1.2
8	1	58.5	30 38.11	3 59 20.0	15 21 10.0
9.0	4	39.3	30 39.30	4 4 25.7	15 16 4.3
7	5	31 34.7	31 14.94	3 37 41.5	15 42 48.5
8	1	1.6	32 41.23	3 39 0.7	15 41 29.3
9	4	28.1	32 28.10	3 46 15.6	15 34 14.4
7	4	33 48.5	32 48.50	3 50 59.3	15 29 30.7
8.9	6	33 44.6	33 14.82	3 7 17.1	16 13 12.9
9	5	24.5	34 4.70	3 10 27.0	16 10 3.0
9	7	48.5	34 8.88	3 11 47.9	16 8 42.1
8.9	6	12.9	34 43.11	3 23 12.1	15 57 17.9
8.9	4	30.2	35 30.20	3 21 10.4	15 59 19.6
9	5	52.4	35 32.62	3 24 19.1	15 56 10.9
9	2	27.5	36 57.23	3 25 48.1	15 54 41.9
7	3	41.7	37 1.59	3 30 48.9	15 49 41.1
8	4	58.3	37 58.30	3 34 24.0	15 46 6.0
9	4	27.2	38 27.20	3 32 54.1	15 47 35.9
9.0	6	58.2	38 28.46	3 42 56.4	15 37 33.6
9.0	4	24.2	39 24.20	3 41 13.0	15 39 17.0
9	6	56.3	39 26.62	4 9 45.0	15 10 45.0
7.8	4	14.6	40 14.60	4 3 6.8	15 17 23.2
9	5	3.2	40 43.51	4 20 41.1	14 59 48.9
8.9	4	23.0	41 23.00	4 8 52.5	15 11 37.5
9	4	37.2	41 37.20	4 8 16.2	15 12 13.8
9	4	15.2	42 15.20	4 24 38.7	14 55 51.3
8	4	31.4	42 31.36	4 21 49.6	14 58 40.4
8.9	5	23.5	43 3.81	4 17 56.6	15 2 33.4
8.9	6	51.0	43 21.30	3 58 54.6	15 21 35.4
9	7	10.5	43 31.08	4 10 24.1	15 10 5.9
8	7	49.6	44 10.23	4 27 58.3	14 52 31.7
8.9	5	9.5	44 49.82	4 27 29.8	14 53 0.2
8.9	5	41.2	45 21.52	4 23 54.2	14 56 35.8
8.9	6	1.4	45 31.76	4 16 3.1	15 4 26.9
8	6	10.0	45 40.45	4 17 27.8	15 3 2.2
8	7	35.6	45 56.19	4 14 58.4	15 5 31.6
9	5	47 57.5	47 37.58	2 5 12.0	17 15 18.0
9	5	42.4	48 22.55	2 39 24.6	16 41 5.4
9	4	21.5	49 21.50	2 44 48.2	16 35 41.8
9	6	5.2	49 35.35	2 57 44.8	16 22 45.2
7	6	50 14.5	49 44.67	3 6 26.0	16 14 4.0
8	3	51 41.9	52 1.87	2 41 6.0	16 39 24.0
9	5	23.9	52 4.06	2 48 34.6	16 31 55.4
8	5	42.7	52 22.87	2 53 50.1	16 26 39.9
8	7	3.3	52 23.66	3 3 37.1	16 16 52.9
7	5	37.0	53 17.16	2 47 37.6	16 32 52.4
8	5	56.6	53 36.75	2 42 54.6	16 37 35.4
9	4	54 17.2	54 17.20	2 35 25.3	16 45 4.7
8	5	15.5	54 55.79	4 9 10.2	15 11 19.8
8.9	5	59.4	55 39.71	4 18 24.9	15 2 5.1
8.9	7	11.4	55 32.02	4 23 29.0	14 57 1.0
8.9	4	31.5	56 31.71	4 24 3.5	14 56 26.5
8.9	2	25.4	57 55.00	4 22 1.9	14 58 28.1

Hülftafel zur Reduction auf den mittlern Ort 1850 Januar 0 D = - 16°.

T.	k	k'	d	d'
7 20+ 5.15	-1	-1	+15.6	+0.3
30+ 5.14	0	-1	+15.9	+0.3
40+ 5.14	-1	-1	+16.2	+0.2
50+ 5.13	0	-1	+16.4	+0.3
8 0+ 5.13	-1	-1	+16.7	+10.9

159 Fad. 2. 28.2

160 „ 2. 8.5

165. Die Zeitminute muss, wie die Folge der Zeiten und eine Beob. 1851 Febr. 6. ergibt, 32 sein; unter dieser Voraussetzung ist T berechnet.

166 Fad. 7. 54.5

173 „ 4. 1.6

184 „ 5. 51.0

187. Zeit unsicher beobachtet.

192 Fad. 7. 19.9

207. Ein Zweifel im Faden wird durch eine Beobachtung 1852 März 17. gelöst.

209. Fad. 5. 51.6 giebt 31'92

No.	Gr.	Fad.	Beob. Zeit.	T.	Microsc. I	Südl. Declin.
211	9	5	19.0	7 57' 59.32	4 28' 9.8	14 52' 20.2
212	9	4	49.6	58 49.60	4 23 39.3	14 56 50.7
213	8	2	27.1	59 56.75	3 57 21.8	15 23 8.2
214	9	4	45.6	59 45.60	3 49 45.0	15 30 45.0
215	9	5	15.3	59 55.55	3 41 24.9	15 39 5.1
216	9	7	46.2	8 0 6.64	3 27 30.6	15 52 59.4
217	9.0	5	30.3	1 10.53	3 31 4.0	15 49 26.0
218	9	5	13.2	1 53.43	3 27 52.3	15 52 37.7
219	6	4	31.5	2 31.50	3 31 33.2	15 48 56.8
220	8.9	3	55.1	3 14.98	3 33 26.1	15 47 3.9
221	9	5	29.0	3 9.23	3 27 42.5	15 52 47.5
222	8.9	2	49.5	4 19.22	3 28 1.0	15 52 29.0
223	9.0	4	14.6	4 14.60	3 30 23.9	15 50 6.1
224	9	4	38.2	4 38.20	3 9 32.5	16 10 57.5
225	9	6	23.3	4 53.57	3 49 39.6	15 30 50.4
226	9	5	52.4	5 32.66	3 49 10.3	15 31 19.7
227	9	6	25.4	5 55.63	3 34 6.2	15 46 23.8
228	8	1	44.0	7 23.64	3 36 13.8	15 44 16.2
229	9	4	15.5	7 15.50	3 44 36.6	15 35 53.4
230	9	1	49.0	8 28.71	3 39 2.5	15 41 27.5
231	7.8	4	20.0	8 20.00	3 21 47.0	15 58 43.0
232	9	2	47.0	9 16.74	3 21 20.6	15 59 9.4
233	7	3	9 11.1	9 31.00	3 28 36.3	15 51 53.7
1	8	7	36 13.3	2 35 32.23	7 14 48.6	22 6 31.4
2	7	1	37 26.2	38 7.60	6 33 29.2	22 47 50.8
3	9	4	38 50.0	38 50.00	7 50 58.1	21 30 21.9
4	7.8	5	50.5	39 29.94	7 3 33.7	22 17 46.3
5	7	5	10.0	39 49.45	7 4 58.6	22 16 21.4
6	9.0	6	42.4	40 11.43	7 1 29.3	22 19 50.7
7	7	7	59 :	40 18	6 14 33.1	23 6 46.9
8	7.8	5	1.6	41 41.17	7 54 14.3	21 27 5.7
9	9.0	5	26.5	42 5.84	7 53 29.5	21 27 50.5
10	9.0	3	17.0	43 37.56	8 9 30.9	21 11 49.1
11	9	6	3.7	43 33.04	8 36 3.0	20 45 17.0
12	6	7	48.4	44 7.47	7 43 41.0	21 37 39.0
13	8.9	6	22.7	44 51.60	7 26 37.0	21 54 43.0
14	8	4	50.7	45 50.70	7 30 17.8	21 51 2.2
15	7	4	26.4	46 26.40	6 39 0.2	22 42 19.8
16	7	5	4.0	46 43.34	6 22 6.9	22 59 13.1
17	8	4	47 49.9	47 49.90	7 32 54.9	21 48 25.1
18	9	5	48 14.8	47 54.31	7 32 1.4	21 49 18.6
19	8.9	7	38 :	47 57	7 47 2.7	21 34 17.3
20	8	4	50 16.0	50 16.00	7 29 55.2	21 51 24.8
21	9	7	5.6	50 24.34	6 37 30.4	22 43 49.6
22	8.9	6	27.0	50 55.92	6 31 28.9	22 49 51.1
23	8.9	3	12.1	52 32.59	7 57 51.6	21 23 28.4
24	9	4	30.5	52 30.50	8 1 15.2	21 20 4.8
25	8	3	56.6	53 17.15	7 57 4.0	21 24 16.0
26	8	4	54.5	53 54.50	8 3 38.5	21 17 41.5
27	9	5	54 22.4	54 1.98	8 1 23.8	21 19 56.2
28	9	7	39.5	53 58.62	7 54 38.9	21 26 41.1
29	9	4	40.4	55 40.40	8 17 2.1	21 4 17.9
30	9	3	6.3	56 26.91	8 32 17.3	20 49 2.7
31	8.9	3	50.2	57 10.74	8 2 41.7	21 18 38.3
32	9	3	11.5	57 32.02	8 12 40.9	21 8 39.1

Hülftafel zur Reduction auf den mittlere Ort 1850 Januar 0 D = - 16°.

T.	k	k'	d
7 50+ 5.13	0	-1	+16.4 +0.3
8 0+ 5.13	0	-1	+16.7 +0.2
10+ 5.13		-1	+16.9

217. Ein Zweifel, ob der beobachtete Faden der 3^{te} sei, wird durch eine Beob. März 25. gehoben.

230 Fad. 2. 59".1

233 „ 4. 31.0

Die Luft war Anfangs unruhig, ward aber gegen das Ende etwas besser. Der Wind hob mehrere Male die Lampe aus, wodurch kleine Störungen entstanden.

ZONE 343. 1851 Jan. 16. W.

NC. 2 27 - 2 0.70

4 14 - 2 2.76

Anf. 28 0.07 + 2.6 33.9

3 30 34.5

Ende 27 11.85 + 2.2 34.3

Microsc. I - 6".10 u. - 4".81

Decl. = Microsc. I - 29° 21' 20"

3^a $\tau + i + 9''.131$ $\Delta \tau + 0''.012$ $\Delta i + 0''$

Hülftafel zur Reduction auf den mittlere Ort 1850 Januar 0 D = - 22°.

T.	k	k'	d
2 30+ 6.75	-5	-2	+ 3.8 +0.6
40+ 6.70	-5	-2	+ 4.4 +0.6
50+ 6.65	-5	-2	+ 5.0 +0.6
3 0+ 6.60		-2	+ 5.6

2 Fad. 2. 36.7 Fad. 4. 7.5

9 „ 6. 36.4 Fäden 6".06 und 5".62

10 „ 4. 37.6

11 „ 7. 13.7

23 „ 7. 13.4

Nº.	Gr.	Fad.	Beob. Zeit.	T.	Microsc. I	Südl. Declin.
84	9	3	34.5	8 4 54.36	3 49 57.8	15 30 32.2
85	9	3	13.4	5 33.26	3 49 3.3	15 31 26.3
86	9	3	36.7	5 56.58	3 34 3.1	15 46 26.9
87	9	5	37.2	6 17.45	3 43 14.7	15 37 15.3
88	9	3	56.6	7 16.47	3 44 32.2	15 35 57.8
89	8.9	4	25.0	7 25.00	3 36 11.8	15 44 18.2
90	7.8	2	51.4	8 21.14	3 21 45.0	15 58 45.0
91	9.0	3	19.0	8 38.95	3 26 39.3	15 53 50.7
92	7.8	2	2.3	9 32.02	3 28 33.3	15 51 56.7
93	9	5	37.3	9 17.52	3 21 19.9	15 59 10.1
94	9	2	54.2	10 23.94	3 21 24.5	15 59 5.5
95	8.9	6	25.5	9 55.73	3 33 31.8	15 46 58.2
96	7	5	46.0	10 26.23	3 30 45.5	15 49 44.5
97	8.9	7	3.5	10 23.92	3 21 24.1	15 59 5.9
98	7.8	7	44.9	11 5.24	2 56 22.8	16 24 7.2
99	8	7	11 57.9	11 18.25	2 59 56.7	16 20 33.3
100	8	5	41.0	12 21.17	2 56 40.4	16 23 49.6
101	9	3	15.2	13 35.18	2 36 28.1	16 44 1.9
102	8	3	40.5	14 0.50	2 27 4.1	16 53 25.9
103	9	7	22.0	13 42.13	1 57 7.1	17 22 22.9
104	9	5	45.6	14 25.68	2 4 27.1	17 16 2.9
105	6	4	15 2.0	15 1.95	2 13 42.0	17 6 48.0
106	9.0	5	47.8	15 27.92	2 27 7.1	16 53 22.9
107	9	4	18.5	16 18.50	2 33 13.4	16 47 16.6
108	9	5	52.0	16 32.13	2 30 39.9	16 49 50.1
109	8.9	5	17.8	16 57.95	2 43 36.6	16 36 53.4
110	9	4	51.7	17 51.70	2 43 20.9	16 37 9.1
111	9.0	7	30.9	17 51.18	2 39 2.4	16 41 27.6
112	8	5	51.7	18 31.86	2 50 22.2	16 30 7.8
113	8.9	5	35.8	19 16.06	3 45 44.8	15 34 45.2
114	8.9	5	0.9	19 41.17	3 55 45.7	15 24 44.3
115	8.9	3	20 16.7	20 36.56	3 52 17.5	15 28 12.5
116	9	3	44.6	21 4.49	3 32 39.4	15 47 50.6
117	8	6	9.6	20 39.83	3 32 17.0	15 48 13.0
118	8	7	36.0	20 56.34	2 57 19.6	16 23 10.4
119	8.9	7	2.3	21 22.67	3 6 38.7	16 13 51.3
120	8	4	35.6	22 35.60	3 1 56.1	16 18 33.9
121	7.8	3	54.6	23 14.54	3 0 27.4	16 20 2.6
122	7.8	5	21.9	23 2.09	3 7 16.0	16 13 14.0
123	6.7	4	53.3	23 53.30	4 0 11.2	15 20 18.8
124	8.9	5	25.7	24 5.97	3 57 31.6	15 22 58.4
125	8.9	7	44.5	24 5.01	3 50 1.0	15 30 29.0
126	8	2	25 25.1	25 54.78	3 45 11.0	15 35 19.0
127	8	3	50.6	26 10.48	3 37 8.1	15 43 21.9
128	9	4	11.5	26 11.50	3 34 8.6	15 46 21.4
129	9	4	26.5	26 26.47	3 35 48.7	15 44 41.3
130	7	6	3.0	26 33.26	3 44 7.6	15 36 22.4
131	9.0	7	50.9	27 11.50	4 17 36.7	15 2 53.3
132	8.9	4	28 38.8	28 38.80	3 51 33.0	15 28 57.0
133	9.0	6	30.9	29 1.20	3 59 30.2	15 20 59.8
134	7.8	4	8.6	30 8.60	3 50 9.0	15 30 21.0
135	9	3	30.7	30 50.55	3 53 5.1	15 27 24.9
136	9.0	3	1.5	31 21.36	3 45 57.9	15 34 32.1
137	9.0	4	30.5	31 30.50	3 45 4.0	15 35 26.0
138	7	3	49.6	32 9.46	3 49 44.3	15 30 45.7

*Hülfsstafel zur Reduction auf den mittl.
Ort 1850 Januar 0 D = - 16°.*

T.	k	k'	d
8 0+ 4.27	+1	-1	+17.5 +0.1 +
10+ 4.28	+1	-1	+17.6 0.0 +
20+ 4.29	+1	-1	+17.6 +0.1 +
30+ 4.30	+1	-1	+17.7 0.0 +
40+ 4.31		-1	+17.7 +

- 91 Fad. 4. 39.0
94. 97. derselbe.
103. Die Minute des Microscops soll 58' sein
ausser Z. 273 No. 21 eine Beobachtung
März 25. zeigt. Demgemäss ist die Decl.
gesetzt.
105 Fad. 5. 21.8
129 „ 5. 46.2

No.	Gr.	Fad.	Beob. Zeit.	T.	Microsc. I	Südl. Declin.
139	9.0	5	9.0	8 31' 49.26	3 50' 7.8	15 30' 22.2
140	9.0	7	40.2	32 0.64	3 28 30.2	15 51 59.8
141	9	2	16.8	33 46.51	3 32 28.6	15 48 1.4
142	9	3	45.3	34 5.17	3 39 29.5	15 41 0.5
143	4.5	4	34 41.5	34 41.50	3 55 43.7	15 24 46.3
144	8	2	8.8	35 38.46	3 53 8.8	15 27 21.2
145	9	5	36.6	35 16.86	3 49 42.9	15 30 47.1
146	9	5	11.2	35 51.43	3 27 40.0	15 52 50.0
147	9	4	42.5	36 42.50	3 36 52.7	15 43 37.3
148	7	6	19.4	36 49.69	3 55 11.2	15 25 18.8
149	9	7	39.1	36 59.62	3 53 45.6	15 26 44.4
150	9	5	14.5	37 54.76	3 51 35.2	15 28 54.8
151	9	6	36.5	38 6.77	3 49 40.1	15 30 49.9
152	9	7	46.4	38 6.93	3 54 42.5	15 25 47.5
153	9	5	19.3	38 59.56	3 48 16.0	15 32 14.0
154	9	7	45.2	39 5.66	3 35 14.0	15 45 16.0
155	9	6	31.3	40 1.42	2 47 15.3	16 33 14.7
156	6.7	6	52.0	40 22.12	2 49 59.1	16 30 30.9
157	9	6	11.5	40 41.62	2 50 17.8	16 30 12.2
158	9	3	51.3	42 11.26	2 49 23.2	16 31 6.8
159	8.9	3	2.8	42 22.77	2 42 4.5	16 38 25.5
160	8.9	2	30.3	43 0.14	2 39 17.0	16 41 13.0
161	9	4	43 6.5	43 6.50	2 25 28.0	16 55 2.0
162	8.9	5	41.0	43 21.08	2 1 3.0	17 19 27.0
163	9	2	20.5	44 50.40	2 17 23.6	17 3 6.4
164	8.9	7	26.0	44 46.34	2 55 53.0	16 24 37.0
165	7.8	7	45 40.5	45 0.85	2 59 33.9	16 20 56.1
166	6.7	4	5.0	46 5.00	2 57 3.6	16 23 26.4
167	9	6	41.0	46 11.13	3 8 56.2	16 11 33.8
168	8.9	6	25.1	46 55.56	3 47 38.5	15 32 51.5
169	8.9	5	56.2	47 36.46	3 47 37.4	15 32 52.6
170	8.9	4	18.0	48 18.00	3 45 26.3	15 35 3.7
171	8.9	1	35.6	49 15.22	3 44 51.1	15 35 38.9
172	9.0	2	55.7	49 25.38	3 46 33.0	15 33 57.0
173	7	7	28.1	48 48.73	4 28 4.0	14 52 26.0
174	9	4	50 28.4	50 28.40	4 18 33.5	15 1 56.5
175	9	5	25.5	51 5.83	4 32 28.8	14 48 1.2
176	6.7	5	57.0	51 37.16	3 46 22.6	15 34 7.4
177	7	6	20.6	51 50.89	3 55 48.3	15 24 41.7
178	7.8	2	59.4	53 29.08	3 45 56.4	15 34 33.6
179	9	1	19.3	53 58.91	3 46 6.6	15 34 23.4
180	8.9	4	51.6	53 51.60	3 34 13.6	15 46 16.4
181	8	6	21.6	53 51.73	2 51 13.6	16 29 16.4
182	9	6	54.3	54 24.40	2 40 19.2	16 40 10.8
183	9	6	44.3	55 14.37	2 50 11.9	16 30 18.1
184	8	5	30.0	56 9.10	2 16 6.0	17 4 24.0
185	8	6	39.0	56 8.04	2 16 32.1	17 3 57.9
186	7	6	13.7	56 43.76	2 26 1.0	16 54 29.0
187	7	5	59.5	57 39.68	2 41 46.3	16 38 43.7
188	8	5	37.5	58 17.64	2 35 42.0	16 44 48.0
189	8.9	3	4.5	59 24.46	2 51 54.8	16 28 35.2
190	8.9	4	14.4	59 14.76	2 47 49.9	16 32 40.1
191	8	6	6.3	59 36.46	3 3 48.5	16 16 41.5
192	8	3	46.2	9 1 6.10	3 26 37.5	15 53 52.5
193	6.7	3	19.0	1 38.87	3 39 56.6	15 40 33.4

Hälftafel zur Reduction auf den mittlere Ort 1850 Januar 0 D = -16°.

T.	k	k'	d
u			
8 30+	4.30	+1	-1
40+	4.31	+1	-1
50+	4.32	+1	0
9 0+	4.33	+2	0
10+	4.35		0

167 Fad. 7. 50.7

176 „ 6. 6.8

183 „ 7. 54.0

185 „ 7. 48.5 Fäden 9''.04 u. 8''.70; F 7, als wohl nur flüchtig beobachtet, ist geschlossen.

186. Bei diesem Sterne ward ein Fehler von entdeckt und verbessert, der nach Beobachtungen der vorhergehenden Sterne im 1852 zwischen No. 183 und 184 entsteht; ich habe daher die T der Sterne und 185 gleichfalls um -1'' corrigirt.

187 Fad. 6. 9.6

190 „ 5. 34.6 Fad. 4 ist wohl nur flüchtig beobachtet und deshalb ausgeschlossen.

No.	Gr.	Fad.	Beob. Zeit.	T.	Microsc. I	Südl. Declin.
194	9	7	55.0	9 1 15.65	4 33 44.1	14° 46' 45.9"
195	9	7	16.6	1 37.23	4 26 55.6	14 53 34.4
196	8.9	6	45.5	2 15.84	4 21 7.4	14 59 22.6
197	9	6	19.5	2 49.85	4 24 34.7	14 55 55.3
198	7.8	4	3 47.2	3 47.26	4 29 6.9	14 51 23.1
1	8.9	3	3 15.7	3 35.61	3 19 55.6	16 0 34.4
2	9	4	9.8	4 9.80	3 1 47.9	16 18 42.1
3	7	6	43.0	4 13.11	2 44 48.9	16 35 41.1
4	8	4	12.1	5 12.10	2 42 58.8	16 37 31.2
5	9	5	52.6	5 32.76	2 47 36.1	16 32 53.9
6	9	7	7 53.2	7 13.37	2 6 54.7	17 13 35.3
7	8	4	44.5	8 44.50	1 57 24.8	17 23 5.2
8	8.9	7	9.5	8 29.69	2 13 46.0	17 6 44.0
9	9	2	40.5	10 10.37	2 28 23.5	16 52 6.5
10	9	5	31.2	10 11.35	2 43 23.6	16 37 6.4
11	8	1	5.3	11 45.02	3 14 21.3	16 6 8.7
12	9.0	7	31.0	10 51.41	3 16 41.4	16 3 48.6
13	8.9	5	6.5	11 46.77	3 54 12.3	15 26 17.7
14	9.0	4	13 39.3	13 39.30	2 33 1.7	16 47 28.3
15	9	4	23.8	14 23.80	3 0 3.0	16 20 27.0
16	7.8	4	54.3	14 54.30	3 20 25.2	16 0 4.8
17	9	3	16 7.6	16 27.59	2 31 55.4	16 48 34.6
18	8	2	49.9	17 19.67	3 9 24.4	16 11 5.6
19	9	5	24.5	17 4.75	3 37 59.0	15 42 31.0
20	8	2	42.4	18 12.08	3 46 48.0	15 33 42.0
21	8.9	7	12.0	17 32.58	4 9 2.1	15 11 27.9
22	9	1	2.9	19 42.39	4 24 17.2	14 56 12.8
23	9	1	49.5	20 29.12	3 36 16.6	15 44 13.4
24	7.8	4	35.0	20 35.05	2 26 48.3	16 53 41.7
25	9	6	22 8.1	21 38.19	2 37 43.9	16 42 46.1
26	9	1	49.6	23 29.37	2 58 13.5	16 22 16.5
27	9	3	31.4	23 51.31	3 15 49.4	16 4 40.6
28	9	6	4.5	23 34.92	3 58 1.1	15 22 28.9
29	9	7	42.5	24 3.13	4 28 18.3	14 52 11.7
30	8.9	3	25 50.8	26 10.71	3 16 56.9	16 3 33.1
31	7.8	4	42.9	26 42.90	3 42 32.0	15 37 58.0
32	8	4	16.0	27 16.00	4 7 20.4	15 13 9.6
33	9.0	6	28 37.7	28 8.00	4 0 57.2	15 19 32.8
34	9.0	4	52.0	28 52.00	4 3 59.7	15 16 30.3
35	7.8	2	30 14.1	30 43.84	3 21 39.0	15 58 51.0
36	8.9	3	32 5.6	32 25.53	3 5 32.6	16 14 57.4
37	9.0	6	38.5	32 8.69	2 55 25.0	16 25 5.0
38	8.9	5	14.3	32 54.43	2 30 2.6	16 50 27.4
39	9.0	7	40.5	33 0.76	2 32 46.1	16 47 43.9
40	9.0	4	2.0	34 2.00	2 32 57.0	16 47 33.0
41	9	4	27.5	34 27.50	2 32 38.1	16 47 51.9
42	8	7	35 53.8	35 14.13	2 53 45.0	16 26 45.0
43	9	6	36 23.7	35 53.82	2 47 5.3	16 33 24.7
44	9.0	4	37 27.0	37 26.93	2 49 9.8	16 31 20.2
45	9	5	34.1	38 14.22	2 27 26.0	16 53 4.0
46	9.0	6	50.0	38 20.05	2 22 42.7	16 57 47.3
47	9	5	40 34.4	40 14.63	3 32 15.1	15 48 14.9
48	8.9	6	56.2	40 26.49	3 50 4.0	15 30 26.0
49	8.9	6	41 24.3	40 54.56	3 46 12.8	15 34 17.2
50	9.0	3	42 35.4	42 55.32	3 10 46.0	16 9 44.0

198 Fad. 5. 7.0

Luft Anfangs ziemlich gut, bald etwas und zuletzt sehr unruhig.

ZONE 341. 1851 Jan. 14. West.

NC. 1 50' - 1 57.28

4 12 - 1 59.95

Anf. 27 8.84 - 0.4 28.9

Ende 8.73 - 0.1 27.9

Microsc. I - 4".73 u. - 6".09

Decl. = Microsc. I - 19° 20' 30"

3^u $\tau + i + 8''.647$ $\Delta \tau + 0''.013$ $\Delta i + 0''.005$

Hilfstafel zur Reduction auf den mittlern Ort 1850 Januar 0 D = - 16°.

T.	k	k'	d	d'
3 0 + 5.99	-5	-2	+ 3.6 + 0.2	+ 10.3
10 + 5.94	-4	-2	+ 3.8 + 0.2	+ 10.3
20 + 5.90	-5	-2	+ 4.0 + 0.2	+ 10.4
30 + 5.85	-4	-2	+ 4.2 + 0.3	+ 10.4
40 + 5.81	-5	-2	+ 4.5 + 0.2	+ 10.4

3 Fad. 7. 52.8

21. Zeit 13".0 und dann T. 17' 33".58?

23 Fad. 2. 59.4

24 " 5. 55.1

28 " 7. 14.5

29. Zeit unsicher beobachtet.

33. Vielleicht Fad. 5 und dann T. 17".98

37 Fad. 7. 48.4

39. Zeit unsicher beobachtet.

40 Fad. 7. 41.3 giebt 1.56 und ist ausgeschl.

44 " 5. 46.7

48 " 7. 6.0

Nº.	Gr.	Fad.	Beob. Zeit.	T.	Microsc. I	Südl. Declin.
51	8	1	6.0	3 43' 45.71	3° 16' 3.0	16° 4' 27.0
52	9.0	4	56.0	43 56.00	2 42 17.0	16 38 13.0
53	7.8	2	45 6.3	45 36.07	3 8 49.2	16 11 40.8
54	7	2	0.0	46 29.65	3 55 11.6	15 25 18.4
55	9	1	47 3.2	47 42.77	3 57 44.0	15 22 46.0
56	7.8	1	18.1	47 57.67	3 59 22.3	15 21 7.7
57	9	5	8.9	47 49.05	2 41 49.5	16 38 40.5
58	9	5	43.5	48 23.65	2 44 58.8	16 35 31.2
59	9	5	50 33.7	50 13.86	2 48 35.3	16 31 54.7
60	9	4	51 11.6	51 11.60	2 39 54.3	16 40 35.7
1	9	4	2 36.8	6 2 36.80	3 7 12.0	16 13 18.0
2	9	5	3 50.6	3 30.79	3 6 52.0	16 13 38.0
3	9	3	26.3	4 46.23	3 3 35.5	16 16 54.5
4	8.9	5	6 7.4	5 47.61	3 18 51.0	16 1 39.0
5	9	4	31.8	6 31.80	3 14 11.2	16 6 18.8
6	9	5	53.7	6 33.91	3 15 4.0	16 5 26.0
7	8.9	2	29.0	7 58.76	3 10 38.2	16 9 51.8
8	9	6	7.6	7 37.71	2 45 22.0	16 35 8.0
9	8	6	31.7	8 1.84	2 57 30.6	16 22 59.4
10	8.9	4	20.6	9 20.60	3 7 11.0	16 13 19.0
11	9	6	10 24.7	9 54.89	3 15 16.2	16 5 13.8
12	9	6	40.5	10 10.69	3 17 6.1	16 3 23.9
13	8.9	5	12.4	10 52.60	3 8 33.0	16 11 57.0
14	8	4	58.4	11 58.40	2 57 39.0	16 22 51.0
15	9	4	27.0	12 27.00	3 3 23.2	16 17 6.8
16	9	2	16.2	13 45.95	3 15 45.4	16 4 44.6
17	9	4	40.5	13 40.50	3 16 46.9	16 3 43.1
18	8.9	3	12.3	14 32.22	3 12 6.1	16 8 23.9
19	8.9	6	53.2	14 23.46	3 46 4.9	15 34 25.1
20	7	4	16.2	15 16.20	3 44 38.6	15 35 51.4
21	9	4	50.2	15 50.20	4 6 10.4	15 14 19.6
22	9	4	15.5	16 15.50	4 16 52.2	15 3 37.8
23	7	4	53.5	16 53.50	4 20 20.1	15 0 9.9
24	7.8	4	30.4	17 30.40	4 34 42.3	14 45 47.7
25	9	2	47.6	18 17.15	4 36 51.3	14 43 38.7
26	8	5	34.3	18 14.60	4 16 33.5	15 3 56.5
27	8.9	5	19 36.5	19 16.81	4 17 55.2	15 2 34.8
28	8	3	59.6	20 19.42	4 17 34.6	15 2 55.4
29	7.8	4	29.7	20 29.70	4 6 26.7	15 14 3.3
30	7.8	4	45.2	20 45.10	4 7 7.5	15 13 22.5
31	8.9	3	13.4	21 33.24	4 3 23.1	15 17 6.9
32	8.9	4	10.7	22 10.70	3 34 10.6	15 46 19.4
33	8	2	22 40.6	23 10.29	3 42 34.4	15 37 55.6
34	9	3	8.6	23 28.47	3 40 6.3	15 40 23.7
35	9.0	4	32.0	23 32.00	3 42 7.1	15 38 22.9
36	9	2	20.4	24 50.08	3 47 20.1	15 33 9.9
37	8	3	47.5	25 7.35	3 57 39.0	15 22 51.0
38	9	2	19.2	25 48.88	3 46 8.8	15 34 21.2
39	8	4	50.2	25 50.20	3 36 16.6	15 44 13.4
40	8.9	5	52.5	26 32.77	3 54 39.9	15 25 50.1
41	9	4	17.8	27 17.80	3 52 51.0	15 27 39.0
42	8.9	5	28 23.4	28 3.69	4 7 15.3	15 13 14.7
43	9	5	2.3	28 42.59	4 8 55.3	15 11 34.7
44	8.9	7	21.6	28 42.08	4 11 24.3	15 9 5.7
45	9.0	6	48.8	29 19.13	4 15 6.0	15 5 24.0

Hülftafel zur Reduction auf den mittleren Ort 1850 Januar 0 D = - 16°.

T.	k	k'	d	d
u	'	"	"	"
3	40+	5.81	-5	-2
50+	5.76	-4	-2	+4.5
				+0.2
				+0.2

Unruhige Luft; Wolken verhinderten die F
setzung.

ZONE 342. 1851 Jan. 14. W.

NC. 5 55 - 2 1.99
8 29 - 2 2.67

Microsc. I - 5".15 beim Schlusse.

Anf. 27 8.19 0.0 27.2

Ende 7.88 - 0.3 27.8

Das äussere Thermometer ist nach dem Zeug
des Minimumthermometers fortwährend
stiegen.

Decl. = Microsc. I - 19° 20' 30"

7^a $\tau + i + 8''.699$ $\Delta \tau + 0''.013$ $\Delta i + 0''$

Hülftafel zur Reduction auf den mittlen Ort 1850 Januar 0 D = - 16°.

T.	k	k'	d	d
u	'	"	"	"
6	0+	5.30	-3	-2
10+	5.27	-2	-2	+12.6
20+	5.25	-2	-2	+13.1
30+	5.23	-2	-2	+13.5
				+0.5
				+0.4
				+0.4
				+13.9

9 Fad. 7. 41.5

30 " 5. 4.7

No.	Gr.	Fad.	Beob. Zeit.	T.	Microsc. I	Südl. Declin.
88	9	7	4.0	3 39' 23.09	7° 47' 46.4	21° 33' 33.6
89	9	1	57.9	41 38.74	8 28 22.2	20 52 57.8
90	9	3	23.8	41 44.30	8 20 14.3	21 1 5.7
91	8.9	2	42 30.3	43 0.90	8 27 48.0	20 53 32.0
92	9	6	8.1	42 37.35	8 0 56.0	21 20 24.0
93	8.9	6	51.2	43 20.22	6 56 34.5	22 24 45.5
94	9	3	48.6	45 9.37	6 27 9.0	22 54 11.0
95	8	4	7.0	45 7.00	5 58 29.3	23 22 50.7
96	9	6	45 53.2	45 22.11	6 41 19.0	22 40 1.0
97	7	4	12.5	46 12.49	6 37 42.8	22 43 37.2
98	8.9	3	10.4	47 31.16	6 31 44.0	22 49 36.0
99	8.9	4	47 56.5	47 56.50	8 13 20.5	21 7 59.5
100	8	6	48 22.5	47 51.84	8 26 41.8	20 54 38.2
101	8	6	35.2	48 4.49	8 25 2.2	20 56 17.8
102	9	4	32.4	49 32.20	8 13 43.8	21 7 36.2
103	9	7	12.7	49 31.88	8 6 35.1	21 14 44.9
104	9	6	55.5	50 24.69	7 45 21.5	21 35 58.5
105	9.0	7	55.5	51 14.19	6 26 46.1	22 54 33.9
106	7	4	42.5	52 42.50	8 35 18.4	20 46 1.6
107	9.0	4	29.5	53 29.50	7 57 55.0	21 23 25.0
108	8	3	52.7	54 13.26	8 12 46.0	21 8 34.0
109	8	3	54.6	55 15.16	7 54 35.8	21 26 44.2
110	8.9	3	55 44.7	56 5.22	8 12 28.8	21 8 51.2
111	9	2	57 6.2	57 36.81	8 19 35.6	21 1 44.4
1	8.9	5	55 53.9	5 55 33.41	7 32 36.2	21 48 43.8
2	9	4	23.2	56 23.20	7 32 35.6	21 48 44.4
3	8	4	58.0	56 58.00	7 33 58.9	21 47 21.1
4	9	5	19.5	56 59.06	7 40 48.5	21 40 31.5
5	8.9	2	56.3	58 27.06	7 40 7.4	21 41 12.6
6	9.0	6	42.3	58 11.43	7 26 47.1	21 54 32.9
7	6	1	29.3	6 0 10.78	6 15 26.8	23 5 53.2
8	8	2	59.2	0 30.28	6 16 36.7	23 4 43.3
9	8	3	33.0	0 53.72	6 47 58.1	22 33 21.9
10	8.9	7	59.9	0 18.74	6 57 50.4	22 23 29.6
11	9	4	32.5	1 32.50	6 53 45.4	22 27 34.6
12	6.7	1	52.4	2 33.67	6 56 56.9	22 24 23.1
13	9	1	33.7	3 14.85	7 21 37.5	21 59 42.5
14	8	3	55.9	3 16.55	7 15 24.7	22 5 55.3
15	9	5	32.9	3 12.35	7 3 53.9	22 17 26.1
16	9	3	47.8	4 8.49	7 1 3.0	22 20 17.0
17	9	4	22.8	4 22.80	7 17 36.0	22 3 44.0
18	9	3	47.3	5 7.63	7 54 32.4	21 26 47.6
19	9	1	23.0	6 4.00	7 53 7.6	21 28 12.4
20	9	7	50.6	5 9.79	8 8 30.0	21 12 50.0
21	8	1	18.2	6 59.14	8 7 14.2	21 14 5.8
22	8.9	4	50.3	6 50.30	8 44 11.4	20 37 8.6
23	9	6	7 43.4	7 12.28	6 21 31.6	22 59 48.4
24	8.9	6	40.8	8 9.87	7 10 27.6	22 10 52.4
25	9	4	16.0	9 16.00	7 12 23.2	22 8 56.8
26	8	5	11 3.7	10 43.14	7 1 49.0	22 19 31.0
27	9.0	3	58.0	12 18.63	7 26 15.1	21 55 4.9
28	8.9	3	11.2	12 31.84	7 22 28.0	21 58 52.0
29	7.8	2	41.9	13 12.74	7 18 30.0	22 2 50.0
30	7	7	8 :	12 27	8 28 50.1	20 52 29.9
31	7.8	7	54.0	13 12.95	7 18 31.2	22 2 48.8

*Hülfsstafel zur Reduction auf den mittl.
Ort 1850 Januar 0 D = - 22°.*

T.	k	k'	d
u			
3 40+	6.41	-4	-2
50+	6.37	-5	-2
4 0+	6.32	-2	-2

93	Fad. 7.	1.0	giebt 19".84 und ist ausge
96	" 7.	3.3	
97	" 5.	33.1	
101	" 7.	45.2	
102	" 5.	52.4	giebt 32".01
108	" 4.	13.3	
111	" 3.	16.3	

Die Luft, Anfangs unruhig, wurde später bei
von 3^u 10' an zuweilen kleines Gewölk;
letzt ganz wolkg.

ZONE 344. 1851 Jan. 16. W

NC. 5 35	- 2 2.03
6 50	- 2 2.43
Anf. 27	11.48 + 2.4 35.1
Ende	11.39 + 2.5 35.4
Microsc. I	- 4".30 u. - 5".55
Decl. = Microsc. I	- 29° 21' 20"
6 ^u r+i	+ 9".168 Δr+0".012 Δi+0

*Hülfsstafel zur Reduction auf den mittl.
Ort 1850 Januar 0 D = - 22°.*

T.	k	k'	d
u			
5 50+	5.89	-3	-2
6 0+	5.86	-3	-2
10+	5.83	-3	-1
20+	5.80	-1	-1

4	Fad. 6.	29.9
18	" 4.	7.4
29. 31.	derselbe.	

No.	Gr.	Fad.	Beob. Zeit.	T.	Microsc. I	Südl. Declin.
32	9	4	43.3	6 14 43.17	7 4 36.2	22 16 43.8
33	9	4	16 3.6	16 3.60	6 49 32.7	22 31 47.3
34	9	5	17 41.4	17 20.72	6 13 27.8	23 7 52.2
35	8.9	3	15.6	18 36.22	7 28 18.2	21 53 1.8
36	9	4	6.5	19 6.50	8 5 39.1	21 15 40.9
37	9	5	40.4	19 19.97	7 57 58.6	21 23 21.4
38	8.9	6	3.1	19 32.32	7 53 30.8	21 27 49.2
39	8	3	19.9	20 40.38	7 53 7.4	21 28 12.6
40	9	5	10.2	20 49.77	7 54 27.6	21 26 52.4
41	9	6	26.6	20 55.84	7 57 44.5	21 23 35.5
42	9	4	25.4	22 25.40	7 58 16.9	21 23 3.1
43	8.9	3	8.4	23 28.96	7 55 59.6	21 25 20.4
44	9	5	31.3	23 10.84	7 43 14.1	21 38 5.9
45	7	4	13.2	24 13.20	7 7 51.5	22 13 28.5
46	6	1	49.0	25 30.49	6 2 31.2	23 18 48.8
47	8.9	6	25 33.1	25 2.22	7 25 1.2	21 56 18.8
48	9	5	16.1	25 55.70	8 7 28.5	21 13 51.5
49	7	7	42.8	26 2.07	8 25 59.8	20 55 20.2
50	8.9	4	5.2	27 5.20	8 27 52.4	20 53 27.6
51	7	6	26.4	26 55.85	8 32 9.1	20 49 10.9
52	8	6	9.0	27 38.23	7 55 36.1	21 25 43.9
53	8.9	5	38.6	28 18.20	8 6 51.3	21 14 28.7
54	8.9	5	58.4	28 37.99	8 3 22.7	21 17 57.3
55	9	4	47.5	29 47.50	8 10 57.3	21 10 22.7
56	9	3	3.5	30 24.03	8 4 26.7	21 16 53.3
57	9	4	31 2.0	31 2.00	7 31 12.9	21 50 7.1
58	8.9	4	31 22.4	31 22.40	7 42 10.0	21 39 10.0
59	8.9	5	12.5	31 51.89	6 42 54.1	22 38 25.9
60	8.9	3	8.3	33 29.05	6 34 57.7	22 46 22.3
61	8	4	55.4	33 55.40	8 5 40.3	21 15 39.7
62	8	3	40.5	35 1.13	7 23 11.7	21 58 8.3
63	9	5	14.5	34 53.98	7 16 38.3	22 4 41.7
64	7	2	50.0	36 20.90	7 2 36.9	22 18 43.1
65	9	6	14.4	35 43.44	7 2 59.6	22 18 20.4
66	8.9	7	46.5	36 5.13	6 15 51.6	23 5 28.4
67	8	7	37 27.4	36 46.45	7 38 1.0	21 43 19.0
1	7	5	1 36.5	6 1 16.73	3 27 17.4	15 53 12.6
2	7.8	4	16.5	2 16.50	3 39 23.0	15 41 7.0
3	9	6	3.9	2 34.23	4 14 37.8	15 5 52.2
4	7.8	4	23.5	3 23.50	4 18 3.6	15 2 26.4
5	7.8	4	4 31.4	4 31.40	3 34 23.6	15 46 6.4
6	8	5	3.7	4 43.93	3 32 13.5	15 48 16.5
7	8.9	7	39.8	5 0.29	3 43 55.6	15 36 34.4
8	8.9	4	16.0	6 16.00	3 52 45.3	15 27 44.7
9	7	4	32.6	6 32.60	3 59 19.6	15 21 10.4
10	9	7	56.7	6 17.24	3 57 28.2	15 23 1.8
11	8	6	18.6	6 48.88	3 55 16.1	15 25 13.9
12	8.9	4	1.1	8 1.10	2 57 28.5	16 23 1.5
13	6.7	1	40.6	9 20.41	2 46 0.6	16 34 29.4
14	7.8	4	9.9	9 9.90	2 21 20.6	16 59 9.4
15	9	5	34.6	9 14.70	2 16 12.4	17 4 17.6
16	8.9	2	9.5	10 39.40	2 23 20.8	16 57 9.2
17	5	4	55.2	10 55.20	2 34 31.0	16 45 59.0
18	8.9	5	21.7	11 1.85	2 38 18.1	16 42 11.9
19	9	5	46.5	11 26.61	2 33 35.3	16 46 54.7

Hülftafel zur Reduction auf den mittlern Ort 1850 Januar 0 D = - 22°.

T.	k	k'	d	d'
6 10+ 5.83	-3	-1	+14.6	+0.4
20+ 5.80	-2	-1	+14.2	+0.3
30+ 5.78	-3	-1	+13.9	+0.4
40+ 5.75		-1	+13.5	

32 Fad. 5. 3.6
39 „ 4. 40.3
46 „ 2. 59.3

Unruhige Luft; bald nach dem Anfange zuweilen kleines Gewölk.

ZONE 345. 1851 Jan. 17. West.

NC. 5 42' - 2' 0.36
8 26 - 2' 2.80
Anf. 27 11.54 + 3.1 37.0
Ende 11.17 + 3.0 37.6
Microsc. I - 5'' 91 u. - 4'' 33
Decl. = Microsc. I - 19° 20' 30''
7'' τ + i + 10'' 474 Δτ + 0'' 012 Δi + 0'' 005

Hülftafel zur Reduction auf den mittlern Ort 1850 Januar 0 D = - 16°.

T.	k	k'	d	d'
6 0+ 7.08	-3	-2	+13.9	+0.5
10+ 7.05	-3	-2	+14.4	+0.4

16 Fad. 3. 19.4
19 „ 6. 56.5

Nº.	Gr.	Fad.	Beob. Zeit.	T.	Microsc. I	Südl. Declin.
				^u		
20	9	6	37.3	6 12' 7.67	3 59' 22.7	15 21' 7.3
21	9	5	13 20.9	13 1.16	3 50' 38.3	15 29' 51.7
22	9	4	44.1	13 44.10	3 47' 30.0	15 33' 0.0
23	8.9	3	2.9	14 22.76	3 46' 4.7	15 34' 25.3
24	7	1	36.0	15 15.62	3 44' 37.1	15 35' 52.9
25	8.9	6	13.2	14 43.54	4 19' 50.1	15 0' 39.9
26	9	7	34.6	14 55.20	4 17' 37.5	15 2' 52.5
27	9	3	55.0	16 14.76	4 16' 47.2	15 3' 42.8
28	7	3	32.9	16 52.71	4 20' 19.4	15 0' 10.6
29	8	7	3.3	16 23.95	4 34' 24.0	14 46' 6.0
30	8	4	29.6	17 29.60	4 34' 40.0	14 45' 50.0
31	7.8	4	13.8	18 13.80	4 16' 31.2	15 3' 58.8
32	8	1	39.2	19 18.83	3 47' 43.1	15 32' 46.9
33	8.9	4	19 45.1	19 45.10	3 54' 12.0	15 26' 18.0
34	8.9	4	18.4	20 18.40	4 17' 34.6	15 2' 55.4
35	8	5	48.6	20 28.89	4 6' 25.0	15 14' 5.0
36	8	5	4.0	20 44.29	4 7' 4.8	15 13' 25.2
37	9	4	32.7	21 32.70	4 3' 23.8	15 17' 6.2
38	9	5	29.8	22 10.04	3 34' 11.4	15 46' 18.6
39	8	3	49.5	23 9.37	3 42' 31.2	15 37' 58.8
40	9	4	28.3	23 28.30	3 40' 2.1	15 40' 27.9
41	8.9	4	6.4	24 6.40	3 9' 13.2	16 11' 16.8
42	9	3	22.8	24 42.72	3 10' 35.7	16 9' 54.3
43	8.9	4	41.3	24 41.30	3 2' 32.0	16 17' 58.0
44	9	5	25 12.3	24 52.48	2 58' 19.5	16 22' 10.5
45	7.8	4	49.5	25 49.50	3 36' 16.2	15 44' 13.8
46	8	4	32.4	26 32.40	3 54' 41.6	15 25' 48.4
47	8.9	2	46.6	27 17.26	3 52' 53.3	15 27' 36.7
48	9	2	19.6	27 50.24	3 59' 36.7	15 20' 53.3
49	8	3	42.1	28 2.93	4 7' 14.1	15 13' 15.9
50	9	3	4.4	28 25.23	4 11' 33.0	15 8' 57.0
51	8.9	3	20.8	28 41.63	4 11' 21.2	15 9' 8.8
52	9	4	41.5	28 41.56	4 8' 53.6	15 11' 36.4
53	9	5	38.3	29 18.60	4 15' 6.1	15 5' 23.9
54	9	2	15.4	30 45.03	4 3' 55.2	15 16' 34.8
55	8.9	5	38.7	30 18.97	3 57' 40.8	15 22' 49.2
56	9	6	14.7	30 45.00	4 3' 55.9	15 16' 34.1
57	8.9	4	4.2	32 4.20	3 29' 46.2	15 50' 43.8
58	7.8	6	26.0	31 56.18	3 12' 20.6	16 8' 9.4
59	8.9	5	52.6	32 32.81	3 20' 36.4	15 59' 53.6
60	8	3	18.7	33 38.60	3 27' 35.0	15 52' 55.0
61	8.9	4	33.1	33 33.10	3 37' 4.1	15 43' 25.9
62	9	5	22.5	34 2.75	3 42' 28.4	15 38' 1.6
63	7	3	34 49.5	35 9.39	3 28' 9.6	15 52' 20.4
64	8.9	6	23.6	34 53.79	3 16' 1.6	16 4' 28.4
65	8.9	7	43.3	35 3.69	3 12' 35.3	16 7' 54.7
66	9	5	36 5.0	35 45.21	3 15' 7.6	16 5' 22.4
67	9	5	37.5	36 17.71	3 19' 34.0	16 0' 56.0
68	7.8	5	11.2	36 51.42	3 26' 2.2	15 54' 27.8
69	9	4	50.4	37 50.40	2 45' 34.4	16 34' 55.6
70	9	4	10.7	38 10.70	2 41' 36.3	16 38' 53.7
71	1	4	26.0	38 25.98	2 49' 27.2	16 31' 2.8
72	8	4	18.7	39 18.70	3 0' 40.8	16 19' 49.2
73	9	5	49.0	39 29.14	2 33' 35.9	16 46' 54.1
74	9	7	40 12.0	39 32.27	2 37' 49.1	16 42' 40.9

Hülfsstafel zur Reduction auf den mittlere Ort 1850 Januar 0 D = - 16°.

T.	k	k'	d
^u			
6 10+	7.05	-3	-2
20+	7.02	-2	-2
30+	7.00	-2	-2
40+	6.98	-1	-1

20 Fad. 7. 47.2

27 „ 4. 14.7

32 „ 3. 59.0

52 „ 6. 11.3 Ein Fehler von -1", der diesem Sterne entdeckt und corrigirt ist nach dem Zeugnis von Z. 342 zwischen No. 46 und 47 begangen worden, wes die T der Sterne 47 bis 51 um +1" corrigirt sind.

54. 56. derselbe.

71 Fad. 5. 45.8

No.	Gr.	Fad.	Beob. Zeit.	T.	Microsc. I	Südl. Declin.
75	9	7	23.4	6 39 43.64	2° 27' 29.9	16° 53' 0.1
76	8.9	3	3.8	41 23.82	2 16 18.2	17 4 11.8
77	8.9	1	33.8	42 3.71	2 14 29.8	17 6 0.2
78	8	5	18.1	41 58.31	3 17 35.0	16 2 55.0
79	8	3	35.0	42 54.92	3 11 46.1	16 8 43.9
80	8.9	7	6.7	42 27.17	3 35 20.8	15 45 9.2
81	7.8	4	33.0	43 33.00	3 28 36.8	15 51 53.2
82	9	5	56.5	43 36.74	3 32 54.7	15 47 35.3
83	9	3	25.1	44 44.97	3 40 50.6	15 39 39.4
84	9.0	5	54.0	44 34.25	3 43 22.9	15 37 7.1
85	9	5	35.4	45 15.70	4 14 21.5	15 6 8.5
86	8.9	6	49.0	45 19.34	4 18 8.6	15 2 21.4
87	9	5	46 42.2	46 22.48	4 2 39.0	15 17 51.0
88	9	4	20.2	47 20.20	4 55 33.0	15 24 57.0
89	7.8	1	40.3	48 19.90	3 49 15.8	15 31 14.2
90	9	1	25.5	49 5.18	3 23 31.7	15 56 58.3
91	9	5	54.4	48 34.56	2 52 16.7	16 28 13.3
92	9	6	25.4	48 55.55	2 59 22.6	16 21 7.4
93	9	5	4.6	49 44.78	3 1 31.6	16 18 58.4
94	8	4	32.6	50 32.60	3 8 48.8	16 11 41.2
95	8.9	4	46.2	50 46.20	3 2 39.7	16 17 50.3
96	9	6	13.5	50 43.65	3 0 44.7	16 19 45.3
97	9	4	45.0	51 45.00	2 23 35.0	16 56 55.0
98	9.0	3	18.0	52 38.00	2 27 44.4	16 52 45.6
99	9	4	53 10.5	53 10.50	2 52 9.1	16 28 20.9
100	8.9	7	58.4	53 18.79	3 13 13.0	16 7 17.0
101	7.8	3	38.8	54 58.67	4 9 42.8	15 10 47.2
102	9	4	26.5	55 26.50	4 13 42.0	15 6 48.0
103	9	5	42.5	55 22.81	4 17 17.2	15 3 12.8
104	8.9	2	24.0	56 53.61	4 15 57.2	15 4 32.8
105	8	1	38.4	57 17.92	4 13 39.7	15 6 50.3
106	8.9	1	26.2	58 5.73	4 10 12.5	15 10 17.5
107	8.9	4	14.5	58 14.50	3 41 18.5	15 39 11.5
108	7	7	37.4	57 57.80	3 16 40.0	16 3 50.0
109	9	6	4.6	58 34.78	3 12 56.3	16 7 33.7
110	9	6	33.6	59 3.78	3 10 58.7	16 9 31.3
111	9	7	2.5	59 22.92	3 21 3.1	15 59 26.9
112	8.9	6	41.6	7 0 11.71	2 42 46.1	16 37 41.9
113	9	7	4.2	0 24.46	2 34 9.4	16 46 20.6
114	9	7	29.0	0 49.32	2 51 43.6	16 28 46.4
115	9	7	49.7	1 10.05	2 59 44.3	16 20 45.7
116	9	6	35.3	2 5.46	3 3 10.5	16 17 19.5
117	6.7	7	21.5	2 41.92	3 20 24.4	16 0 5.6
118	7	7	40.9	3 1.32	3 20 30.1	15 59 59.9
119	9	7	44.3	3 4.73	3 24 21.7	15 56 8.3
120	8.9	7	20.2	3 40.64	3 26 28.7	15 54 1.3
121	9	7	53.2	4 13.64	3 26 20.6	15 54 9.4
122	9	7	14.2	4 34.64	3 27 3.0	15 53 27.0
123	9	4	59.8	5 59.80	3 26 12.0	15 54 18.0
124	9	6	24.0	5 54.20	3 22 33.2	15 57 56.8
125	8	4	53.7	6 53.70	3 15 13.2	16 5 16.8
126	9	5	40.7	7 20.87	2 54 2.0	16 26 28.0
127	9	3	38.1	8 58.06	2 47 36.9	16 32 53.1
128	9	3	57.7	9 17.66	2 50 55.0	16 29 35.0
129	8	3	9.3	9 29.21	2 52 59.5	16 27 30.5

*Hülftafel zur Reduction auf den mittler
Ort 1850 Januar 0 D = - 16°.*

T.	k	k'	d	d
6 40+ 6.98	-2	-1	+15.7	+0.4 +1
50+ 6.96	-2	-1	+16.1	+0.4 +1
7 0+ 6.94	-1	-1	+16.5	+0.4 +1
10+ 6.93		-1	+16.9	+1

77. Statt Fad. 1 ist nach dem Zeugniß von Z.
No. 19 und Z. 342 No. 67 Fad. 2 zu les
danach ist T berechnet.

101 Fad. 4. 58''7

108. Zeit unsicher beobachtet.

122. ebenso.

129 Fad. 5. 49.0

N ^o .	Gr.	Fad.	Beob. Zeit.	T.	Microsc. I	Südl. Declin.
130	8.9	5	9.0	7 9' 49.16	2 48' 46.6	16 31' 43.4
131	9	5	45.5	10 25.65	2 42' 52.2	16 37' 37.8
132	9	3	11 6.6	11 26.56	2 46' 52.4	16 33' 37.6
133	9	4	38.3	11 38.30	2 46' 38.5	16 33' 51.5
134	7.8	5	6.4	11 46.57	2 57' 42.9	16 22' 47.1
135	8.9	4	28.5	12 28.53	2 48' 19.0	16 32' 11.0
136	8.9	3	1.4	13 21.37	2 46' 1.7	16 34' 28.3
137	9	5	45.4	13 25.54	2 34' 44.4	16 45' 45.6
138	8	4	13.0	14 13.03	2 48' 31.3	16 31' 58.7
139	7	4	15 27.5	15 27.50	3 18' 25.1	16 2' 4.9
140	9	4	55.4	15 55.40	3 14' 51.2	16 5' 38.8
141	7	6	28.1	15 58.24	2 53' 44.0	16 26' 46.0
142	9	7	34.5	15 54.82	2 52' 22.0	16 28' 8.0
143	8	7	11.2	16 31.56	3 3' 13.0	16 17' 17.0
144	8.9	2	17 57.3	18 27.08	3 10' 12.6	16 10' 17.4
145	9	7	38.6	17 59.07	3 37' 14.5	15 43' 15.5
146	8	7	55.2	18 15.68	3 40' 36.6	15 39' 53.4
147	8.9	3	25.2	19 45.07	3 42' 29.2	15 38' 0.8
148	7.8	4	54.3	19 54.30	3 44' 22.0	15 36' 8.0
149	9	4	35.4	20 35.40	3 53' 52.2	15 26' 37.8
150	9	5	19.0	20 59.30	4 15' 4.1	15 5' 25.9
151	8	3	53.4	22 13.19	4 36' —	14 45' —
152	6	4	26.3	22 26.30	4 39' 6.4	14 41' 23.6
153	8	1	41.1	23 20.54	4 38' 43.6	14 41' 46.4
154	9	3	15.9	23 35.68	4 40' 17.7	14 40' 12.3
155	6	1	42.6	24 22.04	4 40' 55.0	14 39' 35.0
156	9	5	16.2	23 56.52	4 25' 18.2	14 55' 11.8
157	9	5	38.5	24 18.85	4 46' 11.2	14 34' 18.8
158	9	7	53.6	24 14.21	4 20' 15.2	15 0' 14.8
159	7	7	25 1.0	24 21.61	4 20' 56.8	14 59' 33.2
160	8.9	5	55.0	25 35.30	4 11' 15.9	15 9' 14.1
161	7	3	57.0	26 16.81	4 12' 2.9	15 8' 27.1
162	8	6	40.4	26 10.76	4 28' 30.7	14 51' 59.3
163	8	5	3.6	26 43.92	4 29' 52.1	14 50' 37.9
164	7.8	7	29.0	26 49.61	4 21' 42.0	14 58' 48.0
165	8	5	27 53.4	27 33.73	4 34' 13.1	14 46' 16.9
166	7	5	28 46.6	28 26.90	4 16' 43.0	15 3' 47.0
167	8.9	7	9.4	28 29.96	4 3' 5.0	15 17' 25.0
168	7.8	1	57.7	30 37.27	3 59' 16.4	15 21' 13.6
169	9	3	18.5	30 38.42	4 4' 19.5	15 16' 10.5
170	9	4	55.0	30 55.00	4 7' 46.6	15 12' 43.4
171	7	5	33.7	31 13.94	3 37' 38.8	15 42' 51.2
172	8.9	3	56.4	32 16.32	4 7' 5.0	15 13' 25.0
173	9	5	47.3	32 27.56	3 46' 12.0	15 34' 18.0
174	8.9	5	0.3	32 40.55	3 38' 58.5	15 41' 31.5
175	7	7	33 27.1	32 47.61	3 55' 58.3	15 29' 31.7
176	9.0	7	58.8	33 19.30	3 48' 14.2	15 32' 15.8
177	9	4	33.3	34 33.30	3 48' 41.7	15 31' 48.3
178	8.9	3	3.4	35 23.25	3 53' 42.8	15 26' 47.2
179	9	3	10.6	35 30.45	3 53' 32.9	15 26' 57.1
180	7.8	4	36.8	35 36.80	3 44' 0.2	15 36' 29.8
181	7	6	53.6	35 23.91	3 37' 0.8	15 43' 29.2
182	7.8	2	31.0	37 0.72	3 30' 46.0	15 49' 44.0
183	9	4	56.3	36 56.30	3 25' 45.7	15 54' 44.3
184	9	5	35.3	37 15.53	3 27' 32.2	15 52' 57.8

*Hülftafel zur Reduction auf den mittl.
Ort 1850 Januar 0 D = -16°.*

T.	k	k'	d
7 10+ 6.93	-2	-1	+16.9 +0.3 +
20+ 6.91	-1	-1	+17.2 +0.3 +
30+ 6.90	-1	-1	+17.5 +0.3 +
40+ 6.89		-1	+17.8 +0.3 +

130. Minute des Microscops im Original undeutl.

135 Fad. 5. 48.4

138 „ 5. 32.9

142. Bei diesem Sterne ward an das Micro gestossen; ob dieses sich durch diesen verändert hat, bleibt unentschieden, halte ich es nicht für wahrscheinlich.

161 Fad. 4. 16.80

167. Zeit unsicher beobachtet.

169 Fad. 4. 38.5

176 „ 4. 16.4

175. Nach dem Zeugniß von Z. 342 N^o. 165 einer Beob. 1851 Febr. 6. ist das Micro um 5' zu gross abgelesen; unter dieser nahme sind T und die Decl. berechnet.

181 Fad. 7. 3.5

Nº.	Gr.	Fad.	Beob. Zeit.	T.	Microsc. I	Südl. Declin.
185	9	7	51.3	7 37' 11.73	3 23' 31.4	15 56' 58.6
186	7.8	5	17.5	37 57.75	3 24' 18.1	15 46' 11.9
187	9	6	56.5	38 26.74	3 32' 49.7	15 47' 40.3
188	9	5	34.2	39 14.39	3 7' 16.1	16 13' 13.9
189	9	3	9.2	40 29.12	3 13' 56.0	16 6' 34.0
190	9	5	54.3	40 34.40	2 13' 43.3	17 6' 46.7
191	9	3	16.5	41 36.52	2 13' 42.1	17 6' 47.9
192	7.8	3	35.0	41 55.01	2 18' 6.1	17 2' 23.9
193	9	4	16.2	42 16.20	2 23' 44.0	16 56' 46.0
194	6	4	48.6	42 48.60	2 29' 19.3	16 51' 10.7
195	9	5	18.5	42 58.63	2 32' 14.5	16 48' 15.5
196	8.9	1	55.7	44 35.53	2 41' 34.0	16 38' 56.0
197	8.9	5	28.3	44 8.44	2 34' 47.9	16 45' 42.1
198	7	6	45 2.2	44 32.37	3 6' 36.6	16 13' 53.4
199	9	6	30.0	45 0.13	2 55' 40.9	16 24' 49.1
200	8.9	6	1.0	45 31.15	3 2' 11.4	16 18' 18.6
201	8.9	4	26.9	46 26.90	2 53' 57.6	16 26' 32.4
202	8	4	47.4	46 47.40	2 52' 15.0	16 28' 15.0
203	8.9	3	48 8.3	48 28.16	3 48' 2.1	15 32' 27.9
204	8.9	2	37.3	49 6.97	3 50' 18.3	15 30' 11.7
205	7	6	8.4	48 38.72	4 9' 0.6	15 11' 29.4
206	7	4	33.5	49 33.50	4 12' 22.6	15 8' 7.4
207	9	4	11.6	50 11.60	3 41' 52.4	15 38' 37.6
208	9	5	0.5	50 40.72	3 26' 51.5	15 53' 38.5
209	7.8	2	31.2	52 1.04	2 41' 2.9	16 39' 27.1
210	9	2	56.6	52 26.46	2 33' 34.0	16 46' 56.0
211	7	3	56.2	53 16.16	2 47' 31.2	16 32' 58.8
212	7.8	3	16.4	53 36.37	2 42' 50.9	16 37' 39.1
213	7.8	5	54 15.2	53 55.48	4 0' 29.7	15 20' 0.3
214	8.9	4	54.5	54 54.60	4 9' 2.6	15 11' 27.4
215	9	5	54.7	55 35.02	4 28' 26.5	14 52' 3.5
216	9	4	30.5	56 30.50	4 23' 56.6	14 56' 33.4
217	9	6	21.3	56 51.58	3 52' 50.0	15 27' 40.0
218	8.9	7	41.6	57 2.16	4 4' 49.0	15 15' 41.0
219	9	4	16.6	58 16.60	4 8' 20.7	15 12' 9.3
220	8.9	7	43.2	58 3.71	3 50' 23.6	15 30' 6.4
221	9	2	14.6	59 44.27	3 49' 35.1	15 30' 54.9
222	8	4	56.0	59 56.00	3 57' 17.2	15 23' 12.8
223	8.9	2	36.6	8 1 6.43	2 45' 10.5	16 35' 19.5
224	9	7	24.1	0 44.28	2 10' 16.6	17 10' 13.4
225	7	2	1.3	2 30.84	3 31' 27.0	15 49' 3.0
226	9	3	54.3	3 14.18	3 33' 23.1	15 47' 6.9
227	9	4	8.0	3 8.00	3 27' 27.3	15 52' 52.7
228	8.9	2	48.8	4 18.52	3 27' 56.8	15 52' 33.2
229	8.9	4	10.9	4 10.90	3 10' 56.3	16 9' 33.7
230	8.9	4	50.4	4 50.40	3 2' 19.6	16 18' 10.4
231	8.9	6	5 36.2	5 6.51	4 7' 17.6	15 13' 12.4
232	8.9	7	5 44.5	5 5.07	4 7' 29.8	15 13' 0.2
233	6	5	6 40.0	6 20.34	3 59' 44.7	15 20' 45.3
1	8.9	5	2 38.6	2 18.03	6 56' 36.1	22 24' 43.9
2	8.9	3	6.8	3 27.48	7 5' 15.4	22 16' 4.6
3	8.9	4	38.4	3 38.40	7 2' 11.5	22 19' 8.5
4	9	4	4.7	4 4.70	6 48' 56.3	22 32' 23.7
5	9	5	40.2	4 19.62	6 53' 58.8	22 27' 21.2
6	8	4	9.2	5 9.20	7 59' 33.7	21 21' 46.3

Hülftafel zur Reduction auf den mittlern Ort 1850 Januar 0 D = - 16°.

T.	k	k'	d	d'
7 30+ 6.90	-1	-1	+17.5	+0.3
40+ 6.89	-1	-1	+17.8	+0.3
50+ 6.88	0	-1	+18.1	+0.3
8 0+ 6.88	-1	-1	+18.4	+0.2
10+ 6.87	-1	-1	+18.6	+0.8

186 Fad. 7. 37.3
 192 „ 4. 55.0
 214 „ 5. 14.4
 225 „ 3. 11.0 Fad. 4. 30.6; die Fäden geben 31.02, 30.89 und 30.60.
 233 Fad. 6. 50.0 Fad. 7. 59.9

Dunstige, aber ruhige und zum Theil sehr ruhige Luft.

ZONE 346. 1851 Jan. 20. West.

T.	k	k'	d	d'
3 0+ 8.05	-5	-2	+5.6	+0.3
10+ 8.00	-2	-2	+5.9	+18.4

No.	Gr.	Fad.	Beob. Zeit.	T.	Microsc. I	Südl. Declin.
7	7	5	5 43.0	3 5 22.60	8 9 53.1	21 11 26.9
8	9	4	40.3	6 40.30	6 49 37.3	22 31 42.7
9	9	4	16.1	7 16.10	6 37 56.6	22 43 23.4
10	8.9	4	58.9	7 58.90	7 2 44.8	22 18 35.2
11	9.0	6	32.3	8 1.60	8 16 21.4	21 4 58.6
12	9.0	7	9 25.2	8 43.94	6 36 49.1	22 44 30.9
13	9	5	18.6	9 57.97	6 35 56.4	22 45 23.6
14	8	6	31.9	10 0.93	6 43 48.3	22 37 31.7
15	9	4	29.1	11 29.10	6 52 18.2	22 29 1.8
16	9	7	52.4	11 11.05	6 19 27.7	23 1 52.3
17	6.7	7	17.8	11 36.44	6 17 42.3	23 3 37.7
18	9	5	56.3	12 35.65	6 26 14.8	22 55 5.2
19	6	7	23 :	12 42	7 2 53.9	22 18 26.1
20	9	2	14 10.8	14 41.63	7 21 16.6	22 0 3.4
21	9	5	42.0	14 21.28	7 55 22.1	22 5 57.9
22	7	4	27.4	15 27.40	7 42 49.1	21 38 30.9
23	9	4	56.3	15 56.30	7 43 33.8	21 37 46.2
24	7.8	2	48.3	17 19.04	7 53 16.6	21 28 3.4
25	9	4	36.3	17 36.30	7 9 23.8	22 11 56.2
26	8	4	24.0	18 24.00	7 44 50.7	21 36 29.3
27	9	1	18.1	19 59.31	7 9 37.1	22 11 42.9
28	8.9	7	19 52.1	19 10.88	5 45 30.4	22 35 49.6
29	9	7	20 3.6	19 22.36	6 39 55.0	22 41 25.0
30	9.0	4	21 15.5	21 15.43	7 52 50.8	21 28 29.2
31	9.0	5	7.5	21 47.08	7 59 32.2	21 21 47.8
32	8	5	51.0	22 30.50	7 27 47.4	21 53 32.6
33	8	5	23 12.8	22 52.30	7 24 49.5	21 56 30.5
34	9.0	5	24 19.7	23 59.06	6 31 7.0	22 50 13.0
35	9	6	25 49.0	25 18.16	7 35 35.2	21 45 44.8
36	9	5	31.2	26 10.79	8 3 38.2	21 17 41.8
37	8.9	4	9.0	27 9.00	7 28 27.4	21 52 52.6
38	6	7	27 43 :	27 2	7 12 52.2	22 8 27.8
39	8	4	29 5.5	29 5.50	8 41 50.2	20 39 29.8
40	8.9	1	43.2	30 24.44	7 4 2.6	22 17 17.4
41	8.9	5	29.0	30 8.34	6 22 28.9	22 58 51.1
42	9	7	20.2	30 39.33	7 57 27.1	21 23 52.9
43	9	5	0.2	31 39.79	8 6 27.9	21 14 52.1
44	8	4	36.3	32 36.30	8 16 16.1	21 5 3.9
45	9	5	12.5	32 52.08	8 0 53.9	21 20 26.1
46	9.0	5	4.0	33 43.51	7 29 11.6	21 52 8.4
47	9.0	5	56.0	34 35.54	7 44 7.0	21 37 13.0
48	9.0	4	35 31.3	35 31.30	6 25 50.2	22 55 29.8
49	9	3	15.5	36 36.25	6 35 47.3	22 45 32.7
50	8.9	7	51.7	36 10.24	5 58 8.6	23 23 11.4
51	8.9	5	33.2	37 12.63	6 56 26.6	22 24 53.4
52	9	6	55.3	37 24.30	6 50 55.1	22 30 24.9
53	8.9	2	16.5	38 47.59	6 56 16.1	22 35 3.9
54	9	2	10.6	39 41.53	6 54 55.7	22 26 24.3
55	8.9	6	42.3	39 11.52	7 53 54.1	21 27 25.9
56	8.9	7	16.2	39 35.36	8 3 21.5	21 17 58.5
57	9	1	40 56.4	41 37.24	8 28 25.0	20 52 55.0
58	9	3	22.6	41 43.10	8 20 11.1	21 1 8.9
59	7	4	51.8	41 51.79	7 59 13.8	21 22 6.2
60	9	5	56.6	42 36.18	8 0 52.1	21 20 27.9
61	9	5	39.5	43 18.93	6 56 36.1	22 24 43.9

Hilfstafel zur Reduction auf den mittleren Ort 1850 Januar 0 D = -22°.

T.	k	k'	d	
3 0+ 8.05	-5	-2	+ 5.6	+0.3 +1
10+ 8.00	-4	-2	+ 5.9	+0.3 +1
20+ 7.96	-5	-2	+ 6.2	+0.2 +1
30+ 7.91	-5	-2	+ 6.4	+0.3 +1
40+ 7.86	-5	-2	+ 6.7	+0.3 +1
50+ 7.81	-2	-2	+ 7.0	+1

NC. 2 51 - 1 59.41
4 53 - 2 1.46

Anf. 27 11.91 + 2.0 32.5

Ende 11.70 + 2.1 32.9

Nach dem Zeugniß des Minimumthermometers die Temperatur bis 32°0 hinunter gewesen

Microsc. I - 4".63 u. - 6".01

Decl. = Microsc. I - 29° 21' 20"

4^u r+i +10".535 Δr+0".011 Δi+0".

14 Fad. 7. 42.2

21 " 6. 52.0 Fäden 21".47 und 21".09

24 " 3. 58.5

30 " 5. 35.8

53 " 3. 27.0 Das Microsc. muss nach Zeugniß von LL. 6999, Z. 343 N°. 86 und ner Beob. 1851 Febr. 16. sein 6 46 16.1. ter dieser Annahme ist T und die Decl. rechnet.

59 Fad. 5. 12.2

Nº.	Gr.	Fad.	Beob. Zeit.	T.	Microsc. I	Südl. Declin.
62	9.0	5	16.6	3 43' 55.93	6 17' 55.3	23 3' 24.7
63	9	2	50.0	45 21.09	6 12 45.1	23 8 34.9
64	8	5	26.4	45 5.68	5 58 26.2	23 22 53.8
65	9	3	51.2	46 12.05	5 57 58.5	23 23 21.5
66	9	4	46 18.4	46 18.40	6 0 44.7	23 20 35.3
67	8.9	3	47 9.2	47 29.96	6 31 45.0	22 49 35.0
68	9.0	4	32.0	47 32.00	6 32 58.6	22 48 21.4
69	9	5	7.0	47 46.45	7 4 18.8	22 17 1.2
70	9	4	26.0	48 26.00	7 6 32.8	22 14 47.2
71	9	4	56.4	48 56.40	7 4 41.1	22 16 38.9
72	9	5	25.3	49 4.74	7 2 18.9	22 19 1.1
73	8	7	39 :	48 58	7 18 55.0	22 2 25.0
74	9.0	4	23.0	50 23.00	7 45 15.3	21 36 4.7
75	8.9	4	57.6	50 57.60	8 38 36.4	20 42 43.6
76	9	6	51 52.4	51 21.52	7 24 44.4	21 56 35.6
77	9.0	4	43.3	52 43.30	7 18 45.4	22 2 34.6
78	9	4	28.0	53 28.00	7 57 53.3	21 23 26.7
79	8	3	51.4	54 11.92	8 12 45.1	21 8 34.9
80	8.9	5	28.7	54 8.36	8 35 28.1	20 45 51.9
81	7.8	2	38.0	55 8.54	8 27 10.0	20 54 10.0
82	7.8	1	29.6	56 10.45	8 25 35.6	20 55 44.4
83	8	2	54.9	56 25.51	8 25 44.0	20 55 36.0
84	8	6	34.3	56 3.59	8 12 30.6	21 8 49.4
85	8	7	6.0	56 25.26	8 25 40.9	20 55 39.1
86	6.7	2	26.9	57 57.48	8 33 19.0	20 48 1.0
87	8.9	5	55.8	57 35.43	8 19 32.8	21 1 47.2
88	7	1	23.6	59 4.45	8 25 42.9	20 55 37.1
89	8.9	6	47.7	58 17.02	8 6 33.2	21 14 46.8
90	9	2	22.1	59 52.77	8 7 20.1	21 13 59.9
91	9	5	2.5	59 41.95	7 5 46.1	22 15 33.9
92	8	5	24.6	4 0 4.08	7 16 47.7	22 4 32.3
93	7	6	51.5	0 20.58	6 57 22.1	22 23 57.9
94	9	3	27.3	1 47.98	7 3 28.7	22 17 51.3
95	8.9	2	45.7	2 16.59	7 7 9.9	22 14 10.1
96	8.9	6	2 38.6	2 7.72	7 25 31.7	21 55 48.3
97	9	3	1.8	3 22.42	7 27 24.0	21 53 56.0
98	8.9	2	50.6	4 21.11	8 54 16.5	20 27 3.5
99	8.9	2	4 20.9	4 51.48	8 36 57.6	20 44 22.4
00	7	3	32.8	4 53.38	8 36 2.8	20 45 17.2
01	9.0	4	5 22.0	5 22.00	8 28 36.4	20 52 43.6
02	8.9	4	13.4	6 13.40	7 35 48.1	21 45 31.9
03	9	4	58.2	6 58.20	7 15 9.8	22 6 10.2
04	9	3	27.7	7 48.39	7 0 44.9	22 20 35.1
05	9.0	4	57.5	7 57.50	7 1 12.5	22 20 7.5
06	9	4	31.2	8 31.20	6 59 21.3	22 21 58.7
07	7	3	8 56.0	9 16.71	6 49 44.5	22 31 35.5
08	9	6	34.3	9 3.21	6 28 36.7	22 52 43.3
09	8.9	5	56.3	9 35.65	6 25 6.9	22 56 13.1
10	9	5	53.9	10 33.28	6 39 42.3	22 41 37.7
11	9	4	20.2	11 20.20	6 37 14.2	22 44 5.8
112	9	6	11 45.5	11 14.40	6 26 47.2	22 54 32.8
113	9.0	7	37.0	11 56.11	7 51 34.6	21 29 45.4
114	9	1	8.4	13 49.44	7 46 18.6	21 35 1.4
115	7.8	4	47.7	13 47.70	7 39 21.1	21 41 58.9
116	7	3	7.2	14 27.78	7 44 40.9	21 36 39.1

*Hälftafel zur Reduction auf den mittlern
Ort 1850 Januar 0 D = - 22°.*

T.	k	k'	d	d'
3 40+	7.86	-5	-2	+ 6.7
50+	7.81	-5	-2	+ 7.0
4 0+	7.76	-4	-2	+ 7.3
10+	7.72	-5	-2	+ 7.5
20+	7.67		-2	+ 7.8

80. Vielleicht Fad. 4 und dann T. 54' 28".70.
 81 Fad. 3. 48".0
 83. 85. derselbe.
 89 Fad. 7. 57.9
 93 " 7. 1.8
 99 " 4. 51.5
 100 " 4. 53.5
 114 " 2. 18.7

No.	Gr.	Fad.	Beob. Zeit.	T.	Microsc. I	Südl. Declin.
117	9	7	30.2	4 13' 49.28	7 46' 19.4	21 35' 0.6
118	8.9	5	8.2	14 47.79	8 4 16.1	21 17 3.9
119	7	6	41.5	15 10.58	7 13 33.6	22 7 46.4
120	9	4	17.0	16 17.00	7 24 4.7	21 57 15.3
121	9	5	53.2	16 32.69	7 23 8.3	21 58 11.7
122	9.0	4	49.7	17 49.70	7 16 3.1	22 5 16.9
123	8	4	6.5	18 6.50	7 7 59.0	22 13 21.0
124	9	2	53.7	19 24.76	6 20 38.6	23 0 41.4
125	9	3	26.5	19 47.11	7 30 6.6	21 51 13.4
126	9	7	48.5	19 7.56	7 41 44.2	21 39 35.8
127	9	5	32.2	20 11.72	7 35 34.5	21 45 45.5
128	7	3	59.3	21 19.91	7 30 47.8	21 50 32.2
129	9	6	22 7.2	21 36.07	6 18 23.5	23 2 56.5
130	7	7	25.0	21 43.63	6 15 8.9	23 6 11.1
131	8.9	5	7.0	22 46.24	6 30 50.2	22 50 29.8
132	7.8	3	51.3	24 11.80	7 39 0.6	21 42 19.4
133	9	7	24 36.0	23 55.18	8 7 43.6	21 13 36.4
134	7.8	7	54.3	24 13.50	8 11 36.3	21 9 43.7
135	9	7	25 46.3	25 5.45	8 1 12.0	21 20 8.0
136	7	7	26 2.4	25 21.64	8 19 42.2	21 1 37.8
137	9	5	48.5	26 28.06	7 53 5.0	21 28 15.0
138	9	7	20.6	26 39.72	7 54 20.2	21 26 59.8
139	9	6	11.3	27 40.42	7 23 16.0	21 58 4.0
140	9.0	2	41.7	29 13.00	6 55 9.6	22 26 10.4
141	8.9	4	50.4	29 50.40	6 47 34.8	22 33 45.2
142	8	4	8.6	30 8.60	6 46 1.9	22 35 18.1
143	8.9	4	29.0	30 19.05	6 44 34.8	22 36 45.2
144	7.8	6	13.8	30 42.70	6 26 12.0	22 55 8.0
145	9	4	11.2	32 11.20	7 38 16.6	21 43 3.4
146	8	3	39.0	32 59.57	7 48 48.7	21 32 31.3
147	7	4	33 1.8	33 1.78	7 48 20.2	21 32 59.8
1	8	4	9 3.3	4 9 3.30	4 1 58.3	15 18 31.7
2	8.9	5	24.2	9 4.46	3 52 4.4	15 28 25.6
3	8.9	5	4.1	9 44.35	4 6 12.9	15 14 17.1
4	7	3	52.8	11 12.61	4 19 43.9	15 0 46.1
5	9	3	18.8	11 38.61	4 25 20.1	14 55 9.9
6	9	4	44.0	11 44.01	4 29 21.6	14 51 8.4
7	7.8	3	12 31.7	12 51.51	4 22 52.1	14 57 37.9
8	9	6	13 37.5	13 7.82	4 12 29.1	15 8 0.9
9	9	3	12.0	14 31.81	4 21 26.3	14 59 3.7
10	8	4	39.8	14 39.80	4 27 6.6	14 53 23.4
11	8.9	5	22.0	15 2.01	3 25 8.5	15 55 21.5
12	9.0	5	29.5	16 9.73	3 31 17.9	15 49 12.1
13	8	3	54.2	17 14.15	2 56 58.5	16 23 31.5
14	8.9	7	18 8.1	17 28.72	4 22 35.9	14 57 54.1
15	8.9	7	36.0	17 56.60	4 18 5.8	15 2 24.2
16	8.9	5	12.3	18 52.51	3 20 3.0	16 0 27.0
17	9	4	41.0	19 41.06	3 26 41.1	15 53 48.9
18	9.0	5	16.6	19 56.83	3 31 42.8	15 48 47.2
19	7.8	4	8.6	21 8.60	3 49 9.1	15 31 20.9
20	9	4	51.2	21 51.20	4 1 24.1	15 19 5.9
21	8.9	3	23 27.5	23 47.49	2 33 37.6	16 46 52.4
22	9.0	6	18.8	23 48.88	2 32 53.1	16 47 36.9
23	9	7	47.5	24 7.67	2 7 25.2	17 13 4.8
24	9.0	5	26.3	25 6.32	3 3 16.0	16 17 14.0

Hülftafel zur Reduction auf den mittl. Ort 1850 Januar 0 D = - 22°.

T.	k	k'	d
4 10 + 7.72	-5	-2	+ 7.5 + 0.3
20 + 7.67	-5	-2	+ 7.8 + 0.3
30 + 7.62	-4	-2	+ 8.1 + 0.2
40 + 7.58		-2	+ 8.3

114. 117. derselbe.

126. Zeit unsicher beobachtet.

131 Fad. 6. 17.2

132 „ 4. 11.7

140 „ 4. 13.0; Fad. 2 giebt 12.63 un als unsicher beobachtet ausgeschlossen.

143 Fad. 5. 39.7; Faden 4 ist um 10'' geschrieben, wie Z. 317 N° 14 zeigt.

147 Fad. 5. 22.2

Die Luft, schon Anfangs etwas unruhig, war im Laufe der Zone immer mehr.

ZONE 347. 1851 Jan. 22. W

NC. 3 21 - 1 58.43

6 1 - 2 1.88

Anf. 28 2.57 + 3.8 36.3

Ende 2.80 + 3.2 34.8

Microsc. I - 4.43 u. - 5.31

Decl. = Microsc. I - 19° 20' 30''

5'' $\tau + i + 11''.009$ $\Delta\tau + 0''.018$ $\Delta i + 0''$

Hülftafel zur Reduction auf den mittl. Ort 1850 Januar 0 D = - 16°.

T.	k	k'	d
4 10 + 8.10	-5	-2	+ 9.8 + 0.3
20 + 8.05	-4	-2	+ 10.1 + 0.2
30 + 8.01		-2	+ 10.3

3 Fad. 6. 14.0

6 „ 5. 3.7

11 „ 6. 31.6 Fäden 2.22 und 1.81

17 „ 5. 0.9

21 „ 4. 47.5

24 „ 6. 36.0 Fäden 6.48 und 6.16

Nº.	Gr.	Fad.	Beob. Zeit.	T.	Microsc. I	Südl. Declin.
25	8.9	4	26' 1.9	4 26' 1.90	3° 14' 58.6	16° 5' 31.4
26	8.9	3	27 17.5	27 37.54	2 7 23.1	17 13 6.9
27	9	5	28 12.5	27 52.59	2 12 59.0	17 7 31.0
28	8.9	2	4.4	29 33.99	4 22 37.0	14 57 53.0
29	8	3	34.5	29 54.37	4 6 11.0	15 14 19.0
30	9	5	16.2	29 56.49	4 8 57.9	15 11 32.1
31	9.0	7	42.7	30 3.25	4 0 59.8	15 19 30.2
32	8	1	23.9	32 3.45	4 5 27.9	15 15 2.1
33	8.9	4	32 7.1	32 7.10	3 49 27.4	15 31 2.6
34	9	5	32 57.2	32 37.43	3 31 29.5	15 49 0.5
35	9.0	7	33 18.0	32 38.42	3 19 56.0	16 0 34.0
36	9.0	6	16.2	33 46.31	3 25 43.0	15 54 47.0
37	8	3	35 7.9	35 27.79	3 32 51.4	15 47 38.6
38	8.9	4	35 59.2	35 59.20	3 42 56.3	15 37 33.7
39	8	5	36 33.8	36 14.02	3 25 57.1	15 54 32.9
40	8	4	39 10.4	39 10.40	2 32 49.6	16 47 40.4
41	8.9	4	46.0	39 46.00	2 29 41.2	16 50 48.8
42	9	5	21.7	40 1.79	2 6 58.0	17 13 32.0
43	9	6	36.5	40 6.54	2 6 41.3	17 13 48.7
44	9	6	57.6	40 27.64	2 6 26.8	17 14 3.2
45	6	6	14.0	40 44.04	2 7 43.2	17 12 46.8
46	6	6	9.3	41 39.41	2 44 25.9	16 36 4.1
47	7	7	24.9	41 45.23	2 54 18.1	16 26 11.9
48	5.6	3	58.0	43 17.98	2 51 27.8	16 29 2.2
49	9.0	6	35.5	43 5.65	2 59 9.0	16 21 21.0
50	9	6	13.9	43 44.02	2 46 5.0	16 34 25.0
51	9	4	53.0	44 53.00	2 41 14.8	16 39 15.2
52	9.0	6	21.6	44 51.72	2 45 52.5	16 34 37.5
53	9.0	7	58.4	45 18.66	2 32 47.5	16 47 42.5
54	9.0	7	15.3	45 35.55	2 31 6.6	16 49 23.4
55	9	3	59.2	47 19.13	3 4 18.1	16 16 11.9
56	8.9	3	14.1	47 34.07	3 1 37.1	16 18 52.9
57	8.9	2	4.6	48 34.36	3 12 57.0	16 7 33.0
58	9	1	32.7	49 12.43	3 11 47.6	16 8 42.4
59	8.9	7	4.0	48 24.49	3 44 4.7	15 36 25.3
60	9.0	6	16.8	48 47.02	3 41 1.8	15 39 28.2
61	7.8	5	50.4	49 30.65	3 42 58.7	15 37 31.3
62	9.0	5	50.2	50 30.41	3 14 24.2	16 6 5.8
63	9	7	21.0	50 41.37	3 6 14.7	16 14 15.3
64	7.8	6	41.3	51 11.44	2 55 11.9	16 25 18.1
65	8	6	5.5	51 35.64	2 53 56.7	16 26 33.3
66	6.7	5	52 30.9	52 11.05	2 43 38.3	16 36 51.7
67	8	4	53 31.0	53 31.00	3 1 3.1	16 19 26.9
68	8	7	59.6	53 19.99	3 12 29.0	16 8 1.0
69	9	3	41.6	55 1.46	3 52 40.9	15 27 49.1
70	9	3	26.8	55 46.67	3 38 5.1	15 42 24.9
71	8.9	5	57.2	55 37.32	3 24 43.0	15 55 47.0
72	8.9	4	49.6	56 49.60	3 25 2.7	15 55 27.3
73	7.8	6	58 9.4	57 39.72	4 10 41.6	15 9 48.4
74	8	4	50.5	58 50.50	4 20 43.8	14 59 46.2
75	7.8	4	24.5	59 24.50	4 26 3.4	14 54 26.6
76	8	4	0 27.6	5 0 27.60	4 34 48.9	14 45 41.1
77	7	3	57.3	1 17.17	4 2 35.7	15 17 54.3
78	9.0	1	51.0	2 30.45	4 1 3.0	15 19 27.0
79	7.8	5	50.9	2 31.13	3 28 50.9	15 51 39.1

*Hilfstafel zur Reduction auf den mittlern
Ort 1850 Januar 0 D = - 16°.*

T.	k	k'	d	d'
4 20+	8.05	-4	-2	+10.1
30+	8.01	-5	-2	+10.3
40+	7.96	-4	-2	+10.5
50+	7.92	-4	-2	+10.7
5 0+	7.88	-4	-2	+10.9
10+	7.84	-2	-2	+11.1

29 Fad. 4. 54.4

40. Die Lampe musste gefüllt werden, daher die Pause.

45 Fad. 7. 23.9

48 " 4. 18.0

49 " 7. 45.3

56 " 4. 34.1

60 " 7. 26.5

71 " 6. 7.0

77 " 4. 17.2

78 " 3. 10.5

	Fad.	Beob. Zeit.	T.	Microsc. I	Südl. Declin.
0	5	37 19.0	5 36 59.17	2 56 16.1	16 24 13.9
	4	44 12.1	3 44 12.05	9 16 2.2	30 8 7.8
	6	18.2	44 45.15	9 32 27.8	29 51 42.2
9	6	7.5	45 34.66	10 6 14.9	29 17 55.1
	3	58.3	47 20.13	10 38 0.3	28 46 9.7
9	3	48 23.6	48 45.62	9 44 21.3	29 39 48.7
8	3	49 37.0	49 59.12	9 18 2.4	30 6 7.6
	5	10.0	49 47.98	9 8 58.9	30 15 11.1
9	5	44.0	50 21.95	8 58 15.3	30 25 54.7
	5	51 48.5	51 26.47	9 5 53.5	30 18 16.5
	4	53 12.0	53 12.00	10 11 12.2	29 12 57.8
9	6	57.0	53 24.00	9 37 48.5	29 46 21.5
9	5	33.8	54 11.81	9 43 57.8	29 40 12.2
	6	56 0.2	55 27.25	9 47 41.9	29 36 28.1
	2	57 57.6	58 30.22	10 37 36.2	28 46 33.8
8	5	7.0	58 44.90	8 46 17.0	30 37 53.0
	6	25.6	58 52.11	8 48 48.8	30 35 21.2
9	7	0 27 :	59 43	9 18 44.6	30 5 25.4
9	7	1 34.9	4 0 51.30	10 10 28.9	29 13 41.1
	2	12.8	2 45.59	10 5 8.4	29 19 1.6
9	2	32.4	3 4.95	10 12 16.3	29 11 53.7
9	2	4 9.6	4 42.43	9 56 49.6	29 27 20.4
8	4	43 16.1	6 43 15.95	0 34 53.2	28 48 16.8
9	3	44 31.2	44 53.11	0 37 43.4	28 45 26.6
	6	41.8	45 9.08	0 28 53.3	28 54 16.7
9	3	5.7	46 27.56	0 28 5.6	28 55 4.4
	7	51.2	46 7.66	0 18 13.5	29 4 56.5
	5	49.2	47 27.59	1 2 42.8	28 20 27.2
	3	22.4	48 44.11	1 11 32.5	28 11 37.5
9	6	57.4	48 25.14	2 0 13.3	27 22 56.7
	5	42.4	49 21.06	2 25 37.2	26 57 32.8
9	5	1.0	49 39.66	2 26 4.0	26 57 6.0
	1	33.0	51 15.82	2 22 58.4	27 0 11.6
9	2	50.4	51 22.47	2 26 16.1	26 56 53.9
	1	15.2	51 58.01	2 24 31.7	26 58 38.3
	5	56.0	51 34.59	2 2 11.1	27 20 58.9
	4	31.2	52 31.20	1 30 57.8	27 52 12.2
	4	0.3	53 0.30	1 42 33.5	27 40 36.5
	4	28.6	53 28.60	1 41 28.5	27 41 41.5
9	3	56.0	54 17.54	1 49 41.8	27 33 28.2
9	4	4.9	54 4.90	1 47 2.8	27 36 7.2
	4	40.3	54 40.30	1 48 41.3	27 34 28.7
	4	4.4	55 4.40	1 52 57.6	27 30 12.4
	4	40.5	55 40.50	1 53 13.9	27 29 56.1
	6	57.5	55 25.16	1 43 47.6	27 39 22.4
	7	56 19.6	55 36.61	1 39 20.5	27 43 49.5
9	4	2.6	57 2.60	1 31 53.1	27 51 16.9
	4	58 7.7	58 7.70	0 30 12.1	28 52 57.9
	2	44.5	59 17.19	0 23 50.9	28 59 19.1
9	3	5.1	59 26.94	0 32 29.6	28 50 40.4
9	6	3.3	59 31.13	2 18 16.1	27 4 53.9
	4	40.9	7 0 40.90	2 12 14.0	27 10 56.0
	5	12.2	0 50.91	2 41 5.9	26 42 4.1
	1	50.8	2 33.60	2 26 30.0	26 56 40.0
	2	2 15.2	2 47.25	2 29 49.8	26 53 20.2

ZONE 348. 1851 Jan. 23. West.

NC. 3 21' - 1' 58.49 Microsc. I - 7".41
 Anf. 28 4.63 + 2.3 30.0
 Ende 4.59 + 2.1 31.4
 Decl. = Microsc. I - 39° 24' 10"
 $4^u \tau + i + 11''.383$ $\Delta \tau + 0''.014$ $\Delta i + 0''.007$
 $D = - 30^\circ$

T.	k	k'	d	d'
3 40+ 8.89	-5	-3	+13.7	+1.0
50+ 8.84	-5	-3	+14.7	+0.9
4 0+ 8.79	-5	-2	+15.6	+1.0
10+ 8.74		-2	+16.6	+59.2

1 Fad. 5. 34".0 2 Fad. 7. 29".0
 3 " 7. 18.3 12 " 7. 55.5
 14 " 3. 8.4 20 " 3. 43.3
 16 " 7. 36.1 Fäden 52".32 und 51".90
 Sehr gute Luft; Wolken hinderten die Fortsetzung.

ZONE 349. 1851 Jan. 23. West.

NC. 6 37' - 2' 1.94
 7 51 1.58
 Anf. 28 4.32 + 1.5 30.2
 Ende 4.28 + 1.5 30.1
 Microsc. I - 6".29 u. - 7".76
 Decl. = Microsc. I - 29° 23' 10"
 $7^u \tau + i + 11''.432$ $\Delta \tau + 0''.014$ $\Delta i + 0''.006$

Hülfsstafel zur Reduction auf den mittlern Ort 1850 Januar 0 D = - 28°.

T.	k	k'	d	d'
6 40+ 8.07	-3	-1	+19.7	0.0
50+ 8.04	-3	-1	+19.7	-0.1
7 0+ 8.01	-3	-1	+19.6	-0.1
10+ 7.98		-1	+19.5	+41.9

1 Fad. 5. 37.5
 2 " 4. 53.0
 18 " 4. 17.5

No.	Gr.	Fad.	Beob. Zeit.	T.	Microsc. I	Südl. Declin.
34	8.9	6	15.6	7 2' 43.37	2 0' 7' 17.5	27 15' 52.5
35	8.9	7	47.5	3 4.74	2 14' 58.0	27 8' 12.0
36	6	4	9.5	4 9.50	2 7' 34.0	27 15' 36.0
37	8	3	56.4	5 17.97	1 53' 28.5	27 29' 41.5
38	9	5	18.6	4 57.15	1 51' 17.7	27 31' 52.3
39	9	3	45.3	6 6.90	1 45' 47.3	27 37' 22.7
40	9	3	8.4	6 29.98	1 49' 25.2	27 33' 44.8
41	9	5	9.5	6 47.77	1 24' 38.5	27 58' 31.5
42	7.8	2	37.2	8 9.55	1 27' 57.8	27 55' 12.2
43	8.9	7	20.4	7 37.16	1 1' 38.2	28 21' 31.8
44	8.9	6	35.2	8 2.59	1 7' 1.7	28 16' 8.3
45	8	4	12.5	9 12.50	1 16' 32.6	28 6' 37.4
46	9	7	2.0	9 18.81	1 8' 19.1	28 14' 50.9
47	9	4	39.7	10 39.70	0 58' 32.0	28 24' 38.0
48	7	4	1.2	11 1.20	1 2' 53.4	28 20' 16.6
49	9.0	2	22.0	11 54.44	0 55' 41.3	28 27' 28.7
50	9	4	3.0	12 3.00	0 42' 46.8	28 40' 23.2
51	8	1	23.3	13 6.81	0 38' 47.3	28 44' 22.7
52	8.9	2	14.5	13 47.10	0 38' 54.4	28 44' 15.6
53	9	3	53.8	14 15.69	0 19' 36.0	29 3' 34.0
54	9	7	35.5	13 52.32	1 9' 27.6	28 13' 42.4
55	9	6	8.3	14 35.90	1 30' 29.3	27 52' 40.7
56	8.9	7	31.0	14 47.95	1 30' 22.6	27 52' 47.4
57	7.8	6	53.9	15 20.51	1 28' 6.9	27 55' 3.1
58	9	3	42.5	17 3.05	2 0' 57.2	27 22' 12.8
59	5	4	19.5	17 18.50	1 49' 49.1	27 33' 20.9
60	8.9	5	19.2	17 56.86	2 25' 35.2	26 57' 34.8
61	9	6	51.5	18 18.37	2 26' 40.3	26 56' 29.7
62	8	2	35.7	20 6.71	2 38' 6.8	26 45' 3.2
63	9	4	11.2	20 10.20	2 10' 22.5	27 12' 47.5
64	8.9	2	46.3	21 17.41	2 16' 30.9	27 6' 39.1
65	8.9	1	17.6	21 59.47	2 16' 42.3	27 6' 27.7
66	9	3	21 49.5	22 10.97	2 26' 1.5	26 57' 8.5
67	9	6	22 45.6	22 13.45	2 26' 57.5	26 56' 12.5
68	7.8	1	52.6	24 35.73	1 35' 40.7	27 47' 29.3
69	8	3	14.5	24 36.14	1 34' 13.7	27 48' 56.3
70	8.9	6	47.4	24 14.95	1 21' 31.9	28 1' 38.1
71	9	3	41.7	26 3.65	0 4' 21.0	29 18' 49.0
1	8.9	2	57 29.5	3 58 2.04	1 18' 46.5	28 4' 13.5
2	9	5	59 14.0	58 52.60	2 6' 52.8	27 16' 7.2
3	9	5	0 26.4	4 0 4.91	1 39' 2.9	27 43' 57.1
4	8	5	0.6	0 39.15	1 50' 11.0	27 32' 49.0
5	8	6	33.0	1 0.79	1 33' 28.8	27 49' 31.2
6	8.9	6	4.4	1 31.97	1 24' 42.6	27 58' 17.4
7	8.9	3	39.4	3 1.12	1 10' 21.1	28 12' 38.9
8	9	4	41.2	3 41.20	1 20' 36.9	28 2' 23.1
9	9	1	4 56.8	5 40.03	1 26' 6.4	27 56' 53.6
10	9	5	6 18.2	5 56.77	1 55' 40.8	27 27' 19.2
11	9	6	45.4	6 13.16	2 3' 25.9	27 19' 34.1
12	8	7	22.0	6 39.36	2 32' 49.3	26 50' 10.7
13	9	4	9 34.5	9 34.50	1 29' 19.3	27 53' 40.7
14	9	3	16.9	10 38.57	1 24' 23.9	27 58' 36.1
15	9	7	59.5	10 16.08	0 35' 43.5	28 47' 16.5
16	9	4	44.0	11 44.00	0 34' 3.7	28 48' 56.3
17	8.9	2	25.7	12 57.97	1 44' 20.2	27 38' 39.8

Hülfsstafel zur Reduction auf den mittleren Ort 1850 Januar 0 D = - 28°.

T.	k	k'	d
7 0+ 8.01	-3	-1	+19.6
10+ 7.98	-3	-1	+19.5
20+ 7.95	-3	0	+19.4
30+ 7.92	-3	0	+19.3

41 Fad. 6. 20.0 Fäden 47".96 und 47".57

44 " 7. 45.7

49 " 3. 32.6

51 " 2. 34.2

57 " 7. 4.6

66. Bei diesem Sterne ward ein Fehler von . entdeckt und corrigirt. Nach Z. 289 ist ser Fehler bei N°. 57 entstanden, wesshalb T der Sterne 57 bis 65 um - 1" corr worden sind. Die Richtigkeit dieser Corre zeigen auch die Sterne Z. 287 N°. 89 und die mit 62 und 65 dieser Zone identisch

67 Fad. 7. 56.1

Sehr schöne Luft; Wolken, die bald den ga Himmel überzogen, hinderten die Fortsetz

ZONE 350. 1851 Jan. 30. W

Hülfsstafel zur Reduction auf den mittl. Ort 1850 Januar 0 D = - 28°.

T.	k	k'	d
3 50+11.23	-5	-3	+18.1
4 0+11.18	-5	-3	+18.3
10+11.13	-5	-3	+18.5

1 Fad. 3. 40.5

5 " 7. 44.0 Fäden 0".61 und 0".97

7 " 4. 4.7 ist als der sicherere bezeich ich vermuthe aber fast, dass der beweg statt des 4ten Fadens beobachtet ist, und ihn daher ausgeschlossen.

9 Fad. 2. 7.7

N ^o .	Gr.	Fad.	Beob. Zeit.	T.	Microsc. I	Südl. Declin.
18	9	5	9.6	4 12' 48.19	2° 1' 13.4	27° 21' 46.6
19	9	4	2.5	14 2.50	2 5 28.5	27 17 31.5
20	9	5	56.0	14 34.68	2 31 16.0	26 51 44.0
21	9	5	41.4	15 19.60	0 6 37.6	29 16 22.4
22	9	4	37.2	16 37.20	1 9 37.0	28 13 23.0
23	8	3	3.3	17 25.01	1 11 51.8	28 11 8.2
24	8.9	5	34.4	17 12.86	1 22 14.0	28 0 46.0
25	8.9	3	10.7	18 32.14	2 33 25.6	26 49 34.4
26	7.8	5	19 0.0	18 38.35	0 49 38.0	28 33 22.0
27	8	5	43.2	19 21.49	0 33 22.2	28 49 37.8
28	8.9	3	6.0	20 27.94	0 5 53.0	29 17 7.0
29	8.9	4	49.6	20 49.60	0 22 29.0	29 0 31.0
30	9	5	31.1	21 9.50	1 6 16.6	28 16 43.4
31	9	7	26.6	21 43.63	1 41 11.8	27 41 48.2
32	8.9	4	2.4	23 2.40	2 2 17.1	27 20 42.9
33	9	3	24 8.3	24 29.93	1 35 48.0	27 47 12.0
34	8.9	5	25 21.8	25 0.23	1 12 31.4	28 10 28.6
35	7	7	55 :	25 11	0 10 50.6	29 12 9.4
36	7.8	6	28.0	25 55.18	0 15 44.9	29 7 15.1
37	7	3	30.0	27 51.83	0 37 9.8	28 45 50.2
38	8.9	3	2.3	28 24.08	0 51 19.2	28 31 40.8
39	8.9	4	18.1	28 18.10	0 54 28.6	28 28 31.4
40	9	4	29 14.5	29 14.50	1 35 5.3	27 47 54.7
41	8.9	4	50.4	29 50.40	1 28 8.2	27 54 51.8
42	8.9	5	31 45.9	31 24.26	0 53 37.8	28 29 22.2
43	8	4	44.0	32 44.00	1 10 9.7	28 12 50.3
44	9	3	16.5	33 38.16	1 24 57.4	27 58 2.6
45	8.9	3	33 40.4	34 2.08	1 20 56.8	28 2 3.2
46	8.9	5	34 47.2	34 25.71	1 37 23.1	27 45 36.9
47	9	5	39.5	35 18.18	2 29 51.8	26 53 8.2
48	8.9	6	6.2	35 34.13	2 38 49.5	26 44 10.5
49	9	5	38.8	36 17.39	2 26 33.1	26 56 26.9
50	8	1	45.1	38 27.92	2 23 14.4	26 59 45.6
51	7.8	2	58.8	38 30.90	2 19 27.8	27 3 32.2
52	8.9	2	13.0	38 45.05	2 16 57.4	27 6 2.6
53	8.9	4	39 42.4	39 42.40	2 3 1.1	27 19 58.9
54	9	5	25.7	40 4.32	2 13 17.0	27 9 43.0
55	9	5	46.4	40 25.04	2 20 39.1	27 2 20.9
56	8	4	9.3	41 9.30	2 19 43.2	27 3 16.8
57	9	3	41.6	42 3.10	2 15 5.2	27 7 54.8
58	9	4	42 45.7	42 45.70	2 29 28.7	26 53 31.3
59	8.9	3	43 51.4	44 13.25	0 31 18.0	28 51 42.0
60	7	4	17.6	44 17.69	2 0 49.0	27 22 11.0
61	8.9	1	11.2	45 54.15	2 3 23.4	27 19 36.6
62	8	7	34.3	44 51.29	1 35 58.2	27 47 1.8
63	8.9	7	46 36.7	45 53.88	2 3 27.6	27 19 32.4
64	8	2	15.3	47 47.51	2 4 12.4	27 18 47.6
65	8.9	5	10.9	47 49.57	2 11 17.3	27 11 42.7
66	7.8	7	49 0.1	48 17.40	2 23 47.8	26 59 12.2
67	8	5	0.9	49 39.37	1 25 56.2	27 57 3.8
68	9	3	27.4	50 49.06	1 8 40.3	28 14 19.7
69	9	3	9.0	51 30.77	1 0 28.0	28 22 32.0
70	9	5	24.1	52 2.50	1 6 43.3	28 16 16.7
71	9	5	52.0	52 30.40	1 4 49.5	28 18 10.5
72	9	7	12.2	52 29.01	1 8 59.1	28 14 0.9

NC. 3 26' - 1' 56.47
 6 23 - 2 0.24
 Anf. 27 8.83 + 4.1 37.5
 6 12 36.9
 Ende 27 8.52 + 3.9 36.2
 Microsc. I - 5".71 u. - 7".64
 Declin. = Microsc. I - 29° 23' 0"
 5" $\tau + i + 13".693$ $\Delta \tau + 0".013$ $\Delta i + 0".006$

*Hilfstafel zur Reduction auf den mittlern
 Ort 1850 Januar 0 D = - 28°.*

T.	k	k'	d	d'
4 10' + 11.13	-5	-3	+18.5	+0.2
20 + 11.08	-6	-3	+18.7	+0.1
30 + 11.02	-5	-3	+18.8	+0.2
40 + 10.97	-5	-2	+19.0	+0.1
50 + 10.92	-5	-2	+19.1	+0.1
5 0 + 10.87	-2	-2	+19.2	+0.1

35. Vielleicht 8 m.
 36 Fad. 7. 38".7
 40 " 5. 36.0
 49 " 7. 0.0
 32 " 3. 23.5
 60 " 5. 39.2
 61. 63. derselbe.
 64 Fad. 3. 26.0
 65 " 7. 32.4
 68 " 4. 49.0
 69 " 5. 52.4

No.	Gr.	Fad.	Beob. Zeit.	T.	Microsc. I	Südl. Declin.
73	9	6	53' 29.4	4 52' 56.89	1° 7' 20.3	28° 15' 39.7
74	8.9	6	26.3	53 53.84	1 19 4.2	28 3 55.8
75	8.9	5	55 26.4	55 5.05	2 23 22.5	26 59 37.5
76	8	3	56 6.6	56 28.05	2 31 17.9	26 51 42.1
77	9	1	2.3	57 45.70	0 40 34.6	28 42 25.4
78	9	5	39.0	57 17.23	0 15 1.7	29 7 58.3
79	9	7	10.5	57 26.94	0 15 44.0	29 7 16.0
80	8	7	29.0	57 45.95	1 30 19.6	27 52 40.4
81	9	3	18.0	59 39.62	1 38 56.1	27 44 3.9
82	9	4	49.0	59 49.00	1 35 40.4	27 47 19.6
83	9	2	23.0	5 0 55.15	2 4 37.4	27 18 22.6
84	9	5	12.2	0 50.77	1 54 56.5	27 28 3.5
85	9	2	1.0	2 33.25	1 54 0.9	27 28 59.1
86	9	7	3 49.3	3 6.11	1 8 28.8	28 14 31.2
87	9	3	4 55.4	5 17.05	1 30 11.9	27 52 48.1
88	9	7	43.5	5 0.52	1 39 12.7	27 43 47.3
89	8.9	4	37.3	6 37.30	1 31 13.0	27 51 47.0
90	8.9	3	7 41.2	8 2.77	1 53 16.5	27 29 43.5
91	7	6	40.6	8 8.46	2 24 10.1	26 58 49.9
92	7	7	8.3	8 25.54	2 14 4.7	27 8 55.3
93	6	5	33.6	9 12.23	2 15 30.0	27 7 30.0
94	8	4	22.1	10 22.10	1 4 27.2	28 18 32.8
95	8.9	2	9.3	11 41.78	1 2 37.3	28 20 22.7
96	7.8	6	37.5	11 5.23	1 57 49.6	27 25 10.4
97	8	6	58.2	11 25.96	2 4 38.8	27 18 21.2
98	6	4	13 14.0	13 14.00	1 50 54.8	27 32 5.2
99	9	7	47.5	13 4.58	1 49 36.2	27 33 23.8
100	9	4	14 55.5	14 55.50	1 38 16.6	27 44 43.4
101	8.9	6	48.0	15 15.53	1 16 47.6	28 6 12.4
102	9	4	17 22.4	17 22.40	1 30 20.0	27 52 40.0
103	8.9	2	56.8	18 29.17	1 24 15.5	27 58 44.5
104	9	5	55.5	18 33.73	0 16 6.2	29 6 53.8
105	9	3	20 9.2	20 30.80	1 45 30.1	27 37 29.9
106	8.9	3	59.8	21 21.35	1 58 39.2	27 24 20.8
107	9	5	41.7	21 20.33	2 16 15.1	27 6 44.9
108	8	5	22.6	22 1.28	2 30 23.5	26 52 36.5
109	9	6	13.4	22 41.18	2 8 15.8	27 14 44.2
110	8.9	4	37.0	23 37.00	2 11 3.7	27 11 56.3
111	9	7	13.3	23 30.31	1 38 49.1	27 44 10.9
112	9	7	53.7	24 10.52	1 10 53.7	28 12 16.3
113	8	3	12.6	25 34.31	1 9 39.0	28 13 21.0
114	8.9	6	15.5	25 43.26	2 3 47.8	27 19 12.2
115	9	5	39.0	26 17.58	1 58 34.8	27 24 25.2
116	9	4	29.2	27 29.20	1 27 14.1	27 55 45.9
117	9	4	54.5	27 54.50	1 14 22.8	28 8 37.2
118	7.8	6	23.2	27 50.69	1 7 28.0	28 15 32.0
119	6.7	2	29 34.6	30 7.23	0 34 42.6	28 48 17.4
120	7	2	37.9	31 10.27	1 24 55.0	27 58 5.0
121	8	4	25.0	31 25.06	1 41 56.0	27 41 4.0
122	6.7	5	19.1	31 57.69	2 4 20.7	27 18 39.3
123	8.9	2	33 9.5	33 41.74	1 51 30.3	27 31 29.7
124	7.8	7	30 :	32 47	1 33 35.9	27 49 24.1
125	8	4	15.0	34 15.00	1 32 2.5	27 50 57.5
126	9	6	36.5	34 4.10	1 29 43.4	27 53 16.6
127	8.9	5	14.5	34 52.95	1 20 47.3	28 2 12.7

*Hälftafel zur Reduction auf den mittlere
Ort 1850 Januar 0 D = - 28°.*

T.	k	k'	d	
u				
4 50+10.92	-5	-2	+19.1	+0.1
5 0+10.87	-5	-2	+19.2	+0.1
10+10.82	-5	-2	+19.3	+0.1
20+10.77	-5	-2	+19.4	+0.1
30+10.72	-5	-2	+19.5	0.0
40+10.67		-2	+19.5	+

73	Fad.	7.	40.1
77	"	2.	13.0
83	"	3.	33.6
85	"	3.	11.7
113	"	4.	34.3
119	"	3.	45.4
120	"	3.	48.6
121	"	5.	46.6

nr.	Fad.	Beob. Zeit.	T.	Microsc. I	Südl. Declin.
			^u 35' 1.89	1 29' 17.1	27 53' 42.9
9	6	34.3	35 37.93	1 13 56.8	28 9 3.2
9	5	59.5	36 13.32	1 35 39.2	27 47 20.8
7	6	45.7	38 4.96	1 45 40.5	27 37 19.5
7	1	21.9	39 0.75	2 18 15.0	27 4 45.0
7	1	38 17.9	38 24.04	2 29 45.1	26 53 14.9
9	7	6.7	39 53.50	2 25 16.9	26 57 43.1
9	4	53.5	40 17.30	2 32 6.7	26 50 53.3
9	4	17.3	41 18.58	2 23 31.2	26 59 28.8
9	2	46.5	41 12.40	2 10 55.7	27 12 4.3
7	4	12.4	41 18.25	2 23 32.2	26 59 27.8
9	5	39.6	41 44.34	2 31 0.9	27 1 59.1
9	6	42 16.5	42 30.78	1 58 5.0	27 24 55.0
9	5	52.2	43 50.40	1 46 13.6	27 36 46.4
9	3	28.8	44 16.17	1 17 37.3	28 5 22.7
9	7	59.3	46 32.40	1 8 54.1	28 14 5.9
9	4	46 32.4	47 31.92	0 59 59.0	28 23 1.0
9	2	59.5	48 7.91	0 14 59.5	29 8 0.5
9	3	46.0	48 14.40	0 12 32.3	29 10 27.7
7	4	14.4	49 4.80	0 16 28.7	29 6 31.3
9	3	42.9	49 39.31	0 13 25.4	29 9 34.6
8	3	17.4	49 33.85	0 24 15.0	28 58 45.0
8	5	49 55.6	50 57.33	0 36 13.3	28 46 46.7
8	3	35.5	51 12.00	0 29 6.1	28 53 53.9
8	4	12.0	51 13.02	0 54 55.3	28 28 4.7
9	6	45.6	52 3.85	0 50 21.0	28 32 39.0
9	5	25.5	53 9.08	0 50 34.6	28 32 25.4
9	3	47.3	53 59.97	1 44 28.8	27 38 31.2
9	2	27.7	54 22.85	1 28 45.1	27 54 14.9
8	3	1.2	53 59.67	1 44 33.1	27 38 26.9
9	6	32.0	55 1.90	1 48 40.3	27 34 19.7
8	4	1.9	54 56.61	2 2 55.1	27 20 4.9
9	6	28.8	55 58.80	1 56 49.9	27 26 10.1
7	4	58.8	55 45.35	2 0 46.0	27 22 14.0
7	6	17.5	57 10.92	1 11 20.6	28 11 39.4
9	5	57 32.5	58 27.26	1 25 35.2	27 57 24.8
9	3	5.6	58 40.26	1 24 43.8	27 58 16.2
9	3	18.6	58 38.40	1 19 24.5	28 3 35.5
7	4	58 38.3	6 0 20.81	1 16 30.7	28 6 29.3
8	2	48.4	0 10.88	1 28 52.5	27 54 7.5
9	5	32.4	0 54.08	1 21 45.2	28 1 14.8
9	4	54.2	0 58.54	1 12 26.1	28 10 33.9
9	7	41.7	2 53.61	1 42 14.2	27 40 45.8
9	3	2 32.0	3 59 39.70	9 18 35.6	30 5 24.4
9	4	59 39.7	4 0 48.23	10 10 17.8	29 13 42.2
9	3	26.3	1 2.00	10 17 31.8	29 6 28.2
9	4	2.0	2 42.36	10 4 53.6	29 19 6.4
8	7	3 26.0	3 1	10 12 3.2	29 11 56.8
9	7	45 :	4 39.20	9 56 33.3	29 27 26.7
9	4	39.2	4 42.32	10 0 31.4	29 23 28.6
9	6	15.2	6 15.69	9 54 7.8	29 29 52.2
9	3	53.7	6 43.80	10 27 28.1	28 56 31.9
7.8	4	6 43.8	7 49.29	9 55 55.4	29 28 4.6
9	3	27.2	7 54.06	8 54 17.6	30 29 42.4
7.8	6	27.3	8 56.60	8 56 55.9	30 27 4.1
8	4	56.6			

Hülfsstafel zur Reduction auf den mittlern Ort 1850 Januar 0 D = - 28°.

T.	k	k'	d	d'
^u 5 30+10.72	-5	-2	+19.5	0.0 +40.2
40+10.67	-4	-2	+19.5	0.0 +40.2
50+10.63	-5	-2	+19.5	+0.1 +40.2
6 0+10.58	-4	-2	+19.6	0.0 +40.2
10+10.54		-2	+19.6	+40.3

136, 138. derselbe.

142 Fad. 4. 19".3 und Microscop an diesem Faden 1 17 11.9; man könnte vermuthen, dass hier 2 Sterne seien, wo dann für den am 4ten Faden beobachteten sein würde T = 5^u 44' 19".30 u. die Decl. = - 28° 5' 48".1, aber in Z. 357 ist nur N^o 142 beobachtet, und auch 1852 Febr. 23. war nur dieser Stern sichtbar im Meridiankreise.

144 Fad. 3. 10.1

155, 157. derselbe.

159 Fad. 7. 39.5

161 " 7. 28.3

165 " 5. 0.0 Fad. 6. 10".9

168 " 5. 15.5

169, Zeit unsicher beobachtet.

Anfangs ziemlich gute Luft; seit 5^u aber waren die Sterne gross, blass und unruhig.

ZONE 351. 1851 Febr. 2. West.

Hülfsstafel zur Reduction auf den mittlern Ort 1850 Januar 0 D = - 30°.

T.	k	k'	d	d'
^u 4 0+12.32	-5	-3	+18.0	+0.4 +57.0
10+12.27		-3	+18.4	+57.0

10 Fad. 4. 49".4

Nr.	Gr.	Fad.	Beob. Zeit.	T.	Microsc. I	Südl. Declin.
13	9	4	33.0	4 9 33.11	8 28 21.2	30 55 38.8
14	9	6	40.2	10 6.70	8 10 8.7	31 13 51.3
15	9	4	12.5	11 12.17	8 34 39.4	30 49 20.6
16	8	1	12 36.5	13 20.20	10 14 2.0	29 9 58.0
17	9	2	15 1.5	15 34.65	8 50 7.3	30 33 52.7
18	8.9	2	12.5	16 45.55	9 17 13.0	30 6 47.0
19	9	3	9.0	17 30.90	10 16 30.8	29 7 29.2
20	9	3	7.5	18 29.42	10 12 7.6	29 11 52.4
21	9	3	38.0	18 59.94	10 8 18.9	29 15 41.1
22	9	2	3.8	19 36.46	10 17 24.6	29 6 35.4
23	8	5	42.0	19 20.20	10 33 20.8	28 50 39.2
24	9	4	23.7	20 23.70	10 22 21.6	29 1 38.4
25	8.9	4	20 49.0	20 49.00	10 22 26.8	29 1 33.2
26	8	4	16.0	21 16.07	9 51 4.1	29 32 55.9
27	9	5	7.4	21 45.54	9 50 24.6	29 33 35.4
28	8	5	49.1	22 27.12	9 18 12.4	30 5 47.6
29	9	3	38.3	24 0.46	9 6 21.9	30 17 38.1
30	7	4	18.2	24 18.20	8 37 47.0	30 46 13.0
31	9	1	25 29.5	26 13.35	8 58 11.4	30 25 48.6
32	8	7	6 :	25 22	9 17 40.6	30 6 19.4
33	5	1	26 41.4	27 25.50	9 19 19.8	30 4 40.2
34	8.9	4	27 54.0	27 54.00	9 52 13.9	29 31 46.1
35	8.9	2	33.6	29 6.50	9 43 18.3	29 40 41.7
36	5	6	4.5	29 31.15	8 31 50.8	30 52 9.2
37	9	6	55.3	30 21.83	8 15 57.9	31 8 2.1
38	7	5	11.9	30 49.70	8 22 58.9	31 1 1.1
39	7	6	36.0	31 2.80	8 39 59.1	30 44 0.9
40	9	2	46.7	33 19.97	8 38 50.6	30 45 9.4
41	9	4	13.2	33 13.20	8 30 37.6	30 53 22.4
42	9	4	54.5	33 54.30	9 17 32.7	30 6 27.3
43	9	7	5.2	34 21.32	9 31 21.4	29 52 38.6
44	9	7	35.0	34 51.20	9 42 58.6	29 41 1.4
45	8.9	5	20.0	35 57.90	9 28 12.7	29 55 47.3
46	6.7	5	37 31.5	37 9.30	8 21 29.8	31 2 30.2
47	9	6	27.2	37 54.58	10 25 17.1	28 58 42.9
48	8	2	58.6	39 31.42	10 27 4.3	28 56 55.7
49	9	4	56.7	39 56.70	10 2 58.1	29 21 1.9
50	7.8	7	15 :	39 31	10 27 3.7	28 56 56.3
51	7	5	41 15.4	40 53.51	9 42 41.3	29 41 18.7
52	7	5	8.5	41 46.48	9 6 14.1	30 17 45.9
53	9	3	44.5	43 6.50	8 55 7.1	30 28 52.9
54	8	1	22.5	44 6.79	8 52 42.2	30 31 17.8
55	7.8	4	43 58.3	43 58.30	8 10 32.4	31 13 27.6
56	8.9	5	45 0.2	44 38.07	9 21 43.7	30 2 16.3
57	8.9	4	46 14.4	46 14.40	9 42 22.2	29 41 37.8
58	9	5	16.6	46 54.86	10 27 0.7	28 56 59.3
59	9	5	41.5	47 19.73	10 15 43.0	29 8 17.0
60	8.9	6	15.0	47 42.18	10 9 27.9	29 14 32.1
61	7.8	4	33.8	48 33.76	10 15 29.9	29 8 30.1
62	9	7	22.3	48 38.68	10 7 20.1	29 16 39.9
63	7.8	6	4.5	49 31.81	10 35 15.7	28 48 44.3
64	9	2	50.2	51 23.20	9 59 34.2	29 24 25.8
65	9	3	58.6	52 20.67	8 45 7.9	30 38 52.1
66	9	7	53 1.8	52 17.32	8 12 55.5	31 11 4.5
67	8	4	53.5	53 53.49	9 35 20.6	29 48 39.4

NC. 3 33' - 1 57.02

5 56 - 1 58.61

Anf. 27 8.38 + 3.9 35.3

Ende 8.34 + 3.1 33.2

Microsc. I - 8".45 u. - 8".05

Decl. = Microsc. I - 39° 24' 0"

5^a $\tau + i + 14''.749$ $\Delta \tau + 0''.018$ $\Delta i + 0''$

Hilfstafel zur Reduction auf den mittleren Ort 1850 Januar 0 D = -30°.

T.	k	k'	d
4 10 + 12.27	-5	-3	+18.4 +0.3 +
20 + 12.22	-6	-3	+18.7 +0.4 +
30 + 12.16	-5	-3	+19.1 +0.3 +
40 + 12.11	-5	-3	+19.4 +0.3 +
50 + 12.06	-5	-3	+19.7 +0.3 +
5 0 + 12.01		-3	+20.0 +

13 Fad. 5. 55.4

15 " 5. 34.0 giebt 11".85

17 " 4. 34.6

19 " 4. 30.9

22 " 3. 14.5

23 " 6. 52.8

26 " 5. 38.0

31 " 2. 40.2 Fäden 13".75 u. 13".35; den 1 halte ich für ungenauer und habe ausgeschlossen.

33 Fad. 3. 3.4

36 " 7. 15.5

39 " 7. 47.2

42 " 6. 27.2 giebt 54".09

45 " 6. 30.8 Fäden 58".06 und 57".75

47 " 7. 38.2

48 " 3. 9.7

48. 50. derselbe.

53 Fad. 4. 6.3; Fad. 3 giebt 6".70

56 " 6. 11.0 Fäden 38".23 und 37".91

61 " 5. 55.5

64 " 3. 1.4 Fäden 23".02 und 23".37

65 " 4. 20.5 Fad. 3 giebt 20".85

67 " 5. 15.4

No.	Gr.	Fad.	Beob. Zeit.	T.	Microsc. I	Südl. Declin.
68	8.9	7	36.3	4 53' 52.75	10 17' 25.8	29° 6' 34.2
69	9	5	37.1	55 15.12	9 19 33.5	30 4 26.5
70	8	7	56 12.2	55 28.06	8 56 36.8	30 27 23.2
71	9	5	58.6	56 36.48	9 2 5.2	30 21 54.8
72	8.9	5	18.7	57 56.73	9 22 10.0	30 1 50.0
73	9	4	0 25.2	5 0 25.20	10 37 15.1	28 46 44.9
74	9	4	51.6	0 51.60	10 31 38.1	28 52 21.9
75	9	3	41.2	2 3.08	10 24 26.0	28 59 34.0
76	8	6	6.5	1 33.69	10 12 39.0	29 11 21.0
77	9	5	35.2	2 13.37	10 0 25.6	29 23 34.4
78	8.9	2	58.4	3 31.22	9 58 41.7	29 25 18.3
79	9	4	19.3	3 19.34	9 33 51.0	29 50 9.0
80	9	7	19.9	3 35.85	9 8 26.2	30 15 33.8
81	8.9	5	13.7	4 51.75	9 27 27.6	29 56 32.4
82	8.9	5	32.6	5 10.69	9 36 39.0	29 47 21.0
83	8.9	5	5 54.8	5 32.95	9 38 47.4	29 45 12.6
84	9	3	6 35.6	6 57.65	9 35 58.1	29 48 1.9
85	8	7	12.3	6 28.29	9 14 7.6	30 9 52.4
86	9	6	19.3	7 46.05	8 39 54.8	30 44 5.2
87	9	2	13.2	9 46.68	8 4 0.0	31 20 0.0
88	9	2	45.7	10 19.09	8 17 13.9	31 6 46.1
89	9	3	17.2	10 39.42	8 51 53.6	30 32 6.4
90	9	7	11.2	10 27.24	9 21 48.0	30 2 12.0
91	8.9	3	42.3	12 4.43	9 13 52.2	30 10 7.8
92	9	5	34.2	12 12.30	9 39 17.6	29 44 42.4
93	8.9	5	13 3.9	12 42.14	10 21 14.9	29 2 45.1
94	7.8	1	58.4	14 42.19	10 1 47.0	29 22 13.0
95	9	2	14 30.2	15 3.00	10 2 6.0	29 21 54.0
96	7	5	34.8	15 12.77	9 10 23.7	30 13 36.3
97	9	7	29.0	15 44.71	8 36 41.2	30 47 18.8
98	9	5	17 53.4	17 31.51	9 43 59.7	29 40 0.3
99	9	4	18 34.0	18 34.00	9 57 36.7	29 26 23.3
100	9	4	19 59.2	19 59.25	9 15 46.3	30 8 13.7
101	9	3	7.7	21 29.82	9 18 22.5	30 5 37.5
102	9	4	36.6	21 36.60	9 11 34.1	30 12 25.9
103	9	4	13.0	22 13.00	9 14 38.9	30 9 21.1
104	7	3	47.2	23 9.35	9 9 24.0	30 14 36.0
105	9	2	23 56.5	24 29.20	10 29 19.1	28 54 40.9
106	9	5	47.3	24 25.64	10 32 0.0	28 52 0.0
107	9	2	29.3	26 2.33	9 51 20.6	29 32 39.4
108	8.9	6	6.5	25 33.50	9 37 19.4	29 46 40.6
109	9	7	27 17.0	26 32.76	8 44 17.5	30 39 42.5
110	9	6	2.4	27 29.03	8 31 53.0	30 52 7.0
111	7.8	2	29 28.0	30 1.23	8 46 5.2	30 37 54.8
112	9	5	12.2	29 50.03	8 28 46.0	30 55 14.0
113	7	2	5.4	31 38.49	8 15 13.7	31 8 46.3
114	9	4	34.2	31 34.20	8 12 41.2	31 11 18.8
115	8.9	5	26.5	32 4.41	8 47 37.3	30 36 22.7
116	9	3	0.6	33 22.78	9 1 4.7	30 22 55.3
117	8	5	38.2	33 16.29	9 35 41.6	29 48 18.4
118	8.9	5	9.8	33 47.90	9 40 32.0	29 43 28.0
119	7	2	34 20.8	34 53.80	9 35 33.4	29 48 26.6
1	8	4	21 37.6	7 21 37.60	1 18 32.0	28 4 28.0
2	8.9	5	10.4	21 48.83	1 12 9.1	28 10 50.9
3	8	6	36.3	22 3.75	1 1 1.3	28 21 58.7

Hülftafel zur Reduction auf den mittlern Ort 1850 Januar 0 D = - 30°.

T.	k	k'	d	d'
4 50' +12.06	-5	-3	+19.7	+0.3
5 0' +12.01	-6	-3	+20.0	+0.3
10 +11.95	-5	-3	+20.3	+0.3
20 +11.90	-5	-3	+20.6	+0.2
30 +11.85	-5	-3	+20.8	+0.3
40 +11.80	-5	-2	+21.1	+0.3

68. Zeit unsicher beobachtet.

71 Fad. 6. 9".6

79 " 5. 41.3

83 " 6. 6.0

85. Zeit unsicher beobachtet.

86 Fad. 7. 30.4

96 " 6. 45.9

97. Zeit unsicher beobachtet.

100 Fad. 5. 21.3

105 " 3. 7.4

106 " 6. 58.4

107 " 3. 40.5 Fäden 2".16 und 2".50

111 " 3. 39.0

113 " 5. 16.4

119 " 3. 31.8

Ungleiche, meistens aber ziemlich gute Luft.

ZONE 352. 1851 Febr. 2. West.

7 20' +11.34	-4	-1	+23.1	-0.1	+40.6
--------------	----	----	-------	------	-------

No.	Gr.	Fad.	Beob. Zeit.	T.	Microsc. I	Sädl. Declin.
4	9.	6	53.0	7 22' 20.30	1° 0' 21.2	28° 22' 38.8
5	9	2	32.2	24 4.69	1 1 42.3	28 21 17.7
6	9	5	8.4	23 46.73	0 46 23.0	28 36 37.0
7	8.9	5	37.0	24 15.35	0 50 24.9	28 32 35.1
8	9	6	52.0	24 19.40	0 51 18.2	28 31 41.8
9	9	7	22.0	24 38.73	0 56 43.5	28 26 16.5
10	9	4	0.5	26 0.50	0 57 44.2	28 25 15.8
11	9	6	25.4	25 52.93	1 17 26.4	28 5 33.6
12	8	4	48.6	26 48.60	1 22 16.7	28 0 43.3
13	9	7	16.6	26 33.47	1 17 6.8	28 5 53.2
14	7	4	40.3	27 40.71	1 7 59.3	28 15 0.7
15	8	3	29.7	28 51.41	1 12 25.6	28 10 34.4
16	6	3	48.9	29 10.58	1 20 9.5	28 2 50.5
17	9.0	4	30 1.4	30 1.40	1 18 8.8	28 4 51.2
18	9	3	31.7	30 53.36	1 24 40.0	27 58 20.0
19	8.9	2	23.3	31 55.78	0 58 50.9	28 24 9.1
20	9	5	24.5	32 2.94	1 16 49.9	28 6 10.1
21	7.8	4	28.6	33 28.60	0 31 57.7	28 51 2.3
22	9	7	59.2	33 15.74	0 29 18.0	28 53 42.0
23	9	6	17.4	33 44.67	0 27 52.2	28 55 7.8
24	8.9	7	53.7	34 10.37	0 47 49.4	28 35 10.6
25	7	7	10 :	34 27	1 46 28.1	27 36 31.9
26	9	4	3.0	36 3.00	1 47 34.8	27 35 25.2
27	7.8	6	36 30.4	35 58.14	1 59 40.0	27 23 20.0
28	7.8	5	7.3	36 45.89	2 3 25.3	27 19 34.7
29	9	3	32.7	37 54.25	2 0 55.1	27 22 4.9
30	8	7	55.2	37 12.56	2 32 40.6	26 50 19.4
31	8	7	3.0	37 20.34	2 29 25.0	26 53 35.0
32	9	3	52.8	39 14.25	2 31 16.1	26 51 43.9
33	9	3	39 21.7	39 43.18	2 28 46.9	26 54 13.1
34	8.9	4	8.4	40 8.40	2 25 32.1	26 57 27.9
35	9	3	7.0	41 28.53	2 7 9.3	27 15 50.7
36	9	4	47.2	41 47.20	2 13 14.2	27 9 45.8
37	9	3	8.7	42 30.19	2 19 38.8	27 3 21.2
38	8.9	3	49.4	43 10.98	1 54 50.9	27 28 9.1
39	9	6	43 28.2	42 55.91	1 53 58.3	27 29 1.7
40	9	5	3.4	43 41.96	1 54 4.9	27 28 55.1
41	8	5	23.0	44 1.54	1 46 46.0	27 36 14.0
42	8.9	7	53.0	44 9.62	0 41 29.3	28 41 30.7
43	9	4	32.5	45 32.45	0 6 15.1	29 16 44.9
44	9	4	38.2	46 38.20	1 33 56.0	27 49 4.0
45	9	3	2.8	47 24.40	1 44 22.7	27 38 37.3
46	8.9	4	25.6	47 25.60	1 46 52.5	27 36 7.5
47	7.8	4	48 7.6	48 7.60	1 39 37.6	27 43 22.4
48	9	4	33.5	48 33.50	1 28 22.6	27 54 37.4
49	9	5	50.7	48 29.18	1 29 22.6	27 53 37.4
50	8	5	25.5	49 3.98	1 29 9.9	27 53 50.1
51	7.8	4	55.4	49 55.40	1 35 25.0	27 47 35.0
52	9	4	19.2	50 19.20	1 33 52.8	27 49 7.2
53	9	7	42.7	49 59.65	1 29 3.1	27 53 56.9
54	8.9	4	14.3	51 14.30	1 25 53.9	27 57 6.1
55	8.9	4	38.9	51 38.90	1 56 20.7	27 26 39.3
56	8	2	52 1.0	52 33.30	1 52 17.7	27 30 42.3
57	8	5	38.5	52 17.12	2 11 58.3	27 11 1.7
58	9	7	7.2	52 24.47	2 19 17.1	27 3 42.9

NC. 6 59' - 1 56.68

9 47 - 2 0.24

Anf. 27 8.32 + 2.4 32.9

Ende 8.15 + 2.0 30.1

Microsc. I - 7".23 u. - 7".56

Decl. = Microsc. I - 29° 23' 0"

8° $\tau + i + 14''.807$ $\Delta\tau + 0''.018$ $\Delta i + 0''.002$

*Hälftafel zur Reduction auf den mittlern
Ort 1850 Januar 0 D = - 16°.*

T.	k	k'	d	d'
7 20+11.34	-4	-1	+23.1	-0.1
30+11.30	-3	-1	+23.0	-0.1
40+11.27	-3	-1	+22.9	-0.2
50+11.24	-3	-1	+22.7	-0.2
8 0+11.21		-1	+22.5	+40.8

4 Fad. 7. 3.4

14 „ 5. 2.3; Fad. 4 halte ich für flüchtig beobachtet, und habe ihn deshalb ausgeschlossen.

19 Fad. 3. 34.0

27. Wahrscheinlich Fad. 5 und dann T 36' 8".89, dann kommt der Stern mit Z. 396 N°. 98 überein.

33 Fad. 4. 43.2

38 „ 4. 11.0

42. Zeit unsicher beobachtet.

43 Fad. 5. 54.2

50 „ 6. 36.4

56 „ 3. 11.8

No.	Gr.	Fad.	Beob. Zeit.	T.	Microsc. I	Südl. Declin.
59	8	6	43.5	7 53' 11.41	2 34' 23.1	26° 48' 36.9
60	8.9	6	57.6	53 25.48	2 29 35.0	26 53 25.0
61	8.9	4	54 30.9	54 30.90	2 33 16.1	26 49 43.9
62	7	1	51.1	55 33.85	2 34 7.1	26 48 52.9
63	9	3	18.9	55 40.35	2 31 59.0	26 51 1.0
64	9	7	54.0	55 11.19	2 5 57.6	27 17 2.4
65	9	7	0.9	55 18.09	2 6 28.3	27 16 31.7
66	7	5	56 36.6	56 15.22	2 14 38.2	27 8 21.8
67	8	6	24.0	56 51.89	2 31 4.6	26 51 55.4
68	9	4	57.7	57 57.70	1 55 34.2	27 27 25.8
69	9	4	27.6	58 27.60	1 43 0.5	27 39 59.5
70	9	4	44.2	58 44.11	1 43 6.9	27 39 53.1
71	8.9	5	27.6	59 6.14	1 44 41.0	27 38 19.0
72	8	4	59 48.0	59 48.00	1 33 45.7	27 49 14.3
73	9	3	18.8	8 0 40.45	1 29 52.2	27 53 7.8
74	8.9	2	50.1	1 22.45	1 29 13.5	27 53 46.5
75	9	7	25.3	0 42.12	1 10 53.7	28 12 6.3
76	9	6	20.7	1 48.24	1 18 16.4	28 4 43.6
77	8.9	4	7.6	3 7.60	2 21 28.1	27 1 31.9
78	9	4	15.2	3 15.22	2 22 11.9	27 0 48.1
79	9	7	21.7	3 39.00	2 23 46.1	26 59 13.9
80	8	1	42.8	5 25.66	2 17 35.1	27 5 24.9
81	9	4	5 54.7	5 54.70	1 32 5.2	27 50 54.8
82	9	5	6 25.5	6 3.97	1 25 39.0	27 57 21.0
83	9	2	2.2	7 34.72	0 55 51.2	28 27 8.8
84	8.9	3	29.5	7 51.29	0 47 39.9	28 35 20.1
85	9	1	58.0	8 41.52	0 46 5.6	28 36 54.4
86	8.9	4	8 40.2	8 40.20	1 22 51.5	28 0 8.5
87	9	4	33.4	9 33.40	1 15 45.3	28 7 14.7
88	9	4	8.6	10 8.60	1 23 50.8	27 59 9.2
89	8	3	10 44.7	11 6.51	0 42 46.8	28 40 13.2
90	9	7	23.2	10 39.73	0 28 26.3	28 54 33.7
91	7.8	7	6.3	11 22.70	0 9 22.8	29 13 37.2
92	9	7	39.6	11 56.05	0 17 1.4	29 5 58.6
93	8.9	6	6.6	12 33.84	0 20 48.1	29 2 11.9
94	7.8	3	38.0	13 59.90	0 18 53.5	29 4 6.5
95	8	6	9.7	13 36.98	0 30 22.1	28 52 37.9
96	9	6	41.4	14 8.66	0 24 21.2	28 58 38.8
97	7.8	2	15 39.4	16 11.95	0 53 11.7	28 29 48.3
98	9	5	33.3	16 11.67	0 56 19.8	28 26 40.2
99	7	2	16 54.7	17 27.15	0 53 31.7	28 29 28.3
100	9	4	48.7	17 48.70	0 48 41.9	28 34 18.1
101	8.9	2	9.2	18 41.72	0 54 32.0	28 28 28.0
102	9	4	42.5	18 42.47	1 17 36.2	28 5 23.8
103	8	7	20 14.0	19 31.34	2 29 34.2	26 53 25.8
104	8.9	3	46.3	21 7.77	2 24 51.2	26 58 8.8
105	7.8	2	12.3	21 44.40	2 18 4.8	27 4 55.2
106	9	7	42.3	20 59.52	2 11 21.7	27 11 38.3
107	9	3	12.3	22 33.83	2 5 44.6	27 17 15.4
108	9	3	23.7	22 45.23	2 4 27.5	27 18 32.5
9	8	2	23 36.6	24 8.78	2 2 24.5	27 20 35.5
0	9	2	17.4	24 49.76	1 27 26.2	27 55 33.8
1	9	7	56.6	24 13.48	1 18 48.5	28 4 11.5
2	9	7	7.6	24 24.48	1 18 29.9	28 4 30.1
3	9	7	33.1	24 50.04	1 27 28.8	27 55 31.2

*Hilfstafel zur Reduction auf den mittlern
Ort 1850 Januar 0 D = -28°.*

T.	k	k'	d	d'
7 50' +11.24	-3	-1	+22.7	-0.2 +40.7
8 0 +11.21	-3	-1	+22.5	-0.3 +40.8
10 +11.18	-3	0	+22.2	-0.2 +40.8
20 +11.15	-2	0	+22.0	-0.3 +40.9
30 +11.13		0	+21.7	+40.9

68. Zeit vielleicht 51".70

70 Fad. 5. 5".5

78 " 5. 36.6

85 " 2. 9.0

97 " 3. 50.2

99 " 3. 5.3

102 " 5. 4.0

110. 113. derselbe.

No.	Gr.	Fad.	Beob. Zeit.	T.	Microsc. I	Südl. Declin.
114	8.9	2	9.1	8 26 41.52	1 15 46.4	28 7 13.6
115	9	4	26 40.5	26 40.50	1 20 48.2	28 2 11.8
116	9	4	24.5	27 24.50	1 11 25.5	28 11 34.5
117	8.9	4	54.2	27 54.20	1 16 27.0	28 6 33.0
118	9	7	21.0	27 37.78	1 4 20.9	28 18 39.1
119	8	4	39.7	28 39.70	0 59 40.6	28 23 19.4
120	8	6	39.0	29 6.25	0 22 34.8	29 0 25.2
121	9	6	30 16.4	29 43.53	0 1 59.1	29 21 0.9
122	8.9	7	42.3	29 59.09	1 6 1.8	28 16 58.2
123	8	5	24.3	31 2.83	1 43 10.5	27 39 49.5
124	9	4	59.7	31 59.70	1 40 51.6	27 42 8.4
125	8	2	22.4	32 54.79	1 31 29.6	27 51 30.4
126	9.0	4	11.2	33 11.20	1 29 50.8	27 53 9.2
127	8	4	33 43.0	33 43.00	1 29 28.0	27 53 32.0
128	9	4	18.2	34 18.20	1 21 51.7	28 1 8.3
129	8.9	6	46.9	34 14.36	1 2 6.0	28 20 54.0
130	9	5	9.3	34 47.68	0 59 47.6	28 23 12.4
131	9	4	41.0	35 41.00	1 13 51.0	28 9 9.0
132	9	4	16.2	36 16.20	1 18 27.9	28 4 32.1
133	8.9	4	36 45.3	36 45.30	1 14 5.7	28 8 54.3
134	9	5	30.3	37 8.74	1 15 31.3	28 7 28.7
135	9	4	53.2	37 53.20	1 23 25.0	27 59 35.0
136	9	7	23.4	37 40.44	1 43 21.4	27 39 38.6
137	8.9	4	59.4	38 59.40	1 43 6.8	27 39 53.2
138	9	7	30.4	38 47.68	2 20 43.1	27 2 16.9
139	8.9	7	0.4	39 17.57	2 3 39.0	27 19 21.0
140	9	6	28.5	39 56.24	1 58 59.0	27 24 1.0
141	8.9	5	8.2	40 46.81	2 9 18.3	27 13 41.7
142	9	4	42.3	41 42.30	2 9 20.1	27 13 39.9
143	8.9	3	41 48.1	42 9.61	2 11 6.6	27 11 53.4
144	9	4	41.0	42 41.00	2 13 13.9	27 9 46.1
145	9	4	19.4	43 19.40	2 19 41.1	27 3 18.9
146	3	4	59.0	43 59.00	2 12 56.0	27 10 4.0
147	9	6	33.6	44 1.30	1 49 38.0	27 33 22.0
148	9.0	7	48.4	44 5.48	1 48 33.1	27 34 26.9
149	9	3	16.0	45 37.59	1 46 53.6	27 36 6.4
150	9	3	30.6	45 52.21	1 43 54.1	27 39 5.9
151	7.8	3	12.7	46 34.33	1 34 57.6	27 48 2.4
152	9	7	33.8	45 50.84	1 43 55.8	27 39 4.2
153	7.8	7	17.3	46 34.28	1 34 59.6	27 48 0.4
154	9	6	59.5	47 27.14	1 38 59.5	27 44 0.5
155	9	6	21.7	47 49.40	1 49 43.9	27 33 16.1
156	7.8	5	48 49.3	48 27.86	1 51 43.6	27 31 16.4
157	8	4	19.2	49 19.20	1 57 16.9	27 25 43.1
158	9	1	53.5	50 36.50	1 55 37.9	27 27 22.1
159	9	7	42.0	49 58.90	1 20 45.0	28 2 15.0
160	9	3	0.6	51 22.30	1 14 18.0	28 8 42.0
161	8.9	4	25.2	51 25.20	1 5 11.5	28 17 48.5
162	9	5	12.7	51 51.14	1 17 8.7	28 5 51.3
163	6.7	4	42.4	52 42.40	1 9 11.3	28 13 48.7
164	9	3	9.3	53 31.05	1 0 38.2	28 22 21.8
165	9	4	53 36.9	53 36.90	0 52 10.0	28 30 50.0
166	8	3	19.4	54 41.13	1 7 50.1	28 15 9.9
167	8.9	4	35.3	54 35.36	1 12 15.0	28 10 45.0
168	9	3	55 21.3	55 42.97	1 22 11.6	28 0 48.4

*Hülftafel zur Reduction auf den mittl.
Ort 1850 Januar 0 D = - 28°.*

T.	k	k'	d	
8 20+11.15	-2	0	+22.0	-0.3 +
30+11.13	-2	0	+21.7	-0.4 +
40+11.11	-2	0	+21.3	-0.3 +
50+11.09	-2	0	+21.0	-0.4 +
9 0+11.07		0	+20.6	+

125 Fad. 3. 33.2

143 „ 4. 9.6

150. 152. derselbe; die Zeit von N°. 152 ist
sicher beobachtet, es scheint aber ausse
an einer von beiden Stellen die Secunde
schrieben.

151. 153. derselbe.

159. Zeit unsicher beobachtet.

167 Fad. 5. 57.0

Nº.	Gr.	Fad.	Beob. Zeit.	T.	Microsc. I	Südl. Declin.
169	9	4	56' 25.0	8 56' 25.00	0° 12' 40.5	29° 10' 19.5
170	7	2	59.2	57 31.71	0 57 28.9	28 25 31.1
171	9	3	24.0	57 45.68	0 56 57.8	28 26 2.2
172	8.9	6	6.5	57 34.00	1 11 51.6	28 11 8.4
173	9	6	59 36.5	59 3.86	1 19 0.0	28 4 0.0
174	9	2	21.8	9 0 54.20	1 19 28.0	28 3 32.0
175	8	2	39.3	1 11.55	1 23 12.9	27 59 47.1
176	8.9	4	36.4	1 36.40	1 29 43.5	27 53 16.5
177	8.9	4	2 57.9	2 57.90	1 29 53.2	27 53 6.8
178	8.9	4	53.6	3 53.60	1 48 2.8	27 34 57.2
179	8.9	4	23.6	4 23.60	2 32 23.1	26 50 36.9
180	9.0	5	16.5	4 54.96	2 13 8.6	27 9 51.4
181	9	5	59.6	5 38.23	2 16 29.8	27 6 30.2
182	8	2	34.6	7 6.82	1 54 3.8	27 28 56.2
183	8	2	55.2	7 27.43	1 52 33.3	27 30 26.7
184	7	5	7 23.7	7 2.40	1 41 15.0	27 41 45.0
185	9	5	28.0	8 6.34	0 48 28.8	28 34 31.2
186	7	3	6.7	9 28.43	1 6 53.6	28 16 6.4
187	9	3	22.5	9 44.31	1 11 45.9	28 11 14.1
188	8.9	4	9.6	10 9.60	1 33 43.6	27 49 16.4
189	9	4	57.4	10 57.66	1 39 24.2	27 43 35.8
190	8.9	7	46.6	11 3.80	2 8 9.1	27 14 50.9
191	7	1	31.8	13 14.68	2 13 40.6	27 9 19.4
192	8.9	3	54.6	13 16.08	2 24 36.3	26 58 23.7
193	9	6	27.2	12 55.10	2 35 33.7	26 47 26.3
194	8	3	14 25.0	14 46.51	2 12 5.1	27 10 54.9
195	9	4	15 29.3	15 29.30	2 12 13.2	27 10 46.8
196	9	3	2.0	16 23.54	2 3 41.2	27 19 18.8
197	9	3	40.2	17 1.72	2 8 25.0	27 14 35.0
198	8	2	17 16.2	17 48.39	2 0 49.6	27 22 10.4
199	8.9	3	53.6	18 15.16	1 57 8.1	27 25 51.9
200	9	2	22.6	18 54.98	1 23 15.1	27 59 44.9
201	7	5	58.2	18 36.59	1 2 49.6	28 20 10.4
202	9	2	27.9	20 0.43	0 52 56.7	28 30 3.3
203	8.9	5	5.8	19 44.30	0 35 17.0	28 47 43.0
204	9.0	4	37.0	20 37.00	0 44 28.7	28 38 31.3
205	9	6	28.5	20 55.73	0 8 59.3	29 14 0.7
206	9.0	6	28.5	21 55.71	0 15 30.6	29 7 29.4
207	8.9	3	23 32.8	23 54.46	1 25 49.9	27 57 10.1
208	7.8	6	52.2	23 19.78	1 26 21.5	27 56 38.5
209	6.7	5	17.5	23 55.94	1 16 17.0	28 6 43.0
210	9	5	51.0	24 29.47	1 26 47.1	27 56 12.9
211	7	3	12.0	25 33.67	1 24 31.0	27 58 29.0
212	8.9	6	25 45.3	25 12.99	1 48 59.2	27 34 0.8
213	7	7	49.3	26 6.59	2 21 32.6	27 1 27.4
214	9	5	50.6	27 29.19	2 2 52.2	27 20 7.8
215	9	7	18.0	27 35.09	1 51 43.8	27 31 16.2
216	8	2	29 56.0	30 28.33	1 31 54.4	27 51 5.6
217	8.9	3	20.2	30 41.86	1 25 34.2	27 57 25.8
218	8.9	2	8.2	31 40.38	2 3 45.1	27 19 14.9
19	9	2	32 28.4	33 0.88	1 8 37.0	28 14 23.0
1	8.9	1	27 4.3	5 27 48.36	9 20 56.9	30 3 13.1
2	6.7	4	49.3	27 49.30	9 26 26.2	29 57 43.8
3	9	6	29 4.4	28 31.02	8 31 26.8	30 52 43.2
4	9	4	45.2	29 45.21	8 28 48.4	30 55 21.6

Hülftafel zur Reduction auf den mittlern Ort 1850 Januar 0 D = - 28°.

T.	k	k'	d	d'
8 50' +11.09	-2	0	+21.0	-0.4
9 0' +11.07	-2	0	+20.6	-0.4
10' +11.05	-1	+1	+20.2	-0.4
20' +11.04	-1	+1	+19.8	-0.5
30' +11.03	-1	+1	+19.3	-0.5
40' +11.02		+1	+18.8	+41.2

171	Fad. 4.	45.6
173	" 7.	46.8 Fäden 4'' 04 und 3'' 68
175	" 3.	49.8 Fad. 4. 1' 11'' 5
180	" 6.	27.0 Fäden 55'' 12 und 54'' 80
184	" 6.	34.9 " 2'' 25 " 2'' 55
187	" 4.	44.4
189	" 5.	19.4 giebt 57'' 92
193	" 7.	37.7
205	" 7.	39.4
219	" 3.	39.2

Gute, zuletzt sehr schöne Luft.

ZONE 353. 1851 Febr. 10. West.

1	Fad. 2.	15.3
4	" 5.	7.4

No.	Gr.	Fad.	Beob. Zeit.	T.	Microsc. I	Südl. Declin.
5	7	6	30.2	^u 5 29' 56.97	8 46' 8.6	30 38' 1.4
6	8	1	16.0	32 0.34	8 47 39.4	30 36 30.6
7	9	6	33.4	31 0.13	8 51 13.0	30 32 57.0
8	9	6	37.5	32 4.36	9 12 45.8	30 11 24.2
9	8	4	12.0	33 12.00	9 35 46.2	29 48 23.8
10	8.9	4	43.6	33 43.60	9 40 36.0	29 43 34.0
11	7	5	35 11.6	34 49.68	9 35 33.2	29 48 36.8
12	9	5	2.0	35 40.29	10 32 22.1	28 51 47.9
13	8	4	48.4	36 48.40	9 59 15.0	29 24 55.0
14	8	2	38 4.7	38 37.71	9 25 13.4	29 58 56.6
15	9	4	47.6	38 47.60	9 29 37.4	29 54 32.6
16	9	5	18.0	38 56.08	9 33 43.1	29 50 26.9
17	9	5	39.0	39 17.08	9 25 12.8	29 58 57.2
18	9.0	5	19.5	39 57.53	9 20 43.4	30 3 26.6
19	9	6	9.5	40 36.21	8 46 35.6	30 37 34.4
20	9	4	58.0	41 58.00	8 34 51.0	30 49 19.0
21	9	5	27.6	42 5.42	8 25 57.5	30 58 12.5
22	9	3	0.2	43 22.41	8 15 59.2	31 8 10.8
23	7	5	17.7	43 55.59	8 44 3.1	30 40 6.9
24	8.9	6	44 47.0	44 13.69	8 31 21.5	30 52 48.5
25	9	5	5.2	45 43.13	8 53 50.7	30 30 19.3
26	7.8	2	29.8	47 3.02	8 47 37.7	30 36 32.3
27	8.9	7	6.0	46 22.43	10 14 4.0	29 10 6.0
28	9	4	41.2	47 41.22	10 20 56.3	29 3 13.7
29	6.7	5	31.0	48 9.22	10 12 39.0	29 11 31.0
30	8.9	7	46.2	48 2.63	10 15 4.9	29 9 5.1
31	9	5	21.9	49 0.13	10 16 33.5	29 7 36.5
32	8	4	34.0	49 34.01	10 13 31.6	29 10 38.4
33	7.8	7	50 11.7	49 28.20	10 24 18.9	28 59 51.1
34	7.8	5	51 13.7	50 52.00	10 36 18.0	28 47 52.0
35	8	6	39.6	51 6.88	10 29 12.0	28 54 58.0
36	8.9	6	14.5	51 41.68	10 11 13.6	29 12 56.4
37	7.8	5	31.2	52 9.43	10 15 38.6	29 8 31.4
38	7.8	1	14.2	53 57.93	10 10 11.3	29 13 58.7
39	9	3	37.4	53 59.31	10 14 44.7	29 9 25.3
40	8.9	4	34.6	54 34.60	9 18 13.8	30 5 56.2
41	9	6	23.0	54 49.85	9 10 10.0	30 14 0.0
42	8.9	5	1.4	55 39.47	9 30 43.0	29 53 27.0
43	8.9	6	28.6	55 55.48	9 15 42.7	30 8 27.3
44	8	5	40.2	56 18.13	9 22 43.6	30 1 26.4
45	7.8	5	57 8.5	56 46.48	9 23 48.9	30 0 21.1
46	8.9	3	2.4	58 24.42	9 45 45.0	29 38 25.0
47	8	6	35.8	58 2.94	10 3 17.0	29 20 53.0
48	8.9	3	11.7	59 33.59	10 20 48.4	29 3 21.6
49	8	7	59.8	59 16.43	10 43 12.6	28 40 57.4
50	8	4	59.5	6 0 59.50	10 16 44.0	29 7 26.0
51	8.9	5	49.4	1 27.30	8 47 29.1	30 36 40.9
52	9	3	14.8	2 37.01	8 54 22.0	30 29 48.0
53	8	2	0.3	3 33.65	8 24 23.1	30 59 46.9
54	9	1	25.4	4 9.89	8 31 18.0	30 52 52.0
55	8.9	2	58.4	4 31.67	8 37 54.5	30 46 15.5
56	9	4	4 19.6	4 19.60	8 46 2.0	30 38 8.0
57	9.0	6	5 0.3	4 27.01	8 46 31.0	30 37 39.0
58	8.9	3	1.3	6 23.50	8 57 8.7	30 27 1.3
59	9	4	25.5	6 25.50	8 52 33.1	30 31 36.9

NC. 5 12' - 1 57.86
 7 2 - 1 57.65
 Anf. 28 4.39 + 3.4 33.3
 Ende 4.32 + 2.2 32.3
 Microsc. I - 7".50 u. - 8".35
 Decl. = Microsc. I - 39° 24' 10"
 6^a $\tau + i + 18''.969$ $\Delta\tau + 0''.027$ $\Delta i + 0'$

*Hilfstafel zur Reduction auf den middle
 Ort 1850 Januar 0 D = - 30°.*

T.	k	k'	d
^u 5 20' + 16.24	-6	-3	+25.6 +0.4 +
30 + 16.18	-5	-3	+26.0 +0.3 +
40 + 16.13	-6	-3	+26.3 +0.4 +
50 + 16.07	-5	-3	+26.7 +0.3 +
6 0 + 16.02	-5	-3	+27.0 +0.2 +
10 + 15.97		-3	+27.2

5 Fad. 7. 41.2
 7 „ 7. 44.3
 17 „ 6. 50.2
 22 „ 5. 44.5. Bei Faden 3 ward ein F
 von +1" entdeckt und verbessert.
 24 Fad. 7. 58.1
 27. Zeit unsicher beobachtet.
 28 Fad. 5. 3.0
 32 „ 5. 55.8
 44 „ 6. 51.1
 45 „ 6. 19.5
 49. dupl. II. Cl. borealis; austr. auch 8^m.
 54 Fad. 2. 36.6

N ^o .	Gr.	Fad.	Beob. Zeit.	T.	Microsc. I	Südl. Declin.
60	8.9	3	43.9	6 7 6.12	8 52 5.5	30 32 4.5
61	8	5	35.1	7 13.13	9 20 49.6	30 3 20.4
62	8.9	5	54.0	7 32.02	9 32 5.7	29 52 4.3
63	7	5	49.0	8 27.13	9 49 45.5	29 34 24.5
64	9	5	10.2	8 48.36	9 56 9.0	29 28 1.0
65	7	6	30.2	8 57.34	10 4 8.4	29 20 1.6
66	8	2	8.0	10 40.65	10 30 2.9	28 54 7.1
67	8.9	4	57.4	10 57.40	10 6 6.3	29 18 3.7
68	9	7	34.7	10 51.08	10 7 34.9	29 16 35.1
69	9	4	6.4	12 6.40	10 15 35.0	29 8 35.0
70	8	4	28.7	12 28.70	10 4 43.0	29 19 27.0
71	8.9	5	4.3	12 42.47	10 0 39.0	29 23 31.0
72	8.9	7	37.7	12 54.24	10 29 55.0	28 54 15.0
73	8	7	47.6	13 4.11	10 25 47.9	28 58 22.1
74	9	4	40.8	14 40.80	10 23 52.0	29 0 18.0
75	7	3	3.8	15 25.70	10 18 7.1	29 6 2.9
76	7	7	36.6	14 52.84	9 47 22.8	29 36 47.2
77	8	4	16.4	16 16.40	9 36 19.8	29 47 50.2
78	8.9	1	40.1	17 24.14	9 27 8.5	29 57 1.5
79	7	3	5.1	17 27.15	9 36 25.5	29 47 44.5
80	7.8	6	52.2	17 18.75	8 31 59.6	30 52 10.4
81	9	5	42.4	18 20.19	8 19 35.0	31 4 35.0
82	8.9	3	7.1	19 29.44	8 20 12.1	31 3 57.9
83	6.7	5	59.2	19 37.32	9 46 18.7	29 37 51.3
84	8.9	4	42.4	20 42.40	10 2 25.4	29 21 44.6
85	9	4	13.2	21 13.20	10 10 21.1	29 13 48.9
86	9	4	56.3	21 56.30	10 12 28.4	29 11 41.6
87	8.9	4	30.1	22 30.10	10 11 32.9	29 12 37.1
88	9	7	18.2	22 34.69	10 22 58.5	29 1 11.5
89	9	4	40.6	23 40.60	10 21 38.5	29 2 31.5
90	9	4	33.0	24 33.00	10 24 33.8	28 59 36.2
91	8.9	7	18.8	24 34.89	9 28 8.1	29 56 1.9
92	7	5	13.0	25 51.21	10 11 7.6	29 13 2.4
93	8.9	5	44.2	26 22.34	9 50 14.0	29 33 56.0
94	8.9	6	6.3	26 33.39	9 54 51.7	29 29 18.3
95	8.9	4	27.7	27 27.70	9 53 5.0	29 31 5.0
96	7.8	7	54.6	27 10.81	9 44 37.6	29 39 32.4
97	7	5	27.0	28 4.15	9 52 35.5	29 31 34.5
98	9	7	51.6	28 6.82	9 46 7.0	29 38 3.0
99	9	7	10.7	28 26.93	9 47 12.4	29 36 57.6
100	9	4	4.6	30 4.60	10 6 48.4	29 17 21.6
101	9	4	1.5	31 1.50	10 14 39.1	29 9 30.9
102	9	7	17.5	30 33.96	10 18 45.2	29 5 24.8
103	7.8	3	45.9	32 7.76	10 28 40.1	28 55 29.9
104	7.8	3	38.2	33 0.09	10 21 28.6	29 2 41.4
105	8	4	23.4	33 23.40	10 28 13.0	28 55 57.0
106	9	4	43.9	33 43.90	10 19 14.1	29 4 55.9
107	9	3	38.5	35 0.36	10 27 44.0	28 56 26.0
108	9	3	5.8	35 27.66	10 27 55.0	28 56 15.0
109	9	2	35.2	36 8.03	9 57 56.7	29 26 13.3
110	9	4	12.0	36 12.00	9 28 50.9	29 55 19.1
111	9	4	45.2	36 45.20	9 17 41.0	30 6 29.0
112	9	4	6.6	37 6.60	9 16 12.0	30 7 58.0
113	9	6	43.8	37 10.70	9 21 6.0	30 3 4.0
114	8	4	19.7	38 19.70	9 22 38.5	30 1 31.5

Hülfsstafel zur Reduction auf den mittlern Ort 1850 Januar 0 D = - 16°.

T.	k	k'	d	d'
6 0 + 16.02	-5	-3	+27.0	+0.2
10 + 15.97	-5	-3	+27.2	+0.3
20 + 15.92	-5	-2	+27.5	+0.2
30 + 15.87	-5	-2	+27.7	+0.2
40 + 15.82		-2	+27.9	

62 Fad. 6. 5.0

80 „ 7. 3.0

97. dupl. II. Cl. austr.; bor. 9^m.

99. Bei diesem Sterne ward ein Fehler von +1'' in der Zeit entdeckt, der nach Beobachtungen 1852 März 13. schon bei N^o. 97 vorhanden war, wesshalb die T der Sterne 97 und 98 um -1'' corrigirt sind. N^o. 92 ist noch richtig.

Nº.	Gr.	Fad.	Beob. Zeit.	T.	Microsc. I	Südl. Declin.
115	6.7	4	2.2	6 39' 2.20	8 57' 58.2	30° 26' 11.8
116	9	2	21.6	39 54.80	9 4 31.0	30 19 39.0
117	8	4	21.0	40 21.00	8 49 0.0	30 35 10.0
118	8.9	4	1.1	41 1.10	8 54 11.6	30 29 58.4
119	9	4	15.3	41 15.30	8 46 52.7	30 37 17.3
120	7.8	6	41 44.0	41 10.73	8 36 22.3	30 47 47.7
1	8	4	32 7.7	7 32 7.70	9 24 48.6	19 56 11.4
2	8.9	5	45.2	32 24.96	9 20 0.0	20 1 0.0
3	9	6	26.4	32 55.94	9 26 19.0	19 54 41.0
4	8.9	5	53.8	33 33.59	9 33 35.2	19 47 24.8
5	8	5	30.9	34 10.66	9 19 42.6	20 1 17.4
6	8.9	5	47.4	34 27.16	9 19 19.0	20 1 41.0
7	8	7	7.3	34 26.81	9 21 30.1	19 59 29.9
8	9	5	32.8	35 12.58	9 28 34.1	19 52 25.9
9	8	5	18.7	35 58.45	9 13 47.6	20 7 12.4
10	8.9	7	40.3	35 59.74	9 4 35.3	20 16 24.7
11	9	6	10.4	36 39.82	8 51 3.8	20 29 56.2
12	9	6	25.2	36 54.50	8 51 45.8	20 29 14.2
13	7.8	7	55.0	37 14.33	8 40 7.0	20 40 53.0
14	8.9	7	26.4	37 45.74	8 42 10.3	20 38 49.7
15	8.9	7	46.5	38 5.82	8 39 10.1	20 41 49.9
16	8.9	4	21.6	39 21.60	8 29 19.6	20 51 40.4
17	9	6	38.2	39 7.55	8 29 38.0	20 51 22.0
18	9.0	4	11.7	40 11.70	8 33 1.2	20 47 58.8
19	9	5	38.3	40 17.93	8 23 31.1	20 57 28.9
20	9	1	1.9	41 42.67	8 43 1.2	20 37 58.8
21	9	5	31.6	41 11.23	8 21 24.0	20 59 36.0
22	9	7	53.7	41 12.94	8 22 26.0	20 58 34.0
23	7.8	3	24.7	42 45.19	8 26 10.2	20 54 49.8
24	9.0	3	38.6	42 59.09	8 25 14.3	20 55 45.7
25	9.0	3	21.8	43 42.31	8 17 27.9	21 3 32.1
26	8.9	1	43 53.0	44 33.91	8 12 34.1	21 8 25.9
27	6	2	24.9	44 55.53	8 33 10.0	20 47 50.0
28	9	5	57.6	44 37.26	8 36 22.5	20 44 37.5
29	9	5	15.4	44 55.05	8 30 29.8	20 50 30.2
30	8.9	7	47.5	45 6.77	8 26 32.7	20 54 27.3
31	9	6	10.1	45 39.44	8 29 3.4	20 51 56.6
32	8.9	6	22.6	45 51.91	8 19 42.2	21 1 17.8
33	9	6	46 47.5	46 16.82	8 22 24.9	20 58 35.1
34	8	5	29.3	47 8.97	8 42 7.6	20 38 52.4
35	9.0	7	50.5	47 9.88	8 51 24.1	20 29 35.9
36	9	6	20.4	47 49.84	8 58 59.3	20 22 0.7
37	8.9	4	58.6	48 58.60	8 58 18.9	20 22 41.1
38	9	6	25.0	48 54.46	9 5 58.5	20 15 1.5
39	7	5	50.9	49 30.65	9 16 40.5	20 4 19.5
40	9	7	9.4	49 28.93	9 26 42.4	19 54 17.6
41	9	4	44.6	50 44.60	9 26 10.2	19 54 49.8
42	7	4	51 2.5	51 2.50	9 18 59.6	20 2 0.4
43	9	6	29.6	50 59.09	9 13 51.3	20 7 8.7
44	8.9	5	44.2	51 23.94	9 8 52.3	20 12 7.7
45	9	6	8.4	51 37.84	8 56 44.5	20 24 15.5
46	9	6	44.3	52 13.68	8 39 36.3	20 41 23.7
47	9	6	4.5	52 33.88	8 40 35.6	20 40 24.4
48	9	6	50.4	53 19.82	8 52 51.6	20 28 8.4
49	9	4	24.2	54 24.20	8 42 40.2	20 38 19.8

116 Fad. 3. 32.7

120 " 7. 55.1

Ausgezeichnete Luft.

ZONE 354. 1851 Febr. 10. W

NC. 7 2' - 1' 57.65

9 52 - 1 59.68

Anf. 28 4.44 + 2.5 29.8

Ende 4.37 + 1.2 28.5

Microsc. I - 7".04 u. - 6".61

Declin. = Microsc. I - 29° 21' 0"

8^u r+i + 18".987 $\Delta r + 0".027$ $\Delta i + 0'$ *Hülftafel zur Reduction auf den mittle Ort 1850 Januar 0 D = - 20°.*

T.	k	k'	d
7 30+15.45	-3	-2	+17.9 +0.2 +
40+15.42	-3	-1	+18.1 +0.2 +
50+15.39	-3	-1	+18.3 +0.2 +
8 0+15.36	-3	-1	+18.5

1. dupl. I. Cl. beide Sterne 8^m. die Mitte 1 achtet.

12 Fad. 7. 35".0

27 " 3. 35.1

29 " 6. 25.7

Nº.	Gr.	Fad.	Beob. Zeit.	T.	Microsc. I	Südl. Declin.
50	8.9	3	46.6	7 55' 7.03	8 53' 59.8	20 27' 0.2
51	7	5	15.0	54 54.66	8 36' 1.7	20 44' 58.3
52	9	1	34.4	56 15.19	8 39' 13.0	20 41' 47.0
53	9	5	14.5	55 54.13	8 21' 51.2	20 59' 8.8
54	7	2	45.0	57 15.61	8 23' 30.3	20 57' 29.7
55	7	2	1.4	57 32.01	8 21' 24.4	20 59' 35.6
56	9	4	27.0	57 27.00	8 25' 39.9	20 55' 20.1
57	9	4	50.4	57 50.40	8 29' 50.6	20 51' 9.4
58	9	5	21.1	58 0.75	8 30' 38.8	20 50' 21.2
59	9	5	58.4	58 38.00	8 7' 55.1	21 13' 4.9
60	8	2	29.0	59 59.67	8 8' 20.7	21 12' 39.3
61	8.9	2	48.8	8 0' 19.48	8 5' 53.3	21 15' 6.7
62	9.0	3	7.2	0 27.73	8 8' 18.9	21 12' 41.1
63	9	4	33.7	0 33.70	8 20' 52.6	21 0' 7.4
64	9	4	59.0	0 59.00	8 17' 53.9	21 3' 6.1
65	9	3	15.8	1 36.31	8 15' 38.0	21 5' 22.0
66	9.0	4	1 38.0	1 38.06	8 18' 53.6	21 2' 6.4
67	7	4	2 26.7	2 26.70	8 12' 40.0	21 8' 20.0
68	9	4	43.7	2 43.70	8 11' 35.3	21 9' 24.7
69	9	6	11.2	2 40.46	8 5' 51.9	21 15' 8.1
70	9	4	51.2	3 51.20	8 23' 10.9	20 57' 49.1
71	9	4	23.9	4 23.90	8 35' 23.3	20 45' 36.7
72	9	4	50.0	4 50.00	8 34' 48.8	20 46' 11.2
73	8.9	2	11.0	5 41.58	8 45' 8.8	20 35' 51.2
74	8.9	3	25.2	5 45.52	8 45' 43.8	20 35' 16.2
75	8	6	6 50.5	6 19.86	8 33' 18.0	20 47' 42.0
76	9	6	15.2	6 44.56	8 33' 45.1	20 47' 14.9
77	9	6	38.6	7 7.93	8 25' 14.3	20 55' 45.7
78	8	7	55.2	7 14.46	8 24' 45.0	20 56' 15.0
79	8.9	4	14.0	8 14.00	8 27' 34.0	20 53' 26.0
80	7.8	7	51.2	8 10.38	8 7' 39.9	21 13' 20.1
81	6.7	1	21.7	10 2.54	8 29' 10.0	20 51' 50.0
82	8	4	44.3	9 44.30	8 47' 18.2	20 33' 41.8
83	9	4	18.9	10 18.90	8 47' 13.1	20 33' 46.9
84	9	4	39.0	10 39.00	8 44' 23.5	20 36' 36.5
85	9	5	22.2	11 1.90	8 52' 35.8	20 28' 24.2
86	9	4	53.7	11 53.70	9 0' 36.1	20 20' 23.9
87	9	1	15.4	12 56.11	8 57' 53.0	20 23' 7.0
88	9	6	46.4	12 15.95	9 29' 21.0	19 51' 39.0
89	6.7	7	6.6	12 26.18	9 38' 48.5	19 42' 11.5
90	8	6	19.0	12 48.58	9 41' 20.6	19 39' 39.4
91	8.9	7	51.0	13 10.56	9 32' 36.4	19 48' 23.6
92	8	7	8.0	13 27.60	9 43' 35.1	19 37' 24.9
93	6	4	24.4	14 24.60	9 44' 18.1	19 36' 41.9
94	9	6	7.0	14 36.57	9 37' 12.0	19 43' 48.0
95	8.9	5	17.4	14 57.25	9 43' 59.0	19 37' 1.0
96	9.0	7	52.7	15 12.33	9 49' 31.2	19 31' 28.8
97	9.0	4	30.6	16 30.60	9 46' 11.4	19 34' 48.6
98	8.9	5	53.6	16 33.45	10 4' 8.3	19 16' 51.7
99	9	5	51.2	17 31.02	9 49' 3.7	19 31' 56.3
100	8.9	2	22.4	18 52.73	9 50' 48.3	19 30' 11.7
101	8	6	53.6	18 23.06	9 5' 0.4	20 15' 59.6
102	9.0	3	20.0	19 40.40	9 5' 26.6	20 15' 33.4
103	9.0	3	39.0	19 59.40	9 8' 5.3	20 12' 54.7
104	9	3	7.6	20 27.99	9 9' 27.0	20 11' 33.0

**Hülftafel zur Reduction auf den mittlern
Ort 1850 Januar 0 D = - 20°.**

T.	k	k'	d	d'
7 50' +15.39	-3	-1	+18.3	+0.2
8 0' +15.36	-3	-1	+18.5	+0.1
10' +15.33	-2	-1	+18.6	+0.1
20' +15.31		-1	+18.7	+15.6

55	Fad. 3.	11.5
66	" 5.	58.5
73	" 3.	21.3
74	" 4.	45.4
93	" 5.	45.0
95	" 6.	27.7

Fad. 7. 22".1

giebt 24".80

No.	Gr.	Fad.	Beob. Zeit.	T.	Microsc. I	Südl. Declin.
105	9	4	27.0	8 20' 26.97	9 13 35.4	20° 7' 24.6
106	6	6	21 8.2	20 37.65	8 59 40.3	20 21 19.7
107	9	5	29.6	21 9.30	8 54 12.6	20 26 47.4
108	6.7	4	58.1	21 58.10	8 53 32.1	20 27 27.9
109	8.9	4	21.3	22 21.30	8 48 7.0	20 32 53.0
110	9	5	55.7	22 35.37	8 42 58.1	20 38 1.9
111	8	7	19.5	22 38.80	8 33 49.7	20 47 10.3
112	7	6	46.8	23 16.24	8 56 46.6	20 24 13.4
113	8.9	6	3.0	23 32.46	8 58 22.7	20 22 37.3
114	7	4	24 37.0	24 37.00	8 46 19.4	20 34 40.6
115	9	4	11.8	25 11.80	8 48 14.4	20 32 45.6
116	8	6	34.4	25 3.86	9 2 49.6	20 18 10.4
117	9	7	57.2	25 16.65	9 6 38.2	20 14 21.8
118	9	5	33.3	26 13.03	9 3 47.1	20 17 12.9
119	7	3	54.3	27 14.70	9 5 22.9	20 15 37.1
120	9	3	19.0	27 39.39	9 11 14.9	20 9 45.1
121	8.9	3	29.0	27 49.37	9 17 49.6	20 3 10.4
122	9	4	55.2	27 55.20	9 13 35.0	20 7 25.0
123	9	4	4.8	28 4.80	9 13 36.9	20 7 23.1
124	9	2	29 15.4	29 45.72	9 13 51.5	20 7 8.5
125	8.9	1	24.1	31 4.73	9 14 58.0	20 6 2.0
126	7.8	4	56.0	30 56.00	9 33 13.0	19 47 47.0
127	8.9	4	13.6	31 13.60	9 26 13.5	19 54 46.5
128	8	6	35.2	31 4.70	9 14 58.1	20 6 1.9
129	8.9	5	32 11.4	31 51.15	9 14 6.3	20 6 53.7
130	9	5	41.7	32 21.47	9 26 25.6	19 54 34.4
131	9	6	7.3	32 36.82	9 21 33.4	19 59 26.6
132	8	4	33 18.3	33 18.37	9 14 49.0	20 6 11.0
133	7.8	5	7.2	33 46.92	9 2 33.5	20 18 26.5
134	9	6	35.2	34 4.63	8 54 1.8	20 26 58.2
135	7	6	35 7.0	34 36.63	9 53 4.7	19 27 55.3
136	9.0	5	55.0	35 34.90	10 28 13.5	18 52 46.5
137	9	4	22.9	36 22.90	10 18 7.0	19 2 53.0
138	9.0	3	47.6	37 7.85	10 14 55.3	19 6 4.7
139	9	3	5.7	37 25.96	10 10 46.9	19 10 13.1
140	9	4	35.7	37 35.70	10 17 11.9	19 3 48.1
141	8.9	3	54.1	38 14.36	10 13 23.1	19 7 36.9
142	9	4	33.6	38 33.60	10 18 22.6	19 2 37.4
143	9	3	2.4	39 22.68	10 2 31.0	19 18 29.0
144	9	3	21.9	39 42.18	9 58 59.0	19 22 1.0
145	7.8	6	49.2	39 18.74	9 27 35.5	19 53 24.5
146	8	4	8.0	40 8.00	9 34 4.9	19 46 55.1
147	8	4	41.4	40 41.40	9 6 17.4	20 14 42.6
148	9.0	6	59.2	40 28.69	9 13 28.1	20 7 31.9
149	9.0	4	38.5	41 38.50	9 8 19.0	20 12 41.0
150	6.7	2	14.7	42 45.22	8 51 16.0	20 29 44.0
151	9	7	43.0	42 2.33	8 39 58.0	20 41 2.0
152	7.8	3	5.0	43 25.44	8 45 28.1	20 35 31.9
153	8	3	23.5	43 43.77	8 48 58.1	20 32 1.9
154	9.0	6	44 31.4	44 0.86	9 5 54.0	20 15 6.0
155	7.8	5	4.7	44 44.48	9 18 17.6	20 2 42.4
156	8	4	24.9	45 24.90	9 22 24.0	19 58 36.0
157	8	1	13.9	46 54.47	9 28 50.7	19 52 9.3
158	9.0	3	41.5	47 1.80	9 51 59.3	19 29 0.7
159	9.0	5	8.7	46 48.52	9 50 58.8	19 30 1.2

Hülfsstafel zur Reduction auf den mittleren Ort 1850 Januar 0 D = - 20°.

T.	k	k'	d
8 20' + 15.31	-3	-1	+18.7 + 0.1 +
30 + 15.28	-2	-1	+18.8 0.0 +
40 + 15.26	-2	-1	+18.8 0.0 +
50 + 15.24		0	+18.8 0.0 +

105 Fad. 5. 47.2

124 „ 4. 45.6

125. 128. derselbe.

132 Fad. 5. 38.7

135 „ 7. 17.0

153 „ 4. 43.6 Fad. 3 giebt 43.94

155 „ 6. 15.0 Dieser Stern ist identisch

LL. No. 17530, dessen Polardistanz aber

10' zu gross, wie eine Beobachtung

März 25. beweist, welche an dem Orte

Hist. Cél. keinen Stern zeigte.

nr.	Fad.	Beob. Zeit.	T.	Microsc. 1	Südl. Declin.
1.0	3	33.1	8 47 53.40	9 54 21.0	19 26 39.0
1.0	5	8.9	47 48.71	9 45 19.5	19 35 40.5
9	3	35.2	48 55.47	10 6 30.8	19 14 29.2
9	3	3.3	49 23.53	10 24 46.7	18 56 13.3
8	3	19.2	49 39.43	10 26 19.6	18 54 40.4
9	5	49 49.5	49 29.38	10 17 13.6	19 3 46.4
9	4	25.7	50 25.70	10 15 4.9	19 5 55.1
1.0	5	58.5	50 38.38	10 16 37.0	19 4 23.0
9	4	51 45.0	51 45.00	9 33 16.5	19 47 43.5
1.8	4	55.2	51 55.20	9 27 14.8	19 53 45.2
9	7	33.4	51 52.91	9 22 28.0	19 58 32.0
1.8	6	15.6	52 45.07	9 6 55.9	20 14 4.1
8	6	42.2	53 11.68	9 11 23.1	20 9 36.9
1.7	7	17.6	53 36.94	8 42 46.0	20 38 14.0
8	2	48.0	55 18.57	8 37 11.6	20 43 48.4
9	4	25.2	55 25.20	8 25 1.4	20 55 58.6
1.9	4	56 29.6	56 29.60	8 53 46.4	20 27 13.6
1.0	7	10.4	56 29.91	9 20 8.0	20 0 52.0
1.0	6	45.9	57 15.41	9 18 28.0	20 2 32.0
1.8	6	18.2	57 47.63	8 55 0.7	20 25 59.3
1.9	7	40.3	57 59.67	8 48 55.5	20 32 4.5
1.9	7	7.7	58 27.03	8 41 36.7	20 39 23.3
9	3	39.1	59 59.54	8 44 20.6	20 36 39.4
9	1	55.6	9 0 36.38	8 37 37.7	20 43 22.3
9	2	53.6	1 24.15	8 41 56.0	20 39 4.0
9	6	35.9	1 5.36	9 3 21.7	20 17 38.3
7	4	2 5.5	2 5.50	9 1 24.3	20 19 35.7
9	7	38.7	1 58.34	9 50 51.2	19 30 8.8
1.0	4	9.3	3 9.30	9 51 26.0	19 29 34.0
9	6	39.0	3 8.64	10 2 13.9	19 18 46.1
1.0	2	59.1	4 29.42	9 53 10.0	19 27 50.0
1.9	3	4 26.2	4 46.48	9 59 43.9	19 21 16.1
6	5	11.4	4 51.27	10 12 20.9	19 8 39.1
1.0	6	52.1	5 21.82	10 26 2.9	18 54 57.1
1.0	7	13.2	5 32.97	10 23 4.8	18 57 55.2
8	5	51.4	6 31.19	10 12 35.0	19 8 25.0
1.8	6	12.0	6 41.63	9 58 49.6	19 22 10.4
8	5	39.4	7 19.23	9 57 35.2	19 23 24.8
7	4	7 53.9	7 53.96	9 50 36.1	19 30 23.9
1.9	4	28.5	8 28.50	9 50 20.6	19 30 39.4
9	5	9 31.3	9 11.13	9 54 11.2	19 26 48.8
8	5	5.0	9 44.82	9 48 51.2	19 32 8.8
1.9	6	33.6	10 3.15	9 32 28.9	19 48 31.1
9	7	44.4	10 3.98	9 37 44.9	19 43 15.1
9	4	12.1	11 12.15	9 36 24.6	19 44 35.4
8	4	16.5	11 16.45	9 36 12.0	19 44 48.0
9	4	59.1	11 59.10	9 32 12.3	19 48 47.7
9	5	12 24.9	12 4.80	9 42 6.9	19 38 53.1
9	3	5.4	13 25.72	9 41 42.0	19 39 18.0
1.9	3	33.4	13 53.70	9 48 7.3	19 32 52.7
8	4	14 48.8	14 48.80	9 16 4.2	20 4 55.8
9	4	13.0	15 13.00	9 12 1.7	20 8 58.3
1.0	7	42.0	15 1.47	9 12 51.3	20 8 8.7
9	2	8.3	16 38.75	9 13 9.7	20 7 50.3
1.9	1	59.2	17 39.83	9 16 3.2	20 4 56.8

Hälftafel zur Reduction auf den mittleren Ort 1850 Januar 0 D = - 20°.

T.	k	k'	d	d'
8 40 + 15.26	-2	-1	+18.8	0.0 +1
50 + 15.24	-2	0	+18.8	0.0 +1
9 0 + 15.22	-1	0	+18.8	0.0 +1
10 + 15.21	-2	0	+18.8	-0.1 +1
20 + 15.19		0	+18.7	+1

183	Fad.	2.	5.8
198	"	5.	14.2
204	"	5.	32.4
205	"	5.	36.6
207	"	7.	45.3

No.	Gr.	Fad.	Beob. Zeit.	T.	Microsc. I	Südl. Declin.
215	8.9	1	28.4	9 18' 9.04	9 13' 1.9	20 7' 58.1
216	9	1	4.5	18 45.04	9 36 39.4	19 44 20.6
217	7	3	26.6	18 46.98	9 13 50.0	20 7 10.0
218	8	1	45.9	19 26.52	9 16 12.6	20 4 47.4
219	8.9	2	6.0	19 36.42	9 20 37.7	20 0 22.3
220	8.9	3	30.6	19 51.07	8 32 15.5	20 48 44.5
221	7.8	3	19 58.0	20 18.38	9 13 0.0	20 8 0.0
222	8	1	41.1	21 21.44	10 24 56.1	18 56 3.9
223	7.8	2	19.2	21 49.46	9 33 46.0	19 47 14.0
224	7.8	5	53.5	21 33.24	9 11 49.1	20 9 10.9
225	5.6	4	3.0	22 3.07	9 14 56.0	20 6 4.0
226	9	5	44.0	22 23.76	9 21 16.6	19 59 43.4
227	9	6	57.3	22 26.83	9 24 55.0	19 56 5.0
228	9	5	51.0	23 30.79	9 37 49.0	19 43 11.0
229	8.9	5	30.6	24 10.35	9 16 58.6	20 4 1.4
230	8	4	2.2	25 2.20	9 18 6.0	20 2 54.0
231	8	1	25 22.3	26 2.92	9 17 26.5	20 3 33.5
232	5	4	26 2.6	26 2.65	8 53 34.6	20 27 25.4
233	9	4	57.2	26 57.20	8 56 32.6	20 24 27.4
234	8	3	10.1	27 30.52	8 55 0.8	20 25 59.2
235	9	7	36.5	26 56.85	8 44 20.1	20 36 39.9
236	8.9	7	6.0	27 26.24	8 21 30.0	20 59 30.0
237	8	4	38.2	28 39.20	8 4 5.4	21 16 54.6
238	7	3	46.4	29 7.87	8 1 16.9	21 19 43.1
239	8	5	32.0	29 12.65	8 33 7.6	20 47 52.4
240	8	4	55.6	29 56.60	8 37 3.8	20 43 56.2
241	9.0	6	18.6	29 48.94	8 26 37.4	20 54 22.6
242	9	4	49.2	30 50.20	8 23 27.4	20 57 32.6
243	9	7	33.4	30 53.72	8 38 7.1	20 42 52.9
244	8.9	6	44.2	31 14.58	8 39 26.6	20 41 33.4
245	8.9	5	7.5	31 48.18	8 43 29.7	20 37 30.3
246	8.9	5	29.9	32 10.59	8 48 17.8	20 32 42.2
247	9.0	7	53.4	32 12.76	8 46 15.6	20 34 44.4
248	9	4	31.6	33 31.60	8 46 4.5	20 34 55.5
249	9	5	11.0	33 50.67	8 42 22.0	20 38 38.0
250	9	4	31.5	34 31.50	8 40 21.1	20 40 38.9
251	9.0	6	56.9	34 26.25	8 31 53.2	20 49 6.8
252	7.8	5	35 36.4	35 16.10	8 53 46.4	20 27 13.6
253	7	2	1.8	36 32.32	8 52 29.8	20 28 30.2
254	8.9	7	30.2	35 49.64	9 6 19.3	20 14 40.7
255	6	7	36 56 :	36 16	9 39 47.2	19 41 12.8
1	9	6	50 30.0	3 50 0.16	2 48 29.6	16 32 0.4
2	9	5	18.1	50 58.25	2 39 53.8	16 40 36.2
3	8	5	52 28.3	52 8.56	3 46 9.0	15 34 21.0
4	8	1	22.2	54 1.95	3 3 13.3	16 17 16.7
5	8.9	2	48.8	54 18.55	3 5 33.0	16 14 57.0
6	9.0	4	46.3	54 46.30	2 51 27.7	16 29 2.3
7	8.9	4	34.3	55 34.30	2 43 54.4	16 36 35.6
8	8.9	4	31.3	56 31.30	3 10 10.0	16 10 20.0
9	8.9	3	48.5	57 8.42	3 12 0.7	16 8 29.3
10	6.7	5	19.9	57 0.01	3 20 21.9	17 0 8.1
11	8.9	3	54.6	58 14.52	3 13 7.8	16 7 22.2
12	9.0	5	22.0	58 2.20	3 13 58.1	16 6 31.9
13	8.9	6	0.8	58 31.09	3 58 12.2	15 22 17.8
14	9	6	53.9	59 24.27	4 31 31.3	14 48 58.7

Hülfsstafel zur Reduction auf den mittlere Ort 1850 Januar 0 D = - 20°.

T.	k	k'	d
9 10+15.21	-2	0	+18.8 -0.1 +
20+15.19	-1	0	+18.7 -0.1 +
30+15.18	-1	0	+18.6 -0.2 +
40+15.17		+1	+18.4 +

223 Fad. 3. 29.0

225 „ 5. 23.4

232 „ 5. 23.0

238 „ 4. 6.8

247. Bei diesem Sterne ward ein Fehler von entdeckt und verbessert, der nach dem Z niss von Z. 398 und eigener Beobachtung der Sterne 235—238 im März 1852 zwischen No. 234 und 235 entstanden ist. Es daher die T der No. 235 bis 246 um corrigirt worden.

Ausgezeichnete Luft.

ZONE 355. 1851 Febr. 14. W

Hülfsstafel zur Reduction auf den mittlere Ort 1850 Januar 0 D = - 16°.

T.	k	k'	d
3 50+19.14	-6	-3	+11.0 +0.4 +
4 0+19.08		-3	+11.4 +

1 Fad. 7. 39.9

5 „ 3. 58.6

10. Nach LL. 7602 und einer Beob. 1852 14. muss der Grad des Microscops 2° damit ist die Decl. und T berechnet.

N ^o .	Gr.	Fad.	Beob. Zeit.	T.	Microsc. I	Südl. Declin.
15	9.0	3	0' 22.5	4° 0' 42.34	4° 3' 8.4	15° 17' 21.6
16	7	1	13.8	1 53.55	3 2 53.8	16 17 36.2
17	8.9	3	1 40.0	1 59.99	2 32 2.0	16 48 28.0
18	6	3	1 50.3	2 10.24	2 33 19.3	16 47 10.7
19	9.0	4	43.5	2 43.50	2 24 40.9	16 55 49.1
20	9	7	12.9	2 33.05	2 3 23.7	17 17 6.3
21	9	4	51.2	3 51.20	2 45 9.0	16 35 21.0
22	9	7	19.4	3 38.75	3 1 2.5	16 19 27.5
23	6.7	6	46.7	4 16.90	2 58 44.8	16 21 45.2
24	8.9	3	5 32.1	5 51.89	4 37 36.3	14 42 53.7
25	9	1	27.8	7 7.32	4 18 31.7	15 1 58.3
26	9	3	6.3	7 26.17	4 6 17.2	15 14 12.8
27	9	5	0.6	7 40.86	3 47 28.0	15 33 2.0
28	9	2	24.1	8 53.77	3 52 1.8	15 28 28.2
29	8	3	32.4	8 52.27	4 1 55.0	15 18 35.0
30	8.9	3	13.9	9 33.73	4 6 9.6	15 14 20.4
31	9	4	46.8	9 46.80	4 33 12.3	14 47 17.7
32	8.9	3	11.7	10 31.62	3 11 33.0	16 8 57.0
33	8.9	3	10 42.2	11 2.19	2 35 0.2	16 45 29.8
34	8.9	1	11 27.9	12 7.74	2 37 38.2	16 42 51.8
35	9.0	1	55.5	12 35.22	2 46 22.6	16 34 7.4
36	7	2	32.8	13 2.67	2 32 19.9	16 48 10.1
37	8.9	4	13.4	13 13.40	2 50 53.7	16 29 36.3
38	9	5	13 54.7	13 34.84	2 37 15.9	16 43 14.1
39	9.0	5	36.5	14 16.73	3 30 10.9	15 50 19.1
40	8.9	4	51.1	14 51.10	3 25 6.2	15 55 23.8
41	9.0	2	29.4	15 59.12	3 31 14.7	15 49 15.3
42	9	5	15.4	15 55.70	4 14 25.4	15 6 4.6
43	9.0	7	32.0	15 52.58	4 11 15.4	15 9 14.6
44	7.8	5	23.0	17 3.17	2 56 58.8	16 23 31.2
45	9	4	18 7.5	18 7.50	3 8 4.0	16 12 26.0
46	8	4	41.8	18 41.80	3 20 1.6	16 0 28.4
47	9.0	6	15.0	18 45.17	3 7 12.4	16 13 17.6
48	9	5	32.6	19 12.78	3 2 17.1	16 18 12.9
49	9	6	0.3	19 30.51	3 26 41.1	15 53 48.9
50	9.0	7	25.7	19 46.15	3 31 37.6	15 48 52.4
51	9	4	54.2	20 54.20	3 39 8.4	15 41 21.6
52	7	5	21 17.4	20 57.66	3 49 8.0	15 31 22.0
53	7	4	40.3	21 40.30	4 1 21.3	15 19 8.7
54	8.9	4	17.2	22 17.20	3 58 25.0	15 22 5.0
55	9	3	2.3	23 22.15	3 55 12.2	15 25 17.8
56	8.9	4	30.7	23 30.70	3 7 1.9	16 13 28.1
57	9	4	47.4	23 47.40	3 4 48.2	16 15 41.8
58	8.9	1	15.4	24 55.15	3 3 18.7	16 17 11.3
59	9	7	25 12.0	24 32.43	3 22 30.3	15 57 59.7
60	8	4	51.0	25 51.00	3 14 57.8	16 5 32.2
61	9	3	26 40.5	27 0.43	3 6 10.6	16 14 19.4
62	8	4	26.8	27 26.80	2 7 22.1	17 13 7.9
63	9	5	2.0	27 42.09	2 12 57.9	17 7 32.1
64	9	3	29 3.2	29 23.01	4 22 36.7	14 57 53.3
65	7.8	3	23.7	29 43.53	4 6 10.0	15 14 20.0
66	9.0	3	29 45.4	30 5.22	4 8 52.6	15 11 37.4
67	4	3	39.8	30 59.64	4 44 5.3	14 36 24.7
68	8.9	3	32.7	31 52.53	4 5 25.1	15 15 4.9
69	8.9	4	56.4	31 56.40	3 49 25.3	15 31 4.7

NC. 3 33' - 1' 54.53

6 10 58.13

Anf. 28 3.05 + 2.6 30.4

Ende 3.14 + 1.2 27.5

Microsc. I - 6".51 u. - 7".01

Decl. = Microsc. I - 19° 20' 30"

5^u $\tau + i + 21''.603$ $\Delta \tau + 0''.026$ $\Delta i + 0''.002$

Hilfstafel zur Reduction auf den mittlern
Ort 1850 Januar 0 D = - 16°.

T.	k	k'	d	d'
4° 0' 19.08	-5	-3	+11.4	+0.4
10' 19.03	-5	-3	+11.8	+0.3
20' 18.98	-5	-3	+12.1	+0.4
30' 18.93	-5	-3	+12.5	+0.4
40' 18.88	-5	-3	+12.9	+0.6

17 Fad. 4. 0.0

18 " 4. 10.2

23 " 7. 56.6

26 " 4. 26.2

29 " 4. 52.3

33 " 4. 2.2

35 " 2. 5.3

43. Zeit unsicher beobachtet.

66 Fad. 4. 5.2

67 " 4. 59.7

Nº.	Gr.	Fad.	Beob. Zeit.	T.	Microsc. I	Südl. Declin.
70	9	4	26.6	4 32' 26.60	3 31' 26.0	15 49' 4.0
71	9	6	57.5	32 27.70	3 19 53.0	16 0 37.0
72	9.0	4	35.3	33 35.30	3 25 39.4	15 54 50.6
73	9	7	34 9.4	33 29.74	2 58 48.0	16 21 42.0
74	9	5	53.2	34 33.31	2 21 36.6	16 58 53.4
75	9.0	5	39.0	35 19.08	2 8 47.9	17 11 42.1
76	8.9	6	10.0	35 40.17	3 8 21.0	16 12 9.0
77	9.0	6	39.8	36 9.97	3 6 22.0	16 14 8.0
78	9.0	7	56.6	36 16.97	3 8 2.3	16 12 27.7
79	9	7	41.7	37 2.05	2 59 37.4	16 20 52.6
80	7.8	6	58.4	37 28.55	2 59 26.8	16 21 3.2
81	8.9	5	38 57.7	38 37.99	4 8 1.0	15 12 29.0
82	9	4	28.0	39 28.00	4 18 37.7	15 1 52.3
83	8.9	1	3.1	40 42.67	3 53 55.6	15 26 34.4
84	9	4	46.2	40 46.20	3 5 31.0	16 14 59.0
85	9	5	56.4	40 36.58	3 7 14.5	16 13 15.5
86	7	4	41 34.4	41 34.40	2 54 15.8	16 26 14.2
87	6	5	41 48.5	41 28.65	2 44 23.8	16 36 6.2
88	9	6	30.4	42 0.48	2 33 36.8	16 46 53.2
89	9.0	5	15.0	42 55.18	2 59 3.2	16 21 26.8
90	6	5	26.9	43 7.04	2 51 25.2	16 29 4.8
91	9	6	2.6	43 32.76	2 46 4.0	16 34 26.0
92	9	4	42.2	44 42.20	2 41 11.6	16 39 18.4
93	9	4	7.6	45 7.60	2 32 45.9	16 47 44.1
94	9	4	55.3	45 55.30	3 24 34.3	15 55 55.7
95	8.9	1	46 23.5	47 3.04	4 8 40.0	15 11 50.0
96	8.9	4	52.5	46 52.50	4 37 26.6	14 43 3.4
97	8.9	5	19.6	47 0.08	4 44 41.8	14 35 48.2
98	8.9	4	10.0	48 10.00	4 21 19.9	14 59 10.1
99	7.8	3	48 30.2	48 50.02	4 13 8.5	15 7 21.5
100	9.0	7	49 15.7	48 36.18	3 40 55.7	15 39 34.3
101	7	5	49 39.2	49 19.45	3 42 56.0	15 37 34.0
102	7	7	23.6	49 43.94	2 57 53.1	16 22 36.9
103	7.8	3	40.4	51 0.44	2 55 8.4	16 25 21.6
104	9	7	0.3	50 20.63	2 53 52.7	16 26 37.3
105	8.9	4	24.6	51 24.60	2 53 53.7	16 26 36.3
106	6	4	51 59.6	51 59.63	2 43 34.2	16 36 55.8
107	9.0	2	35.2	53 5.05	2 47 15.6	16 33 14.4
108	8	4	20.0	53 20.00	3 0 57.7	16 19 32.3
109	8	7	35.9	52 56.31	3 18 41.2	16 1 48.8
110	8	7	48.6	53 8.99	3 12 24.9	16 8 5.1
111	9	3	55 27.0	55 46.78	4 38 44.3	14 41 45.7
112	8.9	2	4.6	56 34.17	4 29 11.0	14 51 19.0
113	7	2	17.4	56 46.96	4 33 57.0	14 46 33.0
114	9	4	46.5	56 46.50	4 35 6.5	14 45 23.5
115	6	5	2.0	56 42.17	4 45 4.9	14 35 25.1
116	9.0	4	41.8	57 41.80	4 36 57.1	14 43 32.9
117	7	7	8.0	57 28.58	4 10 39.4	15 9 50.6
118	8.9	4	39.4	58 39.40	4 20 39.8	14 59 50.2
119	7.8	3	53.7	59 13.55	4 25 59.8	14 54 30.2
120	9.0	7	44.5	59 5.01	3 41 33.0	15 38 57.0
121	9.0	7	11.7	59 32.12	3 21 8.0	15 59 22.0
122	8	4	1 33.1	5 1 33.10	3 38 57.2	15 41 32.8
123	7	3	0.1	2 19.99	3 28 45.5	15 51 44.5
124	8	6	2 29.9	2 0.25	4 24 30.5	14 55 59.5

Hülftafel zur Reduction auf den mittlern Ort 1850 Januar 0 D = - 16°.

T.	k	k'	d	d'
4 30' + 18.93	-5	-3	+12.5	+0.4
40 + 18.88	-5	-3	+12.9	+0.3
50 + 18.83	-4	-3	+13.2	+0.4
5 0 + 18.79	-5	-3	+13.6	+0.3
10 + 18.74		-3	+13.9	+0.6

83 Fad. 2. 13.0

85 „ 7. 16.2

90 „ 7. 46.7

91 „ 7. 12.5

97 „ 6. 29.8

103 „ 7. 40.0

106 „ 5. 19.5

107 „ 3. 45.1

115 „ 6. 11.8

119 „ 4. 13.6

124. Microscop vielleicht 4° 14' 30".5 und dann die Decl. = 15 5 59.5 und T 2' 0".23.

N ^o .	Gr.	Fad.	Beob. Zeit.	T.	Microsc. I	Südl. Declin.
15	9	5	7.0	5 2' 47.32	4 19' 28.5	15 1' 1.5
16	8.9	2	50.1	4 19.73	4 5 33.5	15 14 56.5
17	9	2	39.5	5 9.13	4 4 48.4	15 15 41.6
28	7	3	8.4	5 28.23	4 12 1.3	15 8 28.7
29	9	4	40.6	5 40.60	4 3 11.4	15 17 18.6
130	9	4	6.0	6 6.00	4 15 41.0	15 4 49.0
131	9.0	2	26.5	6 56.18	4 6 29.0	15 14 1.0
132	9.0	4	18.6	7 18.60	4 8 18.5	15 12 11.5
133	9	4	0.3	8 0.30	4 3 40.6	15 16 49.4
134	8.9	5	25.0	8 5.27	3 56 37.9	15 23 52.1
135	9	3	48.0	9 7.86	3 49 30.4	15 30 59.6
136	9.0	6	4.0	8 34.26	3 47 50.7	15 32 39.3
137	8	2	58.8	10 28.51	3 32 39.0	15 47 51.0
138	9	2	33.2	11 2.85	2 58 7.5	16 22 22.5
139	7.8	3	47.5	11 7.27	2 59 11.0	16 21 19.0
140	9.0	6	44.3	11 14.40	2 40 10.1	16 40 19.9
141	9.0	5	24.6	12 4.75	2 31 34.7	16 48 55.3
142	8.9	6	23.9	12 54.10	3 19 57.3	16 0 32.7
143	9	7	0.2	13 20.57	3 6 20.6	16 14 9.4
144	9.0	7	37.1	13 57.49	3 13 48.0	16 6 42.0
145	8.9	4	11.6	15 11.60	3 10 30.0	16 10 0.0
146	9.0	4	35.5	15 35.50	3 16 14.9	16 4 15.1
147	9.0	3	43.2	17 3.03	3 8 17.5	16 12 12.5
148	8	3	51.7	17 11.53	3 9 11.6	16 11 18.4
149	9.0	4	22.3	17 22.35	3 18 50.0	16 1 40.0
150	9.0	4	2.6	18 2.60	3 21 0.6	15 59 29.4
151	8	3	18.1	18 38.02	3 14 33.2	16 5 56.8
152	9.0	4	55.5	18 55.50	3 18 15.3	16 2 14.7
153	7.8	3	20.0	19 39.90	3 26 26.4	15 54 3.6
154	9	7	54.4	19 14.89	3 44 40.0	15 35 50.0
155	9	7	14.8	19 35.29	3 43 56.6	15 36 33.4
156	8.9	7	19.3	19 39.78	3 40 53.6	15 39 36.4
157	9	7	12.0	20 32.44	3 26 40.4	15 53 49.6
158	8.9	6	56.5	21 26.55	2 21 41.0	16 58 49.0
159	8.9	3	32.2	22 52.19	2 32 44.1	16 47 45.9
160	9	2	34.3	24 4.14	2 42 8.6	16 38 21.4
161	9	7	12.6	23 32.97	3 7 35.2	16 12 54.8
162	8	4	3.6	25 3.60	3 39 18.0	15 41 12.0
163	9	4	24.2	25 24.20	3 43 52.7	15 36 37.3
164	8.9	2	18.2	26 47.78	4 25 26.1	14 55 3.9
165	8.9	4	3.6	27 3.60	3 56 50.7	15 23 39.3
166	9	3	39.1	27 58.93	4 5 30.7	15 14 59.3
167	9	3	28.6	28 48.46	3 52 53.1	15 27 36.9
168	8.9	3	39.5	28 59.36	3 51 24.3	15 29 5.7
169	7	5	29.0	29 9.22	3 25 5.4	15 55 24.6
170	9	7	47.7	29 8.16	3 34 46.1	15 45 43.9
171	9	7	30.1	29 50.57	3 37 30.2	15 42 59.8
172	7	3	18.0	31 38.01	2 20 4.0	17 0 26.0
173	7	4	47.8	31 47.80	2 10 49.2	17 9 40.8
174	8	5	29.0	32 9.20	3 9 51.2	16 10 38.8
75	7	5	51.5	32 31.72	3 22 56.0	15 57 34.0
76	9.0	4	18.6	33 18.60	3 9 25.1	16 11 4.9
177	8.9	4	40.5	33 40.50	3 6 56.0	16 13 34.0
178	8.9	3	14.7	34 34.66	2 49 48.0	16 30 42.0
179	8.9	5	54.3	34 34.47	2 56 39.8	16 23 50.2

Hülftafel zur Reduction auf den mittleren Ort 1850 Januar 0 D = -16°.

T.	k	k'	d
5 0+18.79	-5	-3	+13.6 +0.3 +
10+18.74	-5	-3	+13.9 +0.4 +
20+18.69	-5	-3	+14.3 +0.3 +
30+18.64	-5	-3	+14.6 +0.3 +
40+18.59	-5	-3	+14.9 +0.3 +

125	Fad. 6.	17.0
127	" 3.	49.3
131	" 3.	36.4
138	" 4.	2.7
139	" 4.	7.2
141	" 6.	34.7
149	" 5.	42.2

Fad. 2 giebt 3".00

No.	Gr.	Fad.	Beob. Zeit.	T.	Microsc. I	Südl. Declin.
180	9	6	12.6	5 34' 42.82	3° 7' 32.0	16° 12' 58.0
181	9	6	43.0	35 13.17	3 5 55.2	16 14 34.8
182	9.0	4	41.6	36 41.60	3 33 38.7	15 46 51.3
183	8.9	4	3.0	37 3.00	3 26 43.6	15 53 46.4
184	9	6	20.2	36 50.42	3 27 19.2	15 53 10.8
185	9.0	6	46.0	37 16.22	3 28 45.6	15 51 44.4
186	7.8	2	9.6	38 39.33	3 24 19.3	15 56 10.7
187	8.9	6	33.0	38 3.19	3 17 18.5	16 3 11.5
188	9	6	55.3	38 25.50	3 20 10.9	16 0 19.1
189	8	5	3.9	38 44.11	3 19 45.3	16 0 44.7
190	8	6	30.4	39 0.61	3 25 45.6	15 54 44.4
191	7.8	7	53.1	39 13.52	3 19 19.9	16 1 10.1
192	6	5	26.4	40 6.58	3 2 27.8	16 18 2.2
193	9	7	56.4	40 16.78	3 10 14.7	16 10 15.3
194	8.9	4	41 53.2	41 53.20	2 41 4.5	16 39 25.5
195	8	3	16.4	42 36.44	2 47 28.9	16 33 1.1
196	9	4	54.3	42 54.30	2 52 48.1	16 27 41.9
197	8	4	25.7	43 25.70	3 5 9.7	16 15 20.3
198	8.9	5	57.5	43 37.71	3 17 19.1	16 3 10.9
199	8.9	4	44 4.8	44 4.86	3 18 48.5	16 1 41.5
200	9	5	44 29.0	44 9.31	3 18 24.5	16 2 5.5
201	8.9	6	44.0	45 14.16	3 19 28.5	16 1 1.5
202	9	4	21.2	46 21.20	3 18 23.7	16 2 6.3
203	7	4	46 33.6	46 33.60	3 17 36.1	16 2 53.9
204	6.7	4	20.5	47 20.50	3 34 19.0	15 46 11.0
205	9	1	52.9	48 32.50	3 48 52.0	15 31 38.0
206	9.0	4	12.2	48 12.20	3 50 3.9	15 30 26.1
207	9	3	40.3	49 0.23	3 53 21.7	15 27 8.3
208	7	4	5.6	49 5.60	3 47 15.0	15 33 15.0
209	6.7	1	55.7	50 35.28	3 54 32.2	15 25 57.8
210	8.9	2	19.2	50 48.88	3 45 6.8	15 35 23.2
211	8.9	2	41.7	51 11.36	3 53 46.5	15 26 43.5
212	9	3	50.4	51 10.28	3 53 4.5	15 27 25.5
213	7.8	1	56.0	52 35.45	4 36 47.7	14 43 42.3
214	8	4	31.0	52 31.00	3 57 53.2	15 22 36.8
215	7.8	4	57.6	52 57.60	4 15 27.0	15 5 3.0
216	8	3	22.4	53 42.21	4 19 23.4	15 1 6.6
217	9	4	51.6	53 51.60	3 36 35.6	15 43 54.4
218	9	5	11.5	53 51.75	3 42 6.1	15 38 23.9
219	8.9	4	25.7	54 25.70	3 47 25.0	15 33 5.0
220	6	4	35.7	54 35.25	3 44 31.5	15 35 58.5
221	9	5	55 31.6	55 11.85	3 37 55.5	15 42 34.5
222	9	4	3.4	56 3.40	3 36 6.8	15 44 23.2
223	7	1	23.2	57 2.81	3 39 28.3	15 41 1.7
224	7.8	7	56.0	56 16.41	3 17 43.3	16 2 46.7
225	8.9	5	30.8	57 11.00	3 11 34.8	16 8 55.2
226	5	4	59.0	57 59.00	2 51 35.5	16 28 54.5
227	8.9	7	15.5	57 35.79	2 43 38.3	16 36 51.7
228	8.9	4	45.1	58 45.10	2 49 0.0	16 31 30.0
229	6.7	1	58.6	59 38.51	2 50 0.0	16 30 30.0
230	8.9	3	19.7	59 39.73	2 54 9.1	16 26 20.9
231	7.8	5	0 0.4	59 40.59	3 5 17.6	16 15 12.4
1	8	2	31 54.2	9 32 24.61	9 24 4.0	19 57 6.0
2	8	3	28.3	32 48.65	9 24 43.4	19 56 26.6
3	9	7	33 34.2	32 53.44	8 58 55.5	20 22 14.5

Hilfstafel zur Reduction auf den mittleren Ort 1850 Januar 0 D = - 16°.

T.	k	k'	d	
5 30' + 18.64	-5	-3	+14.6	+0.3
40 + 18.59	-5	-3	+14.9	+0.3
50 + 18.54	-4	-3	+15.2	+0.3
6 0 + 18.50		-3	+15.5	+

180 Fad. 7. 22.5
 195 " 4. 36.5
 199 " 7. 44.5
 200 " 7. 49.0
 201 " 7. 53.7
 207 " 4. 0.3
 212 " 4. 10.3
 220 " 5. 55.0 giebt 35".25; ich verm
 dass Fad. 4 flüchtig beobachtet ist, und
 ihn deshalb ausgeschlossen.
 223 Fad. 2. 33.1
 229 " 2. 8.8
 230 " 4. 39.8

Sehr gute Luft, besonders Anfangs. Gege
 etwas leichtes Gewölk.

ZONE 356. 1851 Febr. 15. W.

No.	Gr.	Fad.	Beob. Zeit.	T.	Microsc. I	Südl. Declin.
4	8	2	13.8	9 34 44.34	9 6 22.0	20 14 48.0
5	7	3	52.1	35 12.53	8 53 44.4	20 27 25.6
6	8.9	3	9.5	35 29.91	9 2 35.7	20 18 34.3
7	9	4	46.0	35 46.00	9 6 15.6	20 14 54.4
8	7.8	3	8.4	36 28.83	8 52 31.2	20 28 38.8
9	9	7	59.3	36 18.40	8 26 47.0	20 54 23.0
10	9	4	43.4	37 43.40	8 43 16.3	20 37 53.7
11	9	2	16.2	38 46.75	8 40 14.0	20 40 56.0
12	8.9	6	10.2	38 39.73	9 35 36.1	19 45 33.9
13	9	6	20.2	38 49.73	9 34 58.1	19 46 11.9
14	8	5	40 0.6	39 40.26	9 39 32.4	19 41 37.6
15	7.8	2	39.1	41 9.39	10 4 32.8	19 16 37.2
16	6.7	3	25.6	41 45.84	10 23 29.9	18 57 40.1
17	9	6	55.3	41 24.94	10 12 36.3	19 8 33.7
18	8.9	4	41.6	42 41.60	9 45 58.9	19 35 11.1
19	7.8	3	9.0	43 29.29	9 55 47.6	19 25 22.4
20	8	3	22.6	43 42.89	9 54 23.0	19 26 47.0
21	9	6	4.4	43 34.02	10 5 57.6	19 15 12.4
22	7	4	28.7	44 28.70	10 0 5.6	19 21 4.4
23	8.9	7	9.4	44 28.98	10 17 3.1	19 4 6.9
24	7	3	45 50.7	46 10.92	10 33 42.2	18 47 27.8
25	8	4	45.3	46 35.17	10 13 6.9	19 8 3.1
26	—	6	30.2	46 59.76	9 45 28.1	19 35 41.9
27	9	5	25.1	48 4.79	9 53 34.8	19 27 35.2
28	7.8	7	47.4	48 6.92	10 4 17.3	19 16 52.7
29	8	6	8.4	48 38.02	10 5 55.0	19 15 15.0
30	7	3	50 6.3	50 26.73	8 52 39.7	20 28 30.3
31	8.9	1	31.3	51 12.04	8 50 3.5	20 31 6.5
32	9	6	6.5	50 35.83	8 34 52.0	20 46 18.0
33	8.9	6	51 33.3	51 2.61	8 29 50.2	20 51 19.8
34	8.9	5	52 6.0	51 45.50	8 23 26.4	20 57 43.6
35	9	5	43.6	52 23.11	8 30 4.0	20 51 6.0
36	8.9	3	14.0	53 34.45	8 40 14.6	20 40 55.4
37	8.9	4	54 20.5	54 20.50	9 5 57.9	20 15 12.1
38	9	4	49.6	54 49.60	9 13 32.0	20 7 38.0
39	8.9	3	11.0	55 31.38	9 14 8.9	20 7 1.1
40	7	3	30.7	55 51.09	9 8 17.6	20 12 52.4
41	8.9	1	12.7	56 52.99	10 37 31.1	18 43 38.9
42	8	3	40.4	57 0.55	10 39 17.8	18 41 52.2
43	9	3	42.2	58 2.61	8 59 25.7	20 21 44.3
44	6.7	1	5.2	58 45.92	9 7 31.1	20 13 38.9
45	8	2	39.0	59 9.53	8 47 22.4	20 33 47.6
46	6.7	1	3.6	59 44.23	8 49 12.5	20 31 57.5
47	9	2	3.6	10 0 34.03	9 17 34.2	20 3 35.8
48	9	5	33.3	0 12.92	9 19 55.2	20 1 14.8
49	8	5	1 3.5	0 43.15	9 33 3.1	19 48 6.9
50	9	5	37.8	1 17.47	9 45 44.4	19 35 25.6
51	8.9	4	20.2	2 20.26	10 6 15.4	19 14 54.6
52	9	3	12.0	3 32.27	10 7 25.9	19 13 44.1
53	9	4	53.2	3 53.20	10 8 29.0	19 12 41.0
54	9	4	31.2	4 31.20	10 14 15.3	19 6 54.7
55	9	4	2.6	5 2.60	10 15 29.0	19 5 41.0
56	8	7	29.4	4 49.03	10 31 38.1	18 49 31.9
57	6	5	54.2	5 33.95	10 23 32.5	18 57 37.5
58	9	7	29.4	5 48.94	10 7 25.2	19 13 44.8

NC. 9 15' - 1 57.85
 11 53 - 2 2.88
 Anf. 28 3.72 + 0.6 26.2
 Ende 3.64 - 0.4 25.2
 Microsc. I - 5".69 u. - 6".61
 Decl. = Microsc. I - 29° 21' 10"
 10" r+i + 22".949 Δr+0".030 Δi-0".008

Hilfstafel zur Reduction auf den mittlern
 Ort 1850 Januar 0 D = - 20°.

T.	k	k'	d	d'
9 30+19.08	-2	-1	+31.6	-0.4 +15.8
40+19.06	-1	-1	+31.2	-0.4 +15.8
50+19.05	-1	-1	+30.8	-0.5 +15.9
10 0+19.04	-1	0	+30.3	-0.5 +15.9
10+19.03		0	+29.8	+15.9

4 Fad. 3. 24.0
 25 " 5. 55.3; ich habe angenommen, dass
 Fad. 4 um 10" verschrieben sei, was durch
 Beobachtungen 1851 März 14. und April 16.
 bestätigt wird.
 29 Fad. 7. 18.5
 41 " 2. 22.8
 42 " 4. 0.5
 44 " 2. 15.3
 45 " 3. 49.1
 46 " 2. 13.6
 51 " 5. 40.6

No.	Gr.	Fad.	Beob. Zeit.	T.	Microsc. I	Südl. Declin.
59	8	5	7' 34.5	10' 7' 13.94	8 21' 43.7	20 59' 26.3
60	8.9	1	43.0	9 23.54	9 35' 48.6	19 45' 21.4
61	6	3	0.0	9 20.38	9 25' 18.6	19 55' 51.4
62	9	4	10 18.2	10 18.20	9 37' 56.0	19 43' 14.0
63	9	4	10 56.0	10 56.00	9 35' 58.8	19 45' 11.2
64	8	4	32.1	11 32.10	9 46' 58.6	19 34' 11.4
65	9	4	1.1	12 1.10	9 35' 25.6	19 45' 44.4
66	9	7	12 37.4	11 56.93	10 4' 37.1	19 16' 32.9
67	8.9	3	13 27.7	13 48.08	9 13' 2.5	20 8' 7.5
68	9	5	7.8	13 47.38	9 2' 10.4	20 18' 59.6
69	7.8	4	42.6	14 42.60	8 49' 31.0	20 31' 39.0
70	9	3	11.4	15 31.84	8 47' 15.3	20 33' 54.7
71	7	4	16 10.2	16 10.20	9 51' 48.0	19 29' 22.0
72	8.9	7	55.2	16 14.75	10 10' 47.9	19 10' 22.1
73	8.9	7	18.5	16 38.08	10 19' 6.9	19 2' 3.1
74	8.9	7	37.0	16 56.54	10 7' 38.9	19 13' 31.1
75	7.8	6	18 16.5	17 46.16	10 18' 0.1	19 3' 9.9
76	7	7	18 46.0	18 5.63	10 30' 10.1	18 50' 59.9
77	8.9	7	12.2	18 31.78	10 18' 41.5	19 2' 28.5
78	8.9	4	3.0	20 3.00	9 42' 9.3	19 39' 0.7
79	9	5	27.5	20 7.16	9 39' 24.0	19 41' 46.0
80	9	6	21 28.9	20 58.40	9 25' 41.6	19 55' 28.4
81	8.9	3	55.7	22 15.94	9 19' 17.2	20 1' 52.8
82	9	4	22.5	22 22.50	9 21' 16.6	19 59' 53.4
83	8.9	5	2.9	22 42.55	9 31' 46.9	19 49' 23.1
84	8	5	43.3	23 22.87	8 54' 16.5	20 26' 53.5
85	8.9	5	53.5	23 32.98	8 53' 10.0	20 28' 0.0
86	9	6	24 51.2	24 20.54	8 37' 0.9	20 44' 9.1
87	9	5	45.5	25 25.01	8 30' 23.5	20 50' 46.5
88	8.9	6	15.7	25 44.98	8 19' 32.9	21 1' 37.1
89	9	7	53.2	26 12.34	8 34' 54.4	20 46' 15.6
90	9	6	9.6	26 38.91	8 30' 23.2	20 50' 46.8
91	8.9	1	38.0	28 18.84	8 29' 23.0	20 51' 47.0
92	8.9	4	28 24.5	28 24.50	8 40' 23.9	20 40' 46.1
93	8	1	2.0	29 42.85	8 26' 50.0	20 54' 20.0
94	9	6	37.7	29 6.91	7 59' 42.7	21 21' 27.3
95	8	4	26.1	30 26.10	9 18' 33.9	20 2' 36.1
96	7.8	3	52.6	31 12.97	9 32' 49.0	19 48' 21.0
97	9	3	26.3	31 46.64	9 32' 43.2	19 48' 26.8
98	8.9	1	18.8	32 59.12	10 31' 50.6	18 49' 19.4
99	9	3	4.5	33 24.80	9 49' 38.4	19 31' 31.6
100	9	4	33 28.7	33 28.70	9 48' 58.5	19 32' 11.5
101	7	2	34 17.9	34 48.29	9 31' 30.8	19 49' 39.2
102	9	2	14.0	35 44.43	9 8' 1.6	20 13' 8.4
103	9	5	55.6	35 35.19	9 6' 24.1	20 14' 45.9
104	9	3	30.5	36 50.95	8 41' 58.1	20 39' 11.9
105	8.9	4	37 43.0	37 43.00	10 26' 9.0	18 55' 1.0
106	8.9	4	15.2	38 15.20	10 25' 21.0	18 55' 49.0
107	8.9	5	38.9	38 18.66	10 28' 51.3	18 52' 18.7
108	7	4	52.7	38 52.70	10 22' 15.1	18 58' 54.9
109	8.9	5	24.8	39 4.56	10 24' 39.9	18 56' 30.1
110	9	7	1.2	39 20.77	10 15' 5.9	19 6' 4.1
111	9	2	36.9	41 7.11	10 30' 44.2	18 50' 25.8
112	8.9	4	21.6	41 21.60	9 43' 32.2	19 37' 37.8
113	9	5	0.2	41 39.88	9 49' 2.4	19 32' 7.6

Hilfstafel zur Reduction auf den middle
Ort 1850 Januar 0 D = - 20°.

T.	k	k'	d
10' 0' + 19.04	-1	0	+30.3 - 0.5
10' + 19.03	0	0	+29.8 - 0.6
20' + 19.03	0	0	+29.2 - 0.6
30' + 19.03	0	0	+28.6 - 0.6
40' + 19.03	0	0	+28.0 - 0.6
50' + 19.03	0	0	+27.4

59 Fad. 6. 44.6
61 „ 4. 20.4
77. Zeit unsicher beobachtet.
81 Fad. 5. 36.2
85 „ 6. 3.5
86 „ 7. 1.4
87 „ 6. 55.7
96 „ 4. 13.0
102 „ 3. 24.0

Gr.	Fad.	Beob. Zeit.	T.	Microsc. I	Südl. Declin.
			^u	^o	^o
9	4	43.3	10 42 43.30	8 45 13.3	20 35 56.7
7.8	2	8.6	43 39.17	8 37 1.4	20 44 8.6
7	3	43 46.6	44 7.13	8 4 14.0	21 16 56.0
6	7	42.0	44 1.22	8 53 27.5	20 27 42.5
7	4	29.0	45 29.00	9 31 26.9	19 49 43.1
9	5	6.6	45 46.30	9 58 33.3	19 22 36.7
6	6	21.0	45 50.60	10 0 40.6	19 20 29.4
3.9	7	36.9	45 56.38	9 54 14.0	19 26 56.0
7.8	5	47 10.6	46 50.35	9 54 27.0	19 26 43.0
3.9	3	13.2	48 33.41	10 37 10.8	18 43 59.2
9	4	42.1	48 42.10	10 12 27.3	19 8 42.7
9	7	24.2	48 43.67	9 52 34.2	19 28 35.8
9	6	51.0	49 20.60	9 58 37.9	19 22 32.1
9	1	42.8	51 23.50	8 58 39.9	20 22 30.1
7	1	51 6.0	51 46.67	9 6 9.2	20 15 0.8
9	7	51.4	51 10.71	9 13 18.6	20 7 51.4
8	2	33.8	53 4.13	9 49 57.3	19 31 12.7
7.8	7	9.3	52 28.83	10 5 49.5	19 15 20.5
9	4	36.4	53 36.40	10 0 32.0	19 20 38.0
7	4	54 4.2	54 4.20	10 5 27.7	19 15 42.3
3.9	7	54 40.2	53 59.76	10 13 31.2	19 7 38.8
9	5	32.6	55 12.36	10 26 29.0	18 54 41.0
6	3	53.0	56 13.22	10 29 58.9	18 51 11.1
9	2	15.5	56 45.71	10 29 8.0	18 52 2.0
9	5	3.7	56 43.37	9 46 25.5	19 34 44.5
7.8	1	57 28.2	58 8.70	9 44 46.7	19 36 23.3
8	1	14.5	58 55.08	9 27 23.1	19 53 46.9
7	4	52.4	58 52.40	8 59 19.9	20 21 50.1
9	7	32.3	58 51.42	8 30 57.6	20 50 12.4
7	2	59 59.0	11 0 29.56	8 38 20.8	20 42 49.2
9	2	45.4	1 16.04	8 16 1.0	21 5 9.0
9	4	16.2	1 16.20	8 20 0.2	21 1 9.8
9	7	46.1	1 5.11	8 6 12.0	21 14 58.0
9	7	51.6	1 10.60	8 4 58.9	21 16 11.1
9	6	2 54.2	2 23.43	8 7 19.7	21 13 50.3
8	1	39.2	4 19.95	8 49 47.1	20 31 22.9
3.9	2	1.3	4 31.82	8 52 29.8	20 28 40.2
3.9	3	12.2	4 32.61	8 51 40.7	20 29 29.3
7.8	5	50.0	4 29.50	8 56 28.8	20 24 41.2
7.8	5	46.0	5 25.65	9 36 51.2	19 44 18.8
8	5	6 13.5	5 53.17	9 42 33.5	19 38 36.5
3.9	7	53.6	6 13.16	10 14 7.9	19 7 2.1
9	3	21.4	7 41.65	10 17 59.9	19 3 10.1
3.9	7	8 1.0	7 20.64	10 33 8.9	18 48 1.1
7	7	8 13.3	7 32.93	10 31 18.2	18 49 51.8
3.9	6	54.5	8 24.20	10 33 45.8	18 47 24.2
7	5	10 4.3	9 43.93	9 23 52.9	19 57 17.1
3.9	5	35.7	10 15.34	9 30 52.6	19 50 17.4
9	6	10 58.4	10 27.90	9 28 13.6	19 52 56.4
9	5	42.0	11 21.64	9 27 37.3	19 53 32.7
9	2	59.9	12 30.31	9 23 34.1	19 57 35.9
8	4	38.2	12 38.20	9 29 27.6	19 51 42.4
8	2	13 8.1	13 38.45	9 43 2.6	19 38 7.4
8	3	40.5	14 0.82	9 39 37.7	19 41 32.3
7	6	31.6	14 0.82	8 3 55.1	21 17 14.9

Hülfsstafel zur Reduction auf den mittlern Ort 1850 Januar 0 D = - 20°.

T.	k	k'	d	d'
^u				
10 40+19.03	0	0	+28.0	-0.6
50+19.03	+1	0	+27.4	-0.7
11 0+19.04	0	+1	+26.7	-0.7
10+19.04	+1	+1	+26.0	-0.7
20+19.05		+1	+25.3	+16.1

117. Der Stern ist sehr roth; auch LL. nennt ihn „bien rouge“.

122 Fad. 6. 20".7 Fad. 7. 31".0

147. Zeit zweifelhaft; das Zehnthel dürfte richtig sein.

151 Fad. 4. 32.6

152 „ 7. 10.2

No.	Gr.	Fad.	Beob. Zeit.	T.	Microsc. I	Südl. Declin.
169	9	4	58.5	11 14 58.50	8 4 56.6	21 16 13.4
170	7.8	2	34.7	16 5.21	8 54 25.5	20 26 44.5
171	9	4	19.7	16 19.70	9 22 30.5	19 58 39.5
172	9	4	47.0	16 47.00	9 29 42.7	19 51 27.3
173	8.9	6	25.9	16 55.56	10 19 39.3	19 1 30.7
174	9	3	18 1.0	18 21.26	10 9 37.6	19 11 32.4
175	7	6	45.5	18 15.03	9 35 18.0	19 45 52.0
176	8.9	3	16.0	19 36.33	9 34 36.1	19 46 33.9
177	8	5	49.1	19 28.73	9 22 52.3	19 58 17.7
178	9	7	14.2	19 33.48	9 6 27.5	20 14 42.5
179	9	7	35.3	19 54.55	9 0 35.2	20 20 34.8
180	7.8	2	21 25.0	21 55.52	8 49 57.7	20 31 12.3
181	9	3	22 32.0	22 52.34	9 30 13.0	19 50 57.0
182	7.8	4	7.6	23 7.60	9 58 20.9	19 22 49.1
183	9	2	1.4	24 31.65	10 15 25.2	19 5 44.8
184	8.9	1	35.1	25 15.45	10 21 21.6	18 59 48.4
185	9	7	12.0	24 31.57	10 15 24.8	19 5 45.2
186	9	6	26 8.7	25 38.24	9 40 7.2	19 41 2.8
187	8	7	26 27.6	25 47.01	9 37 35.7	19 43 34.3
188	7	4	21.2	27 21.20	9 37 0.7	19 44 9.3
189	9	5	27 58.1	27 37.76	9 39 49.0	19 41 21.0
190	9	3	29.5	28 49.82	9 38 54.9	19 42 15.1
191	9	7	5.0	28 24.38	9 31 10.9	19 49 59.1
192	9	2	46.9	30 17.30	9 27 47.2	19 53 22.8
193	9	5	37.8	30 17.55	10 24 48.0	18 56 22.0
194	9	2	18.0	31 48.18	10 39 12.8	18 41 57.2
195	9	4	1.2	32 1.20	9 25 59.4	19 55 10.6
196	9	5	32.7	32 12.34	9 26 49.9	19 54 20.1
197	9	2	8.0	33 38.43	9 19 20.0	20 1 50.0
198	9	7	33 44.3	33 3.54	8 58 14.1	20 22 55.9
199	9	5	34 47.2	34 26.69	8 19 41.2	21 1 28.8
1	9	7	55 28.8	4 54 45.79	2 2 36.9	27 20 33.1
2	8.9	4	18.0	56 18.00	2 31 26.0	26 51 44.0
3	9	4	43.2	56 43.20	2 25 0.2	26 58 9.8
4	8	4	36.1	57 36.10	1 30 27.3	27 52 42.7
5	9	3	58 46.5	59 29.61	1 38 56.2	27 44 13.8
6	8.9	2	59 7.2	59 39.52	1 35 47.0	27 47 23.0
7	9	3	54.3	5 0 16.13	0 37 22.4	28 45 47.6
8	9	4	41.5	0 41.50	0 31 47.0	28 51 23.0
9	8	4	25.0	1 25.00	0 12 44.6	29 10 25.4
10	8.9	3	2 1.5	2 23.07	1 54 4.8	27 29 5.2
11	9	6	58.3	2 25.98	1 55 14.0	27 27 56.0
12	9	7	39.3	2 55.93	1 8 29.5	28 14 40.5
13	8.9	4	4 51.1	4 51.10	1 39 19.4	27 43 50.6
14	9	5	29.2	5 7.53	1 30 24.0	27 52 46.0
15	8	2	54.9	6 27.24	1 31 14.8	27 51 55.2
16	9	5	24.3	6 2.45	1 19 1.6	28 4 8.4
17	8	2	20.8	7 53.03	1 53 20.1	27 29 49.9
18	7	4	58.5	7 58.50	2 24 12.6	26 58 57.4
19	7	4	15.4	8 15.40	2 14 11.6	27 8 58.4
20	5	2	30.5	9 2.56	2 15 38.1	27 7 31.9
21	8.9	5	9 47.2	9 25.60	1 49 8.4	27 34 1.6
22	9	4	28.2	10 28.20	1 47 28.7	27 35 41.3
23	7.8	4	55.4	10 55.40	1 57 57.5	27 25 12.5
24	7.8	4	16.0	11 16.00	2 4 45.3	27 18 24.7

Hülftafel zur Reduction auf den mittleren Ort 1850 Januar 0 D = -20°.

T.	k	k'	d
11 10+19.04	+1	+1	+26.0 -0.7 +
20+19.05	+2	+1	+25.3 -0.7 +
30+19.07	+1	+1	+24.6 -0.8 +
40+19.08		+1	+23.8 +

179. Zeit unsicher beobachtet.
182 Fad. 5. 27".9
184 „ 2. 45.2
183. 185. derselbe.

Etwas unruhige Luft, aber die Sterne recht und distinct.

ZONE 357. 1851 Febr. 16. W

NC. 4 42' - 2' 1.09
6 56 - 2 2.87
Anf. 28 2.78 + 1.8 30.8
Ende 2.62 + 1.1 29.8
Dazwischen war das Thermometer 0° 6 R. gewesen.
Microsc. I - 6".21 u. - 5".64
Decl. = Microsc. I - 29° 23' 10"
6" r+i +23".587 Δr+0".031 Δi-0"

Hülftafel zur Reduction auf den mittleren Ort 1850 Januar 0 D = -28°.

T.	k	k'	d
4 50+21.09	-6	-5	+19.9 +0.1 +
5 0+21.03	-5	-5	+20.0 +0.2 +
10+20.98		-5	+20.2 +

5. Nach dem Zeugniß von Z. 350 N°. 81 un-
ner Beobachtung 1851 Febr. 23. ist statt
3 zu lesen Fad. 1. Danach ist T berec-
16 Fad. 6. 34".8; Fäden 2".60 und 2".30
20 „ 3. 41.0

°.	Gr.	Fad.	Beob. Zeit.	T.	Microsc. I	Südl. Declin.
5	8	4	41.7	5 11' 41.70	1° 43' 47.0	27° 39' 23.0
6	9	5	37.1	12 15.45	1 35 18.8	27 47 51.2
7	9	3	30.0	13 51.68	1 20 20.5	28 2 49.5
8	8.9	2	50.7	14 23.06	1 25 20.5	27 57 49.5
9	7.8	2	33.6	15 6.01	1 16 51.0	28 6 19.0
0	8.9	5	4.1	14 42.30	0 51 4.8	28 32 5.2
1	7.8	6	38.5	15 5.99	1 16 51.0	28 6 19.0
2	9	5	1.6	15 39.85	1 5 35.9	28 17 34.1
3	9	4	16 34.6	16 34.60	0 47 45.9	28 35 24.1
4	8.9	5	34.2	17 12.53	1 30 29.5	27 52 40.5
5	8	3	58.0	18 19.67	1 24 25.9	27 58 44.1
6	9	5	18 35.8	18 14.26	2 9 19.2	27 13 50.8
7	8.9	5	24.7	19 3.22	2 28 35.1	26 54 34.9
8	8.9	3	59.4	20 21.00	1 45 37.9	27 37 32.1
9	9	3	45.2	21 6.88	1 20 38.2	28 2 31.8
0	9	4	21 57.3	21 57.30	0 24 14.8	28 58 55.2
1	9	5	22 59.5	22 37.82	1 27 37.2	27 55 32.8
2	9	5	41.3	23 19.66	1 38 59.0	27 44 11.0
3	8.9	7	10.2	23 27.24	2 11 10.1	27 11 59.9
4	9	5	50.8	24 29.26	2 7 36.9	27 15 33.1
5	8.9	3	12.0	25 33.54	2 3 57.1	27 19 12.9
6	9	2	36.0	26 8.20	1 58 38.5	27 24 31.5
7	9	6	16.2	25 43.98	2 16 25.4	27 6 44.6
8	9	6	44.6	26 12.40	2 20 56.2	27 2 13.8
9	8.9	5	4.4	26 42.94	2 32 1.7	26 51 8.3
0	8.9	6	29.1	26 56.95	2 30 54.8	26 52 15.2
1	9	5	10.5	27 48.96	2 10 4.6	27 13 5.4
2	8.9	2	32.7	29 4.86	2 6 23.8	27 16 46.2
3	9	5	8.0	28 46.39	1 45 22.0	27 37 48.0
4	7	4	23.7	29 23.70	1 40 3.8	27 43 6.2
5	8.9	5	58.4	29 36.76	1 37 35.1	27 45 34.9
6	9	4	33.6	30 33.60	1 50 31.9	27 32 38.1
7	7.8	3	53.8	31 15.41	1 42 2.6	27 41 7.4
8	6	5	22.0	31 0.27	1 25 4.2	27 58 5.8
9	8.9	5	50.6	31 28.89	1 16 43.3	28 6 26.7
0	8.9	4	26.6	32 26.60	1 15 47.7	28 7 22.3
1	9	5	44.4	32 22.68	1 11 49.5	28 11 20.5
2	9	5	19.0	32 57.20	1 8 18.6	28 14 51.4
3	8.9	2	0.3	34 32.79	1 1 42.4	28 21 27.6
4	9	3	37.5	34 59.31	0 44 12.7	28 38 57.3
5	9	3	14.2	35 36.04	0 32 25.9	28 50 44.1
6	9	7	36 11.5	35 28.17	1 14 8.1	28 9 1.9
7	9	5	54.0	36 32.30	1 18 15.0	28 4 55.0
8	9	2	29.4	38 1.80	1 19 10.3	28 3 59.7
9	7	5	16.8	37 55.19	1 45 52.6	27 37 17.4
0	8.9	4	42.0	38 42.00	1 36 51.5	27 46 18.5
1	9	4	7.6	39 7.60	1 41 50.0	27 41 20.0
2	7	5	39 34.9	39 13.30	1 49 43.6	27 33 26.4
3	8.9	6	5.0	39 32.68	1 54 59.6	27 28 10.4
4	9	7	18.5	39 35.44	1 54 28.4	27 28 41.6
5	6.7	4	2.5	41 2.50	2 11 5.1	27 12 4.9
6	8.9	6	40.5	41 8.31	2 23 37.7	26 59 32.3
7	9	6	42 6.6	41 34.30	2 21 11.1	27 1 58.9
8	8.9	4	59.2	42 59.20	2 36 56.0	26 46 14.0
9	8.9	4	40.6	43 40.60	1 46 22.5	27 36 47.5

*Halftafel zur Reduction auf den mittlern
Ort 1850 Januar 0 D = - 28°.*

T.	k	k'	d	d'
5 10 + 20.98	-6	-5	+20.2	+0.3
20 + 20.92	-5	-5	+20.5	+0.3
30 + 20.87	-6	-4	+20.8	+0.3
40 + 20.81	-5	-4	+21.1	+0.5
50 + 20.76		-4	+21.6	+41.6

28 Fad. 3. 1.4

29. 31. derselbe.

58 Fad. 6. 32.7

62 „ 6. 29.7

74. Zeitsecunde zweifelhaft.

77 Fad. 7. 17.1

Nº.	Gr.	Fad.	Beob. Zeit.	T.	Microsc. I	Südl. Declin.
80	9	5	27.0	5 44' 5.29	1° 17' 44.7"	28° 5' 25.3"
81	9	5	20.6	44 58.82	0 54 56.9	28 28 13.1
82	8.9	5	45 38.0	45 16.23	1 0 1.2	28 23 8.8
83	9	4	22.6	46 22.60	1 9 2.8	28 14 7.2
84	8.9	7	47.3	46 3.74	0 41 23.1	28 41 46.9
85	9	7	25.3	46 41.58	0 19 7.6	29 4 2.4
86	8.9	4	58.2	47 58.20	0 15 10.3	29 7 59.7
87	6.7	5	26.1	48 4.17	0 12 43.1	29 10 26.9
88	8.9	4	55.2	48 55.20	0 16 37.9	29 6 32.1
89	7	4	23.8	49 23.80	0 14 25.6	28 58 44.4
90	8	5	51.3	49 29.37	0 13 37.1	29 9 32.9
91	7.8	2	14.6	50 47.21	0 36 23.4	28 46 46.6
92	7.8	3	50 40.5	51 2.36	0 29 15.6	28 53 54.4
93	8	7	10.3	50 26.82	0 52 50.3	28 30 19.7
94	8	6	35.5	51 2.75	0 55 7.2	28 28 2.8
95	8.9	5	16.0	51 54.20	0 50 29.5	28 32 40.5
96	8.9	3	52 37.1	52 58.88	0 50 41.7	28 32 28.3
97	8	3	28.4	53 50.00	1 44 40.7	27 38 29.3
98	7	4	13.2	54 13.20	1 28 54.2	27 54 15.8
99	8	5	55 13.3	54 51.70	1 48 51.1	27 34 18.9
100	6.7	4	55 49.2	55 49.20	1 57 0.1	27 26 9.9
101	7	6	56 7.6	55 35.31	2 0 56.5	27 22 13.5
102	9	5	5.0	56 43.61	2 11 44.0	27 11 26.0
103	9	5	57 59.4	57 37.85	2 7 0.0	27 16 10.0
104	8	6	33.3	58 1.12	2 24 56.0	26 58 14.0
105	9	3	15.6	59 37.06	2 27 44.1	26 55 25.9
106	8	6	44.2	59 11.96	2 11 30.0	27 11 40.0
107	8.9	2	17.4	6 0 49.56	2 7 28.4	27 15 41.6
108	8	3	38.5	1 0.00	2 15 18.6	27 7 51.4
109	9	6	18.9	0 46.67	2 15 12.3	27 7 57.7
110	8.9	6	47.7	1 15.62	2 46 8.6	26 37 1.4
111	8.9	5	3 5.5	2 43.88	1 42 24.0	27 40 46.0
112	9	4	46.1	3 46.10	1 32 38.1	27 50 31.9
113	9	5	20.4	3 58.68	1 14 25.7	28 8 44.3
114	9	4	42.5	4 42.50	0 56 12.0	28 26 58.0
115	8	5	17.4	4 55.59	0 49 0.0	28 34 10.0
116	8	7	37.6	4 54.02	0 36 29.9	28 46 40.1
117	7	4	21.4	6 21.40	0 24 24.6	28 58 45.4
118	8.9	4	7 3.3	7 3.30	9 59 31.4	29 23 38.6
119	7	4	7 24.9	7 24.90	0 2 1.0	29 21 9.0
120	7	1	9.0	8 52.77	0 4 7.8	29 19 2.2
121	8.9	6	41.6	8 8.97	0 54 11.0	28 28 59.0
122	8.9	7	58.6	8 15.08	0 46 52.6	28 36 17.4
123	7.8	7	9 26.3	8 42.74	0 41 13.3	28 41 56.7
124	9	7	11.3	9 27.92	1 7 33.2	28 15 36.8
125	8.9	6	34.2	10 1.68	1 16 2.3	28 7 7.7
126	8.9	6	24.6	10 52.31	2 0 57.6	27 22 12.4
127	8	4	52.6	11 52.60	2 11 41.9	27 11 28.1
128	8.9	5	24.0	12 2.50	2 22 5.1	27 1 4.9
129	8	4	53.1	12 53.10	2 15 6.7	27 8 3.3
130	6.7	4	20.0	13 20.00	2 27 13.0	26 55 57.0
131	9	5	3.3	13 41.84	2 31 50.0	26 51 20.0
132	7	6	14 20.5	13 48.40	2 39 21.9	26 43 48.1
133	7.8	3	4.5	15 26.06	1 56 19.1	27 26 50.9
134	8	3	48.6	16 10.20	1 44 51.7	27 38 18.3

Hülfsstafel zur Reduction auf den mittleren Ort 1850 Januar 0 D = - 28°.

T.	k	k'	d
u 5 40' + 20.81	-5	-4	+21.1 + 0.5 +
50 + 20.76	-6	-4	+21.6 + 0.5 +
6 0 + 20.70	-5	-4	+22.1 + 0.5 +
10 + 20.65	-5	-4	+22.6 + 0.7 +
20 + 20.60		-4	+23.3 +

80 Fad. 6. 37.8

85. Zeit unsicher beobachtet.

89. Nach dem Zeugniß von Z. 350 N°. 149 Z. 353 N°. 33 muss das Microscop 0° 25".6 heissen. Nach dieser Verbesserung ist die Decl. berechnet.

94 Fad. 7. 46.1

102 " 6. 16.0

125 " 7. 45.0

Nr.	Gr.	Fad.	Beob. Zeit.	T.	Microsc. I	Südl. Declin.
135	8.9	5	14.5	6 15 52.85	1 36 20.2	27 46 49.8
136	8.9	5	46.1	16 24.45	1 36 8.7	27 47 1.3
137	—	5	29.9	17 8.17	1 10 32.5	28 12 37.5
138	6.7	2	1.1	18 33.69	0 41 24.2	28 41 45.8
139	8.9	3	32.5	18 54.35	0 45 57.9	28 37 12.1
140	9	3	36.3	19 58.10	0 46 37.0	28 36 33.0
141	8	3	5.5	20 27.32	0 38 42.5	28 44 27.5
142	9	3	33.0	20 54.82	0 38 46.2	28 44 23.8
143	8.9	2	21 26.6	21 59.03	1 12 58.3	28 10 11.7
144	8	2	56.0	22 28.42	1 14 12.6	28 8 57.4
145	7	4	30.0	22 30.00	1 28 24.5	27 54 45.5
146	8.9	7	58.3	22 15 14	1 40 9.2	27 43 0.8
147	8.9	7	9 5	22 26.39	1 48 34.6	27 34 35.4
148	8.9	7	49.5	23 6.44	1 55 38.3	27 27 31.7
149	8.9	7	15.7	23 32.69	2 3 5.3	27 20 4.7
150	8	7	38.5	23 55.33	1 54 12.4	27 28 57.6
151	6	6	2.0	24 29.62	1 42 33.1	27 40 36.9
152	8.9	2	33.7	26 5.99	1 41 40.6	27 41 29.4
153	7	5	6.0	25 44.32	1 27 12.2	27 55 57.8
154	9	4	39.0	26 39.00	1 32 51.5	27 50 18.5
155	8.9	3	8.7	27 30.34	1 32 3.5	27 51 6.5
156	8	4	27 56.2	27 56.20	2 9 47.5	27 13 22.5
157	8	3	20.1	28 41.61	2 12 13.8	27 10 56.2
158	9	4	45.5	28 45.50	2 11 37.2	27 11 32.8
159	8.9	7	16.7	28 33.80	2 20 18.9	27 2 51.1
160	8.9	2	1.8	30 33.91	2 16 42.9	27 6 27.1
161	9	5	40.4	30 18.83	1 59 27.7	27 23 42.3
162	9	5	23.4	31 1.84	2 1 31.9	27 21 38.1
163	9	4	58.4	31 58.40	2 10 7.2	27 13 2.8
164	7	3	16.2	32 37.68	2 23 2.6	27 0 7.4
165	8.9	4	40.6	32 40.60	2 31 48.8	26 51 21.2
166	7.8	4	33 32.7	33 32.64	2 43 3.0	26 40 7.0
1	9	4	59 46.6	7 59 46.60	7 24 33.0	21 56 57.0
2	7	6	0 4.1	59 33.21	7 33 1.5	21 48 28.5
3	7	5	45.8	8 0 25.20	7 43 51.7	21 37 38.3
4	7	3	58.2	1 18.79	7 38 50.1	21 42 39.9
5	7	4	58.0	1 58.00	8 5 1.4	21 16 28.6
6	7	4	22.2	2 22.20	8 12 41.3	21 8 48.7
7	9	4	39.1	2 39.10	8 11 36.6	21 9 53.4
8	9	6	6.5	2 35.73	8 5 51.3	21 15 38.7
9	8	6	23.5	2 52.71	8 0 40.5	21 20 49.5
10	9	4	43.4	3 43.40	7 55 44.2	21 25 45.8
11	8.9	6	13.0	3 42.05	7 49 45.4	21 31 44.6
12	8.9	2	38.7	5 9.44	7 48 8.0	21 33 22.0
13	9	5	21.5	5 0.87	7 29 33.1	21 51 56.9
14	8.9	2	5 50.8	6 21.63	7 24 8.1	21 57 21.9
15	8.9	3	30.6	6 51.22	7 27 32.9	21 53 57.1
16	9	4	58.5	6 58.50	7 24 0.7	21 57 29.3
17	8.9	4	43.4	7 43.40	7 28 45.1	21 52 44.9
18	8	4	5.4	8 5.40	8 7 40.9	21 13 49.1
19	9	5	30.4	8 9.85	8 3 55.2	21 17 34.8
20	9	7	57.0	8 16.03	8 11 37.1	21 9 52.9
21	8.9	5	33.4	9 12.88	8 18 13.3	21 3 16.7
22	6.7	4	58.1	9 58.10	8 29 12.4	20 52 17.6
23	8.9	5	28.7	10 8.17	8 11 31.0	21 9 59.0

*Hülftafel zur Reduction auf den mittlern
Ort 1850 Januar 0 D = - 28°.*

T.	k	k'	d	d'
6 10 + 20.65	-5	-4	+22.6	+0.7
20 + 20.60	-6	-4	+23.3	+0.7
30 + 20.54	-5	-4	+24.0	+0.8
40 + 20.49		-4	+24.8	+41.5

137. Grösse 9^m.?
139 Fad. 4. 54".4
166 „ 5. 54.0

Anfangs gute Luft; von der Mitte der Zone an
wurden die Sterne aber unruhig.

ZONE 358. 1851 Febr. 16. West.

NC. 7 48 - 2 3.77
9 53 - 2 3.35
Anf. 28 2.55 + 1.3 28.6
Ende 2.48 + 0.6 28.0
Das Thermometer ist 0°.35 R. tiefer gewesen.
Microsc. I - 5".85 u. - 7".93
Declin. = Microsc. I - 29° 21' 30"
9^m r+i + 23".647 Δr + 0".031 Δi - 0".008

*Hülftafel zur Reduction auf den mittlern
Ort 1850 Januar 0 D = - 22°.*

T.	k	k'	d	d'
8 0 + 20.04	-4	-2	+27.9	-0.1
10 + 20.00		-2	+27.8	+19.0

11 Fad. 7. 23.0
14 „ 3. 1.0

N ^o .	Gr.	Fad.	Beob. Zeit.	T.	Microsc. I	Südl. Declin.
24	7.8	6	59.4	8 10' 28.60	7 58' 51.0	21 22' 39.0
25	8	5	15.6	10 55.04	8 0 44.6	21 20' 45.4
26	9	5	58.6	11 38.02	7 52' 36.5	21 28' 53.5
27	8	7	21.7	11 40.61	7 44' 42.0	21 36' 48.0
28	7.8	7	33.9	11 52.79	7 40' 49.0	21 40' 41.0
29	8.9	7	13 0.5	12 19.42	7 47' 36.0	21 33' 54.0
30	8	4	36.4	13 36.40	8 4 46.9	21 16' 43.1
31	9	5	11.5	13 50.93	7 55' 18.7	21 26' 11.3
32	9	2	33.0	15 3.69	8 2 7.0	21 19' 23.0
33	9	5	15 6.6	14 46.07	8 14' 11.6	21 7' 18.4
34	9	4	37.0	15 37.00	8 13' 15.0	21 8' 15.0
35	9	6	13.2	15 42.46	8 16' 48.6	21 4' 41.4
36	8.9	6	32.6	16 1.85	8 14' 24.0	21 7' 6.0
37	8.9	6	49.6	16 18.90	8 14' 52.9	21 6' 37.1
38	9	7	27.0	16 46.04	8 12' 38.5	21 8' 51.5
39	9	7	41.0	17 0.04	8 12' 1.8	21 9' 28.2
40	8.9	4	6.7	18 6.70	8 12' 9.2	21 9' 20.8
41	8.9	6	36.1	18 5.38	8 21' 39.2	20 59' 50.8
42	8	6	58.3	18 27.56	8 15' 26.9	21 6' 3.1
43	8	3	14.3	19 34.81	8 16' 24.7	21 5' 5.3
44	9	6	44.2	19 13.47	8 18' 55.0	21 2' 35.0
45	9	5	16.2	19 55.67	8 12' 41.6	21 8' 48.4
46	9	7	37.5	19 56.53	8 12' 40.3	21 8' 49.7
47	9	5	38.0	21 17.43	7 55' 15.0	21 26' 15.0
48	9	5	16.8	21 56.21	7 45' 47.6	21 35' 42.4
49	9	6	38.4	22 7.50	7 30' 51.9	21 50' 38.1
50	9	3	17.5	23 36.12	7 26' 59.4	21 54' 30.6
51	9	5	50.5	23 27.80	7 4 8.6	22 17' 21.4
52	9	2	14.2	24 43.17	6 43' 29.5	22 38' 0.5
53	9	3	24 29.3	24 50.02	6 41' 47.3	22 39' 42.7
54	9	2	28.7	25 59.72	6 38' 59.6	22 42' 30.4
55	9	4	12.6	26 12.60	6 14' 15.3	23 7' 14.7
56	7	4	56.4	26 56.31	6 30' 4.9	22 51' 25.1
57	9	3	31.2	27 51.97	6 27' 58.8	22 53' 31.2
58	8.9	2	55.6	28 26.65	6 24' 47.2	22 56' 42.8
59	8.9	5	31.9	28 11.13	6 34' 8.0	22 47' 22.0
60	8.9	5	13.3	28 52.72	7 52' 19.4	21 29' 10.6
61	8.9	5	39.0	29 18.42	7 53' 18.2	21 28' 11.8
62	8.9	6	56.7	29 25.88	7 53' 4.0	21 28' 26.0
63	9	4	31.2	30 31.20	8 20' 45.9	21 0' 44.1
64	9	3	8.0	31 28.47	8 29' 45.9	20 51' 44.1
65	7	5	36.5	31 15.93	7 55' 8.4	21 26' 21.6
66	7	4	32 2.3	32 2.30	7 47' 25.7	21 34' 4.3
67	7.8	4	30.6	32 30.60	7 56' 56.7	21 24' 33.3
68	5.6	7	54 :	32 13	7 11' 49.8	22 9' 40.2
69	9	7	38.5	32 57.24	7 12' 7.0	22 9' 23.0
70	9	5	1.3	33 40.61	7 6' 37.5	22 14' 52.5
71	9	4	34 33.4	34 33.40	7 2 9.9	22 19' 20.1
72	9	3	56.2	35 16.84	7 1 23.2	22 20' 6.8
73	9	4	54.4	35 54.40	7 6' 13.8	22 15' 16.2
74	8.9	1	26.2	37 7.67	6 17' 53.8	23 3' 36.2
75	9	2	59.8	37 30.85	6 23' 46.2	22 57' 43.8
76	6.7	3	25.6	37 46.42	6 6' 34.0	23 14' 56.0
77	8.9	4	5.8	38 5.80	6 32' 37.0	22 48' 53.0
78	9	4	43.6	38 43.60	7 9' 34.1	22 11' 55.9

Hilfstafel zur Reduction auf den mittl.
Ort 1850 Januar 0 D = - 22°.

T.	k	k'	d	
u				
8 10' + 20.00	-3	-2	+27.8	0.0' +
20 + 19.97	-3	-2	+27.8	-0.1' +
30 + 19.94	-3	-2	+27.7	-0.1' +
40 + 19.91		-2	+27.6	+

37 Fad. 7. 59.9

45. 46. duplex.

53 Fad. 4. 50.0 bei diesem Sterne ward Fehler von +2'' in der Zeit entdeckt verbessert. Dieser Fehler ist nach Ver-
chung der Z. 399 und Beobachtungen de
44, 47 und 50 am 25. und 27. März
zwischen N^o. 49 und 50 entstanden, wes
die T der N^o. 50 bis 52 um - 2'' cor-
sind.

54 Fad. 3. 39.0

56 „ 5. 17.0

72 „ 4. 16.8

Gr.	Fad.	Beob. Zeit.	T.	Microsc. I	Südl. Declin.
9	4	4.3	8° 39' 4.30	7° 10' 23.6	22° 11' 6.4
3.9	6	23.0	38 52.02	7 8 54.6	22 12 35.4
8	7	35.3	38 54.04	7 10 30.9	22 10 59.1
8	7	40 22.9	39 41.64	7 12 3.4	22 9 26.6
9	5	41 25.3	41 4.67	7 29 47.0	21 51 43.0
7.8	6	53.0	41 22.26	8 0 37.8	21 20 52.2
9	4	15.0	42 15.00	8 1 37.6	21 19 52.4
9	2	49.2	43 19.89	8 0 1.0	21 21 29.0
9	4	40.2	43 40.20	7 38 34.0	21 42 56.0
7	4	4.2	44 4.20	7 33 0.5	21 48 29.5
9	7	44 30.1	43 49.00	7 43 14.7	21 38 15.3
3.9	4	56.2	44 56.20	7 39 14.4	21 42 15.6
3.9	4	16.4	45 16.40	7 37 39.1	21 43 50.9
3.9	3	33.3	45 53.90	7 37 25.5	21 44 4.5
7.8	4	5.2	46 5.20	7 47 46.1	21 33 43.9
9	5	51.0	46 30.31	7 6 26.0	22 15 4.0
7	7	6.0	46 24.66	6 55 22.0	22 26 8.0
7.8	7	21.1	46 39.75	6 53 5.0	22 28 25.0
9	6	57.4	47 26.38	6 58 9.0	22 23 21.0
9	3	27.5	48 48.18	7 4 18.7	22 17 11.3
8	5	49 4.9	48 44.12	6 32 14.9	22 49 15.1
9	5	49 52.4	49 31.46	6 27 38.6	22 53 51.4
9	7	15.6	49 34.12	6 26 25.6	22 55 4.4
7.8	1	56.2	51 37.72	6 8 15.2	23 13 14.8
9	5	29.0	51 8.18	6 14 11.3	23 7 18.7
9	4	47.2	51 47.20	6 19 16.5	23 2 13.5
9	3	14.2	52 34.98	6 24 25.1	22 57 4.9
7	5	51.6	52 30.86	6 54 55.2	22 35 34.8
7	6	24.0	52 53.04	7 14 22.7	22 7 7.3
7	5	43.3	53 22.66	7 27 11.0	21 54 19.0
8	4	17.9	54 17.90	7 32 24.0	21 49 6.0
9	4	51.6	54 51.60	7 23 43.0	21 57 47.0
9	5	39.5	55 18.93	7 58 19.5	21 23 10.5
9	7	2.0	55 21.09	8 24 58.9	20 56 31.1
9	6	32.4	56 1.68	8 21 55.5	20 59 34.5
9	4	57 10.3	57 10.30	8 21 56.6	20 59 33.4
7.8	4	40.6	57 40.60	8 32 53.1	20 48 36.9
8	1	10.9	58 51.76	8 24 45.6	20 56 44.4
3.9	1	36.6	59 17.45	8 27 19.1	20 54 10.9
9	3	9.4	59 29.94	8 2 9.9	21 19 20.1
9	3	18.0	59 38.58	7 59 9.9	21 22 20.1
3.9	7	4.3	59 23.16	7 34 15.0	21 47 15.0
8	2	51.5	9 1 22.44	6 53 35.5	22 27 54.5
3.9	6	15.9	0 44.79	6 33 30.2	22 47 59.8
3.9	5	40.3	1 19.54	6 37 54.0	22 43 36.0
3.9	3	4.7	2 25.48	6 26 31.0	22 54 59.0
9	5	38.0	2 17.21	6 25 14.6	22 56 15.4
6	4	20.5	3 20.50	6 47 6.0	22 34 24.0
7	4	38.2	3 38.20	6 51 26.6	22 30 3.4
3.9	7	27.0	3 46.04	8 13 15.0	21 8 15.0
9	1	1.2	5 42.13	8 8 15.7	21 13 14.3
9	7	55.6	5 14.39	7 21 59.8	21 59 30.2
9	6	14.0	5 43.16	7 16 11.0	22 5 19.0
7	5	7 3.5	6 42.81	7 5 47.5	22 15 42.5
7.8	3	32.5	7 53.16	7 10 19.4	22 11 10.6

Hülfsstafel zur Reduction auf den mittlern Ort 1850 Januar 0 D = - 22°.

T.	k	k'	d	d'
u				
8 30+19.94	-3	-2	+27.7	-0.1
40+19.91	-3	-2	+27.6	-0.1
50+19.88	-2	-1	+27.5	-0.1
9 0+19.86	-3	-1	+27.4	-0.1
10+19.83		-1	+27.3	+19.2

112. Zeit unsicher beobachtet.

119 Fad. 4. 38".6

131 " 7. 24.5

No.	Gr.	Fad.	Beob. Zeit.	T.	Microsc. I	Südl. Declin.
134	7.8	4	34.4	9 8 34.40	6 28 53.0	22 52 37.0
135	7.8	4	14.4	9 14.40	6 50 46.6	22 30 43.4
136	9	4	59.0	9 59.00	7 2 51.3	22 18 38.7
137	7.8	2	8.7	10 39.85	7 2 35.0	22 18 55.0
138	7.8	2	29.4	11 0.32	6 59 50.0	22 21 40.0
139	9	5	54.0	10 33.30	6 59 49.0	22 21 41.0
140	9	4	31.7	11 31.70	6 51 10.1	22 30 19.9
141	7	4	1.0	12 1.00	7 25 37.7	21 55 52.3
142	9	3	12 34.3	12 54.93	7 25 38.6	21 55 51.4
143	8.9	7	28.2	12 47.25	8 16 34.5	21 4 55.5
144	9	3	6.6	14 27.07	8 32 52.8	20 48 37.2
145	8.9	2	30.0	15 0.60	8 26 52.5	20 54 37.5
146	9	4	15 4.5	15 4.50	8 21 45.3	20 59 44.7
147	8	3	33.6	15 54.14	8 2 57.0	21 18 33.0
148	7	3	3.0	16 23.52	8 9 59.9	21 11 30.1
149	9	4	34.8	16 34.80	8 19 40.1	21 1 49.9
150	9	4	12.5	17 12.50	7 51 57.9	21 29 32.1
151	8	5	45.3	17 24.64	7 16 11.1	22 5 18.9
152	7.8	2	7.6	18 38.47	7 10 59.3	22 10 30.7
153	9	2	31.7	19 2.54	7 19 51.4	22 1 38.6
154	9	3	53.0	19 13.64	7 14 45.7	22 6 44.3
155	8.9	1	56.0	20 37.17	7 14 19.9	22 7 10.1
156	9	6	45.3	20 14.22	6 40 42.4	22 40 47.6
157	7.8	6	22.8	20 51.64	6 19 36.3	23 1 53.7
158	9	4	20.0	22 20.00	6 10 27.5	23 11 2.5
159	6	4	22 42.0	22 42.00	6 39 46.4	22 41 43.6
160	7.8	2	10.0	23 41.03	6 30 1.2	22 51 28.8
161	8	4	51.4	23 51.40	6 21 57.3	22 59 32.7
162	6.7	3	0.7	24 21.53	6 30 26.4	22 51 3.6
163	9	7	46.7	24 5.24	6 30 54.8	22 50 35.2
164	7	5	7.5	24 46.75	6 40 51.8	22 40 38.2
165	9	6	25 29.3	24 58.20	6 40 0.0	22 41 30.0
166	9	7	29.4	25 48.05	6 52 3.7	22 29 26.3
167	9	5	45.7	26 24.97	6 52 14.0	22 29 16.0
168	8.9	3	12.3	27 32.99	6 59 25.5	22 22 4.5
169	8.9	3	39.6	28 0.30	6 58 29.5	22 23 0.5
170	8.9	4	9.0	28 9.00	6 51 8.6	22 30 21.4
171	8.9	4	16.5	28 16.47	6 50 23.9	22 31 6.1
172	6.7	7	55.4	28 14.19	7 19 59.6	22 1 30.4
173	9	5	34.7	29 14.05	7 21 8.9	22 0 21.1
174	8	7	1.7	29 20.56	7 35 18.4	21 46 11.6
175	9	5	28.0	30 7.36	7 28 45.1	21 52 44.9
176	8.9	2	13.0	31 43.90	7 3 39.0	22 17 51.0
177	7	3	34.1	31 54.80	6 55 56.6	22 25 33.4
178	9	3	5.5	32 26.24	6 40 29.7	22 41 0.3
179	7.8	1	40.5	33 21.85	6 40 43.1	22 40 46.9
180	4	1	25.4	34 6.75	6 26 32.0	22 54 58.0
181	7.8	1	16.4	34 57.86	6 19 40.2	23 1 49.8
182	9	5	59.9	34 39.30	6 47 47.5	22 33 42.5
183	9	3	22.5	35 43.23	6 44 21.5	22 37 8.5
184	9	4	54.4	35 54.40	6 45 35.0	22 35 55.0
185	9	7	36 11.5	35 30.11	6 44 18.4	22 37 11.6
1	8.9	5	29 18.1	5 28 57.71	9 18 0.0	20 3 10.0
2	8.9	2	39.2	30 9.63	9 19 24.0	20 1 46.0
3	8.9	4	10.0	30 10.00	9 23 32.5	19 57 37.5

Hülftafel zur Reduction auf den mittlere Ort 1850 Januar 0 D = - 22°.

T.	k	k'	d	
9 0+19.86	-3	-1	+27.4	-0.1 +
10+19.83	-2	-1	+27.3	-0.1 +
20+19.81	-2	-1	+27.2	0.0 +
30+19.79	-1	-1	+27.2	-0.1 +
40+19.78		-1	+27.1	+ +

137 Fad. 3. 19.4 Fäden 39".61 und 40".
 154 " 5. 34.3
 155 " 2. 6.3
 162 " 4. 21.6
 165 " 7. 39.6
 171 " 5. 37.2
 180 " 3. 45.9

Unruhige Luft, besonders in der Mitte der Z

ZONE 359. 1851 Febr. 17. W

No.	Gr.	Fad.	Beob. Zeit.	T.	Microsc. I	Südl. Declin.
4	8	2	30' 58.0	5 31' 28.56	8 38' 2.5	20 43' 7.5
5	8.9	5	49.1	31 28.69	9 4 51.3	20 16 18.7
6	8.9	5	15.1	31 54.70	9 8 33.1	20 12 36.9
7	8	4	34.7	32 34.70	9 28 11.9	19 52 58.1
8	9	3	9.2	33 29.53	9 35 37.0	19 45 33.0
9	8	5	46.6	33 26.30	10 2 32.3	19 18 37.7
10	9	5	24.0	34 3.73	10 11 2.8	19 10 7.2
11	9	3	46.8	35 7.05	10 17 2.7	19 4 7.3
12	8.9	3	25.7	35 46.10	9 6 58.4	20 14 11.6
13	8.9	1	51.3	36 31.97	9 5 5.8	20 16 4.2
14	9	2	16.7	36 47.36	8 53 32.5	20 27 37.5
15	8	3	29.6	36 50.02	8 55 13.4	20 25 56.6
16	9	7	12.6	36 31.87	9 5 10.0	20 16 0.0
17	7	4	37 39.6	37 39.60	9 9 1.8	20 12 8.2
18	8.9	2	2.5	38 32.95	9 11 31.6	20 9 38.4
19	9	4	36.0	38 36.00	9 4 14.7	20 16 55.3
20	8.9	1	5.5	39 46.24	8 49 17.2	20 31 52.8
21	8	4	53.6	39 53.60	8 16 4.6	21 5 5.4
22	8.9	2	32.0	41 2.66	8 10 44.5	21 10 25.5
23	9	4	41 21.0	41 21.00	9 15 59.0	20 5 11.0
24	8.9	2	48.6	42 19.05	9 11 41.9	20 9 28.1
25	7.8	4	20.9	42 20.90	9 53 36.2	19 27 33.8
26	9	3	43 9.2	43 29.41	10 34 10.3	18 46 59.7
27	9	3	46.0	44 6.21	10 34 27.0	18 46 43.0
28	9	3	17.2	44 37.46	10 13 4.5	19 8 5.5
29	6.7	1	39.5	45 19.88	10 14 56.7	19 6 13.3
30	7.8	5	16.8	44 56.49	9 54 56.9	19 26 13.1
31	9	2	49.3	46 19.71	9 25 37.2	19 55 32.8
32	8.9	3	20.0	46 40.39	9 9 55.2	20 11 14.8
33	9	4	47 15.3	47 15.30	8 25 47.9	20 55 22.1
34	8	4	0.3	48 0.30	8 2 16.3	21 18 53.7
35	9	6	54.7	48 24.14	9 3 36.4	20 17 33.6
36	9	3	16.2	49 36.61	8 59 16.6	20 21 53.4
37	8	5	56.2	49 35.81	9 17 16.8	20 3 53.2
38	9	7	27.5	49 46.80	9 12 57.8	20 8 12.2
39	8	1	59.2	51 39.86	9 9 50.6	20 11 19.4
40	7.8	7	51 33.3	50 52.79	9 56 19.2	19 24 50.8
41	8.9	5	19.2	51 58.93	10 15 17.7	19 5 52.3
42	8.9	4	10.7	53 10.70	9 29 10.0	19 52 0.0
43	9	6	50.2	53 19.68	9 19 31.3	20 1 38.7
44	9	5	20.3	53 59.85	8 49 5.4	20 32 4.6
45	7.8	4	43.2	54 43.20	8 41 49.7	20 39 20.3
46	8.9	4	26.0	55 25.96	9 19 17.8	20 1 52.2
47	9	7	29.5	55 48.94	9 46 19.1	19 34 50.9
48	8.9	2	11.0	57 41.37	9 37 17.4	19 43 52.6
49	9	5	58.0	57 37.70	10 4 11.6	19 16 58.4
50	8	5	18.4	57 58.08	9 51 38.0	19 29 32.0
51	9	3	50.0	59 10.23	10 27 35.6	18 53 34.4
52	9	7	50.0	59 9.53	10 6 44.7	19 14 25.3
53	8.9	5	0 29.6	6 0 9.34	10 16 3.9	19 5 6.1
54	5	4	0 49.0	0 49.00	10 11 31.9	19 9 38.1
55	9	4	37.5	1 37.50	10 16 12.2	19 4 57.8
56	8.9	2	10.5	2 40.73	10 22 5.0	18 59 5.0
57	8.9	4	39.0	2 39.00	9 46 30.2	19 34 39.8
58	8	5	19.5	2 59.06	8 52 2.7	20 29 7.3

NC. 5 15' - 1' 59.86
 7 50 - 2 2.95
 Anf. 28 2.02 + 2.1 30.4
 Ende 2.10 + 1.2 30.0
 Microsc. I - 5''.75 u. - 8''.19
 Decl. = Microsc. I - 29° 21' 10''
 6'' $\tau + i + 24''.298$ $\Delta\tau + 0''.034$ $\Delta i - 0''.008$

*Hälftafel zur Reduction auf den mittlern
 Ort 1850 Januar 0 D = - 20°.*

T.	k	k'	d	d'
5 30' + 21.43	-5	-4	+25.1	+0.2
40 + 21.38	-5	-4	+25.3	+0.2
50 + 21.33	-4	-4	+25.5	+0.2
6 0 + 21.29	-5	-4	+25.7	+0.2
10 + 21.24		-4	+25.9	+15.2

4 Fad. 3. 8.1
 14 „ 4. 47.5
 13. 16. derselbe.
 20 Fad. 2. 15.7
 46 „ 5. 46.3
 47. Zeit unsicher beobachtet.
 52. ebenso.

No.	Gr.	Fad.	Beob. Zeit.	T.	Microsc. I	Südl. Declin.
59	8.9	4	52.9	^u 6 3' 52.90	9° 1' 18.2	20° 19' 51.8
60	9	5	7.6	3 47.18	8 58 56.1	20 22 13.9
61	9	6	25.3	3 54.67	8 59 7.5	20 22 2.5
62	9	7	2.4	4 21.60	8 49 54.1	20 31 15.9
63	9	5	22.2	5 1.76	8 52 40.6	20 28 29.4
64	8.9	2	4.7	6 35.24	8 44 7.1	20 37 2.9
65	9	3	40.2	7 0.66	8 37 21.1	20 43 48.9
66	9	6	7 17.5	6 46.79	8 25 33.8	20 55 36.2
67	9	5	7 37.2	7 16.69	8 23 29.0	20 57 41.0
68	8	4	28.0	8 28.00	8 15 18.0	21 5 52.0
69	8.9	5	57.9	8 37.36	8 6 58.5	21 14 11.5
70	9	5	35.6	9 15.07	8 14 7.4	21 7 2.6
71	8.9	3	57.4	10 17.96	8 13 41.0	21 7 29.0
72	8.9	7	32.0	9 51.18	8 45 17.4	20 35 52.6
73	6	4	24.4	11 24.32	9 25 58.9	19 55 11.1
74	8.9	2	5.3	12 35.62	9 54 57.3	19 26 12.7
75	9.0	4	12 34.0	12 34.00	9 48 9.3	19 33 0.7
76	9	6	24.6	12 54.14	9 40 26.4	19 40 43.6
77	9	7	59.2	13 18.68	9 54 55.2	19 26 14.8
78	8.9	5	21.7	14 1.40	10 1 22.2	19 19 47.8
79	9	4	0.3	15 0.30	10 22 59.8	18 58 10.2
80	9	4	13.2	15 13.20	10 22 51.9	18 58 18.1
81	8.9	5	47.5	15 27.24	10 18 54.6	19 2 15.4
82	8	2	7.0	16 37.23	10 25 13.5	18 55 56.5
83	9	4	45.0	16 45.00	10 16 23.5	19 4 46.5
84	9.0	4	1.0	17 1.00	10 16 41.5	19 4 28.5
85	8.9	4	33.0	17 33.00	10 23 3.9	18 58 6.1
86	8.9	5	22.3	18 1.96	9 42 15.3	19 38 54.7
87	8.9	5	3.5	18 43.13	9 25 58.6	19 55 11.4
88	7	4	19 34.7	19 34.70	9 15 19.5	20 5 50.5
89	8.9	4	11.5	20 11.50	9 12 46.9	20 8 23.1
90	7	4	24.4	20 24.40	9 0 50.6	20 20 19.4
91	8.9	4	48.4	20 48.40	8 59 20.6	20 21 49.4
92	8.9	5	13.1	20 52.68	9 3 44.7	20 17 25.3
93	8	4	50.4	21 50.40	9 14 26.0	20 6 44.0
94	8	5	22.8	22 2.43	9 23 37.6	19 57 32.4
95	7	3	43.9	23 4.29	9 12 42.2	20 8 27.8
96	9	4	25.7	23 25.70	8 55 39.3	20 25 30.7
97	7.8	1	53.6	24 34.35	8 49 18.1	20 31 51.9
98	9	3	28.4	24 48.83	8 50 10.6	20 30 59.4
99	8.9	4	24 43.0	24 43.00	8 42 59.7	20 38 10.3
100	9	6	19.2	24 48.58	8 50 11.1	20 30 58.9
101	9	6	49.2	25 18.58	8 49 55.5	20 31 14.5
102	7	7	27.6	25 46.69	8 25 58.0	20 55 12.0
103	6.7	5	27 1.1	26 40.61	8 32 7.4	20 49 2.6
104	8.9	6	27 20.6	26 49.90	8 27 50.1	20 53 19.9
105	9	5	28 24.3	28 3.79	8 20 1.0	21 1 9.0
106	8	6	53.2	28 22.42	8 3 19.0	21 17 51.0
107	9	3	38.3	29 58.70	9 4 52.8	20 16 17.2
108	9	5	58.3	29 37.88	9 0 46.7	20 20 23.3
109	9	4	22.4	30 22.40	8 54 21.0	20 26 49.0
110	9	5	56.5	30 36.08	8 53 2.1	20 28 7.9
111	9	4	35.3	31 35.30	9 27 21.9	19 53 48.1
112	9	2	20.6	32 50.99	9 30 43.9	19 50 26.1
113	9	4	6.1	33 6.10	10 18 21.3	19 2 48.7

Hülfsstafel zur Reduction auf den mittlere
Ort 1850 Januar 0 D = - 20°.

T.	k	k'	d	
^u 6 0+21.29	-5	-4	+25.7	+0.2 +
10+21.24	-5	-4	+25.9	+0.2 +
20+21.19	-5	-4	+26.1	+0.1 +
30+21.14	-4	-4	+26.2	+0.1 +
40+21.10		-3	+26.3	+ +

61 Fad. 7. 35.4

71 „ 4. 18.0

72. Zeit unsicher beobachtet.

73 Fad. 5. 44.6

82 „ 3. 17.0

98. 100. derselbe.

Fad.	Beob. Zeit.	T.	Microsc. I	Südl. Declin.
4	21.4	6 33 21.38	10 22 49.4	18 58 20.6
2	7.5	34 37.84	9 48 1.4	19 33 8.6
1	47.4	35 27.92	9 42 16.0	19 38 54.0
2	35 18.2	35 48.53	9 51 18.7	19 29 51.3
4	55.6	35 55.60	10 7 56.4	19 13 13.6
4	14.3	36 14.30	10 0 54.7	19 20 15.3
5	41.3	36 21.04	10 20 18.1	19 0 51.9
1	10.0	37 50.34	10 26 25.1	18 54 44.9
2	0.3	38 30.52	10 26 27.2	18 54 42.8
6	23.1	37 52.77	10 23 19.2	18 57 50.8
5	47.6	38 27.34	10 17 26.5	19 3 43.5
3	15.0	39 35.25	10 18 14.1	19 2 55.9
4	41.6	39 41.60	10 24 7.9	18 57 2.1
2	5.6	40 35.84	10 20 12.6	19 0 57.4
1	30.4	41 10.74	10 22 14.2	18 58 55.8
3	55.3	41 15.54	10 22 27.1	18 58 42.9
7	16.5	40 36.09	10 20 11.0	19 0 59.0
5	4.5	41 44.19	9 56 1.9	19 25 8.1
3	42 29.6	42 49.87	10 7 35.0	19 13 35.0
5	43 16.4	42 56.13	10 14 54.1	19 6 15.9
6	48.0	43 17.63	10 11 20.0	19 9 50.0
2	44 32.3	45 2.50	10 15 26.0	19 5 44.0
1	32.9	46 13.22	10 31 13.5	18 49 56.5
2	54.5	46 24.71	10 29 29.6	18 51 40.4
3	6.6	46 26.70	10 35 23.0	18 45 47.0
7	54.6	46 14.15	10 11 48.1	19 9 21.9
7	10.2	46 29.74	10 8 24.8	19 12 45.2
5	49.9	47 29.61	10 3 48.0	19 17 22.0
6	19.0	47 48.65	10 15 48.2	19 5 21.8
7	47.0	48 6.50	9 58 21.3	19 22 48.7
5	49 20.7	49 0.41	9 46 25.8	19 34 44.2
4	6.0	50 6.00	9 49 32.6	19 31 37.4
6	32.5	50 1.99	9 24 23.9	19 56 46.1
3	57.0	51 17.35	9 25 58.5	19 55 11.5
3	16.9	51 37.25	9 26 58.9	19 54 11.1
4	55.2	51 55.20	9 27 25.2	19 53 44.8
5	21.7	52 1.33	9 25 54.5	19 55 15.5
1	36.6	53 17.25	9 23 31.6	19 57 38.4
5	7.7	52 47.34	9 30 8.5	19 51 1.5
4	28.6	53 28.60	9 31 10.1	19 49 59.9
6	53.0	53 22.55	9 44 57.3	19 36 12.7
6	15.0	53 44.62	9 38 5.1	19 43 4.9
2	24.0	55 54.38	9 26 48.1	19 54 21.9
4	59.4	55 59.40	9 14 10.2	20 6 59.8
2	24.0	56 54.53	9 8 37.9	20 12 32.1
7	12.5	56 31.72	8 53 52.0	20 27 18.0
7	57 46.0	57 5.21	8 52 0.0	20 29 10.0
4	17.6	58 17.60	8 50 59.6	20 30 10.4
6	35.5	58 4.86	8 44 20.6	20 36 49.4
4	52.4	58 52.40	8 46 44.3	20 34 25.7
4	30.2	59 30.20	8 33 37.3	20 47 32.7
5	0 13.5	59 52.96	8 9 4.5	21 12 5.5
7	0 39.2	59 58.20	8 6 52.2	21 14 17.8
4	20.7	7 1 20.70	8 14 15.8	21 6 54.2
6	55.6	1 24.87	8 19 20.0	21 1 50.0

Hälftafel zur Reduction auf den mittlern Ort 1850 Januar 0 D = - 20°.

T.	k	k'	d	d'
6 30 + 21.14	-4	-4	+26.2	+0.1
40 + 21.10	-5	-3	+26.3	+0.1
50 + 21.05	-4	-3	+26.4	+0.1
7 0 + 21.01	-4	-3	+26.5	+0.1
10 + 20.97		-3	+26.6	+15.3

114 Fad. 5. 41.6

128 „ 2. 40.5

127. 130. derselbe.

135 Fad. 3. 42.2

138 „ 4. 26.6

144 „ 6. 30.9

151 „ 2. 46.9

155 „ 7. 25.3

156 „ 3. 34.0

158 „ 3. 34.2

162. Die Declination dieses Sterns ist richtig und die von LL. N°. 13774 um 10' falsch, wie eine Beobachtung 1851 März 12. zeigt.

No.	Gr.	Fad.	Beob. Zeit.	T.	Microsc. I	Südl. Declin.
169	8.9	4	30.9	7 2 30.90	8 44 18.9	20 36 51.1
170	8.9	4	56.4	2 56.40	8 55 57.2	20 25 12.8
171	8.9	4	5.1	3 5.10	8 54 1.1	20 27 8.9
172	7	4	48.6	3 48.60	9 18 45.5	20 2 24.5
173	9	4	12.7	4 12.70	9 18 7.2	20 3 2.8
174	8.9	6	38.4	4 7.91	9 29 38.0	19 51 32.0
175	9	6	2.4	4 31.89	9 24 33.1	19 56 36.9
176	9	6	12.6	4 42.08	9 22 36.9	19 58 33.1
177	8.9	6	35.7	5 5.19	9 24 34.0	19 56 36.0
178	9	3	5.2	6 25.56	9 21 53.0	19 59 17.0
179	9	2	24.4	6 54.78	9 34 54.4	19 46 15.6
180	9	3	46.6	7 6.93	9 33 38.7	19 47 31.3
181	7	2	8.8	7 39.25	9 36 34.8	19 44 35.2
182	8.9	4	52.8	7 52.80	9 37 33.6	19 43 36.4
183	8.9	4	7.6	8 7.60	9 36 26.0	19 44 44.0
184	7.8	3	22.0	8 42.54	9 28 34.0	19 52 36.0
185	9	2	53.4	9 23.85	9 12 5.4	20 9 4.6
186	8.9	5	27.2	9 6.78	9 2 2.2	20 19 7.8
187	9	5	13.4	9 52.93	8 39 20.1	20 41 49.9
188	8	3	30.6	10 51.05	8 43 29.1	20 37 40.9
189	8	2	0.0	11 30.54	8 43 56.0	20 37 14.0
190	9	4	26.4	11 26.40	8 31 11.0	20 49 59.0
191	9	5	50.6	11 30.10	8 26 26.5	20 54 43.5
192	8	4	19.5	12 19.50	8 2 37.9	21 18 32.1
193	9	5	42.3	12 21.75	8 9 43.7	21 11 26.3
194	9	5	19.5	12 58.97	8 11 57.0	21 9 13.0
195	8	3	44.6	14 5.14	8 3 5.5	21 18 4.5
196	8.9	6	17.0	13 46.29	8 23 42.0	20 57 28.0
197	7	7	43.7	14 2.94	8 58 29.3	20 22 40.7
198	8.9	7	4.2	14 23.41	8 51 18.7	20 29 51.3
199	8.9	4	58.6	15 58.60	8 52 28.3	20 28 41.7
200	8.9	4	20.5	16 20.50	8 50 6.0	20 31 4.0
201	8.9	4	35.3	16 35.30	8 56 44.3	20 24 25.7
202	7	4	2.7	17 2.70	8 55 30.7	20 25 39.3
203	9	2	21.2	17 51.71	8 55 31.4	20 25 38.6
204	9	4	49.7	17 49.70	8 50 50.3	20 30 19.7
205	8	5	32.8	18 12.30	8 28 47.0	20 52 23.0
206	7	5	38.4	18 17.90	8 27 57.1	20 53 12.9
207	8.9	7	3.0	18 22.14	8 36 54.1	20 44 15.9
208	7.8	5	17.4	18 56.93	8 41 1.3	20 40 8.7
209	7	5	43.2	19 22.74	8 44 16.5	20 36 53.5
210	9	4	8.3	20 8.30	8 44 35.0	20 36 35.0
211	9	4	36.3	20 36.30	8 51 54.0	20 29 16.0
212	8.9	6	17.4	20 46.91	9 29 47.9	19 51 22.1
213	8	7	36.0	20 55.36	9 26 15.9	19 54 54.1
214	8	7	38.0	20 57.36	9 27 48.1	19 53 21.9
215	8.9	5	25.0	22 4.64	9 29 17.9	19 51 52.1
216	9	5	55.8	22 35.42	9 20 32.9	20 0 37.1
217	8.9	7	23 21.7	22 41.24	10 7 33.3	19 13 36.7
218	7	7	23 46.4	23 5.94	10 7 32.5	19 13 37.5
219	7.8	3	13.4	24 33.66	10 8 44.6	19 12 25.4
220	9	2	30.4	25 0.72	10 8 52.9	19 12 17.1
221	8	3	14.4	25 34.62	10 29 8.5	18 52 1.5
222	9	5	57.4	25 37.16	10 26 57.0	18 54 13.0
223	6	5	42.5	26 22.23	10 15 13.4	19 5 56.6

Hülftafel zur Reduction auf den mittleren Ort 1850 Januar 0 D = - 20°.

T.	k	k'	d	
7 0+21.01	-4	-3	+26.5	+0.1 +
10+20.97	-4	-3	+26.6	0.0 +
20+20.93	-4	-3	+26.6	-0.1 +
30+20.89		-3	+26.5	

181 Fad. 3. 19.0

193 „ 6. 52.5

198. Zeit unsicher beobachtet.

211. dupl. IV. Cl.

220 Fad. 3. 40.5

N ^o .	Gr.	Fad.	Beob. Zeit.	T.	Microsc. I	Südl. Declin.
224	9	6	6.7	7 26' 36.40	10 35' 3.1	18 46' 6.9
225	8.9	3	42.9	28 3.18	9 59 34.1	19 21 35.9
226	9	4	11.5	28 11.50	9 56 26.5	19 24 43.5
227	8.9	3	32.7	28 52.98	9 53 21.6	19 27 48.4
228	9	6	59.0	28 28.57	9 50 50.0	19 30 20.0
229	8.9	4	29.7	29 29.70	9 48 37.4	19 32 32.6
230	6.7	4	44.6	29 44.60	9 58 22.0	19 22 48.0
231	9	5	30 30.4	30 10.06	9 41 14.4	19 39 55.6
1	8	5	2 2.1	6 1 40.90	3 57 53.2	25 24 26.8
2	8.9	2	32.5	3 4.11	4 6 35.4	25 15 44.6
3	7	4	25.0	3 25.00	2 41 34.4	26 40 45.6
4	7	3	53.0	4 14.50	2 14 54.3	27 7 25.7
5	7	3	29.0	4 50.37	2 54 59.0	26 27 21.0
6	9	2	4.5	5 36.23	3 40 41.1	25 41 38.9
7	8.9	4	39.2	5 39.20	4 8 29.5	25 13 50.5
8	7.8	4	48.9	5 48.90	4 9 1.9	25 13 18.1
9	9	5	29.5	6 8.33	4 7 47.0	25 14 33.0
10	9	6	5.7	6 33.80	3 24 41.6	25 57 38.4
11	9	5	40.6	7 19.33	3 33 32.6	25 48 47.4
12	9	4	5.0	8 5.00	3 43 25.7	25 38 54.3
13	9	4	26.1	8 26.10	3 31 56.5	25 50 23.5
14	9	7	55.2	8 12.63	3 12 25.5	26 9 54.5
15	9	3	23.5	9 44.86	2 57 55.5	26 24 24.5
16	9	4	9 52.0	9 52.00	2 50 7.8	26 32 12.2
17	7.8	2	20.6	10 52.65	2 29 21.5	26 52 58.5
18	9	2	18.9	11 51.04	2 11 26.8	27 10 53.2
19	8	7	35.5	10 52.66	2 29 13.1	26 53 6.9
20	9	4	0.3	12 0.30	2 21 48.5	27 0 31.5
21	9	3	30.0	12 51.50	2 15 0.0	27 7 20.0
22	7.8	3	57.2	13 18.66	2 27 2.6	26 55 17.4
23	8.9	5	41.1	13 19.91	4 1 7.0	25 21 13.0
24	8.9	4	4.1	14 4.10	4 21 9.6	25 1 10.4
25	8.9	2	40.0	15 11.62	4 4 50.8	25 17 29.2
26	9	6	6.7	14 34.90	3 48 2.9	25 34 17.1
27	8.9	7	33.6	14 50.93	2 56 40.1	26 25 39.9
28	8	5	55.3	15 33.94	3 4 0.4	26 18 19.6
29	8	5	12.7	15 51.34	3 9 40.2	26 12 39.8
30	9	5	49.5	16 28.15	3 7 22.0	26 14 58.0
31	7.8	4	1.5	17 1.50	3 3 48.5	26 18 31.5
32	7.8	3	27.6	17 48.96	3 0 3.3	26 22 16.7
33	9	2	18 25.9	18 57.94	2 33 21.7	26 48 58.3
34	8.9	5	15.6	18 54.28	3 18 9.7	26 4 10.3
35	8.9	7	38.0	18 55.52	3 27 23.3	25 54 56.7
36	8	4	20 7.5	20 7.50	3 20 52.6	26 1 27.4
37	9	2	34.3	21 6.10	3 22 41.6	25 59 38.4
38	7	5	7.8	20 46.54	3 36 18.2	25 46 1.8
39	8.9	6	28.8	20 56.98	3 42 51.5	25 39 28.5
40	9	7	58.1	21 15.67	3 36 32.2	25 45 47.8
41	8.9	2	10.2	22 41.99	3 34 29.2	25 47 50.8
42	8.9	3	18.5	23 39.75	3 34 48.6	25 47 31.4
43	8.9	4	41.7	23 40.70	3 34 28.5	25 47 51.5
44	9	5	6.5	23 44.22	3 30 19.2	25 52 0.8
45	9	4	28.0	24 27.00	4 1 59.2	25 20 20.8
46	9	2	25 42.4	26 14.37	2 55 21.9	26 26 58.1
47	9	4	45.4	26 45.40	3 2 56.2	26 19 23.8

D = - 20°.

T.	k	k'	d	d'
7	20+20.93	-4	-3	+26.6
30	+20.89	-3	-3	+26.5
				-0.1
				+15.3
				+15.4

Die Luft, Anfangs gut, ward nach wenigen Minuten unruhig, und blieb so bis gegen 7^u; dann wieder besser.

ZONE 360. 1851 Febr. 18. West.

NC. 5 40' - 2' 0.22
 8 22 - 2 3.76
 Anf. 28 1.67 + 3.2 35.0
 Ende 1.53 + 3.0 36.3
 Microsc. I - 6".45 u. - 7".20
 Decl. = Microsc. I - 29° 22' 20"
 7^u $\tau+i$ + 25".173 $\Delta\tau+0".030$ $\Delta i-0".009$

Halftafel zur Reduction auf den mittlern Ort 1850 Januar 0 D = - 26°.

T.	k	k'	d	d'
6	0+22.26	-5	-4	+21.8
10	+22.21	-6	-4	+22.2
20	+22.15	-5	-4	+22.5
30	+22.10	-4	-4	+22.8
				+0.4
				+0.3
				+0.3
				+30.4
				+30.4

17 Fad. 3. 31.2
 17. 19. offenbar derselbe Stern, obgleich die grosse Differenz in der Declination selbst bei der unruhigen Luft höchst auffallend ist.
 29 Fad. 6. 23.3
 37 " 3. 44.8
 41 " 3. 21.0 Fad. 5. 3.3; Fad. 3, der 42.25 giebt, ist ausgeschlossen.
 46 Fad. 4. 14.4 Bei Faden 2 ward ein Fehler von +1" entdeckt und verbessert, der nach dem Zeugniß von Beobachtungen 1852 März 8. zwischen N^o. 42 und 43 entstanden ist, weshalb die T der Sterne 43 bis 45 um - 1" corrigirt sind.

Nº.	Gr.	Fad.	Beob. Zeit.	T.	Microsc. I	Südl. Declin.
48	7.8	4	15.0	6 27' 15.00	3 8' 53.4	26 13' 26.6
49	9	4	44.5	27 44.50	2 38 36.5	26 43 43.5
50	8	4	28 46.0	28 46.00	3 38 28.4	25 43 51.6
51	8	4	11.4	29 11.40	3 26 33.3	25 55 46.7
52	8	3	29.5	29 50.79	3 21 46.5	26 0 33.5
53	8.9	3	58.7	30 19.81	3 45 18.8	25 37 1.2
54	8.9	3	39.2	31 0.32	4 19 51.9	25 2 28.1
55	8.9	4	10.8	31 10.80	4 43 36.4	24 38 43.6
56	8.9	3	39.5	32 0.58	4 34 18.1	24 48 1.9
57	8.9	4	7.3	32 5.30	4 31 23.2	24 50 56.8
58	9	4	36.2	32 34.20	4 34 13.9	24 48 6.1
59	9	4	14.7	33 12.70	4 36 55.2	24 45 24.8
60	8.9	3	25.5	33 44.58	4 36 55.0	24 45 25.0
61	8.9	2	47.3	34 16.78	4 37 19.0	24 45 1.0
62	9	3	14.1	34 33.17	4 41 7.3	24 41 12.7
63	9	5	47.7	34 24.58	4 23 52.9	24 58 27.1
64	8	1	17.6	35 57.89	3 49 10.9	25 33 9.1
65	9	2	51.7	36 21.37	3 52 12.2	25 30 7.8
66	9	5	36 13.2	35 51.93	3 31 26.0	25 50 54.0
67	8	5	6.5	36 45.20	3 23 4.0	25 59 16.0
68	8.9	5	27.2	37 5.89	3 21 23.0	26 0 57.0
69	8	6	54.5	37 22.69	3 44 23.6	25 37 56.4
70	8	3	24.7	38 45.90	3 52 35.3	25 29 44.7
71	9	5	59.3	38 38.05	3 40 49.5	25 41 30.5
72	8.9	6	39 30.0	38 58.09	3 21 50.1	26 0 29.9
73	9	5	20.4	39 59.12	3 31 26.9	25 50 53.1
74	9	4	36.6	40 36.60	3 29 21.0	25 52 59.0
75	8.9	3	41 12.1	41 33.46	2 59 44.3	26 22 35.7
76	8	3	51.6	42 13.16	2 9 23.4	27 12 56.6
77	9	4	27.5	42 27.50	2 10 18.6	27 12 1.4
78	7.8	1	1.4	43 44.29	2 12 30.1	27 9 49.9
79	9	2	26.5	43 58.62	2 14 0.5	27 8 19.5
80	8.9	3	48.0	44 9.47	2 24 57.0	26 57 23.0
81	8	1	44 5.5	44 48.36	2 17 7.6	27 5 12.4
82	9	4	40.7	44 40.70	2 29 34.6	26 52 45.4
83	9	4	17.6	45 17.60	2 22 3.9	27 0 16.1
84	7.8	5	33.1	45 11.73	3 0 29.5	26 21 50.5
85	7.8	6	56.2	45 24.18	2 57 42.9	26 24 37.1
86	7.8	5	35.3	46 14.00	3 25 42.8	25 56 37.2
87	9	1	0.5	47 42.91	3 28 38.1	25 53 41.9
88	9	1	19.5	48 1.90	3 29 52.1	25 52 27.9
89	9	5	51.0	47 29.76	3 42 27.0	25 39 53.0
90	7.8	1	48 40.3	49 22.52	4 2 2.5	25 20 17.5
91	7.8	1	22.8	50 5.15	3 38 53.9	25 43 26.1
92	8.9	7	49.7	49 6.83	2 25 22.9	26 56 57.1
93	8.9	7	8.9	49 26.03	2 25 47.2	26 56 32.8
94	8.9	3	40.6	51 2.08	2 22 46.6	26 59 33.4
95	9	4	8.6	51 8.60	2 26 9.0	26 56 11.0
96	6.7	3	22.6	51 44.07	2 24 23.1	26 57 56.9
97	9	4	1.3	52 1.30	2 24 57.7	26 57 22.3
98	7.8	5	32.1	52 10.70	2 51 15.1	26 31 4.9
99	9	6	52 54.0	52 21.87	2 42 3.0	26 40 17.0
100	8	3	53 34.5	53 55.85	3 1 39.6	26 20 40.4
101	9	6	6.3	53 34.32	3 6 44.9	26 15 35.1
102	9	5	43.4	54 22.04	3 3 7.2	26 19 12.8

Hülftafel zur Reduction auf den mittl. Ort 1850 Januar 0 D = -26°.

T.	k	k'	d
u			
6 20+22.15	-5	-4	+22.5 +0.3
30+22.10	-5	-4	+22.8 +0.3
40+22.05	-5	-3	+23.1 +0.2
50+22.00	-5	-3	+23.3 +0.2
7 0+21.95		-3	+23.5

53 Fad. 4. 19.7

57. Ein Fehler von + 2" in der Zeit, d. N°. 66 entdeckt und verbessert ward, der Beobachtung dieses Sterns gemacht den, wie die Zonen 280 und 287 zeigen, denen die Sterne 57, 58, 60, 61, 62, 65 gleichfalls vorkommen; es sind daher T der Sterne 57 bis 65 um - 2" cc worden. Die früheren Sterne sind nach Zeugniß der genannten Zonen noch richtig.

76 Fad. 4. 13.2

99 " 7. 4.6

Gr.	Fad.	Beob. Zeit.	T.	Microsc. I	Südl. Declin.
8	2	0.3	6 55' 32.19	3 4' 33.6	26 17' 46.4
9	3	15.7	55 37.06	3 0 42.6	26 21 37.4
7	5	52.6	55 31.21	2 53 11.5	26 29 8.5
9	3	31.7	56 52.97	3 28 18.5	25 54 1.3
9	6	51.5	56 19.73	3 20 14.8	26 2 5.2
8	5	38.2	57 17.00	3 55 44.2	25 26 35.8
9	5	57 55.1	57 33.89	3 54 14.1	25 28 5.9
9	4	46.1	58 46.10	3 47 23.2	25 34 56.8
8.9	6	5.5	58 34.02	4 28 57.7	24 53 22.3
8.9	5	34.0	59 12.90	4 34 40.0	24 47 40.0
6	2	47.6	7 0 19.08	4 37 45.4	24 44 34.6
8.9	6	27.5	6 59 55.79	4 7 9.6	25 15 10.4
8	4	48.3	7 0 48.30	4 10 48.5	25 11 31.5
8	5	18.1	0 56.91	3 59 25.9	25 22 54.1
8	6	1 45.6	1 13.94	4 18 35.1	25 3 44.9
8.9	3	15.0	2 36.11	4 24 34.3	24 57 45.7
8.9	1	30.3	3 12.39	4 23 35.1	24 58 44.9
6	3	2 49.3	3 10.41	4 22 11.6	25 0 8.4
8.9	5	32.4	3 11.23	4 5 17.3	25 17 2.7
8.9	2	50.5	4 22.09	4 11 4.1	25 11 15.9
9	5	23.9	4 2.76	4 16 50.2	25 5 29.8
8.9	3	47.5	5 8.64	4 2 51.6	25 19 28.4
7.8	7	11.2	4 28.80	3 41 1.2	25 41 18.8
8	7	28.0	4 45.61	3 42 3.7	25 40 16.3
8.9	7	46.3	5 3.95	3 50 17.4	25 32 2.6
6	7	6 24.3	5 41.89	3 40 7.2	25 42 12.8
8	2	59.6	7 31.37	3 30 33.8	25 51 46.2
9	4	28.3	7 28.30	3 10 33.0	26 11 47.0
5	4	46.6	7 46.60	3 16 7.9	26 6 12.1
5	4	8 21.6	8 21.60	2 51 11.8	26 31 8.2
9	4	11.3	9 11.30	2 46 21.9	26 35 58.1
8	3	17.6	9 38.99	2 48 28.0	26 33 52.0
8.9	7	53.3	9 10.35	2 12 32.2	27 9 47.8
8	7	10 11.5	9 28.54	2 11 13.4	27 11 6.6
9	6	48.3	10 16.10	2 20 17.6	27 2 2.4
7	5	42.0	11 20.60	2 50 17.6	26 32 2.4
9	7	55.2	11 12.54	2 57 40.5	26 24 39.5
6.7	4	22.7	12 22.70	3 3 10.0	26 19 10.0
9	4	54.5	12 54.50	3 7 6.2	26 15 13.8
8.9	4	11.3	13 11.30	3 4 11.5	26 18 8.5
7	2	32.6	14 4.52	2 56 37.2	26 25 42.8
8.9	3	11.5	14 32.76	3 31 44.2	25 50 35.8
9	7	48.6	14 6.25	3 51 25.6	25 30 54.4
6.7	6	4.7	14 32.85	3 45 6.1	25 37 13.9
9	5	31.3	15 10.06	3 44 33.4	25 37 46.6
7	4	16 11.9	16 11.90	3 38 16.5	25 44 3.5
6.7	4	16 25.8	16 25.80	3 52 52.0	25 29 28.0
8.9	3	6.5	17 27.67	4 0 35.9	25 21 44.1
8.9	4	22.7	17 22.70	4 7 21.6	25 14 58.4
8.9	4	43.5	17 43.50	4 6 1.0	25 16 19.0
9	5	13.5	17 52.29	3 54 38.0	25 27 42.0
7	4	50.5	18 50.50	4 26 10.1	24 56 9.9
9	4	26.3	19 26.30	4 34 34.9	24 47 45.1
8.9	7	50.5	19 7.99	3 22 56.8	25 59 23.2
8.9	7	22.4	19 39.90	3 25 31.0	25 56 49.0

*Hülftafel zur Reduction auf den mittlern
Ort 1850 Januar 0 D = -26°.*

T.	k	k'	d	d'
6 50' +22.00	-5	-3	+23.3	+0.2
7 0' +21.95	-5	-3	+23.5	+0.2
10' +21.90	-5	-3	+23.7	+0.2
20' +21.85	-5	-3	+23.9	+0.2

107	Fad.	7.	2.4
111	"	7.	16.3
113	"	3.	58.0
146	"	7.	15.2

Nº.	Gr.	Fad.	Beob. Zeit.	T.	Microsc. I	Südl. Declin.
158	8.9	2	39.0	7 21' 10.74	3° 25' 51.6	25° 56' 28.4
159	8.9	2	10.4	21 42.25	3 13 51.1	26 8 28.9
160	9	2	34.4	22 6.26	3 11 8.1	26 11 11.9
161	7	5	54.4	21 33.00	2 49 54.6	26 32 25.4
162	9	4	34.4	22 34.40	2 41 16.6	26 41 3.4
163	9	4	19.5	23 19.50	3 36 11.2	25 46 8.8
164	9	5	39.5	23 18.22	3 31 57.3	25 50 22.7
165	8.9	1	24 25.0	25 7.53	3 9 57.7	26 12 22.3
166	8	2	51.4	25 22.97	4 16 0.0	25 6 20.0
167	8.9	4	31.2	25 31.20	4 31 8.2	24 51 11.8
168	8.9	5	26 21.2	25 59.93	3 33 20.2	25 48 59.8
169	9	5	58.2	26 36.90	3 24 17.6	25 58 2.4
170	9	6	20.5	26 48.57	3 18 2.0	26 4 18.0
171	9	7	36.6	26 54.03	3 12 39.1	26 9 40.9
172	9	5	3.4	27 42.07	3 13 51.0	26 8 29.0
173	7	3	28 41.5	29 2.85	3 3 55.1	26 18 24.9
174	9	7	9.0	28 26.15	2 27 51.0	26 54 29.0
175	8.9	6	39.4	29 7.32	2 22 55.9	26 59 24.1
176	8	6	13.3	29 41.06	2 11 54.4	27 10 25.6
177	7.8	4	36.8	30 36.80	2 16 56.1	27 5 23.9
178	8.9	7	2.7	30 19.83	2 24 34.8	26 57 45.2
179	8.9	4	16.9	31 16.90	2 25 21.4	26 56 58.6
180	8.9	4	24.7	31 24.76	2 28 3.2	26 54 16.8
181	8.9	5	10.4	31 48.95	2 33 17.2	26 49 2.8
182	6	6	51.1	32 19.06	2 54 8.9	26 28 11.1
183	6	7	1.3	32 18.62	2 54 17.6	26 28 2.4
184	7.8	5	17.5	32 56.10	2 50 47.9	26 31 32.1
185	7.8	7	42.0	32 59.27	2 47 26.6	26 34 53.4
186	9	3	21.1	34 42.51	2 43 21.5	26 38 58.5
187	9	5	53.6	34 32.14	2 31 52.4	26 50 27.6
188	8	4	10.3	35 10.30	2 29 10.3	26 53 9.7
189	8	3	27.7	35 49.15	2 32 11.6	26 50 8.4
190	9	1	35 51.7	36 34.45	2 34 15.5	26 48 4.5
191	8.9	1	19.3	37 2.06	2 32 43.1	26 49 36.9
192	8.9	2	37.0	37 9.05	2 29 27.0	26 52 53.0
193	9	2	0.3	37 32.36	2 28 0.1	26 54 19.9
194	8.9	4	41.7	37 41.70	3 1 55.6	26 20 24.4
195	8.9	4	4.5	38 4.50	2 57 37.5	26 24 42.5
196	9	5	30.0	38 8.58	3 5 54.5	26 16 25.5
197	8	3	3.7	39 25.10	2 45 0.0	26 37 20.0
198	9	6	39 37.5	39 5.47	2 55 16.0	26 27 4.0
199	9	6	55.5	39 23.48	2 57 16.2	26 25 3.8
200	8.9	7	20.6	39 37.90	2 51 1.3	26 31 18.7
201	8.9	5	1.3	40 39.96	3 9 32.0	26 12 48.0
202	9	5	20.3	40 58.94	3 3 11.4	26 19 8.6
203	8.9	2	40.7	42 12.58	3 7 12.3	26 15 7.7
204	8.9	3	5.1	42 26.42	3 11 40.1	26 10 39.9
205	9	4	45.0	42 45.00	3 9 2.2	26 13 17.8
206	8.9	4	57.6	42 57.60	3 9 42.0	26 12 38.0
207	8.9	3	23.0	43 44.32	3 10 53.1	26 11 26.9
208	8.9	4	44 13.0	44 13.00	3 39 11.3	25 43 8.7
209	8.9	5	37.4	44 16.14	3 35 46.0	25 46 34.0
210	9	4	9.2	45 9.20	3 55 37.8	25 26 42.2
211	9	4	43.9	45 43.90	3 48 35.6	25 33 44.4
212	7	4	19.5	46 19.50	4 2 13.0	25 20 7.0

Hülftafel zur Reduction auf den mittlere Ort 1850 Januar 0 $D = -26^\circ$.

T.	k	k'	d
7 20 + 21.85	-5	-3	+23.9 + 0.1 +
30 + 21.80	-4	-3	+24.0 + 0.1 +
40 + 21.76	-4	-3	+24.1 + 0.1 +
50 + 21.72		-2	+24.2 +

158 Fad. 3. 49.4

174. Zeit unsicher beobachtet.

175 Fad. 7. 50.3

180 „ 5. 46.3

182, 183. duplex IV. Cl.

196 Fad. 6. 40.5

Fr.	Fad.	Beob. Zeit.	T.	Microsc. I	Südl. Declin.
9	4	33.6	7 46' 33.60	4 2' 39.9	25 19' 40.1
9	7	4.7	46 22.50	4 14 45.9	25 7 34.1
9	5	29.5	47 8.37	4 20 44.4	25 1 35.6
9	4	2.4	48 2.40	4 38 36.9	24 43 43.1
3	2	30.0	49 1.52	4 28 19.2	24 54 0.8
9	1	52.3	49 34.39	4 23 49.8	24 58 30.2
3	1	16.0	49 58.11	4 20 38.0	25 1 42.0
9	2	32.5	50 4.04	4 21 5.2	25 1 14.8
9	4	10.2	50 10.20	4 9 52.1	25 12 27.9
9	1	39.1	51 21.28	4 8 47.6	25 13 32.4
9	5	18.0	50 56.78	3 49 9.1	25 33 10.9
9	6	36.3	51 4.35	3 34 41.9	25 47 38.1
9	7	7.5	51 24.99	3 22 41.8	25 59 38.2
9	5	58.7	52 37.27	2 40 40.9	26 41 39.1
3	5	22.4	53 0.95	2 34 22.4	26 47 57.6
3	5	36.1	53 14.63	2 29 36.0	26 52 44.0
3	3	58.5	54 19.94	2 33 14.0	26 49 6.0
3	4	42.9	54 42.90	2 43 10.1	26 39 9.9
7	3	55 1.7	55 23.14	2 34 9.7	26 48 10.3
9	4	30.0	55 30.00	2 31 58.0	26 50 22.0
3	1	58.5	56 41.27	2 31 0.7	26 51 19.3
9	3	33.4	56 54.86	2 27 35.5	26 54 44.5
9	3	53.4	57 14.68	2 28 34.5	26 53 45.5
9	2	58.3	58 30.45	2 8 30.9	27 13 49.1
9	3	35.2	58 56.71	2 11 50.5	27 10 29.5
9	4	6.2	59 6.20	2 21 14.0	27 1 6.0
9	7	30.2	58 47.35	2 27 43.6	26 54 36.4
7	3	55.0	8 0 16.41	2 41 7.3	26 41 12.7
9	4	0 26.3	0 26.30	2 53 30.9	26 28 49.1
9	5	2.7	0 41.40	3 24 38.8	25 57 41.2
9	5	25.3	1 4.00	3 25 16.2	25 57 3.8
3	5	49.6	1 28.40	3 58 30.4	25 23 49.6
9	6	16.3	1 44.51	3 48 17.6	25 34 2.4
3	2	39.5	3 11.15	3 57 9.7	25 25 10.3
3	6	3 35.6	3 3.50	2 40 28.8	26 41 51.2
9	5	30 39.2	9 30 17.54	1 31 49.5	27 51 10.5
9	6	3.8	30 31.33	1 25 29.2	27 57 30.8
8	2	32 8.5	32 40.94	0 11 30.0	29 11 30.0
3	4	51.3	32 51.30	1 8 35.6	28 14 24.4
9	2	22.4	33 54.83	1 12 37.0	28 10 23.0
9	6	34 34.4	34 2.16	2 11 56.5	27 11 3.5
9	6	23.0	34 50.75	2 9 42.2	27 13 17.8
9	6	55.4	35 23.28	2 36 36.4	26 46 23.6
9	4	30.5	36 30.50	2 26 49.4	26 56 10.6
3	3	57.6	37 19.03	2 36 32.0	26 46 28.0
5	5	31.4	37 9.88	2 17 10.0	27 5 50.0
8	4	37 44.3	37 44.30	2 25 41.7	26 57 18.3
9	4	26.6	38 26.60	1 39 29.1	27 43 30.9
9	5	30.7	39 9.03	1 29 45.9	27 53 14.1
9	5	14.7	39 52.95	1 5 43.6	28 17 16.4
9	3	28.5	40 50.23	1 6 52.2	28 16 7.8
9	6	9.0	40 36.21	0 23 17.7	28 59 42.3
3	5	57.1	41 35.07	9 45 48.1	29 37 11.9
3	2	31.6	43 4.35	0 10 53.5	29 12 6.5
9	5	7.9	42 46.14	1 2 34.1	28 20 25.9

Hülftafel zur Reduction auf den mittlern Ort 1850 Januar 0 D = - 26°.

T.	k	k'	d	d'
u				
7 40' + 21.76	-4	-3	+24.1	+0.1
50 + 21.72	-5	-2	+24.2	0.0
8 0 + 21.67	-4	-2	+24.2	0.0
10 + 21.63		-2	+24.2	+30.5

224 Fad. 7. 46.7

235 „ 4. 14.5, Fad. 3 giebt 14.86

Unruhige, zuweilen sehr unruhige Luft.

ZONE 361. 1851 Febr. 18. West.

NC. 9 23' - 2 2.07
 10 51 - 2 2.05
 Anf. 28 1.58 + 3.0 35.7
 Ende 1.51 + 2.7 35.5
 Dazwischen ist das Thermometer 0° 3 niedriger gewesen.
 Microsc. I - 7.39 u. - 6.76
 Decl. = Microsc. I - 29° 23' 0''
 10^u r + i + 25.274 Δr + 0.029 Δi - 0.010

Hülftafel zur Reduction auf den mittlern Ort 1850 Januar 0 D = - 28°.

T.	k	k'	d	d'
u				
9 30' + 21.38	-3	-1	+25.3	-1.4
40 + 21.35	-2	0	+23.9	-1.3

17 Fad. 7. 19.9

No.	Gr.	Fad.	Beob. Zeit.	T.	Microsc. I	Südl. Declin.
21	7.8	6	33.2	9 43' 0.66	1 11' 33.7	28 11' 26.3
22	8.9	1	20.2	45 3.57	1 0 39.8	28 22 20.2
23	9	2	9.0	45 41.74	0 13 32.6	29 9 27.4
24	8	7	47.6	45 3.67	1 0 38.5	28 22 21.5
25	9	4	29.0	46 29.00	1 19 19.8	28 3 40.2
26	8.9	3	46 58.8	47 20.50	1 15 30.7	28 7 29.3
27	8.9	5	38.5	48 16.85	1 35 2.6	27 47 57.4
28	7.8	4	7.0	48 7.00	1 32 52.2	27 50 7.8
29	9	2	26.5	48 58.72	1 35 1.7	27 47 58.3
30	8.9	1	6.0	49 49.15	1 32 50.7	27 50 9.3
31	9	2	37.0	50 9.18	2 3 28.1	27 19 31.9
32	9	2	5.0	50 37.17	2 4 11.8	27 18 48.2
33	7.8	6	45.9	50 13.83	2 46 39.0	26 36 21.0
34	7.8	7	50 59.0	50 16.30	2 52 37.5	26 30 22.5
35	7.8	5	52 0.6	51 38.79	0 47 31.2	28 35 28.8
36	9	2	52.0	53 24.69	0 22 6.8	29 0 53.2
37	9	3	35.0	53 56.69	1 18 36.6	28 4 23.4
38	8	2	12.2	54 44.70	1 25 11.7	27 57 48.3
39	8.9	3	24.0	54 45.70	1 25 33.4	27 57 26.6
40	9	3	55 36.0	55 57.66	1 26 7.9	27 56 52.1
41	8	2	15.4	56 47.72	1 36 0.0	27 47 0.0
42	9	4	48.5	56 48.50	1 40 23.6	27 42 36.4
43	7	4	9.2	57 9.20	1 43 23.5	27 39 36.5
44	7	4	39.6	57 39.60	1 54 39.2	27 28 20.8
45	7	4	58 2.5	58 2.50	1 54 13.1	27 28 46.9
46	9	4	58.4	58 58.40	2 6 32.0	27 16 28.0
47	9	5	37.3	59 15.73	1 57 28.4	27 25 31.6
48	8.9	5	23.3	10 0 1.70	1 47 9.0	27 35 51.0
49	9	4	0 42.6	0 42.67	1 59 8.0	27 23 52.0
50	8.9	3	45.2	2 6.71	2 12 19.9	27 10 40.1
51	8.9	2	30.2	3 2.45	1 54 27.3	27 28 32.7
52	9	7	30.4	2 46.90	0 49 51.3	28 33 8.7
53	6	3	4 29.6	4 51.25	1 30 34.3	27 52 25.7
54	9	3	18.7	5 40.33	1 36 9.6	27 46 50.4
55	9	3	48.0	6 9.72	1 9 59.0	28 13 1.0
56	9	3	24.0	6 45.73	1 7 41.0	28 15 19.0
57	9	6	18.3	6 45.69	0 57 36.8	28 25 23.2
58	9	5	59.6	7 37.90	1 17 59.6	28 5 0.4
59	7	2	20.6	8 53.00	1 30 20.2	27 52 39.8
60	9	6	9 7.5	8 35.12	1 41 37.0	27 41 23.0
61	7.8	7	42.6	8 59.72	2 24 26.2	26 58 33.8
62	8.9	3	15.6	10 37.04	2 33 54.2	26 49 5 8
63	8.9	2	58.0	11 30.25	1 51 21.0	27 31 39.0
64	8	4	38.2	11 38.20	1 41 12.0	27 41 48.0
65	9	2	11.7	12 43.98	1 41 45.9	27 41 14.1
66	8.9	4	53.8	12 53.80	1 27 32.7	27 55 27.3
67	9	4	13 41.6	13 41.60	1 23 11.1	27 59 48.9
68	9	4	35.5	14 35.50	1 15 18.0	28 7 42.0
69	9	4	7.5	15 7.50	1 17 10.9	28 5 49.1
70	8.9	3	57.1	16 18.85	0 59 57.6	28 23 2.4
71	9	5	38.6	16 16.77	0 41 17.1	28 41 42.9
72	7	5	17 2.5	16 40.63	0 29 35.5	28 53 24.5
73	9	4	41.5	17 41.50	0 11 45.3	29 11 14.7
74	8.9	1	17.0	19 0.67	0 17 7.1	29 5 52.9
75	8	3	48.2	19 10.13	0 8 15.2	29 14 44.8

*Hülftafel zur Reduction auf den mittlere
Ort 1850 Januar 0 D = - 28°.*

T.	k	k'	d
9 40+21.35	-2	0	+23.9 -1.3 +
50+21.33	-2	0	+22.6 -1.4 +
10 0+21.31	-2	0	+21.2 -1.3 +
10+21.29	-2	0	+19.9 -1.3 +
20+21.27		0	+18.6 +

22. 24. derselbe.

29 Fad. 3. 37".0

38 " 6. 17.3; bei diesem Sterne ward
Fehler von +1" entdeckt und verbessert
ist nach Beobachtungen der N. 36 und
im März 1852 erst bei N. 38 entstanden

39 Fad. 6. 18.2

49 " 5. 4.3

51 " 3. 40.9

59 " 3. 31.4

63 " 3. 8.7

69 " 5. 29.2

	Fad.	Beob. Zeit.	T.	Microsc. I	Südl. Declin.
			^u		
9	5	20.2	10 18 58.22	0 1 32.2	29 21 27.8
	4	19 35.6	19 35.60	0 4 40.7	29 18 19.3
9	3	24.0	20 45.87	0 26 55.3	28 56 4.7
	2	57.6	21 30.28	0 24 56.5	28 58 3.5
	5	24.6	21 2.76	0 38 28.0	28 44 32.0
	5	9.2	21 47.34	0 33 58.9	28 49 1.1
7	5	34.0	22 12.13	0 29 12.2	28 53 47.8
	2	26.7	23 58.75	2 29 20.1	26 53 39.9
	3	7.1	24 28.63	1 54 25.4	27 28 34.6
9	4	11.6	25 11.60	1 6 19.1	28 16 40.9
9	5	34.7	25 12.86	0 39 17.4	28 43 42.6
	2	8.5	26 41.11	0 36 54.3	28 46 5.7
	2	41.8	27 14.44	0 31 58.6	28 51 1.4
9	1	27 49.3	28 32.49	1 1 31.0	28 21 29.0
	4	29 33.8	6 29 33.80	5 2 54.5	24 18 55.5
9	4	30 39.8	30 39.80	6 7 9.2	23 14 40.8
	7	15.2	30 33.63	6 10 0.0	23 11 50.0
	5	59.2	31 38.36	6 9 9.0	23 12 41.0
	4	32.5	32 32.50	6 18 12.0	23 3 38.0
8	5	30.7	33 9.93	6 34 52.0	22 46 58.0
	5	59.2	33 38.37	6 11 19.0	23 10 31.0
	7	41.8	34 0.25	6 13 37.4	23 8 12.6
	1	4.4	35 45.88	6 15 46.7	23 6 3.3
8	3	35 29.4	35 50.21	6 8 47.0	23 13 3.0
	4	19.8	36 19.80	6 5 56.3	23 15 53.7
	1	44.6	37 26.14	6 4 54.0	23 16 56.0
	2	1.5	37 32.61	6 7 49.8	23 14 0.2
	1	31.6	38 13.27	5 38 43.1	23 43 6.9
9	2	2.2	38 33.51	5 16 41.9	24 5 8.1
9	2	28.4	38 59.70	5 19 36.4	24 2 13.6
	4	56.7	38 56.70	4 37 1.8	24 44 48.2
	4	38.3	39 38.30	4 10 10.6	25 11 39.4
	4	2.7	40 2.70	4 18 18.4	25 3 31.6
9	5	35.9	40 14.77	4 20 55.1	25 0 54.9
	4	3.0	41 3.00	4 21 41.0	25 0 9.0
	5	28.1	41 6.98	4 25 46.6	24 56 3.4
8	7	46.1	41 4.02	4 34 38.5	24 47 11.5
	4	42 17.5	42 17.50	4 31 25.2	24 50 24.8
	2	43.6	43 15.10	4 31 52.8	24 49 57.2
9	5	19.2	42 58.23	5 18 39.1	24 3 10.9
8	6	30.8	42 59.41	5 22 53.9	23 58 56.1
	7	47.0	43 5.20	5 26 55.7	23 54 54.3
	5	5.5	44 44.62	5 52 57.6	23 28 52.4
	6	32.5	45 1.25	5 43 40.2	23 38 9.8
	4	16.1	46 16.10	5 39 7.3	23 42 42.7
9	4	34.1	46 34.10	5 22 16.7	23 59 33.3
9	5	46 57.4	46 36.45	5 25 16.9	23 56 33.1
	6	19.0	46 47.62	5 25 36.0	23 56 14.0
	6	41.9	47 10.49	5 18 32.4	24 3 17.6
	6	0.6	47 29.19	5 21 23.7	24 0 26.3
9	7	47.8	48 5.93	5 13 38.3	24 8 11.7
	5	16.3	48 55.30	5 9 47.0	24 12 3.0
	2	45.0	50 16.38	5 2 14.3	24 19 35.7
	2	2.6	50 33.96	5 5 56.5	24 15 53.5
	3	11.9	50 33.20	5 4 46.6	24 17 3.4

*Hülftafel zur Reduction auf den mittlern
Ort 1850 Januar 0 D = - 20°.*

T.	k	k'	d	d'
10	20 + 21.27	-1	0	+18.6
30	+21.26	+1	+17.3	+41.3

84 Fad. 4. 28.6

89 " 2. 0.0 Fad. 3. 10.6

Die Sterne waren Anfangs wohl blass, aber ziemlich ruhig, wurden aber allmählig immer unruhiger, wesshalb die Zone geschlossen ward.

ZONE 362. 1851 Febr. 23. West.

NC.	6	2	-	2	1.12
8	23	-	2	2.27	
Anf.	28	0.53	+	3.5	35.1
Ende		0.65	+	2.4	33.1
Microsc. I	-	8".62	u.	-	6".68
Declin.	=	Microsc. I	-	29° 21'	50"
7° r+i	+	28".552	Ar	+	0".028
			Δi	-	0".009

*Hülftafel zur Reduction auf den mittlern
Ort 1850 Januar 0 D = - 24°.*

T.	k	k'	d	d'
6	30 + 25.53	-5	-4	+24.1
40	+25.48	-5	-4	+24.7
50	+25.43	-4	-4	+25.3

13 Fad. 3. 11.8

27. dupl. IV. Cl. der hellere beobachtet.

28. dupl. IV. Cl. ebenso. Zeit unsicher.

30 Fad. 7. 43.0

36 " 7. 11.0 Bei diesem Sterne ward ein Fehler von -1" entdeckt und corrigirt.

41 Fad. 4. 33.2. Fad. 3 giebt 32".89 und ist als wahrscheinlich flüchtig beobachtet ausgeschlossen.

Nº.	Gr.	Fad.	Beob. Zeit.	T.	Microsc. I	Südl. Declin.
42	5.6	4	50 57.2	6 50 57.20	4 55 12.5	24 26 37.5
43	6	2	30.3	52 2.03	4 8 50.1	25 12 59.9
44	9	3	3.0	52 24.14	4 13 36.4	25 8 13.6
45	8.9	4	36.4	52 36.41	5 14 29.0	24 7 21.0
46	7.8	7	32.1	52 50.62	6 27 8.5	22 54 41.5
47	7.8	7	53 59.8	53 18.35	6 32 55.0	22 48 55.0
48	8	4	19.8	54 19.80	6 32 37.5	22 49 12.5
49	8.9	3	42.0	55 2.77	6 27 25.1	22 54 24.9
50	8.9	6	10.1	54 38.94	6 22 19.0	22 59 31.0
51	7	7	39.0	54 57.40	6 3 46.8	23 18 3.2
52	8	7	47.1	55 5.51	6 6 20.0	23 15 30.0
53	8	7	56 8.4	55 26.80	6 4 5.6	23 17 44.4
54	8	7	2.8	56 21.15	5 54 58.0	23 26 52.0
55	8.9	6	17.6	56 46.36	5 59 59.5	23 21 50.5
56	8.9	2	59.4	58 30.91	4 28 55.6	24 52 54.4
57	8.9	3	58 48.6	59 9.68	4 34 37.1	24 47 12.9
58	8	4	33.8	59 33.80	4 54 7.0	24 27 43.0
59	6	3	54.7	7 0 15.77	4 37 40.4	24 44 9.6
60	6.7	4	41.2	0 41.20	5 44 41.5	23 37 8.5
61	9	5	8.2	0 47.28	5 37 1.6	23 44 48.4
62	8	3	25.4	1 46.49	5 30 46.8	23 51 3.2
63	7	3	48.0	2 8.92	5 32 50.2	23 48 59.8
64	9	5	21.3	2 0.42	5 51 33.3	23 30 16.7
65	8	7	44.5	2 2.82	5 48 53.2	23 32 56.8
66	8	5	3 23.2	3 2.28	5 39 11.3	23 42 38.7
67	9	6	8.5	3 37.09	5 19 16.4	24 2 33.6
68	8.9	6	18.2	3 46.78	5 15 7.5	24 6 42.5
69	9	4	51.7	4 51.74	5 37 48.5	23 44 1.5
70	9	5	31.2	5 10.30	5 46 20.6	23 35 29.4
71	9	5	52.6	5 31.70	5 47 6.2	23 34 43.8
72	9	5	6 9.8	5 48.90	5 44 31.8	23 37 18.2
73	9	5	39.9	6 19.00	5 45 9.4	23 36 40.6
74	7	3	59.2	7 20.03	5 55 31.1	23 26 18.9
75	7	4	58.5	7 58.50	6 7 14.9	23 14 35.1
76	8.9	4	26.6	8 26.60	6 4 0.6	23 17 49.4
77	8.9	4	50.0	8 50.00	5 54 25.8	23 27 24.2
78	6.7	4	9 4.7	9 4.70	5 52 25.6	23 29 24.4
79	8	4	53.8	9 53.80	5 47 27.0	23 34 23.0
80	9	6	20.1	9 48.76	5 35 25.3	23 46 24.7
81	9	7	39.9	9 58.16	5 38 0.5	23 43 49.5
82	8.9	7	10 49.0	10 7.23	5 32 29.8	23 49 20.2
83	9	2	38.1	12 9.38	5 24 3.1	23 57 46.9
84	6	4	0.5	12 0.50	5 4 10.4	24 17 39.6
85	8.9	5	28.1	12 7.08	4 58 24.3	24 23 25.7
86	9	7	46.7	12 4.74	4 58 47.9	24 23 2.1
87	7.8	7	16.4	12 34.35	4 40 31.3	24 41 18.7
88	8.9	6	45.2	13 13.63	4 38 12.9	24 43 37.1
89	8.9	5	19.0	13 57.89	4 27 49.5	24 54 0.5
90	9	5	46.3	14 25.19	4 26 3.0	24 55 47.0
91	9	6	15 15.7	14 44.04	4 10 21.5	25 11 28.5
92	7.8	5	5.4	15 44.31	4 44 17.5	24 37 32.5
93	8	3	29.5	16 50.56	4 41 27.8	24 40 22.2
94	8.9	5	4.5	16 43.60	5 42 40.4	23 39 9.6
95	8.9	5	32.5	17 11.60	5 42 34.1	23 39 15.9
96	8.9	4	5.8	18 5.80	5 53 21.6	23 28 28.4

Hilfstafel zur Reduction auf den mittl.
Ort 1850 Januar 0 D = -24°.

T.	k	k'	d
6 50+25.43	-6	-4	+25.3
7 0+25.37	-5	-3	+25.9
10+25.32	-5	-3	+26.5
20+25.27		-3	+27.0

43	Fad.	3.	41.0
45	"	5.	57.4
69	"	5.	12.7
74	"	4.	20.0
78	"	5.	25.5
91	"	7.	26.3

r.	Fad.	Beob. Zeit.	T.	Microsc. I	Südl. Declin.
9	5	37.7	7 18 16.81	5° 48' 37.5	23° 33' 12.5
	6	49.5	18 18.26	5 47 2.9	23 34 47.1
9	5	19 28.3	19 7.44	5 57 55.0	23 23 55.0
	4	19 56.4	19 56.40	5 56 18.2	23 25 31.8
9	6	20 14.0	19 42.73	5 54 25.1	23 27 24.9
	6	21 16.2	20 44.92	5 52 7.9	23 29 42.1
	7	51.5	21 9.93	6 9 58.0	23 11 52.0
9	7	1.9	21 20.32	6 8 9.0	23 13 41.0
8	7	25.2	21 43.67	6 18 53.8	23 2 56.2
	2	59.1	23 30.16	6 22 29.6	22 59 20.4
9	4	27.0	23 27.00	6 10 1.8	23 11 48.2
9	3	41.2	24 2.02	6 8 28.9	23 13 21.1
9	2	11.4	24 42.41	6 33 40.4	22 48 9.6
9	3	25 6.6	25 27.69	4 31 6.3	24 50 43.7
	5	41.0	25 19.86	4 15 59.5	25 5 50.5
9	5	16.9	25 55.90	5 6 9.0	24 15 41.0
7	5	49.6	26 28.57	4 57 59.3	24 23 50.7
9	5	27 29.7	27 8.67	4 55 35.0	24 26 15.0
8	7	56.5	27 14.87	5 58 24.1	23 23 25.9
	4	31.3	28 31.30	6 3 47.2	23 18 2.8
	5	1.9	28 41.06	6 5 32.6	23 16 17.4
9	5	16.6	28 55.76	6 6 48.0	23 15 2.0
9	6	35.1	29 3.90	6 9 39.4	23 12 10.6
	7	29 49.5	29 7.92	6 8 0.0	23 13 50.0
	4	35.2	30 35.18	6 16 57.4	23 4 52.6
6	6	32 9.9	31 38.19	4 19 58.8	25 1 51.2
9	5	53.9	32 32.75	4 15 20.2	25 6 29.8
	5	42.1	33 20.94	4 9 18.4	25 12 31.6
	7	34 1.0	33 19.04	4 58 41.5	24 23 8.5
	6	39.6	34 8.14	5 5 28.0	24 16 22.0
9	7	58.7	34 16.79	5 6 20.6	24 15 29.4
9	3	33.6	35 54.57	5 12 22.0	24 9 28.0
	4	1.0	36 1.00	5 10 13.4	24 11 36.6
	4	30.2	36 30.20	5 6 34.2	24 15 15.8
	4	3.0	37 3.00	5 2 51.7	24 18 58.3
	2	37 19.4	37 50.78	5 2 28.3	24 19 21.7
	5	48.7	37 27.66	4 54 11.0	24 27 39.0
	7	9.0	37 26.98	4 46 4.5	24 35 45.5
	5	33.6	38 12.53	4 42 38.4	24 39 11.6
8	7	8.4	38 26.47	5 3 52.9	24 17 57.1
	7	48.5	39 6.70	5 27 41.1	23 54 8.9
9	6	6.9	39 35.51	5 24 7.5	23 57 42.5
8	7	40 29.2	39 47.44	5 34 5.3	23 47 44.7
9	4	13.4	41 13.40	5 27 54.3	23 53 55.7
	6	38.2	41 6.84	5 32 13.8	23 49 36.2
	5	7.0	41 46.06	5 27 51.5	23 53 58.5
9	4	17.5	42 17.50	5 30 18.5	23 51 31.5
	5	1.0	42 40.07	5 31 49.0	23 50 1.0
	3	25.0	43 45.90	5 39 52.1	23 41 57.9
	4	59.7	43 59.70	5 33 6.1	23 48 43.9
	5	37.6	44 16.67	5 32 16.5	23 49 33.5
	7	45 10.7	44 29.24	6 30 20.6	22 51 29.4
	2	55.1	46 26.44	5 9 23.5	24 12 26.5
9	6	18.0	45 46.47	4 48 57.9	24 32 52.1
9	7	44.5	46 2.43	4 38 31.8	24 43 18.2

Hülfsstafel zur Reduction auf den mittlern Ort 1850 Januar 0 D = - 24°.

T.	k	k'	d	d'
7 10 + 25.32	-5	-3	+26.5	+0.5
20 + 25.27	-5	-3	+27.0	+0.5
30 + 25.22	-5	-3	+27.5	+0.4
40 + 25.17	-4	-3	+27.9	+0.4
50 + 25.13		-3	+28.3	+0.4

98 Fad. 7. 0.0
 115. Zeit unsicher beobachtet.
 121 Fad. 7. 16.7
 122 „ 7. 20.3
 135 „ 6. 44.1
 151. Zeit unsicher beobachtet.

No.	Gr.	Fad.	Beob. Zeit.	T.	Microsc. I	Südl. Declin.
152	9	5	26.0	7 47' 4.86	4 20' 42.2	25 1' 7.8
153	8.9	5	48 7.0	47 45.82	4 3 34.3	25 18 15.7
154	8	3	36.8	48 57.90	4 28 22.0	24 53 28.0
155	8	5	9.6	48 48.69	5 41 24.7	23 40 25.3
156	8.9	5	29.6	49 8.68	5 38 29.1	23 43 20.9
157	8.9	7	49 46.4	49 4.66	5 36 51.3	23 44 58.7
158	8	4	39.0	50 39.00	5 14 7.2	24 7 42.8
159	8	4	18.0	51 18.00	4 8 48.0	25 13 2.0
160	9	3	38.3	51 59.44	4 12 58.0	25 8 52.0
161	9	4	21.1	52 21.10	4 29 16.8	24 52 33.2
162	7.8	5	51.2	52 30.31	5 48 41.9	23 33 8.1
163	8	5	33.1	53 12.30	6 24 28.5	22 57 21.5
164	8	3	7.2	54 28.06	5 56 1.9	23 25 48.1
165	8.9	3	54 29.1	54 49.98	5 46 26.5	23 35 23.5
166	8	7	9.7	54 28.06	5 55 56.7	23 25 53.3
167	9	4	44.6	55 44.60	5 7 26.4	24 14 23.6
168	7.8	3	1.3	56 22.31	5 10 16.7	24 11 33.3
169	8.9	6	53.9	56 22.38	4 52 5.3	24 29 44.7
170	9	5	22.1	57 0.96	4 17 15.6	25 4 34.4
171	6.7	4	49.5	57 49.46	4 5 9.0	25 16 41.0
172	9	4	32.1	58 32.10	4 37 31.9	24 44 18.1
173	8	4	47.6	58 47.60	4 33 46.8	24 48 3.2
174	8	3	22.3	59 43.38	4 40 12.5	24 41 37.5
175	3	2	13.0	8 0 44.35	5 28 50.3	23 52 59.7
176	9	4	1.8	1 1.80	5 36 53.9	23 44 56.1
177	7	4	27.6	1 27.60	6 10 10.0	23 11 40.0
178	9	7	49.4	1 7.84	6 12 8.3	23 9 41.7
179	9	7	19.6	1 38.04	6 12 54.2	23 8 55.8
180	8	7	33.0	1 51.45	6 14 41.9	23 7 8.1
181	8.9	7	15.0	2 33.49	6 21 54.8	22 59 55.2
182	8.9	5	3 37.7	3 16.88	6 17 43.2	23 4 6.8
1	9	7	0 3.3	8 59 19.09	9 7 7.0	30 16 53.0
2	7.8	5	1 5.2	9 0 43.20	9 54 23.0	29 29 37.0
3	8.9	4	29.1	1 29.76	9 43 7.6	29 40 42.4
4	8.9	5	13.7	1 51.81	10 27 6.1	28 56 53.9
5	6	4	3 10.5	3 10.50	9 38 9.4	29 45 50.6
6	9	5	4 45.4	4 23.39	9 51 8.0	29 32 52.0
7	7	2	38.4	6 11.58	8 56 52.3	30 27 7.7
8	9	5	17.5	5 55.18	8 29 20.7	30 54 39.3
9	9	7	54.0	6 9.33	8 11 50.7	31 12 9.3
10	9	5	25.7	7 3.48	8 55 1.4	30 28 58.6
11	9	7	59.6	7 15.49	9 26 10.6	29 57 49.4
12	7.8	5	38.0	8 15.94	9 38 40.0	29 45 20.0
13	8.9	2	21.6	9 54.32	10 3 40.6	29 20 19.4
14	8.9	5	10 5.1	9 43.10	9 53 2.8	29 30 57.2
15	9	5	11 6.5	10 44.26	8 49 27.6	30 34 32.4
16	8.9	5	37.0	11 14.71	8 37 32.8	30 46 27.2
17	9	5	3.2	11 40.93	8 41 2.2	30 42 57.8
18	9	6	13 6.5	12 33.66	10 14 12.8	29 9 47.2
19	8.9	7	13 18.5	12 34.77	10 17 46.0	29 6 14.0
20	8.9	5	4.3	13 42.48	10 6 42.0	29 17 18.0
21	9	7	32.2	13 48.42	10 11 36.3	29 12 23.7
22	9	7	14.4	14 30.69	10 20 44.1	29 3 15.9
23	8	4	57.1	15 57.10	9 30 26.0	29 53 34.0
24	8.9	4	23.2	16 23.20	9 32 34.4	29 51 25.6

*Hilfstafel zur Reduction auf den mittlere
Ort 1850 Januar 0 D = - 24°.*

T.	k	k'	d
u			
7 40' + 25.17	-4	-3	+27.9 + 0.4 +
50 + 25.13	-5	-3	+28.3 + 0.4 +
8 0 + 25.08	-4	-2	+28.7 + 0.4 +
10 + 25.04		-2	+29.1 +

152	Fad. 6.	36.5
168	" 4.	22.4
171	" 5.	10.6
174	" 4.	43.4
175	" 3.	23.5

Sehr schöne Luft.

ZONE 363. 1851 Febr. 23. W

u NC. 8 23 - 2 2.27
10 58 - 2 2.25
Anf. 28 0.66 + 3.0 32.0
10 13 33.0
Ende 28 0.58 + 1.9 32.6
Microsc. I - 6".66 u. - 6".93
Declin. = Microsc. I - 39° 24' 0"
10" r + i + 28".671 $\Delta r + 0".028$ $\Delta i - 0$

*Hilfstafel zur Reduction auf den mittlere
Ort 1850 Januar 0 D = - 30°.*

T.	k	k'	d
u			
9 0' + 24.89	-4	-1	+24.1 0.0 +
10 + 24.85	-4	-1	+24.1 0.0 +
20 + 24.81		-1	+24.1 0.0 +

3 Fad. 5. 51.8 giebt 29".76; Fad. 4 halt
für flüchtig beobachtet u. habe ihn ausge
7 Fad. 3. 49.4
13 " 3. 32.3
20 " 6. 15.5

Gr.	Fad.	Beob. Zeit.	T.	Microsc. I	Südl. Declin.
7.8	4	17 27.8	9 17 27.80	10 50 37.4	28 33 22.6
8.9	2	18 13.7	18 46.29	10 41 35.0	28 42 25.0
8.9	3	27.5	18 49.31	10 42 2.2	28 41 57.8
8.9	4	19 30.2	19 30.20	10 35 17.8	28 48 42.2
8.9	6	59.0	19 26.20	10 20 27.5	29 3 32.5
9	4	42.2	20 42.20	10 8 50.7	29 15 9.3
8.9	6	17.0	20 43.59	8 32 48.9	30 51 11.1
9	5	22 4.7	21 42.78	10 15 24.8	29 8 35.2
8	2	42.7	23 15.46	9 54 57.0	29 30 3.0
9	4	23 42.1	23 42.10	9 39 57.4	29 44 2.6
7.8	7	16.5	23 31.97	8 30 26.0	30 53 34.0
7	5	5.0	24 42.63	8 11 37.6	31 12 22.4
9	7	42.1	24 57.45	8 15 0.0	31 9 0.0
8.9	2	26 31.8	27 4.52	10 18 34.6	29 5 25.4
8.9	4	10.7	27 10.70	10 8 55.9	29 15 4.1
8.9	4	21.7	27 21.67	10 8 0.6	29 15 59.4
9	6	22.4	27 49.47	9 57 33.8	29 26 26.2
9	4	6.5	29 6.50	10 3 46.4	29 20 13.6
8.9	7	40.5	28 56.92	10 38 25.1	28 45 34.9
8.9	4	15.7	30 15.70	10 38 56.0	28 45 4.0
7	5	30 53.0	30 31.07	10 15 23.4	29 8 36.6
8	7	35.1	30 50.97	9 23 11.5	30 0 48.5
9	3	26.0	32 48.25	8 43 40.5	30 40 19.5
7	3	58.7	33 20.85	9 9 8.4	30 14 51.6
8	5	27.1	33 5.03	9 34 8.5	29 49 51.5
9	7	11.5	33 27.86	10 30 53.8	28 53 6.2
9	5	55.2	34 33.36	10 41 20.0	28 42 40.0
7	5	16.0	34 53.97	9 46 3.1	29 37 56.9
8.9	7	36.3	34 52.43	9 58 52.3	29 25 7.7
8.9	4	36 22.6	36 22.60	8 31 5.0	30 52 55.0
8.9	3	6.7	37 29.03	8 41 29.7	30 42 30.3
8.9	4	47.3	37 47.19	8 54 11.1	30 29 48.9
9	6	34.0	38 0.72	8 56 53.0	30 27 7.0
7.8	2	59.9	39 33.11	8 48 56.4	30 35 3.6
8.9	4	33.7	39 33.70	8 44 4.0	30 39 56.0
7	3	39 44.1	40 6.31	8 49 29.9	30 34 30.1
8	6	36.8	40 3.59	9 7 56.6	30 16 3.4
9	4	13.7	41 13.70	9 6 52.5	30 17 7.5
9	6	35.0	41 2.02	9 28 42.0	29 55 18.0
7.8	7	16.2	41 32.24	9 45 49.6	29 38 10.4
8.9	5	42.5	42 20.37	9 39 0.2	29 44 59.8
9	5	43 47.3	43 25.24	9 37 40.0	29 46 20.0
7.8	6	34.1	44 0.90	9 9 34.9	30 14 25.1
3.9	2	45 7.8	45 40.96	8 51 32.7	30 32 27.3
8.9	6	47 7.1	46 33.98	9 24 14.5	29 59 45.5
8.9	4	42.6	47 42.60	9 22 1.3	30 1 58.7
9	6	33.2	48 0.10	9 27 44.0	29 56 16.0
8	4	49 30.1	49 30.10	10 9 38.7	29 14 21.3
8.9	5	53.0	49 31.01	9 58 38.6	29 25 21.4
3.9	2	49.6	51 22.45	9 53 12.1	29 30 47.9
9	7	38.0	50 54.02	9 42 23.3	29 41 36.7
8.9	7	6.2	51 22.29	9 53 11.9	29 30 48.1
9	3	25.5	52 47.50	9 50 28.4	29 33 31.6
9	4	19.2	52 19.20	9 29 55.9	29 54 4.1
3.9	4	41.4	52 41.40	9 20 58.0	30 3 2.0

*Hülftafel zur Reduction auf den mittlern
Ort 1850 Januar 0 D = - 30°.*

T.	k	k'	d	d'
9 10+24.85	-4	-1	+24.1	0.0
20+24.81	-4	-1	+24.1	0.0
30+24.77	-3	-1	+24.1	-0.1
40+24.74	-3	0	+24.0	-0.1
50+24.71	-3	0	+23.9	-0.2
10 0+24.68		0	+23.7	+58.5

33 Fad. 3. 53.4 Nach Z. 275 N°. 87 und einer Beobachtung 1852 März 23. muss die Minute des Microscops 53' sein; danach ist die Decl. angesetzt.

35. Zeit unsicher beobachtet.

36 Fad. 6. 16.2

40 „ 5. 43.6

55 „ 4. 29.1

56 „ 5. 9.3

60 „ 4. 6.3

63 „ 7. 46.2

65 „ 7. 4.3

68 „ 3. 18.7

74. 76. derselbe.

77 Fad. 4. 47.5

No.	Gr.	Fad.	Beob. Zeit.	T.	Microsc. I	Südl. Declin.
80	8.9	3	9.8	9 53' 31.92	9 18' 44.0	30 5' 16.0
81	8.9	3	47.7	54 9.93	8 48' 44.5	30 35' 15.5
82	9	2	17.5	55 50.65	8 42' 49.9	30 41' 10.1
83	8	5	56 3.6	55 41.20	8 9' 36.5	31 14' 23.5
84	9	5	56 27.5	56 5.09	8 6' 6.3	31 17' 53.7
85	9	7	57 41.2	56 57.19	9 37' 42.5	29 46' 17.5
86	8.9	5	10.2	57 48.13	9 34' 15.6	29 49' 44.4
87	9	5	41.0	58 18.92	9 32' 59.9	29 51' 0.1
88	8	4	59 18.0	59 18.00	9 59' 50.5	29 24' 9.5
89	8.9	4	59 40.6	59 40.60	10 9' 20.0	29 14' 40.0
90	9	4	32.4	10 0' 32.40	10 3' 50.6	29 20' 9.4
91	8.9	7	1 22.7	0 38.87	9 52' 43.3	29 31' 16.7
92	8	5	3.5	1 41.59	10 22' 5.8	29 1' 54.2
93	9	5	51.0	2 28.84	9 11' 49.7	30 12' 10.3
94	7	4	3.4	3 3.27	9 14' 1.0	30 9' 59.0
95	8.9	4	4 30.0	4 30.00	8 25' 37.9	30 58' 22.1
96	9	3	2.0	5 24.43	8 14' 39.3	31 9' 20.7
97	8	7	7 5.3	6 20.82	8 36' 23.3	30 47' 36.7
98	8	1	47.7	8 32.09	8 39' 57.9	30 44' 2.1
99	9	3	8 10.3	8 32.59	8 32' 40.0	30 51' 20.0
100	7	6	9 5.9	8 32.65	8 56' 34.8	30 27' 25.2
101	9	6	58.5	9 25.33	9 14' 27.3	30 9' 32.7
102	7.8	6	20.4	9 47.23	9 13' 11.0	30 10' 49.0
103	9	7	9.0	10 25.21	10 9' 49.8	29 14' 10.2
104	8	5	12 39.0	12 17.17	10 42' 33.4	28 41' 26.6
105	7	2	14 31.9	15 4.52	10 34' 50.1	28 49' 9.9
106	7.8	7	0 :	14 16	10 12' 5.4	29 11' 54.6
107	6.7	4	56.4	15 56.40	9 58' 0.9	29 25' 59.1
108	7.8	3	10.3	16 32.30	9 52' 52.1	29 31' 7.9
109	8	6	53.0	16 19.82	9 13' 36.8	30 10' 23.2
110	8.9	4	29.2	17 29.23	9 18' 23.7	30 5' 36.3
111	9	2	18 59.7	19 33.25	8 11' 3.8	31 12' 56.2
112	9	5	59.2	19 36.95	8 48' 39.5	30 35' 20.5
113	5	6	20 26.4	19 53.16	9 5' 27.9	30 18' 32.1
114	9	6	33.6	21 0.50	9 27' 30.4	29 56' 29.6
115	6	3	54.7	22 16.76	9 33' 7.9	29 50' 52.1
116	8	5	22.6	22 0.54	9 37' 6.4	29 46' 53.6
117	9	5	57.4	22 35.35	9 39' 12.2	29 44' 47.8
118	8.9	1	24 5.7	24 50.25	8 20' 5.5	31 3' 54.5
119	9	2	44.5	25 17.83	8 26' 41.6	30 57' 18.4
120	9	5	29.5	25 7.80	9 8' 36.8	30 15' 23.2
121	9	5	37.2	26 14.83	9 13' 48.8	30 10' 11.2
122	9	3	41.5	28 3.64	9 11' 48.8	30 12' 11.2
123	8.9	1	28 17.6	29 1.68	9 21' 13.1	30 2' 46.9
124	9	2	44.0	29 17.16	9 10' 49.0	30 13' 11.0
125	9	5	42.0	29 19.94	9 36' 26.1	29 47' 33.9
126	8	5	30 24.0	30 2.06	10 11' 51.0	29 12' 9.0
127	9	6	55.2	30 22.47	10 35' 55.0	28 48' 5.0
128	8.9	4	50.4	31 50.40	10 16' 22.4	29 7' 37.6
129	9	4	23.3	32 23.30	10 21' 31.7	29 2' 28.3
130	8.9	4	42.2	32 42.20	10 18' 34.5	29 5' 25.5
131	9	5	3.6	32 41.59	10 19' 40.8	29 4' 19.2
132	7.8	7	49.0	33 5.32	10 25' 5.9	28 58' 54.1
133	7	7	33 8.5	33 24.82	10 25' 14.0	28 58' 46.0
134	9	5	35 25.6	35 3.60	9 53' 23.9	29 30' 36.1

Hilfstafel zur Reduction auf den mittlere Ort 1850 Januar 0 D = - 30°.

T.	k	k'	d
9 50' + 24.71	-3	0	+23.9 -0.2 +
10 0' + 24.68	-3	0	+23.7 -0.2 +
10 + 24.65	-2	0	+23.5 -0.3 +
20 + 24.63	-2	+1	+23.2 -0.3 +
30 + 24.61	-2	+1	+22.9 -0.4 +
40 + 24.59		+1	+22.5

- 82 Fad. 3. 28.3
 94 " 5. 25.3
 96 " 4. 24.5
 100 " 7. 17.0
 103. Zeit unsicher beobachtet.
 108 Fad. 4. 32.3
 109 " 7. 4.0
 110 " 5. 51.4
 111 " 3. 11.0
 113 " 7. 37.4
 120 " 6. 41.0 Fad. 7. 52".5; die Fäden 7".33, 7".80 und 8".27.
 121 Fad. 7. 58.8; Fäden 15".05 und 14"
 124 " 3. 55.1
 131 " 6. 14.3
 133. Die Zeitminute ist offenbar verschrieben, muss 34 sein.

Gr.	Fad.	Beob. Zeit.	T.	Microsc. I	Südl. Declin.
7	4	36' 12.9	10 36' 12.98	9° 18' 46.5	30° 5' 13.5
8	7	58.8	36 14.54	9 5 30.3	30 18 29.7
8.9	7	1 53.3	6 1 11.96	6 53 39.0	22 27 41.0
6	5	34.0	2 12.26	6 56 47.4	22 24 32.6
8.9	4	52.1	2 52.10	7 3 47.0	22 17 33.0
7.8	5	16.6	2 55.93	7 15 16.5	22 6 3.5
9	3	41.9	4 2.54	7 17 52.1	22 3 27.9
8.9	5	18.0	3 57.51	8 30 7.2	20 51 12.8
8	4	27.2	4 27.20	8 31 10.0	20 50 10.0
8.9	5	8.4	4 47.83	7 54 26.8	21 26 53.2
8.9	3	23.3	5 43.86	7 53 3.9	21 28 16.1
9	6	49.3	5 18.38	7 21 33.1	21 59 46.9
8.9	6	19.2	5 48.16	6 49 29.7	22 31 50.3
8	4	7 0.7	7 0.70	6 2 35.5	23 18 44.5
7.8	3	28.8	7 49.46	7 10 20.2	22 10 59.8
8	1	14.8	8 55.99	7 12 12.9	22 9 7.1
7.8	5	43.2	8 22.68	8 15 11.9	21 6 8.1
8.9	7	13.1	8 32.11	8 6 52.0	21 14 28.0
7.8	2	0.1	10 30.86	7 39 27.6	21 41 52.4
8	1	11.5	10 52.57	7 38 42.0	21 42 38.0
7	6	10 53.9	10 23.05	7 1 41.2	22 19 38.8
7.8	3	51.3	12 11.93	7 22 19.6	21 59 0.4
8.9	5	19.4	11 58.76	7 26 7.1	21 55 12.9
6	3	12 32.0	12 52.64	7 18 23.2	22 2 56.8
9	2	58.8	13 29.64	7 19 21.6	22 1 58.4
9	3	40.6	14 1.26	7 11 12.6	22 10 7.4
7	2	52.5	14 23.39	7 4 26.5	22 16 53.5
8	2	16.4	14 47.26	7 12 43.9	22 8 36.1
8	1	14 50.6	15 31.80	7 10 14.8	22 11 5.2
9	1	9.8	15 51.01	7 8 43.2	22 12 36.8
7.8	4	43.6	15 43.60	6 49 26.3	22 31 53.7
8	2	16 29.5	17 0.58	6 13 20.2	23 7 59.8
9	4	1.1	17 1.10	6 11 46.6	23 9 33.4
8	1	35.1	18 16.21	7 28 10.3	21 53 9.7
9	5	17 59.5	17 38.86	7 27 10.6	21 54 9.4
8.9	4	46.7	18 46.70	8 5 30.1	21 15 49.9
8	4	12.2	19 12.20	7 53 21.5	21 27 58.5
8.9	6	30.6	18 59.80	7 57 50.6	21 23 29.4
7.8	2	49.5	20 20.22	7 52 57.2	21 28 22.8
9	3	8.8	20 29.36	7 54 20.2	21 26 59.8
9	4	35.7	20 35.70	7 57 36.3	21 23 43.7
9	4	20.5	21 20.50	8 12 58.0	21 8 22.0
9	5	21 38.5	21 17.98	8 15 33.7	21 5 46.3
9.0	7	7.5	21 26.63	8 32 37.7	20 48 42.3
9.0	4	23 10.6	23 10.60	8 22 51.3	20 58 28.7
9.0	5	33.3	23 12.79	8 19 59.6	21 1 20.4
6.7	2	9.6	24 40.28	8 2 38.3	21 18 41.7
8	4	48.0	24 48.00	8 23 8.5	20 58 11.5
9	4	7.8	25 7.80	8 23 16.5	20 58 3.5
7.8	3	25 21.3	25 41.79	8 24 53.3	20 55 26.7
9	5	56.1	25 35.56	8 7 22.6	21 13 57.4
8	4	25.7	26 25.70	6 51 7.0	22 30 13.0
7	5	54.3	26 33.51	6 23 43.5	22 57 36.5
9	5	27 13.7	26 52.90	6 21 19.1	23 0 0.9
6	2	49.1	28 20.19	6 30 10.1	22 51 9.9

135 Fad. 5. 35''.2

Gute Luft.

ZONE 364. 1851 Febr. 24. West.

NC. 5 35' - 2' 0.14

8 2 - 2 1.93

Anf. 27 11.42 + 3.0 32.6

Ende 11.47 + 2.1 30.8

Microsc. I - 4'' .60 u. - 5'' .92

Decl. = Microsc. I - 29° 21' 20''

7^u $\tau + i + 29'' .179$ $\Delta \tau + 0'' .026$ $\Delta i - 0'' .008$

*Hülftafel zur Reduction auf den mittlern
Ort 1850 Januar 0 D = - 22°.*

T.	k	k'	d	d'
6	0 + 26.30	-5	-4	+19.9 + 0.3 + 18.5
	10 + 26.25	-6	-4	+20.2 + 0.3 + 18.5
	20 + 26.19	-5	-4	+20.5 + 0.3 + 18.5
	30 + 26.14	-4	-4	+20.8 + 0.3 + 18.5

5. Die Secunde des Microscops soll wohl 32'' .1 und dann die der Declin. 47'' .9 sein; vergl. Z. 344 N°. 17 und eine Beob. 1852 Febr. 23.

18 Fad. 2. 21.8

19 „ 7. 4.5

23 „ 3. 9.0

48. Die Minute des Microscops muss 25' sein, wie Z. 330 N°. 9, Z. 344 N°. 49, Z. 359 N°. 102, LL. 12609 und 4 neuere Bonner Beobachtungen zeigen; mit dieser Correction ist die Decl. und T berechnet.

53 Fad. 3. 59.5

No.	Gr.	Fad.	Beob. Zeit.	T.	Microsc. I	Südl. Declin.
54	9	4	22.4	6 28' 22.40	6 39' 40.0	22 41' 40.0
55	9	6	54.4	28 23.35	6 48 1.0	22 33 19.0
56	8.9	6	28.3	28 57.28	6 55 34.9	22 25 45.1
57	6.7	4	56.6	29 56.60	6 51 30.1	22 29 49.9
58	8.9	6	6.7	29 35.68	6 56 0.1	22 25 19.9
59	8	5	30.2	30 9.58	7 12 24.0	22 8 56.0
60	8.9	6	13.1	30 42.20	7 31 6.0	21 50 14.0
61	8.9	6	32.9	31 2.05	7 42 0.0	21 39 20.0
62	9	5	58.3	31 37.71	7 46 35.0	21 34 45.0
63	8	3	20.4	32 40.99	7 41 43.9	21 39 36.1
64	8.9	4	50.6	32 50.60	8 9 17.1	21 12 2.9
65	7	3	14.9	33 35.43	8 5 33.6	21 15 46.4
66	9	2	33 43.5	34 14.16	8 9 0.5	21 12 19.5
67	8.9	7	15.7	33 34.80	8 25 23.0	20 55 57.0
68	9.0	6	42.6	34 11.88	8 20 46.9	21 0 33.1
69	8.9	6	1.8	34 31.07	8 17 11.0	21 4 9.0
70	9	3	19.4	35 39.90	8 17 28.1	21 3 51.9
71	9	5	41.8	35 21.29	8 22 32.8	20 58 47.2
72	7	4	36 31.1	36 31.10	7 45 41.7	21 35 38.3
73	7	5	36 47.0	36 26.39	7 37 52.7	21 43 27.3
74	7.8	4	28.1	37 28.10	6 55 36.5	22 25 43.5
75	8	5	50.8	37 30.10	7 2 4.3	22 19 15.7
76	7.8	5	56.6	37 35.91	7 4 12.0	22 17 8.0
77	6.7	4	38 41.8	38 41.80	6 2 37.4	23 18 42.6
78	8.9	4	10.3	39 10.30	6 2 42.6	23 18 37.4
79	9	5	37.5	39 16.68	6 14 31.9	23 6 48.1
80	7.8	5	3.5	39 42.70	6 21 37.5	22 59 42.5
81	7.8	4	31.7	40 31.70	6 27 32.2	22 53 47.8
82	9.0	4	57.4	40 57.40	6 31 1.4	22 50 18.6
83	8.9	2	21.0	41 51.99	6 37 34.8	22 43 45.2
84	9	4	19.5	42 19.43	6 48 38.4	22 32 41.6
85	9	4	7.7	43 7.70	7 2 47.6	22 18 32.4
86	9	4	58.2	43 58.20	6 31 50.0	22 49 30.0
87	7	2	44 37.4	45 8.26	7 13 23.5	22 7 56.5
88	9	3	54.2	45 14.84	7 18 43.1	22 2 36.9
89	8.9	3	45 14.7	45 35.34	7 19 39.8	22 1 40.2
90	8.9	4	9.6	46 9.60	7 41 37.2	21 39 42.8
91	8.9	4	40.6	46 40.60	7 28 25.1	21 52 54.9
92	8	4	1.4	47 1.40	7 39 0.9	21 42 19.1
93	9	2	47 25.5	47 56.26	7 39 51.7	21 41 28.3
94	8.9	2	52.2	48 22.96	7 39 54.6	21 41 25.4
95	8.9	7	37.5	47 56.39	7 39 52.7	21 41 27.3
96	8.9	6	53.6	48 22.78	7 39 54.2	21 41 25.8
97	7	6	15.5	48 44.67	7 30 2.1	21 51 17.9
98	9	2	49.5	50 20.28	7 34 24.7	21 46 55.3
99	9	1	50 21.3	51 2.38	7 36 32.7	21 44 47.3
100	8	2	48.6	51 19.38	7 40 39.5	21 40 40.5
101	9	4	51 38.2	51 38.20	7 30 37.8	21 50 42.2
102	9	5	13.0	51 52.30	7 0 52.9	22 20 27.1
103	8.9	5	18.3	51 57.60	7 0 56.1	22 20 23.9
104	8.9	3	56.4	53 17.11	6 50 16.0	22 31 4.0
105	8	3	3.0	53 23.60	6 50 14.4	22 31 5.6
106	7	4	53 42.1	53 42.10	6 54 45.5	22 26 34.5
107	9	5	11.6	53 50.92	7 8 10.3	22 13 9.7
108	7.8	6	34.0	54 3.03	7 10 39.0	22 10 41.0

Hülfsstafel zur Reduction auf den mittlere Ort 1850 Januar 0 D = - 22°.

T.	k	k'	d
6 20' + 26.19	-5	-4	+20.5 +0.3 +
30 + 26.14	-5	-4	+20.8 +0.2 +
40 + 26.09	-6	-4	+21.0 +0.2 +
50 + 26.03	-5	-3	+21.2 +0.2 +
7 0 + 25.98		-3	+21.4 +

59 Fad. 6. 40.6
 75 „ 7 11.0 giebt 29.70 u. ist ausge
 76 „ 7. 16.7 „ 35.41 u. ist ausge
 84 „ 5. 40.1
 93. 95. derselbe.
 94. 96. derselbe.
 97 Fad. 7. 25.9
 100 „ 3. 58.7
 103 „ 6. 28.6
 105 „ 4. 23.5

Fad.	Beob. Zeit.	T.	Microsc. I	Südl. Declin.
7	57.3	6 54' 16.00	7 2' 4.6	22° 19' 15.4
7	13.2	54 31.89	6 59 56.0	22 21 24.0
7	27.1	54 45.76	6 53 59.9	22 27 20.1
3	0.5	56 21.23	6 45 3.0	22 36 17.0
4	27.0	56 27.00	6 55 50.0	22 25 30.0
4	37.5	56 37.50	6 59 50.2	22 21 29.8
6	57.2	56 26.19	7 0 4.1	22 21 15.9
4	57 31.7	57 31.70	6 49 12.7	22 32 7.3
5	18.5	57 57.88	7 32 25.8	21 48 54.2
3	37.2	58 57.80	7 37 33.3	21 43 46.7
1	4.3	59 45.39	7 33 46.0	21 47 34.0
2	18.6	59 49.37	7 37 6.4	21 44 13.6
4	48.0	59 48.00	7 26 53.2	21 54 26.8
3	3.7	7 0 24.33	7 22 26.8	21 58 53.2
1	28.2	1 9.35	7 21 3.0	22 0 17.0
4	54.3	0 54.30	7 10 5.0	22 11 15.0
3	6.6	1 27.27	7 8 37.0	22 12 43.0
3	13.4	1 33.98	7 10 37.5	22 10 42.5
7	50.3	1 9.09	7 21 4.0	22 0 16.0
2	23.7	2 54.53	7 21 0.8	22 0 19.2
4	57.6	2 57.60	7 27 27.6	21 53 52.4
3	13.3	3 33.91	7 31 56.5	21 49 23.5
1	49.4	4 30.43	7 47 22.4	21 33 57.6
3	4 20.6	4 41.16	7 53 46.6	21 27 33.4
1	5 2.6	5 43.61	7 50 54.8	21 30 25.2
5	41.0	5 20.49	8 19 1.9	21 2 18.1
2	4.6	6 35.19	8 28 17.1	20 53 2.9
2	29.2	6 59.80	8 27 19.1	20 54 0.9
2	48.5	7 19.09	8 29 38.7	20 51 41.3
3	11.7	7 32.17	8 29 41.0	20 51 39.0
3	26.8	7 47.27	8 31 37.6	20 49 42.4
4	54.6	7 54.60	8 34 43.5	20 46 36.5
4	8 26.4	8 26.40	8 38 7.3	20 43 12.7
4	4.7	9 4.70	8 19 18.2	21 2 1.8
4	20.3	9 20.30	8 25 38.1	20 55 41.9
4	29.3	9 29.30	8 25 28.9	20 55 51.1
3	50.7	10 11.18	8 25 33.2	20 55 46.8
3	10.5	10 30.89	8 24 52.6	20 56 27.4
3	45.5	11 6.00	8 15 16.3	21 6 3.7
6	10.5	10 39.78	8 10 36.8	21 10 43.2
1	35.7	12 16.62	8 9 38.8	21 11 41.2
3	11 54.3	12 14.82	8 2 32.4	21 18 47.6
4	39.6	12 39.60	7 37 1.4	21 44 18.6
5	50.2	12 29.58	7 34 24.7	21 46 55.3
4	32.4	13 32.40	7 32 23.7	21 48 56.3
4	5.6	14 5.60	6 46 45.9	22 34 34.1
6	22.2	13 51.06	6 52 48.1	22 28 31.9
4	13.6	15 13.60	6 5 53.3	23 15 26.7
4	41.3	15 41.30	6 36 35.4	22 44 44.6
5	7.1	15 46.32	6 29 39.1	22 51 40.9
3	27.4	16 48.13	6 44 12.0	22 37 8.0
3	34.9	16 55.56	6 46 21.4	22 34 58.6
7	3	17 29.63	6 43 43.6	22 37 36.4
7	33.0	16 51.58	6 37 13.0	22 44 7.0
4	18 6.2	18 6.20	6 45 48.0	22 35 32.0

*Hälftafel zur Reduction auf den mittlern
Ort 1850 Januar 0 D = - 22°.*

T.	k	k'	d	d'
6 50' + 26.03	-5	-3	+21.2	+0.2
7 0 + 25.98	-5	-3	+21.4	+0.2
10 + 25.93	-5	-3	+21.6	+0.1
20 + 25.88		-3	+21.7	+18.6

126	Fad. 4.	33.9	
131	" 2.	59.7	dupl. II. Cl. seq.; praec. 9 ^m .
135	" 3.	14.7	
146	" 4.	30.8	
147	" 4.	6.0	
150	" 4.	14.8	
152.	dupl. II. Cl. 8 ^m .	u. 8 ^m .	die Mitte beobachtet.
155	Fad. 7.	32.3	
160	" 4.	55.5	

No.	Gr.	Fad.	Beob. Zeit.	T.	Microsc. I	Südl. Declin.
164	9	2	27.0	7 18' 57.96	6 47' 9.2	22 34' 10.8
165	6	6	18 59.5	18 28.64	7 39 35.6	21 41 44.4
166	9	7	19 19.5	18 38.41	7 44 15.7	21 37 4.3
167	9	7	8.2	19 27.09	7 40 25.4	21 40 54.6
168	9	7	24.0	19 42.88	7 38 56.3	21 42 23.7
169	9	7	50.3	20 9.23	7 49 33.5	21 31 46.5
170	9	5	21.5	21 0.91	7 46 18.0	21 35 2.0
171	8.9	4	44.8	21 44.80	7 41 22.2	21 39 57.8
172	7	5	9.0	21 48.42	7 50 54.8	21 30 25.2
173	8.9	4	18.0	22 18.00	7 49 18.2	21 32 1.8
174	8	4	30.5	22 30.50	7 47 10.3	21 34 9.7
175	8	5	56.0	22 35.41	7 47 49.2	21 33 30.8
176	7	2	21.5	23 52.23	7 51 0.0	21 30 20.0
177	8.9	2	47.8	24 18.54	7 46 31.8	21 34 48.2
178	8.9	2	4.3	24 35.01	7 55 8.0	21 26 12.0
179	8.9	7	25.4	23 44.40	8 3 29.9	21 17 50.1
180	9	7	49.5	24 8.49	8 2 17.7	21 19 2.3
181	9	7	8.9	24 27.88	8 0 56.6	21 20 23.4
182	7.8	7	33.3	24 52.19	7 40 21.9	21 40 58.1
183	7.8	5	26 4.9	25 44.31	7 44 10.0	21 37 10.0
184	8.9	5	40.7	26 20.11	7 43 52.9	21 37 27.1
185	7	2	8.5	27 39.11	8 21 52.1	20 59 27.9
186	4	5	32.6	27 12.07	7 22 30.1	21 58 49.9
187	9	4	7.4	28 7.40	7 27 25.5	21 53 54.5
188	7	2	40.0	29 10.88	7 23 8.2	21 58 11.8
189	7	4	15.3	29 15.30	7 31 10.9	21 50 9.1
190	8.9	5	30 8.4	29 47.60	6 22 42.4	22 58 37.6
191	9	4	34.3	30 34.30	6 17 3.0	23 4 17.0
192	8	5	17.7	30 57.00	7 3 33.5	22 17 46.5
193	8.9	5	50.0	31 29.36	7 26 —	21 55 —
194	8.9	5	32 8.7	31 48.04	7 16 16.2	22 5 3.8
1	8.9	3	58 47.6	9 59 7.35	3 15 57.5	16 4 32.5
2	9	7	36.6	58 56.79	3 2 36.0	16 17 54.0
3	6.7	7	12.4	59 32.57	2 55 33.4	16 24 56.6
4	6.7	6	1 25.5	10 0 55.89	4 27 10.6	14 53 19.4
5	7.8	7	49.0	1 9.49	4 34 46.2	14 45 43.8
6	9	3	31.2	2 51.00	4 26 36.9	14 53 53.1
7	7	3	52.4	3 12.25	4 21 34.6	14 58 55.4
8	7.8	5	39.5	3 19.56	3 8 23.6	16 12 6.4
9	9.0	3	3.9	4 23.82	3 8 3.3	16 12 26.7
10	9	3	31.0	4 50.93	3 3 28.0	16 17 2.0
11	9	5	5.5	4 45.53	2 56 22.1	16 24 7.9
12	9	4	44.5	5 44.50	1 33 31.3	17 46 58.7
13	9	4	3.6	6 3.60	1 28 34.1	17 51 55.9
14	9	4	37.2	6 37.20	2 10 36.5	17 9 53.5
15	9.0	5	59.2	6 39.14	2 2 42.7	17 17 47.3
16	8.9	5	31.3	7 11.24	1 57 43.6	17 22 46.4
17	8	3	16.0	8 35.98	2 39 40.6	16 40 49.4
18	8.9	5	9 6.3	8 46.37	3 18 14.9	16 2 15.1
19	9.0	5	41.5	9 21.62	3 45 41.9	15 34 48.1
20	8	7	39.0	9 59.09	2 32 47.2	16 47 42.8
21	9	4	11 0.7	11 0.85	2 32 31.9	16 47 58.1
22	8.9	4	42.3	11 42.30	2 36 45.0	16 43 45.0
23	9.0	5	0.0	11 39.89	2 39 57.3	16 40 32.7
24	9	2	34.6	13 4.42	2 49 23.4	16 31 6.6

Hülftafel zur Reduction auf den mittle Ort 1850 Januar 0 D = - 22°.

T.	k	k'	d
7 10' + 25.93	-5	-3	+21.6 +0.1 +
20 + 25.88	-5	-3	+21.7 +0.1 +
30 + 25.83	-4	-3	+21.8 +0.1 +
40 + 25.79		-3	+21.9 +0.1 +

174 Fad. 5. 50.7 giebt 30".11 und ist au geschlossen.

186 Fad. 6. 43.1

188 „ 3. 50.3

Anfangs sehr gute Luft; um 7^u aber fingen Sterne an etwas unruhig zu werden, und Unruhe nahm um 7^u 27' plötzlich so zu, die Zone geschlossen werden musste.

ZONE 365. 1851 Febr. 24. W.

NC. 9 40' - 2 0.65

12 1 - 2 2.53

Anf. 27 11.15 + 2.4 31.0

Ende 10.91 + 1.7 33.2

Nach dem Minimumthermometer war die Temperatur bis auf 30.7 F. gesunken gewesen.

Microsc. I - 5".61 u. - 6".76

Decl. = Microsc. I - 19° 20' 30"

11^u $\tau + i + 29''.256$ $\Delta \tau + 0''.026$ $\Delta i - 0''$

D = - 16°.

10 0' + 25.28	-1	-1	+28.6 -0.3 +
10 + 25.27	-1	0	+28.3 -0.3 +
20 + 25.26		0	+28.0 -0.3 +

1 Fad. 4. 7".2; Fad. 3 giebt 7".51

4 „ 7. 35.5

5. Wahrscheinlich Fad. 5 und dann T 1' 29"

Vergl. LL. N°. 19795, W. X^u. N°. 13.

Z. 286 N°. 103.

7 Fad. 4. 12.3

21 „ 5. 21.0

23 „ 6. 9.7

Gr.	Fad.	Beob. Zeit.	T.	Microsc. I	Südl. Declin.
			^u 12' 47.72	^o 2 48' 24.0	^o 16 32' 6.0
.0	5	7.7	13 42.26	2 49 31.3	16 30 58.7
)	3	22.3	13 4.44	2 48 23.1	16 32 6.9
)	7	44.3	13 31.08	2 29 47.8	16 50 42.2
)	7	11.0	14 48.60	2 30 14.0	16 50 16.0
)	4	48.6	14 43.45	2 35 40.7	16 44 49.3
)	6	13.4	15 58.67	2 44 53.2	16 35 36.8
)	3	38.7	16 32.72	2 39 37.4	16 40 52.6
3	2	2.9	16 14.50	2 38 3.9	16 42 26.1
)	4	16 14.5	17 56.23	4 11 59.2	15 8 30.8
)	3	17 36.4	18 48.70	4 17 24.5	15 3 5.5
.0	4	18 48.7	20 7.53	4 10 43.6	15 9 46.4
.8	1	28.0	20 31.47	3 48 16.4	15 32 13.6
.8	2	1.8	20 48.55	3 56 28.1	15 24 1.9
.9	3	28.7	21 13.15	3 57 2.6	15 23 27.4
)	2	43.5	21 36.90	2 58 10.0	16 22 20.0
)	4	36.9	21 45.02	2 42 53.8	16 37 36.2
)	5	22 5.0	22 36.98	2 25 46.0	16 54 44.0
)	5	57.0	22 37.72	2 14 23.6	17 6 6.4
.9	7	17.7	23 23.19	2 31 20.9	16 49 9.1
.9	5	43.2	24 20.70	2 14 47.1	17 5 42.9
)	4	20.7	24 58.50	3 8 57.5	16 11 32.5
)	4	58.5	25 20.07	4 17 7.7	15 3 22.3
.9	5	39.9	26 3.50	4 15 24.7	15 5 5.3
)	4	3.5	27 4.33	4 9 58.8	15 10 31.2
)	2	34.6	27 35.76	3 51 58.9	15 28 31.1
)	3	15.9	28 32.21	3 45 51.5	15 34 38.5
)	1	52.6	28 35.05	3 54 28.5	15 26 1.5
.9	3	28 15.2	29 20.70	3 31 33.1	15 48 56.9
)	5	29 40.6	29 56.27	2 17 35.6	17 2 54.4
.9	5	16.3	30 12.18	2 22 42.5	16 57 47.5
.8	5	32.2	30 49.96	2 13 48.0	17 6 42.0
.8	5	10.0	30 51.33	3 14 4.4	16 6 25.6
)	7	31 31.1	31 44.42	3 22 20.1	15 58 9.9
)	5	4.3	32 14.10	2 37 39.4	16 42 50.6
.9	7	54.0	32 43.12	2 33 13.0	16 47 17.0
)	6	13.2	33 48.40	2 35 25.7	16 45 4.3
)	4	48.4	34 55.26	2 33 0.0	16 47 30.0
)	1	15.4	34 55.00	2 23 33.5	16 56 56.5
.8	3	35.0	35 33.94	2 58 35.0	16 21 55.0
)	3	14.0	35 46.03	2 55 50.5	16 24 39.5
)	5	6.0	35 45.27	3 27 46.1	15 52 43.9
.9	7	36 25.0	37 33.80	3 56 33.6	15 23 56.4
)	4	33.8	38 10.30	3 46 12.5	15 34 17.5
)	4	38 10.3	39 10.90	4 23 23.5	14 57 6.5
)	4	10.9	39 29.50	4 30 34.1	14 49 55.9
)	4	29.5	39 49.70	4 30 18.9	14 50 11.1
.9	4	49.7	39 49.29	4 29 51.0	14 50 39.0
.8	5	9.1	40 15.54	2 46 27.5	16 34 2.5
)	7	55.4	40 42.75	2 51 23.1	16 29 6.9
)	7	22.6	42 23.36	2 48 1.5	16 32 28.5
)	3	42 3.4	43 1.49	3 30 30.0	15 50 0.0
.9	3	41.6	43 13.50	3 36 47.6	15 43 42.4
)	4	13.5	43 50.37	3 43 32.1	15 36 57.9
.9	3	30.5	44 52.15	3 32 30.6	15 47 59.4
7	1	44 12.5			

**Hilfstafel zur Reduction auf den mittlern
Ort 1850 Januar 0 D = -16°.**

T.	k	k'	d	d'
^u 10' 10+25.27	-1	0	+28.3	-0.3
20+25.26	-1	0	+28.0	-0.3
30+25.25	0	0	+27.7	-0.3
40+25.25	-1	0	+27.4	-0.3
50+25.24		0	+27.1	+11.0

24 und 27 derselbe Stern und bei No. 27 die Minute der Declination verschrieben, wie 3 Beobachtungen 1851 März 11. 14. und 1852 März 27. zeigen.

32 Fad. 4. 32.7

49 „ 3. 44.6

58 „ 6. 14.3

60 „ 7. 22.9

66. Zeit unsicher beobachtet.

Nr.	Gr.	Fad.	Beob. Zeit.	T.	Microsc. I	Südl. Declin.
80	7.8	3	51.8	10 45 11.67	3 44 48.1	15 35 41.9
81	7	7	31.7	44 51.90	3 6 18.7	16 14 11.3
82	8	6	46.4	45 16.55	3 11 55.9	16 8 34.1
83	8	5	11.7	45 51.78	3 19 10.7	16 1 19.3
84	9	4	31.0	46 30.94	3 21 33.8	15 58 56.2
85	8.9	3	1.7	47 21.61	3 20 10.1	16 0 19.9
86	8	7	50.4	47 10.51	2 39 58.9	16 40 31.1
87	7	1	48 17.4	48 57.23	2 41 19.5	16 39 10.5
88	9	4	52.4	48 52.40	2 18 5.7	17 2 24.3
89	9	5	49.0	49 29.06	3 11 19.0	16 9 11.0
90	9	5	28.1	50 8.16	3 9 45.6	16 10 44.4
91	6	2	11.5	51 41.22	3 47 1.8	15 33 28.2
92	7.8	4	5.6	52 5.60	2 49 19.5	16 31 10.5
93	9	4	34.5	52 34.50	2 25 52.2	16 54 37.8
94	9	6	5.3	52 35.31	2 19 5.6	17 1 24.4
95	7	4	49.0	53 49.00	2 47 24.6	16 33 5.4
96	8.9	3	19.0	54 38.98	2 38 46.8	16 41 43.2
97	8.9	1	49.2	55 29.02	2 42 7.5	16 38 22.5
98	9	5	47.0	55 27.08	3 21 24.8	15 59 5.2
99	9	7	56 19.3	55 39.67	3 57 50.2	15 22 39.8
100	8	4	53.8	56 53.80	3 53 35.4	15 26 54.6
101	8.9	1	18.4	57 57.99	3 52 8.5	15 28 21.5
102	8.9	5	53.4	57 33.57	4 17 37.3	15 2 52.7
103	8.9	4	11.4	58 11.40	4 6 10.0	15 14 20.0
104	8	5	39.0	58 19.16	4 9 26.8	15 11 3.2
105	8	5	59 6.5	58 46.67	4 18 27.4	15 2 2.6
106	8.9	3	39.2	59 59.03	4 6 53.3	15 13 36.7
107	9	7	9.7	59 30.06	3 54 59.8	15 25 30.2
108	7	5	44.1	11 0 24.26	4 11 6.0	15 9 24.0
109	9.0	7	1 33.2	0 53.23	2 17 49.0	17 2 41.0
110	9.0	7	15.2	1 35.21	2 10 17.7	17 10 12.3
111	8	7	55.6	2 15.70	2 34 58.7	16 45 31.3
112	9	5	22.5	3 2.48	2 27 24.6	16 53 5.4
113	7.8	6	46.4	3 16.50	3 1 59.9	16 19 30.1
114	9.0	4	40.5	4 40.50	3 11 4.4	16 9 25.6
115	9	5	6 1.3	5 41.37	4 11 20.4	15 9 9.6
116	8	3	7 26.8	7 46.96	3 47 53.4	15 32 36.6
117	9	2	8 46.2	9 15.87	3 51 31.7	15 28 58.3
118	9.0	5	33.7	9 13.72	2 47 56.4	16 32 33.6
119	9	3	50.2	10 10.23	2 51 5.3	16 29 24.7
120	8	6	44.5	10 14.55	2 34 43.6	16 45 46.4
121	9	6	9.5	10 39.56	2 30 41.9	16 49 48.1
122	9	4	41.3	11 41.30	2 39 2.9	16 41 27.1
123	9	3	11.4	12 31.37	2 40 55.7	16 39 34.3
124	8.9	7	36.4	11 56.42	2 15 5.0	17 5 25.0
125	9	3	13 53.6	14 13.61	2 19 56.9	17 0 33.1
126	8	4	14 36.9	14 36.90	3 46 48.5	15 33 41.5
127	7	5	7.0	14 47.14	3 59 24.7	15 21 5.3
128	7	5	15 29.6	15 9.70	3 33 6.7	15 47 23.3
129	9	1	16 52.5	17 32.07	3 59 20.6	15 21 9.4
130	9.0	3	29.1	17 48.94	4 0 40.2	15 19 49.8
131	7	2	18 44.0	19 13.48	4 31 0.2	14 49 29.8
132	8.9	2	19 23.6	19 53.20	4 17 54.0	15 2 36.0
133	7	3	19 56.2	20 16.02	4 16 19.9	15 4 10.1
134	8.9	5	37.7	20 17.80	3 32 39.9	15 47 50.1

Halftafel zur Reduction auf den mittlere Ort 1850 Januar 0 D = - 16°.

T.	k	k'	d
10 40 + 25.25	-1	0	+27.4 -0.3 +
50 + 25.24	0	0	+27.1 -0.3 +
11 0 + 25.24	0	0	+26.8 -0.4 +
10 + 25.24	+1	+1	+26.4 -0.3 +
20 + 25.25		+1	+26.1 +

84 Fad. 5. 50.8

91 „ 3. 21.4 roth.

113 „ 7. 56.3 Die Minute des Micro ist nach LL. 21405 und einer Beob. März 24. 0 zu lesen; hiernach ist die angesetzt.

115 Fad. 6. 11.0 dupl. III. Cl. borealis.

116 „ 4. 47.0 Fad. 5. 6''.8; dupl. II seq.; Fad. 3 giebt 46.66 und ist ausg

119 Fad. 4. 10.3

121 „ 7. 19.5

131 „ 3. 53.6

r.	Fad.	Beob. Zeit.	T.	Microsc. 1	Südl. Declin.
7	4	55.2	11 20' 55.20	3 33' 57.3	15 46' 32.7
8	4	35.2	21 35.20	3 24' 11.6	15 56' 18.4
8	5	21.0	22 0.98	2 23' 39.8	16 56' 50.2
7	6	33.2	22 3.20	2 16' 41.4	17 3' 48.6
8	6	22 56.0	22 25.99	2 23' 57.9	16 56' 32.1
7	5	45.4	23 25.38	2 23' 2.2	16 57' 27.8
9	6	17.0	23 47.05	2 36' 33.4	16 43' 56.6
7	6	42.5	24 12.53	2 30' 43.5	16 49' 46.5
7	7	23.6	24 43.72	2 41' 20.5	16 39' 9.5
7	3	3.5	26 23.43	3 3' 19.0	16 17' 11.0
7	4	47.1	26 47.10	3 1' 38.4	16 18' 51.6
7	6	23.1	26 53.39	4 11' 54.6	15 8' 35.4
8	5	27 42.7	27 22.86	4 3' 37.2	15 16' 52.8
7	7	45.4	28 5.89	4 35' 39.0	14 44' 51.0
9	4	36.2	29 36.18	3 14' 5.5	16 6' 24.5
7	6	36.7	30 6.84	3 9' 10.1	16 11' 19.9
9	7	25.9	30 46.02	2 42' 30.6	16 37' 59.4
9	5	31 56.5	31 36.50	2 35' 50.0	16 44' 40.0
7	1	29.6	33 9.48	2 27' 51.4	16 52' 38.6
0	2	59.3	33 29.19	2 20' 56.2	16 59' 33.8
7	7	33 49.3	33 9.37	2 27' 50.7	16 52' 39.3
9	3	46.0	35 5.94	2 58' 47.1	16 21' 42.9
7	4	35 44.6	35 44.60	2 38' 17.0	16 42' 13.0
9	5	28.3	36 8.35	3 2' 6.4	16 18' 23.6
7	3	17.4	37 37.23	4 5' 19.4	15 15' 10.6
7	2	38 13.4	38 43.30	2 18' 27.2	17 2' 2.8
9	4	39 54.6	39 54.60	2 38' 37.9	16 41' 52.1
7	3	48.3	40 8.26	2 47' 20.0	16 33' 10.0
7	7	41 32.4	40 52.59	3 1' 9.5	16 19' 20.5
7	6	5.9	41 36.01	3 0' 3.8	16 20' 26.2
7	7	29.6	41 49.80	3 6' 31.7	16 13' 58.3
7	5	43 9.5	42 49.54	2 57' 30.9	16 22' 59.1
8	5	40 53.7	9 40 32.08	8 22' 19.0	27 41' 59.0
9	5	42 28.5	42 6.86	8 31' 25.3	27 51' 5.3
9	1	13.7	43 56.96	8 28' 10.6	27 47' 50.6
9	2	25.2	44 57.78	9 2' 57.8	28 22' 37.8
7	4	5.5	45 5.52	8 38' 28.0	27 58' 8.0
7	2	46 20.9	46 53.22	7 58' 50.1	27 18' 30.1
9	2	12.6	47 44.90	8 3' 25.4	27 23' 5.4
7	1	59.2	48 42.05	7 35' 45.9	26 55' 25.9
7	1	57.5	49 40.41	7 27' 22.2	26 47' 2.2
7	3	41.6	50 3.16	8 0' 7.7	27 19' 47.7
9	6	15.0	49 42.66	8 30' 43.6	27 50' 23.6
9	5	5.4	50 43.72	8 43' 25.0	28 3' 5.0
9	6	41.9	51 9.45	8 53' 38.2	28 13' 18.2
7	52	16.2	51 32.74	9 16' 6.2	28 35' 46.2
8	4	54 38.5	54 38.50	8 38' 25.3	27 58' 5.3
9	5	0.6	54 38.94	8 38' 6.5	27 57' 46.5
7	3	55 30.1	55 51.78	8 37' 27.1	27 57' 7.1
7	2	9.2	56 41.61	8 27' 36.4	27 47' 16.4
7	3	41.5	57 3.12	8 20' 16.8	27 39' 56.8
7	5	4.5	56 42.79	8 23' 15.5	27 42' 55.5
7	5	55.0	57 33.43	8 8' 56.9	27 28' 36.9
7	5	17.6	57 56.03	8 9' 25.3	27 29' 5.3
7	2	48.4	59 9.98	8 6' 11.1	27 25' 51.1

**Hülftafel zur Reduction auf den mittlern
Ort 1850 Januar 0 D = - 16°.**

T.	k	k'	d	d'
u				
11 20' + 25.25	0	+1	+26.1	-0.4
30 + 25.25	+1	+1	+25.7	-0.4
40 + 25.26	+1	+1	+25.3	-0.4
50 + 25.27		+1	+24.9	+11.0

139 Fad. 7. 5.9
 147 „ 6. 52.6
 149 „ 6. 6.0 dupl. III. Cl. austr.; bor. 9 m.
 153. 155. derselbe.
 161 Fad. 5. 14.6

Ziemlich gute Luft; nur zuletzt wurden die Sterne
 unruhig; auch störte der heftige Wind etwas.

ZONE 366. 1851 März 2. Ost.

NC. 9 13 - 1 39.62
 10 48 - 1 43.38
 Anf. 28 3.85 - 1.6 19.2
 Ende 3.80 - 3.0 18.5
 Microsc. I + 0''.51 u. - 0''.33
 Decl. = - (Microsc. I + 19° 19' 40'')
 10ⁿ r+i + 31''.561 Δr+0''.018 Δi-0''.012
 D = - 28°.

u				
9 40' + 27.66	-4	-1	+38.8	+0.3
50 + 27.62	-4	-1	+39.1	+0.2
10 0 + 27.58		0	+39.3	+43.1

3 Fad. 2. 24''.6
 4 „ 3. 36.0
 5 „ 5. 27.2
 6 „ 3. 31.7
 9 „ 2. 8.4
 11 „ 7. 25.8 15. 16. dupl. IV. Cl.
 20 „ 6. 15.0
 23. Z. 361 N°. 47 zeigt, dass statt des 2^{ten} der 3^{te}
 Faden zu lesen sei; danach ist T berechnet.

Nr.	Gr.	Fad.	Beob. Zeit.	T.	Microsc. I	Südl. Declin.
24	9	5	13.6	9 58' 52.07	7 57' 7.4	27 16' 47.4
25	9	7	48.5	59 5.79	7 23 2.7	26 42 42.7
26	8.9	4	36.4	10 0 36.40	8 4 30.5	27 24 10.5
27	9	6	1 40.2	1 7.85	8 34 5.7	27 53 45.7
28	8.9	5	3 2.5	2 40.72	9 13 43.4	28 33 23.4
29	9	3	4 3.4	4 25.30	9 40 49.8	29 0 29.8
30	9	6	58.5	4 26.08	8 47 41.4	28 7 21.4
31	9	4	6 3.0	6 3.00	8 53 38.1	28 13 18.1
32	9	4	38.7	6 38.70	8 55 58.1	28 15 38.1
33	8.9	6	7 12.5	6 39.99	9 6 5.0	28 25 45.0
34	8.9	3	8 57.7	9 19.49	9 8 57.4	28 28 37.4
35	8.9	4	9 22.5	9 22.50	9 8 29.8	28 28 9.8
36	8	3	5.6	10 27.39	9 9 54.1	28 29 34.1
37	6	4	48.0	10 48.00	8 55 29.5	28 15 9.5
38	8.9	7	5.5	10 22.25	8 45 20.0	28 5 0.0
39	8	4	47.3	11 47.30	8 53 30.8	28 13 10.8
40	8	3	5.0	12 26.73	8 53 36.0	28 13 16.0
41	8	4	47.7	12 47.70	8 35 59.2	27 55 39.2
42	8.9	4	35.4	13 35.40	8 40 30.5	28 0 10.5
43	9	3	7.7	14 29.41	8 48 23.1	28 8 3.1
44	9	3	39.6	15 1.31	8 46 34.2	28 6 14.2
45	8.9	4	16 12.7	16 12.70	9 3 38.6	28 23 18.6
46	8	2	2.2	17 34.35	7 33 11.4	26 52 51.4
47	9	5	31.4	17 9.95	7 33 24.9	26 53 4.9
48	7.8	5	18 23.7	18 1.90	9 6 47.5	28 26 27.5
49	8.9	3	20 17.4	20 39.39	9 36 37.8	28 56 17.8
50	8.9	3	21 2.2	21 24.10	9 38 43.1	28 58 23.1
51	9	3	19.4	21 41.26	9 29 40.4	28 49 20.4
52	9	7	41.3	20 57.77	9 25 15.0	28 44 55.0
53	8.9	6	14.3	21 41.67	9 29 38.4	28 49 18.4
54	7	7	22 50.0	22 6.42	9 34 27.0	28 54 7.0
55	8.9	2	50.4	24 22.72	8 9 15.5	27 28 55.5
1	9.0	6	46 16.7	10 45 46.58	9 3 58.0	18 20 58.0
2	9	5	47.0	46 26.83	9 7 7.1	18 24 7.1
3	8.9	5	23.3	47 3.12	9 15 2.0	18 32 2.0
4	8	3	2.3	48 22.52	9 26 47.0	18 43 47.0
5	9.0	6	23.5	47 53.34	9 17 44.8	18 34 44.8
6	9	6	49 1.6	48 31.33	9 51 32.0	19 8 32.0
7	9	m	45.4	49 48.82	9 7 10.1	18 24 10.1
8	9	3	4.4	50 24.60	9 17 14.6	18 34 14.6
9	8	3	3.2	51 23.21	7 32 34.3	16 49 34.3
10	5	m	55.3	51 58.70	8 13 39.0	17 30 39.0
11	8.9	2	11.5	52 41.53	8 14 50.0	17 31 50.0
12	9.0	5	56.8	52 36.73	8 14 51.0	17 31 51.0
13	8.9	5	53 11.7	52 51.63	8 17 21.0	17 34 21.0
14	9	5	54.5	53 34.26	9 43 35.0	19 0 35.0
15	9	6	19.4	53 49.32	9 50 27.0	19 7 27.0
16	8	7	33.6	53 53.18	9 58 29.4	19 15 29.4
17	9	3	55 22.3	55 2.05	9 37 30.0	18 54 30.0
18	7	m	59.1	56 2.53	9 33 58.6	18 50 58.6
19	9	3	15.2	56 35.44	9 34 47.5	18 51 47.5
20	9	2	58 4.7	58 34.34	9 49 13.5	19 6 13.5
21	9	5	55.5	58 35.38	8 42 31.1	17 59 31.1
22	9.0	6	25.7	58 55.63	8 47 12.2	18 4 12.2
23	8.9	2	2.5	11 0 32.54	8 1 45.1	17 18 45.1

Hülfsstafel zur Reduction auf den mittleren Ort 1850 Januar 0 $D = -28^\circ$.

T.	k	k'	d
10 0' + 27.58	-3	0	+39.3 + 0.2 +
10 + 27.55	-4	0	+39.5 + 0.2 +
20 + 27.51	-3	0	+39.7 + 0.1 +
30 + 27.48		0	+39.8 +

38. Zeit unsicher beobachtet,

49 Fad. 4. 39".5

51. 53. derselbe.

Ziemliche Luft; zuletzt trübe.

ZONE 367. 1851 März 8.

NC. 10 38' - 1' 43.71
 12 54 - 1' 47.11
 Anf. 28 1.19 + 1.2 29.2
 Ende 1.22 + 0.2 26.2
 Microsc. I + 1".4 u. + 0".2
 Decl. = - (Microsc. I + 9° 17' 0")
 12" r + i + 33".655 $\Delta r + 0".016$ $\Delta i - 0$

Hülfsstafel zur Reduction auf den mittleren Ort 1850 Januar 0 $D = -18^\circ$.

T.	k	k'	d
10 40' + 29.58	-2	-1	+32.3 + 0.1 +
50 + 29.56	-2	0	+32.4 + 0.2 +
11 0 + 29.54		0	+32.6 +

11 Fad. 3. 21".4

17. Nach dem Zeugniß von Z. 356 Nr. 135 einer Beobachtung 1852 März 23. ist des 3ten der 5te Faden zu lesen. Danach T berechnet.

Fad.	Beob. Zeit.	T.	Microsc. I	Südl. Declin.
		^u		
2	45.9	11 1 16.07	8 46 10.2	18 3 10.2
5	23.0	1 2.81	9 19 42.0	18 36 42.0
7	1 55.0	1 14.71	9 24 52.0	18 41 52.0
5	3 18.3	2 58.30	7 36 27.6	16 53 27.6
m	4 16.4	4 19.79	7 22 41.6	16 39 41.6
1	41.3	5 21.17	7 19 3.3	16 36 3.3
2	13.7	5 43.65	7 27 14.3	16 44 14.3
6	47.6	5 17.65	8 4 7.5	17 21 7.5
2	30.5	7 0.66	8 42 21.9	17 59 21.9
m	7 18.9	7 22.33	9 32 38.7	18 49 38.7
7	7 50.3	7 9.99	9 30 43.9	18 47 43.9
5	33.6	8 13.39	9 30 13.2	18 47 13.2
6	9 59.3	9 29.24	8 43 30.9	18 0 30.9
3	36.2	10 56.29	8 16 6.4	17 33 6.4
4	10.5	11 10.50	8 25 5.6	17 42 5.6
4	52.6	11 52.60	7 48 43.4	17 5 43.4
5	12 46.7	12 26.73	7 22 55.3	16 39 55.3
6	27.0	13 56.96	8 37 42.6	17 54 42.6
6	10.4	13 40.31	8 52 8.0	18 9 8.0
4	14 39.3	14 39.30	8 30 4.0	17 47 4.0
5	7.5	14 47.42	8 24 59.3	17 41 59.3
5	15 46.8	15 26.68	8 40 54.0	17 57 54.0
4	11.2	16 11.20	8 52 44.4	18 9 44.4
2	45.9	17 16.02	8 30 32.5	17 47 32.5
7	22.7	16 42.42	9 23 35.6	18 40 35.6
3	17 50.3	18 10.58	9 54 23.9	19 11 23.9
3	42.2	19 2.41	9 21 0.0	18 38 0.0
7	22.6	18 42.42	8 58 26.3	18 15 26.3
7	43.0	19 2.79	9 5 55.3	18 22 55.3
5	18.2	19 58.03	9 8 52.7	18 25 52.7
7	49.1	20 8.97	8 45 42.5	18 2 42.5
3	21 22.1	21 42.19	8 18 46.2	17 35 46.2
6	6.2	21 36.23	8 11 10.2	17 28 10.2
5	34.3	22 14.25	8 4 57.6	17 21 57.6
7	1.8	22 21.91	7 39 56.0	16 56 56.0
4	42.5	23 42.50	7 27 19.5	16 44 19.5
6	38.3	24 8.43	7 33 7.5	16 50 7.5
7	18.3	24 38.17	8 46 6.5	18 3 6.5
7	48.2	25 8.10	8 36 49.6	17 53 49.6
6	31.5	26 1.45	8 40 48.0	17 57 48.0
4	11.0	27 11.00	8 29 45.0	17 46 45.0
7	41.1	27 1.06	8 21 32.3	17 38 32.3
3	28 20.1	28 40.26	8 51 55.0	18 8 55.0
7	29 27.9	28 47.67	9 10 7.3	18 27 7.3
5	32.4	30 12.21	9 16 39.5	18 33 39.5
2	7.0	31 37.28	9 24 43.2	18 41 43.2
4	55.4	31 55.40	8 35 30.5	17 52 30.5
4	24.5	32 24.50	8 38 50.4	17 55 50.4
6	5.4	32 35.42	8 14 33.3	17 31 33.3
4	31.5	33 31.50	8 19 54.9	17 36 54.9
1	34 0.2	34 40.19	8 20 53.0	17 37 53.0
4	54.5	34 54.50	7 58 54.0	17 15 54.0
3	10.6	35 30.65	7 59 30.7	17 16 30.7
5	0.4	35 40.42	7 25 35.1	16 42 35.1
6	34.5	36 4.66	7 24 18.2	16 41 18.2

*Hülftafel zur Reduction auf den mittlern
Ort 1850 Januar 0 D = - 18°.*

T.	k	k'	d	d'
^u				
11 0+29.54	-1	0	+32.6	+0.1 +13.1
10+29.53	-2	0	+32.7	+0.1 +13.2
20+20.51	-1	0	+32.8	0.0 +13.2
30+29.50	-1	0	+32.8	0.0 +13.2
40+29.49		0	+32.8	+13.3

55 Fad. 4. 42.2

74 " 3. 20.0

No.	Gr.	Fad.	Beob. Zeit.	T.	Microsc. I	Südl. Declin.
79	5	5	0.6	11 36' 40.53	8 14' 36.6	17 31' 36.6
80	9	4	43.8	37 43.80	8 4 31.5	17 21' 31.5
81	8	3	13.8	38 33.96	8 53 56.3	18 10 56.3
82	9.0	4	47.7	38 47.70	8 48 13.4	18 5 13.4
83	8.9	3	59.7	39 19.85	8 49 30.0	18 6 30.0
84	8	5	39 42.4	39 22.24	9 5 15.5	18 22 15.5
85	8.9	1	21.0	41 1.24	8 59 3.0	18 16 3.0
86	8.9	1	46.2	41 6.45	9 4 56.0	18 21 56.0
87	9	6	22.0	40 51.75	9 47 54.6	19 4 54.6
88	9	3	51.2	42 11.45	9 43 23.3	19 0 23.3
89	8.9	4	22.3	42 22.30	9 34 17.2	18 51 17.2
90	8	6	40.7	42 10.55	9 29 44.5	18 46 44.3
91	8	2	43 43.1	44 13.46	9 51 46.0	19 8 46.0
92	8.9	2	17.5	44 47.82	9 35 30.6	18 52 30.6
93	7	7	46.2	44 5.99	9 5 43.3	18 22 43.3
94	7.8	6	6.0	44 35.87	9 4 47.4	18 21 47.4
95	9	7	53.7	45 13.60	8 39 26.7	17 56 26.7
96	9	2	36.6	47 6.64	8 0 6.9	17 17 6.9
97	9	5	17.5	46 57.51	7 32 7.3	16 49 7.3
98	9	3	58.2	48 18.25	7 59 56.9	17 16 56.9
99	8.9	3	48 39.5	48 59.58	8 16 24.9	17 33 24.9
100	9	7	49 39.5	48 59.48	8 16 26.4	17 33 26.4
101	9.0	3	51 11.0	51 31.14	8 46 47.1	18 3 47.1
102	6	4	52 42.0	52 42.00	9 32 48.4	18 49 48.4
103	9.0	4	15.5	53 15.50	9 33 24.7	18 50 24.7
104	8	6	53 59.7	53 29.55	9 13 38.0	18 30 38.0
105	9	7	4.6	53 24.34	9 17 15.7	18 34 15.7
106	9	3	1.3	55 21.49	9 11 14.5	18 28 14.5
107	9.0	7	30.3	54 50.09	9 6 19.8	18 23 19.8
108	9.0	4	54.5	55 54.50	9 1 6.1	18 18 6.1
109	9.0	5	35.7	56 15.54	9 3 10.3	18 20 10.3
110	8	7	57 14 :	56 34	7 44 31.1	17 1 31.1
111	8	2	5.6	58 35.62	7 52 9.7	17 9 9.7
112	9	2	32.9	59 3.02	7 48 22.8	17 5 22.8
113	8.9	2	18.1	59 48.04	7 23 21.0	16 40 21.0
114	7	7	56.4	59 16.42	8 4 58.8	17 21 58.8
115	7.8	6	38.9	12 0 8.89	8 28 13.6	17 45 13.6
116	7	6	2.5	0 32.49	8 19 34.1	17 36 34.1
117	8.9	5	54.0	1 33.75	9 45 59.9	19 2 59.9
118	9.0	6	7.9	1 37.65	9 42 20.2	18 59 29.2
119	7	6	36.9	2 6.68	9 39 30.0	18 56 30.0
120	7	2	7.0	3 37.36	9 49 1.3	19 6 1.3
121	9.0	7	41.2	3 0.79	9 54 49.2	19 11 49.2
122	7	4	4 6.2	4 6.20	9 45 39.1	19 2 39.1
123	8	5	4 45.6	4 25.36	9 42 26.6	18 59 26.6
124	7.8	2	33.0	6 3.22	9 2 36.5	18 19 36.5
125	8.9	5	11.2	5 51.20	7 39 2.6	16 56 2.6
126	8.9	2	57.7	7 27.65	7 25 49.1	16 42 49.1
127	9	5	7 32.6	7 12.61	7 30 59.8	16 47 59.8
128	8.9	7	11.9	7 31.77	8 46 1.6	18 3 1.6
129	8.9	4	9 15.7	9 15.70	8 8 57.2	17 25 57.2
130	8.9	4	2.3	10 2.30	8 36 11.5	17 53 11.5
131	7.8	1	42.3	11 22.57	9 8 44.5	18 25 44.5
132	8	2	57.5	11 27.73	9 5 20.3	18 22 20.3
133	8	3	11 20.5	11 40.69	9 9 50.6	18 26 50.6

*Hülfsstafel zur Reduction auf den mittl.
Ort 1850 Januar 0 D = - 18°.*

T.	k	k'	d	
11 30' + 29.50	-1	0	+32.8	0.0 +
40 + 29.49	0	0	+32.8	0.0 +
50 + 29.49	0	+1	+32.8	-0.1 +
12 0 + 29.49	0	+1	+32.7	-0.1 +
10 + 29.49	0	+1	+32.6	-0.1 +
20 + 29.49		+1	+32.5	+

79 Fad. 6. 10.5

90 „ 7. 50.9

99, 100. derselbe.

112 Fad. 3. 43.1

116 „ 7. 12.5

118 „ 7. 18.0

126. Bei diesem Sterne vermute ich einen F in der Declination, da sonst gewiss γ beobachtet wäre, der in der angegeb. Decl. nur 10'' vorhergeht. Wahrscheinlich die Gradzahl des Microscops 8 zu lesen dann die Decl. 17° 42' 49''.1, T. 7' 27.

127. Wenn die bei dem vorhergehenden S gemachte Conjectur richtig ist, so ist wahrscheinlich auch bei diesem Sterne der des Microscops 8 zu lesen und dann Decl. 17° 47' 59''.8 und T. 7' 12''.50.

Gr.	Fad.	Beob. Zeit.	T.	Microsc. I	Südl. Declin.
8.9	5	12 55.3	12 12 35.05	9 46 56.0	19° 3' 56.0
8	5	13 57.7	13 37.63	8 17 35.1	17 34 35.1
9.0	4	27.6	14 27.60	8 1 31.6	17 18 31.6
9	3	1.2	15 21.27	7 44 57.9	17 1 57.9
9.0	7	9.0	15 29.13	7 33 39.1	16 50 39.1
9	3	38.4	16 58.42	7 37 58.8	16 54 58.8
8.9	3	4.4	17 24.44	7 50 7.1	17 4 7.1
7.8	3	22.7	17 42.72	7 49 28.4	17 6 28.4
7	2	27.6	18 57.69	8 18 23.9	17 35 23.9
9.0	3	57.9	19 18.01	8 30 15.6	17 47 15.6
7	3	19.7	19 39.81	8 30 14.1	17 47 14.1
8.9	4	19 58.8	19 58.80	8 56 23.3	18 13 23.3
9	6	21 4.0	20 34.15	7 28 7.1	16 45 7.1
8.9	3	34.0	21 54.04	7 50 18.5	17 7 18.5
9.0	7	22 42.8	22 2.70	8 38 4.9	17 55 4.9
8.9	5	14.4	22 54.23	8 53 27.9	18 10 27.9
8	4	7.8	24 7.80	8 50 47.2	18 7 47.2
7	5	33.6	24 13.49	8 38 18.6	17 55 18.6
6.7	5	25.3	25 3.02	9 41 9.6	18 58 9.6
9.0	5	25.7	26 5.55	9 0 36.4	18 17 36.4
9	7	27 15.5	26 35.53	8 3 38.2	17 20 38.2
9	4	6.7	28 6.70	8 25 28.1	17 42 28.1
8.9	5	43.6	28 23.46	8 53 54.3	18 10 54.3
8	4	20.5	29 20.50	9 28 29.4	18 45 29.4
9	6	55.3	29 25.00	10 2 1.0	19 19 1.0
9	5	26.3	30 6.03	9 56 59.2	19 13 59.2
8	5	7.4	30 47.17	9 36 19.6	18 53 19.6
8	5	34.4	31 14.20	9 23 55.0	18 40 55.0
9	4	4.6	32 4.60	9 1 57.1	18 18 57.1
8.9	7	34.0	31 53.88	8 42 0.5	17 59 0.5
9	6	19.2	32 49.17	8 33 40.6	17 50 40.6
9.0	4	53.8	33 53.80	8 44 18.5	18 1 18.5
8.9	4	34 23.2	34 23.20	8 46 14.6	18 3 14.6
8	3	49.7	35 9.84	8 46 17.9	18 3 17.9
8	3	17.7	35 37.87	8 58 16.6	18 15 16.6
9	5	57.0	35 36.87	8 49 37.5	18 6 37.5
7.8	5	28.0	36 7.92	8 24 10.9	17 41 10.9
9.0	6	5.5	36 35.51	8 20 18.4	17 37 18.4
7	2	31.5	38 1.56	8 7 26.2	17 24 26.2
9	5	39.6	38 19.46	8 55 18.5	18 12 18.5
7	4	59.0	38 59.00	8 54 28.0	18 11 28.0
8.9	5	30.6	39 10.46	8 51 25.8	18 8 25.8
9.0	6	53.2	39 23.09	8 58 15.3	18 15 15.3
7.8	6	40 55.0	40 24.79	9 33 45.2	18 50 45.2
9	6	0 3.4	7 59 32.25	4 48 9.6	24 6 9.6
4	4	38.2	8 0 38.20	4 35 1.4	23 53 1.4
8.9	3	24.5	1 45.46	4 39 41.1	23 57 41.1
9	5	11.9	1 50.94	4 48 24.6	24 6 24.6
8	3	21.0	2 42.15	4 52 45.5	24 10 45.5
8	4	57.0	2 57.00	4 47 20.4	24 5 20.4
8.9	5	31.2	3 10.40	3 46 13.0	23 4 13.0
9	6	52.4	3 21.35	3 40 20.5	22 58 20.5
8.9	6	13.6	3 42.55	3 39 35.9	22 57 35.9
9	5	6 4.7	5 43.74	4 45 4.0	24 3 4.0
7	5	40.7	6 19.78	4 33 7.5	23 51 7.5

Hülftafel zur Reduction auf den mittlern Ort 1850 Januar 0 D = - 18°.

T.	k	k'	d	d'
12 10+29.49	0	+1	+32.6	-0.1
20+29.49	0	+1	+32.5	-0.1
30+29.49	+1	+1	+32.4	-0.2
40+29.50		+1	+32.2	

137	Fad. 4.	21.3
141	" 4.	42.7
149	" 6.	24.3
152	" 6.	33.2

Gute Luft. — Bis zum 33^{ten} Sterne ward der 4^{te} mit dem Micrometerfaden verwechselt, der um - 3".243 im Aequator von jenem abstand und in der Columnne für die Fäden mit m bezeichnet ist.

ZONE 368. 1851 März 11. Ost.

Hülftafel zur Reduction auf den mittlern Ort 1850 Januar 0 D = - 24°.

T.	k	k'	d	d'
8 0+31.27	-6	-3	+31.3	+0.5
10+31.21		-3	+31.8	

1 Fad. 7. 14".2 Fäden 32".09 und 32".40

Nº.	Gr.	Fad.	Beob. Zeit.	T.	Microsc. I	Südl. Declin.
12	8	6	4.4	8 6 33.23	4 12 50.5	23 30 50.5
13	8.9	7	48.2	7 6.71	3 49 42.6	23 7 42.6
14	9	7	58.3	7 16.81	3 49 54.8	23 7 54.8
15	7.8	4	8 25.0	8 25.00	3 53 39.9	23 11 39.9
16	9	4	9 31.6	9 31.60	5 11 59.0	24 29 59.0
17	7.8	1	57.4	10 39.47	5 14 48.7	24 32 48.7
18	9	3	30.5	10 51.61	5 33 34.5	24 51 34.5
19	8.9	4	48.5	10 48.50	5 36 52.1	24 54 52.1
20	8	5	21.5	11 0.40	5 36 13.0	24 54 13.0
21	9	5	54.6	11 33.47	5 49 5.7	25 7 5.7
22	8	3	25.7	12 46.80	5 39 36.6	24 57 36.6
23	8.9	3	46.5	13 7.61	5 43 11.0	25 1 11.0
24	9	4	14.0	13 14.00	5 50 2.7	25 8 2.7
25	8.9	7	49.6	13 7.49	5 43 9.4	25 1 9.4
26	8	3	14 5.9	14 27.02	5 40 21.6	24 58 21.6
27	8.9	7	34.5	13 52.51	5 22 8.5	24 40 8.5
28	9	6	7.2	14 35.72	5 27 10.3	24 45 10.3
29	8.9	4	33.2	15 33.20	5 37 17.1	24 55 17.1
30	8.9	2	9.3	16 40.94	5 39 29.3	24 57 29.3
31	9	3	23.6	16 44.73	5 42 14.3	25 0 14.3
32	9	7	15.6	16 33.76	4 55 19.7	24 13 19.7
33	6	3	43.0	18 3.89	4 16 23.0	23 34 23.0
34	9	4	18 6.7	18 6.66	4 16 19.9	23 34 19.9
35	8	4	19 10.0	19 10.00	3 49 54.1	23 7 54.1
36	8	4	49.2	19 49.20	4 1 46.5	23 19 46.5
37	8.9	4	2.5	20 3.13	4 13 32.4	23 31 32.4
38	9	6	55.6	20 24.38	4 23 42.5	23 41 42.5
39	7.8	3	21 19.3	21 40.15	4 2 39.9	23 20 39.9
40	9	4	54.3	21 54.30	4 3 7.4	23 21 7.4
41	9	6	14.5	21 43.38	3 59 0.7	23 17 0.7
42	8	4	50.0	22 50.00	3 45 9.4	23 3 9.4
43	9	7	23 18.2	22 36.88	3 16 33.5	22 34 33.5
44	8	3	47.9	24 8.77	4 7 45.0	23 25 45.0
45	9	7	17.2	23 35.59	4 12 25.0	23 30 25.0
46	8	1	1.1	25 42.80	4 30 47.3	23 48 47.3
47	9	3	18.4	25 39.37	4 33 9.3	23 51 9.3
48	8	2	59.2	26 30.52	4 23 3.1	23 41 3.1
49	9	6	18.4	25 47.18	4 25 0.2	23 43 0.2
50	9	6	43.4	26 12.22	4 15 56.2	23 33 56.2
51	9	7	26 57.2	26 15.58	4 14 7.3	23 32 7.3
52	9	5	38.5	27 17.62	4 19 11.9	23 37 11.9
53	7	7	4.6	27 23.05	4 1 30.5	23 19 30.5
54	9	7	28 16.6	27 35.01	4 8 45.2	23 26 45.2
55	9	3	51.2	29 12.09	4 13 1.3	23 31 1.3
56	8.9	6	21.7	28 50.49	4 23 2.4	23 41 2.4
57	8.9	2	46.5	30 17.85	4 29 29.1	23 47 29.1
58	9.0	4	29.5	30 29.50	4 29 3.2	23 47 3.2
59	9	4	31 12.4	31 12.40	4 49 35.0	24 7 35.0
60	9	6	42.2	31 10.78	5 10 56.5	24 28 56.5
61	9	6	56.3	31 24.88	5 12 18.9	24 30 18.9
62	9	7	15.0	31 33.06	5 13 22.6	24 31 22.6
63	8	7	41.6	31 59.65	5 16 24.0	24 34 24.0
64	9	2	37.2	34 8.71	5 9 30.1	24 27 30.1
65	9	7	10.3	33 28.43	5 0 10.4	24 18 10.4
66	8	7	33.6	33 51.80	4 47 43.6	24 5 43.6

μ
 NC. 7 42 - 1 42.38
 9 55 - 1 45.26
 Anf. 28 0.18 + 3.1 36.0
 Ende 0.20 + 2.2 33.2
 Microsc. I + 1".18 u. + 0".67
 Declin. = - (Microsc. I + 19° 18' 0")
 $9^u \tau + i + 34''.566 \quad \Delta \tau + 0''.014 \quad \Delta i - 0''$

Hülfsstafel zur Reduction auf den mittlere
 Ort 1850 Januar 0 $D = -24^\circ$.

T.	k	k'	d
μ			
8 0+31.27	-6	-3	+31.3 +0.5 +
10+31.21	-6	-3	+31.8 +0.5 +
20+31.15	-6	-3	+32.3 +0.5 +
30+31.09	-6	-3	+32.8 +0.4 +
40+31.03	-6	-3	+33.2 +

17 Fad. 2. 8.0
 23. 25. derselbe.
 34 Fad. 5. 27.5
 37 „ 5. 24.0 giebt 3".13; ich halte Fad.
 unsicher beobachtet u. habe ihn ausgeschlo
 47 Fad. 4. 39.4

Fad.	Beob. Zeit.	T.	Microsc. I	Südl. Declin.
3	35' 9.0	8 35' 29.91	4° 23' 14.3	23° 41' 14.3
5	36' 6.4	35 45.47	4 36 47.1	23 54 47.1
4	32.2	36 32.20	4 41 54.9	23 59 54.9
5	1.0	36 40.03	4 52 41.0	24 10 41.0
5	34.9	37 14.00	4 24 42.0	23 42 42.0
3	51.5	38 12.40	4 18 46.6	23 36 46.6
5	52.7	38 31.69	5 3 39.0	24 21 39.0
5	27.7	39 6.73	4 50 27.0	24 8 27.0
5	51.5	39 30.59	4 29 20.8	23 47 20.8
3	13.0	40 33.94	4 33 14.5	23 51 14.5
4	40.2	40 40.20	4 30 13.9	23 48 13.9
7	5.2	40 23.54	4 21 20.2	23 39 20.2
7	35.8	40 54.09	4 32 17.1	23 50 17.1
7	51.5	41 9.79	4 31 57.0	23 49 57.0
4	44.3	42 44.30	4 24 15.3	23 42 15.3
5	15.3	42 54.35	4 43 58.9	24 1 58.9
3	40.6	44 1.60	5 30 17.2	24 48 17.2
5	26.7	44 5.61	5 31 6.6	24 49 6.6
1	49.5	45 31.62	5 35 11.3	24 53 11.3
7	46 10.1	45 28.27	4 53 59.6	24 11 59.6
4	44.0	46 44.00	4 52 35.8	24 10 35.8
6	0.8	46 29.50	4 44 49.6	24 2 49.6
7	42.5	47 0.82	4 25 44.6	23 43 44.6
5	15.6	47 54.68	4 32 26.9	23 50 26.9
4	48.2	48 48.20	3 57 36.4	23 15 36.4
5	41.4	49 20.63	3 36 24.6	22 54 24.6
6	57.1	49 26.06	3 37 33.3	22 55 33.3
5	51 18.0	50 57.20	3 49 49.4	23 7 49.4
4	26.5	51 26.50	3 55 42.5	23 13 42.5
6	7.5	51 36.43	3 44 43.0	23 2 43.0
5	32.4	52 11.62	3 37 42.3	22 55 42.3
7	5.5	52 24.06	3 39 35.3	22 57 35.3
6	39.2	53 8.07	4 2 52.1	23 20 52.1
4	54 1.3	54 1.30	4 0 59.8	23 18 59.8
6	54 50.8	54 19.69	3 57 32.6	23 15 32.6
6	20.1	54 49.05	3 52 30.0	23 10 30.0
5	50.7	55 29.89	3 54 44.4	23 12 44.4
3	9.0	56 29.83	3 52 36.4	23 10 36.4
4	56 46.2	56 46.20	3 58 5.0	23 16 5.0
1	9.6	57 51.17	3 53 38.0	23 11 38.0
3	33.0	57 53.84	3 56 35.1	23 14 35.1
5	16.0	57 55.12	4 18 16.7	23 36 16.7
1	39.3	59 20.98	4 16 15.2	23 34 15.2
5	14.7	58 53.77	5 13 3.6	24 31 3.6
3	48.3	9 0 9.35	5 15 31.5	24 33 31.5
2	0 25.2	0 56.84	5 57 35.2	25 15 35.2
2	2.6	1 34.31	5 56 20.1	25 14 20.1
5	32.4	1 11.31	5 30 5.6	24 48 5.6
4	39.5	1 39.51	5 27 24.6	24 45 24.6
6	32.1	2 0.75	4 56 44.5	24 14 44.5
4	59.4	2 59.40	4 16 13.0	23 34 13.0
4	4 48.4	4 48.40	4 11 55.6	23 29 55.6
5	43.6	5 22.72	4 16 52.4	23 34 52.4
4	10.0	6 10.00	4 43 8.7	24 1 8.7
5	39.7	6 18.72	4 56 39.6	24 14 39.6

*Hülftafel zur Reduction auf den mittlern
Ort 1850 Januar 0 D = - 24°.*

T.	k	k'	d	d'
8 30' 31.09	-6	-3	+32.8	+0.4
40' 31.03	-5	-3	+33.2	+0.4
50' 30.98	-5	-2	+33.6	+0.4
9 0' 30.93	-5	-2	+34.0	+0.3
10' 30.88		-2	+34.3	

72 Fad. 4. 12.4

93. Die AR. dieses Sterns ist 3" zu gross, wie Z. 358 N^o. 101 und eine Beobachtung 1852 März 26. zeigen; vielleicht ist die Zeit verschrieben statt 54".1.

102 Fad. 7. 30.6

110 " 6. 25.3 Minute des Microscops vielleicht 12 und dann die Decl. = 24° 30' 3".6.

112 Fad. 3. 35.6

115 " 5. 0.6

No.	Gr.	Fad.	Beob. Zeit.	T.	Microsc. I	Süd. Declin.
122	9	6	3.8	9 6' 32.44	4 58' 16.0	24 16' 16.0
123	8	7	7 18.8	6 36.93	4 59 39.3	24 17 39.3
124	7.8	4	8 23.0	8 23.00	3 35 9.6	22 53 9.6
125	8	4	9 19.6	9 19.60	5 23 8.1	24 41 8.1
126	8	2	0.7	10 32.28	5 26 41.2	24 44 41.2
127	9	3	20.2	10 41.30	5 30 30.3	24 48 30.3
128	8.9	3	50.3	11 11.45	5 51 23.7	25 9 23.7
129	8	4	36.4	11 36.40	4 32 18.1	23 50 18.1
130	8.9	6	12.2	11 41.05	4 6 36.0	23 24 36.0
131	9	6	42.2	12 11.00	4 20 10.4	23 38 10.4
132	8	2	5.3	13 36.58	4 10 29.8	23 28 29.8
133	8.9	7	13 43.0	13 1.45	4 1 38.1	23 19 38.1
134	9	7	6.4	13 24.86	3 59 16.0	23 17 16.0
135	8.9	5	32.3	14 11.49	3 51 47.7	23 9 47.7
136	8.9	6	58.4	14 27.27	4 1 31.6	23 19 31.6
137	9	7	19.3	14 37.75	4 2 7.9	23 20 7.9
138	9	7	34.5	14 52.91	4 7 47.2	23 25 47.2
139	9	7	19.1	15 37.56	3 59 25.3	23 17 25.3
140	7	5	53.4	16 32.61	3 43 52.9	23 1 52.9
141	7	3	12.4	17 33.24	3 53 39.5	23 11 39.5
142	9	6	35.3	17 4.20	3 52 48.8	23 10 48.8
143	9	7	18 34.5	17 53.05	3 41 13.4	22 59 13.4
144	9	6	7.7	18 36.61	3 49 47.6	23 7 47.6
145	7	1	20 59.2	20 40.72	3 44 25.2	23 2 25.2
146	9	2	39.8	21 11.07	4 8 36.3	23 26 36.3
147	9	3	10.6	21 31.47	4 7 14.9	23 25 14.9
148	8	6	47.4	21 16.15	4 31 40.6	23 49 40.6
149	9	1	6.4	22 48.15	4 29 25.7	23 47 25.7
150	8.9	3	26.4	22 47.34	4 34 34.8	23 52 34.8
151	6	4	22 57.9	22 57.81	4 19 47.8	23 37 47.8
152	7	3	42.1	24 3.01	4 23 42.6	23 41 42.6
153	9	5	19.2	23 58.28	4 31 38.2	23 49 38.2
154	9	4	55.6	24 55.60	5 38 5.2	24 56 5.2
155	9	4	24.2	25 24.20	5 37 42.0	24 55 42.0
156	9	6	53.5	25 21.96	5 42 19.6	25 0 19.6
157	8	4	26 27.9	26 27.90	5 47 5.7	25 5 5.7
158	9	3	54.3	27 15.42	5 40 36.6	24 58 36.6
159	9	4	27.5	27 27.50	5 22 11.0	24 40 11.0
160	7	6	27 56.9	27 25.48	5 11 23.2	24 29 23.2
161	9	5	47.2	28 26.14	5 23 11.6	24 41 11.6
162	6	2	13.3	29 44.85	5 20 4.1	24 38 4.1
163	8.9	3	26.3	29 47.27	5 15 8.7	24 33 8.7
164	9	6	19.1	29 47.75	4 56 46.2	24 14 46.2
165	8.9	1	52.0	31 33.93	5 1 57.2	24 19 57.2
166	9	5	44.7	31 23.80	4 27 12.4	23 45 12.4
167	7.8	3	59.5	32 20.47	4 35 3.1	23 53 3.1
168	8.9	5	32 53.6	32 32.65	4 42 28.1	24 0 28.1
1	8.9	5	58 40.0	10 58 19.41	2 22 30.4	21 40 10.4
2	8	4	57.2	58 57.11	2 16 10.9	21 33 50.9
3	9	5	59.7	59 39.18	1 51 52.1	21 9 32.1
4	7.8	3	23.6	11 0 44.16	2 4 0.3	21 21 40.3
5	8.9	4	59.5	0 59.50	1 59 2.4	21 16 42.4
6	9	5	13.7	0 53.10	1 57 56.4	21 15 36.4
7	8.9	7	1 45.4	1 4.50	1 48 2.2	21 5 42.2
8	9	7	19 :	1 38	1 44 38.0	21 2 18.0

Halftafel zur Reduction auf den mittlern Ort 1850 Januar 0 D = -24°.

T.	k	k'	d	d'
9 0+30.93	-5	-2	+34.0	+0.3
10+30.88	-5	-2	+34.3	+0.3
20+30.83	-5	-2	+34.6	+0.2
30+30.78	-5	-2	+34.8	+0.2
40+30.73	-5	-1	+35.0	+0.2

132 Fad. 3. 15.7

143. dupl. III. Cl. seq.; praec. 9 =.

145. Die Zeitminnte muss offenbar 19 sein; dann stimmt die Beobachtung auch mit Z. 358 No. 157; unter dieser Annahme ist T berechnet.

151 Fad. 5. 18.6 Bei diesem Sterne ward ein Fehler von +1" entdeckt und verbessert.

160. Bei diesem Sterne ward ein Fehler von +1" entdeckt und verbessert.

163 Fad. 4. 47.2

167 " 4. 20.5

Etwas unruhige Luft; aber die Sterne ziemlich distinct und gut zu beobachten.

ZONE 369. 1851 März 11. Ost.
D = -22°.

11 0+30.44	-2	0	+37.4	0.0	+19.0
10+30.42	-2	0	+37.4		+19.1

2 Fad. 5. 17.6

6 " 6. 23.7

Gr.	Fad.	Beob. Zeit.	T.	Microsc. I	Südl. Declin.
9.0	7	3' 21.8	^u 2' 40.91	1° 46' 4.4	21° 3' 44.4
9	5	4' 0.7	3' 40.17	1° 58' 31.7	21° 16' 11.7
7	4	40.6	4' 40.60	1° 39' 15.9	20° 56' 55.9
7.8	5	5' 46.5	5' 25.97	1° 56' 26.3	21° 14' 6.3
8.9	1	29.9	7' 10.97	2° 12' 55.1	21° 30' 35.1
9	2	57.5	7' 28.35	2° 18' 9.0	21° 35' 49.0
8.9	2	24.2	7' 55.03	2° 11' 39.2	21° 29' 19.2
9	3	49.2	8' 9.77	2° 5' 51.3	21° 23' 31.3
7	3	8.2	8' 28.82	1° 54' 17.4	21° 11' 57.4
8	4	18.3	8' 18.30	1° 54' 15.1	21° 11' 55.1
8	4	51.5	8' 51.50	1° 46' 51.3	21° 4' 31.3
7	3	31.1	9' 51.66	2° 2' 39.0	21° 20' 19.0
9.0	1	0.6	10' 41.62	2° 2' 24.6	21° 20' 4.6
7	6	31.0	10' 0.25	2° 19' 45.3	21° 37' 25.3
9	4	0.6	11' 0.60	3° 0' 40.5	22° 18' 20.5
8.9	6	41.6	11' 10.52	3° 48' 12.3	23° 5' 52.3
7.8	3	3.3	12' 24.09	3° 37' 2.7	22° 54' 42.7
7.8	1	50.0	13' 31.56	3° 53' 7.4	23° 10' 47.4
9	7	21.7	12' 40.39	3° 14' 54.1	22° 32' 34.1
7.8	7	40.0	12' 58.73	3° 6' 15.4	22° 23' 55.4
8.9	4	22.6	14' 22.60	2° 47' 17.4	22° 4' 57.4
8.9	7	47.0	14' 5.85	2° 41' 59.5	21° 59' 39.5
9	6	28.6	14' 57.76	2° 43' 43.9	22° 1' 23.9
8.9	2	53.4	16' 24.33	2° 42' 6.6	21° 59' 46.6
7	2	16	16' 50.43	2° 43' 30.3	22° 1' 10.3
9.0	3	17	17' 28.65	2° 41' 52.4	21° 59' 32.4
8	4	5.6	18' 5.60	1° 53' 40.5	21° 11' 20.5
7	5	37.0	18' 16.38	2° 34' 32.1	21° 52' 12.1
7.8	5	27.6	19' 7.05	2° 6' 41.7	21° 24' 21.7
7.8	2	20	20' 49.84	2° 17' 11.1	21° 34' 51.1
8.9	7	46.3	20' 5.17	2° 38' 32.2	21° 56' 12.2
9	4	21.5	21' 21.52	2° 54' 55.0	22° 12' 35.0
9	4	16.6	22' 16.58	3° 22' 8.1	22° 39' 48.1
9	3	51.3	23' 12.03	3° 29' 7.6	22° 46' 47.6
9	7	46.0	23' 4.56	3° 39' 47.4	22° 57' 27.4
8	2	18.5	24' 49.68	3° 48' 1.5	23° 5' 41.5
8	2	30.7	25' 1.85	3° 47' 28.1	23° 5' 8.1
7	6	29.5	24' 58.53	3° 19' 47.1	22° 37' 27.1
7.8	4	48.0	25' 48.00	3° 20' 17.6	22° 37' 57.6
9.0	7	6.2	25' 24.85	3° 21' 44.2	22° 39' 24.2
8	4	47.3	26' 47.30	3° 29' 8.2	22° 46' 48.2
8	4	52.5	26' 52.42	3° 27' 14.1	22° 44' 54.1
8.9	4	25.0	27' 25.00	3° 24' 27.1	22° 42' 7.1
8.9	2	27	28' 23.84	3° 31' 15.2	22° 48' 55.2
9	6	45.5	28' 14.66	2° 44' 11.0	22° 1' 51.0
6.7	5	19.4	28' 58.74	2° 50' 9.0	22° 7' 49.0
9	4	30	30' 1.60	1° 52' 52.5	21° 10' 32.5
9	4	34.5	30' 34.50	1° 45' 33.3	21° 3' 13.3
9	5	48.5	30' 28.05	1° 40' 0.3	20° 57' 40.3
9	2	28.5	31' 59.20	1° 35' 15.5	20° 52' 55.5
9	4	32	32' 13.00	1° 59' 19.2	21° 16' 59.2
9	5	49.5	32' 28.95	2° 13' 7.4	21° 30' 47.4
9	4	25.4	33' 25.40	2° 8' 19.6	21° 25' 59.6
9	5	1.3	33' 40.68	2° 35' 37.5	21° 53' 17.5
8	6	16.6	33' 45.85	2° 32' 15.6	21° 49' 55.6

Hülftafel zur Reduction auf den mittlern Ort 1850 Januar 0 D = - 22°.

T.	k	k'	d	d'
11 ^u 0' + 30.44	-2	0	+37.4	0.0
10' + 30.42	-2	0	+37.4	0.0
20' + 30.40	-2	0	+37.4	0.0
30' + 30.38	-2	+1	+37.4	-0.1
40' + 30.36	-2	+1	+37.3	-0.1

NC. 10 45' - 1' 43.75
 12 33 - 1' 47.53
 Anf. 28 0.20 + 2.4 33.2
 Ende 0.11 + 1.6 32.3
 Microsc. I + 1'' 44 u. + 1'' 05
 Declin. = - (Microsc. I + 19° 17' 40'')
 12'' r + i + 34'' 592 Δr + 0'' 014 Δi - 0'' 014

17 Fad. 4. 28.9
 40 " 5. 43.2
 41 " 5. 37.3
 42 " 4. 12.0
 43. Zeit unsicher beobachtet.
 45 Fad. 3. 41.0
 50 " 5. 13.1
 52 " 3. 3.1
 57 " 6. 58.7
 60 " 6. 59.7
 63 " 7. 27.0

No.	Gr.	Fad.	Beob. Zeit.	T.	Microsc. I	Südl. Declin.
64	9	6	44.1	11 34' 13.30	2 31' 27.8	21 49' 7.8
65	8.9	7	7.2	34 26.13	2 25' 3.4	21 42' 43.4
66	8.9	3	35 38.9	35 59.51	2 25' 38.7	21 43' 18.7
67	9	6	36 37.6	36 6.72	2 54' 9.9	22 11' 49.9
68	9	7	58.3	36 17.05	3 1' 27.6	22 19' 7.6
69	8.9	4	31.3	37 31.30	2 52' 15.6	22 9' 55.6
70	9	5	51.0	37 30.34	2 53' 44.9	22 11' 24.9
71	8	4	24.9	38 24.90	2 57' 17.2	22 14' 57.2
72	8.9	2	46.3	39 17.07	2 55' 24.6	22 13' 4.6
73	9	4	13.0	39 13.00	3 10' 55.1	22 28' 35.1
74	8.9	7	58.4	39 17.18	2 55' 26.7	22 13' 6.7
75	7.8	4	40 23.9	40 23.86	2 58' 22.8	22 16' 2.8
76	9.0	5	24.5	41 3.91	2 22' 9.9	21 39' 49.9
77	9	4	12.7	42 12.70	2 23' 38.2	21 41' 18.2
78	8	3	42 32.4	42 52.99	2 16' 33.8	21 34' 13.8
79	8	6	13.3	42 42.61	2 1' 37.6	21 19' 17.6
80	7	6	56.4	43 25.84	1 31' 16.4	20 48' 56.4
81	9	5	51.5	44 30.98	1 54' 21.6	21 12' 1.6
82	9	7	11.0	44 30.03	2 3' 40.7	21 21' 20.7
83	8.9	3	58.0	46 18.46	1 45' 10.5	21 2' 50.5
84	8	3	4.4	46 24.76	1 46' 50.9	21 4' 30.9
85	9	4	59.4	46 59.40	2 10' 13.9	21 27' 53.9
86	9	4	31.3	47 31.30	2 18' 29.0	21 36' 9.0
87	9.0	6	52.4	47 21.67	2 15' 39.7	21 33' 19.7
88	7	6	48 17.9	47 47.20	2 4' 1.9	21 21' 41.9
89	8	5	40.9	48 20.37	1 56' 29.9	21 14' 9.9
90	7	5	29.6	49 8.97	2 25' 2.2	21 42' 42.2
91	9	4	50 13.2	50 13.20	2 29' 14.9	21 46' 54.9
92	7	4	52.6	50 52.60	3 17' 27.2	22 35' 7.2
93	9.0	4	28.3	51 28.30	3 24' 27.8	22 42' 7.8
94	8.9	4	11.5	52 11.50	3 43' 41.1	23 1' 21.1
95	9	2	35.7	53 6.88	3 47' 2.4	23 4' 42.4
96	9.0	6	53 24.6	52 53.59	3 30' 43.3	22 48' 23.3
97	9	4	3.5	54 3.50	3 38' 25.3	22 56' 5.3
98	9	7	49.4	54 8.35	2 20' 30.1	21 38' 10.1
99	9	7	55 14.3	54 33.28	2 15' 10.1	21 32' 50.1
100	7.8	4	56 1.6	56 1.60	2 15' 7.2	21 32' 47.2
101	9	4	46.4	56 46.40	1 43' 39.8	21 1' 19.8
102	8	4	53.7	57 53.70	1 33' 22.3	20 51' 2.3
103	9	1	32.3	59 13.17	1 29' 12.4	20 46' 52.5
104	8	4	59.4	58 59.40	2 15' 9.3	21 32' 49.3
105	8	2	19.7	59 50.51	2 8' 27.4	21 26' 7.4
106	8.9	3	46.5	12 0' 7.08	2 11' 4.6	21 28' 44.6
107	9.0	5	19.2	11 59' 58.67	1 57' 50.3	21 15' 30.3
108	9.0	3	47.9	12 1' 8.47	2 6' 12.0	21 23' 52.0
109	8	7	14.2	0 33.13	2 24' 12.3	21 41' 52.3
110	9	4	51.9	1 51.90	2 20' 5.9	21 37' 45.9
111	3	5	15.5	1 54.80	2 30' 5.0	21 47' 45.0
112	6.7	5	11.3	2 50.57	3 28' 46.0	22 46' 26.0
113	9	6	54.5	3 23.45	3 38' 41.4	22 56' 21.4
114	9	6	40.3	4 9.46	2 44' 34.9	22 2' 14.9
115	9	7	6.2	4 25.05	2 42' 2.4	21 59' 42.4
116	8	6	53.4	5 22.82	1 31' 9.0	20 48' 49.0
117	9	6	10.6	5 40.03	1 27' 14.0	20 44' 54.0
118	9	4	41.2	6 41.20	1 24' 33.0	20 42' 13.0

Hälftafel zur Reduction auf den mittlere Ort 1850 Januar 0 D = - 22°.

T.	k	k'	d	
11 30' 30.38	-2	+1	+37.4	-0.1 +
40' 30.36	-1	+1	+37.3	-0.1 +
50' 30.35	-1	+1	+37.2	-0.2 +
12 0' 30.34	-1	+1	+37.0	-0.2 +
10' 30.33		+1	+36.8	+

69 Fad. 6. 1.7 giebt 30".83 und ist ausgeschlossen.

72. 74. derselbe.

75 Fad. 5. 44.5

80 " 7. 6.7

82. Zeit unsicher beobachtet.

83 Fad. 4. 18.4

84 " 4. 24.6 Fad. 3 giebt 24".92

90 " 7. 50.0 scheint ein Doppelstern zu sein, aus 2 Sternen 8^m. bestehend.

111 Fad. 6. 25.5

112 " 6. 21.6

ir.	Fad.	Beob. Zeit.	T.	Microsc. I	Südl. Declin.
8	3	13.2	12 ^u 7' 33.74	1° 56' 25.9	21° 14' 5.9
9	4	34.7	7 34.70	1 50 22.8	21 8 2.8
9	5	8 1.6	7 41.10	1 41 47.9	20 59 27.9
8	2	53.2	9 23.95	1 50 21.4	21 8 1.4
7	4	39.0	9 39.00	3 53 28.9	23 11 8.9
9	4	5.4	10 5.40	2 49 47.6	22 7 27.6
9	4	21.5	10 21.50	2 53 40.8	22 11 20.8
9	4	45.4	10 45.40	2 46 13.3	22 3 53.3
0	5	13.0	10 52.35	2 47 3.0	22 4 43.0
9	7	52.0	11 10.76	3 0 16.4	22 17 56.4
9	6	18.7	11 47.79	3 3 33.0	22 21 13.0
9	3	42.7	13 3.39	2 58 27.7	22 16 7.7
7	5	44.6	13 23.95	2 46 17.9	22 3 57.9
9	4	14 11.6	14 11.60	2 20 6.7	21 37 46.7
0	6	18 35.3	11 18 4.15	4 6 50.8	23 24 50.8
7	3	59.9	19 20.75	4 3 28.5	23 21 28.5
8	4	28.6	19 28.60	3 58 27.2	23 16 27.2
9	7	2.0	19 20.55	3 42 21.8	23 0 21.8
7	4	22.5	20 22.50	3 42 49.7	23 0 49.7
0	4	20 41.2	20 41.25	3 42 3.3	23 0 3.3
0	7	52.1	21 10.30	4 47 43.9	24 5 43.9
7	7	19.5	21 37.85	4 21 0.4	23 39 0.4
7	7	30.6	21 48.94	4 22 13.1	23 40 13.1
3	1	23 5.1	23 46.83	4 25 23.7	23 43 23.7
9	6	58.4	23 27.00	5 6 13.4	24 24 13.4
9	5	25 23.9	25 2.94	4 48 22.0	24 6 22.0
9	6	2.8	25 31.53	4 36 34.5	23 54 34.5
9	2	50.0	27 21.39	4 47 11.1	24 5 11.1
9	4	31.4	27 31.40	4 38 48.4	23 56 48.4
9	4	2.4	28 2.40	4 33 30.9	23 51 30.9
7	4	28 42.5	28 42.50	4 19 13.6	23 37 13.6
9	3	15.3	29 36.09	3 33 20.5	22 51 20.5
9	2	2.5	30 33.58	3 43 31.6	23 1 31.6
9	5	41.7	30 20.94	3 33 42.2	22 51 42.2
3	5	19.8	30 58.93	4 11 14.4	23 29 14.4
0	6	9.2	31 38.07	4 2 28.9	23 20 28.9
9	2	43.5	33 14.78	3 57 34.0	23 15 34.0
9	5	28.1	33 7.23	4 14 2.3	23 32 2.3
7	4	52.0	33 52.00	4 15 53.8	23 33 53.8
9	1	34 33.2	35 15.00	4 38 9.4	23 56 9.4
9	3	9.2	35 30.06	4 5 45.3	23 23 45.3
0	6	36 20.5	35 49.28	4 24 37.0	23 42 37.0
9	3	42.9	37 3.80	4 21 6.6	23 39 6.6
9	4	12.5	37 12.50	4 15 40.2	23 33 40.2
7	1	40.6	38 22.21	4 21 45.3	23 39 45.3
8	5	23.6	38 2.64	4 44 58.4	24 2 58.4
8	5	38 39.0	38 18.03	4 51 7.6	24 9 7.6
9	5	39 40.7	39 19.75	4 42 29.3	24 0 29.3
9	6	19.3	39 47.89	5 9 20.1	24 27 20.1
8	5	43.3	40 22.34	4 47 38.8	24 5 38.8
9	7	41 10.6	40 28.47	5 46 38.0	25 4 38.0
8	4	42 28.1	42 28.10	3 21 38.6	22 39 38.6
9	5	1.5	42 40.76	3 23 40.0	22 41 40.0
7	5	38.9	43 18.11	3 43 30.5	23 1 30.5
9	6	52.8	43 21.74	3 41 24.9	22 59 24.9

Hülfsstafel zur Reduction auf den mittlern Ort 1850 Januar 0 D = - 22°.

T.	k	k'	d	d'
12 ^u 0' + 30.34	-1	+1	+37.0	-0.2
10 + 30.33	0	+1	+36.8	-0.2
20 + 30.33		+1	+36.6	+19.2

Gute, zuletzt sehr gute Luft.

ZONE 370. 1851 März 24. Ost.

NC. 10' 26' - 1' 41.20
12 57 - 1 44.11
Anf. 27 9.50 + 6.2 42.9
Ende 9.64 + 6.1 41.6
Microsc. I + 1'' 58 u. + 0'' 96
Decl. = - (Microsc. I + 19° 18' 0'')
12^u τ + i + 37'' 818 Δτ + 0'' 008 Δi - 0'' 014

Hülfsstafel zur Reduction auf den mittlern Ort 1850 Januar 0 D = - 24°.

T.	k	k'	d	d'
11 ^u 10' + 33.62	-4	0	+38.4	-0.2
20 + 33.58	-3	0	+38.2	-0.2
30 + 33.55	-4	+1	+38.0	-0.2
40 + 33.51	-3	+1	+37.8	-0.3
50 + 33.48		+1	+37.5	+23.2

6 Fad. 5 2.1
10 „ 2. 15.5
14 „ 3. 0.4
18 „ 4. 36.1
19 „ 3. 12.7
23 „ 3. 54.0
31 „ 2. 50.8

N ^o .	Gr.	Fad.	Beob. Zeit.	T.	Microsc. I	Südl. Declin.
42	9	6	13.1	11 43' 42.03	3 46' 6.4	23 4' 6.4
43	9	1	44.4	45 25.94	3 47' 18.0	23 5' 18.0
44	8	7	21.5	44 39.84	4 21' 25.8	23 39' 25.8
45	8	6	42.0	45 10.97	4 27' 53.1	23 45' 53.1
46	8	5	46 3.0	45 42.11	4 20' 11.8	23 38' 11.8
47	6.7	3	59.3	47 20.27	4 44' 6.6	24 2' 6.6
48	7	2	14.7	47 46.05	4 47' 54.2	24 5' 54.2
49	8	5	57.4	47 36.40	5 1' 13.2	24 19' 13.2
50	7.8	2	19.6	48 51.12	5 21' 9.7	24 39' 9.7
51	8	3	0.7	49 21.63	4 32' 47.6	23 50' 47.6
52	9	5	56.0	49 35.06	4 39' 51.8	23 57' 51.8
53	8	7	25.9	49 44.24	4 22' 48.6	23 40' 48.6
54	9	7	50.0	50 8.39	4 12' 45.6	23 30' 45.6
55	7.8	7	31.2	50 49.88	3 17' 34.1	22 35' 34.1
56	9.0	7	7.0	51 25.64	3 24' 33.1	22 42' 33.1
57	8.9	7	57.3	52 15.65	4 20' 3.9	23 38' 3.9
58	8.9	7	54 50.7	54 8.39	6 18' 18.9	25 36' 18.9
59	8	1	45.0	56 26.83	4 46' 30.0	24 4' 30.0
60	9	7	16.6	55 34.97	4 17' 16.8	23 35' 16.8
61	9	5	10.6	56 49.77	3 59' 35.1	23 17' 35.1
62	8	4	34.0	57 34.21	3 39' 34.0	22 57' 34.0
63	8	5	13.9	57 53.15	3 28' 38.7	22 46' 38.7
64	6	4	47.2	58 47.20	3 38' 45.0	22 56' 45.0
65	9	5	10.0	58 49.18	3 55' 2.1	23 13' 2.1
66	8.9	5	34.5	59 13.66	4 1' 4.0	23 19' 4.0
67	6.7	6	59 53.3	59 22.21	3 50' 36.4	23 8' 36.4
68	8.9	3	44.4	12 1 5.20	3 39' 57.8	22 57' 57.8
69	9	7	1 14.5	0 33.10	3 31' 47.9	22 49' 47.9
70	9	5	11.7	1 50.82	4 18' 5.9	23 36' 5.9
71	7.8	5	33.0	2 12.00	4 49' 59.1	24 7' 59.1
72	8.9	5	16.7	2 55.75	4 43' 19.8	24 1' 19.8
73	7	4	41.4	3 41.44	5 48' 40.2	25 6' 40.2
74	8.9	4	23.7	4 23.70	5 41' 31.8	24 59' 31.8
75	9	6	41.3	4 9.75	5 44' 0.1	25 2' 0.1
76	8	3	7.0	5 28.05	5 13' 22.6	24 31' 22.6
77	8.9	5	47.5	5 26.54	4 49' 12.1	24 7' 12.1
78	9	4	6.5	6 6.50	4 52' 31.7	24 10' 31.7
79	7	5	48.0	6 27.06	4 38' 57.6	23 56' 57.6
80	9	5	29.4	7 8.62	3 39' 50.5	22 57' 50.5
81	9	5	7 53.0	7 32.21	3 43' 21.0	23 1' 21.0
82	9	7	29.4	7 47.86	3 59' 28.2	23 17' 28.2
83	6	1	54.7	9 36.27	3 53' 34.0	23 11' 34.0
84	8.9	4	10 18.5	10 18.50	4 0' 34.3	23 18' 34.3
85	9	5	11 33.3	11 12.27	5 13' 10.0	24 31' 10.0
86	8	5	6.0	11 44.93	5 26' 13.9	24 44' 13.9
87	9	7	51.8	12 10.09	4 31' 12.4	23 49' 12.4
88	8.9	2	11.9	13 43.31	4 34' 23.7	23 52' 23.7
89	9	7	53.6	13 12.03	4 5' 59.0	23 23' 59.0
90	6	4	5.6	14 5.57	4 6' 54.0	23 24' 54.0
91	9	4	41.6	14 41.60	4 6' 13.8	23 24' 13.8
92	8.9	2	14.5	15 45.76	4 7' 24.9	23 25' 24.9
93	9.0	4	15 50.3	15 50.30	4 24' 38.5	23 42' 38.5
94	8	2	24.0	16 55.19	4 16' 16.3	23 34' 16.3
95	9.0	6	4.5	16 33.21	4 43' 16.3	24 1' 16.3
96	8	5	17 40.0	17 19.11	4 48' 38.5	24 6' 38.5

Hülfsstafel zur Reduction auf den mittlern Ort 1850 Januar 0 D = - 24°.

T.	k	k'	d	
11 40' + 33.51	-3	+1	+37.8	-0.3 +
50 + 33.48	-3	+1	+37.5	-0.3 +
12 0 + 33.45	-2	+1	+37.2	-0.4 +
10 + 33.43	-2	+2	+36.8	-0.3 +
20 + 33.41		+2	+36.5	+

46 Fad. 6. 13.3
 48 " 3. 25.0
 50 " 3. 30.0
 56. Zeit - 1''?
 57. dupl. II. Cl. bor. praec.; seq. 9^m.
 62 Fad. 5. 55.2 giebt 34.42
 67 " 7. 3.7
 71 " 6. 43.3
 73 " 5. 2.6
 88 " 3. 22.4
 90 " 5. 26.4
 95. Zeit - 1''?
 96 Fad. 6. 50.5

Nº.	Gr.	Fad.	Beob. Zeit.	T.	Microsc. I	Südl. Declin.	
97	8.9	4	28.9	12 18' 28.90	4 39' 17.2	23 57' 17.2	
98	7	2	45.6	19 16.96	4 36' 18.9	23 54' 18.9	
99	8.9	4	28.0	19 28.00	5 12' 11.0	24 30' 11.0	
100	8.9	6	20 3.2	19 31.83	5 32' 25.0	24 50' 25.0	
101	9	7	21 6.4	20 24.23	5 54' 11.9	25 12' 4.9	
102	9	6	47.8	21 16.38	5 11' 8.0	24 29' 8.0	
103	9	5	58.0	21 36.89	5 7' 58.0	24 25' 58.0	
104	9	1	6.0	23 47.67	4 13' 20.9	23 31' 20.9	
105	7	1	30.5	24 12.14	4 5' 1.6	23 23' 1.6	
106	9	4	7.0	24 6.95	3 46' 16.4	23 4' 16.4	
107	8	2	51.6	25 22.72	3 23' 48.5	22 41' 48.5	
08	7.8	3	18.6	25 39.36	3 25' 57.0	22 43' 57.0	
09	2.3	3	37.0	25 57.82	3 16' 52.5	22 34' 52.5	
10	8.9	4	26 23.7	26 23.70	3 21' 41.2	22 39' 41.2	
11	9	2	57.5	27 28.66	3 43' 18.1	23 1' 18.1	
12	9	3	27 50.2	28 11.15	4 37' 33.9	23 55' 33.9	
13	7.8	4	28 44.8	28 44.80	4 46' 34.0	24 4' 34.0	
14	8.9	7	19.4	28 37.50	5 5' 57.5	24 23' 57.5	
15	8	4	7.0	30 7.00	5 21' 49.0	24 39' 49.0	
16	9	2	54.3	31 25.81	5 10' 21.0	24 28' 21.0	
17	9	3	22.4	31 43.43	5 6' 53.3	24 24' 53.3	
18	8.9	1	32 32.5	33 14.03	3 45' 33.1	23 3' 33.1	
19	8	5	19.7	32 58.73	4 52' 41.7	24 10' 41.7	
10	9.0	5	49.8	33 28.76	5 14' 0.2	24 32' 0.2	
11	9	2	25.3	34 56.76	5 7' 34.1	24 25' 34.1	
12	9	7	3.4	34 21.35	5 33' 2.5	24 51' 2.5	
13	8	6	35 55.0	35 23.55	4 55' 35.9	24 13' 35.9	
14	8	2	43.0	37 14.44	4 51' 50.2	24 9' 50.2	
15	8	4	12.0	37 12.00	4 25' 29.4	23 43' 29.4	
16	7.8	7	56.5	37 14.68	4 51' 50.6	24 9' 50.6	
17	9	7	32.3	37 50.38	5 10' 26.8	24 28' 26.8	
18	7	4	22.0	39 22.00	4 54' 10.1	24 12' 10.1	
19	7	5	42.6	39 21.64	4 44' 33.2	24 2' 33.2	
0	8.9	5	10.2	39 49.25	4 41' 13.3	23 59' 13.3	
1	9	7	24.0	39 42.23	4 42' 10.1	24 0' 10.1	
2	8.9	5	29.2	41 8.32	4 18' 14.8	23 36' 14.8	
3	8	4	41 47.9	41 47.83	4 6' 22.6	23 24' 22.6	
1	9.0	5	27 49.7	12 27 28.76	4 37' 27.7	23 55' 37.7	
2	7	4	44.5	28 44.50	4 46' 25.3	24 4' 35.3	
3	8.9	6	8.1	28 36.70	5 5' 50.2	24 24' 0.2	
4	8.9	6	45.0	29 13.53	5 24' 24.4	24 42' 34.4	
5	8	4	30 6.5	30 6.50	5 21' 42.7	24 39' 52.7	
6	9.0	4	31 9.2	31 9.20	5 48' 30.3	25 6' 40.3	
7	9	6	56.6	31 25.18	5 10' 14.0	24 28' 24.0	
8	9	7	24.6	31 42.70	5 6' 43.0	24 24' 53.0	
9	9.0	3	6.0	33 27.05	5 13' 55.0	24 32' 5.0	
0	7.8	7	40.2	32 58.37	4 52' 32.1	24 10' 42.1	
1	7	1	1.0	34 42.88	4 52' 22.0	24 10' 32.0	
2	9	6	36.3	34 5.06	4 29' 49.9	23 47' 59.9	
3	9	7	1.7	34 20.06	4 17' 28.6	23 35' 38.6	
14	8.9	5	40.7	35 19.83	4 10' 15.8	23 28' 25.8	
15	9.0	6	10.7	35 39.66	4 0' 31.3	23 18' 41.3	
16	8.9	4	37 11.6	37 11.60	4 25' 19.2	23 43' 29.2	
17	7.8	6	45.4	37 14.12	4 51' 38.1	24 9' 48.1	
18	9	6	22.1	37 50.69	5 10' 17.9	24 28' 27.9	

Hälftafel zur Reduction auf den mittlern Ort 1850 Januar 0 D = - 24°.

T.	k	k'	d	d'
12 10' + 33.43	-2	+2	+36.8	-0.3
20 + 33.41	-2	+2	+36.5	-0.4
30 + 33.39	-2	+2	+36.1	-0.5
40 + 33.37	-1	+2	+35.6	-0.5

98 Fad. 3. 56.0
100 „ 7. 14.0
103 „ 6. 8.2
105 „ 2. 40.9
106 „ 5. 27.7
107 „ 3. 2.0
109 „ 4. 57.9
112. Statt Fad. 3 ist wahrscheinlich Fad. 5 zu lesen und dann T. 12^u 27' 29''.26; vgl. Z. 371 No. 1.
121 Fad. 3. 35.7
123 „ 7. 5.3
124. 126. derselbe.
127. Zeit unsicher beobachtet.
131. dupl. III. Cl. austr.
133 Fad. 5. 8.6

Recht gute Luft.

ZONE 371. 1851 April 1. Ost.

NC. 11 32' - 1' 41.23
14 13 - 1 42.07
Anf. 28 2.00 + 4.0 31.9
Ende 1.91 + 2.2 31.0
Das Thermometer war 0°3 R. tiefer gewesen.
Microsc. I + 0''.1 u. - 1''.1
Decl. = - (Microsc. I + 19° 18' 10'')
13^u τ + i + 38''.556 Δτ + 0''.004 Δi - 0''.007
D = - 24°.

12 20' + 34.10	-3	+3	+36.2	-0.7	+24.1
30 + 34.07	-2	+3	+35.5	-0.7	+24.1
40 + 34.05		+3	+34.8		+24.1

15 Fad. 7. 21''.3
17 „ 7. 56.0

Nº.	Gr.	Fad.	Beob. Zeit.	T.	Microsc. I	Südl. Declin.
19	9	5	1.2	12 38' 40.06	5 52' 21.6	25 10' 31.6
20	9	3	26.6	39 47.74	5 46' 38.1	25 4' 48.1
21	9.0	3	40 10.2	40 31.33	5 44' 40.1	25 2' 50.1
22	8	1	53.8	41 35.96	5 43' 24.9	25 1' 34.9
23	8	6	25.0	40 53.58	5 10' 41.0	24 28' 51.0
24	9.0	6	38.3	41 6.84	5 7' 54.9	24 26' 4.9
25	8.9	3	10.2	42 31.22	5 6' 22.8	24 24' 32.8
26	9	4	52.4	42 52.40	5 14' 54.0	24 33' 4.0
27	9.0	7	19.2	42 37.43	4 41' 40.6	23 59' 50.6
28	8	5	46.1	43 25.17	4 35' 47.3	23 53' 57.3
29	9	5	31.1	44 10.24	4 8' 19.4	23 26' 29.4
30	8.9	2	45 21.5	45 52.85	4 28' 28.3	23 46' 38.3
31	7	1	54.1	46 36.06	4 50' 41.1	24 8' 51.1
32	8	5	38.3	46 17.25	5 18' 54.0	24 37' 4.0
33	8	2	47 36.6	48 7.91	4 20' 38.7	23 38' 48.7
34	8	3	48 7.6	48 28.51	4 26' 52.8	23 45' 2.8
35	9.0	5	49 40.2	49 19.27	4 36' 35.9	23 54' 45.9
36	7.8	6	14.1	49 42.71	5 3' 28.3	24 21' 38.3
37	9	4	51 39.7	51 39.70	4 0' 57.9	23 19' 7.9
38	7	5	58.2	51 37.41	3 48' 45.0	23 6' 55.0
39	6.7	4	59.0	52 58.99	4 33' 46.3	23 51' 56.3
40	9.0	7	59.7	53 17.76	5 13' 37.4	24 31' 47.4
41	9.0	7	0.3	54 18.22	5 38' 28.6	24 56' 38.6
42	8	4	13.3	55 13.30	5 41' 48.2	24 59' 58.2
43	9	5	2.1	55 41.06	5 13' 43.0	24 31' 53.0
44	9	3	57 9.0	57 30.16	5 54' 4.5	25 12' 14.5
45	9.0	6	59.0	57 27.97	3 34' 0.7	22 52' 10.7
46	7.8	1	58 47.9	59 29.34	3 29' 47.6	22 47' 57.6
47	8	2	21.4	59 53.53	3 35' 12.2	22 53' 22.2
48	7	3	40.5	13 0 2.31	3 43' 44.6	23 1' 54.6
49	8.9	1	15.4	0 57.20	4 38' 41.0	23 56' 51.0
50	9	6	7.5	0 36.10	5 6' 53.4	24 25' 3.4
51	8	4	41.0	1 41.00	4 56' 0.1	24 14' 10.1
52	8	6	2.0	1 30.45	5 26' 19.6	24 44' 29.6
53	8	7	32.4	1 50.27	5 47' 26.0	25 5' 36.0
54	9.0	6	3 36.3	3 5.03	4 36' 39.3	23 54' 49.3
55	7	7	55.0	3 13.31	4 28' 36.2	23 46' 46.2
56	9.0	5	49.6	4 28.66	4 37' 39.8	23 55' 49.8
57	9	3	15.9	5 36.93	5 7' 18.6	24 25' 28.6
58	9.0	3	53.5	6 14.60	5 31' 2.4	24 49' 12.4
59	9	3	25.9	6 47.01	5 42' 47.7	25 0' 57.7
60	9.0	4	7 50.5	7 50.50	5 4' 33.5	24 22' 43.5
61	8.9	4	28.7	8 28.70	4 56' 26.0	24 14' 36.0
62	8.9	4	10.9	9 10.90	4 14' 6.9	23 32' 16.9
63	8.9	5	41.6	9 20.75	4 4' 34.0	23 22' 44.0
64	9	5	10 9.7	9 48.86	4 2' 53.8	23 21' 3.8
65	8	4	39.5	10 39.50	4 32' 7.6	23 50' 17.6
66	8.9	2	11 3.9	11 35.23	4 25' 31.1	23 43' 41.1
67	6.7	2	49.5	12 20.82	4 23' 22.3	23 41' 32.3
68	9	3	10.2	12 31.10	4 18' 37.6	23 36' 47.6
69	8	4	47.0	12 47.00	4 50' 51.2	24 9' 1.2
70	7	4	13 42.3	13 42.30	4 45' 20.7	25 3' 30.7
71	7.8	4	25.8	14 25.80	4 39' 16.4	23 57' 26.4
72	7.8	5	56.3	14 35.37	4 34' 31.3	23 52' 41.3
73	9	4	15.7	15 15.70	4 34' 15.8	23 52' 25.8

Hälftafel zur Reduction auf den mittlere Ort 1850 Januar 0 D = - 24°.

T.	k	k'	d
12 30' + 34.07	-2	+3	+35.5 -0.7 +
40 + 34.05	-3	+3	+34.8 -0.7 +
50 + 34.02	-2	+3	+34.1 -0.7 +
13 0 + 34.00	-2	+3	+33.4 -0.6 +
10 + 33.98	-1	+3	+32.8 -0.6 +
20 + 33.97		+3	+32.2

24 Fad. 7. 48.7

30. Microscop vielleicht 4 28 38.3 und dann cunde der Declination 48".3.

31 " 2. 4.7

34 " 4. 28.5

38 " 6. 8.5

39 " 5. 19.9

47. 48. Die T dieser Sterne sind um 1" versetzt worden, weil ein Fehler von -1" bei No. 49 entdeckt ward, schon hier gefunden hat, wie Z. 294 und Lalande ze

49 Fad. 3. 36.0 giebt 56".95 und ist ausgeschlossen, weil er nur flüchtig beobachtet ward, um einen Fehler von -1" zu corrigiren, der bei Faden 1 entdeckt und versetzt ward.

52 Fad. 7. 12.4

59 " 4. 47.0

N ^o .	Gr.	Fad.	Beob. Zeit.	T.	Microsc. I	Sagl. Declin.
74	9.0	6	4.0	13 15' 32.73	4 37' 16.7	23 55' 26.7
75	9	4	37.2	16 37.40	3 42 47.8	23 0 57.8
76	8.9	4	17 57.3	17 57.30	4 13 1.1	23 31 11.1
77	8.9	4	18 20.2	18 20.20	4 12 53.2	23 31 3.2
78	7	2	7.5	19 39.07	5 8 15.7	24 26 25.7
79	9	3	0.8	20 21.92	5 39 0.4	24 57 10.4
80	9	2	20 33.8	21 5.52	5 58 52.3	25 17 2.3
81	8.9	3	12.0	21 32.91	4 21 57.3	23 40 7.3
82	7	4	43.3	21 43.30	3 34 57.7	22 53 7.7
83	9	6	10.7	21 39.71	3 25 39.6	22 43 49.6
84	7	5	23 23.0	23 1.83	6 2 22.9	25 20 32.9
85	8.9	5	40.6	23 19.45	5 56 3.0	25 14 13.0
86	9	5	37.7	24 16.62	5 27 59.3	24 46 9.3
87	8.9	3	6.7	25 27.76	5 18 44.4	24 36 54.4
88	8.9	1	32.3	26 14.30	5 14 12.9	24 32 22.9
89	9.0	4	6.2	26 6.20	4 22 32.3	23 40 42.3
90	9	5	27 32.5	27 11.37	5 55 16.2	25 13 26.2
91	9.0	4	23.7	28 23.70	5 41 44.8	24 59 54.8
92	9	1	45.5	29 27.68	5 46 42.4	25 4 52.4
93	9	3	40.7	30 1.77	5 21 41.3	24 39 51.3
94	9	1	19.0	31 1.04	5 21 42.4	24 39 52.4
95	7	7	52.2	30 10.40	4 48 7.5	24 6 17.5
96	9	6	49.6	31 18.37	4 26 3.1	23 44 13.1
97	6.7	5	33 1.8	32 41.06	3 23 56.9	22 42 6.9
98	9	1	59.9	34 41.43	3 45 37.5	23 3 47.5
99	9	7	34 49.2	34 7.60	4 10 39.9	23 28 49.9
100	9.0	4	43.2	35 43.20	4 0 50.0	23 19 0.0
101	9	3	19.4	36 40.24	3 54 51.4	23 13 1.4
102	9	3	55.1	37 15.97	4 9 33.6	23 27 43.6
103	9.0	3	20.4	37 41.29	4 18 20.1	23 36 30.1
104	8.9	3	39 14.2	39 35.16	3 48 43.5	23 6 53.5
105	9.0	3	31.5	40 52.49	4 52 55.7	24 11 5.7
106	6.7	1	9.4	41 51.38	4 56 15.2	24 14 25.2
107	9	2	56.3	42 27.89	5 28 57.0	24 47 7.0
108	8.9	3	35.1	42 56.27	5 57 34.2	25 15 44.2
109	9	4	43 32.0	43 32.00	4 39 0.7	23 57 10.7
110	8.9	4	0.3	44 0.30	4 39 39.2	23 57 49.2
111	9.0	2	29.3	45 0.71	4 44 15.3	24 2 25.3
112	8.9	7	14.7	44 33.25	3 41 10.5	22 59 20.5
113	7	6	39.3	45 8.28	3 30 39.2	22 48 49.2
114	7.8	4	15.9	46 15.90	3 38 11.9	22 56 21.9
115	9	4	50.8	46 50.80	3 18 31.6	22 36 41.6
116	7	2	47 37.4	48 8.76	4 23 5.5	23 41 15.5
117	9.0	5	45.4	48 24.44	4 47 6.3	24 5 16.3
118	5	3	49 12.0	49 33.00	4 56 31.7	24 14 41.7
119	9	4	8.0	50 8.00	5 30 50.6	24 49 0.6
120	9	2	32.3	51 3.90	5 31 5.6	24 49 15.6
121	9	2	51.5	51 23.33	5 31 25.6	24 49 35.6
122	8.9	4	24.4	52 24.40	3 47 58.6	23 6 8.6
123	8.9	2	48.7	53 19.88	3 47 25.0	23 5 35.0
124	9	6	27.3	52 56.45	3 39 57.4	22 58 7.4
125	9	2	15.5	54 46.58	4 7 50.7	23 26 0.7
126	9	6	15.5	54 44.23	4 36 16.3	23 54 26.3
127	7.8	3	55 6.7	56 27.42	3 9 16.4	22 27 26.4
128	8	4	39.9	56 39.90	3 7 44.6	22 25 54.6

**Hülftafel zur Reduction auf den mittlern
Ort 1850 Januar 0 D = -24°.**

T.	k	k'	d	α
13 10+33.98	-1	+3	+32.8	-0.6 +24.2
20+33.97	-1	+3	+32.2	-0.6 +24.3
30+33.96	-1	+4	+31.6	-0.6 +24.3
40+33.95	0	+4	+31.0	-0.6 +24.3
50+33.95	0	+4	+30.4	-0.7 +24.3
14 0+33.95		+4	+29.7	+24.3

75 Fad. 5. 58.4 glebt 37".61

78 " 3. 18.1

90 " 6. 43.0

92 " 2. 56.0

104 " 4. 35.3

106 " 2. 20.0

107 " 3. 6.8

116 " 3. 47.9

118 " 4. 33.0

121 " 3. 2.5 Fad. 4. 23.3; die Fäden geben 23".10, 23".60 und 23".30.

124 Fad. 7. 38.1 Fäden 56".25 und 56".66

125 " 3. 25.7 Fad. 4. 46.4 Fäden 46".76, 46".57 und 46".40

127. Die Zeitminute muss 56 sein; unter dieser Annahme ist T berechnet.

Nº.	Gr.	Fad.	Beob. Zeit.	T.	Microsc. I	Südl. Declin.
129	8	3	10.6	13 57 31.40	3 40 55.9	22 59 5.9
130	8.9	2	50.1	58 21.22	3 52 59.6	23 11 9.6
131	9	1	43.5	59 25.08	3 55 5.7	23 13 15.7
132	8.9	1	59 8.6	59 50.23	4 4 57.0	23 23 7.0
133	9	3	0 1.0	14 0 21.94	4 35 5.1	23 53 15.1
134	9	2	30.0	1 1.35	4 33 35.2	23 51 45.2
135	8.9	2	1 47.5	2 18.95	4 55 27.3	24 13 37.3
136	7.8	6	22.6	1 51.15	5 18 43.7	24 36 53.7
137	7.8	5	53.7	2 32.67	5 10 29.6	24 28 39.6
138	7	3	30.4	3 51.49	5 29 52.6	24 48 2.6
139	9	4	3 55.5	3 55.50	5 34 48.2	24 52 58.2
1	9	4	30 33.0	11 30 33.00	10 23 30.4	19 40 40.4
2	9	3	31 35.3	31 55.67	10 37 22.8	19 54 32.8
3	9	5	6.2	31 44.82	10 38 11.2	19 55 21.2
4	9.0	7	51.6	32 10.07	10 24 35.3	19 41 45.3
5	9	4	23.3	33 21.53	10 44 52.9	20 2 2.9
6	9	4	34 10.0	34 10.00	11 44 32.3	21 1 42.3
7	9	6	35 22.5	34 51.89	11 40 40.5	20 57 50.5
8	9	7	53.0	35 12.26	11 13 35.2	20 30 45.2
9	7	6	44.9	36 14.32	10 35 13.4	19 52 23.4
10	7.8	4	38 39.9	38 39.90	11 21 51.3	20 39 1.3
11	9.0	3	31.5	39 51.95	11 14 54.5	20 32 4.5
12	9	3	9.4	40 29.88	11 27 31.1	20 44 41.1
13	8	3	49.0	41 9.55	11 59 10.9	21 16 20.9
14	8	2	41 28.4	41 59.00	11 4 26.5	20 21 36.5
15	7.8	3	17.9	42 38.30	10 53 35.7	20 10 45.7
16	9	1	54.5	43 35.11	10 47 5.9	20 4 15.9
17	9	1	26.0	44 6.66	10 43 27.1	20 0 37.1
18	8.9	6	44 38.0	44 7.73	9 51 54.7	19 9 4.7
19	8.9	6	12.0	44 41.79	9 35 40.4	18 52 50.4
20	8.9	6	55.6	45 25.26	10 14 41.6	19 31 51.6
21	8.9	7	18.2	45 37.68	10 23 39.2	19 40 49.2
22	9	4	41.7	46 41.70	10 23 33.2	19 40 43.2
23	9	3	25.5	47 45.86	10 31 33.2	19 48 43.2
24	8.9	4	57.2	47 57.20	10 52 40.9	20 9 50.9
25	9	6	30.7	48 0.15	11 24 8.7	20 41 18.7
26	9	6	55.5	48 24.85	11 18 14.5	20 35 24.5
27	8	3	21.7	49 42.07	11 12 48.6	20 29 58.6
28	9.0	6	50 41.8	50 11.20	11 35 43.4	20 52 53.4
29	9.0	7	17.6	50 36.74	11 39 51.2	20 57 1.2
30	8	2	44.1	52 14.82	11 45 56.1	21 3 6.1
31	6	3	52 7.0	52 27.26	11 43 25.6	21 0 35.6
32	7	5	53 29.0	53 8.55	11 25 1.8	20 42 11.8
33	8.9	2	53 58.0	54 28.55	11 17 0.0	20 34 10.0
34	7	1	55 20.1	56 0.82	10 55 34.5	20 12 44.5
35	8.9	5	6.2	55 45.87	10 26 34.9	19 43 44.9
36	8.9	5	36.6	56 16.26	10 30 42.9	19 47 52.9
37	9.0	4	59.0	56 59.00	10 23 15.6	19 40 25.6
38	9	3	26.2	57 46.28	10 39 46.2	19 56 56.2
39	8	3	58.9	58 19.27	10 37 33.3	19 54 43.3
40	9	3	32.7	58 53.05	10 27 43.6	19 44 53.6
41	9.0	5	59.6	58 39.28	10 21 31.4	19 38 41.4
42	9	6	51.5	59 21.18	10 9 40.6	19 26 50.6
43	9	7	0 12.0	59 31.54	10 7 32.2	19 24 42.2
44	9	5	45.0	12 0 24.57	9 57 40.0	19 14 50.0

*Hilfstafel zur Reduction auf den middle
Ort 1850 Januar 0 D = - 21°.*

T.	k	k'	d
14	0+33.95	0	+4 +29.7 -0.6 +
	10+33.95		+4 +29.1 +
130	Fad. 3.	0".3	
134	" 3.	40.4	

Gute Luft.

ZONE 372. 1851 April 21. 0

NC. 11	7 - 1	35.31
13	14 - 1	35.85
Anf.	27 9.09 + 11.7	55.5
Ende	9.14 + 11.1	54.0
Microsc. I	- 0".11 u. + 0".06	
Decl.	= - (Microsc. I + 9° 17' 10")	
12" r+i	+ 39".603	$\Delta r = 0".008$ $\Delta i = 0"$

*Hilfstafel zur Reduction auf den middle
Ort 1850 Januar 0 D = - 20°.*

T.	k	k'	d
11	30+35.50	-6	+2 +37.5 -0.4 +
	40+35.44	-6	+3 +37.1 -0.3 +
	50+35.38	-6	+3 +36.8 -0.5 +
12	0+35.32		+3 +36.3 +

3 Fad. 6. 16.2 Ein Fehler von +1" Zeit bei No. 6 entdeckt und corrigirt ward, nach dem Zeugniß von Z. 356 No. 195 hier stattgefunden, wesshalb die T der 3 bis 5 um -1" corrigirt sind.

5 Fad. 5. 42.9 Fad. 4 ist ausgeschlossert
9 " 7. 54.7 Fäden 14".50 und 14".1
16 " 2. 4.5
26 " 7. 5.5
27 " 4. 42.0
30 " 3. 54.3
31 " 4. 27.0 Faden 3 giebt 27".51
33 " 3. 8.0
38 " 4. 46.0 Faden 3 giebt 46".57
44 " 6. 54.7 Fäden 24".73 und 24".4

Gr.	Fad.	Beob. Zeit.	T.	Microsc. I	Südl. Declin.
15	8.9	6	11.7	12 0 41.43	9 49 23.7
16	8.9	5	48.0	1 27.75	9 46 10.1
17	9	7	12.5	1 32.14	9 42 41.0
18	7	6	2 31.2	2 0.96	9 39 38.9
19	9	4	6.5	3 6.50	9 37 53.8
20	6.7	3	40.0	4 0.26	9 45 51.3
21	6.7	5	52.0	3 31.77	9 49 12.6
22	8.9	5	4 40.0	4 19.76	9 42 37.1
23	9	4	28.3	5 28.30	9 57 24.6
24	8	3	49.6	6 9.89	9 59 50.9
25	9	4	37.5	6 37.50	10 18 59.6
26	6.7	3	56.6	7 16.98	10 25 14.7
27	9	4	56.3	7 56.30	10 47 17.3
28	9	2	15.0	8 45.52	10 44 11.9
29	9	5	50.3	8 29.91	10 53 36.9
30	9	4	4.6	9 4.60	19 56 25.8
31	8	4	31.2	9 31.20	10 45 11.7
32	7	4	54.3	9 54.24	10 43 55.0
33	7.8	4	6.4	10 6.24	10 42 58.1
34	8	6	11 4.2	10 33.64	11 24 32.5
35	8	4	35.0	11 35.00	11 22 50.8
36	9	5	11 57.8	11 37.33	11 32 11.2
37	9	3	12 46.3	13 6.78	11 30 3.5
38	9.0	4	30.0	13 30.00	11 33 12.3
39	8.9	7	5.7	13 24.76	11 56 53.9
40	9	5	38.0	14 17.58	11 9 23.1
41	7.8	6	6.2	14 35.64	10 55 1.2
42	9	7	48.8	15 8.22	10 36 39.0
43	8	4	23.1	16 23.10	10 41 23.7
44	9	6	8.8	16 38.35	10 51 25.5
45	8	6	17 23.1	16 52.64	10 55 33.0
46	8	3	23.0	18 43.33	10 19 40.6
47	8	4	46.2	18 46.90	9 51 30.2
48	8.9	5	5.2	18 44.94	9 52 27.1
49	9	4	19 52.3	19 52.30	9 59 43.4
50	9	7	34.5	19 54.20	9 28 23.9
51	9	3	20.0	21 40.27	9 51 35.0
52	7.8	1	58.7	22 39.23	10 12 34.5
53	8.9	5	38.4	22 18.08	10 24 20.3
54	6.7	3	8.0	23 28.30	10 52 38.6
55	9	4	59.9	23 59.90	10 22 53.1
56	6	5	29.0	24 8.58	11 6 13.2
57	8	4	50.6	24 50.60	10 58 45.9
58	8	5	31.1	25 10.78	10 24 6.7
59	8.9	2	0.5	26 31.02	10 43 —
60	6	7	27.0	25 46.15	11 37 1.9
61	9	5	13.5	26 53.03	11 34 14.6
62	7	2	43.4	28 14.02	11 12 8.0
63	9	3	9.7	28 30.18	11 28 56.2
64	8.9	5	50.6	28 30.10	11 43 47.0
65	9	3	26.5	29 46.96	11 17 26.0
66	9	4	4.4	30 4.40	11 24 58.5
67	9	5	33.4	30 12.88	11 12 43.1
68	9	3	9.8	31 30.23	11 7 49.9
69	9.0	3	31 35.2	31 55.57	11 10 52.8

Hilfstafel zur Reduction auf den mittlern Ort 1850 Januar 0 D = - 20°.

T.	k	k'	d	d'
12 0 +35.32	-5	+3	+36.3	-0.4
10 +35.27	-5	+3	+35.9	-0.5
20 +35.22	-5	+3	+35.4	-0.6
30 +35.17	-4	+4	+34.8	-0.6
40 +35.13		+4	+34.2	+14.6

45 Fad. 7. 21.8
 48 „ 7. 41.3
 51 „ 6. 2.0 Fad. 7. 12.2
 56 „ 4. 17.0
 62 „ 6. 24.6
 63 „ 6. 36.5 giebt 6.08
 71 „ 7. 16.2
 77 „ 7. 27.3 giebt 46''90; ich vermute, dass Fad. 4 flüchtig beobachtet ist, und habe ihn ausgeschlossen.
 84 Fad. 4. 28.2
 90. Zeit unsicher beobachtet.
 97 Fad. 6. 43.3
 99 „ 4. 55.5

Nº.	Gr.	Fad.	Beob. Zeit.	T.	Microsc. I	Südl. Declin.
100	9	5	32' 45.1"	12 32' 24.65"	11 23' 10.6"	20 40' 20.6"
101	8.9	5	31.0	33 10.52	11 34 48.2	20 51 58.2
102	7	5	47.0	33 26.50	11 41 25.5	20 58 35.5
103	9.0	6	35 1.3	34 30.80	11 5 24.7	20 22 34.7
104	9	7	41.3	35 0.55	11 15 56.1	20 33 6.1
105	8.9	5	20.2	35 59.73	11 33 56.0	20 51 6.0
106	9	7	33.5	35 52.70	11 26 30.4	20 43 40.4
107	8.9	5	18.1	36 57.64	11 27 43.7	20 44 53.7
108	6	5	37 43.0	37 22.51	11 40 3.1	20 57 13.1
109	7.8	1	15.7	38 56.60	11 21 55.9	20 39 5.9
110	7	6	2.8	38 32.11	12 1 45.6	21 18 55.6
111	9	2	29.2	39 59.96	11 53 42.5	21 10 52.5
112	9	2	53.6	40 24.31	11 56 34.6	21 13 44.6
113	8	4	44.7	40 44.70	11 41 38.3	20 58 48.3
114	9	5	41 38.5	41 17.98	11 50 47.9	21 7 57.9
115	7.8	7	59 :	41 18	11 9 31.0	20 26 41.0
116	8	5	49.6	42 29.18	11 8 38.8	20 25 48.8
117	9	1	24.2	44 4.89	10 49 51.7	20 7 1.7
118	9	5	54.5	43 34.20	10 13 44.4	19 30 54.4
119	8	3	18.2	44 38.51	10 7 22.3	19 24 32.3
120	7.8	4	58.6	44 58.60	9 46 55.6	19 4 5.6
121	8.9	4	34.0	45 34.00	10 8 9.4	19 25 19.4
122	6	5	19.1	45 58.83	10 0 26.1	19 17 36.1
123	9	2	0.4	47 30.78	9 55 43.8	19 12 53.8
124	7.8	3	12.3	47 32.66	10 7 28.5	19 24 38.5
125	8	4	48 5.4	48 5.40	10 19 4.9	19 36 14.9
126	7	3	43.5	49 3.75	9 39 48.1	18 56 58.1
127	9	5	14.1	48 53.87	9 38 11.3	18 55 21.3
128	9.0	7	50.1	49 9.76	9 37 56.4	18 55 6.4
129	9	7	18.4	49 37.97	10 0 2.7	19 17 12.7
130	6.7	3	56.0	51 16.32	10 12 16.5	19 29 26.5
131	9	3	32.5	51 52.83	10 17 31.9	19 34 41.9
132	9	3	51 50.6	52 10.93	10 16 25.4	19 33 35.4
133	9.0	5	33.0	52 12.51	10 22 3.1	19 39 13.1
134	9	4	29.9	53 29.90	10 1 3.4	19 18 13.4
135	9.0	4	47.5	53 47.50	9 57 37.9	19 14 47.9
136	9	5	28.8	54 8.55	9 48 57.1	19 6 7.1
137	9	6	56.1	54 25.79	10 5 46.6	19 22 56.6
138	9	6	36.0	55 5.65	10 20 51.1	19 38 1.1
139	5.6	7	55 50.0	55 9.45	10 30 58.5	19 47 8.5
140	7	2	57 19.4	57 49.79	9 58 39.1	19 15 49.1
141	9	5	53.2	57 32.91	10 8 31.6	19 25 41.6
142	7	4	28.4	58 28.40	10 3 38.5	19 20 48.5
143	9	4	53.3	58 53.30	10 10 59.5	19 28 9.5
144	8	7	32.6	58 51.97	10 47 53.5	20 5 3.5
145	8	7	59 49.6	59 8.94	10 55 30.4	20 12 40.4
1	9	7	31 4.2	14 30 20.99	8 39 25.6	27 58 35.6
2	8	7	44.5	31 1.01	9 20 5.1	28 39 15.1
3	8	4	28.8	32 28.80	9 23 31.9	28 42 41.9
4	7	7	33 3.0	32 19.35	9 43 54.2	29 3 4.2
5	9	5	34 6.3	33 44.52	9 49 57.1	29 9 7.1
6	7	5	38.0	34 16.05	10 1 52.0	29 21 2.0
7	9	6	34.9	35 2.41	9 3 27.4	28 22 37.4
8	9	7	13.5	35 30.00	9 22 39.1	28 41 49.1
9	9	6	50.3	36 17.75	9 14 30.2	28 33 40.2

Hülfsstafel zur Reduction auf den mittleren Ort 1850 Januar 0 D = - 20°.

T.	k	k'	d
12 30' + 35.17"	-4	+4	+34.8 -0.6 +
40 + 35.13	-5	+4	+34.2 -0.6 +
50 + 35.08	-4	+4	+33.6 -0.7 +
13 0 + 35.04		+4	+32.9

106. Zeit unsicher beobachtet.

109 Fad. 2. 26".0

112 „ 3. 3.7

124 „ 4. 32.7

133 „ 6. 42.7 Fäden 12".68 und 12".

139. Zeit unsicher beobachtet; die Minute Microscops muss nach dem Zeugnisse Z. 379 No. 1 und LL. No. 24275 und 77 29'. Damit ist die Decl. berechnet.

145. Zeit unsicher beobachtet.

Sehr gute Luft.

ZONE 373. 1851 April 21. 0

D = - 28°.

T.	k	k'	d
14 30' + 34.51"	-2	+7	+29.6 -1.0 +
40 + 34.49		+7	+28.6
2. Zeit unsicher beobachtet.			
5 Fad. 6. 17".4			

Fad.	Beob. Zeit.	T.	Microsc. I	Südl. Declin.	
3	15.2	14 37' 36.92	8 49' 20.0	28° 8' 30.0	NC. 14 17' - 1' 34.83
5	18.0	37 56.28	8 52 58.8	28 12 8.8	16 16 - 1 36.61
6	38 52.8	38 20.70	7 45 34.0	27 4 44.0	Anf. 27 9.02 + 11.1 52.0
4	40 13.4	40 13.40	8 30 4.7	27 49 14.7	Ende 8.80 + 10.4 50.2
7	41.0	39 57.99	8 9 25.3	27 28 35.3	Microsc. I - 1".41 u. - 1".26
5	16.5	40 54.96	8 1 28.2	27 20 38.2	Decl. = - (Microsc. I + 19° 19' 10")
5	50.0	41 28.38	8 23 21.4	27 42 31.4	15" r+i +39".537 $\Delta r - 0".008$ $\Delta i + 0".007$
5	22.8	42 1.32	7 42 25.1	27 1 35.1	
5	51.4	42 29.92	7 40 0.3	26 59 10.3	
7	14.6	42 31.77	7 42 17.0	27 1 27.0	Hülftafel zur Reduction auf den mittlern Ort 1850 Januar 0 D = -28°.
4	41.3	43 41.30	7 54 0.6	27 13 10.6	
4	15.3	44 15.30	7 50 8.1	27 9 18.1	
5	41.0	44 19.37	8 28 34.9	27 47 44.9	
4	54.0	44 54.00	8 25 16.7	27 44 26.7	
5	30.5	45 8.89	8 20 55.5	27 40 5.5	
4	46 0.7	46 0.70	8 24 7.2	27 43 17.2	
7	30.6	45 47.00	9 36 4.5	28 55 14.5	
5	10.6	46 48.65	10 1 34.9	29 20 44.9	
4	43.0	47 43.00	9 13 52.5	28 33 2.5	
4	14.8	48 14.80	9 22 0.4	28 41 10.4	
5	49.0	48 27.30	8 48 32.1	28 7 42.1	
3	4	49 1.80	8 47 15.9	28 6 25.9	32. Declination ein Paar Secunden zweifelhaft.
7	5	49 13.01	7 44 36.0	27 3 46.0	43. 45. derselbe.
5	50 1.0	49 39.51	7 44 38.1	27 3 48.1	56 Fad. 3. 46".0
6	50 56.6	50 24.52	7 39 16.0	26 58 26.0	56. 58. derselbe.
5	57.6	51 35.71	9 42 34.0	29 1 44.0	61 Fad. 4. 42.1
9	2	53 9.02	9 5 38.9	28 24 48.9	63. Microscop 9 25 36.4 und dann Decl. 28° 44' 46".4?
3	3.5	53 25.24	8 54 50.9	28 14 0.9	64 Fad. 3. 38.3
9	5	53 19.12	8 42 32.1	28 1 42.1	
9	5	53 53.44	9 8 20.3	28 27 30.3	
9	3	54 54.77	9 4 27.0	28 23 37.0	
9	3	55 14.58	9 6 32.1	28 25 42.1	
5	23.4	55 1.78	8 23 46.6	27 42 56.6	
1	53.0	56 36.16	8 23 14.0	27 42 24.0	
9	1	57 18.13	7 47 2.6	27 6 12.6	
9	7	56 36.10	8 23 16.2	27 42 26.2	
9	5	57 32.42	8 13 47.2	27 32 57.2	
3	25.5	58 47.19	8 42 20.9	28 1 30.9	
5	11.5	58 49.83	8 41 4.4	28 0 14.4	
3	4	59 31.60	8 28 20.1	27 47 30.1	
7	0 0.2	59 17.02	8 35 16.5	27 54 26.5	
4	48.0	15 0 48.00	8 34 20.8	27 53 30.8	
5	2 16.3	1 54.84	7 35 20.0	26 54 30.0	
2	3 48.7	4 20.95	7 51 32.9	27 10 42.9	
4	28.2	4 28.20	7 40 0.5	26 59 10.5	
4	5 12.0	5 12.00	7 47 9.6	27 6 19.6	
2	35.5	6 7.61	7 43 43.4	27 2 53.4	
3	5	5 42.07	7 59 9.3	27 18 19.3	
7	6 48 :	6 5	7 43 41.6	27 2 51.6	
7	8 17.7	7 34.72	8 5 59.3	27 25 9.3	
3	49.0	9 10.57	8 6 25.1	27 25 35.1	
3	20.5	9 42.18	9 6 24.0	28 25 34.0	
7	10 1.5	9 18.01	9 21 4.2	28 40 14.2	
4	55.7	10 55.70	8 25 36.4	27 44 46.4	
2	27.6	11 59.89	8 4 6.0	27 23 16.0	

No.	Gr.	Fad.	Beob. Zeit.	T.	Microsc. I	Südl. Declin.
65	8	4	6.9	15 12' 6.90	7 47' 53.0	27 7' 3.0
66	9	7	12 44.7	12 1.81	7 50 49.0	27 9 59.0
67	8	5	35.6	13 14.14	7 34 24.5	26 53 34.5
68	8.9	4	14 3.6	14 3.60	7 24 37.3	26 43 47.3
69	7.8	4	14 28.8	14 28.80	7 27 32.0	26 46 42.0
70	9	1	15 39.0	16 22.65	9 34 40.1	28 53 50.1
71	8	5	26.0	16 4.41	8 15 2.2	27 34 12.2
72	7.8	3	51.0	17 12.58	8 7 59.8	27 27 9.8
73	9	5	17 35.2	17 13.61	8 34 24.9	27 53 34.9
74	9	7	43.2	17 59.88	8 57 12.5	28 16 22.5
75	7	3	18 56.6	19 18.38	9 1 28.5	28 20 38.5
76	8.9	4	46.9	19 46.90	9 0 24.0	28 19 34.0
77	9	4	36.0	20 36.00	8 5 41.0	27 24 51.0
78	9	5	23.8	21 2.27	7 56 48.1	27 15 58.1
79	7.8	4	22 28.7	22 28.70	8 20 21.2	27 39 31.2
80	8	7	48 :	22 5	8 34 36.0	27 53 46.0
81	9	7	49.0	23 5.34	9 44 32.6	29 3 42.6
82	9	7	6.5	23 22.81	9 49 34.9	29 8 44.9
83	9	2	25 0.0	25 32.48	8 39 10.0	27 58 20.0
84	6.7	6	30.1	24 57.91	8 13 36.0	27 32 46.0
85	9	7	26 46.7	26 3.60	8 23 17.8	27 42 27.8
86	5.6	4	21.0	27 21.00	8 19 22.0	27 38 32.0
87	7.8	2	28 2.4	28 34.81	8 23 43.1	27 42 53.1
88	9	3	29 28.4	29 50.09	8 41 57.2	28 1 7.2
89	7.8	1	31 3.4	31 47.01	9 29 31.5	28 48 41.5
90	8	3	30.4	31 52.24	9 22 44.0	28 41 54.0
91	8	3	33 1.0	33 22.59	8 10 55.1	27 30 5.1
92	9	7	53.0	33 9.90	8 23 50.1	27 43 0.1
93	8.9	7	13.2	33 30.12	8 21 18.2	27 40 28.2
94	9	5	55.2	34 33.60	8 17 58.4	27 37 8.4
95	9	4	38.3	35 38.30	8 6 55.1	27 26 5.1
96	7	2	35 58.7	36 31.09	8 16 31.2	27 35 41.2
97	9	3	37 3.2	37 25.06	9 31 11.9	28 50 21.9
98	8.9	3	15.4	38 37.16	9 0 11.5	28 19 21.5
99	8	4	39 1.5	39 1.50	7 48 23.1	27 7 33.1
100	8.9	4	39 26.4	39 26.46	7 42 16.5	27 1 26.5
101	9	6	57.0	40 24.95	7 34 19.0	26 53 29.0
102	9	4	43 38.6	43 38.60	9 12 53.0	28 32 3.0
103	9	4	34.6	44 34.60	8 19 42.1	27 38 52.1
104	9	4	48.0	44 48.00	8 21 5.0	27 40 15.0
105	8	4	18.2	45 18.20	8 8 39.8	27 27 49.8
106	8	3	41.7	46 3.29	8 11 45.1	27 30 55.1
107	8	2	7.6	46 39.97	8 17 49.0	27 36 59.0
108	8	7	42.0	45 58.82	8 36 6.9	27 55 16.9
109	8.9	4	18.5	47 18.50	8 55 20.9	28 14 30.9
110	6.7	7	47.1	47 3.57	9 27 7.5	28 46 17.5
111	9	4	47.6	48 47.60	8 33 5.9	27 52 15.9
112	9	4	11.5	49 11.50	8 17 38.0	27 36 48.0
113	9	5	54.5	49 32.80	8 20 57.0	27 40 7.0
114	9	5	42.6	50 21.10	7 47 16.4	27 6 26.4
115	8.9	5	50 57.4	50 35.94	7 36 32.5	26 55 42.5
116	8.9	3	31.5	51 52.96	7 32 38.4	26 51 48.4
117	7.8	7	5.0	51 22.32	7 18 38.9	26 37 48.9
118	7.8	4	48.0	52 48.14	9 23 32.0	28 42 42.0
119	7.8	7	31.3	52 47.79	9 23 32.5	28 42 42.5

Hälftafel zur Reduction auf den mittleren Ort 1850 Januar 0 D = - 28°.

T.	k	k'	d
u			
15 10' +34.47	0	+8	+25.4 -1.1 +
20 +34.47	+1	+8	+24.3 -1.1 +
30 +34.48	0	+8	+23.2 -1.1 +
40 +34.48	+2	+8	+22.1 -1.1 +
50 +34.50	+1	+8	+21.0 -1.1 +

73 Fad. 6. 46.0

75 " 4. 18.4

84 " 7. 41.0

87 " 3. 13.2

96 " 3. 9.5

100 " 5. 48.0

113 " 6. 5.0

115 " 6. 8.0

118 " 5. 10.1

118, 119. derselbe; die Zeit von 119 ist nur flüchtig beobachtet, da gleich bei Beobachtung die Identität mit dem vor. Sterne erkannt wurde.

Fad.	Beob. Zeit.	T.	Microsc. I	Südl. Declin.	
4	54 39.7	15 54 39.70	9 11 43.9	28 30 53.9	15 50+34.50 +1 +8 +21.0 -1.1 +39.7
3	56 49.5	57 11.18	7 59 53.1	27 19 3.1	16 0+34.51 +2 +8 +19.9 -1.2 +39.7
1	37.5	58 20.51	8 0 48.3	27 19 58.3	10+34.53 +8 +18.7 +39.8
3	59 31.6	59 53.29	8 10 48.0	27 29 58.0	121 Fad. 4. 11.3 123 Fad. 4. 53.4
3	0 47.1	16 1 8.95	9 41 36.2	29 0 46.2	124 „ 4. 8.9 125 „ 2. 52.0
1	41.0	2 24.60	9 17 25.0	28 36 35.0	128 „ 4. 7.8
4	25.9	2 25.90	8 42 26.5	28 1 36.5	
5	22.6	3 0.98	8 25 39.9	27 44 49.9	Die Sterne etwas blass und gross; zuletzt Streif-
3	3 46.2	4 7.83	8 33 1.2	27 52 11.2	wolken.
3	25 36.1	10 25 57.61	7 45 31.2	27 4 31.2	ZONE 374. 1851 April 22. Ost.
5	31.4	26 9.78	8 23 29.0	27 42 29.0	NC. 11 23 - 1 37.06
4	57.0	26 57.00	8 24 39.7	27 43 39.7	Anf. 27 7.46 + 11.9 59.3
3	25.8	27 47.46	8 30 0.3	27 49 0.3	Ende 7.47 + 12.2 58.4
4	4.0	28 4.00	8 28 34.4	27 47 34.4	Microsc. I - 1''.04 u. - 0''.89
3	38.0	28 59.69	8 41 23.8	28 0 23.8	Declin. = - (Microsc. I + 19° 19' 0'')
7	1.4	28 18.04	9 2 45.3	28 21 45.3	11° r+i +39''.377 Δr-0''.008 Δi+0''.010
3	37.1	30 9.68	9 0 42.9	28 19 42.9	
7	18.2	29 34.82	9 5 11.1	28 24 11.1	
1	55.3	31 39.09	9 47 57.3	29 6 57.3	
7	34.0	30 51.01	8 7 22.6	27 26 22.6	Hülftafel zur Reduction auf den mittlern
6	17.1	31 44.97	7 52 10.7	27 11 10.7	Ort 1850 Januar 0 D = -28°.
2	33 6.7	33 39.00	8 2 55.9	27 21 55.9	
6	46.4	33 13.72	9 39 7.8	28 58 7.8	
4	43.6	34 43.60	8 44 44.9	28 3 44.9	
3	10.3	35 31.94	8 27 14.1	27 46 14.1	
4	37 29.7	37 29.70	8 13 49.0	27 32 49.0	
2	15.9	38 48.20	8 3 1.1	27 22 1.1	
4	47.7	38 47.70	8 4 27.6	27 23 27.6	
4	26.6	39 26.60	7 39 17.2	26 58 17.2	
9	54.1	39 32.62	7 40 36.2	26 59 36.2	
3	40 53.8	41 15.26	7 49 32.6	27 8 32.6	
4	43.2	41 43.10	7 49 33.1	27 8 33.1	
7	34.5	41 51.27	8 42 25.3	28 1 25.3	
7	8.0	42 24.71	8 51 52.9	28 10 52.9	
3	44.0	44 5.87	9 32 38.7	28 51 38.7	
3	29.0	44 50.84	9 24 23.1	28 43 23.1	
9	2 45 28.7	46 1.54	9 48 7.9	29 7 7.9	
7	47 20.1	46 37.37	7 26 14.9	26 45 14.9	
9	4 6.0	48 6.00	7 43 15.8	27 2 15.8	
7	31.4	47 48.48	7 55 47.5	27 14 47.5	
5	26.1	49 4.55	8 3 23.9	27 22 23.9	
5	49 57.3	49 35.77	7 59 14.1	27 18 14.1	
8	50 35.0	50 13.42	8 12 37.3	27 31 37.3	
9	4 21.6	51 21.60	8 20 51.9	27 39 51.9	
9	6 56.7	51 24.32	9 2 52.7	28 21 52.7	
7	53 18.6	52 35.81	7 36 43.9	26 55 43.9	
5	1.2	53 39.83	8 3 10.7	27 22 10.7	
9	3 42.1	55 3.78	8 36 39.9	27 55 39.9	
5	14.4	54 52.59	9 21 39.3	28 40 39.3	
4	42.4	55 42.40	9 40 23.4	28 59 23.4	
9	4 11.1	56 11.10	9 42 12.0	29 1 12.0	
7	38.7	55 55.12	9 34 23.9	28 53 23.9	
7	56 54.5	56 10.89	9 38 33.4	28 57 33.4	
4	58 49.5	58 49.50	8 36 38.6	27 55 38.6	
9	3 16.0	59 37.65	8 22 34.4	27 41 34.4	

Die Sterne etwas blass und gross; zuletzt Streif-
wolken.

ZONE 374. 1851 April 22. Ost.

NC. 11 23 - 1 37.06
Anf. 27 7.46 + 11.9 59.3
Ende 7.47 + 12.2 58.4
Microsc. I - 1''.04 u. - 0''.89
Declin. = - (Microsc. I + 19° 19' 0'')
11° r+i +39''.377 Δr-0''.008 Δi+0''.010

Hülftafel zur Reduction auf den mittlern Ort 1850 Januar 0 D = -28°.

T.	k	k'	d	d'
10 20+35.75	-8	+1	+40.3	-0.3 +38.2
30+35.67	-9	+1	+40.0	-0.3 +38.2
40+35.58	-8	+2	+39.7	-0.3 +38.3
50+35.50	-8	+2	+39.4	-0.3 +38.3
11 0+35.42		+2	+39.1	+38.3

7. Zeit unsicher beobachtet.

8 Fad. 3. 47.9

10 „ 2. 6.3

11. Zeit unsicher beobachtet.

22 Fad. 4. 15.2

23 „ 5. 4.5

25. Zeit unsicher beobachtet.

31. ebenso.

36 Fad. 7. 7.8

38 „ 6. 12.2 Fäden 39''.65 und 40''.01

44. Zeit unsicher beobachtet.

46 Fad. 5. 59.3

No.	Gr.	Fad.	Beob. Zeit.	T.	Microsc. I	Südl. Declin.
47	7	2	21.3	11 0' 53.58	7 58' 1.2	27 17' 1.2
48	8	3	14.3	1 35.89	8 10' 41.5	27 29' 41.5
49	8	4	2 26.2	2 26.20	8 9' 13.8	27 28' 13.8
50	8.9	5	17.2	2 55.37	9 26' 56.9	28 45' 56.9
51	8	2	3 54.8	4 27.80	9 39' 17.1	28 58' 17.1
52	9	3	53.8	5 15.71	9 43' 8.4	29 2' 8.4
1	9	4	33 13.8	10 33' 13.80	9 38' 53.9	28 58' 53.9
2	9	7	37.0	32 53.38	9 39' 0.0	28 59' 0.0
3	9	7	34.2	33 50.25	10 25' 46.9	29 45' 46.9
4	8.9	1	17.6	36 1.76	10 45' 20.5	30 5' 20.5
5	9	3	41.2	36 3.38	10 58' 37.3	30 18' 37.3
6	9	5	36 26.1	36 3.91	11 5' 20.1	30 25' 20.1
7	9	2	57.9	37 31.19	11 13' 8.9	30 33' 8.9
8	9	2	43.8	38 16.94	10 44' 29.0	30 4' 29.0
9	8.9	7	9.2	37 25.61	9 34' 52.1	28 54' 52.1
10	8.9	1	39 12.4	39 56.89	11 28' 48.1	30 48' 48.1
11	7.8	3	15.3	40 37.62	11 33' 46.5	30 53' 46.5
12	9	1	55.3	41 39.75	11 22' 56.5	30 42' 56.5
13	8.9	4	20.2	41 20.20	10 56' 5.4	30 16' 5.4
14	8.9	5	47.8	41 25.71	10 37' 58.7	29 57' 58.7
15	8.9	6	6.8	41 33.84	10 31' 29.4	29 51' 29.4
16	9	7	42 27.8	41 43.84	10 26' 6.1	29 46' 6.1
17	9	2	43 32.7	44 5.78	10 32' 25.8	29 52' 25.8
18	9	2	15.7	44 48.63	10 3' 59.2	29 23' 59.2
19	9	3	11.5	45 33.46	9 58' 44.2	29 18' 44.2
20	8.9	2	47 37.1	48 10.65	11 39' 6.7	30 59' 6.7
21	8.9	1	26.2	49 10.50	11 4' 24.7	30 24' 24.7
22	9	2	49 59.0	50 32.38	11 25' 41.8	30 45' 41.8
23	7	2	52 25.2	52 58.71	11 42' 15.4	31 2' 15.4
24	9	3	54 59.7	55 21.68	10 3' 23.2	29 23' 23.2
25	9	3	27.0	55 48.99	10 8' 19.9	29 28' 19.9
26	8.9	2	13.4	56 46.54	10 42' 31.3	30 2' 31.3
27	8	1	41.7	57 25.66	10 18' 20.6	29 38' 20.6
28	9	4	58 21.6	58 21.60	10 9' 30.2	29 29' 30.2
29	—	5	55.6	58 33.79	9 50' 32.6	29 10' 32.6
30	7	1	43.0	11 0' 26.70	9 50' 34.1	29 10' 34.1
31	7	4	11.7	0 11.70	10 2' 20.3	29 22' 20.3
32	8.9	4	45.2	0 45.20	9 59' 50.0	29 19' 50.0
33	9	4	2 44.3	2 44.30	10 19' 12.2	29 39' 12.2
34	7.8	3	4 6.0	4 27.95	9 39' 7.0	28 59' 7.0
35	9	4	8 1.2	8 1.34	10 42' 19.1	30 2' 19.1
1	6.7	7	29 2.0	11 28' 22.30	6 44' 50.1	16 1' 30.1
2	8.9	5	46.2	29 26.28	6 49' 52.4	16 6' 32.4
3	9	5	17.0	29 57.08	6 54' 42.9	16 11' 22.9
4	9	5	56.0	30 36.03	7 21' 26.0	16 38' 6.0
5	8.9	7	35.5	30 55.85	6 30' 46.7	15 47' 26.7
6	6.7	5	32 0.4	31 40.51	6 31' 10.8	15 47' 50.8
7	8	3	40.6	33 0.51	6 34' 53.3	15 51' 33.3
8	9	6	12.4	32 42.87	5 15' 53.7	14 32' 33.7
9	8.9	3	45.5	34 5.32	5 37' 45.5	14 54' 25.5
10	8.9	2	18.9	34 48.68	6 17' 53.9	15 34' 33.9
11	7.8	7	30 :	33 50	6 54' 58.0	16 11' 38.0
12	8.9	1	18.6	35 58.40	7 1' 50.0	16 18' 30.0
13	9	5	55.0	35 35.02	7 25' 40.4	16 42' 20.4
14	8.9	7	38.1	35 58.34	7 1' 48.1	16 18' 28.1

11 0' + 35.42 | -8 | +2 | +38.1 | -0.3 | +
 10 + 35.34 | -8 | +2 | +39.8 | -0.3 | +
 51 Fad. 4. 28".0 Fad. 2 giebt 27".60

Zuweilen kleines Gewölk; zuletzt ganz bez.

ZONE 375. 1851 April 23. 0

NC. 10 11' - 1 33.30
 11 48' - 1 34.24
 Anf. 27 9.90 + 10.4 48.1
 Ende 9.90 + 9.6 48.1
 Microsc. I - 3".76
 Decl. = - (Microsc. I + 19° 20' 0")
 11^u $\tau + i$ + 39".176 $\Delta\tau - 0".007$ $\Delta i + 0"$

Hilfstafel zur Reduction auf den mittl.
 Ort 1850 Januar 0 D = - 30°.

T.	k	k'	d
10 30' + 35.48	-9	+1	+32.3 -0.1 +
40 + 35.39	-9	+2	+32.2 -0.1 +
50 + 35.30	-9	+2	+32.1 -0.1 +
11 0' + 35.21	-8	+2	+32.0 -0.2 +
10 + 35.13		+3	+31.8 -0.2 +

16. Zeit zweifelhaft beobachtet.
 19. Nach diesem Sterne kleine Pause.
 20 Fad. 3. 48".4
 21 " 4. 10.5
 23 " 3. 36.4
 29 " 7. 17.6 wahrscheinlich 9m.
 30 " 2. 53.8
 34 " 4. 28.0
 35 " 5. 23.6 Sollte die Minute der Zeit falsch sein?

Durch Wolken unterbrochen.

ZONE 376. 1851 April 24. 0

Hilfstafel zur Reduction auf den mittl.
 Ort 1850 Januar 0 D = - 16°.

T.	k	k'	d
11 30' + 35.09	-6	+2	+30.4 -0.3 +
40 + 35.03		+2	+30.1 -0.3 +

1. Zeit - 1"
 5. Zeitsecunde zweifelhaft.
 12 Fad. 2. 28".5
 12. 14. derselbe.

Nº.	Gr.	Fad.	Beob. Zeit.	T.	Microsc. I	Südl. Declin.
15	8.9	7	47.0	11 36 7.35	6° 30' 36.5	15° 47' 16.5
16	8.9	5	37 46.9	37 27.07	5 58 35.1	15 15 15.1
17	9.0	7	39 12.5	38 32.59	7 45 31.7	17 2 11.7
18	9	6	40 14.4	39 44.55	7 25 20.0	16 42 0.0
19	8	1	46.0	41 25.91	7 30 35.0	16 47 15.0
20	9.0	6	21.3	40 51.55	6 45 56.4	16 2 36.4
21	9	5	59.7	41 39.77	6 57 25.8	16 14 5.8
22	8.9	3	19.6	42 39.56	7 6 26.1	16 23 6.1
23	8	2	55.8	43 25.75	7 27 50.9	16 44 30.9
24	9.0	1	34.3	44 14.23	7 36 21.0	16 53 1.0
25	8.9	3	1.0	44 20.97	7 12 54.0	16 29 34.0
26	7.8	2	44 40.3	45 10.10	6 29 30.3	15 46 0.3
27	8.9	6	19.6	44 49.94	6 11 26.9	15 28 6.9
28	7.8	5	39.6	45 19.76	6 0 37.2	15 17 17.2
29	9	4	4.8	46 4.80	5 55 41.1	15 12 21.1
30	8.9	1	24.1	47 3.70	5 57 52.9	15 14 32.9
31	8.9	3	0.3	47 20.14	5 50 51.9	15 7 31.9
32	8.9	2	33.0	48 2.64	5 23 46.6	14 40 26.6
33	8.9	7	47 59.4	47 19.88	5 50 52.6	15 7 32.6
34	9	2	49 1.7	49 31.43	5 57 57.0	15 14 37.0
35	8.9	5	42.8	49 22.95	6 10 51.9	15 27 31.9
36	9	4	16.9	50 16.90	6 51 2.4	16 7 42.4
37	8.9	5	52.2	50 32.20	7 39 11.5	16 55 51.5
38	9	3	51 31.6	51 51.65	7 53 35.9	17 10 15.9
39	8	5	14.0	51 54.12	6 28 47.5	15 45 27.5
40	8	6	30.4	52 0.71	6 34 8.6	15 50 48.6
41	9	4	9.8	53 9.80	5 25 27.3	14 42 7.3
42	9	4	53.5	53 53.50	5 36 14.7	14 52 54.7
43	8	3	31.4	54 51.28	6 21 5.7	15 37 45.7
44	9.0	4	2.4	55 2.40	6 37 43.8	15 54 23.8
45	9.0	4	25.3	55 25.30	6 32 9.1	15 48 49.1
46	8.9	1	45.7	56 25.37	6 36 21.3	15 53 1.3
47	8.9	4	56 28.9	56 28.90	7 44 34.9	17 1 14.9
48	8.9	4	27.8	57 27.80	6 24 56.9	15 41 36.9
49	8.9	2	59 12.8	59 42.74	7 23 24.6	16 40 4.6
50	9.0	5	0 35.6	12 0 15.65	7 6 58.1	16 23 38.1
51	8	5	51.0	0 31.06	7 2 54.6	16 19 34.6
52	8.9	3	15.3	1 35.25	6 58 53.2	16 15 33.2
53	7	2	42.0	2 11.89	7 6 15.8	16 22 55.8
54	7.8	4	23.9	2 23.90	6 50 57.6	16 7 37.6
55	7	3	46.6	3 6.56	6 41 3.3	15 57 43.3
56	8.9	2	35.4	4 5.29	7 6 19.0	16 22 59.0
57	9	5	9.6	3 49.63	7 19 49.3	16 36 29.3
58	8	4	39.4	4 39.40	7 1 48.2	16 18 28.2
59	9	6	16.0	4 46.29	6 30 29.7	15 47 9.7
60	8	4	33.3	5 33.30	5 52 25.6	15 9 5.6
61	8	4	9.7	6 9.70	5 59 7.7	15 15 47.7
62	9	4	53.8	6 53.80	5 50 6.7	15 6 46.7
63	9	3	7 44.8	8 4.63	5 49 32.3	15 6 12.3
64	6	3	24.9	8 44.81	6 35 25.8	15 52 5.8
65	8.9	1	39.5	9 19.22	6 34 28.9	15 51 8.9
66	9	3	9 20.0	9 39.92	6 43 42.4	16 0 22.4
67	7.8	5	55.0	9 35.08	6 50 52.5	16 7 32.5
68	9	7	10.5	9 30.75	7 0 27.6	16 17 7.6
69	8	5	44.7	10 24.83	6 43 19.3	15 59 59.3

NC. 11 11' - 1' 33.57
 13 50 - 1 34.28
 Anf. 27 9.82 + 10.0 47.5
 Ende 9.54 + 8.3 44.1
 Microsc. I - 1'' 67 u. - 2'' 12
 Declin. = - (Microsc. I + 9° 16' 40'')
 12^u $\tau + i + 39'' .141$ $\Delta \tau - 0'' .006$ $\Delta i + 0'' .007$

Hilfstafel zur Reduction auf den mittlern
 Ort 1850 Januar 0 D = - 16°.

T.	k	k'	d	d'
11 30' + 35.09	-6	+2	+30.4	-0.3
40 + 35.03	-5	+2	+30.1	-0.2
50 + 34.98	-6	+2	+29.9	-0.4
12 0 + 34.92	-5	+3	+29.5	-0.3
10 + 34.87		+3	+29.2	+10.3

31. 33. derselbe.
 40 Fad. 7. 40'' 4
 46 " 2. 55.5
 55 " 4. 6.6 dupl. II. Cl. seq.; praec. 9^m.
 69 " 6. 54.6

Nº.	Gr.	Fad.	Beob. Zeit.	T.	Microsc. I	Südl. Declin.
70	7	7	39.3	12 10' 59.71	6 10' 19.3	15 26' 59.3
71	8	3	15.0	12 34.82	5 42' 49.4	14 59' 20.4
72	9	4	25.2	12 25.20	5 39' 19.5	14 55' 59.5
73	7	1	13 18.5	13 58.01	5 27' 14.5	14 43' 54.5
74	9.0	7	11.3	13 31.54	7 2' 41.1	16 19' 21.1
75	8.9	3	55.4	15 15.31	6 34' 46.3	15 51' 26.3
76	9	7	40.5	15 1.02	5 36' 59.9	14 53' 39.9
77	9	5	34.6	16 14.82	5 24' 30.7	14 41' 10.7
78	8.9	3	14.3	17 34.27	7 8' 34.1	16 25' 14.1
79	9.0	5	56.0	17 36.06	7 0' 45.1	16 17' 25.1
80	9	3	14.8	18 34.75	7 1' 14.0	16 17' 54.0
81	8.9	2	58.4	19 28.34	7 22' 36.5	16 39' 16.5
82	9	3	25.0	19 44.98	7 18' 39.6	16 35' 19.6
83	7.8	2	19 37.7	20 7.59	7 11' 54.9	16 28' 34.9
84	8.9	4	32.2	20 32.20	7 8' 47.5	16 25' 27.5
85	8.9	2	54.8	21 24.69	7 3' 23.2	16 20' 3.2
86	8.9	3	28.6	21 48.64	7 50' 24.4	17 7' 4.4
87	8.9	7	22 4.0	21 24.24	7 3' 21.1	16 20' 1.1
88	8.9	5	40.7	22 20.78	6 51' 25.5	16 8' 5.5
89	8	6	8.2	22 38.44	6 22' 49.4	15 39' 29.4
90	4	4	46.0	23 45.88	6 5' 42.2	15 22' 22.2
91	7.8	5	50.7	24 30.80	6 33' 37.2	15 50' 17.2
92	7.8	4	32.0	25 32.00	6 58' 44.9	16 15' 24.9
93	9	6	58.6	25 28.83	6 53' 24.9	16 10' 4.9
94	8.9	4	29.0	26 29.00	6 42' 2.1	15 58' 42.1
95	7	2	49.9	27 19.74	6 43' 44.0	16 0' 24.0
96	7	5	35.5	27 15.56	7 3' 2.2	16 19' 42.2
97	8.9	5	8.6	27 48.65	7 10' 40.1	16 27' 20.1
98	9	6	26.5	27 56.67	7 18' 5.7	16 34' 45.7
99	9	4	29 11.2	29 11.20	7 10' 0.1	16 26' 40.1
100	9	4	30 4.0	30 4.00	7 35' 47.8	16 52' 27.8
101	9	5	48.1	30 28.11	7 32' 20.6	16 49' 0.6
102	8	2	5.1	31 35.04	7 35' 11.7	16 51' 51.7
103	9	3	24.7	31 44.71	7 37' 5.7	16 53' 45.7
104	8.9	4	11.6	32 11.60	7 55' 12.5	17 11' 52.5
105	8.9	7	32 57.8	32 18.24	6 3' 11.6	15 19' 51.6
106	8.9	1	45.0	34 24.50	5 22' 22.2	14 39' 2.2
107	9	3	33.7	34 53.50	6 25' 12.0	15 41' 52.0
108	9	4	12.1	35 12.10	6 39' 19.7	15 55' 59.7
109	7	3	35 55.9	36 15.92	7 40' 58.0	16 57' 38.0
110	9	7	45.6	36 5.97	6 23' 35.7	15 40' 15.7
111	9	1	21.6	38 1.30	6 26' 51.9	15 43' 31.9
112	8.9	1	30.6	38 10.30	6 26' 25.5	15 43' 5.5
113	9	5	9.0	37 49.10	6 38' 24.1	15 55' 4.1
114	9.0	2	50.7	39 20.53	6 40' 33.9	15 57' 13.9
115	7	1	39 25.6	40 5.14	5 38' 0.0	13 54' 40.0
116	9.0	1	51.5	40 31.05	5 33' 8.9	14 49' 48.9
117	9.0	4	44.0	40 44.00	5 25' 15.8	14 41' 55.8
118	6.7	4	19.0	41 19.00	5 37' 40.5	15 4' 20.5
119	9	4	52.9	41 52.90	5 54' 43.0	15 11' 23.0
120	8	2	23.3	42 53.15	6 49' 43.1	16 6' 23.1
121	8	6	4.5	42 34.68	7 14' 43.2	16 31' 23.2
122	9	7	43 38.1	42 58.24	7 31' 42.2	16 48' 22.2
123	8.9	5	16.1	43 56.11	7 31' 51.6	16 48' 31.6
124	9	6	50.3	44 20.44	7 28' 19.1	16 44' 59.1

Halftafel zur Reduction auf den mittlere Ort 1850 Januar 0 D = - 16°.

T.	k	k'	d
12 10' 34.87	-5	+3	+29.2 -0.5 +
20+34.82	-4	+3	+28.7 -0.4 +
30+34.78	-5	+3	+28.3 -0.5 +
40+34.73	-4	+3	+27.8 -0.5 +
50+34.69		+4	+27.3 +

83 Fad. 3. 47.6 Fad. 4. 7".6

89 " 7. 18.0

90 " 5. 5.6

91 " 6. 0.5

102 " 4. 35.0

112 " 2. 40.5

116 " 2. 1.4

118. Die Minute des Microscops muss nach Zeugnis von LL. Nº. 23901 u. 23903 : W. XIIa. 715 sein 47 ; damit ist die berechnet.

N ^o .	Gr.	Fad.	Beob. Zeit.	T.	Microsc. I	Südl. Declin.
125	7.8	7	23.7	12 44' 43.93	7° 6' 40.1	16° 23' 20.1
126	8.9	5	45 37.0	45 16.92	7 6 33.0	16 23 13.0
127	9.0	4	46 57.5	46 57.50	7 25 37.0	16 42 17.0
128	9	4	42.5	47 42.45	7 35 31.5	16 52 11.5
129	9.0	6	33.4	48 3.61	7 4 8.0	16 20 48.0
130	9.0	7	54.8	48 15.06	6 56 58.8	16 13 38.8
131	9	4	34.2	49 34.20	6 33 54.8	15 50 34.8
132	8	5	50 1.0	49 41.09	6 41 18.7	15 57 58.7
133	7.8	3	50 37.4	50 57.29	6 27 10.4	15 43 50.4
134	8.9	3	16.6	51 36.45	6 8 32.1	15 25 12.1
135	9.0	5	50.5	51 30.65	6 9 33.5	15 26 13.5
136	9	7	13.5	51 33.97	5 51 56.6	15 8 36.6
137	8	4	48.0	52 48.00	5 42 56.5	14 59 36.5
138	9	7	53 4.0	52 24.50	5 42 46.4	14 59 26.4
139	8.9	7	45.8	53 6.27	5 54 38.0	15 11 18.0
140	9	4	13.6	54 13.60	5 56 50.2	15 13 30.2
141	9	7	39.9	54 0.32	6 7 27.0	15 24 7.0
142	8.9	5	11.0	54 51.14	6 12 9.2	15 28 49.2
143	7.8	5	29.6	55 9.74	6 15 31.1	15 32 11.1
144	9	4	52.4	55 52.50	5 42 21.3	14 59 1.3
145	9.0	5	48.5	56 28.72	5 25 27.5	14 42 7.5
146	9.0	6	57 16.2	56 46.64	5 31 22.9	14 48 2.9
147	8.9	7	49.5	57 9.99	5 46 37.7	15 3 17.7
148	9.0	6	37.5	58 7.84	6 22 31.8	15 39 11.8
149	9.0	3	15.2	59 35.11	6 36 13.2	15 52 53.2
150	9	1	56.4	13 0 36.14	6 40 18.8	15 56 58.8
151	9	6	26.6	12 59 56.76	7 21 53.8	16 38 33.8
152	7	4	53.9	13 0 53.90	7 9 28.1	16 26 8.1
153	9	3	25.6	1 45.70	8 25 11.6	17 41 51.6
154	9	1	2 26.0	3 5.93	7 45 45.9	17 2 25.9
155	8.9	5	3 40.0	3 20.12	6 26 37.9	15 43 17.9
156	5.6	7	9.9	3 30.32	6 7 6.1	15 23 46.1
157	7	5	3.6	4 43.82	5 23 35.1	14 40 15.1
158	7.8	4	10.0	5 10.00	5 30 0.9	14 36 40.9
159	8	5	55.0	5 35.12	6 29 8.9	15 45 48.9
160	9	4	14.0	6 14.00	6 27 14.7	15 43 54.7
161	8	4	7 15.4	7 15.40	6 12 33.9	15 29 13.9
162	9	4	4.4	8 4.40	6 41 0.1	15 57 40.1
163	9.0	7	22.0	7 42.33	6 35 10.8	15 51 50.8
164	9	3	7.3	9 27.23	6 46 38.1	16 3 18.1
165	7.8	2	9 40.3	10 10.28	7 4 16.4	16 20 56.4
166	9	2	10 44.9	11 14.76	6 53 7.9	16 9 47.9
167	8.9	2	11 21.3	11 51.17	6 38 31.6	15 55 11.6
168	9	4	6.6	12 6.60	6 19 53.5	15 36 33.5
169	8.9	7	20.0	11 40.41	6 9 55.2	15 26 35.2
170	9	1	58.5	13 38.13	6 6 35.5	15 23 15.5
171	8.9	7	29.2	12 49.67	5 54 18.8	15 10 58.8
172	9	7	57.5	13 17.95	5 50 35.6	15 7 15.6
173	8	4	33.0	14 33.00	5 52 20.0	15 9 0.0
174	9	6	55.8	14 26.11	5 41 18.3	14 57 58.3
175	7	1	15 50.3	16 29.75	5 34 43.3	14 51 23.3
176	9	4	34.2	16 34.20	6 7 40.8	15 24 20.8
177	9	6	13.2	16 43.48	6 33 28.1	15 50 8.1
178	9.0	6	29.7	16 59.98	6 32 1.6	15 48 41.6
179	8	6	12.7	17 42.97	6 37 20.9	15 54 0.9

**Hilfstafel zur Reduction auf den mittlern
Ort 1850 Januar 0, D = - 16°.**

T.	k	k'	d	d'	
12 40' +34.73	-4	+3	+27.8	-0.5	+10.4
50 +34.69	-4	+4	+27.3	-0.6	+10.4
13 0 +34.65	-3	+4	+26.7	-0.6	+10.4
10 +34.62	-3	+4	+26.1	-0.7	+10.5
20 +34.59		+4	+25.4		+10.5

126 Fad. 6. 46.6

128 „ 5. 2.4

144 „ 5. 12.4

148 „ 7. 47.5

154 „ 2. 35.9

158. LL. N^o. 24544 und W. XIII^a. N^o. 82 zeigen übereinstimmend, dass die Minute des Microscops 20 sein sollte. Unter dieser Annahme ist die Decl. berechnet.

163. Zeit unsicher beobachtet.

165 Fad. 3. 50.4

167 „ 3. 31.3

169. Zeit unsicher beobachtet.

171. ebenso.

174 Fad. 7. 5.5

175 „ 2. 0.0

No.	Gr.	Fad.	Beob. Zeit.	T.	Microsc. I	Südl. Declin.
180	9	4	18' 40.3	13 18' 40.30	7° 4' 30.1	16° 21' 10.1
181	9.0	4	20.2	19 20.20	7 6 6.0	16 22 46.0
182	9	3	39.0	19 58.95	6 57 32.3	16 14 12.3
183	9.0	3	20 44.3	21 4.20	6 31 1.2	15 47 41.2
184	7	1	25.0	22 4.65	6 10 31.9	15 27 11.9
185	7	2	59.1	22 28.88	6 18 21.6	15 35 1.6
186	9.0	4	59.5	22 59.50	5 55 48.1	15 12 28.1
187	9.0	4	19.2	23 19.20	6 0 8.9	15 16 48.9
188	6	4	16.6	24 16.60	5 19 16.1	14 35 56.1
189	9	2	45.6	25 15.28	5 37 41.3	14 54 21.3
190	9.0	3	44.3	26 4.13	5 47 58.5	15 4 38.5
191	8	7	12.5	25 32.88	6 20 42.6	15 37 22.6
192	8	6	32.2	26 2.50	6 16 52.5	15 33 32.5
193	9.0	7	24.5	26 44.85	6 29 24.0	15 46 4.0
194	7	1	45.4	28 25.04	6 24 31.5	15 41 11.5
195	9	6	53.4	28 23.62	7 0 58.9	16 17 38.9
196	9	3	24.8	29 44.77	7 46 0.2	17 2 40.2
197	9	6	33.0	30 3.32	6 20 7.3	15 36 47.3
198	5.6	2	30 49.7	31 19.55	6 24 46.5	15 41 26.5
1	8.9	5	50 47.9	10 50 26.14	9 7 23.6	28 26 33.6
2	8.9	6	29.4	50 56.92	9 1 16.9	28 20 26.9
3	8.9	6	57.2	51 24.71	9 2 32.3	28 21 42.3
4	9	7	53 18.7	52 35.91	7 36 27.2	26 55 37.2
5	9	5	1.9	53 40.35	8 3 1.2	27 22 11.2
6	8.9	3	42.4	55 4.07	8 36 28.1	27 55 38.1
7	9	5	15.0	54 53.15	9 21 22.9	28 40 32.9
8	8.9	4	11.8	56 11.80	9 41 51.5	29 1 1.5
9	9	7	55.2	56 11.59	9 38 12.9	28 57 22.9
10	8	4	26.5	57 26.50	10 18 12.9	29 37 22.9
11	7	3	58 28.9	58 50.58	8 36 22.1	27 55 32.1
12	7	3	16.8	59 38.42	8 22 16.4	27 41 26.4
13	9	2	49.5	11 0 21.82	8 8 51.1	27 28 1.1
14	6	3	32.5	0 54.05	7 57 43.3	27 16 53.3
15	9	2	13.3	1 45.48	7 39 54.4	26 59 4.4
16	8.9	3	38.7	2 0.17	7 34 18.3	26 53 28.3
17	8	4	2 16.0	2 16.00	7 24 54.7	26 44 4.7
18	9	5	57.5	2 36.00	7 46 44.0	27 5 54.0
19	9	2	33.8	4 6.17	8 18 43.9	27 37 53.9
20	7.8	4	4 28.3	4 28.30	9 38 56.0	28 58 6.0
21	9	4	16.0	5 16.00	9 42 43.0	29 1 53.0
22	9	4	45.4	5 45.40	9 47 57.7	29 7 7.7
23	8.9	5	20.0	5 58.07	9 55 42.2	29 14 52.2
24	9	5	53.8	6 31.90	9 46 6.7	29 5 16.7
25	9	5	51.0	7 29.18	9 22 56.3	28 42 6.3
26	8.9	6	26.7	7 54.09	9 25 20.8	28 44 30.8
27	9	6	57.0	8 24.49	9 5 51.3	28 25 1.3
28	9	2	24.5	9 57.09	9 1 51.5	28 21 1.5
29	8	4	19.4	10 19.40	8 18 26.9	27 37 36.9
30	7.8	1	48.4	11 31.54	8 20 42.6	27 39 52.6
31	8.9	1	10.2	11 53.40	8 29 7.1	27 48 17.1
32	7	5	12 14.0	11 52.45	8 3 32.8	27 22 42.8
33	7	5	47.6	12 26.03	8 12 10.8	27 31 20.8
34	9	6	13 50.6	13 18.48	7 49 18.9	27 8 28.9
35	8.9	7	14 2.5	13 19.69	7 38 43.6	26 57 53.6
36	8.9	5	0.3	14 38.77	8 7 1.6	27 26 11.6

*Hilfstafel zur Reduction auf den mittlere
Ort 1850 Januar 0 D = - 16°.*

T.	k	k'	d
13 10' + 34.62	-3	+4	+26.1 -0.7 +
20 + 34.59	-3	+4	+25.4 -0.7 +
30 + 34.56	-3	+4	+24.7 -0.7 +

192 Fad. 7.	42.1
194 „ 2.	55.2
196 „ 4.	44.7
198 „ 4.	19.6

Recht gute Luft.

ZONE 377. 1851 April 28. 0

NC. 10 27' - 1' 33.18
12 19 - 1 35.67
Anf. 27 9.12 + 7.3 39.4
Ende 9.01 + 5.4 36.2
Microsc. I - 2'' 71 u. - 4'' 75
Decl. = - (Microsc. I + 19° 19' 10'')
11'' $\tau + i + 38'' 826$ $\Delta \tau - 0'' 004$ $\Delta i + 0'$

*Hilfstafel zur Reduction auf den mittlere
Ort 1850 Januar 0 D = - 28°.*

T.	k	k'	d
10 50' + 35.03	-9	+2	+29.9 +0.3 +
11 0 + 34.94	-9	+2	+30.2 +0.2 +
10 + 34.85	-8	+2	+30.4 +0.2 +
20 + 34.77	+3	+3	+30.6 +0.2 +

7 Fad. 6.	25.7
36 „ 6.	11.0

N ^o .	Gr.	Fad.	Beob. Zeit.	T.	Microsc. I	Südl. Declin.
37	8.9	4	40.4	11 15 40.40	8 19 15.1	27 38 25.1
38	9	5	9.6	15 47.98	8 22 30.5	27 41 40.5
39	9	7	30.9	15 47.81	8 22 30.8	27 41 40.8
40	8.9	4	17 9.1	17 9.10	8 31 57.1	27 51 7.1
41	9	4	3.5	18 3.54	9 21 27.0	28 40 37.0
42	8.9	4	19 3.6	19 3.60	9 47 25.6	29 6 35.6
43	8.9	5	54.0	19 32.29	8 49 41.8	28 8 51.8
44	9	5	50.4	20 28.74	8 36 25.0	27 55 35.0
45	8	4	23 3.6	23 3.60	8 39 33.0	27 58 43.0
46	6.7	3	54.4	24 16.18	9 7 30.5	28 26 40.5
47	6.7	4	24 15.9	24 15.90	9 7 37.0	28 26 47.0
48	7.8	5	53.1	24 31.36	9 0 2.3	28 19 12.3
49	8.9	7	12 :	24 28	9 23 17.9	28 42 27.9
50	9	7	26 30.2	25 46.76	9 13 6.0	28 32 16.0
51	9	5	4.6	26 42.67	9 4 27.7	28 23 37.7
52	9	4	49.0	27 49.00	8 58 51.0	28 18 1.0
53	9	5	28.5	28 6.73	9 2 5.0	28 21 15.0
54	9	4	13.5	29 13.50	8 54 0.0	28 13 10.0
55	9	5	38.3	29 16.53	9 9 1.7	28 28 11.7
56	9	6	13.0	29 40.61	8 42 36.1	28 1 46.1
57	7	7	52.6	30 9.59	8 9 4.0	27 28 14.0
58	9	4	56.5	31 56.50	7 59 44.5	27 18 54.5
59	9	3	12.2	32 33.76	8 0 28.2	27 19 38.0
60	8.9	3	32 48.7	33 10.24	7 55 5.8	27 14 15.8
61	9	5	31.2	33 9.72	7 42 8.5	27 1 18.5
62	9	6	33 54.5	33 22.37	7 28 36.2	26 47 46.2
63	8.9	5	35 5.9	34 44.41	7 43 40.7	27 2 50.7
64	8.9	5	51.5	35 29.96	8 2 24.4	27 21 34.4
65	8.9	4	15.2	36 15.20	7 53 23.0	27 12 33.0
66	8	2	47.0	37 19.34	8 13 51.5	27 33 1.5
67	9	3	37 31.5	37 53.35	9 27 11.4	28 46 21.4
68	9	5	38 44.0	38 22.11	9 42 28.3	29 1 38.3
69	8	6	39 45.0	39 12.42	9 20 36.4	28 39 46.4
70	9	6	31.2	39 58.60	9 31 35.7	28 50 45.7
71	8.9	1	26.1	42 9.50	8 58 51.8	28 18 1.8
72	9	2	59.0	42 31.43	8 52 39.6	28 11 49.6
73	9	6	43 34.2	43 1.57	9 20 22.3	28 39 32.3
74	8.9	3	41.6	45 3.20	8 15 23.9	27 34 33.9
75	8.9	3	4.6	45 26.18	8 8 13.6	27 27 23.6
76	9	6	45 59.2	45 26.88	8 29 35.6	27 48 45.6
77	9	2	46.7	47 19.16	8 37 50.0	27 57 0.0
78	9	6	39.6	47 7.17	8 51 7.4	28 10 17.4
79	9	6	11.7	47 38.85	9 39 32.9	28 58 42.9
80	9	4	4.7	49 4.70	8 57 17.1	28 16 27.1
81	9	6	45.2	49 12.82	8 40 44.0	27 59 54.0
82	9	6	50 32.3	49 59.97	8 30 47.6	27 49 57.6
83	9	4	3.6	51 3.60	8 29 21.4	27 48 31.4
84	9	4	48.0	51 48.00	7 22 33.0	26 41 43.0
85	8	3	52 10.2	52 31.61	7 14 55.0	26 34 5.0
86	9	6	53 19.5	52 46.86	9 32 49.5	28 51 59.5
87	8	1	4.2	54 47.25	8 6 55.4	27 26 5.4
88	8	7	41.6	53 58.84	7 30 29.6	26 49 39.6
89	9	2	34.6	56 7.12	8 26 11.5	27 45 21.5
90	9	3	15.3	56 36.96	8 30 50.7	27 50 0.7
91	7.8	3	33.9	56 55.57	8 33 18.0	27 52 28.0

*Hülfsstafel zur Reduction auf den mittlern
Ort 1850 Januar 0 D = - 28°.*

T.	k'	d	d'
11 10 + 34.85	-8	+2	+30.4 +0.2 +40.2
20 + 34.77	-8	+3	+30.6 +0.1 +40.2
30 + 34.69	-8	+3	+30.7 +0.1 +40.3
40 + 34.61	-7	+3	+30.8 0.0 +40.3
50 + 34.54	-8	+3	+30.8 0.0 +40.3
12 0 + 34.46	-7	+4	+30.8 -0.1 +40.4

38. 39. derselbe; es ist dies ein Doppelstern III. Cl., dessen beide Componenten ich beobachten wollte, aber aus Versehen beide Male denselben beobachtet habe, wenn ich mich recht erinnere, den vorhergehenden und ich denke nördlichen.

41 Fad. 5. 25".4

45. Vor diesem Sterne war etwas am Beleuchtungsapparat in Unordnung gerathen, daher die Pause.

46. 47. duplex.

51 Fad. 6. 15.0 Fäden 42".85 und 42".50

53 " 6. 39.2

57. Ein anderer 7^m. geht etwa 20" voraus und ist 2' nördlicher.

62 Fad. 7. 15.0

70 " 7. 42.2

72 " 3. 9.6

73 " 7. 45.0

79 " 7. 22.3 Fäden 39".02 und 38".68

89 " 3. 45.6

No.	Gr.	Fad.	Beob. Zeit.	T.	Microsc. I	Südl. Declin.	
92	9	7	11.0	11 56 27.64	9 2 8.8	28 21 18.8	11 50+34.54 -8 +3 +30.8 0.0 +
93	9	3	35.6	57 57.37	8 52 49.1	28 11 59.1	12 0+34.46 -7 +4 +30.8 -0.1 +
94	8	3	15.1	58 36.93	8 58 37.1	28 17 47.1	
95	7.8	3	58.5	59 20.24	8 55 54.0	28 15 4.0	93 Fad. 4. 57.4
96	8.9	4	24.3	59 24.30	8 49 22.2	28 8 32.2	94 „ 4. 37.0
97	8.9	3	52.2	12 0 14.00	9 13 28.2	28 32 38.2	100 „ 5. 55.6
98	9	5	16.2	0 54.64	8 6 44.1	27 25 54.1	
99	8	7	47.2	1 4.31	7 50 32.0	27 9 42.0	Luft nicht sehr ruhig, aber sehr durchsichtig
100	7	4	2 34.0	2 34.04	7 55 32.5	27 14 42.5	
1	8.9	4	15 39.7	14 15 39.70	10 47 11.6	30 7 21.6	ZONE 378. 1851 April 28. (
2	8.9	4	16 13.0	16 13.00	10 51 1.0	30 11 11.0	
3	8.9	5	1.3	16 39.29	10 16 41.1	29 36 51.1	NC. 13 34 - 1 37.67
4	9	5	18 38.0	18 15.64	11 50 42.0	31 10 52.0	15 40 - 1 38.28
5	9	6	19 51.3	19 17.92	11 43 52.7	31 4 2.7	Anf. 27 8.98 + 6.1 34.8
6	8.9	6	41.0	20 8.30	9 42 47.6	29 2 57.6	15 1 33.5
7	8	6	11.1	20 38.42	9 38 25.7	28 58 35.7	Ende 27 8.82 + 4.2 33.3
8	9	5	55.7	21 33.85	9 31 47.0	28 51 57.0	Microsc. I - 3'' 96 u. - 6'' 26
9	9	6	39.2	22 6.61	9 22 47.1	28 42 57.1	Decl. = - (Microsc. I + 19° 20' 10'')
10	9	4	23 41.2	23 41.20	9 25 53.0	28 46 3.0	15'' r+i +38''.799 Δr-0''.004 Δi+0'
11	9	6	28.0	23 55.34	9 35 20.8	28 55 30.8	
12	8.9	5	59.5	24 37.62	9 41 8.9	29 1 18.9	
13	9	1	26 10.6	26 54.52	10 12 49.8	29 32 59.8	Hülfsstafel zur Reduction auf den middle
14	9	2	6.5	27 39.45	10 9 26.9	29 29 36.9	Ort 1850 Januar 0 D = - 30°.
15	8	3	25.5	27 47.50	10 11 37.2	29 31 47.2	
16	8.9	7	55.1	27 10.87	11 2 39.9	30 22 49.9	
17	8.9	3	38.0	29 0.40	11 55 10.9	31 15 20.9	
18	9	7	24.2	28 39.65	10 44 0.1	30 4 10.1	
19	9	4	30 28.2	30 28.20	10 39 19.0	29 59 29.0	
20	7.8	4	57.0	30 57.00	10 33 26.5	29 53 36.5	
21	7	1	36.3	32 19.96	9 43 43.4	29 3 53.4	
22	8	4	29.7	32 29.70	9 23 23.9	28 43 33.9	
23	7	6	52.8	32 20.09	9 43 43.8	29 3 53.8	
24	8.9	3	23.6	33 45.53	9 49 51.2	29 10 1.2	21 Fad. 2. 47.1
25	9	2	52.7	34 25.54	9 38 36.0	28 58 46.0	21. 23. derselbe.
26	7	5	39.1	34 17.14	10 1 40.3	29 21 50.3	25 Fad. 3. 3.7
27	8.9	7	8.8	34 24.96	10 10 19.4	29 30 29.4	29 „ 4. 53.3 Fad. 3. giebt 53''.85
28	9	2	6.1	36 39.33	10 59 59.7	30 20 9.7	33 „ 6. 35.9
29	8.9	3	31.5	36 53.57	11 42 20.0	31 2 30.0	38 „ 5. 38.8
30	9	5	38.2	37 15.84	11 49 2.9	31 9 12.9	40 „ 4. 3.0 Fad. 3 giebt 3''.37
31	8.9	3	26.2	38 48.49	11 25 52.4	30 46 2.4	45 „ 4. 36.7
32	8.9	6	13.7	38 40.76	10 27 20.0	29 47 30.0	
33	8.9	5	39 25.0	39 2.95	10 29 12.6	29 49 22.6	
34	9	6	40 34.6	40 1.66	10 27 17.3	29 47 27.3	
35	9	5	41 41.2	41 19.33	9 38 2.6	28 58 12.6	
36	9	7	4.2	41 20.66	9 27 17.0	28 47 27.0	
37	7	3	42 42.1	43 4.20	10 37 28.3	29 57 38.3	
38	8.9	4	16.5	43 16.55	11 5 12.9	30 25 22.9	
39	8	3	44 3.4	44 25.74	11 40 10.1	31 0 20.1	
40	9	3	41.0	45 3.18	11 46 16.4	31 6 26.4	
41	8.9	3	28.5	45 50.79	11 27 55.6	30 48 5.6	
42	9	5	14.5	45 52.19	11 34 29.4	30 54 39.4	
43	9	7	8.0	46 23.73	11 8 17.6	30 28 27.6	
44	7.8	2	49 20.1	49 53.25	10 46 25.7	30 6 35.7	
45	9	3	14.5	50 36.72	11 15 55.5	30 36 5.5	
46	8	1	51 25.0	52 9.54	11 36 13.0	30 56 23.0	

	Fad.	Beob. Zeit.	T.	Microsc. I	Südl. Declin.
9	2	2.0	14 52 35.46	11 39 10.6	30 59 20.6
	2	53 38.1	54 11.18	10 33 4.7	29 53 14.7
9	5	55 14.5	54 52.54	10 2 47.3	29 22 57.3
	4	43.0	55 43.00	10 4 29.7	29 24 39.7
	5	18.5	55 56.41	10 38 6.9	29 58 16.9
	5	16.5	56 54.33	10 59 50.7	30 20 0.7
9	7	58 24.2	57 40.60	9 35 52.4	28 56 2.4
9	4	8.2	59 8.20	9 27 47.4	28 47 57.4
	5	49.0	59 26.92	10 46 8.1	30 6 18.1
	1	4 8.9	15 4 53.45	11 36 45.6	30 56 55.6
	4	6 21.7	6 21.70	10 50 2.6	30 10 12.6
6	1	7 25.4	8 9.27	10 15 55.9	29 36 5.9
	4	8 57.0	8 57.00	11 19 3.5	30 39 13.5
	6	36.8	9 3.76	10 56 12.0	30 16 22.0
	6	35.5	10 2.64	10 11 25.0	29 31 35.0
	4	13 5.4	13 5.40	9 28 40.4	28 48 50.4
	7	58.5	13 15.02	9 18 39.9	28 38 49.9
	7	55 52.4	12 55 11.85	10 29 48.4	19 47 8.4
8	5	58 50.9	58 30.56	10 3 31.9	19 20 51.9
7	1	0 15.5	13 0 55.99	10 2 37.0	19 19 57.0
	3	59.5	1 19.82	10 15 38.6	19 32 58.6
	4	18.4	1 18.40	10 10 31.8	19 27 51.8
9	3	9.3	2 29.76	11 17 33.0	20 34 53.0
9	4	8.3	3 8.30	10 35 56.9	19 53 16.9
	4	34.4	3 34.40	10 48 18.1	20 5 38.1
9	2	17.0	4 47.43	10 11 45.4	19 29 5.4
	3	49.5	5 9.81	10 8 56.9	19 26 16.9
	3	5 16.5	5 36.84	9 51 47.3	19 9 7.3
	4	21.0	6 21.00	10 48 20.8	20 5 40.8
9	2	47.6	7 18.27	10 51 11.3	20 8 31.3
9	7	19.0	6 38.19	11 29 16.1	20 46 36.1
	1	8 5.0	8 45.87	11 27 46.2	20 45 6.2
	2	8 36.4	9 7.05	11 23 0.1	20 40 20.1
9	7	23.7	8 43.03	10 57 5.8	20 14 25.8
9	6	1.4	9 31.01	10 33 13.0	19 50 33.0
	6	22.5	9 52.13	10 27 —	19 45 —
9	3	55.9	11 16.25	10 29 42.6	19 47 2.6
	5	29.2	11 8.86	10 32 57.5	19 50 17.5
	5	12 16.5	11 56.19	10 18 10.4	19 35 30.4
	5	14.0	12 53.80	9 25 26.1	18 42 46.1
0	3	47.4	14 7.62	9 24 20.7	18 41 40.7
	5	20.0	13 59.72	10 4 11.3	19 21 31.3
0	3	55.0	15 15.36	10 34 48.0	19 52 8.0
	5	38.4	15 18.01	10 51 30.1	20 8 50.1
0	7	0.4	15 19.81	10 40 31.9	19 57 51.9
	4	17 16.1	17 16.10	11 0 2.9	20 17 22.9
	3	2.0	18 22.33	10 17 50.0	19 35 10.0
9	3	10.3	18 30 61	10 16 32.0	19 33 52.0
9	4	19 35.0	19 35.05	11 40 12.0	20 57 32.0
	1	20 40.7	21 21.25	10 15 23.2	19 32 43.2
	1	21 36.0	22 16.36	9 30 18.9	18 47 38.9
	4	5.5	22 5.50	9 19 59.8	18 37 19.8
	5	52.0	22 31.55	11 21 33.7	20 38 53.7
	3	21.5	23 41.97	11 23 24.9	20 40 44.9
	6	23 52.0	23 21.54	10 53 46.7	20 11 6.7

**Hülftafel zur Reduction auf den mittlern
Ort 1850 Januar 0 D = - 30°.**

T.	k	k'	d	d'
14 50+33.58	-2	+8	+18.5	-1.0
15 0+33.56	-1	+8	+17.5	-1.0
10+33.55	-1	+8	+16.5	-0.9
20+33.54		+8	+15.6	+58.0

55 Fad. 6. 0.0
58 " 2. 36.2
60 " 7. 48.0

Etwas unruhige, aber recht durchsichtige Luft.
Seit 15^u und vielleicht schon etwas früher
Wolken.

ZONE 379. 1851 Mai 14. Ost.

NC. 12 11' - 1' 34.92
14 57 - 1 36.11
Anf. 28 2.29 + 8.7 45.0
Ende 2.21 + 7.0 40.9
Microsc. I + 0".77 u. + 0".01
Decl. = - (Microsc. I + 9° 17' 20")
14^u r+i +37".489 Δr+0".007 Δi+0".011

**Hülftafel zur Reduction auf den mittlern
Ort 1850 Januar 0 D = - 20°.**

T.	k	k'	d	d'
12 50+33.02	-6	+4	+34.5	-0.5
13 0+32.96	-6	+4	+34.0	-0.6
10+32.90	-5	+5	+33.4	-0.7
20+32.85	-5	+5	+32.7	-0.6
30+32.80		+5	+32.1	+15.0

2 Fad. 6. 0.8
11 " 4. 36.9
13 " 3. 58.0
14. Zeit unsicher beobachtet.
15 Fad. 2. 15.2
31 " 4. 30.6
32 " 5. 55.6
38 " 7. 2.2

Nº.	Gr.	Fad.	Beob. Zeit.	T.	Microsc. I	Südl. Declin.
39	8.9	4	47.1	13 24' 47.10	10 33' 55.0	19 51' 15.0
40	8.9	3	21.8	25 42.14	10 24' 21.0	19 41' 41.0
41	9.0	2	56.5	26 26.92	10 23' 14.7	19 40' 34.7
42	7	6	27 19.0	26 48.32	11 58' 11.4	21 15' 31.4
43	8	3	58.5	28 19.02	11 48' 13.1	21 5' 33.1
44	8.9	5	28.0	28 7.51	11 39' 8.2	20 56' 28.2
45	9	5	53.5	28 33.03	11 33' 0.9	20 50' 20.9
46	8.9	1	23.6	30 4.48	11 32' 23.0	20 49' 43.0
47	9	6	29 58.2	29 27.84	10 42' 53.9	20 0' 13.9
48	9	7	55.2	30 14.81	9 49' 6.6	19 6' 26.6
49	8.9	7	11.3	30 30.95	9 40' 1.3	18 57' 21.3
50	8.9	5	32 36.3	32 15.94	10 42' 25.1	19 59' 45.1
51	8.9	3	13.6	33 34.15	12 0' 8.0	21 17' 28.0
52	9	4	34 17.8	34 17.80	9 52' 19.9	19 9' 39.9
53	8.9	4	59.4	34 59.40	11 10' 26.0	20 27' 46.0
54	9	3	20.5	35 40.94	11 11' 6.4	20 28' 26.4
55	9	5	36 42.5	36 22.26	9 41' 36.5	18 58' 56.5
56	8.9	6	10.5	36 40.29	9 17' 58.2	18 35' 18.2
57	7	1	49.9	38 30.17	9 13' 34.0	18 30' 54.0
58	8.9	5	33.2	38 12.94	9 54' 22.8	19 11' 42.8
59	8.9	7	11.7	38 31.21	10 15' 15.6	19 32' 35.6
60	8.9	7	36.0	38 55.50	10 17' 33.0	19 34' 53.0
61	7.8	4	11.1	40 11.10	10 43' 4.7	20 0' 24.7
62	9	5	37.3	40 16.92	10 50' 12.1	20 7' 32.1
63	9	6	54.2	40 23.86	10 48' 3.8	20 5' 23.8
64	7	4	27.7	41 27.70	10 50' 28.0	20 7' 48.0
65	7.8	3	50.0	42 10.30	10 57' 26.6	20 14' 46.6
66	9	6	42 37.9	42 7.35	11 22' 34.8	20 39' 54.8
67	9	6	43 43.5	43 13.23	9 53' 15.8	19 10' 35.8
68	9	3	18.5	44 38.79	9 59' 16.2	19 16' 36.2
69	9.0	6	5.7	44 35.45	10 10' 22.0	19 27' 42.0
70	8	4	46 2.8	46 2.81	11 29' 6.9	20 46' 26.9
71	8.9	5	55.5	46 35.03	11 32' 27.2	20 49' 47.2
72	9	7	45.2	47 4.72	10 13' 58.3	19 31' 18.3
73	9	4	15.2	48 15.20	10 5' 46.9	19 23' 6.9
74	8	4	9.4	49 9.40	10 37' 48.9	19 55' 8.9
75	8.9	7	43.6	49 2.76	11 34' 38.0	20 51' 58.0
76	9	5	31.6	50 11.32	10 2' 0.2	19 19' 20.2
77	9	6	51 10.5	50 40.27	9 41' 44.0	18 59' 4.0
78	9	3	45.3	52 5.56	9 41' 9.6	18 58' 29.6
79	6.7	1	53 4.0	53 44.39	9 48' 16.1	19 5' 36.1
80	9	5	0.0	53 39.61	10 53' 2.0	20 10' 22.0
81	9.0	7	30.5	53 49.85	10 52' 38.9	20 9' 58.9
82	9	5	4.0	54 43.63	10 47' 3.1	20 4' 23.1
83	8.9	5	35.0	55 14.56	11 18' 29.9	20 35' 49.9
84	9	5	33.2	56 12.72	11 34' 33.8	20 51' 53.8
85	9	2	23.8	57 54.28	10 30' 7.1	19 47' 27.1
86	8.9	5	0.8	57 40.52	10 4' 29.6	19 21' 49.6
87	9	6	25.2	57 54.87	10 10' 57.9	19 28' 17.9
88	8	4	59 1.3	59 1.34	11 11' 46.0	20 29' 6.0
89	9	5	6.3	59 45.83	11 32' 40.0	20 50' 0.0
90	9	7	1 3.3	14 0 22.89	9 54' 49.1	19 12' 9.1
91	7.8	7	50.6	1 9.85	11 14' 28.9	20 31' 48.9
92	8.9	5	2 52.5	2 32.29	9 30' 24.3	18 47' 44.3
93	8.9	6	30.0	2 59.79	9 35' 37.0	18 52' 57.0

*Hülftafel zur Reduction auf den mittl.
Ort 1850 Januar 0 D = -20°.*

T.	k	k'	d
u			
13 20+32.85	-5	+5	+32.7 -0.6 +
30+32.80	-5	+5	+32.1 -0.7 +
40+32.75	-5	+5	+31.4 -0.8 +
50+32.70	-4	+5	+30.6 -0.8 +
14 0+32.66	-4	+6	+29.8 -0.8 +
10+32.62		+6	+29.0 +

41 Fad. 5. 47.2

47 " 7. 8.5

49. Zeit unsicher beobachtet.

56 Fad. 7. 20.5

57 " 2. 59.9

63 " 7. 4.6

65 " 4. 10.2

69 " 7. 16.0

70 " 6. 33.4

78 " 6. 35.8

79 " 2. 14.0

83 " 6. 45.1

88 " 5. 21.8

Gr.	Fad.	Beob. Zeit.	T.	Microsc. I	Südl. Declin.
7.8	3	4' 49.2	14 ^u 5' 9.52	10 13' 23.5	19 30' 43.5
9	5	6 3.7	5 43.37	10 30 13.9	19 47 33.9
7	6	28.4	5 57.85	11 4 46.0	20 22 6.0
9	7	25.5	6 45.08	9 58 20.0	19 15 40.0
7	1	55.5	8 35.98	9 59 4.1	19 16 24.1
9	4	8 36.9	8 36.90	9 30 30.6	18 47 50.6
8	3	9 14.0	9 34.24	9 35 16.3	18 52 36.3
8.9	6	44.0	9 13.81	9 39 18.0	18 56 38.0
7.8	4	53.5	10 53.50	10 53 56.2	20 11 16.2
9	4	12 4.2	12 4.20	11 55 59.2	21 13 19.2
9	5	13 7.7	12 47.22	11 37 31.1	20 54 51.1
7	4	39.3	13 39.30	10 47 21.9	20 4 41.9
3.9	7	14.0	13 33.45	10 30 40.6	19 48 0.6
8	4	15 4.0	15 4.00	10 11 42.3	19 29 2.3
7	6	35.9	15 5.64	9 50 8.1	19 7 28.1
9	7	52.5	15 12.12	9 47 9.5	19 4 29.5
7.8	7	13.4	15 33.04	9 43 18.1	19 0 38.1
3.9	4	54.5	16 54.50	9 33 37.0	18 50 57.0
3.9	4	30.0	17 30.00	9 39 18.1	18 56 38.1
3.9	3	57.2	18 17.36	9 45 18.9	19 2 38.9
9	4	40.4	18 40.40	10 51 6.5	20 8 26.5
9	5	2.1	18 41.62	10 56 26.0	20 13 46.0
9	7	26.5	18 45.83	10 57 22.0	20 14 42.0
9	1	9.5	20 50.21	11 0 26.6	20 17 46.6
8	2	54.3	21 24.89	11 32 35.0	20 49 55.0
9	4	1.1	22 1.10	11 24 12.1	20 41 32.1
1.0	7	22 33.2	21 52.44	11 17 58.4	20 35 18.4
3	2	5.2	23 35.84	11 15 20.9	20 32 40.9
3	4	24 47.0	24 47.00	11 5 14.1	20 22 34.1
3	4	25 52.2	25 52.20	10 29 48.1	19 47 8.1
3.9	4	27.3	26 27.30	9 41 53.9	18 59 13.9
3	3	27 31.0	27 51.31	10 10 43.9	19 28 3.9
3	7	0.0	27 19.51	10 15 50.2	19 33 10.2
3	2	29 18.2	29 48.44	10 0 32.7	19 17 52.7
3.9	2	57.9	30 28.28	9 56 8.5	19 13 28.5
7	6	49.5	30 19.13	10 25 27.3	19 42 47.3
3	7	14.2	30 33.71	10 14 50.9	19 32 10.9
3	7	4.2	31 23.54	10 55 2.5	20 12 22.5
3.9	5	4.9	32 44.59	10 16 42.9	19 34 2.9
7	3	33 28.0	33 48.23	9 23 25.6	18 40 45.6
3	5	29 33.7	29 12.35	7 0 30.6	26 19 0.6
3	4	30 43.4	30 43.40	6 48 20.1	26 6 50.1
3	4	17.1	31 17.10	6 47 13.3	26 5 43.3
3.9	3	52.4	32 13.70	6 42 25.1	26 0 55.1
7	6	52.7	32 20.68	7 35 6.0	26 53 36.0
7	7	25.7	32 42.84	7 46 43.9	27 5 13.9
3.8	2	34 29.8	35 1.57	6 10 52.6	25 29 22.6
3.9	4	36 3.3	36 3.30	6 46 47.6	26 5 17.6
3	3	38.4	36 59.79	7 11 14.0	26 29 44.0
3	2	38 50.0	39 22.11	7 26 19.4	26 44 49.4
3.7	1	11.3	39 54.01	7 28 17.3	26 46 47.3
3	6	53.1	39 21.23	6 56 29.6	26 14 59.6
3	4	42.3	40 42.30	6 24 35.1	25 43 5.1
3	3	15.3	41 36.43	5 43 38.8	25 2 8.8
3.9	4	55.4	41 55.40	6 32 32.0	25 51 2.0

Hilfstafel zur Reduction auf den mittlern Ort 1850 Januar 0 D = -20°.

T.	k	k'	d	d'
14 ^u 0' +32.66	-4	+6	+29.8	-0.8
10' +32.62	-4	+6	+29.0	-0.9
20' +32.58	-3	+6	+28.1	-0.9
30' +32.55	-4	+6	+27.2	-0.9
40' +32.51		+6	+26.3	

96 Fad. 7. 38.5
 98 " 2. 5.7 Fad. 3. 15.6
 101 " 7. 54.2
 102 " 5. 13.9
 106 8.9 praec. 20'' und 1½' ad Austr.
 115 Fad. 6. 12.0
 117 " 2. 19.6
 118 " 3. 4.3
 121 " 3. 15.4
 126. Zeit unsicher beobachtet.
 127 Fad. 3. 28.0 Fäden 48'',59 und 48'',29
 133 Fad. 4. 48.3, Fad. 5. 8.4, Fad. 6. 18.4,
 Fad. 7. 28.5.

Etwas unruhige Luft, aber die Sterne sehr distinct; gegen das Ende ward das Auffinden der schwächeren durch den hellen Mondschein erschwert.

ZONE 380. 1851 Mai 16. Ost.

Hilfstafel zur Reduction auf den mittlern Ort 1850 Januar 0 D = -26°.

T.	k	k'	d	d'
12 ^u 30' +33.32	-7	+4	+31.0	-0.2
40' +33.25	-8	+5	+30.8	-0.3
50' +33.17		+5	+30.5	

5 Fad. 7. 3.5
 11 " 2. 21.8

No.	Gr.	Fad.	Beob. Zeit.	T.	Microsc. I	Südl. Declin.
16	9	4	31.5	12 42' 31.50	6° 20' 11.4	25° 38' 41.4
17	8.9	1	51.6	43 33.90	6 20 26.0	25 38 56.0
18	8.9	6	5.2	43 33.49	6 20 25.1	25 38 55.1
19	9	5	52.8	44 31.56	6 24 22.6	25 42 52.6
20	9.0	7	26.5	44 44.09	6 34 52.2	25 53 22.2
21	9	7	16.2	45 33.47	7 26 44.7	26 45 14.7
22	9	6	50.5	46 18.51	7 20 36.5	26 39 6.5
23	9	4	6.4	47 6.45	7 18 6.3	26 36 36.3
24	7.8	3	47 47.0	48 8.45	7 15 59.7	26 34 29.7
25	9	4	57.4	47 57.45	7 15 13.6	26 33 43.6
26	9	5	48 43.6	48 22.24	7 6 0.5	26 24 30.5
27	9	4	24.7	49 24.70	6 59 38.6	26 18 8.6
28	9	5	48.5	49 27.19	6 48 52.0	26 7 22.0
29	9	5	51 4.1	50 42.70	7 16 47.0	26 35 17.0
30	9	7	49.8	51 7.50	6 16 58.0	25 35 28.0
31	8.9	4	52 52.2	52 52.20	7 15 14.6	26 33 44.6
32	9	5	37.7	53 16.28	7 24 21.7	26 42 51.7
33	8.9	3	54 0.0	54 21.41	7 23 32.2	26 42 2.2
34	8.9	4	55 42.5	55 42.50	6 34 40.9	25 53 10.9
35	8	6	18.0	55 46.28	6 22 28.0	25 40 58.0
36	9	4	53.9	56 53.90	5 55 2.5	25 13 32.5
37	9	4	31.0	57 31.00	5 54 16.7	25 12 46.7
38	9	3	20.2	58 41.42	6 14 50.3	25 33 20.3
39	9	5	54.4	58 32.92	7 41 15.5	26 59 45.5
40	9	3	29.1	59 50.61	7 51 47.5	27 10 17.5
41	8.9	5	0 59.2	13 0 37.72	7 37 17.6	26 55 47.6
42	8	5	12.2	1 51.07	5 47 35.1	25 6 5.1
43	7.8	4	2 57.6	2 57.48	6 47 11.1	25 45 41.1
44	8.9	6	4 26.4	3 54.76	6 10 48.1	25 29 18.1
45	8.9	6	5 33.2	5 1.47	6 25 0.0	25 43 30.0
46	9	2	13.5	6 45.55	7 20 51.0	26 39 21.0
47	9	7	8 3.5	7 21.27	6 4 6.0	25 22 36.0
48	9	5	42.1	8 20.89	6 5 2.2	25 23 32.2
49	9	5	9 51.5	9 30.20	6 44 55.9	26 3 25.9
50	9	4	41.7	10 41.70	6 7 54.2	25 26 24.2
51	8	7	10 55 :	10 13	5 30 28.6	24 48 58.6
52	9	6	11 27.5	10 56.02	5 34 38.5	24 53 8.5
53	8	7	25.4	11 42.72	7 18 57.3	26 37 27.3
54	7.8	3	13 22.0	13 42.79	5 45 30.0	25 4 0.0
55	8.9	5	59.1	14 37.77	6 53 27.4	26 11 57.4
56	9	4	42.0	15 42.00	7 39 3.9	26 57 33.9
57	8	2	16 46.6	17 18.46	6 31 22.4	25 49 52.4
58	9	7	18 5.7	17 23.46	6 6 18.2	25 24 48.2
59	8.9	5	59.6	18 38.53	5 24 44.0	24 43 14.0
60	7	5	34.2	19 12.98	6 19 26.1	25 37 56.1
61	7.8	5	3.9	19 42.46	7 19 3.6	26 37 33.6
62	8	4	40.3	20 40.30	7 18 25.9	26 36 55.9
63	8.9	1	15.8	21 58.63	7 31 47.3	26 50 17.3
64	7	3	19.5	22 41.06	8 1 47.3	27 20 17.3
65	7	4	23 2.6	23 2.60	6 2 34.7	25 21 4.7
66	8.9	4	23 20.5	23 20.50	5 56 12.1	25 14 42.1
67	9	5	24 36.7	24 15.52	6 5 10.2	25 23 40.2
68	9	5	25 59.3	25 37.88	7 25 31.0	26 44 1.0
69	9	7	38.5	25 55.85	7 12 51.0	26 31 21.0
70	9	5	22.5	27 1.17	6 54 12.0	26 12 42.0

NC. 12 9' - 1' 35.67
 14 24 - 1' 39.76
 Anf. 28 0.86 + 9.1 44.3
 13 16 43.2
 Ende 28 0.84 + 7.1 42.0
 Microsc. I + 0'' 85 u. - 0'' 43
 Declin. = - (Microsc. I + 19° 18' 30'')
 13'' r + i + 37'' 744 Δr + 0'' 004 Δi + 0''

Hälftafel zur Reduction auf den mittl. Ort 1850 Januar 0 D = - 26°.

T.	k	k'	d
12 40+33.25	-8	+5	+30.8 -0.3 +
50+33.17	-7	+5	+30.5 -0.3 +
13 0+33.10	-7	+5	+30.2 -0.3 +
10+33.03	-6	+6	+29.9 -0.4 +
20+32.97	-6	+6	+29.5 -0.5 +
30+32.91		+6	+29.0

17 Fad. 2. 2.0
 17. 18. derselbe.
 18 Zeit unsicher beobachtet.
 20 ebenso.
 23 Fad. 5. 27.9
 24 " 4. 8.5
 25 " 5. 18.9
 33 " 4. 21.4
 39 " 6. 5.0
 40 " 4. 50.6
 41 " 7. 20.5
 43 " 5. 18.6 An der durch diese Beobachtung gegebenen Stelle war 1852 Mär kein Stern vorhanden, und ich zweifle nicht, dass die Minute des Microscops gelesen sei, wodurch der Stern mit T. 69 LL. 24481 und LC. 5428 identisch wird nach ist die Decl. und T berechnet.
 46 Fad. 3. 24.1
 47 Zeit unsicher beobachtet.
 48 Fad. 6. 52.5
 52 " 7. 38.1
 54 " 4. 42.7 Fad. 5. 4.0; Fad. 3. ausg
 61 " 6. 14.4
 63 " 2. 26.5

Gr.	Fad.	Beob. Zeit.	T.	Microsc. I	Südl. Declin.
1 9	1	58.7	13 28' 41.32	6 59' 24.4	26° 17' 54.4
2 6.7	6	28.9	27 57.11	6 25 40.2	25 44 10.2
3 9	5	29 49.9	29 28.78	5 46 51.0	25 5 21.0
4 8.9	2	15.0	30 46.70	5 55 47.8	25 14 17.8
5 9	6	32.1	31 0.09	7 26 20.7	26 44 50.7
6 7	7	56.6	31 13.84	7 30 33.5	26 49 3.5
7 9	5	0.0	32 38.55	7 32 46.2	26 51 16.2
8 9	2	33 50.2	34 21.86	5 48 47.3	25 7 17.3
9 9	6	35 3.7	34 31.69	7 26 2.9	26 44 32.9
1 9	4	54.1	35 54.10	7 35 8.9	26 53 38.9
2 9	3	15.5	36 37.11	7 47 33.7	27 6 3.7
3 8	1	38 28.2	37 5.40	7 18 49.8	26 37 19.8
4 8	2	39 59.0	39 10.56	6 15 30.0	25 34 0.0
5 9	4	30.5	40 30.80	6 17 57.6	25 36 27.6
6 9	5	41 58.2	40 30.50	6 10 17.2	25 28 47.2
7 8.9	3	36.4	41 37.03	6 1 11.2	25 19 41.2
8 9	2	13.5	42 57.53	5 57 41.2	25 16 11.2
9 8	5	3.7	44 45.64	7 3 25.1	26 21 55.1
1 8.9	1	38.3	44 42.42	6 39 53.0	25 58 23.0
2 9	7	14.6	46 20.70	6 23 30.1	25 42 0.1
3 8.9	4	51.3	45 32.48	5 45 0.0	25 3 30.0
4 9	5	21.6	46 51.30	5 34 55.2	24 53 25.2
5 7	7	11.7	47 0.52	5 29 48.4	24 48 18.4
6 8.9	7	34.1	47 28.91	7 35 43.7	26 54 13.7
7 8	7	48 :	47 51.31	7 37 1.0	26 55 31.0
8 9	4	50 13.0	48 5	7 28 49.1	26 47 19.1
9 9	4	34.2	50 13.00	7 50 40.5	27 9 10.5
1 7	3	51 14.2	50 34.20	7 47 41.4	27 6 11.4
2 9	4	52 31.0	51 35.46	6 13 52.0	25 32 22.0
3 8	2	3.9	52 31.00	6 54 8.2	26 12 38.2
4 6.7	5	40.4	53 35.69	6 49 11.9	26 7 41.9
5 9	4	26.0	53 18.99	7 23 51.1	26 42 21.1
6 9	5	46.5	54 26.00	7 26 3.1	26 44 33.1
7 8.9	3	56 14.6	54 24.83	7 44 52.0	27 3 22.0
8 4	2	46.0	56 35.88	6 35 25.0	25 53 55.0
9 8	4	15.0	57 17.90	6 39 23.9	25 57 53.9
1 9	4	52.4	57 15.00	6 33 29.0	25 51 59.0
2 9	1	38.0	57 52.40	5 56 34.6	25 15 4.6
3 8.9	4	52.7	59 20.49	6 20 2.2	25 38 32.2
4 9	5	35.6	59 52.70	6 22 3.0	25 40 33.0
5 9	6	19.0	14 0 14.38	6 19 26.8	25 37 56.8
6 8.9	3	54.7	0 47.32	6 14 2.0	25 32 32.0
7 9	5	3 0.0	2 15.94	6 20 4.7	25 38 34.7
8 8	4	52.6	2 38.96	5 44 30.0	25 3 0.0
9 9	5	17.7	3 52.60	5 29 59.9	24 48 29.9
1 8.9	2	0.9	3 56.61	5 34 58.6	24 53 28.6
2 9	4	33.5	5 32.73	6 24 0.0	25 42 30.0
3 8	3	8 4.6	5 33.55	7 45 1.0	27 3 31.0
4 7.8	5	38 17.7	6 41	7 20 27.6	26 38 57.6
5 8	5	14.9	8 26.12	6 57 28.6	26 15 58.6
6 9	6	37.0	12 37 57.65	8 7 28.8	17 24 28.8
7 9	7	18.5	38 54.76	8 44 31.1	18 11 31.1
8 8	5	41.0	39 6.91	8 51 26.4	18 8 26.4
			39 38.15	9 39 25.2	18 56 25.2
			40 20.78	9 33 51.0	18 50 51.0

Halfstafel zur Reduction auf den mittlern Ort 1850 Januar 0 D = - 26°.

T.	k	k'	d	d'
13 20+32.97	-6	+6	+29.5	-0.5
30+32.91	-6	+6	+29.0	-0.5
40+32.85	-6	+6	+28.5	-0.5
50+32.79	-5	+6	+28.0	-0.6
14 0+32.74	-5	+7	+27.4	-0.7
10+32.69		+7	+26.7	+30.2

72 Fad. 7. 39.4 dupl. II. Cl. seq., praec. 7.8^m.
 74 " 4. 46.7
 78 " 3. 0.7
 81 " 4. 37.2
 87 " 4. 57.5
 88 " 3. 24.4 Die Zeitminute bleibt unsicher.
 99 " 4. 35.5
 101 " 3. 14.2 Fäden 35".85 und 35".53
 102 " 6. 51.0
 104 " 7. 7.5 Fäden 25".01 und 24".65
 106 " 3. 56.6
 109 " 2. 48.6 Fad. 3. 59.4
 112 " 7. 29.6
 114 " 6. 10.6
 118 " 5. 55.1
 120 " 4. 26.3 Fad. 3 giebt 25.95

Die Luft etwas unruhig, gegen das Ende auch wohl etwas dunstig.

ZONE 381. 1851 Mai 17. Ost.

2. Die Minute des Microscops muss nach Z. 367 No. 174 und LL. 23823 sein 54; unter dieser Annahme ist die Decl. und T berechnet.

No.	Gr.	Fad.	Beob. Zeit.	T.	Microsc. I	Südl. Declin.
6	9	5	22.5	12 41' 2.25	9 48' 4.9	19° 5' 4.9
7	9	6	42 31.4	42 1.38	8 29 41.0	17 46 41.0
8	9	7	12.2	42 32.12	8 33 45.9	17 50 45.9
9	9	5	1.0	43 40.99	7 42 51.0	16 59 51.0
10	9	6	27.3	43 57.43	7 31 47.3	16 48 47.3
11	9	3	11.0	45 31.05	7 56 45.7	17 13 45.7
12	8	4	32.5	45 32.50	7 56 54.0	17 13 54.0
13	9	4	18.7	46 18.70	8 15 52.0	17 32 52.0
14	9.0	4	44.0	46 44.00	8 27 26.0	17 44 26.0
15	9	5	19.8	46 59.64	9 2 32.0	18 19 32.0
16	7.8	4	48.4	47 48.40	9 32 31.5	18 49 31.5
17	8	7	48 14.9	47 34.44	10 7 22.3	19 24 22.3
18	8.9	4	5.4	49 5.40	9 39 39.9	18 56 39.9
19	9	5	45.6	49 25.43	9 6 1.9	18 23 1.9
20	9	7	19.6	49 39.63	8 3 52.9	17 20 52.9
21	9	5	51.2	50 31.31	7 37 59.1	16 54 59.1
22	9	4	44.2	51 44.20	8 28 17.7	17 45 17.7
23	8.9	6	12.3	51 42.12	9 23 36.7	18 40 36.7
24	8	7	53 21.2	52 41.23	8 2 23.4	17 19 23.4
25	9	6	48.6	53 18.80	7 48 5.2	17 5 5.2
26	8	5	41.4	54 21.32	8 21 22.7	17 38 22.7
27	7.8	6	1.7	54 31.59	8 59 35.3	18 16 35.3
28	9	7	55 36.6	54 56.27	9 35 33.5	18 52 33.5
29	7.8	5	56 51.9	56 31.90	7 35 45.0	16 52 45.0
30	7	4	14.9	57 14.90	8 10 49.5	17 27 49.5
31	9	5	45.0	57 24.92	8 24 27.1	17 41 27.1
32	9	5	3.8	57 43.71	8 27 18.1	17 44 18.1
33	8	7	58 34.3	57 54.14	8 52 6.0	18 9 6.0
34	7	4	59 19.4	59 19.40	8 57 26.6	18 14 26.6
35	9	6	52.6	59 22.35	9 45 59.4	19 2 59.4
36	8.9	3	16.2	13 0 36.44	9 39 42.0	18 56 42.0
37	7	3	0 35.6	0 55.87	10 2 38.0	19 19 38.0
38	9	5	2 6.9	1 46.82	8 25 12.4	17 42 12.4
39	9	5	56.0	2 35.88	8 43 40.6	18 0 40.6
40	9.0	7	37.0	2 56.76	9 13 46.6	18 30 46.6
41	9	4	8.2	4 8.25	9 22 13.9	18 39 13.9
42	9.0	5	1.7	4 41.47	9 40 43.9	18 57 43.9
43	5.6	4	36.8	5 36.80	9 51 49.2	19 8 49.2
44	8	2	8.0	6 38.23	9 7 51.0	18 24 51.0
45	8.9	5	43.2	6 23.05	8 57 48.1	18 14 48.1
46	7.8	5	0.1	6 39.96	8 50 54.3	18 7 54.3
47	6	7	7 59.7	7 19.30	9 51 58.1	19 8 58.1
48	5	1	9 21.0	10 1.07	8 12 6.3	17 29 6.3
49	9.0	6	4.6	9 34.62	8 15 21.2	17 32 21.2
50	9	4	58.5	10 58.56	8 27 58.6	17 44 58.6
51	9	4	5.7	11 5.66	8 27 34.8	17 44 34.8
52	8	3	41.4	12 1.44	8 21 32.9	17 38 32.9
53	8.9	7	26.7	11 46.72	8 6 30.3	17 23 30.3
54	9	3	8.8	13 28.84	7 52 6.5	17 9 6.5
55	8	1	29.6	14 9.61	7 58 10.1	17 15 10.1
56	9	3	49.0	14 9.05	8 0 20.0	17 17 20.0
57	9	4	19.2	14 19.20	8 8 29.4	17 25 29.4
58	9	5	36.3	14 16.27	8 14 6.0	17 31 6.0
59	8.9	4	15 14.2	15 14.20	8 11 34.3	17 28 34.3
60	9	5	4.4	15 44.32	8 19 53.5	17 36 53.5

NC. 12 17' - 1 33.87
 14 49 - 1 36.05
 Anf. 28 0.38 + 9.6 47.5
 Ende 0.41 + 8.0 44.0
 Microsc. I + 2'' 06 u. + 2'' 34
 Declin. = - (Microsc. I + 9° 17' 0'')
 13^u $\tau + i + 37'' 895$ $\Delta \tau + 0'' 004$ $\Delta i + 0''$

*Hilfstafel zur Reduction auf den middle
 Ort 1850 Januar 0 D = - 18°.*

T.	k	k'	d
12 30' + 33.61	-6	+3	+32.8 - 0.5 +
40 + 33.55	-7	+4	+32.3 - 0.5 +
50 + 33.48	-6	+4	+31.8 - 0.6 +
13 0 + 33.42	-5	+4	+31.2 - 0.6 +
10 + 33.37	-6	+4	+30.6 - 0.7 +
20 + 33.31		+5	+29.9 +

11. 12. duplex.
 20. Zeit unsicher beobachtet.
 21 Fad. 6. 1'' 3
 41 " 5. 28.5
 42 " 6. 11.7
 50 " 5. 18.7
 51 " 5. 25.7
 52 " 4. 1.4
 58 " 6. 46.3

	Fad.	Beob. Zeit.	T.	Microsc. I	Südl. Declin.
			^u	^o	^o
	3	40.3	13 17' 0.41	8 31' 42.1	17 48' 42.1
	4	12.0	17 12.07	9 2 56.3	18 19 56.3
	7	56.7	17 16.33	9 45 21.1	19 2 21.1
	5	48.8	18 28.69	8 38 3.5	17 55 3.5
	2	16.2	19 46.57	9 11 11.9	18 28 11.9
	1	20 10.2	20 50.37	8 40 31.2	17 57 31.2
	7	20 50.5	20 10.50	8 9 28.1	17 26 28.1
9	2	21 52.9	22 23.01	8 27 59.3	17 44 59.3
	4	34.5	22 34.50	9 2 3.0	18 19 3.0
	3	25.1	23 45.30	9 13 20.8	18 30 20.8
9	1	42.1	24 22.39	9 12 12.3	18 29 12.3
8	4	24 30.6	24 30.60	9 56 18.0	19 13 18.0
9	7	2.5	24 22.26	9 12 12.2	18 29 12.2
9	3	22.4	25 42.58	9 3 34.6	18 20 34.6
	5	29 6.9	28 46.68	9 34 33.9	18 51 33.9
	5	49.0	29 28.83	9 8 45.0	18 25 45.0
	4	31 33.5	31 33.50	7 26 53.8	16 43 53.8
	5	14.0	31 54.03	7 18 28.4	16 35 28.4
	3	40.9	33 0.88	7 17 29.6	16 34 29.6
8	4	8.0	33 8.00	7 31 10.6	16 48 10.6
	7	43.0	33 2.97	8 31 3.5	17 48 3.5
8	7	51 :	33 11	8 56 54.2	18 13 54.2
	5	34 58.9	34 38.86	7 58 43.3	17 15 43.3
	6	30.6	35 0.65	8 3 27.5	17 20 27.5
	4	50.5	35 50.50	7 54 24.9	17 11 24.9
0	4	25.2	36 25.20	8 3 30.7	17 20 30.7
	1	55.8	37 35.77	7 58 46.9	17 15 46.9
	3	53.3	38 13.48	8 2 6.8	17 19 6.8
	5	40.6	38 20.58	7 47 46.6	17 4 46.6
	5	3.4	38 43.38	7 49 57.2	17 6 57.2
0	7	43.6	39 3.73	7 33 25.2	16 50 25.2
	4	14.5	40 14.50	7 26 38.1	16 43 38.1
	2	40.5	41 10.61	8 6 35.9	17 23 35.9
	3	24.0	41 44.21	9 23 7.3	18 40 7.3
	5	44.2	41 24.02	9 19 39.1	18 36 39.1
	6	19.3	41 49.07	9 52 23.4	19 9 23.4
9	5	10.4	42 50.32	8 20 13.3	17 37 13.3
	4	55.0	43 55.00	8 41 25.0	17 58 25.0
	5	44 25.3	44 5.19	8 39 16.6	17 56 16.6
	4	45 11.5	45 11.50	9 8 57.2	18 25 57.2
	1	35.6	46 15.89	9 12 1.9	18 29 1.9
	4	19.9	46 19.90	9 18 31.3	18 35 31.3
0	7	53.0	46 12.68	9 33 21.3	18 50 21.3
	4	42.5	47 42.50	9 13 5.4	18 30 5.4
	4	29.5	48 29.50	9 26 6.3	18 43 6.3
9	3	49 26.6	49 46.62	7 37 1.8	16 54 1.8
	3	52.6	50 12.62	7 37 25.1	16 54 25.1
9	2	18.5	50 48.51	7 49 58.5	17 6 58.5
	6	50 46.0	50 16.04	8 5 57.6	17 22 57.6
9	6	18.5	50 48.59	7 49 59.1	17 6 59.1
	5	52 30.3	52 10.24	8 6 26.0	17 23 26.0
8	3	46.6	53 6.65	7 53 29.0	17 10 29.0
	3	24.5	53 44.52	7 43 56.1	17 0 56.1
	1	51.5	54 31.46	7 43 39.9	17 0 39.9
9	3	4.9	54 24.90	7 36 21.0	16 53 21.0

*Hülftafel zur Reduction auf den mittlern
Ort 1850 Januar 0 D = -18°.*

T.	k	k'	d	d'
^u				
13 10+33.37	-6	+4	+30.6	-0.7
20+33.31	-5	+5	+29.9	-0.7
30+33.26	-5	+5	+29.2	-0.7
40+33.21	-5	+5	+28.5	-0.8
50+33.16	-4	+5	+27.7	-0.8
14 0+33.12		+5	+26.9	+12.4

62 Fad. 5. 32.3
 63. Zeit unsicher beobachtet.
 65 Fad. 3. 26.5
 67. Zeit unsicher beobachtet.
 71. 73. derselbe.
 87 Fad. 2. 5.7
 88 „ 4. 13.6
 93 „ 3. 50.6
 95 „ 6. 54.2
 96 „ 7. 29.5
 108. 110. derselbe.

No.	Gr.	Fad.	Beob. Zeit.	T.	Microsc. I	Südl. Declin.
116	8.9	4	28.8	13 54' 28.90	7 34' 15.6	16 51' 15.6
117	6	7	1.4	54 21.57	7 22' 4.8	16 39' 4.8
118	9	6	47.1	55 17.18	7 51' 53.0	17 8' 53.0
119	9	3	9.6	56 29.64	7 49' 38.0	17 6' 38.0
120	9.0	4	33.2	56 33.20	7 54' 33.9	17 11' 33.9
121	8	4	51.7	56 51.70	8 4' 32.8	17 21' 32.8
122	8.9	5	12.2	56 52.15	8 5' 3.0	17 22' 3.0
123	9	7	36.0	56 55.97	8 19' 4.8	17 36' 4.8
124	9	3	18.5	58 38.64	8 46' 38.6	18 3' 38.6
125	9.0	3	8.6	59 28.76	8 52' 30.1	18 9' 30.1
126	7	2	40.5	14 0' 10.93	9 15' 6.7	18 32' 6.7
127	9.0	4	22.5	0 22.62	9 54' 49.1	19 11' 49.1
128	8.9	2	22.1	1 52.26	8 44' 39.2	18 1' 39.2
129	9	4	46.3	1 46.23	8 0' 20.1	17 17' 20.1
130	8	2	36.1	3 6.12	7 53' 53.0	17 10' 53.0
131	9	2	57.7	3 27.80	8 3' 12.7	17 20' 12.7
132	9	7	4 13 :	3 33	8 45' 43.0	18 2' 43.0
133	9	5	6 2.2	5 42.12	8 21' 48.3	17 38' 48.3
134	8.9	5	17.6	5 57.51	8 27' 6.2	17 44' 6.2
135	6	5	55.7	6 35.64	8 13' 25.1	17 30' 25.1
136	8.9	5	35.0	7 14.91	8 26' 48.1	17 43' 48.1
137	6.7	3	53.5	8 13.62	8 36' 39.8	17 53' 39.8
138	8.9	4	31.9	8 31.90	8 31' 5.0	17 48' 5.0
139	9	6	4.7	8 34.80	7 46' 45.0	17 3' 45.0
140	8.9	4	28.3	9 28.30	7 45' 47.4	17 2' 47.4
141	9	5	1.3	9 41.29	7 42' 55.9	16 59' 55.9
142	7	4	35.7	10 35.70	8 33' 14.2	17 50' 14.2
143	7.8	2	9.5	11 39.47	8 33' 44.0	16 50' 44.0
144	8	1	25.5	12 5.46	7 30' 51.1	16 47' 51.1
145	8.9	5	31.5	12 11.48	7 49' 38.6	17 6' 38.6
146	8.9	5	1.0	12 40.96	7 59' 20.2	17 16' 20.2
147	9	3	40.0	14 0.06	8 5' 44.0	17 22' 44.0
148	9	3	56.4	14 16.46	8 5' 28.0	17 22' 28.0
149	9	5	14 51.2	14 30.96	9 41' 31.3	18 58' 31.3
150	7	4	15 5.5	15 5.50	9 50' 9.6	19 7' 9.6
151	8	5	52.7	15 32.46	9 43' 18.6	19 0' 18.6
152	7.8	4	32.7	16 32.71	10 0' 16.3	19 17' 16.3
153	7	4	35.0	16 35.01	10 0' 31.9	19 17' 31.9
154	9	6	24.2	16 54.00	9 33' 36.4	18 50' 36.4
155	9	5	49.7	17 29.47	9 39' 19.0	18 56' 19.0
156	9	4	17.0	18 17.00	9 45' 19.9	19 2' 19.9
157	9.0	4	57.0	18 57.00	9 15' 8.3	18 32' 8.3
158	9	5	26.0	19 5.80	9 20' 35.1	18 37' 35.1
159	9	5	47.5	19 27.29	9 10' 7.5	18 27' 7.5
160	9.0	4	17.0	20 17.00	9 11' 12.1	18 28' 12.1
161	8.9	3	33.5	20 53.70	9 13' 46.1	18 30' 46.1
162	7.8	5	22 35.9	22 15.62	10 1' 37.9	19 18' 37.9
163	9	5	11.2	22 51.08	8 45' 34.6	18 2' 34.6
164	8.9	4	38.5	23 38.50	8 52' 43.4	18 9' 43.4
165	8.9	7	24 10.0	23 30.05	7 56' 22.0	17 13' 22.0
166	9	3	25 0.3	25 20.32	7 37' 33.6	16 54' 33.6
167	9	4	26 27.0	26 27.00	8 53' 17.0	18 10' 17.0
168	9	4	27 0.4	27 0.40	9 2' 8.1	18 19' 8.1
169	9	3	29.4	27 49.63	8 54' 6.0	18 11' 6.0
170	9	6	44.5	28 14.50	8 23' 53.7	17 40' 53.7

*Hälftafel zur Reduction auf den mittl.
Ort 1850 Januar 0 D = - 18°.*

T.	k	k'	d
13 50' + 33.16	-4	+5	+27.7 - 0.8
14 0' + 33.12	-4	+5	+26.9 - 0.9
10' + 33.08	-4	+6	+26.0 - 0.9
20' + 33.04	-4	+6	+25.1 - 0.9
30' + 33.00		+6	+24.2

116 Fad. 5. 49.0

121. 122. dupl. IV. Cl.

126 Fad. 3. 50.9 Fäden 10".75 und 11".

127 " 5. 43.0

129 " 5. 6.2

131 " 3. 7.8

143. Es ist ohne Zweifel, dass der Grad der
microscops 7 zu lesen ist, wodurch der
mit LL. 26199 und Z. 206 No. 40 und Z.
No. 45 übereinkommt. Unter dieser Ann.
sind die Decl. und T berechnet.

144 Fad. 2. 35.4 Fad. 3. 45".6

152 " 3. 53.0

153 " 3. 55.3

159 " 6. 57.4

169 " 4. 49.7

Nr.	Gr.	Fad.	Beob. Zeit.	T.	Microsc. I	Südl. Declin.	
71	9	7	58.7	14 28 18.63	8 28 40.6	17 45 40.6	14 20+33.04 -4 +6 +25.1 -0.9 +12.4
72	9	7	33.5	28 53.56	7 52 59.0	17 9 59.0	30+33.00 -3 +6 +24.2 -1.0 +12.5
73	8.9	5	56.3	29 36.26	7 56 45.9	17 13 45.9	40+32.97 +6 +23.2 +12.5
74	8.9	4	30.1	30 30.10	7 57 37.3	17 14 37.3	
75	9	7	1.3	30 21.38	7 48 17.4	17 5 17.4	178 Fad. 4. 52".6
76	9	3	19.4	31 39.44	7 51 40.9	17 8 40.9	Sehr gute, doch etwas dunstige Luft. Nahe Musik störte etwas.
77	8.9	7	47 :	31 7	7 31 34.1	16 48 34.1	ZONE 382. 1851 Mai 17. Ost.
78	8	3	32 32.6	32 52.67	8 44 48.7	18 1 48.7	NC. 15 42' - 1' 36.94
1	7	5	1 15.8	16 0 55.20	2 28 7.5	21 45 47.5	16 45 - 1 36.24
2	8.9	5	45.5	1 24.89	2 30 37.7	21 48 17.7	Microsc. I + 1".10 u. - 0".24
3	8.9	4	26.6	2 26.60	2 51 35.9	22 9 15.9	Anf. 28 0.38 + 8.3 42.0
4	9	6	8.2	2 37.18	3 33 34.0	22 51 14.0	Ende 41.7
5	9	5	4 6.0	3 45.35	2 48 16.1	22 5 56.1	Decl. = - (Microsc. I + 19° 17' 40")
6	9	4	30.6	4 30.60	2 45 42.2	22 3 22.2	16" r+i +37".880 Δr+0".004 Δi+0".012
7	7.8	2	56.2	5 27.13	2 42 19.5	21 59 59.5	Hülftafel zur Reduction auf den mittlern Ort 1850 Januar 0 D = - 22°.
8	8	6	26.1	4 55.32	2 27 35.2	21 45 15.2	T. k k' d d'
9	9	4	5.0	6 5.00	1 55 8.6	21 12 48.6	16 0+32.65 0 +8 +19.4 -1.8 +18.7
10	8.9	5	7 10.0	6 49.25	3 29 15.7	22 46 55.7	10+32.65 0 +8 +17.6 -1.9 +18.8
11	9	5	45.3	7 24.55	3 26 23.9	22 44 3.9	20+32.65 0 +8 +15.7 -1.8 +18.8
12	9	6	17.0	7 46.04	3 15 11.4	22 32 51.4	30+32.65 +8 +13.9 +18.8
13	8	3	37.5	8 58.29	3 36 24.8	22 54 4.8	
14	9	5	9 35.3	9 15.53	1 55 56.1	21 13 36.1	
15	9	7	46.4	10 5.52	1 44 45.0	21 2 25.0	
16	8.9	4	4.2	11 4.20	1 51 17.8	21 8 57.8	
17	9	5	26.0	11 5.67	1 47 37.9	21 5 17.9	
18	8.9	3	25.0	12 45.55	2 0 19.6	21 17 59.6	
19	8	3	0.9	13 21.66	3 27 59.9	22 45 39.9	
20	9	4	47.4	13 47.40	1 38 22.7	20 56 2.7	
21	6	4	47.2	14 47.20	0 23 53.1	19 41 33.1	14 Fad. 7. 56.5 Fäden 14".77 und 15".53; ich habe Fad. 5 fortgelassen.
22	8	4	15 26.0	15 26.00	2 35 35.5	21 53 15.5	17 Fad. 6. 36.5 Fäden 5".49 und 5".86
23	7.8	3	17 28.0	17 48.62	2 28 52.7	21 46 32.7	24 " 5. 15.2
24	8	4	19 54.6	19 54.64	1 56 36.3	21 14 16.3	
25	8.9	5	41.3	20 20.79	1 49 24.0	21 7 4.0	
26	8.9	3	21 46.1	22 6.82	3 10 45.0	22 28 25.0	
27	5	4	42.2	22 42.20	1 51 9.0	21 8 49.0	
28	9	4	24 18.2	24 18.20	3 12 42.2	22 30 22.2	
29	8.9	4	26 2.2	26 2.20	2 16 1.5	21 33 41.5	
30	9	4	28 10.3	28 10.30	2 27 17.9	21 44 57.9	
31	9	5	56.7	28 36.04	2 50 30.6	22 8 10.6	
32	8	7	29.0	28 47.67	3 17 26.6	22 35 6.6	Die Zone musste geschlossen werden, weil die Luft immer dunstiger ward.
33	9	7	30 12.7	29 31.62	2 26 59.5	21 44 39.5	ZONE 383. 1851 Mai 20. Ost.
1	7.8	2	55 10.0	12 55 42.26	8 17 14.7	27 36 34.7	D = - 28°.
2	7.8	2	58.0	56 30.26	8 24 1.3	27 43 21.3	12 50+33.43 -8 +5 +33.0 -0.3 +40.4
3	9	7	57 12.6	56 29.47	8 28 0.9	27 47 20.9	13 0+33.35 -8 +6 +32.7 -0.3 +40.4
4	9	6	58 26.5	57 53.98	9 9 30.1	28 28 50.1	10+33.27 +6 +32.4 +40.4
5	9	4	3.5	59 3.50	9 21 13.6	28 40 33.6	
6	7.8	5	59 49.4	59 27.85	8 5 35.4	27 24 55.4	
7	8.9	7	33.3	59 50.41	7 51 43.9	27 11 3.9	
8	8	5	59.0	13 0 37.48	7 37 13.1	26 56 33.1	
9	8.9	2	57.9	2 30.49	8 43 11.6	28 2 31.6	1 Fad. 3. 20.5 Fad. 4. 42".3
10	9	3	31.5	2 53.19	8 40 58.7	28 0 18.7	2 " 3. 8.5
11	9	3	28.2	3 49.72	7 27 50.7	26 47 10.7	8 " 6. 9.5
12	8	2	30.8	5 2.94	7 31 35.0	26 50 55.0	9 " 3. 8.9
13	8	2	48.0	5 20.17	7 36 40.0	26 56 0.0	11 " 4. 49.8
14	8.9	2	25.6	5 57.81	7 45 24.9	27 4 44.9	13 " 3. 58.7

Nr.	Gr.	Fad.	Beob. Zeit.	T.	Microsc. I	Südl. Declin.	
15	9	4	6 45.3	13 6 45.30	7 20 47.4	26 40 7.4	NC. 12 41' - 1' 32.70
16	9	4	41.2	7 41.20	7 57 41.7	27 17 1.7	14 57 - 1 36.89
17	6.7	1	8 53.2	9 36.37	8 13 36.0	27 32 56.0	Anf. 28 2.40 + 8.7 43.5
18	9	4	38.0	9 38.11	8 18 43.1	27 38 3.1	Ende 2.46 + 7.2 40.5
19	9	6	38.5	9 56.09	8 34 5.0	27 53 25.0	Microsc. I + 0".81 u. - 1".20
20	7	7	52.9	10 9.68	8 40 46.6	28 0 6.6	Decl. = - (Microsc. I + 19° 19' 20")
21	9	3	0.5	12 22.33	9 19 57.4	28 39 17.4	14" r+i + 38".022 Ar + 0".004 Ai + 0".015
22	9	7	13 34.0	12 50.58	9 9 42.5	28 29 2.5	
23	9	6	14 29.5	13 56.99	9 7 5.5	28 26 25.5	
24	7.8	5	28.6	15 7.01	8 16 29.1	27 35 49.1	
25	9	5	21.2	15 59.63	8 9 55.0	27 29 15.0	
26	8	3	48.6	17 10.03	7 22 51.1	26 42 11.1	
27	8.9	4	18 1.7	18 1.70	7 33 37.9	26 52 57.9	
28	8.9	5	38.6	18 16.95	8 57 56.2	28 17 16.2	
29	9	7	20 18.0	19 34.93	8 18 40.5	27 38 0.5	
30	9	5	21 27.0	21 5.39	8 22 1.0	27 41 21.0	
31	8.9	6	53.7	21 21.31	8 42 45.0	28 2 5.0	
32	7	1	56.0	23 39.51	9 28 19.4	28 47 39.4	
33	8	4	23 39.6	23 39.60	9 12 14.5	28 31 34.5	
34	8.9	4	24 13.4	24 13.56	9 12 32.0	28 31 52.0	
35	9	7	3.5	24 20.20	8 52 52.1	28 12 12.1	
36	8.9	4	50.6	25 50.60	8 25 52.5	27 45 12.5	
37	9	5	41.5	26 19.87	8 27 29.0	27 46 49.0	
38	9	7	40.5	26 57.44	8 18 18.0	27 37 38.0	
39	7	4	12.2	28 12.20	7 34 31.1	26 53 51.1	
40	7.8	7	2.8	28 19.60	8 36 41.8	27 56 1.8	
41	6.7	4	44.2	29 44.20	9 28 23.5	28 47 43.5	
42	7.8	7	8.0	29 24.34	9 45 3.8	29 4 23.8	
43	9	4	0.2	31 0.20	7 41 46.9	27 1 6.9	
44	9	7	31 42.8	30 59.07	7 26 18.9	26 45 38.9	
45	7	7	56.3	31 13.52	7 30 27.5	26 49 47.5	
46	8.9	4	37.7	32 37.92	7 32 40.0	26 52 0.0	
47	9	3	34 0.0	34 21.53	7 54 47.0	27 14 7.0	
48	8.9	6	43.1	34 10.89	8 6 6.4	27 25 26.4	
49	8	5	19.0	34 57.35	8 35 44.1	27 55 4.1	
50	9	3	56.2	36 17.94	8 56 44.0	28 16 4.0	
51	9	7	35.0	35 51.72	8 51 10.2	28 10 30.2	
52	9	7	30.0	36 46.43	9 32 22.1	28 51 42.1	
53	9	7	38 39.4	37 55.80	9 35 50.6	28 55 10.6	
54	8	4	40 1.6	40 1.60	8 18 15.8	27 37 35.8	
55	7.8	3	31.6	40 53.18	8 7 38.5	27 26 58.5	
56	9	5	21.6	41 0.04	8 7 33.0	27 26 53.0	
57	8	4	44.0	41 44.00	8 15 0.9	27 34 20.9	
58	8.9	4	57.8	41 57.80	8 12 10.8	27 31 30.8	
59	8.9	3	24.4	42 46.00	8 15 30.9	27 34 50.9	
60	8	7	7.9	42 25.12	7 34 51.3	26 54 11.3	
61	9	5	49.0	43 27.50	7 47 50.9	27 7 10.9	
62	8	5	45 2.1	44 40.60	8 6 4.4	27 25 24.4	
63	8	5	19.9	44 58.40	8 5 27.8	27 24 47.8	
64	6.7	7	58.3	45 15.15	8 30 47.7	27 50 7.7	
65	8.9	7	29.2	45 45.91	8 52 22.0	28 11 42.0	
66	9	7	47 28.3	46 45.23	8 18 33.5	27 37 53.5	
67	7	5	34.5	48 12.85	8 35 11.8	27 54 31.8	
68	9	6	52.6	48 20.21	8 43 15.0	28 2 35.0	
69	8	5	15.8	48 54.19	9 0 31.2	28 19 51.2	

NC. 12 41' - 1' 32.70
 14 57 - 1 36.89
 Anf. 28 2.40 + 8.7 43.5
 Ende 2.46 + 7.2 40.5
 Microsc. I + 0".81 u. - 1".20
 Decl. = - (Microsc. I + 19° 19' 20")
 14" r+i + 38".022 Ar + 0".004 Ai + 0".015

Hilfstafel zur Reduction auf den mittlern
 Ort 1850 Januar 0 D = - 28°.

T.	k	k'	d	d'
13 0+33.35	-8	+6	+32.7	-0.3
10+33.27	-7	+6	+32.4	-0.4
20+33.20	-7	+6	+32.0	-0.5
30+33.13	-6	+6	+31.5	-0.5
40+33.07	-7	+7	+31.0	-0.5
50+33.00		+7	+30.5	+40.6

17 Fad. 2. 4.1
 18 " 6. 10.5
 19 " 7. 39.2; ich habe angenommen, dass
 Fad. 6 um 10" verschrieben sei.
 28 Fad. 6. 49.5
 29. Zeit unsicher beobachtet.
 32 Fad. 2. 6.7
 34 " 5. 35.5 giebt 13".72
 46 " 5. 59.6 " 38".15
 51. Zeit unsicher beobachtet.
 52. ebenso.
 69 Fad. 6. 26.8

nr.	Fad.	Beob. Zeit.	T.	Microsc. I	Südl. Declin.
9	5	16.0	13 49' 54.43	8 11' 11.9	27 30' 31.9
9	5	38.5	50 16.94	8 6 26.4	27 25 46.4
9	6	52 27.0	51 54.82	8 1 30.1	27 20 50.1
9	4	53 19.0	53 19.00	7 23 49.5	26 43 9.5
9	2	53.7	54 25.81	7 26 0.5	26 45 20.5
9	4	25.0	54 24.95	7 44 49.0	27 4 9.0
9	4	14.6	55 14.60	8 33 47.0	27 53 7.0
9	3	36.2	55 57.72	8 29 0.0	27 48 20.0
9	3	50.7	57 12.52	9 18 25.6	28 37 45.6
9	7	37.0	56 54.23	7 31 54.5	26 51 14.5
9	5	58 17.3	57 55.89	7 19 45.0	26 39 5.0
9	4	49.6	58 49.60	7 19 22.0	26 38 42.0
9	5	34.7	59 13.37	7 40 47.0	27 0 7.0
9	5	1 4.0	14 0 42.59	7 21 40.0	26 41 0.0
8	5	2 10.5	1 48.89	8 19 44.0	27 39 4.0
9	5	46.8	2 25.11	8 46 3.0	28 5 23.0
9	7	7.0	2 23.72	8 51 33.8	28 10 53.8
9	6	24.8	2 52.34	8 52 1.0	28 11 21.0
9	7	4 43.0	4 0.05	8 0 58.1	27 20 18.1
9	7	6 0.7	5 17.26	9 12 58.6	28 32 18.6
7	6	20.6	5 48.14	9 15 35.9	28 34 55.9
9	7	24.5	6 40.82	9 46 58.9	29 6 18.9
9	1	19.4	9 2.23	7 31 1.7	26 50 21.7
9	4	59.3	8 59.21	7 40 51.2	27 0 11.2
9	6	10.0	9 37.99	7 26 2.5	26 45 22.5
9	5	11 23.6	11 2.14	7 35 7.0	26 54 27.0
9	7	40 :	10 57	8 2 40.7	27 22 0.7
9	4	12 48.9	12 48.90	8 18 26.2	27 37 46.2
9	2	22.7	13 55.29	9 2 11.0	28 21 31.0
8	1	13 53.7	14 37.34	9 40 10.1	28 59 30.1
9	1	14 35.0	15 18.67	9 36 47.0	28 56 7.0
9	4	33.4	15 33.40	8 55 24.5	28 14 44.5
9	3	48.8	16 10.53	8 53 43.6	28 13 3.6
9	4	8.0	16 8.08	9 4 12.9	28 23 32.9
9	1	5.3	17 48.68	9 15 43.9	28 35 3.9
9	4	18 17.2	18 17.20	8 22 11.9	27 41 31.9
9	7	48.0	18 5.08	7 55 56.2	27 15 16.2
9	7	57.3	18 14.38	7 55 3.0	27 14 23.0
9	5	40.8	19 19.28	7 56 4.9	27 15 24.9
9	5	38.4	20 16.84	8 6 57.2	27 26 17.2
9	4	21 9.7	21 9.70	8 1 43.3	27 21 3.3
9	3	53.6	22 15.28	8 38 31.0	27 57 51.0
9	4	51.3	22 51.30	9 15 30.4	28 34 50.4
9	6	15.3	22 42.77	9 11 6.3	28 30 26.3
9	6	56.3	23 23.72	9 20 4.0	28 39 24.0
9	7	25.7	23 42.17	9 25 54.0	28 45 14.0
9	5	25 0.4	24 38.51	9 41 9.0	29 0 29.0
9	3	54.7	26 16.27	8 3 14.9	27 22 34.9
9	4	27 11.9	27 11.90	8 16 9.7	27 35 29.7
9	3	33.9	27 55.52	8 19 57.3	27 39 17.3
9	6	13.3	27 40.90	8 44 57.0	28 4 17.0
9	7	49.3	28 5.66	9 42 14.8	29 1 34.8
9	2	50.8	30 23.27	8 39 14.4	27 58 34.4
9	3	24.4	30 45.96	8 2 3.6	27 21 23.6
9	4	4.4	31 4.40	8 10 43.0	27 30 3.0

Hülftafel zur Reduction auf den mittlern Ort 1850 Januar 0 D = - 28°.

T.	k	k'	d	d'
13 50' +33.00	-6	+7	+30.5	-0.6
14 0' +32.94	-5	+7	+29.9	-0.6
10' +32.89	-5	+7	+29.3	-0.7
20' +32.84	-5	+8	+28.6	-0.7
30' +32.79	-5	+8	+27.9	+40.8

75	Fad.	5.	46.4
77	"	4.	57.6
82	"	6.	45.6
87	"	7.	35.6
90	"	7.	31.7
92	"	2.	30.1
93	"	5.	20.6
99	"	2.	4.5
100	"	2.	45.9
103	"	5.	29.9
104	"	2.	15.9
114	"	7.	7.2
116	"	6.	11.2

No.	Gr.	Fad.	Beob. Zeit.	T.	Microsc. I	Südl. Declin.	
125	7	3	32' 15.2	14 32' 36.77	8° 6' 33.9	27 25 53.9	14 30' + 32.79 -5 +8 +27.9 -0.7 +
126	8.9	5	59.2	32 37.48	8 51 24.4	28 10 44.4	40 + 32.74 +8 +27.2 +
127	9	6	20.6	32 48.15	8 54 12.4	28 13 32.4	126 Fad. 6. 9".9
128	9	5	4.9	33 43.16	9 1 49.6	28 21 9.6	132 " 4. 42.5 Fad. 5. 4.5, Fad. 7. 4
129	8	5	35 7.4	34 45.58	9 23 54.8	28 43 14.8	Die Fäden geben 42.96, 42.50, 42.93, 4
130	8.9	4	37.1	35 37.10	8 5 58.9	27 25 18.9	Unruhige Luft; die Sterne blass und die 9 ^m , sehr sicher beobachtet.
131	9	4	2.3	36 2.30	7 15 49.3	26 35 9.3	ZONE 384. 1851 Juni 1. Os
132	9	3	37 21.5	37 42.74	7 32 18.5	26 51 38.5	NC. 14 30' - 1' 30.25
1	8.9	5	47 8.0	14 46 45.77	10 55 55.5	30 16 5.5	16 31 - 1' 31.91
2	9	6	49 15.0	48 42.15	10 10 0.0	29 30 10.0	Anf. 28 2.39 + 10.9 50.0
3	9	5	50 33.9	50 11.84	10 29 11.1	29 49 21.1	Ende 2.34 + 9.7 47.1
4	8.9	6	51.3	50 18.45	10 25 40.9	29 45 50.9	Microsc. I - 1".55 u. - 2".30
5	8	3	51 47.7	52 10.03	11 36 16.0	30 56 26.0	Decl. = - (Microsc. I + 19° 20' 10")
6	8.9	3	13.4	52 35.74	11 39 14.7	30 59 24.7	15" r+i + 38".769 Δr 0".000 Δi + 0"
7	9	3	53 27.0	53 48.95	9 54 25.0	29 14 35.0	
8	8.9	3	43.5	54 5.45	9 55 52.6	29 16 2.6	
9	8.9	2	20.5	54 53.45	10 2 48.6	29 22 58.6	
10	7	1	59.6	55 43.46	10 4 32.2	29 24 42.2	
11	9	7	47.5	55 3.47	10 36 6.7	29 56 16.7	
12	7	5	56 18.7	55 56.61	10 38 9.1	29 58 19.1	<i>Hülfsstafel zur Reduction auf den mittlere Ort 1850 Januar 0 D = - 30°.</i>
13	8	5	56.0	56 33.94	10 30 11.1	29 50 21.1	
14	6.7	6	27.9	56 54.78	10 59 53.3	30 20 3.3	
15	9	7	1.5	57 16.96	11 43 6.4	31 3 16.4	
16	9	5	59 39.0	59 16.96	10 25 5.6	29 45 15.6	
17	9	4	15.2	15 0 15.23	9 56 12.1	29 16 22.1	
18	9	7	5.0	0 21.44	9 30 1.3	28 50 11.3	
19	9	4	29.3	1 29.48	9 29 33.9	28 49 43.9	
20	8	4	28.7	2 28.70	10 58 39.0	30 18 49.0	
21	9	4	48.7	2 48.70	10 55 24.8	30 15 34.8	
22	9	5	11.4	2 49.05	19 52 59.0	30 13 9.0	
23	9	6	54.2	3 21.13	10 50 45.6	30 10 55.6	
24	9	6	16.4	3 43.31	10 48 24.0	30 8 34.0	
25	6	6	27.0	4 53.69	11 36 50.7	30 57 0.7	
26	9	5	19.1	5 56.97	10 48 18.5	30 8 28.5	
27	8	5	45.2	6 23.00	10 50 4.3	30 10 14.3	
28	9	7	12.5	6 28.43	10 41 7.0	30 1 17.0	
29	8.9	3	53.2	8 15.29	10 35 29.2	29 55 39.2	
30	5.6	6	42.9	8 10.07	10 15 55.5	29 36 5.5	
31	9	1	19.3	10 3.21	10 11 28.8	29 31 38.8	
32	9	3	54.2	10 16.21	10 13 44.9	29 33 54.9	
33	9	4	10 23.8	10 23.80	10 3 14.2	29 23 24.2	
34	9	7	12 25.0	11 40.83	10 54 1.3	30 14 11.3	
35	9	7	0.7	12 16.65	10 38 54.2	29 59 4.2	
36	9	7	33.0	12 49.01	10 30 24.9	29 50 34.9	
37	9	7	47.0	13 3.00	10 31 58.5	29 52 8.5	
38	9	7	33.5	13 49.68	10 7 29.6	29 27 39.6	
39	9	4	25.2	15 25.20	10 13 10.0	29 33 20.0	
40	9	3	47.5	16 19.10	10 14 33.6	29 34 43.6	
41	9	6	56.5	16 23.93	9 34 33.0	28 54 43.0	
42	9	3	17 30.2	17 52.10	9 40 40.7	29 0 50.7	
43	8	2	27.2	19 0.06	9 43 8.2	29 3 18.2	
44	9	6	21.7	18 48.83	10 14 2.4	29 34 12.4	
45	9	7	41.0	18 56.59	11 25 50.3	30 46 0.3	
46	9	5	21 21.5	20 59.55	9 59 0.5	29 19 10.5	
47	8.9	3	9.9	22 32.15	11 17 19.0	30 37 29.0	

14 30' + 32.79 | -5 | +8 | +27.9 | -0.7 | +
40 + 32.74 | +8 | +27.2 | +

126 Fad. 6. 9".9
132 " 4. 42.5 Fad. 5. 4.5, Fad. 7. 4
Die Fäden geben 42.96, 42.50, 42.93, 4

Unruhige Luft; die Sterne blass und die 9^m,
sehr sicher beobachtet.

ZONE 384. 1851 Juni 1. Os

NC. 14 30' - 1' 30.25
16 31 - 1' 31.91

Anf. 28 2.39 + 10.9 50.0

Ende 2.34 + 9.7 47.1

Microsc. I - 1".55 u. - 2".30

Decl. = - (Microsc. I + 19° 20' 10")

15" r+i + 38".769 Δr 0".000 Δi + 0"

*Hülfsstafel zur Reduction auf den mittlere
Ort 1850 Januar 0 D = - 30°.*

T.	k	k'	d	
14 40' + 33.38	-6	+ 9	+ 22.8	-1.0 +
50 + 33.32	-5	+ 9	+ 21.8	-1.1 +
15 0 + 33.27	-5	+ 9	+ 20.7	-1.0 +
10 + 33.22	-5	+ 9	+ 19.7	-1.1 +
20 + 33.17	-4	+ 10	+ 18.6	-1.2 +
30 + 33.13		+ 10	+ 17.4	

1 Fad. 6. 18.8

4 " 7. 2.5

9 " 3. 31.5

11. Zeit vielleicht 48".5 und dann T. 55' 4

15. Zeit unsicher beobachtet.

17 Fad. 5. 37.2

19 " 5. 51.5 giebt 29".66

22 " 7. 33.0 Fäden 49".26 und 48".8

24 " 7. 27.4

25 " 7. 38.2

27 " 6. 56.0

30 " 7. 54.0

40 " 4. 19.1 Fad. 3 ist ausgeschlossen.

41 " 7. 7.6

43 " 3. 38.2

45. Zeit unsicher beobachtet.

Fad.	Beob. Zeit.	T.	Microsc. I	Südl. Declin.
5	56.1	15 22 34.04	10 21 4.1	29 41 14.1
5	28.1	23 6.25	9 44 23.7	29 4 33.7
7	8.1	23 24.40	9 49 23.1	29 9 33.1
6	25 5.6	24 32.41	10 56 15.9	30 16 25.9
5	26 30.6	26 8.71	9 44 42.1	29 4 52.1
4	4.8	27 4.80	9 22 14.0	28 42 24.0
4	41.7	27 41.70	9 29 20.0	28 49 30.0
6	4.4	27 31.75	9 33 43.1	28 53 53.1
4	37.1	28 37.10	9 46 25.3	29 6 35.3
4	54.4	28 54.43	9 57 15.9	29 17 25.9
3	47.2	30 9.15	9 55 42.9	29 15 52.9
3	17.2	30 39.16	9 57 41.8	29 17 51.8
4	34.9	30 34.90	10 8 51.6	29 29 1.6
3	1	32 7.14	10 19 46.8	29 39 56.8
7	32 32.0	31 48.45	9 29 20.2	28 49 30.2
5	10.2	32 48.34	9 35 42.0	28 55 52.0
5	47.0	33 25.11	9 42 27.2	29 2 37.2
5	11.5	33 49.56	9 51 24.9	29 11 34.9
5	34 55.4	34 33.37	10 23 24.6	29 43 34.6
6	23.4	34 50.41	10 36 4.1	29 56 14.1
5	36 21.0	35 58.93	10 32 17.4	29 52 27.4
7	36 42.6	35 58.73	10 14 12.2	29 34 22.2
9	24.5	36 51.35	11 4 33.8	30 24 43.8
7	3.3	37 19.09	10 59 27.1	30 19 37.1
7	50.4	38 6.11	11 10 45.0	30 30 55.0
8	3	39 36.85	11 16 11.6	30 36 21.6
9	4	39 38.20	11 27 19.0	30 47 29.0
9	7	39 45.93	10 27 9.5	29 47 19.5
4	5.4	41 5.40	10 26 35.3	29 46 45.3
5	36.4	41 14.39	10 17 32.9	29 37 42.9
7	3	42 24.89	10 6 1.7	29 26 11.7
9	2	43 7.22	10 3 43.8	29 23 53.8
3	41.0	43 2.98	10 4 56.8	29 25 6.8
7	34.3	42 50.68	9 38 49.6	28 58 59.6
9	5	43 39.92	9 12 45.0	28 32 55.0
4	46.4	44 46.40	9 22 49.0	28 42 59.0
8	1	45 43.90	9 25 19.8	28 45 29.8
4	53.7	45 53.70	10 33 44.1	29 53 54.1
3	19.7	46 41.88	10 51 6.1	30 11 16.1
3	50.4	47 12.57	10 56 50.4	30 17 0.4
4	24.0	47 24.00	11 0 30.3	30 20 40.3
7	47 49.3	47 5.01	11 10 14.2	30 30 24.2
4	46.0	48 46.00	10 57 9.0	30 17 19.0
5	9.5	48 47.30	11 7 7.6	30 27 17.6
3	33.6	49 55.89	11 23 38.1	30 43 48.1
5	24.2	50 1.88	11 39 9.9	30 59 19.9
9	2	51 22.03	11 46 26.3	31 6 36.3
9	5	51 9.87	10 48 40.6	30 8 50.6
5	10.3	51 48.08	11 11 5.0	30 31 15.0
6	37.0	52 3.90	10 56 35.9	30 16 45.9
8	5	52 56.49	11 10 45.6	30 30 55.6
7	53 32.3	52 48.13	10 54 24.9	30 14 34.9
7	35 :	53 51	10 23 2.9	29 43 12.9
4	24.8	55 24.80	11 41 48.3	31 1 58.3
9	6	55 13.64	11 41 47.2	31 1 57.2

*Hülftafel zur Reduction auf den mittlern
Ort 1850 Januar 0 D = - 30°.*

T.	k	k'	d	d'
15 20+33.17	-4	+10	+18.6	-1.2
30+33.13	-3	+10	+17.4	-1.1
40+33.10	-4	+10	+16.3	-1.2
50+33.06	-2	+10	+15.1	-1.2
16 0+33.04		+10	+13.9	

48 Fad. 6. 6.9

49 " 6. 39.0

51 " 7. 16.5

57 " 5. 16.4

61 " 2. 34.1 dupl. IV. Cl. praec., seq. 9^m.

62. Zeit unsicher beobachtet.

65 Fad. 6. 22.3

84 " 2. 11.2

92 " 4. 55.9

94 " 3. 59.6

99. Zeit unsicher beobachtet.

No.	Gr.	Fad.	Beob. Zeit.	T.	Microsc. I	Südl. Declin.
103	8.9	4	57 34.2	15 57 34.20	9 8 14.2	28 28 24.2
104	8.9	3	28.4	58 50.02	9 26 2.0	28 46 12.0
105	8.9	4	20.7	59 20.70	9 34 38.9	28 54 48.9
106	7.8	1	46.8	16 0 30.44	9 33 36.1	28 53 46.1
107	9	5	21.5	15 59 59.58	10 11 32.3	29 31 42.3
108	8	5	49.1	16 1 26.96	11 0 15.4	30 20 25.4
109	9	4	30.7	2 30.70	11 8 2.0	30 28 12.0
110	9	5	15.9	2 53.71	11 4 12.5	30 24 22.5
111	7	3	47.9	4 10.30	11 55 5.8	31 15 15.8
112	9	6	17.6	3 44.58	10 45 31.0	30 5 41.0
113	7	7	4 38 :	3 54	10 29 27.7	29 49 37.7
1	8.9	6	29 19.0	14 28 48.62	10 29 22.0	19 46 42.0
2	7.8	2	47.5	30 17.85	10 25 29.2	19 42 49.2
3	9	6	40.7	30 10.37	10 11 8.5	19 28 28.5
4	9	6	2.7	30 32.36	10 14 49.8	19 32 9.8
5	9	6	31.5	31 1.23	10 3 43.3	19 21 3.3
6	7.8	3	5.5	32 25.74	10 0 2.4	19 17 22.4
7	8.9	4	42.9	32 42.90	10 16 41.1	19 34 1.1
8	7	5	37 27.5	37 7.13	11 15 11.0	20 32 31.0
9	6.7	4	8.7	38 8.67	11 24 29.4	20 41 49.4
10	9	5	39 35.9	39 15.55	10 36 6.2	19 53 26.2
11	9	5	41 10.2	40 49.85	10 38 1.9	19 55 21.9
12	9	7	52.7	41 12.08	10 45 35.8	20 2 55.8
13	9	7	42 7.8	41 27.15	10 51 35.7	20 8 55.7
14	8	4	40.9	42 40.87	10 42 38.9	19 59 58.9
15	8.9	5	25.6	43 5.21	10 54 35.0	20 11 55.0
16	8.9	3	50.5	44 10.95	11 42 9.9	20 59 29.9
17	8	4	44 36.9	44 36.90	10 4 26.2	19 21 46.2
18	8.9	6	46 26.9	45 56.33	11 27 25.9	20 44 45.9
19	8.9	4	6.3	47 6.30	10 29 49.0	19 47 9.0
20	9	4	32.2	47 32.20	10 39 16.3	19 56 36.3
21	8.9	4	43.9	47 43.90	10 35 48.6	19 53 8.6
22	9	5	48 49.0	48 28.70	10 14 32.2	19 31 52.5
23	8	3	11.7	49 31.85	9 50 28.5	19 7 48.5
24	9	5	17.3	49 57.06	9 41 50.1	18 59 10.1
25	8	5	50 39.0	50 18.78	9 31 31.0	18 48 51.0
26	8	5	1.0	50 40.80	9 25 25.2	18 42 45.2
27	8.9	7	20.2	50 39.76	10 2 6.3	19 19 26.3
28	8.9	3	1.9	52 22.35	11 13 33.4	20 30 53.4
29	8	4	35.4	52 35.40	11 21 17.1	20 38 37.1
30	8.9	2	14.0	53 44.58	11 31 47.2	20 49 7.2
31	9	3	19.4	53 39.72	11 32 52.2	20 50 12.2
32	8.9	2	55 42.6	56 12.89	9 44 12.3	19 1 32.3
33	8.9	7	53.3	56 12.94	9 44 11.6	19 1 31.6
34	7.8	4	57 10.4	57 10.40	9 30 40.0	18 48 0.0
35	8.9	4	11.0	58 11.00	10 21 32.8	19 38 52.8
36	8.9	7	19.4	57 38.89	10 20 10.1	19 37 30.1
37	9	5	58.0	58 37.70	10 11 39.1	19 28 59.1
38	8.9	5	32.2	59 11.93	9 59 15.6	19 16 35.6
39	8.9	7	0 14.0	59 33.72	9 22 1.5	18 39 21.5
40	9	6	35.6	15 0 5.46	9 26 44.7	18 44 4.7
41	9.0	6	38.6	1 8.40	9 32 28.0	18 49 48.0
42	8.9	7	3 3.2	2 22.40	11 27 14.9	20 44 34.9
43	5.6	7	47.3	3 6.89	9 56 23.8	19 13 43.8
44	6.7	4	4 13.2	4 13.17	9 47 56.1	19 5 16.1

15 50+33.06 | -2 | +10 | +15.1 | -1.2 | +
 16 0+33.04 | -3 | +10 | +13.9 | -1.3 | +
 10+33.01 | +10 | +12.6 |

104 Fad. 4. 49.8 Fad. 3 giebt 50".25

106. Siehe Note zu No. 108.

107 Fad. 6. 32.5

108 " 7. 11.2. Bei diesem Sterne ward Fehler von -1" in der Zeit entdeckt verbessert, der nach Z. 388 No. 30 bei No. 106 stattgefunden hat.

112 Fad. 7. 28.7

Recht gute Luft.

ZONE 385. 1851 Juni 2. 0

NC. 14 17 - 1 29.62
 16 22 - 1 31.30

Anf. 28 0.77 + 12.1 56.0

Ende 0.60 + 11.1 52.0

Microsc. I + 0".69 u. - 1".80

Declin. = - (Microsc. I + 9° 17' 20")

15" r+i + 38".966 Δr 0".000 Δi + 0"

Hilfstafel zur Reduction auf den middle Ort 1850 Januar 0 D = - 20°.

T.	k	k'	d
14 30+33.98	-5	+7	+27.7 -0.7 +
40+33.93	-4	+7	+27.0 -0.8 +
50+33.89	-5	+7	+26.2 -0.8 +
15 0+33.84	-4	+7	+25.4 -0.8 +
10+33.80		+7	+24.6

2 Fad. 3. 57.5

5 " 7. 41.7

7. Nach diesem Stern Wolken.

8 Fad. 6. 37.6 Fad. 7. 48.0

9 " 5. 29.1

14 " 5. 1.2

23 " 4. 31.8

28 " 4. 22.4

30 " 5. 5.0

31 " 4. 39.6

32. 33. derselbe.

40 Fad. 7. 45.8

44 " 5. 33.4

№.	Gr.	Fad.	Beob. Zeit.	T.	Microsc. I	Südl. Declin.
15	8	3	4.2	15 5 24.36	9 24 3.0	18 41 23.0
16	9	4	36.9	5 36.90	9 33 49.0	18 51 9.0
17	8.9	4	6 42.0	6 42.00	9 42 13.1	18 59 33.1
18	8	3	16.6	7 36.85	10 9 36.5	19 26 56.5
19	9	4	52.3	7 52.30	10 46 0.0	20 3 20.0
20	7	2	9.7	8 40.13	10 53 0.2	20 10 20.2
21	9	5	35.4	8 15.00	10 59 48.9	20 17 8.9
32	7.8	3	48.5	9 8.86	11 1 25.0	20 18 45.0
33	9	6	10 4.5	9 34.19	10 41 58.0	19 59 18.0
54	8.9	7	58.8	10 18.34	10 7 24.1	19 24 44.1
55	7	7	23.9	10 43.54	9 43 17.6	19 0 37.6
56	8.9	2	12 40.5	13 11.10	11 21 18.1	20 38 38.1
57	9	4	20.2	13 20.20	11 14 54.0	20 32 14.0
58	8.9	3	43.4	14 3.89	11 50 48.5	21 8 8.5
59	8.9	2	27.6	14 58.20	11 1 18.4	20 18 38.4
60	7.8	4	15 20.5	15 20.50	10 8 44.0	19 26 4.0
61	9	7	50.5	15 10.09	9 54 38.8	19 11 58.8
62	7	1	16 59.3	17 39.81	10 11 37.0	19 28 57.0
63	8.9	5	43.9	17 23.54	10 41 4.3	19 58 24.3
64	8	5	14.2	17 53.80	10 55 39.1	20 12 50.1
65	7	3	43.6	19 4.01	11 23 56.6	20 41 16.6
66	9	4	4.2	19 4.21	11 34 2.0	20 51 22.0
67	9	3	19 47.2	20 7.64	11 36 1.1	20 53 21.1
68	9	3	48.5	21 8.85	10 48 34.5	20 5 54.5
69	7	4	23.0	21 23.00	10 55 29.7	20 12 49.7
70	8.9	1	2.1	22 42.78	10 49 51.5	20 7 11.5
71	7	4	32.4	22 32.29	10 22 57.6	19 40 17.6
72	9	5	34.1	23 13.78	10 23 5.1	19 40 25.1
73	8.9	6	53.6	23 23.20	10 12 42.3	19 30 2.3
74	9	7	38.3	23 57.85	10 6 28.4	19 23 48.4
75	8.9	7	24 57 :	24 17	10 15 52.9	19 33 12.9
76	9	4	52.4	25 52.40	10 14 33.1	19 31 53.1
77	9	5	26.0	26 5.91	9 44 52.9	19 2 12.9
78	9	6	52.1	26 21.84	9 50 25.7	19 7 45.7
79	9	6	27 54.0	27 23.70	10 2 5.7	19 19 25.7
80	8.9	5	53.6	28 33.37	9 38 35.3	18 55 55.3
81	8.9	4	18.8	29 18.80	10 0 13.1	19 17 33.1
82	6.7	6	45.6	29 15.29	10 7 51.8	19 25 11.8
83	7.8	5	8.6	29 48.33	9 57 20.6	19 14 40.6
84	5.6	7	23.4	29 43.09	9 31 24.8	18 48 44.8
85	8	5	57.7	30 37.43	9 56 24.8	19 13 44.8
86	7	6	31 12.5	30 42.19	9 59 39.8	19 16 59.8
87	8.9	5	57.5	31 37.21	10 6 19.9	19 23 39.9
88	5	3	24.6	32 44.82	9 54 26.0	19 11 46.0
89	8.9	2	41.2	33 11.56	10 5 58.0	19 23 18.0
90	7.8	6	14.4	32 44.17	9 41 31.9	18 58 51.9
91	8.9	5	29.7	33 9.46	9 43 17.2	19 0 37.2
92	9	5	14.2	33 53.96	9 44 11.4	19 1 31.4
93	8	3	34 39.6	34 59.84	10 1 34.0	19 18 54.0
94	8	4	8.3	35 8.30	9 57 5.9	19 14 25.9
95	9	5	53.0	35 32.69	10 17 30.9	19 34 50.9
96	7	6	36 43.0	36 12.78	9 21 1.1	18 38 21.1
97	8	2	17.6	37 47.83	9 22 54.0	18 40 14.0
98	8.9	7	38.7	36 58.36	9 36 40.8	18 54 0.8
99	8.9	3	16.6	38 36.82	9 57 6.0	19 14 26.0

*Hälftafel zur Reduction auf den mittlern
Ort 1850 Januar 0 D = - 16°.*

T.	k	k'	d	d'
15 0+33.84	-4	+7	+25.4	-0.8
10+33.80	-3	+7	+24.6	-0.9
20+33.77	-4	+7	+23.7	-0.9
30+33.73	-3	+8	+22.8	-0.9
40+33.70		+8	+21.9	+15.1

50 Fad. 7. 20.7

53 " 7. 14.9

58 " 4. 3.9

59 " 3. 37.9

66 " 5. 24.7

71 " 5. 52.5 dupl. III. Cl. seq., praec. 9^m.

73 " 7. 3.6

77 " 6. 36.3

86 " 7. 22.6

96 " 7. 53.0

No.	Gr.	Fad.	Beob. Zeit.	T.	Microsc. I	Südl. Declin.
100	9	5	39' 1.3	15 38' 41.01	10 6' 22.4	19 23' 42.4
101	8.9	3	27.4	39 47.64	10 4' 15.5	19 21' 35.5
102	9	7	6.0	39 25.47	10 24' 37.0	19 41' 57.0
103	7.8	6	37.2	40 6.88	10 32' 15.4	19 49' 35.4
104	7	7	3.3	40 22.61	11 1' 47.0	20 19' 7.0
105	7.8	6	43.7	41 13.20	11 6' 7.0	20 23' 27.0
106	9	5	42' 9.7	41 49.27	11 14' 2.5	20 31' 22.5
107	9	5	42' 36.6	42 16.17	11 10' 33.9	20 27' 53.9
108	9	4	43' 31.5	43 31.50	10 33' 39.0	19 50' 59.0
109	5.6	4	4.5	44 4.50	10 25' 52.3	19 43' 12.3
110	8	4	36.0	44 36.00	10 34' 50.3	19 52' 10.3
111	6.7	1	6.5	45 46.83	9 39' 12.8	18 56' 32.8
112	9	7	46.9	45 6.55	9 39' 28.6	18 56' 48.6
113	9	4	20.9	46 20.90	9 53' 10.9	19 10' 30.9
114	7.8	5	24.3	47 3.89	11 2' 47.5	20 20' 7.5
115	8	6	50.6	47 20.18	10 42' 19.5	19 59' 39.5
116	6	4	21.4	48 21.40	11 15' 29.0	20 32' 49.0
117	7.8	2	40.8	49 11.36	11 10' 16.8	20 27' 36.8
118	8.9	7	53' 26.9	52 46.21	11 2' 46.0	20 20' 6.0
119	8.9	6	15.4	53 45.06	10 17' 30.1	19 34' 50.1
120	7	7	31.4	53 50.94	10 8' 10.6	19 25' 30.6
121	7.8	4	44.3	54 44.26	10 3' 55.5	19 21' 15.5
122	8	4	33.5	55 33.50	9 27' 35.9	18 44' 55.9
123	4	3	49.4	56 9.67	10 6' 27.2	19 23' 47.2
124	8	4	28.7	56 28.70	9 59' 5.8	19 16' 25.8
125	8.9	4	59.3	56 59.30	10 5' 19.0	19 22' 39.0
126	9	5	37.5	57 17.16	10 32' 20.0	19 49' 40.0
127	5.6	6	59.3	57 28.83	10 58' —	20 16' —
128	6	5	23.6	58 3.23	11 10' 25.3	20 27' 45.3
129	8	7	46.0	58 5.25	11 14' 50.5	20 32' 10.5
130	9	5	12.0	58 51.58	11 7' 46.2	20 25' 6.2
131	8.9	5	35.4	59 14.99	11 4' 5.0	20 21' 25.0
132	8	3	54.6	16 0' 15.02	10 55' 44.0	20 13' 4.0
133	9	2	0 48.0	1 18.53	11 1' 8.6	20 18' 28.6
134	8.9	4	1 38.1	1 38.10	10 43' 4.0	20 0' 24.0
1	9.0	4	3 52.1	16 3 52.10	2 32' 4.2	21 49' 44.2
2	7.8	2	23.8	4 54.62	2 27' 37.1	21 45' 17.1
3	9	5	4.5	4 43.90	2 29' 3.5	21 46' 43.5
4	8.9	4	6 4.6	6 4.60	1 55' 6.9	21 12' 46.9
5	9	7	54.5	6 13.22	3 8' 8.0	22 25' 48.0
6	8	4	45.7	7 45.70	3 15' 12.2	22 32' 52.2
7	8.9	7	4.9	7 23.53	3 26' 23.7	22 44' 3.7
8	—	7	20 :	7 39	3 18' 27.6	22 36' 7.6
9	7	7	9 39.0	8 57.58	3 36' 29.0	22 54' 9.0
10	9	5	25.5	10 5.00	1 44' 47.4	21 2' 27.4
11	8.9	4	3.4	11 3.40	1 51' 19.0	21 8' 59.0
12	9	5	25.1	11 4.59	1 47' 43.1	21 5' 23.1
13	6.7	6	48.0	11 17.27	2 11' 15.8	21 28' 55.8
14	8.9	3	24.1	12 44.60	2 0' 22.6	21 18' 2.6
15	8	4	13 21.0	13 21.00	3 18' 1.7	22 45' 41.7
16	8	1	14.2	14 55.48	3 0' 36.9	22 18' 16.9
17	9	1	40.3	15 21.58	3 0' 58.9	22 18' 38.9
18	7.8	4	25.6	15 25.60	2 35' 38.6	21 53' 18.6
19	8.9	5	18.6	15 58.06	2 2' 59.1	21 20' 39.1
20	9	3	42.0	17 2.51	2 9' 36.3	21 27' 16.3

Hülftafel zur Reduction auf den mittl. Ort 1850 Januar 0 $D = -20^\circ$.

T.	k	k'	d
15 40' +33.70	-3	+8	+21.9 -1.0
50' +33.67	-2	+8	+20.9 -0.9
16 0' +33.65	-2	+8	+20.0 -1.0
10' +33.63		+8	+19.0

102. Zeit unsicher beobachtet.

104. ebenso.

103 Fad. 7. 47".5

111 „ 2. 16.5

118. Die Pause entstand durch Beobachtung neuen Planeten.

121 Fad. 5. 4.5

123 „ 4. 9.7 dupl. III. Cl. praec.

128 „ 6. 33.8

132 „ 4. 15.1

Sehr gute Luft, aber zuweilen etwas Gewöll

ZONE 386. 1851 Juni 3. ©

NC. 15 7' - 1' 28.48
 17 2 - 1 29.22
 Anf. 27 9.72 + 12.1 55.3
 Ende 9.52 + 12.1 54.5
 Microsc. I - 1".09 u. - 1".50
 Declin. = - (Microsc. I + 19° 17' 40")
 16" $\tau + i + 38''.899$ $\Delta \tau 0''.000$ $\Delta i + 0$
 $D = -22^\circ$.

16 0' +33.50	-2	+8	+21.9 -1.4
10' +33.48	-2	+8	+20.5 -1.3
20' +33.46		+8	+19.2

5. Zeit unsicher beobachtet.

8. Nebula.

15. Die Minute des Microscops muss 28' sein
 Z. 213 N°. 26 und Z. 382 N°. 19. Hie
 ist die Decl. berechnet.

20 Fad. 4. 2".50

r.	Fad.	Beob. Zeit.	T.	Microsc. I	Südl. Declin.	
			^u	^o	[°]	
	4	48.0	16 17 48.00	2 28 52.7	21° 46' 32.7	
	5	19 37.2	19 16.58	2 35 34.0	21 53 14.0	
8	5	14.5	19 53.97	1 56 39.8	21 14 19.8	
9	5	40.9	20 20.39	1 49 26.1	21 7 6.1	
9	2	35.5	22 6.42	3 10 49.0	22 28 29.0	
	4	41.8	22 41.80	1 51 12.1	21 8 52.1	
9	3	23 57.0	24 17.67	3 12 48.1	22 30 28.1	
	4	25 11.1	25 11.10	3 0 16.4	22 17 56.4	
9	4	1.7	26 1.70	2 16 6.9	21 33 46.9	
	4	51.3	26 51.30	1 30 2.2	20 47 42.2	
9	1	28.6	28 9.71	2 27 20.6	21 45 0.6	
	2	4.5	28 35.40	2 50 36.1	22 8 16.1	
8	4	28 47.4	28 47.40	3 17 28.7	22 35 8.7	
9	7	30 12.2	29 31.12	2 27 2.0	21 44 42.0	
9	3	31 18.1	31 38.84	3 44 0.8	23 1 40.8	
	5	2.6	32 41.90	3 7 8.3	22 24 48.3	
	1	26.0	34 7.32	3 9 21.0	22 27 1.0	
8	3	54.9	34 15.62	3 32 52.5	22 50 32.5	
	2	31.5	35 2.53	3 25 2.1	22 42 42.1	
	3	49.6	35 10.32	3 30 24.9	22 48 4.9	
7	3	13.7	35 34.47	3 36 22.6	22 54 2.6	
	4	36 56.2	36 56.20	3 3 28.4	22 21 8.4	
	7	37.0	36 55.84	2 44 52.0	22 2 32.0	
9	5	19.2	37 58.58	2 36 31.2	21 54 11.2	
	5	49.2	38 28.58	2 35 51.8	21 53 31.8	
9	5	26.6	39 46.01	2 22 48.5	21 40 28.5	
	3	45.0	40 5.53	2 17 40.4	21 35 20.4	
	4	32.0	40 32.00	2 24 26.0	21 42 6.0	
	3	0.7	41 21.28	2 39 5.8	21 56 45.8	
	3	17.5	41 37.94	2 35 23.3	21 53 3.3	
	3	9.3	42 29.80	2 45 2.0	22 2 42.0	
	7	9.0	42 28.11	1 47 2.6	21 4 42.6	
9	1	44 27.7	45 8.83	2 30 5.0	21 47 45.0	
	3	47.0	45 7.54	2 20 23.0	21 38 3.0	
	3	45 15.4	45 35.95	2 25 50.5	21 43 30.5	
	7	32 29.3	15 31 47.56	4 36 53.0	23 54 53.0	
	6	33 2.0	32 30.92	4 31 1.7	23 49 1.7	
8	5	53.0	33 32.09	4 29 12.4	23 47 12.4	
8	3	29.1	34 49.99	4 37 12.0	23 55 12.0	
	5	19.4	34 58.64	3 34 3.0	22 52 3.0	
9	3	43.2	36 3.95	3 44 22.5	23 2 22.5	
9	4	36 55.2	36 55.20	4 16 29.0	23 34 29.0	
	6	34.5	37 3.35	4 8 34.3	23 26 34.3	
	2	5.4	38 36.59	4 1 57.8	23 19 57.8	
	2	28.7	38 59.90	4 4 22.7	23 22 22.7	
	5	7.4	38 46.58	3 55 14.8	23 13 14.8	
9	4	24.0	39 24.00	3 55 33.8	23 13 33.8	
	3	6.7	40 27.72	5 23 19.9	24 41 19.9	
	5	55.3	40 34.24	5 21 25.0	24 39 25.0	
9	4	27.8	41 27.80	5 18 1.0	24 36 1.0	
	7	42 5.0	41 22.86	5 48 39.8	25 6 39.8	
	6	38.0	42 6.41	5 52 19.0	25 10 19.0	
	4	3.3	43 3.30	5 15 44.0	24 33 44.0	
	7	28.2	42 46.26	5 13 56.1	24 31 56.1	
7	3	2.2	44 23.11	4 47 7.0	24 5 7.0	

Hülfsstafel zur Reduction auf den mittlern Ort 1850 Januar 0 D = - 22°.

T.	k	k'	d	d'
^u 16 10 + 33.48	-2	+8	+20.5	-1.3
20 + 33.46	-1	+8	+19.2	-1.4
30 + 33.45	-1	+8	+17.8	-1.4
40 + 33.44	-1	+9	+16.4	-1.4
50 + 33.43		+9	+15.0	

25 Fad. 3. 45.7
41 „ 4. 34.5
43. Zeit unsicher beobachtet.
50 Fad. 4. 37.8
51 „ 4. 29.7

Die Luft war unruhig, und zuletzt so sehr, dass die Zone geschlossen werden musste.

ZONE 387. 1851 Juni 8. Ost.

^u NC. 14 53' - 1' 27.26
17 3 - 1 28.53
Anf. 28 0.70 + 13.5 57.5
Ende 0.52 + 13.0 55.0
Das Min.-Therm. war 0° 3 R. tiefer gewesen.
Microsc. I - 2'' 28 u. - 3'' 54
Decl. = - (Microsc. I + 19° 18' 0'')
16^u r + i + 39''.163 Δr + 0''.004 Δi + 0''.023
- 24°.

^u					
15 30 + 33.76	-4	+9	+17.7	-1.1	+22.5
40 + 33.72	-4	+9	+16.6	-1.1	+22.5
50 + 32.68		+9	+15.5		+22.5

2 Fad. 7. 12.8 Fäden 30''.75 und 31''.09
9 „ 3. 15.8
10 „ 3. 39.1

Nr.	Gr.	Fad.	Beob. Zeit.	T.	Microsc. I	Südl. Declin.
21	6.7	5	48.0	15 44' 27.13	4 13' 57.3	23 31' 57.3
22	8.9	3	11.0	45 31.79	4 2 45.2	23 20 45.2
23	8	4	51.0	45 51.00	3 37 42.9	22 55 42.9
24	8.9	2	10.2	46 41.33	3 44 23.9	23 2 23.9
25	7.8	2	50.0	47 21.04	3 27 1.3	22 45 1.3
26	8	7	21.6	46 40.00	4 9 16.1	23 27 16.1
27	8.9	7	48 23.3	47 41.26	5 30 49.0	24 48 49.0
28	7	5	49 23.0	49 1.99	5 5 47.9	24 23 47.9
29	8.9	4	56.0	49 56.00	5 23 5.9	24 41 5.9
30	8	5	22.7	50 1.78	4 27 58.6	23 45 58.6
31	7	2	5.3	51 36.60	4 32 33.7	23 50 33.7
32	9	1	21.5	52 3.26	4 33 50.0	23 51 50.0
33	8.9	3	51 47.9	52 8.78	4 36 7.3	23 54 7.3
34	9	2	39.0	53 10.33	4 31 46.4	23 49 46.4
35	8	3	53 5.0	53 25.86	4 27 21.5	23 45 21.5
36	9	7	46.0	53 4.47	3 57 45.8	23 15 45.8
37	9	2	17.5	54 48.68	4 2 10.3	23 20 10.3
38	8.9	2	55.0	55 26.15	3 55 10.6	23 13 10.6
39	7.8	1	7.6	55 49.15	3 57 34.9	23 15 34.9
40	8.9	5	59.5	55 38.62	4 19 52.2	23 37 52.2
41	7.8	5	24.5	56 3.58	4 30 41.1	23 48 41.1
42	6.7	5	57.4	56 36.58	3 53 59.0	23 11 59.0
43	8.9	4	21.6	57 21.60	3 56 32.9	23 14 32.9
44	8	4	58.5	57 58.50	4 14 48.0	23 32 48.0
45	7	4	18.6	58 18.60	4 45 30.0	24 3 30.0
46	8.9	5	0.2	58 39.34	4 8 59.4	23 26 59.4
47	8	6	12.4	58 41.26	4 5 36.0	23 23 36.0
48	6	5	33.9	59 13.07	3 59 13.0	23 17 13.0
49	8	5	15.6	59 54.85	3 29 4.7	22 47 4.7
50	7.8	4	56.5	16 0 56.50	3 24 54.5	22 42 54.5
51	7	7	17 :	0 35	4 53 5.2	24 11 5.2
52	9	5	2 15.7	1 54.69	5 3 47.1	24 21 47.1
53	9	4	49.0	2 49.00	5 24 33.2	24 42 33.2
54	7	1	29.3	4 11.08	4 44 12.1	24 2 12.1
55	8	4	14.5	4 14.50	4 34 15.4	23 52 15.4
56	8.9	4	30.6	4 30.60	4 28 56.0	23 46 56.0
57	8	7	11.1	4 29.53	4 5 32.0	23 23 32.0
58	9	4	37.2	5 37.20	4 4 49.9	23 22 49.9
59	9	3	7.7	6 28.40	3 29 6.0	22 47 6.0
60	8	4	48.5	6 48.50	3 29 13.9	22 47 13.9
61	9	5	9.0	6 48.25	3 27 21.7	22 45 21.7
62	8.9	4	23.3	7 23.30	3 26 20.0	22 44 20.0
63	8.9	4	55.9	7 55.90	3 40 17.0	22 58 17.0
64	9	2	17.2	8 48.28	3 37 2.9	22 55 2.9
65	7	3	36.5	8 57.23	3 36 26.7	22 54 26.7
66	9	5	9 7.2	8 46.45	3 28 34.6	22 46 34.6
67	8	1	9 48.2	10 30.00	4 42 1.1	24 0 1.1
68	9	6	30.2	9 58.74	5 10 16.6	24 28 16.6
69	8.9	6	15.0	10 43.52	5 26 53.1	24 44 53.1
70	9	6	41.7	11 10.15	5 43 40.3	25 1 40.3
71	4	6	2.9	11 31.31	5 55 34.7	25 13 34.7
72	9	7	1.3	12 19.33	5 19 32.9	24 37 32.9
73	8.9	7	42.6	13 0.82	4 43 33.2	24 1 33.2
74	8.9	3	19.9	14 40.67	3 51 1.4	23 9 1.4
75	8	4	54.9	14 54.90	3 0 35.5	22 18 35.5

Hilfstafel zur Reduction auf den mittlern Ort 1850 Januar 0 D = -24°.

T.	k	k'	d	d'
15 40' +33.72	-4	+9	+16.6	-1.1 +22.5
50' +33.68	-3	+9	+15.5	-1.2 +22.5
16 0' +33.65	-3	+9	+14.3	-1.2 +22.6
10' +33.62	-2	+9	+13.1	-1.2 +22.6
20' +33.60		+9	+11.9	+22.6

24 Fad. 3. 20.6

30 " 6. 33.0

34 " 3. 49.5

39 " 2. 18.0

54 " 2. 39.7

56. Minute des Microscops vielleicht 26 und dann die Decl. 23° 44' 56".0.

59 Fad. 4. 28.4

68 " 7. 40.6

71 " 7. 13.5 dupl. III. Cl. seq.; praec. 9°.

74. 76. derselbe; die AR. von N°. 74 halte ich für sicherer.

Gr.	Fad.	Beob. Zeit.	T.	Microsc. I	Südl. Declin.
9	7	21.7	16 14' 40.21	3 51' 1.0	23 9' 1.0
7	4	51.5	15 51.50	3 48 55.5	23 6 55.5
—	4	2.2	16 2.16	3 48 10.4	23 6 10.4
3	5	23.0	16 2.20	3 45 40.0	23 3 40.0
9	5	18 13.8	17 52.72	5 30 19.6	24 48 19.6
8	5	8.3	18 47.29	5 6 31.3	24 24 31.3
8	5	43.4	19 22.42	4 53 37.1	24 11 37.1
3	5	36.4	20 15.39	5 20 35.3	24 38 35.3
3	7	1.5	20 19.46	5 30 39.0	24 48 39.0
3	7	14.6	20 32.57	5 38 45.8	24 46 45.8
9	4	22 2.8	22 2.80	4 47 35.0	24 5 35.0
9	3	23 3.2	23 24.23	5 30 14.1	24 48 14.1
3	5	24 35.2	24 14.25	4 40 13.9	23 58 13.9
8	7	14.5	24 32.50	5 22 43.6	24 40 43.6
9	2	43.3	26 14.75	5 32 58.2	24 50 58.2
9	5	31.8	26 10.68	5 45 49.0	25 3 49.0
9	5	28 58.8	28 38.02	3 39 38.0	22 57 38.0
3	7	38.0	28 56.29	4 31 37.0	23 49 37.0
9	5	20.8	29 59.73	5 24 18.0	24 42 18.0
9	5	59.1	30 37.99	5 40 9.9	24 58 9.9
7	2	26.1	31 57.51	4 42 25.4	24 10 25.4
9	4	48.0	31 47.97	4 38 27.5	24 6 27.5
9	7	33 10.6	32 28.66	5 13 33.9	24 31 33.9
9	4	33 49.7	33 49.70	5 27 12.2	24 45 12.2
9	7	34 46.5	34 4.42	5 27 46.5	24 55 46.5
9	7	55.0	34 12.90	5 41 44.6	24 59 44.6
9	7	44.7	35 2.62	5 37 36.0	24 55 36.0
9	6	12.3	35 40.85	5 46 50.3	25 4 50.3
7	3	46.0	37 7.10	5 56 48.9	25 14 48.9
9	5	25.5	37 4.45	5 17 21.7	24 35 21.7
9	4	41.2	37 41.20	5 7 46.4	24 25 46.4
7	4	33.5	38 33.50	4 57 16.9	24 15 16.9
8	7	49 :	38 7	4 24 10.4	23 42 10.4
9	1	39 51.2	40 32.89	4 20 55.3	23 38 55.3
9	2	28.3	40 59.58	4 27 55.0	23 45 55.0
3	7	4.5	40 23.00	3 53 14.9	23 11 14.9
7	5	0.1	41 39.06	5 16 17.3	24 34 17.3
3	2	52.9	43 24.50	5 42 36.2	25 0 36.2
9	4	10.4	43 10.40	5 47 11.7	25 5 11.7
8	3	53.2	44 14.24	5 30 52.0	24 48 52.0
9	4	23.5	44 23.50	5 34 0.0	24 52 0.0
9	4	55.6	44 55.60	5 40 36.0	24 58 36.0
3	5	45 37.3	45 16.31	4 57 34.0	24 15 34.0
3	1	30.4	47 11.86	3 36 45.1	22 54 45.1
9	3	47 32.4	47 53.34	4 59 44.8	24 17 44.8
9	6	30 30.1	15 29 57.97	7 50 20.9	27 9 30.9
3	6	32 20.9	31 48.28	9 29 25.0	28 48 35.0
9	7	32 37.0	31 53.50	9 22 38.1	28 41 48.1
9	3	33 33.0	33 54.64	8 46 12.6	28 5 22.6
9	6	35 2.9	34 30.50	8 44 19.7	28 3 29.7
3	7	37 15.2	36 32.15	8 16 24.0	27 35 34.0
9	5	38 3.5	37 42.10	7 18 30.9	26 37 40.9
9	5	39 26.9	39 5.02	9 41 36.5	29 0 46.5
9	3	42 32.6	42 53.96	7 20 14.5	26 39 24.5
9	3	42 42.1	43 3.46	7 19 36.7	26 38 46.7

Hülftafel zur Reduction auf den mittlern Ort 1850 Januar 0 D = - 24°.

T.	k	k'	d	d'
16 10' +33.62	-2	+9	+13.1	-1.2 +22.6
20 +33.60	-2	+9	+11.9	-1.2 +22.6
30 +33.58	-1	+9	+10.7	-1.2 +22.7
40 +33.57	-1	+10	+9.5	-1.2 +22.7
50 +33.56		+10	+8.3	+22.7

78 Fad. 6. 33.2 dupl. 6.7^m. u. 6.7^m. in demselben Declinationskreise und 5'' Abstand, die Mitte beobachtet.

83 Fad. 6. 46.9

85. Die Minute des Microscops muss 28' sein nach LC. N°. 6858, LL. N°. 29967 Z. 210 N°. 61, Z. 212 N°. 47 und Z. 304 N°. 57. Danach ist die Decl. angesetzt.

90 Fad. 3. 53.6

96 „ 3. 36.6 Die Minute des Microscops muss 52 sein nach LC. N°. 6940, LL. N°. 30304 und Z. 210 N°. 69. Damit ist die Decl. und T berechnet.

97 Fad. 5. 8.9 Minute des Microscops 48' nach LL. 30300 und Z. 210 N°. 68. Damit ist die Decl. und T berechnet.

103 Fad. 7. 23.1

Ziemlich gute Luft. Zuletzt Wolken.

ZONE 388. 1851 Juni 20. Ost.

D = - 28°.

T.	k	k'	d	d'
15 30' +33.38	-6	+9	+17.1	-1.2 +38.9
40 +33.32	-5	+10	+15.9	-1.3 +39.0
50 +33.27		+10	+14.6	+39.0

5. Zeitminute vielleicht 36'.

Nº.	Gr.	Fad.	Beob. Zeit.	T.	Microsc. I	Südl. Declin.
11	9	4	44 44.8	15 44' 44.80	7 48' 3.3	27 7' 13.3
12	9	4	19.4	45 19.40	8 8 31.6	27 27 41.6
13	9	3	42.8	46 4.33	8 11 38.9	27 30 48.9
14	9	3	19.3	46 40.85	8 17 41.7	27 36 51.7
15	9	3	58.8	47 20.49	8 55 15.5	28 14 25.5
16	6	7	48.4	47 4.87	9 27 0.6	28 46 10.6
17	9	5	49 10.0	48 48.36	8 32 56.7	27 52 6.7
18	9	5	7.3	49 45.52	9 14 5.9	28 33 15.9
19	9	4	51 18.4	51 18.40	8 14 11.8	27 33 21.8
20	9	6	57.2	51 24.85	8 35 18.6	27 54 28.6
21	9	5	26.8	52 5.14	8 37 54.9	27 57 4.9
22	9	4	7.5	53 7.50	8 43 57.9	28 3 7.9
23	9	4	54.0	53 54.06	8 39 38.9	27 58 48.9
24	8.9	5	55 3.0	54 41.30	9 11 35.6	28 30 45.6
25	8.9	6	56 19.5	55 47.55	7 14 7.8	26 33 17.8
26	8.9	2	57.9	57 29.94	7 22 50.0	26 42 0.0
27	8.9	5	34.4	57 12.86	7 59 44.1	27 18 54.1
28	8	2	49.6	58 21.87	8 0 40.5	27 19 50.5
29	8.9	4	39.3	58 39.30	9 14 39.0	28 33 49.0
30	8.9	2	59 58.8	16 0 31.50	9 33 39.0	28 52 49.0
31	6.7	1	26.7	1 10.36	9 41 30.2	29 0 40.2
32	8	4	2 5.3	2 5.30	7 50 41.3	27 9 51.3
33	6.7	4	31.0	2 31.00	8 13 5.0	27 32 15.0
34	7	6	2 59.6	2 27.21	8 42 19.8	28 1 29.8
35	8	4	4 9.3	4 9.30	8 32 51.9	27 52 1.9
36	7	1	52.0	5 34.74	7 30 39.4	26 49 49.4
37	9	4	55.5	5 55.50	9 18 26.0	28 37 36.0
38	9	5	6 44.0	6 22.15	9 32 14.1	28 51 24.1
39	7.8	2	7 55.0	8 27.32	8 21 6.4	27 40 16.4
40	8	2	45.4	9 17.70	8 35 43.9	27 54 53.9
41	6	7	10 :	8 27	8 55 5.6	28 14 15.6
42	9	4	10 23.6	10 23.60	9 1 46.5	28 20 56.5
43	9	5	12.2	10 51.45	9 3 28.1	28 22 38.1
44	9	4	47.3	11 47.30	8 15 13.1	27 34 23.1
45	8.9	4	13 15.4	13 15.40	8 12 26.7	27 31 36.7
46	8	2	14 12.0	14 44.08	7 29 12.2	26 48 22.2
47	8.9	3	1.4	15 22.89	8 0 6.6	27 19 16.6
48	9	4	27.9	15 27.90	8 3 25.2	27 22 35.2
49	9	4	0.5	16 0.50	8 9 19.0	27 28 29.0
50	8.9	3	19.3	16 40.80	8 1 39.1	27 20 49.1
51	9.0	6	17 35.4	17 2.79	9 26 8.7	28 45 18.7
52	8	5	56.0	17 34.13	9 37 12.5	28 56 22.5
53	8	1	20 1.2	20 44.93	9 49 22.8	29 8 32.8
54	8.9	4	22 28.5	22 28.54	9 23 34.0	28 42 44.0
55	8	5	43.0	23 21.37	8 28 26.0	27 47 36.0
56	8	3	24 36.1	24 57.49	7 28 48.0	26 47 58.0
57	9.0	7	30.0	24 47.02	8 6 3.7	27 25 13.7
58	3	4	26 0.0	25 59.96	8 34 57.0	27 54 7.0
59	8	1	28 5.0	28 47.79	7 22 21.2	26 41 31.2
60	8.9	3	29 20.1	29 41.53	7 40 12.1	26 59 22.1
61	8.9	7	55.3	29 12.22	8 21 40.3	27 40 50.3
62	9	5	30 41.2	30 19.69	8 22 38.8	27 41 48.8
63	7	3	31 23.3	31 44.83	8 11 50.9	27 31 0.9
64	9	7	23.0	31 39.67	8 58 11.7	28 17 21.7
65	8	3	10.1	33 31.73	8 42 8.5	28 1 18.5

*Hülftafel zur Reduction auf den mittl.
Ort 1850 Januar 0 D = -28°.*

T.	k	k'	d
15 40+33.32	-5	+ 9	+15.9
50+33.27	-5	+10	+14.6
16 0+33.22	-4	+10	+13.2
10+33.18	-4	+10	+11.9
20+33.14	-4	+10	+10.5
30+33.10	-3	+10	+ 9.1
40+33.07		+10	+ 7.7

NC. 15 19' - 1' 23.92
18 4 - 1 26.42

Anf. 28 1.91 + 14.0 59.3

16 42 57.4

Ende 28 1.78 + 13.0 56.3

Microsc. I - 2".67 u. - 3".48

Decl. = - (Microsc. I + 19° 19' 10")

16" r+i +38".954 Δr-0".007 Δi+0'

15 Fad. 4. 20.5

17 " 6. 20.7

23 " 6. 26.5

24 " 6. 13.9

28 " 3. 0.4

36 " 2. 2.6

40 " 3. 56.0

46 " 3. 22.7

54 " 5. 50.4

58 " 5. 21.5, Fad. 6. 32.3, Fad. 7.

59 " 2. 15.8

62 " 6. 52.0

64 Zeit unsicher beobachtet.

Fad.	Beob. Zeit.	T.	Microsc. I	Südl. Declin.
4	0.5	16 34' 0.50	9° 3' 25.4	28° 22' 35.4
2	34 32.2	35 4.63	8 54 20.9	28 13 30.9
6	35 30.9	34 58.77	7 51 27.5	27 10 37.5
1	1.5	36 44.46	7 53 22.9	27 12 32.9
6	3.0	36 30.83	7 43 11.4	27 2 21.4
5	38 23.3	38 1.60	8 47 13.0	28 6 23.0
7	19.2	38 35.92	8 49 53.2	28 9 3.2
7	40 39.5	39 56.79	7 23 19.0	26 42 29.0
4	43 4.9	43 4.90	8 40 14.6	27 59 24.6
5	37.4	43 15.69	8 52 17.7	28 11 27.7
4	33.1	44 33.10	8 59 22.4	28 18 32.4
6	45 35.0	45 2.29	9 43 46.9	29 2 56.9
5	53.8	45 31.91	9 42 9.9	29 1 19.9
6	52.3	46 20.00	8 32 8.1	27 51 18.1
3	38.8	48 0.30	8 3 19.8	27 22 29.8
4	38.8	48 38.80	7 33 41.0	26 52 51.0
5	10.0	48 48.57	7 28 4.3	26 47 14.3
5	53.2	49 31.73	7 37 53.5	26 57 3.5
4	50 37.5	50 37.50	7 29 40.9	26 48 50.9
4	26.0	51 26.00	7 42 34.6	27 1 44.6
5	56.2	51 34.71	7 43 58.0	27 3 8.0
6	24.5	51 52.38	7 24 49.9	26 43 59.9
3	0.4	53 21.78	7 25 6.9	26 44 16.9
5	33.3	53 11.85	7 33 51.3	26 53 1.3
4	8.7	54 8.70	7 40 58.0	27 0 8.0
7	55 11.3	54 27.94	9 2 2.0	28 21 12.0
4	56.2	55 56.20	9 20 14.7	28 39 24.7
4	27.8	56 27.80	9 27 30.0	28 46 40.0
7	59.0	56 16.28	7 25 19.3	26 44 29.3
7	49.8	57 7.02	7 34 14.9	26 53 24.9
7	58 23.5	57 40.47	8 12 33.0	27 31 43.0
7	58 27.0	57 43.97	8 11 52.0	27 31 2.0
7	59 34.7	58 51.71	8 7 25.5	27 26 35.5
7	54.0	59 11.10	7 53 1.2	27 12 11.2
5	0 34.7	17 0 13.11	8 15 31.6	27 34 41.6
4	1 53.3	1 53.30	9 57 7.1	29 16 17.1
5	50.4	2 28.78	8 15 17.2	27 34 27.2
1	22.0	4 5.10	8 17 47.2	27 36 57.2
4	4 36.5	4 36.50	8 54 28.6	28 13 38.6
4	24.6	5 24.60	8 28 21.2	27 47 31.2
2	2.4	6 34.64	8 4 16.0	27 23 26.0
5	6 56.0	6 34.45	8 4 15.5	27 23 25.5
4	30.7	7 30.70	8 16 44.7	27 35 54.7
4	56.5	7 56.50	8 17 2.5	27 36 12.5
5	9 48.1	9 26.20	9 48 10.3	29 7 20.3
3	10 1.6	10 23.49	9 52 31.1	29 11 41.1
5	50.4	10 28.50	9 47 50.9	29 7 0.9
7	14.0	10 30.27	9 54 39.8	29 13 49.8
7	52.6	11 9.68	7 56 45.4	27 15 55.4
4	49.1	12 49.10	8 12 27.9	27 31 37.9
7	13.0	12 29.86	8 29 8.2	27 48 18.2
6	13 54.9	13 22.52	8 40 22.7	27 59 32.7
5	43.3	14 21.53	9 11 1.9	28 30 11.9
1	25.9	16 8.94	8 8 30.1	27 27 40.1
5	10.5	15 49.05	7 32 17.9	26 51 27.9

*Hülftafel zur Reduction auf den mittlern
Ort 1850 Januar 0 D = - 28°.*

T.	k	k'	d	d'
16 30' + 33.10	-3	+10	+ 9.1	- 1.4
40 + 33.07	-2	+10	+ 7.7	- 1.4
50 + 33.05	-2	+10	+ 6.3	- 1.4
17 0 + 33.03	-2	+10	+ 4.9	- 1.5
10 + 33.01	-1	+10	+ 3.4	- 1.4
20 + 33.00		+10	+ 2.0	

67 Fad. 3. 42.9

69 " 2. 12.3

70 " 7. 13.6

79 " 7. 3.2

87 " 7. 35.0

94. Zeit unsicher beobachtet.

97. ebenso. Die Minute des Microscops soll wohl 10' sein, und dann die Decl. 27° 30' 2".0. Vergl. Z. 214 N°. 67.

99. Zeit unsicher beobachtet.

102 Fad. 6. 1.0

103 " 2. 32.8

106. 107. derselbe.

111 Fad. 4. 23.5

116. Zeit unsicher beobachtet.

117. röthlich.

120 Fad. 6. 21.1

119. 121. derselbe.

Nº.	Gr.	Fad.	Beob. Zeit.	T.	Microsc. I	Südl. Declin.
121	7.8	7	52.0	17 16' 9.00	8 8' 31.2	27 27' 41.2
122	9	4	40.4	17 40.40	8 43' 31.3	28 2' 41.3
123	8	6	17.6	17 45.17	8 54' 12.1	28 13' 22.1
124	8	7	7.4	18 23.80	9 36' 4.6	28 55' 14.6
125	9	6	41.4	19 8.60	9 31' 6.0	28 50' 16.0
126	8.9	4	20 38.4	20 38.40	7 45' 54.7	27 5' 4.7
127	9	4	21 56.3	21 56.30	8 46' 43.8	27 59' 53.8
128	9	7	45.7	22 2.19	9 23' 32.9	28 42' 42.9
129	9	7	23 43.0	22 59.37	9 40' 46.0	28 59' 56.0
130	8.9	3	24 30.9	24 52.26	7 19' 9.0	26 38' 19.0
131	8.9	5	31.9	25 10.21	8 46' 31.8	28 5' 41.8
132	9	5	57.0	26 35.15	9 33' 59.5	28 53' 9.5
133	9	4	40.3	27 40.30	9 13' 28.7	28 32' 38.7
134	8	6	28 15.3	27 42.82	9 1' 1.6	28 20' 11.6
135	7.8	4	59.7	28 59.70	8 59' 38.0	28 18' 48.0
136	8.9	5	34.4	29 12.86	8 2' 1.2	27 21' 11.2
137	7	7	53.6	29 10.84	7 31' 44.0	26 50' 54.0
138	8	4	30 55.4	30 55.40	7 59' 35.5	27 18' 45.5
1	9	3	58 56.6	15 59' 8.66	10 31' 27.1	29 51' 37.1
2	8.9	6	3.0	59 29.71	11 18' 33.0	30 38' 43.0
3	6.7	4	11.2	16 1' 11.21	9 41' 28.0	29 1' 38.0
4	9	5	3 6.5	2 44.46	10 25' 43.8	29 45' 53.8
5	8	3	33.8	3 55.81	10 29' 27.5	29 49' 37.5
6	7.8	5	9.5	3 47.69	9 20' 41.3	28 40' 51.3
7	8.9	3	5 43.5	6 5.60	10 54' 18.8	30 14' 28.8
8	8	3	36.0	6 58.06	10 2' 17.6	29 22' 27.6
9	9	7	8 32.5	7 48.69	10 5' 28.7	29 25' 38.7
10	6	5	9 54.0	9 31.79	11 11' 59.0	30 32' 9.0
11	8.9	6	11 12.0	10 39.19	9 49' 17.0	29 9' 27.0
12	9	7	2.2	11 18.26	10 24' 22.1	29 44' 32.1
13	8.9	3	13 31.5	13 53.51	10 29' 39.6	29 49' 49.6
14	9	4	9.3	14 9.30	10 28' 19.0	29 48' 29.0
15	7	7	15 26.9	14 43.12	10 1' 18.9	29 21' 28.9
16	8.9	7	27.8	15 44.15	9 43' 29.1	29 3' 39.1
17	8	2	2.3	17 35.12	9 37' 13.2	28 57' 23.2
18	9	5	44.5	17 22.59	9 47' 32.2	29 7' 42.2
19	9	7	11 :	17 27	9 42' 1.1	29 2' 11.1
20	8	4	20 46.0	20 46.00	9 49' 26.0	29 9' 36.0
21	9	6	45.3	21 12.40	10 20' 5.4	29 40' 15.4
22	8.9	5	6.2	21 44.20	10 13' 44.9	29 33' 54.9
23	8.9	7	23 13.1	22 29.59	9 23' 32.6	28 43' 42.6
24	9	5	24 32.6	24 10.61	10 10' 48.8	29 30' 58.8
25	8.9	4	27.4	25 27.40	9 53' 11.8	29 13' 21.8
26	8.9	3	28 56.3	29 18.39	10 49' 57.9	30 10' 7.9
27	8	5	38.4	29 16.50	10 17' 24.0	29 37' 34.0
28	7	5	36.9	30 15.09	9 18' 57.9	28 39' 7.9
29	9	6	31 11.3	30 38.30	11 11' 35.6	30 31' 45.6
30	8.9	6	32 35.8	32 2.71	10 53' 54.1	30 14' 4.1
31	8.9	7	50 :	32 6	9 30' 7.3	28 50' 17.3
32	8.9	5	18.2	33 56.26	9 58' 19.6	29 18' 29.6
33	8	4	35 14.3	35 14.30	11 11' 6.2	30 31' 16.2
34	8.9	6	36 29.9	35 57.24	9 35' 57.3	28 56' 7.3
35	9	5	26.3	37 4.35	9 59' 15.0	29 19' 25.0
36	9	7	39 6.5	38 22.40	10 45' 25.0	30 5' 35.0
37	9	1	40 50.0	41 33.73	9 49' 19.6	29 9' 29.6

*Hülftafel zur Reduction auf den mittlere
Ort 1850 Januar 0 D = - 28°.*

T.	k	k'	d
u			
17 10' + 33.01	-1	+10	+ 3.4 -1.4 +
20 + 33.00	-1	+10	+ 2.0 -1.4 +
30 + 32.99		+10	+ 0.6

123 Fad. 7. 28.5

125 „ 7. 52.0 Fäden 8''.77 und 8''.44

Sehr ruhige, aber wohl etwas dunstige Luft

ZONE 389. 1851 Juni 27. 0

NC. 15 38' - 1' 24.47

17 53 - 1 25.73

Anf. 28 2.39 + 14.7 59.4

Ende 2.37 + 13.4 56.6

Microsc. I - 2''.00 u. - 3''.56

Declin. = - (Microsc. I + 19° 20' 10'')

17'' $\tau + i + 38''.114$ $\Delta \tau - 0''.005$ $\Delta i + 0''$

*Hülftafel zur Reduction auf den mittlere
Ort 1850 Januar 0 D = - 30°.*

T.	k	k'	d
u			
16 0' + 32.29	-5	+10	+ 17.1 -1.3 +
10 + 32.24	-5	+10	+ 15.8 -1.4 +
20 + 32.19	-4	+11	+ 14.4 -1.3 +
30 + 32.15	-4	+11	+ 13.1 -1.4 +
40 + 32.11	-3	+11	+ 11.7 -1.4 +

1 Fad. 4. 8.7 Fad. 3 ist 46''.6 angemom

2 „ 7. 14.0

3 „ 5. 33.1

8 „ 4. 58.2

9. Zeit unsicher beobachtet.

10 Fad. 6. 5.0 dupl. III. Cl. seq.; praec.

11 „ 7. 23.8 Fäden 39''.26 und 40''.11

habe nach Z. 214 N°. 14 angenommen,

7 um 1'' verschrieben ist.

15. dupl. II. Cl. austr., bor. 8 m.

17 Fad. 3. 13.4

29 „ 7. 22.8 Fäden 38''.11 und 38''.50

36. Zeit unsicher beobachtet.

Nº.	Gr.	Fad.	Beob. Zeit.	T.	Microsc. I	Südl. Declin.
38	8.9	5	40.2	16 41' 18.14	10 29' 8.1	29° 49' 18.1
39	8	5	43 24.7	43 2.65	10 50 13.2	30 10 23.2
40	7	3	8.1	44 30.22	10 59 55.5	30 20 5.5
41	9	5	1.4	44 39.14	11 23 9.9	30 43 19.9
42	9	5	46 31.0	46 8.66	11 42 54.5	31 3 4.5
43	8.9	4	48 26.9	48 26.90	9 50 28.0	29 10 38.0
44	9	3	49 56.5	50 18.55	10 40 20.0	30 0 30.0
45	8	3	37.2	50 59.13	10 6 40.7	29 26 50.7
46	9	4	9.9	51 9.90	10 7 35.9	29 27 45.9
47	—	7	51 50 :	51 6	10 33 23.0	29 53 33.0
48	9	6	53 47.8	53 15.08	9 45 34.0	29 5 44.0
49	9	6	26.2	53 53.23	10 31 49.9	29 51 59.9
50	8.9	5	24.0	55 1.94	10 28 50.3	29 49 0.3
51	7.8	4	56 24.6	56 24.60	10 36 19.1	29 56 29.1
52	9	4	58 18.5	58 18.50	9 49 41.3	29 9 51.3
53	9	5	48.1	58 26.29	9 22 38.0	28 42 48.0
54	9	5	38.1	59 16.07	10 12 4.7	29 42 14.7
55	9	5	18.6	59 56.26	11 17 53.1	30 38 3.1
56	9	4	1 54.3	17 1 54.30	9 57 8.8	29 17 18.8
57	8.9	5	5 44.0	5 21.88	10 45 5.5	30 5 15.5
58	6.7	5	7.0	5 44.88	10 41 49.1	30 1 59.1
59	8	4	47.0	6 47.00	10 50 28.2	30 10 38.2
60	7.8	4	14.3	7 14.30	10 39 27.1	29 59 37.1
61	8	4	8 17.9	8 17.90	10 22 24.6	29 42 34.6
62	9	5	43.8	8 21.75	10 27 56.6	29 48 6.6
63	9	6	22.3	8 48.97	11 35 50.5	30 56 0.5
64	7	5	10 46.6	10 24.68	9 52 32.1	29 12 42.1
65	8.9	6	1.7	10 28.97	9 47 51.5	29 8 1.5
66	8.9	4	12 16.9	12 16.90	10 42 42.0	30 2 52.0
67	7.8	7	12 44 :	12 0	11 0 33.0	30 20 43.0
68	9	4	14 19.0	14 19.00	11 2 34.0	30 22 44.0
69	8.9	6	46.9	14 13.92	10 23 26.7	29 43 36.7
70	7	4	24.6	15 24.60	10 11 49.0	29 31 59.0
71	9	6	9.0	15 36.07	10 4 39.1	29 24 49.1
72	8	3	53.6	17 15.36	9 18 33.0	28 38 43.0
73	7	4	31.8	17 31.80	10 15 26.0	29 35 36.0
74	5	6	47.5	17 14.72	10 23 35.1	29 43 45.1
75	9	5	19 7.8	18 45.82	10 7 54.0	29 28 4.0
76	8.9	2	54.3	21 27.40	10 47 15.3	30 7 25.3
77	9	4	27.5	21 27.50	10 50 6.0	30 10 16.0
78	9	5	9.9	21 47.74	10 56 35.0	30 16 45.0
79	9	6	41.4	22 8.28	11 0 13.9	30 20 23.9
80	8	5	23 13.5	22 51.35	10 55 22.1	30 15 32.1
81	7.8	4	52.4	23 52.40	10 57 35.2	30 17 45.2
82	9	5	25 25.5	25 3.38	10 45 22.9	30 5 32.9
83	9	5	29 1.6	28 39.49	10 41 57.0	30 2 7.0
84	7.8	4	19.2	29 19.20	10 31 58.0	29 52 8.0
85	7	7	58.7	29 14.88	10 6 27.6	29 16 37.6
86	9	4	46.5	30 46.50	10 10 52.2	29 31 2.2
87	8	1	31 37.7	32 21.49	10 1 36.0	29 21 46.0
88	9	3	39.9	33 1.91	10 31 28.9	29 51 38.9
89	8.9	5	33 43.2	33 21.08	10 45 44.1	30 5 54.1
1	8	7	29 7.8	16 28 28.00	7 15 41.2	16 32 31.2
2	8	1	0.0	30 39.79	7 11 55.7	16 18 45.7
3	9	3	31 12.1	31 32.07	7 44 4.5	17 0 54.5

Hälftafel zur Reduction auf den mittlern Ort 1850 Januar 0 D = - 30°.

T.	k	k'	d	d'
16 40' + 32.11	-3	+11	+11.7	-1.4
50 + 32.08	-3	+11	+10.3	-1.4
17 0 + 32.05	-2	+11	+ 8.9	-1.4
10 + 32.03	-2	+11	+ 7.5	-1.5
20 + 32.01	-2	+11	+ 6.0	-1.4
30 + 31.99	-1	+11	+ 4.6	-1.4
40 + 31.98		+11	+ 3.2	+55.9

39 Fad. 6. 35.8

47. Nebula.

48. Zeit - 10''?

54. Nach dem Zeugniß von Z. 215 Nº. 53 und einer Beob. 1851 Juli 3. muss die Minute des Microscops 22' sein; damit sind T und die Decl. berechnet.

55 Fad. 7. 40.5

56. Zeit unsicher beobachtet.

63. ebenso.

69 Fad. 7. 57.8

74 " 7. 58.8 Fäden 14''.58 und 14''.86

87 " 2. 48.6

88. Dupl. III. Cl. austr. seq.; bor. 9.0^m.

Ziemlich ruhige Luft; doch vielleicht etwas dunstig.

ZONE 390. 1851 Juni 29. Ost.

No.	Gr.	Fad.	Beob. Zeit.	T.	Microsc. I	Südl. Declin.
4	8	2	54.2	16 32' 24.08	7 21' 29.1	16 38' 19.1
5	8.9	4	41.5	32 41.50	6 47' 26.3	16 4 16.3
6	8.9	4	7.9	33 8.08	7 27' 8.4	16 43 58.4
7	8.9	3	15.2	34 34.96	5 40' 39.0	14 57' 29.0
8	9	4	51.5	34 51.50	5 44' 36.3	15 1 26.3
9	9	5	36 40.2	36 20.28	6 53' 15.2	16 10 5.2
10	8.9	7	37 34.7	36 54.88	7 20' 25.5	16 37' 15.5
11	9	7	5.8	37 25.98	7 19' 57.6	16 36' 47.6
12	7	4	54.0	38 54.00	6 24' 32.7	15 41' 22.7
13	7	5	41.0	39 21.09	6 46' 24.0	16 3 14.0
14	8.9	3	59.0	40 18.88	6 52' 20.1	16 9 10.1
15	8	5	32.4	40 12.44	7 13' 27.8	16 30 17.8
16	9	3	11.5	41 31.46	7 38' 13.3	16 55 3.3
17	7	5	6.0	41 46.07	7 0 15.1	16 17 5.1
18	9	4	43 7.8	43 7.80	6 20' 48.0	15 37' 38.0
19	9	6	44 14.0	43 44.34	6 10' 16.0	15 27 6.0
20	6.7	4	46 50.1	46 50.10	7 16' 54.8	16 33' 44.8
21	8	5	52.5	47 32.63	6 25' 14.4	15 42 4.4
22	8.9	2	49 37.1	50 6.99	7 23' 16.3	16 40 6.3
23	6.7	7	16.9	49 37.47	5 21' 20.0	14 38' 10.0
24	8.9	5	17.5	50 57.55	7 8 2.1	16 24 52.1
25	9	5	59.2	51 39.35	6 10' 16.6	15 27 6.6
26	9	6	53 34.2	53 4.44	6 52' 49.9	16 9 39.9
27	9	7	55.1	53 15.42	6 39 0.3	15 55 50.3
28	8.9	3	36.5	54 56.36	6 41' 50.2	15 58 40.2
29	8.9	7	56 37.0	55 57.49	5 46' 32.0	15 3 22.0
30	9	7	57 54.5	57 14.96	5 57' 13.4	15 14 3.4
31	7	6	0 19.0	59 49.15	7 25' 12.9	16 42 2.9
32	8.9	6	10.0	17 0 40.24	6 50' 10.4	16 7 0.4
33	8	6	1 32.3	1 2.63	6 41' 31.9	15 58 21.9
34	7	7	2 30.3	1 50.52	7 9 34.9	16 26 24.9
35	7.8	7	58.9	2 19.15	7 1 16.0	16 18 6.0
36	8	4	47.8	3 47.80	7 2 33.5	16 19 23.5
37	6.7	5	49.0	4 29.15	6 5 50.4	15 22 40.4
38	7.8	4	9.6	5 9.60	6 9 0.8	15 25 50.8
39	9	7	29.0	4 49.42	6 8 12.0	15 25 2.0
40	8.9	7	3.3	5 23.65	6 29' 46.5	15 46 36.5
41	8.9	7	13.7	5 34.06	6 27' 20.2	15 44 10.2
42	7.8	5	10.0	6 50.09	6 44' 23.6	16 1 13.6
43	9	5	28.5	7 8.59	6 38' 35.1	15 55 25.1
44	9	6	5.9	7 36.15	6 45' 56.0	16 2 46.0
45	6	2	38.9	9 8.59	6 51' 58.2	16 8 48.2
46	9	4	16.3	9 16.30	6 25' 29.5	15 42 19.5
47	7.8	4	29.6	9 29.55	6 35 3.9	15 51 53.9
48	9	5	23.7	10 3.82	6 28 5.2	15 44 55.2
49	8.9	5	11 2.2	10 42.28	6 49' 7.9	16 5 57.9
50	9	5	41.1	11 21.12	7 28' 16.5	16 45 6.5
51	9	4	13.5	12 13.50	7 34 0.7	16 50 50.7
52	7	4	47.6	12 47.60	7 47' 4.7	17 3 54.7
53	7	4	8.0	13 8.00	7 54' 22.1	17 11 12.1
54	9	5	35.3	13 15.27	7 54' 39.6	17 11 29.6
55	6.7	3	6.2	14 26.06	6 36' 35.9	15 53 25.9
56	9	3	54.6	15 14.47	6 28' 35.6	15 40 25.6
57	9	6	58.6	15 28.87	6 40 9.9	15 56 59.9
58	8.9	7	16 17.2	15 37.50	6 43' 59.5	16 0 49.5

Hilfstafel zur Reduction auf den mittlere Ort 1850 Januar 0 D = -16°.

T.	k	k'	d
16 30+32.69	-3	+7	+10.1 -1.1 +
40+32.66	-3	+8	+ 9.0 -1.2 +
50+32.63	-3	+8	+ 7.8 -1.1 +
17 0+32.60	-2	+8	+ 6.7 -1.2 +
10+32.58	-2	+8	+ 5.5 -1.1 +
20+32.56		+8	+ 4.4

NC. 16 5' - 1 21.15
 18 41 - 1 22.86
 Anf. 28 2.12 + 15.0 61.6
 Ende 2.13 + 14.1 57.9
 Microsc. I - 1".23 u. - 1".97
 Decl. = - (Microsc. I + 9° 16' 50")
 17" r+i + 38".056 Δr - 0".004 Δi + 0"

6 Fad. 6. 38.1 giebt 8".25
 29. Zeit unsicher beobachtet.
 33 Fad. 7. 42.4
 43 " 6. 38.3
 45 " 3. 48.6
 47 " 5. 49.4
 56 " 4. 14.5

Gr.	Fad.	Beob. Zeit.	T.	Microsc. I	Südl. Declin.
8.9	4	12.7	17 17 12.70	6° 44' 47.3	16° 1' 37.3
8.9	3	33.5	17 53.36	6 40 43.0	15 57 33.0
7	4	0.6	18 0.60	6 26 18.6	15 43 8.6
9	2	25.5	19 55.27	6 36 39.0	15 53 29.0
8.9	3	33.3	19 52.80	6 38 6.0	15 54 56.0
7	3	59.5	20 19.36	6 37 41.1	15 54 31.1
8.9	4	43.0	20 43.00	6 36 39.0	15 53 29.0
8.9	5	21 8.0	20 48.12	6 30 28.0	15 47 18.0
9	4	21 39.1	21 39.10	6 35 10.2	15 52 0.2
9	6	16.4	21 46.65	6 45 50.3	16 2 40.3
8	2	40.3	23 10.08	6 41 50.1	15 58 40.1
9	3	14.5	23 34.35	6 32 24.5	15 49 14.5
8	4	43.0	23 43.00	5 23 56.6	14 40 46.6
9	7	23.3	23 43.85	5 27 14.8	14 44 4.8
9	2	4.6	25 34.39	7 14 7.5	16 30 57.5
9	4	26 40.1	26 40.10	5 50 0.0	15 6 50.0
8.9	4	13.2	27 13.20	6 6 13.4	15 23 3.4
3	3	7.9	28 27.70	6 1 12.2	15 18 2.2
7	4	27.2	28 27.20	6 11 40.6	15 28 30.6
8	6	30 47.0	30 17.47	5 17 48.9	14 34 38.9
9	5	32 20.3	32 0.27	7 52 57.6	17 9 47.6
9	5	12.7	32 52.69	7 41 18.0	16 58 8.0
9	7	34 :	32 54	7 8 21.9	16 25 11.9
9	5	38.5	34 18.52	7 27 25.8	16 44 15.8
7	4	6.0	35 6.06	7 30 30.5	16 47 20.5
8	4	46.0	35 46.00	7 24 39.2	16 41 29.2
9	7	4.7	35 24.86	7 25 20.0	16 42 10.0
8	3	38.3	36 58.22	7 14 33.0	16 31 23.0
8	3	5.7	37 25.58	6 39 28.0	15 56 18.0
8.9	4	59.3	37 59.30	6 10 16.4	15 27 6.4
8.9	1	39 9.9	39 49.59	6 54 42.9	16 11 32.9
9	3	11.6	40 31.47	6 49 43.0	16 6 33.0
8.9	4	41 13.8	41 13.80	6 38 22.0	15 55 12.0
8	5	51.0	41 31.08	6 49 22.4	16 6 12.4
8.9	2	22.4	42 52.32	7 27 26.3	16 44 16.3
8	3	48.7	43 8.63	7 19 32.9	16 36 22.9
8	7	37.0	42 57.50	5 42 8.6	14 58 58.6
8	5	21.0	44 0.94	8 9 34.1	17 26 24.1
8	5	2.8	44 42.74	8 5 26.4	17 22 16.4
9	4	53.5	45 53.50	7 0 6.0	16 16 56.0
6	4	47 9.0	47 9.00	6 29 57.5	15 46 47.5
7	4	38.6	47 38.60	6 22 32.5	15 39 22.5
9	5	15.2	47 55.33	6 22 39.0	15 39 29.0
9	6	37.2	48 7.53	6 14 40.0	15 31 30.0
9	5	59.4	48 39.54	6 12 22.0	15 29 12.0
8.9	4	27.7	49 27.70	6 18 13.6	15 35 3.6
8.9	5	17.7	49 57.87	5 55 7.9	15 11 57.9
7	5	43.4	50 23.52	5 51 12.0	15 8 2.0
8.9	4	33.6	51 33.60	5 46 16.9	15 3 6.9
7.8	5	57.5	51 37.66	5 58 49.0	15 15 39.0
8	5	28.2	52 8.36	6 4 9.9	15 20 59.9
9	4	49.8	52 49.83	6 2 49.9	15 19 39.9
9	3	53 41.8	54 1.61	6 10 23.4	15 27 13.4
8.9	4	42.0	54 42.00	7 39 5.2	16 55 55.2
8	4	22.9	55 22.90	7 44 59.5	17 1 49.5

Hülftafel zur Reduction auf den mittlern Ort 1850 Januar 0 D = - 16°.

T.	k	k'	d	d'
17 10' + 32.58	-2	+8	+ 5.5	-1.1
20 + 32.56	-2	+8	+ 4.4	-1.2
30 + 32.54	-1	+8	+ 3.2	-1.2
40 + 32.53	-1	+8	+ 2.0	-1.1
50 + 32.52	-1	+8	+ 0.9	-1.2
18 0 + 32.51		+8	- 0.3	+10.4

62. Statt Fad. 2 ist wahrscheinlich Fad. 3 zu lesen und dann T. 19' 45".35. Vgl. Z. 216 No. 68, wo nicht leicht ein Fehler sein kann.

63 Fad. 5. 12".7 Fad. 3 ist als unsicher bezeichnet und deshalb ausgeschlossen.

73 Fad. 3. 14.4

79. Nach dem übereinstimmenden Zeugniß von Z. 112 No. 3 und Beobachtungen 1851 Juli 3. und 1852 Juli 10. ist die Zeitsecunde um 4" verschoben und müsste 24".3 heißen und dann T. 17^u 32' 4".27.

83 Fad. 5. 26.1

87 " 4. 25.6

89 " 2. 19.7

93 " 3. 32.4

96 " 6. 30.9

106 " 7. 3.0

110 " 5. 9.7

No.	Gr.	Fad.	Beob. Zeit.	T.	Microsc. I	Südl. Declin.
114	8.9	5	6.1	17 55' 46.19	6° 43' 47.0	16° 0' 37.0
115	9	5	32.2	56 12.29	6 48 3.3	16 4 53.3
116	7.8	3	7.0	57 26.76	5 42 0.4	14 58 50.4
117	9	7	43.5	57 3.99	5 46 28.0	15 3 18.0
118	9	4	3.2	58 3.20	5 47 0.1	15 3 50.1
119	8.9	5	38.9	58 19.09	5 43 13.0	15 0 3.0
120	8.9	2	16.5	59 46.15	5 46 36.1	15 3 26.1
121	8	2	32.4	18 0 2.05	5 47 49.9	15 4 39.9
122	9	6	4.1	17 59 34.50	5 45 28.5	15 2 18.5
123	8.9	4	35.9	18 0 35.90	5 36 50.7	14 53 40.7
124	8	1	12.3	1 51.66	5 28 29.3	14 45 19.3
1	7.8	7	51 8.0	16 50 27.88	8 43 35.0	18 0 45.0
2	8.9	7	38.4	50 58.28	8 42 0.8	17 59 10.8
3	8.9	5	26.0	52 5.79	9 25 26.7	18 42 36.7
4	7	4	32.8	52 32.80	9 22 29.0	18 39 39.0
5	9	6	13.6	52 43.37	9 41 59.8	18 59 9.8
6	8	3	38.2	53 58.43	9 59 3.2	19 16 13.2
7	9	4	19.0	54 19.00	9 25 21.0	18 42 31.0
8	9	2	54.0	55 24.15	8 58 40.5	18 15 50.5
9	8.9	4	11.1	55 11.10	8 38 20.8	17 55 30.8
10	7.8	4	32.5	55 32.50	8 27 34.0	17 44 44.0
11	7	3	12.0	56 32.07	8 37 20.2	17 54 30.2
12	9	3	39.9	56 59.95	8 27 10.5	17 44 20.5
13	8	4	57 51.0	57 51.00	9 2 47.9	18 19 57.9
14	8.9	4	26.4	58 26.40	9 4 11.6	18 21 21.6
15	9	4	50.7	58 50.70	8 56 59.0	18 14 9.0
16	9	4	1.6	59 1.60	8 53 31.1	18 10 41.1
17	8.9	5	30.6	59 10.48	8 41 5.0	17 58 15.0
18	8.9	4	50.5	59 50.50	8 46 21.8	18 3 31.8
19	9	5	40.5	17 0 20.32	9 11 41.9	18 28 51.9
20	9	3	1.9	1 22.05	9 16 33.5	18 33 43.5
21	9	5	19.3	0 59.09	9 26 43.7	18 43 53.7
22	9	4	55.6	1 55.60	9 23 42.6	18 40 52.6
23	9	7	29.2	1 49.09	8 40 53.0	17 58 3.0
24	8.9	6	45.5	2 15.43	8 52 0.6	18 9 10.6
25	8.9	5	32.4	3 12.28	8 39 56.6	17 57 6.6
26	9	6	3 50.5	3 20.46	8 30 56.4	17 48 6.4
27	8	3	47.4	5 7.40	8 0 7.6	17 17 17.6
28	8.9	5	5 24.3	5 4.25	7 43 37.7	17 0 47.7
29	7.8	4	24.2	6 24.20	7 46 10.3	17 3 20.3
30	9	7	6.0	6 25.88	8 43 14.5	18 0 24.5
31	9	4	26.2	7 26.20	8 40 48.7	17 57 58.7
32	8.9	4	43.7	7 43.70	8 31 27.0	17 48 37.0
33	7.8	6	7 58.0	7 27.96	8 27 26.2	17 44 36.2
34	9	6	8 46.9	8 16.89	8 25 1.4	17 42 11.4
35	9	7	4.3	8 24.25	8 22 34.9	17 39 44.9
36	9	4	59.4	9 59.40	8 22 27.4	17 39 37.4
37	6	3	17.4	10 37.52	8 18 40.7	17 35 50.7
38	9.0	6	0.5	10 30.50	8 21 34.5	17 38 44.5
39	9	3	36.4	11 56.49	8 35 46.3	17 52 56.3
40	9	6	12 28.5	11 58.46	8 36 30.4	17 53 40.4
41	8.9	7	9.7	12 29.54	8 53 30.9	18 10 40.9
42	8.9	7	43.0	13 2.76	9 12 23.9	18 29 33.9
43	9	5	28.3	14 8.20	8 32 17.1	17 49 27.1
44	8.9	4	1.2	15 1.20	8 42 14.1	17 59 24.1

*Hülftafel zur Reduction auf den mittl.
Ort 1850 Januar 0 D = - 16°.*

T.	k	k'	d
17 50' + 32.52	-1	+8	+ 0.9 -1.2 +
18 0 + 32.51	0	+8	- 0.3 -1.2 +
10 + 32.51		+8	- 1.5 -1.2 +
124 Fad. 2.	22'' 0		

Die Sterne recht distinct, aber auf und ab schkend.

ZONE 391. 1851 Juni 30. 0

NC. 16 42' - 1 21.44
19 18 - 1 23.62
Anf. 28 1.89 + 14.5 58.5
17 50 59.1
Ende 28 1.98 + 13.9 55.5
Microsc. I - 1'' 41 u. - 1'' 24
Declin. = - (Microsc. I + 9° 17' 10'')
18° r + i + 37'' 913 Δr - 0'' 005 Δi + 0'

*Hülftafel zur Reduction auf den mittl.
Ort 1850 Januar 0 D = - 18°.*

T.	k	k'	d
16 50' + 32.41	-3	+8	+13.5 -1.2 +
17 0 + 32.38	-2	+8	+12.3 -1.2 +
10 + 32.36	-2	+8	+11.1 -1.1 +
20 + 32.34		+8	+10.0 -1.1 +

24 Fad. 7.	55.6
26 "	7. 0.5
28 "	7. 44.1
33 "	7. 8.0
37 "	4. 37.6
39 "	4. 56.5
44. 45. derselbe.	

Fad.	Beob. Zeit.	T.	Microsc. I	Südl. Declin.
7	41.3	17 15 1.18	8 42 15.2	17 59 25.2
5	22.9	16 2.76	8 51 20.6	18 8 30.6
6	16 56.3	16 26.07	9 52 6.1	19 9 16.1
3	56.2	18 16.30	8 55 36.4	18 12 46.4
3	18 57.0	19 17.10	8 52 55.4	18 10 5.4
2	36.7	20 6.90	9 15 8.3	18 32 18.3
3	0.4	20 20.64	10 3 36.4	19 20 46.4
7	35.2	19 54.95	9 15 6.8	18 32 16.8
7	47.2	20 6.95	9 15 8.7	18 32 18.7
7	22.1	20 42.05	8 24 12.1	17 41 22.1
6	53.6	21 23.59	8 28 26.3	17 45 36.3
6	41.4	22 11.35	8 40 36.2	17 57 46.2
7	18.3	22 38.35	7 55 25.4	17 12 35.4
4	43.2	23 43.20	8 6 0.5	17 23 10.5
4	9.0	24 9.00	7 54 28.2	17 11 38.2
4	58.3	24 58.30	7 55 41.3	17 12 51.3
6	21.5	24 51.50	7 44 48.9	17 1 58.9
7	18.3	25 38.31	8 7 44.0	17 24 54.0
3	36.5	26 56.47	8 28 25.0	17 45 35.0
3	19.0	27 39.09	8 47 59.6	18 5 9.6
5	1.6	27 41.37	9 36 14.5	18 53 24.5
4	28 22.1	28 22.12	8 26 46.9	17 43 56.9
4	29 58.5	29 58.50	9 2 5.5	18 19 15.5
3	32.3	30 52.32	8 12 56.1	17 30 6.1
6	26.7	30 56.61	8 51 31.8	18 8 41.8
5	45.6	31 25.48	8 42 48.5	17 59 58.5
5	9.5	31 49.37	8 46 45.4	18 3 55.4
7	41.3	32 1.21	8 35 27.9	17 52 37.9
6	12.3	32 42.28	8 28 48.8	17 45 58.8
4	32.9	33 32.90	8 35 14.4	17 52 24.4
7	55.6	33 15.39	9 5 22.1	18 22 32.1
7	32.5	33 52.33	8 56 20.5	18 13 30.5
2	5.5	35 35.71	9 18 1.3	18 35 11.3
7	41.4	35 1.42	8 4 51.0	17 22 1.0
6	15.8	35 45.95	7 24 36.8	16 41 46.8
3	7.7	37 27.76	8 32 26.2	17 49 36.2
1	28.5	38 8.64	8 45 42.5	18 2 52.5
4	38 22.6	38 22.60	9 35 3.9	18 52 13.9
6	17.5	38 47.40	8 56 44.9	18 13 54.9
7	39 51.8	39 11.95	7 29 12.7	16 46 22.7
3	40 54.4	41 14.58	9 34 31.2	18 51 41.2
6	42 11.6	41 41.67	7 55 28.6	17 12 38.6
4	52.7	42 52.70	7 27 23.1	16 44 33.1
4	43 5.9	43 6.00	7 38 29.4	16 55 39.4
4	0.8	44 0.80	8 9 35.9	17 26 45.9
3	22.9	44 42.90	8 5 29.6	17 22 39.6
5	48.5	44 28.46	7 57 48.3	17 14 58.3
6	26.6	44 56.46	9 8 27.2	18 25 37.2
4	46.9	45 46.72	8 58 23.3	18 15 33.3
5	39.7	46 19.56	8 53 13.0	18 10 23.0
5	18.9	46 58.76	8 53 47.6	18 10 57.6
4	59.4	47 59.40	8 53 30.1	18 10 40.1
5	23.0	48 2.88	8 44 58.0	18 2 8.0
4	57.0	48 57.00	8 51 55.0	18 9 5.0
6	49 18.9	48 48.80	8 56 59.6	18 14 9.6

Hülftafel zur Reduction auf den mittlern Ort 1850 Januar 0 D = - 18°.

T.	k	k'	d	d'	
17 10 + 32.36	-2	+8	+11.1	-1.1	+12.1
20 + 32.34	-2	+8	+10.0	-1.3	+12.1
30 + 32.32	-2	+8	+ 8.7	-1.2	+12.1
40 + 32.30	-1	+8	+ 7.5	-1.2	+12.2
50 + 32.29		+8	+ 6.3		+12.2

47 Fad. 7. 6.5
50. 53. derselbe.
61 Fad. 7. 31.3
64 " 4. 56.4
66 " 5. 42.1 Fad. 7. 2'' 3
81 " 2. 38.5
82. Minute des Microscops vielleicht 34' und dann die Decl. - 18 51 13.9.
88 Fad. 5. 26.1
93 " 5. 6.7

Nº.	Gr.	Fad.	Beob. Zeit.	T.	Microsc. I	Südl. Declin.
100	8.9	7	50' 44.5	17 50' 4.34	8 54' 10.0	18 11' 20.0
101	8.9	3	24.3	51 44.50	8 46 36.2	18 3 46.2
102	7	6	21.9	51 51.75	9 12 56.8	18 30 6.8
103	7	5	50.0	52 29.75	9 48 36.1	19 5 46.1
104	8.9	6	31.8	53 1.77	8 23 1.8	17 50 11.8
105	8.9	4	52.5	53 52.50	8 41 18.9	17 58 28.9
106	8.9	7	21.4	53 41.26	8 46 56.0	18 4 6.0
107	9	5	42.5	54 22.37	8 45 28.7	18 2 38.7
108	7	7	55 45.6	55 5.63	8 4 12.2	17 21 22.2
109	9	2	38.2	57 8.50	9 47 16.8	19 4 26.8
110	8	3	0.6	57 20.79	9 42 19.5	18 59 29.5
111	9	5	47.2	57 26.98	9 31 51.3	18 49 1.3
112	5.6	3	58 14.4	58 34.45	7 53 13.4	17 10 23.4
113	8.9	2	11.0	59 40.85	7 43 40.0	17 0 50.0
114	7	4	0 23.0	18 0 23.00	9 34 37.9	18 51 47.9
115	8.9	3	53.5	1 13.66	9 26 7.4	18 43 17.4
116	8	3	13.3	1 33.48	9 36 22.0	18 53 32.0
117	9	4	36.4	1 36.40	9 33 38.4	18 50 48.4
118	8.9	7	54.1	1 13.81	9 26 8.8	18 43 18.8
119	7	7	22.7	1 42.44	9 17 6.1	18 34 16.1
120	9	4	42.9	2 42.90	9 28 2.3	18 45 12.3
121	9	6	4.3	2 34.12	9 24 46.5	18 41 56.5
122	8.9	5	28.5	3 8.27	9 36 15.1	18 53 25.1
123	9	3	55.0	4 15.17	9 32 20.0	18 49 30.0
124	7	3	4.6	4 24.78	9 33 26.7	18 50 36.7
125	7.8	4	25.0	4 25.00	— — —	18 51 —
126	7	4	32.3	4 32.30	9 30 44.3	18 47 54.3
127	9	5	6.2	4 45.99	9 28 53.9	18 46 3.9
128	7	5	43.3	5 23.08	9 32 1.5	18 49 11.5
129	8	5	58.5	5 38.26	9 41 39.2	18 58 49.2
130	7	5	15.0	5 54.76	9 44 41.4	19 1 51.4
131	7.8	5	26.3	6 6.06	9 40 40.0	18 57 50.0
132	8	6	53.3	6 23.07	9 42 23.8	18 59 33.8
133	7.8	5	7 10.7	6 50.48	9 33 13.4	18 50 23.4
134	8	5	36.4	7 16.18	9 33 47.5	18 50 57.5
135	7.8	6	6.7	7 36.46	9 43 35.0	19 0 45.0
136	6.7	4	29.8	8 29.80	9 33 35.9	18 50 45.9
137	7	5	57.6	8 37.39	9 27 54.0	18 45 4.0
138	8.9	6	12.0	8 41.80	9 31 31.0	18 48 41.0
139	7	7	43.0	9 2.75	9 14 23.1	18 31 33.1
140	7	6	52.9	9 22.72	9 23 5.0	18 40 15.0
141	8	7	4.0	9 23.72	9 22 52.1	18 40 2.1
142	7	7	20.3	9 40.05	9 16 31.0	18 33 41.0
143	9	5	45.9	10 25.72	9 14 4.0	18 31 14.0
144	9	5	17.4	10 57.20	9 21 45.0	18 38 55.0
145	8.9	5	41.7	11 21.60	8 31 24.0	17 48 34.0
146	8.9	7	4.0	11 23.94	8 25 49.6	17 42 59.6
147	7	6	23.1	11 53.12	8 9 29.5	17 26 39.5
148	9	4	53.0	12 53.00	8 12 23.9	17 29 33.9
149	8.9	4	13 15.8	13 15.80	8 5 6.6	17 22 16.6
150	9	5	43.5	13 23.44	8 11 34.1	17 28 44.1
151	9	6	4.1	13 34.12	8 13 47.9	17 30 57.9
152	8.9	5	25.0	14 5.00	8 4 25.7	17 21 35.7
153	9	7	57.2	14 17.24	7 58 51.9	17 16 1.9
154	9	4	33.0	15 33.00	8 2 22.3	17 19 32.3

Hälfstafel zur Reduction auf den mittlere Ort 1850 Januar 0 D = - 18°.

T.	k	k'	d
17 50' + 32.29	0	+8	+ 6.3 - 1.2 +
18 0' + 32.29	0	+8	+ 5.1 - 1.3 +
10' + 32.29	0	+8	+ 3.8 - 1.2 +
20' + 32.29		+8	+ 2.6 — +

100. Zeit unsicher beobachtet.

101 Fad. 4. 44".6

112 „ 4. 34.5

113 „ 3. 20.8

115. 118. derselbe.

125. duplex. Ist fast gewiss identisch mit vorhergehenden; denn ich besinne mich grosser Bestimmtheit, dass der Doppel etwa 5' südlich von N^o. 127 war, und an dieser Stelle nur 2 Sterne 7^m. exis

147 Fad. 7. 33.1

152 „ 6. 35.0

Nr.	Gr.	Fad.	Beob. Zeit.	T.	Microsc. I	Südl. Declin.
155	8.9	7	3.4	18 15' 23.16	9° 4' 7.7	18° 21' 17.7
156	8	6	17.2	15 47.08	9 3 59.0	18 21 9.0
157	8.9	4	51.5	16 51.50	9 19 51.9	18 37 1.9
158	8	3	17.0	17 37.16	9 24 35.0	18 41 45.0
159	8	4	41.3	17 41.30	9 17 21.8	18 34 31.8
160	9	6	8.8	17 38.66	9 8 1.3	18 25 11.3
161	8.9	5	17.5	17 57.39	9 10 17.1	18 27 27.1
162	9	2	57.1	19 27.31	9 18 27.0	18 35 37.0
163	8.9	3	17.9	19 38.10	9 45 45.9	19 2 55.9
164	8.9	4	42.8	19 42.80	9 51 40.0	19 8 50.0
165	6	2	20.6	20 50.96	9 31 53.0	18 49 3.0
166	8	7	21 4.6	20 24.54	8 26 58.8	17 41 8.8
167	9	6	49.5	21 19.65	7 26 46.0	16 43 56.0
168	8.9	5	22 6.0	21 46.13	7 23 15.3	16 40 25.3
169	6	7	47.0	22 6.76	9 12 48.5	18 29 58.5
170	7	1	10.4	23 50.66	9 11 10.0	18 28 20.0
171	9	5	28.0	23 7.82	9 10 14.0	18 27 24.0
172	6.7	7	47.5	23 7.12	9 47 10.9	19 4 20.9
173	7	6	20.9	23 50.75	9 11 9.1	18 28 19.1
174	8.9	3	49.6	25 9.73	9 7 42.2	18 24 52.2
175	8	7	25.8	24 45.76	8 21 33.1	17 38 43.1
176	7	4	53.8	25 53.80	7 48 48.0	17 5 58.0
177	7	5	37.0	26 16.78	9 32 32.9	18 49 42.9
178	8	4	12.0	27 12.00	9 36 53.9	18 54 3.9
179	7.8	4	36.4	27 36.36	9 58 6.6	19 15 16.6
180	7	5	4.9	27 44.62	10 2 20.7	19 19 30.7
181	9	5	45.7	28 25.66	7 59 41.0	17 16 51.0
182	9	6	1.3	28 31.36	7 59 51.3	17 17 1.3
183	7	7	16.5	28 36.53	8 4 5.0	17 21 15.0
184	9	5	30 29.0	30 8.78	9 30 40.5	18 47 50.5
185	9	5	7.6	30 47.49	8 36 46.6	17 53 56.6
186	8.9	2	48.5	32 18.63	8 50 12.5	18 7 22.5
187	9	4	15.5	32 15.50	9 34 11.4	18 51 21.4
188	9	6	48.9	32 18.65	9 46 5.2	19 3 15.2
189	8.9	7	33 16.5	32 36.08	9 57 7.1	19 14 17.1
190	9	5	57.7	33 37.59	8 35 58.7	17 53 8.7
191	9	5	34.3	34 14.23	8 16 28.0	17 33 38.0
192	7.8	6	57.0	34 27.00	8 24 6.2	17 41 16.2
193	7	7	17 :	34 37	7 47 58.4	17 5 8.4
194	9	5	49.6	35 29.60	7 39 33.0	16 56 43.0
195	9	5	24.0	36 4.00	7 38 32.9	16 55 42.9
196	9	3	42.5	37 2.46	7 36 27.3	16 53 37.3
197	9	3	12.3	37 32.26	7 40 49.0	16 57 59.0
198	9	3	37.5	37 57.45	7 34 13.3	16 51 23.3
199	6.7	2	38 16.4	38 46.20	7 39 0.6	16 56 10.6
200	9	5	7.6	38 47.59	7 45 18.0	17 2 28.0
201	7.8	4	30.1	39 30.10	7 54 41.3	17 11 51.3
202	8	2	52.5	40 22.45	7 47 1.6	17 4 11.6
203	7	4	40 16.0	40 16.00	7 36 7.4	16 53 17.4
204	8	5	42.6	40 22.58	7 46 3.9	17 3 13.9
205	8	6	17.3	40 47.22	8 48 58.3	18 6 8.3
206	8	4	44.5	41 44.50	8 40 16.0	17 57 26.0
207	8	4	57.2	41 57.20	8 35 19.8	17 52 29.8
208	9	7	42 33.3	41 53.14	8 53 21.9	18 10 31.9
209	9	7	19.0	42 38.73	9 19 45.1	18 36 55.1

*Halftafel zur Reduction auf den mittlern
Ort 1850 Januar 0 D = - 18°.*

T.	k	k'	d	d'
18 10+32.29	0	+8	+ 3.8	-1.2
20+32.29	0	+8	+ 2.6	-1.3
30+32.29	+1	+8	+ 1.3	-1.2
40+32.30	+1	+8	+ 0.1	-1.3
50+32.31		+8	- 1.2	+12.4

161 Fad. 6. 27.6
 165 „ 3. 30.9
 172. Zeit unsicher beobachtet.
 170. 173. derselbe.
 179 Fad. 5. 56.6
 199 „ 3. 26.2
 202. 204 ist offenbar derselbe Stern, und an der
 letztern Stelle die Minute des Microsops zu
 lesen 4', also die Decl. - 17 4 13.9.

No.	Gr.	Fad.	Beob. Zeit.	T.	Microsc. I	Südl. Declin.
210	7	4	37.9	18° 43' 37.90	9° 8' 48.1	18° 25' 58.1
211	9	4	10.1	44 10.10	9 16 50.2	18 34 0.2
212	7	7	27.5	43 47.18	9 31 23.8	18 48 33.8
213	8	7	40.8	44 0.45	9 40 25.1	18 57 35.1
214	9	4	45 36.6	45 36.60	8 26 59.8	17 44 9.8
215	9	4	3.6	46 3.60	8 31 43.1	17 48 53.1
216	8	4	37.7	46 37.70	8 28 47.9	17 45 57.9
217	8.9	7	3.9	46 23.80	8 38 37.0	17 55 47.0
218	6.7	4	29.6	47 29.60	8 20 47.9	17 37 57.9
219	9	7	47.5	47 7.45	8 23 20.5	17 40 30.5
220	9	4	48 39.9	48 39.90	7 27 6.0	16 44 16.0
221	8	4	23.9	49 23.90	7 32 55.0	16 50 5.0
222	9	7	59.7	49 19.65	8 23 19.0	17 40 29.0
223	7.8	6	50 41.7	50 11.59	8 47 31.0	18 4 41.0
1	8	3	33 15.0	16 33 35.46	1 45 45.1	21 3 25.1
2	9	6	9.7	33 39.03	2 6 31.6	21 24 11.6
3	7	4	47.4	34 47.40	2 56 39.9	22 14 19.9
4	9	7	35 52.2	35 10.81	3 30 18.0	22 47 58.0
5	7	7	17.1	35 35.68	3 36 18.8	22 53 58.8
6	8.9	4	57.7	36 57.70	3 13 23.6	22 21 3.6
7	9	4	55.4	37 55.40	2 12 40.6	21 30 20.6
8	9	6	30.6	37 59.83	2 36 29.0	21 54 9.0
9	8.9	5	28.0	39 7.41	2 22 42.7	21 40 22.7
10	7	3	46.0	40 6.53	2 17 36.9	21 35 16.9
11	8	4	42 2.5	42 2.50	2 6 12.6	21 23 52.6
12	9	5	49.8	42 29.29	1 46 52.0	21 4 32.0
13	9	3	44 23.7	44 44.16	1 44 41.8	21 2 21.8
14	8	4	9.0	45 9.00	2 20 18.2	21 37 58.2
15	8.9	5	30.6	45 10.10	2 30 4.4	21 47 44.4
16	6.7	4	4.5	46 4.38	2 1 57.2	21 19 37.2
17	8.9	3	55.6	47 16.13	2 15 48.0	21 33 28.0
18	8	1	31.8	48 12.81	2 14 36.2	21 32 16.2
19	9	2	2.5	48 33.25	2 5 18.6	21 22 58.6
20	9	3	49 28.0	49 48.49	1 58 34.6	21 16 14.6
21	7	2	50 30.8	51 1.52	1 56 18.6	21 13 58.6
22	8.9	4	53 46.9	53 46.90	3 38 11.5	22 55 51.5
23	7	2	30.8	55 1.94	3 52 41.4	23 10 21.4
24	8.9	4	56 42.6	56 42.60	2 3 40.7	21 21 20.7
1	9	5	41 45.7	16 41 25.12	7 25 10.9	21 56 39.1
2	9	5	42 2.0	41 41.38	7 28 50.9	21 52 59.1
3	8	7	46.0	42 4.98	7 58 58.0	21 23 52.0
4	8.9	3	28.5	43 49.06	7 56 26.7	21 25 23.3
5	7.8	2	44 40.5	45 11.12	7 43 52.6	21 37 57.4
6	8	5	33.0	45 12.44	7 34 7.5	21 47 42.5
7	8	5	59.9	45 39.35	7 38 22.0	21 43 28.0
8	9	6	27.0	45 56.24	7 55 52.8	21 25 57.2
9	7	7	47.3	46 6.30	8 2 14.2	21 19 35.8
10	8.9	5	38.7	47 18.17	7 48 23.0	21 33 27.0
11	8	4	48 15.0	48 15.00	7 49 34.0	21 32 16.0
12	9	5	56.2	48 35.69	7 58 56.0	21 22 54.0
13	9	4	18.4	49 18.40	7 49 39.1	21 32 10.9
14	9	6	21.4	49 50.68	8 5 39.0	21 16 11.0
15	9	6	43.5	50 12.79	8 8 20.1	21 13 29.9
16	9	7	4.8	50 23.80	8 2 1.0	21 19 49.0
17	7	6	51 34.5	51 3.78	8 7 52.0	21 13 58.0

Hülftafel zur Reduction auf den mittl.
Ort 1850 Januar 0 D = -18°.

T.	k	k'	d.
18 40+32.30	+1	+8	+ 0.1
50+32.31		+8	- 1.2

223 Fad. 7. 51.7

Unruhige Luft.

ZONE 392. 1851 Juli 1. 0

NC. 16 26' - 1' 20.33
18 41 - 1 21.96
Anf. 27 11.92 + 16.8 68.3
Ende 69.7
Microsc. I - 0'' 96
Declin. = - (Microsc. I + 19° 17' 40'')
17° r+i + 37'' 741 Δr - 0'' 008 Δi + 0

Hülftafel zur Reduction auf den mittl.
Ort 1850 Januar 0 D = -22°.

T.	k	k'	d.
16 30+32.14	-3	+8	+15.0
40+32.11	-4	+9	+13.7
50+32.07	-3	+9	+12.4
17 0+32.04		+9	+11.2

8 Fad. 7. 41.0
15 „ 6. 41.0
16 „ 5. 24.8

Durch Wolken unterbrochen.

ZONE 393. 1851 Juli 13. W

NC. 16 27' - 2' 36'' 48
18 4 - 2 37.25
Anf. 27 10.28 + 14.3 59.6
Ende 10.20 + 13.3 57.0
Microsc. I - 7'' 84 u. - 10'' 06
Decl. = Microsc. I - 29° 21' 50''
17° r+i + 35'' 582 Δr - 0'' 010 Δi + 0
D = -22°.

16 40+29.96 -4 +7 +12.6 -1.7
50+29.92 -4 +7 +10.9 -1.8
2 Fad. 6. 12'' 2 5 Fad. 3. 50'' 4
3. Zeit unsicher beobachtet. Nach Z. 392 N
Z. 213 N°. 54 und einer Beob. 1852 Juli 10.
die Minnte des Microscops 57 sein; d
sind die Decl. und T berechnet.

Nº.	Gr.	Fad.	Beob. Zeit.	T.	Microsc. I	Südl. Declin.
18	9	4	7.0	16 52 7.00	8 38 39.6	20 43 10.4
19	7.8	6	9.9	52 39.36	8 59 12.8	20 22 37.2
20	7.8	4	48.6	53 48.60	6 26 0.7	22 55 49.3
21	8.9	4	23.7	54 23.70	6 42 6.2	22 39 43.8
22	8.9	7	50.9	54 9.58	6 54 25.6	22 27 24.4
23	9	4	40.0	55 40.00	7 34 4.9	21 47 45.1
24	7	4	1.5	56 1.50	7 30 6.5	21 51 43.5
25	7	3	56 24.4	56 44.92	8 0 31.3	21 21 18.7
26	8	7	30.0	56 49.08	8 18 12.9	21 3 37.1
27	8.9	5	58 36.3	58 15.66	7 4 25.6	22 17 24.4
28	8	5	21.1	59 0.36	6 20 28.0	23 1 22.0
29	9	5	14.3	59 53.56	6 23 40.0	22 58 10.0
30	9	5	53.6	17 0 32.87	6 26 5.0	22 55 45.0
31	8.9	4	48.9	1 48.90	8 20 10.8	21 1 39.2
32	8.9	5	12.1	1 51.62	8 10 43.0	21 11 7.0
33	8.9	7	37.8	1 56.70	7 39 20.9	21 42 29.1
34	8	6	3 6.9	2 36.07	7 45 44.8	21 36 5.2
35	7	6	42.0	3 11.25	7 56 31.0	21 25 19.0
36	9	7	12.3	3 31.30	8 1 19.9	21 20 30.1
37	8	4	53.0	4 53.00	8 10 49.5	21 11 0.5
38	8	2	8.6	5 39.26	8 10 6.0	21 11 44.0
39	8.9	5	51.0	5 30.43	7 29 36.1	21 52 13.9
40	8.9	7	17.8	5 36.69	7 36 43.6	21 45 6.4
41	7.8	3	34.9	6 55.49	7 50 3.0	21 40 47.0
42	9	6	57.4	6 26.58	7 35 34.5	21 46 15.5
43	8.9	7	8 9.4	7 28.12	7 4 0.9	22 17 49.1
44	8.9	3	1.3	9 22.02	6 49 19.6	22 32 30.4
45	8.9	3	36.4	9 57.16	6 32 16.3	22 49 33.7
46	9	4	24.2	10 24.20	6 49 22.5	22 32 27.5
47	9	3	52.6	11 13.25	7 17 11.0	22 4 39.0
48	9	2	35.0	12 5.70	7 34 50.0	21 47 0.0
49	8.9	5	14.5	11 54.00	7 57 41.0	21 24 9.0
50	9	5	56.0	12 35.53	8 13 12.2	21 8 37.8
51	9	7	13 39.0	12 58.16	8 22 9.8	20 59 40.2
52	8	5	28.2	14 7.67	7 47 43.6	21 34 6.4
53	8.9	6	50.3	14 19.53	7 52 4.1	21 29 45.9
54	6	4	14.3	15 14.30	8 4 52.0	21 17 58.0
55	8	3	47.2	16 7.77	7 52 20.0	21 29 30.0
56	9	3	8.9	16 29.37	8 5 4.3	21 16 45.7
57	6.7	2	43.3	17 14.07	8 1 45.5	21 20 4.5
58	8.9	4	15.6	17 15.60	8 5 2.1	21 16 47.9
59	9	7	19 13.3	18 31.72	6 15 25.0	23 6 25.0
60	9	4	13.0	20 13.00	6 13 52.1	23 7 57.9
61	9	6	42.5	20 11.43	6 31 44.8	22 50 5.2
62	8.9	6	2.9	20 31.83	6 32 23.9	22 49 26.1
63	9	5	50.9	21 30.26	7 4 53.9	22 16 56.1
64	8.9	5	12.4	21 51.78	7 12 27.1	22 9 22.9
65	9	7	45.6	22 4.43	7 26 1.0	21 55 49.0
66	7.8	4	23 9.5	23 9.50	7 36 15.1	21 45 34.9
67	8.9	6	1.6	23 30.79	7 39 14.9	21 42 35.1
68	9	7	21.0	23 39.92	7 43 54.5	21 37 55.5
69	8.9	5	1.2	24 40.59	7 16 7.2	22 5 42.8
70	6	3	25 26.9	25 47.51	7 25 33.2	21 56 16.8
71	9	5	5.7	25 45.14	7 34 56.0	21 46 54.0
72	9	7	26.4	25 45.27	7 34 3.5	21 47 46.5

Hülftafel zur Reduction auf den mittlern Ort 1850 Januar 0 D = - 22°.

T.	k	k'	d	d'
16 50 + 29.92	-4	+7	+10.9	-1.8 +17.4
17 0 + 29.88	-4	+7	+ 9.1	-1.8 +17.4
10 + 29.84	-4	+7	+ 7.3	-1.8 +17.4
20 + 29.80	-3	+7	+ 5.5	-1.8 +17.5
30 + 29.77		+7	+ 3.7	+17.5

18 Fad. 6. 37.6

25 „ 4. 44.9

26. Zeit unsicher beobachtet und Secunde zweifelhaft.

34 Fad. 7. 17.1

41. Nach Z. 213 N°. 79 und einer Beobachtung 1852 Juli 10. muss die Minute des Microscops 41' sein; danach ist T und die Decl. berechnet.

42 Fad. 7. 7.7

48 „ 3. 45.0

54. Nach der bekannten Position dieses Sterns 684 Mayeri = P. XVII. 76 = T. 8047 muss die Minute des Microscops 3' sein; demgemäss ist die Declination angesetzt.

56 Fad. 4. 29.3

57 „ 3. 53.6

70 „ 4. 47.5

Nº.	Gr.	Fad.	Beob. Zeit.	T.	Microsc. I	Südl. Declin.
73	9	5	12.7	17 26' 52.13	7 30' 8.9	21 51' 41.1
74	9	5	52.5	27 31.97	7 49 43.0	21 32 7.0
75	8.9	7	31.0	27 49.97	7 55 19.5	21 26 30.5
76	8.9	5	58.7	28 38.18	7 52 55.6	21 28 54.4
77	8.9	7	30 1.2	29 20.14	7 48 1.9	21 33 48.1
78	9	7	41.7	30 0.69	7 58 2.9	21 23 47.1
79	8.9	4	24.4	31 24.40	8 34 55.0	20 46 55.0
80	9	5	6.7	31 46.22	8 10 12.8	21 11 37.2
81	9	4	40.7	32 40.70	7 43 3.6	21 38 46.4
82	9	6	12.3	32 41.41	7 18 3.0	22 3 47.0
83	8.9	6	39.0	33 8.04	7 4 37.0	22 17 13.0
84	9	5	12.9	33 52.24	6 55 47.9	22 26 2.1
85	8.9	6	53.4	34 22.37	6 40 44.3	22 41 5.7
86	8.9	4	30.0	35 30.00	6 32 52.9	22 48 57.1
87	9	5	9.3	35 48.70	7 18 49.2	22 3 0.8
88	8.9	3	53.4	37 14.06	7 12 46.0	22 9 4.0
89	9	3	25.6	37 46.24	7 20 44.0	22 1 6.0
90	9	3	57.0	38 17.66	7 14 18.9	22 7 31.1
91	9	5	39 2.3	38 41.75	7 41 35.1	21 40 14.9
92	8	2	39 29.9	40 0.48	8 35 6.6	20 46 43.4
1	7.8	4	7 11.5	19 7 11.50	0 28 38.0	28 55 2.0
2	8.9	2	8 25.2	8 57.54	1 19 27.0	28 4 13.0
3	9	6	47.4	9 15.05	1 29 31.8	27 54 8.2
4	8.9	4	49.9	10 49.90	2 17 59.5	27 5 40.5
5	9	7	27.8	10 45.23	2 20 30.9	27 3 9.1
6	7	4	12 18.6	12 18.60	2 56 49.6	26 26 50.4
7	8.9	4	12 28.3	12 28.30	2 56 3.4	26 27 36.6
8	8	2	15.2	13 46.94	3 37 55.8	25 45 44.2
9	9	4	49.2	13 49.20	2 52 39.9	26 31 0.1
10	9	4	14 47.5	14 47.53	2 53 40.5	26 29 59.5
11	9	5	52.5	15 31.20	3 4 29.2	26 19 10.8
12	9	6	15.5	15 43.58	3 14 59.5	26 8 40.5
13	9	6	56.5	16 24.59	3 11 45.7	26 11 54.3
14	7	5	17 37.7	17 16.42	2 46 42.0	26 36 58.0
15	9	5	20.5	17 59.17	2 53 46.9	26 29 53.1
16	9	7	46.9	18 4.23	2 53 16.8	26 30 23.2
17	9	4	5.4	19 5.65	3 5 6.0	26 18 34.0
18	8	5	46.7	19 25.42	3 11 20.3	26 12 19.7
19	8.9	6	2.2	19 30.30	3 15 4.4	26 8 35.6
20	8.9	6	19.2	19 47.46	3 19 34.0	26 4 6.0
21	8.9	6	46.5	20 14.50	3 16 59.0	26 6 41.0
22	8	3	23 8.2	23 29.55	3 2 46.1	26 20 53.9
23	9.0	7	3.3	23 20.63	2 54 41.3	26 28 58.7
24	9	5	50.5	24 28.98	1 54 58.0	27 28 42.0
25	8.9	5	18.7	24 57.18	1 55 24.9	27 28 15.1
26	9	6	37.1	25 5.04	1 54 54.5	27 28 45.5
27	9	7	46.2	26 2.97	1 26 39.0	27 57 1.0
28	8	3	7.0	27 28.57	1 34 12.1	27 49 27.9
29	9	5	6.5	27 44.87	1 24 0.0	27 59 40.0
30	9	2	29.8	29 2.18	1 23 44.0	27 59 56.0
31	9	4	54.6	28 54.60	1 16 44.0	28 6 56.0
32	9	3	26.4	29 48.08	1 20 49.5	28 2 50.5
33	7	7	30 6.6	29 22.97	0 27 45.9	28 55 54.1
34	8.9	6	3.4	30 31.02	1 31 28.2	27 52 11.8
35	7.8	5	41.4	31 19.77	1 21 46.8	28 1 53.2

Hülftafel zur Reduction auf den mittl. Ort 1850 Januar 0 D = - 22°.

T.	k	k'	d
17 20+29.80	-3	+7	+ 5.5 -1.8 +
30+29.77	-2	+7	+ 3.7 -1.8 +
40+29.75		+8	+ 1.9 -1.8 +

81. Wahrscheinlich ist der Antritt an den be-
lichen Faden beobachtet worden, der -
im Aequator vom mittlern Abstand; ist
Annahme richtig, so wird T. 32' 46".26
der Stern stimmt zu Z. 307 N°. 6.

83 Fad. 7. 49".3

Die Sterne nicht ganz ruhig, aber sehr dis-

ZONE 394. 1851 Sept. 27. W

NC. 18 44' - 2 48.23
21 7 - 2 49.16
Anf. 27 10.63 + 10.0 48.0
20 8 46.0
Ende 27 10.82 + 8.8 46.3
Microsc. I - 7".00 u. - 7".75
Decl. = Microsc. I - 29° 23' 40"
20" r+i + 16".763 Δr - 0".018 Δi - 0"

Hülftafel zur Reduction auf den mittl. Ort 1850 Januar 0 D = - 28°.

T.	k	k'	d
19 0+11.20	-5	+6	- 6.8 -1.9 +
10+11.15	-5	+6	- 8.7 -1.8 +
20+11.10	-4	+6	-10.5 -1.7 +
30+11.06		+6	-12.2 -1.6 +

D = - 26°.

19 10+11.22	-4	+6	+32.1 -1.7 +
20+11.18	-5	+6	+30.4 -1.7 +
30+11.13		+6	+28.7 -1.5 +

2 Fad. 3. 35.8 Fad. 4. 57".1 ausgeschlo
3 " 7. 58.0
10 " 5. 8.9
12 " 7. 26.1 14 Fad. 6. 48".5
17 " 5. 27.2 giebt 5".90
20 " 7. 30.1 21 Fad. 7. 56.9
22. Vor diesem Sterne musste die Lampe, die
Wind ausgeblasen hatte, angezündet we
26 Fad. 7. 48.3 Fäden 4".83 und 5".25

Nr.	Gr.	Fad.	Beob. Zeit.	T.	Microsc. I	Süd. Declin.
36	9	4	18.5	19 32' 18.50	2 39' 47.1	26 43' 52.9
37	8	4	59.8	32 59.80	2 36' 5.5	26 47' 34.5
38	7	1	10.6	34 53.85	1 24' 18.9	27 59' 21.1
39	7.8	2	15.6	35 47.96	1 38' 41.8	27 44' 58.2
40	8.9	5	49.2	35 27.74	2 14' 1.0	27 9' 39.0
41	9	7	25.3	35 42.45	2 25' 38.9	26 58' 1.1
42	9	7	6.6	36 23.71	2 19' 36.1	27 4' 3.9
43	9	7	16.0	36 33.09	2 16' 7.4	27 7' 32.6
44	8	4	58.5	37 58.50	2 12' 22.1	27 11' 17.9
45	9.0	6	38.0	38 5.79	2 11' 32.3	27 12' 7.7
46	8	5	17.7	38 56.26	2 22' 8.9	27 1' 31.1
47	9	5	50.8	39 29.37	2 23' 56.9	26 59' 43.1
48	8	3	12.7	40 84.31	2 39' 31.0	26 44' 9.0
49	7.8	5	20.0	40 58.55	2 18' 18.9	27 5' 21.1
50	9	4	33.5	41 33.43	2 22' 51.0	27 0' 49.0
51	7.8	6	48.2	42 15.94	1 56' 13.0	27 27' 27.0
52	8.9	4	20.5	43 20.50	2 10' 34.0	27 13' 6.0
53	9	5	46.1	43 24.62	2 7' 31.5	27 16' 8.5
54	7.8	4	1.2	44 1.25	2 4' 10.4	27 19' 29.6
55	8.9	1	0.5	45 43.52	1 54' 0.3	27 29' 39.7
56	9	6	38.5	45 6.26	1 39' 30.0	27 44' 10.0
57	8	3	48.7	47 10.37	1 23' 6.0	28 0' 34.0
58	9	2	37.7	48 10.05	1 29' 12.0	27 54' 28.0
59	3	6	5.1	47 32.86	1 50' 0.1	27 33' 39.9
60	9	4	47.3	48 47.30	1 45' 17.9	27 38' 22.1
61	8	2	13.2	49 46.49	1 45' 7.6	27 38' 32.4
62	5	5	58.8	49 37.41	2 47' 38.6	26 36' 1.4
63	8.9	3	8.0	51 29.80	1 48' 33.5	27 35' 6.5
64	8	3	18.6	52 40.35	0 59' 44.5	28 23' 55.5
65	9	3	43.5	53 5.24	1 2' 35.9	28 21' 4.1
66	4	4	14.5	53 14.63	1 16' 41.8	28 6' 58.2
67	9	2	10.5	54 43.18	0 58' 1.0	28 25' 39.0
68	9	7	26.2	54 42.78	0 57' 58.1	28 25' 41.9
69	7	7	44.8	55 1.49	1 14' 12.1	28 9' 27.9
70	7	5	14.9	55 53.23	1 10' 6.5	28 13' 33.5
71	9	4	42.0	56 42.27	1 12' 31.1	28 11' 8.9
72	7.8	5	35.0	57 13.21	0 36' 33.9	28 47' 6.1
73	7	7	16.4	57 33.30	1 44' 53.0	27 38' 47.0
74	8	4	4.7	59 4.70	1 57' 37.6	27 26' 2.4
75	7	4	47.5	59 47.50	2 44' 18.7	26 39' 21.3
76	9	5	27.3	20 1 5.74	1 43' 30.1	27 40' 9.9
77	8.9	3	50.9	2 12.53	1 37' 50.0	27 45' 50.0
78	9	2	33.5	3 5.78	1 42' 37.8	27 41' 2.2
79	9	3	59.2	3 20.79	1 48' 30.5	27 35' 9.5
80	9	4	31.7	3 31.70	1 58' 2.9	27 25' 37.1
81	8	3	56.1	4 17.58	1 53' 52.0	27 29' 48.0
82	9	4	49.0	4 49.00	1 56' 31.9	27 27' 8.1
83	9	4	7.5	5 7.50	2 4' 12.7	27 19' 27.3
84	4.5	4	44.5	5 44.64	1 55' 14.1	27 28' 25.9
85	8.9	2	40.5	7 12.90	1 20' 26.2	28 3' 13.8
86	8.9	2	56.5	9 28.74	1 51' 36.1	27 32' 3.9
87	9	6	40.5	9 8.07	1 7' 53.0	28 15' 47.0
88	8.9	2	18.2	10 50.67	1 5' 54.0	28 17' 46.0
89	9	5	12.5	10 50.81	1 5' 52.3	28 17' 47.7
90	9	5	44.1	11 22.46	1 21' 24.1	28 2' 15.9

Halftafel zur Reduction auf den mittlern Ort 1850 Januar 0 D = - 28°.

T.	k	k'	d	d'
19 30' + 11.06	-4	+6	-12.2	-1.6 + 30.2
40 + 11.02	-3	+6	-13.8	-1.5 + 39.3
50 + 10.99	-4	+5	-15.3	-1.4 + 39.3
20 0 + 10.95	-3	+5	-16.7	-1.4 + 39.3
10 + 10.92	-2	+5	-18.1	-1.3 + 39.4
20 + 10.90		+5	-19.4	+39.4

38 Fad. 2. 21.5
 39 „ 3. 26.4
 41. Zeitsecunde zweifelhaft.
 43. Zeit unsicher beobachtet.
 45 Fad. 7. 48.7 beide Fäden unsicher beobachtet; sie geben 5''.81 und 5''.77.
 48 Fad. 4. 34.5 Fad. 3 giebt 34''.13.
 50 „ 5. 54.8
 54 „ 5. 22.8
 56 „ 7. 49.5
 29 „ 7. 16.0
 61 „ 3. 23.9
 62 „ 6. 9.4
 63. dupl. I. med. Fad. 4. 30''.0 Fad. 3 giebt 29''.59.
 66 Fad. 5. 36.4
 67 „ 3. 21.4
 67. 68. derselbe.
 71 Fad. 5. 4.2 giebt 42''.54
 81 „ 4. 17.5
 84 „ 5. 6.3
 87 „ 7. 51.5
 88. 89. derselbe.

No.	Gr.	Fad.	Beob. Zeit.	T.	Microsc. I	Südl. Declin.	
91	8	7	10.5	20 ^u 11' 27.33	1 35' 37.6	27 48' 2.4	
92	9	5	13 26.2	13 4.54	1 12' 7.8	28 11' 32.2	
93	7	4	17.7	14 17.70	2 11' 3.3	27 12' 36.7	
94	9	4	33.3	14 33.67	2 18' 21.6	27 5' 18.4	
95	8.9	5	36.8	15 15.29	2 1' 5.0	27 22' 35.0	
96	9.0	4	26.0	16 26.00	1 8' 40.2	28 14' 59.8	
97	9	4	15.5	17 15.49	0 26' 34.9	28 57' 5.1	
98	9	4	4.5	18 4.50	0 25' 5.8	28 58' 34.2	
99	9	7	35.3	17 51.67	0 27' 50.5	28 55' 49.5	
100	7.8	6	19 7.9	18 35.15	0 39' 15.7	28 44' 24.3	
101	9	4	18.3	20 18.30	0 57' 11.6	28 26' 28.4	
102	8	6	54.8	20 22.44	1 35' 32.4	27 48' 7.6	
103	9	5	36.2	21 14.68	1 54' 32.2	27 29' 7.8	
104	8.9	5	4.9	21 43.31	1 55' 23.5	27 28' 16.5	
105	9	4	36.5	22 36.50	1 59' 5.6	27 24' 34.4	
106	9	4	52.7	22 52.70	2 1' 28.9	27 22' 11.1	
107	9.0	6	57.5	23 25.32	2 14' 51.4	27 8' 48.6	
108	9	4	24 43.0	24 43.00	2 13' 3.3	27 10' 36.7	
109	8.9	6	32.8	25 0.74	2 39' 48.0	26 43' 52.0	
110	6.7	2	8.5	26 40.60	2 6' 32.1	27 17' 7.9	
111	9	3	40.9	27 2.45	1 59' 39.3	27 24' 0.7	
112	9	3	26.5	27 48.08	1 52' 15.8	27 31' 24.2	
113	9	1	4.5	28 48.04	1 4' 54.5	28 18' 45.5	
114	7.8	1	0.5	29 44.10	0 27' 37.0	28 56' 3.0	
115	9	3	30 21.5	30 43.00	2 18' 40.1	27 4' 59.9	
116	6	2	52.5	31 24.72	2 13' 32.0	27 10' 8.0	
117	9	4	36.4	31 36.40	1 56' 20.3	27 27' 19.7	
118	8.9	2	7.4	32 39.70	1 39' 16.4	27 44' 23.6	
119	7.8	5	39.4	32 17.67	0 52' 50.2	28 30' 49.8	
120	9	7	2.3	32 18.80	0 47' 4.9	28 36' 35.1	
121	8	5	34 6.6	33 44.70	0 6' 28.1	29 17' 11.9	
122	7	4	40.3	34 40.30	0 57' 15.0	28 26' 25.0	
123	7	3	58.0	35 19.66	0 39' 56.0	28 43' 44.0	
124	8.9	6	47.1	35 14.75	1 39' 0.1	27 44' 39.9	
125	6	4	1.3	36 1.31	1 36' 46.3	27 46' 53.7	
126	7	2	45.0	37 17.20	1 59' 15.3	27 24' 24.7	
127	7.8	3	37 12.6	37 34.22	1 40' 19.7	27 43' 20.3	
128	7.8	4	37 28.9	37 28.91	1 37' 26.7	27 46' 13.3	
1	6	6	31 59.0	6 31' 28.80	1 13' 34.0	18 6' 56.0	
2	7.8	5	59.0	32 38.91	1 16' 50.6	18 3' 39.4	
3	9	7	49.4	33 9.38	1 55' 18.9	17 25' 11.1	
4	8.9	6	34 59.0	34 28.96	1 41' 38.1	17 38' 51.9	
5	9	7	25.4	34 45.29	1 30' 15.1	17 50' 14.9	
6	9.0	7	1.3	35 21.19	1 30' 56.9	17 49' 33.1	
7	9	6	34.2	36 4.16	1 42' 12.8	17 38' 17.2	
8	9	7	19.6	36 39.55	1 48' 51.2	17 31' 38.8	
9	8.9	7	38 34.0	37 53.92	1 38' 32.6	17 41' 57.4	
10	9	3	39 56.3	40 16.37	1 44' 21.1	17 36' 8.9	
11	8.9	4	40 16.1	40 16.10	1 48' 43.8	17 31' 46.2	
12	7	3	48.5	41 8.55	1 59' 12.8	17 21' 17.2	
13	8.9	6	38.5	41 8.21	0 19' 57.7	19 0' 32.3	
14	9	5	3.0	41 43.01	0 21' 59.0	18 58' 31.0	
15	9	5	8.0	41 47.92	0 22' 11.1	18 58' 18.9	
16	7.8	6	22.5	42 52.34	1 2' 29.5	18 18' 0.5	
17	8.9	7	35.5	42 55.29	1 5' 20.2	18 15' 9.8	

Hilfstafel zur Reduction auf den mittl. Ort 1850 Januar 0 D = -28°.

T.	k	k'	d
20 10+10.92	-2	+5	-18.1 -1.3
20+10.90	-3	+5	-19.4 -1.2
30+10.87	-2	+4	-20.6 -1.2
40+10.85		+4	-21.8

94 Fad. 5. 55.5 giebt 34".05; einer von den Fäden wohl 1" verschoben.

97 Fad. 5. 37.3

100 " 7. 18.6

104 " 6. 15.5

109 " 7. 43.5

110 " 3. 19.0

113 " 3. 26.5 Fäden 47".84 und 48".

116 " 3. 3.3

123 " 4. 19.5 Fad. 3 giebt 19".82

125 " 5. 22.9

128 " 5. 50.5

Bis 20^u gute Luft, nachher etwas unruhig; heftige Wind störte die Beobachtungen e Nach dem Schlusse der Zone Wolken.

ZONE 395. 1852 Jan. 20. W

NC. 6 0' - 1' 48.27

7 34 - 1' 49.36

Anf. 27 11.34 + 3.2 35.0

Ende 11.29 + 3.0 35.8

Microsc. I - 4".66

Decl. = Microsc. I - 19° 20' 30"

7^u r+i - 5".172 Δr 0".000 Δi + 0"

- 16°.

u	k	k'	d
6 30-11.12	-2	-6	+19.1 +1.3
40-11.14	-3	-6	+20.4 +1.3
50-11.17		-6	+21.7

1 Fad. 7. 8".9

14 " 7. 23.6 Fäden 42".81 und 43".21

15 " 7. 28.4

o.	Gr.	Fad.	Beob. Zeit.	T.	Microsc. I	Südl. Declin.
8	9	6	14.5	6 43' 44.36	0 53' 13.0	18° 27' 17.0
9	8.9	6	27.2	43 57.06	0 52 56.2	18 27 33.8
0	9	7	58.6	44 18.42	1 5 35.3	18 14 54.7
1	8	7	21.6	44 41.42	1 4 33.1	18 15 56.9
2	8.9	5	1.0	45 40.82	0 52 31.3	18 27 58.7
3	9.0	6	46.5	46 16.35	0 52 16.5	18 28 23.5
4	8	4	5.0	47 4.92	1 4 22.4	18 16 7.6
5	8.9	4	37.7	47 37.70	0 57 16.5	18 23 13.5
6	8	7	18.7	47 38.64	1 36 53.8	17 43 36.2
7	7.8	6	39.5	48 9.49	— — —	17 44 —
8	5	4	18.4	49 18.27	9 23 28.0	19 57 2.0
9	9	4	50 34.2	50 34.20	9 24 2.6	19 56 27.4
10	7	7	19 :	50 39	0 5 46.2	19 14 43.8
11	9	7	1.7	51 21.31	0 12 46.6	19 7 43.4
12	9	4	23.4	52 23.40	0 12 30.8	19 7 59.2
13	9	5	49.5	52 29.23	0 7 41.6	19 12 48.4
14	9	7	53 44.5	53 4.22	0 40 26.1	18 40 3.9
15	8.9	7	56 15.6	55 35.59	1 50 44.3	17 29 45.7
16	7	6	43.0	56 13.04	1 58 1.4	17 22 28.6
17	9.0	7	14.5	56 34.52	1 56 30.6	17 23 59.4
18	9	6	50.6	57 20.66	2 4 35.6	17 15 54.4
19	9	6	7.5	57 37.57	2 6 54.3	17 13 35.7
10	8	7	42.0	58 2.06	2 8 46.0	17 11 44.0
11	9	7	19.6	58 39.62	1 56 46.1	17 23 43.9
12	9	5	19.3	59 59.24	1 50 30.3	17 29 59.7
13	9	5	52.8	7 0 32.75	1 56 44.7	17 23 45.3
14	8.9	1	17.0	1 57.00	2 0 43.0	17 19 47.0
15	9	4	37.9	1 37.90	2 0 35.0	17 19 55.0
16	9.0	5	25.7	2 5.73	1 53 1.0	17 27 29.0
17	9.0	6	38.9	2 8.94	1 56 4.0	17 24 26.0
18	9.0	6	18.5	2 48.54	1 56 2.4	17 24 27.6
19	8.9	5	42.4	3 22.34	1 52 38.6	17 27 51.4
10	9	7	10.0	3 29.95	1 41 25.8	17 39 4.2
11	7.8	5	43.6	4 23.50	1 31 55.2	17 48 34.8
12	9	4	6.5	5 6.50	1 28 26.4	17 52 3.6
13	9	5	25.3	5 5.19	1 26 28.2	17 54 1.8
14	9	4	47.4	5 47.40	1 22 17.1	17 58 12.9
15	7	7	24.0	5 43.82	1 5 59.8	18 14 30.2
16	9.0	5	28.2	7 8.02	0 52 17.7	18 28 12.3
17	9.0	6	7 44.3	7 14.17	0 56 41.3	18 23 48.7
18	9	7	22.6	7 42.37	0 51 54.6	18 28 35.4
19	8.9	3	53.5	9 13.65	0 42 32.6	18 37 57.4
10	8.9	3	8.3	9 28.45	0 45 45.7	18 34 44.3
11	9	5	24.3	10 4.07	0 22 56.1	18 57 33.9
12	9	5	21.0	11 0.82	0 52 51.0	18 27 39.0
13	8	6	37.6	11 7.45	0 48 28.5	18 32 1.5
14	9	5	36.5	12 16.29	0 37 39.9	18 42 50.1
15	8.9	4	16.6	13 16.60	0 55 55.0	18 24 35.0
16	9	3	59.5	14 19.62	1 0 48.5	18 19 41.5
17	8.9	2	14 22.9	14 52.95	0 59 44.3	18 20 45.7
18	6.7	3	15 28.4	15 48.57	0 36 11.6	18 44 18.4
1	7	4	34 53.0	6 34 53.00	8 48 39.5	28 7 59.5
2	8.9	3	32.2	35 53.78	8 25 34.4	27 44 54.4
3	8	4	0.4	36 0.40	8 17 17.5	27 36 37.5
4	8	7	24.5	35 41.50	8 8 6.1	27 27 26.1

Hülftafel zur Reduction auf den mittlern Ort 1850 Januar 0 D = - 18°.

T.	k	k'	d	d'
u 6 40' 11.14	-3	-6	+20.4	+1.3
50-11.17	-2	-6	+21.7	+1.2
7 0-11.19	-3	-5	+22.9	+1.3
10-11.22	-2	-5	+24.2	+1.2
20-11.24		-5	+25.4	+1.7

- 19 Fad. 7. 37.3
 22. dupl. III. Cl. bor., austr. 9.0 m.
 24 Fad. 5. 25.0
 27. Dieser Stern hat keine Decl.; es ist aber wohl nicht zweifelhaft, dass es der Stern Z. 278 No. 31 sei, nach dem die Decl. angesetzt ist.
 28 Fad. 5. 38.5
 39. Faden zweifelhaft.
 55. Zeit unsicher beobachtet.
 60 Fad. 5. 28.4
 67 „ 3. 32.7

Die Sterne gross und blass, aber ziemlich ruhig; zuletzt ganz bezogen.

ZONE 396. 1852 Febr. 25. Ost.

Nº.	Gr.	Fad.	Beob. Zeit.	T.	Microsc. I	Südl. Declin.
5	6.7	7	44.3	6 36' 1.28	8 10' 52.9	27 30' 12.9
6	7	4	29.5	37 28.50	9 46' 2.7	29 5' 22.7
7	7.8	6	38 41.2	38 8.98	8 7' 54.1	27 27' 14.1
8	6.7	5	27.4	39 5.88	7 53' 29.7	27 12' 49.7
9	9	7	55.4	39 12.53	7 48' 16.0	27 7' 36.0
10	8.9	6	41 8.0	40 35.53	8 43' 18.2	28 2' 38.2
11	9	4	51.4	41 51.40	8 44' 21.4	28 3' 41.4
12	8	3	27.0	42 48.49	7 54' 18.9	27 13' 38.9
13	7.8	5	43 16.5	42 54.82	8 43' 58.1	28 3' 18.1
14	9	7	43 39.7	42 56.40	8 53' 14.4	28 12' 34.4
15	7.8	6	18.4	43 45.87	9 9' 53.9	28 29' 13.9
16	7	7	2.2	44 19.31	7 51' 12.6	27 10' 32.6
17	8.9	7	27.8	44 44.99	7 38' 51.7	26 58' 11.7
18	7.8	6	55.5	45 23.39	7 46' 39.2	27 5' 59.2
19	7	2	40 0	47 12.07	7 27' 57.0	26 47' 17.0
20	8.9	2	11.7	47 43.73	8 21' 6.3	27 40' 26.3
21	9	7	37.6	46 54.47	8 27' 39.1	27 46' 59.1
22	8	4	16.5	48 16.50	8 15' 46.2	27 35' 6.2
23	8	4	46.9	48 46.90	8 3' 40.1	27 23' 0.1
24	8.9	5	27.3	49 5.59	8 52' 22.4	28 11' 42.4
25	8	5	4.6	49 42.84	9 8' 42.9	28 28' 2.9
26	8.9	1	29.8	51 13.26	9 11' 8.2	28 30' 28.2
27	9	3	15.7	51 37.14	7 40' 53.2	27 0' 13.2
28	9	4	44.3	51 44.30	7 37' 38.9	26 56' 58.9
29	7	5	17.6	51 56.06	8 1' 43.5	27 21' 3.5
30	6	5	41.0	52 19.52	7 39' 25.4	26 58' 45.4
31	2	5	19.0	52 57.23	9 27' 4.0	28 46' 24.0
32	8	5	46.3	53 24.47	9 26' 21.6	28 45' 41.6
33	8	5	54 23.5	54 1.78	8 52' 40.3	28 12' 0.3
34	7	4	55 0.2	55 0.20	8 57' 42.4	28 17' 2.4
35	8.9	3	24.7	55 46.26	8 20' 6.0	27 39' 26.0
36	5	4	58.0	55 58.00	8 24' 34.3	27 43' 54.3
37	8.9	5	23.7	56 2.13	8 10' 39.6	27 29' 59.6
38	9	2	7.5	57 39.60	7 34' 48.9	26 54' 8.9
39	8.9	1	26.5	58 9.28	7 29' 29.7	26 48' 49.7
40	8.9	4	10.8	58 10.80	7 58' 31.8	27 17' 51.8
41	8.9	2	34.6	59 6.80	7 55' 1.6	27 14' 21.6
42	8	3	58 49.7	59 11.16	7 34' 58.1	26 54' 18.1
43	9	7	49.6	59 6.69	7 55' 1.6	27 14' 21.6
44	9	7	32.0	59 48.44	9 31' 23.6	28 50' 43.6
45	9	5	2 10.0	7 1 48.32	8 42' 46.5	28 2' 6.5
46	9	5	43.6	2 21.94	8 39' 1.2	27 58' 21.2
47	8	3	53.6	3 15.22	8 36' 22.5	27 55' 42.5
48	6.7	5	4 53.0	4 31.46	7 56' 19.4	27 15' 39.4
49	7.8	4	40.0	5 40.00	8 10' 26.6	27 29' 46.6
50	9	7	1.5	5 18.47	8 12' 36.0	27 31' 56.0
51	7	5	37.9	6 16.40	7 46' 37.2	27 5' 57.2
52	7	5	57.8	6 36.28	7 54' 51.3	27 14' 11.3
53	6.7	3	25.9	7 47.36	7 47' 35.9	27 6' 55.9
54	8.9	3	9.3	8 30.91	8 35' 56.3	27 55' 16.3
55	8.9	7	42.3	7 58.94	9 2' 14.6	28 21' 34.6
56	9	7	7.9	8 24.58	8 56' 51.9	28 16' 11.9
57	8	4	34.0	9 34.00	8 47' 20.8	28 6' 40.8
58	5.6	3	10 26.1	10 47.65	8 18' 21.5	27 37' 41.5
59	9	7	18.0	10 34.98	8 11' 14.9	27 30' 34.9

NC. 5 58' - 1' 44.38
 8 16 45.98
 Anf. 28 2.02 + 2.0 30.9
 Ende 2.07 + 1.1 27.7
 Microsc. I + 8".25 u. + 7".31
 Declin. = - (Microsc. I + 19° 19' 20")
 7^a r+i - 8".125 Δr + 0".006 Δi + 0"

Hilfstafel zur Reduction auf den mittlere
 Ort 1850 Januar 0 D = - 28°.

T.	k	k'	d	
u				
6 30' - 13.28	-6	-7	+21.3	+1.4 +
40 - 13.34	-6	-6	+22.7	+1.3 +
50 - 13.40	-7	-6	+24.0	+1.3 +
7 0 - 13.47	-6	-6	+25.3	+1.3 +
10 - 13.53		-6	+26.6	+ +

7. Ein Fehler von + 1" Zeit, der bei di
 Sterne entdeckt und verbessert ward, hat
 der bekannten Position von No. 6 schon
 diesem stattgefunden, wesshalb T um
 corrigirt ist; ob er noch früher da gew
 lässt sich nicht entscheiden.

10 Fad. 7. 18".7
 31 " 6. 29.9
 39 " 2. 37.2
 42 " 4. 11.2
 41. 43. derselbe.
 48 Fad. 6. 3.6

Fad.	Beob. Zeit.	T.	Microsc. I	Südl. Declin.
		^u	^o	^o
7	41.0	7 10' 57.96	8 14' 21.1	27 33' 41.1
5	24.5	12 2.82	8 42' 10.9	28 1' 30.9
3	6.4	13 28.18	9 25' 4.8	28 44' 24.8
1	14 20.4	15 3.15	7 22' 44.6	26 42' 4.6
4	9.5	15 9.50	8 33' 32.9	27 52' 52.9
3	20.2	15 41.91	8 35' 49.6	27 55' 9.6
2	16 20.6	16 53.10	8 59' 2.7	28 18' 22.7
3	17 18.4	17 39.94	8 14' 8.6	27 33' 28.6
4	10.0	18 10.00	9 40' 36.6	28 59' 56.6
4	23.2	18 23.20	9 41' 25.4	29 0' 45.4
6	56.3	18 23.66	9 13' 11.9	28 32' 31.9
7	31.6	18 48.46	8 30' 52.6	27 50' 12.6
6	20 1.3	19 28.95	8 34' 46.9	27 54' 6.9
4	28.5	20 28.50	8 33' 5.6	27 52' 25.6
3	17.6	21 39.06	7 47' 27.5	27 6' 47.5
4	2.5	22 2.50	8 45' 14.7	28 4' 34.7
5	35.0	22 13.29	8 51' 37.3	28 10' 57.3
7	12.4	22 29.04	9 2' 42.2	28 22' 2.2
7	28.0	22 44.63	9 3' 24.4	28 22' 44.4
4	29.5	24 29.50	9 2' 0.1	28 21' 20.1
7	25 46.5	25 3.10	9 7' 5.1	28 26' 25.1
6	26 55.8	26 23.54	8 16' 51.8	27 36' 11.8
7	30.5	26 47.46	8 13' 53.2	27 33' 13.2
7	28 48.4	28 5.08	8 55' 48.9	28 15' 8.9
4	35.3	29 35.30	8 43' 37.1	28 2' 57.1
6	48.5	29 16.07	8 51' 21.2	28 10' 41.2
4	25.4	30 25.40	9 35' 47.5	28 55' 7.5
6	44.3	30 11.60	9 42' 22.9	29 1' 42.9
7	14.7	30 31.00	9 49' 38.0	29 8' 58.0
2	47.8	32 20.35	9 4' 54.5	28 24' 14.5
6	24.3	31 52.23	7 38' 25.6	26 57' 45.6
7	43.0	32 0.21	7 35' 42.6	26 55' 2.6
7	7.0	32 24.24	7 30' 29.4	26 49' 49.4
4	40.7	33 40.70	9 34' 28.3	28 53' 48.3
5	34 15.2	33 53.36	9 31' 45.0	28 51' 5.0
5	31.6	34 9.74	9 35' 53.7	28 55' 13.7
4	12.5	35 12.49	9 52' 47.0	29 12' 7.0
3	6.3	36 27.85	8 16' 15.0	27 35' 35.0
4	34.0	36 34.00	8 4' 7.4	27 23' 27.4
4	37 10.8	37 10.80	8 0' 20.0	27 19' 40.0
3	37 0	38 0.88	9 16' 49.6	28 36' 9.6
6	40.7	38 8.29	8 45' 41.1	28 5' 1.1
6	10.6	38 38.31	8 23' 6.9	27 42' 26.9
2	28.4	40 0.62	8 15' 49.0	27 35' 9.0
7	7.4	39 24.47	7 58' 15.1	27 17' 35.1
7	43.5	40 0.75	7 18' 48.3	26 38' 8.3
4	41 43.6	41 43.60	8 11' 12.8	27 30' 32.8
4	28.1	42 28.10	8 40' 25.2	27 59' 45.2
3	56.3	43 18.00	9 1' 57.5	28 21' 17.5
5	40.0	43 18.26	9 1' 58.0	28 21' 18.0
7	19.2	43 36.19	8 8' 57.7	27 28' 17.7
5	48.2	44 26.61	8 17' 0.6	27 36' 20.6
5	11.5	44 50.02	7 40' 38.1	26 59' 58.1
2	47 6.7	47 38.86	7 35' 9.4	26 54' 29.4
1	44.3	48 27.10	7 32' 54.6	26 52' 14.6

Hülftafel zur Reduction auf den mittlern Ort 1850 Januar 0 D = - 28°.

T.	k	k'	d	d'
^u				
7 10' - 13.53	-7	-6	+26.6	+1.2
20 - 13.60	-6	-6	+27.8	+1.2
30 - 13.66	-7	-5	+29.0	+1.1
40 - 13.73	-6	-5	+30.1	+1.1
50 - 13.79		-5	+31.2	+1.8

65 Fad. 4. 42.0
 66 „ 3. 31.4
 70 „ 7. 7.0
 78. Zeit unsicher beobachtet.
 96 Fad. 5. 34.4
 100 „ 4. 1.0
 103 „ 3. 39.0
 105. Ein anderer folgt 13''.2 und etwas nördlich.
 108. 109. derselbe.
 113 Fad. 3. 17.5

No.	Gr.	Fad.	Beob. Zeit.	T.	Microsc. I	Südl. Declin.
115	8.9	7	25.0	7 47' 42.15	7 45' 1.6	27 4' 21.6
116	8.9	4	50.5	48 50.50	8 2 48.0	27 22 8.0
117	7	7	15.4	48 32.30	8 24 9.5	27 43 29.5
118	7.8	5	50.8	49 29.15	8 34 36.8	27 53 56.8
119	7.8	4	20.4	50 20.40	8 28 20.4	27 47 40.4
120	9	7	8.2	50 25.02	8 34 39.9	27 53 59.9
121	8.9	4	39.6	51 39.60	8 37 55.4	27 57 15.4
122	8.9	6	36.1	52 3.89	8 7 28.5	27 26 48.5
123	7.8	4	58.5	52 58.50	8 11 33.6	27 30 53.6
124	7	7	25.0	52 42.10	7 51 52.1	27 11 12.1
125	8	6	8.4	53 36.37	7 29 24.9	26 48 44.9
126	8	6	22.5	53 50.38	7 34 12.5	26 53 32.5
127	8.9	4	55.6	54 55.60	7 30 32.6	26 49 52.6
128	7	2	26.4	55 58.48	7 29 40.4	26 49 0.4
129	8.9	3	44.0	56 5.40	7 31 52.9	26 51 12.9
130	8.9	7	19.2	55 36.27	7 57 56.2	27 17 16.2
131	8.9	7	26.0	55 43.07	7 57 22.0	27 16 42.0
132	7	5	57 1.5	56 40.00	7 49 11.5	27 8 31.5
133	8.9	5	1.1	57 39.43	8 38 59.6	27 58 19.6
134	7.8	5	35.5	58 13.67	9 25 58.3	28 45 18.3
135	8.9	4	31.3	59 31.30	8 19 11.5	27 38 31.5
136	7.8	3	51.4	8 0 13.00	8 30 2.0	27 49 22.0
137	9	7	24.5	7 59 41.66	7 42 34.6	27 1 54.6
138	7	5	13.4	8 0 51.98	7 22 46.3	26 42 6.3
139	7.8	7	1 49.0	1 5.39	9 38 17.4	28 57 37.4
1	7.8	6	4 57.0	7 4 26.97	8 31 36.9	17 48 36.9
2	8.9	5	29.7	5 9.60	8 35 5.3	17 52 5.3
3	8.9	6	4.0	5 34.32	8 9 24.7	17 26 24.7
4	8	5	7 26.2	7 6.13	8 14 15.4	17 31 15.4
5	9	5	56.5	7 36.38	8 45 24.9	18 2 24.9
6	7	5	8 18.2	7 58.06	8 54 11.1	18 11 11.1
7	9	5	8 57.5	8 37.30	9 24 30.6	18 41 30.6
8	8.9	4	17.6	9 17.60	9 20 56.6	18 37 56.6
9	8	4	31.8	9 31.75	9 17 43.9	18 34 43.9
10	9	7	59.6	9 19.35	9 15 15.0	18 32 15.0
11	8.9	3	44.5	11 4.64	9 10 34.2	18 27 34.2
12	7	3	50.8	11 10.95	9 14 57.6	18 31 57.6
13	9	5	25.5	11 5.31	9 16 19.1	18 33 19.1
14	9	6	20.6	11 50.45	9 13 23.8	18 30 23.8
15	8	6	50.2	12 20.16	9 25 57.4	18 42 57.4
16	6	7	20.6	12 40.24	9 43 49.5	19 0 49.5
17	8	3	2.3	14 22.49	9 40 18.6	18 57 18.6
18	8	3	36.4	14 56.52	9 3 46.0	18 20 46.0
19	9	7	3.5	14 23.30	9 2 39.8	18 19 39.8
20	8	4	33.8	15 33.80	8 54 58.1	18 11 58.1
21	9	7	15.2	15 35.13	8 29 29.0	17 46 29.0
22	7.8	5	47.5	16 27.43	8 15 59.0	17 32 59.0
23	7	5	6.0	16 45.94	8 12 29.1	17 29 29.1
24	9	7	28.2	16 48.21	8 7 25.2	17 24 25.2
25	8.9	6	50.6	17 20.67	8 9 51.2	17 26 51.2
26	8	1	28.0	19 8.12	8 9 8.4	17 26 8.4
27	9	5	8.3	18 48.30	7 39 51.5	16 56 51.5
28	8.9	4	22.5	19 22.50	7 38 5.0	16 55 5.0
29	8	7	47 :	19 7	8 9 8.3	17 26 8.4
30	8	5	16.6	19 56.53	8 15 44.0	17 32 44.0

*Hülftafel zur Reduction auf den mittl.
Ort 1850 Januar 0 D = -28°.*

T.	k	k'	d
u 7 40' -13.73	-6	-5	+30.1 +1.1 +
50 -13.79	-7	-5	+31.2 +1.1 +
8 0 -13.86	-6	-5	+32.3 +1.0 +
10 -13.92		-4	+33.3 +

126 Fad. 7. 33.1

Ziemlich gute Luft.

ZONE 397. 1852 März 3. 0.

NC. 6 18' - 1' 45.38
8 27 - 1 47.34
Anf. 28 1.34 + 1.0 27.5
Ende 1.52 + 0.2 26.5
Microsc. I + 7".58 u. + 8".06
Declin. = - (Microsc. I + 9° 17' 0")
8u r+i -9".097 Ar+0".004 A+0'

*Hülftafel zur Reduction auf den mittl.
Ort 1850 Januar 0 D = -18°.*

T.	k	k'	d
u 7 0' -14.76	-5	-6	+22.4 +1.4 +
10 -14.81	-6	-6	+23.8 +1.4 +
20 -14.87		-6	+25.2 +

3 Fad. 7. 14.6 Fäden 34".02 und 34".6
9 " 5. 51.9
15 " 7. 0.6
16. Zeit vielleicht 21".6.
25 Fad. 7. 0.7
26. 29. derselbe.

No.	Gr.	Fad.	Beob. Zeit.	T.	Microsc. I	Südl. Declin.
31	5.6	4	41.8	7 20' 41.80	8 17' 26.9	17 34' 26.9
32	7	4	21 10.6	21 10.48	8 54 54.1	18 11 54.1
33	7.8	4	21 13.0	21 13.08	8 55 9.0	18 12 9.0
34	8.9	1	26.5	23 6.90	9 46 37.6	19 3 37.6
35	8.9	3	56.7	23 16.93	9 56 18.4	19 13 18.4
36	6.7	2	11.2	23 41.55	9 56 18.3	19 13 18.3
37	7.8	3	24 28.8	25 9.23	9 55 7.6	19 12 7.6
38	8.9	6	6.3	24 36.13	9 20 26.8	18 37 26.8
39	8.9	2	28.5	25 58.73	9 16 45.6	18 33 45.6
40	9	4	2.4	26 2.40	9 8 54.1	18 25 54.1
41	7	7	32.0	25 51.83	8 55 29.7	18 12 29.7
42	8	5	44.8	26 24.65	8 55 55.7	18 12 55.7
43	6	5	27 18.3	26 58.05	9 48 37.3	19 5 37.3
44	9	7	52.6	27 12.30	9 28 46.5	18 45 46.5
45	8.9	4	32.2	28 32.20	9 22 42.6	18 39 42.6
46	8.9	4	51.6	28 51.60	9 18 1.3	18 35 1.3
47	7.8	3	13.2	29 33.35	9 14 26.4	18 31 26.4
48	9	2	36.1	30 6.29	9 11 12.7	18 28 12.7
49	8.9	3	5.5	30 25.65	9 20 37.6	18 37 37.6
50	9	4	30.3	30 30.30	9 10 31.0	18 27 31.0
51	9	4	53.7	30 53.70	9 12 2.0	18 29 2.0
52	7.8	7	38.5	30 58.35	8 51 24.6	18 8 24.6
53	9	3	27.5	32 47.06	8 30 57.4	17 47 57.4
54	7	3	50.5	33 10.53	8 15 19.6	17 32 19.6
55	9	4	21.4	33 21.40	8 17 30.0	17 34 30.0
56	9	3	39.5	33 59.54	8 20 13.2	17 37 13.2
57	9	4	59.5	33 59.57	8 15 4.5	17 32 4.5
58	7	4	39.8	34 39.80	7 31 32.6	16 48 32.6
59	8	2	13.3	35 43.20	7 29 30.1	16 46 30.1
60	9	5	35 58.5	35 38.49	7 41 46.7	16 58 46.7
61	9	5	37.4	36 17.38	7 46 34.8	17 3 34.8
62	8	5	6.9	36 46.90	7 38 56.5	16 55 56.5
63	7	5	29.5	37 9.46	7 56 7.6	17 13 7.6
64	7.8	3	54.5	38 14.50	8 3 42.0	17 20 42.0
65	7.8	6	17.6	37 47.62	8 13 59.0	17 30 59.0
66	8	5	38 51.6	38 31.45	8 5 53.7	17 22 53.7
67	9	4	37.0	39 37.00	7 59 14.0	17 16 14.0
68	9	5	57.0	39 36.95	8 2 17.9	17 19 17.9
69	9	6	15.5	39 45.51	8 12 11.1	17 29 11.1
70	8	6	41 25.8	40 55.56	9 45 28.9	19 2 28.9
71	7	5	56.0	41 35.75	9 45 27.9	19 2 27.9
72	8	5	4.7	41 44.46	9 41 8.0	18 58 8.0
73	7	4	19.9	42 19.90	9 31 36.4	18 48 36.4
74	5	3	49.6	43 9.68	7 34 36.2	16 51 36.2
75	8.9	5	39.8	43 19.81	7 31 39.8	16 48 39.8
76	9	6	5.4	43 35.40	8 24 11.7	17 41 11.7
77	7	4	38.9	44 38.90	8 35 40.9	17 52 40.9
78	8	3	59.7	45 19.77	8 38 2.6	17 55 2.6
79	7.8	4	18.3	45 18.29	8 42 5.7	17 59 5.7
80	9	6	3.7	45 33.60	9 28 30.6	18 45 30.6
81	9	4	58.4	46 58.40	9 43 1.1	19 0 1.1
82	9	7	19.9	46 39.53	9 45 45.0	19 2 45.0
83	8.9	6	47.5	47 17.22	9 52 1.0	19 9 1.0
84	7	7	19.5	47 39.39	8 40 3.7	17 57 3.7
85	8.9	7	50.4	48 10.31	8 35 20.9	17 52 20.9

Hülftafel zur Reduction auf den mittlern Ort 1850 Januar 0 D = - 18°.

T.	k	k'	d	d'
7 20' - 14.87	-6	-6	+25.2	+1.3
30 - 14.93	-6	-5	+26.5	+1.3
40 - 14.99	-5	-5	+27.8	+1.2
50 - 15.04		-5	+29.0	+12.9

32 Fad. 5. 30.5

33 " 5. 33.3

36 " 3. 21.4, Fad. 4. 41.6, Fad. 5. 1.7

37. Nach dem Zeugniß von LL. 14709, Z. 284 No. 158 und Z. 359 No. 219 ist statt des 3^{ten} der 1^{te} Faden zu lesen; danach ist T berechnet.

39 Fad. 3. 38.6

57 " 5. 19.7

69 " 7. 25.5

74 " 4. 9.8

79 " 5. 38.4

80 " 7. 14.0

83 " 7. 57.6

Nº.	Gr.	Fad.	Beob. Zeit.	T.	Microsc. I	Südl. Declin.
86	8.9	7	6.5	7 48' 26.45	8 24' 17.1	17 41' 17.1
87	9	5	50 5.6	49 45.57	7 54 49.9	17 11 49.9
88	9	6	28.0	49 58.06	8 0 2.6	17 17 2.6
89	7.8	4	12.9	51 12.90	9 27 52.1	18 44 52.1
90	7.8	4	35.6	51 35.60	9 35 30.1	18 52 30.1
91	7.8	4	54.7	51 54.70	9 49 52.5	19 6 52.5
92	8	4	10.6	52 10.58	9 45 30.9	19 2 30.9
93	7.8	4	40.7	52 40.70	9 39 11.0	18 56 11.0
94	7	5	16.7	52 56.46	9 46 1.3	19 4 1.3
95	8.9	1	49.7	54 30.10	9 47 31.8	19 4 31.8
96	8.9	3	19.7	54 39.87	9 26 45.9	18 43 45.9
97	7	3	46.6	55 6.71	8 57 12.0	18 14 12.0
98	9	3	8.0	55 28.10	8 49 10.4	18 6 10.4
99	9	4	55 38.5	55 38.50	8 59 23.8	18 16 23.8
100	8.9	6	56 39.4	56 9.46	7 59 22.5	17 16 22.5
101	7	1	57 21.0	58 0.98	7 58 14.0	17 15 14.0
102	8.9	4	3.4	58 3.40	10 4 37.4	19 21 37.4
103	7	4	17.0	58 17.01	10 1 40.4	19 18 40.4
104	9	7	58 51.5	58 11.05	10 4 38.0	19 21 38.0
105	8.9	5	43.5	59 23.39	8 36 38.2	17 53 38.2
106	9	7	5.5	59 25.42	8 32 57.6	17 49 57.6
107	7	7	28.4	59 48.29	8 40 16.0	17 57 16.0
108	8.9	6	17.5	8 0 47.51	8 19 7.4	17 36 7.4
109	4	3	2 14.6	2 34.84	9 31 55.8	18 48 55.8
110	8.9	4	3 50.8	3 50.80	8 28 40.0	17 45 40.0
111	8.9	4	4 18.4	4 18.40	8 32 35.5	17 49 35.5
112	7.8	4	4 32.6	4 32.60	8 38 9.6	17 55 9.6
1	8.9	3	30 5.2	7 30 25.28	9 20 35.1	18 37 55.1
2	8.9	3	32 3.3	32 23.56	10 13 24.6	19 30 44.6
3	7.8	4	37.9	32 37.90	10 39 4.5	19 56 24.5
4	9	4	26.0	33 26.00	10 37 36.8	19 54 56.8
5	9	4	3.6	34 3.60	10 30 19.9	19 47 39.9
6	6.7	7	32.3	33 51.86	10 2 23.1	19 19 43.1
7	8.9	6	17.7	34 47.49	9 34 14.4	18 51 34.4
8	9	7	40.4	35 0.08	9 32 25.7	18 49 45.7
9	8	5	4.5	35 44.27	9 35 45.8	18 53 5.8
10	7	6	27.0	35 56.81	9 28 39.2	18 45 59.2
11	8	7	47.6	36 7.22	9 47 28.2	19 4 48.2
12	9	5	40.2	37 19.89	10 17 5.4	19 34 25.4
13	9	4	53.7	37 53.70	10 13 17.8	19 30 37.8
14	8.9	4	38 38.7	38 38.70	10 2 29.3	19 19 49.3
15	8.9	5	39 55.4	39 35.00	10 59 37.0	20 16 57.0
16	8.9	7	15.3	39 34.61	11 2 59.9	20 20 19.9
17	8.9	7	31.6	39 50.89	11 6 59.3	20 24 19.3
18	7.8	5	48.3	40 27.87	11 11 6.1	20 28 26.1
19	8.9	4	9.2	41 9.20	11 8 29.6	20 25 49.6
20	9	6	29.6	40 59.10	11 5 21.3	20 22 41.3
21	8	5	42 25.4	42 5.05	10 35 34.8	19 52 54.8
22	7	3	4.3	43 24.60	10 32 52.2	19 50 12.2
23	8.9	4	19.0	43 19.00	10 29 35.0	19 46 55.0
24	7	6	48.2	43 18.02	9 51 9.7	19 8 29.7
25	6.7	6	12.3	43 41.93	9 52 11.0	19 9 31.0
26	9	4	39.9	44 39.90	9 47 24.1	19 4 44.1
27	8.9	7	11.5	44 31.08	9 59 0.0	19 16 20.0
28	9	5	37.5	45 17.23	9 59 6.6	19 16 26.6

Hülftafel zur Reduction auf den mittlere Ort 1850 Januar 0 D = - 18°.

T.	k	k'	d
u			
7 50' - 15.04	-6	-5	+29.0 +1.2 +
8 0 - 15.10	-6	-5	+30.2 +1.2 +
10 - 15.16		-5	+31.4 +

86. Zeit unsicher beobachtet.

92 Fad. 5. 30.8

94 „ 6. 26.7 Nach dem Zeugnis von 15648 und Z. 278 N°. 143 ist die Minute Microscops 47 zu lesen; damit ist die berechnet.

101 Fad. 2. 31.0

103 „ 5. 37.3

104. Zeit unsicher beobachtet.

106. ebenso.

109 Fad. 4. 34.9

Die Sterne unruhig, aber meistens recht dist
Bald nach dem Anfange einzelnes Gewi

ZONE 398. 1852 März 5. Os

NC.	7 5' - 1' 46.87
	10 13 - 1 47.77
Anf.	28 7.87 + 0.5 27.2
8 42	26.0
Ende	28 8.10 - 0.4 24.2
Microsc. I	+ 9''.03
Decl.	= - (Microsc. I + 9° 17' 20'')
9° r+i	- 8''.750 Δr + 0''.008 Δi + 0'

Hülftafel zur Reduction auf den mittlere Ort 1850 Januar 0 D = - 20°.

T.	k	k'	d
u			
7 30' - 14.49	-6	-5	+29.0 +1.3 +
40 - 14.55	-6	-5	+30.3 +1.2 +
50 - 14.61		-5	+31.5 +

1 Fad. 4. 25.2

24 „ 7. 58.5

Nr.	Gr.	Fad.	Beob. Zeit.	T.	Microsc. 1	Südl. Declin.
29	8.9	3	57.5	7 ^u 46' 17.74	9 59' 31.1	19° 16' 51.1
30	8	4	15.7	46 15.70	9 7 30.1	18 24 50.1
31	9	5	6.3	46 46.03	9 55 31.3	19 12 51.3
32	9	7	22.7	46 42.28	9 58 21.9	19 15 41.9
33	8.9	6	47 47.2	47 16.93	9 51 58.4	19 9 18.4
34	8.9	7	31.8	47 51.37	10 0 45.7	19 18 5.7
35	8.9	1	49 36.2	50 17.02	11 23 24.1	20 40 44.1
36	7.8	5	21.0	50 0.63	10 47 13.6	20 4 33.6
37	7.8	2	2.0	51 32.47	10 44 52.5	20 2 12.5
38	8.9	5	14.6	51 54.20	10 55 3.3	20 12 23.3
39	8.9	2	43.4	53 13.85	10 4 24.2	19 21 44.2
40	8.9	2	19.8	53 50.15	10 2 49.6	19 20 9.6
41	8	2	59.2	54 29.50	9 47 32.6	19 4 52.6
42	8.9	3	19.5	54 39.67	9 26 43.1	18 44 3.1
43	9	3	18.5	55 38.74	9 57 35.0	19 14 55.0
44	9	3	44.2	56 4.41	9 46 24.1	19 3 44.1
45	9	6	10.8	55 40.57	9 42 37.0	18 59 57.0
46	7.8	7	47.2	56 6.62	10 37 25.1	19 54 45.1
47	8.9	7	13.6	56 32.98	10 46 44.3	20 4 4.3
48	9	2	36.5	58 6.94	10 41 16.6	19 58 36.6
49	8.9	1	16.9	58 57.61	11 12 18.2	20 29 38.2
50	8.9	1	53.6	59 34.38	11 15 11.9	20 32 31.9
51	9	3	24.6	59 44.94	10 49 2.8	20 6 22.8
52	9	4	56.2	59 56.20	10 54 20.2	20 11 40.2
53	8.9	4	18.2	8 0 18.20	10 49 36.6	20 6 56.6
54	8	6	38.4	0 8.00	10 37 37.0	19 54 57.0
55	6	4	0 55.5	0 55.46	10 50 37.0	20 7 57.0
56	9	5	41.6	1 21.20	10 58 19.3	20 15 39.3
57	8.9	4	3.4	2 3.40	10 48 27.3	20 5 47.3
58	7	4	20.2	2 20.20	10 38 54.9	19 56 14.9
59	8.9	7	44.0	2 3.37	10 48 28.2	20 5 48.2
60	8	5	59.8	2 39.43	10 46 47.6	20 4 7.6
61	8	5	35.4	3 15.06	10 30 52.2	19 48 12.2
62	9	6	52.0	3 21.61	10 32 26.4	19 49 46.4
63	9	7	0.4	3 19.87	10 25 59.6	19 43 19.6
64	8.9	7	40.6	4 0.10	10 17 3.3	19 34 23.3
65	8	4	5 8.0	5 8.00	10 34 17.2	19 51 37.2
66	8.9	4	39.4	5 39.40	10 52 54.5	20 10 14.5
67	9	6	16.3	5 45.83	10 57 50.1	20 15 10.1
68	8.9	3	47.0	7 7.34	10 50 43.1	20 8 3.1
69	8	5	10.4	6 49.93	11 30 38.4	20 47 58.4
70	9	4	37.8	7 37.80	11 38 37.8	20 55 57.8
71	8	5	5.2	7 44.61	11 39 13.3	20 56 33.3
72	8	3	24.0	8 44.44	11 36 22.1	20 53 42.1
73	8	6	9 10.6	8 39.93	11 56 15.0	21 13 35.0
74	9	4	47.8	9 47.80	11 45 41.9	21 3 1.9
75	7	3	12.0	10 32.47	11 34 45.0	20 52 5.0
76	8.9	7	55.3	10 14.54	11 16 40.0	20 34 0.0
77	9	7	21.9	10 41.23	10 57 23.5	20 14 43.5
78	9	7	9.4	11 28.80	10 41 13.6	19 58 33.6
79	8.9	6	25.0	11 54.61	10 31 45.9	19 49 5.9
80	8.9	7	38.3	11 57.74	10 32 33.4	19 49 53.4
81	7	5	16.6	12 56.28	10 25 8.1	19 42 28.1
82	8.9	5	39.0	13 18.81	10 22 36.0	19 39 56.0
83	6	1	14 14.3	14 54.77	10 19 35.0	19 36 55.0

*Hülfsstafel zur Reduction auf den mittlern
Ort 1850 Januar 0 D = - 20°.*

T.	k	k'	d	d'
7 40' 14.55	-6	-5	+30.3	+1.2
50' 14.61	-6	-5	+31.5	+1.2
8 0' 14.67	-6	-5	+32.7	+1.1
10' 14.73	-6	-5	+33.8	+1.1
20' 14.79	-6	-4	+34.9	+1.9

39 Fad. 3. 53.7
 48 " 3. 46.6
 49 " 2. 27.0
 55 " 5. 15.8
 57. 59. derselbe.
 61. Grösse zweifelhaft.
 75 Fad. 4. 32.5
 82 " 6. 49.3
 83 " 2. 24.3

No.	Gr.	Fad.	Beob. Zeit.	T.	Microsc. I	Südl. Declin.
84	9	3	46.5	8 15' 6.79	10 26' 41.6	19 44' 1.6
85	9	3	7.3	15 27.49	10 19 54.3	19 37 14.3
86	9	6	24.3	15 53.80	11 4 34.2	20 21 54.2
87	7.8	7	40.9	16 0.15	11 15 0.9	20 32 20.9
88	9	4	17.3	17 17.30	11 18 12.0	20 35 32.0
89	8.9	5	35.6	17 15.15	11 23 18.6	20 40 38.6
90	9	6	0.7	17 30.14	11 26 17.1	20 43 37.1
91	9	7	23.6	17 42.77	11 31 49.6	20 49 9.6
92	9	5	0.4	18 39.90	11 42 17.9	20 59 37.9
93	8.9	7	22.5	18 41.58	11 51 50.9	21 9 10.9
94	8.9	7	43.2	19 2.30	11 48 28.0	21 5 48.0
95	8	4	9.6	20 9.60	11 47 32.9	21 4 52.9
96	9	6	35.4	20 4.84	11 24 30.5	20 41 50.5
97	8.9	4	59.7	20 59.79	11 12 45.4	20 30 5.4
98	6.7	5	28.5	21 8.09	11 4 17.8	20 21 37.8
99	7	2	57.6	22 28.12	11 10 24.6	20 27 44.6
100	8.9	3	31.3	22 51.70	11 15 47.7	20 33 7.7
101	7.8	2	15.7	23 46.25	11 7 9.3	20 24 29.3
102	9	2	32.0	24 2.54	11 5 34.0	20 22 54.0
103	8.9	5	13.4	23 53.06	10 30 20.1	19 47 40.1
104	7.8	3	16.5	24 36.85	10 31 24.1	19 48 44.1
105	8	5	13.7	24 53.46	9 43 33.6	19 0 53.6
106	6.7	7	41.6	25 1.22	9 47 51.3	19 5 11.3
107	8.9	5	0.4	25 40.14	9 54 1.9	19 11 21.9
108	8.9	3	39.3	26 59.53	9 57 6.6	19 14 26.6
109	9	4	58.5	26 58.67	9 59 1.6	19 16 21.6
110	9	4	50.2	27 50.20	9 46 37.9	19 3 57.9
111	8	7	40.6	27 59.81	11 24 34.0	20 41 54.0
112	7.8	7	8.6	28 27.74	11 39 53.1	20 57 13.1
113	8	4	49.5	29 49.50	11 15 48.2	20 33 8.2
114	9	4	16.0	30 16.01	10 50 4.3	20 7 24.3
115	8.9	1	54.5	31 35.16	10 48 56.4	20 6 16.4
116	8	4	26.2	31 26.20	10 30 42.3	19 48 2.3
117	9	4	44.0	31 44.03	10 37 42.8	19 55 2.8
118	9	4	39.3	32 39.30	10 10 47.5	19 28 7.5
119	8.9	3	38.2	33 58.39	9 38 23.0	18 55 43.0
120	9	5	13.9	33 53.69	9 29 37.5	18 46 57.5
121	8	3	29.2	34 49.40	9 38 46.4	18 56 6.4
122	7.8	7	18.1	34 37.65	10 6 28.6	19 23 48.6
123	8	6	37.3	35 6.98	10 10 53.6	19 28 13.6
124	9	3	8.2	36 28.57	10 51 38.0	20 8 58.0
125	8.9	4	3.9	37 3.90	11 17 25.0	20 34 45.0
126	8.9	3	32.4	37 52.87	11 49 13.2	21 6 33.2
127	9	5	55.6	37 35.08	11 49 55.0	21 7 15.0
128	8.9	5	23.0	38 2.48	11 52 38.7	21 9 58.7
129	8.9	4	48.8	39 48.80	10 36 20.6	19 53 40.6
130	8.9	3	17.8	40 38.10	10 29 55.8	19 47 15.8
131	9	3	56.2	41 16.43	9 57 26.4	19 14 46.4
132	7	7	43 56.3	43 15.56	11 12 43.8	20 30 3.8
133	8.9	7	44 15.6	43 34.84	11 18 30.1	20 35 50.1
134	8.9	7	54.4	44 13.65	11 15 2.0	20 32 22.0
135	8.9	3	36.4	45 56.85	11 38 56.9	20 56 16.9
136	9	4	13.5	46 13.50	11 53 0.2	21 10 20.2
137	8.9	3	58.2	47 18.58	11 8 44.7	20 26 4.7
138	8.9	6	55.3	47 24.77	10 35 7.0	19 52 27.0

*Hülftafel zur Reduction auf den mittl.
Ort 1850 Januar 0 D = - 20°.*

T.	k	k'	d
8 10' - 14.73	-6	-5	+33.8
20 - 14.79	-6	-4	+34.9
30 - 14.85	-5	-4	+35.9
40 - 14.90	-6	-4	+36.9
50 - 14.96		-4	+37.8

- 85 Fad. 4. 27.4
 97 „ 5. 20.3
 99 „ 3. 7.7
 104 „ 4. 36.9
 109 „ 5. 19.1 giebt 58''.83
 114 „ 5. 36.4
 117 „ 5. 4.4
 121 „ 4. 49.4
 124 „ 4. 28.6
 128 „ 7. 43.4
 133. Wahrscheinlich ist statt des 7^{ten} der
 Faden zu lesen und, dann T. 43' 55''
 vergl. Z. 354 N^o 152 und LL. 17474.
 134. Zeitsecunde zweifelhaft; nach Z. 354 N^o
 ist sie richtig.
 138 Fad. 7. 5.2 Fäden 24''.91 und 24''.1

№.	Gr.	Fad.	Beob. Zeit.	T.	Microsc. I	Südl. Declin.
39	9	3	0.1	8 49 20.56	11 44 15.6	21 1 35.6
40	9	6	57.6	49 27.11	11 1 11.2	20 18 31.2
41	8.9	7	50 50.2	50 9.86	9 37 37.5	18 54 57.5
42	9	3	52 5.3	52 25.61	10 36 46.1	19 54 6.1
43	8.9	2	44.7	53 15.22	10 57 4.9	20 14 24.9
44	9	2	11.0	53 41.57	10 52 37.1	20 9 57.1
45	7.8	4	7.3	54 7.30	11 31 10.0	20 38 30.0
46	7.8	6	55 3.3	54 33.11	9 28 52.0	18 46 12.0
47	9	6	52.2	55 21.88	10 10 42.6	19 28 2.6
48	9	5	6.4	55 46.11	10 8 29.2	19 25 49.2
49	8.9	4	57 12.2	57 12.20	9 57 21.3	19 14 41.3
50	9	2	50.4	58 20.64	9 27 7.9	18 44 27.9
51	9	4	35.8	58 35.80	9 35 21.9	18 52 41.9
52	8.9	3	7.3	59 27.47	9 27 35.0	18 44 55.0
53	8.9	5	54.5	59 34.20	10 13 57.3	19 31 17.3
54	9	3	24.7	9 0 45.00	10 28 1.6	19 45 21.6
55	9	5	1 46.5	1 26.24	9 52 43.2	19 10 3.2
56	8	2	44.4	3 14.71	9 51 29.9	19 8 49.9
57	8.9	2	8.8	3 39.22	10 1 48.3	19 19 8.3
58	7	2	4 51.0	5 21.31	9 51 42.0	19 9 2.0
59	9	1	6 21.3	7 1.72	9 51 25.6	19 8 45.6
60	8.9	7	55.2	6 14.90	9 27 48.1	18 45 8.1
61	7.8	6	7 41.1	7 10.75	10 20 10.5	19 37 30.5
62	8.9	7	51.5	7 10.97	10 24 35.3	19 41 55.3
63	7	5	44.6	8 24.30	10 13 27.7	19 30 47.7
64	9	4	58.8	8 58.80	10 13 43.0	19 31 3.0
65	7	4	46.0	9 46.00	9 33 38.4	18 50 58.4
66	8	7	10 17.0	9 36.24	11 17 42.1	20 35 2.1
67	7.8	5	11 8.2	10 47.74	11 25 47.6	20 43 7.6
68	8.9	4	56.4	11 56.40	11 41 48.0	20 59 8.0
69	8	7	12 59.7	12 19.05	10 52 50.5	20 10 10.5
70	9	5	14 0.7	13 40.47	9 35 54.0	18 53 14.0
71	9	5	44.4	14 24.09	10 15 47.0	19 33 7.0
72	8.9	4	19.5	15 19.50	10 47 56.8	20 5 16.8
73	8.9	2	52.3	16 22.86	11 4 54.4	20 22 14.4
74	7	3	17.4	16 37.78	11 7 10.2	20 24 30.2
75	9	7	17 9.6	16 28.64	12 1 4.7	21 18 24.7
76	8	6	28.7	16 58.03	11 54 3.5	21 11 23.5
77	8.9	1	5.6	18 46.36	11 10 47.9	20 28 7.9
78	8.9	4	39.5	18 39.40	10 50 57.5	20 8 17.5
79	7	4	17.4	19 17.40	10 50 12.4	20 7 32.4
80	8	3	36.6	19 56.93	10 47 48.1	20 5 8.1
81	8.9	3	46.6	20 6.96	10 43 27.0	20 0 47.0
82	8	3	28.4	20 48.74	10 51 0.0	20 8 20.0
83	8.9	2	21.3	21 51.57	9 39 6.9	18 56 26.9
84	8	3	59.5	22 19.80	10 30 17.6	19 47 37.6
85	8	5	23.5	22 3.11	10 52 10.2	20 9 30.2
86	6	5	53.7	22 33.44	10 49 2.9	20 6 22.9
87	8.9	4	51.6	23 51.60	11 2 38.6	20 19 58.6
88	9	7	15.4	23 34.70	11 4 8.5	20 21 28.5
89	9	6	46.3	24 15.85	11 4 39.7	20 21 59.7
90	6	1	25 52.4	26 33.11	11 10 30.1	20 27 50.1
91	8	5	59.3	26 38.84	11 26 57.1	20 44 17.1
92	8.9	2	30.5	28 1.02	11 9 3.0	20 26 23.0
93	9	6	57.7	27 27.20	11 7 30.0	20 24 50.0

Hälftafel zur Reduction auf den mittlern Ort 1850 Januar 0 D = - 20°.

T.	k'	d	d'
8 50 - 14.96	-6	-4	+37.8 +0.8 +15.9
9 0 - 15.02	-5	-3	+38.6 +0.7 +16.0
10 - 15.07	-6	-3	+39.3 +0.7 +16.0
20 - 15.13	-5	-3	+40.0 +0.6 +16.0
30 - 15.18	-5	-2	+40.6 +0.5 +16.1

144 Fad. 3. 21.3

145. Nach dem Zeugniß von Z. 354 N°. 173, Z. 399 N°. 146 und LL. 17834 ist die Minute des Microscops 21 zu lesen, demgemäss ist die Decl. angesetzt.

155 Fad. 7. 7.2 giebt 26".80 und ist ausgeschlossen, weil er nur beobachtet ward, um einen Fehler von -1" zu constatiren, der bei Fad. 5 begangen war.

157 Fad. 4. 39.3

166. Zeit unsicher beobachtet.

173 Fad. 3. 2.5

177 " 2. 15.8

178 " 5. 59.7

181 " 4. 7.0

186 " 6. 4.0

189 " 7. 56.6

190 " 2. 2.6 Fad. 4. 33.0. Beim 2^{ten} Faden ward ein Fehler von -1" entdeckt und verbessert, der aber wohl erst bei diesem Sterne entstanden war.

192 Fad. 3. 40.6

Nº.	Gr.	Fad.	Beob. Zeit.	T.	Microsc. I	Südl. Declin.
194	9	3	37.9	9 28 58.26	11 3 23.4	20° 20' 43.4
195	8.9	3	18.7	29 39.05	10 56 21.6	20 13 41.6
196	9	6	47.5	29 17.11	10 36 29.5	19 53 49.5
197	8	7	8.0	30 27.20	11 27 0.0	20 44 20.0
198	8.9	4	45.0	31 45.00	11 24 34.1	20 41 54.1
199	9	7	4.0	31 23.20	11 25 55.6	20 43 15.6
200	8.9	5	39.3	32 18.85	11 20 32.4	20 37 52.4
201	9	5	33 0.9	32 40.60	11 15 45.4	20 33 5.4
1	9	4	32 11.2	7 32 11.21	2 12 13.5	21 29 53.5
2	8	2	14.7	33 45.76	3 39 4.4	22 56 44.4
3	8	4	47.5	33 47.50	3 43 52.0	23 1 32.0
4	8.9	3	21.6	34 42.21	2 47 22.1	22 5 2.1
5	9	5	44.5	34 23.85	2 44 57.2	22 2 37.2
6	6	4	10.9	35 10.90	2 42 16.9	21 59 56.9
7	6.7	4	33.6	35 33.60	2 46 19.0	22 3 59.0
8	9	2	0.2	36 31.09	2 46 14.4	22 3 54.4
9	9	6	22.7	35 51.89	2 35 51.6	21 53 31.6
10	9	7	40.5	35 59.38	2 34 52.0	21 52 32.0
11	7	4	6.4	37 6.40	2 39 34.2	21 57 14.2
12	7.8	4	37 29.6	37 29.60	2 31 40.0	21 49 20.0
13	8.9	4	8.5	38 8.50	2 10 42.2	21 28 22.2
14	9	4	50.7	38 50.70	1 48 44.0	21 6 24.0
15	9	7	16.0	38 35.21	1 24 44.3	20 42 24.3
16	9	5	57.9	39 37.43	1 34 14.4	20 51 54.4
17	9	6	21.6	39 51.00	1 34 34.9	20 52 14.9
18	7	7	51.7	40 10.77	1 53 56.0	21 11 36.0
19	8.9	7	3.6	40 22.70	1 48 52.9	21 6 32.9
20	7	2	50.0	42 20.87	2 21 12.9	21 38 52.9
21	8.9	2	48.3	43 19.22	2 54 14.6	22 11 54.6
22	9	4	26.1	43 26.10	3 52 42.9	23 10 22.9
23	9	4	58.9	43 58.90	3 30 2.5	22 47 42.5
24	9	4	32.6	44 32.60	3 30 24.8	22 48 4.8
25	8	4	2.5	45 2.50	3 21 57.2	22 39 37.2
26	8	5	29.3	45 8.54	3 33 29.0	22 51 9.0
27	8.9	5	46.7	45 25.96	3 23 19.6	22 40 59.6
28	7	4	30.3	46 30.30	2 33 19.6	21 50 59.6
29	8.9	3	41.0	47 1.58	2 33 52.3	21 51 32.3
30	8	3	8.4	47 28.93	2 14 59.9	21 32 39.9
31	8.9	4	45.6	47 45.60	2 21 25.3	21 39 5.3
32	9	5	28.5	48 7.91	2 19 56.6	21 37 36.6
33	8	3	48 47.0	49 7.55	2 20 42.9	21 38 22.9
34	9	4	22.3	49 22.30	2 16 2.6	21 33 42.6
35	8.9	5	11.3	49 50.57	3 19 27.5	22 37 7.5
36	7.8	5	38.5	50 17.73	3 19 15.5	22 36 55.5
37	3	5	59.4	50 38.69	3 11 46.3	22 29 26.3
38	8.9	7	25.6	50 44.32	3 8 27.0	22 26 7.0
39	8.9	7	34.7	50 53.40	3 11 55.9	22 29 35.9
40	8.9	4	56.7	51 56.70	3 17 1.3	22 34 41.3
41	8	5	52 24.0	52 3.27	3 19 15.1	22 36 55.1
42	9	5	2.0	52 41.28	3 15 56.3	22 33 36.3
43	9	5	31.5	53 10.79	3 10 44.2	22 28 24.2
44	9	5	56.7	53 35.99	3 11 7.0	22 28 47.0
45	8.9	4	23.7	54 23.70	3 9 48.2	22 27 28.2
46	7	4	3.0	55 3.00	2 38 26.1	21 56 6.1
47	8	4	5.6	55 5.68	2 38 16.0	21 55 56.0

196 Fad. 7. 57.7

199. Zeit unsicher.

201 Fad. 5. 21.5

Die Sterne, obgleich unruhig, Anfangs doch gut zu beobachten; von 8^u 40' an aber den sie blass und gross, und waren es letzt in sehr hohem Grade.

ZONE 399. 1852 März 7. O

$$\begin{array}{l} \text{NC. } 7' 20'' - 1' 48.65 \\ 9' 31'' - 1' 51.55 \end{array}$$

$$\begin{array}{l} \text{Anf. } 28' 6.37 + 2.5' 33.6 \\ 8' 37'' - 32.4 \end{array}$$

Ende 6.39 + 2.0 31.6

$$\begin{array}{l} \text{Microsc. I} + 10'' 78 \text{ u.} + 9'' 91 \\ \text{Declin.} = - (\text{Microsc. I} + 19^\circ 17' 40'') \end{array}$$

$$8^\circ \tau + i - 8'' 406 \quad \Delta \tau + 0'' 004 \quad \Delta i + 0''$$

Hilfstafel zur Reduction auf den mittl. Ort 1850 Januar 0 D = -22°.

T.	k	k'	d
7 30' - 14.02	-6	-6	+30.3 +1.5 +
40 - 14.08	-7	-6	+31.8 +1.5 +
50 - 14.15	-6	-6	+33.3 +1.5 +
8 0 - 14.21		-5	+34.8 +

1 Fad. 5. 31.8

2 " 3. 25.0

20 " 3. 0.4

47 " 5. 26.4

No.	Gr.	Fad.	Beob. Zeit.	T.	Microsc. I	Südl. Declin.
48	8.9	4	10.8	7 56 10.80	2 30 32.0	21 48 12.0
49	7.8	4	20.0	56 19.94	2 33 43.1	21 51 23.1
50	7.8	1	4.3	57 45.20	1 40 24.8	20 58 4.8
51	7.8	1	21.0	58 1.91	1 42 30.1	21 0 10.1
52	7.8	5	8.0	57 47.45	2 6 44.3	21 24 24.3
53	7.8	4	58 45.0	58 45.00	2 43 34.6	22 1 14.6
54	8	3	59 48.0	8 0 8.54	2 19 33.0	21 37 13.0
55	7	4	0 7.7	0 7.70	2 30 53.2	21 48 33.2
56	9	5	41.6	0 20.97	2 39 26.9	21 57 6.9
57	9	6	7.2	0 36.36	2 45 1.4	22 2 41.4
58	8	6	29.6	0 58.85	2 20 7.6	21 37 47.6
59	9	7	44.0	1 2.96	2 19 0.1	21 36 40.1
60	7	6	24.0	1 53.23	2 25 8.8	21 42 48.8
61	7.8	5	52.5	2 31.97	1 58 55.2	21 16 35.2
62	7	5	17.0	2 56.48	1 51 19.3	21 8 59.3
63	8.9	5	33.5	3 12.98	1 52 21.0	21 10 1.0
64	9	7	51.3	3 10.36	1 58 6.6	21 15 46.6
65	8	7	8.3	3 27.34	2 3 18.0	21 20 58.0
66	8.9	5	38.6	4 18.04	2 8 14.4	21 25 54.4
67	8.9	7	4 57.3	4 16.28	2 14 13.0	21 31 53.0
68	8	4	5 43.6	5 43.60	2 15 50.0	21 33 30.0
69	7.8	7	9.7	5 28.74	2 1 24.7	21 19 4.7
70	8.9	7	33.4	5 52.44	2 2 48.9	21 20 28.9
71	8.9	7	59.4	6 18.42	2 7 30.8	21 25 10.8
72	8	6	7 34.5	7 3.82	1 50 4.6	21 7 44.6
73	8	6	8.4	7 37.79	1 38 40.7	20 56 20.7
74	7.8	7	25.2	7 44.34	1 39 12.0	20 56 52.0
75	8.9	5	4.4	8 43.92	1 36 22.3	20 54 2.3
76	7	1	9 43.3	10 24.33	2 8 22.0	21 26 2.0
77	8	1	21.7	11 2.71	2 5 5.6	21 22 45.6
78	8.9	2	58.7	11 29.46	2 3 9.5	21 20 49.5
79	8	3	33.9	11 54.61	3 28 48.3	22 46 28.3
80	9	4	15.2	12 15.20	3 4 21.9	22 22 1.9
81	9	3	43.8	13 4.46	3 7 31.2	22 25 11.2
82	9	7	22.6	12 41.79	2 29 21.7	21 47 1.7
83	9	7	57.3	13 16.48	2 30 19.2	21 47 59.2
84	9	3	28.4	14 48.83	2 29 35.2	21 47 15.2
85	7.8	5	14 56.2	14 35.56	2 41 36.3	21 59 16.3
86	9	3	38.5	15 59.07	2 33 5.0	21 50 45.0
87	8	3	55.8	16 16.47	2 22 20.7	21 40 0.7
88	8.9	4	19.3	16 19.20	2 22 11.1	21 39 51.1
89	8.9	6	6.5	16 35.82	1 49 38.4	21 7 18.4
90	8.9	6	24.0	16 53.32	1 49 5.7	21 6 45.7
91	9	7	18 1.6	17 20.69	1 51 16.8	21 8 56.8
92	8.9	4	41.4	18 41.40	1 51 49.9	21 9 29.9
93	8	5	59.7	18 39.20	1 42 19.1	20 59 59.1
94	8	5	22.5	19 1.99	1 48 30.4	21 6 10.4
95	8	3	48.6	20 9.06	1 47 32.4	21 5 12.4
96	7	4	20 42.0	20 42.00	3 28 27.0	22 46 7.0
97	6.7	6	24.1	20 53.09	3 39 33.9	22 57 13.9
98	7	3	56.7	22 17.38	3 17 22.6	22 35 2.6
99	8.9	7	33.8	21 52.69	2 32 51.4	21 50 31.4
100	9	5	23 2.5	22 41.89	2 33 4.5	21 50 44.5
101	8.9	7	49.4	23 8.58	1 30 8.3	20 47 48.3
102	8	2	24 51.3	25 22.41	3 44 43.4	23 2 23.4

Hälftafel zur Reduction auf den mittlern Ort 1850 Januar 0 D = - 22°.

T.	k	k'	d	d'
7 50-14.15	-6	-6	+33.3	+1.5
8 0-14.21	-7	-5	+34.8	+1.4
10-14.28	-6	-5	+36.2	+1.3
20-14.34	-7	-5	+37.5	+1.2
30-14.41	-5	-5	+38.7	+1.1

49 Fad. 5. 40.5
 59. Zeit unsicher beobachtet.
 72 Fad. 7. 44.7
 87 " 4. 16.6
 88 " 5. 39.7

No.	Gr.	Fad.	Beob. Zeit.	T.	Microsc. I	Südl. Declin.
103	9	4	40.5	8° 25' 40.50"	1° 47' 52.7"	21° 5' 32.7"
104	8.9	4	36.2	26 36.20	1 57 22.6	21 15 2.6
105	7.8	3	12.3	27 32.92	2 14 27.4	21 32 7.4
106	7	1	1.5	28 42.58	2 27 19.8	21 44 59.8
107	9	4	37.8	28 37.80	2 25 44.6	21 43 24.6
108	9	5	5.6	28 44.98	2 34 37.1	21 52 17.1
109	9	5	47.7	29 27.13	2 11 39.5	21 29 19.5
110	9	5	13.4	29 52.84	2 10 39.6	21 28 19.6
111	9	6	31.2	30 0.48	2 10 54.6	21 28 34.6
112	8.9	5	31 16.7	30 56.24	1 25 7.8	20 42 47.8
113	8.9	5	10.7	31 50.06	2 42 25.6	22 0 5.6
114	5	3	27.6	32 48.31	2 52 10.4	22 9 50.4
115	8	2	12.1	33 43.13	3 23 40.4	22 41 20.4
116	8.9	7	10.6	33 29.76	1 35 14.9	20 52 54.9
117	8.9	5	27.3	34 6.84	1 29 31.1	20 47 11.1
118	7.8	4	11.1	35 11.10	2 22 43.8	21 40 23.8
119	7	4	30.0	35 30.00	2 12 45.6	21 30 25.6
120	7	3	49.3	36 9.88	2 34 3.4	21 51 43.4
121	8.9	4	37 42.3	37 42.30	3 46 6.9	23 3 46.9
122	6.7	4	21.3	38 21.30	3 57 27.0	23 15 7.0
123	9	5	1.6	38 40.84	3 31 24.5	22 49 4.5
124	8.9	4	26.5	39 26.50	2 55 5.6	22 12 45.6
125	8	5	48.8	39 28.14	2 53 28.6	22 11 8.6
126	9	7	59.0	39 17.79	2 54 25.7	22 12 5.7
127	9	7	19.4	39 38.19	2 53 39.1	22 11 19.1
128	8	6	46.7	40 15.82	2 51 57.2	22 9 37.2
129	7.8	3	41 35.8	41 56.31	2 3 23.3	21 21 3.3
130	9	7	31.3	41 50.48	1 30 54.2	20 48 34.2
131	9	7	10.8	42 29.55	3 2 13.9	22 19 53.9
132	8	5	34.3	43 13.68	2 55 6.3	22 12 46.3
133	8.9	4	21.7	44 21.70	3 22 34.2	22 40 14.2
134	7.8	4	44 45.6	44 45.60	3 11 35.5	22 29 15.5
135	9	6	46 1.4	45 30.58	2 24 46.2	21 42 26.2
136	9	7	31.7	45 50.62	2 26 20.3	21 44 0.3
137	8.9	5	48.6	46 28.00	2 26 32.6	21 44 12.6
138	7.8	7	47 20.5	46 39.47	2 16 14.4	21 33 54.4
139	7	5	48 26.7	48 5.92	3 40 7.0	22 57 47.0
140	9	5	7.5	48 46.69	3 51 0.0	23 8 40.0
141	6.7	4	33.6	49 33.60	3 57 39.5	23 15 19.5
142	8.9	3	2.4	50 22.99	2 40 0.9	21 57 40.9
143	8.9	2	51 37.8	52 8.74	2 58 31.6	22 16 11.6
144	7.8	4	52 9.5	52 9.50	3 5 8.1	22 22 48.1
145	8	2	44.7	53 15.51	2 16 21.9	21 34 1.9
146	7	2	36.4	54 7.00	1 21 14.9	20 38 54.9
147	7.8	5	17.5	53 56.88	2 36 53.0	21 54 33.0
148	9	4	52.5	54 52.50	2 31 35.2	21 49 15.2
149	9	5	46.5	55 25.77	2 40 16.4	21 57 56.4
150	9	3	38.5	56 59.04	2 18 19.5	21 35 59.5
151	9	7	58 11.5	57 30.11	3 29 13.9	22 46 53.9
152	8.9	4	56.0	58 56.00	3 5 29.6	22 23 9.6
153	8	5	46.5	59 26.01	1 39 18.0	20 56 58.0
154	9	2	1 4.2	9 1 34.97	2 10 54.3	21 28 34.3
155	8.9	1	1 31.0	2 12.01	2 5 55.2	21 23 35.2
156	7	1	27.6	3 8.79	2 42 48.5	22 0 28.5
157	9	7	5.6	2 24.11	3 50 24.3	23 8 4.3

*Hülftafel zur Reduction auf den mittl.
Ort 1850 Januar 0 D = - 22°.*

T.	k	k'	d	
8 20-14.34	-7	-5	+37.5	+1.2 +
30-14.41	-6	-5	+38.7	+1.2 +
40-14.47	-7	-4	+39.9	+1.2 +
50-14.54	-6	-4	+41.1	+1.1 +
9 0-14.60	-6	-4	+42.2	+1.0 +
10-14.66		-3	+43.2	+

105	Fad.	4.	33.0
106	"	3.	22.0
114	"	4.	48.4
126.	Zeit unsicher beobachtet.		
128	Fad.	7.	57.0
132	"	6.	44.6
135	"	7.	11.6
145	"	3.	55.0
149	"	6.	56.5

Nr.	Gr.	Fad.	Beob. Zeit.	T.	Microsc. I	Südl. Declin.
58	8.9	6	41.6	9 3' 10.56	3 37' 36.6	22 55' 16.6
59	6	5	3 15.4	3 54.68	3 17' 2.3	22 34' 42.3
60	8	5	33.2	4 12.49	3 12' 42.3	22 30' 22.3
61	7	1	6 36.0	7 17.30	2 58' 16.6	22 15' 56.6
62	8.9	5	7 56.6	7 36.08	1 52' 52.6	21 10' 32.6
63	7	1	38.6	9 19.48	1 36' 56.7	20 54' 36.7
64	7.8	3	9 28.1	9 48.74	3 13' 21.6	22 31' 1.6
65	7.8	5	36.6	10 16.06	2 3' 0.0	21 20' 40.0
66	7	5	6.8	10 46.24	1 25' 54.7	20 43' 34.7
67	8.9	6	40.7	11 10.04	1 51' 22.2	21 9' 2.2
68	7.8	5	12 16.4	11 55.82	1 41' 56.0	20 59' 36.0
1	7	3	1 46.0	8 2' 6.69	3 53' —	23 11' —
2	3	—	—	1 —	4 35' 3.0	23 53' 3.0
3	8	4	3 27.2	3 27.20	4 52' 42.9	24 10' 42.9
4	8.9	5	4 3.5	3 42.54	4 47' 21.1	24 5' 21.1
5	8.9	6	4 59.2	4 28.15	3 39' 38.8	22 57' 38.8
6	9	5	6 27.1	6 6.20	4 26' 17.1	23 44' 17.1
7	8.9	5	4.2	6 43.30	4 27' 1.5	23 45' 1.5
8	6.7	5	26.2	7 5.28	4 33' 7.3	23 51' 7.3
9	9	7	3.5	7 21.63	5 0' 59.7	24 18' 59.7
10	7	5	25.0	8 3.93	5 11' 10.2	24 29' 10.2
11	8.9	4	11.4	9 11.40	5 13' 39.8	24 31' 39.8
12	8	3	33.6	9 54.63	5 28' 57.6	24 46' 57.6
13	8.9	4	55.6	9 55.60	5 26' 28.4	24 44' 28.4
14	8	1	4.0	11 46.10	5 36' 8.2	24 54' 8.2
15	9	4	33.8	11 33.80	5 36' 49.4	24 54' 49.4
16	9	5	57.5	11 36.41	5 33' 34.2	24 51' 34.2
17	9	7	29.0	11 47.01	5 22' 41.4	24 40' 41.4
18	8	3	13 10.8	13 31.86	5 39' 36.8	24 57' 36.8
19	8.9	3	31.7	13 52.77	5 43' 10.4	25 1' 10.4
20	8.9	4	59.3	13 59.30	5 50' 3.2	25 8' 3.2
21	8.9	7	35.4	13 53.29	5 43' 9.0	25 1' 9.0
22	8	4	12.6	15 12.60	5 40' 20.7	24 58' 20.7
23	7.8	3	41.5	16 2.59	5 51' 33.9	25 9' 33.9
24	9	4	18.6	16 18.60	5 37' 15.3	24 55' 15.3
25	8.9	6	47.2	16 15.83	5 0' 42.4	24 18' 42.4
26	9	4	18.5	17 18.50	4 57' 43.5	24 15' 43.5
27	9	7	18 1.1	17 19.26	4 55' 20.3	24 13' 20.3
28	5	3	28.4	18 49.29	4 16' 20.6	23 34' 20.6
29	8.9	6	23.5	18 52.31	4 16' 19.5	23 34' 19.5
30	8.9	4	55.5	19 55.50	3 49' 53.5	23 7' 53.5
31	7.8	4	42.0	20 42.00	3 28' 29.9	22 46' 29.9
32	6.7	4	52.9	20 52.76	3 39' 33.9	22 57' 33.9
33	7.8	4	21 34.3	21 34.30	5 6' 19.3	24 24' 19.3
34	7.8	4	25.2	22 25.20	4 2' 41.4	23 20' 41.4
35	9	5	0.5	22 39.66	4 3' 11.6	23 21' 11.6
36	8	4	35.5	23 35.50	3 45' 10.7	23 3' 10.7
37	8.9	4	3.8	24 3.80	4 37' 51.0	23 55' 51.0
38	9	3	57.1	25 18.05	4 59' 36.6	24 17' 36.6
39	8	1	18.3	26 0.18	4 57' 33.8	24 15' 33.8
40	9	2	39.5	26 10.86	4 45' 27.7	24 3' 27.7
41	6.7	4	26 50.2	26 50.20	4 48' 21.8	24 6' 21.8
42	7.8	3	9.6	27 30.37	3 33' 56.2	22 51' 56.2
43	7	4	8.5	28 8.50	4 1' 29.6	23 19' 29.6
44	9	7	44.6	28 2.96	4 19' 1.6	23 37' 1.6

— 22°.

9	0' -14.60	-6	-4	+42.2	+1.0	+19.2
10	-14.66	-6	-3	+43.2	+0.9	+19.2

159. Die Folge der Zeiten, sowie LL. 18140 und Z. 358 N°. 126 zeigen, dass die Zeitminute 4' sein muss; damit ist T berechnet.

161 Fad. 2. 46".4

164 " 4. 48.7

168 " 7. 36.6

Ziemlich gute Luft.

ZONE 400. 1852 März 8. Ost.

NC. 7 43' - 1' 48.58

9 58 - 1 50.06

Anf. 28 5.04 + 2.4 32.5

Ende 4.93 + 1.9 31.3

Microsc. I + 10".60

Decl. = (- Microsc. I + 19° 18' 0")

9^u r+i - 8".362 Δr + 0".002 Δi + 0".008

Hilfstafel zur Reduction auf den mittlern Ort 1850 Januar 0 D = -24°.

T.	k	k'	d	d'
18	0' -14.08	-7	-5	+31.3
10	-14.15	-7	-5	+32.5
20	-14.22	-7	-5	+33.6
30	-14.29	-7	-5	+34.7

1 Fad. 4. 6.6

2. etwa 20" hinter Fad. 7 eingestellt; der Stern ist ε Navis.

10 Fad. 6. 35.3

19. 21. derselbe.

28 Fad. 4. 49.3 Fad. 5. 10".2

32 " 5. 13.4

42 " 4. 30.4

No.	Gr.	Fad.	Beob. Zeit.	T.	Microsc. I	Sädl. Declin.
45	9	7	24.4	8 28' 42.72	4 25' 39.0	23 43' 39.0
46	8.9	6	42.2	29 10.98	4 25' 2.1	23 43' 2.1
47	9	5	56.6	29 35.70	4 25' 4.9	23 43' 4.9
48	7.8	7	39 :	29 58	3 46' 52.2	23 4' 52.2
49	8	6	31 53.5	31 22.36	4 4' 17.2	23 22' 17.2
50	8.9	6	32 16.7	31 45.55	4 7' 11.1	23 25' 11.1
51	8.9	4	3.4	33 3.40	3 59' 17.3	23 17' 17.3
52	9	4	29.5	33 29.50	3 59' 20.2	23 17' 20.2
53	9	5	52.7	33 31.87	4 0' 15.9	23 18' 15.9
54	9	5	24.6	34 3.77	3 58' 24.6	23 16' 24.6
55	9	6	57.1	34 25.91	4 17' 49.3	23 35' 49.3
56	8.9	7	18.6	34 36.87	4 35' 52.2	23 53' 52.2
57	8.9	7	27.7	34 45.98	4 33' 16.4	23 51' 16.4
58	8	7	48.3	35 6.62	4 27' 13.9	23 45' 13.9
59	7.8	5	35.6	36 14.71	4 23' 16.3	23 41' 16.3
60	7.8	6	2.2	36 30.93	4 36' 47.8	23 54' 47.8
61	8.9	5	38.6	37 17.65	4 41' 57.8	23 59' 57.8
62	8.9	6	37 56.5	37 25.17	4 52' 42.3	24 10' 42.3
63	8.9	2	45.5	39 6.95	5 3' 44.1	24 21' 44.1
64	8.9	2	20.5	39 51.88	4 50' 29.6	24 8' 29.6
65	6	7	40 17 :	39 35	5 33' 1.1	24 51' 1.1
66	8.9	4	41 8.6	41 8.60	4 21' 25.0	23 39' 25.0
67	8	7	41 59.5	41 17.78	4 33' 17.8	23 51' 17.8
68	9	7	7.3	41 25.60	4 30' 18.6	23 48' 18.6
69	9	4	43 8.5	43 8.50	4 24' 15.4	23 42' 15.4
70	8	4	38.2	43 38.20	4 6' 31.3	23 24' 31.3
71	9	4	21.6	44 21.60	3 22' 36.3	22 40' 36.3
72	9	4	45 20.0	45 20.23	4 53' 52.1	24 11' 52.1
73	7.8	5	38.1	46 17.00	5 35' 12.4	24 53' 12.4
74	8	4	1.6	47 1.60	5 23' 20.8	24 41' 20.8
75	8	4	31.7	47 31.70	5 13' 31.6	24 31' 31.6
76	8.9	5	7.2	47 46.30	4 25' 45.6	23 43' 45.6
77	8.9	4	40.3	48 40.30	4 32' 29.1	23 50' 29.1
78	8.9	3	23.3	49 44.23	4 51' 55.0	24 9' 55.0
79	6.7	5	49 54.3	49 33.47	3 57' 40.3	23 15' 40.3
80	6.7	3	58.5	51 19.44	4 58' 22.5	24 16' 22.5
81	9	7	26.6	50 44.50	5 41' 51.1	24 59' 51.1
82	8	5	52 32.9	52 11.94	4 47' 40.8	24 5' 40.8
83	8	4	52 58.2	52 58.20	4 51' 13.6	24 9' 13.6
84	9	3	39.8	54 0.72	4 47' 11.9	24 5' 11.9
85	6.7	4	54 30.4	54 30.40	4 16' 49.9	23 34' 49.9
86	7	6	8.9	54 37.51	5 5' 37.5	24 23' 37.5
87	8	7	34.6	54 52.52	5 38' 11.8	24 56' 11.8
88	7.8	6	55.6	55 24.10	5 33' 12.7	24 51' 12.7
89	8.9	5	13.7	55 52.61	5 31' 37.0	24 49' 37.0
90	7	4	49.3	56 49.30	5 37' 10.2	24 55' 10.2
91	7.8	6	11.7	56 40.15	5 44' 15.8	25 2' 15.8
92	7.8	4	49.0	57 49.00	4 21' 31.6	23 39' 31.6
93	7.8	3	19.6	58 40.44	4 18' 17.2	23 36' 17.2
94	8	5	57.4	58 36.59	3 53' 39.2	23 11' 39.2
95	8.9	3	18.0	59 38.77	3 51' 31.3	23 9' 31.3
96	7.8	4	0 6.4	9 0 6.40	4 16' 15.3	23 34' 15.3
97	8.9	4	55.0	0 55.00	5 15' —	24 33' —
98	4.5	3	21.1	1 42.31	5 57' 35.4	25 15' 35.4
99	7	3	1 58.7	2 19.81	5 56' 21.1	25 14' 21.1

*Hälftafel zur Reduction auf den mit
Ort 1850 Januar 0 D = - 24°.*

T.	k	k'	d
8 30' - 14.29	-7	-5	+34.7 +1.0
40 - 14.36	-7	-4	+35.7 +1.0
50 - 14.43	-7	-4	+36.7 +0.9
9 0 - 14.50	-6	-4	+37.6 +0.9
10 - 14.56		-3	+38.5

63 Fad. 3. 56.0
72 " 7. 2.3 giebt 20".47
98 " 4. 42.4 roth.

№.	Gr.	Fad.	Beob. Zeit.	T.	Microsc. I	Südl. Declin.
10	7.8	3	3' 4.2	9 3' 25.30	5 54' 2.8	25 12' 2.8
11	7	4	3 55.0	3 55.00	3 17 3.2	22 35 3.2
12	9	7	41.3	3 59.94	3 23 50.6	22 41 50.6
13	7	3	42.5	6 3.57	5 41 36.6	24 59 36.6
14	8.9	2	32.3	7 3.70	4 56 45.0	24 14 45.0
15	8.9	2	50.7	7 22.04	4 59 43.9	24 17 43.9
16	7	7	37.2	6 55.43	4 43 13.5	24 1 13.5
17	8.9	4	13.6	8 13.60	4 2 39.6	23 20 39.6
18	7.8	3	48.0	9 8.73	3 35 11.5	22 53 11.5
19	8.9	3	9 44.2	10 5.22	5 23 8.5	24 41 8.5
0	9	3	11 35.5	11 56.59	5 51 26.0	25 9 26.0
1	8	4	21.8	12 21.80	4 32 20.0	23 50 20.0
2	9	4	56.5	12 56.50	4 20 14.9	23 38 14.9
3	9	4	47.5	13 47.50	4 1 41.8	23 19 41.8
4	7	4	14 21.7	14 21.70	4 10 33.2	23 28 33.2
5	5	3	44.5	15 5.63	6 2 1.9	25 20 1.9
6	9	3	16.7	15 37.66	5 24 54.6	24 42 54.6
7	7.8	7	4 :	15 22	4 12 29.1	23 30 29.1
8	7.8	4	17 18.2	17 18.20	3 43 55.7	23 1 55.7
9	7.8	2	47.5	18 18.65	3 53 41.6	23 11 41.6
0	7	3	49.2	19 10.22	5 23 56.6	24 41 56.6
1	9	6	30.2	18 58.66	5 40 12.7	24 58 12.7
2	8	5	13.4	19 52.37	5 11 59.5	24 29 59.5
3	7	7	51.3	20 9.68	4 13 59.5	23 31 59.5
4	8	4	25.9	21 25.90	3 44 28.9	23 2 28.9
5	8.9	4	0.5	22 0.50	4 29 44.9	23 47 44.9
6	8	5	51.6	22 30.59	5 4 58.4	24 22 58.4
7	8.9	2	17.4	23 48.83	5 4 28.0	24 22 28.0
8	7.8	5	39.4	23 18.30	5 34 44.2	24 52 44.2
9	9	7	3.0	23 20.92	5 38 30.2	24 56 30.2
0	7.8	5	34.3	24 13.19	5 39 51.9	24 57 51.9
1	7.8	5	9.5	24 48.60	4 23 48.5	23 41 48.5
2	7.8	7	36.8	24 55.39	3 33 42.2	22 51 42.2
3	8	7	26 2.7	25 21.35	3 23 17.6	22 41 17.6
4	8	7	27 7.5	26 26.00	3 51 18.0	23 9 18.0
5	8	4	56.0	27 56.00	4 34 35.5	23 52 35.5
6	8	5	31.6	28 10.57	5 11 26.6	24 29 26.6
7	7	1	21.0	30 2.81	4 44 43.7	24 2 43.7
8	9	7	58.6	29 16.77	4 53 44.2	24 11 44.2
9	9	6	49.5	30 18.25	4 32 28.3	23 50 28.3
10	9	4	17.8	31 17.60	4 28 25.6	23 46 25.6
11	9	4	9.5	32 9.50	4 27 18.9	23 45 18.9
12	9	4	6.1	33 6.10	4 35 7.2	23 53 7.2
13	9	5	39.4	33 18.45	4 42 31.2	24 0 31.2
14	5	3	34 20.2	34 41.07	3 37 35.9	22 55 35.9
1	8	6	39 40.6	10 39 7.58	10 44 27.0	30 4 47.0
2	7.8	5	41 9.5	40 47.21	11 28 39.5	30 48 59.5
3	6.7	4	27.9	41 27.90	11 33 37.7	30 53 57.7
4	8.9	3	8.2	42 30.41	11 22 47.5	30 43 7.5
5	8.9	3	37.2	42 59.39	11 17 23.0	30 37 43.0
6	7.8	7	55 :	42 11	10 56 3.9	30 16 23.9
7	9	5	45 42.4	45 20.46	9 57 45.0	29 18 5.0
8	8.9	5	1.2	45 39.23	10 3 55.5	29 24 15.5
9	8	4	46 24.4	46 24.40	9 58 38.5	29 18 58.5
10	8.9	5	13.5	46 51.59	9 47 48.6	29 8 8.6

*Hilfstafel zur Reduction auf den mittlern
Ort 1850 Januar 0 D = - 24°.*

T.	k	k'	d	d'
9 10-14.50	-6	-4	+37.6	+0.9
20-14.56	-7	-3	+38.5	+0.8
30-14.63	-6	-3	+39.3	+0.7
40-14.69	-7	-3	+40.0	+0.7
50-14.76		-2	+40.7	+24.2

105 Fad. 3. 1.0
116 " 4. 37.6
129. Zeit unsicher beobachtet.
132. ebenso.
140 Fad. 5. 38.3 giebt 17.39
141 " 5. 30.4
144 " 4. 41.2

Sehr gute Luft.

ZONE 401. 1852 März 8. Ost.

*Hilfstafel zur Reduction auf den mittlern
Ort 1850 Januar 0 D = - 30°.*

T.	k	k'	d	d'
10 40-15.12	-7	0	+46.7	0.0
50-15.19		+1	+46.7	+59.7

1 Fad. 7. 51".7

Nr.	Gr.	Fad.	Beob. Zeit.	T.	Microsc. I	Südl. Declin.
11	8	5	21.4	10 47' 59.40	10 12' 58.0	29 33' 18.0
12	8	3	49 38.8	50 0.94	11 4 18.4	30 24 38.4
13	9	4	21.1	50 21.10	11 53 29.3	31 13 49.3
14	9	6	51 23.0	50 49.61	11 46 33.5	31 6 53.5
15	7	4	53 49.0	53 49.00	11 42 5.5	31 2 25.5
16	9	5	55 21.0	54 59.10	9 45 1.3	29 5 21.3
17	9	5	5.4	55 43.59	9 21 28.4	28 41 48.4
18	9	4	1.4	57 1.40	9 41 55.4	29 2 15.4
19	8.9	4	36.6	57 36.60	10 42 25.3	30 2 45.3
20	8.9	2	58 51.2	59 23.98	9 50 27.3	29 10 47.3
21	7.8	3	33.1	59 55.09	10 25 8.4	29 45 28.4
22	7.8	4	14.0	11 0 14.00	12 25 40.4	31 46 0.4
23	7	4	1.9	1 1.90	10 2 15.6	29 22 35.6
24	7	5	39.2	1 17.28	9 50 30.2	29 10 50.2
25	8	5	57.5	1 35.55	9 59 46.9	29 20 6.9
26	7.8	6	3 22.4	2 49.71	9 39 48.9	29 0 8.9
27	8.9	7	42.4	2 58.85	9 28 17.8	28 48 37.8
28	9	7	28.5	3 44.96	9 26 44.7	28 47 4.7
29	7.8	4	18.4	5 18.40	9 39 0.7	28 59 20.7
30	9	7	20 :	5 36	10 59 22.0	30 19 42.0
31	8.9	2	7 46.3	8 18.95	9 23 5.1	28 43 25.1
32	8.9	2	11.3	8 43.96	9 25 26.4	28 45 46.4
33	8.9	4	8 51.4	8 51.40	10 42 13.4	30 2 33.4
34	8.9	4	11 7.1	11 7.10	11 9 39.0	30 29 59.0
35	8.9	4	44.4	11 44.40	11 12 19.5	30 32 39.5
36	8.9	5	24.6	12 2.46	10 51 39.0	30 11 59.0
37	8	6	55.2	12 22.35	10 10 50.2	29 31 10.2
38	8	6	26.3	12 53.41	10 18 16.8	29 38 36.8
39	8	4	19.4	13 19.40	9 27 27.6	28 47 47.6
40	9	7	14 49.6	14 5.91	9 47 59.3	29 8 19.3
41	9	7	55.5	14 11.80	9 50 33.9	29 10 53.9
42	8.9	7	16 11.5	15 27.40	10 45 13.1	30 5 33.1
43	8.9	7	39.4	15 55.30	10 44 42.6	30 5 2.6
44	9	6	18 27.5	17 54.05	11 50 11.8	31 10 31.8
45	9	4	19 53.6	19 53.60	9 47 29.4	29 7 49.4
46	8.9	2	20 49.6	21 23.01	11 41 36.0	31 1 56.0
47	9	3	21 56.2	22 17.96	9 18 6.3	28 38 26.3
48	9	5	23 44.7	23 22.69	10 17 21.3	29 37 41.3
49	9	6	17.5	23 44.58	10 22 6.4	29 42 26.4
50	9	6	55.4	24 22.47	10 24 30.6	29 44 50.6
51	9	6	39.6	25 6.72	10 16 37.7	29 36 57.7
52	8.9	3	14.5	26 36.51	10 30 5.0	29 50 25.0
53	6	7	26 28 :	25 44	10 55 50.4	30 16 10.4
54	7.8	4	27 52.8	27 52.80	10 34 14.8	29 54 34.8
55	7.8	6	23.7	27 50.95	9 51 1.5	29 11 21.5
56	9	5	29 49.5	29 27.61	9 40 58.1	29 1 18.1
57	7	5	30 57.4	30 35.21	11 3 19.5	30 23 39.5
58	8.9	4	32 2.6	32 2.60	10 11 42.7	29 32 2.7
59	7.8	3	26.0	32 48.04	10 19 30.1	29 39 50.1
60	9	5	36 3.3	35 41.38	9 52 36.2	29 12 56.2
61	7	4	36 44.0	36 44.00	9 35 59.5	28 56 19.5
62	8.9	7	37 14.7	36 31.13	9 31 49.5	28 52 9.5
63	8	6	37 56.6	37 23.89	9 44 10.0	29 4 30.0
64	8.9	6	38 56.9	38 23.56	10 47 41.6	30 8 1.6
65	8	5	39 39.4	39 17.28	10 46 3.9	30 6 23.9

*Hülftafel zur Reduction auf den mittl
Ort 1850 Januar 0 D = - 03°.*

T.	k	k'	d
10 40' - 15.12	-7	0	+46.7 0.0
50 - 15.19	-6	+1	+46.7 -0.1
11 0 - 15.25	-6	+1	+46.6 -0.2
10 - 15.31	-6	+2	+46.4 -0.2
20 - 15.37	-6	+2	+46.2 -0.3
30 - 15.43	-6	+3	+45.9 -0.4
40 - 15.49		+3	+45.5

NC. 9 58' - 1 50.06

12 25 - 1 51.19

Anf. 28 4.84 + 1.4 30.3

Ende 4.71 + 1.0 28.5

Microsc. I + 9".04

Declin. = - (Microsc. I + 19° 20' 20")

11^a $\tau + i - 8''.390$ $\Delta \tau - 0''.002$ $\Delta i + 0$

26. Die Zeitsecunde ist ganz unsicher.

28. Zeit unsicher beobachtet.

44 Fad. 7 38".6

49 " 7. 28.5

56 " 6. 0.3

59 " 4. 48.1

61 " 7. 27.2 giebt 43".60 und ist ausg

64 " 7. 7.4 Fäden 23".84 und 23".9

Fad.	Beob. Zeit.	T.	Microsc. I	Südl. Declin.
4	40' 9.1	11 40' 9.22	11° 5' 25.1	30° 25' 45.1
5	42 18.6	41 56.54	10 30 59.7	29 50 49.7
5	18.7	42 56.67	10 22 51.1	29 43 11.1
2	49.0	44 22.20	10 39 40.8	30 0 0.8
4	46 51.1	46 51.10	10 44 41.4	30 5 1.4
7	30.0	46 46.30	9 49 39.2	29 9 59.2
3	48 38.4	49 0.53	11 1 24.6	30 21 44.6
6	49 56.0	49 22.49	12 5 24.2	31 25 44.2
7	50 8.6	49 23.89	12 5 26.0	31 25 46.0
1	51 37.6	52 21.13	9 21 2.6	28 41 22.6
5	21.0	51 58.95	9 54 20.3	29 14 40.3
4	0.6	53 0.60	10 10 41.0	29 31 1.0
7	44.7	53 0.74	10 26 29.9	29 46 49.9
4	54 48.7	54 48.70	10 26 41.1	29 47 1.1
4	56 0.4	56 0.40	11 20 27.6	30 40 47.6
7	56 21.1	55 36.65	11 31 10.9	30 51 30.9
4	7.9	57 7.90	11 1 15.0	30 21 35.0
4	46.7	57 46.76	10 32 51.4	29 53 11.4
4	0 33.8	12 0 33.92	10 58 32.2	30 18 52.2
5	3 21.6	2 59.77	9 28 7.5	28 48 27.5
5	4 34.5	4 12.55	10 26 37.4	29 46 57.4
6	58 45.9	7 58 15.62	10 1 43.6	19 18 43.6
4	1 13.2	8 1 13.20	9 28 9.2	18 45 9.2
5	39.3	1 19.09	9 27 17.0	18 44 17.0
2	3.2	2 33.57	9 31 57.5	18 48 57.5
7	44.2	2 3.62	9 36 4.5	18 53 4.5
7	20.0	2 40.11	7 39 15.6	16 56 15.6
4	52.9	3 52.90	7 39 32.7	16 56 32.7
5	33.0	4 12.99	7 40 44.1	16 57 44.1
3	58.2	5 18.19	7 51 2.4	17 8 2.4
3	53.5	6 13.56	8 30 3.5	17 47 3.5
2	6 17.0	6 47.07	8 24 59.5	17 41 59.5
2	6 55.0	7 25.07	8 25 53.0	17 42 53.0
7	43.0	7 2.78	9 7 59.0	18 24 59.0
6	12.5	7 32.40	9 14 52.1	18 31 52.1
5	41.1	8 20.90	9 17 0.0	18 34 0.0
5	31.0	9 10.83	9 9 20.6	18 26 20.6
4	10 0.6	10 0.60	9 15 5.4	18 32 5.4
4	22.4	10 22.40	9 25 51.6	18 42 51.6
3	50.7	11 10.93	9 23 8.5	18 40 8.5
5	24.6	11 4.42	9 13 10.0	18 30 10.0
7	58.4	11 18.23	8 54 35.4	18 11 35.4
6	40.5	12 10.29	9 16 38.2	18 33 38.2
6	7.5	12 37.19	9 18 21.5	18 35 21.5
1	47.3	14 27.55	9 10 21.6	18 27 21.6
4	17.2	14 17.20	9 31 50.9	18 48 50.9
5	47.1	14 26.89	9 30 14.2	18 47 14.2
7	15 7.9	14 27.63	9 20 22.0	18 37 22.0
4	47.1	15 47.10	9 7 40.9	18 24 40.9
1	6.8	16 47.05	9 11 45.2	18 28 45.2
6	3.0	16 32.90	8 57 39.9	18 14 39.9
6	14.5	16 44.40	8 56 59.0	18 13 59.0
5	44.8	17 24.66	8 50 47.0	18 7 47.0
7	18 4.0	17 23.86	8 49 22.5	18 6 22.5
5	45.8	18 25.57	8 59 33.2	18 16 33.2

Hülfsstafel zur Reduction auf den mittlern Ort 1850 Januar 0 D = - 30°.

T.	k	k'	d	d'
11 40' - 15.49	-5	+3	+45.5	-0.5
50 - 15.54	-5	+3	+45.0	-0.5
12 0 - 15.59	-5	+4	+44.5	-0.5
10 - 15.64		+4	+44.0	

66 Fad. 5. 31.4
69 " 3. 0.3 Fäden 22".06 und 22".35
71. Zeitsecunde zweifelhaft; nach Z. 292 N°. 15 ist sie richtig.
73. 74. dupl. III. Cl.
76 Fad. 6. 31.6
83 " 5. 8.9
84 " 5. 56.2
86 " 6. 45.6

Sehr ruhige, aber wohl etwas dunstige Luft.
ZONE 402. 1852 März 14. Ost.

NC. 7 41' - 1' 49.65
9 55 - 1 50.14
Anf. 28 4.47 + 0.5 26.3
Ende 4.47 - 0.4 24.3
Microsc. I + 10".90
Declin. = - (Microsc. I + 9° 17' 0")
9° $\tau + i$ - 7".969 $\Delta \tau$ 0".000 Δi + 0".006

Hülfsstafel zur Reduction auf den mittlern Ort 1850 Januar 0 D = - 18°.

T.	k	k'	d	d'
8 0' - 13.82	-6	-5	+31.8	+1.2
10 - 13.88	-7	-5	+33.0	+1.1
20 - 13.95		-5	+34.1	

1 Fad. 7. 56.0
4 " 3. 13.5
6. Zeit unsicher beobachtet.
14 Fad. 7. 12.7; ich vermute, dass Fad. 6 um 10" verschrieben ist und habe demgemäss gerechnet; wäre 6 richtig, so würde T 42".40.
15 Fad. 6. 51.0
19 " 4. 11.0
22 " 7. 50.5
23 " 7. 17.3 Fäden 37".34 und 37".04
24 und 27 ist nicht etwa derselbe Stern; beide sind auch 1852 März 26. beobachtet.
29 Fad. 3. 26.9
34 " 6. 55.6

No.	Gr.	Fad.	Beob. Zeit.	T.	Microsc. I	Südl. Declin.
35	9	4	33.2	8 19' 33.20	8 23' 36.9	17 40' 36.9
36	7.8	4	42.3	19 42.22	8 18 37.2	17 35 37.2
37	7	4	12.7	20 12.70	8 24 36.0	17 41 36.0
38	8.9	5	45.6	20 25.53	8 23 52.4	17 40 52.4
39	8.9	4	21 36.9	21 36.90	8 16 13.0	17 33 13.0
40	8	3	58.6	22 18.62	8 11 36.8	17 28 36.8
41	9	7	31.5	21 51.62	7 37 40.9	16 54 40.9
42	8	7	47.2	22 7.29	7 45 31.4	17 2 31.4
43	8	4	24 11.7	24 11.70	9 35 2.4	18 52 2.4
44	9	7	31.6	23 51.25	9 39 23.6	18 56 23.6
45	7.8	4	52.9	24 52.90	9 43 34.7	19 0 34.7
46	6	5	25 20.5	25 0.25	9 47 50.5	19 4 50.6
47	8.9	5	59.3	25 39.04	9 54 2.5	19 11 2.5
48	9	4	46.3	26 46.30	9 3 53.1	18 20 53.1
49	9	4	15.7	27 15.70	8 59 26.3	18 16 26.3
50	8	2	39.4	28 9.55	9 10 41.8	18 27 41.8
51	8.9	3	4.8	28 24.94	9 9 50.2	18 26 50.2
52	8.9	5	31.6	28 11.44	9 1 47.8	18 18 47.8
53	9	6	41.0	28 10.89	9 0 40.6	18 17 40.6
54	8.9	7	54.5	28 14.32	8 57 35.9	18 14 35.9
55	8.9	7	3.9	28 23.72	8 59 16.3	18 16 16.3
56	8.9	4	22.4	29 22.38	8 58 6.4	18 15 6.4
57	8.9	5	50.5	29 30.35	8 56 8.1	18 13 8.1
58	6.7	4	30 23.4	30 23.40	8 53 14.4	18 10 14.4
59	9	4	55.5	30 55.50	8 39 31.2	17 56 31.2
60	9	4	19.0	31 19.00	8 36 38.7	17 53 38.7
61	8	2	33.3	32 3.39	8 38 31.6	17 55 31.6
62	8	7	54.3	31 14.27	8 17 3.9	17 34 3.9
63	8.9	4	24.4	32 24.40	8 11 7.4	17 28 7.4
64	9	3	32 59.4	33 19.45	7 54 29.5	17 11 29.5
65	7	7	54.4	33 14.55	7 29 57.4	16 46 57.4
66	8.9	4	34 15.0	34 15.00	7 32 19.6	16 49 19.6
67	7.8	1	47.2	35 27.11	7 37 34.0	16 54 34.0
68	8.9	5	28.5	35 8.40	8 31 20.6	17 48 20.6
69	9	4	36 52.3	36 52.30	9 45 54.0	19 2 54.0
70	9	4	36.5	37 36.50	9 49 5.2	19 6 5.2
71	9	4	5.2	38 5.20	9 46 48.7	19 3 48.7
72	8.9	4	44.0	38 44.00	9 50 36.0	19 7 36.0
73	9	4	3.4	39 3.40	9 45 40.0	19 2 40.0
74	8	4	39 40.1	39 40.10	9 20 9.9	18 37 9.9
75	7	5	29.4	40 9.25	8 56 15.9	18 13 15.9
76	8	4	41.5	40 41.50	9 0 21.5	18 17 21.5
77	8.9	5	18.2	40 58.06	8 53 21.1	18 10 21.1
78	7.8	4	45.1	41 45.10	9 12 8.9	18 29 8.9
79	8	6	21.5	41 51.56	8 13 11.2	17 30 11.2
80	8.9	5	52.5	42 32.44	8 10 3.0	17 27 3.0
81	8.9	2	9.3	43 39.30	8 3 2.4	17 20 2.4
82	8.9	5	45.3	43 25.21	7 38 37.1	16 55 37.1
83	9	6	38.5	44 8.47	8 33 1.9	17 50 1.9
84	9	7	3.6	44 23.53	8 31 17.2	17 48 17.2
85	8.9	4	51.2	45 51.20	8 30 41.5	17 47 41.5
86	9	4	15.0	46 15.00	8 32 3.0	17 49 3.0
87	7.8	4	3.0	47 3.00	7 22 58.3	16 39 58.3
88	9	6	20.0	46 50.16	7 23 38.1	16 40 38.1
89	7	7	34.7	46 54.84	7 31 28.8	16 48 28.8

*Hilfstafel zur Reduction auf den mitt
Ort 1850 Januar 0 D = - 18°.*

T.	k	k'	d
8 20' 13.95	-6	-5	+34.1
30-14.01	-7	-5	+35.2
40-14.08	-6	-4	+36.2
50-14.14		-4	+37.2

36 Fad. 5. 2.2
 38 " 7. 5.6. Bei Fad. 5 ward ein
 von -1" in der Zeit entdeckt und verl
 42. dupl. III. Cl. bor.; austr. 8.9m.
 50 Fad. 3. 49.4
 56 " 5. 42.5
 64 " 4. 19.5
 79 " 7. 31.6
 81 " 3. 19.3
 82 " 6. 55.0

o.	Gr.	Fad.	Beob. Zeit.	T.	Microsc. I	Südl. Declin.
0	5.6	3	13.0	^u 8 48' 33.02	8° 23' 59.8	17° 40' 59.8
1	7.8	4	35.7	48 35.70	8 24 54.5	17 41 54.5
2	8.9	7	49 33.5	48 53.27	9 9 16.4	18 26 16.4
3	9	5	13.2	49 52.97	9 39 14.6	18 56 14.6
4	8	6	50 38.9	50 8.68	9 37 39.6	18 54 39.6
5	8.9	7	41.3	51 1.04	9 17 22.1	18 34 22.1
6	7.8	7	53.3	51 13.10	9 2 18.0	18 19 18.0
7	8.9	5	42.5	52 22.47	7 54 41.5	17 11 41.5
8	9	7	34.6	52 54.66	7 51 47.5	17 8 47.5
9	9	6	19.2	53 49.20	8 22 31.9	17 39 31.9
0	8.9	6	54 37.2	54 7.20	8 29 25.6	17 46 25.6
1	9	6	36.8	55 6.75	8 38 29.3	17 55 29.3
2	9	7	56 6.0	55 25.91	8 35 4.0	17 52 4.0
3	8	1	42.4	57 22.54	8 40 46.7	17 57 46.7
4	9	7	13.9	56 33.72	8 57 33.0	18 14 33.0
5	9	7	29.0	56 48.83	8 56 2.9	18 13 2.9
6	8.9	4	20.2	58 20.20	9 27 11.0	18 44 11.0
7	7.8	7	15.8	58 35.95	7 28 27.6	16 45 27.6
8	8.9	7	41.7	59 1.75	7 55 34.0	17 12 34.0
9	8.9	6	3.5	59 33.57	7 53 12.0	17 10 12.0
0	9	5	38.9	9 0 18.86	7 59 20.6	17 16 20.6
1	7.8	2	0 54.9	1 24.89	7 59 35.9	17 16 35.9
2	9	4	39.1	1 39.10	7 58 28.4	17 15 28.4
3	8	4	20.0	2 20.00	8 20 49.6	17 37 49.6
4	6	5	43.1	2 23.00	8 27 5.8	17 44 5.8
5	9	7	19.5	2 39.35	8 50 19.5	18 7 19.5
6	8	6	41.6	3 11.53	8 46 10.0	18 3 10.0
7	8.9	4	4 21.4	4 21.40	9 35 51.1	18 52 51.1
8	6	3	0.4	5 20.81	9 51 42.3	19 8 42.3
9	8.9	2	43.9	6 14.14	9 27 46.9	18 44 46.9
0	8	4	21.5	6 21.50	8 54 50.9	18 11 50.9
1	9	7	56.8	6 16.65	8 50 18.5	18 7 18.5
2	7.8	3	20.3	7 40.45	8 47 4.9	18 4 4.9
3	8.9	3	8.7	8 28.71	8 4 17.6	17 21 17.6
4	9	5	38.4	8 18.34	8 12 41.9	17 29 41.9
5	9	4	9 35.7	9 35.66	8 23 41.4	17 40 41.4
6	8.9	2	18.2	10 48.24	8 22 42.8	17 39 42.8
7	9	3	56.1	11 16.15	8 25 36.0	17 42 36.0
8	7	3	6.5	11 26.52	8 20 55.0	17 37 55.0
9	9	4	57.2	11 57.20	8 18 19.6	17 35 19.6
0	8.9	3	52.9	13 12.93	8 16 56.5	17 33 56.5
1	9	7	29.6	12 49.60	8 10 40.1	17 27 40.1
2	9	7	53.2	13 13.18	8 16 57.9	17 33 57.9
3	8.9	5	14 19.9	13 59.83	8 19 39.9	17 36 39.9
4	9	6	15 13.9	14 43.99	7 50 18.4	17 7 18.4
5	8.9	7	26.3	14 46.37	7 50 51.3	17 7 51.3
6	7	5	4.0	15 43.96	7 59 4.5	17 16 4.5
7	9	7	28.5	15 48.52	8 6 34.5	17 23 34.5
8	9	7	57.5	16 17.53	8 3 7.7	17 20 7.7
9	8.9	7	52.3	17 2.37	7 50 28.1	17 7 28.1
0	9	3	18 36.5	18 56.48	7 46 4.1	17 3 4.1
1	7	4	11.0	19 11.00	8 1 52.6	17 18 52.6
2	8.9	1	34.9	20 15.04	8 16 26.0	17 33 26.0
3	8.9	5	18.5	19 58.38	8 40 58.1	17 57 58.1
4	9	7	47.4	20 7.21	8 59 18.5	18 16 18.5

Hülftafel zur Reduction auf den mittlern Ort 1850 Januar 0 D = - 18°.

T.	k	k'	d	d'
^u 8 40-14.08	-6	-4	+36.2	+1.0
50-14.14	-6	-4	+37.2	+0.9
9 0-14.20	-6	-4	+38.1	+0.9
10-14.26	-6	-4	+39.0	+0.8
20-14.32		-3	+39.8	+13.1

- 90 Fad. 4. 33.0
 100 „ 7. 47.3
 105. Zeit 28''.0 und dann T. 47''.83 ?
 109 Fad. 7. 13.5
 111 „ 3. 4.9
 114 „ 6. 53.0
 118 „ 4. 21.0 Fad. 3 giebt 20''.62
 122 „ 4. 40.5
 125 „ 5. 55.7
 126 „ 3. 28.2
 128 „ 4. 26.5
 139. Die Zeit muss 42''.3 heissen; dann stimmt der Stern mit Z. 273 N°. 124 nach der Verbesserung in der Anmerkung, und eine Beobachtung 1852 März 26. hat gezeigt, dass hier kein anderer Stern existirt. Danach ist T angesetzt.
 142 Fad. 2. 45.1

Nº.	Gr.	Fad.	Beob. Zeit.	T.	Microsc. I	Südl. Declin.
145	8.9	7	21.0	^u 9 20' 40.76	9 13' 0.4	18 30' 0.4
146	8	5	22 11.2	21 50.97	9 39 7.4	18 56 7.4
147	9	3	54.5	23 14.68	9 34 18.6	18 51 18.6
148	8	3	10.6	23 30.79	9 38 9.7	18 55 9.7
149	8.9	4	43.0	23 43.00	9 40 14.4	18 57 14.4
150	8.9	6	5.2	23 34.93	9 52 18.9	19 9 18.9
151	7.8	5	0.6	24 40.51	8 29 16.3	17 46 16.3
152	8	2	25.0	25 54.96	7 48 11.6	17 5 11.6
153	9	7	1.0	25 21.16	7 27 36.5	16 44 36.5
154	9	7	20.7	25 40.85	7 30 2.1	16 47 2.1
155	9	5	3.3	26 43.32	7 26 15.4	16 43 15.4
156	9	5	27 57.5	27 37.45	8 3 18.3	17 20 18.3
157	9	7	46.3	28 6.00	9 26 55.2	18 43 55.2
158	8.9	6	8.9	28 38.68	9 37 0.1	18 54 0.1
159	7	7	30.0	28 49.66	9 38 24.6	18 55 24.6
160	8.9	7	15.5	29 35.66	7 26 45.6	16 43 45.6
161	8.9	2	51.1	31 20.99	7 22 37.1	16 39 37.1
162	8	7	15.4	30 35.33	8 29 45.0	17 46 45.0
163	7.8	1	52.4	32 32.55	8 21 53.6	17 38 53.6
164	7.8	5	30.0	32 9.93	8 14 16.3	17 31 16.3
165	7.8	4	56.1	32 56.10	8 7 14.6	17 24 14.6
166	7.8	7	12.5	32 32.45	8 21 52.2	17 38 52.2
167	7.8	4	49.6	33 49.60	8 32 2.9	17 49 2.9
168	8	5	34 7.5	33 47.40	8 33 46.3	17 50 46.3
169	7	4	42.4	34 42.40	8 31 59.2	17 48 59.2
170	8	3	15.5	35 35.60	8 49 35.8	18 6 35.8
171	8	4	58.8	35 58.80	8 41 59.2	17 58 59.2
172	7.8	4	36 47.1	36 47.10	7 28 42.2	16 45 42.2
1	7	4	51 59.2	11 51 59.24	9 54 24.5	29 14 44.5
2	8.9	7	5.0	52 21.50	9 11 3.9	28 41 23.9
3	8	6	33.7	53 0.85	10 10 47.3	29 31 7.3
4	8	2	15.4	54 48.39	10 26 49.8	29 47 9.8
5	7.8	1	52.0	55 36.48	11 31 13.2	30 51 33.2
6	8	2	26.8	56 0.08	11 20 29.7	30 40 49.7
7	7.8	5	59.0	55 36.70	11 31 14.4	30 51 34.4
8	9	5	54.7	56 32.65	10 27 54.0	29 48 14.0
9	9	2	36.5	58 9.09	9 51 38.5	29 11 58.5
10	9	3	20.5	58 42.41	10 2 4.9	29 22 24.9
11	9	3	59 25.1	59 47.34	10 32 57.6	29 53 17.6
12	8.9	4	33.8	12 0 33.80	10 58 38.2	30 18 58.2
13	7.8	7	53.5	0 9.18	11 14 24.2	30 34 44.2
14	9	2	2 27.5	3 0.17	9 28 12.6	28 48 32.6
15	8.9	4	27.0	3 27.00	10 0 40.4	29 21 0.4
16	8.9	4	12.6	4 12.60	10 26 38.8	29 46 58.8
17	8.9	2	50.6	5 23.82	11 8 26.3	30 28 46.3
18	8	3	11.8	5 34.25	11 21 1.6	30 41 21.6
19	9	5	7 48.5	7 26.63	9 37 1.0	28 57 21.0
20	8	3	10.0	8 31.79	9 28 26.8	28 48 46.8
21	8	7	47 :	8 3	11 31 15.1	30 51 35.1
22	9	3	51.4	10 13.57	11 2 19.0	30 22 39.0
23	8.9	4	53.6	10 53.60	11 19 32.0	30 39 52.0
24	8.9	7	11 58.0	11 14.31	9 48 28.4	29 8 48.4
25	9	4	12 59.8	12 59.80	10 17 7.9	29 37 27.9
26	8.9	5	13 36.6	13 14.41	10 25 14.5	29 45 34.5
27	9	5	14 52.4	14 30.05	11 46 13.0	31 6 33.0

*Hülftafel zur Reduction auf den mittlen
Ort 1850 Januar 0 D = -18°.*

T.	k	k'	d
^u 9 20' -14.32	-6	-3	+39.8
30 -14.38	-6	-3	+40.5
40 -14.44		-3	+41.2

145. Zeit unsicher.
152 Fad. 3. 35.9
153. Zeit unsicher.
162. ebenso.
163 Fad. 2. 2.6
163. 166. derselbe.

Gute, bis 9^u ausgezeichnete Luft.

ZONE 403. 1852 März 20. 0

^u NC. 11 36' - 1' 47.24
13 36' - 1' 49.04
Anf. 28 3.57 + 3.0 32.3
12 32 31.6
Ende 28 3.58 + 2.7 31.4
Microsc. I + 10".46
Declin. = - (Microsc. I + 19° 20' 20")
13^u r+i - 8".203 Δr 0".000 Δi + 0"

*Hülftafel zur Reduction auf den mittlen
Ort 1850 Januar 0 D = -30°.*

^u				
11 50' -15.43	-7	+3	+49.0	-0.5
12 0 -15.50	-6	+4	+48.5	-0.5
10 -15.56	-6	+4	+48.0	-0.5

1 Fad. 5. 21".2

2. Minute des Microscops nach Z. 292 N^o, 19
Z. 401 N^o. 75 .. 21'; damit ist die Decl. u
berechnet.

5. 7. derselbe.

9 Fad. 3. 47.0 Fäden 9".29 und 8".88

10 " 4. 42.4 11 Fad. 4. 47.5

18 " 4. 34.4 22 " 4. 13.6

24. Zeit unsicher beobachtet.

26 Fad. 6. 47.2

No.	Gr.	Fad.	Beob. Zeit.	T.	Microsc. I	Südl. Declin.
28	6.7	2	39.4	12 ^u 16' 12.22	10 10' 51.5	29° 31' 11.5
29	8.9	4	26.6	16 26.60	10 20' 58.1	29 41' 18.1
30	9	7	54.4	16 10.40	10 31' 53.4	29 52' 13.4
31	8.9	4	47.2	17 47.20	10 58' 9.6	30 18' 29.6
32	8.9	4	24.5	18 24.50	11 36' 10.5	30 56' 30.5
33	8.9	4	18 52.0	18 52.50	11 27' 44.8	30 48' 4.8
34	8	4	19 52.0	19 52.00	9 56' 7.9	29 16' 27.9
35	8.9	7	34.4	19 50.79	9 38' 7.5	28 58' 27.5
36	9	5	34.5	21 12.70	9 18' 35.1	28 38' 55.1
37	8.9	4	46.6	21 46.60	9 18' 0.7	28 38' 20.7
38	8	3	22 54.2	23 16.22	10 31' 23.3	29 51' 43.3
39	7	4	58.1	23 58.10	10 49' 30.1	30 9' 50.1
40	7	3	48.7	25 10.59	9 53' 48.6	29 14' 8.6
41	9	5	39.6	25 17.75	9 32' 22.6	28 52' 42.6
42	9	4	28.5	26 28.50	10 36' 8.0	29 56' 28.0
43	7.8	7	15.5	26 30.87	11 55' 28.9	31 15' 48.9
44	9	7	47.4	27 2.86	11 42' 11.2	31 2' 31.2
45	9	7	28 31.0	27 47.16	10 9' 38.1	29 29' 58.1
46	8.9	3	20.3	29 42.51	11 22' 41.2	30 43' 1.2
47	8.9	4	30 35.1	30 35.10	10 36' 20.6	29 56' 40.6
48	6	5	31 42.6	31 20.61	10 16' 26.0	29 36' 46.0
49	8	4	33 16.0	33 16.20	11 34' 30.4	30 54' 50.4
50	8	4	35 2.2	35 2.20	10 47' 46.9	30 8' 6.9
51	9	5	49.3	35 27.32	10 6' 9.7	29 26' 29.7
52	9	-	—	35 —	10 6' 12.9	29 26' 32.9
53	8.9	3	37 13.0	37 34.83	9 38' 39.5	28 58' 59.5
54	9	4	3.8	38 3.80	10 39' 46.4	30 0' 6.4
55	8.9	6	50.8	38 17.47	11 36' 19.6	30 56' 39.6
56	9	7	23.0	38 38.49	11 38' 19.5	30 58' 39.5
57	8.9	6	40 27.7	39 55.19	9 39' 29.5	28 59' 49.5
58	8.9	3	22.5	41 44.53	10 40' 13.9	30 0' 33.9
59	9	5	42 48.5	42 26.31	11 4' 27.1	30 24' 47.1
60	7.8	2	22.0	43 55.15	10 56' 13.6	30 16' 33.6
61	7	3	38.5	44 0.62	11 3' 16.9	30 23' 36.9
62	8.9	6	50.5	44 17.67	10 30' 11.1	29 50' 31.1
63	8	6	0.5	45 27.71	9 52' 46.3	29 13' 6.3
64	9	3	58.2	47 19.78	9 33' 20.9	28 53' 40.9
65	7	6	14.4	47 41.60	9 56' 10.0	29 16' 30.0
66	9	5	49 18.0	48 55.82	10 56' 28.6	30 16' 48.6
67	9	3	50 9.0	50 31.09	10 51' 32.2	30 11' 52.2
68	8.9	6	56.7	50 23.53	11 8' 15.4	30 28' 35.4
69	8.9	2	42.5	52 16.05	11 53' 32.4	31 13' 52.4
70	8	2	53 20.5	53 53.56	10 41' 48.2	30 2' 8.2
71	8.9	1	8.8	54 52.70	10 12' 31.1	29 32' 51.1
72	7.8	1	46.2	55 29.81	9 32' 24.5	28 52' 44.5
73	8.9	4	32.8	55 32.80	9 44' 0.0	29 4' 20.0
74	9	7	32.0	55 48.03	10 27' 6.0	29 47' 26.0
75	9	5	58 22.6	58 0.33	11 25' 5.6	30 45' 25.6
76	7	4	40.3	58 40.30	11 28' 14.1	30 48' 34.1
77	9	4	18.4	59 18.40	11 23' 49.1	30 44' 9.1
78	7.8	5	3.5	59 41.48	10 18' 28.7	29 38' 48.7
79	9	5	1 42.3	13 1 19.93	11 52' 41.2	31 13' 1.2
80	8	3	1 52.0	2 14.43	11 57' 10.6	31 17' 30.6
81	9	7	4 1.6	3 17.39	10 59' 29.0	30 19' 49.0
82	8.9	5	48.0	4 25.85	10 56' 6.0	30 16' 26.0

Hilfstafel zur Reduction auf den mittlern Ort 1850 Januar 0 D = - 30°.

T.	k	k'	d	d'
12 ^u 10' - 15.56	-6	+4	+48.0	-0.5
20 - 15.62	-6	+5	+47.5	-0.6
30 - 15.68	-5	+5	+46.9	-0.6
40 - 15.73	-5	+5	+46.3	-0.7
50 - 15.78	-5	+6	+45.6	-0.7
13 0 - 15.83	-4	+6	+44.9	-0.8
10 - 15.87	-4	+6	+44.1	+59.5

- 28 Fad. 3. 50.2
 35. Zeit unsicher beobachtet.
 40 Fad. 4. 10.6
 48 „ 6. 53.9 Fad. 7. 4.5; Fad. 6, der 21'' 02 giebt, ist ausgeschlossen.
 49 Fad. 5. 38.7 giebt 16'' 39
 52. geht etwa 8'' vor No. 51 vorher.
 56. Zeit unsicher beobachtet.
 57 Fad. 7. 39.0 Fäden 55'' 01 und 55'' 37
 58 „ 4. 44.5
 61 „ 4. 0.6
 62 „ 7. 1.8
 63 „ 7. 11.4
 64 „ 5. 41.4 Fäden 20'' 01 und 19'' 55
 65 „ 7. 25.3
 66 „ 6. 28.9
 69 „ 3. 54.3 Fad. 4. 16.1; Fad. 3, der 16'' 63 giebt, ist ausgeschlossen.
 70 Fad. 3. 31.5
 74. Zeit unsicher beobachtet.
 80 Fad. 4. 14.5

No.	Gr.	Fad.	Beob. Zeit.	T.	Microsc. I	Südl. Declin.
83	8	6	29.7	13 ^u 4' 56.69	10 35 36.5	29 55' 56.5
84	9	5	28.0	6 5.97	9 45 27.0	29 5 47.0
85	8	5	26.2	7 4.23	10 3 52.9	29 24 12.9
86	5.6	2	8 16.5	8 49.80	11 22 33.9	30 42 53.9
87	8	5	13.6	8 51.55	10 28 24.7	29 48 44.7
88	8.9	3	40.8	10 2.84	10 36 47.6	29 57 7.6
89	9	7	10 46.6	10 2.56	10 36 50.6	29 57 10.6
90	8.9	6	46.3	11 13.25	10 46 8.7	30 6 28.7
1	9	4	7 58.4	13 7 58.41	10 39 44.5	28 44 5.5
2	6	4	8 59.3	8 59.30	8 40 44.1	30 43 5.9
3	7.8	7	45.3	9 1.29	9 34 52.1	29 48 57.9
4	8	5	34.3	10 12.26	9 26 28.0	29 57 22.0
5	8	3	0.7	11 22.91	9 17 15.0	30 6 35.0
6	8.9	4	49.9	11 49.97	9 50 9.6	29 33 40.4
7	9	4	49.1	12 49.10	10 22 16.2	29 1 33.8
8	9	4	13 20.8	13 20.80	10 43 14.0	28 40 36.0
9	9	2	59.5	14 32.51	9 21 46.0	30 2 4.0
10	9	2	16 44.3	17 17.18	9 47 8.6	29 36 41.4
11	8.9	7	17 57.5	17 13.21	8 58 24.0	30 25 26.0
12	9	4	29.4	18 29.40	8 58 30.0	30 25 20.0
13	9	7	22.2	18 37.80	8 43 13.2	30 40 36.8
14	8.9	3	52.5	20 14.69	8 37 —	30 47 —
15	8.9	4	59.7	20 59.70	9 7 14.0	30 16 36.0
16	9	6	47.8	21 14.94	9 59 40.4	29 24 9.6
17	9	7	22 45.4	22 0.65	7 59 10.1	31 24 39.9
18	8	4	33.4	23 33.40	8 1 58.0	31 21 52.0
19	8	3	0.5	24 22.89	8 6 47.6	31 17 2.4
20	7.8	7	32.2	23 47.97	9 6 18.5	30 17 31.5
21	7	5	59.6	24 37.86	10 34 48.6	28 49 1.4
22	6	7	23 :	24 40	11 26 50.0	27 57 0.0
23	9	6	26 39.2	26 6.29	10 30 5.5	28 53 44.5
24	9	7	27 58.7	27 14.31	8 45 1.6	30 38 48.4
25	9	3	58.0	29 19.70	9 58 17.9	29 25 32.1
26	9	5	57.2	29 35.29	10 3 33.8	29 20 16.2
27	7.8	5	45.0	30 23.14	10 18 2.5	29 5 47.5
28	6	5	4.3	30 42.51	10 34 44.0	28 49 6.0
29	8	7	45.5	31 1.61	9 52 5.6	29 31 44.4
30	8.9	3	32 51.0	33 12.92	10 13 32.8	29 10 17.2
31	8	5	33 21.7	33 0.02	10 24 18.5	28 59 31.5
32	9	4	15.2	34 15.20	10 24 49.6	28 59 0.4
33	9	5	34 35.3	34 13.46	10 21 50.6	29 1 59.4
34	7.8	6	35 42.2	35 9.33	9 57 11.7	29 26 38.3
35	9	7	36 47.0	36 2.42	8 20 6.6	31 3 43.4
36	9	5	46.6	37 24.61	9 41 41.2	29 42 8.8
37	8.9	5	34.0	38 12.01	9 39 39.4	29 44 10.6
38	9	7	39 37.5	38 53.86	10 27 17.4	28 56 32.6
39	7.8	2	15.1	40 47.71	10 27 45.0	28 56 5.0
40	8.9	7	1.3	40 17.20	9 23 5.0	30 0 45.0
41	8	6	26.0	40 53.08	9 25 17.0	29 58 33.0
42	8	3	15.7	42 37.61	10 14 51.2	29 8 58.8
43	9	5	54.0	42 32.05	9 51 53.4	29 31 56.6
44	8.9	3	19.6	43 41.61	9 47 26.7	29 36 23.3
45	8	7	45.0	43 0.98	9 33 39.9	29 50 10.1
46	8.9	7	25.6	43 41.68	9 47 25.9	29 36 24.1
47	9	6	2.6	44 29.62	9 38 53.5	29 44 56.5

D = - 30°.

13^u 0' - 15.83 | -4 | +6 | +44.9 | -0.8 | +59.5
 10 - 15.87 | -4 | +6 | +44.1 | -0.9 | +59.5

83 Fad. 7. 40.7 84 Fad. 7. 49.5
 86 „ 3. 27.6 88. 89. derselbe.

Anfangs sehr gute Luft, aber schon nach 10' ward sie schlechter, und zuletzt waren die Sterne sehr gross und blass.

ZONE 404. 1852 Mai 7. West.

NC. 11 35' - 1' 47.22
 14 41 - 1' 49.17

Anf. 28 0.68 + 8.1 44.4
 Ende 0.77 + 7.4 42.0

Microsc. I - 10'' 93

Declin. = Microsc. I - 39° 23' 50''

14^u r + i - 17'' 437 Δr + 0'' 002 Δi + 0'' 033

Hülfsstafel zur Reduction auf den mittlern Ort 1850 Januar 0 D = - 30°.

T.	k	k'	d	d'
13 ^u 0' - 25.26	-10	+ 8	+58.9	-1.3
10 - 25.36	- 9	+ 9	+57.6	-1.3
20 - 25.45	-10	+ 9	+56.3	-1.5
30 - 25.55	- 9	+10	+54.8	-1.5
40 - 25.64	- 8	+10	+53.3	-1.6
50 - 25.72		+11	+51.7	

1 Fad. 5. 20.2

5 „ 4. 23.0

6 „ 5. 12.0

9 „ 3. 10.4

13. Zeit unsicher beobachtet.

14 Fad. 4. 14.6

21 „ 6. 10.6

23 „ 7. 49.7 Fäden 6'' 50 und 6'' 08

25 „ 4. 19.7 Fad. 3 ist ausgeschlossen.

28 „ 6. 15.2

31 „ 6. 32.9 Fäden 59'' 86 und 0'' 18

33 „ 6. 46.2

35. Zeit unsicher beobachtet.

39 Fad. 3. 25.8

41 „ 7. 37.3

44. 46. derselbe.

N ^o .	Gr.	Fad.	Beob. Zeit.	T.	Microsc. I	Südl. Declin.	
48	6	7	45 45.4	^u 13 45 0.76	8 12 40.1	31 11 9.9	
49	7.8	2	30.2	47 3.79	8 2 19.8	31 21 30.2	
50	7	3	11.3	47 33.52	8 50 33.1	30 33 16.9	
51	7	4	44.5	47 44.50	9 32 30.3	29 51 19.7	
52	8.9	5	15.8	47 53.93	10 13 45.9	29 10 4.1	
53	9	4	3.0	49 3.00	10 41 6.6	28 42 43.4	
54	7.8	2	28.5	50 1.29	10 21 58.7	29 1 51.3	
55	9	4	7.5	50 7.50	10 2 6.9	29 21 43.1	
56	8.9	3	26.4	50 48.44	9 57 19.5	29 26 30.5	
57	9	5	31.3	51 9.02	8 22 59.3	31 0 50.7	
58	9	4	52 40.5	52 40.50	10 39 42.8	28 44 7.2	
59	7.8	6	53 45.5	53 12.14	8 30 10.0	30 53 40.0	
60	6.7	2	12.5	54 45.88	8 25 55.0	30 57 55.0	
61	9	7	50.0	54 5.54	8 35 20.8	30 48 29.2	
62	8.9	5	40.3	55 18.28	9 30 37.0	29 53 13.0	
63	8	4	11.9	56 11.90	10 11 59.8	29 11 50.2	
64	8.9	2	58.2	57 31.17	9 30 37.2	29 53 12.8	
65	8.9	6	59 17.5	58 44.31	9 0 21.3	30 23 28.7	
66	9	7	0.4	59 15.77	8 14 20.5	31 9 29.5	
67	8.9	3	0 52.6	14 1 14.73	9 13 49.9	30 10 0.1	
68	7	3	35.3	1 57.38	9 28 34.6	29 55 15.4	
69	8.9	6	12.4	1 39.43	9 39 6.3	29 44 43.7	
70	9	7	49.5	2 5.46	9 31 32.1	29 52 17.9	
71	8	6	37.3	3 4.54	10 18 4.5	29 5 45.5	
72	9	4	4 41.3	4 41.30	10 4 49.2	29 19 0.8	
73	8.9	7	27.0	4 42.66	8 51 31.2	30 32 18.8	
74	7.8	4	24.1	6 24.10	9 2 28.5	30 21 21.5	
75	9	5	53.4	6 31.17	8 55 56.7	30 27 53.3	
76	9	4	46.2	7 46.16	8 48 59.0	30 34 51.0	
77	8	6	30.3	7 56.62	8 2 31.4	31 21 18.6	
78	9	7	10 14.0	9 29.75	9 3 10.1	30 20 39.9	
79	9	6	12 37.5	12 4.71	10 2 10.6	29 21 39.4	
80	8.9	5	14 29.8	14 7.51	8 22 14.8	31 1 35.2	
81	7.8	4	15 36.0	15 36.00	10 23 7.2	29 0 42.8	
82	8.9	3	55.5	16 17.39	10 26 23.0	28 57 27.0	
83	8	5	1.5	16 39.42	9 16 6.2	30 7 43.8	
84	8.9	5	34.8	17 12.71	9 12 19.0	30 11 31.0	
85	9	7	8.5	17 24.03	8 34 29.5	30 49 20.5	
86	5.6	2	19 17.4	19 49.93	10 33 37.2	28 50 12.8	
87	8.9	2	20 35.3	21 9.00	10 20 28.0	29 3 22.0	
88	8	2	4.9	21 37.58	10 24 51.7	28 58 58.3	
89	8	6	10.4	21 37.68	10 24 52.4	28 58 57.6	
90	7.8	5	22 37.3	22 15.54	10 44 3.6	28 39 46.4	
91	8	7	20 :	22 36	9 57 9.3	29 26 40.7	
92	7	2	24 10.0	24 43.08	9 20 13.3	30 3 36.7	

Hülfsstafel zur Reduction auf den mittlern Ort 1850 Januar 0 D = - 30°.

T.	k	k'	d	d'
^u 13 40 - 25.64	-8	+10	+53.3	-1.6
50 - 25.72	-8	+11	+51.7	-1.6
14 0 - 25.80	-8	+11	+50.1	-1.7
10 - 25.88	-7	+12	+48.4	-1.8
20 - 25.95	-7	+12	+46.6	-1.9
30 - 26.02		+12	+44.7	+57.3

49 Fad. 3. 41.5
54 „ 3. 39.5
56 „ 4. 48.5
60 „ 3. 23.6
70. Zeit unsicher beobachtet.
75 Fad. 6. 4.3
76 „ 5. 8.3
77 „ 7. 41.2
78. Zeit unsicher beobachtet.
79 Fad. 7. 48.6
82 „ 4. 17.4
86 „ 3. 28.0
88. 89. derselbe.
92 Fad. 3. 21.0 Fad. 4. 43.1

Sehr gute Luft und die Sterne ungewöhnlich distinct.

Verbesserungen und Nachträge.

Pag.	Zone.	Nº.
1.	205.	27. Die Zeitminute muss 15 sein, wie die Folge der Zeiten und Z. 297 Nº. 17 lehren; also T. 16 14
3.	206.	14. T. lies 44 52.09 nach einer eigenen Beobachtung.
3.	206.	31. Fad. 3 lies 2 42.3 nach einer eigenen Beobachtung.
3.	206.	41. 42. Ein Fehler von $-1''$ in der Zeit, der bei Nº. 43 entdeckt und verbessert ward, hat i dem Zeugniß der Sterne Z. 299 Nº. 46 und Z. 381 Nº. 44 schon bei diesen Sternen stattge den, so dass die T. derselben um $+1''$ zu corrigiren sind.
7.	208.	34. Minute des Microscops wahrscheinlich 43 und dann die Decl. $-19\ 36\ 55.0$ und T. 58 36 vergl. Z. 385 Nº. 36.
11.	210.	8. Das Microscop muss 5 59 40.0 sein und demgemäss die Decl. $-23\ 22\ 0.0$, wie eine eig Beobachtung lehrt.
13.	210.	109. Secunde des Microscops lies 2.5; die Decl. ist also ganz zweifelhaft.
13.	211.	in der Hülftafel bei $16^{\circ}\ 40'$ lies k -27.44 .
16.	212.	90. beobachtete Zeit und T. lies 47.2 statt 46.2.
19.	214.	4. 5. Note: statt Z. 388 Nº. 4 lies Z. 388 Nº. 30.
19.	214.	38. Zeitminute statt 35 lies 36.
19.	214.	59. Zer Zweifel der Zeitsecunde wird durch eine eigene Beobachtung beseitigt.
20.	214.	110. Note: statt Decl. $+10'$? lies $-10'$! Denn Beobachtungen 1852 Juli haben nur in $-28'$ einen Stern gezeigt.
21.	215.	8. T. lies 8 53.53.
21.	215.	37. lies Fad. 6 und T. 44 50.58 nach einer eigenen Beobachtung.
22.	215.	56. T. lies 17 6 26.38, Microscop 10 45 16.8 und Decl. 30 5 16.8 nach Z. 389 Nº. 57 und ei eigenen Beobachtung.
22.	215.	62. Der Grad des Microscops muss nach einer eigenen Beobachtung 11° sein, wodurch die D $-30\ 56\ 17.4$ und T. 17 9 52.51 werden.
25.	217.	24. lies Fad. 5 und T. 16 55.09 nach einer eigenen Beobachtung.
26.	218.	3. lies Fad. 3 und T. 33 10.21.
26.	218.	4. lies Fad. 3 und T. 33 58.29.
26.	218.	12. Die Annahme der Note wird durch eine eigene Beobachtung bestätigt, also T. 40 17.52.
27.	218.	80. T. lies 23 41.96.
27.	218.	82. in der Note statt Z. 207 lies Z. 227.
28.	218.	Hülftafel: das Zeichen von k' lies überall $-$ statt $+$.
30.	220.	18. Der Zweifel wegen des Fadens wird durch eine eigene Beobachtung beseitigt.
31.	220.	77. 78. Der Zweifel in der Note wird durch eine eigene Beobachtung beseitigt.
33-36.		Die Secunden von k in den Hülftafeln zu Z. 221 sind überall 33 statt 34 zu lesen.
33.	221.	3. Die Minute des Microscops muss 2 sein und demnach die Decl. $-30\ 22\ 28.8$ nach Z. Nº. 68 und einer eigenen Beobachtung.
34.	221.	45. Der Zweifel in der Note wird durch eine eigene Beobachtung beseitigt.
35.	221.	92. T. lies 16 25.63.
36.	221.	148. T. lies 18 23.69.
36.	221.	151. Grad der Decl. lies 30.

Pag.	Zone.	Nº.
36.	222.	2. Statt Fad. 3 lies Fad. 4.
36.	222.	7. Minute der Decl. lies 41.
37.	222.	63. in der Note statt Z. 220 Nº. 89 lies Z. 220 Nº. 80.
38.	222.	148. beobachtete Zeit lies 12.0.
40.	223.	93. Decl. lies 27 34 56.9
41.	224.	Hülfsstafel: die d sind alle positiv und das letzte +2.0 statt 3.0.
42.	224.	46. Die Correction der Note wird durch eine eigene Beobachtung bestätigt.
42.	224.	62. T. lies 11 19.92.
44.	225.	35. lies Fad. 3 und T. 24 23.41 nach einer eigenen Beobachtung.
47.	227.	81. Note. Statt des Punktes am Ende lies ein Fragezeichen.
48.	227.	117. beob. Zeit lies 27.2.
50.	230.	26. Der Zweifel der Note wird durch eine eigene Beobachtung beseitigt.
53.	231.	Hülfsstafel: die k lies der Reihe nach -34.08, -34.11, -34.13, -34.16 und die d' +38.9 und dann 3mal +38.8.
53.	231.	31. T. lies 22 24.86.
53-55.		Hülfsstafeln zu Zone 232: sämtliche d erhalten die Corr. +2''2.
54.	232.	49. T. lies 8 1.15.
54.	232.	79. T. lies 34 35.83.
56.	234.	r+i lies -34.884.
56.	234.	28. lies Fad. 6 und T. 51 57 nach einer eigenen Beobachtung.
56-58.		Hülfsstafeln zu Z. 234: die Decimalbrüche der k für 20 ⁿ 30' bis 22 ⁿ 10' lies der Reihe nach 32, 34, 35, 36, 37, 38, 39, 39, 40, 40, 39.
57.	234.	36. T. lies 21 0 21.93.
58.	234.	98. T. lies 57 5.72.
58.	235.	r+i lies -34.642.
58-60.		Hülfsstafeln zu Zone 235: die k für 19 ⁿ 0' bis 20 ⁿ 40' lies der Reihe nach -33.81, -33.84, -33.87, -33.90, -33.93, -33.95, -33.97, -33.99, -34.01, -34.03, -34.05.
63.	237.	12. Die Anmerkung verfällt nach Vergleichung von Z. 247 Nº. 76.
65.		Statt Z. 230 lies Z. 238.
65.	238.	23. Beob. Zeit: statt 21.8 lies 23.8.
69.	240.	21. Der Fehler von 3'' wird durch eine eigene Beobachtung bestätigt.
72.	241.	62. Fad. 3 ist nach Fad. 4 und Z. 394 Nº. 74 um 10'' verschrieben.
75.	243.	86. T. lies 27 21.09.
77.	244.	20. Die Verbesserung der Note wird noch durch eine andere Beobachtung bestätigt, bei der zur Zeit des ungeänderten T. kein Stern gesehen ward.
77.	244.	47. Die Aenderung der Note wird durch eine eigene Beobachtung bestätigt.
80.	246.	r+i lies -35''.886 und die Decimalen von k der Reihe nach 41, 44, 47, 50.
81.	246.	Noten. Statt 19. dupl. II. Cl. praec. lies 18. dupl. II. Cl. praec.
81-82.		Hülfsstafeln zu Z. 247: die Decimalen von k von 19 ⁿ 40' bis 21 ⁿ 0' lies der Reihe nach 61, 66, 70, 75, 80, 84, 89, 93, 97.
82.	247.	51. Note statt die Berechnung lies bei der Berechnung und statt Z. 140 lies Z. 240.
85.	249.	6. T. lies 40 8.19.
86.	249.	97. Statt Fad. 3 lies Fad. 4.
86.	249.	100. Der Zweifel wird durch eine eigene Beobachtung beseitigt.

Pag.	Zone.	Nº.	
90.	251.	63.	Der Text ist richtig und die Anmerkung verfällt nach einer eigenen Beobachtung.
90.	251.	91.	Die Aenderung der Note wird durch eine eigene Beobachtung bestätigt, und ist daher T lesen 45 19.03.
91.	252.	7.	Statt Fad. 3 lies Fad. 1.
91.	252.	10.	Beob. Zeit lies 22.0 und T. 45 19.03 nach einer eigenen Beobachtung.
92.	252.	92.	Die Anmerkung verfällt nach einer eigenen Beobachtung.
95.	254.	15.	Die in der Note angegebene Correction wird durch eine eigene Beobachtung bestätigt.
97.	255.		$\tau+i$ lies -38.480.
97-98.			In den Hülftafeln für Z. 255 lies die k von $21^{\circ} 0'$ bis $22^{\circ} 40'$ der Reihe nach -37.43, -37.54, -37.60, -37.65, -37.71, -37.76, -37.81, -37.86, -37.91, -37.96.
101.	257.	24.	T. lies 13 10.50.
105.106.			Hülftafeln: alle d erhalten die Corr. $+0''.8$.
110.	262.	22.	Dieser Stern muss sehr ungenau beobachtet sein; er ist offenbar identisch mit Z. 248 Nº. indem 1852 Sept. 20. und 22. nur der letztere gesehen ward.
112.	262.	107.	Der Zweifel der Note wird durch eine eigene Beobachtung beseitigt, die aber gezeigt hat, statt Fad. 6 zu lesen sei Fad. 5 und demnach T. 57 49.76.
113.	263.	75.	Der Zweifel wird durch eine eigene Beobachtung beseitigt.
121.	269.	75.	Der Zweifel der Anmerkung wird durch eine eigene Beobachtung beseitigt.
123.	270.	54.	Die Minute von T. lies 20.
125.	272.	29. 31.	Die Correction der Note wird durch eine eigene Beobachtung bestätigt.
128.	273.	38.	Die Annahme der Note wird durch eine eigene Beobachtung bestätigt.
129.	273.	124.	Die Annahme der Note wird durch Z. 402 und eine eigene Beobachtung bestätigt und ist nach T. zu lesen 17 17.93.
129.	273.	125.	T. die Minute lies 17.
		126.	T. " " " 19.
		127.	T. " " " 19.
		128.	T. " " " 20.
		129.	T. " " " 20.
131.	274.	85.	Die Aenderung von T. wird durch eine eigene Beobachtung bestätigt.
134.	275.	92.	Die Corr. der Anmerkung wird durch eine eigene Beobachtung bestätigt, die zugleich gehabt, dass der Stern dupl. III. Cl. ist; der beobachtete ist der vorhergehende, der $0''.72$ gende 9^m ist $3''$ bis $4''$ südlicher.
135.	276.	44.	T. lies 31 7.01 nach einer eigenen Beobachtung.
138.	278.	71.	T. lies 9 33.35.
144.	280.	113. 114.	Die T. sind nach einer eigenen Beobachtung richtig.
147.	281.	76.	Die Aenderung der Note wird durch eine eigene Beobachtung bestätigt; demnach Decl. - $43' 13''.8$.
148.	282.	63-65.	Die T. dieser 3 Sterne müssen um $-1''$ corrigirt werden nach einer eigenen Beobachtung
152-155.			Hülftafeln für Z. 284: alle d erhalten die Corr. $+0''.6$.
157.	287.		Statt Decl. = Microsc. I $+ 29^{\circ} 22' 10''$ lies Decl. = Microsc. I $- 29^{\circ} 22' 10''$.
175.	295.	123.	T. ist nach einer eigenen Beobachtung richtig.
175.	295.	125-130.	Die T dieser 6 Sterne sind nach Z. 209 um $-1''$ zu corrigiren.
208.	312.		Hülftafel: k bei $22^{\circ} 20^m$ lies $-1' 42''.77$.

- Pag. Zone. No.
210. 313. 38. Die Minute des Microscops soll 52 sein nach einer eigenen Beobachtung und demgemäss die Decl. $-24^{\circ} 10' 36.1''$ und T. 30 56.81.
212. 314. 56. T. lies 44 17.41.
214. 315. 66. T. lies 28 5.05 nach einer eigenen Beobachtung.
220. 319. 47. Die Minute des Microscops soll nach einer eigenen Beobachtung 17 sein und demnach die Decl. $-21^{\circ} 3' 55.1''$.
222. 320. 11. lies Fad. 6 und T. 10 15.16 nach einer eigenen Beobachtung.
223. 320. 108. lies Fad. 6 und T. 14 32.54 nach einer eigenen Beobachtung.
232. 325. Hülftafel: das Zeichen der d muss + statt - sein.
232. 325. 8. Die Correction wird durch eine eigene Beobachtung bestätigt.
238. 328. 90. Zeit wahrscheinlich 19.7 und dann T. 34 4.11; vgl. die Note zu No. 91 sowie Z. 335 No. 1 und Z. 336 No. 120.
239. 329. 40-48. Die T dieser Sterne und wahrscheinlich auch von No. 39 sind nach einer eigenen Beobachtung um $-1''$ zu corrigiren wegen des bei No. 49 entdeckten Fehlers.
253. 235. 55. Microscop: die Minute muss 3 sein, und dann die Decl. $-29^{\circ} 20' 5.5''$ nach dem Zeugniß von Z. 322 No. 56 und einer eigenen Beobachtung.
261. 339. 47. Beob. Zeit lies 52.5 und T. 1 22.75 nach einer eigenen Beobachtung.
- 275-278. Hülftafeln: $\tau+i$ und alle k erhalten die Corr. $-1''$.
279. 346. 4. Nach Z. 343 No. 44 und einer eigenen Beobachtung muss die Minute des Microscops 46 sein, und demnach die Decl. $= -22^{\circ} 34' 23.7''$.
280. 346. 37. Nach Z. 343 No. 72 und einer eigenen Beobachtung muss der Grad des Microscops 8 sein, und demgemäss die Decl. $-20^{\circ} 52' 52.6''$.
296. 353. 17-21. Der bei No. 22 entdeckte Fehler von $+1''$ hat nach einer eigenen Beobachtung schon bei diesen Sternen stattgefunden, und sind daher die Secunden der T. dieser Sterne der Reihe nach zu lesen 16.08, 56.53, 35.21, 57.00, 4.42.
395. 391. 202. u. 204. Note: Statt die Minute des Microscops zu lesen 4' lies: die Minute des Microscops zu lesen 47'.

Pag. XI. Corr. für Z. 211 statt -3.04 lies -2.04 .

Pag. XXVIII. ist noch folgender Stern hinzuzufügen:

LL. 15980.	280.	159.	8.9	8	2	16.80	-23°	6	30.9	8.	8	2	16.51	-23°	6	28.5	
	330.	168.	8			16.21										27.2	
	362.	180.	8			16.51											27.5

Nachtrag.

- Pag. Zone. No.
27. 218. 53. T. statt 28.27 lies 28.37.
31. 220. 72. 73. Note muss wegfallen.
240. 329. 99. Die Anmerkung verfällt nach einer eigenen Beobachtung.
303. 355. 66. Statt Fad. 3 und 4 ist Fad. 4 und 5 zu lesen und dann T. $29^{\circ} 45' 45''$ nach einer eigenen Beob.

Druckfehler in dem Hefte der Hülftafeln.

- P. 20 bei 13' Col. $+15''.2$ statt 2.9 lies 2.0
- 21 - 76' - $+15''.1$ - 11.8 - 10.8
- 30 Ueberschrift der letzten Columnne statt $18''.7$ lies $18''.8$.
- 42 - 16' - $-24''.3$ statt 4.6 lies 4.0
-









